

Caty Schucany

Aquae Helveticae



Zum Romanisierungsprozess
am Beispiel
des römischen Baden

Caty Schucany

Aquae Helveticae

Zum Romanisierungsprozess
am Beispiel des römischen Baden

Antiqua 27

Veröffentlichung der
Schweizerischen Gesellschaft
für Ur- und Frühgeschichte

Publication de la
Société Suisse
de Préhistoire et d'Archéologie

Pubblicazione della
Società Svizzera
di Preistoria e d'Archeologia

Verlag Schweizerische
Gesellschaft für Ur- und
Frühgeschichte

Caty Schucany

Aquae Helveticae

Zum Romanisierungsprozess
am Beispiel des römischen
Baden

Basel 1996

Umschlag: Brandschicht der Holzbauperiode II (69 n. Ch.) mit aufgefülltem Holzkeller Q der Steinbauperiode I.1;
einkopiert die Zierniete Katalog Nr. 945 aus der Kellerverfüllung

Gedruckt mit Unterstützung des Kantons Aargau, der Stadt Baden, des Dissertationenfonds der Universität,
des Dissertationenfonds der Philosophisch-Historischen Fakultät der Universität Basel sowie der Kultur- und
Sozialstiftung Möbel Pfister

Redaktion: Urs Niffeler

Übersetzungen: Marc-André Haldimann und Peter W. Stamer

Satzaufbereitung und redaktionelle Kontrollen: Marianne Grauwiler

Satz und Druck: Reinhardt Druck Basel

Copyright by Schweizerische Gesellschaft für Ur- und Frühgeschichte, Basel 1996
Printed in Switzerland
ISBN 3-908006-19-8

Inhaltsverzeichnis

<i>Vorwort</i>	7	4.2.5. Glasierte Keramik	85
<i>Zusammenfassung</i>	8	4.2.6. Lampen	86
<i>Résumé</i>	10	4.2.7. Reibschüssel	87
<i>Summary</i>	12	4.2.8. Pompejanisch-rote Platten	87
		4.2.9. Amphoriskos	87
		4.2.10. Amphoren	88
I. Einleitung		4.3. Keramik in römischer Tradition	91
1. Methodische Vorbemerkungen	15	4.3.1. Campana-Imitation	92
1.1. Zielsetzung	15	4.3.2. TS-Imitation	93
1.2. Vorgehen und Organisation der Arbeit	15	4.3.3. Imitation von Firmiskeramik	103
2. <i>Aquae Helveticae</i>	17	4.3.4. Imitation von pompejanisch-roten Platten	103
2.1. Lage und Name	17	4.3.5. Glanztonkeramik	104
2.2. Geschichte der Erforschung	18	4.3.6. Orange Keramik	104
		4.3.7. Graue Feinkeramik	113
		4.3.8. Grobkeramik	114
		4.4. Keramik mit keltischer Form und römischer Technik	117
		4.4.1. Schüsseln mit Überzug	118
		4.4.2. Glanztonbecher	122
II. Grabung 1977		4.5. Keramik in keltischer Tradition	123
3. Befund	19	4.5.1. Orange Keramik	123
3.1. Einleitung	19	4.5.2. Graue Feinkeramik	127
3.1.1. Lage der Grabungsfläche	19	4.5.3. Grobkeramik	136
3.1.2. Grabungsmethode und Schichtverhältnisse	20	4.6. Münzen	142
3.1.3. Erhaltungsbedingungen	22	4.7. Glas	148
3.2. Der anstehende Boden	23	4.7.1. Glasgefäße	148
3.2.1. Topographie	23	4.7.2. Spielsteine	180
3.2.2. Befunde vor der ersten römischen Überbauung	24	4.7.3. Perlen	150
3.3. Holzbauperiode I	26	4.8. Bronze	151
3.3.1. Phase 1 (HP I.1)	26	4.8.1. Fibeln	151
3.3.2. Phase 2 (HP I.2)	27	4.8.2. Zierteile	152
3.3.3. Phase 3 (HP I.3)	28	4.8.3. Geräte	154
3.4. Holzbauperiode II	29	4.8.4. Varia	156
3.5. Steinbauperiode I	32	4.9. Eisen	156
3.5.1. Phase 1 (SP I.1)	32	4.9.1. Waffen	156
3.5.2. Die Phase 2 (SP I.2)	38	4.9.2. Werkzeuge	156
3.5.3. Phase 3 (SP I.3)	40	4.9.3. Fuhrwesen	157
3.5.4. Phase 4 (SP I.4)	41	4.9.4. Bauteile	157
3.5.5. Phase 5 (SP I.5)	42	4.9.5. Schlacken	158
3.5.6. Phase 6 (SP I.6)	43	4.10. Varia	158
3.6. Steinbauperiode II	44	4.10.1. Geweih/Bein	158
3.6.1. Phase 1 (SP II.1)	44	4.10.2. Gegenstände aus Ton	158
3.6.2. Die Phasen 2-4 (SP II.2-4)	46	4.10.3. Steingefäße	159
3.7. Die Strukturen nördlich der Grabungsfläche	46	4.10.4. Holzkamm	159
3.7.1. Gruben	47	5. Die Fundensembles und ihre Datierung	160
3.7.2. Schächte	47	5.1. Einleitung	160
3.7.3. Keller	48	5.2. Vor der ersten römischen Überbauung	163
3.7.4. Zusammenfassung	48	5.2.1. Die prähistorische Schicht	163
3.8. Schlussbetrachtungen	49	5.2.2. Die römischen Schichten	163
3.8.1. Siedlungsablauf	49	5.3. Holzbauperiode I	164
3.8.2. Bauweise	56	5.3.1. Phase 1 (HP I.1)	164
4. Funde	62	5.3.2. Phase 2 (HP I.2)	166
4.1. Vorbemerkungen	62	5.3.3. Phase 3 (HP I.3)	168
4.1.1. Auswahl	62	5.4. Holzbauperiode II (HP II)	169
4.1.2. Zum Problem der Vermischung	63	5.5. Steinbauperiode I	171
4.1.3. Passscherben	63	5.5.1. Phase 1 (SP I.1)	171
4.1.4. Erhaltung	64	5.5.2. Phase 2 (SP I.2)	174
4.1.5. Gruppierung	64	5.5.3. Phase 3 (SP I.3)	176
4.2. Importierte Keramik	66	5.5.4. Phase 4 (SP I.4)	178
4.2.1. Terra Sigillata	66	5.5.5. Phase 5 (SP I.5)	180
4.2.2. Firmiskeramik	82	5.5.6. Phase 6 (SP I.6)	182
4.2.3. Hartgebrannte graue Feinkeramik	85	5.6. Steinbauperiode II	183
4.2.4. Hartgebrannte braune Becher	85		

5.6.1.	Phase 1 (SP II.1).....	183	11.3.	Holzbauperiode I.....	248
5.6.2.	Phase 2 (SP II.2).....	185	11.3.1.	Phase 1 (HP I.1).....	248
5.6.3.	Phase 3 (SP II.3).....	186	11.3.2.	Phase 2 (HP I.2).....	250
5.6.4.	Phase 4 (SP II.4).....	186	11.3.3.	Phase 3 (HP I.3).....	252
			11.4.	Holzbauperiode II.....	254
			11.5.	Steinbauperiode I.....	258
III.	Romanisierung		11.5.1.	Phase 1 (SP I.1).....	258
6.	Vorbemerkungen.....	187	11.5.2.	Phase 2 (SP I.2).....	262
6.1.	Begriffe.....	187	11.5.3.	Phase 3 (SP I.3).....	264
6.1.1.	Kultur.....	187	11.5.4.	Phase 4 (SP I.4).....	266
6.1.2.	Tradition.....	187	11.5.5.	Phase 5 (SP I.5).....	269
6.1.3.	Romanisierung.....	188	11.5.6.	Phase 6 (SP I.6).....	271
6.2.	Die Zeichenfunktion archäologischer Phänomene.....	189	11.6.	Steinbauperiode II.....	272
6.3.	Vorgehen.....	189	11.6.1.	Phase 1 (SP II.1).....	272
7.	Zur keltischen Kultur der späten Latènezeit.....	191	11.6.2.	Phase 2 (SP II.2).....	274
7.1.	Bauweise.....	191	11.6.3.	Phase 3 (SP II.3).....	274
7.1.1.	Grundriss und Baumasse.....	191	11.6.4.	Phase 4 (SP II.4).....	274
7.1.2.	Boden.....	192	11.7.	Die Strukturen nördlich der Grabungsfläche.....	276
7.1.3.	Wand.....	192	11.7.1.	Gruben.....	276
7.1.4.	Dach.....	193	11.7.2.	Schächte.....	277
7.1.5.	Strukturen.....	193	11.7.3.	Die Keller.....	280
7.1.6.	Zusammenfassung.....	193	12.	Funde.....	281
7.2.	Keramik.....	193	12.1.	Einleitung.....	281
7.2.1.	Keramikgattungen.....	194	12.2.	Bodenelemente.....	281
7.2.2.	Formen.....	194	12.3.	Wandteile.....	281
7.2.3.	Formenspektrum.....	195	12.3.1.	Lehmfachwerk.....	281
8.	Zur römischen Kultur in Italien (1. Jh. v. Chr.–2. Jh. n. Chr.).....	196	12.3.2.	Wandmalerei.....	282
8.1.	Bauweise.....	196	12.3.3.	Tubuli.....	282
8.1.1.	Grundriss und Baumasse.....	196	12.4.	Dachelemente.....	282
8.1.2.	Boden.....	198	12.5.	Diverses.....	282
8.1.3.	Wand.....	198	12.6.	Schlacken.....	282
8.1.4.	Dach.....	199	12.7.	Münzen (Bestimmungen H.W. Doppler).....	282
8.1.5.	Strukturen.....	199	12.7.1.	Stratifizierte Münzen.....	282
8.1.6.	Zusammenfassung.....	199	12.7.2.	Münzen aus vermischten Schichten.....	286
8.2.	Keramik.....	200	12.8.	Keramik und Kleinfunde aus Schichten vor der ersten römischen Überbauung.....	287
8.2.1.	Keramikgattungen.....	201	12.8.1.	Benutzungsschicht.....	287
8.2.2.	Formen.....	202	12.8.2.	Grab.....	287
8.2.3.	Formenspektrum.....	205	12.8.3.	Grubenhäuser.....	287
9.	Der Romanisierungsprozess von Aquae Helveticae.....	206	12.9.	Keramik und Kleinfunde der Holzbauperiode I.....	287
9.1.	Bauweise.....	206	12.9.1.	Phase 1 (HP I.1).....	287
9.2.	Keramik.....	209	12.9.2.	Phase 2 (HP I.2).....	288
9.2.1.	Keltische Keramik.....	209	12.9.3.	Phase 3 (HP I.3).....	290
9.2.2.	Römische Keramik.....	211	12.10.	Keramik und Kleinfunde der Holzbauperiode II.....	292
9.2.3.	Zusammenfassung und Folgerung.....	214	12.11.	Keramik und Kleinfunde der Steinbauperiode I.....	299
9.3.	Fazit.....	216	12.11.1.	Phase 1 (SP I.1).....	299
10.	Der Romanisierungsprozess gallo-römischer Vici im Vergleich.....	218	12.11.2.	Phase 2 (SP I.2).....	302
10.1.	Bauweise.....	218	12.11.3.	Phase 3 (SP I.3).....	305
10.1.1.	Oberwinterthur.....	218	12.11.4.	Phase 4 (SP I.4).....	307
10.1.2.	Lenzburg.....	219	12.11.5.	Phase 5 (SP I.5).....	313
10.1.3.	Zusammenfassung.....	220	12.11.6.	Phase 6 (SP I.6).....	316
10.2.	Keramik.....	220	12.12.	Steinbauperiode II.....	319
10.2.1.	Oberwinterthur.....	220	12.12.1.	Phase 1 (SP II.1).....	319
10.2.2.	Solothurn.....	225	12.12.2.	Phase 2 (SP II.2).....	397
10.2.3.	Zusammenfassung.....	229	12.12.3.	Phase 3 (SP II.3).....	397
10.3.	Fazit.....	229	13.	Kommentar zu den zum Vergleich herangezogenen Fundplätzen und Komplexen.....	398
			14.	Listen und Tabellen.....	406
IV.	Katalog		14.1.	Sigillatastempel.....	406
11.	Befund.....	231	14.2.	Tabellen zu Befund und Funden der Grabung 1977 ...	407
11.1.	Einleitung.....	231	14.3.	Tabellen zu den keltischen Vergleichstationen.....	417
11.1.1.	Beschreibung der Schichten und Strukturen der Profile mit Beilagen 1–10.....	231	14.4.	Tabellen zu den italischen Vergleichstationen.....	418
11.2.	Vor der ersten römischen Überbauung.....	248	14.5.	Tabellen zu den zum Vergleich herangezogenen Vici	420
			15.	Bibliographie.....	423

Wer Unverhofftes nicht erhofft,
kann es nicht finden:
unaufspürbar ist es und unzugänglich.

Heraklit

Vorwort

Reste der römischen Bäder sind in Baden, dem antiken *Aquae Helveticae*, schon seit dem Mittelalter bekannt. 1977 führte die Aargauische Kantonsarchäologie im Siedlungsbereich von *Aquae Helveticae* erstmals eine grössere Ausgrabung in einer nur wenig durch jüngere Eingriffe beeinträchtigten Zone durch. Damals als Zeichnerin bei der Kantonsarchäologie angestellt, war ich Mitglied der Grabungsequipe. Diese Untersuchung bildet die Grundlage der vorliegenden Arbeit. Mit der Bereinigung der zeichnerischen Dokumentation betraut, setzte ich mich im Winter/Frühjahr 1978, im Anschluss an die Kampagne, ein erstes Mal mit dem Befund auseinander. Die damals vorgenommene Phasenzuordnung der Schichten bewährte sich als Gerüst für die endgültige Auswertung.

Die vorliegende Arbeit ist die überarbeitete Fassung meiner im Herbst 1992 von der Philosophisch-Historischen Fakultät der Universität Basel angenommenen Dissertation. Referenten waren die Professoren Ludwig Berger und Max Martin. Die 1982/83 entstandene Lizentiatsarbeit über Befund, Baustrukturen und Funde der durch ein Feuer zerstörten Holzbauperiode II war eine erste Annäherung an das Thema und ist weitgehend in die vorliegende Studie eingearbeitet. Mit der Dissertation begann ich im Sommer 1984. Anderweitige Verpflichtungen liessen mir aber bis 1990 nur wenig Zeit. Im Herbst 1990 liess ich mich für fünfzehn Monate freistellen, so dass ich die Arbeiten abschliessen und im Frühjahr 1992 als Dissertation einreichen konnte. Befund- wie Keramikauswertung habe ich in Vorträgen an Fachtagungen bereits kurz vorgestellt (Schucany 1992; 1993).

Schon in der Lizentiatsarbeit unternahm ich erste Versuche, die mutmasslich im vorliegenden Keramikbestand wirksamen Traditionen, die nachwirkenden einheimischen und die neu hergebrachten mediterranen, herauszuarbeiten. Auf die Bauweise ausgeweitet und vertieft steht nun der Romanisierungsprozess dieser Kulturäusserungen in *Aquae Helveticae* im Zentrum der Auswertung. Der Aufenthalt als eines der für das Jahr 1990/91 gewählten Mitglieder am *Istituto Svizzero di Roma* ermöglichte mir, nach der Gegenüberstellung mit der einheimischen Kultur der späten Latènezeit, das Badener Material auch mit der Bauweise und dem Keramikinventar in Italien, dem Kernland der römischen Kultur, zu vergleichen. Margot Schmidt, Ludwig Berger, beide Basel, und Daniel Paunier, Lausanne, verdanke ich, dass sie mich als Mitglied vorschlugen.

Martin Hartmann, dem damaligen Aargauischen Kantonsarchäologen, habe ich zu danken, dass er mir die Dokumentation und die Funde der Grabung 1977 überliess und mir stets den Zugang ins Funddepot und in die Archive bei der Kantonsarchäologie und im Vindonissamuseum gewährte. Dort wurde ich betreut von Claudia und Christian Holliger. Ein grosser Dank gebührt der Grabungsequipe von 1977, den Grabungstechnikern Peter Frei, Jörg Schumacher und insbesondere Johannes Weiss, sowie den Zeichner/innen Ruth Baur, Armin Haltinner und Benedikt Lüdin für die anregende Zusammenarbeit auf der Grabung trotz Hitze, Kälte und enormem Zeitdruck. Im weiteren schulde ich Helen Koller, Brugg, die 1987 und 1988 grosse Grabungen in unmittelbarer Nähe leitete, Dank für Mitteilungen und Diskussionen. Hugo W. Doppler, Baden, verdanke ich die Münzbestimmung. Die Beschreibung der beiden figürlichen Bronzen stammt von Annemarie Kaufmann-Heinimann, Basel; den Silen fotografierte Thomas Hartmann, Brugg. Die Identifizierung menschlicher Knochen im Material vermuteter Grabreste unternahm Liselotte Meyer-Hofmann, Bern. Stefanie Martin-Kilcher, Basel, konnte ich die Amphoren zur Begutachtung vorlegen. Ihnen allen sei für ihre Hilfe gedankt. Für Diskussionen und Literaturhinweise bin ich unzähligen Kolleginnen und Kollegen verpflichtet. Bei der Redaktion halfen Lilian Raselli-Nydegger, Bern, Brigit von Muralt, Genf, Ylva Backman, Solothurn, René Hänggi, Brugg, vor allem aber Debora Schmid, Augst. Benedikt Lüdin hat die Profil- und Grundrisspläne für die Publikation neu umgezeichnet. Ihm sei für die sorgfältige Arbeit und die schöne Zusammenarbeit herzlich gedankt. Grossen Dank schulde ich meinem Doktorvater, Ludwig Berger, der mit vielen Hinweisen und grosser Geduld meine Arbeit unterstützte und mich oft mit verschmitzter Ironie von meinen gedanklichen Höhenflügen auf den Boden der Realität zurückbrachte.

Die Drucklegung wäre nicht möglich gewesen ohne die grosszügige Unterstützung, vorab des Kantons Aargau, ebenso des Dissertationenfonds der Philosophisch-Historischen Fakultät sowie der Universität Basel; ihnen danke ich für die tatkräftige finanzielle Hilfe.

Bern, im März 1994/1996

Caty Schucany

Zusammenfassung

Die Grundlage der vorliegenden Arbeit bildet die Ausgrabung, die 1977 im Siedlungsbereich von Aquae Helveticae, dem römischen Baden stattfand. Folgender Befund war zu fassen (Kap. 3): Die römischen Schichten des bis zu einer Stärke von 1,20 m erhaltenen Paketes lassen sich fünfzehn Horizonten beziehungsweise Phasen zuordnen, die vier Perioden entsprechen, den Holzbauperioden I und II sowie den Steinbauperioden I und II.

Nach der Verlegung der vielleicht noch aus keltischer Zeit stammenden Strasse nach Süden, unter die heutige Römerstrasse, der Zuschüttung eines kleinen, eingetieften Pfostenhauses und der Planierung von Gräbern spätaugusteischer Zeit (Kap. 3.2.2.) dehnte man um 15/20 den entgegen der bisherigen Forschungsmeinung schon in augusteischer Zeit bestehenden Vicus nach Westen aus und errichtete auf der untersuchten Fläche zwei erste Häuser. Das noch am Rand der Siedlung gelegene Gelände war vorerst nur locker überbaut. Die Holzbauperiode I (Kap. 3.3.1.) wurde zweimal umgebaut: um 30 zu Phase 2 (Kap. 3.3.2.), um 40 zu Phase 3 (Kap. 3.3.3.). Es waren grosse, ziemlich langgezogene, in mehrere Räume unterteilte Bauten mit Rahmenwänden aus Schwellen, Ständern, einzelnen Pfosten und einer Ausfachung aus Holz oder unverputztem Lehmfachwerk. In Phase 1 waren die Räume axial angeordnet, in den Phasen 2 und 3 könnte man wegen einer Kombination Gang-artiger Räume in Hausmitte, die vielleicht zu einem Obergeschoss führte, von einer Dreiteiligkeit sprechen. Die Böden bestanden hauptsächlich aus Lehm.

Später verdichtete sich die Überbauung. Um 55 wurden die beiden Häuser der Holzbauperiode I durch neue ersetzt, und auf den benachbarten Parzellen errichtete man weitere Häuser. Die Bauten der Holzbauperiode II (Kap. 3.4.) waren bei gleicher Grundfläche etwas breiter, die Raumunterteilung dreiteilig. Erneut sind Hinweise auf ein Obergeschoss festzustellen. Das Traggerüst der Wände bestand wiederum aus Schwellen, Ständern und einzelnen Pfosten. Die Ausfachung bildete Lehmfachwerk, das teilweise mit manchmal sogar bemaltem Verputz versehen war, was den Eindruck eines Steinhauses vermittelte. Die Böden waren bei diesen aufwendiger ausgestatteten Häusern auch vermehrt mit Kalksteinsplittern verfestigt. In den Hinterhöfen fanden sich tiefe Gruben, die wohl als Keller dienten. Die Holzbauperiode II fiel im Jahre 69 der von Tacitus (*historia* I 67) erwähnten Plünderung des Badeortes durch die 21. Legion von Vindonissa zum Opfer.

Nach der gewaltsamen Zerstörung kam es zu einer Neuparzellierung des Geländes. Der Wiederaufbau fand nicht auf allen Parzellen gleichzeitig statt. Bei beiden erfassten Bauten der Steinbauperiode I (Kap. 3.5.1.) ist das nach dem Satz des Pythagoras zur Konstruktion des rechten Winkels erstellte Schnurgerüst in Mauern umgesetzt

zu fassen. Die Raummasse lassen sich auf Module zu 3 bzw. 5 Fuss zurückführen. Die neuen Häuser waren etwa doppelt so gross und mit fast quadratischem Grundriss nicht nur absolut, sondern auch in den Proportionen deutlich breiter als die vorangegangenen. Die Aussenwände waren gemauert, die Innenwände bestanden aus Rahmen von Schwellen und Ständern, ausgefacht mit Lehmfachwerk. Mit dem beidseits angebrachten Verputz vermittelten auch sie den Eindruck gemauerter Wände. Die Böden waren mit Lehm, Mörtel oder Kalksteinsplittern erstellt. Die Dächer waren nicht mehr mit Schindeln oder Stroh, sondern mit Ziegeln gedeckt. Bei den tiefen Kellern in den Hinterhöfen ist ebenfalls eine Verfestigung der Bauweise zu beobachten: Sie waren als trocken gemauerte Schächte errichtet. Da es durch unüberlegtes Planieren und Aufschütten mit ungeeignetem Material zu starken Setzungen kam, mussten die Häuser der Steinbauperiode I in der Folge in der relativ kurzen Zeitspanne von rund hundert Jahren dreimal umgebaut werden. Phase 2 (Kap. 3.5.2.), Phase 3 (Kap. 3.5.3.) und Phase 4 (Kap. 3.5.4.) dauerten im Durchschnitt nur je fünfzehn Jahre. Die Letztgenannte fiel um 125/135 einem Feuer zum Opfer, das aber weniger zerstörerisch war als jenes der Holzbauperiode II, so dass die Häuser sich renovieren liessen. Da man in Phase 5 (Kap. 3.5.5.) mit geeigneten Planien die statischen Fehler der Vergangenheit korrigierte, kam es erst nach einer Generation zu Umbauten. Die Böden waren zur Hauptsache mit Kalksteinsplittern erstellt. Im 3. Viertel des 2. Jh. fiel die Phase 6 (Kap. 3.5.6.) einem weiteren, diesmal vernichtenden Brand zum Opfer, der in Zusammenhang mit Einfällen der Chatten, dem Markomannenkrieg oder inneren Unruhen stehen könnte.

Beim Wiederaufbau um 175, dem vielleicht ein kurzer Siedlungsunterbruch voranging, kam es bei der Steinbauperiode II (Kap. 3.6.1.) zu einer Halbierung der Parzellen. Darin könnte sich eine Verdichtung der Siedlung bemerkbar machen. Die neuen Häuser waren bei etwa gleichbleibender Grundfläche schmaler, dafür aber wesentlich länger. Die seitlichen Wände wurden erneut als Mauern aufgeführt, damit sie ihre Funktion als Brandmauern erfüllen konnten. Die Frontwände hingegen bestanden aus Fachwerk. Die Innenwände blieben der bewährten Lehmfachwerktechnik treu. Mit dem Verputz wirkten aber alle Wände unabhängig von ihrer Bauweise wie Mauern. Die Böden bestanden mehrheitlich aus Kalksteinsplittern. Die Dächer waren mit Ziegeln gedeckt. Auch die Steinbauperiode II wurde mehrmals umgebaut. Die ersten drei Umbauphasen (SP II.2–4) waren nur noch in wenigen Resten erhalten (Kap. 3.6.2.). Sie datieren ins späteste 2./frühe 3. Jh. Funde aus einzelnen Schächten in der Hinterhofzone – die Kelleranlagen blieben ihrer Konstruktionsweise treu – und entsprechende Münzen aus den obersten, nicht mehr

zuweisbaren Schichten zeigen, dass die Besiedlung des Gebietes im mittleren 3. Jh. noch andauerte. Das Gelände lag aber ausserhalb des im späten 3. Jh. oder im 4. Jh. durch eine Mauer befestigten Bäderquartiers (Kap. 3.8.1.).

Dank der ausserordentlich fein unterteilten Stratigraphie, der zu entsprechen es der Grabungstechnik weitgehend gelungen war, lassen sich die Funde zu schnell aufeinanderfolgenden Ensembles zusammenfassen, was zu einem ungewöhnlich feinmaschigen Datierungsnetz führt (Kap. 5). Die Phasen beziehungsweise Ensembles umspannen innerhalb der erfassten Belegungszeit von rund 200 Jahren, vom frühen 1. Jh. bis zum spätesten 2./frühen 3. Jh., sehr kurze Zeitabschnitte von knapp 10 bis höchstens 30 Jahren. Eine derart feine chronologische Unterteilung hätte mit den Funden allein und im Vergleich mit den mehr oder weniger fest datierten Referenzkomplexen und Fundplätzen römischer Zeit (Kap. 13), auf die sich die Datierung der provinzialrömischen Archäologie abstützt, nicht vorgenommen werden können. Da der Vermischungsgrad mit Ausnahme der beiden jeweils durch den Bau von Mauern beeinträchtigten ersten Phasen der Steinbauperioden erstaunlich gering ist, lassen sich die Keramik (Kap. 4.2.–4.5.) – 1732 Randscherben – und die übrigen Kleinfunde – 161 Münzen (Kap. 4.6.), 35 Glasobjekte (Kap. 4.7.), 65 Bronze- (Kap. 4.8.), 15 Eisengegenstände (Kap. 4.9.), 8 Objekte unterschiedlicher Beschaffenheit (Kap. 4.10.) – im zeitlichen Vorkommen genauer fassen. Ihre Entwicklung lässt sich in einer bisher selten möglichen Art Schritt für Schritt aufzeigen. Nur die Phasen des spätesten 2./frühen 3. Jh. fallen ihrer Fundarmut bzw. des hohen Vermischungsgrades wegen etwas ab.

Die Bearbeitung der Keramik ist im Hinblick auf die Diskussion des Romanisierungsprozesses (Kap. 9) in die entsprechenden Gruppen aufgegliedert: Import (Kap. 4.2.), Keramik römischer Tradition (Kap. 4.3.), Keramik mit keltischer Form und römischer Technik (Kap. 4.4.) sowie Keramik keltischer Tradition (Kap. 4.5.). Sie vertieft bzw. präzisiert bisherige Erkenntnisse insbesondere für die Keramikentwicklung im früheren und mittleren 2. Jh. So zeigt sich etwa, dass in *Aquae Helveticae* bei der Terra Sigillata (Kap. 4.2.1.) bis weit ins 2. Jh. hinein die südgallischen Produkte dominierten. Die TS-Imitationen des 1. Jh. entwickelten sich im 2. Jh. weiter. Bei einigen häufig auftretenden Typen lassen sich späte Ausformungen von frühen absetzen, so etwa bei den Tellern Drack 3 und Drack 4B sowie der Schüssel Drack 19 der TS-Imitation (Kap. 4.3.2.), bei den Reibschüsseln (Kap. 4.3.6.), bei den Schüsseln Drack 21, und zwar bei der rottonigen Variante mit Überzug wie auch bei der grautonigen sowie bei der schwarzen Schüssel Drack 20 (Kap. 4.4.1.; 4.5.2.).

Der Romanisierungsprozess von *Aquae Helveticae* zeichnet sich in der Bauweise und der Keramik ab (Kap. 6–9). Die Auseinandersetzung mit diesem Akkulturationsprozess auf theoretischer Basis (Kap. 6) führt zur Ver-

mutung, dass vor allem Statussymbole übernommen werden, während die täglichen Lebensgrundlagen weitgehend bestehen bleiben. Dies bestätigt sich in *Aquae Helveticae* (Kap. 9.1.). Bei den Häusern, die wohl als Statussymbole anzusehen sind, brach in frühüberischer Zeit die Bauweise vollständig mit der keltischen Tradition (Kap. 7.1.). Die grossen, unterteilten, langen Häuser mit stabilen Rahmenwänden setzen sich grundlegend von den kleinen, kurzrechteckigen, einzelligen wackeligen Pfostenhütten keltischer Zeit ab, an die nur das spätaugusteische Grubenhaus mit seiner Pfostenkonstruktion erinnert. Die neue Bauweise orientierte sich aber weniger an den massiv gebauten Vicushäusern Italiens, obwohl die Grundrisse sich durchaus entsprechen; vielmehr ist sie, mindestens für das frühere und mittlere 1. Jh., von den Mannschaftsunterkünften der nahen Legionslager herzuleiten (Kap. 8.1.). Ab flavischer Zeit verstärkte sich mit dem Bau breit zur Strasse hingewendeter, massiver Steinhäuser der Einfluss der Bauweise der Kolonien, der vielleicht schon in neronischer Zeit in den für Vicusbauten ungewöhnlich breiten Proportionen zu erkennen ist. Dieser Einfluss städtischer Architektur scheint eine Besonderheit von *Aquae Helveticae* zu sein, denn im Vergleich mit anderen Vici (Kap. 10.1.) waren die Häuser deutlich breiter und folgten rascher der Entwicklung zum massiven Steinhaus. Die Romanisierung der Bauweise vollzog sich schneller und tiefgreifender. Dies bestätigt den Bericht des Tacitus (*historia* I 67), *Aquae Helveticae* sei in der Art eines *Municipium* erbaut.

Auch das Tafelservice, das als eigentliches Vorzeigeschirr ebenfalls als Statussymbol anzusehen ist, stand in *Aquae Helveticae* (Kap. 9.2.) von Beginn an, seit spätaugusteischer Zeit, vorwiegend (60%) in römischer Tradition (Kap. 8.2.). In flavischer Zeit verstärkte sich der Einfluss noch. Für die in der Forschung für das 2. Jh. vermutete Renaissance keltischer Formen und Techniken finden sich keinerlei Hinweise.

Bei der Analyse des Spektrums der Grundformen zeigt sich, dass die im Süden beliebten grossen Auftragsplatten ziemlich schnell verschwanden und durch Schüsseln ersetzt wurden. Offenbar wollte man die Speisen in ihrem Sud auf den Tisch bringen und nicht sozusagen trocken. Der Bedarf an Schüsseln war sogar so gross, dass er nicht mit solchen römischer Form gedeckt werden konnte, sondern das Angebot mit Schüsseln keltischer Form ergänzt werden musste. Mit dem Eintauchen in einen Glanztonüberzug, einer von den Römern übernommenen Technik, versuchte man aber einem Teil von ihnen ein römisches Aussehen zu verleihen, sie zu romanisieren. Gleiches ist auch bei den Trinkbechern des 2. Jh. zu beobachten. Sie standen in der ganzen Zeit zur Hauptsache in keltischer Tradition (Kap. 7.2.), sei es, weil der Unterschied zu den Bechern römischer Form eher gering war, sei es, dass man hier etwas anderes trank als im Süden, die Art des Getränkes aber die Form bedingte.

Mit einer Ausnahme übernahm man alle um die Zeitwende in Italien gebräuchlichen Geschirrformen. Einzig die grossen Wasserbecken fanden nördlich der Alpen kaum Verwendung. Die Anteile der Gattungen im Spektrum blieben meist unter den dortigen Werten. Die Entwicklung der Keramik hingegen entsprach sich weitgehend.

Das Kochgeschirr hingegen blieb die ganzen 200 Jahre weitgehend der keltischen, ja einer ausgesprochen regionalen Tradition verhaftet. Weder die Kochschüssel, die Hauptform in Italien seit der Mitte des 1. Jh. n. Chr., noch die Kochtöpfe römischer Form konnten sich verbreiten,

geschweige denn sich gegenüber den oft noch handgefertigten Kochtöpfen keltischer Tradition durchsetzen. Vielmehr glich man die seltenen Ausnahmen im Ausmass dem wesentlich kleineren Kochgeschirr keltischer Tradition an.

Im Vergleich zu anderen Vici (Kap. 10.2.) zeigt sich, dass die Entwicklung der Keramik, insbesondere der Romanisierungsprozess, zwar überall einem ähnlichen Schema folgte, in *Aquae Helveticae* aber schneller und intensiver verlief. Ob dies auf die Nähe des Legionslagers *Vindonissa* zurückzuführen ist oder am stärkeren Einfluss der Kolonien, wie er etwa bei der Bautechnik festzustellen ist, liegt, müssen künftige Forschungen abklären.

Résumé

La fouille en 1977 d'un secteur d'*Aquae Helveticae* – l'antique Baden – constitue la base de cette étude. L'analyse de la zone explorée a permis de reconnaître, au sein des niveaux archéologiques conservés sur près de 1.20 m d'épaisseur, 15 horizons distincts; ils révélant deux périodes de bâtiments en bois (HP I/II) précédant deux périodes de demeures maçonnées (SP I/II).

Le comblement d'un petit édifice en bois semi-enterré et d'une série de tombes tardo-augustéennes (chap. 3.2.2.) ainsi que le déplacement vers le sud, sous l'actuelle Römerstrasse, de la voie dont l'origine remonte peut-être à l'époque celtique, sont le prélude d'une expansion vers l'Ouest du vicus, traduite par la construction de deux bâtiments en bois vers 15/20 ap. J.-C.

Le terrain exploré, alors encore en périphérie de l'agglomération, n'a été que partiellement bâti. Les structures en bois de la première période (HP I.1, chap. 3.3.1.) furent par deux fois reconstruites, vers 30 ap. J.-C. (phase 2, chap. 3.3.2.) et vers 40 ap. J.-C. (phase 3, chap. 3.3.3.). Les bâtiments reconnus sont de plans quadrangulaires allongés et subdivisés en plusieurs locaux. Leur parois comportent une armature composée de sablières, de montants et de poteaux, les vides étant comblés par un hourdis en bois ou du clayonnage dépourvu d'enduits pariétaux.

Les locaux de la phase 1 sont disposés axialement tandis que ceux des phases 2 et 3 sont ordonnés selon un plan tripartite: ils sont séparés au milieu de l'édifice par un couloir ou une cage d'escalier donnant peut-être accès à un étage. Les sols sont en terre battue.

Les constructions de la parcelle furent ensuite densifiées (HP II). Les deux bâtiments évoqués furent remplacés vers 55 ap. J.-C. par de nouvelles maisons auxquelles furent adjointes d'autres demeures (chap. 3.4.). De dimensions presque analogues, ces édifices étaient toutefois un

peu plus larges; la distribution tripartite de leurs locaux révèle à nouveau l'existence probable d'un étage. L'armature de leurs parois en clayonnage demeure inchangée; elles sont cependant parfois recouvertes d'un enduit pariétal peint qui créait l'illusion d'une demeure édifiée en maçonnerie. Les sols de ces bâtiments étaient souvent renforcés par des éclats de calcaire. Les arrières-cours abritaient des fosses profondes vraisemblablement utilisées comme des caves. Les pillages exercés par la 21^e Légion de *Vindonissa* en 69 ap. J.-C., relatés par Tacite (*historia* I 67), sont à l'origine de la destruction des maisons de la période II.

Un remembrement parcellaire intervient à la suite de ce désastre; la construction des nouvelles demeures (SP I.1) occupant ce lieu n'est pas simultanée (chap. 3.5.1.). Les dimensions des locaux laissent supposer que les murs et les parois étaient élevés selon le précepte de Pythagore déterminant les anges droits: Elles sont établis selon 4 modules de 3 à 5 pieds romains. Les nouvelles bâtisses, de plan presque carré, sont presque deux fois aussi grandes que les édifices antérieurs. Leurs murs de façade étaient maçonnés tandis que les murs de refend, réalisés en clayonnage sur une ossature en bois, étaient enduits sur leurs deux faces, ce qui leur conférait également l'aspect de maçonneries. Les sols étaient composés de terre battue, mais également de mortier et d'éclats de calcaire. La couverture des bâtiments était désormais assurée par des tuiles et non par des bardeaux ou du chaume. Les caves des arrières-cours sont également consolidées: elles sont dorénavant délimitées par des murs en pierre sèche. Les demeures de la première période maçonnée ont dû être consolidées à trois reprises en moins d'un siècle car elles furent élevées sur des remblais formés de matériaux médiocres qui se tassèrent considérablement. Chacune des phases 2 (chap. 3.5.2.), 3 (3.5.3.) et 4 (3.5.4.) ne durèrent en moyenne qu'une quinzaine d'an-

nées. La dernière phase évoquée fut détruite entre 125 et 135 de notre ère par un incendie moins ravageur que le précédent (HP II), puisque les maisons purent être restaurées. Le rythme des transformations, perceptibles qu'à partir de la génération suivante, se ralentit grâce aux terrassements entrepris lors de la phase 5 afin de corriger les désordres statiques provoqués par les remblais antérieurs (chap. 3.5.5.). Les sols étaient alors en général constitués d'éclats de calcaire. Un nouvel incendie anéantit ces bâtiments (phase 6, chap. 3.5.6.); peut-être fut-il provoqué par des troubles sociaux, des raids des Chattes ou encore un épisode de la guerre des Marcomans.

Lors de la reconstruction des édifices (SP II), survenue vers 175 ap. J.-C. peut-être après une brève période d'abandon, une division en deux des parcelles explorées devient manifeste, témoignage probable d'une densification de l'agglomération (chap. 3.6.1.). Les nouvelles demeures sont plus étroites et plus allongées que les précédentes. Leurs façades latérales, conçues comme des coupe-feu, furent édifiées en maçonnerie, tandis que les façades frontales furent édifiées en clayonnage. Les galandages internes furent à nouveau réalisés selon la technique ancestrale du clayonnage sur une ossature en bois. L'impression créée par les murs demeurait cependant homogène, toutes les parois étant dotées d'un enduit chaulé. La majorité des sols était formée d'éclats de calcaire et les toits composés de tuiles. Cette seconde période maçonnée fut elle aussi plusieurs fois transformée. Les trois premières phases de modifications (SP II.2–4) sont très mal conservées (chap. 3.6.2.); elles s'échelonnent entre la fin du 2^e et le début du 3^e s. Les objets recueillis dans les caves de cette période accompagnés de quelques monnaies hors contexte stratigraphique précis témoignent d'une continuité d'habitat jusqu'au milieu du 3^e s. Le terrain exploré se situe toutefois en dehors du périmètre fortifié des thermes, encore fréquentés entre la fin du 3^e et le 4^e s. (chap. 3.8.1.).

Le mobilier, recueilli au sein d'une stratification particulièrement fine, peut, grâce à une technique de fouille appropriée, être regroupé dans des ensembles se succédant rapidement dans le temps. Ils offrent ainsi un faisceau de datations d'une finesse peu commune (chap. 5.). Les horizons identifiés au sein de l'occupation générale du secteur, comprise entre le début du 1^{er} et le début du 3^e s., représentent des courts laps de temps dont la durée varie entre 10 ans à peine et trois décennies au maximum. En regard des complexes des autres sites gallo-romains (chap. 13) qui, bien que moins précisément datés, servent de base aux datations avancées par l'archéologie gallo-romaine actuelle, une subdivision chronologique aussi fine n'aurait pu être entreprise sur la base des seuls objets. Exception faite des perturbations liées aux premières phases respectives des deux périodes maçonnées, le degré de mélange étonnamment faible du mobilier permet de saisir étape par étape l'évolution de la céramique qui comporte 1732 bords

(chap. 4.2.–4.5.) ainsi que celle des autres objets, soit 161 monnaies (chap. 4.6.), 35 récipients en verre (chap. 4.7.), 65 artefacts en bronze (chap. 4.8.), 15 en fer (chap. 4.9.) ainsi que 8 objets en matériaux divers (chap. 4.10.). Seules les phases de la fin du 2^e et du début du 3^e s., perturbées et pauvres en mobilier, sont de moindre valeur.

En vue du processus de la romanisation, la céramique est subdivisée en plusieurs catégories: les céramiques d'importation (chap. 4.2.), celles de provenance régionale mais de tradition romaine (chap. 4.3.), celles de tradition celtique mais de technique romaine (chap. 4.4.) et enfin celles de tradition celtique (chap. 4.5.). Cette approche offre un éclairage approfondi et plus précis en particulier pour l'évolution de ce mobilier entre le début et le milieu du 2^e s. de notre ère. Ainsi, le site d'Aquae Helveticae souligne la prédominance des sigillées de Gaule méridionale en plein 2^e s. ap. J.-C. (chap. 4.2.1.) ainsi que le développement contemporain des imitations régionales de sigillées (TSI), auparavant surtout documentées au 1^{er} s. ap. J.-C. L'évolution typologique de certaines formes de TSI pendant cette période (les assiettes Drack 3 et Drack 4b ainsi que les coupes Drack 19, chap. 4.3.2., Drack 20 et 21, chap. 4.4.1. et 4.5.2.) a pu être ainsi déterminée.

Le processus de romanisation observé à Aquae Helveticae transparait au travers des méthodes de construction et des céramiques (chap. 6–9). L'analyse théorique de cette acculturation (chap. 6.) permet de supposer une adoption rapide des symboles de standing alors que les fondements de la vie quotidienne demeurent pendant longtemps inchangés. Ainsi, la technique de construction des maisons, considérées comme des étalons sociaux plausibles, dévoile une rupture complète au cours de l'époque tibérienne précoce en regard des traditions celtiques (chap. 7.1.). Les grandes demeures de plan allongé, compartimentées par des murs stables en ossature de bois, sont radicalement différentes du volume unique des cabanes quadrangulaires aux parois supportées par des pieux de moindre stabilité. Les plans de ces nouveaux édifices ne ressemblent guère dans leur nature à ceux des habitations massives rencontrées dans les vici italiens; jusque vers le milieu du 1^{er} s. ap. J.-C., ils s'inspirent de la disposition caractéristique des cantonnements militaires bien connus dans le camp de légion voisin (chap. 8.1.). Les bâtiments maçonnés larges et tournés vers la rue, observés dès l'époque flavienne, sont analogues à ceux rencontrés dans les colonies; cette similitude transparait déjà probablement pour les édifices en bois de l'époque néronienne. L'influence marquée de l'architecture urbaine à Aquae Helveticae semble être une particularité en regard des autres vici (chap. 10.1.), les maisons étant plus larges et leur évolution vers la maçonnerie étant plus rapide. La romanisation du mode de construction semble donc plus rapide et plus profonde, confirmant ainsi Tacite (*historia* I 67) pour qui Aquae Helveticae était bâtie comme un municipium.

Le service de table, également considéré comme un étalon social, se décline en majorité selon la tradition romaine dès l'époque tardo-augustéenne (60%, voir aussi chap. 8.2.). Cette influence se renforce encore pendant l'époque flavienne et ne laisse transparaître aucune renaissance celtique dans le courant du second siècle de notre ère.

L'analyse du spectre formel rencontré révèle la disparition relativement précoce des grands plats de service tellement appréciés dans l'Europe méridionale et leur remplacement par des coupes. Cette modification correspond probablement au désir de présenter sur la table les mets dans leur jus. Le besoin de coupes et de jattes devint si prépondérant que l'offre fut complétée par des formes de tradition indigène dont certaines furent «romanisées» par l'adoption de la technique de l'engobe. Une évolution analogue est également perceptible pour les gobelets du 2^e s. ap. J.-C. Ils s'inscrivent de tous temps dans la tradition celtique (chap. 7.2.), soit de par leur faible différence en regard des gobelets de tradition romaine, soit de par la nature différente des boissons, l'art de boire conditionnant la forme.

A l'exception des grands bassines, apparemment inutiles au Nord des Alpes, l'ensemble de la vaisselle de table

utilisée au début de notre ère en Italie fut adopté sur le Plateau. En dépit de leurs évolutions respectives majoritairement communes, le pourcentage des formes d'inspiration italique rencontrées en Suisse demeure inférieur qu'en Italie.

En revanche, la céramique culinaire demeura, au cours des deux siècles considérés, ancrée dans la tradition celtique, voire même dans une de ses manifestations d'ordre très local. Ni les jattes culinaires italiques – la principale forme rencontrée en Italie à partir du milieu du 1^{er} s. – ni les pots à cuire de tradition romaine ne purent être diffusés à Baden ni même concurrencer sérieusement les marmites régionales, encore bien souvent façonnées à la main.

La comparaison entre ces données et celles fournies par d'autres vici (chap. 10.2.) souligne un développement des céramiques et du processus de romanisation somme toute partout similaires; ils furent cependant plus rapides et plus intenses à *Aquae Helveticae*. Il appartiendra à des recherches futures d'établir si cette précocité découle de la proximité du camp militaire de Vindonissa ou d'une influence plus marquée des colonies, qui transparaît si clairement au travers des techniques de construction.

Traduction Marc-André Haldimann

Summary

The excavations of 1977 in the settlement area of *Aquae Helveticae*, the Roman «Baden», are the basis for this paper. It comprises of the following finding (chap. 3): The Roman strata of the cut of 1.20 m thickness can be divided into 15 horizons or phases, resp., corresponding to four periods – the wood construction periods I and II and the stone construction periods I and II.

The vicus which – as opposed to opinions expressed until now – already existed in the Augustean period had been expanded to the West around 15 to 20 AD, and two primary buildings had been erected in the area investigated. This expansion had been accomplished after the relocation of the possibly Celtic road to the South underneath the Roman road of today, and after a small lowered pile house and some graves of the late Augustean period (chap. 3.2.2.) had been filled up and levelled out. The terrain at the edge of the settlement was only sparsely settled. Buildings in the wood construction period (chap. 3.3.1.) had been rebuilt twice: around 30 AD into phase 2 (chap. 3.3.2.), around 40 AD to phase 3 (chap. 3.3.3.). The edifices were large, rather oblong constructions with separate rooms,

built with framed walls made from threshold beams, pillars and single piles, and a frame work of wood and unplastered loam. In phase 1, the room had been arranged axially; in phase 2 and 3 one could speak of a threefold structure due to a combination of a corridor type room in the middle of the house which led to a possible upper floor. The ground floors were mainly made of loam.

Later the settlement was inhabited more densely. Around 55 AD, the two houses of the wood construction period I had been replaced by new ones, and new houses were erected on the neighbouring grounds. The buildings of the wood construction period II (chap. 3.4.) were somewhat wider at a same base area, the room pattern being again tripartite. Here as well indications for an upper floor have been found. The scaffold for the walls was again threshold beams, pillars and single piles. The frame work was made of loam, in some houses even covered with decorated plaster. The ground floors, in these more complicatedly built houses, had been increasingly hardened by adding broken lime-stone. In the courtyard deep pits were found, obviously having been used as cellars. The wood

construction period II ended 59 AD with the plundering of the *thermae* by the 21st legion from Vindonissa, as mentioned by Tacitus (*historia* I, 67).

After the violent destruction, new parcelling-out was initiated, but it did not take place all at once. The two buildings of the stone construction period I which are described here (chap. 3.5.1.) revealed a structure according to the thesis of Pythagoras, having been used to build a string scaffold for the erection of the walls. The dimensions of the rooms are based on modules of three or five feet, resp. The new houses were approximately twice as large as the preceding ones, and with their square ground area they are not only absolutely, but also in their proportions significantly wider than the former. Outer walls were made of limestone, inner wall frame with threshold beams and pillars, gaps being filled with loam. Using plaster, the surface of latter made the impression of also being made of bricks. Loam, mortar and lime-stone chips had been used to form the ground floors. Roofs no longer consisted of shingles nor straw, but were covered with tiles. The deep pits in the court yards were fortified. They now were built as dry brick-stone shafts. The houses of the stone construction period I had to be renovated three times in the rather short time-span of about 100 years. The reason for this were severe ground settings due to thoughtless levelling out and filling up with unsuitable material. Each one of the phases 2 (chap. 3.5.2.), 3 (chap. 3.5.3.) and 4 (chap. 3.5.4.) lasted 15 years only, in average. Phase 4 was destroyed by a fire in 125/135 AD, which was less catastrophic than that one of the wood construction period II; thus, the houses could have been renovated. In phase 5 (chap. 3.5.5.), mistakes of the past regarding statics had been corrected, and renovations were only necessary after one generation. Limestone chips had been used to form the ground floor. In the 3rd quarter of the 2nd century AD, phase 6 (chap. 3.5.6.) was now completely devastated by a fire, possibly in connection with the invasion of Chattes, the war with the Marcomans or due to probable inner unrest.

When rebuilding was done in the stone construction period II (chap. 3.6.1.) after a short settlement break, the claims were practically cut in halves. This may prove a denser building set-up. The new houses were somewhat narrower, but much longer, at the same ground areas as before. Side walls were made of bricks, thus constituting fire-proof partitions. Front walls were executed as frame works, whereas the inner walls remained being time-tested loam-frame constructions. Using plaster, all walls resemble masonry, independent of their real construction. Floors again consisted of lime-stone chips, and roofs were covered with tiles. This period II had also been rebuilt a few times. Only little remnants (chap. 3.6.2.) remained of the first three rebuilding phases (SP II.2–4). They date from the late 2nd/early 3rd century AD. Finds from some shafts and pits in the courtyards – cellars were changed regarding

their style of construction – and some coins from upper, undeterminable layers prove that the settlement still existed in the middle of the 3rd century. The area, however, was situated outside of the bath-house quarter (chap. 3.8.1.) which was fortified in the late 3rd or in the 4th century AD by a wall.

The finds could be summarised to belonging to immediately following cultural layers. This could be shown thanks to the extremely finely divided strata and advanced excavation techniques. Extraordinarily minute data-mesh was obtained (chap. 5). The single phases (or cultural layers, resp.) – within the analyzed dwelling period of about 200 years from the early first to the late 2nd/early 3rd century – could be pinned down to periods of time of 10 to max. 30 years. Such precise chronological distinction could not have been achieved with the finds alone nor by comparing the more or less fixed dates of reference complexes and sites of Roman times (chap. 13), which both form the basis of provincial-Roman archeology. With the exception of the first two phases of the stone construction period which were infringed by the building of walls, the degree of mixes of various cultural periods is surprisingly low, and ceramics (chap. 4.2–4.5.; some 1732 rim-sherds and the rest of small finds (161 coins, chap. 4.6.; 35 glass objects, chap. 4.7.; 65 bronze parts, chap. 4.8.; 15 iron objects, chap. 4.9.; 8 objects of different constitution, chap. 4.10.) could be exactly dated. Their evolution could be followed step by step, with a precision rarely seen before. Only the phases of the late 2nd/early 3rd century could be analysed less precisely, as the finds were now less frequent and their degree of mixing up was higher.

Evaluation of ceramics has been separated in corresponding groups within the scope of discussing the Romanization process (chap. 9): import (chap. 4.2.), ceramics of Roman tradition (chap. 4.3.), ceramics with Celtic design and Roman techniques (chap. 4.4.) and ceramics with Celtic traditions (chap. 4.5.). The result underpins and solidifies understandings gained so far, especially for the development of ceramics in the early and middle 2nd century. Thus, it can be shown that South-Gallia products made of Terra Sigillata (chap. 4.2.1.) were dominant in *Aquae Helveticae* until the late 2nd century. The TS-imitations of the first had been developed further in the 2nd century. Some more frequently found types could be separated into earlier and later species, e.g. the plates Drack 3 and Drack 4B, as well as the dish Drack 19 of the TS-imitation (chap. 4.3.2.), mortars (chap. 4.3.6.), dishes Drack 21, especially the variant carrying a coating and the gray clay variant and the black dish Drack 20 (chap. 4.4.1.; 4.5.2.).

The Romanization process in *Aquae Helveticae* becomes evident in the style of building constructions and ceramics (chap. 6–9). Taking the issue with this culturization process on a theoretical basis (chap. 6), one is led to the assumption that primarily status symbols had now

been adapted, whereas every-day-life structures remain unchanged. This fact is proven for *Aquae Helveticae* (chap. 9.1). Houses obviously served as status symbols, and in the early Tiberian period the type of construction broke completely with the Celtic tradition (chap. 7.1.). The large, partitioned, long houses with strong framed walls differed completely from the small, short and oblong, one-roomed and shaky pile houses of Celtic times. Only the late Augustean pit houses with their pile construction resembled houses of those times. The new building techniques did not fix their position by just copying massively built Italian-style vicus houses, however, (although ground plans were similar). They could rather be deducted from barracks of the nearby legionnaires' camps (chap. 8.1.), at least for the early and middle 1st century. From the Flavian period onward the influence of the colonies' building techniques grew stronger, especially that one of the broad, massive stone buildings facing the streets. This influence can already be seen in the Nero period when observing those wide proportions, unusual for vicus buildings. This influence by urban architecture seems to be specific to *Aquae Helveticae*, since compared to other vici (chap. 10.1.) the houses were distinctly wider and followed the development to the massive stone house much faster. The Romanization of the construction style was quicker and more intensive. Tacitus reported (*historia* I, 67), *Aquae Helveticae* be built in the style of a «municipium». Cutlery, also to be seen as a status symbol, was of Roman tradition (chap. 8.2.) in *Aquae Helveticae* to 60% (chap. 9.2.) from the late Augustean period onward. In the Flavian period, this influence enhanced. Research assumes a renaissance of Celtic designs and techniques in the 2nd century, but no evidence has been found.

Analysis of the basic form of ceramics revealed that the huge serving plates, much preferred in the South, disappeared rather quickly, having been replaced by dishes. Ob-

viously people wanted to serve the food warm, in its juices and not dried out. The demand for dishes was such that it could not be covered by Roman type dishes alone, and dishes of Celtic design must have served as additional source. By dipping latter into a glossy-coating bath – a technique taken over from the Romans – it was attempted to give a «Roman touch» to at least a part of the products. The same could be observed for drinking cups of the 2nd century. Most of these were of Celtic tradition for the whole period (chap. 7.2.), maybe because the difference to cups of Roman design was rather small or maybe people had different drinking habits here as compared to the South, the type of drinks ruling the design of the cup.

With one exception, all earthenware designs used in Italy at the turn of time have been adapted: Only the huge water basins had not been used north of the Alps. Portions of the various types in the spectrum mostly remain below those of the Italian motherland. However, the development of ceramics was very similar. Earthenware used for cooking was mainly kept in Celtic, even local traditions for the 200 years in question. Neither the cooking bowl (main type of pans in Italy since the middle of the 1st century AD) nor the pots of Roman design could spread out largely, let alone replace the mostly handmade ceramics of Celtic design. The rare exceptions were simply replicas of the substantially smaller pots of Celtic origin.

As compared to other vici (chap. 10.2.), the development of ceramics, especially that one of the Romanization process, follows a similar line everywhere, but it grew faster and more intensive in *Aquae Helveticae*. It remains to be proven by further research activities, whether this is due to the vicinity of the legionnaires' camp Vindonissa or to the influence of the colonies, as can probably be seen when looking at architectural techniques.

Translation Peter W. Stamer

I. Einleitung

1. Methodische Vorbemerkungen

1.1. Zielsetzung

Die Grundlage der vorliegenden Arbeit ist die Grabung, die im Jahre 1977/78 an der Römerstrasse in Baden stattfand, ihr Befund, ihre Baustrukturen und ihre Funde. Diese sind als Quellen anzusehen, die ausgewertet werden können. Als erstes gilt es, sie so vorzulegen, dass die auf sie bauende Argumentation einleuchtet. Die aufgrund des Befundes erarbeitete Abfolge der Siedlungsphasen und der dazugehörigen Fundensembles sind vor jeder weiteren Auswertung in einen absoluten zeitlichen Rahmen zu stellen. Erst dann kann versucht werden, in Umkehrung des Satzes von Max Weber (1922, 3): «Jedes Artefakt ... ist lediglich aus dem Sinn deutbar und verständlich, den menschliches Handeln ... der Herstellung und Verwendung dieses Artefakts verlieh ...», ein Beispiel des «menschlichen Handelns», nämlich die Romanisierung in einer gallo-römischen Kleinstadt, aus eben diesen Artefakten – Baustrukturen/Funde – herauszulesen und zu verstehen.

Der Romanisierungsprozess steht im Vordergrund der Untersuchung. Andere Beispiele «menschlichen Handelns», die sich ebensogut anhand der vorliegenden Quellen herausarbeiten liessen, werden nur angetönt. Die Siedlungsgeschichte von *Aquae Helveticae* etwa zu beschreiben, wäre verfrüht angesichts neuer grosser Grabungen, deren Auswertung zur Zeit noch im Gang ist¹. Andere Themen lassen sich ohne weitere, spezielle Analysen, die nicht durchzuführen waren, nicht sinnvoll beleuchten. Insbesondere ist eine Diskussion über das wirtschaftliche Funktionieren des in der Grabung angeschnittenen Quartiers oder die Handelsbeziehungen ohne naturwissenschaftliche Analysen der Knochen, Schlacken und der Keramik nicht sinnvoll.

1.2. Vorgehen und Organisation der Arbeit

Befund, Baustrukturen und Funde einer Grabung sind Phänomene, Erscheinungen einer historischen Realität; sie sind nicht diese selbst. Sie sind Spuren einer vergangenen Wirklichkeit, Wirkung einer Ursache, Indizien, die indirekt eine gewesene Welt erschliessen². Wie die Wirklich-

keit am eigenen Leib erfahren werden muss, sind auch die Spuren vom Menschen zu lesen, um erkannt zu werden. Damit tritt zur Indirektheit des Indizes als Abdruck der Wirklichkeit eine weitere Gebrochenheit hinzu. Denn der Mensch kann die Wirklichkeit nur vermittelt durch sich selbst erleben (Plessner 1928, 31ff.), nicht an sich. Stets schiebt sich sein Wissen von den Dingen als Etwas zwischen ihn und die Dinge. Diese, obwohl als konkrete Objekte vorhanden, lassen sich nur subjektiv erfahren. Antworten kommen nur auf Fragen, die man stellt. Was nicht gefragt wird, bleibt, obwohl vorhanden, verborgen, unzugänglich.

Die Erkenntnis der Wirklichkeit, die einst in dem in der Grabung untersuchten Gebiet herrschte, hängt davon ab, wieviele Phänomene wir gesehen haben, ob es relevante sind und, ob wir sie richtig lesen, deuten können. Alle erfassten Phänomene sind, um die gewesene Wirklichkeit zu verstehen, aufeinander zu beziehen und möglichst widerspruchsfrei in ein Modell einzuhängen, das durch die Phänomene zwar mit der einstigen Realität als deren Abdruck verbunden ist, aber nicht diese Wirklichkeit in all ihren Aspekten, in ihrer Ganzheit offenbart, geschweige denn sie ist. Dies ist nicht einfach, denn die archäologischen Phänomene spielen sich in einem sozusagen sechs-dimensionalen Raum ab: Sie befinden sich als räumliche Gebilde in den drei Dimensionen des Raumes: sie sind beeinflusst von dem, was unter, was neben und was über ihnen liegt; sie unterliegen aber auch drei Dimensionen der Zeit: sie sind beeinflusst von dem, was vorher, was gleichzeitig und was nachher geschah. Kommen neue Phänomene hinzu, muss das Modell möglicherweise geändert werden, denn jedes neue Element kann den Blickwinkel verschieben. Im Unterschied zu anderen wissenschaftlichen Modellen, etwa in der Physik und anderen Naturwissenschaften, die sich experimentell überprüfen lassen (Ginzburg 1988, 93), kann man das Auswertungsmodell eines Grabungsbefundes nicht mehr den Phänomenen, von denen es ausgegangen ist und auf die es sich bezieht, gegenüberstellen, weil jede Ausgrabung einmalig ist und nicht wiederholt werden kann. Der Ausgräber wird so zum Zeugen und steht damit vor dem Problem eines jeden Zeugen, nicht Fakten, nicht die Realität an sich, überliefern zu können, sondern nur deren Interpretation aus seiner Sicht³. Die Un-

1 Helen Koller bearbeitet die Kampagnen von 1987 und 1988.

2 Zum Indizienparadigma als Mittel der Erkenntnis in den Geschichtswissenschaften in Analogie zur Medizin mit ihren Symptomen bzw. zur Kriminalistik mit ihren Indizien vgl. Ginzburg 1988.

3 Zum Problem des Bezugs zwischen historischer Realität und den sie überliefernden Zeugnissen liegen von historischer Seite auch in Hinblick auf die juristische Komponente des Problems interessante Überlegungen vor: Ginzburg 1991, 30.

möglichkeit einer Überprüfung des Modells ist umso gravierender, als eine Ausgrabung sozusagen in der falschen Richtung stattfindet: von oben nach unten bzw. vom Spätesten zum Frühesten, so dass die Phänomene schon begriffen werden müssen, bevor ihre Voraussetzungen bekannt sind, wenn diese sich aber endlich zeigen, die von ihnen verursachten Phänomene schon verschwunden, durch die Ausgrabung zerstört sind. So ist die Auswertung eines Befundes im strengen Sinn auch nicht nachzuvollziehen. Einerseits hat als Auswerter der Ausgräber anderen gegenüber einen uneinholbaren Vorsprung an Wissen, eines Wissens, das er überdies nur z.T. und nur bedingt als Dokumentation weitergeben kann. Andererseits ist seine Auswertung auch für ihn selbst im Nachhinein nicht mehr nachzuvollziehen, kann er doch nur einmal, nur zu Beginn, offen und vorurteilsfrei an den Befund bzw. an dessen Dokumentation herangehen. Später steht ihm stets seine einmal gewonnene Vorstellung im Weg. Die Dokumentation – allgemein besteht sie aus schriftlichen Aufzeichnungen, Tagebuchnotizen und Skizzen, aus massstäblichen Zeichnungen und deren Beschreibung, aus fotografischen Aufnahmen – kann den Weg zurück zum Befund nicht mehr vollständig erschliessen. Bei den gehaltvollen, da durchdachten Dokumenten, nämlich den geschriebenen und gezeichneten, steht stets der Beobachter als Vermittler im Weg, während die Fotografie in ihrer scheinbaren Objektivität und Wirklichkeitstreue nur ein plattes, banales Abbild wiedergibt⁴. Das Ziel kann deshalb im folgenden nur sein, die Auswertung des Befundes, wenn schon nicht nachvollziehbar, so doch mindestens einsehbar vorzulegen sowie die Sorgfalt und Aufmerksamkeit zu zeigen, mit der wir die Ausgrabung durchgeführt haben.

Im Bestreben, die Grabungsergebnisse trotz ihrer Komplexität verständlich darzustellen, gehe ich in deren Vorlage ungewohnte Wege, die einer Erläuterung bedürfen: In erster Linie ist eine konsequente Trennung von Katalog und interpretierender Beschreibung zu nennen, die nicht nur, wie gewohnt, für die Funde, sondern auch für Befund und Baustrukturen angewendet wird. Die Beschreibung der Phänomene, insbesondere der Schichten in den Profilen (Kap. 11.1.1), hält sich sehr eng an die Grabungsdokumentation, denn es ist mir wichtig, den ersten, den sozusagen authentischen Eindruck der Phänomene wiederzugeben, der zwar nicht mit der Wahrheit gleichzusetzen ist, aber doch die von den Phänomenen verursachte Wirkung auf den Betrachter zeigt. Nur im ersten Moment, im Moment der Überraschung, der Unvertrautheit, der

Fremdheit, lassen sich die Dinge wirklich wahrnehmen (Plessner 1948, 169). Und nur in diesem Moment, bei der Beschreibung vor dem Profil, auf der Fläche waren wir mit den Phänomenen des Befundes verbunden. Mit einer derartigen Vorlage wird, so hoffe ich, der Befund leichter zu durchschauen sein, ohne dass die Quellen, der Hintergrund des Befundes, vernachlässigt werden. Es empfiehlt sich, zuerst die Interpretation der betreffenden Phase zu lesen (Kap. 3) und anschliessend im Katalog (Kap. 11) jedes Element auf seinen Quellengehalt hin zu überprüfen, wie gut erkennbar oder wie unsicher es auf der Grabung in Erscheinung getreten war und von uns dokumentiert worden ist.

Eine weitere Besonderheit ist, dass ich im Katalog die Phänomene nach Räumen ordne und innerhalb des Raumes nach Funktion: Boden, Wand, Strukturen (Gruben, Feuerstelle usw.). Damit versuche ich der Tatsache gerecht zu werden, dass der Mensch die Welt räumlich erfährt (Bollnow 1963, 22ff.). Eine Wand definiert stets zwei Räume, diesseits und jenseits; sie ist immer auf zwei Räume zu beziehen. Da sie nicht als lineares Element erlebt wird, erscheint es mir folgerichtig, sie auch nicht als lineares Gebilde zu beschreiben, wie das im allgemeinen üblich ist (z.B. Hänggi 1988, 196ff.).

Bei der Vorlage der Funde ist die Trennung der Entwicklung der Fundgattungen (Kap. 4) durch die Phasen hindurch und damit in der Zeit von der von aussen herangetragenen absoluten Datierung (Kap. 5) zu nennen, ein Verfahren, das auch andernorts schon angewendet worden ist (z.B. Mackensen 1978, 13f.). Damit lässt sich die bisher gültige Chronologie überprüfen, die insbesondere für das 2. Jh. weit weniger gut abgesichert ist (Kap. 13) als gemeinhin angenommen, wobei allfällige Diskrepanzen zu diskutieren sind. Aber auch lokale oder regionale Besonderheiten, mit denen stets zu rechnen ist (Schucany 1990a), geben sich nur dieserart zu erkennen.

Die Ergebnisse einer Grabung müssen, will man ihren Stellenwert erkennen, mit den Resultaten der Forschungen andernorts konfrontiert werden. Das dafür verwendete Mittel ist der Vergleich. Bei auf einen oder wenige Punkte spezialisierten Arbeiten, etwa der monographischen Behandlung einer Fundgattung, wird meist versucht, die ganze bisher bekannte Literatur einzuarbeiten, einen Forschungsüberblick zu geben⁵. Dies ist bei einem ganzheitlich angelegten Werk, das die Auswertung sämtlicher Baustrukturen und mit Ausnahme der Knochen aller aussagekräftiger Funde zum Ziel hat, aus naheliegenden Gründen von vornherein ausgeschlossen. Ich werde des-

4 Barthes 1989, 110f.117. Der Realitätsbezug der Fotografie liegt nämlich keineswegs in der Art und Weise, wie sie abbildet, sondern lediglich darin, dass sie gleichsam als Emanation die Existenz des Abgebildeten bestätigt, dass es dieses Objekt, diese Situation einmal gegeben hat (a.a.O. 96ff.). – Bemerkenswert ist, dass nach meiner Erfahrung Ausgräber – ihnen muss die Existenz eines Befundes nicht

bewiesen werden – nur im Zweifelsfalle auf die Fotografie zurückgreifen, wenn die schriftliche und zeichnerische Dokumentation kein klares oder ein nur unvollständiges Bild ergeben.

5 Z.B. Lampen: Leibundgut 1977, 13ff.; Amphoren: Martin-Kilcher 1987, 10ff.; Glas: Rütli 1988, 10f.; Perlen: Tempelmann-Maczynska 1985, 7ff.

halb im folgenden für bestimmte Fragestellungen die zu vergleichenden Elemente nicht mit der Forschung, sondern mit Befunden konfrontieren, die mir gemäss jeweils darzulegenden Kriterien zum Vergleich geeignet und fruchtbar erscheinen. Die Auswahl fusst auf der bis zum Frühjahr 1992 erschienenen Literatur. Nur in Einzelfällen sind später veröffentlichte Studien einbezogen⁶.

Einmal können andere, in früheren Forschungen untersuchte Befunde und Funde unerklärliche oder schwierig zu verstehende Befunde oder Funde erhellen. Im grossen ganzen aber stehen zwei Themenkreise zur Diskussion: Datierung und Romanisierung. Für die Datierung stelle ich die mir dafür geeigneten Funde nach Phasen geordnet ensembleweise gut datierten, also möglichst ausserarchäologisch datierten Ensembles und Fundkomplexen gegenüber (Kap. 5). Beim Thema Romanisierung versuche ich zuerst, die theoretischen Hintergründe zu umschreiben (Kap. 6), wobei es mir besonders wichtig ist, dies anhand fachfremder, nämlich kulturpsychologischer, soziologischer, historischer und philosophischer Forschungen zu tun. Denn konfrontiert mit einem dieserart ausgearbeiteten theoretischen Gerüst, scheint es mir berechtigt zu sein, in der Auswertung der archäologischen Phänomene weit zu gehen, ohne der «Narrenfreiheit der Archäologie» (Osterwalder Maier 1991) zu verfallen. Um die beim Romanisierungsprozess von *Aquae Helveticae* wirksamen Traditionsstränge aufzuzeigen und herzuleiten, versuche ich, die entsprechenden Aspekte der Kultur der Helvetier, der keltischen Kultur des Schweizerischen Mittellandes in der Latènezeit (Kap. 7), und der römischen Kultur im Kerngebiet, in Italien (Kap. 8), soweit vorzustellen, dass ein Vergleich möglich wird (Kap. 9). Auch hier gilt es, nicht einen vollständigen Forschungsüberblick zu geben, sondern jene Befunde zu finden, die ein charakteristisches Bild der betreffenden Kultur ergeben. Um den Stellenwert des Romanisierungsprozesses von *Aquae Helveticae* zu erkennen, ob es sich um ein Einzelphänomen handelt oder ob ein verbreitetes Schema vorliegt, vergleiche ich die Ergebnisse mit einigen *Vici* aus der näheren Umgebung (Kap. 10), ohne zu beabsichtigen, den Romanisierungsprozess der *Vici* nördlich der Alpen im allgemeinen aufzuzeigen.

Den kurzen einleitenden Kapiteln 1 und 2 mit einigen allgemein gehaltenen Bemerkungen zu *Aquae Helveticae* folgen mit den Kapiteln 3–5 die Ergebnisse der Grabung 1977, die den Hauptteil ausmachen. Die Kapitel 6–10 behandeln die im Zentrum der Arbeit stehende Frage der Romanisierung.

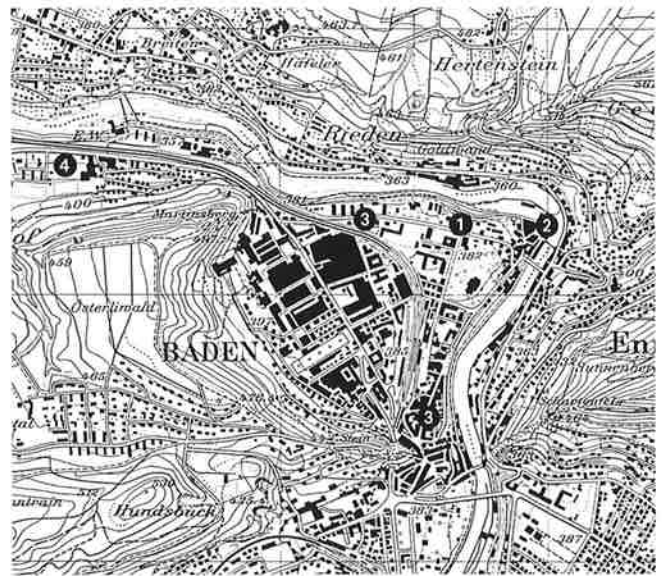


Abb. 1. Lage der römischen Überreste von Baden. 1 Vicus; 2 Thermen; 3 Gräber; 4 spätlatènezeitliche Überreste. Ausschnitt aus der LK 1:25 000, Blatt 1070. Reproduziert mit Bewilligung des Bundesamt für Landestopographie vom 18.7.1996.

2. *Aquae Helveticae*

2.1. Lage und Name

Auf dem Haselfeld (LK 1070, 665 500/259 250), einer im Norden und Osten von der Limmat hakenförmig umflossenen, heute 20 m über dem Fluss liegenden Niederterrasse, erstreckte sich in römischer Zeit eine Siedlung (Abb. 1). Im Westen und Süden ist das Plateau durch den Martinsberg geschützt, der wie die Lägern im Osten zu den letzten südlichen Ausläufern des Jura zählt. Im Limmatknie befinden sich Thermalquellen (Abb. 2), die mindestens seit römischer Zeit genutzt wurden (Doppler 1976, 14; Hartmann 1982, 47ff.). Römische Gräber kamen auf dem Haselfeld westlich der Siedlung, an der Ausfallstrasse nach *Vindonissa*, und im Süden, an der Strasse nach *Zürich/Turicum*, zum Vorschein (Doppler 1976, 30).

Die Heilquellen gaben dem Ort schon in römischer Zeit den Namen: *Aquae Helveticae*, helvetisches Baden⁷. Von *vicani* bewohnt (CIL XIII 5233; Walser 1980, Nr. 187) muss es sich um eine einem *Vicus* entsprechende Siedlung handeln, auch wenn sie wohl nicht mit *Vicus*, sondern mit *Aquae* bezeichnet wurde (von Petrikovits 1977, 88).

Die Bedeutung von *Aquae Helveticae* war nicht nur durch die Heilquellen bedingt, sondern ebenso durch die

⁶ Insbesondere war eine Gegenüberstellung mit Augst, wo sich der für eine römische Kolonie charakteristische Romanisierungsprozess nun anhand der Funde aus der Schichtenfolge beim Theater (Furger/Deschler-Erb 1992) untersuchen liesse, nicht mehr möglich.

⁷ Der Name ist auf Bronzebeschlägen überliefert (Berger 1983, 13).

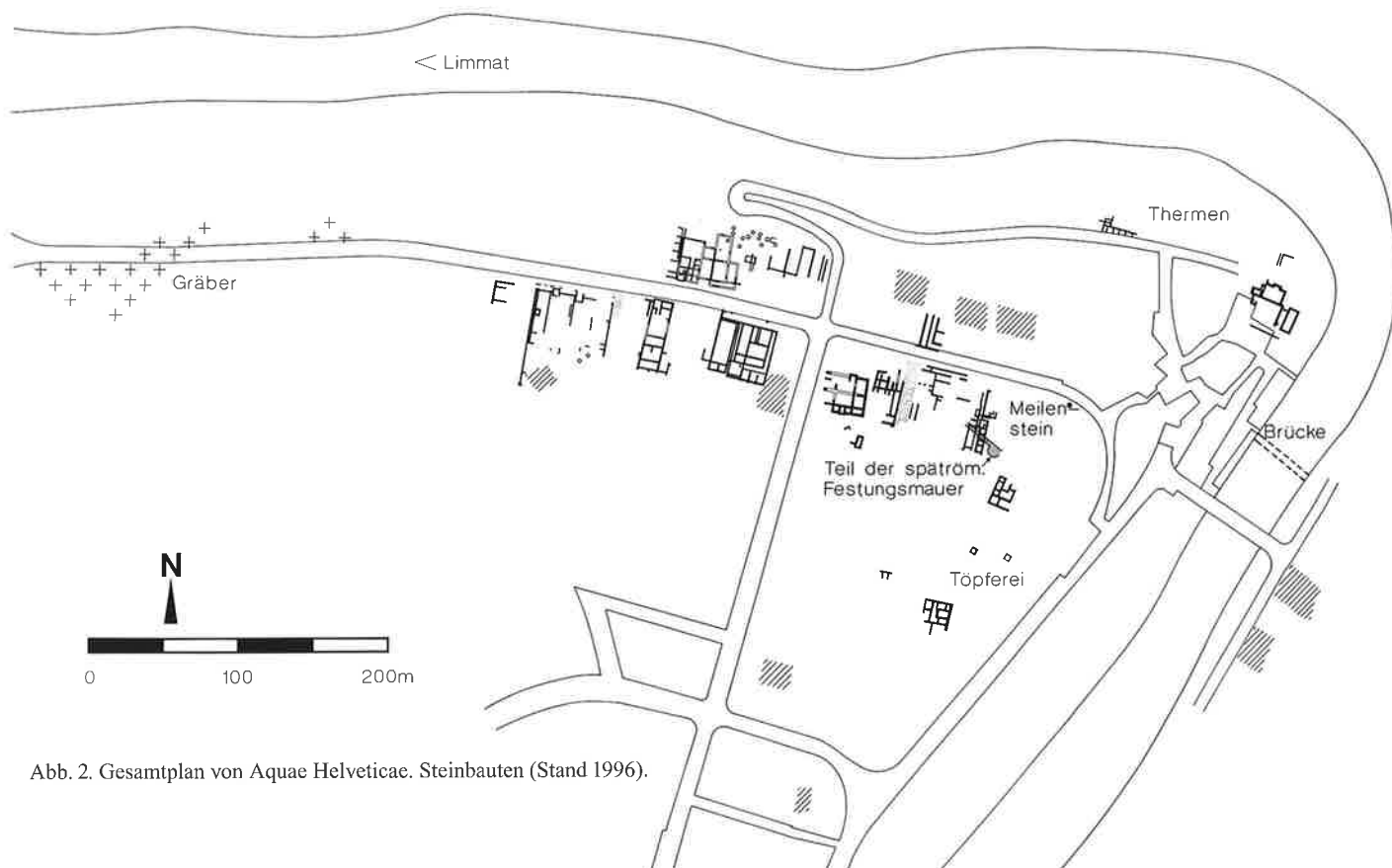


Abb. 2. Gesamtplan von Aquae Helveticae. Steinbauten (Stand 1996).

Lage an der wichtigen Strasse, die vom Legionslager Vindonissa, 6 km im Westen, durch die Badener Klus, den 800 m südlich des Vicus gelegenen Durchbruch durch die erwähnten Ausläufer des Jura, der Limmat entlang nach Südosten über den Zürichsee, den Walensee zu den Bündnerpässen führte (dazu UFAS V, Karte 1).

2.2. Geschichte der Erforschung

Die älteste Nachricht über das Aufdecken römischer Überreste anlässlich eines Umbaus in den Bädern stammt aus der Mitte des 15. Jh.⁸ Bei weiteren Umbauten im Bäderviertel, bei der Dorfkirche von Wettingen und beim Abbruch der Festung Stein kamen neben zwei Inschriften weitere römische Funde zum Vorschein.

Die ersten eigentlichen Grabungen fanden auf dem Harsfeld im Vicus und im westlich anschliessenden Gräberfeld im späteren 19. Jh. statt. Sie werden bis heute, jetzt durch die Aargauische Kantonsarchäologie, in grösseren und kleineren Abständen weitergeführt. Nach 1976 (Anm. 8) sind es 1977 die in der vorliegenden Arbeit vorgestellte Grabung, eine baubegleitende Beobachtung anlässlich des Baus einer Kanalisation südlich der Römerstrasse im glei-

chen Jahr, sowie grössere Untersuchungen 1987 nördlich der Römerstrasse (Koller 1989) und 1988 im Süden (JbSGUF 72, 1989, 323). Im Thermenviertel kam es erst in den 60er Jahren zu eigentlichen Grabungen (Doppler 1976, 12), die 1980 eine Fortsetzung fanden (Hartmann 1982, 47). Seit den 80er Jahren kamen beim Kappelerhof (Abb. 1), 1,4 km westlich des römischen Vicus, auf einer ähnlichen Niederterrasse über dem Südufer der Limmat gelegen, Baureste und Gräber der späten Latènezeit zum Vorschein⁹, die erstmals die zu vermutende Anwesenheit von Helvetiern in der näheren Umgebung des späteren Vicus belegen.

Über ausgewählte Funde sind in neuerer Zeit mehrere Untersuchungen entstanden¹⁰: Münzen (Doppler 1983), Thekenbeschläge des Gemellianus (Berger 1983), Töpferhandwerk (Roth-Rubi 1983; Jornet/Maggetti 1983), Sigillata (Schucany 1983), Glas (Fünfschilling 1985) und Bronzegefässe (Holliger/Holliger 1988/89). In der vorliegenden Arbeit werden erstmals für Baden Befunde, alle Baustrukturen und mit Ausnahme der Knochen alle aussagekräftigen Funde einer weitgehend nach stratigraphischen Methoden in grösstenteils ungestörtem Gebiet durchgeführten Ausgrabung, die zudem mit rund 300 m² eine relativ grosse Fläche umfasste, vorgelegt und ausgewertet.

8 Doppler 1976, 3ff. mit Forschungsüberblick bis 1976. Zur Grabung 1973 zusätzlich Hartmann 1977.

9 Hartmann et al. 1989, 48ff.; Vindonissa News 1, 1991, 6f.; s. auch unten, Kap. 7.

10 Literaturüberblick bis 1976 bei Doppler 1976, 44ff.

II. Grabung 1977

Schläft ein Lied in allen Dingen,
Die da träumen fort und fort,
Und die Welt hebt an zu singen,
Triffst Du nur das Zauberwort.

Joseph von Eichendorff

3. Befund

3.1. Einleitung

3.1.1. Lage der Grabungsfläche (Abb. 3)

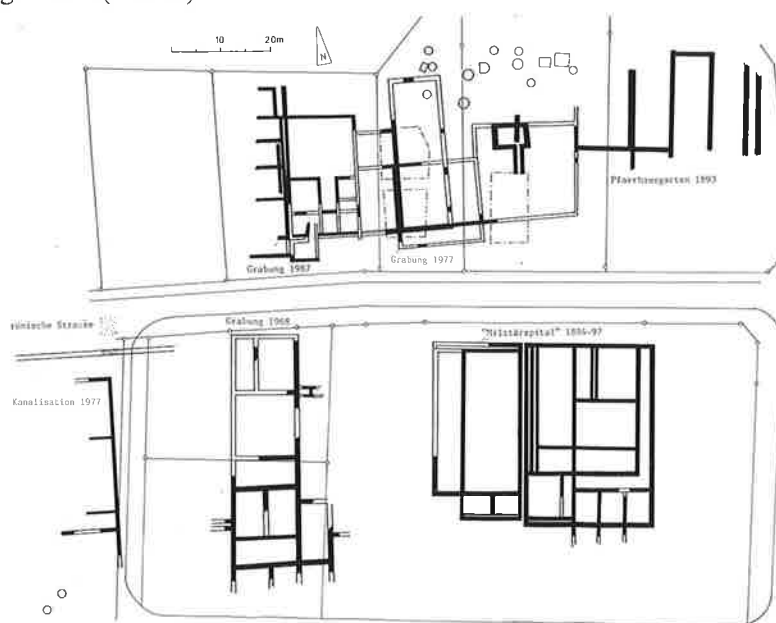


Abb. 3. Lage der Grabung 1977 (Steinbauten).

Der Bau des Hotels Du Parc veranlasste die Aargauische Kantonsarchäologie im Jahre 1977 zu einer Grabung auf den Parzellen 1200 und 1201 (LK 1070, 665 600–665 650/259 260–259 300). Die Grabungsfläche befindet sich im Bereich des Vicus auf dem Haselfeld, 7 m nördlich der heutigen Römerstrasse und 50 m westlich der Parkstrasse (Abb. 2). Die im Norden steil zur Limmat abfallende Böschung liegt 15 m nördlich der Grabungsfläche. Früher, vor dem Bau der zu den Bädern hinunterführenden Parkstrasse, muss die Hangkante etwa 5–10 m weiter nördlich verlaufen sein.

Schichten der römischen Strasse und ein südlicher Strassengraben kamen 1977 in einem Kanalisationsgraben unter der heutigen Römerstrasse zum Vorschein (Abb. 8). Von Vindonissa her führte sie über die Geländeterrasse durch den Vicus hinunter zu den Thermen an der Limmat.

Die Grabungsfläche ist rund 16 m von der Flucht des südlichen Strassengrabens und, bei einer erfassten Strassenbreite von mindestens 6.50 m¹¹, wohl etwa 9 m vom nördlichen Strassenrand entfernt.

Im Osten schliessen die im Jahre 1893 im evangelischen Pfarrhaus und in dessen Garten durchgeführten Ausgrabungen an. 1977 erfasste der nordöstliche der beiden von Geologen angelegten Schnitte (Abb. 4) die nach den Plänen zu erwartende Grenze zwischen den ungestörten römischen Schichten im Westen und dem 1893 durchwühlten Teil¹². 1987 untersuchte die Kantonsarchäologie das Gebiet westlich der Grabungsfläche, wobei leider ein etwa 7 m breiter Streifen zwischen den beiden Grabungsflächen aus statischen Gründen nicht untersucht werden konnte (Koller 1989, 54).

¹¹ Beim Kappelerhof betrug die Breite der römischen Strasse 4.50 m (Vindonissa-News 1, 1991, 7).

¹² Auf die Vermessung der Grabung bezogen bei ca. A40.

3.1.2. Grabungsmethode und Schichtverhältnisse (Abb. 4)

Die Ausgrabung dauerte mit Unterbrüchen vom 17. Mai 1977 bis zum 5. April 1978 insgesamt etwa neun Monate¹³. Um die Verhältnisse abzuklären, legten wir unter der Leitung von J. Schumacher zuerst am Westrand der Grabungsfläche von Hand einen 1 m breiten Sondierschnitt (A0/B0–B23) an. Es zeigte sich bald, dass in diesem Bereich die Schichten ungestört waren. Anschliessend schälte eine Baumaschine vom Typ Gradall (Teleskopbagger) die Humusdecke auf der westlichen Hälfte (A0–A10/B0–B23) ab.

Die 1. Etappe (A0–A10/B0–B11) im Nordwestteil der Grabungsfläche dauerte vom 1. Juni bis zum 16. September und stand ebenfalls unter der Leitung von J. Schumacher. Die Fläche teilten wir in vier Felder auf. Zuerst gruben wir schachbrettartig die zueinander versetzten Felder 1 (A0–A6/B0–B5) und 4 (A6–A10/B5–B11) bis auf den anstehenden Boden aus, wobei wir versuchten, den Schichten zu folgen. Dies war vor allem in Feld 1 sehr schwierig, da dort die Schichten stark nach Westen abfielen (Beil. 1.2). In Feld 4 verliefen die Schichten ruhiger, und die Schichtgrenzen waren klarer zu erkennen. Anschliessend konnten wir Feld 2 (A6–A10/B0–B5) anhand des Ostprofils A6 von Feld 1 und des Nordprofils B5 von Feld 4, Feld 3 (A0–A6/B5–B11) anhand des Südprofils B5 von Feld 1 und des Westprofils A6 von Feld 4 schichtweise abtragen. Mit zwei leider fehlerhaft eingemessenen kleinen Schnitten A (B1/A10–A14) und B (B9/A11–A14) untersuchten wir das Gelände östlich der Felder 2 und 4. Ein Geologe legte für seine Untersuchungen östlich der Grabung zwei Schnitte (A40/B5; A40/B8) an.

Die 2. Etappe (A0–A10/B11–B23) im Südwestteil der Grabungsfläche dauerte vom 18. September 1977 bis zum 10. Januar 1978 und stand unter der Leitung von J. Weiss. Die sich klar abzeichnenden Schichten konnten wir beim Abtragen anhand des Südprofils B11 der 1. Etappe sicher trennen. Zwar trugen wir die Schichten nicht direkt vom Profil aus ab, da ein 2 m breiter Profilsteg (B12/A3–A9) vorerst stehen blieb. Wir waren uns jedoch über die Zugehörigkeit der Schichten stets im klaren. Auch im Winter versuchten wir, trotz Kälte und schlechtem Wetter, den Schichten nach zu graben und die Befunde wiederum in sorgfältiger Weise zu dokumentieren, was nicht immer leicht war.

Die 3. Etappe (A22–A30/B9–B24) im Ostteil der Grabungsfläche dauerte vom 18. September 1977 bis zum 6. Januar 1978 und stand unter der Leitung von P. Frei. Ein Bagger «Gradall» trug den Humus und die oberen Schich-

ten bis auf den an dieser Stelle höher gelegenen Brandschutt der Holzbauperiode II ab. Leider entfernten wir dabei nicht nur die mächtige neuzeitliche Auffüllung, sondern auch die Mehrzahl der noch erhaltenen Schichten der Steinbauperioden. In der Nordwestecke (A23–A24/B9–B11) griff der Gradall sogar bis in den anstehenden Boden. Die Baumaschine hat mit grosser Wahrscheinlichkeit auch den Brandschutt beeinträchtigt, ist doch erfahrungsgemäss die Oberfläche nach einem maschinellen Abtrag oft gestört, ohne dass dies im Feld stets eindeutig zu erkennen wäre. Im Brandschutt kamen denn auch einige jüngere Scherben (FK 248; FK 255) zum Vorschein, die von der Gradallschaufel in die Schicht gedrückt worden sein müssen (Schucany 1983, 60ff.). Die freigelegte Fläche gruben wir von oben her schichtweise von Hand aus. Die Schichten liessen sich gut trennen.

Anschliessend legte ein Bagger drei Schnitte an: Schnitt 1 (A5/B87–B0)¹⁴ und Schnitt 2 (A6/B23–B25) zur Abklärung der Verhältnisse im Norden und Süden der Grabung sowie Schnitt 3 (B17/A11.60–A23), um die Schichten der 2. und 3. Etappe miteinander zu verbinden. Leider reichte das westliche Ende (A11.60) von Schnitt 3 nicht mehr bis ans Ostprofil A10 der 2. Etappe, so dass in der Dokumentation eine Lücke von ca. 1.50 m entstand, was besonders für die Holzbauperioden bedauerlich ist, scheint doch an dieser Stelle eine Parzellengrenze gelegen zu haben. Die mit Schnitt 1 erfassten Schichten lassen sich leider nicht mit jenen der Flächengrabung korrelieren, da die Südwand von Raum G der Steinbauperiode II.1 und ein wohl zur Steinbauperiode I.4 gehörender Holzkeller alle Zusammenhänge kappten¹⁵. Bezogen auf die Befunde der Grabung lässt sich das nördliche Vorfeld deswegen nicht beschreiben. Die Untersuchungen der Profile unter der Leitung von J. Weiss dauerten vom 9.–15. März 1978.

Den maschinellen Aushub der Baugrube für die Hotelbauten vom 14. März bis zum 5. April 1978 überwachte J. Weiss mit grossem, persönlichem Einsatz. Die Sohle der Baugrube lag 4 m unter der bestehenden Oberfläche und etwa 1 m tief im anstehenden Boden. Es kamen fünf Gruben, 13 Schächte, zwei Keller und eine Mauer zum Vorschein. Auf Schichtbeobachtungen, genauere Abklärungen der Befunde und das vollständige Bergen der Funde mussten wir trotz vieler Überstunden des enormen Zeitdruckes wegen weitgehend verzichten. Die Strukturen konnten wir nur grob einmessen und skizzieren.

Wie erwähnt, waren die Schichten mehrheitlich klar zu erkennen und gut zu verfolgen. Die Böden, leuchtend gelbe Lehm-, helle Splitter- und Mörtelböden, die schwarzen Brandschichten und die orangen Brandschuttschichten

13 Sie stand unter der Leitung des damaligen Kantonsarchäologen Martin Hartmann. Als örtliche Leiter wirkten abwechslungsweise die Grabungstechniker Peter Frei, Jörg Schumacher, Johannes Weiss, als Zeichner/innen Ruth Baur, Armin Haltinner, Benedikt Lüdin und die Verfasserin.

14 Der Punkt B87 liegt nördlich von Punkt B0, der in bezug auf B87 als B100 gilt.

15 Beil. 2: Südwand (745).

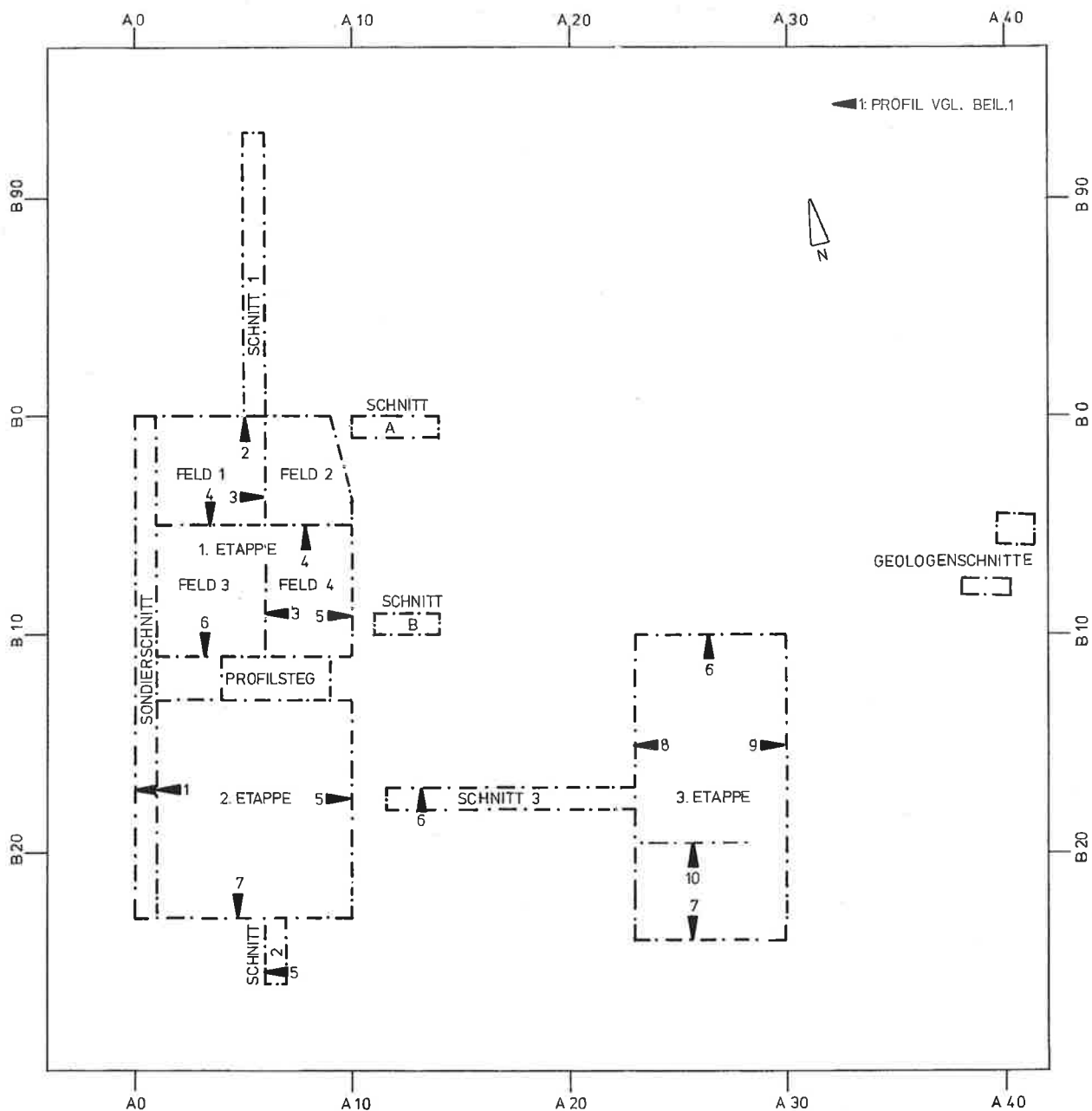


Abb. 4. Übersicht der Grabungsflächen und Profile; s. auch Beil. 1–10.

stachen heraus und rhythmisierten den Schichtaufbau. Sie waren beim Graben meist nicht zu übersehen, so dass wir die Oberfläche der ehemaligen Gehniveaus über weite Strecken problemlos freilegen konnten¹⁶. Dank den Brandschichten, von denen die ersten drei (Holzbauperiode II sowie die Steinbauperioden I.4 und I.6) durchgehend auf der ganzen ergrabenen Fläche erhalten waren, lassen sich die Schichten trotz Lücken in der Dokumentation und durch antike Baumassnahmen (z.B. Mauern) bedingte Unterbrüche korrelieren: Die Häuser standen dicht neben-

einander oder waren sogar aneinander gebaut; so ist auszuschliessen, dass die jeweilige Brandschicht nicht vom gleichen Feuer, sondern von mehreren Bränden stammt, die zu verschiedenen Zeiten ausbrachen (analoge Hypothese: Rychener 1984, 12). Da zwischen den Brandhorizonten meist die gleiche Anzahl an Böden zum Vorschein kam (Beil. 1–10), oft nur getrennt durch eine als Bodenunterlage fungierende Planierungsschicht, gestaltet sich auch für die übrigen Schichten die übergreifende Phasenzuordnung problemlos.

¹⁶ Beil. 11–22. Dies drückt sich auch bei den Fundkomplexen aus: 75–85% sind einer Phase zuweisbar; nur in den zuerst ergrabenen Berei-

chen, dem Sondierschnitt und den Feldern 1 und 3, sind es mit 36%, 58% bzw. 64% weniger.



Abb. 5. Feld 2 mit Ostprofil (A6) von Feld 1. Niveau der Holzbauperiode II, Hinterhof A; links Feuerstelle (A5.60/B0.70), Mitte rechts Grube (A6/B3.50). Aufnahme nach Osten. S. auch Beil. 5.

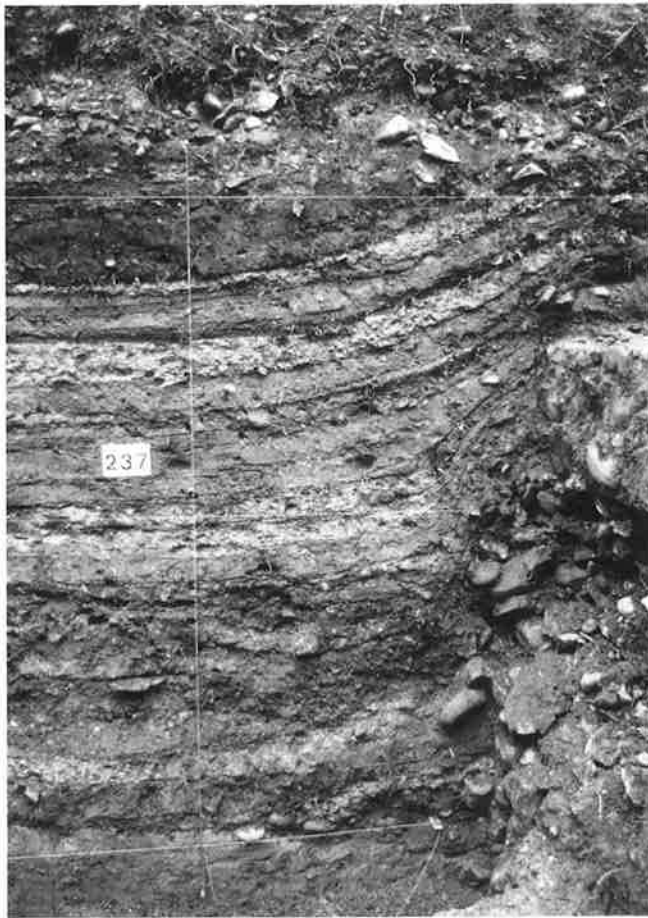


Abb. 6. Südprofil (B23) der 2. Etappe bei A5. Schichtenaufbau: Holzbauperiode I.1 bis Steinbauperiode II.4. S. auch Beil. 7.

3.1.3. Erhaltungsbedingungen

Die neuzeitlichen Humus- und Erdschichten waren durchschnittlich 40–60 cm, an einzelnen Stellen bis zu 120 cm mächtig. Da der anstehende Boden von Nordosten nach Südwesten abfiel (s. unten), die neuzeitliche Oberfläche hingegen in diese Richtung anstieg, war das römische Schichtpaket unterschiedlich hoch erhalten: im Nordosten 40 cm, im Nordwesten 180 cm, im Südosten 190 cm, im Südwesten 230 cm. Der Unterschied von fast 2 m spiegelt sich auch in der Anzahl der erhaltenen Horizonte wieder. Im Südwesten zeigten sich die meisten, nämlich 15 Horizonte. Im Norden waren nur noch neun bis zehn Horizonte, bis zu den Phasen 5 und 6 der Steinbauperiode I, erhalten. Man wird also den obersten Horizont nicht als die jüngste und letzte Siedlungsphase von *Aquae Helveticae* ansehen dürfen. Vielmehr ist damit zu rechnen, dass weitere Schichten und Horizonte fehlen. Darauf weisen auch einige Schächte hin (Kap. 3.7.2.), die in den Hinterhöfen zum Vorschein kamen und in der Einfüllung jüngerer Material geliefert haben als die jüngste fundführende Schicht (SP II.3).

Die meisten Störungen des Schichtaufbaus gehen auf römische Strukturen zurück, die in die darunterliegenden, älteren Schichten eingriffen. Dies gilt insbesondere für die Mauern der Steinbauperioden, deren Fundamente meistens alle Schichten durchschlugen und bis in den anstehenden Boden reichten. An neuzeitlichen Störungen war nur eine Kalkgrube (A6–A8/B11–B14), die bis auf den Brandschutt der Holzbauperiode II reichte (UK 378.00), vorhanden.

Die meisten Schichten, besonders die oft mit organischem Material durchsetzten schuttigen Auffüllungen, müssen im Laufe der Zeit durch den Erddruck zusammengepresst worden sein, so dass sie sich stark setzten. An den Mauerfundamenten hingegen blieben sie hängen. In Betracht zu ziehen ist wohl auch die andauernde Entkalkung des Bodens, die zu einem zusätzlichen Volumenverlust und damit zu Setzungen führte, die aber im Bereich der Mauern des Kalkmörtels und der verbauten Kalksteine wegen nicht zur Wirkung kam¹⁷. In den so entstandenen Mulden senkten sich die höher gelegenen jüngeren Schichten, so dass die Profile (Beil. 1–10) ein girlandenartiges Bild zeigen. Die ursprüngliche Höhe der meisten Horizonte lässt sich nur noch an den Mauern ablesen und anhand der Schwellen der Eingänge erschliessen.

¹⁷ Dem Bodenkundler Herbert Bühl, Schaffhausen, verdanke ich diesen Hinweis; Schroeder 1978, 20.

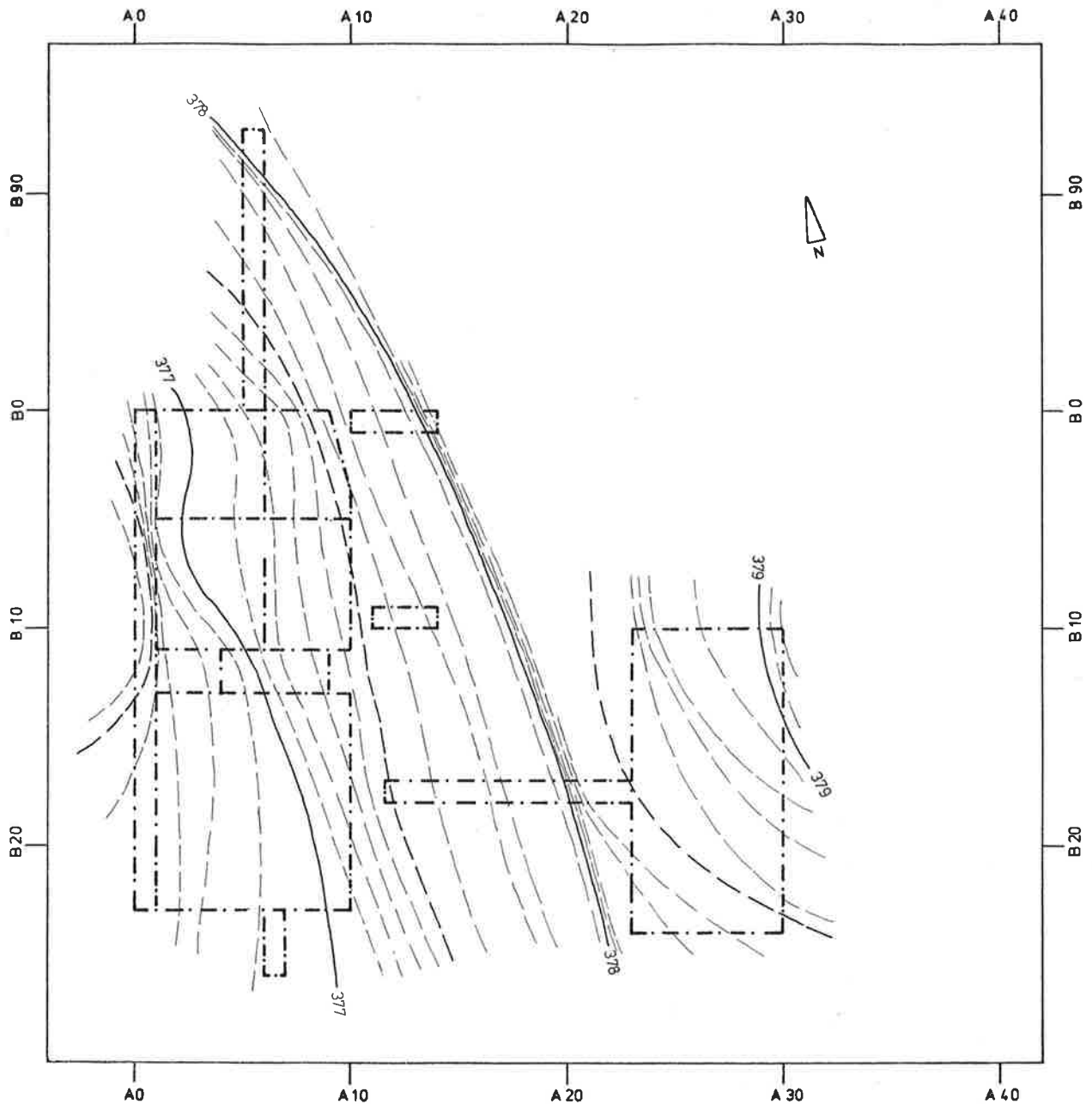


Abb. 7. Relief des anstehenden Bodens.

3.2. Der anstehende Boden¹⁸ (Beil. 1–10)

3.2.1. Topographie

Der anstehende Boden bestand aus einer 40 cm dicken, ockergelben Lehmschicht (3). Sie lag über einer 80 cm starken, lehmigen Kiesschicht (2), die ihrerseits auf sandigem Kies (1) ruhte (Beil. 10). Die Oberkante des anstehen-

den Bodens dürfte etwa den Verlauf des ursprünglichen Bodenreliefs wiedergeben (Abb. 7). Das Gelände senkte sich um 7–9% von Nordosten nach Westen. Im östlichen Teil der Grabungsfläche zeigte sich eine Geländestufe (A6/B98–A22/B24) von rund 50 cm. Eine weitere kam am nördlichen Westrand der Grabung zum Vorschein (A0/

¹⁸ Im folgenden ist stets der Befundkatalog hinzuzuziehen. Die Schichtnummern stehen in Klammern.

B0–B10). Das im Westen anschliessende Gebiet fiel hingegen nach Osten ab (Koller 1989, 54f.), das im Osten anschliessende Gelände scheint sich nach Nordosten gesenkt zu haben¹⁹. Demnach war das an sich relativ flache Haselfeld von Gräben durchfurcht, wohl Spuren einstiger Bäche, die sich auf ihrem Weg zur Limmat in den Lehm eingefressen hatten.

3.2.2. Befunde vor der ersten römischen Überbauung²⁰

Reste einer prähistorischen Benützungsschicht mit einigen wenigen formlosen Scherben kamen in Zone B, in der Mitte der Grabungsfläche, zum Vorschein. Aufgrund der Tonqualität sind sie wohl in die späte Bronzezeit zu datieren (Kap. 5.2.1.).

Die geringen Spuren von Befunden und das Fehlen von Funden in Zone A zeigt, dass der nördliche Teil der Grabungsfläche vor der ersten römischen Überbauung kaum begangen worden war.

Die vielen kleinen Pfostenlöcher in Zone C, im Süden, könnten vom hölzernen Unterbau einer Strasse stammen, etwa einer mit vielen kleinen Pföstchen verankerten Bohlenlage. Ähnliche hölzerne Substruktionen von Strassen sind aus dem spätkeltischen Vindonissa, aber auch aus römischen Siedlungen wie Vitodurum-Oberwinterthur und Augst bekannt²¹. Das Fehlen von Spuren längs und quer verlegter Bohlen liesse sich damit erklären, dass man beim Bau der ersten Vicushäuser (HP I) die Strassenkonstruktion und damit einen Teil der Schichten abgetragen hatte. Dafür spricht das Fehlen von Funden in Zone C. Der Graben zwischen den Zonen B und C schloss die Strasse als Strassengrübchen gegen Norden ab. Zur Deutung einer Strasse passt ebenfalls das 4 m vom Grabenrand entfernte Brandgrab im Westen der Zone B²².

Das Brandgrab enthielt an Keramikfragmenten neben einer Schüssel (Nr. 6) und einem Krug (Nr. 7) je eine Wandscherbe eines verbrannten Tellers Drack 4 und eines weiteren Kruges²³. In Grabinventaren treten Krüge auffallend häufig auf²⁴. Sie gehören zur Grundausrüstung für ein Leben nach dem Tod, an das wohl auch die Helvetier unseres Gebietes noch in römischer Zeit glaubten²⁵. Die Verfüllung des Grubenhauses in Zone B mit Resten von weiteren Brandgräbern (s. unten) macht wahrscheinlich, dass einst noch mehr Gräber in der Nähe waren. Die Gra-

bungsfläche lag demnach ursprünglich vor dem Vicus, im Bereich der Gräber entlang der Ausfallstrasse nach Vindonissa. Zu dieser Zeit verlief offenbar die Strasse noch nicht wie später unter der heutigen Römerstrasse, sondern rund 15 m weiter nördlich (Abb. 8). Vielleicht entspricht sie einer keltischen Strasse²⁶. Auf diesen anderen Verlauf der ersten Strasse weist auch ein Urnengrab hin, das im Kanalisationsgraben von 1977 unter der heutigen Römerstrasse direkt auf dem anstehenden Boden unter einem 1.70 m mächtigen Kiespaket, den jüngeren römischen Strassen, zum Vorschein kam. Jenes Grab muss einst südlich der ersten römischen Strasse angelegt worden sein. Im Ostteil der Grabungsfläche (A23–A30) kamen leider so gut wie keine vergleichbaren Spuren, Pfostenlöcher oder Grübchen zum Vorschein. Die ersten in der Fläche erfassten Strukturen sind der Holzbauperiode II zuzuweisen. Jenes Gelände war offenbar während der Holzbauperiode I noch nicht überbaut. Einzig im Ostprofil A30 (Beil. 9) könnte eine Vertiefung (23) auf das Strassengrübchen hinweisen und Reste einer Schmutzschicht (22/24/26) sowie eine Vertiefung (25), die auch im Südprofil B24 (Beil. 7) zu fassen waren, mit der Strasse in Zusammenhang stehen. Leider fanden diese Spuren weder in der Fläche noch im Westprofil A23 (Beil. 8) eine Entsprechung. Vielleicht erodierten die Reste der Strasse in der Zeit bis zum Bau der Holzbauperiode II weitgehend. Die im Westen anschliessende Grabungsfläche von 1987 reichte nicht so weit nach Süden, so dass allfällige Befunde nicht erfasst wurden (Koller 1989, Abb. 4).

Nördlich der vermuteten Strasse, in Zone B, kamen Reste einer Benützungsschicht und ein 2×3.30 m grosses und 40 cm in den anstehenden Boden eingetieftes Grubenhaus zum Vorschein. In der Benützungsschicht fand sich der Humerus eines Neugeborenen (FK 515), der, wie üblich bei Säuglingsbestattungen, nicht verbrannt war (Berger 1988, 23f.). In der Einfüllung des Grubenhauses kamen Reste von Leichenbrand²⁷ und, vereinzelt zwar, aber im kleinen Ensemble doch beträchtlich, Funde zum Vorschein, die als typische Grabbeigaben gelten: Die in Siedlungsschichten äusserst seltene glasierte Ware erscheint in Gräbern häufiger (Ettlinger 1944, 27). Auch Balsamarien wie das Fragment Nr. 27 gehören zu den häufigsten Glasbeigaben in Gräbern (s. z. B. Martin-Kilcher 1976, Abb. 22).

Das Grubenhaus war beim Planieren der römischen Gräber noch offen, so dass in ihm trotz der Pfostenbauwei-

19 Stückelberg 1893, 263. Auf dem abgebildeten Plan sind jedoch Ost und West vertauscht.

20 Beil. 11; Kap. 11.2.

21 Hartmann/Lüdin 1977, Abb. 2; Zürcher 1982, 216f.; Hänggi 1989b, 74ff.; vgl. auch Neuburger 1919, 460f.

22 Anhäufung von verbrannten menschlichen Knochen (FK 484). Die Bestimmung verdanke ich Liselotte Meyer-Hofmann.

23 Folgende Scherben wurden ausgeschieden (Kap. 4.1.1.): 35 g TS-Imitation, 115 g rote Keramik.

24 Ettlinger 1944, 15; Martin-Kilcher 1976, 82; Mackensen 1978, 166 mit Tab. 33; Castella 1989, 28.

25 Nach Caesar glaubten die Gallier an eine Wiedergeburt nach dem Tod und gaben ihren Verstorbenen alles mit, was diesen lieb war (*de bello gallico* 6, 14,5; 19,4). Zur Sitte der Geschirrbegabe s. Ettlinger 1944, 14ff.; Berger/Martin-Kilcher 1975, 161f.; Martin-Kilcher 1976, 84ff.; Mackensen 1978, 164ff.; Berger 1988, 25ff.

26 Beim Kappelerhof (Abb. 1) fanden sich auf einer Länge von über 150 m zwei Grübchen, die anhand der Funde in die Stufe LT D2 beziehungsweise in römische Zeit datieren (Hartmann et al. 1989, 48.51; Abb. 2). Falls sie als Strassengrübchen zu deuten sind, belegten sie eine keltische Vorgängerstrasse.

27 FK 480 und FK 515 enthielten ebenfalls verbrannte Menschenknochen.

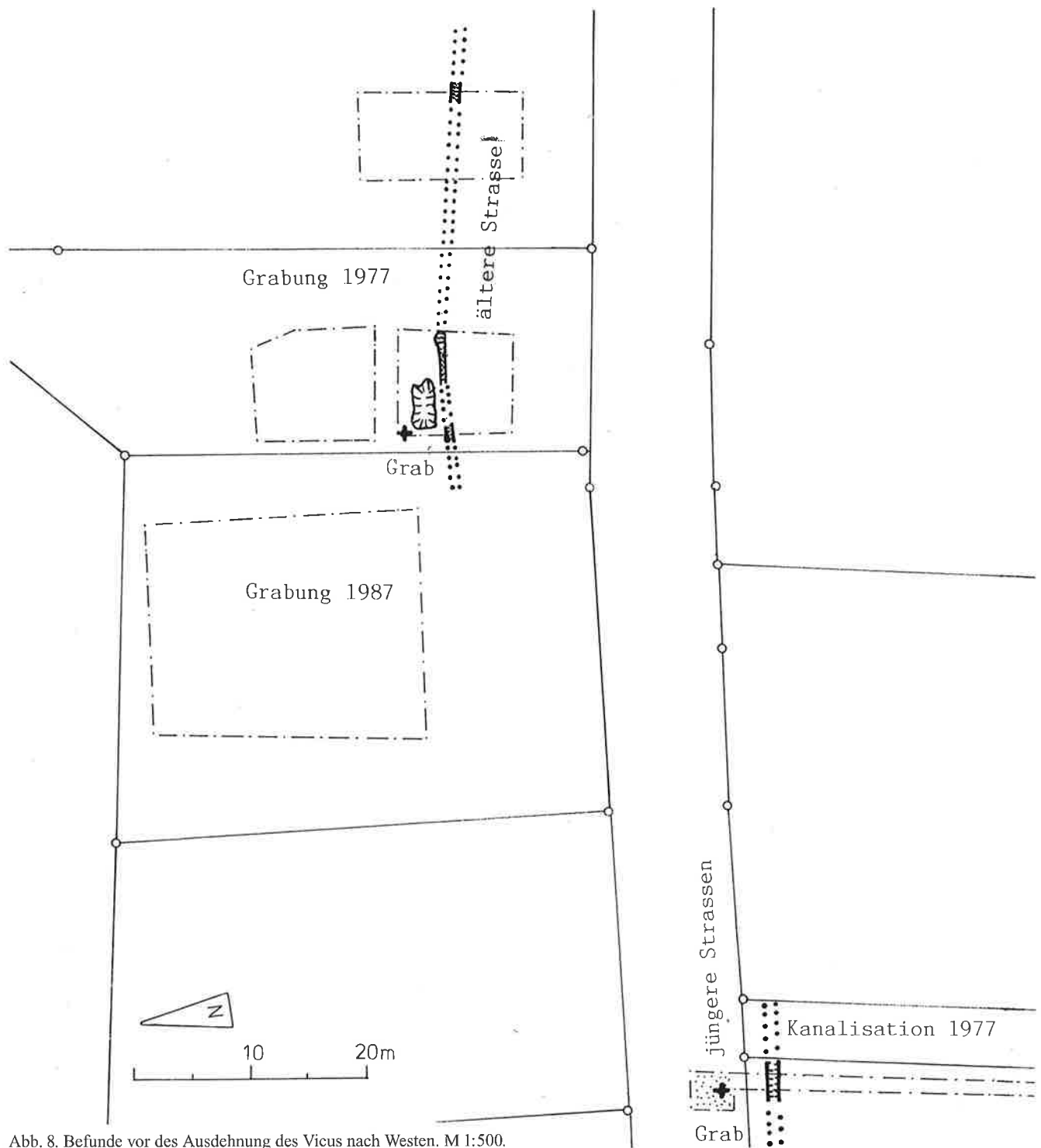


Abb. 8. Befunde vor des Ausdehnung des Vicus nach Westen. M 1:500.

se kein spätkeltisches Gebäude zu sehen ist, zu dem überdies die Funde fehlten, sondern der erste Vorbote des sich nach Westen ausdehnenden Vicus. Ausser den Grabresten enthielt es einige Eisenschlacken (Taf. 6,1), die auf seine Funktion hinweisen könnten. Solche Schlacken entstehen beim Läutern des Eisens, bevor es zum Endprodukt verarbeitet werden kann (Kap. 4.9.5). Beim Grubenhause handelt es sich möglicherweise um eine kleine, in den Boden eingetieft Schmiedewerkstatt, in der man die zum Bau der ersten Holzhäuser nötigen Eisenteile herstellte.

Von den spärlichen Funden her lassen sich die römische Benützungsschicht, das Brandgrab und das Grubenhause

nicht trennen. Die unterschiedliche Funktion der einzelnen Strukturen macht jedoch wahrscheinlich, dass zuerst die Gräber entlang der Strasse angelegt worden waren. Das Grubenhause, wahrscheinlich eine Schmiede, erbaute man wohl erst kurz vor der ersten römischen Überbauung am Westrand des Vicus – womöglich steht seine Errichtung sogar in direktem Zusammenhang mit der Erweiterung des Vicus nach Westen. Das Fundensemble (Kap. 5.2.2.) als Ganzes kann in spätaugusteische Zeit (5/10–15/20) datiert werden, was auf eine frühere Gründung von Aquae Helveticae schliessen lässt als bisher angenommen (Kap. 3.8.1.).

3.3. Holzbauperiode I (Beil. 1–10)

3.3.1. Phase 1 (HP I.1)²⁸

Vor der Überbauung des Geländes im Zuge der Erweiterung des Vicus gegen Westen füllte man das Grubenhaus mit Steinen auf. Vermutlich wurde, wie erwähnt, die Strasse um etwa 15 m nach Süden verlegt, wobei man vielleicht den älteren Strassenkörper teilweise abtrug.

Die Grabungsfläche lag leider so ungünstig zum Grundriss der Holzbauperiode I, dass sowohl die westliche als auch die östliche Aussenwand von Haus I nicht bis ins Letzte gesichert sind. Die westliche Aussenwand liess sich zwar auf einer Länge von über 13 m nachweisen, doch können Abgänge nach Westen nicht ganz ausgeschlossen werden. Leider blieb die anschliessende Fläche 1987 auf einer Breite von 7 m ohne Untersuchung (Kap. 3.1.1.). Die östliche Aussenwand konnten wir nicht fassen, doch weist ein deutlicher Niveauunterschied zwischen A10 und A11.50 auf eine oder zwei Trennwände in diesem Bereich hin²⁹. Schlägt man den östlich anschliessenden Raum (Haus II) zum gleichen Gebäude (Haus I) wie die anderen, müsste dieses in der Breite ungewöhnliche 18 m, also weit mehr als die bei Vicushäusern üblichen 8–10 m³⁰. In Oberwinterthur sind die frühen Holzbauten im Unteren Bühl durchschnittlich sogar nur 6 m, das tiberische Haus B1 an der Römerstrasse 186 12 m breit³¹. Die untersuchte Grabungsfläche war demnach wohl im Westen mit dem rund 10 m breiten und mindestens 21 m langen Haus I und mit dem rund 8 m breiten, in der Grabung nur angeschnittenen Haus II überbaut. Die Parzellengrenzen³² verliefen etwa bei A0, A11 und A19. Das östliche Drittel der Grabungsfläche blieb hingegen bis zur Holzbauperiode II frei. Auch westlich der Grabungsfläche scheint das Gelände, nach den spärlichen Spuren zu schliessen, nur partiell überbaut gewesen zu sein³³. Haus I grenzte im Norden an den Hinterhof A. Den südlichen, strassenseitigen Abschluss konnten wir nicht erfassen. Die Strasse lag etwa 9 m südlich der Grabungsgrenze (Kap. 3.1.1.).

Haus I wies im Süden den grossen, die ganze Hausbreite einnehmenden Raum G auf. Anschliessend folgten die zwei ungefähr gleich grossen Räume E und F sowie der hinter Raum F gelegene Raum D. Den Abschluss im Nor-

den zum Hinterhof A bildeten der grosse, L-förmige Raum B und der kleine, nach innen versetzte Raum C.

Die Wände standen auf Schwellbalken, die teils 10–20 cm in den Boden eingetieft waren (Abb. 9), teils, besonders im tiefer gelegenen Westteil, auf Unterlagesteinen ruhten. In die Wandkonstruktion waren einzelne Trappförmige von 10–15 cm Durchmesser integriert, die ca. 20 cm im Boden steckten (Abb. 9). Weitere Hinweise zur aufgehenden Konstruktion fanden sich keine, weder Holzstücke, die sich, ohne verbrannt oder in stets feuchtem Boden eingelagert zu sein, nicht erhalten konnten, noch Lehmfachwerkbrocken. Es kamen auch keine Verputzreste zum Vorschein, die auf unverbrannte Lehmfachwerkwände hinweisen könnten – allerdings müssen Lehmfachwerkhäuser nicht unbedingt verputzt gewesen sein, wie Haus III der Holzbauperiode II beweist. Die Phasen der Holzbauperiode I wiesen jedoch ausser den Lehmböden nur wenige und überdies nicht sehr dicke lehmige Auffüllungsschichten auf (Beil. 1–10) – wohl zu wenig, um die geplanten Lehmwände eines Hauses zu sein³⁴. So ist nicht auszuschliessen, dass die Bauten der Holzbauperiode I analog den ersten Häusern von Oberwinterthur mit Bohlen- oder Stabwänden erbaut waren³⁵. Auch in Vindonissa wird für die Bauten des ersten, sog. schrägen Legionslagers eine Konstruktion in Holz vermutet (Kap. 8.1.).

Die einfachen Lehmböden fielen mit Ausnahme jenes in Raum F gleichmässig mehr oder weniger stark nach Westen und wiesen unterschiedliche Niveaus auf: Im Nordosten (Raum C) lag es auf 377.77 m, im Südwesten (Raum G) auf 376.79 m. Der Niveauunterschied von fast 1 m entspricht dem Gefälle des anstehenden Bodens (s. oben). Die zwischen den einzelnen Räumen im allgemeinen jedoch nur 10–15 cm betragende Differenz überbrückte man vielleicht jeweils bei den Durchgängen mit einer Schwelle als Tritt.

Es fanden sich keinerlei Hinweise zum Dach. Aus dem Grundriss lässt sich die Lage des Firstbalkens nicht herauslesen. Die Häuser dürften mit Schindeln oder Stroh gedeckt gewesen sein, denn Ziegel fehlen.

Die Räume E, F und G waren mit Feuerstellen ausgestattet. In Raum G fand sich zusätzlich eine Mühle.

28 S. auch Kap. 11.3.1.; Haus I: Beil. 12. Da wir Haus II nur in Schnitt 3 (s. Nordprofil B16.50: (67–69), Beil. 6) erfassten, ist es auf Beil. 12 aus Platzgründen nicht abgebildet.

29 Verlängert man den Verlauf der entsprechenden Schichten, so treffen sie sich nicht (Beil. 6: Südprofil B11 (66)/Nordprofil B16.50 (67/68) für Phase 1; Südprofil B11 (102)/Nordprofil B16.50 (103–104) für Phase 2; Südprofil B11 (159)/Nordprofil B16.50 (160) für Phase 3). Der Niveauunterschied war vermutlich noch markanter, da das Südprofil B11 die tiefer gelegenen Schichten von Haus I 5.50 m weiter nördlich als Profil B16.50 erfasste, wo sie höher lagen (Beil. 5).

30 Ulbert 1975, Abb. 11; Sommer 1988, 582.

31 Zürcher 1982, 215; Rychener/Albertin 1986, Plan 3; s. auch Kap. 10.1.1.

32 Der Begriff Parzelle wird hier im architektonischen Sinn, als Überbauungseinheit verwendet und nicht im rechtlichen Sinn; s. auch Niffeler 1988, 180.

33 Freundliche Mitteilung von Helen Koller, Brugg; Koller 1989, 54.

34 In Vindonissa etwa sind die jüngeren, die sogenannten geraden Holzbauten durch eine dicke lehmige Planierungsschicht von den ersten Steinbauten getrennt, in der die eingeebneten Lehmwände zu sehen sind (Sitterding 1961/62, 26; Wiedemer 1962, 26; s. auch Kap. 8.1.

35 Rychener/Albertin 1986, Abb. 87; s. auch Kap. 10.1.1.

Schmiedeschlacken (Taf. 6,2–4) aus der Benützungsschicht von Raum E und aus den im Norden anschliessenden Räumen B und A könnten Raum E als die Werkstatt eines Schmiedes ausweisen, mit der Feuerstelle als Esse. Im Keramikbestand der Räume D, G und F fallen mehrere Fehl- und Überbrände auf – es sind 3 auf 20 Scherben³⁶. Sie könnten auf einen Töpfereibetrieb hinweisen, der sich vielleicht im grossen Raum G befand. In der 5 m² grossen Feuerstelle (A8.50/B21) liesse sich der unterste Teil eines Brennofens sehen³⁷, der allerdings nicht in den Boden eingetieft war. Die Fehlbrände könnten ebenso von einem nicht erfassten Ofen in der Nähe stammen. In der Mühle wurde vielleicht die Magerung für die Keramik aufbereitet, wenn sie nicht zum Mahlen von Getreide diente. Im allfälligen Ofen über der grossen Feuerstelle könnte man auch Brot gebacken haben. Eine dicke Steinpackung, die im Süden und Westen von Raum D beim Umbau zur Phase 2 als Bodenunterlage eingebracht wurde, könnte auf eingetiefte Strukturen unbekannter Funktion in diesem Raum hinweisen, die eine solche Massnahme nötig machten. Die Pfostenlöcher entlang der Westwand (Abb. 9) könnten damit in Zusammenhang stehen.

Das in der Grabung nur angeschnittene Haus II (Beil. 6, B16.50: 67–69) sah wohl ähnlich aus wie Haus I.

Bei der ersten noch lockeren Überbauung am Westrand des Vicus errichtete man auf der 1977 untersuchten Fläche zwei Häuser mit mehreren gewerblichen Betrieben, vielleicht einer Schmiede, einer Töpferei oder einer Bäckerei. Die Erweiterung des Vicus nach Westen erfolgte aufgrund der Funde (Kap. 5.3.1.) in früh-iberischer Zeit (15/20–30).

3.3.2. Phase 2 (HP I.2)³⁸

Haus I auf Parzelle I wurde in Phase 2 recht stark umgebaut. Die nördliche Aussenwand versetzte man nach Süden, wohl auf die Linie der Nordwand von Raum D, so dass der Hinterhof A weiter nach Süden reichte. Vom Haus der Phase 1 blieben nur die westliche und vermutlich die östliche Aussenwand sowie die Nordwand von Raum E und des ehemaligen Raumes G, d. h. der neuen Räume H und J, bestehen. Das Niveau erhöhte man um 10–20 cm, meist mit verschmutztem, sandigem Lehm. Eine Ausnahme macht der neue Raum C, den man rund 20 cm in den Boden des ehemaligen Raumes B eintiefte.

In Phase 2 war das Haus stärker unterteilt als in der vorangegangenen Phase. Im Süden der Grabungsfläche kamen zwei Räume (H, J) zum Vorschein. Gegen Norden



Abb. 9. Holzbauperiode I.1. Räume B und D mit Zwischenwand, rechts Reihe von kleinen Pfostenlöchern in Raum D. Aufnahme nach Norden.

schlossen zweimal je drei Räume (E–G, B–D) an, wobei es sich bei den mittleren Räumen, dem tiefer gelegenen, schmalen Raum C und dem höher gelegenen, L-förmigen Raum F vielleicht um Zugänge zu den übrigen Räumen handelt. Möglicherweise führte eine Treppe von der Nordwestecke von Raum F über den um 60 cm tiefer gelegenen Raum C zu einem Obergeschoss, was den hier nicht auf die Unebenheit des Geländes zurückzuführenden Niveauunterschied erklärte. Es fanden sich jedoch weder im Befund noch unter den Architekturfunden weitere Hinweise auf ein Obergeschoss. Raum D reichte in der Phase 2 weniger weit nach Süden, hingegen etwas weiter nach Westen. Den Rest des ehemaligen Raumes B unterteilte man in die schmalen Räume B und C. Raum E behielt annähernd die Fläche bei. Nur die Ostwand versetzte man bei der Aufstockung des Niveaus im Mittelraum F um eine Wandbrei-

36 Raum D: Inv.-Nr. B77/136b.2.; Raum G: Nr. 45, Nr. 46, dazu vielleicht Nr. 99 (FO Unterlage/Splinterboden von Raum H der HP I.2).

37 Dass Töpferöfen sich durchaus auch innerhalb der Werkstätten befinden können, zeigen Beispiele aus Augst (Swoboda 1971, 9; Abb. S. 13; Abb. S. 17).

38 S. auch Kap. 11.3.2.; Haus I: Beil. 13. Da wir Haus II nur in Schnitt 3 (Beil. 6, B16.50: 69/103–107) erfassten, ist es auf Beil. 13 aus Platzgründen nicht abgebildet.

te nach Westen. Über Raum F der Phase 1 erstreckte sich der neue, erhöhte Mittelraum F und der nach Norden erweiterte Raum G. Der grosse, ehemalige Raum G wurde seinerseits in die Räume H und J unterteilt.

Die Wände waren grundsätzlich gleich aufgebaut wie in der vorangegangenen Phase. Von der Wand zwischen den Räumen H und J waren noch Reste des Schwellbalkens erhalten.

Die Böden senkten sich in Phase 2 gleichmässig mehr oder weniger stark, dem Gefälle des anstehenden Bodens entsprechend nach Westen, im Südwesten zudem nach Süden. Der mit Ausnahme von Raum C nur geringe Niveauunterschied von 10–15 cm zwischen den einzelnen Räumen wurde wohl bei den Durchgängen mit einer Schwelle als Tritt überwunden. Die Böden bestanden zur Hauptsache aus Lehm und waren an der Oberfläche verschmutzt oder mit einer Schmutzschicht bedeckt. Einzig Raum H wies einen massiven, gut gebauten Boden aus Kalksteinsplittern auf, der auf einer Unterlage aus Steinen ruhte. Auch die Lehmböden des einen Teils von Raum D, des erhöhten Mittelraums F und des Nordteils von Raum G lagen auf einer massiven Steinpackung, die vor dem Bau der Wände eingebracht worden war. In den Räumen D und G griff dieses Fundament 10–30 cm in den bestehenden Boden ein.

Der Phase 2 liessen sich, im Gegensatz zur vorangehenden Phase, keine Feuerstellen zuweisen. Einzig die Grube in Raum D, die mehrere übereinander liegende Brandschichten aufwies, ist als Werkgrube oder Ofen zu deuten, wozu die in diesem Raum stark mit Brandschutt durchsetzte Benützungsschicht passt. Möglicherweise findet auch das massive Bodenfundament durch die Tätigkeit in der Werkstatt eine Erklärung. Andererseits könnte die Tatsache, dass die Steinpackung von Raum D und vom Nordteil von Raum G – sie war, wie erwähnt, vor dem Bau der Trennwand eingebracht worden – etwa den Süd- und den Westteil des ehemaligen Raumes D einnahm, darauf hindeuten, dass die Erklärung für die mächtige Bodenunterlage in der Funktion des Raumes D in Phase 1 zu suchen ist. Im Hinterhof A von Haus I zeigten sich zwei Gruben unbestimmter Form. Die östliche (A7/B1.50) wies Reste eines verbrannten Lehm Bodens auf und war mit Brandschutt gefüllt. Es könnte sich ebenfalls um eine Werkgrube oder einen Ofen handeln. In Raum J war die Nordwestecke L-förmig mit einem Hag oder Bretterschlag abgegrenzt. Von den Architektur- und Kleinfunden her weist nichts auf die Funktion der einzelnen Räume oder des gesamten Hauses I hin.

Das nur angeschnittene Haus II auf Parzelle II muss auch in Phase 2 in ähnlicher Weise erbaut gewesen sein

wie Haus I. Im Nordprofil B16.50 (Beil. 6) von Schnitt 3 zeigte sich eine Trennwand (105), die die Hausbreite in die etwa gleich breiten Räume K und L unterteilte. Der in Raum K horizontale Boden (103/104) und in Raum L nach Westen abfallende Boden (106/107) bestand aus verschmutztem Lehm.

Die Phase 2 der Holzbauperiode I datiert aufgrund der Funde (Kap. 5.3.2.) in spättiberische Zeit (30–40).

3.3.3. Phase 3 (HP I.3)³⁹

Obwohl Haus I auf Parzelle I in Phase 3 einen sehr ähnlichen Grundriss aufweist wie in Phase 2, müssen doch beträchtliche Umbauten stattgefunden haben. Viele Wände riss man ab und baute sie, nach der Erhöhung des Terrains um 5–40 cm – im Norden mit lehmigem Kies, im Süden mit schlammigem, mit rotbraunen, vermoderten Holzresten durchsetztem Lehm – auf den neu eingebrachten Lehmböden weitgehend an derselben Stelle wieder auf. Selbst die nördliche Aussenwand, die erst in Phase 2 diese Stelle einnahm, wurde erneuert. Sie weicht im Westen um 1,5°C von der Flucht der vorangegangenen Wand nach Norden ab und bildet mit der westlichen Aussenwand nun einen exakten rechten Winkel.

Im Norden scheinen die beiden ehemaligen Räume im Westen (B,C) zu einem Raum B zusammengefasst worden zu sein – jedenfalls weist kein Niveauunterschied mehr auf eine Trennung hin. Den im Osten anschliessenden früheren Raum (D) unterteilte man in den mittleren Raum C und den schmalen Raum D an der Ostseite des Hauses. Die Räume E, F und G in der Hausmitte blieben in gleicher Form und Grösse bestehen. Im Süden liessen im grossen Raum H die schlechten Erhaltungsbedingungen – vom Boden waren keinerlei Spuren mehr vorhanden – keine zusätzliche Raumunterteilung mehr erkennen, obwohl eine solche nicht auszuschliessen ist.

Die Wände waren grundsätzlich gleich konstruiert wie jene in Phase 1. Zwar werden bei der Beschreibung der Benützungsschicht (124) von Raum A (Beil. 5) Mörtelreste erwähnt, die auf verputzte Lehmfachwerkwände hinweisen könnten. Da vieles dafür spricht, dass sie nur im südlichen Teil beobachtet wurden⁴⁰, könnten sie erst beim Bau der Grube (324) der Steinbauperiode I.1 in die Schicht gedrückt worden sein. Die anderen unter der Grube gelegenen Schichten waren nämlich teilweise ebenfalls stark mit Mörtel durchsetzt⁴¹.

In Phase 3 senkten sich die Böden, wie in den vorangegangenen, dem Gelände entsprechend gleichmässig mehr oder weniger stark nach Westen, im Süden nach Süd-

39 S. auch Kap. 11.3.3.; Haus I: Beil. 14. Da wir Haus II nur in Schnitt 3 (Beil. 6, B16.50: 69/160/161) erfassten, ist es auf Beil. 14 aus Platzgründen nicht abgebildet.

40 Der genaue Ort der Mörtelreste wird leider nicht angegeben, doch scheint die Schicht vor allem zwischen B4.50–B5 für die Beschreibung angeschaut worden zu sein.

41 S. Kap. 11.1.1., Beschreibung zu Schicht (324).

westen. Die mit 15–25 cm relativ geringen Niveauunterschiede zwischen den einzelnen Räumen könnte man bei den jeweiligen Durchgängen mit einer Schwelle als Tritt überbrückt haben. Im Gegensatz zum Haus II handelte es sich durchwegs um einfache Lehm Böden, deren Oberfläche meistens stark verschmutzt oder mit einer Schmutzschicht bedeckt war. In den Räumen G und H fand sich darüber eine Abfallschicht, die zu einem nicht näher bestimmbareren Zeitpunkt planiert wurde. Sie könnte ein Hinweis dafür sein, dass die beiden Räume miteinander verbunden waren.

Das Ziegelfragment in einer Schicht (153) in Raum B (Beil. 6) darf nicht als Beleg für ein Ziegeldach genommen werden, da es später, wohl beim Bau der Mauer (755) der Steinbauperiode II.1, hinein gekommen sein könnte.

Im Hinterhof A kamen eine rechteckige Feuerstelle sowie eine 80 cm tiefe, ovale Grube zum Vorschein. Im Hausinnern waren hingegen – mit einer Ausnahme – keinerlei Feuerstellen, Gruben oder andere Strukturen zu fassen, die Haus I näher charakterisierten. Einzig in Raum H deutet eine Linse von verbranntem Lehm auf eine Feuerstelle hin. Die Kleinfunde – Architekturfunde fehlen vollständig – geben keine Hinweise auf die Funktion der einzelnen Räume oder des gesamten Gebäudes.

Das nur angeschnittene Haus II auf Parzelle II muss in Phase 3 in ähnlicher Weise umgebaut worden sein wie Haus I. Die östliche Aussenwand blieb bestehen. Die im Nordprofil B16.50 (Beil. 6) erfasste Innenwand (105) errichtete man wieder an gleicher Stelle auf dem neuen Splitterboden (160/161). Da dieser in Raum J (160) brandgerötet war und eine stark holzkohle- und aschehaltige Benützungsschicht aufwies, ist anzunehmen, dass sich in der Nähe eine Feuerstelle befand.

Die Phase 3 der Holzbauperiode I ist aufgrund der Funde (Kap. 5.3.3.) in claudische Zeit (40–55) zu datieren.

3.4. Holzbauperiode II (HP II)⁴²

Nach dem Abbruch der Gebäude der vorangegangenen Phase (HP I.3) errichtete man auf den Parzellen I und II zwei vollständig neue Häuser. Die im Osten anschliessende Parzelle III wurde erstmals in die Überbauung einbezogen. Die Grenzen zwischen den Parzellen I und II sowie II und III blieben ungefähr am gleichen Ort (A10/A11 bzw. A19; Abb. 36.37). Haus I auf Parzelle I reichte im Vergleich zu Haus I der Holzbauperiode I 3 m weniger weit nach Norden und etwa 50 cm weniger weit nach Osten, so dass zwischen den Häusern I und II die Gasse M ent-



Abb.10. Holzbauperiode II. Räume D und C mit Zwischenwand und Holztüre zu Raum G. Aufnahme nach Süden.

stand⁴³. Die Westwand von Haus I erfassten wir im Gegensatz zur Holzbauperiode I in der Grabung nicht. Da zwischen der Grabungsfläche von 1977 und jener von 1987 ein etwa 7 m breiter Streifen nicht untersucht werden konnte (Kap. 3.1.1.), ist die Frage nach der Position der Westwand nicht mehr zu beantworten. Wenn man die Grenze der Parzelle I auch im Westen etwa am gleichen Ort (A0) beibehalten hatte, muss sich die Westwand nur um wenig westlich der Grabungsgrenze befunden haben, was vom Grundriss her durchaus denkbar ist. Auch die sich daraus ergebende Hausbreite von etwas mehr als 10 m entspräche jener von typischen Vicushäusern (Kap. 3.3.1.). Haus II und Haus III waren durch einen Bauwich, einen Ehgraben, getrennt. In der Grabung konnten wir keinen der strassenseitigen südlichen Abschlüsse der drei Häuser erfassen. Haus I reichte mit Raum K mindestens bis auf 9 m an den vermuteten Strassenrand heran (Kap. 3.1.1.). Im Norden kam nur der Abschluss von Haus I zum Hinterhof A innerhalb der untersuchten Fläche zum Vorschein.

Das Niveau erhöhte man um 10–35 cm. Im Südwesten, in den ehemaligen Räumen E und H, wurden aus unbekanntem Gründen die Bodenschichten der vorangegangenen Periode I.3 beim Neubau z.T. zerstört.

Das mindestens 9.70 m breite und 16.50 m lange Haus I auf Parzelle I wies eine Reihe kleiner Räume (B–F, H–L) auf, die sich um den grossen Raum G mit zentraler Feuerstelle gruppierten. Dieser war durch den wohl als Windfang dienenden Raum D mit einer Türe aus Birkenholz (Abb. 10) vom Hinterhof A her zu betreten. Auch am Pfosten an der nördlichen Aussenwand könnte eine Türe zu Raum D angeschlagen gewesen sein. Möglicherweise ist in der Abtrennung des Windfanges D von dem nachträglich erhöhten Raum E ein späterer Einbau zu sehen, denn

⁴² Beil. 15; Kap. 11.4.

⁴³ Im Ostprofil A10 (Beil. 5) zeigte sich kein Wandabgang, der die beiden Häuser miteinander verbunden hätte.

Raum E könnte ursprünglich bis zu Raum C gereicht haben, wies er doch in der ersten Phase den gleichen Lehm-boden (242/244) auf wie Raum D (Beil. 6).

Dank dem Brand, dem die Holzbauperiode II zum Opfer gefallen war, ist der Aufbau der Wände gut bekannt. Das Traggerüst bildeten Schwellbalken von 15 cm Breite und 10 cm Höhe, in die wohl Ständer eingezapft waren, und in den Boden eingetiefe Pfosten. Das verkohlte Holz nördlich der Nordostecke von Raum C könnte von einem in den Hinterhof A gekippten Ständer der nördlichen Aussenwand stammen. Die Schwellbalken lagen meistens auf den schon vorher eingebrachten Böden auf. Vereinzelt waren sie in den Boden eingegraben (Abb. 10) oder mit Steinen unterlegt. Obwohl der Brandschutt über Haus I den Passscherben nach umgelagert worden war und Material von Haus III sowie vielleicht eines weiteren Hauses enthielt (Kap. 3.5.1.), bestand er mindestens am Süd-, West- und Nordrand der Parzelle wohl doch zum grossen Teil aus Schutt von Haus I. Denn die Lehmfachwerkbrocken waren dort häufig verputzt⁴⁴, Reste von verputzten Lehmwänden (223/224/251) lassen sich aber nur für Haus I und Haus II, nicht aber für Haus III nachweisen. Überdies unterscheiden sich die aufbewahrten Lehmfachwerkbrocken stark von jenen von Haus III (Taf. 1,3–5) und Fragmente des wohl gleichen Bodens (Taf. 1,1) sowie in gleicher Art bemalten Wandverputzes fanden sich in mehreren Räumen (F–L), nicht aber in Haus III. Auch scheint der Brandschutt den Funden nach mindestens im Westen kaum mit fremdem Material durchmischt gewesen zu sein. Demnach waren die Zwischenräume des Wandgerüsts mit Ruten und mit Strohhäcksel versetztem Lehm ausgefacht. Die Lehmfachwerkbrocken weisen auf eine Wanddicke von mindestens 15 cm hin (Kap. 12.3.1.; Taf. 1,3). Die verstrichenen Lehmwände waren beidseits mit Mörtel verputzt, der teilweise mit einem dünnen Lehm-schlicker versehen war (Taf. 1,3.4) oder eine bemalte Schicht trug (Taf. 3,6; 4,1). Ob das Holzgerüst sichtbar war oder verdeckt, können die aufbewahrten Lehmfachwerkbrocken nicht beantworten. Beim nicht verputzten Haus III waren die Hölzer offenbar vom Lehm umschlossen (s. unten). Dies bestätigt andernorts beobachtete Befunde und Untersuchungen an Lehmfachwerkbrocken: In römischer Zeit waren die Ständer offenbar weniger breit als die Schwellbalken und von der Lehmwand völlig umschlossen⁴⁵. Hinweis auf eine Raumhöhe von mindestens 2.80 m gibt vielleicht



Abb. 11. Holzbauperiode II. Raum A mit Feuerstelle (A5.60/B0.70). Aufnahme nach Norden.

die Lehm-schicht (174) in Raum F (Beil. 1), wenn in ihr tatsächlich eine umgekippte Wand eines Ofens zu sehen ist. Bemerkenswert ist ein Fragment eines Tubulus (Taf. 5,1) vom Bauhorizont im Hinterhof A, das belegt, dass in der Nähe schon in dieser Zeit ein mit einer Wandheizung ausgestatteter Raum gewesen war. Ob er erst in dieser Phase erbaut wurde oder schon vorher, muss offen bleiben.

Die Böden bestanden aus Lehm oder einem Gemisch von Kalksteinsplittern und Lehm. Der Zentralraum G scheint mit einem Bretterboden ausgestattet gewesen zu sein, denn die verkohlten Bretter lagen so schön gerichtet auf dem Lehm-boden, dass sie kaum von einer beim Brand hinuntergestürzten Decke oder Dachkonstruktion stammen können. Das Niveau in den einzelnen Räumen war unterschiedlich: Im Nordosten (Raum E) lag es auf 378.05 m, im Südosten (Raum L) auf 377.55 m und im Westen (Raum B) auf 377.10 m. Der Niveauunterschied von fast einem Meter entspricht dem Gefälle des anstehenden Bodens. Die meisten Böden senkten sich gleichmässig mehr oder weniger stark nach Westen. Nur Raum F, nach Süden, und Raum H, nach Südosten abfallend, bilden eine Ausnahme. Der zwischen den einzelnen Räumen im allgemeinen nur 15–20 cm betragende Niveauunterschied liess sich jeweils bei den Durchgängen mit einer Schwelle als Tritt überbrücken. In Raum E erhöhte man, wie erwähnt, den Boden (245/246) nachträglich um 5–25 cm (Beil. 6).

Fragmente eines gegossenen Mörtelbodens (Taf. 1,1)⁴⁶ machen wahrscheinlich, dass Haus I, mindestens teilwei-

44 Schichten (169/226/235/278). Bei den übrigen Schichten wird trotz der teilweise eingehenden Beschreibung kein Mörtel erwähnt.

45 Befunde: Avenches: Balkenbreite 17 cm, Ständer 10 cm, 6×17 cm, 3×7 cm bzw. 6 11 cm, wobei das grössere Mass längs zum Balken stand (Tuor 1981, 47 Photo 7; Abb. 9.10); Frere 1972, 6 Abb. 4 (Verulamium); Desbat 1985, 78; Abb. 9 (Lyon-Verbe Incarné); Abb. 11.12 (Vienne-Saint-Romain-en-Gal); Hänggi 1988, Abb. 27 (August); Per-ring/Roskams 1991, Abb. 70 (London); Berti/May Castella 1992, 175 Abb. 7.9 (Lausanne-Vidy). – Lehm-fachwerkbrocken: Hufschmid/Sütterlin 1992, 136f. (August); vgl. auch die Ständer der Lehm-fach-werkwand der Steinbauperiode I.1: 9×9 cm bei einer Schwellenbreite

von 18 cm (Kap. 3.5.1.). Die einen Rand bzw. eine Ecke aufweisenden Lehm-fachwerkbrocken der Steinbauperiode I.4 (Taf. 1,6; 2,1) dürfen nicht als Beleg für sichtbare Holzständer herhalten, da sie auch vom Anstoss an eine Mauer stammen könnten. Die von A. Zippelius genannte Übereinstimmung der Ständer mit der Balkenbreite ist nicht nachgewiesen, sondern nur erschlossen (Krämer 1957, 41).

46 Die abgebildeten Fragmente stammen zwar aus dem Brandschutt aus der Mitte von Haus I, der zum grossen Teil wohl Material eines anderen Hauses enthielt (Kap. 3.5.1.), doch kamen gleichartige Fragmente auch im Westen (FK 402) und im Süden (FK 428) zum Vorschein, wo der Brandschutt, wie erwähnt, von Haus I stammen dürfte.



Abb. 12. Holzbauperiode II. Räume U/V (links), Q–S mit verbranntem Gestell in Raum R (Mitte) und P (rechts). Aufnahme nach Süden.

se, mit einem Obergeschoss versehen war. Vielleicht steht der Pfosten in Raum C damit in Zusammenhang, denn er lag in der Verlängerung der langen Wand zwischen den Räumen F/J und den Räumen G/K und könnte als Stütze eines die Deckenbalken tragenden Längsbalkens gedient haben, der auf dieser Wand auflag – einen zweiten Längsbalken könnte man sich auf der langen Wand zwischen den Räumen D/G/K und den Räumen E/H/L vorstellen. Das verkohlte Holz in Raum G hingegen scheint, wie erwähnt, von einem Boden zu stammen und nicht von der Deckenkonstruktion. Letztere verbrannte vermutlich vollständig, wie die Hölzer der Dachkonstruktion, denn bei einem Brand sind die in der Höhe liegenden Bauelemente wie Dach und Decke weit stärker dem Feuer ausgesetzt als der Boden (Schucany 1988).

Hinweise auf die Konstruktion des Daches fanden sich keine, doch dürfte es aus Schindeln, allenfalls Stroh bestanden haben, denn Ziegel fehlen mit Ausnahme jener in der Feuerstelle im Hinterhof A verbauten vollständig. Diese treten hier erstmals in unzweifelhafter Befundlage auf⁴⁷. Die Lage des Firstbalkens lässt sich aus dem Grundriss nicht ablesen.

Neben dem Zentralraum G wies auch Raum C eine Feuerstelle auf. In den Räumen F und J kamen je eine eingetiefe Struktur zum Vorschein, die vermutlich beide deutlich über das Niveau herausragten. Den starken Brandspuren nach könnten sie Öfen gewesen sein, zu deren Nutzung sich aber in den Funden keine weiteren Hinweise finden. Im Hinterhof A befanden sich eine weitere Feuerstelle und eine Grube (Abb. 5.11); hier ist also mit einer gewerblichen Tätigkeit zu rechnen. Wie angedeutet, liefern die Funde keine Hinweise auf die Art des in Haus I betriebenen Gewerbes.

In Parzelle II erfassten wir im Schnitt (B17/A11.60–A23) die Räume N und O von Haus II. Das etwa 8 m breite Haus war mit einem einfachen Lehmbooden versehen, auf den man, etwas von der Mittelachse abgerückt, die verputzte Lehmfachwerkwand gestellt hatte.

Das mindestens 11 m breite und 14,50 m lange Haus III in Parzelle III bestand aus einem langen, remiseartigen Raum P, an den sich mindestens zwei Reihen von kleineren Räumen (Q–S, T–V) anschlossen (Abb. 12). Da die wohl ausserhalb des Hauses gelegenen Gruben G4 und G5 vermutlich zur Holzbauperiode II gehören (s. unten und

47 Zum Ziegelfragment aus einer Schicht (153) der HP I.3 s. Kap. 3.3.3.

Kap. 11.7.1.), befand sich die Nordwand nicht weiter als 6 m nördlich der Grabungsgrenze.

Die Wände bestanden aus 15 cm breiten Schwellbalken, die, im Gegensatz zu Haus I, mehr oder weniger stark in den Boden eingetieft waren. Dazwischen befanden sich einzelne Pfosten. Wahrscheinlich waren auch Ständer vorhanden. Die Wände waren mit Ruten und mit Häcksel gemagertem Lehm ausgefacht, hingegen – im Gegensatz zu den Häusern I und II – nicht verputzt. Wie erwähnt, fanden sich nämlich weder im Befund noch im Brandschutt Mörtelreste. Abdrücke von vierkantigen Hölzern parallel zu den Ruten sprechen dafür, dass das Holzgerüst vom Lehm umschlossen war (Taf. 1,5). Die Oberfläche der Wände war glatt verstrichen.

Die Böden bestanden durchwegs aus Lehm und fielen nach Süden oder Westen ab. Das Niveau der einzelnen Räume lag unterschiedlich hoch, im Nordosten (Raum T) auf 379.32 m, im Südwesten (Raum P) auf 378.26 m. Der Niveauunterschied von über einem Meter entspricht dem Gefälle des anstehenden Bodens.

Im Gegensatz zu Haus I kamen in Haus III keine Feuerstellen zum Vorschein, sondern nur eine kleine Grube und einige Pfosten, deren Funktion sich durch die Funde nicht klären lässt. In Raum Q befand sich in der Südwestecke eine Mühle. In Raum R kam in der Nordostecke ein Gestell aus Holz zum Vorschein (Abb. 12), auf dem sich zum Zeitpunkt des Brandes offenbar mehrere Tongefässe (Nr. 448–450.453.454.458–483), zwei Lampen (Nr. 451.452), ein Spinnwirtel (Nr. 455) sowie eine grosse Schüssel aus Stein (Nr. 484) befanden. Wo und wozu der kleine eiserne Schmelztiigel (Nr. 447) gebraucht wurde, der sich in der Brandschicht fand, ist schwierig zu sagen.

Beim maschinellen Aushub kamen nördlich der Grabungsfläche einige Gruben zum Vorschein (Beil. 23). Den Funden aus der Benützungsschicht nach können nur die beiden Gruben G3 und G5 etwa in die Zeit der Holzbauperiode II datiert werden (Kap. 11.7.1.). Grube G5 muss auch der Stratigraphie nach zu den Holzbauten gehören, denn sie lag unter dem gemauerten Keller W von Haus III der Steinbauperiode I.1. Gleiches gilt für Grube G4, deren Funde aber leider nicht mehr für die Datierung herangezogen werden können. Die Gruben G4 und G5 lagen auf Parzelle III, Grube G3 vermutlich schon auf der im Osten anschliessenden Parzelle. Sie dienten wohl als Keller (Kap. 3.7.4.).

Die drei ausgegrabenen Häuser unterscheiden sich recht stark in der Ausstattung. Beim einfacher gebauten Haus III standen die unverputzten Lehmfachwerkwände auf eingegrabenen Schwellbalken. Auf den Lehmböden kam nirgends eine Feuerstelle zum Vorschein. Haus I und

Haus II wiesen hingegen verputzte, teilweise sogar bemalte Lehmfachwerkwände auf, die auf teilweise gut gebaute Böden gestellt waren. Im wohl zweigeschossigen Haus I waren mehrere Feuerstellen und Öfen zu fassen.

Die drei Häuser fielen einem heftigen Brand zum Opfer. Besonders in Haus III muss das Feuer ausserordentlich heiss gewesen sein, denn die dort gefundenen Lehmfachwerkbrocken sind sehr hart, fast klinkerartig verbrannt und weisen oft eine glasiert wirkende Aussenseite auf. Möglicherweise ist dies auf das Fehlen des Verputzes zurückzuführen, der die Lehmwände besser vor den Flammen geschützt hätte. Waffenfunde (Kap. 4.9.1.) und die Änderung der Parzelleneinteilung in der nächstfolgenden Phase machen wahrscheinlich, dass die Holzbauperiode II einem kriegerischen Ereignis zum Opfer fiel, das anhand der in erneronische Zeit zu setzenden Funde (Kap. 5.4.) mit der von Tacitus (*hist.* I 67) überlieferten Plünderung eines helvetischen Badeortes durch die 21. Legion von Vindonissa im Jahre 69 gleichgesetzt werden kann (Schucany 1983). Die schuttige obere Auffüllung von Grube G5 datiert in frühflavischer Zeit. Offenbar lag sie nach dem Brand des Jahres 69 noch eine gewisse Zeit offen, was mit verschiedenen anderen Indizien (Kap. 3.5.1.; 5.5.1.) darauf hinweist, dass Parzelle III – anders als die Parzellen I und II – nicht so gleich wieder überbaut wurde. Die wenigen Funde aus der auf Parzelle III gelegenen Grube G2 sind vermutlich in die gleiche Zeit, in die frühflavischer Epoche zu setzen. Wenn auch sie aus der oberen schuttigen Auffüllung stammen, ist Grube G2 ebenfalls der Holzbauperiode II zuzuweisen.

3.5. Steinbauperiode I (Beil. 1–10)

3.5.1. Phase 1 (SP I.1)⁴⁸

Nach der Zerstörung der Holzbauperiode II im Jahre 69 teilte man das Gebiet offenbar neu auf⁴⁹. Parzelle I lag nun am Westrand der Grabungsfläche, in der Mitte Parzelle II und im östlichen Drittel Parzelle III. Der Brandschutt der Holzbauperiode II wurde planiert. Um das stark nach Westen abfallende Gelände auszubebenen, schob man Teile des Brandschuttes von Osten, von Parzelle III, nach Westen, auf den Westteil der Parzelle II, nachdem man den dort liegenden Brandschutt offenbar nach Westen und Süden, an den Rand der ehemaligen Parzelle I, verlagert hatte. Dies geht aus den Passscherben hervor (Abb. 13): Der Brandschutt über Haus III der Holzbauperiode II ist mit dem darunter gelegenen Boden eng verbunden. Er lag hier

48 Beil. 16; Kap. 11.5.1.

49 Schucany 1983, 44 Abb. 5. Die Grabung 1987 hat gezeigt, dass es auch weiter westlich zu einer Verschiebung der Parzellengrenzen kam (Abb. 36).

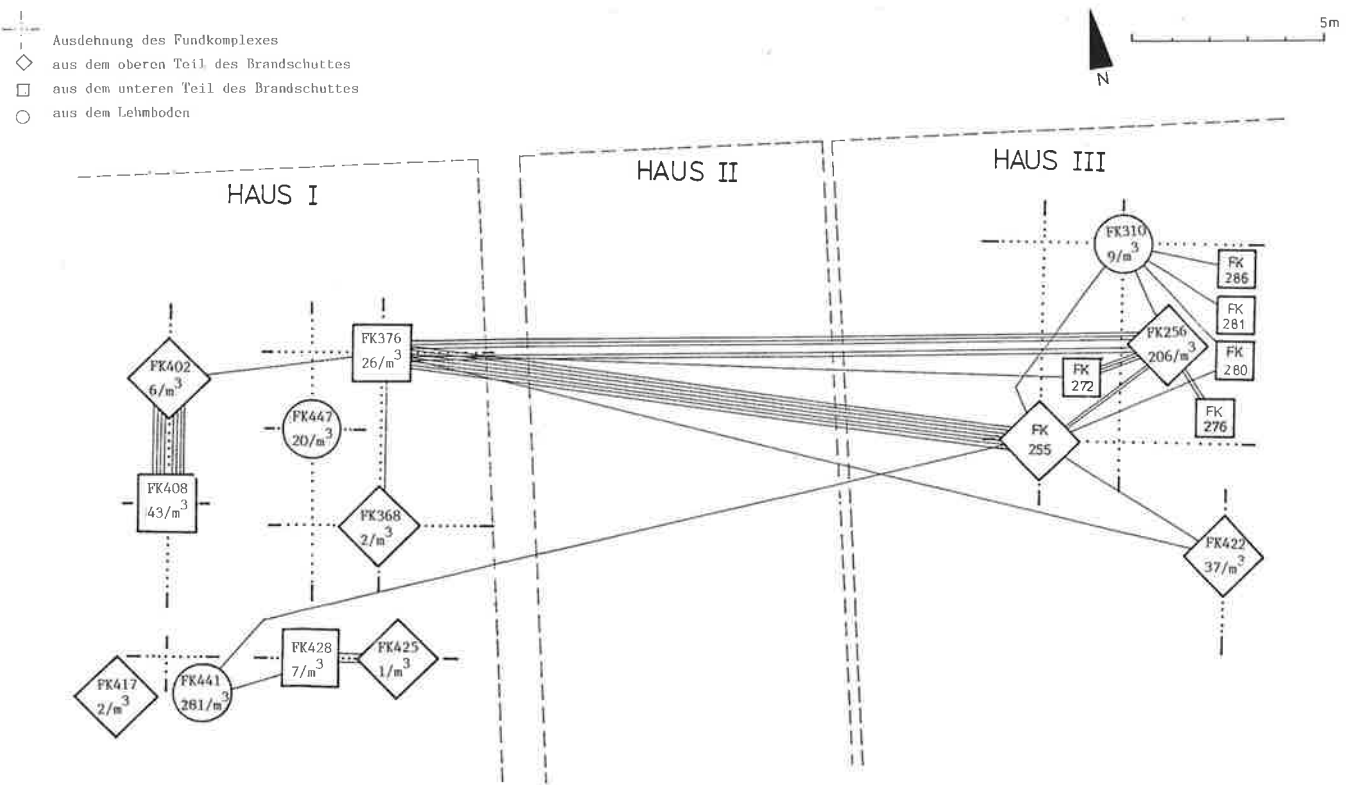


Abb. 13. Holzbauperiode II. Passscherven. M 1:200.

wohl in situ. Anders der Brandschutt über dem Nordostteil von Haus I: Passscherven zu den darunter gelegenen Böden fehlen. Der untere Teil weist jedoch viele Passscherven zu dem in situ gelegenen Brandschutt über Haus III auf. Er muss, mindestens teilweise, von Haus III stammen. Der Brandschutt im Süden von Haus I hingegen ist, mit wenn auch nur einer Passscherbe, mit dem darunter gelegenen Boden verbunden. Er stammt wohl von diesem Haus. Im Westen sind der untere und der obere Teil des Brandschuttes mit vielen Passscherven miteinander verbunden, was vermuten lässt, dass er relativ einheitlich und kaum vermischt ist und nur von einem Gebäude, wohl ebenfalls von Haus I, stammt. Zur gleichen Vermutung sind wir schon anhand der Verputzreste im Brandschutt gekommen (Kap. 3.4.). Im Nordosten fehlen Passscherven zum darunter gelegenen Teil, mit einer Ausnahme, die von der Schichtgrenze stammen könnte, so dass nicht auszuschliessen ist, dass der Brandschutt von weiter her, aus einem anderen Haus stammt. Dieses war, da Hinweise auf Verputz fehlen, wohl wie Haus III unverputzt. Mit dem Planieren des Brandschuttes erhöhte man das Niveau um 30–120 cm, so dass das Gefälle des Bodens sich stark verringerte und auf etwa 10 m nur noch 20 cm (2%) statt 70 cm (7%) betrug. Westlich der Grabungsfläche war

ebenfalls eine Umlagerung des Brandschuttes zu beobachten (Koller 1989, 55). Auch im Ostteil der Parzelle II, über der Parzelle II der Holzbauperiode II, legte man das Niveau um 20–30 cm mit Brandschutt höher, der den Verputzresten nach wohl vom dortigen Haus II stammt. In Parzelle III erhöhte man das Niveau anschliessend ebenfalls, um 30–70 cm, hier allerdings erst nach dem Bau der Mauern. Die Auffüllung bestand im unteren Teil aus einer mit Kiesel und Bruchsteinen durchsetzten Lehmschicht (369/370/382/386/392), im oberen Teil aus lehmigem Kies (371/372/383/393) und nur im Osten lagen darunter noch Reste des Brandschuttes (286). Die Auffüllung aus Kies und Steinen war wesentlich stabiler als der Brandschutt auf den Parzellen I und II, der sich im Lauf der Zeit stark setzte.

Wie bei der Niveauerhöhung ist auch bei Haus III festzustellen, dass man Parzelle III nach der Parzelle II überbaute, denn die Südwand von Raum P stiess an die verputzte Aussenwand von Haus II (Abb. 14.19). Da in der Auffüllung der Grube G5 (Kap. 11.7.1.) unter dem Keller W von Haus III, wie erwähnt, offenbar mehr frühflavische Funde zum Vorschein kamen als im Bauhorizont zu Haus II⁵⁰, scheint vor der Überbauung sogar eine gewisse Zeit verstrichen zu sein.

50 Allerdings ist es schwierig, den Anteil der frühflavischen Funde richtig abzuschätzen, da wir die Grube erst beim Aushub der Baugrube fanden und die Funde nur aus dem Profil klauben konnten. Wieweit

sie wirklich für das Gesamtensemble repräsentativ sind, muss offen bleiben.



Abb. 14. Steinbauperiode I.1. Anschluss der Mauer von Haus III zwischen den Räumen P und R an die verputzte östliche Aussenmauer von Haus II. Aufnahme nach Süden.

Die Masse des Hauptteils von Haus II (Räume E–J/M) von 12.90 m auf 17.00 m und des Kellers W von Haus III von 4.40 m auf 5.70 m lassen vermuten, dass es sich um die in Mauern umgesetzte Schnurgerüste handelt, mit denen gemäss dem Satz des Pythagoras der rechte Winkel mit dem Verhältnis 3 zu 4 (Katheten) zu 5 (Hypothense) konstruiert worden ist. Der Hauptteil von Haus II weist ein Verhältnis in Fussmassen von 45' zu 60' zu 75' auf, der Keller W von Haus III ein Verhältnis von 15' zu 20' zu 25' (Abb. 15). Ein Fuss beträgt bei Haus II durchschnittlich 28,5 cm, bei Haus III 29,13 cm (Tab. 1; s. auch Kap. 3.8.2.). Der Hauptteil von Haus II und der Keller W von Haus III waren wohl die als erste errichteten Elemente zur Überbauung der betreffenden Parzellen, nach denen sich die anderen Bauten zu richten hatten.

Ob wir in der Grabung die strassenseitige Front der Häuser erfasst haben, ist schwierig zu sagen. Die Distanz von den ganz im Süden erfassten Mauern, der Nordwand von Raum L und der Nordwand der Räume S und T, zum vermuteten nördlichen Strassenrand beträgt etwa 9 m (Abb. 39,2). Bei einem Abstand von 4.50 m zwischen dem Strassengraben und der Abschlussmauer, wie er südlich der Römerstrasse belegt ist, bleiben noch gut 4 m Platz für die Räume L, S und T. Für deren Deutung als eine den Häusern vorgelagerte Porticus könnte sprechen, dass von dort (Raum S) der Keller Q durch die gemauerten, rampenartigen Fenster zugänglich war (Abb. 24). Das Problem des Niveauunterschieds zwischen den Räumen S und T hätte man in dem Fall mit einer Stufe statt einer Trennwand gelöst. So liesse sich zudem die als Mauer ausgeführte Nordwand von dem nach Süden vermutlich offenen Raum R erklären, die wie die Nordmauer von Raum L von der Strasse aus sichtbar gewesen wäre und als zurückversetzte Aussenwand fungiert hätte.

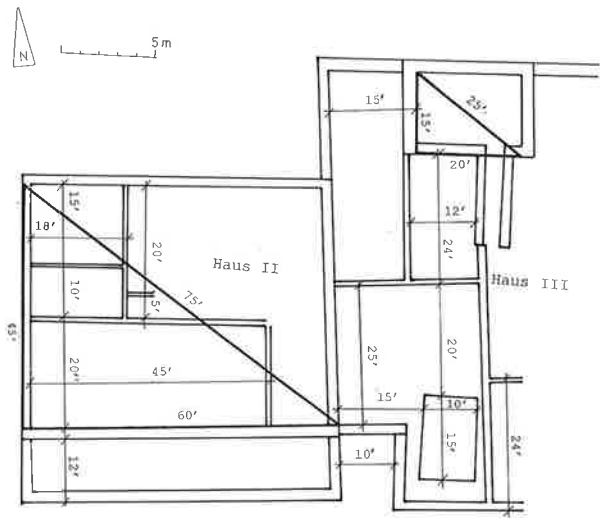


Abb. 15. Steinbauperiode I.1. Fussmasse. M 1:400.

Die erstmals in grösserer Menge auftretenden Ziegelfragmente belegen entsprechende Dächer. Auch in den Auffüllungen (302/306/339) unter dem Gehniveau waren Ziegelreste zu finden. Sie dürften von der Vorbereitung der Dächer stammen und beim Bau der Häuser in die Schichten gekommen sein.

Von Parzelle I schnitten wir nur einen rund 2 m breiten Streifen mit den drei Räumen A, B und C am Ostrand der Parzelle an. Das Niveau fiel stark von Südosten, wo sich über dem Fundamentabsatz der westlichen Abschlussmauer von Haus II die ursprüngliche Höhe (378.30 m) erhalten hatte, nach Nordwesten. Allerdings muss man dabei berücksichtigen, dass der zur Erhöhung des Niveaus der Räume B und C eingebrachte Brandschutt sich stark gesetzt hatte, dass also das Niveau dort ursprünglich wohl erheblich höher lag. Zwischen den Räumen A und B war möglicherweise ein Absatz von über 20 cm (Beil. 1, 298/305). Die Räume A und C wiesen verschlammte Lehm Böden auf, in Raum A mit vermoderten Holzresten durchsetzt. Der Lehm Boden in Raum B war mit einer dicken Benützungsschicht bedeckt. Es kamen keine Mauern zum Vorschein. Die Wände waren, soweit beobachtet, alle in einer leichten Holztechnik errichtet. Die 80 cm hoch erhaltene Westwand von Raum A bestand aus vierkantigen Pfosten und einem Rutengeflecht (Abb. 16). Bei den Räumen A und B könnte es sich um offene Gehege mit Holzzäunen für Tiere, etwa Schweine, handeln, bei Raum C um einen Weg zum Eingang in der Westseite von Haus II. Es ist nicht auszuschliessen, dass Parzelle I vorerst dem gleichen Besitzer gehörte wie Parzelle II. So liesse sich die Lage des Eingangs, in der Westseite von Haus II, von der Parzelle I her, erklären. Hinweise, dass ein Besitz mehrere Parzellen umfassen konnte, sind von Kolonien, etwa Augst (Laur-Belart/Berger 1988, 131), bekannt. Hingegen



Abb.16. Steinbauperiode I.1, Parzelle I. Rechts verstärkter Flechthag der Westwand von Raum A; links Fundament der Steinbauperiode II. Aufnahme nach Süden.

dürften die Befunde in Parzelle I nicht generell dem Haus II bzw. der Parzelle II zugeschlagen werden, denn in allen Phasen zeigt sich, dass die als Parzellengrenze definierte Linie stets zwei Bereiche mit eigenen, sich deutlich voneinander unterscheidenden Entwicklungen abtrennt.

Auf der Parzelle II befanden sich der Hinterhof D, der wahrscheinlich im Westen gegen das Gehege A mit einer Wandkonstruktion begrenzt war, und das 60' (17.20 m) breite und über 18 m lange Haus II, bestehend aus einem 45×60' grossen Hauptteil (Räume E–J/M) und einem 12' tiefen Anbau im Süden. Wie erwähnt, könnte Raum L die strassenseitige Porticus sein. Wir erfassten zwei Eingänge, im Norden vom Hinterhof D in den Raum G und im Westen vom Weg C in den ausgemalten Raum F.

Die Mauern reichten mindestens bis in den anstehenden Boden (Abb.17.32.37). Die in Gräben gegen den Brandschutt gebauten Fundamente bestanden im unteren Teil aus Kieseln und Lehm, im oberen Teil waren die Kiesel mit Mörtel vermauert. Darüber folgte das mit 50 cm rund 30 cm weniger starke aufgehende Mauerwerk in *opus caementicium* (Kap. 3.8.2.). Die nördliche, die östliche und die westliche Aussenwand im Bereich des Hauptteils wiesen Schalen mit versetzten, 10 cm hohen Lagen von Kalksteinquadern auf. Dem Bauschutt (328/352/357/362) nach muss Tuffstein in nicht unerheblichen Mengen verbaut gewesen sein. Die östliche und die westliche Mauer waren auf der Aussenseite in *pietra rasa*-Technik verputzt: Der herausgequollene Mörtel war nur soweit verstrichen, dass die Häupter der Steinquader noch zu sehen waren. Die westliche Mauer wies zusätzlich Fugenstrich auf (Abb.18). Die Südmauer des Hauptteils war oben, wahrscheinlich auf der ganzen Länge (Abb.19.20), mit Mörtel flach abgestrichen. Sie trug wohl die Schwelle einer leichten Wandkonstruktion, vielleicht einer Lehmfachwerk-

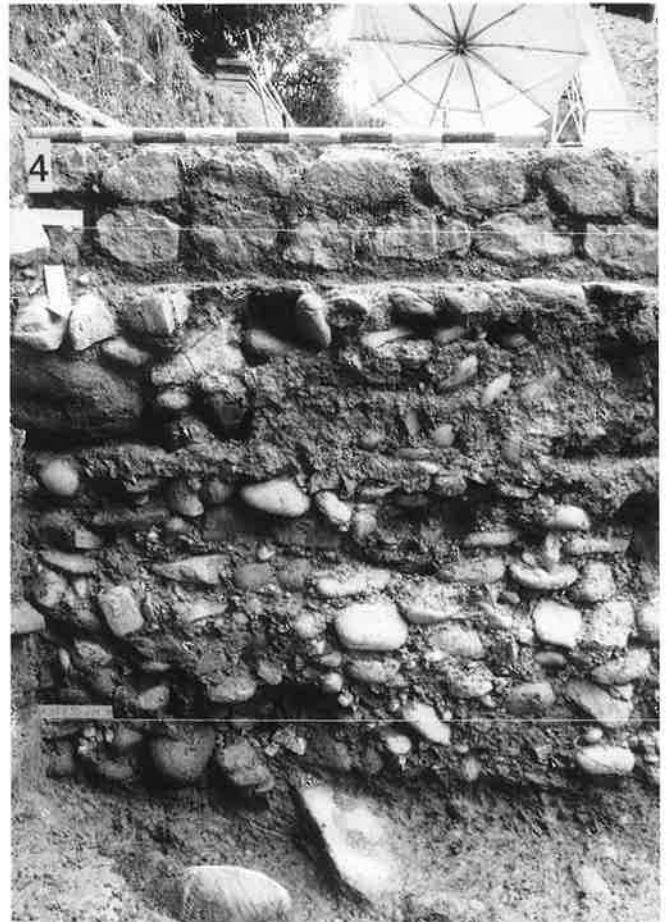


Abb.17. Steinbauperiode I. Nördliche Aussenmauer von Haus II im Bereich des Einganges. Aufnahme nach Süden.

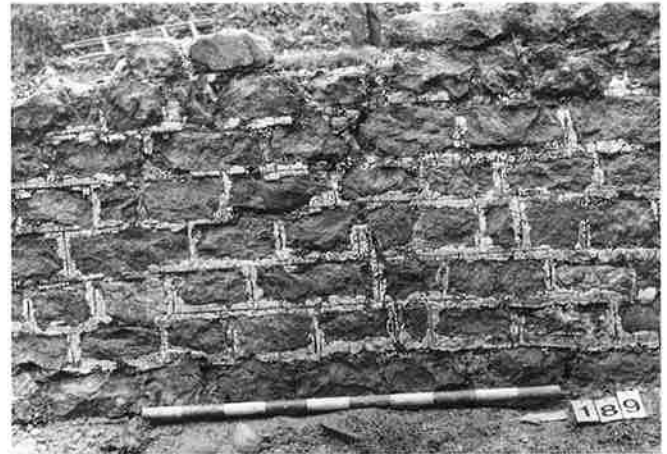


Abb.18. Steinbauperiode I. Westliche Aussenmauer von Haus II, verputzt in *pietra rasa*-Technik. Aufnahme nach Osten.

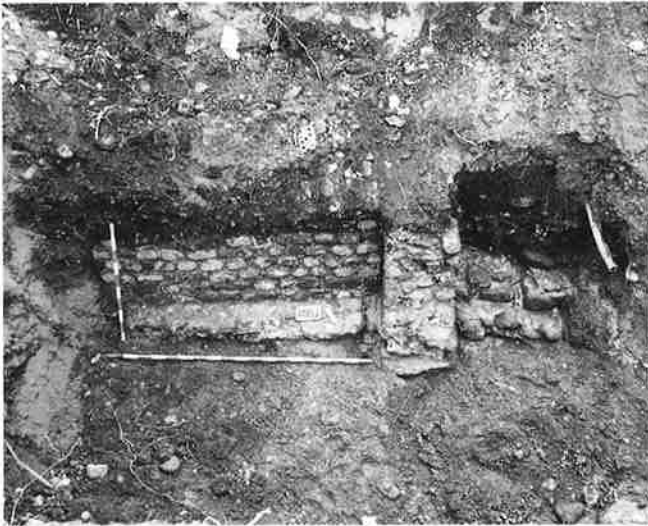


Abb. 19. Steinbauperiode I. Unterschied in der Höhe zwischen der als Mauer hochgezogenen Wand von Haus III (links) und der nur als Sockel ausgeführten Zwischenwand der Räume J/M und K von Haus II (rechts). Aufnahme nach Süden.



Abb. 20. Steinbauperiode I, Haus II. Anschluss des Sockels zwischen den Räumen M und K. Aufnahme nach Südosten.



Abb. 21. Steinbauperiode I.1, westliche Aussenmauer von Haus II. Bau-
fugen beim Hauptteil (links) und mit Raum K (rechts). Aufnahme nach
Osten.

wand analog der übrigen Innenwände. Dafür spricht nicht zuletzt, dass ihr Fundament im Gegensatz zu den übrigen Mauern kaum Mörtel aufwies und nicht bis auf den anstehenden Boden reichte. Die Mauern des südlichen Anbaus K waren weniger sorgfältig gebaut, jedoch vermutlich verputzt. Wie bei der Baufuge zum Hauptteil muss es sich dabei um eine bautechnische Massnahme handeln (Abb. 21), deren Gründe nicht mehr einzusehen sind. Der Anbau K gehört aufgrund der Stratigraphie einwandfrei zu Phase 1, da die Reste der Westwand (379) unter dem Boden (464) von Raum C der Phase 2 lagen (Beil. 7; Abb. 6). Dass auch die Südwand als Mauer aufgeführt war, könnte ein weiterer Hinweis sein, im anschliessenden Raum L die strassenseitige Porticus zu sehen, die von der Strasse her einen Durchblick auf die Mauer zugelassen hätte.

Lehmfachwerkwände unterteilten den Hauptraum von Westen her in mehrere Räume⁵¹. Sie verliefen entlang von Linien in Abständen von ganzen auf Dreier- oder Fünfer-Zahlen basierenden Fussmassen (Abb. 15). Sie bestanden aus einem Schwellbalken, der teilweise auf Unterlagesteinen auflag und wohl ca. 18×18 cm mass, 9×9 cm dicken Ständern im Abstand von 100–130 cm und senkrechten Ruten von 1,5–2 cm Stärke. Diese hölzerne Tragkonstruktion war mit reinem, sandigem, vermutlich mit Häcksel gemagertem Lehm ausgefacht. Die Wände waren meist beidseitig verputzt, in dem vom Weg C zugänglichen Eintrittsraum F, vielleicht ein Empfangsraum, sogar bemalt (Abb. 22). Bei der Südwand von Raum H lässt sich eine Mindesthöhe von 2.60 m ablesen.

Das ursprüngliche Niveau ist anhand der beiden Eingänge zu erschliessen. Im Norden lag es auf 378.65 m, im Westen auf 378.45 m. Die Böden hatten sich im Laufe der Zeit um etwa 40 cm gesetzt. Sie waren als massive Mörtel- und Splitterböden mit gut gebauten Unterlagen oder als einfache Lehm Böden erstellt.

Im Norden, im Hinterhof D, befand sich direkt vor dem Eingang in Raum G eine nur 50 cm tiefe Grube, wohl ein kleiner, überdeckter Vorratskeller. Beim maschinellen Aushub der Baugrube kam nördlich von Haus II der Schacht S4 zum Vorschein (Beil. 23), der Funde enthielt, die in flavische Zeit, aber nicht jünger als das späte 1. Jh. zu datieren sind (Kap. 11.7.2.). Er dürfte zu den frühen Phasen der Steinbauperiode I gehört und als Keller gedient haben (Kap. 3.7.4.). Im grossen Raum J kamen eine wohl hufeisenförmige Feuerstelle sowie Anzeichen von Holzeinbauten (Möbel/Podium) zum Vorschein. Der sorgfältige Ausstattung nach könnte Haus II auch im Parterre als Wohnhaus gedient haben.

In der Grabung und bei der anschliessenden Überwachung des Aushubs der Baugrube konnten wir von Haus III auf Parzelle III nur noch die untersten Reste beobach-

51 Da viele der Wände bis zur SP I.4 bestanden, ist ihr Aufbau dank dem Brand gut bekannt (Taf. 2,4–6), der diesen Bauzustand zerstörte.



Abb. 22. Steinbauperiode I.1, Haus II. Schnitt durch bemalte Ostwand von Raum F. Aufnahme nach Nordosten.

ten⁵². Es war wohl über 25 m lang und sicher 70' (20.10 m) breit, denn zwischen der westlichen Aussenwand (A20) und der östlichen Aussenmauer (A40) kamen in den Nordprofilen B16.50/B10 (Beil. 6) und der Südwand der Baugrube (ca. B7.50/A29–A41) keine weiteren Mauern zum Vorschein.

Im Nordosten der Grabungsfläche lag ein langer Kellerhals, der von Süden, von Raum V, zum gemauerten, das Schnurgerüst umsetzenden Keller W führte. Im Südwesten befand sich die 3.20 m lange, an die verputzte Aussenwand von Haus II anstossende Mauer zwischen den Räumen P und R (Abb. 14.19.28). Da der verwendete Mörtel uns beim Ausgraben gleichartig erschien, sich aber vom Mörtel der Steinbauperiode II deutlich unterschied, ist davon auszugehen, dass die Mauern zusammengehören. Sie waren im Gegensatz zu den Mauern von Haus II in der ganzen Fundamentzone gemauert. Auch hier scheint dem Bauschutt (362/403) nach Tuffstein neben Kalkstein verbaut gewesen zu sein. Im Süden kam im grossen, L-förmigen Raum P ein weiterer Keller (Q) zum Vorschein (Abb. 23), der in die kiesige Auffüllung bis tief in den anstehenden Boden eingegraben war. Die nahezu senkrechten Kieswände müssen einst mit einer Holzkonstruktion verschalt gewesen sein, von der nur noch Spuren der Tragpfosten zu erkennen waren. Der Holzkeller Q war etwa 2.25 m tief und vielleicht mit einer Holzdecke versehen, so dass die Fläche über dem Keller auch von Raum P aus begehbar war. Im Süden wies er zwei schräge, gemauerte Fensteröffnungen auf (Abb. 24), die wohl als Rampendienten, um Güter von der Strasse durch den Vorraum S in den Keller zu befördern. Wenn die Decke auf gleicher Höhe wie das Niveau von Raum P lag (378.80 m), hätte die Höhe der Fenster nur 20–40 cm betragen, es sei denn, im Boden wäre eine Aussparung. Dies ist nicht unwahr-



Abb. 23. Steinbauperiode I.1, Haus III. Holzkeller Q. Aufnahme nach Norden.



Abb. 24. Steinbauperiode I.1, Haus III. Fundament der Ostwand von Raum R (links) und Holzkeller Q mit den rampenartigen Fenstern (vorne) und deren verstärkte Teile (rechts) in der Auffüllung des Kellers. Aufnahme nach Norden.

52 Haus III lag im Bereich der 3. Etappe, wo wir mit dem maschinellen Aushub zu tief gegriffen hatten (Kap. 3.1.2.).

scheinlich; so wäre auch Raum P von Raum S aus zu beliefern gewesen. Wie erwähnt, sprechen die gemauerten Kellerfenster dafür, in Raum S die strassenseitige Porticus zu sehen, die über eine Stufe zum höher gelegenen Teil T geführt hätte. Die Südwand war als strassenseitige Wand im oberen Teil vielleicht wie die Fenster gemauert, was die ungewöhnliche, sonst kaum zu begründende Kombination von Holzkeller und gemauerten Fenstern erklärte. In Raum R könnte man mit der rückwärtigen Mauer (Nordwand), wo vielleicht eine Türe eingebaut war, den gegen die Strasse hin offenen Zugang zu Haus III sehen. Auch die Ostwand mit dem massiven Kieselfundament (Abb. 24) dürfte eine schwerere Wandkonstruktion getragen haben, als es die gewöhnlich in Lehmfachwerk ausgeführten Innenwände waren.

Die von Norden und Westen her vorgenommene Inneneinteilung, deren Achsen auf Modulen zu drei und fünf Fuss basieren (Abb. 15), bildeten Lehmfachwerkwände, vielleicht auch Holzwände und Fundamente von grossen Kieseln, die, wie erwähnt, möglicherweise einst Mauern getragen hatten. Die Kieselfundamente müssen mit dem Einbringen der Niveauerhöhung angelegt worden sein. Die Lehmfachwerkwände waren teilweise verputzt.

Die Böden waren, soweit beobachtet, mit Lehm erstellt. Das ursprüngliche Niveau lag im Nordosten auf 379.55 m, wie es beim Eingang in den Kellerhals von Raum W abzulesen ist. Im Süden könnte die Südseite der Fenster des Holzkellers Q auf ein Niveau von ca. 379.00 m hinweisen, wie es beim Boden von Raum S auch festzustellen ist. Die Böden von Haus III scheinen sich im Gegensatz zu jenen von Haus II nicht oder kaum gesenkt zu haben, was auf die wesentlich stabilere Niveauerhöhung zurückzuführen ist. Im Nordosten lagen sie rund einen halben Meter höher als im Südwesten. Der Niveauunterschied zwischen Raum V und dem Keller W von 2.10 m könnte mit 16 Stufen von 12,4 cm Höhe und 30 cm Tiefe überbrückt worden sein, was eine flachere Treppe ergäbe als heute üblich. Eine Bodenfliese aus Kalkstein (Taf. 1,2) aus der Auffüllung des Kellers Q weist vielleicht auf ein Obergeschoss hin, wenn sie nicht erst beim Bau der Phase 2 in die Schicht geraten war.

Beim maschinellen Aushub kamen nördlich der Grabungsfläche, wohl im Hinterhof von Haus III, die Schächte S8 und S11 zum Vorschein (Beil. 23), die aufgrund der Funde aus der Einfüllung zur Steinbauperiode I.1 gehören könnten (Kap. 11.7.2.). Sie lieferten Funde, die für eine Auffüllung bzw. Aufgabe der Schächte als Keller (Kap. 3.7.4.) im späten 1./frühen 2. Jh. sprechen.

Vielleicht diente das Erdgeschoss von Haus III mit den beiden Kellern und mit den mit einfachen Lehm Böden versehenen Räumen als Lagerraum eines Ladens.

Auf der im Osten anschliessenden Parzelle stellten wir in einem Schnitt eine ostwestlich verlaufende Mauer (B5.50/A40–A41) fest, deren Zugehörigkeit zur Steinbauperiode I nicht gesichert ist. Sie könnte mit der 1893 im Pfarrhausgarten gefundenen Ostwest-Mauer identisch sein (Abb. 3).

Die Phase I der Steinbauperiode I entstand wohl recht bald nach der Zerstörung der Holzbauperiode II im Jahre 69. Die Parzelle III scheint etwas später überbaut worden zu sein als die Parzelle II. Anhand des Fundensembles (Kap. 5.5.1.) lässt sich Phase I in vespasianische Zeit (69–85) datieren.

3.5.2. Die Phase 2 (SP I.2)⁵³

Für die folgende Phase 2 erhöhte man das Niveau um 10–20 cm. Auf der in Phase I mindestens im Osten nicht überbauten Parzelle I baute man Haus I an das schon bestehende Haus II⁵⁴. Es scheint im Osten nur einen Raum (B) von 18' (5 m) Tiefe aufzuweisen, wenn die Nordwand von Raum B (B15.60) als nördlicher Abschluss des Hauses anzusehen ist. Im nicht untersuchten Steg (B11–B13) könnte sich allerdings eine weitere Wand verstecken, obwohl entsprechende Hinweise fehlen. So war etwa der Boden beidseits des Steges sehr ähnlich, und eine Wand ist an dieser Stelle auch von den folgenden Phasen 3 (Beil. 18) und 4 (Beil. 19) her nicht zu erschliessen⁵⁵.

Haus I war von Süden, von Raum C, her zu betreten. Dieser war auch dem Haus II vorgelagert; anders als in den folgenden Phasen scheint an der Parzellengrenze keine Zäsur sichtbar zu sein. In ihm ist wohl die strassenseitige Porticus zu sehen. Damit reichten die Häuser I und II etwa 9.50 m an den vermuteten nördlichen Strassenrand (Abb. 39,3), was zwar mehr ist als südlich der Strasse nachgewiesen (Kap. 3.5.1.), aber durchaus vorstellbar. Demnach hatte man die Front der Häuser um etwa 5 m zurückgenommen. Vielleicht gehörte Haus I, wie schon für Phase I vermutet (Kap. 3.5.1.), vorerst dem gleichen Besitzer wie Haus II, denn ausser der durchgehenden Porticus C scheint auch der Eingang in Raum G noch offen, vom Hinterhof A, zugänglich gewesen zu sein, fanden sich doch in dessen Boden mehrere Spielsteine (Nr. 810–812), die, angesichts der Seltenheit dieser Fundgattung (Kap. 4.7.2.), wie die anderen (s. unten) wohl ursprünglich in Raum J zum Einsatz gekommen waren und von Spielern im Hinterhof A verloren wurden.

Die Böden von Haus I bestanden aus Lehm. Das Niveau muss dem Boden über dem abgebrochenen Teil der westlichen Aussenwand nach ursprünglich einmal auf 378.55 m

53 Beil. 17; Kap. 11.5.2.

54 Die Grabung 1987 brachte keine weiteren Hinweise, wie die zwischen den beiden Grabungsflächen liegende Parzelle I überbaut war, da ein 7 m breiter Streifen nicht untersucht blieb (Kap. 3.1.1.)

55 Die Nordwand von Haus I wechselte jeweils den Standort, sie blieb erst ab Phase 4 an Ort.

gelegen haben. Beim Eingang mit der Höhe von 378.30 m ist wohl eine Schwelle zu ergänzen, um den Niveauunterschied auszugleichen. Die Schichten senkten sich im Laufe der Zeit um bis zu 65 cm. Im Hinterhof A, der in der vorangegangenen Phase einen sehr schlammigen Boden aufgewiesen hatte, stabilisierte man das stark nach Norden abfallende Terrain mit einer Steinpackung. Darüber legte man einen Boden aus kiesigem Lehm.

Im Süden, direkt hinter dem Eingang, und in der Nordostecke des Hauses I befanden sich zwei niedrige, rechteckige Kellergruben, die wohl einst mit Holz verschalt und mit einem Bretterboden überdeckt waren. Ihre Sohle lag etwa 50 cm tiefer.

Haus II auf Parzelle II baute man in Phase 2 um. Im Süden brach man den Anbau K der Phase 1 ab und ersetzte ihn durch den durchgehenden Raum C, wohl die den Häusern I und II vorgelagerte strassenseitige Porticus. Der Boden reichte nur bis zur Südwand des Anbaus K, doch eine ausgedehnte Abbruchschicht (411/451/463), die auch südlich dieser Wand zu finden war, spricht dafür, dass man auch die Südwand abgebrochen hatte. Vielleicht dienten die Reste als Fundament für die Pfosten der neuen Porticus. Im Norden lagerte man dem Haus II eine weitere Porticus (E) vor. Sie war 12' breit, ihre Begrenzung zum Hinterhof D bestand aus Holzpfosten, die im Boden steckten. Das Innere des Hauses bleibt weitgehend bestehen. Die beiden Räume G und H der Phase 1 fasste man zu einem grossen Raum H von 25' Länge zusammen. Das Haus II war von Süden her durch die Porticus C zu betreten, der Raum H von Norden, vom Hinterhof D, her durch die Porticus E. Der Eingang im Westen von Raum A der Parzelle I in Raum G scheint, wie erwähnt, noch offen gewesen zu sein.

In Raum G erhöhte man das Niveau um 10–20 cm und versah die Wände mit einer neuen Malschicht⁵⁶, vielleicht ein Argument dafür, dass der Eingang in der Westwand noch offen war, hatte der Raum doch so weiterhin einen repräsentativen Charakter, den eines Empfangsraumes wie in Phase 1. Raum H war im Norden mit einem Mörtelboden, im Süden mit einem Lehm Boden ausgerüstet. Ausser den unterschiedlichen Böden fehlen Hinweise, dass der Raum unterteilt war. In Raum J wurde der Splitterboden der Phase 1 mit einer dünnen Lehmschicht und, mindestens im Süden, vermutlich mit einem Holzboden bedeckt. Darauf deuten die vielen Münzen, Spielsteine und Glasfragmente hin, die konzentriert entlang der Südwand zum Vorschein kamen. Sie dürften durch die Fuge zwischen Boden und Wand unwiederbringlich hinuntergefallen sein.



Abb. 25. Steinbauperiode I.2, Haus II. Kreisförmiges Fundament in Raum H (vorne), Raum F mit Mörtelboden (hinten). Aufnahme nach Westen.

Der vielleicht nur durch die Porticus C von der Strasse getrennte, grosse Raum J könnte den vielen Spielsteinen, Münzen und Glasgefässen nach ein «Spielsalon» gewesen sein⁵⁷, in dem die Badegäste nach dem Besuch der Thermen Entspannung fanden. In Raum H lag im Norden unter dem Mörtelboden ein kreisförmiges Fundament (Abb. 25), dessen Funktion nicht zu erschliessen ist. Im Hinterhof D zeigten sich Reste einer Feuerstelle. Der beim maschinellen Aushub zum Vorschein gekommene Schacht S4 (Beil. 23) im Hinterhof dürfte in Phase 2 weiterhin als Keller benutzt worden sein.

Haus III auf Parzelle III baute man ebenfalls um. Der Holzkeller Q der Phase 1 in der Mitte des Hauses wurde aufgegeben und mit Kies (476) aufgefüllt (Beil. 10). Darüber folgte eine Schicht mit sehr viel Holz (477), die im Laufe der Zeit sich stark setzte, was zu beträchtlichen Problemen führte (Abb. 26). Das Niveau der übrigen Räume erhöhte man um bis zu 20 cm. Über dem zugeschütteten Keller errichtete man in der Verlängerung des Mauerstumpfes im Südwesten eine auf einem Fundament stehende Lehmwand, so dass im Norden der L-förmige Raum M entstand. Im Graben zwischen den Räumen N und O könnten Pfosten gestanden haben, die den Raum N zur strassenseitigen Porticus machten und den Raum O zum Vorplatz. Letzterer wies einen Kiesboden auf, was der Funktion eines Aussenraumes angemessen wäre. Vom Nordteil des Hauses war so wenig erhalten, dass über allfällige Umbauten nichts ausgesagt werden kann.

Die Böden bestanden, soweit erhalten, aus Lehm. Strukturen kamen in den von der Erhaltung begünstigten Zonen keine zum Vorschein. In der Kelleraufschüttung un-

56 Da man die nördliche und die östliche der mit zwei Malschichten versehenen Lehmwände in der folgenden Phase 3 (Raum G) abriess, muss die Erneuerung spätestens in Phase 2 erfolgt sein.

57 Wie ungewöhnlich häufig diese Fundgattungen im Ensemble der Benützungsschicht sind, zeigt der Vergleich mit dem Gesamtbestand:

die Münzen sind siebenmal häufiger (36% statt 5%), die Spielsteine 40 mal (22% statt 0,5%), das Glas sechsmal (6% statt 1%), während die Keramik nur gut ein Drittel (36% statt 94%) ausmacht (s. dazu Kap. 11.5.2., Raum J).

ter Raum N fand sich das Fragment einer Bodenfliese aus Kalkstein (Taf. 1,2), bei dem aber offen bleiben muss, ob es vom Abbruch der Phase 1 oder vom Bau der Phase 2 stammt.

Die Schächte S8 und S11, die beim maschinellen Ausgrabung nördlich der Grabungsfläche zum Vorschein kamen (Beil. 23), dürften auch in Phase 2 als Keller, Schacht S11 vielleicht schon als Latrine bzw. Abfallgrube gedient haben.

Anhand der Funde (Kap. 5.5.2.) datiert die Phase 2 der Steinbauperiode I in domitianische Zeit (ca. 85–100/105).

3.5.3. Phase 3 (SP I.3)⁵⁸

Das Niveau wurde in der untersuchten Fläche gegenüber der vorangegangenen Phase 2 um 10–20 cm erhöht.

Auf Parzelle I erweiterte man das Haus I um 2.10 m nach Norden auf eine Tiefe von 7 m. Bei der neuen nördlichen Aussenwand dürfte es sich wie in Phase 2 um eine leichte Wandkonstruktion, wohl eine Lehmfachwerkwand, handeln. Von Haus I schnitten wir nur Raum B an, der von Raum C im Süden her zugänglich war. Obwohl dieser nicht den gleichen Boden aufwies wie der im Osten anschliessende Raum K von Haus II, zu dessen Funktion als Porticus Hinweise vorhanden sind, dürfte es sich bei Raum C wie in Phase 2 um die strassenseitige Porticus handeln. Die Grenze zwischen den beiden Räumen war wohl nur durch eine leichte Konstruktion, etwa eine in den Boden versenkte Schwelle markiert. Dass der Eingang zu Raum G von Haus II nun zugemauert wurde, ist anzunehmen; belegen lässt sich die Vermutung indes nicht, da ein klärender Befund wegen der später auf die Mauer gestellten westlichen Aussenwand von Haus II der Steinbauperiode II nicht mehr zu finden war⁵⁹. Vor der Errichtung des Lehmbodens in Raum B waren die beiden Kellergruben der Phase 2 mit Steinen, Mörtelschutt und Lehm (482/483/484) aufgefüllt worden (Beil. 1).

Haus II auf Parzelle II baute man im Innern in grösserem Masse um. Das Verschieben der nordsüdlich verlaufenden Wand (Abb. 27) um 4' (1.10 m) nach Westen vergrösserte einerseits Raum H und verkleinerte andererseits die Räume F und G. Raum G dehnte sich seinerseits durch das Verschieben der Nordwand um 3' (85 cm) auf Kosten von Raum F nach Norden aus. Auch Raum J im Süden wurde vergrössert. Er scheint in der Phase 3 die ganze Länge von Haus II eingenommen zu haben. Der im Süden angebaute, 15' tiefe Raum K lässt sich mit einiger Sicherheit als Porticus bezeichnen, denn es waren Spuren einer leichten Wandkonstruktion zu fassen, in der man eine durchläs-

sige Pfostenwand sehen darf. Sie lag um einen Meter weiter im Süden, wieder näher an der Strasse, als die Südwand von Raum K (SP I.1), die in Phase 2 vermutlich als Fundament für die Porticuspfosten gedient hatte. Anders als in der vorangegangenen Phase scheint in Phase 3 die Porticus K gegen die Porticus C abgegrenzt gewesen zu sein, denn beide Räume wiesen, wie erwähnt, unterschiedliche Böden auf. Haus II war im Süden durch die Porticus K zu betreten, im Norden, in Raum H, vom Hinterhof D durch die Porticus E.

Die Räume F und K wiesen feste Splitterböden mit Steinunterlagen auf, die Räume E, G und J hingegen einfache Lehm Böden, die teilweise stark mit Holzkohlepartikel und Asche verschmutzt waren. Im grossen Raum J kam eine Feuerstelle zum Vorschein. Schacht S4 (vgl. Beil. 23) könnte in Phase 3 als Latrine bzw. Abfallgrube verwendet worden sein. Vielleicht hatte man als Ersatz Schacht S3 erbaut, der beim Brand der nachfolgenden Phase 4 aufgegeben werden musste.

Von Haus III auf Parzelle III zeigten sich vor allem in der Senke über dem aufgefüllten Keller Q der Phase 1 Schichten und Befunde. Im weiteren waren wenige Spuren noch im Südprofil B24 (Beil. 7) zu fassen, die von einem weiteren Horizont unter der durch Feuer zerstörten Phase 4 stammen. Der ostwestlich verlaufende Mauerstumpf im Westen, der gegen Osten durch eine Lehmfachwerkwand verlängert war, trennte die beiden Räume L und M. Beide wiesen einfache Lehm Böden auf, die im Bereich der erwähnten Senke dreimal erneuert werden mussten, da sich die oberste Auffüllung (477) im Keller Q durch das Vermodern des Holzes nach etwa 20 Jahren stark gesetzt hatte. Raum L ist vielleicht wie der westlich anschliessende Raum K als Porticus zu bezeichnen, die ebenfalls nach Süden erweitert in der Grabung nicht mehr zu fassen war, es sei denn der Pfosten (608) im Südprofil B24 (Beil. 7) gehörte schon zur Phase 3 und nicht erst zur Phase 4 (Kap. 3.5.4.).

Strukturen kamen in den wenigen von der Erhaltung begünstigten Zonen keine zum Vorschein. Schacht S8 scheint in Phase 3 als Latrine bzw. Abfallgrube gedient zu haben, während man Schacht S11 wohl schon aufgegeben hatte (Beil. 23).

Die Phase 3 der Steinbauperiode I lässt sich anhand der Funde (Kap. 5.5.3.) in trajanische Zeit (ca. 100/105–110/115) datieren.

⁵⁸ Beil. 18; Kap. 11.5.3.

⁵⁹ Beim Abbruch der jüngeren Mauer fiel uns nichts Besonderes auf. Allerdings verfolgten wir damals dieses Problem nicht.

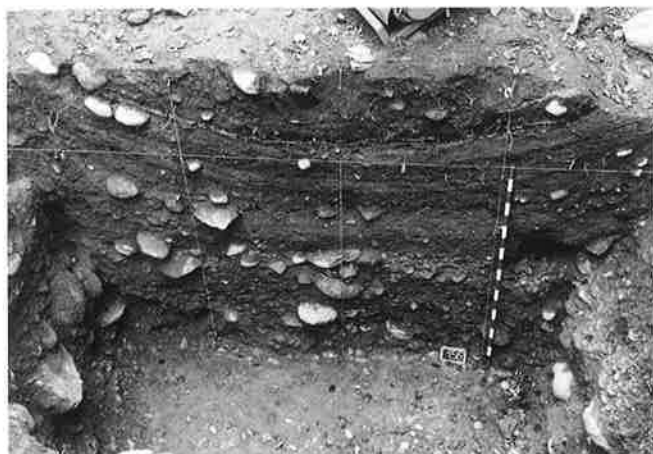


Abb. 26. Steinbauperiode I, Haus III. Nordprofil (B20.50) durch den Keller Q der Phase I. S. auch Beil. 10.

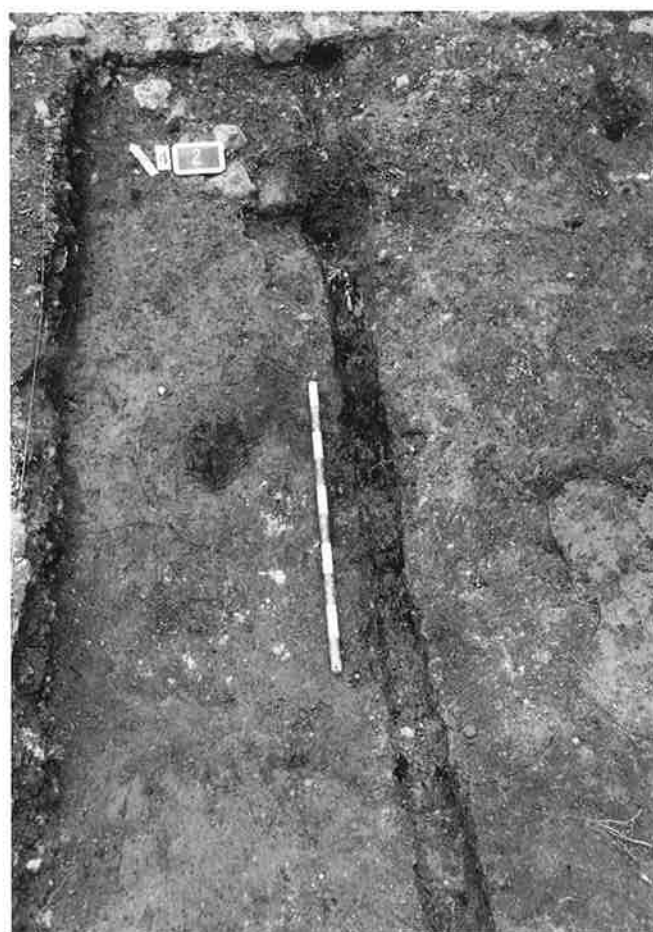


Abb. 27. Steinbauperiode I, Haus II. Wand (Phasen 3/4) zwischen den Räumen F/H bzw. H/K, beidseits oberflächlich gerötete Lehm Böden (Phase 4). Aufnahme nach Norden.

3.5.4. Phase 4 (SP I.4)⁶⁰

Gegenüber der Phase 3 erhöhte man das Niveau im Norden um bis zu 15 cm, im Süden um bis zu 30 cm mit Steinen, kiesigem und lehmigem Erdmaterial. Das ganze Quartier muss am Ende der Phase 4 einem Feuer zum Opfer gefallen sein⁶¹. Wie erwähnt, lassen sich dank des Brandes wichtige Erkenntnisse zur Lehmfachwerktechnik nicht nur der Phase 4, sondern auch der vorangegangenen Phasen der Steinbauperiode I gewinnen, da mehrere Wände seit der ersten Phase bestanden. Der Brandschutt scheint in weit geringerer Masse umgelagert worden zu sein als nach dem Brand der Holzbauperiode II, denn die Passscherben sind selten und zeigen in keiner Weise ein vergleichbares Bild (Kap. 3.5.1.; 4.1.3.). An einigen Stellen war sogar die umgestürzte Lehmfachwerkwand (538/575) in situ zu finden, so dass die Lehmfachwerkbrocken (Taf. 1,6; 2,1–6) mit einiger Sicherheit von den Häusern stammen, in denen sie gefunden wurden.

Auf Parzelle I erweiterte man Haus I nach Norden, gegen den Hinterhof A, um die Räume B und C. Auch bei diesem erneuten Umbau waren die Wände in Lehmfachwerktechnik (Taf. 1,5; 2,1) errichtet. Sie bestanden aus einem Schwellbalken, der oft auf Unterlagesteinen auflag, und einem senkrecht stehenden Rutengeflecht, das mit wie gewohnt mit Häcksel versetztem Lehm ausgefacht war. Die Wände trugen beidseits einen Verputz. Haus I war von Süden her durch den Raum E, wohl wie in den vorangegangenen Phasen die strassenseitige Porticus, über einen Eingang in Raum D zu betreten. Der Durchgang in der östlichen Aussenwand zu Raum J von Haus II war, wie erwähnt (Kap. 3.5.3.) vermutlich zugemauert.

Raum B sowie die Porticus E wiesen einen Boden aus Kalksteinsplittern und Lehm auf. In Raum C liess sich ein Holzboden nachweisen. Raum D besass einen Lehm Boden, der im Süden, im Bereich der Feuerstelle, mit Kalksteinsplittern versetzt war. Die verkohlten Hölzer, die in Raum D auf dem Boden zum Vorschein kamen, stammen vielleicht vom Boden eines Obergeschosses.

Haus II auf Parzelle II wies ausser der Erneuerung der Böden nur wenige Umbauten auf. Eine Wand unterteilte Raum H der Phase 3 in die neuen Räume K im Westen und P im Osten. Im Süden gliederte man den grossen, die ganze Hausbreite einnehmenden Raum J der Phase 3 mit zwei Wänden in die beiden schmalen Räume L und O an den Seiten und den grossen Raum M in der Mitte. Alle neuen Wände wiesen als Tragelemente nicht in Schwellen eingezapfte Ständer auf, sondern Pfosten, die in den Boden eingegraben waren. Rote Verputzreste aus dem Brandschutt belegen, dass mindestens einige Räume bemalt waren.

⁶⁰ Beil. 19; Kap. 11.5.4.

⁶¹ Spuren des Brandes waren auch weiter westlich festzustellen (Koller 1989, 58).

Haus II war von Süden her durch die strassenseitige Porticus N zu betreten. Im Norden führte eine Türe von Raum K durch die Porticus G zum Hinterhof F.

Haus II wies in Phase 4 nur einfache Lehmböden auf (Abb. 27). Einzelne Pfosten in den Räumen G, K und M sowie im Hinterhof F können nicht näher erklärt werden.

Im Schnitt I nördlich der Grabungsfläche (Beil. 23) zeigte sich der von einem Feuer zerstörte Holzkeller K1, der anhand der Funde der Phase 4 zuzuweisen ist (Kap. 11.7.3.) und zu Haus II gehören muss. Das gleiche gilt für Schacht S3, der vielleicht schon in der Phase 3 als Keller erbaut wurde, in Phase 4 aber noch als Latrine bzw. Abfallgrube diente (Kap. 11.7.2.).

In zwei Bereichen haben sich Befunde und Schichten erhalten, die der Phase 4 von Haus III auf Parzelle III zuzuweisen sind: zum einen in der Senke über dem aufgefüllten Holzkeller Q der Phase 1, zum anderen in den Profilen, in Form von Brandschichten und -schutt. Haus III muss in dieser Phase umgebaut worden sein. Mit einer Lehmfachwerkwand unterteilte man den grossen Raum M der vorangegangenen Phase 3 in die Räume Q und S. In Raum R ist wohl wie in dem im Westen anschliessenden Raum N die strassenseitige Porticus zu sehen, von deren Pfostenwand im Süden sich vielleicht ein Pfosten (608) im Südprofil B24 (Beil. 7) zeigte. Die Böden von Haus III bestanden, soweit beobachtet, aus Lehm, jener der mutmasslichen Porticus aus Kies.

Das Fundensembel (Kap. 5.5.4.) datiert die Phase 4 der Steinbauperiode I in hadrianische Zeit (110/115–125/135).

3.5.5. Phase 5 (SP I.5)⁶²

Nach dem Brand der Phase 4 waren nur die gemauerten Teile der Häuser einigermassen intakt, der Innenausbau hingegen muss weitgehend den Flammen zum Opfer gefallen sein. Doch selbst die Mauern hatten stark gelitten, so dass sie renoviert werden mussten, wie Mörtelreste aus dem Bau- bzw. Abbruchhorizont⁶³ belegen. Schlacken (Taf. 6,5.6) aus dem Bauhorizont, die von einer Schmiede stammen könnten (Kap. 4.9.), weisen ebenfalls auf eine intensive Bautätigkeit hin. Mit dem Brand- und Abbruchschutt der vorangegangenen Phase erhöhte man das Niveau um 10–30 cm und ebnete es aus, wobei der Schutt offenbar weitgehend von organischen Bestandteilen befreit wurde. Diese Unterlage erwies sich als wesentlich stabiler als der beim Bau der Steinbauperiode I.1 geplante Brandschutt der Holzbauperiode II. Die Passscherben belegen eine gewisse Verschiebung des Schuttes über weitere Strecken, die aber nicht annähernd das Ausmass der Umlagerung des Brandschuttes der Holzbauperiode II er-

reicht – an mehreren Stellen lag der Brandschutt sogar noch in situ. Wie in den vorangegangenen Phasen waren die Innenräume mit Lehmfachwerkwänden unterteilt.

Haus I auf Parzelle I schloss an der gleichen Stelle wie in der vorangegangenen Phase 4 mit einer Fachwerkwand gegen Norden, zum Hinterhof A ab. Die Wand stand auf einem Fundament aus grossen Steinen, das in die ausgebrochene, da offenbar zerstörte Ecke von Haus II eingesetzt war. Das Fundament (651) muss zu Phase 5 gehören, da der Splitterboden (648) auf die Steine heraufzog (Beil. 1). Vom Gebäude konnten wir einen grossen Raum B im Norden, einen kleineren Raum C sowie den Raum D im Süden fassen. Ob man in diesem wie in den vorangegangenen Phasen die strassenseitige Porticus zu sehen hat, ist schwierig zu entscheiden (s. unten). Im Hinterhof A fand sich das Fragment eines Tubulus (Taf. 5,2), das von einem Raum mit Wandheizung in der Nähe zeugt. Der grosse Raum B wies einen gut gebauten Splitterboden auf, im Gegensatz zu den übrigen Räumen, die mit einfachen Lehmböden ausgestattet waren. Vermoderte Holzreste in Raum D stammen vielleicht von einem Holzboden.

Den Innenraum von Haus II auf Parzelle II unterteilte man nach einem gegenüber den vorangegangenen Phasen neuen Konzept in grössere (F/G/K) und kleinere Räume (H/J/M). Einige Zimmer (H/M/evtl. O) besaßen vermutlich keine Fenster. Ob es sich beim grossen Raum L im Süden, analog den vorangegangenen Phasen, um die strassenseitige Porticus handelt, ist schwierig zu entscheiden. Der Splitterboden (680) im Westprofil A6 (Beil. 5) war bis zur südlichen Grabungsgrenze (B26) erhalten, womit er bis etwa 8 m an den mutmasslichen Strassenrand reichte. Demnach ist mit einer Raumtiefe von mindestens 5 m zu rechnen, was für eine Porticus zwar recht viel, aber nicht unmöglich ist. Vielleicht erstreckte sich der Splitterboden nicht nur über die Porticus, sondern auch über einen Vorplatz, denn in der nachfolgenden, durch Feuer zerstörten Phase 6 war der entsprechende Boden und der darüber liegende Brandschutt nur auf einer Tiefe von 2.50 m zu erfassen (s. unten). Die Räume D und L wiesen unterschiedliche Böden auf, was aber, wie wir gesehen haben, nicht gegen die Deutung als Porticus spricht. Die Grenze könnte lediglich mit einer Schwelle markiert gewesen sein. Die Lehmfachwerkwände standen im allgemeinen auf 15 cm breiten Schwellbalken, die teilweise auf Unterlagesteinen auflagen. Die Wand zwischen den Räumen J, K, N einerseits und Raum L andererseits ruhte auf einer 40 cm breiten Schwelle, sie ihrerseits auf einem als Trockenmauer ausgeführten Fundament (676), das auf einer Mauer (343) der älteren Phasen auflag (Beil. 5). Sämtliche Räume von Haus II sowie der Hinterhof E wiesen einfache, nämlich ohne Unterlage versehene Splitterböden auf. In

62 Beil. 20; Kap. 11.5.5.

63 Schichten (539/543/565/568/570/588/649/650/657/658/670/681/685).

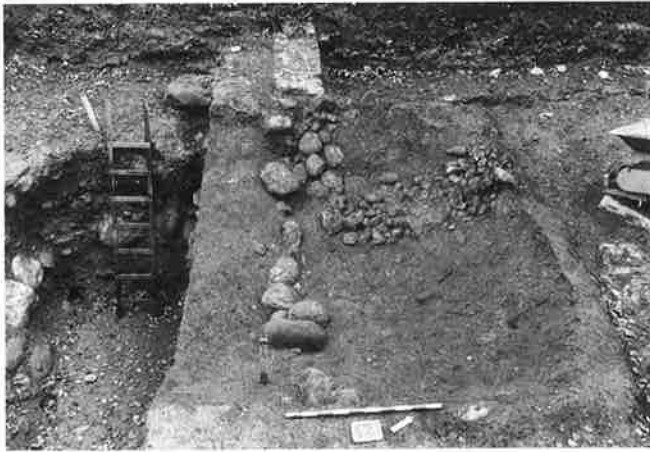


Abb. 28. Steinbauperiode I.5, Haus III. Räume P (links) und Q (rechts). Aufnahme nach Westen.

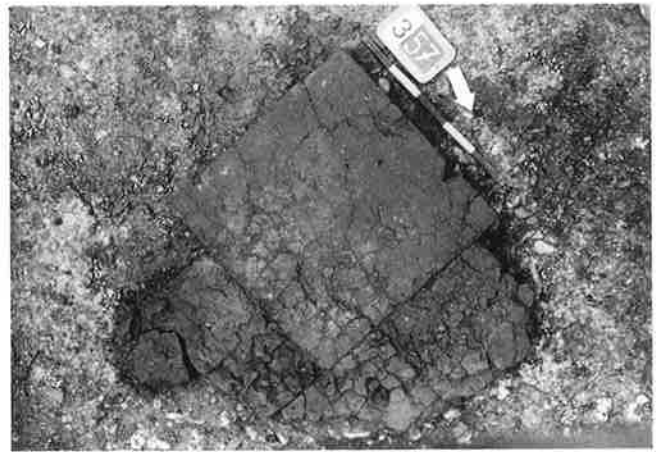


Abb. 29. Steinbauperiode I.6, Haus II. Feuerstelle in Raum E. Aufnahme nach Süden.

Raum F kam eine grosse Feuerstelle zum Vorschein sowie zwei Pfostenlöcher, deren Zugehörigkeit zu Phase 5 allerdings nicht sicher ist. Von den Schächten nördlich der Grabungsfläche (Beil. 23) lässt sich einzig Schacht S1 (Abb. 34) anhand der Funde der Phase 5 (Haus II) zuordnen (Kap. 11.7.2.).

Von Haus III auf Parzelle III waren kaum mehr Schichten und Befunde erhalten. Nur in der Senke über dem Keller Q der Phase 1 kamen ein Lehm Boden, ein Kiesboden sowie das Fundament aus Steinen einer ostwestlich verlaufenden Lehmfachwerkwand zum Vorschein (Abb. 29), die den seit der Phase 1 bestehenden Mauerstumpf nach Osten verlängerte. Eine kleine Grube in Raum Q könnte den entsprechenden Schlacken nach zur Metallverarbeitung gedient haben.

Das Fundensemble (Kap. 5.5.5.) der Phase 5 der Steinbauperiode I zeugt von einer für die vorliegende Fundstelle ungewöhnlich langen Dauer von 25–30 Jahren. Es ist etwa ins 2. und frühe 3. Viertel des 2. Jh. (125/135–155/165) zu datieren.

3.5.6. Phase 6 (SP I.6)⁶⁴

Die Häuser der Phase 5 veränderten sich in der nachfolgenden Phase 6 nur wenig. Zur Hauptsache wurden die Böden erneuert.

Im Osten von Haus I auf Parzelle I fasste man die Räume B und C der Phase 5 zum grossen Raum B zusammen und versah ihn mit einem Splitterboden. Fünf in den Boden eingetiefe Amphoren könnten als *dolia defossa* diesen Raum als Vorratslager ausweisen. Im Hinterhof verfestigte man das Niveau mit Kies und, im Norden, mit z.T. grossen Kieselsteinen und versah es ebenfalls mit einem Split-

terboden. In Raum C im Süden blieb der Boden der Phase 5 (Raum D) bestehen. In diesem Raum ist wohl wie in den vorangegangenen Phasen die strassenseitige Porticus zu sehen, so dass das Fehlen einer Bodenenerneuerung nicht erstaunt.

In Haus II auf Parzelle II erweiterte man den neuen Raum L, ehemals Raum M, nach Osten. Ansonsten wurden lediglich sämtliche Splitterböden mit einer neuen Schicht von Kalksteinsplittern bedeckt. Nur in Raum M ersetzte man den Splitterboden durch einen Lehm Boden. Im südlichsten Raum J waren der neue Splitterboden (721) und der darüber gelegene Brandschutt (722) im Ostprofil A10 (Beil. 5) nur bis B23.30 zu fassen. Ist dies ein Hinweis für eine Raumbegrenzung an dieser Stelle? Da in Raum J – er misst etwa 2.50 m – wohl wie in den vorangegangenen Phasen die strassenseitige Porticus zu sehen ist, war die Wand wohl als durchlässige Pfostenkonstruktion erbaut, so dass das Fehlen von deutlichen Spuren nicht erstaunt. In der Nordwestecke von Raum E befand sich wie im Vorgängerraum eine Feuerstelle (Abb. 29).

Haus III auf Parzelle III blieb, soweit die spärlichen Reste eine Aussage überhaupt zulassen, unverändert.

Die Häuser fielen einem heftigen Feuer zum Opfer, das anders als in der Phase 4 der Steinbauperiode I die Bauten irreparabel zerstörte. Da sich beim Wiederaufbau eine gewisse Änderung in der Parzellierung zeigt und ein kurzer Siedlungsunterbruch nicht ausgeschlossen werden kann (Kap. 3.6.1.), ist zu fragen, ob auch die Phase 6 der Steinbauperiode I wie die Holzbauperiode II einem kriegerischen Ereignis zum Opfer fiel, das aufgrund der Funde (Kap. 5.5.6.) im 3. Viertel des 2. Jh. (155/165–160/175), einer nachgewiesenermassen unruhigen Zeit (Kap. 3.8.1.), zu suchen wäre.

64 Beil. 21; Kap. 11.5.6.



Abb. 30. Steinbauperiode II. Vorne Portikus C (Phasen 2–4), links Haus I, rechts Haus II, alle mit Resten der Splitterböden (Phase 1) über den verbrannten Splitterböden der Steinbauperiode I.6. Aufnahme nach Norden.

3.6. Steinbauperiode II

(Beil. 1–10; Abb. 30)

3.6.1. Phase 1 (SP II.1)⁶⁵

Nach dem Brand der Steinbauperiode I.6 lag das ganze Quartier in Schutt und Asche. Es scheint zu einer Neuauftellung der Parzellen (Abb. 36) gekommen zu sein; ähnlich wie nach der Zerstörung der Holzbauperiode II, wenn auch in geringerem Masse. Die Grenze zwischen den Parzellen I und II (A3) blieb bestehen, jene zwischen den Parzellen II und III jedoch verschob sich um 7 m nach Westen (A13; Abb. 38), so dass Parzelle II nur noch knapp 10 m breit war. Der schlechte Erhaltungszustand der Befunde im Osten lässt kaum Aussagen über die weiter östlich gelegenen Parzellen zu. Die 1893 im Pfarrhausgarten erfasste Mauer VII im Westen ist vielleicht der Steinbauperiode II zuzurechnen, denn sie verlief über dem Keller W (Phase 1) der Steinbauperiode I, ohne auf diesen Rücksicht zu neh-

men, und war wesentlich schlechter erhalten als die Mauern I–V weiter östlich (Stückelberg 1893, 263f.). Falls die Grenzen der früheren Parzelle III ebenfalls beibehalten blieben, unterteilte diese Mauer die Fläche in eine 7 m breite Parzelle im Westen und eine 12 m breite Parzelle im Osten. Auf der im Westen anschliessenden Fläche war eine Verschiebung der Parzellengrenze von etwa 1.50 m zu beobachten (Koller 1989, Abb. 3). Alles in allem scheinen die Parzellen annähernd halbiert worden zu sein.

Im wahrscheinlich 21 m bzw., die mutmassliche Portikus C eingerechnet, ca. 26 m langen Haus I (Abb. 30) auf Parzelle I waren zwei mit Splitterböden versehene Räume A und B zu fassen. An der Südseite des Hauses schloss sich der Raum C an, der sich ohne Markierung an der Parzellengrenze auch dem Haus II vorlagerte. In ihm ist wohl wie in den vorangegangenen Phasen 2–6 der Steinbauperiode

⁶⁵ Beil. 22; Kap. 11.6.1.



Abb. 31. Haus II, westliche Aussenwand im Süden. Mauer der Steinbauperiode II über Mauer der SP I. Aufnahme nach Süden.



Abb. 32. Haus II, westliche Aussenwand im Südprofil B11. Mauer der Steinbauperiode I (rechts) neben Fundamentverbreiterung der Steinbauperiode II (links). S. auch Beil. 6.

riode I die strassenseitige Porticus zu sehen, die, mindestens 5 m tief, bis auf etwa 8 m an den mutmasslichen Strassenrand heranreichte. Sie wies ebenfalls einen Boden aus Kalksteinsplittern auf. Die Wand zwischen der Porticus und dem eigentlichen Gebäude – vorhanden war nur noch das lose Kieselfundament – stand auf der entsprechenden Mauer der Steinbauperiode I.2. Das Fundament (741/743) der mutmasslichen Nordwand bestand aus auffallend riesigen Steinen (Beil. 1.2; Abb. 33). Mit ihnen versuchte man wohl der Wand im stark abfallenden, bisher noch nie überbauten Gelände Halt zu geben. Auch die einzige erfasste Innenwand (738) stand auf einem Fundament (651) der Steinbauperiode I (Phasen 5/6). Angesichts einer Wandstärke von ca. 30 cm dürfte es sich um eine leichte Wandkonstruktion handeln.

Haus II (Abb. 30) auf Parzelle II war etwa 10 m breit und wahrscheinlich 31 m lang, die Porticus C dazugerechnet ca. 36 m. Die schlechten Erhaltungsbedingungen erlauben nur je zwei Räume D und E im Süden sowie F und G im Norden zu erkennen. Die Räume D und E wiesen Splitterböden auf, Raum F möglicherweise einen Holzboden. Letzterer (748) scheint dem Profil B5 nach zwar von

der westlichen Aussenmauer (756) geschnitten zu werden (Beil. 4), doch ist dieses missverständliche Bild wohl auf Setzungen zurückzuführen (Kap. 3.1.3.). Die Schicht lag nämlich über dem brandgeröteten Splitterboden (715) der Phase 6. Die westliche Aussenwand stand im Süden auf der um ein loses Kieselfundament verbreiterten Westwand von Haus II der Steinbauperiode I (Abb. 31.32). Das Fundament der Verlängerung nach Norden bestand ebenfalls lediglich aus lose gefügten Kiesel, doch waren diese auffallend sorgfältig gelegt (Abb. 16.33). Man gewinnt sogar den Eindruck, mit einer Schrägstellung der Steine quer zum Hang hätte man versucht, den im abschüssigen und unstablen Gelände wirkenden statischen Kräften entgegenzuwirken, offenbar mit Erfolg, denn die UK des Aufgehenden verlief nahezu horizontal mit einem minimalen Gefälle von weniger als 1% (ca. 15 cm auf 17 m). Das aufgehende, 60 cm starke Gussmauerwerk war mit 20–25 cm hohen Lagen Kalksteinquadern verblendet. Die Wand im Süden, die Aussenwand hinter der Porticus C, stand ebenfalls auf einer Mauer der Steinbauperiode I (Südwall von Raum J, Phase 1). Lose Kiesel bildeten darüber ein Fundament. Ob die auf der inneren Wandseite im Abstand von



Abb. 33. Steinbauperiode II. Im Nordprofil B0 angeschnittene nördliche Aussenwand von Haus I, Fundament der westlichen Aussenmauer und der angeschnittenen Trennwand zwischen den Räumen F/G von Haus II. S. auch Beil. 2.

1.80 m aufgestellten vertikalen Holzstützen als ins Fundament verkeilte Pfosten oder als in einen Schwellbalken eingezapfte Ständer zu interpretieren sind, muss offen bleiben. Zwischen den Steinen waren keinerlei Hinweise auf einen Balken zu finden. Die Zwischenräume und die äussere Wandhälfte führte man weiter mit Kalkbruchsteinen auf. Wie hoch hinauf diese Ausfachung reichte, ob darüber ein Fachwerk mit Ruten und Lehm folgte, muss ebenfalls offen bleiben. Von der östlichen und der nördlichen Abschlussmauer waren nur noch lose Kieselfundamente vorhanden (Abb. 38). Die Innenwände waren nicht alle in der gleichen Konstruktionsweise errichtet. Die Wand zwischen den Räumen D und E stand auf einem auf einzelnen Unterlagesteinen aufliegenden Schwellbalken, eine Konstruktion, die an die Innenwände in Lehmfachwerk der vorangegangenen Perioden erinnert. Das Fundament der Wand zwischen den Räumen F und G hingegen bestand wie jenes der anschliessenden Nordwand von Haus I aus ungewöhnlich grossen Kiesel, eine Massnahme, die, wie erwähnt, mit den instabilen Bodenverhältnissen in Zusammenhang steht.

Beim maschinellen Aushub nördlich der Grabungsfläche kamen eine Grube, mehrere Schächte und ein Keller zum Vorschein (Beil. 23), die anhand der Funde aus der Einfüllung der Steinbauperiode II zuzuweisen sind. Die Grube G1, die Schächte S7 und S12 sind nach den Funden aus der Einfüllung ins späte 2./frühe 3. Jh. zu datieren, was eine Zuordnung zu den ersten Phasen (1/2) der Steinbauperiode II nahelegt.

Das Fundensembel (Kap. 5.6.1.) datiert die Phase 1 der Steinbauperiode II ins spätere 2. Jh. (160/175–170/185).

3.6.2. Die Phasen 2–4 (SP II.2–4)⁶⁶

Drei Erneuerungen des Splitterbodens (Abb. 30) in der mutmasslichen, den Häusern I und II im Süden vorgelagerten, strassenseitigen Porticus C weisen auf drei weitere Umbauten hin (Phasen 2–4). Die Oberfläche des dritten Splitterbodens (Phase 3) war brandgerötet, was von einem weiteren Brand zeugt, der aber nicht so stark gewütet haben konnte wie jener der Steinbauperiode I.6, da offenbar kein tiefgreifender Wiederaufbau nötig war⁶⁷. Zwei entsprechende Schichten fanden sich im Norden, in Raum F: ein Kiesboden zu Phase 2 und die Brandschicht der Phase 3. Dem Profil B5 (Beil. 4) nach scheint das Fundament (756) der Trennwand der Häuser I und II diese Schichten (748/763/770) zwar zu schneiden, das missverständliche Bild dürfte jedoch durch starke Setzungen entstanden sein, die zu einem eigentlichen Abbrechen der Schichten entlang der Mauer geführt hatte (Kap. 3.1.3.). Der nördlich der Grabungsfläche (Beil. 23) gefundene Schacht S12 könnte beim Brand der Phase 3 zerstört worden sein (Kap. 11.7.2.).

Die Phasen 2 und 3 haben nur wenige Funde geliefert, der Phase 4 allein lassen sich überhaupt keine Fundkomplexe zuweisen, so dass eine Datierung schwierig ist (Kap. 5.6.2.–5.6.4.). Es fehlen aber Funde, die für das 3. Jh. typisch sind, so dass eine Datierung ins späte 2./frühe 3. Jh. (ca. 170/185–210) nicht unwahrscheinlich ist.

Beim maschinellen Aushub der Baugrube kamen nördlich der Grabungsfläche einige Schächte (S2/S5/S9/S10) zum Vorschein, die den Funden aus der Einfüllung nach erst im Laufe des früheren, vielleicht auch mittleren 3. Jh. aufgefüllt wurden. Sie dokumentieren Siedlungsphasen, die jünger sind als die fundführenden Phasen 2 und 3.

3.7. Die Strukturen nördlich der Grabungsfläche⁶⁸

Im folgenden werden die Baustrukturen beschrieben, die beim maschinellen Aushub der Baugrube im Norden der Grabungsfläche zum Vorschein kamen. Wie erwähnt (Kap. 3.1.2.), konnten wir sie leider nur sehr unvollständig dokumentieren. Auch die Funde vermochten wir nur z.T. zu bergen, so dass sie keine repräsentativen Ensembles darstellen, die sich auswerten lassen wie jene aus den Siedlungsschichten. Sie sind deswegen auch nicht im Detail vorgelegt. Die Datierung stützt sich vor allem auf die Sigillata und die Glanztonkeramik, deren Verhältnis wohl der ursprünglichen Relation entspricht, da beide Gattun-

⁶⁶ Beil. 22; Kap. 11.6.2.–11.6.4.

⁶⁷ Allerdings ist zu betonen, dass sich diese Behauptung nur auf wenige Befunde abstützt.

⁶⁸ Beil. 23.

gen etwa gleiche Chancen haben, gesehen und aufgesammelt zu werden. Als weiteres Problem kommt hinzu, dass die jüngsten erhaltenen Siedlungsphasen nur wenig Funde geliefert haben (SP II.2–4) oder ein durch den Bau der Mauern stark von einer Vermischung mit älterem Material betroffenes Ensemble aufweisen (SP II.1), so dass sie das späte 2./frühe 3. Jh. schlecht repräsentieren (Kap. 5.6.), was einen Vergleich erschwert. Insbesondere scheint in den Siedlungsschichten die Glanztonkeramik untervertreten zu sein⁶⁹. Im folgenden datiere ich die Befunde ins frühere und mittlere 3. Jh., wenn die Glanztonkeramik viel häufiger ist als die Sigillata, ins späte 2./frühe 3. Jh., wenn das Verhältnis zwischen Sigillata und Glanztonkeramik ausgewogen ist, und je nach den Sigillatypen ins späte 1. Jh. bzw. frühere und mittlere 2. Jh., wenn die Glanztonkeramik wesentlich seltener vorkommt als die Sigillata. Anhand zweier Beispiele (Schächte S1/S7), von denen die Funde aus der unteren und der oberen Einfüllung getrennt vorliegen, lässt sich dieses Vorgehen überprüfen. Tatsächlich weisen die oberen Komplexe einen höheren Anteil an Glanztonkeramik auf als die unteren (Kap. 11.7.2.). Weiter ist zu bedenken, dass die Funde meistens aus der Einfüllung stammen; sie dokumentieren die Situation bei der Aufgabe der betreffenden Baustruktur, nicht aber während der Gebrauchszeit oder nur insofern, indem sie deren Endpunkt angeben. Eine Ausnahme sind die Schächte S3, S10, S12 sowie der Keller K1, die einem Feuer zum Opfer fielen. Ihre Funde stammen aus der Gebrauchszeit.

3.7.1. Gruben⁷⁰

Mit Ausnahme der sehr hoch gelegenen Grube G1, die Schacht S8 stürzte und wohl zur Steinbauperiode II gehört, den Funden nach vielleicht zu den Phasen I/2, sind die Gruben anhand stratigraphischer Überlegungen, der meist brandigen Einfüllung wegen und anhand der Funde der Holzbauperiode II zuzuweisen. Die Gruben G2, G4 und G5 lagen auf Parzelle III, die Grube G3 vielleicht schon auf der im Osten anschliessenden Parzelle.

Die Gruben lagen gut 30 m und mehr vom Nordrand der mutmasslichen römischen Strasse entfernt. Die Gruben G4 und G5 waren offenbar sehr tief, denn sie reichten über 2 m unter das damalige Niveau, die Grube G3 1.40 m. Ihre Form ist kreisförmig (G2/G3) oder oval (G4). Hinweise auf eine Konstruktion haben wir keine beobachtet.

⁶⁹ Zur chronologischen Bedeutung der Glanztonkeramik s. Tab. 27.

⁷⁰ Kap. 11.7.1.

⁷¹ Kap. 11.7.2.

⁷² Grund dafür mag an die lückenhafte Dokumentation sein.



Abb. 34. Schacht S1, wohl zu Steinbauperiode I.5 gehörig. Aufnahme nach Nordwesten.

3.7.2. Schächte⁷¹

Die Schächte S3 und S12 waren mit Brandschutt gefüllt, so dass sie wohl nach einem der Brände aufgegeben werden mussten, Schacht S3 wohl anlässlich jenes der Steinbauperiode I.4, Schacht S12 bei jenem der Steinbauperiode II.3. Auch die Benutzung von Schacht S10 scheint, einer mutmasslichen Zerstörungsschicht nach zu urteilen, abrupt geendet zu haben (s. unten), selbst wenn keine Brandspuren erwähnt werden⁷². Damit ist im mittleren 3. Jh. mit einem Brand zu rechnen, der durch die Siedlungsschichten nicht mehr bezeugt ist. Die Schächte S2, S3, S7 und S13 wiesen über der ersten Einfüllung, die sich sehr stark gesetzt hatte, eine zweite mit äusserst stabilem Material auf, so dass anzunehmen ist, dass sie nicht erst gegen Ende der Besiedlung aufgegeben wurden. Mit dieser Massnahme begegnete man den statischen Problemen über den durch die starken Setzungen entstandenen tiefen Senken und schuf so einen guten Baugrund für neue Einrichtungen. Dies ist insbesondere bei Schacht S2 von Bedeutung, da seine Einfüllung zum jüngsten Material des Fundplatzes zählt, das wohl ins mittlere 3. Jh. zu datieren ist (Kap. 11.7.2.).

Die Schächte lagen 37 m und mehr vom Nordrand der mutmasslichen Strasse entfernt. Die Wände der Schächte bestanden aus lose aufgeschichteten Kieseln (Abb. 34). Mit einem Durchmesser von 1–2 m waren sie im Grundriss

meist rund (S3–S6/S8/S9/S11/S13), seltener viereckig (S2/S7/S12) oder oval (S1/S10). Die viereckigen Schächte sind alle der späten Steinbauperiode II zuzuweisen. Mehrheitlich reichten sie mit senkrechter Wand 1–3 m in den Boden. Nur der runde Schacht S3 war trichterförmig, und der viereckige Schacht S7 wies im unteren Teil eine Verengung auf. Beim viereckigen Schacht S12 war wohl eine Bodenkonstruktion aus Holz vorhanden, die von einer kompostartigen Benützungsschicht bedeckt war⁷³. Der ovale Schacht S10 scheint mit einem Ziegeldach überdeckt gewesen zu sein, das bei der Zerstörung in den Schacht fiel, der viereckige Schacht S7 vielleicht mit Schindeln.

Die meisten Schächte (S1–S5/S7/S9) waren mit schlammigem, kompostartigem Material gefüllt, das sich im Laufe der Zeit stark gesetzt hatte. Die dünnen Kalkschichten (S9), vielleicht auch die Obstreste (S4/S5/S9) deuten darauf hin, dass die Schächte als Latrinen und/oder Abfalldeponien dienten, mindestens in ihrer letzten Funktion. Die Zugabe von Kalk lässt sich auch in einer durch Kopolithen (Kotsteine) als Latrine gesicherten Grube in Augst wahrscheinlich machen (Hänggi 1989b, 54f.). Auf die primäre Funktion weisen wohl der ovale, vermutlich überdachte Schacht S10 und der viereckige Schacht S12 hin, der, wie erwähnt, mit einem Holzboden ausgestattet war. In beiden Schächten lag über der Grubensohle bzw. über den Holzresten eine kompostartige Benützungsschicht. Darin befanden sich Gefässe, die erst beim Einsturz des Daches bzw. der Aufbauten zerstört oder, wenn der Abbruchschutt nicht als in situ gelegen zu interpretieren ist, bei der Auffüllung der Schächte nach deren Aufgabe zertrümmert wurden⁷⁴. Bei Schacht S10 setzen sich die annähernd ganz erhaltenen Gefässe zur überwiegenden Mehrheit aus hohen, geschlossenen Formen zusammen (86%) – grossen Bechern (28%), grossen Krügen mit zwei oder drei Henkeln (28%), Flaschen, Tonnen und grossen Töpfen keltischer Form (21%) sowie sog. Honigtöpfen (10%) – während Schüsseln selten sind (14%). Es sind vor allem Gefässe, die sich zur Vorratshaltung eignen, etwa von eingekochten Früchten bzw. Most, wie es für die Honigtöpfe bezeugt ist (Hilgers 1969, 299f.), und worauf die etwa in der Benützungsschicht des erwähnten Schachtes S12 gefundenen Obstkerne hinweisen könnten. Beide Schächte sind wohl als Keller zu deuten. Gegen eine Deutung als Sodbrunnen spricht die relativ geringe Tiefe. Sie reichten zwar bis in den anstehenden Kies, nicht aber bis in wasserführende Schichten⁷⁵. Auch als Zisternen lassen sie sich nicht deuten, da ihre Wände nicht abgedichtet waren.

Schächte in Trockenmauerwerk kamen schon mehrmals in Baden zum Vorschein: 1946 fanden sich 3 Schächte von 1.50 m Durchmesser und 2.50 m Tiefe, deren Einfüllung Funde vom späten 1.–3. Jh. enthielt (Drack 1948, 86; Abb. 3.6). 1973 kamen südlich der Römerstrasse am Ostrand des Plateaus ebenfalls drei Schächte zum Vorschein von 1–1.20 m lichten Weite und 2.32–4.64 m Tiefe (Hartmann 1973a, 47f.; Beil. 1). Auch 1977 zeigten sich im Kanalisationsgraben südlich der Römerstrasse zwei Schächte von 1.40–1.80 m Durchmesser und über einem Meter Tiefe (Abb. 3). Auf der Sohle des östlichen Schachtes lag wie bei Schacht S12 verkohltes Holz. Dieses muss von einem verbrannten Gestell stammen, denn verbrannte Scherben kamen auch unter den Hölzern zum Vorschein, was gegen einen Holzboden spricht. Die 1977 angeschnittenen Schächte lagen über 40 m vom Rand der römischen Strasse entfernt, jene von 1973 etwas über 30 m (Hartmann 1973a, Abb. 1).

3.7.3. Keller⁷⁶

Neben dem schon in der Grabung angeschnittenen Keller K2 der Steinbauperiode I.1 (Raum W) kamen im Hinterhof von Haus II der Holzkeller K1 und der vermutlich ebenfalls hinter den Häusern gelegene gemauerte Keller K3 zum Vorschein. Die letzten beiden fielen einem Feuer zum Opfer und wurden anschliessend aufgegeben. Der Holzkeller K1 ist wohl der Steinbauperiode I.4 zuzurechnen. Von Keller K3 fehlen Funde. Da er über Schacht S13 lag, dessen Funde aber leider zur Zeit verschollen sind, ist er wohl eher den jüngeren Phasen zuzuweisen.

3.7.4. Zusammenfassung

Die Gruben, Schächte und der Keller K3 lassen sich alle auf das gleiche Prinzip zurückführen, das ihre Funktion erschliessen könnte. Sie sind meist tief in den Boden eingegrabene, enge Bauten, die im Hinterhofbereich der Häuser lagen. Die Gruben befanden sich rund 30–40 m von der mutmasslichen Strasse entfernt, die Schächte etwa 40–50 m und der Keller K3 ca. 43 m. Damit widerspiegeln sie die sich zwischen den Holzbauten und den Steinbauten ändernde Raumtiefe der Häuser: die Holzbauperiode II, der mit einer Ausnahme die Gruben zuzurechnen sind, reichte weniger weit nach Norden⁷⁷ als die Steinbau-

73 Die Schichtabfolge spricht dagegen, dass die verkohlten Hölzer als Reste von verstürzten Einbauten zu deuten sind.

74 Die erste Deutung scheint mir eher zuzutreffen. Andernfalls wäre zu fragen, warum man die Gefässe vor dem Zuschütten nicht barg.

75 Der Grundwasserstrom befindet sich heute 5–6 m unter der Römerstrasse (Hartmann 1973a, Anm. 7), die UK der tiefsten Schächte (376.50) lag aber nur 4.50 m darunter. Allerdings muss mit Schwän-

kungen des Grundwasserspiegels gerechnet werden (Schroeder 1978, 115f.).

76 Kap. 11.7.3.

77 Leider ist zwar gerade die Lage der Nordwand von Haus III, auf dessen Parzelle die Gruben lagen, nicht bekannt, doch wenn sie weiter nördlich als jene der SP I lag, hätten sich die Gruben innerhalb des Gebäudes befunden, was mir wenig wahrscheinlich erscheint.

perioden I und II mit den zugehörigen Schächten. Bei zwei der Schächte lässt sich die Funktion als Keller nachweisen, eine Deutung, die bei den Kellern gegeben ist, und die ebenso für die Gruben zutreffen dürfte. Ähnliche Gruben liessen sich nämlich in Vindonissa dank guter Erhaltungsbedingungen, insbesondere aber dank guter Beobachtung der Ausgräber als Holzkeller deuten⁷⁸. Die enge und tiefe Form diente wohl dazu, die Erdkühle möglichst lang zu halten. Die meisten Gruben und Schächte benutzte man zuletzt, bevor sie endgültig aufgegeben wurden, als Latrine oder Abfallgrube.

Die Grabung von 1987 im Westen der Grabungsfläche hat keine vergleichbaren Befunde gebracht, was wohl darauf zurückzuführen ist, dass die Häuser dort weiter nach Norden reichten und die entsprechende Hinterhofzone in der Grabung nicht erfasst wurde. Denn, wie erwähnt, kamen Schächte im Hinterhofbereich der Häuser schon andernorts in Baden zum Vorschein. Im gleichen Gebiet fanden sich auch einige Gruben, deren Befund leider nicht beschrieben ist⁷⁹.

Gruben und Schächte in der Hinterhofzone der Häuser sind schon andernorts beobachtet worden. In Vindonissa fanden sich neben den erwähnten Gruben auch Schächte (Weiss/Holliger 1979/80, 46ff.). Sie datieren ins 2. Jh., in die Zeit nach der Aufgabe des Legionslagers, als vor allem die Bauten entlang der Via Principalis noch bewohnt waren. Sie lagen in den Hinterhöfen, etwa 50–60 m von der Strasse entfernt. Ein gut vergleichbares Beispiel ist der Vicus von Bliesbruck. Dort kamen neben einigen Töpferöfen eine grosse Anzahl von Gruben und Schächte im strassenabgewandten Bereich hinter den Häusern zum Vorschein (Schaub et al. 1984, Abb. 2.3; Petit 1988, 197; Taf. 3; 4). Die Gruben waren bis zu 2 m tief und im Grundriss rund oder oval, mit einem Durchmesser von 1–2.50 m (Schaub et al. 1984, 232ff.; Petit 1988, 13ff.). Ihre Einfüllung bestand aus einer oder mehreren durch sterile Straten getrennten Fundschichten, die viel Keramik, vor allem aber viele, teilweise grosse Knochen enthielten und in claudisch-flavische Zeit datieren. Sie gehören zu den Lehm-fachwerkbauten der ersten Überbauungsphasen (Petit/Schaub 1992, 21f.). Die Schächte waren ebenfalls meist rund oder oval, mit einem Durchmesser von 0.90–2.50 m (Schaub et al. 1984, 242ff.; Petit 1988, 83ff.). Mit einer Tiefe von 0.50–4.10 m erreichten sie das Grundwasser nicht. Die Wände bestanden aus trocken aufgeschichteten Kalkbruchsteinen, im unteren Teil aus Kieseln. Die Einfüllung

war ebenfalls sehr fundreich, mit vielen Knochen und Keramik; die ins 2. Jh., in die Zeit der Steinbauten, datiert. Im oberen Teil bestand sie jedoch oft aus grösseren Steinen. Bei einigen fanden sich auf dem Grund mehrere ganze Gefässe, die teilweise von einem Ziegel bedeckt waren. Die Autoren haben diese Strukturen bisher als Opfergruben und Opferschächte gedeutet (Schaub et al. 1984, 258; Petit 1988, 205). Neuerdings ziehen sie, nachdem mehrere eindeutig als Latrinen dienende Schächte zum Vorschein gekommen sind, auch andere Funktionen in Betracht (Petit/Schaub 1992, 46).

3.8. Schlussbetrachtungen

3.8.1. Siedlungsablauf (Abb. 35.39–41)

Während der Grabung 1977 fanden wir Anzeichen von Gräbern spätaugusteischer Zeit und erfassten vermutlich Reste der nach Vindonissa führenden, wohl schon seit keltischer Zeit bestehenden Strasse (Abb. 35,1). Demnach befand sich das Gelände zuerst am Westrand, noch ausserhalb des Vicus. Ein Grubenhaus, wohl eine kleine Schmiede, kündigt die Überbauung der Fläche an. Das Bestehen von Aquae Helveticae, wenn auch in noch kleinem Ausmass, schon in spätaugusteischer Zeit widerspricht der bisherigen Forschungsmeinung (Doppler 1976, 7), die aufgrund der Sigillatastempel, insbesondere des Fehlens von gestempelter Arretina (Drack 1944, 176), und der Münzen (Doppler 1983) ein Gründungsdatum erst um 20 n. Chr. angenommen hat. Dem ist zweierlei entgegen zu halten: Einmal sind sowohl Sigillatastempel wie Münzen seltene Funde⁸⁰. Zudem ist zu fragen, ob bisher überhaupt grosse Mengen der frühesten Schichten gehoben worden sind, denn vor allem den Mauern entlang grabend (Heierli 1895, 438) erreichte man offenbar nur sporadisch, in «Bohrungen» sozusagen (Stückelberg 1893, 264), den mit 2–3 m tief unter der Oberfläche gelegenen sterilen Boden⁸¹. So ist nicht auszuschliessen, dass die späteren Funde aus den oberen, leichter zu erreichenden Schichten übervertreten sind. Überdies sind Schichten, die den frühesten der hier vorgelegten entsprechen, bisher nicht eindeutig belegt. Als erste auf dem anstehenden Boden liegende Schicht wird nämlich meist eine von zwei oder drei Brandschichten genannt, die wohl mit jener der Holzbauperiode II

78 Weiss/Holliger 1979/80. Bei eckigen Gruben war eine kistenartige Verschalung nachzuweisen (a.a.O. Abb. 5), bei runden eine fassartige mit senkrechten Fassdauben (a.a.O. Abb. 14) und horizontalen Reifen (a.a.O. Abb. 18). Die Gruben gehören mehrheitlich zu den frühen Bauten, jenen der 13. Legion.

79 Drack 1948, 86. Bei der Überwachung des Kanalisationsgrabens 1977 fanden wir im strassenabgewandten Bereich Gruben, deren Befund und stratigraphische Lage wir aber nicht beschrieben.

80 Die Sigillatastempel der Grabung 1977 – gestempelte Arretina fehlt – machen knapp 8% der Randscherben und vermutlich weniger als 1% der Gesamtheit der Sigillatascherben aus. Die 90 Münzen, die sich einer einzigen Phase zuordnen lassen, stellen 5% der Randscherben des gesamten stratifizierten Keramikbestandes dar.

81 Keller 1872, 309; Heierli 1895, 440; Drack 1948, 82ff.; JbSGUF 45, 1956, 48.

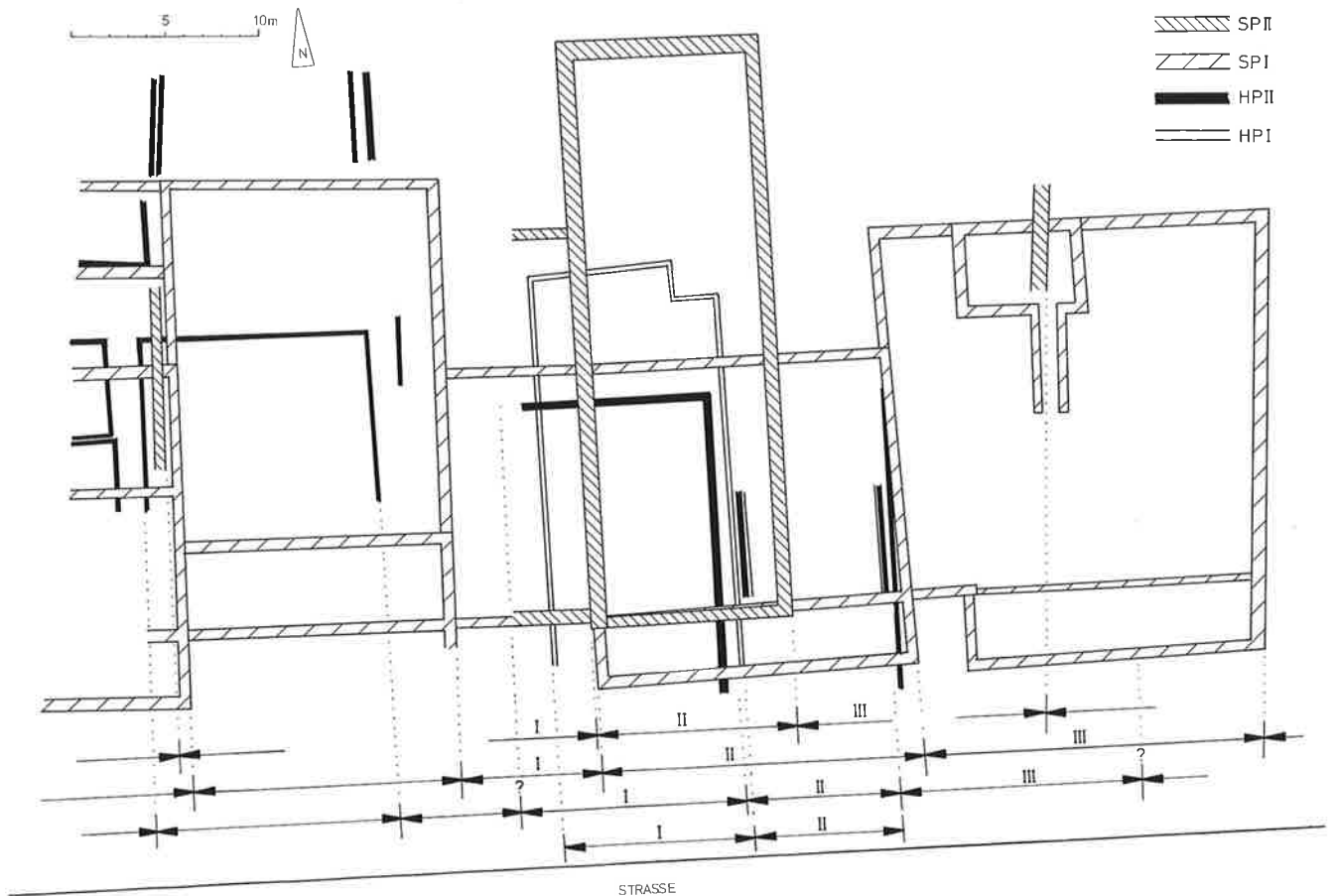


Abb. 35. Parzellierung. M 1:400.

gleichzusetzen ist. Im Garten des evangelischen Pfarrhauses nordöstlich unserer Grabung (Abb. 3) fand sich nur eine Brandschicht (Stückelberg 1893, 264), direkt auf dem gewachsenen Boden gelegen, die ins mittlere 2. Jh. datiert und wohl jener der Phase 4 oder 6 der Steinbauperiode I entspricht. Beim sog. Militärspital, im Süden gegenüber unserer Grabungsfläche gelegen, kamen Funde bis auf eine Tiefe von 2 m vor (Heierli 1895, 440), die gleiche Tiefe, die auch für die unterste Brandschicht genannt wird; offenbar waren hier keine früheren Schichten zu bemerken. Einzig bei Ausschachtungsarbeiten für einen Öltank beim Kursaal, 120 m südöstlich unserer Grabung, fand sich in 2.30–2.70 m Tiefe unter der untersten Brandschicht eine Kulturschicht (Ettliger/Haberbosch 1953, 8f.; Ettliger 1969/70, 240). Sie war sehr fundreich und wird aufgrund weit auseinanderliegender Passscherben als planierter Abfallhaufen gedeutet. Anhand der Sigillata – Arretina- und frühe Hofheimtypen – ist sie in spättiberische Zeit (25–35) zu setzen (Ettliger 1969/70, 244; Abb. 1.2), was der Holzbauperiode I.2 entspricht⁸². Der Fundort liegt etwa 35 m südlich der römischen Strasse, also wohl im Be-

reich der Hinterhöfe. Das ursprüngliche Zentrum des Vicus ist vermutlich im schmalen Streifen beidseits der Römerstrasse östlich der Grabung 1977 zu suchen, der bisher nicht untersucht ist oder wie im Fall des sog. Militärspitals (Heierli 1895; Hauser 1896) in einer Weise, dass die Ergebnisse mit grossem Vorbehalt zu nehmen sind. Die Verzweigung der Strasse von Vindonissa zu den Thermen einerseits und nach Turicum/Zürich andererseits (dazu Doppler 1972, 88f.) könnte der Kristallisationspunkt sein, von dem aus sich die Siedlung entwickelte.

Um 15/20 n. Chr. begann man das in der Grabung untersuchte Gelände zu überbauen (Abb. 35,2). Die Strasse wurde um etwa 15 m nach Süden, unter die heutige Römerstrasse verlegt, wo sie in der Folge verblieb. Die Baureste lassen sich vier Perioden zuweisen: zwei sog. Holzbauperioden I und II, deren Traggerüst aus Holz bestand, und zwei sog. Steinbauperioden I und II, deren Hauptwände hoch hinauf gemauert waren.

Die Parzellengrenzen (Abb. 36) der Holzbauperioden I und II weichen nur minim voneinander ab (Abb. 37), auch wenn jene der Holzbauperiode I leider nicht ganz gesichert

82 Kap. 5.3.2.; die Sigillaten gehören meinen Typengruppen A und B an (Kap. 4.2.1.).

sind. Es dürfte sich um die gleiche Einteilung handeln. Anders die Parzellierung der Steinbauperiode I. Sie weicht erheblich von jener der vorangegangenen Holzbauperioden ab. Beim Bau der Steinbauperiode II verblieben einige Parzellengrenzen an Ort, andere traten neu hinzu (Abb. 38), so dass man den Eindruck gewinnt, die grösseren Parzellen seien unterteilt worden.

Zu Beginn, in tiberisch-claudischer Zeit, scheint das Gebiet erst locker besiedelt gewesen zu sein (Abb. 35,2), denn die Parzellen im Osten und im Westen der Holzbauperiode I (Häuser I/II) waren offenbar, wenn überhaupt, nur partiell überbaut⁸³. Die Häuser wurden zweimal erneuert (Abb. 35,3,4). Die Gründe für die rasche Folge der Umbauten – alle 10–15 Jahre – liegen wohl in der wenig massiven Bauweise⁸⁴.

In neronischer Zeit verdichtete sich die Überbauung (Abb. 39,1). Wie im Osten, so überbaute man auch im Westen die bisher leeren Parzellen (dazu auch Koller 1989, 54 Abb. 4). Die Holzbauperiode II fiel im Jahr 69 der Plünderung und Zerstörung durch die 21. Legion von Vindonissa zum Opfer.

Der Wiederaufbau (Abb. 39,2) in vespasianischer Zeit scheint in Etappen vor sich gegangen zu sein, denn man baute das Haus III im Osten an das schon bestehende Haus II, während die Parzelle im Westen offenbar erst in der Phase 2, in domitianischer Zeit, überbaut wurde (Abb. 39,3). Da man beim Planieren des Brandschuttes der Holzbauperiode II die organischen Bestandteile nicht ausgelesen und den Holzkeller der Phase 1 mit ungeeignetem Material aufgefüllt zu haben scheint, wurden die statischen Verhältnisse so prekär, dass die Häuser trotz der massiveren Bauweise ebenfalls häufig, alle 10–15 Jahre, in beträchtlichem Masse erneuert werden mussten, was zu sechs Phasen für die Steinbauperiode I führte (Abb. 39,2,3; 40,1–3; 41,1). In hadrianischer Zeit fiel das Quartier einem weiteren Brand zum Opfer, der aber offenbar weniger zerstörerisch war als derjenige anlässlich der Plünderung im Jahre 69 – vielleicht konnte er bekämpft werden. Nichts weist auf eine kriegerische Zerstörung hin. Möglicherweise korrigierte man beim offenbar unmittelbar anschließenden Wiederaufbau einige Irrtümer, die zu den instabilen Bodenverhältnissen geführt hatten, denn die folgende Phase 5 bestand wesentlich länger, während 25/30 Jahren, also etwa einer Generation. Die letzte Phase der Steinbauperiode I dauerte nur kurz. Sie fiel nämlich im 3. Viertel des 2. Jh. einem weiteren Feuer zum Opfer. Dieses zerstörte, anders als das vorangegangene, die Bauten in einer irreparablen Weise. Da beim Wiederaufbau eine Änderung der Parzelleneinteilung zu beobachten ist – die Flächen



Abb. 36. Parzellengrenzen der Holzbauperioden I und II sowie der Steinbauperiode I bei A20 im Nordprofil B16.50. S. auch Beil. 6.



Abb. 37. Parzellengrenze der Steinbauperiode II bei A13 im Nordprofil B16.50. Östliche Aussenwand von Haus II durchschlägt die älteren Schichten. S. auch Beil. 6.

83 Hinweise zur ersten Überbauung auf der Grabungsfläche von 1987 verdanke ich Helen Koller, Brugg.

84 Vgl. unten. In Besançon lässt sich eine Dauer von 20/30 Jahren für die keltischen Häuser nachweisen (Guilhot et al. 1992, 241).

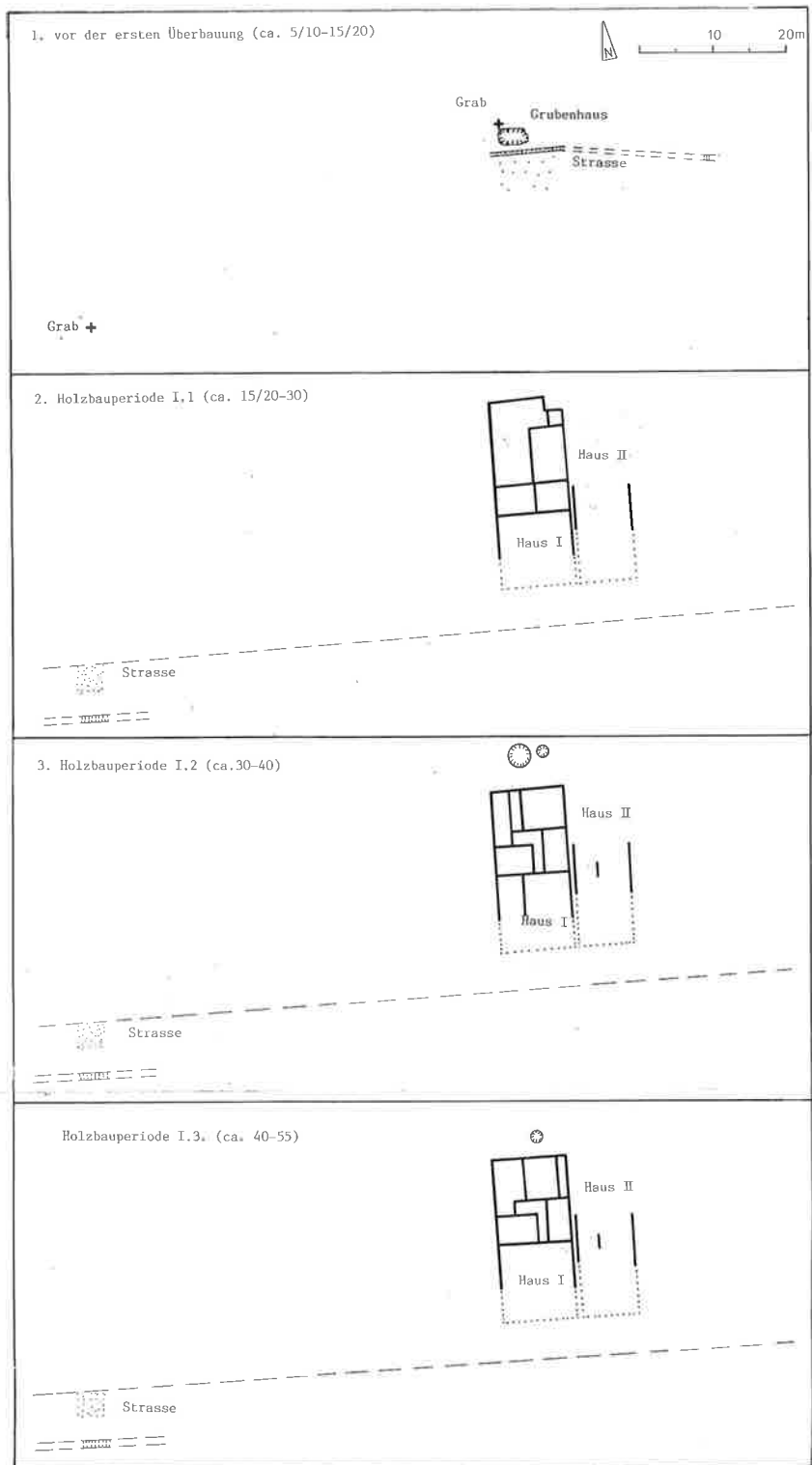


Abb. 38. Siedlungsablauf: 1. Hälfte des 1. Jh. M 1:1000.

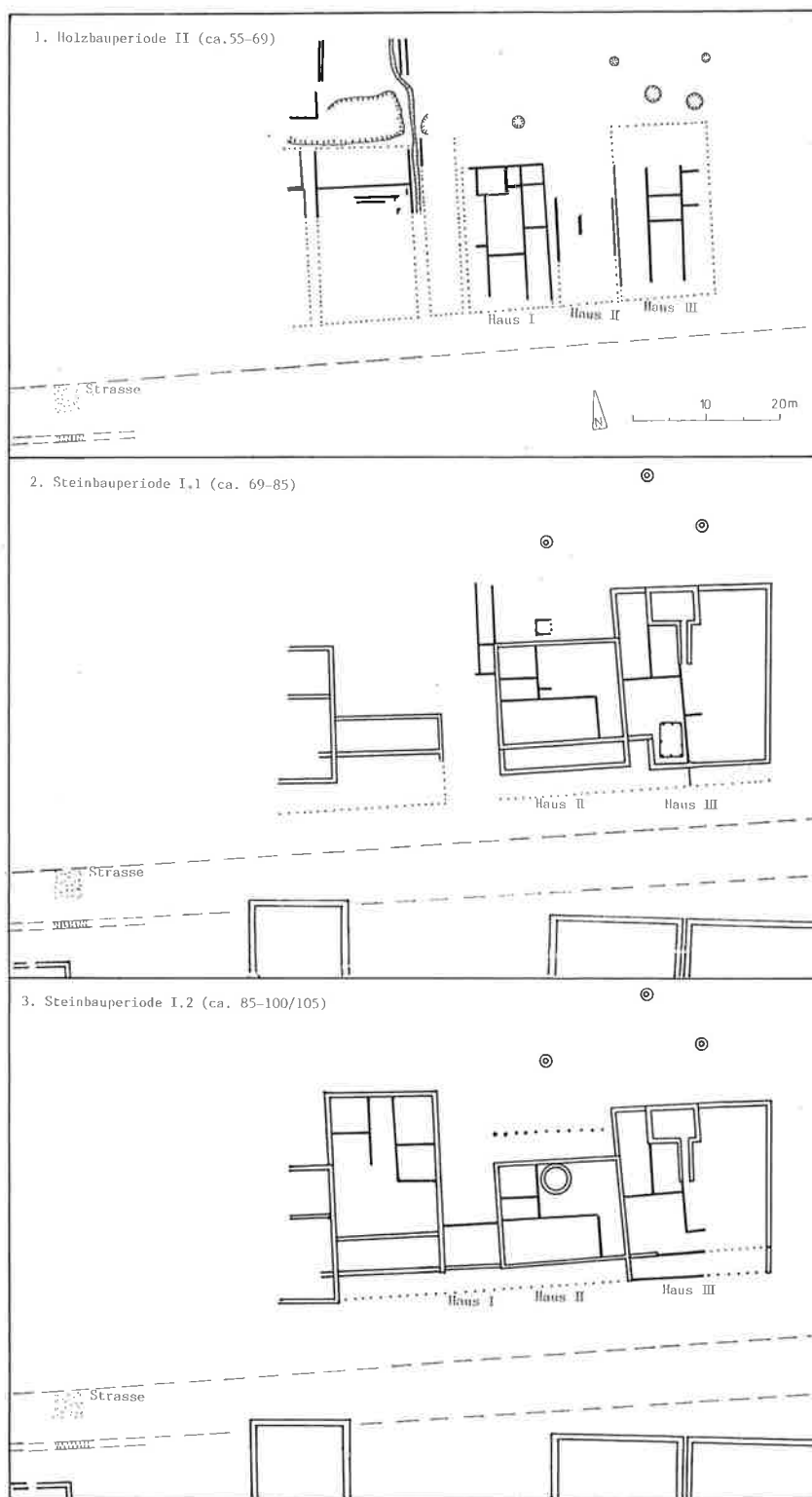


Abb. 39. Siedlungsablauf: 2. Hälfte des 1. Jh. M 1:1000.

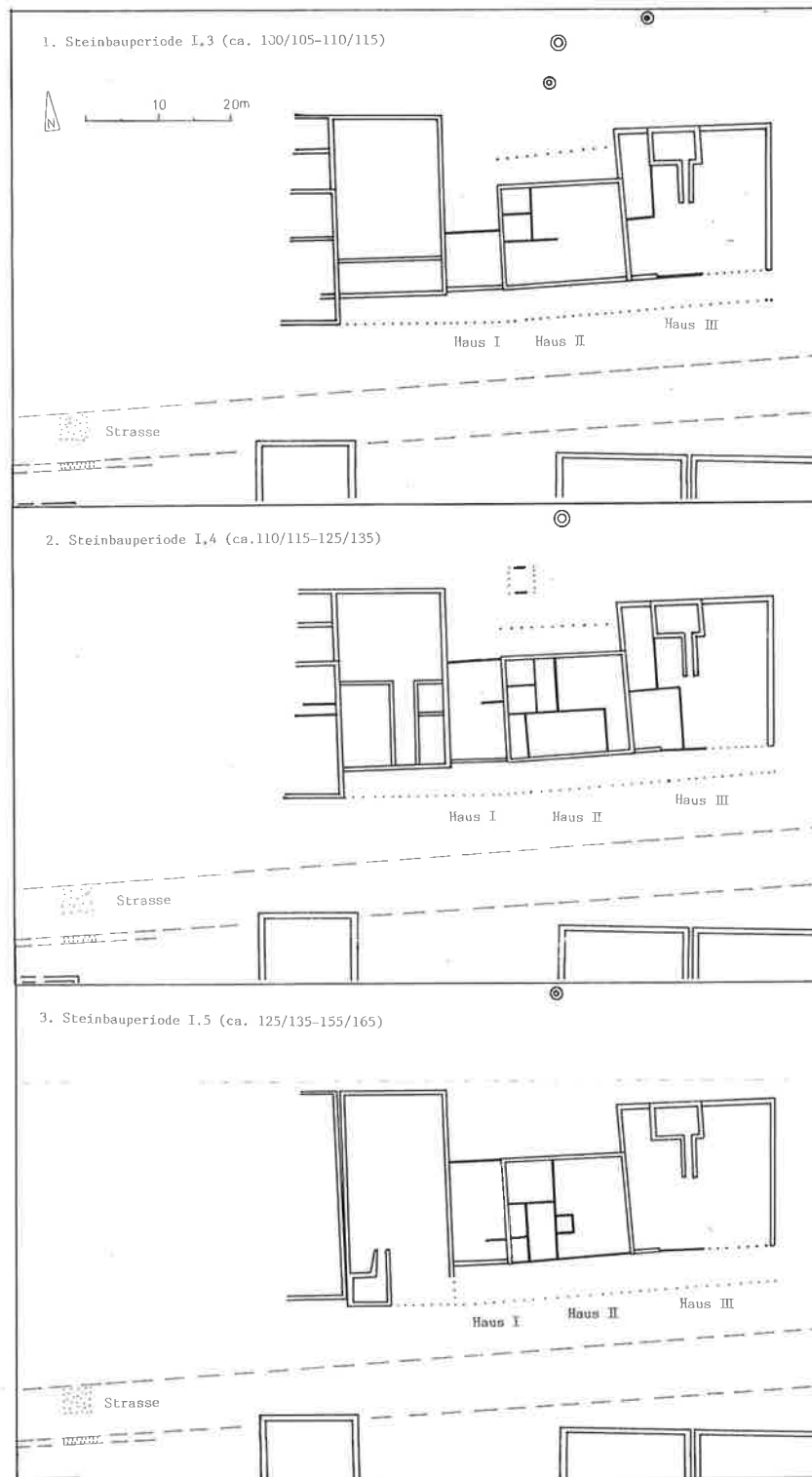


Abb. 40. Siedlungsablauf: 1. Hälfte des 2. Jh. M 1:1000.

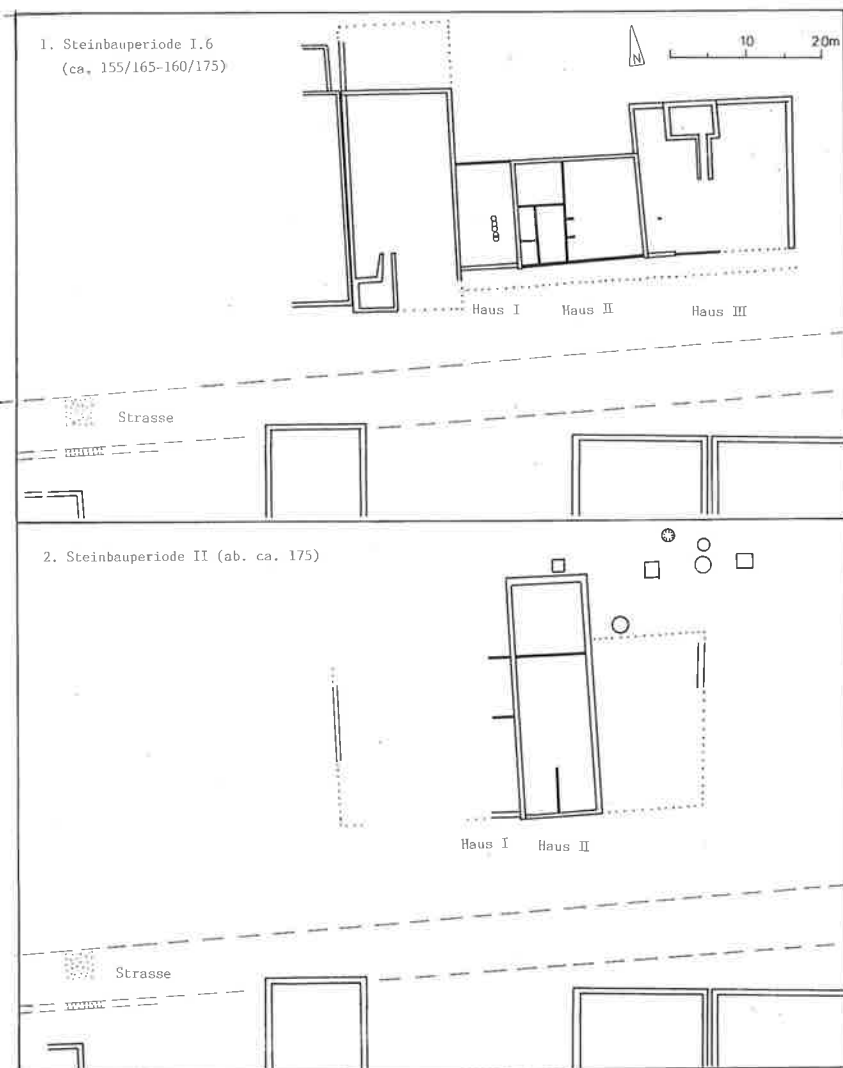


Abb. 41. Siedlungsablauf: 2. Hälfte des 2. Jh. M 1:1000.

scheinen halbiert worden zu sein – und zudem eine zeitliche Lücke zwischen Zerstörung und Wiederaufbau nicht auszuschliessen ist, könnte der Brand wie jener von 69 auf ein kriegerisches Ereignis zurückzuführen sein. Innere Unruhen sind sowohl unter Antoninus Pius wie auch unter Marc Aurel, also im ganzen 3. Viertel des 2. Jh. überliefert, ebenso Einfälle der Chatten im Jahr 161 nach Obergermanien und Rätien (Drack/Fellmann 1988, 66). Der Markomannenkrieg schliesslich kam im Jahre 171 dem helvetischen Gebiet bedrohlich nahe (Stahelin 1948, 253).

Zum Wiederaufbau (Abb. 41,2) um 175 auf den schmaleren Parzellen lässt sich leider angesichts der prekären Befundverhältnisse nur wenig sagen. Die vier erhaltenen Phasen reichen kaum weit ins 3. Jh. hinein, was bedeutet, dass man offenbar auch die Steinbauperiode II häufig umbauen musste. Da einige Schächte (S2/S5/S9/S10) in der Hinterhofzone mit Funden des mittleren 3. Jh. gefüllt waren (Kap.11.7.2.), und da sich über den zuweisbaren

Schichten zwei Münzen (Nr. 20'.21'; Kap. 12.7.2.) des früheren 3. Jh. fanden, ist anzunehmen, dass die betreffenden Siedlungsschichten nicht mehr erhalten waren. Über das Ende der Besiedlung in der untersuchten Fläche lassen sich deshalb keine Aussagen machen, insbesondere auch, weil wir die Funde aus den Schächten nicht vollständig bergen konnten, so dass sie sich diesbezüglich nicht auswerten lassen. Das Gebiet lag aber ausserhalb des im späten 3. oder 4. Jh. durch eine Mauer befestigten Bäderviertels (Hartmann 1977).

3.8.2. Bauweise

Grundriss

Zwar ist mit Ausnahme des kleinen Grubenhauses vor der ersten eigentlichen Überbauung bei keinem der Häuser ganz sicher, ob wir es vollständig ausgegraben haben; anhand von Indizien lassen sich dennoch einige Aussagen zu den Grundrissen machen. Die Häuser rechnen mit einer Strasse, die vermutlich ab der ersten Überbauung an der gleichen Stelle verlief (Kap. 3.1.1.) und auch in der Breite höchstens in zu vernachlässigendem Masse variierte⁸⁵. Angenommen, die Häuser reichten bis auf 4.50 m an den Strassengraben, wie es für die Steinbauten im Süden gilt (Kap. 3.5.1.), so lässt sich daraus in Kombination mit dem Abstand der nördlichen Aussenwand vom nördlichen Strassenrand die Hauslänge ungefähr ermitteln. Bei den Steinbauperioden fällt auf, dass im Süden eine Wandflucht stets über mehrere Häuser hinweg betont ist (Abb. 39,2,3; 40; 41,1). In der Steinbauperiode I.1 verläuft diese etwa 9 m vom mutmasslichen Strassenrand entfernt, ab der Phase 2 etwa 12 m. Hier ist wohl die strassenseitige Fassade der eigentlichen Häuser zu vermuten, der nur noch eine Porticus vorgelagert war. Mit einem Abstand von 4.50 m zum Strassenrand müsste in Steinbauperiode I.1 die Porticus L von Haus II etwa 4 m, was nicht unmöglich ist. Ab der Steinbauperiode I.2 scheint die strassenseitige Porticus innerhalb der Grabungsgrenzen mit einem grösseren Abstand zur Strasse verlaufen zu sein. Mit der so erschlossenen Länge kann die Breite der Häuser, die mindestens einmal in jeder Phase belegt ist, in Beziehung gesetzt werden, so dass eine Aussage über die Proportionen möglich wird.

Beim spätaugusteischen Grubenhaus (Beil. 11) stellt die Breite knapp 60% der Länge dar. In der früh-tiberischen Phase 1 der Holzbauperiode I (Abb. 35,2) beträgt die Hausbreite vermutlich nicht ganz 40% der Hauslänge, gemessen bis zum Strassenrand⁸⁶, in den Phasen 2 und 3 erhöht sich der Prozentsatz wegen der Rückversetzung der Nordwand um 4 m auf 45% (Abb. 35,3–4). In der neronischen Holzbauperiode II sind die Häuser mit mindestens 50% breiter (Abb. 39,1)⁸⁷. In der in vespasianischer Zeit errichteten Steinbauperiode I erhöht sich die Breite der Häuser mit 75–80% der Länge nochmals beträchtlich (Abb. 39,2)⁸⁸. Auch die Grundfläche ist mit 350–600 m² gegenüber 200–300 m² erheblich grösser. In der domitianischen Phase 2 (Abb. 39,3) versetzte man offenbar die

strassenseitige Front von Haus II zurück, während im Norden zum Hinterhof hin eine 3.5 m tiefe Porticus vorgelagert wurde, so dass die Proportionen ähnlich bleiben (80%). Bei Haus III führt die Zurückversetzung der Porticus zu einer noch stärkeren Betonung der Hausbreite (90%). Mit der Verschmälerung der Parzellen beim Bau der Steinbauperiode II (Abb. 41,2) um 175 und der Versetzung der Nordwand nach Norden verringert sich die Hausbreite deutlich und erreicht mit 25–30% einen Wert, der sogar unter jenem der Holzbauperiode I liegt⁸⁹. Die Grundfläche bleibt mit 380 m² allerdings ungefähr gleich.

Das spätaugusteische Grubenhaus scheint keine Inneneinteilung aufzuweisen. In der Holzbauperiode I nahm entweder ein einziger Raum die ganze Hausbreite ein oder zwei etwa gleich breite Räume lagen nebeneinander (Abb. 35,2–4). In den Phasen 2 und 3 trennte ein Gang die beiden Räumen, was zu einer Quasidreiteiligkeit führt. Eine echte Dreiteiligkeit ist hingegen für die Häuser I und III der neronischen Holzbauperiode II zu verzeichnen (Abb. 39,1). Dort gruppierten sich eine Reihe von kleineren oder zumindest schmaleren Räumen um einen grossen. Haus II hingegen verblieb zweiteilig. Bei den Häusern der Steinbauperioden (Abb. 39,2 bis Abb. 41) erlaubt es der fragmentarische Kenntnisstand nicht einmal, ein Schema auch nur zu errahnen. Haus III der Steinbauperiode I fällt durch seinen Keller auf, in der Phase I waren es sogar deren zwei. Für ein Obergeschoss bei Haus I gibt es in den Phasen 2 und 3 der Holzbauperiode I Hinweise aus dem Grundriss. Ein Obergeschoss könnte auch Haus I der Holzbauperiode II aufgewiesen haben. Für die übrigen Häuser, insbesondere für jene der Steinbauperioden, ist ein Obergeschoss anzunehmen, selbst wenn hier Hinweise fehlen.

Baumasse

Die Häuser II und III der Steinbauperiode I weisen Bauteile auf, deren Proportionen einem Vielfachen des pythagoräischen Zahlentrippels (3–4–5) entsprechen, die also wohl nach dem Satz des Pythagoras abgesteckt wurden (Abb. 15). Auch die Inneneinteilung basiert bei beiden Häusern auf bestimmten Masseinheiten, nämlich auf Fünfer- oder Dreier-Fussmassen. Weitert man die Untersuchung auf die andern Phasen aus, so zeigt sich, dass nicht nur alle Phasen der Steinbauperiode I (Abb. 42) und die Steinbauperiode II (Abb. 43) einer Einteilung nach Fün-

85 Die Strasse war beidseits mit Häusern gesäumt, so dass sie eine maximale Breite nicht überschreiten konnte. Sie mass mindestens 6.50 m.

86 Haus I: Breite vermutlich 10 m, Länge ca. 26 m, was etwa 36' bzw. 90' entspricht (s. unten) und eine Grundfläche von 260 m² ergibt.

87 Haus I: Breite über 10 m, Länge ca. 20 m (70'), Grundfläche über 200 m²; Haus III: Breite über 11 m, Länge über 20 m, Grundfläche über 220 m²; Haus 2 (Koller 1989, Abb. 4): Breite 12.50 m (42'), Länge ca. 24 m (84'), Grundfläche ca. 300 m².

88 Haus II: Breite 17 m, Länge 17 m, mit Porticus ca. 21 m, Grundfläche ca. 357 m²; Haus III: Breite 21 m, Länge ca. 28 m, Grundfläche ca. 588 m².

89 Haus II: Breite 10 m, Länge: ca. 40 m, bezogen auf die Strasse; ca. 38 m, wenn Raum C als Porticus gedeutet wird, Grundfläche 380 m².

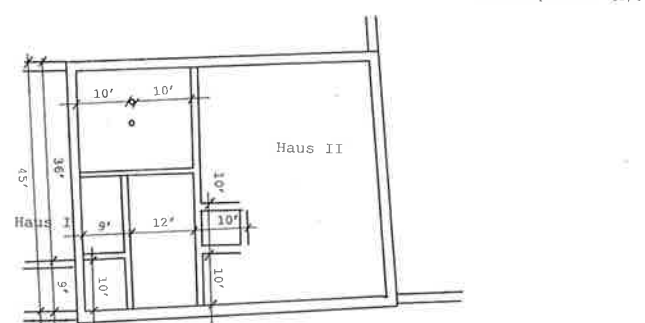
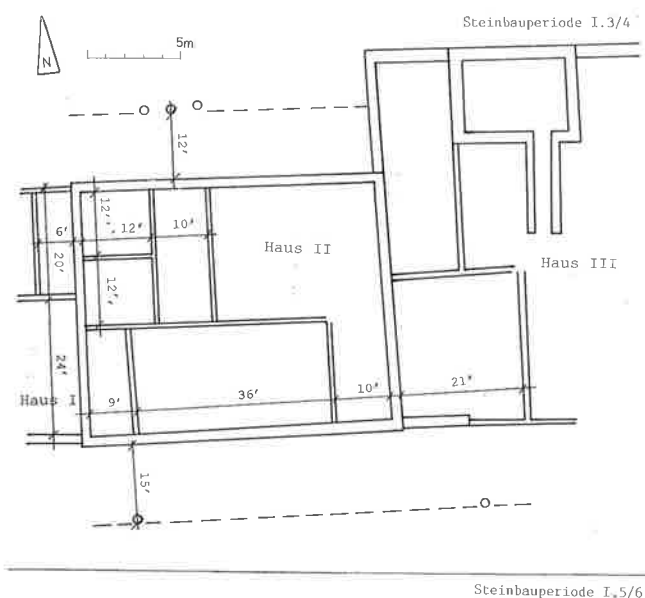


Abb. 42. Steinbauperioden I.3–6. Fussmasse. M 1:400.

fer- oder Dreier-Fussmassen folgen, sondern dass auch bei den Holzbauperioden (Abb. 44.45) sämtliche erhaltenen Distanzen sich auf ein solches Mass-System zurückführen lassen (Tab.1). Nur beim Grubenhaus vor der ersten eigentlichen Überbauung lässt sich kein Fussmass ermitteln. Auf dem Satz des Pythagoras basierende Proportionen zeigen sich bei den Holzbauten jedoch nicht⁹⁰. Die zu beobachtende Ungenauigkeit ist mit höchstens 2,1 cm gering⁹¹. Das Fussmass scheint im Laufe der Zeit etwas grösser zu werden: in der Holzbauperiode I beträgt es um die 28,5 cm, ab der Holzbauperiode II mehrheitlich über 29 cm.

90 Da wir die Häuser nicht vollständig ausgegraben haben, ist nicht auszuschliessen, dass sich ein solches Ausgangelement im nicht untersuchten Teil versteckte.

91 Tab.1. Das genaue Abmessen von längeren Distanzen – sei es mit einer Messlatte oder mit einer Messschnur – verlangt grosse Sorgfalt. Beim nicht ganz bündigen Aneinanderlegen der Latten oder beim Umschlagen summieren sich die minimalen Fehler, und bei einer Schnur hängt die Distanz nicht nur davon ab, wie stark man zieht, sondern auch von der Luftfeuchtigkeit. Bei der Einmessung zweier aneinanderstossender, aber in verschiedenen Jahren untersuchter Grabungsflächen in Biberist SO-Spitalhof blieb trotz modernen Mitteln – Teodolit und Metallmessband von 50 m – eine Abweichung von 10 cm bestehen!

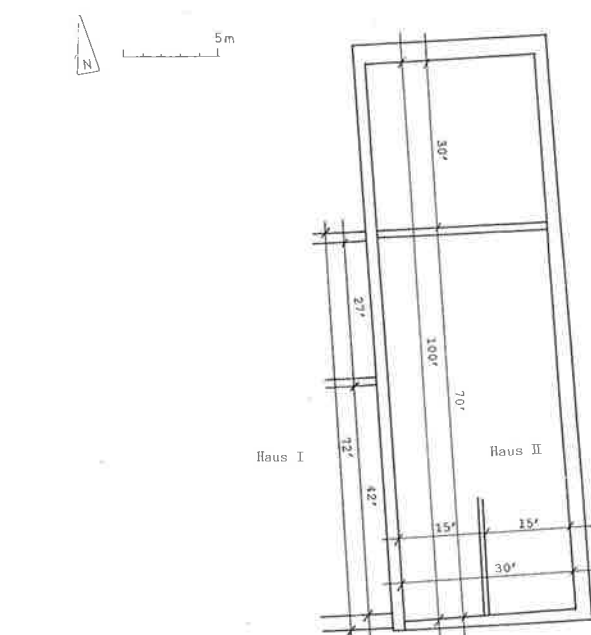


Abb. 43. Steinbauperiode II.1. Fussmasse. M 1:400.

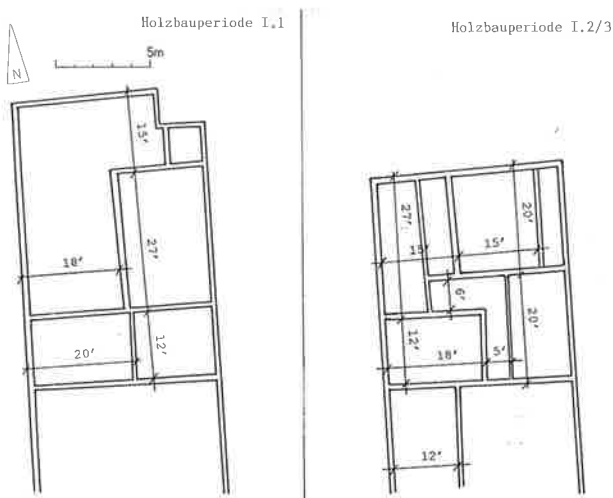


Abb. 44. Holzbauperiode I. Fussmasse. M 1:400.

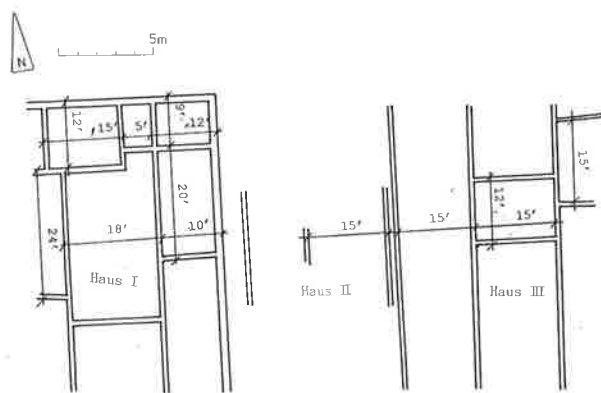


Abb. 45. Holzbauperiode II. Fussmasse. M 1:400.

Die Breite der Schwellbalken der Holzbauten lässt sich am sichersten bei den verkohlten Hölzern der Holzbauperiode II messen. Sie betrug mehrheitlich 15 cm. Dies entspricht einem halben Fuss. Die Balkengraben der Holzbauperiode I waren meist gleich breit. Die Dicke der Mauern der Steinbauperiode I betrug im Fundamentbereich 70–90 cm, also etwa $2\frac{1}{2}$, im Aufgehenden 50 cm, was $1\frac{3}{4}$ des entsprechenden Fusses ist. Die Mauer des erst in Phase 2 erbauten Hauses I war im Aufgehenden 55 cm mächtig, was vielleicht auf ein grösseres Fussmass zurückzuführen ist⁹². Die Mauern der Steinbauperiode II waren im Fundamentbereich ebenfalls um die 80 cm, $2\frac{1}{2}$, im Aufgehenden 60 cm dick, was 2' entspricht. Die Lehmfachwerkwände der Steinbauperiode I.1 hingegen standen auf 18 cm breiten Schwellbalken, ein Mass, in dem vielleicht 10 *digit* zu sehen sind. Die Balken der in den Phasen 3 und 5 der Steinbauperiode I neuerrichteten Lehmfachwerkwände waren wiederum nur 15 cm ($\frac{1}{2}$) breit. Bei der Steinbauperiode II.1 ist für eine Wand das Mass von 30 cm nachgewiesen, was einem Fuss entspricht.

Boden

Die Böden der tiberisch-claudischen Holzbauperiode I (Beil. 12–14) bestanden fast ausschliesslich aus Lehm. Lediglich in einem Raum, der etwa 12% der ausgegrabenen Fläche ausmacht, verwendete man in Phase 2 Kalksteinsplitter.

Die Böden der Häuser II und III der neronischen Holzbauperiode II (Beil. 15) waren, soweit erfasst, ebenfalls in Lehm erstellt. In Haus I jedoch machen Splitterböden gut die Hälfte (53%) der Fläche aus. Der Lehm Boden in Raum G war vermutlich sogar mit einem Holzboden bedeckt (30%). Die Lehm- und Splitterböden hatte man vor dem Aufstellen der Wände eingebracht. Für eines der Häuser ist, vermutlich im Obergeschoss, ein Mörtelboden belegt (Taf. 1,1).

Haus III der Steinbauperiode I wies, soweit erfasst, in allen Phasen Lehm Böden auf. Allerdings kam im Bauhorizont zur domitianischen Phase 2 das Fragment einer Bodenfliese (Taf. 1,2) zum Vorschein, das auf einen Steinboden hinweist. Anders Haus II und das erst in der Phase 2 erbaute Haus I: In der vespasianischen Phase 1 (Beil. 16) umfassen die Lehm Böden nur noch 27% der Fläche, während die Splitterböden 48% und die Mörtelböden (Abb. 25) 24% einnehmen. In Phase 2 (Beil. 17) scheinen die Lehm Böden auf den ersten Blick flächenmässig wieder zuzunehmen (79%), da man den Splitterboden in Raum J

mit einer dünnen Lehmschicht bedeckt hatte. Doch vieles spricht dafür, dass darauf ein Holzboden lag, so dass die eigentlichen Lehm Böden nur 23% der Fläche ausmachen. Der Anteil der Mörtelböden bleibt annähernd gleich (21%). In der trajanischen Phase 3 (Beil. 18) hingegen waren in Haus II die Böden wieder vermehrt mit Lehm (63%) statt mit Kalksteinsplittern erstellt. Das neuerrichtete Haus I wies in den ausgegrabenen Teilen sowohl in Phase 2 wie in Phase 3 Lehm Böden auf. In der hadrianischen Phase 4 (Beil. 19) hingegen nehmen 74% der Fläche Splitterböden ein. Im weiteren konnten wir einen Holzboden nachweisen, dessen Konstruktion dank des Brandes erhalten blieb⁹³. Die Böden in Haus II bestanden hingegen alle aus Lehm. In der Phase 5 (Beil. 20) des mittleren 2. Jh. waren die erfassten Böden in Haus I nur noch zu einem Drittel (32%) aus Lehm, während die restlichen Böden und jene von Haus II aus Kalksteinsplittern bestanden. In der Phase 6 (Beil. 21) des 3. Viertels des 2. Jh. geht der Anteil der Lehm Böden noch weiter zurück: auf 11% bei Haus I und auf 20% bei Haus II. Die übrigen Böden waren mit Kalksteinsplittern erstellt.

Haus I der Steinbauperiode II (Beil. 22; Abb. 30) des späteren 2. Jh. wies, soweit erhalten, ausschliesslich Splitterböden auf. Sie haben bei Haus II in der Phase 1 einen Anteil von 81%, während auf der restlichen Fläche ein Holzboden zu vermuten ist. In Phase 2 lassen sich ein Kiesboden sowie ein Splitterboden nachweisen. Letzteren erneuerte man in den Phasen 3 und 4.

Zusammenfassend ist – mindestens in den in grösseren Teilen ausgegrabenen Häusern I (Holzbauperioden) und II (Steinbauperioden) – eine zunehmende Verfestigung der Böden zu beobachten, von den Lehm Böden der tiberisch-claudischen Holzbauperiode I bis zu den Splitterböden der ins mittlere und spätere 2. Jh. datierten Phasen 5 und 6 der Steinbauperiode I sowie der Steinbauperiode II. Mörtelböden im Erdgeschoss treten erstmals in der Steinbauperiode I.1 auf, sind aber, vermutlich für ein Obergeschoss, schon in der Holzbauperiode II nachgewiesen. Die Verfestigung lässt sich kaum nur mit einer allenfalls unterschiedlichen Funktion der Räume erklären. Sie ist vielmehr als Prozess in der Zeit zu sehen.

Wände

Das spätaugusteische Grubenhaus war ein Pfostenbau (Beil. 11). Über den eigentlichen Wandaufbau kann jedoch nichts ausgesagt werden. Die Wände der tiberisch-claudischen Holzbauperiode I (Beil. 12–14; Abb. 9) standen auf

92 Die einzige erhaltene Distanz ergibt einen Fuss von 29,7 cm, die Mauerstärke auf $1\frac{1}{2}$ bezogen ergäbe allerdings ein Mass von 31,4 cm. Vielleicht stellt die Mauerbreite auch 30 *digit* ($\frac{1}{6}$) dar, was bei einem Fussmass von 29,7 cm eine Breite von 55,7 cm ergäbe.

93 Unter der Holzkonstruktion war kein Unterboden aus Lehm vorhanden, was zeigt, dass Holzböden und Lehm Böden sich nicht bedingen. Im oben beschriebenen Fall des Raumes J der Phase 2 war die Lehmschicht unter dem Holzboden auffallend dünn, wesentlich dünner als die Lehm Böden es gewöhnlich waren; Beil. 5 (341/448).

Schwellbalken, die in den Boden eingetieft oder an tiefer gelegenen Stellen mit einer Steinreihe unterlegt waren. In das Traggerüst waren einige in den Boden eingegrabene Pfosten integriert, manchmal mit Steinen verkeilt. Auch mit Ständern, in die Schwellen eingezapften Tragelementen, ist wohl zu rechnen. Das Aufgehende bestand vermutlich aus Holz, selbst wenn entsprechend Haus III der Holzbauperiode II unverputztes Lehmfachwerk nicht ganz auszuschliessen ist.

Die Wände von Haus I und wohl auch von Haus II der Holzbauperiode II (Beil. 15) standen ebenfalls auf Schwellbalken, die meist auf den vorher eingebrachten Böden auflagen. Sie waren nur selten in den Boden versenkt (Abb. 10) oder mit Steinen unterlegt. Neben einigen in den Boden eingetieften Pfosten ist mit Ständern zu rechnen, die in die Schwellen eingezapft waren. Die Zwischenräume waren mit vermutlich senkrecht verlaufendem Rutengeflecht und mit Häcksel gemagertem Lehm ausgefacht. Die Wände waren verputzt und manchmal mit einem dünnen Lehmschlick (Aussenwand?) oder einer Maltschicht (Innenwand?) versehen (Taf. 1,3,4; 4,1). Anders die Wände von Haus III: Die Schwellbalken waren wie jene der Holzbauperiode I im Boden versenkt. Auch hier ist mit Ständern zu rechnen, die neben den in den Boden eingetieften Pfosten das Traggerüst bildeten. Die Ausfachtung bestand aus einem wohl stehenden Rutengeflecht und einer Lehm-Häckselmischung, die das Holzgerüst einschloss. Die Wände trugen keinen Verputz, sondern waren an der Oberfläche lediglich glatt verstrichen (Taf. 1,5). Gewisse Hinweise könnten für eine Raumhöhe in Haus I von mindestens 2.80 m sprechen.

Die Aussenwände der Häuser von Steinbauperiode I waren weitgehend als Mauern aufgeführt (Beil. 16). Das gemäss dem Satz des Pythagoras errichtete Ausgangselement für Haus II (Abb. 15) war gegenüber der Strasse um rund 3.50 m nach Norden zurückversetzt; in die so entstehende Lücke setzte man einen gemauerten Annex. Die Südwand des Kernelements wurde dadurch – trotz des gemauerten Fundaments – zu einer Innenwand. Dementsprechend war der aufgehende Teil in Lehmfachwerktechnik erstellt. Durch das Zurückversetzen der Strassenfront ab Phase 2 (Beil. 17–19) übernahm sie später dennoch die Funktion einer Aussenwand und wurde nach dem Brand in hadrianischer Zeit folgerichtig in der anschliessenden Phase 5 (Beil. 20) wieder als Lehmfachwerkwand aufgebaut. Die strassenseitige Front von Haus III scheint den gemauerten Fenstern des Holzkellers Q (Abb. 24) nach ebenfalls weitgehend gemauert gewesen zu sein. Da die Rückwand von Raum R eine Mauer war und das massive

Kieselfundament der Ostwand eine Mauer getragen haben könnte, ist es nicht unwahrscheinlich, dass Raum R zur Strasse hin offen war. Das erst in Phase 2 erbaute Haus I wies zur Strasse hin ebenfalls einen gemauerten Abschluss auf (Beil. 17), während die Rückwand in einer leichten Konstruktion, wohl als Lehmfachwerkwand, erstellt war. Die Fundamente der Mauern reichten bis in den anstehenden Boden (Abb. 17; 32; 37). Jene der Häuser I und II bestanden aus Kieseln, die im unteren Teil mit Lehm, im oberen Teil mit Mörtel verbunden waren. Die Fundamente von Haus III hingegen waren bis zuunterst gemauert; jene der Wände, bei denen nicht gesichert ist, ob sie in Mauerwerk oder in einer leichten Bauweise aufgeführt waren, bestanden aus grossen Kieseln (Abb. 24). Über den Fundamenten folgte das zurückversetzte aufgehende Mauerwerk in *opus caementicium* (Marta 1986, 15f.): zwei Schalen mit meist 10 cm hohen Lagen von Kalksteinquadern. Die Aussenseite war manchmal in *pictra-rasa* Technik verputzt und einige Male mit Fugenstrich versehen (Abb. 18). Da bis zu 90 cm hohe gemauerte Teile des Aufgehenden erhalten waren, ist die Vermutung nahe liegend, dass die Aussenwände vollständig in Mauerwerk ausgeführt waren und nicht nur im unteren Teil als gemauerte Sockel, wie es ein Befund von Petinesca nahelegt (Abb. 19)⁹⁴: Dort fand sich eine ca. 60 cm breite und 60 cm hohe Mauer, auf deren mit Mörtel abgestrichenen Oberseite die Spuren der Holzschwelle der Lehmfachwerkstruktur zu erkennen waren.

Die Innenwände der Badener Häuser waren mehrheitlich verputzte⁹⁵, selten bemalte Lehmfachwerkswände (Taf. 4,2,3) mit Schwellbalken (Abb. 27), Ständern und einem parallel zu den Ständern verlaufenden Rutengeflecht. Die in der hadrianischen Phase 4 (Beil. 19) neu errichteten Innenwände hingegen wiesen Pfosten als Tragelemente auf. Die Schwellbalken lagen teilweise auf Unterlagesteinen (Abb. 28) auf und waren vor dem Einbringen der Böden erstellt worden. Damit der Verputz besser hielt, waren an der Oberfläche der Wände fischgrätfförmige Haftrillen angebracht⁹⁶. Für Haus II ist in den Phasen 1–4 eine Höhe von mindestens 2.60 m belegt.

Bei den Häusern der Steinbauperiode II (Abb. 30) waren offenbar nur die seitlichen Aussenwände als Mauern aufgeführt, vielleicht als Massnahme zum Schutz gegen übergreifendes Feuer im Sinn von Brandmauern. Ihre Fundamente bestanden aus Kieseln und Lehm (Abb. 33,38). Die Steine waren sehr sorgfältig, offensichtlich mit Rücksicht auf die Statik, geschichtet. Wenn möglich, benutzte man die Mauern der Steinbauperiode I als Fundamente (Abb. 31,32). Das Aufgehende bestand wie in der Stein-

94 Bei einem Grabungsbesuch im Sommer 1986 zeigte mir R. Zwahlen, Bern, diesen Befund, wofür ich ihm danke; Archäologie im Kanton Bern 1, 1990, 49.

95 Taf. 1,6; 2; 3,1–3; Abb. 25.

96 Taf. 1,6; 2; 3,1–4; Abb. 22.

bauperiode I aus je zwei Schalen von Kalksteinquadern, die mit 20–25 cm doppelt so hoch waren wie jene der Vorgängerperiode. Die vermutete strassenseitige Front hinter der Porticus bestand aus Holzständern, die in einem Kiesel Fundament über einer Mauer der Steinbauperiode I steckten. Sie waren, mindestens von aussen, nicht sichtbar, da sie von der im unteren Teil mit Kalkbruchsteinen erstellten Ausgefachung umschlossen waren. Ob der obere Teil der Wand als Lehmfachwerk ausgeführt war, muss offen bleiben. Die Innenwände bestanden aus Lehmfachwerk, das wahrscheinlich in gleicher Weise gefertigt war wie die Innenwände der Steinbauperiode I. Die Schwellbalken lagen auf Unterlagesteinen oder, wo es die Statik erforderte, auf einem Kiesel Fundament auf.

Zusammenfassend lässt sich auch bei den Wänden eine zunehmende Verfestigung, sozusagen eine Versteinigung der Bauweise feststellen: von den leichten Konstruktionen in Holz oder Lehmfachwerk des spätaugusteischen Grubenhauses vor der ersten eigentlichen Überbauung und der tiberisch-claudischen Holzbauperiode I, über die bei einigen Häusern der neronischen Holzbauperiode II belegten verputzten Lehmfachwerk Wänden zu den gemauerten Aussenwänden der in vespasianischer Zeit errichteten Steinbauperiode I. Bei der Steinbauperiode II des späteren 2. Jh. scheint sich hingegen in konstruktiver Hinsicht eine Rückwendung zu früheren Techniken, nämlich zum Fachwerk, vollzogen zu haben. Allerdings unterschied sich die wohl mit Verputz versehene Fassade in ihrem Äusseren nicht von einer gemauerten. Unter der Annahme, dass bei allen Häusern der Holzbauperiode II wie beim unverputzten Haus III das hölzerne Traggerüst von der Lehmausfachung umschlossen war, was Beispiele etwa in Avenches, Augst und Verulamium nahelegen (Kap. 3.4.), wirkten die verputzten Häuser wie Steinbauten und setzten sich deutlich ab von den unverputzten Lehmfachwerkhäusern oder Holzbauten. Die Innenwände waren als Lehmfachwerk Wände in allen Phasen nach einem ähnlichen Prinzip gebaut, auch wenn sie mit dem seit der Holzbauperiode II belegten Verputz eine mauerhafte Wirkung hatten. Als ersten Hinweis auf beheizte Wände fand sich im Bauhorizont der Holzbauperiode II ein Tubulusfragment (Taf. 5,1). Für die späten Phasen der Steinbauperiode I ist ebenfalls mit heizbaren Räumen zu rechnen (Taf. 5,2,3).

Dach

Über die Dachkonstruktion lässt sich der schlechten Erhaltungsbedingungen wegen nur sehr wenig sagen. Insbesondere muss die Richtung der Dächer – nordsüdlich oder ostwestlich verlaufend – völlig offen bleiben, da sich aus dem Grundriss der Verlauf des Firstbalkens in keinem Fall ablesen lässt. Das Grubenhaus vor der ersten Überbauung könnte mit einem Stroh- oder Schindeldach be-

deckt gewesen sein. Die Häuser der Holzbauperioden trugen wahrscheinlich Schindeldächer, da die relativ grossen Spannweiten eher gegen ein steiles Strohdach sprechen (dazu Rychener/Albertin 1986, 21). Das Auftreten von Ziegelresten, Ziegelschutt, grösseren Ziegelfragmenten in den entsprechenden Schichten legt nahe, dass die Häuser der Steinbauperioden teilweise, vielleicht durchwegs mit Ziegeln bedeckt waren. Erste Ziegel hatte man schon in einer Feuerstelle der neronischen Holzbauperiode II verbaut.

Feuerstellen

Feuerstellen sind die einzigen Strukturen, deren Funktion gesichert ist, und die in grösserer Zahl vorkommen, so dass sie nicht nur als Einzelfälle zu behandeln sind. Im folgenden ist jedoch zu berücksichtigen, dass die Erhaltungsbedingungen nicht in allen Phasen gleich waren: Bei einem normalen Umbau machte man allfällige aufgehende Teile dem Erdboden gleich. Nur vertiefte Gebilde hatten eine Chance sozusagen dreidimensional erhalten zu bleiben. Allfällige Ziegel und Tonplatten können zu einer Wiederverwendung gedient haben. Die wenigen erhaltenen aufgehenden Wandkonstruktionen fanden sich denn auch alle in den durch Feuer zerstörten Phasen. Sie waren wohl durch den Brandschutt vor einer vollständigen Einebnung geschützt.

Die Feuerstellen der früh-tiberischen Phase 1 (Beil. 12) der Holzbauperiode I zeigten sich als formlose, rechteckige oder hufeisenförmige Flecken von verbranntem Lehm. Eine wies eine Lehmwand auf. In Phase 2 (Beil. 13) fanden sich zwei Gruben, deren brandigschuttige Einfüllung von einem Aufbau im Sinn eines Ofens stammen könnte. Die einzige Feuerstelle der claudischen Phase 3 (Beil. 14) war ein rechteckiger Fleck von verbranntem Lehm. Alle drei in der neronischen Holzbauperiode II (Beil. 15; Abb. 11) erfassten Feuerstellen waren hufeisenförmig, mit einem einfachen Lehm Boden. Ihre Wände bestanden aus Lehm, aus einem Steinkranz oder aus Ziegelfragmenten.

Die Feuerstellen der flavischen Phasen 1 und 2 der Steinbauperiode I (Beil. 16, 17) zeigten sich als hufeisenförmige oder ovale Flecken von verbranntem Lehm. In der trajanischen Phase 3 (Beil. 18) war erstmals eine Unterlage aus Kieseln unter der rechteckigen Feuerstelle von verbranntem Lehm festzustellen. Beim ebenfalls rechteckigen Exemplar der hadrianischen Phase 4 (Beil. 19) bestand die Unterlage unter der verbrannten Lehmoberfläche aus Ziegelfragmenten, bei der ähnlichen Feuerstelle der Phase 5 (Beil. 20) aus Steinen und Ziegelfragmenten. In der Phase 6 (Beil. 21; Abb. 29) des 3. Viertels des 2. Jh. war die wohl rechteckige Feuerstelle mit Tonplatten erstellt.

Dieser Überblick zeigt, dass auch bei den Feuerstellen eine Verfestigung zu beobachten ist: von den einfachen Lehmflächen über die auf einer Unterlage ruhenden zu den Tonplatten.

Kellereinrichtungen im Hinterhof

Bei den in den Boden eingetieften Strukturen in den Hinterhöfen, die wohl alle ursprünglich dem gleichen Zweck, nämlich der Vorratshaltung, dienten, lässt sich ebenfalls eine Verfestigung der Konstruktionsweise nachweisen: von den wohl meist mit Holz verschalteten Gruben, die mit einer Ausnahme der neronischen Holzbauperiode II zuzuweisen sind, zu den mit trocken geschichteten Kieselsteinen erbauten Schächten der Steinbauperioden I und II (Abb. 34). Ob der kleine gemauerte Keller K3 am Schluss der Entwicklung steht, muss offen bleiben, da er zeitlich nicht einzuordnen ist.

Zusammenfassung

Ab neronischer Zeit ist eine zunehmende Verfestigung der Bauweise zu beobachten: Am Anfang stehen das als Pfostenbau errichtete Grubenhaus spätaugusteischer Zeit und die in Holz oder unverputztem Lehmfachwerk erstellten Häuser der tiberisch-claudischen Holzbauperiode I, die mehrheitlich mit einfachen Böden und Feuerstellen aus Lehm und vermutlich einem Schindeldach ausgestattet waren; die Häuser der Holzbauperiode II mit den verputzten Lehmfachwerkwänden wirkten wohl schon wie Steinbauten. Eines dieser Häuser wies schon fast zur Hälfte feste Splitterböden auf. Das Dach hingegen dürfte noch aus Schindeln bestanden haben. Die Feuerstellen wiesen einen

einfachen Lehmbohlen auf und die Keller im Hinterhof waren mit Holz ausgekleidete Gruben.

Die Verfestigung, ja Versteinigung findet in den flavischen Phasen 1 und 2 der Steinbauperiode I einen ersten Höhepunkt. Neben den gemauerten Aussenwänden war auch das Dach dank der Ziegel fest und massiv. Die Lehmbohlen nahmen bei dem am besten untersuchten Gebäude, Haus II, nur noch einen Viertel der ausgegrabenen Fläche ein, während die anderen Böden mit Kalksteinsplittern, Mörtel oder als abgehobene Holzkonstruktion stabiler gebaut waren. Die Feuerstellen hingegen blieben ihrer einfachen Bauweise verhaftet. Die Innenwände waren zwar in der althergebrachten Technik als Lehmfachwerkwände errichtet, doch mit dem Verputz wirkten sie wie Mauern. In der trajanischen Phase 3 erhöhte sich in Haus II der Anteil der einfachen Lehmbohlen zwar wieder auf fast zwei Drittel der untersuchten Fläche, in der hadrianischen Phase 4 wies Haus II sogar, anders als das im Westen benachbarte Haus I mit Splitter- und Holzböden, auf der ganzen untersuchten Fläche Lehmbohlen auf, doch die Feuerstellen waren erstmals mit einer Unterlage stabilisiert. Letzteres gilt ebenso für die Phase 5 des mittleren 2. Jh., in der Haus II zudem auf der ganzen untersuchten Fläche Splitterböden aufwies. Mit einem Boden aus Tonplatten hatte sich in Phase 6 des 3. Viertels des 2. Jh. auch die Feuerstelle gleichsam verfestigt. In Haus II war, in allerdings geringem Anteil, die Fläche wieder mit einfachen Lehmbohlen versehen. Die zur Vorratshaltung dienenden tiefen Keller in den Hinterhöfen waren aus losen Kieselsteinen errichtete Schächte. Trotz der teilweise bei den Aussenwänden wieder auftretenden Fachwerktechnik wirkten die Häuser der Steinbauperiode II des späteren 2. Jh. wie Steinbauten. Die Dächer waren mit Ziegeln gedeckt, die Böden bestanden, soweit untersucht, mit Ausnahme eines Holzbodens durchwegs aus Kalksteinsplittern oder Kies.

4. Funde

4.1. Vorbemerkungen

4.1.1. Auswahl

Im folgenden werden alle Fundkomplexe vorgelegt, die sich einer Phase, einem Horizont, zuordnen lassen. Es sind, wie erwähnt, über 70% aller während der Grabung geborgener Fundeinheiten⁹⁷. Beim Graben versuchten wir, die Schichten einzeln abzuschälen (Kap. 3.1.2.), so dass einige echte Schichtkomplexe entstanden, Funde, die aus nur einer Schicht stammen. Einfach war dies bei den Brand- und den Brandschuttschichten⁹⁸, schwieriger bei Benützungsschichten, die oft kaum sauber vom darunter gelegenen Lehm Boden zu trennen waren, aus dem sie herausgewachsen waren. Die meisten Fundkomplexe umfassen deshalb mehrere Schichten: beispielsweise Lehm Boden und Benützungsschicht, oft mit der dazugehörigen Bodenunterlage. Haben wir letztere getrennt abtragen können, dürfen die Funde, wie es zu wünschen ist, zur vorangegangenen Phase geschlagen werden. Die Objekte, die beim Bau einer neuen Phase mit den Planien (BauhORIZONT) eingebracht werden, gehören zeitlich zu den Siedlungsschichten der vorangegangenen Phase (s. auch Kap. 5.1.). Für die Fundgattungen werden im folgenden die Stücke von den Bauhorizonten bei der jeweils vorangegangenen Phase aufgeführt. Ausgenommen sind nur jene, die aus einer nach einem Brand erstellten Bauplanie stammen, da zwischen der Zerstörung und dem Wiederaufbau eine gewisse Zeit verstrichen sein könnte⁹⁹.

Da im Vindonissa-Museum beim Inventarisieren der Keramik Wandscherben in grösseren Mengen ausgeschieden werden, lässt sich das vollständige Spektrum nur an den Randscherben ablesen, die vollumfänglich vorliegen. Das ausgeschiedene Material hat man zwar gewogen und die Keramiksorte meistens vermerkt. Da die Notiz einige Male fehlt, lässt sich das Gesamtspektrum aller Scherben nicht mehr rekonstruieren. Einzig die Funde der Holzbauperiode II habe ich vor der Inventarisierung, also vor dem Ausscheiden von Scherben, bearbeiten und so dem Spektrum der Randscherben das Gesamtspektrum gegenüberstellen können. Der Vergleich (Abb. 46¹⁰⁰) zeigt, dass die

Sigillata, die TS-Imitation und die Feinkeramik durch die Randscherben besser vertreten sind als durch die Wandscherben, während das Verhältnis bei der grauen Feinkeramik und der Grobkeramik etwa ausgewogen ist. Die Amphoren und die orange Keramik hingegen sind durch die Randscherben schlecht repräsentiert. Amphoren sind wie die einen beträchtlichen Teil der orangen Ware ausmachenden Krüge (Kap. 4.3.6.) Hochformen mit sehr wenig Rand und viel Bauch, so dass die Diskrepanz zwischen Rand- und Wandscherben nicht erstaunt.

Abgebildet und besprochen sind alle Randscherben mit Ausnahme einiger weniger winziger Fragmente und der schon publizierten Sigillaten der Holzbauperiode II (Schucany 1983, Nr. 1ff.). Die Gesamtzahlen sind jedoch aus den Tabellen ersichtlich. Im weiteren liegt eine repräsentative Auswahl von verzierten Wandscherben vor, um das Spektrum der Verzierungsarten zu zeigen. Auf das Vorlegen der Bodenscherben hingegen habe ich verzichtet. Sie lassen sich nur selten den Randscherben zuverlässig zuordnen. Die Keramiktypen werden zudem meistens über die Ränder definiert. Für den optischen Eindruck einer Form, der allein für die in einer Untersuchung über Traditionen so wichtigen Zeichenfunktion des Gefässes entscheidend ist, spielt die Gestaltung des Bodens, wenn überhaupt, nur eine untergeordnete Rolle (Kap. 6.2.). Nur im Falle der Becher und feinen Töpfe, insbesondere der Glanztonbecher, beeinflusst die Form des Bodens – schmale Standfläche, steile Wandung – die Gesamtform (Kap. 4.4.2.). Vielmehr ist die Gestaltung des Bodens vor allem als technische Erscheinung zu begreifen. So ist die Aussagekraft der Bodenscherben verglichen mit den Rändern bei gleichem Arbeitsaufwand wesentlich geringer.

Die von Hugo Doppler, Baden, vollzählig bestimmten Münzen sollen andernorts im Detail vorgelegt werden; hier werden sie lediglich vom archäologischen Standpunkt aus betrachtet. Vom Glas behandle ich nur die Randfragmente, da die gesamte Fundgattung von Sylvia Fünfschilling, Augst, umfassend bearbeitet wird. Von den übrigen Kleinfunden werden alle einigermaßen bestimmbar

97 Die Fundkomplexe aus den beim maschinellen Aushub der Baugrube zum Vorschein gekommenen Gruben und Schächte sind in diese Rechnung nicht einbezogen.

98 In einem Fall ist auch ein an sich guter Fundkomplex gestört: FK 255 aus dem Brandschutt der HP II muss beim maschinellen Aushub auf die römischen Schichten mit jüngeren Scherben vermischt worden sein (Kap. 3.1.2.). Aus ihm habe ich nur die Passscherben zu guten Fundkomplexen und die verbrannten Scherben in die Untersuchung einbezogen.

99 Die Stücke aus dem Bauhorizont der Steinbauperiode I.5 allerdings habe ich wie gewohnt der vorangegangenen zugeschlagen, da diese als Renovation der abgebrannten Phase 4 gelten kann und kein Siedlungsunterbruch anzunehmen ist (Kap. 3.5.5.; 5.5.5.).

100 Die Funde des Brandschuttes stammen aus dessen unterem Teil. – Da ich bei der ersten Aufnahme nicht die gleichen Kriterien verwendet habe wie in der vorliegenden Arbeit, lassen sich die Wandscherben ohne eine erneute Bestimmung nicht in die später erarbeiteten Gattungen der Ränder einordnen. Unterschiedlich behandelt sind die roten und schwarzen Schüsseln Drack 20/21, die ich der TS-Imitation zugewiesen habe statt einer eigenen Gattung oder der grauen Feinkeramik. – Der schraffierte Block zeigt den jeweiligen prozentualen Anteil der Randscherben, der leere Block jenen aller Scherben. Beim Metall zeigt der schraffierte Block den Anteil der abgebildeten, das heisst aussagekräftigen Stücke.

Stücke vorgestellt, nicht aber amorphe Metallklumpen, Fragmente von Nägeln und ähnliches, die ohne naturwissenschaftliche Untersuchungen kaum eine Aussage zulassen. Auf die Auswertung der Knochen musste verzichtet werden, da keine Bestimmung vorliegt.

4.1.2. Zum Problem der Vermischung

Wie bei allen über eine lange Zeit belegten Siedlungen stellt sich das Problem der Vermischung. Denn bei Bau-massnahmen griff man immer wieder in abgelagerte Schichten ein, so dass es zu einer Umlagerung von älterem Material kam. Den Aushub verwendete man auch gern für Planien, Bodenunterlagen und Verfüllungen. Im Bauhorizont der Steinbauperiode II.3 etwa fanden sich Lehm-fachwerkbrocken (Taf. 3,4), die von einem älteren Brand stammen müssen, aufgrund der Ähnlichkeit wohl von jenem der Steinbauperiode I.6 (Taf. 3,1–3). Auch Abfallhaufen, die im Laufe der Zeit in der Nähe der Häuser entstanden waren, konnten als Material für Aufschüttungen in Frage kommen. So ist stets damit zu rechnen, dass schon längst abgelagerte Funde in jüngeren Schichten auftreten. Für die Auswertung der Objekte ist es jedoch entscheidend zu wissen, wie weit die Ensembles mit Stücken aus älteren Schichten durchsetzt, vermischt sind.

Das Problem der Vermischung gehe ich in der vorliegenden Arbeit von verschiedenen Seiten an. Anhand des Befundes wird abgeklärt, ob mit einer Vermischung zu rechnen ist. Offenkundig ist dies insbesondere bei den ersten Phasen der Steinbauperioden, in denen man beim Bau der Mauern sämtliche Schichten bis in den anstehenden Boden durchschlagen hatte. Im weiteren können verbrannte Funde aus Phasen, die nicht dem Feuer zum Opfer gefallen waren, aus einer der vorangegangenen, durch Brand zerstörten Phase stammen und so eine Vermischung dokumentieren¹⁰¹. Auch Scherben vom gleichen Gefäss, aber aus verschiedenen Schichten, sog. Passscherben, belegen eine Vermischung (Kap. 4.1.3.). Das Ausscheren eines Ensembles aus der allgemeinen Entwicklungstendenz kann ebenfalls durch darin enthaltenes älteres Fundmaterial bedingt sein. Tatsächlich kann ein solches gegenläufiges Verhalten bei der jeweils ersten Phase der Steinbauperioden beobachtet werden (Kap. 5.5.1.; 5.6.1.), wo bereits der Befund die Vermutung nahelegt, die Komplexe seien beeinträchtigt.

Problematischer ist es hingegen, eine Vermischung von den Funden allein, nämlich von deren Typologie her, belegen zu wollen. Denn wie der Abschnitt über die datierten Fundplätze und Komplexe zeigt (Kap. 13; Abb. 163), ist

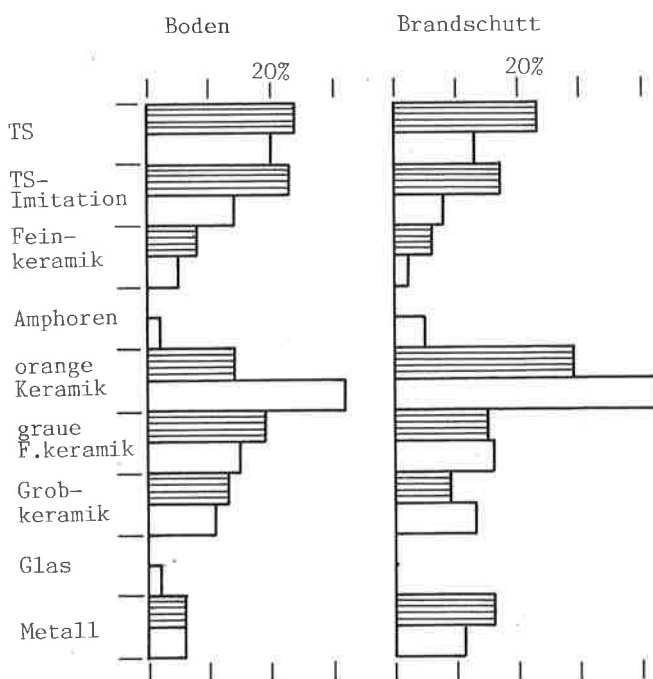


Abb. 46. Holzbauperiode II. Vergleich: Spektrum der Randscherben bzw. bestimmbarer Stücke (schraffiert) mit dem Spektrum der Gesamtzahl.

das Netz noch viel zu wenig dicht, als dass die typologische Entwicklung und das zeitliche Vorkommen der einzelnen Typen endgültig beschrieben werden könnte. Einerseits sind diese Komplexe selbst noch nicht bis ins letzte fest datiert, andererseits liegen ihre Fundorte oft weit auseinander, so dass man die Entwicklungslinien der Keramik nicht so ohne weiteres durchziehen darf. Denn mit regionalen und/oder durch die Art des Fundplatzes bedingten Besonderheiten ist immer zu rechnen (s. Schucany 1990a; Kap. 5.1.).

Im folgenden wird bei einem Stück nur dann vermutet, dass es ursprünglich aus einer älteren Schicht stammt, wenn es formal als Nachzügler auftritt, als Einzelstück in einer wesentlich späteren Schicht als die Masse des gleichen Typs. Wie wir sehen werden, trifft dies nur bei einer verschwindend geringen Anzahl zu.

4.1.3. Passscherben (Abb. 47)

Die Suche nach aneinander anpassenden Fragmenten, sog. Passscherben, bei den Rändern und sämtlichen verzierten Wandscherben der Sigillata erlaubt es, sich ein Bild von den Um- und Ablagerungsvorgängen zu machen. Mit Ausnahme der Holzbauperiode II konnte ich die erwähnten Fragmentarten aller Phasen miteinander vergleichen¹⁰².

101 Hinweise vom Befund und von den verbrannten Scherben werden für jede Phase in Kap. 5 diskutiert.

102 Die Funde der Holzbauperiode II jedoch waren leider zum Zeitpunkt der Untersuchung schon ins Vindonissa-Museum zurückgegeben.

Es war mir nicht möglich, die Funde der HP II im Museum oder bei mir zuhause noch einmal auszuliegen und mit den übrigen Funden zu konfrontieren.

Die Vermischung innerhalb einer Phase, Bauhorizont und Siedlungshorizont, ist mit Ausnahme der Holzbauperiode II selten. Die vielen Passscherben der Holzbauperiode II (Abb.13) lassen sich mit dem Planieren des Brandschuttes erklären (Kap. 3.5.1.).

Auch der Vermischungsgrad zwischen den Phasen ist erstaunlich gering. Die Passscherben machen durchschnittlich 5%, höchstens 10% der Randscherben aus. Die meisten unter ihnen stammen aus unmittelbar aufeinanderfolgenden Phasen am gleichen Ort. Sie dürften beim Bau der Böden aus den schon vorhandenen Schichten in die neu entstandenen geraten sein.

Insbesondere erstaunt, dass der Bau der bis in den anstehenden Boden greifenden Mauern der Steinbauperiode I mit einer Ausnahme keine Stücke aus den Schichten der Holzbauperioden heraufgebracht hatte. Die Steinbauperiode I.1 weist keine einzige Passscherbe auf, obwohl die Fundmenge (127 RS) nicht unbeträchtlich ist. Einzig Nr. 259 aus dem Bauhorizont der Steinbauperiode I.2 könnte beim Aushub für die nördliche Aussenmauer von Haus II verlagert worden sein. Das Spektrum der Steinbauperiode I.1, besonders jenes in Parzelle II, scheint dagegen auf eine Vermischung mit älterem Material hinzuweisen (Kap. 5.5.1.). Die Fundensembles aus dem Zerstörungshorizont der Holzbauperiode II, die nicht in die schichtübergreifende Untersuchung miteinbezogen sind, hätten vielleicht einige Passscherben geliefert. Da diese bei einer unmittelbar vorangegangenen Phase ohnehin zu erwarten wären, veränderten sie das Bild des geringen Vermischungsgrades nicht. Ein Grund für das Fehlen von Passscherben könnte sein, dass man den Aushub für die Fundamente der Steinbauperiode I wie den Brandschutt der Holzbauperiode II zum Ausebnen des Geländes verwendet und über die Grenzen unserer Grabung hinaus verschoben hatte. Beim Bau der Steinbauperiode II gelangte Material aus der vorangehenden SP I.6 nach oben, wie einige Passscherben (Nr. 1584.1614.1632) zeigen. Tieferliegende Schichten wurden dagegen nicht tangiert.

Nur wenige Scherben lagen weit auseinander. Nr. 829 liesse sich so erklären, dass das Fragment eigentlich aus einem Boden stammt, der mit Material von älteren Schichten erstellt worden war. Beim Brand der Steinbauperiode I.6 lag sie an der Oberfläche und kam so oder erst beim Planieren des Brandschuttes in diese Schicht. Nr. 1105 und Nr.1210 belegen, dass man auch den Brandschutt der Steinbauperiode I.4 planiert hatte.

4.1.4. Erhaltung

Die Keramik ist relativ gut, z.T. sogar hervorragend erhalten¹⁰³. Man hat sogar den Eindruck, dass die glatte, oft glänzende Oberfläche etwa der TS-Imitation, aber auch der orangen und grauen Feinkeramik in keltischer Tradition das ursprüngliche Erscheinungsbild wiedergeben. Gerade die TS-Imitation ist, wenn die Profilierung sorgfältig und differenziert ausgearbeitet ist, auf den ersten Blick kaum vom Sigillatvorbild zu unterscheiden. Der Scherben ist meist hart, die Fragmente sind an der Bruchkante nicht verrundet.

Die Scherben aus Brandschichten und Brandschutt sind häufig verbrannt, jedoch nie durch das Feuer verformt¹⁰⁴. Ihre ehemalige Oberfläche ist z.T. zerstört. Bei kleinen Fragmenten ist es oft schwierig zu entscheiden, ob sie immer schon schwarz waren, also der grauen Feinkeramik zuzurechnen sind, oder erst durch das Feuer geschwärzt wurden, also eigentlich der orangen Keramik angehören. Im Keramikspektrum dieser Schichten könnten deshalb die betreffenden Anteile verfälscht sein: die orange Keramik unter-, die graue Feinkeramik übervertreten.

Auch die übrigen Funde sind relativ gut erhalten¹⁰⁵. Einzelne Bronzestücke etwa weisen sogar die ursprüngliche goldglänzende Oberfläche auf (Nr.192.441.621.942.943.1167). Nur eine Fibel (Nr.1407) aus dem Bauhorizont der Steinbauperiode I.4 ist so stark korrodiert, dass sie sich nicht mehr bestimmen lässt. Das Eisen ist, wie meistens, ziemlich schlecht erhalten.

4.1.5. Gruppierung

Um den weiter unten diskutierten Romanisierungsprozess (Kap. 9.2.) sichtbar zu machen, gliedere ich die Keramik schon bei der folgenden Besprechung nach Herkunft und Tradition. Für das Bestimmen der Tradition, für die Frage der Herkunft, sind diejenigen Formen zu suchen, aus denen sich die in Baden gefundenen entwickelt haben könnten; identische Formen bzw. Typen dürfen hingegen nicht erwartet werden. Deshalb verzichte ich mit Ausnahme von Einzelfällen darauf, dem einzelnen Stück bzw. Typ eine entsprechende Parallele gegenüberzustellen. Vielmehr fasse ich sowohl beim Badener Material (Kap. 4.2.–4.5) wie auch beim keltischen bzw. mediterranen Keramikinventar (Kap. 7.2.; 8.2.) die einzelnen Typen zu Grundformen zusammen und beschreibe die Eigenschaften, die sich entsprechen, oder die voneinander abhängen könnten. So lassen sie sich in Grundzügen miteinander

103 Die Funde aus dem römischen Gutshof von Biberist SO-Spitalhof etwa sind sehr viel schlechter erhalten. Dort ist die Keramik mehlig und weist nur noch geringe Überreste eines allfälligen Überzuges auf.

104 In Biberist SO-Spitalhof kamen in der Brandgrube eines Grabes stark fragmentierte Scherben zum Vorschein, die so sehr dem Feuer

ausgesetzt gewesen sein müssen, dass sogar Sigillatafragmente grosse Blasen aufweisen und verformt sind.

105 In Biberist SO-Spitalhof sind die Metallfunde, insbesondere das Eisen, sehr viel stärker korrodiert.

Phase	Passscherben			Katalog-Nr.
	RS	%	RS	
vorher	23	1	4	5
HPI.1	35	2	6	65
Bh HPI.2	33	1	3	71
HPI.2	55	3	5	165
Bh HPI.3	20	2	10	180
HP I.3	103	5	5	191
Bh HPII	30	0	0	238
HP II	324	25	8	259 (25 Passscherben)
Bh SPI.1	42	0	0	
SPI.1	85	0	0	
Bh SPI.2	71	2	3	
SPI.2	48	2	4	
Bh SPI.3	31	0	0	
SPI.3	43	1	2	
Bh SPI.4	60	0	0	
SPI.4	254	5	2	
Bh SPI.5	122	1	1	
SPI.5	37	3	8	
Bh SPI.6	110	6	5	
SPI.6	50	5	10	
Bh SPII.1	102	5	5	
SPII.1	23	1	4	
Bh SPII.2	0	0	0	
SPII.2	3	0	0	
Bh SPII.3	20	1	5	
SPII.3	8	0	0	
Total	1732	71	4	

Abb. 47. Passscherben und ihre Verteilung über die Horizonte.

vergleichen (Kap. 9.2.), und die Entwicklungslinien, auf die es vor allem ankommt, werden sichtbar.

Die aus dem Süden oder Südwesten nach Aquae Helveticae importierte Keramik steht an sich schon in der Tradition des Mittelmeerraumes (Kap. 4.2.).

Die Mehrheit der geborgenen Gefässe jedoch hatte man, dem Ton nach zu urteilen, wohl in der Region hergestellt. Zwar haben wir am vorliegenden Material keine systematischen mineralogisch-chemischen Untersuchungen gemacht, doch die Tonqualitäten sind ziemlich einheitlich und unterscheiden sich deutlich vom Scherben der importierten Ware. Oft enthält der Ton Glimmer. Naturwissenschaftliche Untersuchungen an Scherben aus alten Grabungen haben gezeigt, dass sich die anstehenden nacheiszeitlichen Geländelehme nicht stark von dieser Keramik unterscheiden (Jornet/Maggetti 1983, 51). Zudem ist die Keramikherstellung in Baden archäologisch nachgewiesen (Drack 1949; Roth-Rubi 1983): Neben Sigillata wurde Gebrauchsgeschirr wie Reibschüsseln (Drack 1949,

Abb. 5), Schüsseln mit Horizontalrand (a.a.O. Abb. 4,17,18) und Kochtöpfe (a.a.O. Abb. 4,19) produziert, Typen, die vor allem in den Steinbauperioden (spätes 1. Jh./2. Jh.) vorkommen¹⁰⁶. Für eine bereits in der frühüberischen Holzbauperiode I.1 belegte Herstellung von Keramik sprechen einige mutmassliche Fehlbrände, Schüsseln Drack 21 (Nr. 45.46), schwarze Becher (Nr. 99), sowie Reste eines Ofens (Kap. 3.3.1.). Diese lokal hergestellte Keramik wird anhand der Formen in zwei Gruppen eingeteilt: in eine Gruppe, die in römischer Tradition steht, wenn sie sich an die Keramik des Mittelmeerraumes anschliesst (Kap. 4.3.), und in eine Gruppe, die in keltischer Tradition steht, wenn sie sich von der einheimischen, keltischen Keramik der späten Latènezeit herleiten lässt (Kap. 4.5.). Es zeigt sich, dass eine weitere Gruppe zu umschreiben ist: Gefässe, die sich formal aus der SLT-Keramik ableiten lassen, in der Oberflächenbehandlung aber römische Techniken verwenden. Sie werden im folgenden als Keramik mit keltischer Form und römischer Technik bezeichnet (Kap. 4.4.).

¹⁰⁶ Reibschüsseln: Nr. 544.864.918.1046.1057.1081.1188.1290.1291.1417.1418.1466.1550.1692.1707.1720.1864.1865.1887; Schüsseln: Nr. 801.1287.1348.1448.1630.1681.1843; Kochtöpfe: z. B. Nr. 995.1095.1096.1494.1566.

4.2. Importierte Keramik

Im Keramikmaterial fallen Scherben auf, die sich im Ton von der grossen Masse unterscheiden. Dieser ist meist fein geschlämmt, weist oft eine andere, meist hellere Farbe auf oder er ist mit fremdem, etwa vulkanischem Material gemagert. Die Scherben sind im allgemeinen härter gebrannt. Die Oberfläche weist oft einen Überzug auf.

Dank der Stempel ihrer Töpfer können gewisse, meist ortsfremde Keramiksorten einem oft weit entfernten Produktionsort zugewiesen werden, so die Sigillata (z. B. Paunier 1981, 31), die Amphoren, bei denen manchmal auch noch Pinselaufschriften die Herkunft nennen, die Reibschüsseln (a.a.O. 38) sowie die Firmenlampen (Loeschcke 1919, 255). Den Begriff Import verwende ich im folgenden nur für jene Keramik, die sich auf den ersten Blick als fremd erkennen lässt. Wie wir sehen werden, kommt sie von weit her. Bei der Keramik, die ihrem Aussehen nach in der Region hergestellt worden sein könnte, wird nicht weiter untersucht, ob die Vermutung zutrifft oder ob die Gefässe von anderen, relativ nahe gelegenen Zentren, etwa Augst, Solothurn, Bern oder Avenches, hergebracht worden waren, da eine Zuweisung ohne mineralogisch-chemische Analysen ziemlich willkürlich wäre¹⁰⁷.

Anhand der Fracht auf Schiffen, die in römischer Zeit vor den Küsten des westlichen Mittelmeeres gesunken waren, lässt sich zeigen, dass man tatsächlich Keramik über weite Strecken verhandelte. Deutlich wird auch, welche Produkte es wert waren, so weit exportiert zu werden. In erster Linie sind die Amphoren zu nennen, die man ausschliesslich ihres Inhaltes wegen – Wein, Olivenöl, Fischsauce etc. – verfrachtete¹⁰⁸. In den gleichen Kontext gehören die riesigen Dolien (Corsi-Sciallano 1985, Abb. 77), die jedoch nur zum Schifftransport dienten und nicht weiter verhandelt wurden (Martin-Kilcher 1990, 39ff.). Man verfrachtete aber, wenn auch seltener, andere Keramiksorten, die um ihrer selbst Willen verhandelt wurden. Dass es sich dabei tatsächlich um Handelsware und nicht etwa um Gebrauchskeramik der Besatzung handelt, ist dann offenkundig, wenn die betreffende Keramik in riesigen Mengen vorliegt, wenn sie gar noch stapelweise im Meer zum Vorschein kam. Zu nennen sind: Sigillata, in republikanischer Zeit Campana, Feinkeramik, Lampen, Reibschüsseln und pomejanisch-rote Platten¹⁰⁹. Alle diese Keramiksorten, mit Ausnahme der Campana, finden wir denn auch als Import im Material aus Baden.

Die importierte Keramik macht ein gutes Drittel des Gesamtbestandes aus (Tab. 20). Sie setzt sich zur Hauptsache

aus Sigillata (519 RS bzw. 84%) zusammen, während die Feinkeramik (64 RS bzw. 10%) und die Amphoren (35 RS bzw. 5%) eher selten sind. Der Anteil nimmt im Laufe der Zeit zu.

4.2.1. Terra Sigillata

Sigillata produzierte man seit dem späteren 1. Jh. v. Chr. in Italien (Arrezzo, Pozzuoli etc.)¹¹⁰. Kurz vor der Zeitwende entstanden erste Betriebe in Lyon (Paunier 1981, 31f.; Ettliger et al. 1990, 17ff.). Die seit dem frühen 1. Jh. n. Chr. tätigen Werkstätten in Südgallien, vor allem in La Graufesenque und Montans, später auch in Banassac, waren so erfolgreich, dass sie ab etwa 20 n. Chr. die italische Ware, die Arretina, innert kurzer Zeit vom Markt verdrängten und den Westen des römischen Reiches (Vernhet 1986b, Abb. 1) – nicht aber Italien (Kap. 8.2.) – mit ihrer Massenproduktion überschwemmten. Schon um die Mitte des 1. Jh. entstanden in Mittelgallien, so in Lezoux, Betriebe, die im 2. Jh. die südgallischen Erzeugnisse konkurrenzieren. Auch in Ostgallien entstanden Produktionsstätten, die im Laufe des 2. Jh. wichtig wurden. Kurz vor der Mitte des 2. Jh. begannen im obergermanischen Rheinzabern grosse Manufakturen mit der Sigillataherstellung (Bernhard 1981, 87).

Die Vorherrschaft der südgallischen Sigillata endete, wie man aufgrund der Verhältnisse im Limesgebiet annimmt, um 110/120 (Pferdehirt 1986, 234). Im Kastell Bendorf etwa, wo die Münzen einen terminus post von 112/117 für das Ende ergeben, sind mit einem Mengenverhältnis von 8:11 die mittel- und frühen ostgallischen Reliefschüsseln schon fast ebenso stark vertreten wie die südgallischen (a.a.O. 269f.; Tab. 4). Der erwähnte terminus post stützt sich allerdings lediglich auf sechs Münzen (ORL B, Nr. 2,21), so dass seine Aussagekraft beschränkt ist, wie auch Quervergleiche nahelegen: In Oberstimm stammt die Masse (97%) der Reliefsigillata noch aus Südgallien (Schönberger 1978, 252), ebenso im Kastell von Heddernheim (Fischer 1961, 165) und im Steinkastell von Hofheim (Seitz 1982, 139). Alle drei Kastelle waren mindestens bis in trajanische, vermutlich aber bis in hadrianische Zeit belegt¹¹¹. In Heidenheim beträgt der Anteil noch 30%, in Urspring 13% (Heiligmann 1990, Tab. 9) und in Hesselbach 17% (Batz 1973, 94). In Altenstadt hingegen sind nur noch 2% der verzierten Sigillaten südgallische Produkte

107 Die Keramik der erwähnten Fundplätze ist mir bestens bekannt. Wenn sie miteinander und mit dem Badener Material vermischt wäre, könnte ich sie kaum mehr trennen oder nur in Einzelfällen!

108 Siehe z. B. Benoît 1961, 27ff.; Joncheray 1972, 11; Fiori/Joncheray 1975, 61; Corsi-Sciallano/Liou 1985, Abb. 77; Nieto 1986, 97.

109 Benoît 1961, 71 (Campana); Joncheray 1972, 16 (Reibschüsseln);

Fiori/Joncheray 1975, 62f. (Feinkeramik; pomejanisch-rote Platten); Solier 1981, 101 (Lampen; Reibschüsseln); Nieto 1986, 86; Abb. 2; Tab. 1 (Sigillata); Tab. 2 (Feinkeramik); 86.97 (Lampen).

110 Goudineau 1968, 336; Ettliger 1983, 99ff.; Paunier 1981, 31; Ettliger et al. 1990, 5ff.

111 Zur Datierung Kap. 13 und Abb. 163.

(Schönberger/Simon 1983, 71). Im Altbestand von Rottweil stammt ebenfalls die Sigillata zur überwiegenden Mehrheit aus Südgallien, obwohl der Vicus dem stattlichen Ausbau nach auch im 2. Jh. nicht unbedeutend war (s. Kap. 13). Alle Datierungsvorschläge krankten daran, dass man das Ende des südgallischen Sigillataimportes mit dem Fehlen bzw. der Seltenheit in den einzelnen Kastellen datiert, die Gründung der Kastelle ihrerseits jedoch mit dem Anteil an südgallischer Sigillata! (Kap. 13). Die Datierung sollte man unabhängig von der Sigillata, etwa mit Hilfe der Münzen, vornehmen. Doch leider lässt sich gerade die Gründung eines Platzes anhand der Münzen wegen der Diskrepanz zwischen Umlaufhöhepunkt und Siedlungsfundhäufigkeit sowie des Verzögerungsfaktors nur sehr ungenau fassen (Kraft 1956, 49ff.). Deshalb ist meines Erachtens für den Wechsel des Sigillataimportes eine genauere Datierung als «im Laufe der 1. Hälfte des 2. Jh., vielleicht im 2. Viertel», zur Zeit nicht möglich. Wieweit dieser im Limesgebiet gewonnene Zeitansatz auch im Süden und Westen, etwa im Gebiet der heutigen Schweiz gilt, ist schwierig zu sagen, da hier Fundstellen und Komplexe fehlen, die sich unabhängig von der Keramik datieren lassen. In La Graufesenque jedenfalls produzierte man bis zur Mitte des 3. Jh. Sigillata (Vernhet 1986a; Martin 1986a). Das spätflavische «Service» ist dort noch mit Münzen des Antoninus Pius vergesellschaftet (Vernhet 1976, 15).

Im Gebiet der heutigen Schweiz entstanden seit dem frühen 1. Jh. Werkstätten, die sigillata-ähnliche Ware herstellten (Drack 1945; Laufer 1980). Definitionsgemäss wird die glatte Ware des 1. Jh. jedoch als TS-Imitation bezeichnet (Kap. 4.3.2.) und nur die reliefierte Ware (Pauvier/Kaenel 1981) und jene des späten 2./früheren 3. Jh. (Ettliger 1966; Ettliger/Roth-Rubi 1979, 11ff. 85f.) als eigentliche Sigillata (Drack 1990, 133). In *Aquae Helveticae* ist die Herstellung von Sigillata im späten 2. Jh. nachgewiesen (Drack 1949, 33f.; Roth-Rubi 1983, 44ff.). Stücke dieser Produktion fehlen jedoch im vorliegenden Material vermutlich aus chronologischen Gründen.

Materialsorten

Mit 519 Fragmenten ist die Sigillata im vorliegenden Material nicht nur die mit Abstand häufigste Importware (84% von 618 RS), sondern auch die zahlenmässig grösste Keramikgruppe insgesamt (Tab. 20). Es lassen sich sechs

verschiedene Materialsorten unterscheiden, die anhand einiger Stempel und charakteristischer Punzen den einzelnen Produktionsorten bzw. -gebieten zugewiesen werden können¹¹². Einzig das Fragment mit dem Stempel des südgallischen Töpfers Clarus (Nr. 727) scheint dem Ergebnis zu widersprechen: dem Ton nach möchte man die Scherbe als mittelgallisch bezeichnen.

Arretina: Ton hellbeige, fein; Überzug braunrot (Ettliger/Steiger 1971, 4).

südgallisch (Ton hell): Ton orangerosa, mit weissen Partikeln; Überzug orangerot. Crestio (Nr. 115), Vrius (Nr. 125), evtl. Salarius (Nr. 678), Scotnus (Nr. 897), alle aus La Graufesenque, evtl. Scipius (Nr. 1752) aus Montans.

südgallisch: Ton orange, mit weissen Partikeln; Überzug hellrot. Eppius und Silvanus (Nr. 724) aus Montans, Ardacus (Nr. 751), Amandus (Nr. 957), evtl. Viaticus (Nr. 1056), evtl. Mascus (Nr. 1067), Nicio (Nr. 1410), Celsius (Nr. 1754), alle aus La Graufesenque; Drag. 29 (Nr. 894.982).

südgallisch (Ton dunkel): Ton rot, mit weissen Partikeln; Überzug rot, oft hochglänzend. Sabinus (Nr. 847), Crestio (Nr. 895), Passienus (Nr. 896), Iucundus (Nr. 1005, evtl. Nr. 1531), Niger (Nr. 1267), alle aus La Graufesenque; Drag. 29 (Nr. 815.850.1127.1130.1261).

mittelgallisch: Ton dunkelrot, mit weissen Partikeln; Überzug dunkelrot. Certus (Nr. 1174), Secundus (Nr. 1482), Ceflicio (Nr. 1753), alle aus Lezoux, evtl. Viducus aus Lubié (Nr. 1755).

ostgallisch: Ton orange, mehlig; Überzug orangerot (Ettliger/Steiger 1971, 5).

Es lässt sich folgende Entwicklung der Materialsorten beschreiben (Abb. 48¹¹³): Die Arretina ist in Holzbauperiode I.2 noch gut vertreten, verschwindet jedoch anschliessend ab der Holzbauperiode II. Das Stück aus der Steinbauperiode I.1 könnte beim Bau der Mauern aus einer älteren Schicht verlagert worden sein.

Die helle südgallische Ware kommt bis zur Steinbauperiode I.2 mit nicht unbeträchtlichen Anteilen vor¹¹⁴. In den späteren Phasen ist sie nur noch schwach vertreten. Es muss sich um eine Frühproduktion handeln. Sie könnte der von E. Ettliger (1969/70, 240) beschriebenen «Übergangssorte» von Arretina zur südgallischen Massenware entsprechen bzw. der Qualitätsgruppe 2 nach K. Roth-Rubi (1992, 515). Die südgallische Sigillata mit orangem Ton ist in allen Phasen die mit Abstand grösste Gruppe. Erst in Steinbauperiode II.2 wird sie von der dunklen südgalli-

112 Die Materialunterschiede sind allerdings nicht sehr deutlich. Am besten sind sie zu erkennen, wenn alle Scherben gleichzeitig ausgelegt sind. Da zum Zeitpunkt des Auslegens das Material der HP II schon ins Vindonissa-Museum zurückgebracht worden war, liessen sich diese Stücke nicht mit den anderen konfrontieren. Bei deren Aufnahme erschien sie mir jedoch sehr einheitlich und, mit Ausnahme der klar abgrenzbaren Arretina, «südgallisch». Mittelgallische Sigillata stellte ich keine fest. – Die Materialqualitäten der einzelnen Pro-

duktionen sind bisher eher selten beschrieben worden, z. B. Oswald/Pryce 1920, 4ff.; Ettliger/Steiger 1971, 4f.; Brem et al. 1987, 70; Schucany 1986a, Anm. 19. – Kritisch zum Vorgehen Heiligmann 1990, 163.

113 Zu den Werten für die südgallischen Produkte der HP II s. oben, Anm. 112.

114 Die 100% in HP I.1 basieren auf ganzen zwei Stücken! Dieser Anteil ist zufällig.

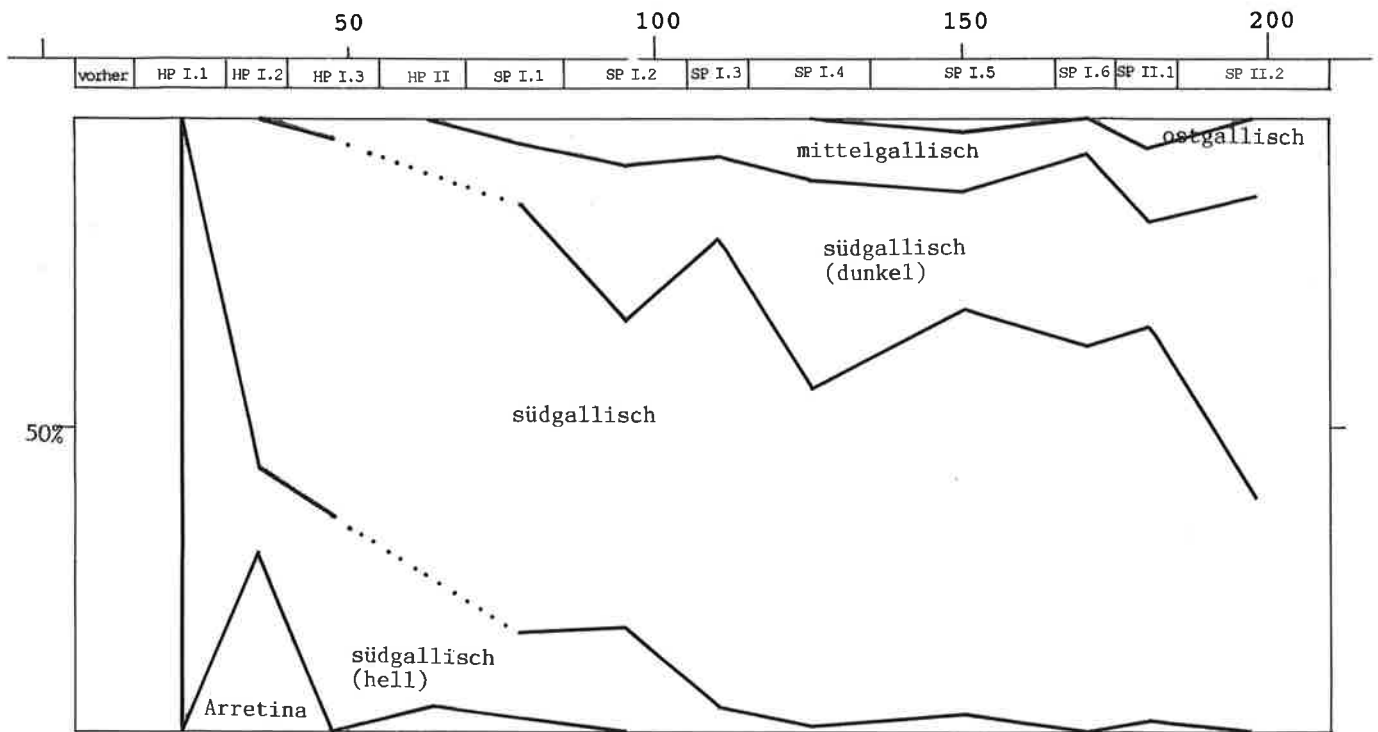


Abb. 48. TS-Materialsorten. Entwicklung der Anteile. S. auch Tab. 2.

schen Ware übertroffen. Mit gut einem Drittel bleibt sie aber dennoch bedeutend. Die dunkle Ware erscheint erstmals in Holzbauperiode I.3 und steigert sich ziemlich kontinuierlich; in Steinbauperiode II.2 macht sie rund die Hälfte der Sigillata aus. Es muss sich um eine Spätproduktion handeln.

Mittelgallische Sigillata kommt erstmals in Steinbauperiode I.1 vor. Sie hält anschliessend ihren bis zum Schluss gering bleibenden Anteil. In Steinbauperiode I.5 tritt neu ostgallische Sigillata hinzu. Sie bleibt jedoch bis zur letzten erhaltenen Phase schwach vertreten.

In Baden ist die südgallische Sigillata bis ins spätere 2. Jh. die dominante Sorte. Von einer Ablösung durch die mittel- und/oder ostgallische Sigillata kann keine Rede sein, auch wenn deren Anteile ab dem späteren 1. Jh. bzw. ab der Mitte des 2. Jh. geringfügig, aber stetig ansteigen. Es ist schwierig zu sagen, wieweit dieses Ergebnis vom allfälligen Nachwirken von an sich, wie erwähnt (Kap. 4.1.2.), eher seltenen Funden aus früheren Phasen bestimmt ist, oder ob sich die Ablösung in den Ensembles erst viel später zeigt als sie tatsächlich stattgefunden hat. Gegen eine mehr als unbedeutende Vermischung spricht, dass die Arretina ab etwa 30 verschwindet, ebenso ab etwa 100 die frühe südgallische Sigillata mit hellem Ton.

Typengruppen

Nach ihrem ersten Auftreten in den Phasen teile ich die Sigillatatypen in fünf Gruppen ein (Tab. 3), die, einander gegenübergestellt, die Entwicklung in der Zeit sichtbar machen sollen¹¹⁵:

Gruppe A: arretinische oder Haltern-Typen (Haltern 2/8/11/15);

Gruppe B: frühe Hofheim-Typen (Hofheim 1/5/8/9/12; Drag. 15/17/24/29/30);

Gruppe C: späte Hofheim-Typen (Drag. 16/18/22/23/27);

Gruppe D: sog. flavische Typen (Drag. 35/36/37/42/46; Hémet 9);

Gruppe E: mittelkaiserzeitliche Typen (Drag. 31/32/33; Becher).

Diese Gruppen sind jedoch weder formal einheitlich im Sinne eines Service¹¹⁶, noch sind sie zeitlich ganz geschlossen: Die Reliefschüsseln Drag. 29 und Drag. 37 etwa kommen länger als die andern Typen der Gruppe B bzw. Gruppe D vor (s. unten).

Es zeigt sich folgende Entwicklung (Abb. 49): Gruppe A ist in den Phasen der tiberisch-claudischen Holzbauperiode I gut vertreten. Ihr Anteil sinkt in der neronischen Holzbauperiode II auf einen unbedeutenden Wert und ver-

¹¹⁵ Typengruppierungen und das gegeneinander Abwägen einzelner Typen sind schon mehrfach vorgenommen worden: u. a. Ettliger/Simonett 1952, 92f.; Ettliger/v.Gonzenbach 1955/56, Abb. 31; Ulbert 1960, 9ff.; Schucany 1983, Abb. 15; Pferdehirt 1986, 240ff.; Schucany 1990a, Tab. 4.

¹¹⁶ Vgl. etwa die als Service bezeichneten Typengruppen bei Loeschke 1909, 137 bzw. Vernhet 1976, Abb. 1.

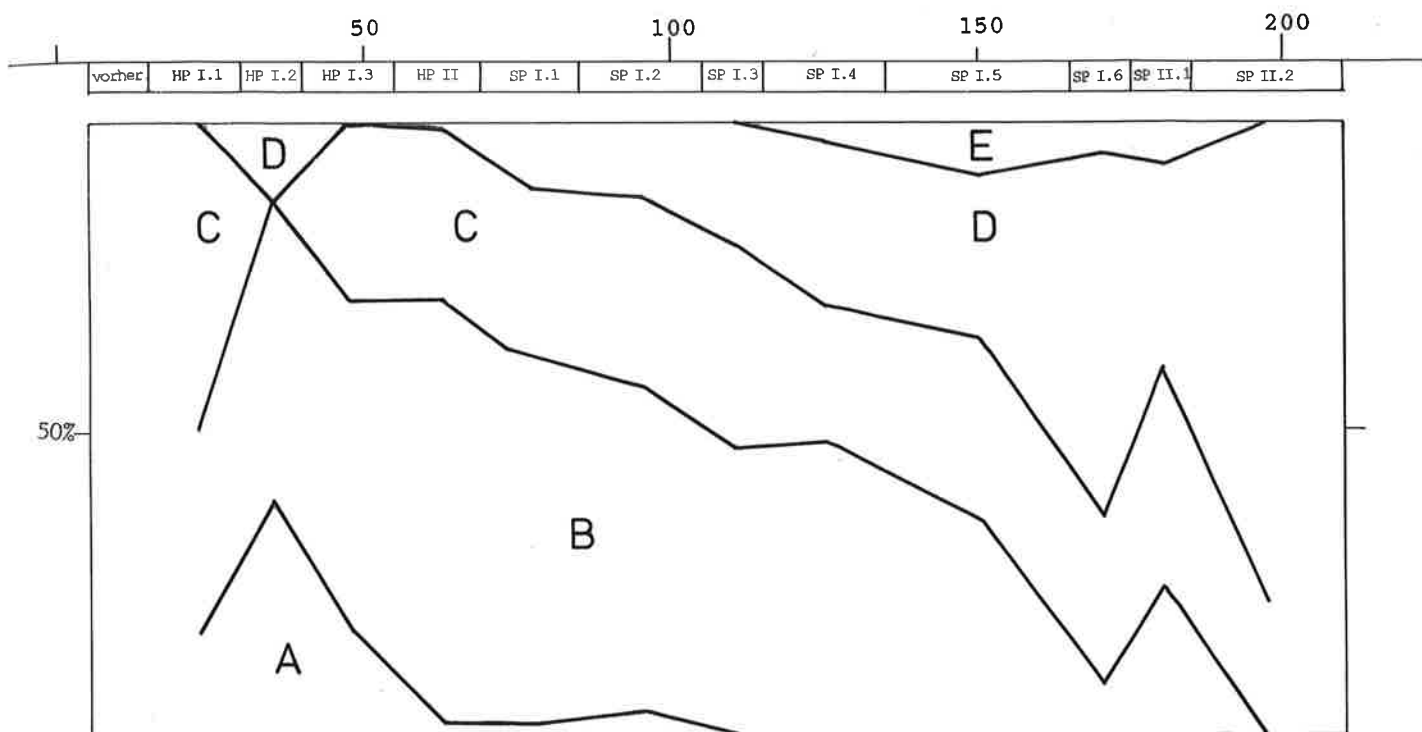


Abb. 49. TS-Typengruppen. Entwicklung der Anteile. S. auch Tab. 3.

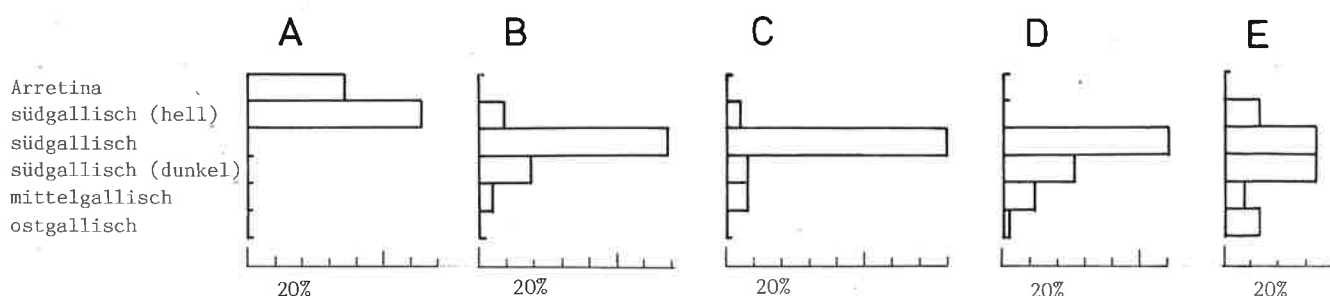


Abb. 50. Anteile der TS-Typengruppen nach Materialsorten. S. auch Tab. 4.

schwindet ab der trajanischen Steinbauperiode I.3. Gruppe B ist in der neronischen Holzbauperiode II am häufigsten. Anschliessend nimmt der Anteil langsam aber stetig ab bis zur Steinbauperiode I.6 (3. Viertel des 2. Jh.), wo er auf ein geringes Niveau abstürzt. Der hohe Wert in Steinbauperiode II.1 (späteres 2. Jh.) dürfte auf die Vermischung mit älteren Funden anlässlich des Baus der Fundamente zurückzuführen zu sein. Gruppe C ist in allen Phasen gut vertreten¹¹⁷. Typen der Gruppe D erscheinen erstmals in der neronischen Holzbauperiode II – das Exemplar aus Holzbauperiode I.2 ist als sog. Fehllauf anzusehen (Kap. 5.3.2.). Der Anteil nimmt stetig zu und erreicht in der Steinbauperiode I.6 (3. Viertel des 2. Jh.), besonders aber in der Steinbauperiode II.2 (spätes 2. Jh.) Höchstwerte. Der Rückgang

in Steinbauperiode II.1 liegt an der überdurchschnittlichen Häufigkeit der Gruppe B, vielleicht auch der Gruppe C, was auf die erwähnte Vermischung mit älteren Funden zurückzuführen ist. Typen der Gruppe E erscheinen erstmals in der hadrianischen Steinbauperiode I.4.

Wieweit das Bild durch das Nachwirken von allfälligen Funden aus älteren Schichten verfälscht wird, ist schwierig zu sagen. Die Werte der Steinbauperiode II.1 heben sich deutlich von jenen der folgenden Phase 2 sowie der vorangegangenen Phase 6 der Steinbauperiode I ab und stimmen annähernd mit jenen der etwa 25 Jahre älteren Steinbauperiode I.5 überein. Dieses Bild ist wohl auf eine tatsächliche Vermischung mit älterem Material zurückzuführen, wie es vom Befund her auch zu vermuten ist, zeigt

¹¹⁷ Der relativ hohe Anteil von 50% in HP I.1 und das Fehlen in HP I.2 dürften an der geringen Basis von 6 bzw. 8 Sigillaten liegen und zufällig sein.

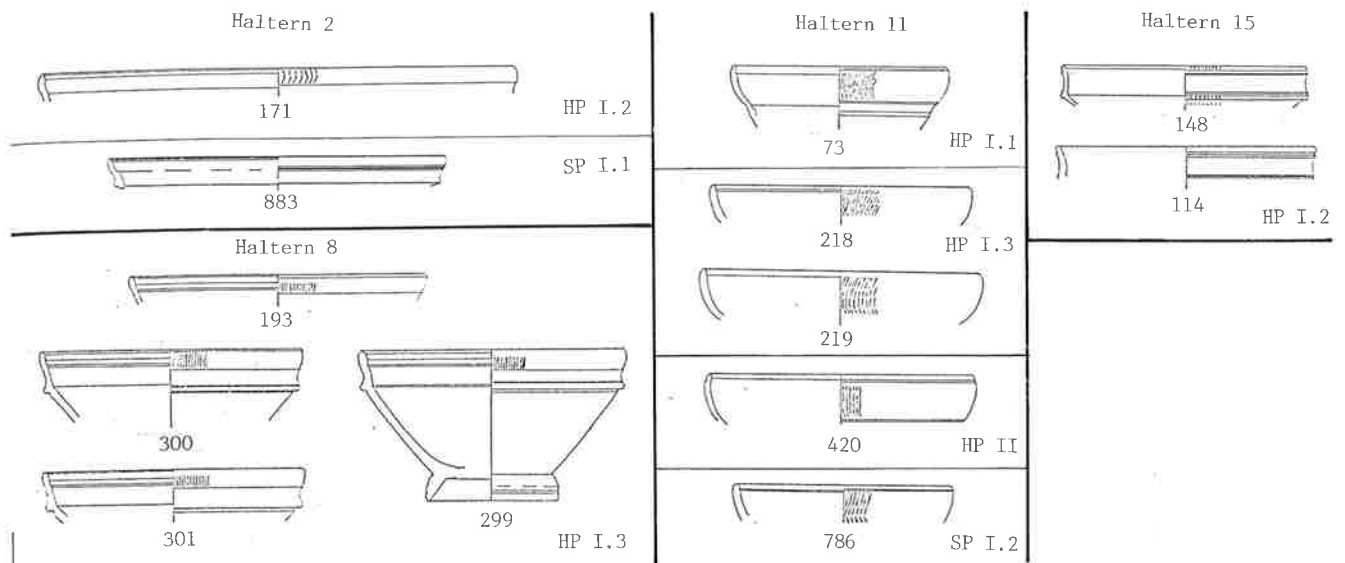


Abb. 51. TS-Gruppe A. Varianten und ihr Auftreten in den einzelnen Phasen. M ca. 1:4.

wohl aber auch, dass die anderen Schichten nicht oder nur wenig vermischt sind. Der Bau der Steinbauperiode I.1 hingegen scheint sich im Typenspektrum nicht abzuzeichnen.

Die chronologische Dimension der Typengruppierung wird auch sichtbar, wenn sie mit den Materialsorten kombiniert wird (Abb. 50): Gruppe A setzt sich aus einem Drittel Arretina und zwei Dritteln früher südgallischer Sigillata zusammen, Gruppe B weist einerseits einen kleinen Anteil von früher südgallischer Ware, andererseits geringe Mengen von später südgallischer und mittelgallischer Ware auf. Ein ähnliches Bild zeigt Gruppe C. In Gruppe D fehlt die frühe südgallische Ware, während wenige Stücke schon aus Ostgallien stammen. Bei Gruppe E sind alle südgallischen Sorten vertreten, die mittelgallische Sigillata ist etwas seltener, die ostgallische häufiger als in Gruppe D¹¹⁸.

Gruppe A (Abb. 51)

Die Gruppe der arretinischen Typen setzt sich aus einem Teller, Haltern 2 (Consp. 18.2) und drei Schälchentypen, Haltern 8 (Consp. 22.1–3), Haltern 11 (Consp. 31) und Haltern 15 (Consp. 26.1) zusammen. Haltern 2 und Haltern 8 werden als Sevice II bezeichnet, dessen Profilierung auf Silberformen zurückgeht (Ettlinger 1983, 28; Roth-Rubi 1984, Abb. 5.8). Auch die Gestaltung von Haltern 11 und Haltern 15 orientiert sich an Silbergefäßen (Roth-Rubi 1984, Abb. 6.9). Bei allen handelt es sich um späte Formen der Arretina (Ettlinger 1983, Abb. 8).

Die Teller und einige der Schälchen Haltern 11 (Nr. 420) und Haltern 15 (Nr. 148) sind der Beschaffenheit nach der Arretina zuzuweisen. Die übrigen sind südgallisch, soweit untersucht, Exemplare der Frühproduktion¹¹⁹. Sie kommen zur Hauptsache in den Holzbauperioden des frühen und mittleren 1. Jh. vor. Die Stücke aus der Phase I (Nr. 883) und der Phase 2 (Nr. 786) der Steinbauperiode I sind wohl aus älteren Schichten verlagert.

Gruppe B (Abb. 52–56)¹²⁰

Die Gruppe der frühen Hofheim-Formen setzt sich zusammen aus Schälchen Hofheim 5, Hofheim 8, Hofheim 9 und Drag. 24, aus Tellern Drag. 17, Hofheim 1 und Drag. 15¹²¹ sowie Schüsseln Hofheim 12 und den beiden Reliefschüsseln Drag. 29 und Drag. 30. Alle Typen sind Weiterentwicklungen von Arretinaformen (Oswald/Pryce 1920, 234; Ettlinger 1983, Abb. 8): Hofheim 5 aus Haltern 8 (Consp. 22.6), Hofheim 8 aus Haltern 6 (Consp. 36), Hofheim 9 aus Haltern 15 (Consp. 26–27), Drag. 24 aus Haltern 12 (Consp. 33), Drag. 17 aus Haltern 2 (Consp. 18.2), Hofheim 1 aus Haltern 4 (Consp. 4.4–5), Drag. 15 aus Haltern 3 (Consp. 19), Drag. 29 aus dem Reliefkelch Drag. 11 (Consp. R5.1.1) und Drag. 30 aus dem Typ Consp. R10. Die Schüssel Hofheim 12 hingegen scheint eine Erfindung südgallischer Töpfer zu sein, vielleicht eine Umsetzung der Reibschüssel in Sigillatatechnik (Oswald/Pryce 1920, 211). Allerdings erinnert sie stark an die italische Form Consp. 37.2.

118 Mit nur 15 Exemplaren ist die Basis allerdings klein, so dass die Anteile vielleicht vom Zufall mitbestimmt sind.

119 Die Stücke der HP II fehlten beim Tonvergleich s. oben, Anm. 112.

120 Zusätzlich Schucany 1983, Nr. 3.4.7–9.14–16.20.21.34.43.

121 Drag. 17 unterscheidet sich wie der Vorgängertyp Haltern 2 durch eine Kehle innen am Rand von Drag. 15, dem Teller mit Viertelrundstab.

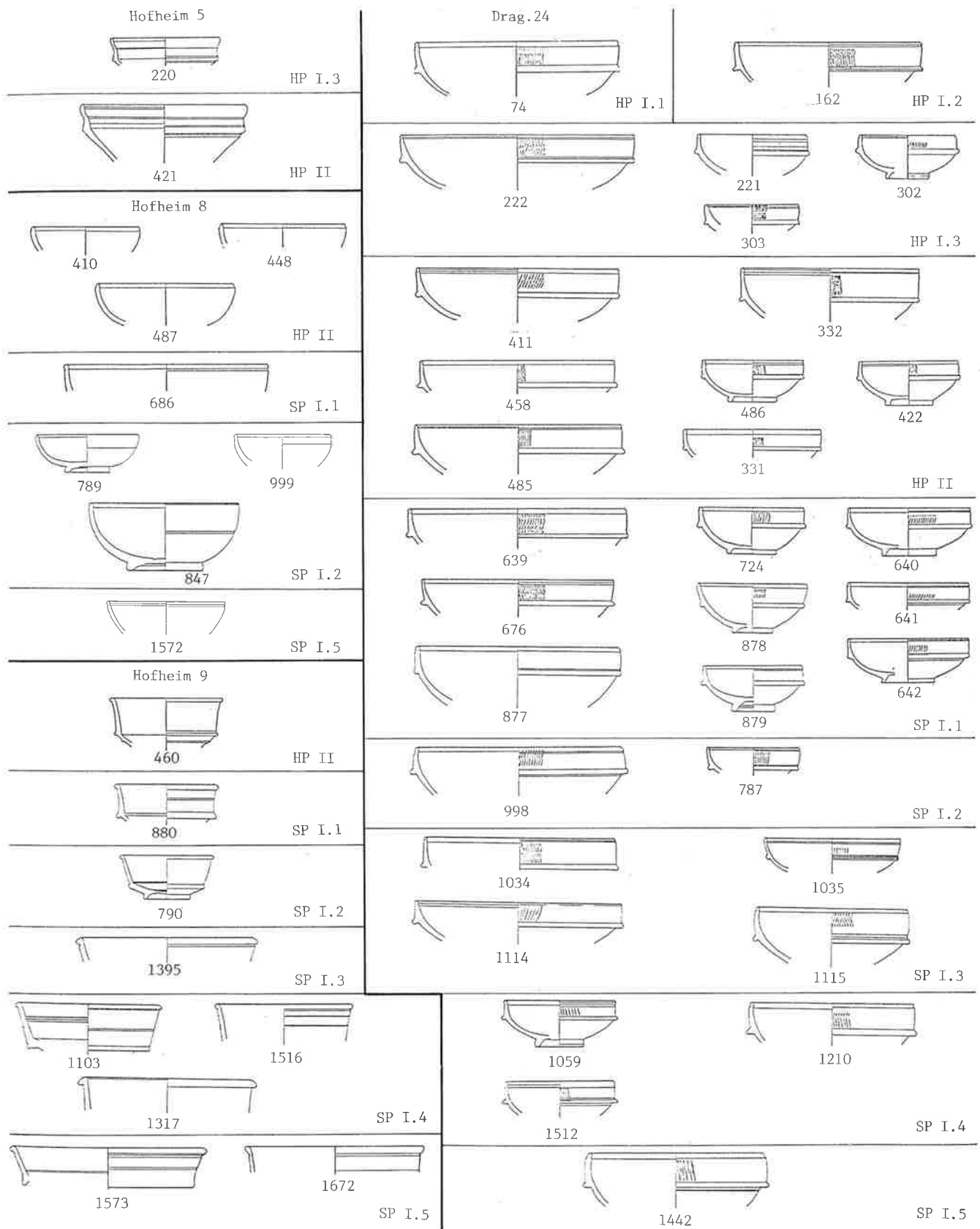


Abb. 52. TS-Gruppe B. Schälchen. Varianten und ihr Auftreten in den einzelnen Phasen. M ca. 1:4.

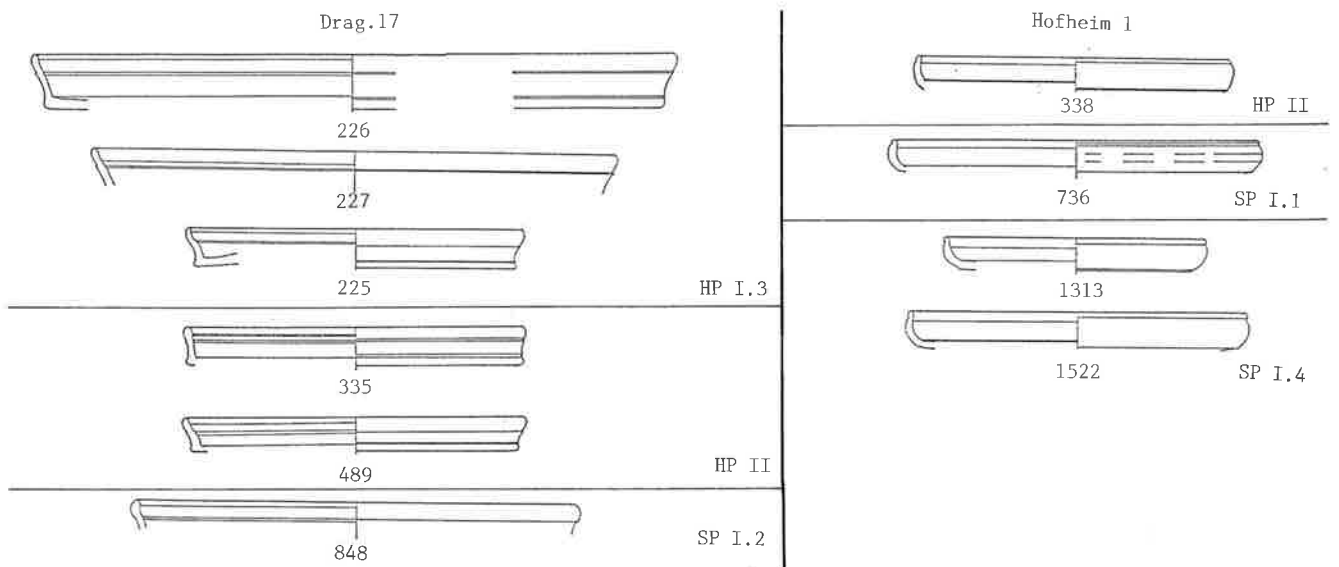


Abb. 53. TS-Gruppe B. Teller Drag. 17, Hofheim 1. Varianten und ihr Auftreten in den einzelnen Phasen. M ca. 1:4.

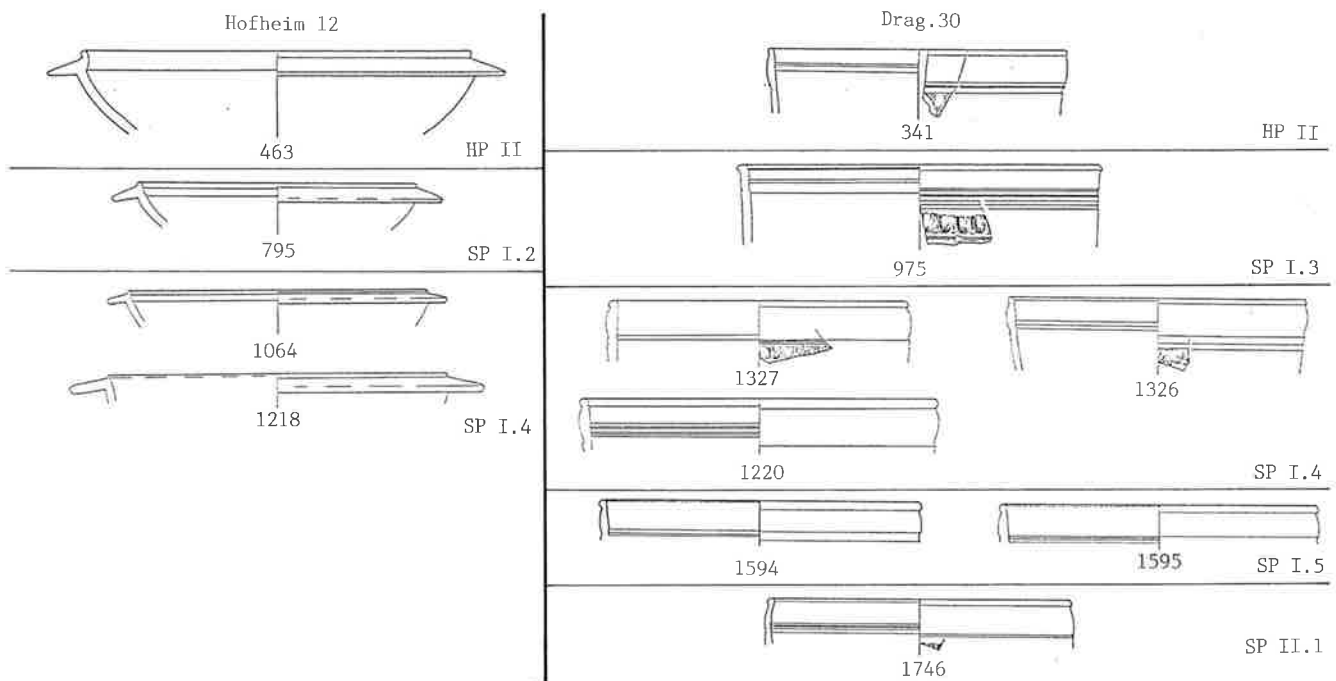


Abb. 55. TS-Gruppe B. Schüsseln Hofheim 12, Drag. 30. Varianten und ihr Auftreten in den einzelnen Phasen. M ca. 1:4.

Die meisten Stücke stammen aus Südgallien (Tab. 4). Die frühe helle südgallische Ware ist bei den Schälchen Hofheim 9, Hofheim 8 und Drag. 24 sowie bei den Tellern Drag. 17 und Hofheim 1 recht gut vertreten, die späte dunkle Ware beim Schälchen Hofheim 9 und den Schüsseln Hofheim 12 und Drag. 29. Aus Mittulgallien stammen ein Schälchen Drag. 24 (Nr. 1059), eine Schüssel Hofheim 12 und einige Schüsseln Drag. 29 (Nr. 1597.1853).

Am häufigsten sind das Schälchen Drag. 24, der Teller Drag. 15 und die Schüssel Drag. 29 (Tab. 3). Die letzten beiden Formen gehören zu den häufigsten insgesamt. Die übrigen Formen sind selten.

Bei den meisten Typen lassen sich zwei Grössen feststellen (s. unten). Soweit die letztlich doch eher kleinen Zahlen überhaupt eine Aussage zulassen, scheinen die unterschiedlichen Formate in allen Phasen gleich beliebt zu sein. Sie sind nicht chronologisch, sondern eher funktional zu deuten.

Bei den Formen, die in mehreren Exemplaren vorliegen, lassen sich Untertypen definieren, die aber mit Ausnahme der Schüsseln in allen Phasen gleichermaßen vertreten sind, so dass ihnen keine chronologische Bedeutung zukommt.

Die Schälchen Hofheim 8 liegen in drei Ausformungen vor: Rand innen und aussen gegliedert (Nr. 410.448.487);

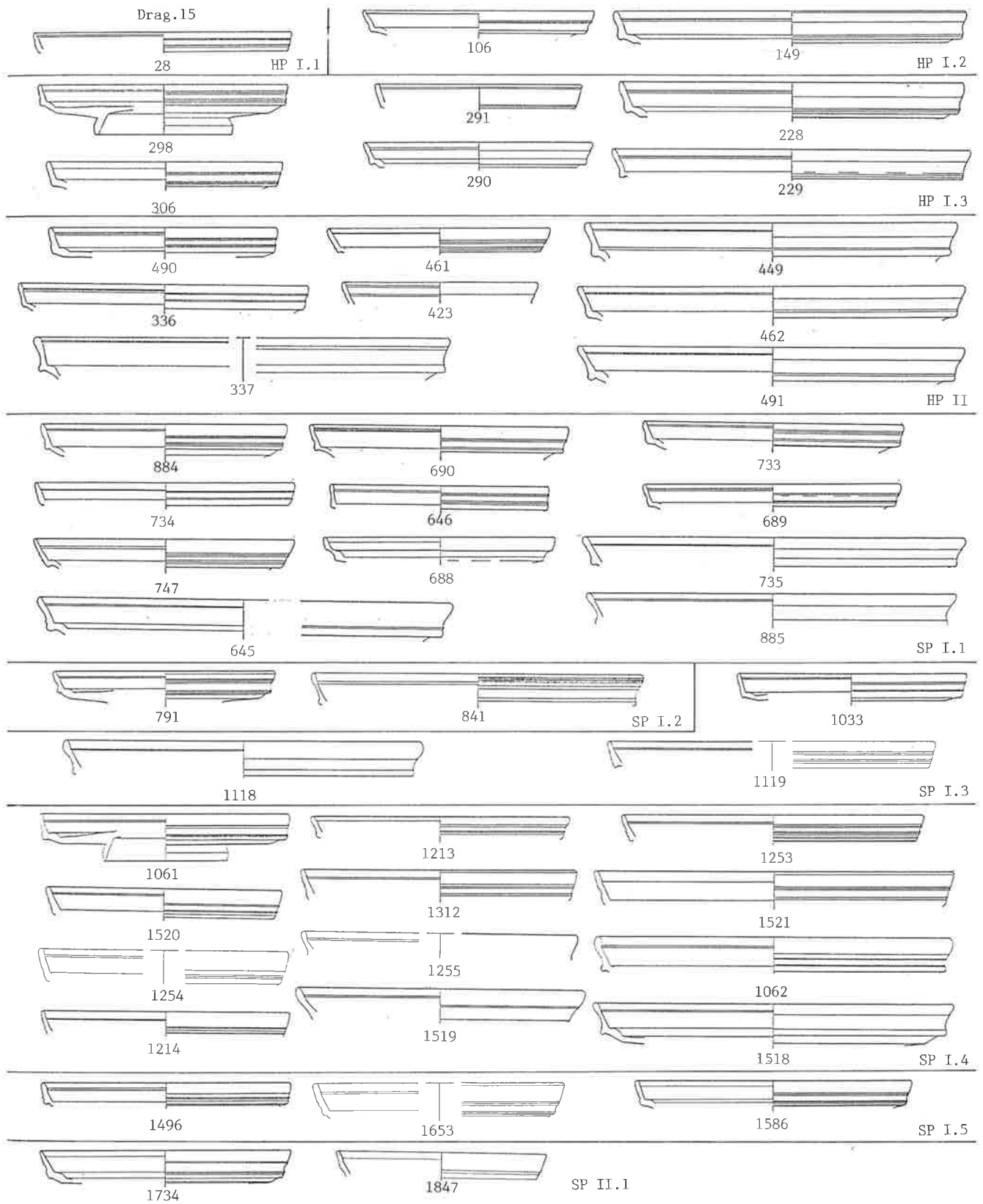


Abb. 54. TS-Gruppe B. Teller Drag.15. Varianten und ihr Auftreten in den einzelnen Phasen. M ca. 1:4.

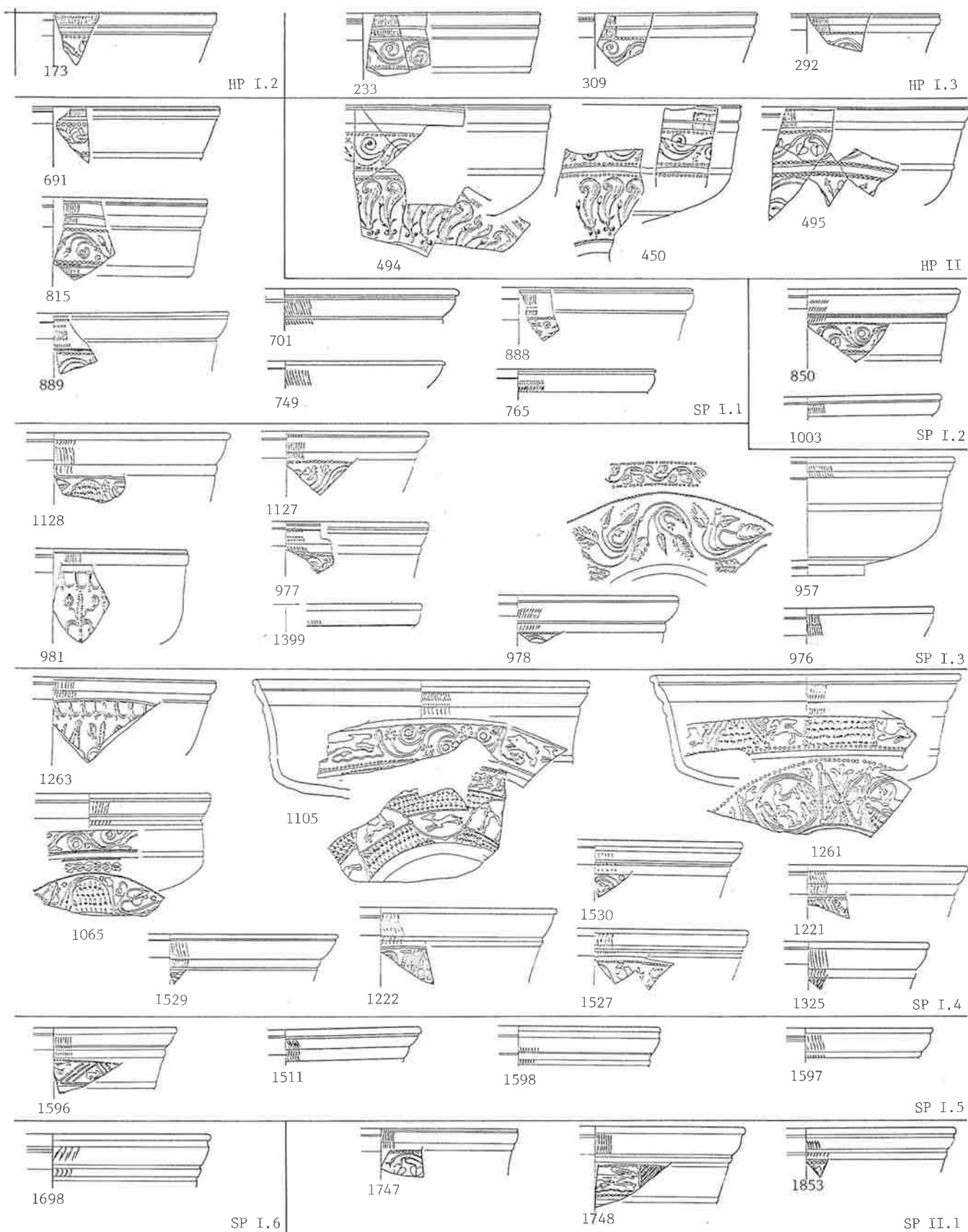


Abb. 56. TS-Gruppe B. Schüssel Drag. 29. Varianten und ihr Auftreten in den einzelnen Phasen. M ca. 1:4.

Lippe aussen mit einer Rille abgesetzt (Nr. 686.999.1572; Schucany 1983, Nr. 14–16); Rand aussen glatt, innen mit einem Absatz gegliedert (Nr. 789.847).

Das Schälchen Drag. 24 lässt sich nach der Ausgestaltung des Randes in drei Untertypen einteilen: innen mit Absatz¹²²; innen mit Rille¹²³; innen ohne Gliederung (Nr. 221).

Der Teller Drag. 15 lässt sich in zwei Formen aufteilen, deren Profilierungen auch beim Typ Drag. 17 festzustellen sind: Rand aussen gerundet, mit Absatz, Kehle, Rille¹²⁴; Rand aussen gerade, mit Rille, evtl. Rippe, Kehle, evtl. Rippe, Rille¹²⁵. Die erste Form mit gerundetem Rand wurde anscheinend für Platten bevorzugt, doch gibt es auch kleine Exemplare (z. B. Nr. 290) und Platten mit der geraden Form (z. B. Nr. 1521).

Die Schüssel Hofheim 12 der Holzbauperiode II (Nr. 463) weist einen im Querschnitt dreieckigen Kragenrand auf, wie er für frühe Stücke typisch ist (Mackensen 1978, 87), während die späteren Vertreter im Querschnitt rechteckig sind.

Die typologische Entwicklung der Reliefschüssel Drag. 29 wurde bereits mehrfach skizziert (Oswald/Pryce 1920, 67f.; Rychener/Albertin 1986, 73): Die frühen Stücke weisen eine halbkugelige Form auf, mit einem niedrigen, in zwei etwa gleich hohe Bänder unterteilten Riefelrand¹²⁶. Sie sind mit wogenden Motiven, oft mit Wellenranken verziert. In den Holzbauperioden vorherrschend, kommen sie bis ins 2. Viertel des 2. Jh. vor. Das Stück aus der Steinbauperiode II.1 (Nr. 1747) dürfte ein beim Bau der Mauern umgelagertes Exemplar aus einer älteren Schicht sein. Die jüngere Schüssel weist eine geknickte Form auf¹²⁷. Der Riefelrand hat sich durch das Anwachsen des oberen Bandes erheblich erhöht. Die Verzierung wird in ihrem Fluss durch statische Elemente unterbrochen (z. B. Nr. 1261.1601.1602) oder in Felder aufgeteilt (z. B. Nr. 1128.1262). Erstmals in flavischer Zeit auftretend, herrscht diese späte Form sofort vor. Die beiden Exemplare mit Eierstab (Nr. 981.1263) erinnern sowohl an die gleichzeitigen Schüsseln Drag. 30 und Drag. 37 wie an die arretinischen Kelche (Oswald/Pryce 1920, Taf. 2, 1.2.4; 7,5; 15,6).

Die Typen der Gruppe B sind in allen Schichten des 1. und des früheren 2. Jh. häufig (Tab. 3). Gegen die Mitte des 2. Jh. werden sie allmählich seltener, einzelne Formen, insbesondere die Reliefschüssel Drag. 29, kommen bis ins

späte 2. Jh. vor. Auch hier ist zu fragen, wieweit das Bild durch das Nachwirken von allfälligen Funden aus älteren Schichten verzerrt ist. Die relativ schnelle und lückenlose Ablösung der älteren Form Drag. 29 durch die jüngere spricht gegen eine starke Vermischung, das Auftreten der hellen Frühproduktion (Nr. 1496) noch in der Steinbauperiode I.5 eher dafür.

Gruppe C (Abb. 57–60)¹²⁸

Die Gruppe der späten Hofheim-Typen setzt sich aus Schälchen Drag. 27 und Drag. 23 sowie Tellern Drag. 18, Drag. 16 und Drag. 22 zusammen. Alle Formen haben sich aus Arretinatypen entwickelt (Ettlinger 1983, Abb. 8): Drag. 27 aus Haltern 11 (Consp. 31–32), Drag. 18 aus dem Typ Consp. 3, Drag. 22 und Drag. 23 aus dem Typ Consp. 29 und der Teller Drag. 16 aus dem Typ Consp. 21.3/4.

Die meisten Stücke stammen aus Südgallien (Tab. 4). Die helle Frühproduktion wie die dunkle Spätproduktion sind seltener als in Gruppe B, die Tonqualität einheitlicher. Ist darin eine zentralisiertere Produktionsweise zu sehen? Aus Mittelgallien stammen einige Schälchen Drag. 27 (Nr. 748.1036.1212) und Teller Drag. 18 (Nr. 793.886.972.1591.1693.1740).

Der Teller Drag. 18 stellt die häufigste Sigillataform überhaupt dar (Tab. 3). Das Schälchen Drag. 27 ist recht häufig, während die restlichen Formen selten sind.

An Grössen scheinen beim Schälchen Drag. 27 drei, bei den Tellern Drag. 16/18 zwei vorzuliegen (s. unten).

Die Schälchen Drag. 27 lassen sich nach der Randform in zwei Untertypen einteilen: mit spitzer, oben abgestrichener Lippe¹²⁹; mit runder, oft flauer Lippe¹³⁰. Die erste, ältere Form herrscht in den Holzbauperioden vor und tritt bis in frühflavische Zeit auf. Die zweite, jüngere Form erscheint in den Holzbauperioden nur vereinzelt, in den Steinbauperioden dominiert sie. Die Gestaltung des Randes lässt sich, wie schon früher vermutet¹³¹, chronologisch auswerten. In Oberwinterthur allerdings zeichnet sich diese Entwicklung merkwürdigerweise nicht ab (Rychener/Albertin 1986, 73ff.).

Beim Teller Drag. 18 lassen sich zwei Untertypen formulieren: mit runder, teilweise leicht geschwelter Wand¹³²; mit gerader, gleichmässig dicker Wand¹³³. Die

122 Nr. 74.162.331.458.486.639–642.676.724.767.787.877–879.998.1034.1059.1115.1210.1442; Schucany 1983, Nr. 7.9.

123 Nr. 222.302.303.332.411.422.485.1035.1114.1512; Schucany 1983, Nr. 3.4.8.

124 Nr. 149.225–229.290.337.423.449.462.489.491.645.688.735.848.885.1062.1118.1255.1518.1519; Schucany 1983, Nr. 34.35.45.46.

125 Nr. 28.106.291.298.306.335.336.461.490.646.689.690.733.734.747.791.841.884.1033.1061.1119.1213.1214.1253.1254.1312.1496.1520.1521.1586.1653.1734.1847; Schucany 1983, Nr. 40.43.48.51–57.

126 Nr. 173.233.292.309.450.494.495.691.815.888.957.977.1527.1747.

127 Nr. 701.749.765.850.888.889.976.978.1003.1065.1105.1127.1128.1221.1222.1261.1325.1511.1529.1530.1596–1598.1698.1748.1853.

128 Zusätzlich Schucany 1983, Nr. 24.25.27.28.30.31.62.64–66.69–72.

129 Nr. 223.224.304.333.334.459.488.643.677.725.748.813.881; Schucany 1983, Nr. 24.25.27.28.30.31.

130 Nr. 297.644.687.788.822.846.973.1036.1211.1212.1259.1316.1408.1443.1455.1481.1513–1515.1575–1578.1690.1729–1732.

131 Ulbert 1957, 322; Mary 1967, 22; Schucany 1983, 70f.

132 Nr. 29.75.194.230–232.307.308.339.340.492.493.647.648.699.793.794.849.954.955.971.972.1000.1104.1122–1125.1168–1171.1215.1216.1256.1314.1315.1428.1444.1485.1497.1523–1525.1589.1590.1656.1661.1662.1693.1736–1740.1876.

133 Nr. 886.887.1001.1121.1172.1409.1587.1588.1591.1592.1741–1743.1830.1831.1848.1875.

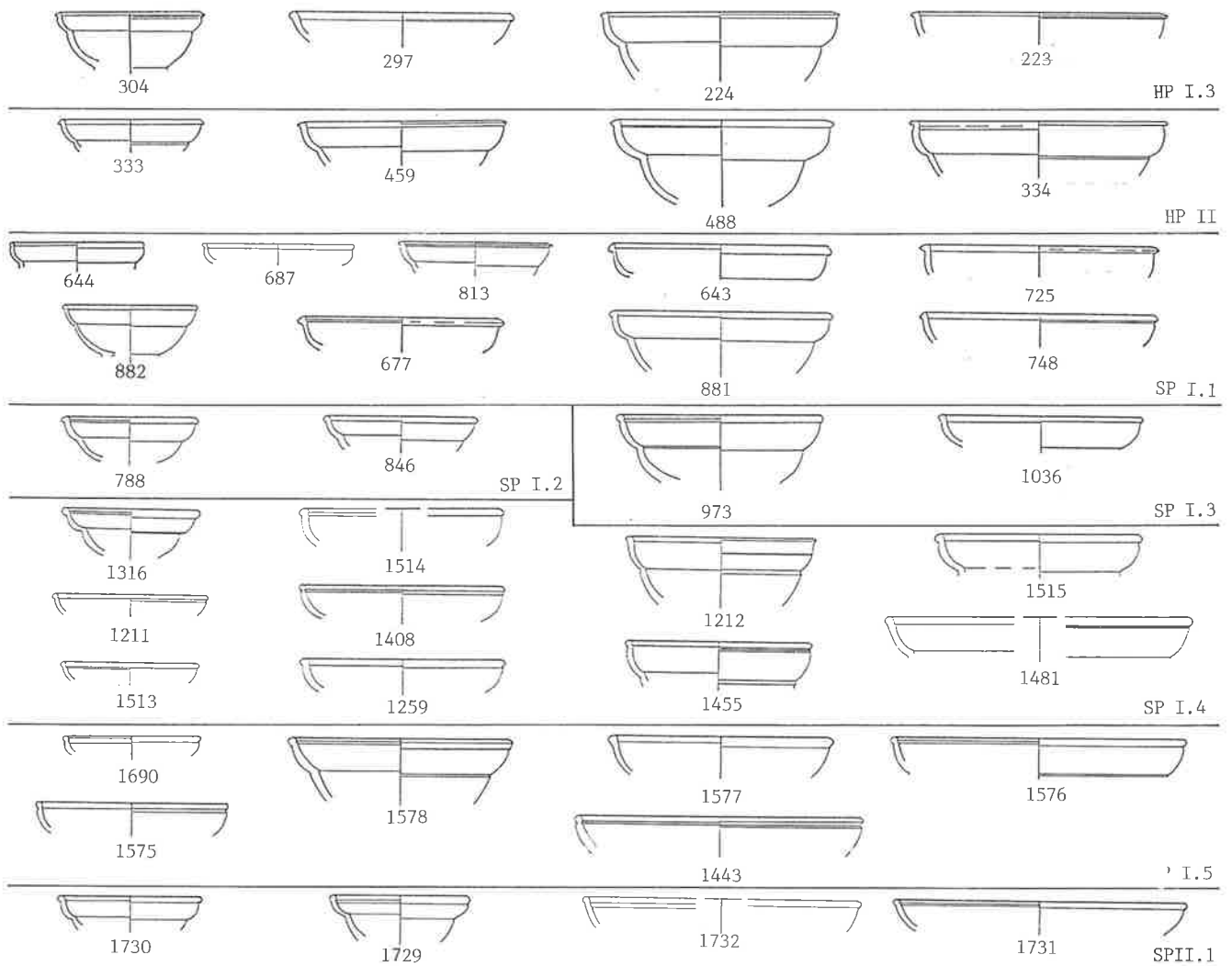


Abb. 57. TS-Gruppe C. Schälchen Drag. 27. Varianten und ihr Auftreten in den einzelnen Phasen. M ca. 1:4.

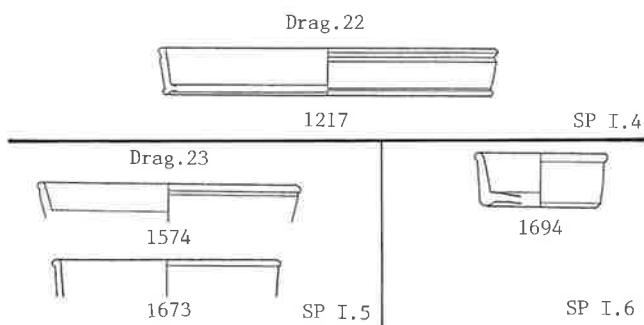


Abb. 58. TS-Gruppe C. Drag. 22, Drag. 23. Varianten und ihr Auftreten in den einzelnen Phasen. M ca. 1:4.

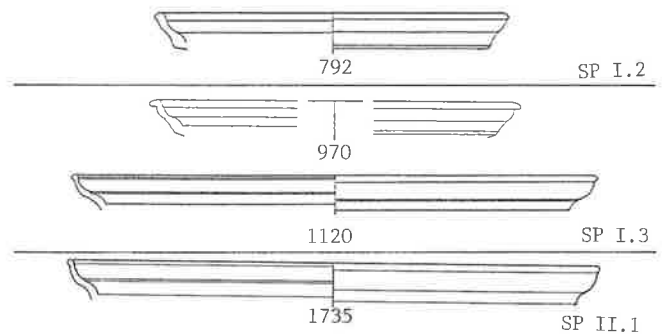


Abb. 59. TS-Gruppe C. Teller Drag. 16. Varianten und ihr Auftreten in den einzelnen Phasen. M ca. 1:4.

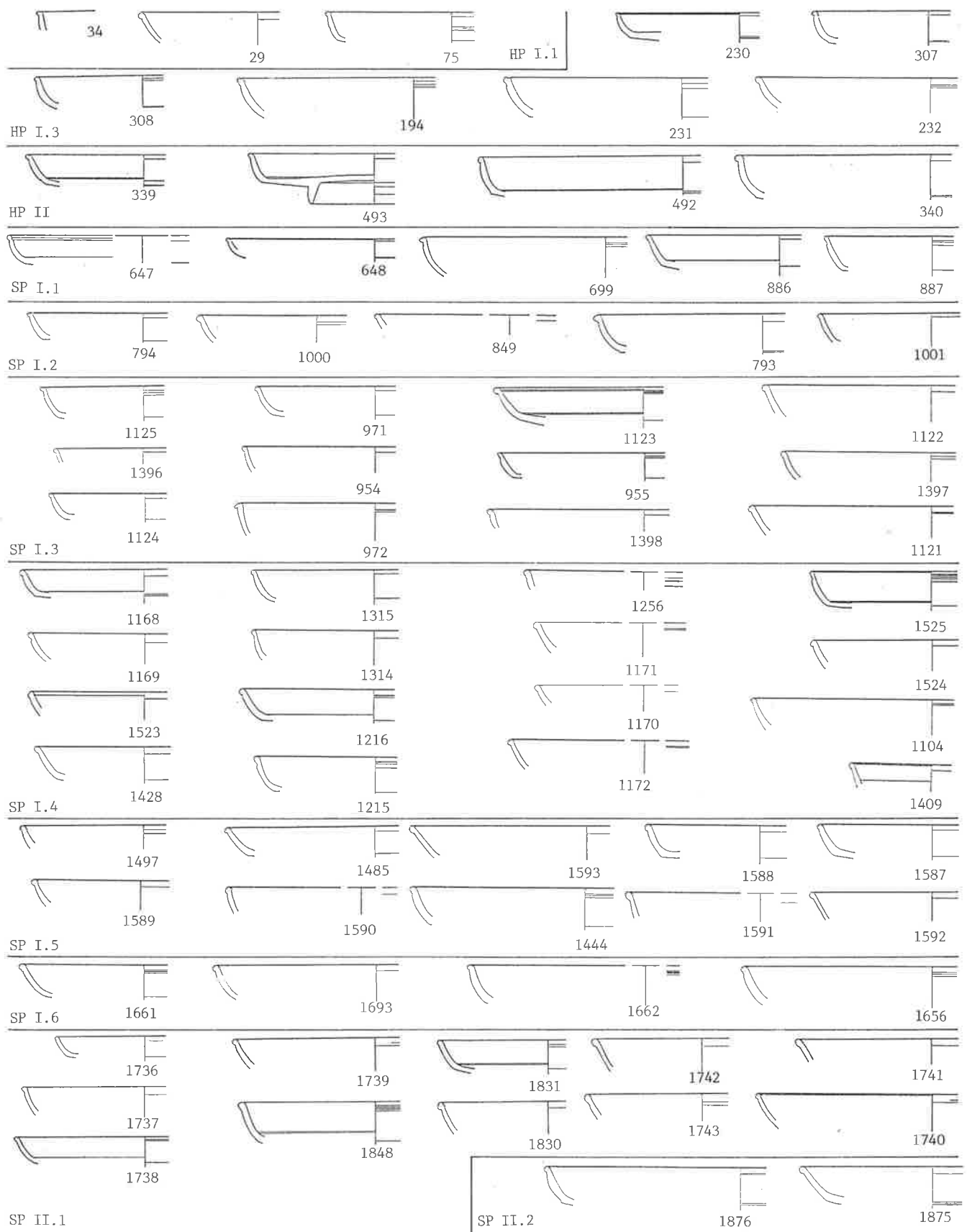


Abb. 60. TS-Gruppe C. Teller Drag. 18. Varianten und ihr Auftreten in den einzelnen Phasen. M ca. 1:4.

jüngere, gerade Form tritt erstmals in flavischer Zeit auf. Ab der Mitte des 2. Jh. wird sie häufiger. Sie kann als Übergangsform zum Teller Drag. 31 der Typengruppe E bezeichnet werden (Oswald/Pryce 1920, 182).

Die Typen der Gruppe C sind mit Anteilen von einem Viertel bis einem Drittel der Sigillata in allen Phasen gut vertreten¹³⁴. Wieweit muss mit einer Verfälschung des Bildes durch das Nachwirken von Funden aus älteren Schichten gerechnet werden? Die schnelle und lückenlose Ablösung der älteren Schälchen Drag. 27 durch die jüngeren spricht gegen eine allzu grosse Vermischung.

Gruppe D (Abb. 61–65)

In flavischer Zeit erscheinen neben der Reliefschüssel Drag. 37 neu drei Schälchentypen Drag. 35, Drag. 42, Drag. 46 und das Reliefschälchen Hémet 9 (Vernhet 1986c, Abb.1) sowie die Schale Drag. 36¹³⁵. Die Typen Drag. 35 und Drag. 36 lassen sich nicht sehr gut voneinander absetzen. Im folgenden wird Drag. 35 als kleines, tiefes Gefäss und Drag. 36 als grösseres, flaches Gefäss definiert.

Die Reliefschüssel Drag. 37 mit dem Eierstab als obere Begrenzung des Reliefs hat sich vielleicht aus der arretinischen Form Consp. R9 entwickelt, die sich ebenfalls durch eine Wulstlippe sowie die Betonung des Übergangs vom Relief zur oberen, glatten Randzone auszeichnet. Die übrigen Typen kennen keine arretinischen Vorläufer (Oswald/Pryce 1920, 192ff.; Vernhet 1976, 13). Zwar ist aus der gleichen Zeit aus Oberitalien eine ähnliche Formengruppe bekannt, deren Produktionsbeginn in ernerische Zeit gesetzt wird, deren formale Herkunft aber ungeklärt ist¹³⁶. Die Datierungsgrundlagen lassen überdies eine Entscheidung nicht zu, ob die südgallischen Formen von den tardo-padanischen abhängen oder umgekehrt (Ettlinger et al. 1990, 9). Möglicherweise haben sich beide aus einem gemeinsamen Vorbild entwickelt. Für eine Herausbildung in Italien könnte sprechen, dass dort Appliken schon seit spätkaiserlicher Zeit, in Oberitalien seit der Mitte des 1. Jh. geläufig sind (a.a.O. 9; 48). Drag. 35 entspricht Consp. 43–44, Drag. 36 Consp. 39, Drag. 42 und Drag. 46 den Formen Consp. 41/45. Das Reliefschälchen Hémet 9 hingegen erinnert an die halbkugeligen Firnischälchen (s. Kap. 4.2.2.) und dürfte auf südgallische Reliefschälchen mit Firnisüberzug zurückgehen (Ettlinger/Simonett 1952, 43).

Die Mehrzahl der Stücke stammt aus Südgallien (Tab. 4). Die helle Frühproduktion ist nicht mehr vertreten.

Die dunkle Spätproduktion hingegen kommt häufiger vor als in Gruppe C. Zugenommen hat auch der Anteil an mittelgallischen Stücken (Nr. 1004.1060.1175.1323.1400.1498.1750.1881). Erstmals treten wenige Exemplare aus Ostgallien auf (Nr. 1432.1600).

Die Schüssel Drag. 37 und das Schälchen Drag. 35 sind die häufigsten Formen. Alle übrigen Typen sind selten.

Die Schwierigkeit, die Typen Drag. 35 und Drag. 36 voneinander abzusetzen, zeigt sich auch bei der Grösse (s. unten): zwischen 11 und 19 cm liegt eine Gruppe von Übergangsformen, die ich Drag. 35 zugewiesen habe, wenn die Gefässe eher tief, Drag. 36, wenn sie eher flach sind¹³⁷. In Oberwinterthur lässt sich die Grenze zwischen Drag. 35 und Drag. 36 besser fassen: sie liegt bei 14/16 cm (Rychener/Albertin 1986, Tab. 29).

Die Schälchen Drag. 35 sind zu 82% mit nach rechts gerichteten Barbotineblättchen verziert. Bei den Schalen Drag. 36 und den Schälchen Drag. 42 fehlen die nach links gerichteten Verzierungen gänzlich. Im Gräberfeld von Weil hingegen verteilen sich die Verzierungen bei Drag. 35 und Drag. 36 gleichmässig auf rechts- und links gerichtete (Asskamp 1989, 31; 33).

Die Lippe der Schüssel Drag. 37 wird im Laufe der Zeit höher (Tab. 5). Sie steigert sich von 1,8% des Randdurchmessers in der ernerischen Holzbauperiode II auf 3,7% in der Steinbauperiode II.3 des späten 2. Jh. Das gleiche Phänomen wurde andernorts beobachtet: in Hofheim beträgt die Lippenhöhe 2,5% des Randdurchmessers (Ritterling 1912, Taf. 32,19), in Hesselbach 3,6% (Baatz 1973, Taf. 14, T12) und in Holzhausen 5,4% (Pferdehirt 1976, Nr. A1). Das zu erwartende Anwachsen der glatten Randpartie (Oswald/Pryce 1920, 97) hingegen lässt sich höchstens erahnen (Tab. 5).

Die Typen der Gruppe D treten mit einer Ausnahme aus Holzbauperiode II erstmals in flavischer Zeit auf (Tab. 3). Sie steigern ihren Anteil im Laufe des späten 1. und früheren 2. Jh. stetig und werden ab der Mitte des 2. Jh. häufig.

Gruppe E (Abb. 66)

Die mittelkaiserzeitliche Gruppe setzt sich zusammen aus Schälchen Drag. 33, aus Bechern sowie aus zwei Tellertypen, Drag. 31 und Drag. 32. Das Schälchen Drag. 33 hat sich über die Frühform Hofheim 10 aus dem italischen Typ Consp. 7 entwickelt. Der eine Becher (Nr. 1260) scheint auf den arretinischen Typ Haltern 16 (Consp. 50.3) zurückzugehen, der noch in Südgallien, wenn auch selten,

134 Der hohe Anteil von 50% in HP I.1 und das Fehlen in HP I.2 sowie in SP II.3 ist auf die kleinen Zahlen von 6 bzw. 8 bzw. 2 Sigillaten zurückzuführen und zufällig.

135 Beim Exemplar aus der HP I.2 (Nr. 172) handelt es sich um einen sogenannten Fehllauf (Kap. 5.3.2.).

136 Ettlinger et al. 1990, 49. A. Vernhet (1976, 13) nimmt eine unabhän-

gig von der arretinischen Tradition erfolgte Kreation dieser Typen um 60/70 in La Graufesenque an.

137 Martin-Kilcher 1976, 26 Anm. 34. Auch in La Graufesenque liegen die grossen Schälchen Drag. 35 und die kleinen Teller Drag. 36 mit 13–14 cm bzw. 12–13 cm im gleichen Grössenbereich (Vernhet 1976, Abb. 5).

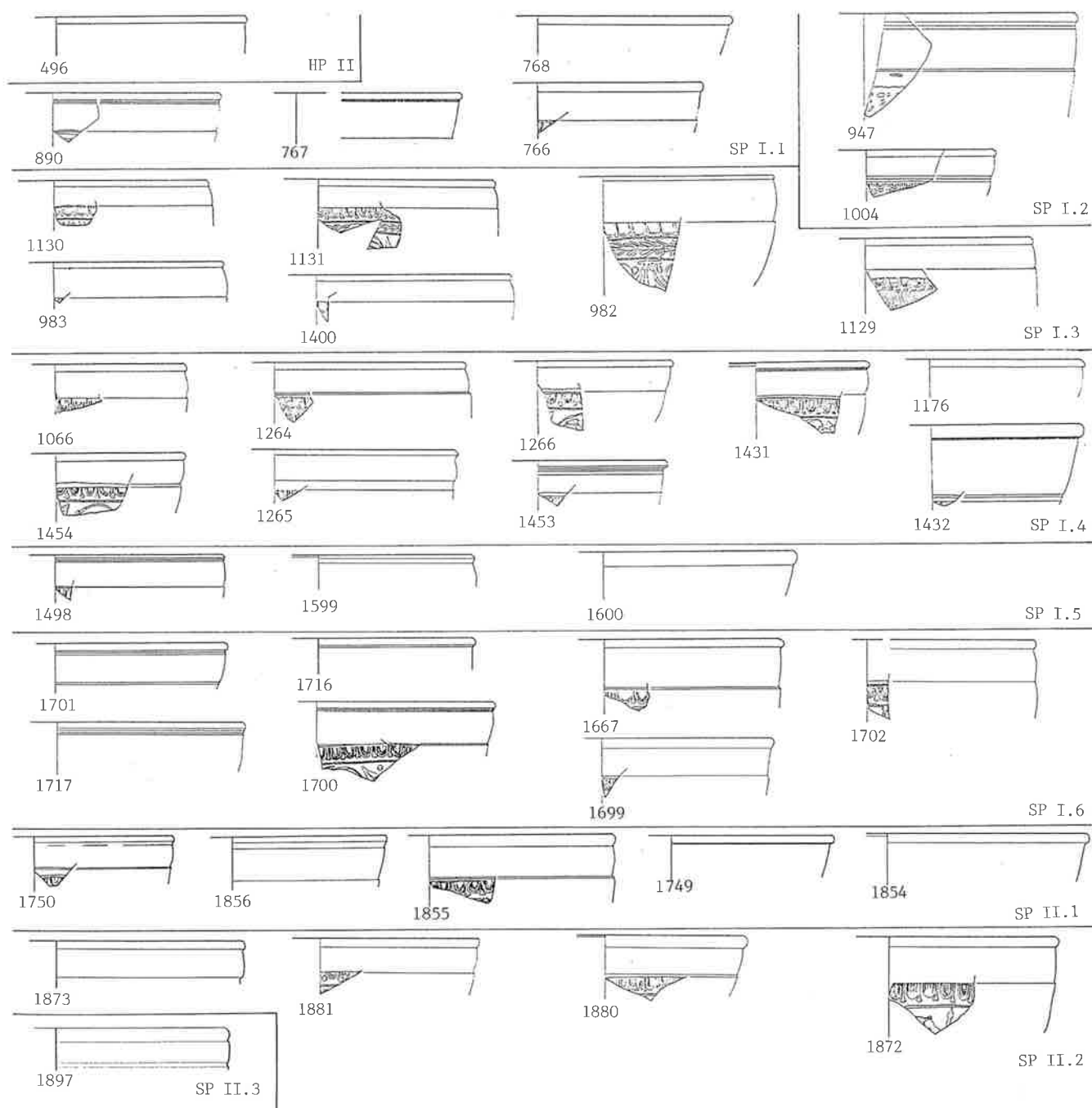


Abb. 61. TS-Gruppe D. Schüssel Drag. 37. Varianten und ihr Auftreten in den einzelnen Phasen. M ca. 1:4.

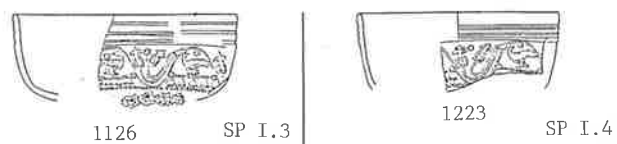


Abb. 62. TS-Gruppe D. Schälchen Hémet 9. Varianten und ihr Auftreten in den einzelnen Phasen. M ca. 1:4.

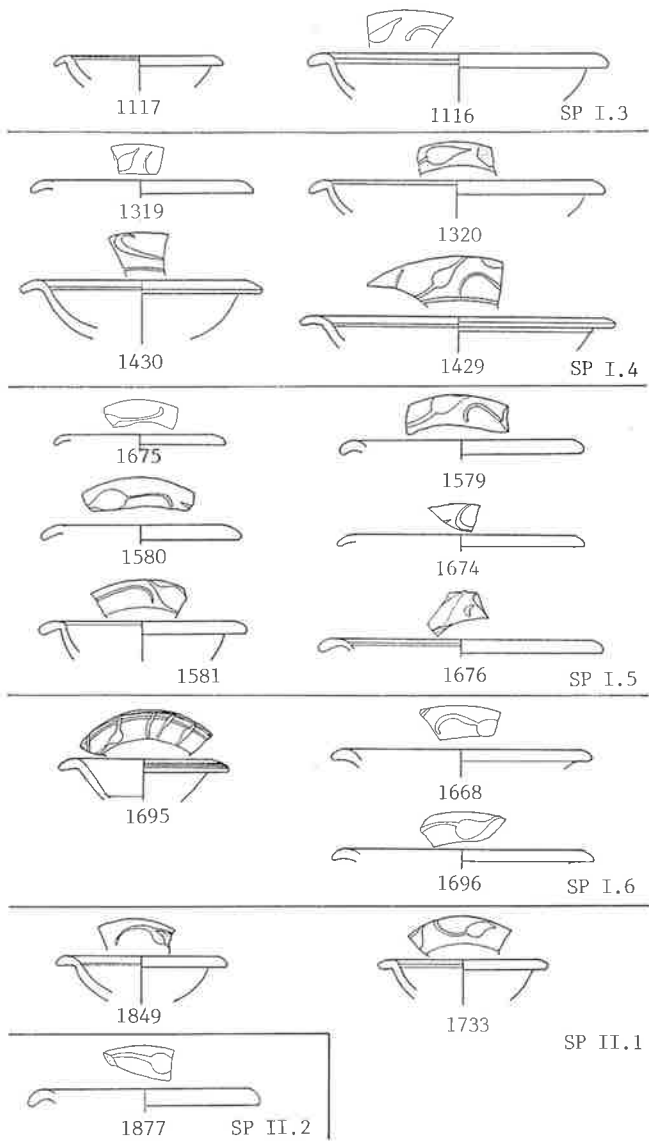


Abb. 63. TS-Gruppe D. Schälchen Drag. 35. Varianten und ihr Auftreten in den einzelnen Phasen. M ca. 1:4.

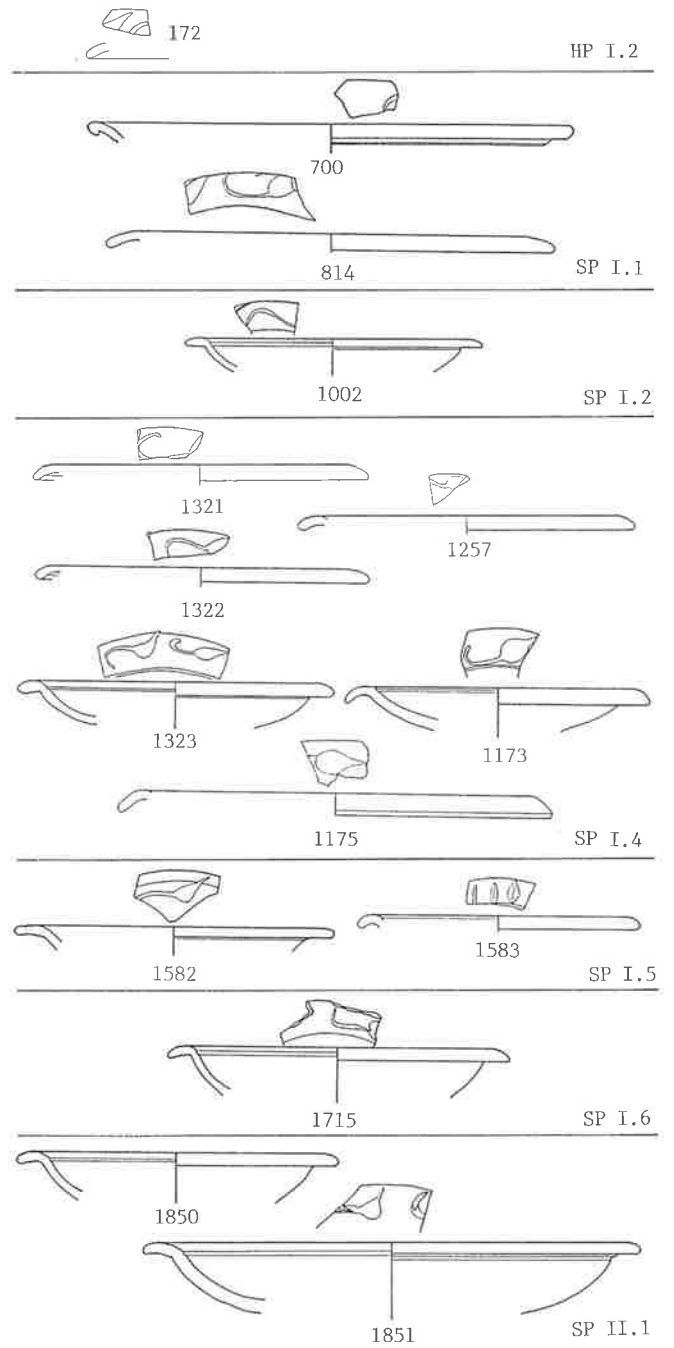


Abb. 64. TS-Gruppe D. Schale Drag. 36. Varianten und ihr Auftreten in den einzelnen Phasen. M ca. 1:4.

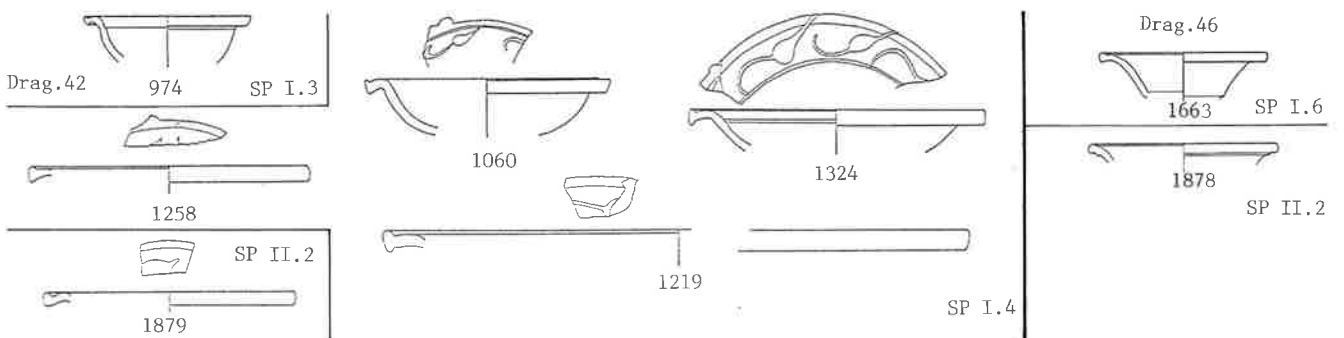


Abb. 65. TS-Gruppe D. Schälchen Drag. 42 und Drag. 46. Varianten und ihr Auftreten in den einzelnen Phasen. M ca. 1:4.

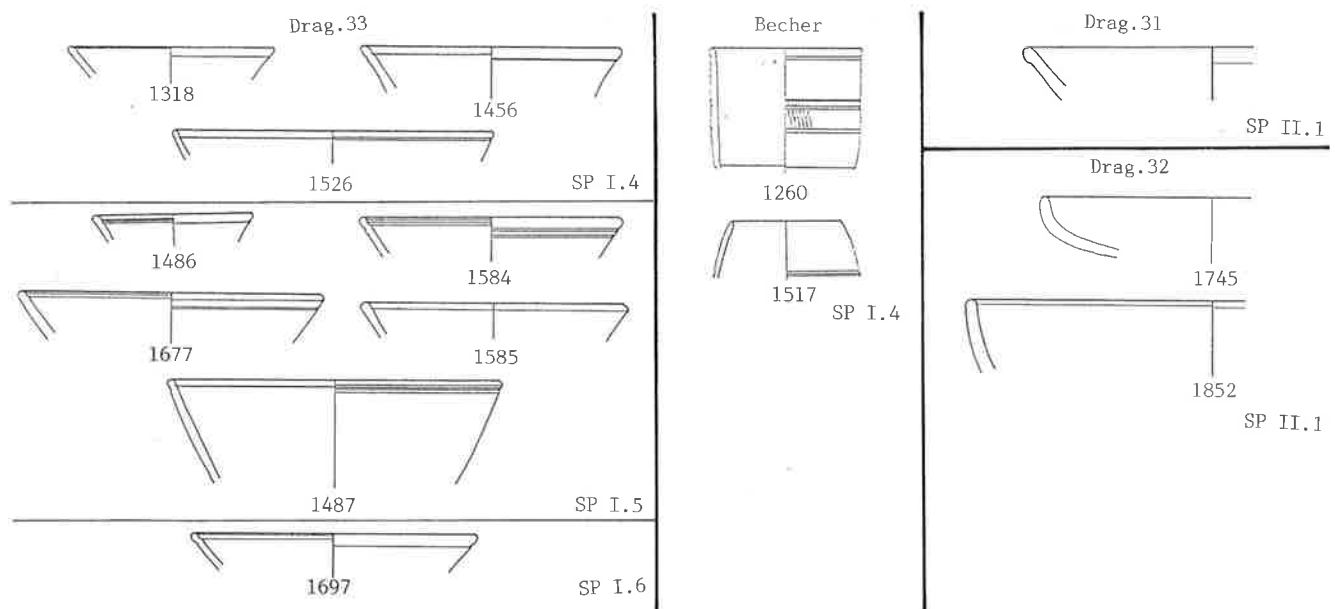


Abb. 66. TS-Gruppe E. Varianten und ihr Auftreten in den einzelnen Phasen. M ca. 1:4.

produziert wurde¹³⁸. Der Becher mit nach innen geneigtem Rand (Nr. 1517) der hadrianischen Steinbauperiode I.4 erinnert an den Firnisbecher (Nr. 772) der vespasianischen Steinbauperiode I.1 (Kap. 4.2.2.). Vielleicht geht dieser Typ, wie das Reliefschälchen Hémet 9 der Gruppe D (s. oben), auf eine südgallische Firnisform zurück. Der Teller Drag. 31 ist eine Weiterentwicklung des Typs Drag. 18 bzw. der Übergangsform Drag. 18/31. Der Teller Drag. 32 erinnert an die arretinische Form Haltern 4 (Consp. 4.4). Vielleicht stellt er aber lediglich eine lippenlose Variante des Tellers Drag. 18 dar.

Die Mehrheit der Stücke von Gruppe E stammt aus Südgallien (Tab. 4). Die helle Frühproduktion kommt beim Schälchen Drag. 33 zweimal vor. Die dunkle Spätproduktion ist nun ebenso häufig wie die bisherige Hauptgruppe der südgallischen Sigillaten. Die mittellgallische (Nr. 1677) und die ostgallische Produktion (Nr. 1744.1745) sind ebenfalls vertreten.

Alle Typen der Gruppe E sind im vorliegenden Ensemble selten (Tab. 3). So lässt sich allein vom Badener Material ausgehend nur wenig zu Grössen und Untertypen aussagen. Das Schälchen Drag. 33 scheint in drei, der Teller Drag. 32 in zwei Grössen vorzukommen (s. unten).

Das Schälchen Drag. 33 lässt sich in drei Untertypen unterteilen: Rand mit Absatz gegliedert (Nr. 1318.1456.1486.1697); Rand mit Rillen gegliedert (Nr. 1487.1526.1584.1677); Rand aussen ungegliedert (Nr. 1585). Die letzte Form erscheint erst in der Steinbauperiode I.5 des mittleren 2. Jh. Sie ist für das späte 2. und das 3. Jh. typisch, während die ersten beiden Randformen im späten 1. und

früheren 2. Jh. vorkommen (Asskamp 1989, 33), wie die Beispiele aus Hofheim (Ritterling 1912, 209) und Oberstimm (Schönberger 1978, Taf. 57) zeigen.

Die Typen der Gruppe E erscheinen im Laufe der 1. Hälfte des 2. Jh. Sie bleiben aber bis ins späte 2. Jh. selten.

Grössen

Fast alle Formen kommen in mehreren Grössen vor, wie es auch auf Töpferrechnungen aus La Graufesenque vermerkt ist (Oxé 1925). Bei den Schälchen sind zwar keine Grössenangaben überliefert, sondern nur zwei Begriffe (a.a.O. 85): *acetabula* für kleine Schälchen, *paropsides* für grosse Schälchen (dazu Hilgers 1969, 33f.). Ob die in Neuss (Ettlinger 1983, 110) für die arretinischen Schälchen festgestellte Grenze von 10/13 cm für die Schälchen (Abb. 67) der Gruppe A gilt, ist angesichts der geringen Anzahl schwierig zu sagen. Bei der Gruppe B zeigt sich die Grenze zwischen kleinen und grossen Exemplaren bei 8/10 cm, was $\frac{1}{4}$ bis $\frac{1}{3}$ entspricht. Die Schälchen der Gruppe C scheinen in drei Grössen vorzuliegen: unter 7,5 cm, unter bzw. über 12,5 cm, wobei sich nur der erste Wert mit einem Fussmass ($\frac{1}{4}$) korrelieren lässt. In Oberwinterthur gruppieren sich die Schälchen Drag. 27 in zwei Grössen, mit einer Grenze bei 9/11 cm. Allerdings fehlen grosse Exemplare mit Durchmesser über 13 cm (Rychener/Albertin 1986, Tab. 32). Die Schälchen der Gruppe D sind etwas grösser als bei den vorangegangenen Gruppen (dazu Vern-

138 Martin 1986b, Abb. 2; Abb. 5,11; Vernhet 1986c, Abb. 2.

het 1976, Abb. 5): Die kleinen erreichen fast durchwegs die Grösse von 9/10 cm ($\frac{1}{3}$) und die mittleren Exemplare grenzen sich bei 14 cm ($\frac{1}{2}$) von den grossen ab. Die gleichen Durchmesser scheinen beim Schälchen Drag. 33 der Gruppe E vorzuliegen, auch wenn sich die kleinen Exemplare nicht so deutlich von den mittleren absetzen.

Nach den Töpferrechnungen sind bei den Tellern/Platten (*catinus*) drei Grössen zu erwarten (Oxé 1925, 82; Vernhet 1976, Abb. 5): Platten von einem Fuss (ca. 30 cm), Teller von $\frac{2}{3}$ (ca. 20 cm) und kleine Teller (*catillus*) von $\frac{1}{3}$ (ca. 10 cm). Ein Blick auf die Durchmesser (Abb. 68) zeigt, dass die kleinste Grösse im Badener Material fehlt. Die Grenze zwischen Teller und Platte ist in allen Gruppen einheitlich – was für die Schälchen nicht der Fall ist: sie liegt bei etwa 20 cm, was dem überlieferten Mass von $\frac{2}{3}$ entspricht. Die Grösse von einem Fuss erreichen nur wenige Platten. Weder in Neuss (Ettlinger 1983, 110) noch in Oberwinterthur (Rychener/Albertin 1986, 65 Tab. 30) liessen sich Teller und Platten vom Durchmesser her trennen.

Die für Schüsseln (*pannae*) angegebene Grösse von $\frac{2}{3}$ (ca. 20 cm) erreichen die Typen Hofheim 12 und Drag. 30 nur in wenigen Exemplaren, während die Typen Drag. 29 und Drag. 37 mehrheitlich grösser sind (Abb. 69). Eine Unterteilung in mehrere Grössen ist wie in Oberwinterthur (Rychener/Albertin. 67 Tab. 35) nicht zu erkennen. Wie dort scheint auch in Baden der jüngere Typ Drag. 37 gesamthaft etwas kleiner zu sein als der ältere Typ Drag. 29.

4.2.2. Firniskeramik (Abb. 70)

Die sog. Firniskeramik zeichnet sich durch einen sehr hellen, häufig gelblichen oder grünlichen Ton und einen dunkelbraunen, oft leicht gräulichen, seltener rotbraunen Glanztonüberzug aus, der manchmal nicht ganz deckend ist. Ton wie Überzug wirken im vorliegenden Keramikmaterial fremd. Sie unterscheiden sich deutlich von der in der Region hergestellten Keramik mit Überzug, der TS-Imitation und der sog. Glanztonkeramik (Kap. 4.3.2.; 4.3.5.; 4.4.2.), deren Ton orange und oft mit Glimmer versetzt ist. Ton und Überzug deuten wie bei den äusserst zahlreichen Vergleichsstücken aus den nordwestlichen Provinzen auf Lyon als Herstellungsort hin (Greene 1979, 13; Abb. 3). Das Badener Material findet formal gute Parallelen in der Produktion des Ateliers von La Butte¹³⁹, wo bemerkenswerterweise keine mit Henkeln versehenen Gefässe hergestellt wurden. Henkel fanden sich auch im Badener Material keine. Der Firnisbecher Nr. 70 aus der fröhtiberischen Holzbauperiode I.1 fällt als einziger mit seinem orangen Scherben aus der Reihe. Er könnte aus Südgallien stammen (Greene 1979, 50).

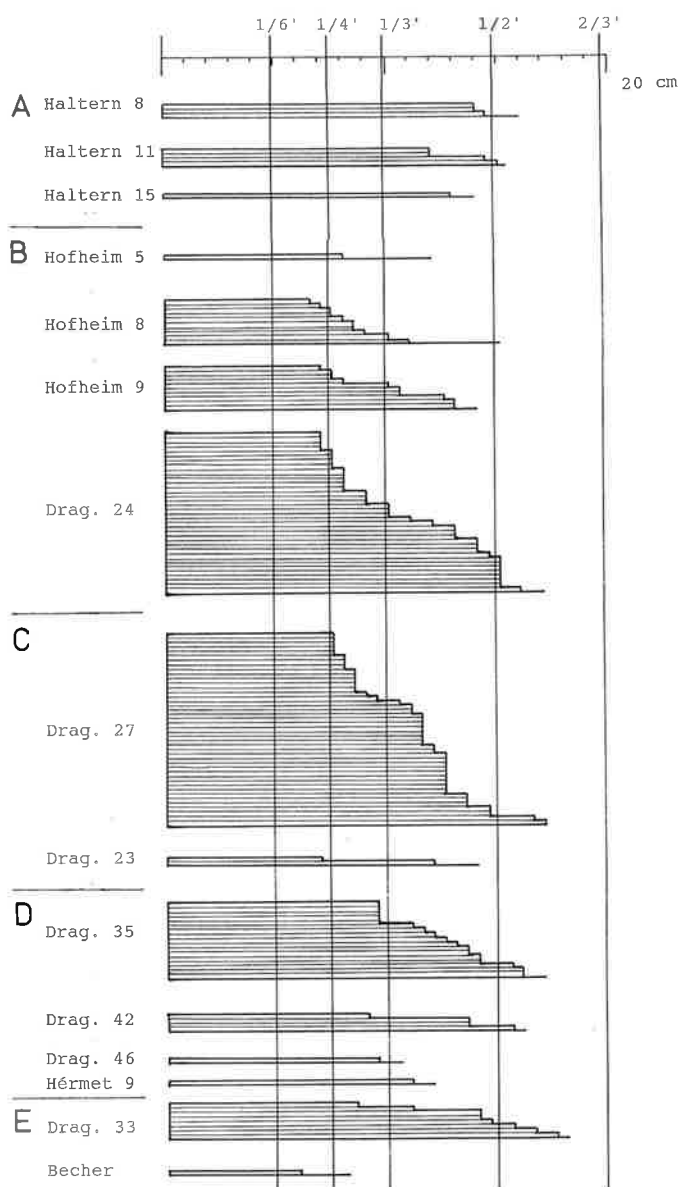


Abb. 67. TS-Schälchen bzw. Becher. Verteilung der Grössen.

Die mit Glanzton überzogene Ware, insbesondere die oft plastisch verzierten Schälchen, steht ganz in der Tradition der hellenistischen Trinkgefässe (Greene 1979, 2ff.). Einige Forscher leiten zwar die Becher mit ihrer relativ überlängten Form mit hochliegendem Schwerpunkt von den Situlen des eisenzeitlichen Oberitalien her¹⁴⁰, die man auf urnenfelderzeitliche Typen des Donauraums zurückführt (Kimmig 1962/63, 77ff.). In Mittelitalien sind Becher allerdings in republikanischer Zeit wie im 1. und 2. Jh. n. Chr. durchaus geläufig; Schälchen erscheinen ab augusteischer Zeit (Kap. 8.2.). Nicht auszuschliessen ist aber, dass die, wie wir sehen werden, erst in flavischer Zeit aufkommenden Firnisbecher aus Lyon von den gleichzeitig

¹³⁹ Grataloup 1986, Abb. 2; 1988, 55ff. – Schälchen: a.a.O. 57–161; – Becher: a.a.O. 162–164.

¹⁴⁰ Marabini Moevs 1973, 36ff.; Mayet 1975, 17f.; kritisch dazu Greene 1979, 4.

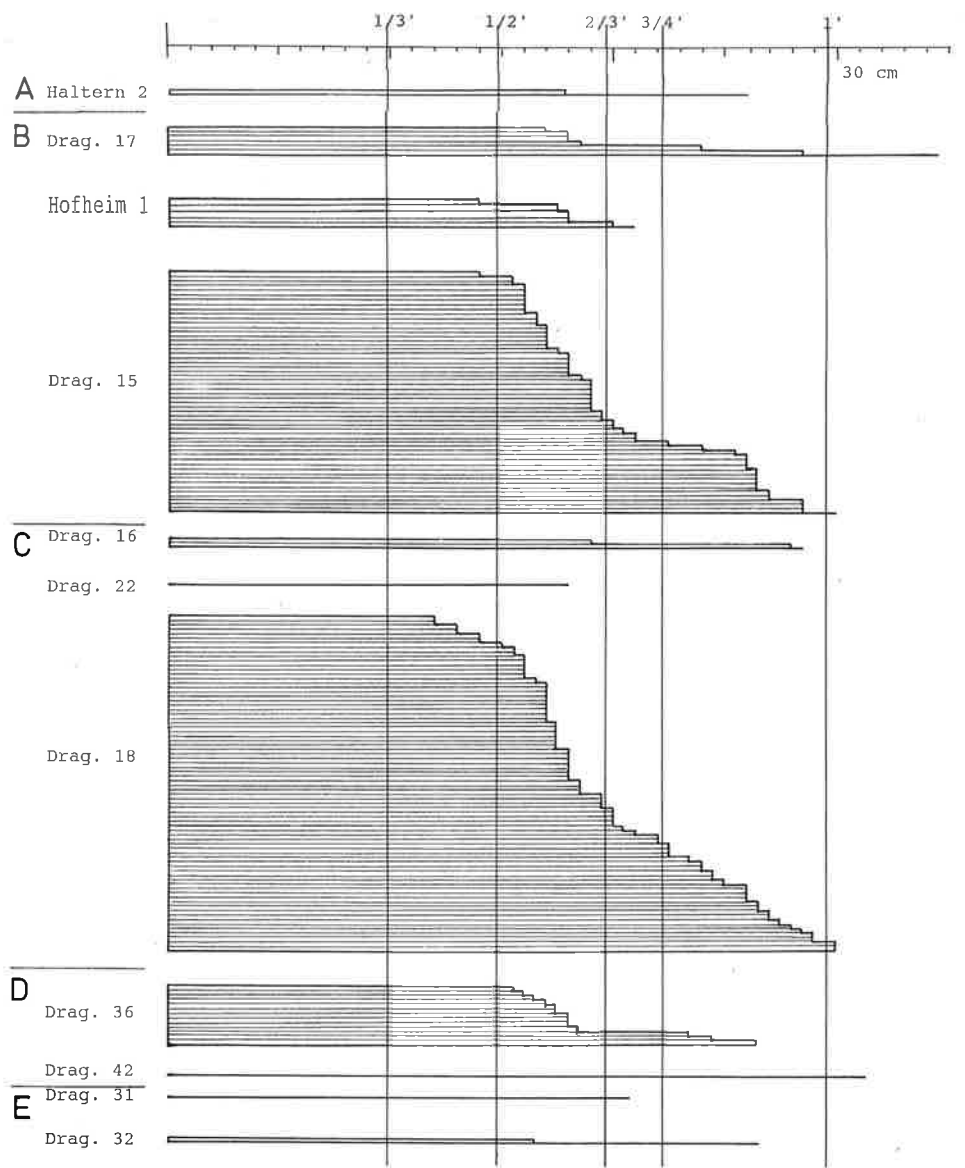


Abb. 68. TS-Teller bzw. Schalen. Verteilung der Grössen.

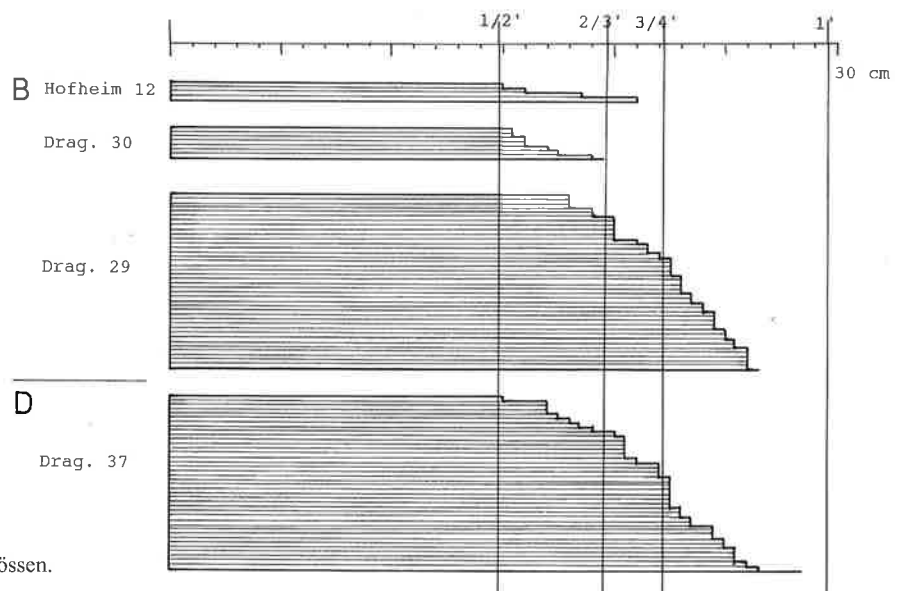


Abb. 69. TS-Schüsseln. Verteilung der Grössen.

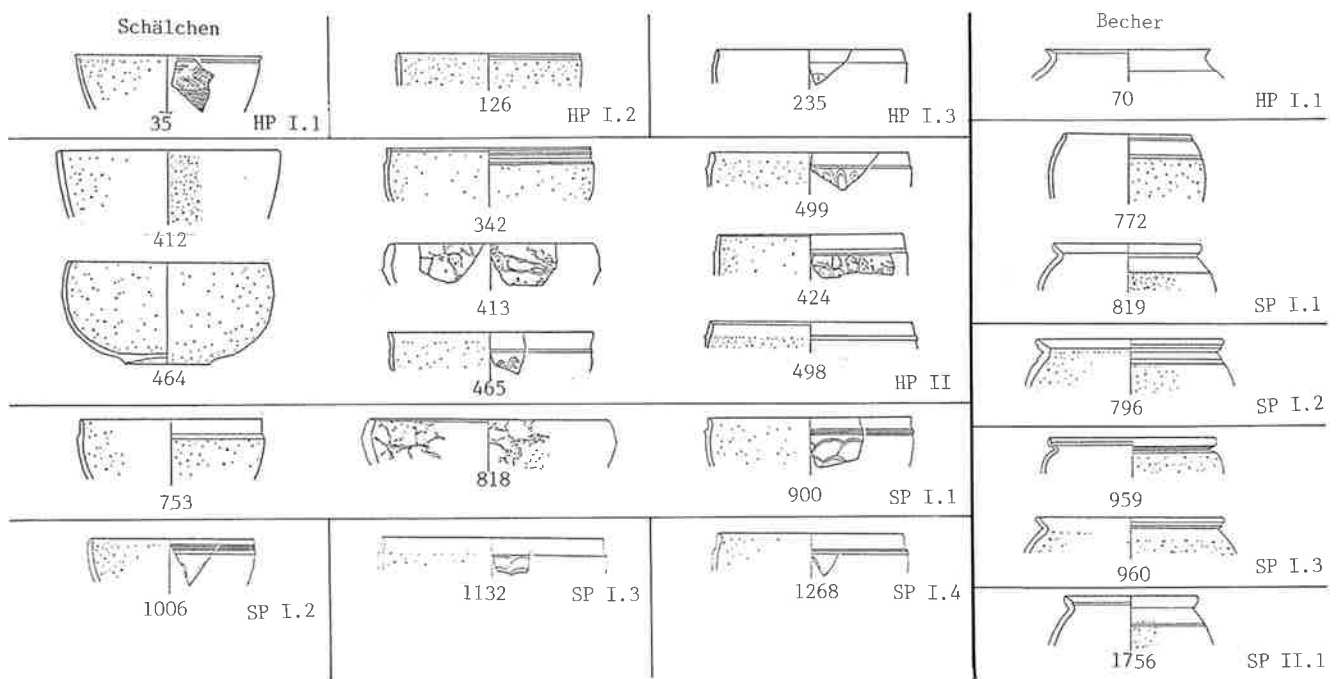


Abb. 70. Firmiskeramik. Formen und ihr Auftreten in den einzelnen Phasen. M ca. 1:4.

erscheinenden Glanztonbechern beeinflusst sind (Kap. 4.4.2.), die aus der keltischen Tradition herzuleiten sind.

Die Firmiskeramik ist mit 25 Randscherben im vorliegenden Material ziemlich selten (2%). An Formen kommen Schälchen und Becher vor (Tab. 6), die sich in einem Verhältnis von 2:1 gegenüberstehen. Henkel sind, wie erwähnt, keine belegt. Die Schälchen treten in den Holzbauperioden und den ersten vier Phasen der Steinbauperiode I bis ins 2. Viertel des 2. Jh. auf. Die Becher erscheinen mit einer Ausnahme erst in der vespasianischen Phase 1 der Steinbauperiode I. Einzig der schon durch seine andere Herkunft auffallende Becher Nr. 70 stammt aus der früh-tiberischen Holzbauperiode I.1. Belegt sind sie mit einer Ausnahme bis in die trajanische Steinbauperiode I.3. Das Exemplar Nr. 1756 aus dem Bauhorizont der Steinbauperiode II.1 des späteren 2. Jh. könnte beim Bau der Fundamente aus einer älteren Schicht verlagert worden sein. Das zeitliche Vorgehen der Schälchen gegenüber den Bechern ist vom Schutthügel von Vindonissa her bekannt (s. auch Ettliger/Simonett 1952, 102).

Die Schälchen weisen meist einen Durchmesser von 11 cm auf, mit einer Spannweite von 9–13 cm. In Lyon-La Butte messen die Schälchen im Durchschnitt 10 cm (Grataloup 1988, 56ff.). Es lassen sich drei Untertypen beschreiben: ziemlich tiefe, sich öffnende Form (Nr. 35.412); niedrige Form mit einfachem, nach innen gebogenem Rand (Nr. 413.464.818); halbkugelige Form mit teilweise leicht s-förmig geschweiftem, gegliedertem Rand¹⁴¹. Die

erste Form tritt nur in den Holzbauperioden auf. Sie dürfte älter sein, denn sie erinnert an den augusteischen Typ Haltern 40B (Loeschke 1909, 218). Die dritte Form kann als Hofheim 22A bezeichnet werden (Ritterling 1912, 251ff.). Fast alle Exemplare sind mit Griess versehen wie das von Vindonissa (s. auch Ettliger/Simonett 1952, 38) und andernorts her bekannt ist. An Verzierungen kommen Netzwerkuster (Nr. 413.424.818) vor und insbesondere Schuppenmuster (Nr. 235.465.499.900.901.1006.1132.1268). Das vorliegende Material scheint überdurchschnittlich häufig verziert zu sein (s. auch Ettliger/Simonett 1952, 38).

Die Becher haben im Durchschnitt einen Durchmesser von knapp 9 cm, mit einer Spannweite von 7–10 cm, was etwa jenen von Lyon-La Butte entspricht (Grataloup 1988, 65). Mit Ausnahme des südgallischen Bechers (Nr. 70) sind alle begriest, wie das auch für den Typ Hofheim 25 festgehalten ist (Ritterling 1912, 257). Es lassen sich zwei Untertypen beschreiben: mit einwärts gebogenem Rand (Nr. 771); mit kleinem, meist leicht gekehltem, schwach nach innen gebogenem, kelchförmigem Trichterrand (Nr. 796.819.959.960.1756). Die letzte Form entspricht dem Typ Hofheim 25. Becher der ersten Form sind vermutlich auch im Atelier La Butte in Lyon hergestellt worden (Grataloup 1988, 74f. Typ 40 Nr. 205).

Die Firmiskeramik ist bis ins frühere 2. Jh. belegt, wobei die Schälchen seit dem frühen 1. Jh., die Becher erst seit flavischer Zeit vorkommen.

141 Nr. 126.235.342.424.465.498.499.735.900.1006.1132.1268.

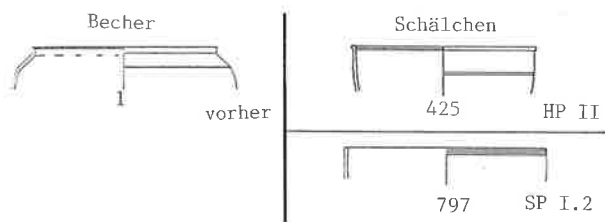


Abb. 71. Hartgebrannte, graue Feinkeramik. Formen und ihr Auftreten in den einzelnen Phasen. M ca. 1:4.

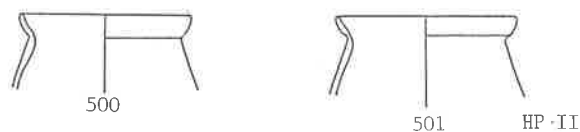


Abb. 72. Hartgebrannte, braune Becher. Formen und ihr Auftreten in den einzelnen Phasen. M ca. 1:4.

4.2.3. Hartgebrannte graue Feinkeramik (Abb. 71)

Drei feine Gefäße zeichnen sich durch einen auffallend hart gebrannten, mit hellen Körnern gemagerten, grauen Ton und eine rauhe Oberfläche aus. Verglichen mit der übrigen Keramik sind sie fremd. Wie die Firniskeramik stehen sie ganz in der Mittelmeertradition (Kap. 8.2.), weisen aber ein anderes Verbreitungsgebiet auf. In den nordwestlichen Provinzen sind sie nur vereinzelt belegt, etwa in Aislingen (Ulbert 1959, Taf. 7,6; Abb. 8,2), Vindonissa (Ettlinger/Simonett 1952, Nr. 267), auf dem Lorenzberg (Ulbert 1965, Taf. 14,14). Häufig sind sie hingegen in Oberitalien, etwa den Tessiner Gräberfelder (Simonett 1941, 20), im Alpengebiet, so in Martigny und Aosta (Amstad 1984, 145; Nr. 58–64). Ihr Produktionsort wird in Oberitalien vermutet¹⁴².

An Formen treten ein Becher und zwei Schälchen auf. Ihr Durchmesser liegt zwischen 9,5–11 cm. Sie kommen in den Holzbauperioden vor. Ob es sich beim Exemplar (Nr. 797) aus Steinbauperiode I.2 um ein verlagertes Stück aus einer älteren Schicht handelt, ist schwierig zu sagen.

4.2.4. Hartgebrannte braune Becher (Abb. 72)

Aus dem Brandschutt der neronischen Holzbauperiode II stammen zwei Becher mit leicht gekehltem, kelchförmigem Trichterrand, die vom Ton her ebenfalls fremd im vorliegenden Keramikmaterial sind. Die Gefäße sind braun und sehr hart gebrannt, ihre Wände auffallend dünn. Der Randedurchmesser der Becher beträgt 9,5–10 cm. Die Stücke sind unverziert. Sie erinnern an Becher, wie sie aus frühaugusteischen Zusammenhängen bekannt sind, etwa von der Holzbauperiode des Magdalensberg (Schindler-Kaudelka 1975, Typ 19) oder aus Neuss (Vegas 1975, Taf. 1,1). Die Herkunft der Gefäße wird in Mittelitalien vermutet (Schindler-Kaudelka 1975, 174; Kap. 8.2.). Ähnliche Becher sind möglicherweise auch im Atelier von Loyasse in

Lyon fabriziert worden (Grataloup 1988, 38 Typ VII). Formal gleichen sie den z. B. in Dangstetten sehr häufigen, meist mit Rippen verzierten Bechern (z. B. Fingerlin 1986, 56,23–26). Die zeitliche Diskrepanz von über fünfzig Jahren zwischen der bisher in frühaugusteischer Zeit angesetzten Produktion und der Fundlage in einer neronischen Schicht ist schwierig zu erklären. Die Fundlage ist einwandfrei. Beide Becher stammen aus dem über die Räume F, G und J geschobenen Brandschutt. Die Erklärung, dass bei dieser Massnahme Reste einer entsprechenden Schicht erfasst worden wären, sticht nicht, da in Baden bisher Hinweise auf eine frühaugusteische Besiedlung fehlen (Kap. 3.8.1.). Andererseits muss auch die Datierung der Vergleichsstücke hinterfragt werden. Die Stücke aus Neuss etwa sind typologisch und nicht durch ihre Fundlage datiert (Vegas 1975, 3). Vielleicht wurden diese Stücke bis ins mittlere 1. Jh. n. Chr. verwendet. In einer Villa bei Francolise nördlich von Capua nämlich treten ähnliche Becher noch in Schichten des mittleren 1. Jh. n. Chr. auf (Cotton 1979, Abb. 39,22.25.26). Dass bisher kaum stratigraphisch gesicherte Stücke aus dieser Zeit vorliegen, könnte an ihrer ausserordentlichen Seltenheit liegen¹⁴³.

4.2.5. Glasierte Keramik

Im vorliegenden Material kommen mehrere Wand-scherben und eine Bodenscherbe von glasierten Gefässen vor¹⁴⁴: aus dem spätaugusteischen Grubenhaus vor der ersten Überbauung ein nur aussen glasierter Nuppenbecher (Nr. 8), aus der hadrianischen Steinbauperiode I.4 ein Becher mit Fadenauflage (Nr. 1328), ein ähnlicher Becher mit zweifarbiger Fadenauflage (Nr. 1411) sowie ein begriester Becher (Nr. 1534). Der Ton, meist hellbeige bis hellrosa, beim frühesten Stück dunkler, vor allem aber die Bleiglasur sind fremd für die Badener Keramik. Die Technik der Bleiglasur stammt aus dem östlichen Mittelmeerraum (Paunier 1981, 35). Der Produktionsort der helltonigen

¹⁴² Ulbert 1959, 51; Ettlinger/Simonett 1952, 54. Das bei Amstad 1984, Anm. 40 erwähnte Zitat bezüglich einer Herkunft aus Lyon bezieht sich auf eine andere Ware (Fingerlin 1970/1971, 216; Abb. 6).

¹⁴³ Auf dem Magdalensberg machen hartgebrannte braune Becher le-

diglich 0,25% der Feinkeramik aus, und in einem frühaugusteischen Komplex beträgt ihr Anteil an der Feinkeramik 1,5% (Schindler-Kaudelka 1975, 198ff.).

¹⁴⁴ Da Randscherben fehlen, tritt diese Gattung in Tab. 6 nicht auf.

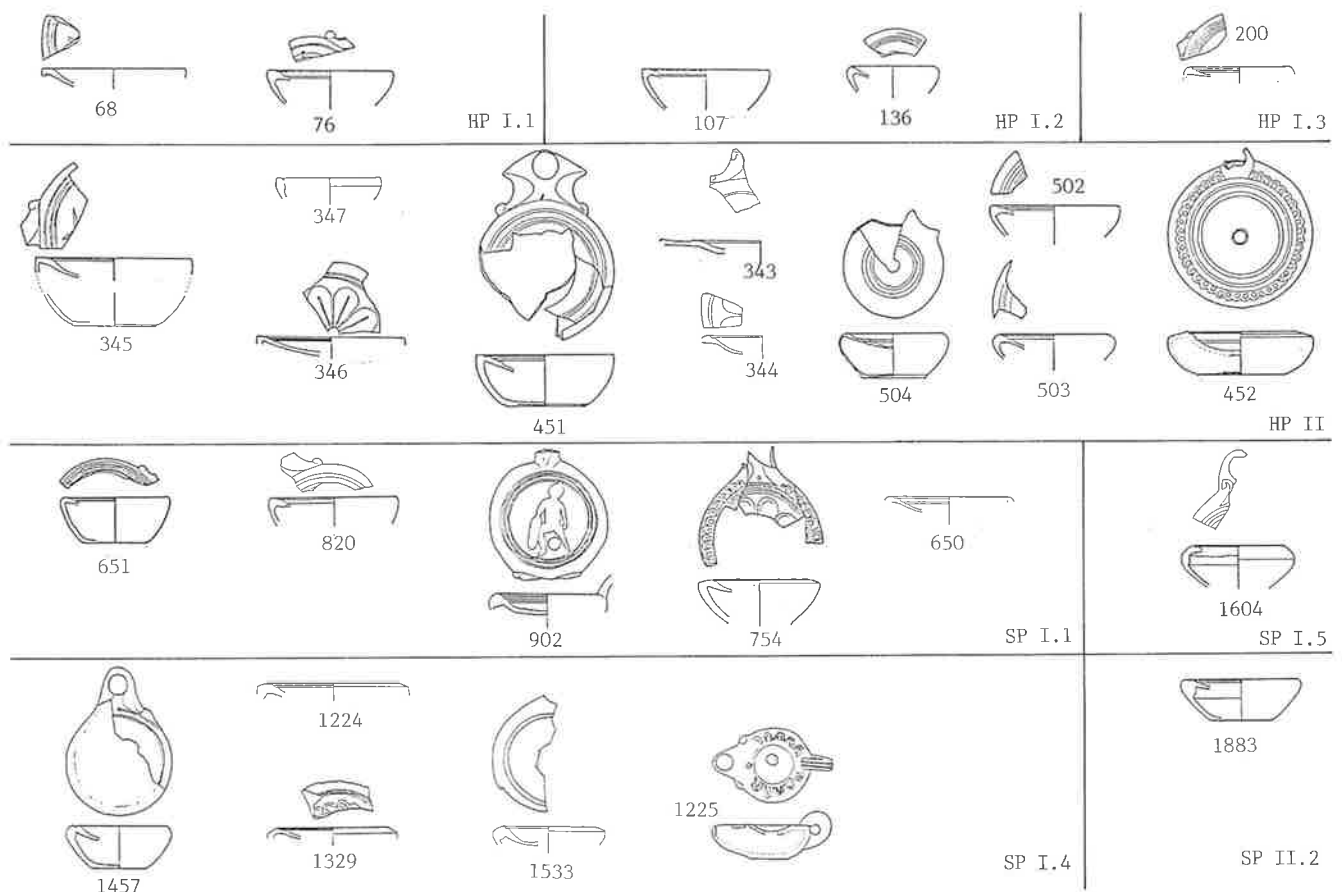


Abb. 73. Lampen, Formen und ihr Auftreten in den einzelnen Phasen. M ca. 1:4.

Ware mit gelblicher Glasur ist in Mittelgallien, Saint-Rémy, Vichy, zu suchen. Das frühe, nur aussen glasierte Stück Nr. 8 hingegen dürfte in Lyon hergestellt worden sein, wo die Produktion von lediglich aussen glasierten Gefäßen in augusteischer Zeit belegt ist (Desbat 1986, 33). Die glasierte Ware der mittelgallischen Zentren kommt ab tiberischer Zeit bis ins 2. Jh. vor, etwa in Lyon und Vienne (Desbat 1986, 33ff.). Die Becher mit Fadenaufgabe erinnern an die Glanztonbecher gleicher Verzierung, die auch in Vichy hergestellt wurden und dort ins späte 1./frühe 2. Jh. datieren¹⁴⁵. Die drei mittelgallischen Stücke stammen aus der hadrianischen Steinbauperiode I.4. Das so plötzliche Auftreten, zudem in mehreren Exemplaren, spricht dagegen, dass sie ursprünglich aus früheren Schichten stammen, wo sie jetzt völlig fehlen; überdies hätten alle drei zufällig in den gleichen Zeithorizont verlagert werden müssen, was äusserst unwahrscheinlich ist.

4.2.6. Lampen (Abb. 73)

Die mit Öl betriebene Lampe ist von der Form wie vom Brennstoff her eine Errungenschaft des Mittelmeerraumes (Leibundgut 1977, 102f.; Farka 1977, 9f.; Kap. 8.2.). Mit Ausnahme einer Firmenlampe (Nr. 1133) aus dem Bauhorizont der hadrianischen Steinbauperiode I.4 sind alle Exemplare sog. Bildlampen, deren Spiegel mit einer figürlichen Darstellung und/oder einem Ornament verziert ist (Nr. 1605.1833). Ihr hellbeiger, oft gelblicher oder grünlicher Ton und der hellorange bis dunkelbräunliche Überzug erinnert stark an die Firniskeramik (Kap. 4.2.2.). Dies weist auf Lyon als Produktionsort hin, wo die Herstellung von Bildlampen nachgewiesen ist (Loeschcke 1919, 252; Leibundgut 1977, 77). Zwar sind auch anderswo in den nordwestlichen Provinzen Produktionszentren bekannt, etwa im Rheinland (Gechter 1979, 46ff.), in Mittelgallien (Vertet 1983, 11) und im Gebiet der heutigen Schweiz, in Vindonissa und Vidy (Leibundgut 1977, 76ff.), doch unterscheiden sich deren Produkte in Ton, Form oder Herstellungszeit vom vorliegenden Material.

¹⁴⁵ Corrocher 1983, 17; Taf. 1,5; der Autor vermutet, ohne allerdings die Argumentation darzulegen, dass die glasierten Becher den Glanztonbechern vorausgehen.

Die Lampen sind mit 28 Randscherben (Tab. 6) insgesamt ziemlich selten (2%). Der Durchmesser beträgt im Durchschnitt 7 cm mit einer Spannweite von 4–8,5 cm. Anhand der Schulterform können drei Typen unterschieden werden: mit gerader, eckiger Schulter entsprechend der Schulterform Loeschcke I/II/IV (Nr. 68.107.345–347.451); mit runder Schulter entsprechend der Form Loeschcke III (Nr. 76.136.200.502–504.651.820.902.1457.1883); mit nach aussen abfallender Schulter entsprechend der Form Loeschcke V–VII (Nr. 452.754.1224.1329.1533.1604). Die erste Form kommt nur in den Holzbauperioden des frühen und mittleren 1. Jh. vor, die zweite ist sowohl in den Holzbauperioden als auch, mit einer Ausnahme in der Steinbauperiode I, bis zur hadrianischen Phase 4 vertreten. Die dritte Form erscheint erst in der neronischen Holzbauperiode II, wird in der Steinbauperiode I jedoch zur dominanten Form. Die Bildlampen sind bis ins mittlere 2. Jh. gut belegt. Die Stücke Nr. 1833 und 1883 aus den Phasen der Steinbauperiode II des späten 2. Jh. hingegen sind wohl aus älteren Schichten verlagert worden.

Die Firmenlampe Nr. 1133 mit Stempel des Phoetaspus weist aussen eine Haut, wohl eine Versinterung, auf, die aber nicht als Überzug angesehen werden darf¹⁴⁶. Mit dem prägnanten Namenszug und der roten Tonfarbe gehört sie der Gruppe A oder B nach Loeschcke (1919, 264ff.) an, deren Produktionsort aufgrund neuester Untersuchungen im Raum Modena zu suchen ist¹⁴⁷.

4.2.7. Reibschüssel (Nr. 77)

Reibschüsseln gehören seit republikanischer Zeit zum römischen Haushalt¹⁴⁸. Das ausserordentlich grosse Exemplar Nr. 77 unterscheidet sich im Ton deutlich von den kleineren, in der Region angefertigten (Abb. 103.104); er erinnert stark an jenen von Amphoren. Das Stück dürfte aus dem gleichen Gebiet wie die Amphoren stammen (Vegas 1975, 41). Die Produktion der grossen Exemplare ist in Italien zu suchen (Paunier 1981, 38). Petrographische Untersuchungen an zwei gestempelten Exemplaren weisen auf Kampanien hin (Hartley 1973, 50).

4.2.8. Pompejanisch-rote Platten (Abb. 74)

Im vorliegenden Material treten einige wenige Platten auf, die sich vom Ton her ebenfalls von der einheimischen

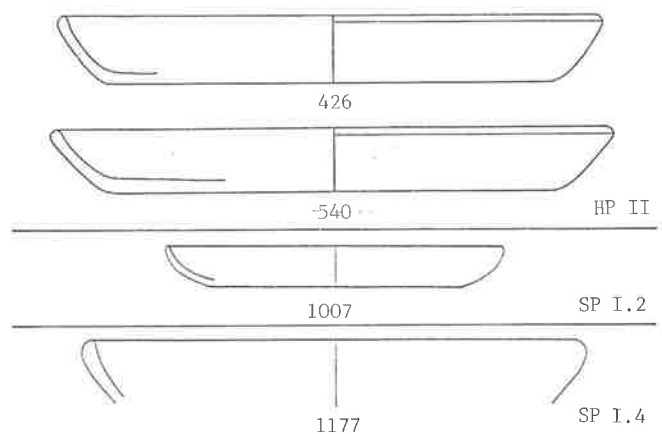


Abb. 74. Pompejanisch-rote Platten. Formen und ihr Auftreten in den einzelnen Phasen. M ca. 1:4.

Keramik abheben: Er ist dunkelorange bis rotbraun und mit feinen, hellen Körnern und Glimmer gemagert. Innen weisen die Platten einen dicken, matten, roten Überzug auf. Am Rand sind sie oft geschwärzt. Der Überzug weist sie als sog. pompejanisch-rote Platten aus. Andernorts gemachte petrographische Analysen haben nachgewiesen, dass der Ton vulkanische Einschlüsse enthält und aus Italien stammt (Vegas 1975, 34 Anm. 200; Peacock 1977, 149).

Im Badener Material sind zwei Grössen vorhanden: Teller mit einem Durchmesser von 18 cm und Platten mit einem Durchmesser von über 27 cm. Sie treten in der neronischen Holzbauperiode II, der domitianischen Steinbauperiode I.2 sowie in der hadrianischen Steinbauperiode I.4 auf. Obwohl man die pompejanisch-roten Platten allgemein in die 1. Hälfte des 1. Jh. datiert, sind die Stücke der Steinbauphasen kaum aus älteren Schichten verlagert, wie Parallelen in Vindonissa zeigen: Dort kommen Exemplare noch in den Steinbauphasen der 2. Hälfte des 1. Jh., etwa dem Praetorium, in nicht unbeträchtlicher Zahl noch vor¹⁴⁹.

4.2.9. Amphoriskos (Nr. 63)

Der Ton des kleinen, dickwandigen Gefässes erinnert stark an jenen von Amphoren. Ähnliche Gefässe werden als sog. Amphorenzapfen gedeutet¹⁵⁰. In Saint-Cyr-sur-Mer fand sich ein mit Wein gefülltes Exemplar in einem Amphorenhals in situ¹⁵¹. Allerdings konnte ich in Publikationen über gesunkene, mit Amphoren beladene Schiffe

146 Eine chemisch analysierte Lampe des Strobilus aus Vindonissa weist eine ähnliche Haut auf (Schneider/Wirz 1991, Abb. 2 mittleres Stück oben).

147 Schneider/Wirz 1991, 37f. Der Stempel findet keine Parallele unter den analysierten Lampen des Poetaspus von Vindonissa (Hartmann 1991, Mot.Kat. Nr. 2341–2364).

148 Vegas 1975, 41; Baatz 1977; Paunier 1981, 38; Kap. 8.2.

149 Meyer-Freuler 1989, 20 Taf. 23,366. Die Stücke aus den Steinbauten stellen 14% aller stratifizierter Exemplare dar.

150 Ettliger/Simonett 1952, Nr. 590; Vegas 1975, 47; Paunier 1981, 238; Nr. 489.

151 Benoît 1952, 281. Wie man sich das vorstellen muss, zeigt eine Rekonstruktion in Trier (Loeschcke 1939, Abb. 7,45).

kein weiteres Beispiel finden¹⁵². Amphoriskoi sollen auch in Gräber vorkommen, wo sie wie die langgezogenen, spindelförmigen Stücke ähnlicher Beschaffenheit (z. B. Mackensen 1978, 94f. Form VI-1) als Balsamarien gedeutet werden¹⁵³. Sie dürften aus den gleichen Gegenden, etwa aus Italien, in den Norden verhandelt worden sein wie die Amphoren¹⁵⁴.

4.2.10. Amphoren (Abb. 75–77)¹⁵⁵

Amphoren sind die typische Einwegverpackung von Importgütern aus dem Mittelmeerraum: Wein, Olivenöl, Fischsauce (Garum) etc. (Peacock/Williams 1986, 2; Martin-Kilcher 1987, 9). Nicht zuletzt an der Tonbeschaffenheit ist ihre fremde Herkunft deutlich zu erkennen (Martin-Kilcher 1987, 13). Verglichen mit der Masse der übrigen Keramik sind sie selten (Tab. 20); an der Importkeramik beträgt ihr Anteil 6% (35 RS auf 583 RS). Sie lassen sich neun verschiedenen Typen zuweisen (Tab. 7).

In Amphoren vom Typ Haltern 70 (Abb. 75) exportierte man in den ersten beiden Dritteln des 1. Jh. eingekochter Wein (*defrutum*) aus Südspanien, aus der Baetica (Colls et al. 1977, 88ff.; Paunier 1981, 235). Der Typ wurde in flavischer Zeit auch in Lyon produziert, wie Desbat (1987, 160) nachgewiesen hat. Dem Ton nach könnte das Badener Stück aus Lyon stammen. Es fand sich in der trajanischen Steinbauperiode I.3.

Die beiden Randscherben aus dem Brandschutt der neronischen Holzbauperiode II (Abb. 75) stammen von Exemplaren des südgallischen Typs mit aussen doppelt geschweiften Lippe (*lèvre à double inflexion externe*) und Flachboden, der in der Nachfolge des massaliotischen Typs augusteischer Zeit *Gauloise 2* steht und im Unterschied zur nachfolgenden Form noch nicht standardisiert ist¹⁵⁶. Nach einer ins Jahr 28 datierten Aufschrift in Fréjus importierte man darin Wein (Laubenheimer 1991, 234f. Abb. 7).

Weinamphoren vom Typ *Gauloise 4* (Abb. 75) stellte man ab der Mitte des 1. Jh. in Südgalien her (Laubenheimer 1985, 267ff. 390.400ff.). Das vorliegende Stück ist der hadrianischen Steinbauperiode I.4 zuzuweisen.

Die Weinamphore Dressel 2–4 oder *Camulodunum 184* (Abb. 75) ist im vorliegenden Material recht gut vertreten.

Der Ton variiert von orange bis beige und ist fein gemagert. Die Form stammt ursprünglich aus dem östlichen Mittelmeerraum (Peacock/Williams 1986, 102f.), doch sind auch aus Gallien, Italien und Spanien Produktionszentren bekannt (Desbat/Martin-Kilcher 1989, 341). Dem Ton nach könnten die vorliegenden Stücke aus Lyon stammen¹⁵⁷. Sie kommen in den Phasen der 2. Hälfte des 1. Jh. vor.

Die Ölampore Dressel 20 (Abb. 76) ist wie überall nördlich der Alpen (Martin-Kilcher 1987, 49) die mit Abstand häufigste Form. Der Ton variiert von rosa bis beige und ist stets mit feinen, dunklen Körnern gemagert (Martin-Kilcher 1987, 68f.). Die Amphoren stellte man in Südspanien, in der Provinz Baetica, genauer im Tal des Guadalquivir her, um das dort produzierte Olivenöl zu exportieren (Martin-Kilcher et al. 1985, 173). Sie sind belegt von der tiberischen Holzbauperiode I.1 bis zur Steinbauperiode I.5 des mittleren 2. Jh. Die schon andernorts erkannte Entwicklung (Martin-Kilcher 1987, 53ff. Beil. 1.2) von der zierlichen Wulstlippe (Nr. 30.36) über die halbrunde Lippe (Nr. 234.649.737), über eine Vorstufe (Nr. 1269.1270) bis zum stark nach aussen gezogenen, dreieckigen Rand (Nr. 853.1271.1412.1445.1679) zeigt sich deutlich. Das Stück mit halbrunder Lippe (Nr. 1536) aus dem Bauhorizont der Steinbauperiode I.5 stammt wohl ursprünglich aus einer älteren Schicht.

Amphoren vom Typ *Vindonissa 586* (Abb. 77) des 1. Jh. enthielten Fischsauce aus der Provinz Baetica (Paunier 1981, 236). Der Ton ist orange, die Oberfläche hellbeige. In Baden kommen sie in der tiberischen Holzbauperiode I.2 und in der hadrianischen Steinbauperiode I.4 vor. Das jüngste Profil weist schon eine entwickeltere Form auf: Der Rand ist stärker nach aussen gebogen und kaum mehr unterschritten.

In der 2. Hälfte des 1. Jh. lösen Amphoren vom Typ *Pélichet 46* (Abb. 77) die eben besprochenen als Exportbehälter für südspanische Fischsauce z.T. ab (Paunier 1981, 236). Im vorliegenden Material sind sie die zweithäufigste Form. Ihr Ton ist hellbeige, oft leicht grünlich. Sie kommen in der domitianischen Phase 2 und der hadrianischen Phase 4 der Steinbauperiode I vor.

In den Amphoren Dressel 10 *similis* (Abb. 77) verfrachtete man ebenfalls Fischsauce (Martin-Kilcher 1990, 39). Als Vorbild dienten, ebenso wie für die folgende Form, die

152 Konsultierte Literatur: Benoît 1961; Cahiers d'archéologie subaquatique 1–5, 1972–1976; *Archaeonautica* 1–8, 1977–1988.

153 Freundliche Mitteilung von Stefanie Martin-Kilcher, Basel. Schon Loeschke (1909, 254; Typ 61) vermutete ein Gefäß für Öle. Allerdings fanden sich in folgenden Gräberfeldern keine Parallelen: Ornavasso (Graue 1974), Tessin (Simonett 1941), Avenches (Castella 1987), Courroux (Martin-Kilcher 1976), Allschwil (Ettlinger 1944), Weil (Asskamp 1989), Kempten (Mackensen 1978), Regensburg (v. Schnurbein 1977), Schankweiler (Ludwig 1988), Köln (Hagen 1906), Wederath-Belginum (Haffner 1971/1974/1978), Trier (Cüppers 1973).

154 Da einerseits der Ton dieser offenbar seltenen Gefäße bisher kaum definierend beschrieben worden ist, andererseits naturwissenschaftliche Untersuchungen fehlen, kann vorläufig die Herkunft nicht genauer bestimmt werden.

155 Viele Hinweise sind Stefanie Martin-Kilcher, Basel, zu verdanken, der ich die Amphoren vorlegen konnte.

156 Laubenheimer 1989, 125; 137. Man könnte diesen Typ *Gauloise 2* *similis* nennen.

157 Desbat 1987, 341. Allerdings sind zwei der Exemplare (Nr. 752.898) verbrannt, so dass sich deren Scherben nicht mehr in gleicher Weise beurteilen lässt.

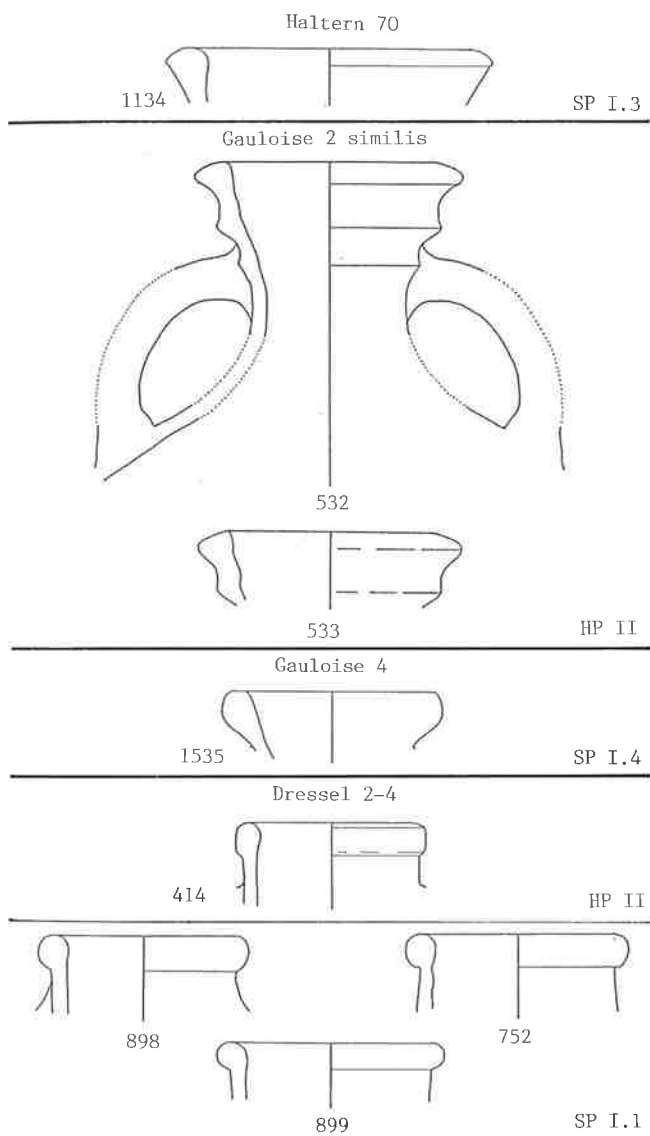


Abb. 75. Weinamphoren. Formen und ihr Auftreten in den einzelnen Phasen. M ca. 1:4.

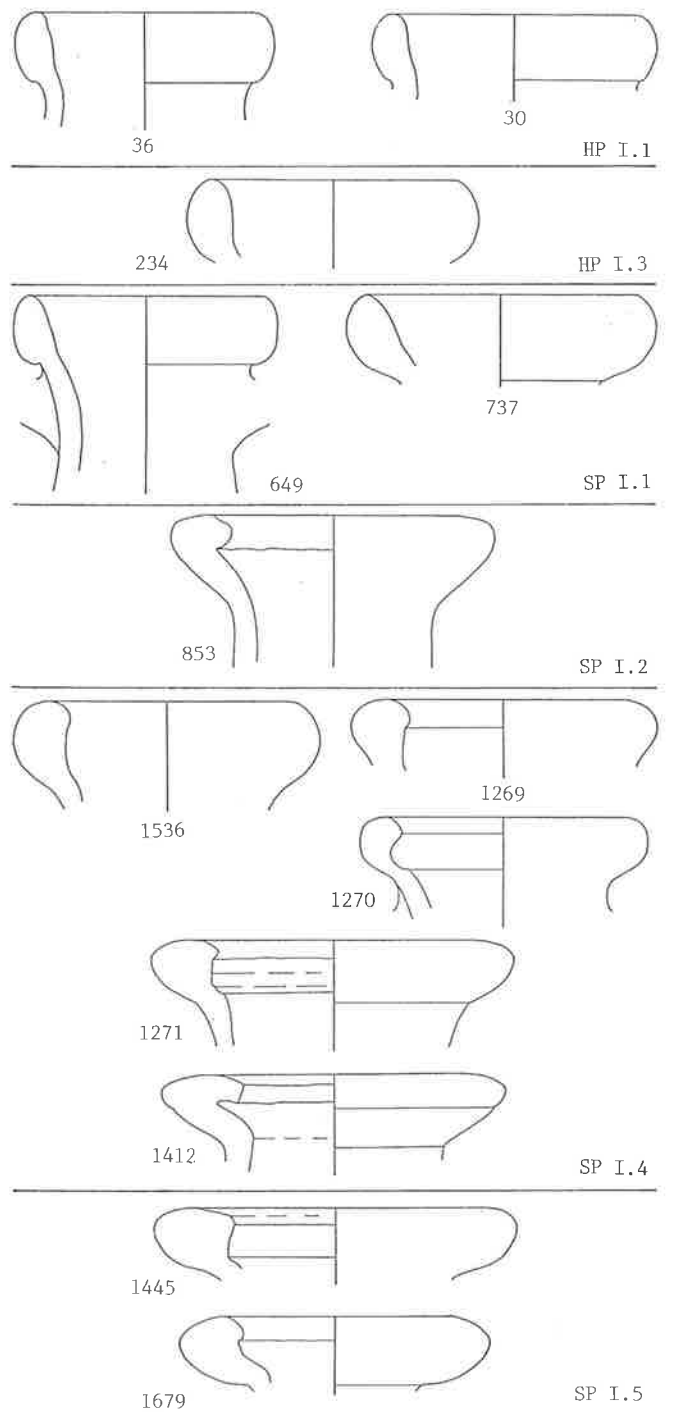


Abb. 76. Ölamphoren Dressel 20. Formen und ihr Auftreten in den einzelnen Phasen. M ca. 1:4.

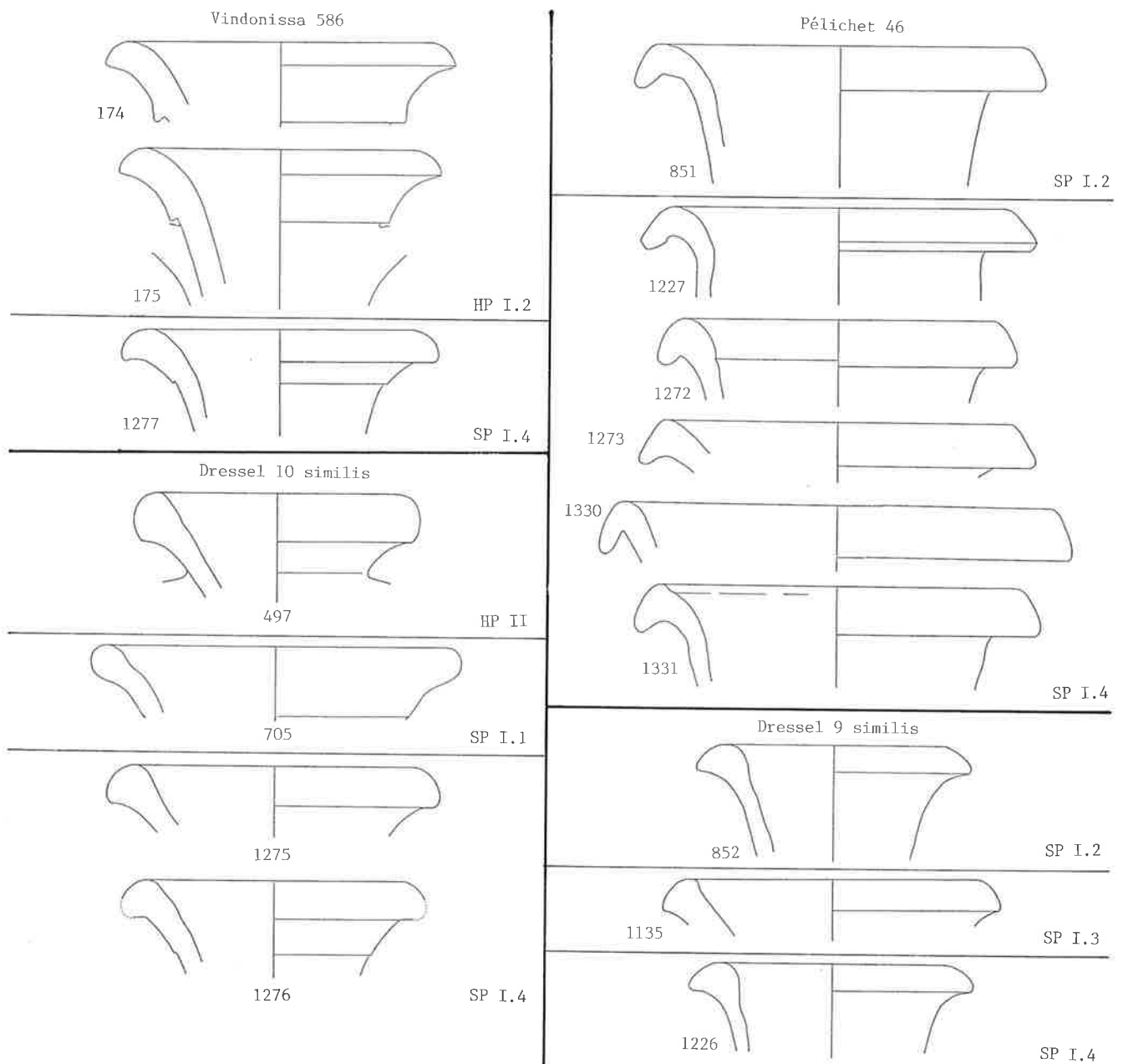


Abb. 77. Fischsaucenamphoren. Formen und ihr Auftreten in den einzelnen Phasen. M ca. 1:4.

südspanischen Typen Dressel 10 bzw. Dressel 9. Angefertigt wurden sie jedoch im südlichen Gallien, wo auch, etwa in Fréjus, die Herstellung von Fischsauce nachgewiesen ist. Der Ton der vorliegenden Stücke ist hellbeige und teilweise mit Quarzkörnern gemagert. Dem Ton nach könnten sie aus Lyon stammen (Desbat 1987, 159). In *Aquae Helveticae* treten sie von der neronischen Holzbauperiode II bis in die hadrianische Steinbauperiode I.4 auf.

Die Amphoren Dressel 9 similis (Abb. 77) enthielten ebenfalls Fischsauce aus Südgallien (s. oben). Der Ton ist hellorange und fein gemagert. Auch sie könnten aus Lyon stammen (a. a. O.). Der Typ kommt in der domitianischen Phase 2 und der hadrianischen Phase 4 der Steinbauperiode I vor.

Fast die Hälfte (41%) der Amphoren brachte Fischsauce nach *Aquae Helveticae*, ein gutes Drittel (35%) Olivenöl und 22% Wein¹⁵⁸. Das Bild entspricht jenem der augusteischen Militärlager, wo die Fischsauceamphoren am häufigsten sind, gefolgt von den Ölamphoren, während die Weinamphoren relativ selten sind (Desbat/Martin-Kilcher 1989, 350ff. Abb. 10). In Lyon und Vienne hingegen kommen wie in Mittelitalien (Kap. 8.2.) Weinamphoren häufiger, Ölamphoren hingegen seltener vor (Desbat/Martin-Kilcher 1989, Abb. 5). In Augst sind für die augusteisch-tiberische Zeit folgende Werte ermittelt: 42% Wein-, 30% Öl- und 26% Fischsauceamphoren (Desbat/Martin-Kilcher 1989 Abb. 11); in Genf für die ganze Dauer der römischen Besiedlung: 62% Öl-, 22% Wein- und 12% Fischsauceamphoren (Paunier 1981, 239). Der Import von Wein in Amphoren scheint typisch für einen ziemlich hohen Romanisierungsgrad zu sein und/oder für einen überdurchschnittlich hohen Lebensstandard. Vielleicht galt der in Amphoren transportierte Wein als der bessere, während der Wein für die einfachen Soldaten in grossen Holzfässern geliefert wurde; Fässer fanden sich nämlich bisher vor allem in militärischen Zusammenhängen (Martin-Kilcher et al. 1987, 122).

Mehr als die Hälfte (59%) der Amphoren scheinen Güter aus Spanien nach *Aquae Helveticae* gebracht zu haben, knapp ein Viertel Güter aus Südgallien. Die Herkunft ist indes nur optisch, anhand des Tones im Vergleich mit den in der Literatur beschriebenen Tonarten vorgenommen; daher bleibt das Ergebnis mit einiger Unsicherheit behaftet. Überdies sind Beispiele bekannt, wo man Amphoren mit ortsfremden Gütern bestückt hatte¹⁵⁹, so dass die Herkunft der Ware nicht ohne weiteres aus der Herkunft der Amphore erschlossen werden darf. Das in Baden ermittelte Ergebnis stimmt allerdings gut mit den für die augu-

steisch-tiberische Zeit gültigen Werten in Augst überein, wo die Importe aus Südspanien (59%) und aus Südgallien (22%), anders als in Mittelitalien, ebenfalls den Hauptanteil ausmachen (Desbat/Martin-Kilcher 1989, Abb. 11).

Offenbar bezog man den Wein aus Südgallien, das Öl aus Südspanien und das Garum zuerst aus Südspanien, später auch aus Südgallien. In Lyon hingegen macht der südgallische Wein nur etwa einen Viertel des Weinimportes aus (Desbat/Martin-Kilcher 1989, Abb. 7).

4.3. Keramik in römischer Tradition

Mehrheitlich ist die vorliegende Keramik in der Region hergestellt worden (Kap. 4.1.5.). Die eine Gruppe weist Formen auf, die fremd sind, im spätlatènezeitlichen Inventar (Kap. 7.2.) noch nicht vorkommen. Sie imitieren mehr oder weniger direkt, mehr oder weniger genau Vorbilder aus dem Mittelmeerraum. Als eigentliche Imitationen bezeichne ich im folgenden jene Typen, die importierte Keramiksorten (Campana/Sigillata/Firniskeramik/pompejanisch-rote Platten) nachahmen. Bei ihnen sind die jeweiligen Vorbilder klar und eindeutig zu erkennen. Bei den übrigen in römischer Tradition stehenden Typen ist das Vorbild hingegen weniger direkt und nur in Umrissen zu fassen. Oft stimmen sie etwa in der Grösse nicht überein. Auch Tonbeschaffenheit und Machart können nur bedingt miteinander verglichen werden. Dies sind Eigenschaften, die vor allem vom Können des Töpfers und von der Funktion der Gefässe abhängen, sowie von der Verwendung in unseren Gegenden, und die nicht unbedingt mit dem Gebrauch im Herkunftsland übereinstimmen muss. Für die Zugehörigkeit zu einem Traditionsstrang ist aber allein die Form, wie sie auf den ersten Blick zu erfassen ist, massgebend (Kap. 6.2.). Die Gefässe mit römischen Wurzeln lassen sich mit lateinischen Gefässnamen benennen (Hilgers 1969, Taf. 1).

Die Keramik in römischer Tradition, insgesamt 506 RS, ist mit 29% des Gesamtbestandes etwas weniger häufig als die importierte Keramik¹⁶⁰. Ihr Anteil schwankt von Phase zu Phase. Die helltonige Ware (224 RS bzw. 44%) und die TS-Imitation (178 RS bzw. 35%) machen den Löwenanteil aus, während die Grobkeramik (39 RS bzw. 8%), die Glanztonkeramik (27 RS bzw. 5%), die graue Feinkeramik (24 RS bzw. 5%) und die Imitationen anderer importierter Sorten (14 RS bzw. 3%) selten sind.

158 Allerdings ist die Basis dieser Statistik mit 37 Exemplaren nicht eben breit.

159 Liou 1988; Desbat/Martin-Kilcher 1989, 355f.; Martin-Kilcher 1990, 39f.

160 Tab. 20: Imitation 11% (192 RS), römische Tradition im engeren Sinn 18% (314 RS).

4.3.1. Campana-Imitation (Abb. 78)

Als Imitation von Campana-Typen werden im folgenden jene Formen bezeichnet, die eine Keramikgattung mit schwarzem Überzug nachahmt, die in Italien vom 3. Jh. bis ins späte 1. Jh. v. Chr. hergestellt wurde und im ganzen Mittelmeer verbreitet war¹⁶¹. Die Campana ist, wie Schiffsfunde zeigen (Kap. 4.2.), in republikanischer Zeit offensichtlich weit exportiert worden. Auch nördlich der Alpen treten in spätkeltischen bzw. spätrepublikanischen Zusammenhängen Exemplare der Gattung auf, etwa auf dem Magdalensberg (Schindler 1967) oder auf dem Basler Münsterhügel¹⁶².

Die Stücke aus Baden weisen mit einer Ausnahme einen grauen Ton auf, der fein gemagert und/oder mit Glimmer versetzt sein kann. Nur bei der Schale (Nr. 236) ist der Ton rötlich. Die meisten Exemplare haben eine dunkelgraue bis schwarze, manchmal geglättete oder polierte Oberfläche. Nur bei wenigen sind Reste eines schwarzen Überzuges zu erkennen (Nr. 505, evtl. Nr. 10). Die Scherben erinnern zwar an die von N. Lamboglia (1952, 140) definierte Materialgruppe C mit grauem Ton und schwarzem bis olivgrauem, teilweise schlechtem Überzug oder an das graue Fabrikat vom Magdalensberg (Schindler 1967, 60), dessen Ton grau, fein, oft kreidig und dessen Überzug schwarz, fettig glänzend ist. Trotz naturwissenschaftlicher Analysen konnte der Produktionsort wegen der Heterogenität der Probenergebnisse bisher nicht bestimmt werden (Maggetti/Galetti 1986, 399; 407). Die Badener Stücke jedoch, die, wie erwähnt, oft mit Glimmer versetzt sind und meist keinen Überzug, sondern nur eine geglättete Oberfläche aufweisen, unterscheiden sich in nichts von der lokalen grauen Feinkeramik, so dass anzunehmen ist, dass auch sie in der Region hergestellt worden sind¹⁶³.

An Formen kommen Schälchen, Teller und Schalen vor. Das Schälchen lässt sich von der Campanaform Morel 1262 herleiten, die im 2. und 1. Jh. v. Chr. auftritt¹⁶⁴. In Baden erscheinen die Schälchen in den frühesten Schichten der spätaugusteisch-frühtiberischen Zeit. Das Schälchen Nr. 1710 aus der Steinbauperiode I.6 des 3. Viertels des 2. Jh. ist wohl als ein aus einer älteren Schicht verlagertes Exemplar anzusehen.

Der Teller entspricht dem Typ Morel 2271, der ins späte 1. Jh. v. Chr. datiert wird, wie u. a. auf den Magdalensberg exportierte Beispiele zeigen (Schindler 1967, Taf. 1,20;

5,3). Die Form tritt in Baden nur in den spätaugusteischen Schichten vor der ersten Überbauung auf.

Die Schale mit Hängelippe (Nr. 236.442) erinnert an die Form Morel 1162, die ins 2. Jh. v. Chr. datiert wird. Sie könnte überdies vom arretinischen Sigillataservice I beeinflusst sein (Ettlinger 1949, 100), dessen Teller (Consp. 10) auch als schwarze Ware auftritt (Ettlinger et al. 1990, 4). Die Schalen kommen in den Phasen claudischer-neronischer Zeit vor. Für die Variante mit gegliedertem Rand (Nr. 505) aus der neronischen Holzbauperiode II war kein direktes Vorbild zu finden. Sie erinnert in der Gestaltung des Randes an die flachere Schale Morel 1441, die ins 1. Jh. v. Chr. zu datieren ist. Die Schale mit dreieckig verdickter Lippe (Nr. 772.903) aus der vespasianischen Steinbauperiode I.1 könnte auf die Form Morel 2653 zurückzuführen sein, die im 2./1. Jh. v. Chr. geläufig war, wie auch auf den Magdalensberg exportierte Stücke zeigen (Schindler 1967, Taf. 6,7–12). Da das Ensemble der Steinbauperiode I.1 nachweislich mit älteren Funden vermischt ist (Kap. 5.5.1.), kann nicht ausgeschlossen werden, dass auch die beiden Schalenfragmente ursprünglich aus einer älteren Schicht stammen. Die Schale mit ausladendem Rand Nr. 1859 aus der Steinbauperiode II.1 des späteren 2. Jh. könnte sich aus dem eben besprochenen Typ entwickelt haben. Als Vorbild könnten allerdings auch die Form Morel 1312 des 2. Jh. v. Chr., die noch im 1. Jh. nachgewiesen ist (Solier 1981, Abb. 23,1–4), oder die in flavischer Zeit erscheinende Sigillataschale Drag. 36 gedient haben. Vorbild wie Imitation dieser Campanaform fanden sich in La Lagaste in einem Töpferbetrieb des 1. Jh. v. Chr. (Rancoule 1970, 53). Da die Badener Scherbe aus dem Bauhorizont stammt, ist nicht auszuschließen, dass sie aus einer älteren Schicht verlagert wurde.

Die Campana-Imitationen können weitgehend auf Vorbilder zurückgeführt werden, die in Italien in der Zeit kurz vor ihrem Auftreten in *Aquae Helveticae* geläufig waren. Die Imitationen kommen vor allem in den frühen Schichten der ersten beiden Drittel des 1. Jh. n. Chr. vor. Bei den Exemplaren aus den Steinbauperioden muss hingegen mit guten Gründen damit gerechnet werden, dass sie aus älteren Schichten verlagerte Stücke sind.

161 Paunier 1981, 30. Zum Begriff Campana s. Kap. 8.2. und Vegas 1968, 15f. – Der Begriff Campana-Imitation ist schon mehrfach angetönt worden, speziell in der französischen Forschung: Gavelle 1962, 217; Périchon 1965, 261ff.; Py/Py 1967; Fouet 1970, 24 Abb. 10, D–F; Rancoule 1970, 53 Abb. 18; Graue 1974, 83; Morel 1981, 516ff.; Kaenel/Maggetti 1986, 253 Anm. 9.

162 Furger-Gunti 1974/1975, 103; Berger/Furger-Gunti 1976, Abb. 7,2.

163 Bisher wurden allerdings keine gezielten mineralogisch-chemischen Untersuchungen durchgeführt (Kap. 4.2.). In Lyon-Loyasse hat man die Produktion von Campana-Imitationen (*dérivés*) nachweisen können, die 30–15 v. Chr. datiert werden (Kaenel/Maggetti 1986, 253 Anm. 9).

164 Die Formen mit den entsprechenden Datierungsvorschlägen sind im folgenden zitiert nach Morel 1981.

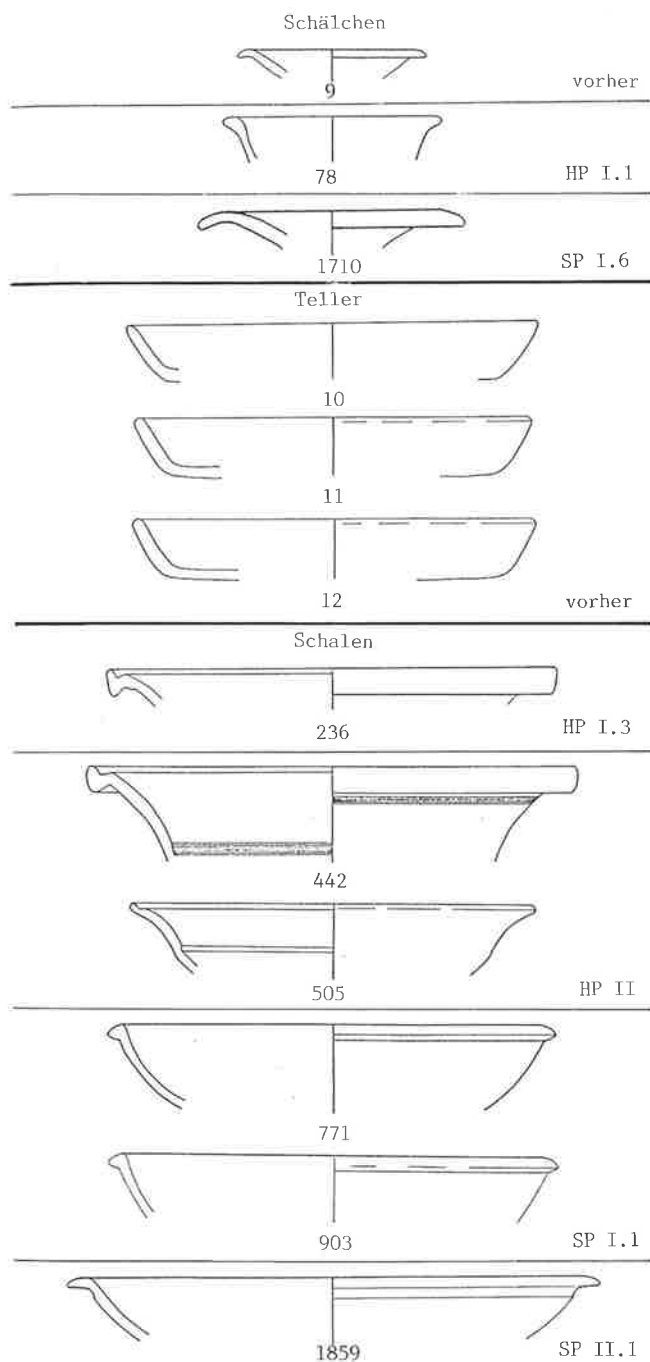


Abb. 78. Campana-Imitation. Formen und ihr Auftreten in den einzelnen Phasen. M ca. 1:4.

4.3.2. TS-Imitation

Nach W. Drack (1945, 12) versteht man unter TS-Imitation eine im helvetischen Gebiet hergestellte Keramikgattung, die in Anlehnung an die arretinische bzw. südgallische Terra Sigillata angefertigt worden ist. Wie wir sehen werden, scheinen einige Typen wie auch die Produktion von La Péniche bei Lausanne (Laufer 1980, 26; Paunier 1986, 266) von der padanischen Sigillata beeinflusst zu sein, die allerdings in unserem Gebiet sehr selten ist¹⁶⁵. Die frühesten Töpfer – Vepotalus, Ciruca, Coius, Tigorix, Villo – tragen keltische Namen oder wie Acutus und Cacitus Namen, die sowohl keltischen wie auch lateinischen Ursprungs sein könnten, und nur der Name des Aspernas ist lateinisch (Drack 1945, 48ff.158; Paunier 1986, 265). Ein Produktionsort von Sigillata-ähnlicher Ware liess sich im Gebiet der heutigen Schweiz bisher nur in La Péniche (Laufer 1980) nachweisen (Ettliger et al. 1990, 22f.). Ein völlig verfritteter Teller Drag. 15 (Drack 3) könnte ein Hinweis sein, dass man auch in Aquae Helveticae im 1. Jh. TS-Imitation herstellte (Roth-Rubi 1983, 44).

In der Grabung 1977 fanden sich zwei Stempel von TS-Imitationen: ein Stempel des Villo (Nr. 84) im Bauhorizont der tiberischen Holzbauperiode I.2 und ein Stempel des Illanva (Nr. 657) in der vespasianischen Steinbauperiode I.1. Beide Töpfer tragen keltische Namen (Drack 1945, 48f.). Die Werkstatt des Villo wird in Vindonissa vermutet (a.a.O. 55; 121f.; Ettliger 1949, 29), jene des Illanva in Augst (Drack 1945, 110).

Die TS-Imitation gehört zu den eher häufigen Keramiksorten (Tab. 20). Mit 178 Randscherben macht sie 35% der in römischer Tradition hergestellten Keramik (506 RS) aus. In den tiberischen Phasen 1 und 2 der Holzbauperiode I stellt sie mit einem Viertel der Scherben sogar die häufigste Gattung dar. In den Schichten vor der ersten Überbauung scheint sie jedoch selten zu sein¹⁶⁶. Ab der Mitte des 1. Jh. fällt der Anteil ziemlich kontinuierlich auf geringe Werte in den Phasen des späteren 2. Jh. Die hohen Anteile in den jeweils ersten Phasen der Steinbauperioden I und II dürften auf eine Vermischung mit älteren Schichten anlässlich des Baus der Fundamente zurückzuführen sein.

Der Ton ist oft ziemlich weich, leicht mehlig und mit Glimmer versetzt. Er unterscheidet sich in keiner Weise von der in der Region hergestellten orangen und grauen Feinkeramik (Kap. 4.3.6.; 4.3.7.; 4.5.1.; 4.5.2.). Die Mehrheit der Stücke ist mit oxidierendem Brand, in roter Technik (Drack 1945, 23ff.), hergestellt (Tab. 9): mit hellorangem, selten beigem Scherben und orangerotem bis braun-

165 Allerdings könnte dies auf eine bisher ungenügende Kenntnis zurückzuführen sein, denn M.-A. Haldimann, Genf, zeigte mir Stücke aus Massongex, die ich durchaus als helvetische TS-Imitationen bezeichnen würde, die er aber, indem er es Material aus Pavia gegenüberstellt, als padanische Produkte zu erkennen können glaubt.

166 Da das Ensemble nur 23 Randscherben zählt, könnte der Wert zufällig sein.

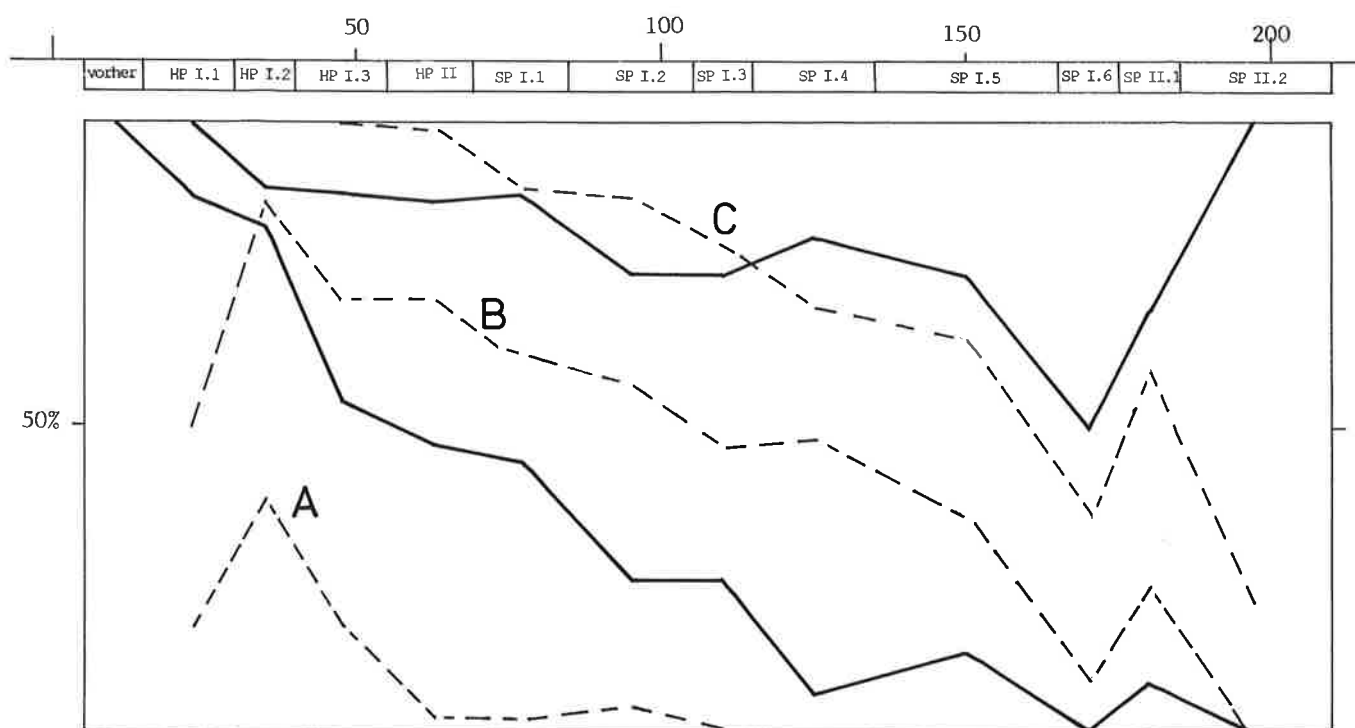


Abb. 79. Typengruppen der TS-Imitation. Entwicklung der Anteile im Vergleich mit den TS-Typengruppen. S. Tab. 11.

rotem Überzug. Ein gutes Drittel ist in einer reduzierenden Atmosphäre gebrannt, in der sog. schwarzen Technik (Drack 1945, 27f.): mit grauem Scherben. Bei diesen Stücken ist es oft schwierig zu entscheiden, ob sie einen dunkelgrauen bis schwarzen Überzug aufweisen, oder ob die Oberfläche lediglich poliert wurde, so dass eine Überzug-ähnliche Haut entstand¹⁶⁷. Vereinzelt Exemplare (Nr. 239.906.1542) weisen einen orangen bis beige Ton und eine polierte, hellbraune Oberfläche oder Überzug auf, wobei die Entscheidung Überzug/Oberfläche ebenfalls nicht immer leicht zu fällen ist. Es scheint sich um die von W. Drack (1945, 27) beschriebene hornfarbene Technik zu handeln. Die schwarze und hellbraune TS-Imitation mit polierter Oberfläche könnte eigentlich als Keramik mit römischer Form und keltischer Technik bezeichnet werden, denn die Oberflächenbehandlung unterscheidet sich in nichts von jener der orangen und grauen Feinkeramik in keltischer Tradition (Kap. 4.5.1.; 4.5.2.). Da die Stücke jedoch, wie erwähnt, oft kaum von jenen mit Überzug zu unterscheiden sind, eine Trennung in zwei Gruppen ziemlich willkürlich wäre und eindeutig die Herstellung eines «römischen» Produktes beabsichtigt war, schien es mir, um den Romanisierungsprozess zu zeigen, nicht sinnvoll zu sein, eine entsprechende Gruppe zu bilden. Die schwar-

zen TS-Imitationen sind in den Holzbauperioden des früheren und mittleren 1. Jh. selten (Tab. 10). In flavischer Zeit steigern sie sich, um in den Phasen des 2. Jh. die häufigste Sorte zu werden¹⁶⁸. Die Zunahme der schwarzen TS-Imitation in flavischer Zeit ist schon andernorts beobachtet worden (Drack 1945, 29; Rychener/Albertin 1986, Tab. 40).

Entsprechend der Sigillata (Kap. 4.2.1.) lässt sich auch die Imitation in Typengruppen gliedern (Tab. 11): Gruppe A (Drack 2/4A/9): Imitation der arretinischen Haltern-Typen (Gruppe A); Gruppe B (Drack 3/5/11/18/19; Imitation Hofheim 9; Imitation Drag. 30): Imitation der frühen Hofheim-Typen (Gruppe B); Gruppe C (Drack 4B/13; Imitation Drag. 16): Imitation der späten Hofheim-Typen (Gruppe C). Imitationen der Sigillatagruppen D (Drack 14–17) und E (Drack 8) fehlen im vorliegenden Material. Die Entwicklung der Typengruppen verläuft parallel zu derjenigen der entsprechenden Sigillatagruppen, wenn auch um eine gute Generation (25–40 Jahre) verschoben (Abb. 79¹⁶⁹). Der Anteil der Gruppe A senkt sich von sehr hohen Werten in den tiberischen Phasen auf die Hälfte in den claudisch-vespasianischen Phasen und auf ein Viertel in den Phase der Jahrhundertwende. Im 2. Viertel des 2. Jh. wird sie selten. Im späteren 2. Jh. scheint sie nicht mehr vorzukommen, denn die Stücke in Steinbauperiode

167 Stücke mit eindeutigem Überzug: Nr. 39.140.195.205.239.315.515.655.692.708.728.739.1069.1070.1178.1279.1458; mit polierter Oberfläche: Nr. 1073.1074.1107.1136.1292.1792.1793.1834.1860.

168 Das Fehlen von schwarzen Stücken in einzelnen Phasen ist jeweils auf die kleine Anzahl zurückzuführen und zufällig.

169 Gestrichelte Linie: Anteile der entsprechenden TS-Gruppen (Abb. 49).

II.1 sind vermutlich auf die Vermischung mit älteren Schichten anlässlich des Mauerbaus zurückzuführen. Die Gruppe B steigert sich von einem geringen Wert in den tiberischen Phasen auf über die Hälfte in den Phasen des späten 1. Jh. und des 2. Jh. Die Gruppe C setzt erst in spät-tiberischer Zeit ein, verdoppelt sich nach einer Phase der Stagnation in der domitianischen Steinbauperiode I.2. Im späteren 2. Jh. scheint sie den Anteil nochmals zu erhöhen. Ebenfalls einen beträchtlich verschobenen Verlauf in der Entwicklung zeigen Sigillata und deren Imitation in Vienne (Desbat 1990, 250).

Gruppe A (Abb. 80–82)

Die Gruppe setzt sich aus dem Schälchen Drack 9 und den zwei Tellertypen Drack 2 und Drack 4A zusammen. Alle imitieren arretinische Formen: Drack 9 das Schälchen Haltern 8 (Consp. 22.1–3), Drack 2 den Teller Haltern 2 (Consp. 18.2) und Drack 4B den Teller Haltern 4 (Consp. 4.4).

Der Teller Drack 2 ist etwa doppelt so häufig wie das Schälchen Drack 9 und der Teller Drack 4A (Tab. 11). Er ist der häufigste Imitationstyp überhaupt. Bei den Imitationen des arretinischen Service II (Drack 2/9) sind die schwarzen Stücke selten (Tab. 9). Die Teller Drack 4A hingegen sind mehrheitlich in schwarzer Technik hergestellt. Weist das auf schwarze Sigillata als Vorbild hin? Der entsprechende Typ kommt nämlich sowohl als schwarze wie als rote Ware vor (Ettlinger et al. 1990, 4). Beim Schälchen Drack 9 und beim Teller Drack 2 lassen sich je drei Größen feststellen (s. unten). Die kleinen Exemplare und die sehr grossen sind eher selten.

Das Schälchen Drack 9 lässt sich der Profilierung nach in zwei Untertypen aufteilen: mit geschwungenem, stark profiliertem Rand (Drack 9A; Nr. 31.59.81.82.116.137.176–178.238.239.311.349.350.693); mit ziemlich geradem Rand (Drack 9B; Nr. 165.237.312.348). Beiden Formen weisen aussen teilweise eine Riefelung auf. Die zweite Form scheint etwas jünger zu sein.

Auch beim Teller Drack 2 können zwei Untertypen umschrieben werden: mit ausgeprägter Kehle an der Innenseite (Nr. 32.37.40.79.166.203.352.355.509.652.653.738.1539); mit flauerem Profil (Nr. 13.14.33.38.39.55.79.80.108.127.128.138.150.163.241.242.353.354.427.510.706.729.822.823.1137). Die Exemplare beider Formen weisen aussen teilweise eine Riefelung auf. Das Stück mit ausladendem Rand Nr. 1179 aus der hadrianischen Steinbauperiode I.4 scheint eine singuläre Variante zu sein.

Der Teller Drack 4A weist ebenfalls zwei Untertypen auf: mit Rille an der Innenseite (Nr. 41.205.246.247.293.655); mit glatter Innenseite (Nr. 42.140.315.357.358.360.361.654.707.1008.1136.1292.1459.1793). Da die erste Form nur in den früheren Phasen vorzukommen scheint, könnte

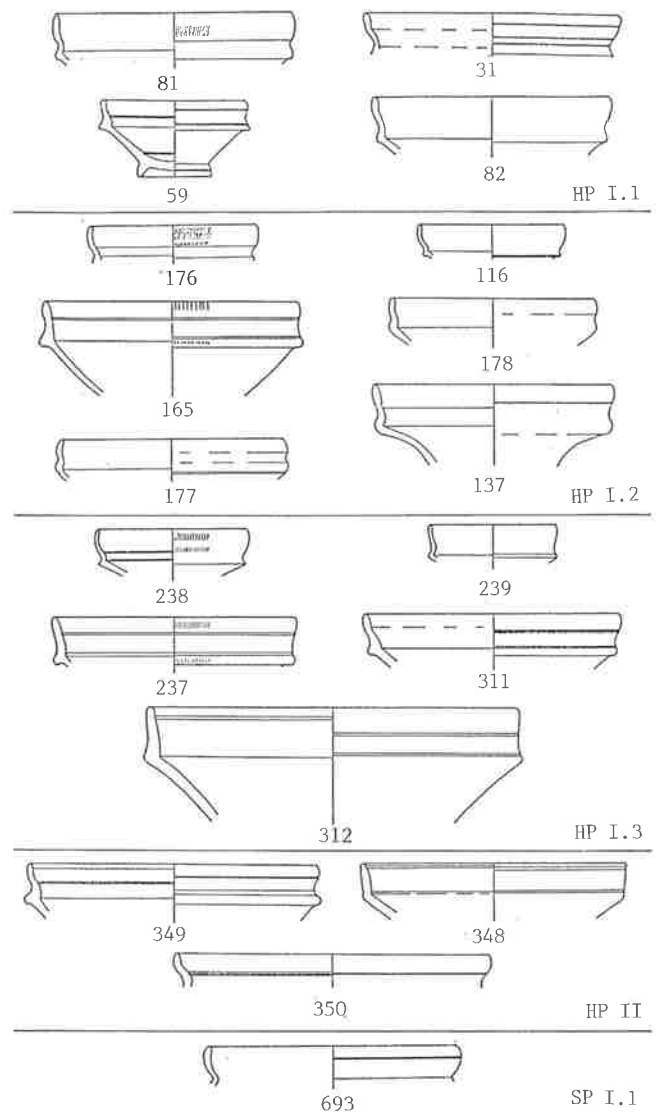


Abb. 80. TS-Imitation. Gruppe A. Schälchen Drack 9. Formen und ihr Auftreten in den einzelnen Phasen. M ca. 1:4.

das Stück, das sich in der vespasianischen Steinbauperiode I.1 (Nr. 655) fand, aus einer älteren Schicht verlagert sein.

Die Typen der Gruppe A sind in den Holzbauperioden und in der vespasianischen Steinbauperiode I.1 gut vertreten. In den folgenden Phasen kommen sie nur noch sporadisch vor, so dass nicht auszuschliessen ist, dass die Stücke ursprünglich aus älteren Schichten stammen (Nr. 1008.1136.1179.1292.1489.1539.1793). Die Typen scheinen eine gute Generation später zu verschwinden als die Vorbilder (Abb. 79).

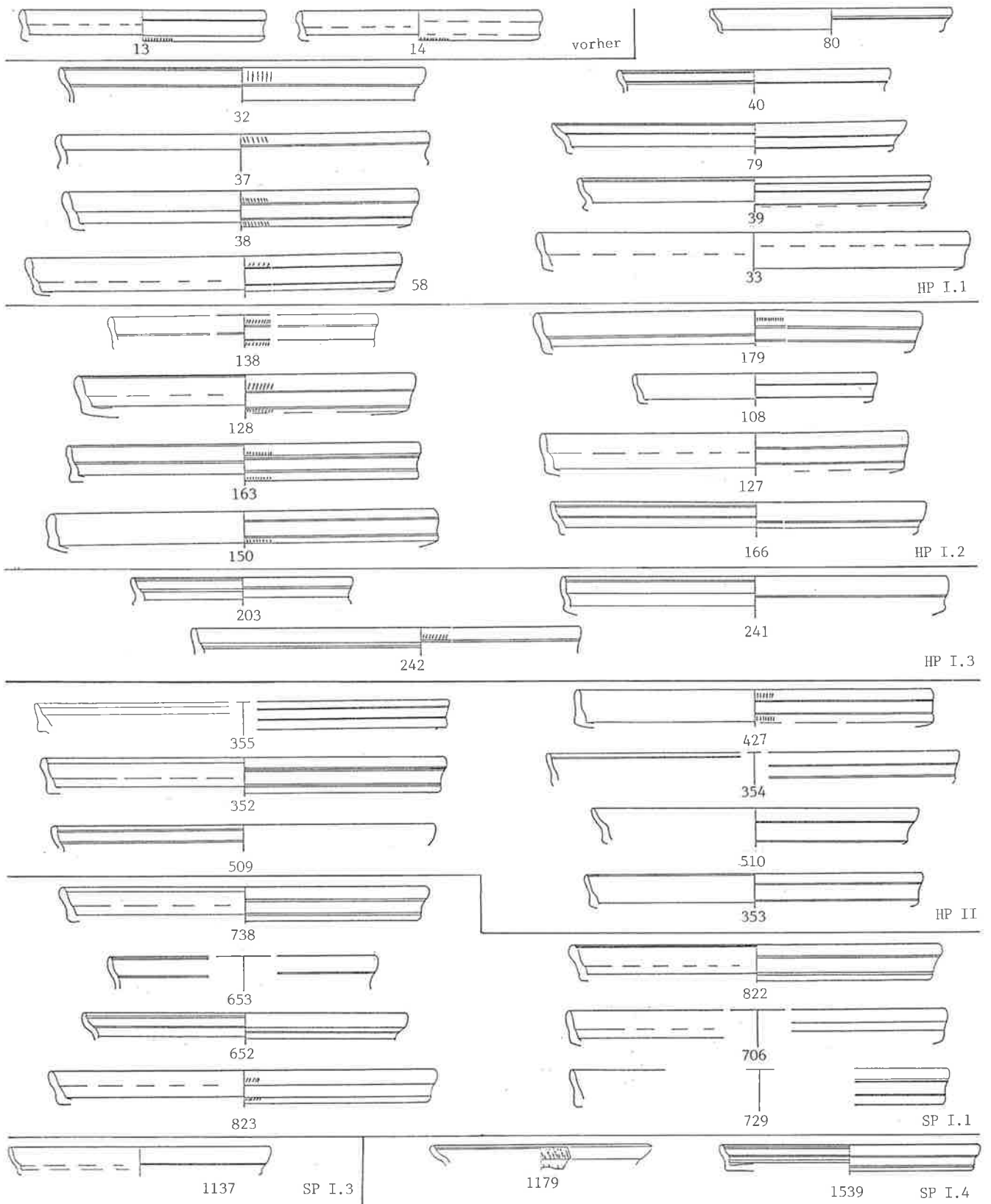


Abb. 81. TS-Imitation. Gruppe A. Teller Drack 2. Formen und ihr Auftreten in den einzelnen Phasen. M ca. 1:4.

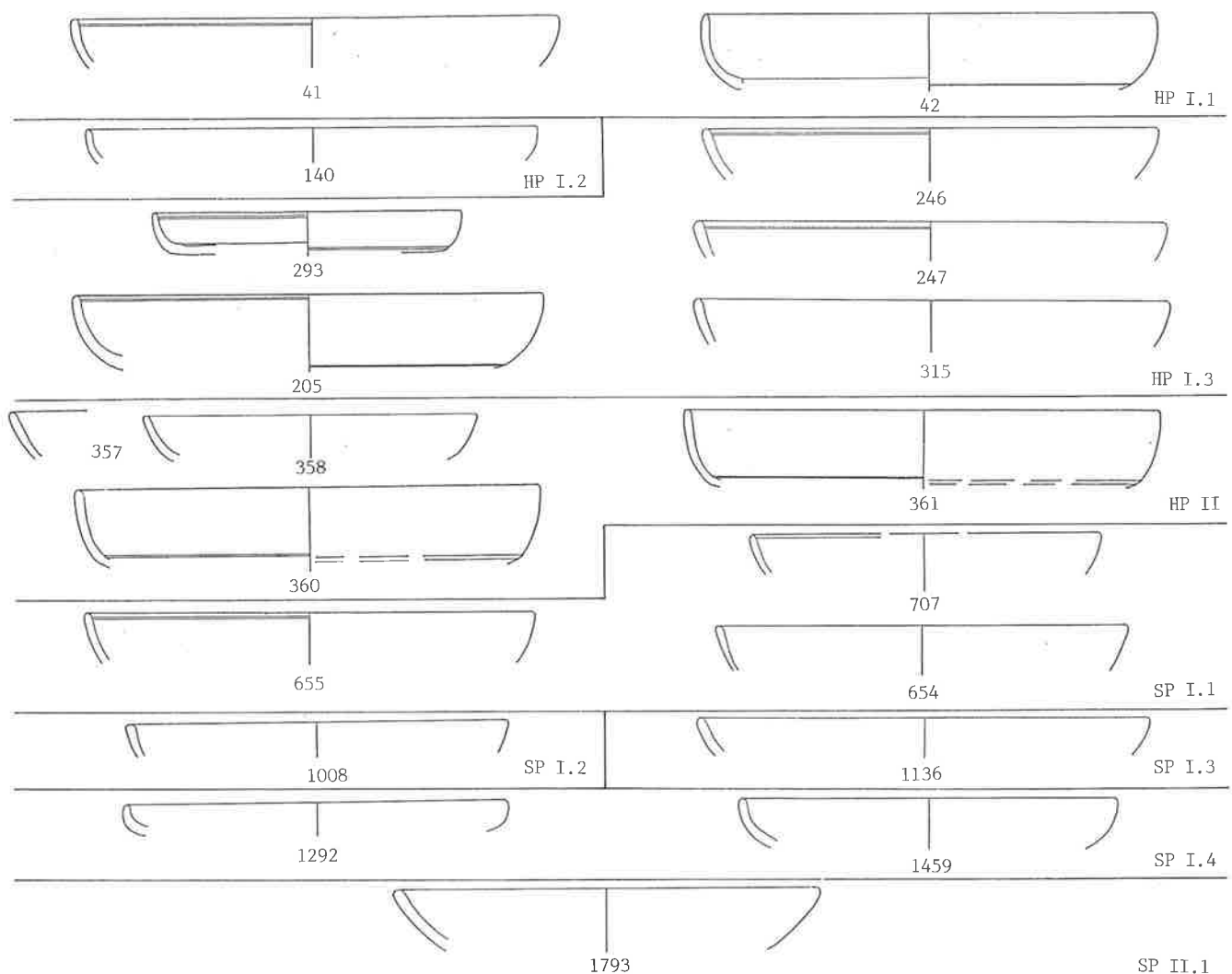


Abb. 82. TS-Imitation. Gruppe A. Teller Drack 4A. Formen und ihr Auftreten in den einzelnen Phasen, M ca. 1:4.

Gruppe B (Abb. 83–87)

Die Gruppe setzt sich aus Schälchen Drack 11, Drack 18 und Imitation Hofheim 9, Tellern Drack 3, Drack 5 und Imitation Drag. 16 sowie Schüsseln Drack 19 und Imitation Drag. 30 zusammen. Alle gehen auf südgallische Vorbilder zurück: Drack 11 auf das Schälchen Drag. 24, Drack 18 wohl auf das Schälchen Hofheim 8 (Drack 1945, 88f.), Drack 3 auf den Teller Drag. 15, Drack 5 wohl auf den Teller Hofheim 1¹⁷⁰ und Drack 19 auf die Schüssel Hofheim 12 (Drack 1945, 89). Bei den nicht selten mit Riefelbändern verzierten Typen Drack 5 und Drack 18 ist die von W. Drack vorgeschlagene Herleitung von den in Italien

hergestellten Formen besser nachzuvollziehen als von den südgallischen. Der Teller Consp. 4 kann, was allerdings selten ist, ein Riefelband aufweisen (Ettliger et al. 1990, 58) und auch beim Schälchen Consp. 36.3.1 finden sich durch Rillen abgesetzte Riefelbänder. Beim Typ Drack 19 stellt sich das Problem, dass die Imitation offenbar früher auftritt als das bisher angenommene Vorbild Hofheim 12 (Kap. 5.3.1.). Die frühesten Stücke aus den Phasen der Holzbauperiode I (Nr. 43.83.316) weisen alle einen kurzen, im Querschnitt dreieckigen Kragenrand auf, was stark an den padanischen Typ Consp. 37.2 erinnert, der ab tiberischer Zeit belegt ist (Ettliger et al. 1990, 116). Er weist oft auf dem Kragen ein Riefelband auf wie beim

170 Drack 1945, 73. E. Ettliger hält diesen Typ allerdings für eine Variante von Drack 2 (Ettliger/Simonett 1952, Nr. 409), einem Teller meiner Gruppe A.

Stück Nr.1446 aus der Steinbauperiode I.5 des mittleren 2. Jh., dessen Kragenrand ebenfalls kurz und im Querschnitt dreieckig ist. Möglicherweise stammt es ursprünglich aus einer früheren Schicht. Die konische Schüssel erinnert in Form und Lippenbildung an die Reliefschüssel Drag. 30 (Ettlinger/Simonett 1952, Nr. 427.428). Das Riefelband (Nr.1009) deutet allerdings eher auf die Schüssel Drag. 29 hin. Die Schüsseln weisen jedoch nur aussen einen Überzug auf, wie wir es von den Schüsseln keltischer Tradition mit römischer Technik, insbesondere der Schüssel Drack 21, her kennen (Kap. 4.4.1.). Der Typ ist also im Gegensatz zu den anderen offenbar von mehreren Vorbildern und nicht nur von der Sigillata beeinflusst.

Der Teller Drack 3 ist der häufigste Typ – fast ebenso häufig wie der Teller Drack 2 der Gruppe A –, gefolgt von der Schüssel Drack 19 (Tab. 11). Die übrigen Typen sind selten. Die schwarze Technik ist bei allen Formen gut vertreten. In La Péniche sind die schwarzen Formen seltener¹⁷¹. Schwarze Teller Drack 3 erscheinen ab der neronischen Holzbauperiode II und werden immer häufiger. Das gleiche gilt für die Schüssel Drack 19, die in schwarzer Technik erstmals in der claudischen Holzbauperiode I.3 auftritt. Da die Vorliebe für die schwarze Farbe bei den vorliegenden Typen nicht mehr auf ein allfälliges schwarzes Vorbild zurückgeführt werden kann, ist zu fragen, ob die Eigenheit nicht in der keltischen Tradition gründet (Paunier 1986, 265), ist doch die feinere Keramik in keltischer Tradition mehrheitlich schwarz (Kap. 4.5.2.).

Der Teller Drack 3 weist drei Grössen auf, die Schüssel Drack 19 deren zwei (s. unten). Der Teller Drack 3 lässt sich in fünf Untertypen gliedern: mit kurzem, geschwungenem Rand¹⁷²; mit kurzem, ziemlich geradem und senkrecht stehendem Rand (Nr. 443.515–518.692.1884); mit kleiner Wulstlippe entsprechend dem Typ Drack 3B (Nr. 139.773.774.798.904.1068); mit niedrigem, schrägem Rand (Nr.1070.1413.1757.1759); mit hohem, schrägem Rand (Nr.1037.1069.1178.1228.1279.1540.1758.1840.1860). Die ersten drei Formen kommen in den Holzbauperioden und den ersten Phasen der Steinbauperiode I vor, also im ganzen 1. Jh. Beim Exemplar Nr.1884 aus der Steinbauperiode II.2 des späten 2. Jh. dürfte es sich um ein verlagertes Stück einer älteren Schicht handeln. Die schrägen Ränder hingegen erscheinen erst in der trajanischen Steinbauperiode I.3 und lösen die vorangegangenen Formen vollständig ab. Die spätere Zeitstellung der schrägen Ränder ist schon andernorts aufgefallen¹⁷³. Der hohe, schräge Rand erinnert an die Form Lamboglia 5/Hayes 4 der afrikanischen Terra Sigillata chiara A, die vor allem im späten

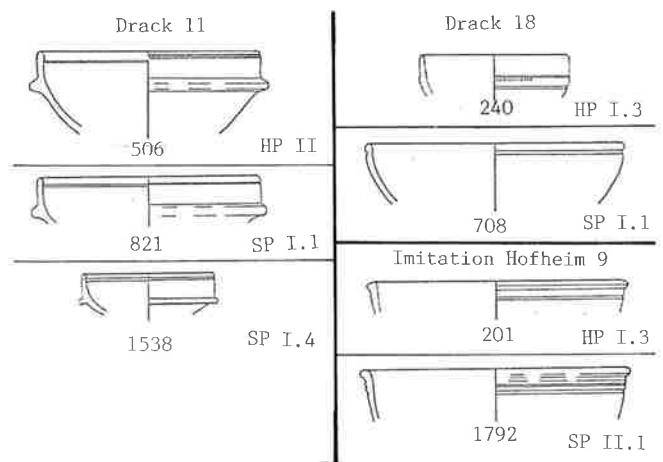


Abb. 83. TS-Imitation. Gruppe B. Schälchen. Formen und ihr Auftreten in den einzelnen Phasen. M ca. 1:4.

1. Jh., mit dem einfachen Untertyp bis ins 2. Jh. belegt ist (Ricci 1985, 153).

Bei der Schüssel Drack 19 lässt sich, wie erwähnt, ein Untertyp mit kurzem, im Querschnitt dreieckigem Kragenrand definieren (Nr. 43.83.316.656.1446, evtl. Nr. 351), der zur Hauptsache in den frühen Schichten vorkommt. Es treten drei weitere Untertypen auf: mit längerem, im Querschnitt dreieckigem Kragenrand (Nr. 906.907.1039.1229.1542); mit im Querschnitt rechteckigem Kragenrand (Drack 19Ab)¹⁷⁴; mit nach unten gebogenem Rand (Drack 19B; Nr.1607). Zwei der Formen erscheinen ab flavischer Zeit und dominieren im 2. Jh.; die letzte Form tritt offenbar erst ab der Mitte des 2. Jh. auf.

Die Typen der Gruppe B sind in den Holzbauperioden, speziell ab der claudischen Phase 3 der Holzbauperiode I, bis in die Mitte des 2. Jh. gut vertreten. In der 2. Hälfte des 2. Jh. scheinen sie, ähnlich wie das Vorbild, nur noch vereinzelt vorzukommen. Die vor allem beim Teller Drack 3 fast nahtlose Ablösung der älteren durch die jüngeren Formen ist ein Indiz, dass die Ensembles, insbesondere jene der Steinbauperioden, nicht sehr stark von einer Vermischung mit älteren Schichten beeinträchtigt sein können.

171 Drack 3: 23% (Lauer 1980, 17); Drack 19: 33% (a.a.O. 25).

172 Nr. 243–245.313.314.453.511–514.739.1278.

173 Drack 1945, 71. Die dort angegebenen absoluten Zeitansätze sind jedoch zu früh. Sie orientieren sich an der damals gültigen Sigillata-

chronologie sowie der Herstellungstechnik und basieren nicht auf geschlossenen Fundkomplexen.

174 Nr. 984.1074.1138.1332.1608–1610.1762.

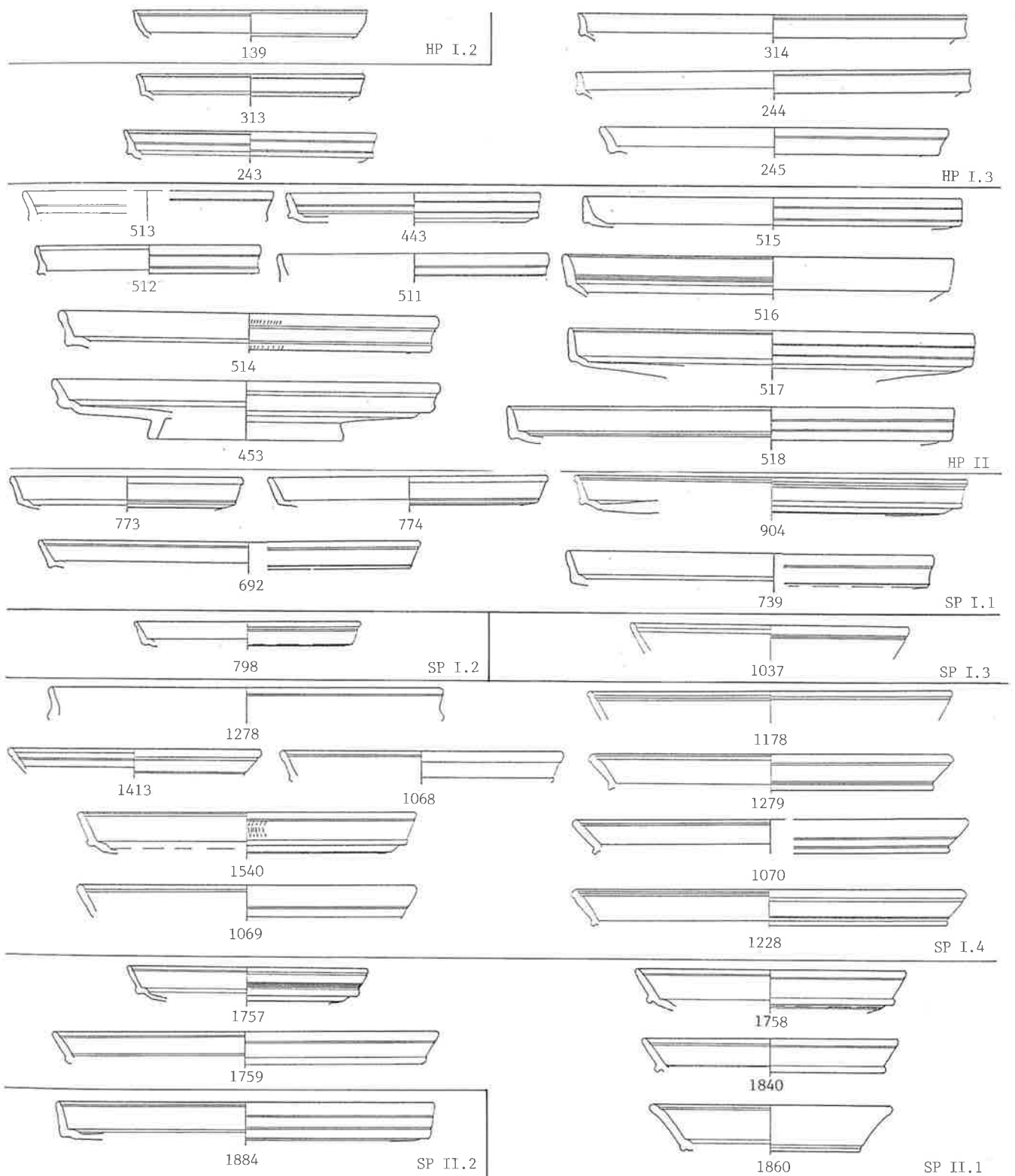


Abb. 84. TS-Imitation. Gruppe B. Teller Drack 3. Formen und ihr Auftreten in den einzelnen Phasen. M ca. 1:4.

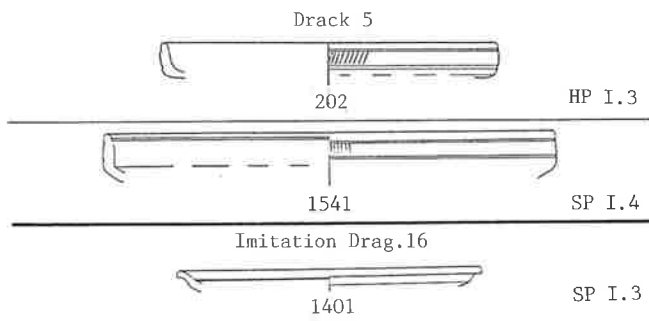


Abb. 85. TS-Imitation. Gruppe B. Teller. Formen und ihr Auftreten in den einzelnen Phasen. M ca. 1:4.

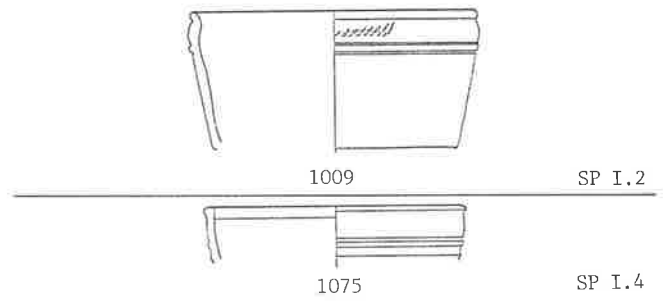


Abb. 87. TS-Imitation. Gruppe B. Schüssel Imitation Drag. 29/30. Formen und ihr Auftreten in den einzelnen Phasen. M ca. 1:4.

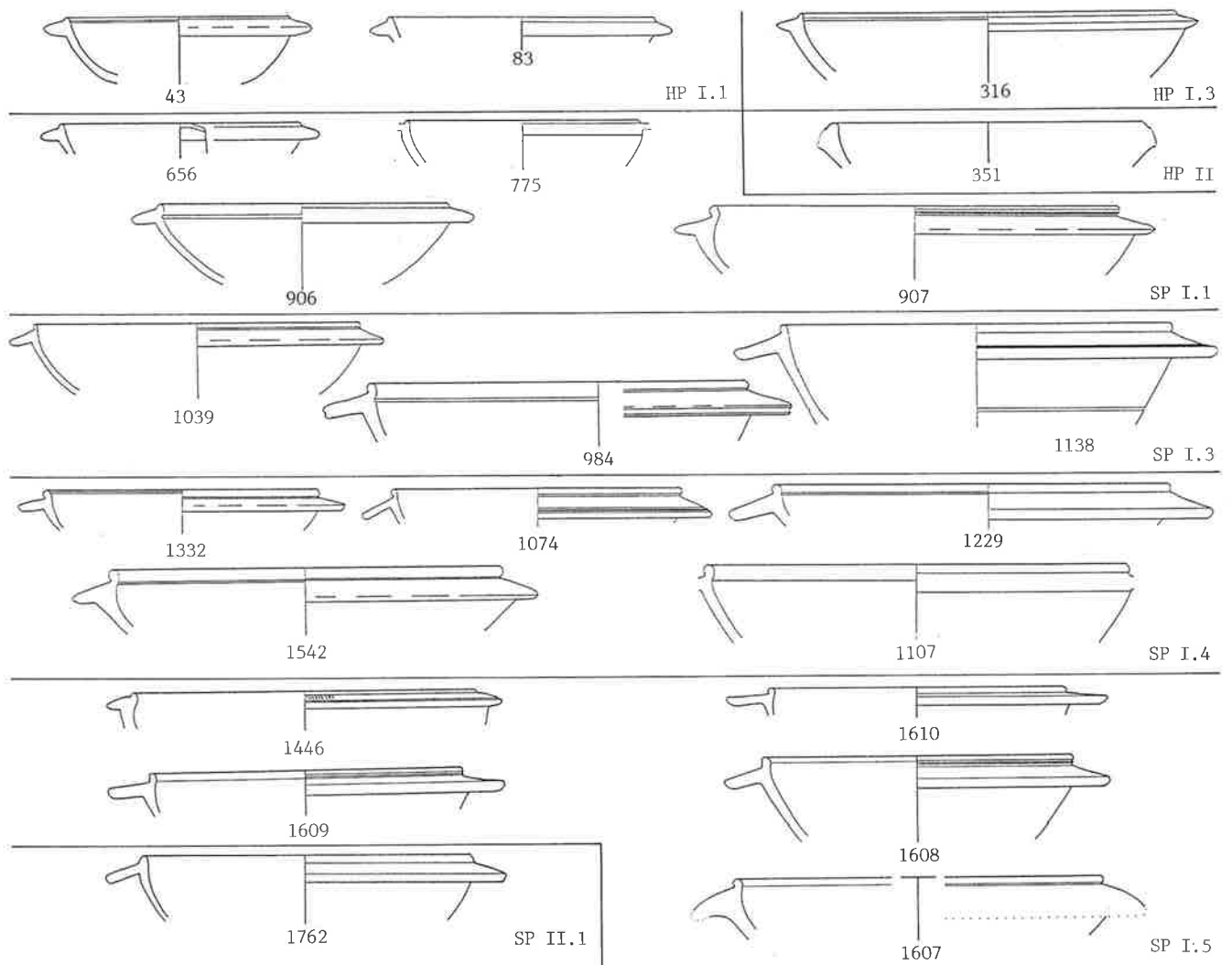


Abb. 86. TS-Imitation. Gruppe B. Schüssel Drack 19. Formen und ihr Auftreten in den einzelnen Phasen. M ca. 1:4.

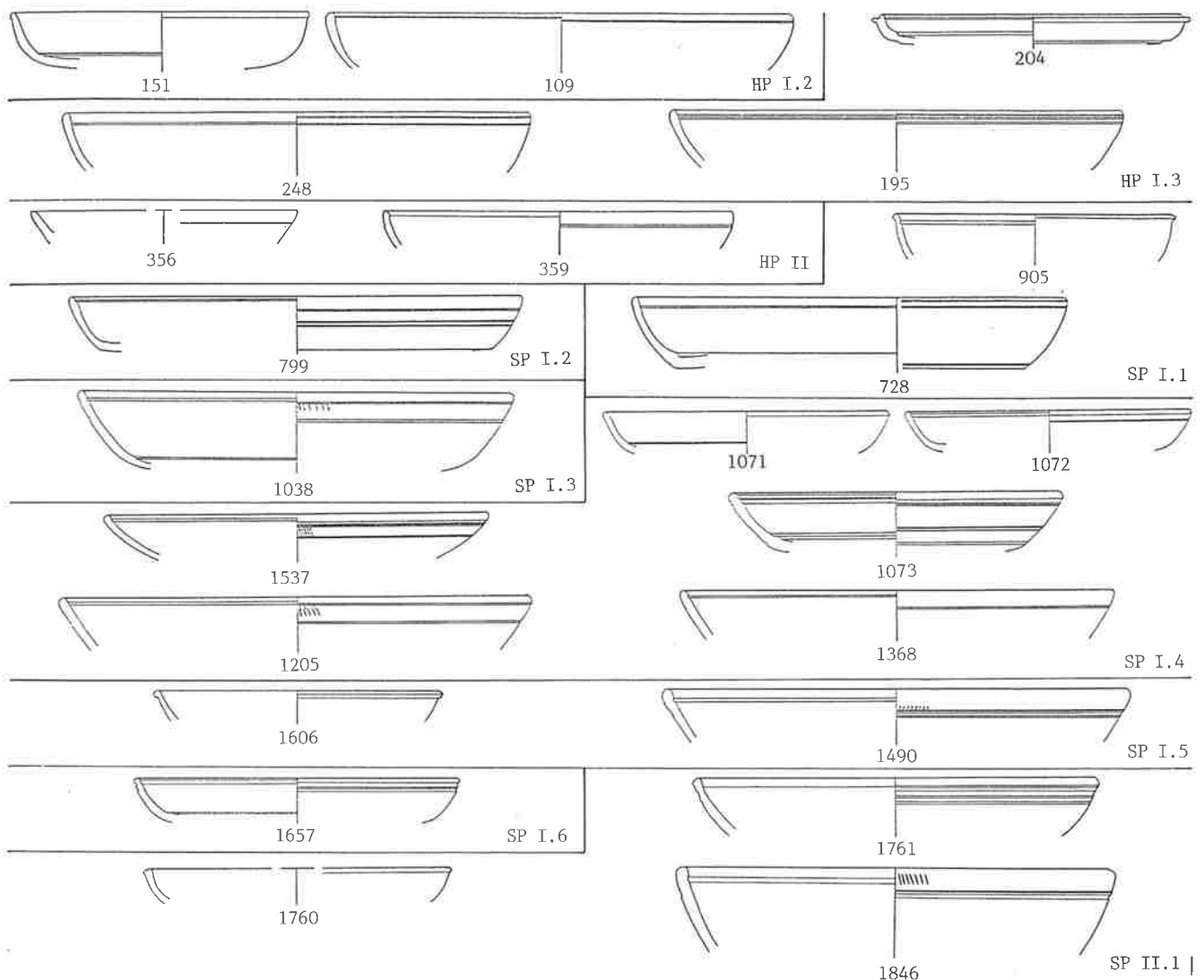


Abb. 89. TS-Imitation. Gruppe C. Teller Drack 4B. Formen und ihr Auftreten in den einzelnen Phasen. M ca. 1:4.

Gruppe C (Abb. 88.89)

Diese Gruppe besteht aus Schälchen Drack 13 sowie Tellern Drack 4B und Imitation Drag. 16. Auch sie imitieren südgallische Vorbilder: Drack 13 das Schälchen Drag. 27 und Drack 4B mit der mehr oder weniger starken Betonung der Lippe durch eine Rille oder einen Wulstrand wohl den Teller Drag. 18¹⁷⁵. Eine der italischen Ausformungen des Tellers Drag. 18, Consp. 3.1, weist innen ebenfalls häufig eine Rille auf (Ettlinger et al. 1990, 56).

Der Teller Drack 4B ist der mit Abstand häufigste Typ – er ist auch im Gesamtbestand der Imitation gut vertreten – während die übrigen Typen selten sind (Tab. 11). Die Hälfte der Exemplare sind schwarz, ähnlich wie bei den Typen

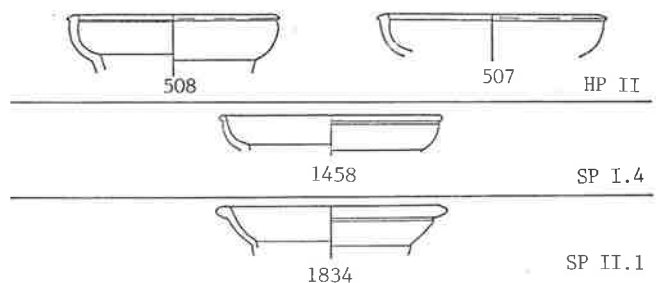


Abb. 88. TS-Imitation. Gruppe C. Schälchen Drack 13. Formen und ihr Auftreten in den einzelnen Phasen. M ca. 1:4.

der Gruppe B. Anders in La Péniche: Dort sind nur 10% der entsprechenden Teller in schwarzer Technik ausgeführt (Lauer 1980, 17).

175 Drack 1945, 71f. fasst die Typen 4A und 4B wie auch ihre Vorbilder Haltern 4 (Consp. 4.4) und Hofheim 2/Drack. 18 zusammen, was das Bild verwirrt.

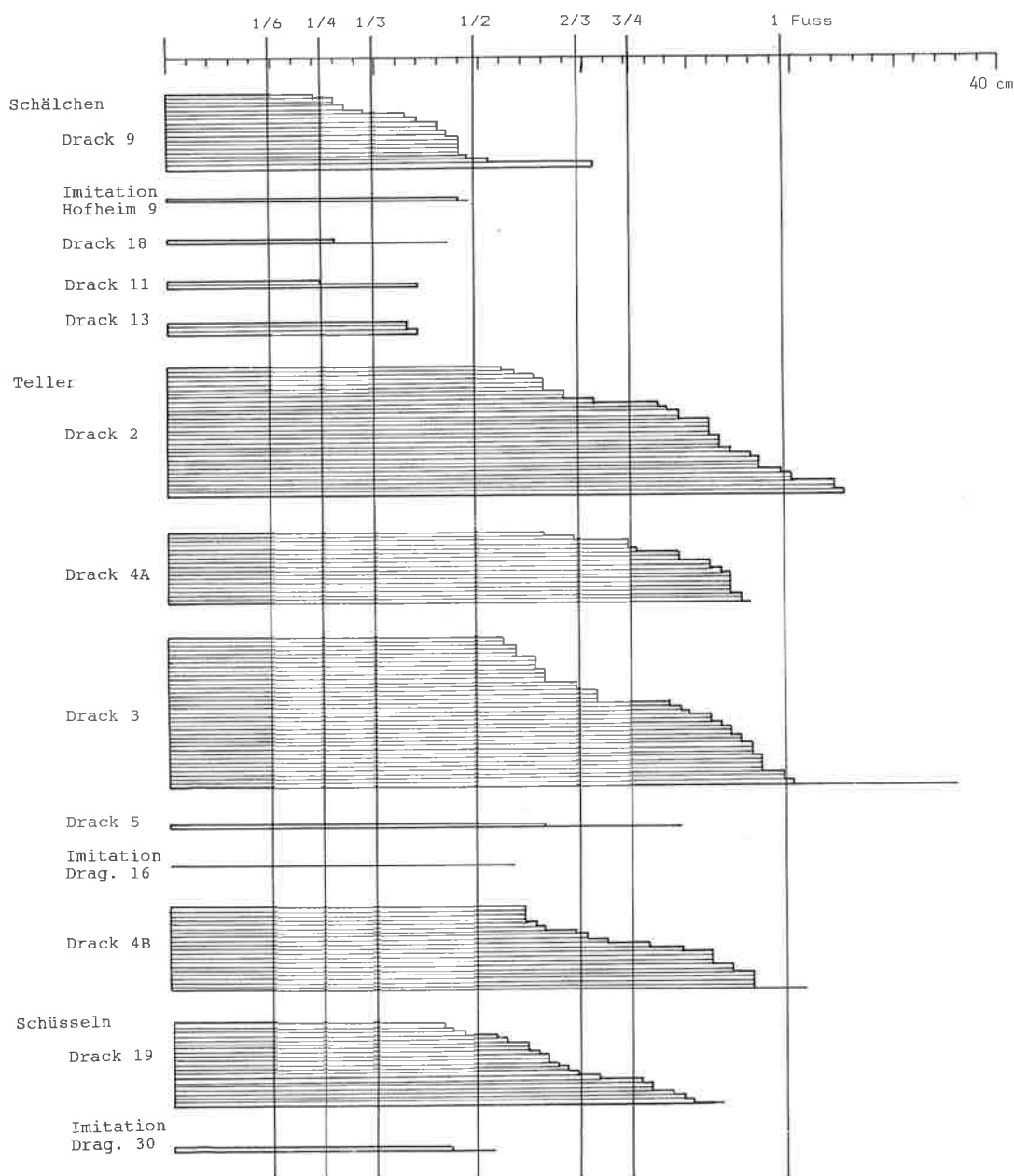


Abb. 90. TS-Imitation. Verteilung der Grössen.

Der Teller Drack 4B kommt in zwei Grössen vor (s. unten). Es lassen sich drei Untertypen und eine Variante definieren: mit Rille (Nr. 109.195.248.356.359.728.799.1072.1073.1368); mit Wulstlippe (Nr. 151.905.1071.1606.1657.1760.1761) und Variante mit Leiste (Nr. 204); mit Rille und Riefelband (Nr. 1038.1205.1490.1537.1846). Das erste Stück (Nr. 1038) des letzten Untertyps zeigt eindeutig, dass es sich um Teller und nicht um Schüsseln oder Schalen handelt. Neben dem Akzent aussen unter der Lippe verweist auch der Absatz innen zum Boden auf das Vorbild Drag. 18 (z. B. Nr. 339) hin. Die erste Form erscheint ab den Holzbauperioden bis zur hadrianischen Phase 4 der Steinbauperiode I. Sie ist als die Frühform anzusehen. Der zweite Untertyp, der das Vorbild am getreuesten imitiert,

kommt wie jenes in fast allen Phasen vor. Die letzte Form mit Riefelband erscheint erst in der trajanischen Steinbauperiode I.3. Sie ist ausschliesslich in schwarzer Technik angefertigt und scheint als Spättyp den Frühtyp abzulösen.

Die Typen der Gruppe C sind ab der spätkaiserlichen Holzbauperiode I.2 ähnlich dem Vorbild in allen Phasen gut vertreten.

Grössen

Wie beim Vorbild (Abb. 67–69) sind auch bei den TS-Imitationen oft mehrere Grössen festzustellen (Abb. 90). Bei den Schälchen der Gruppe A treten neben grossen Ex-

emplaren über 14/15 cm ($\frac{1}{2}$) und einer mittleren Gruppe sowie ganz kleine Stücke unter 8/9 cm ($\frac{1}{4}$) auf, die im vorliegenden Material beim Vorbild fehlen¹⁷⁶. Die Schälchen der übrigen Gruppen sind selten, so dass sich eine Grenze etwa bei 8 cm ($\frac{1}{4}$) höchstens errahnen lässt, womit sie aber dem Vorbild entsprechen.

Bei den Imitationstellern fehlt wie beim Vorbild die kleinste Gruppe mit einem Durchmesser von um die 10 cm. Die Grenze zwischen mittleren Tellern und Platten liegt mit 20 cm ($\frac{2}{3}$) bis 22 cm ($\frac{3}{4}$) etwa im Bereich der Vorbilder. Einige Platten Drack 2 und einzelne Platten der Gruppen B und C erreichen eine Grösse von über einem Fuss (30 cm). In La Péniche trennen sich die Teller Drack 3 bei 19/22 cm und die Teller Drack 4B bei 18/22 cm von den entsprechenden Platten (Laufer 1980, 17).

Anders als ihr Vorbild liegen die Schüsseln Drack 19 in zwei Grössen vor, die sich bei der von den Sigillatateuern bekannten Grenze bei $\frac{2}{3}$ (20 cm) voneinander abgrenzen lassen. Die grösseren Exemplare scheinen etwas häufiger zu sein als beim Vorbild. Eine ähnliche Grenze (16/22 cm) ist in La Péniche festzustellen (a.a.O. 25).

4.3.3. Imitation von Firniskeramik (Nr. 741)

In der vespasianischen Steinbauperiode I.1 fand sich ein Firnisbecher, dessen oranger, leicht mehliges Ton und dessen weicher Überzug sich in nichts unterscheiden von der in der Region angefertigten helltonigen feineren Ware wie der TS-Imitation, der Glanztonkeramik und der feineren Stücke (z.B. Krüge) der Gebrauchskeramik (Kap. 4.3.2.; 4.3.5.; 4.3.6.). Die Unterschiede zur importierten Firniskeramik hingegen sind gross (Kap. 4.2.2.). Es dürfte sich um eine Imitation derselben handeln. In der Form gleicht der Becher einem in der gleichen Phase gefundenen Importstück (Nr. 771), das vermutlich aus dem Lyoner Atelier La Butte stammt (Kap. 4.2.2.). Die Imitation ist vielleicht in Vindonissa hergestellt worden, wo eine Produktion von Firniskeramik minderer Qualität vermutet wird (Ettlinger/Simonett 1952, 38).

4.3.4. Imitation von pompejanisch-roten Platten (Abb. 91)

Im vorliegenden Material kommen drei Teller und Platten vor, deren helloranger, teilweise mit Glimmer versetzter, feiner Ton sich nicht von jenem der in der Region hergestellten helltonigen Keramik unterscheidet (Kap. 4.3.6.;

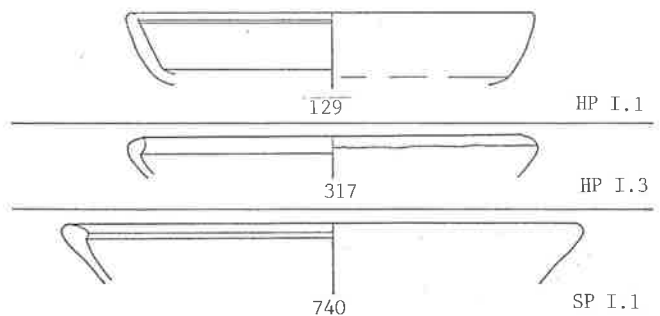


Abb. 91. Imitation pompejanisch-roter Platten. Varianten und ihr Auftreten in den einzelnen Phasen. M ca. 1:4.

4.5.1.). Innen weisen sie einen roten Überzug auf. Damit imitieren sie die aus Italien importierten pompejanisch-roten Platten (Vegas 1975, 34; Paunier 1981, 258), von denen sie sich in der Tonqualität jedoch klar absetzen (Kap. 4.2.8.). Wie die Importstücke weisen sie oft Brandspuren vom Gebrauch als Backplatten auf. Die Durchmesser von 22 cm bzw. 22,5 cm und 28 cm lassen zwei Grössen vermuten, wie wir das auch vom Vorbild her kennen.

Das frühe Stück aus der tiberischen Holzbauperiode I.1 (Nr. 129) steht dem Vorbild nahe (Abb. 74). Anders die beiden jüngeren Exemplare: Der Teller aus der claudischen Holzbauperiode I.3 (Nr. 317) weist einen nach innen gebogenen, verdickten Rand auf und die Platte aus der vespasianischen Steinbauperiode I.1 (Nr. 740) einen nach innen verdickten Rand. Damit erinnern sie an Nöpfe keltischer Tradition (z.B. Nr. 393.395.1148.1796). Im Mittelmeergebiet ist diese Randbildung nicht geläufig (Goudineau 1970, Taf. 1–3; Vegas 1973, Abb. 16). Bei den pompejanisch-roten Platten italischer Herkunft ist nämlich folgende Entwicklung zu beobachten: Im 3./2. Jh. v. Chr. sind die Ränder nach aussen gebogen (Goudineau 1970, Taf. 4–6). In der 1. Hälfte des 1. Jh. v. Chr. kommen zusätzlich nach aussen verdickte sog. mandelförmige Ränder auf, während sich die nach aussen gebogenen Ränder zu einer Wulstlippe verkürzen (Goudineau 1970, Taf. 7.8; Vegas 1975, 33). Die Form der augusteischen Zeit und des 1. Jh. n. Chr. ist der einfache Rand, wie wir ihn von den Badener Importstücken her kennen. Im Gegensatz zu den vorliegenden Imitationen sind die verdickten Ränder der italienischen Stücke stets nach aussen verdickt¹⁷⁷. Mit der keltischen Form sind diese Stücke eigentlich der Gruppe der Keramik mit keltischer Form und römischer Technik (Kap. 4.4.) zuzuordnen, was in den Tabellen auch geschehen ist.

176 Allerdings mag dies an deren geringen Anzahl liegen.

177 Einzig ein Stück aus einer Schicht des mittleren 1. Jh. v. Chr. aus Bolsena weist eine entfernte Ähnlichkeit mit der Platte aus der SP I.1 (Nr. 740) auf. Zwischen den beiden Stücken liegt aber ein Zeitraum

von über 100 Jahren oder mindestens 50 Jahren, wenn das Badener Stück wie andere aus der gleichen Phase ursprünglich aus einer älteren Schicht stammt.

4.3.5. Glanztonkeramik

Im Keramikbestand liegen Scherben von Gefässen vor, deren oranger, manchmal leicht mehlig, teilweise fein gemagerter Ton dafür spricht, dass sie in der Region hergestellt worden sind. Sie weisen einen meist orangen Überzug aus fein geschlämmtem Ton auf. Damit stehen sie technologisch in der gleichen Mittelmeertradition wie die Sigillata, die Firniskeramik und deren Imitationen (Paunier 1981, 33f.36f.). Gewisse Typen schliessen sich formal Vorbildern aus dem Mittelmeerraum an, während andere auf keltische Formen zurückzuführen sind (Kap. 4.4.2.). Einige lehnen sich an Sigillatatypes an, andere lassen sich von Metallgefässen herleiten (Paunier 1981, 34). Die Verbindung zu Metallgefässen unterstreicht vielleicht auch der häufige Zusatz von Goldglimmer im Überzug¹⁷⁸. Dieser lässt sich allerdings auch als Versuch erklären, den Glanz zu steigern, denn der Überzug der meisten Stücke ist matt. Nur selten ist der wohl angestrebte metallische Glanz erreicht (Nr. 1230.1767).

Die Glanztonkeramik mit römischen Formen ist mit nur 27 Randfragmenten im vorliegenden Material selten (Tab. 20) – an der Keramik in römischer Tradition (506 RS) beträgt ihr Anteil 5%. Sie erscheint ab der vespasianischen Steinbauperiode I.1¹⁷⁹. Ihr Anteil steigt erst im spätesten 2. Jh. an.

Es kommen drei Hauptformen vor: Gut die Hälfte der Scherben stammen von Schüsseln unterschiedlicher Randbildung, ein Drittel von einfachen Tellern. Krüge sind selten. Teller wie Schüsseln sind am Rand teilweise geschwärzt, was vermuten lässt, dass in ihnen nicht nur Speisen aufgetragen, sondern auch am Feuer gewärmt wurden.

Der Krug (Abb. 92) ist eine alte Mittelmeerform (Roth-Rubi 1979, 13f.). In der Antike nannte man ihn *lagoena* (Hilgers 1969, 61ff.). Im keltischen Keramikinventar ist er eine Fremdform (Berger 1974, 77).

Die Schüsseln mit kleiner Wulstlippe (Abb. 93) imitieren im weitesten Sinn die Sigillataschüssel Drag. 37¹⁸⁰. Die flachen Schalen (Abb. 93) erinnern an Metallschalen des 1./2. Jh. (Radnóti 1938, 94 Taf. 7,33). Die Schüssel mit Horizontalrand (Abb. 93) könnte ebenfalls von einer Metallform inspiriert sein¹⁸¹. Vor allem erinnert sie an kleine Kochschüsseln, wie sie, wenn auch ohne Überzug, seit republikanischer Zeit in Italien geläufig waren (Kap. 8.2.2.). Diese Kochschüsseln gelten als Nachahmung des metalle-

nen Kochkessels, der über dem Feuer hing¹⁸². Die gleiche Form ist auch ohne Überzug oder mit nur einem Goldglimmerüberzug versehen hergestellt worden (Abb. 101). Sie weist auf dem Rand manchmal einen Falz (Nr. 1231) oder Rillen (Nr. 1766) zur Aufnahme eines Deckels auf. Die Grösse schwankt zwischen 14 und 22,5 cm. Sie sind etwas kleiner als die Sigillataschüsseln Drag. 29 und Drag. 37, aber grösser als Drag. 30 und wohl auch Hofheim 12 (Abb. 69). Zur Schüssel mit Leiste (Nr. 858) fand sich keine gute Parallele. Die Form darf aber nicht dem keltischen Formengut zugerechnet werden (Kap. 7.2.2.). Vielleicht muss in ihr eine Sonderform der Kragenrandschüssel Drack 19 gesehen werden (Abb. 86).

Der einfache Teller (Abb. 94) erinnert an die pomejanisch-rote Platte (Abb. 74). Er steht in der Tradition einer alten Mittelmeerform (Vegas 1975, 33), die auch als Metallform, als Phiale, vorkommt (z. B. Delli Ponti 1973, Nr. 42–44). In Pompeij finden sich ähnliche Platten mit beidseitigem rotem Überzug (Anzecchino 1977, Abb. 2,16), ebenso in Settefinestre (Ricci 1985, Taf. 33,6). Auch dieser Typ ist ohne Überzug oder nur mit einem Goldglimmerüberzug versehen hergestellt worden (Abb. 98). Wie bei den Sigillatellern und deren Imitationen (Abb. 68.90) lassen sich zwei Grössen unterscheiden, mit einer Grenze bei 20 cm.

4.3.6. Orange Keramik

Die Herstellung von oranger Keramik in römischer Tradition ist, mindestens für das 2. Jh., in Aquae Helveticae nachgewiesen (Kap. 4.1.5.). Der Ton der Scherben ist fein, manchmal leicht mehlig, oft mit Glimmer versetzt, manchmal fein gemagert. Die Tonfarbe spielt von hellbeige bis dunkelorange/bräunlich. Im Kern ist der Scherben manchmal grau. Heller, rötlicher Ton ist typisch für die Gebrauchskeramik des Mittelmeergebietes¹⁸³. Die in der vorliegenden Gruppe zusammengefassten Formen lassen sich alle von Typen herleiten, die im Mittelmeerraum seit langem heimisch sind (Kap. 8.2.2.; Abb. 179).

Mit 224 Stücken ist die orange Keramik römischer Tradition im Gesamtbestand gut vertreten (Tab. 20). Unter der Keramik in römischer Tradition (506 RS) ist es die häufigste Gattung (44%). Der Anteil in den Ensembles nimmt im Laufe der Zeit leicht zu.

178 Bezeichnenderweise weisen die gleichen Formen der orangen Keramik ebenfalls einen Goldglimmerüberzug auf (s. Kap. 4.3.6.).

179 Bei der Schüssel aus der HP I.1 (Nr. 85) dürfte es sich um einen sog. Fehllauf handeln (Kap. 5.3.1.).

180 Kaenel 1974, 15; Taf. 4,38.39; Ettliger/Roth-Rubi 1979, 75; Taf. 27,1.

181 Radnóti 1938, 86 Taf. 6,29. Griffschalen aus Ton wurden etwa in der sog. Wetterauer Ware hergestellt (Rupp 1987, Taf. 15, E1–E5). Sie weisen allerdings eine andere Profilierung auf als die Badener

Schüsseln. Anders auch das Beispiel aus Holdeurn mit stark ausladendem Horizontalrand (Holwerda 1944, Taf. 1,4).

182 Ettliger/Simonett 1952, 12; Anzecchino 1977, 108 Taf. 50,1,2.

183 Dazu Kap. 8.2.1. In Cosa ist die Gebrauchskeramik durchwegs orange (Dyson 1976, 14). In Ostia kommt grauer Ton fast ausschliesslich bei einer Form, der Kanne, vor (Carandini/Panella 1973, 405). In Settefinestre sind nur zwei von zwanzig Tongruppen der Gebrauchskeramik grau, sie sind überdies sehr selten (Ricci 1985, 330f.).

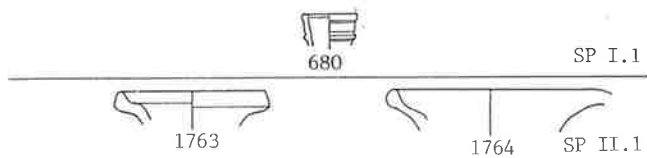


Abb. 92. Glanztonkeramik römischer Form. Krüge. Varianten und ihr Auftreten in den einzelnen Phasen. M ca. 1:4.

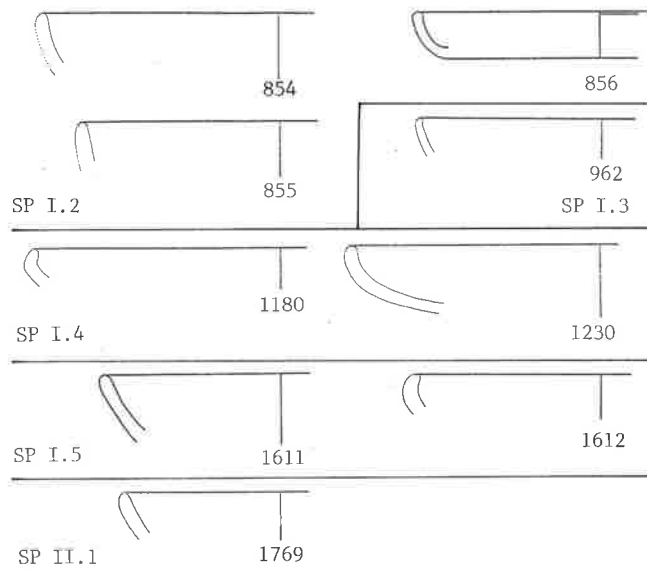


Abb. 94. Glanztonkeramik römischer Form. Teller. Varianten und ihr Auftreten in den einzelnen Phasen. M ca. 1:4.

Es kommen sechs Grundformen vor (Tab. 13): Am häufigsten sind die Krüge, gefolgt von den Deckeln, den Reibschüsseln, den Schüsseln und den Töpfen, während die Teller eher selten sind. In der 1. Hälfte des 1. Jh. setzt sich die orange Keramik römischer Tradition vor allem aus Krügen zusammen. Im 2. Jh. nimmt der Anteil der Deckel und Schüsseln zu, während die Reibschüsseln und Töpfe sich ziemlich gleichmässig über die Zeit verteilen.

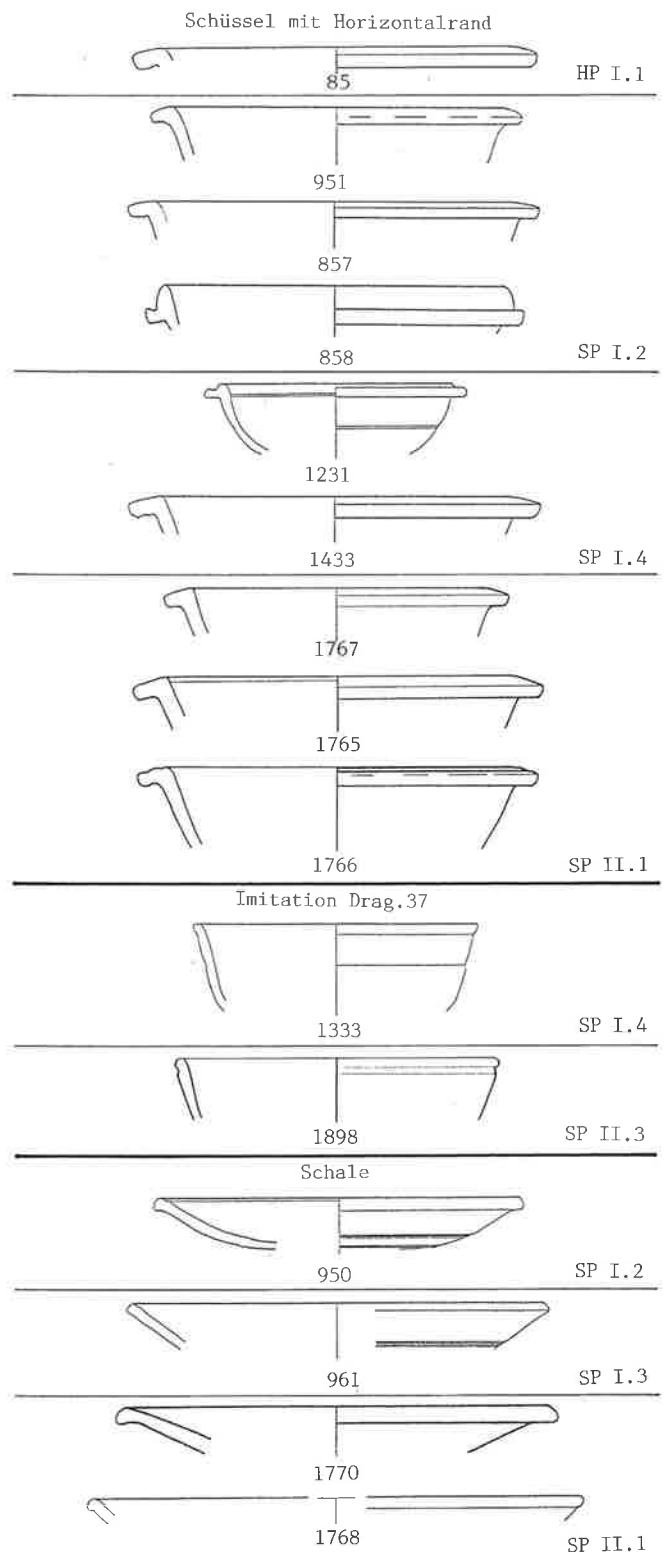


Abb. 93. Glanztonkeramik römischer Form. Schüsseln und Schalen. Varianten und ihr Auftreten in den einzelnen Phasen. M ca. 1:4.

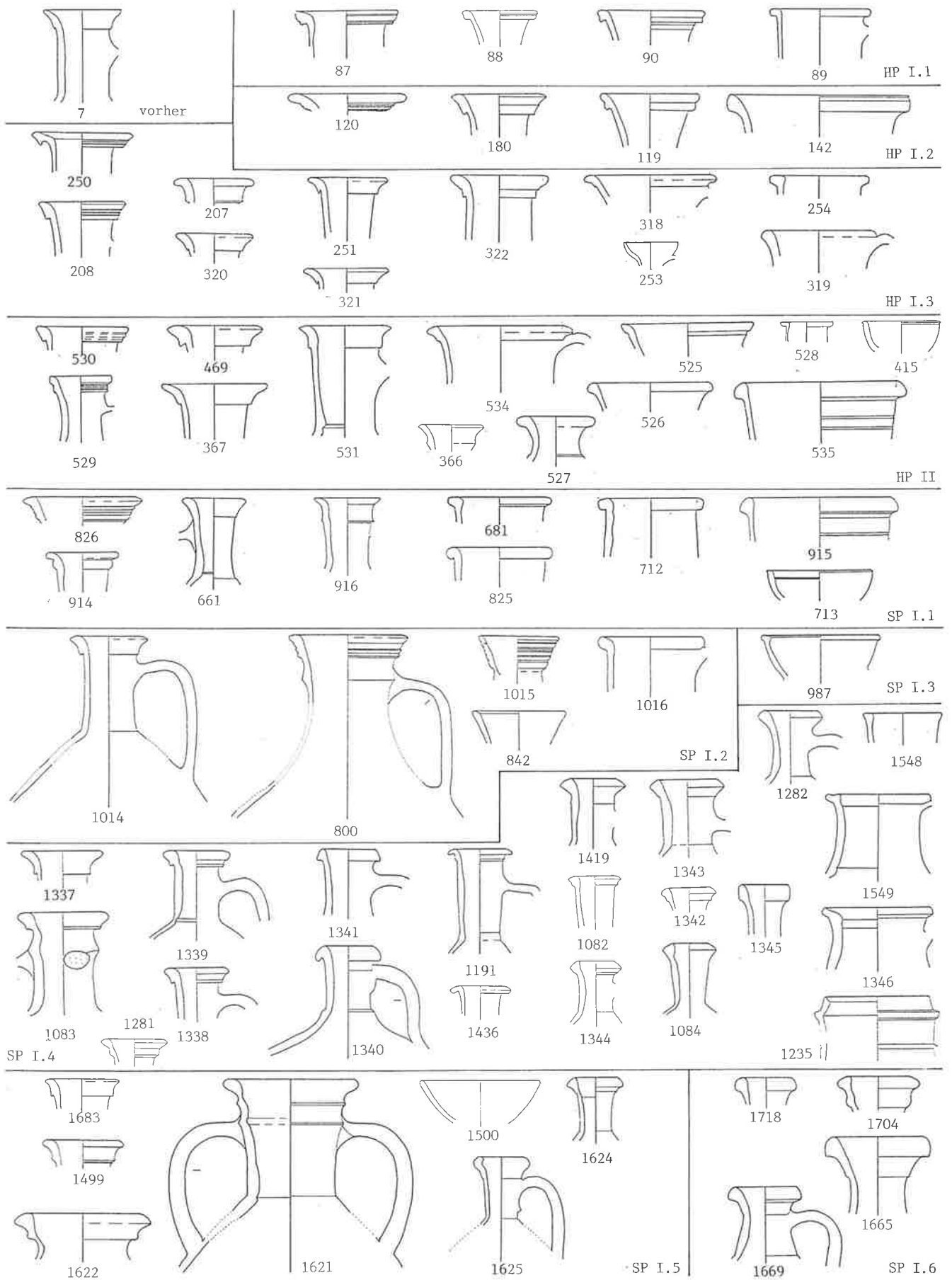


Abb. 95. Helltonige Keramik römischer Tradition. Krüge der Holzbauperioden und der Steinbauperiode I. Varianten und ihr Auftreten in den einzelnen Phasen. M ca. 1:4.

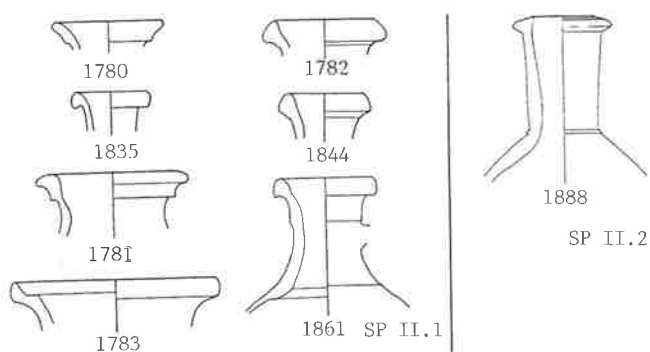


Abb. 96. Helltonige Keramik römischer Tradition. Krüge der Steinbauperiode II. Varianten und ihr Auftreten in den einzelnen Phasen. M ca. 1:4.

Krüge (Abb. 95.96)

Als typisch mediterrane Form – in der Antike nannte man ihn *lagoena* – ist der Krug dem keltischen Keramikinventar fremd (Kap. 7.2.2.). Der Mündungsdurchmesser der vorliegenden Exemplare liegt zwischen 4 und 14 cm, wobei Stücke über 10 cm selten sind.

Die Krügeränder sind ausserordentlich vielgestaltig. Es lassen sich fünfzehn Untertypen definieren: mit glattem Kragenrand¹⁸⁴; mit gerilltem Kragenrand¹⁸⁵; mit nahezu geradem Rand und Wulstlippe¹⁸⁶; mit schräggestelltem Wulstrand (Nr. 142.525–527); mit kelchförmigem Rand (Nr. 253.415.713.987.1500); mit einfachem, nahezu senkrechtem Rand (Nr. 319.1282.1548), mit getrepptem Kragenrand¹⁸⁷; mit Schrägrand (Nr. 842.1015); mit dreieckig verdicktem Rand¹⁸⁸; mit verengtem Rand (Nr. 1235); mit bandförmigem Rand (Nr. 1345); mit abgewinkeltem Rand (Nr. 1346.1549); mit geschwungenem Rand (Nr. 1625); mit Kragenrand mit Wulstlippe (Nr. 1665.1669.1861); mit innen gekehltem Rand (Nr. 1783). Eine Entwicklung wie in Oberwinterthur¹⁸⁹ von feingestalteten zu einfachen Rändern ist in *Aquae Helveticae* nicht festzustellen. Die Profilierung bleibt auch im 2. Jh. differenziert. Die Kragenränder und die wulstigen Ränder kommen vom frühen 1. bis ins späte 2. Jh. vor, wobei die getreppten Kragenränder erst ab der claudischen Holzbauperiode I.3 erscheinen. Diese Langlebigkeit ist nicht auf eine Vermischung der Schichten zurückzuführen. Die erwähnten Formen, insbesondere die Kragenränder, sind nämlich nicht nur im 1. Jh. geläufig (s. etwa Roth-Rubi 1979, 26), sondern auch im 2. Jh., wie Beispiele aus Hesselbach¹⁹⁰, Heddernheim-Periode IIA (Fischer 1973, Abb. 59,1) und Altstadt-Periode 4 (Schönberger/Simon 1983, CVIII16–18.20.27–30) zeigen. Ein, wenn auch flauer, kaum mehr abgesetzter Kragenrand

184 Nr. 7.207.251.320.321.367.469.531.661.1014.1337.1499.1623.1683.1780.
185 Nr. 87.88.90.119.120.180.208.250.322.529.530.800.826.914.916.1083.
1281.1338.1339.1781.
186 Nr. 89.254.528.535.681.712.825.915.1016.1340.1341.1436.1718.1835.
187 Nr. 318.366.534.1191.1621.1622.1704.

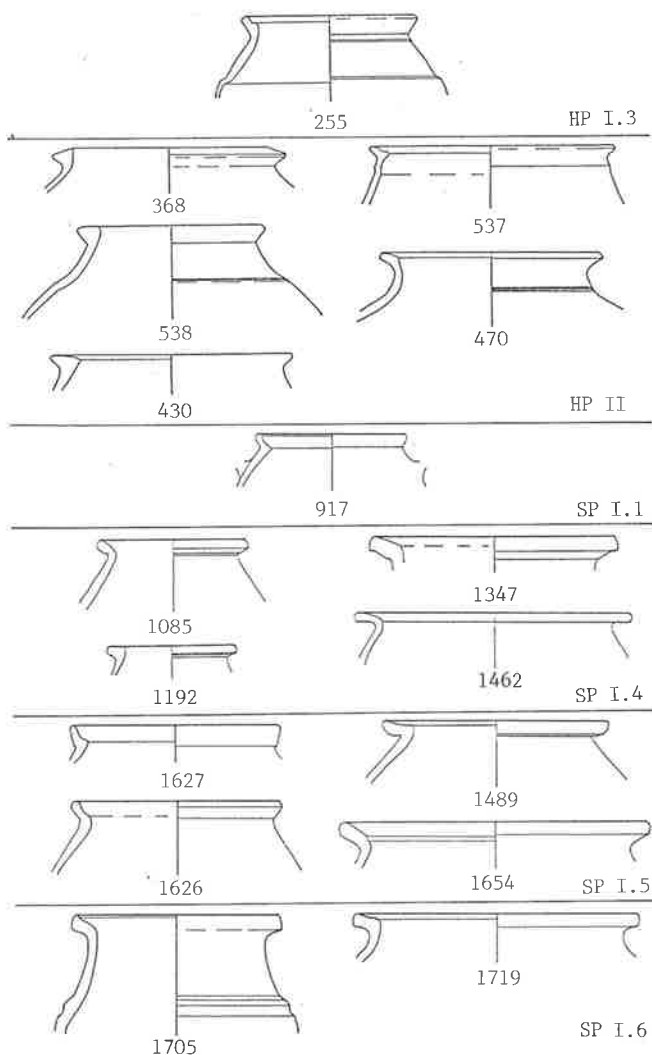


Abb. 97. Helltonige Keramik römischer Tradition. Töpfe. Varianten und ihr Auftreten in den einzelnen Phasen. M ca. 1:4.

ist aus Niederbieber bekannt (Oelmann 1914, Abb. 39,1). Der dreieckig verdickte Rand erscheint erst ab der hadrianischen Steinbauperiode I.4, der Kragenrand mit Wulstlippe erst in der 2. Hälfte des 2. Jh. Auch die eher seltenen Formen wie der Schrägrand oder der innen gekehlte Rand sind chronologisch relevant, wie die Vergleiche mit datierten Fundplätzen zeigen (Kap. 5.5.2.; 5.6.1.).

Töpfe (Abb. 97)

Im vorliegenden Material kommen topfähnliche Gefässe vor, die sich in der Profilierung von den helltonigen Töpfen keltischer Tradition (Abb. 117) unterscheiden. Ihre

188 Nr. 1082.1084.1342–1344.1419.1624.1782.1844.1888.
189 Rychener 1984, 61 Abb. 62; Rychener/Albertin 1986, 79 Abb. 83.
190 Baatz 1973, Taf. 16, E1a-f (glatter Kragenrand); E5b (getreppter Kragenrand); E9 (Wulstrand).

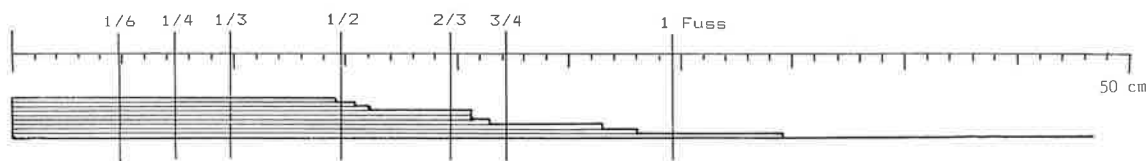


Abb. 99. Helltonige Keramik römischer Tradition. Verteilung der Grössen der Teller.

Ränder sind nicht sanft, in einem Schwung nach aussen gebogen, sondern meist ziemlich scharf abgewinkelt, nach aussen umgelegt (Nr. 470.1085.1347.1462.1489.1654.1705.1721). Häufig sind die Lippen dreieckig verdickt (Nr. 368.430.538.1192) oder weisen innen eine Kehle auf (Nr. 255.537.917.1626.1627), die wohl zur Aufnahme eines Deckels diente. Der Hals kann, wie die grösseren Fragmente zeigen (Nr. 255.538.1705.1719), vom Bauch abgesetzt sein. Bei einem Exemplar ist mindestens ein Henkel nachgewiesen (Nr. 917). Der Mündungsdurchmesser beträgt im Durchschnitt 12 cm mit einer Spannweite von 7–17 cm, was etwa den Töpfen keltischer Tradition entspricht (Kap. 4.5.1.). Im Unterschied zu diesen sind sie jedoch weder geglättet noch poliert.

Es dürfte sich zur Hauptsache um Gefässe handeln, die in der Antike *urceus* genannt wurden (Hilgers 1969, 83ff.). Sie zeichneten sich durch eine relativ breite Mündung, ein bis zwei Henkeln aus und waren meist mit einem Deckel versehen. Sie dienten zum Einmachen und Ansetzen von Früchten im weitesten Sinn (zu Wein, Most, Essig usw.) und zur Vorratshaltung (Honigtopf), offenbar aber auch als Wasserkrug. Ein- und zweihenklige kleine Vorratstöpfe sind im Mittelmeerraum seit langem bekannt (Kap. 8.2.2.).

Teller (Abb. 98)

Die helltonigen Teller treten mit zwei Randformen auf: mit nach aussen verdicktem Rand (Nr. 542.1144); mit einfachem Rand¹⁹¹. Wie die pomejanisch-roten Platten, bei denen im 1. Jh. v. Chr. der einfache Rand den nach aussen verdickten Rand ablöste (Kap. 4.3.4.), unterscheiden sie sich deutlich von den helltonigen Näpfen keltischer Tradition, die durchwegs einen nach innen verdickten Rand aufweisen (Abb. 121). Der Teller ist im spätkeltischen Keramikinventar eine Fremdform (Berger 1974, 77), während er im Mittelmeerraum seit langem geläufig ist (Vegas 1975, 33; Almagro-Gorbea 1982, 458; s. auch Kap. 8.2.2.).

Neben der einfachen Randform erinnert auch der Goldglimmerüberzug an die Glanztonteller (Abb. 94), der bei mehr als der Hälfte der Stücke auftritt (Nr. 539.1144.1349.1786.1787.1886). Es scheinen drei Grössen vorzukommen

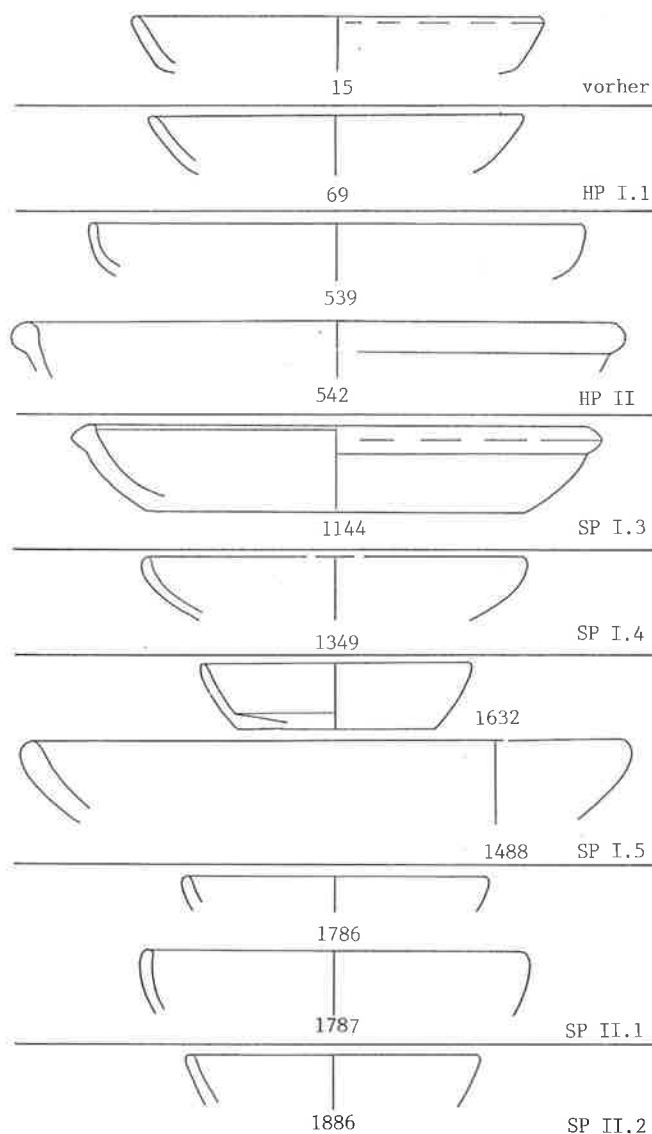


Abb. 98. Helltonige Keramik römischer Tradition. Teller. Varianten und ihr Auftreten in den einzelnen Phasen. M ca. 1:4.

(Abb. 99): Teller bis 16 cm, solche bis 22 cm sowie Platten. Das kleinste Format ist neu, es fehlt im vorliegenden Material bei den importierten Tellern und deren Imitationen (Abb. 68.90), ist aber noch immer etwas grösser als die in den Töpferrechnungen erwähnte kleinste Sigillataform. Eine Beeinflussung durch die feinkeramischen Näpfe keltischer Tradition ist nicht anzunehmen, da diese ebenfalls grösser sind (Kap. 4.5.1.).

191 Nr. 15.69.539.1349.1488.1632.1786.1787.1886.

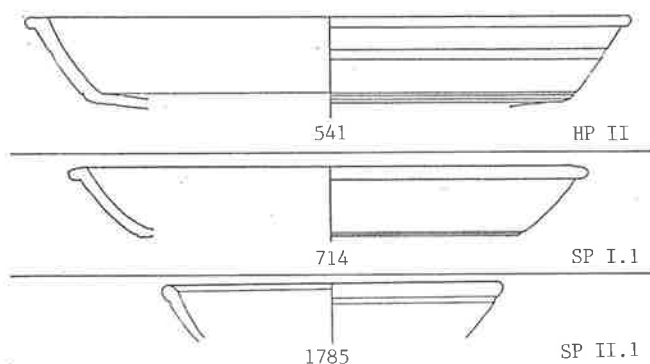


Abb. 100. Helltonige Keramik römischer Tradition. Schalen. Varianten und ihr Auftreten in den einzelnen Phasen. M ca. 1:4.

Schüsseln (Abb. 100.101)

Die Mündungsdurchmesser der Schüsseln liegen zwischen 15,5 cm und 21,5 cm. Sie sind etwa gleich gross wie die Glanztonschüsseln (Kap. 4.3.5.). Nur wenige Exemplare sind grösser. Es treten drei Unterformen auf: flache Schalen mit Horizontalrand (Nr. 541.714); Schale mit abgesetzter Lippe (Nr. 1785); Schüsseln mit Horizontalrand¹⁹². Die ersten Formen treten nur als Einzelstücke auf.

Die Schalen mit Horizontalrand (Abb. 100) erinnern an Metallformen (z. B. Brescak 1982, Taf. 13,120). Es ist wohl kein Zufall, dass ihre Oberfläche mit Goldglimmer ver setzt ist. Die Schale mit abgesetzter Lippe (Nr. 1785) könnte sich von fern an der Sigillataschüssel Drag. 37 (z. B. Nr. 768) oder an deren mit Glanzton überzogenen Imitation orientieren (Nr. 1898). Vielleicht versuchte man mit dem Goldglimmerzusatz an der Oberfläche den Glanztonüberzug nachzuahmen.

Helltonige, kleine Schüsseln mit Horizontalrand (Abb. 101) sind auch in Mittelitalien nicht unbekannt (Kap. 8.2.2.). Zum frühen Stück aus der vespasianischen Steinbauperiode I.1 (Nr. 827) findet sich eine Parallele in Settefinestre, die dort allerdings in die 1. Hälfte des 2. Jh. datiert (Ricci 1985, Taf. 25,14). Die Schüsseln mit Horizontalrand erinnern wie die mit Glanzton überzogenen Stücke einerseits an Metallvorbilder (Paunier 1981, 271 Nr. 774. 775), andererseits an kleine Kochschüsseln, wie sie in Italien geläufig waren. Diese werden, wie erwähnt, ebenfalls mit Metallvorbildern in Verbindung gebracht. Auf eine Metallimitierung könnten der häufig auftretende Goldglimmerüberzug (Nr. 827.1011.1448.1630.1706.1742.1843. 1885), der bezeichnenderweise bei den mit Überzug versehenen ebenfalls häufig auftritt, und die grobe Kerbverzierung (Nr. 1682) hindeuten (s. etwa Radnóti 1938, Taf. 6,28). Das letzte Fragment stammt vielleicht von einem sog.

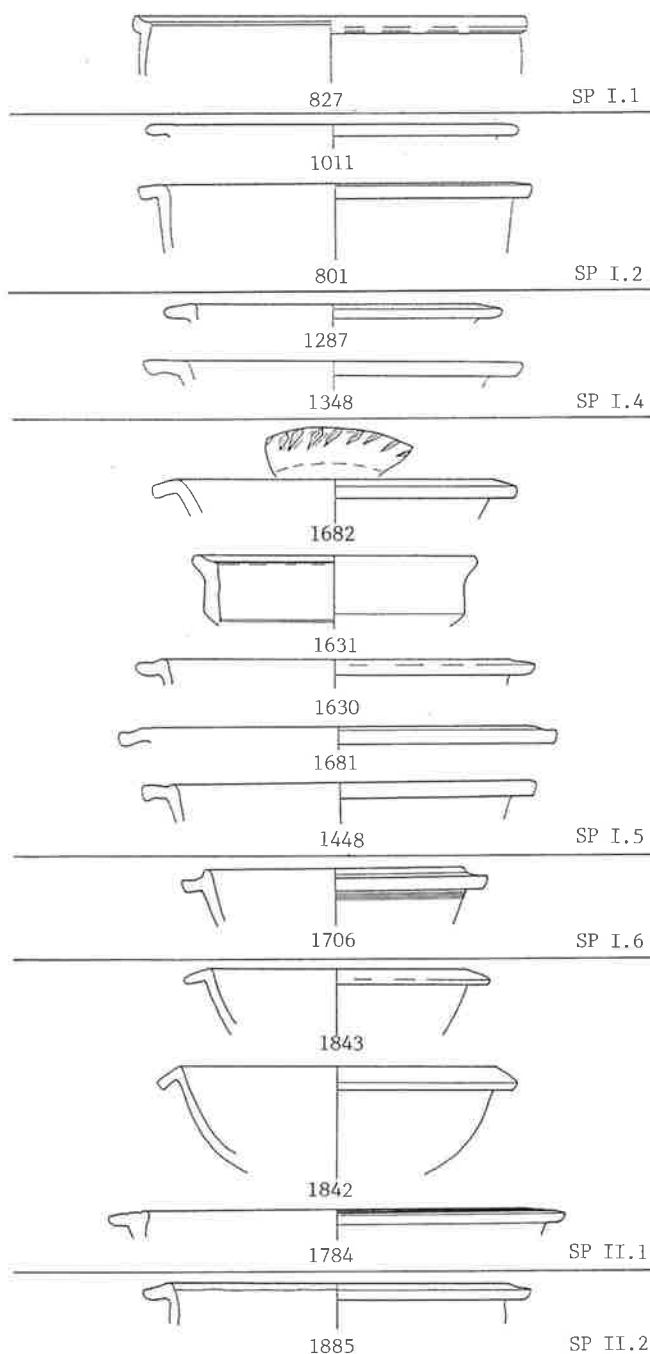


Abb. 101. Helltonige Keramik römischer Tradition. Schüssel. Varianten und ihr Auftreten in den einzelnen Phasen. M ca. 1:4.

Räucherkelch (Ettlinger/Simonett 1952, Nr. 143–145), ebenso Wandscherbe Nr. 1420 aus dem Bauhorizont der Steinbauperiode I.5 des 2. Viertels des 2. Jh. Der antike Name für Räuchergefässe ist *turibulum* (Hilgers 1969, 82f.). Gute Parallelen finden sich in einem grösser erhaltenen Fragment aus Oberstimm (Schönberger 1978, D363) und in Albintimilium (Lamboglia 1950, Abb. 10,40), die eher von Schüsseln als von Räucherkelchen stammen. Wie

¹⁹² Nr. 801.827.1011.1287.1348.1448.1630.1631.1681.1682.1706.1784.1842. 1843.1885.

bei den Glanztonschüsseln kommen neben glatten Horizontalrändern gefaltete und gerillte Ränder vor, die wohl zur Aufnahme eines Deckels dienten. Der Ton ist bei einigen Exemplaren relativ grob gemagert (Nr. 801.1287.1348.1448). Viele Stücke sind am Rand vom Gebrauch geschwärzt. Die Schüsseln mit Horizontalrand erscheinen erst ab der flavischen Steinbauperiode I.1.

Deckel (Abb.102)

Von den Deckeln, die in keltischer Tradition stehen (Abb.136), unterscheiden sich jene mit römischen Wurzeln durch die Machart – gedreht, statt von Hand aufgebaut – und durch das meist scharf gestaltete Profil wie es in Italien zu finden ist (Kap. 8.2.2.). Der antike Name ist *operculum* (Hilgers 1969, 70f.).

Es lassen sich fünf Untertypen umschreiben: drei mit geschweiftem Profil: mit eckigem Rand¹⁹³; mit spitzem bzw. rundem Rand¹⁹⁴; mit aufliegendem Rand (Nr. 933.1190.1286.1862); zwei mit geradem Profil; mit eckigem Rand (Nr. 965.1018.1080.1236.1416.1838.1899); mit rundem Rand¹⁹⁵. Das geschweifte Profil mit eckigem bzw. rundem oder spitzem Rand kommt vom frühen 1. bis ins spätere 2. Jh. vor. Die Variante mit aufliegendem Rand und die geraden Ränder erscheinen erst ab flavischer Zeit. Möglicherweise ist dieses Ergebnis jedoch durch Zufall, durch die relative Seltenheit der Deckel in den Schichten der Holzbauperioden, bestimmt und chronologisch nicht relevant. Denn Ränder mit geschweiftem wie mit geradem Profil finden sich in Italien schon in republikanischen Zusammenhängen (Kap. 8.2.2.), und gerade Ränder mit eckigem oder rundem Abschluss treten in Oberwinterthur-Kirchhügel schon in den frühesten Schichten auf (Rychener 1984, Abb. 63,102.221).

Die Durchmesser streuen ziemlich regelmässig im Bereich 8–28 cm, so dass sich, eher unerwartet, keine unterschiedlichen Grössen voneinander absetzen lassen. Nur wenige Exemplare sind kleiner oder grösser. Die kleineren Stücke dürften zu Töpfen, die mittleren zu Schüsseln und Tellern, die grösseren zu Platten gehören. Wie die Gefässe sind auch die Deckel am Rand vom Gebrauch häufig geschwärzt. Bei einigen Exemplaren ist der Ton relativ grob gemagert (Nr. 802.933.1017.1143.1190.1352.1658.1900), so dass man sie auch der Grobkeramik hätte zuordnen können (Kap. 4.3.8.).

Reibschüsseln (Abb.103)

Reibschüsseln oder *mortaria*, wie der lateinische Name lautet (Hilgers 1969, 68ff.), waren im keltischen Keramikinventar unbekannt (Kap. 7.2.2.). Sie wurden teilweise sogar aus dem Süden importiert (Kap. 4.2.7.). Mit ihnen kamen neue Essitten in die Gegenden nördlich der Alpen, der Gebrauch von pikanten Saucen, die man in ihnen anrührte (Baatz 1977). Es ist sicher kein Zufall, dass das importierte Stück Nr.77 aus einer der frühesten Schichten, aus der frühiberischen Holzbauperiode I.1, stammt. Reibschüsseln stellte man allerdings schon früh auch nördlich der Alpen her (Paunier 1981, 38).

Der Ton weist die vorliegenden Stücke als in der Region gefertigte Produkte aus. Er ist mehrheitlich gemagert, teils sind Sandkörner, teils Keramikschrott beigegeben. Meistens ist die Innenwand mit groben Körnern bestückt, so dass eine raffelähnliche Reibfläche entstanden ist. Häufig sind Reibspuren zu sehen, manchmal bis zur völligen Abnutzung der einst rauhen Oberfläche.

Anhand des Durchmessers lassen sich drei Grössen umschreiben (Abb.104): 22,5–29 cm, 32–39 cm und 41–45 cm. Die Töpferrechnungen von La Graufesenque erwähnen zwar drei Grössen (Oxé 1925, 83), deren Masse – 1' (30 cm), 2/3' (20 cm), 1/3' (10 cm) – aber nicht mit den vorliegenden übereinstimmen, sondern deutlich kleiner sind. Die grössten Stücke sind selten. Sie erreichen nie den Durchmesser der aus Italien importierten Exemplare, die häufig wesentlich grösser, insbesondere aber beträchtlich plumper und schwerer sind¹⁹⁶. Möglicherweise dienten als Vorbild für die zierlichen provinzialen Formen nicht die italischen Typen, sondern jene Reibschüsseln, welche die Legionäre in unsere Gegenden brachten. Da sie diese stets auf dem eigenen Rücken mittragen mussten¹⁹⁷, verwundert es nicht, dass sie zierlicher sind als jene zu Hause in Italien. In den Legionslagern republikanischer und augusteischer Zeit entsprechen die Reibschüsseln grössenmässig denn auch durchaus den in der Folge in den nordwestlichen Provinzen hergestellten¹⁹⁸.

Es lassen sich drei Untertypen definieren¹⁹⁹: mit Steilrand (Nr. 86.543.545.828.1289); mit Kragenrand und ungliedriger Innenwand (Nr. 323.371–373.1013.1237.1354); mit Kragenrand und Randwulst an der Innenseite²⁰⁰. Die erste Form erscheint vor allem in den Holzbauperioden des frühen und mittleren 1. Jh. Dass die Stücke aus der

193 Nr. 152.370.1079.1350.1352.1402.1708.1789.1836.1841.

194 Nr. 369.802.963.1017.1143.1464.1465.1788.1863.

195 Nr. 732.964.986.1052.1078.1110.1189.1283–1285.1351.1463.1628.1629.1658.1837.1900.

196 Hartley 1973, 55. Das Importstück (Nr. 77) misst 56 cm im Durchmesser. In Sutri messen die Beispiele 60 cm (Duncan 1964, Abb. 16,198) bzw. 66 cm (a.a.O. Abb.19,245) und in Pompeji schwankt die Grösse zwischen 25 und 85 cm (Annicchino 1977, 110).

197 Liebenam 1909, 1660f. Wie man sich das vorzustellen hat, zeigt eine Szene auf der Trajanssäule, in der das römische Heer mit Sack und Pack die Donau überquert (Settis et al. 1988, 265).

198 In Cáceres el Viejo weisen sie eine «mässige Weite» (33–44 cm) auf (Ulbert 1984, 178), in Rödgen liegen die Durchmesser zwischen 27 und 43 cm (Schönberger/Simon 1976, Taf. 28 Nr. 717–738) und in Haltern zwischen 29 und 31 cm (Loeschke 1909, Abb. 33,16; Taf. 12,59), in Dangstetten zwischen 29 und 35,5 cm (s. Kap. 13).

199 Die von M. Guisan (1974, 29) aufgestellte Typologie ist mir nicht einsichtig: Der Typ D scheint mir dem Typ C1 näher zu stehen als dieser dem Typ C2 mit dem er zusammengefasst ist (a.a.O. Taf. 27).

200 Nr. 544.864.918.1012.1046.1057.1081.1188.1288.1290.1291.1353.1417.1418.1438.1466.1550.1551.1633.1692.1707.1720.1864.1865.1887.

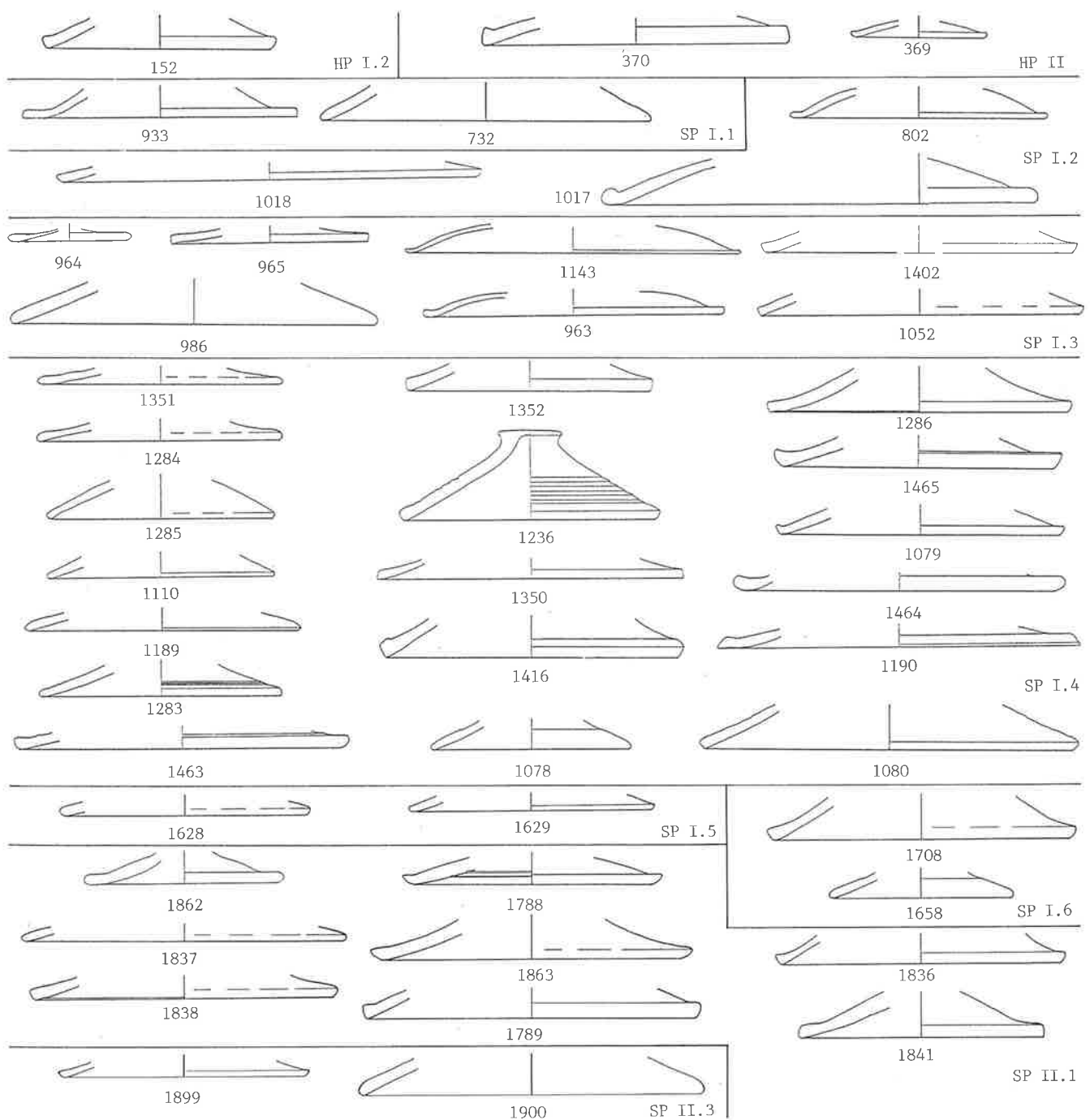


Abb.102. Helltonige Keramik römischer Tradition. Deckel. Varianten und ihr Auftreten in den einzelnen Phasen. M ca. 1:4.

vespasianischen Phase 1 (Nr. 828) und der hadrianischen Phase 4 (Nr. 1289) der Steinbauperiode I ursprünglich aus älteren Schichten stammen, ist nicht unwahrscheinlich, denn diese Variante fehlt sowohl in Rottweil (Planck 1975, 168) wie auch in Oberstimm (Schönberger 1978, Taf. 89–94). Die Form mit Randwulst hingegen erscheint erst ab

der vespasianischen Steinbauperiode I.1, mit einem Übergangstyp in der neronischen Holzbauperiode II (Nr. 544); sie löst im 2. Viertel des 2. Jh. den ungegliederten Kragenrandtyp vollständig ab. Die gleiche Entwicklung ist in Oberwinterthur-Kirchhügel festzustellen²⁰¹.

201 Rychener 1984, Abb. 64. Die sog. rätische Reibschüssel mit Innenkehle und Überzug auf dem Rand fehlt im Badener Material.

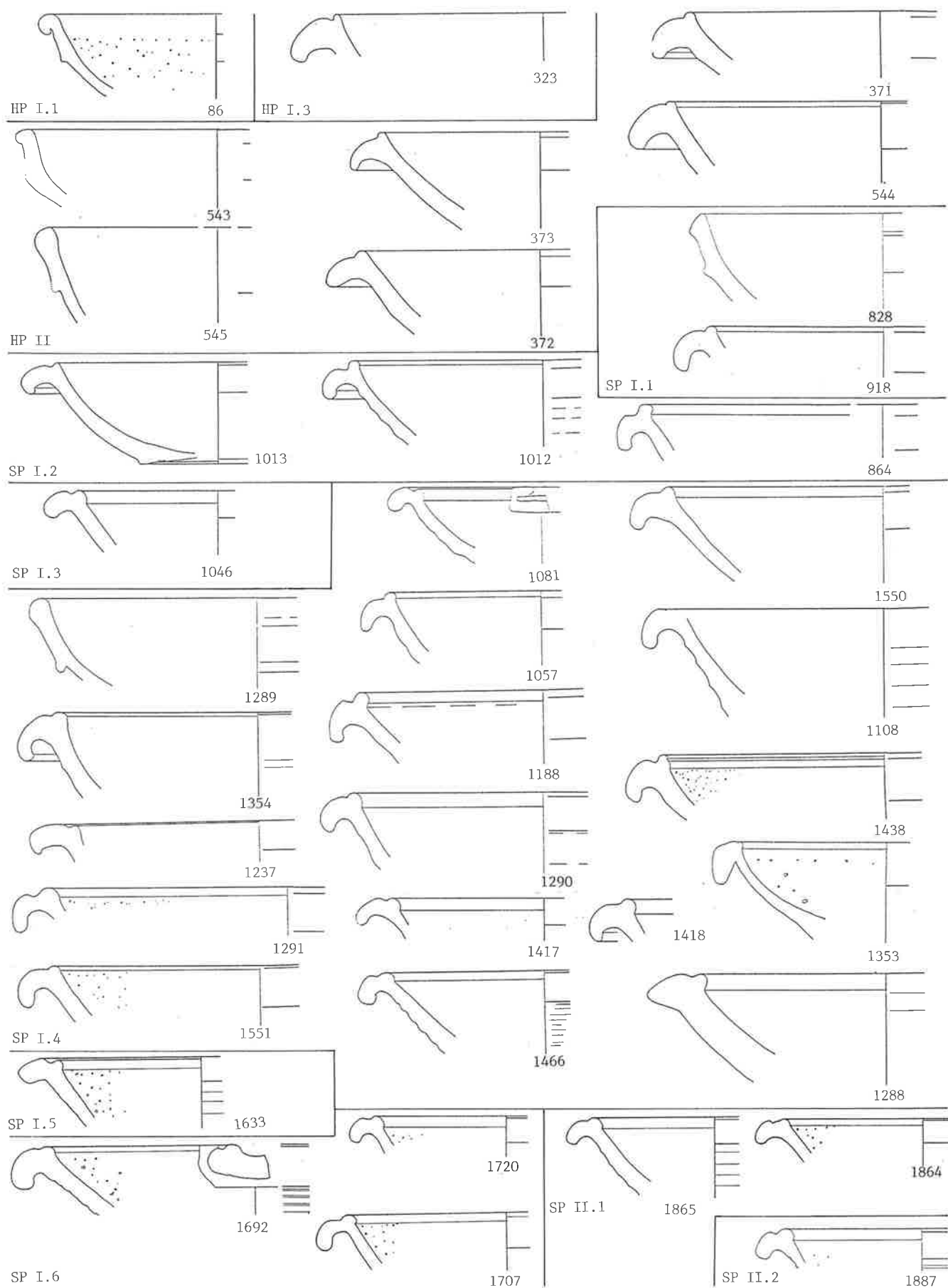


Abb.103. Helltonige Keramik römischer Tradition. Reibschüsseln. Varianten und ihr Auftreten in den einzelnen Phasen. M ca. 1:4.

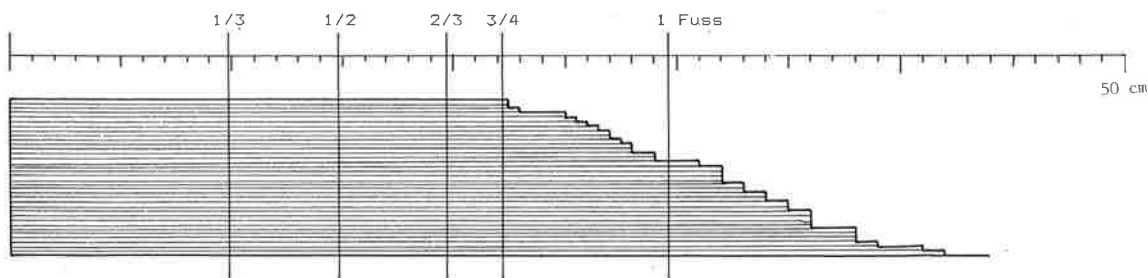


Abb. 104. Helltonige Keramik römischer Tradition. Verteilung der Grössen der Reibschüsseln.

4.3.7. Graue Feinkeramik

Im vorliegenden Material kommen Gefässe vor, die im Ton grau sind, manchmal eine feine, glimmerhaltige, sandige Magerung aufweisen und deren Oberfläche oft geglättet ist. Formal unterscheiden sie sich von der grauen Feinkeramik keltischer Tradition (Kap. 4.5.2.), erinnern aber stark an gewisse Typen der orangen Keramik in römischer Tradition (Kap. 4.3.6.). Wie diese lassen sie sich auf Mittelmeerformen zurückführen (Kap. 8.2.2.; Abb. 180). Mit der grauen bis dunkelgrauen Farbe möchten sie z.T. wohl Silbergefässe wiedergeben, wofür auch der häufige Zusatz von Glimmer im Ton und an der Oberfläche spricht.

Mit nur 24 Randscherben ist die graue Feinkeramik römischer Tradition selten (Tab. 20). Der Anteil an der Keramik römischer Tradition (506 RS) beträgt 5%. Es kommen fünf Grundformen vor (Tab. 14): Kannen, Schalen, Töpfe, Schüsseln und Deckel. Einzig die Töpfe sind mehrfach vorhanden, die übrigen Formen treten nur vereinzelt auf.

Die Schalen (Abb. 105) aus der neronischen Holzbauperiode II gleichen den gleichzeitigen helltonigen Schalen (Nr. 541.714). Wie diese weisen sie eine stark glimmerhaltige Oberfläche auf und dürften auf Metall Vorbilder zurückzuführen sein (Kap. 4.3.6.).

Bei der Kanne (Abb. 106) aus der tiberischen Holzbauperiode I.1 ist das Metallvorbild noch deutlich zu erkennen (z.B. Radnóti 1938, Taf. 14,84). In Mittelitalien setzt sich die graue Feinkeramik der Kaiserzeit zur Hauptsache aus Kannen zusammen (Kap. 8.2.2.). Beim Stück Nr. 662 aus der vespasianischen Steinbauperiode I.1 ist schwierig zu entscheiden, ob wir ebenfalls eine Kanne vor uns haben oder einen Henkeltopf (s. unten). Metallvorbilder lassen sich auch für dieses Stück finden (Radnóti 1938, Taf. 14,77; Brescak 1982, Taf. 11,109).

Die Töpfe (Abb. 106) unterscheiden sich wie die helltonige in römischer Tradition stehende Serie von den feineren und gröberen, grautonigen Pendants keltischer Tradition (Abb. 122–125) durch den scharf nach aussen abgewinkelten Rand, der häufig eine schwache Kehle, wohl zur Aufnahme eines Deckels, aufweist, und den vom

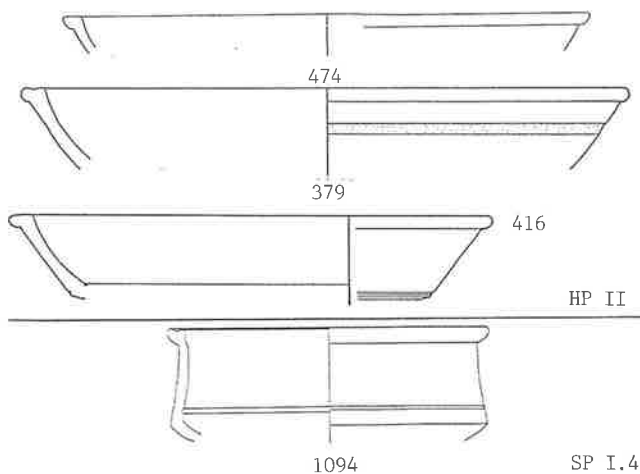


Abb. 106. Graue Feinkeramik römischer Tradition. Schalen und Schüsseln. Varianten und ihr Auftreten in den einzelnen Phasen. M ca. 1:4.

Bauch abgesetzten, kegelförmigen Hals. Häufig ist mindestens ein Henkel nachgewiesen. Der Ton ist sandig oder fein gemagert. Der Topf erinnert an den *urceus*, den Henkeltopf der orangen Keramik (z.B. Nr. 1705). Wie dieser stellt er eine Mittelmeerform dar (Paunier 1981, 260). Graue Exemplare sind, neben den viel häufigeren helltonigen Töpfen gleicher Form, in Italien belegt (Kap. 8.2.2.). Der Mündungsdurchmesser ist relativ einheitlich. Wie bei den helltonigen Töpfen römischer Tradition liegt er bei etwa 12 cm mit einer Schwankungsbreite von 9–16 cm, was etwa der Grösse der Töpfe keltischer Tradition entspricht. Die Form erscheint erst ab der trajanischen Steinbauperiode I.3, es sei denn, wir sehen im erwähnten Stück Nr. 662 aus der vespasianischen Steinbauperiode I.1 einen Vorläufer oder ein Übergangsstück.

Die Schüssel Nr. 1094 aus der hadrianischen Steinbauperiode I.4 erinnert mit dem gefalzten Rand und dem Wandknick an die Glanztonschüssel Nr. 1231 und die tongrundige Schüssel Nr. 1706 mit gefalztem Horizontalrand. In Italien sind grautonige Schüsseln zwar selten, ein Vergleichstück ist jedoch in Sutri zu finden²⁰².

202 Duncan 1965, A22; s. Abb. 180,4.

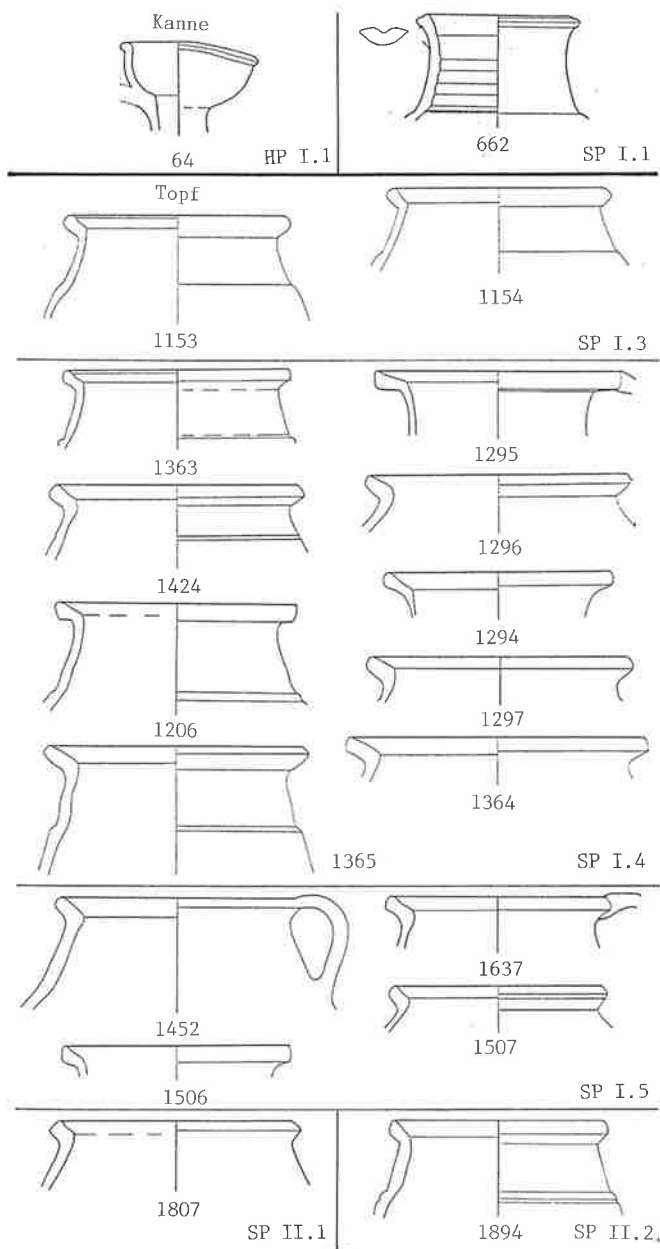


Abb. 105. Graue Feinkeramik römischer Tradition. Kannen und Töpfe. Varianten und ihr Auftreten in den einzelnen Phasen. M ca. 1:4.

Der Deckel Nr. 1403 aus der trajanischen Steinbauperiode I.3 ist geglättet und nur fein gemagert, so dass er nicht bei der Grobkeramik (Kap. 4.3.8.) einzuordnen ist. Er erinnert an die helltonigen Stücke (Nr. 1236). In Italien sind graue Deckel, wenn auch selten, belegt (Carandini/Panella 1973, 693; Frova 1977, Taf. 190, 18). Unser Exemplar könnte zu einem grossen Henkeltopf (wie Nr. 1364) oder zu einer Schüssel (wie Nr. 1094) gehören.

Nur die eindeutig auf Metallgefässe zurückgehenden Formen wie die Kanne und die Schale treten in den Holzbauperioden des frühen und mittleren 1. Jh. auf. Die sich an der gleichzeitigen helltonigen Keramik orientierenden Formen hingegen, wie der Henkeltopf, die Schüssel mit gefalztem Rand und der Deckel, erscheinen erst ab Beginn des 2. Jh.

4.3.8. Grobkeramik

Graue oder orange Scherben, die mit einer mehr oder weniger groben Magerung versehen sind, werden der Grobkeramik zugerechnet. Von jener keltischer Tradition unterscheidet sich die Grobkeramik römischer Tradition durch die Machart auf der Drehscheibe und die Formen, die auf mediterrane Vorbilder zurückzuführen sind (Kap. 8.2.2.; Abb. 181). Da die Magerung des Tones vor allem durch die jeweilige Funktion des Gefässes bedingt ist, sind von Form zu Form relativ grosse Unterschiede in der Tonbeschaffenheit zu verzeichnen.

Mit 39 Exemplaren ist die Grobkeramik römischer Tradition selten (Tab. 20), der Anteil an der Keramik in römischer Tradition (506 RS) beträgt 8%. Es kommen vier Grundformen vor (Tab. 15): Kochschüsseln, Kochtöpfe, Deckel von Kochgefässen und Dolien. Fast die Hälfte der Fragmente stammen von Dolien. Mit einem Anteil von einem Drittel sind die Kochschüsseln über viermal so häufig wie die Kochtöpfe. Die Deckel sind eher selten. Die Kochschüsseln, die Deckel und die Dolien können vom frühen 1. Jh. bis zum späten 2. Jh. in den Schichten auftreten, während die allerdings spärlichen Kochtöpfe sich auf die hadrianische Steinbauperiode I.4 beschränken.

Kochschüsseln (Abb. 107)

Es lassen sich zwei Typen umschreiben: mit Horizontalrand; mit Steilrand (Nr. 721.835.1645). Der erste lässt sich in vier Untertypen aufgliedern: mit einfachem, dünnem Horizontalrand (Nr. 4); mit einfachem, dickem (Nr. 5.23.1505); mit Horizontalrand und Deckelfalz (Nr. 22.272.1054.1208.1303); mit gerilltem Horizontalrand (Nr. 1712).

Der Scherben des ersten Untertyps mit Horizontalrand ist beige-grau und mit hellen, feinen Körnern gemagert, die Oberfläche geschwärzt. Der zweite Untertyp weist einen grauen, mit meist hellen Körnern gemagerten Ton auf. Beide Formen sind wohl von der in Italien seit republikanischer Zeit überaus beliebten, allerdings meist helltonigen und wesentlich grösseren Kochschüssel mit Horizontalrand herzuleiten (Kap. 8.2.2.). Graue und kleine Exemplare kommen jedoch durchaus vor, sind indes selten (Monacchi 1986/87, Taf. 7, 11.12). Der Wandknick liegt beim zweiten Untertyp deutlich höher als bei den italischen Vergleichsstücken. Ein Parallele findet sich im flavischen Bauhorizont V von Ostia (Berti et al. 1970, Taf. 27, 482). Beide Formen scheinen in Aquae Helveticae nur zu Beginn des 1. Jh. vorzukommen; das Stück Nr. 1505 aus der Steinbauperiode I.5 des mittleren 2. Jh. könnte aus einer älteren Schicht verlagert sein. Allerdings findet sich in Settefinestre eine relativ gute Parallele, die ins späte 2. Jh.

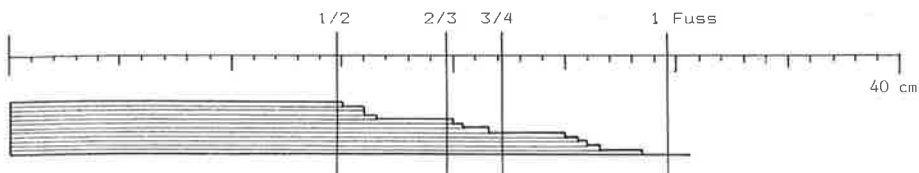


Abb. 108. Grobkeramik römischer Tradition. Verteilung der Grössen der Kochschüsseln.

datiert wird²⁰³. Die Form mit gefalzttem Horizontalrand (Nr. 22.1054.1208.1303) dürfte auf den gleichen mediterranen Kochschüsseltyp zurückzuführen sein. Die Badener Stücke sind im Ton rötlich bis bräunlichgrau und relativ fein gemagert. Am Rand weisen einige von ihnen Brandspuren vom Gebrauch auf. Sie kommen vom früheren 1. Jh. bis ins 1. Drittel des 2. Jh. vor. Die Schüssel mit gerilltem Horizontalrand Nr. 1712 aus der Steinbauperiode I.6 des 3. Viertels des 2. Jh. könnte eine Weiterentwicklung sein. Ein ähnliches Stück fand sich in Cosa in einem Komplex des 1. Jh. n. Chr. (Dyson 1976, 22II-14).

Der Typ mit Steilrand (Nr. 721.835.1645) weist einen Goldglimmerüberzug auf. Der Ton ist orange und mit einer relativ feinen Magerung versetzt. Dies und die aussen geschwärzte Oberfläche weisen ihn eindeutig als Kochgeschirr aus. Die Form lehnt sich wohl an den allerdings viel grösseren, meist aus Afrika importierten Kochschüsseltyp mit Wulstrand an, der im Mittelmeer-raum ab der 2. Hälfte des 1. Jh. die Schüssel mit Horizontalrand ablöste (Vegas 1968, 40; Abb. 14,153). In einer Villa nördlich von Capua treten aber Kochschüsseln mit Wulstrand schon in einer republikanischen Schicht auf (Cotton 1979, Abb. 47,2). In *Aquae Helveticae* erscheint die Form ab frühflavischer Zeit.

Die Kochschüsseln scheinen in drei Grössen vorzukommen: 15–17 cm, 20–22 cm und über 25 cm (Abb. 108). Wie erwähnt, sind sie kleiner als die Mehrzahl der italienischen Vorbilder. Grössenmässig entsprechen sie den grobkeramischen Näpfen keltischer Tradition (Kap. 4.5.3.). Heisst das, dass die Kochschüsseln sich formal zwar an römischen Vorbildern orientieren, die Grösse sich aber nach keltischen Usancen richtet? Die geringere Grösse könnte indes auch darauf zurückzuführen sein, dass das Vorbild – wie bei den Reibschüsseln (s. oben) – bei den römischen Legionären zu suchen ist, die die Gefässe auf ihrem Rücken über die Alpen schleppen mussten. In den Lagern Haltern und Hofheim scheinen die allerdings eher seltenen Kochschüsseln nur vereinzelt als grosse Exemplare aufzutreten (Loeschke 1909, 238; Ritterling 1912, 323). Bemerkenswert ist, dass bei den Kochtöpfen die römische Form auch grösser ist als die in keltischer Tradition stehende (s. Kap. 4.5.3.). Der antike Name für Kochschüssel war *caccabus* (Hilgers 1969, 40f.).

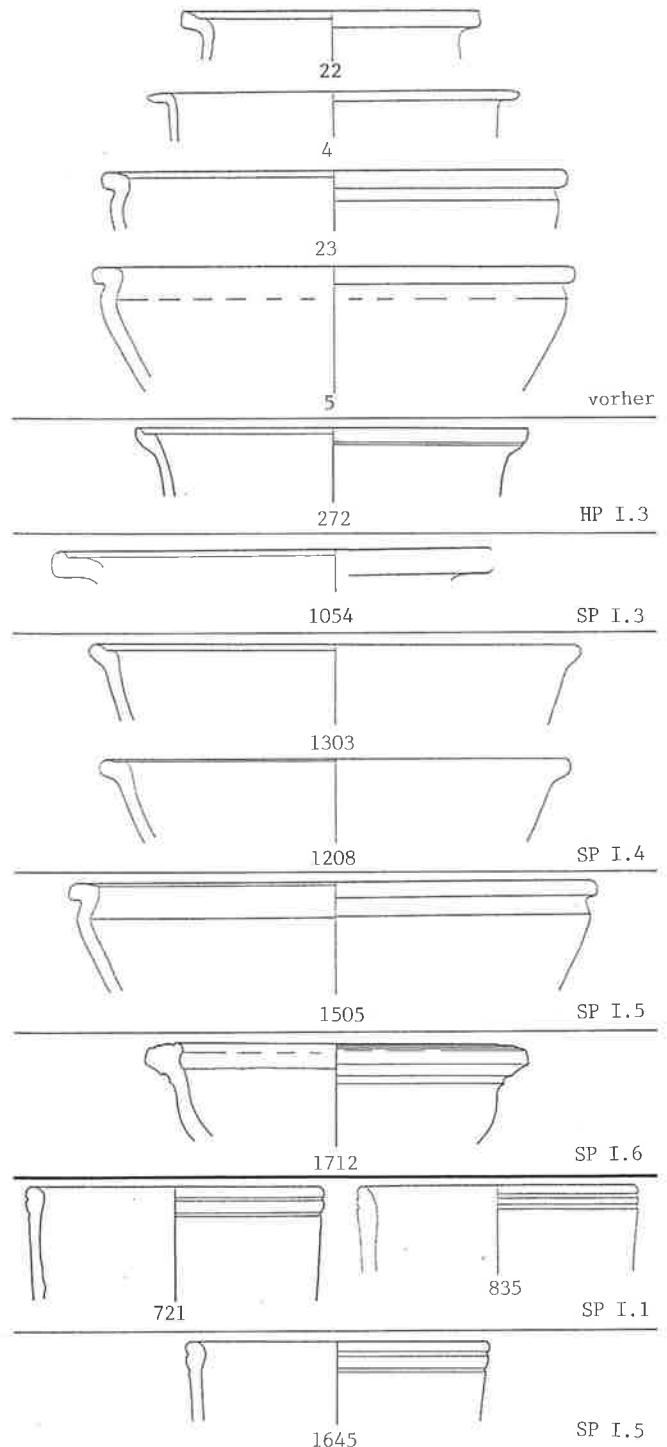


Abb. 107. Grobkeramik römischer Tradition. Kochschüsseln. Varianten und ihr Auftreten in den einzelnen Phasen. M ca. 1:4.

203 Ricci 1985, Taf. 26,7; s. Abb. 181,1.

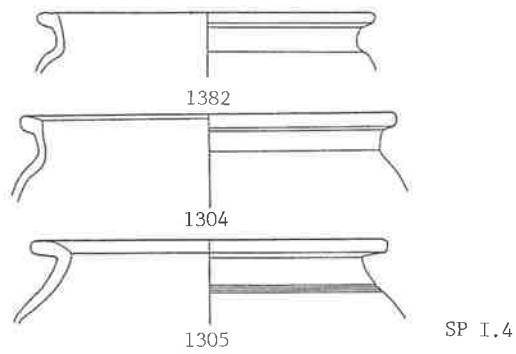


Abb.109. Grobkeramik römischer Tradition. Kochtöpfe. Varianten und ihr Auftreten in den einzelnen Phasen. M ca. 1:4.

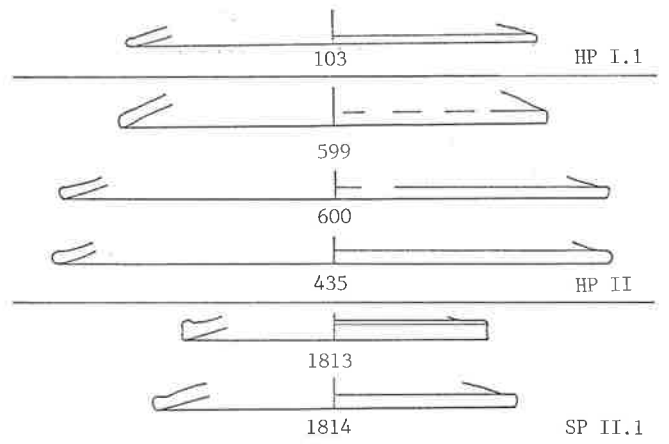


Abb.110. Grobkeramik römischer Tradition. Deckel. Varianten und ihr Auftreten in den einzelnen Phasen. M ca. 1:4.

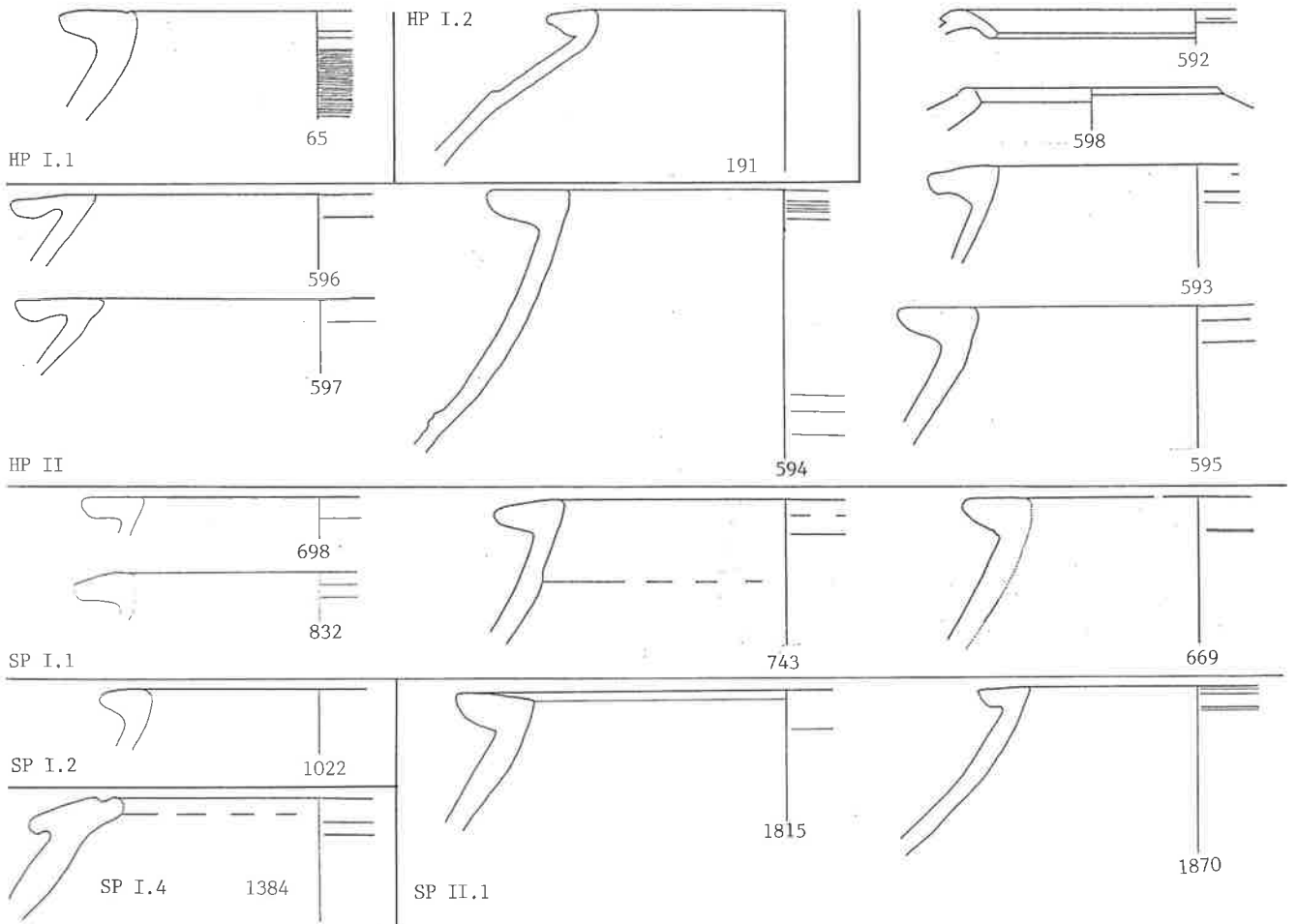


Abb.111. Grobkeramik römischer Tradition. Dolia. Varianten und ihr Auftreten in den einzelnen Phasen. M ca. 1:4.

Kochtöpfe (Abb. 109)

Der Mündungsdurchmesser der Kochtöpfe liegt bei gut 19 cm. Damit entsprechen sie den grössten Exemplaren keltischer Tradition (Kap. 4.5.3.). Es kommen zwei Ausformungen vor: mit abgesetztem Hals und verdickter Lippe (Nr. 1304.1382); mit nach aussen abgewinkeltem, gebogenem Rand (Nr. 1305). Die erste Form entspricht dem in Vindonissa überaus beliebten sog. Militärkochtopf²⁰⁴, der sich wohl aus einem in Dangstetten häufigen Kochtopf entwickelt hat (z. B. Fingerlin 1986, Nr. 42/20.42/28–29). Im Ton sind die Exemplare aus Baden orange und fein gemagert, am Rand oft geschwärzt. Der Ton der zweiten Form ist hellbeige und grob gemagert, die Oberfläche zeigt Brandspuren vom Gebrauch auf. Beide Untertypen lassen sich auf italische Vorbilder zurückführen (Kap. 8.2.2.). Kochtöpfe wurden in der Antike *aula* oder *olla* genannt (Hilgers 1969, 39f.).

Deckel (Abb. 110)

Wie bei den orangen Deckeln, den *opercula* (Kap. 4.3.6.), kommen auch bei den grauen, gemagerten Deckeln gerade Profile (Nr. 599) und mehr oder weniger stark geschweifte Profile mit rundem Rand (Nr. 103.435) oder eckigem Rand (Nr. 600.1813.1814) vor; die grob gemagerten helltonigen Deckel (Nr. 802.933.1017.1143.1190.1352.1658.1900) hätten auch unter der Grobkeramik eingeordnet werden können. Mit Durchmesser zwischen 16 und 31 cm scheinen sie eher grösser zu sein als die orangen Deckel. Der Ton der reduziert gebrannten Stücke ist beige-grau bis schwarz und meist mit relativ feinen, hellen Körnern gemagert. An der Oberfläche zeigen sie oft Brandspuren vom Gebrauch. Im Mittelmeergebiet gehören die Deckel mehrheitlich zu Kochgefässen (Vegas 1973, 53). Vereinzelt treten grautonige Exemplare auf (Monacchi 1986/87, Taf. 6,12.13).

Dolia (Abb. 111)

Die grossen Vorratsgefässe wurden in der Antike *dolia* genannt (Hilgers 1969, 58). Sie gehören zu den ersten mediterranen Formen, die nördlich der Alpen hergestellt wurden. Auf dem Basler Münsterhügel erscheinen sie schon in den spätesten keltischen Schichten (Furger-Gunti 1979, 87ff.).

Es lassen sich drei Untertypen unterscheiden: mit nach innen gebogenem, sichelförmigem Rand (Nr. 592.1384); mit Horizontalrand (Nr. 65.191.593–597.669.698.743.832.1022.1815.1870); mit einfachem, nach innen gebogenem Rand (Nr. 598). Alle drei Formen lassen sich von italischen Typen herleiten (Kap. 8.2.2.). Die beiden ersten Formen kommen sowohl helltonig wie grau vor und sind häufig gemagert. Ihr Raddurchmesser schwankt zwischen 24 und 36 cm. Die dritte Form ist mit einem Mündungsdurchmesser von 15 cm wesentlich kleiner als die anderen. Der sichelförmige Rand ist für augusteische Komplexe typisch (Rychener/Albertin 1986, 81). Ob es sich beim Stück Nr. 1384 der hadrianischen Steinbauperiode I.4 tatsächlich um ein aus einer älteren Schicht verlagertes handelt, ist schwierig zu sagen, denn das Profil scheint eine Weiterentwicklung der Frühform (z. B. Nr. 592) zu sein. Bei der zweiten Form kommen dicke und dünne Ränder vor, die sich zeitlich jedoch nicht voneinander absetzen lassen.

4.4. Keramik mit keltischer Form und römischer Technik

Im vorliegenden Material treten Scherben von Gefässen auf, die den gleichen Überzug wie die TS-Imitation bzw. die Glanztonkeramik aufweisen (Kap. 4.3.2.; 4.3.5.). Obwohl sie eine von der Sigillata und der Firniskeramik her bekannte, aus dem Mittelmeerraum stammende Technik verwenden – die Gefässe wurden vor dem Brand in einen fein geschlammten, flüssigen Tonschlicker eingetaucht²⁰⁵ – lassen sie sich formal nicht auf Sigillataformen zurückführen, sondern lehnen sich an keltische Vorbilder an (Paunier 1981, 216.223). Man stellte sie in den gleichen Töpfereien her wie die TS-Imitation und die Glanztonkeramik römischer Tradition²⁰⁶.

Die Keramik in keltischer Form und römischer Technik kommt in fast allen Phasen vor²⁰⁷ (Tab. 20), sie ist aber selten. Der Anteil schwankt, ohne dass sich eine Entwicklung ablesen liesse.

Es kommen drei Grundformen vor: Zu den schon besprochenen Imitationen von pompejanisch-roten Platten mit keltischer Form (Kap. 4.3.4.) gesellen sich Schüsseln und Becher (Tab. 16). Die Schüsseln sind die mit Abstand häufigste Form (91%), während die Becher selten sind und die Platten nur vereinzelt auftreten.

204 Ettliger/Simonett 1952, 12; Abb. 3; Ettliger 1977b, Gruppe 7.

205 Ettliger et al. 1990, 26; Drack 1945, 23f.; Kaenel 1974, 11.

206 TS-Imitation: Schüsseln Drack 20/21 (Laufer 1980, Abb. 7); ebenso etwa die Produktion des Töpfers Villo (Drack 1945, 118ff.); Glanztonkeramik: Becher (Ettliger/Roth-Rubi 1979, 74).

207 Das Fehlen in den Phasen 2 und 3 der SP II dürfte an der jeweils geringen Fundmenge (23 bzw. 8 Randscherben) liegen und zufällig sein.

4.4.1. Schüsseln mit Überzug

Charakteristisch für diese Schüsseln ist, dass sie mit wenigen Ausnahmen (Nr. 1145.1435) nur aussen mit einem roten Überzug versehen sind. Sie können drei Typen zugewiesen werden (Tab. 16): Knickschüssel mit profiliertem Rand (Drack 21); Knickschüssel mit einfachem Rand (Drack 20); mehr oder weniger halbkugelige Schüssel mit kleiner Lippe (Drack 22 similis).

Drack 21 (Abb. 112.113)

Die Knickschüssel mit profiliertem Rand ist die mit Abstand häufigste Form (82%). Sie entspricht formal der grautonigen Schüssel (Abb. 129) und ist wie diese auf keltische Vorformen zurückzuführen (Kap. 4.5.2.).

Der Ton ist wie bei der TS-Imitation orange, oft leicht mehlig und mit Glimmer durchsetzt. Die Farbe des Überzuges schwankt von hellorange bis rotbraun, die meisten Stücke sind jedoch rotorange. Der Überzug tritt stets nur an der Aussenseite und innen am Rand auf, wo oft noch zu sehen ist, wie er ins Gefässinnere getropft ist. Bei einem Stück (Nr. 118) ist innen eine dunkle Kruste erhalten, die allgemein als Verpichtung gedeutet wird²⁰⁸. Im Durchmesser verteilen sich die Schüsseln gleichmässig über alle Grössen von 15–27 cm. Nur wenige sind grösser. Damit sind sie etwa gleich-gross wie die Sigillataform Drag. 29 (Abb. 69), aber etwas grösser als die Schüsseln römischer Tradition (Kap. 4.3.6.). Sie entsprechen damit den Schüsseln keltischer Tradition (Kap. 4.5.2.). In Oberwinterthur-Römerstrasse 186 messen die Gefässe Drack 20–22 14–28 cm (Rychener/Albertin 1986, 67 Tab. 37). Sie scheinen etwas grösser zu sein als die dort vorkommenden Sigillata-schüsseln. In La Péniche treten offenbar zwei Grössen auf: um 12 cm und 20–24 cm (Laufer 1980, 34). Nur wenige sind grösser.

Mehrere Stücke sind mit Riefelbändern verziert. Bei einem Exemplar (Nr. 523) ist die ganze Aussenseite mit feinen Rillen versehen. Neben Varianten unterschiedlicher Ausformung²⁰⁹, die nur vereinzelt vorkommen, lassen sich anhand des Randprofils drei Untertypen umschreiben: gerades Profil mit Randwulst, gefolgt von einer ebenso breiten Kehle und zwei Rippen²¹⁰; gleiche Profilierung jedoch mit abgelenktem Rand²¹¹; nach aussen geknickter, gerill-

ter Rand²¹². Die erste Form kommt vom frühen 1. Jh. bis in die trajanische Steinbauperiode I.3 vor – die beiden Stücke Nr. 1460 und 1543 vom Bauhorizont der Steinbauperiode I.5 des 2. Viertels des 2. Jh. sind wohl aus älteren Schichten verlagert. In Oberwinterthur entspricht sie der Randform 1, die vor allem in den frühen Phasen vertreten ist²¹³. Die zweite Randform erscheint ab der tiberischen Holzbauperiode I.2 und verschwindet um die Mitte des 2. Jh. Die dritte Randform tritt in der neronischen Holzbauperiode II erstmals auf. Im Laufe des 2. Jh. wird sie zur dominierenden Form. Sie ist der Spätform in Solothurn, die im letzten Viertel des 1. Jh. erscheint und die dortige Frühform – sie entspricht unserer ersten Randform – schnell verdrängt (Schucany 1990b, 104 Nr. 27.36.55).

Drack 20 (Abb. 114)

Die Knickschüssel mit einfachem Rand ist viel seltener als die Form Drack 21 (4%). Sie entspricht den sehr häufigen schwarzen Schüsseln keltischer Tradition (Abb. 127.128). Eine ähnliche Form kommt, ebenfalls selten, in einer helltonigen Variante vor (Abb. 120). Wie diese steht sie in der Tradition der späten Latènezeit (Kap. 4.5.1.; 4.5.2.). Mit dem Überzug stellen die vorliegenden Stücke jedoch eine Mischung von keltischer Form und römischer Technik dar. Der Überzug ist hellbraun, selten hellorange. Bei zwei Exemplaren ist er, wie bei den Schüsseln mit Überzug üblich, nur aussen aufgetragen (Nr. 1010.1773). Bei den beiden anderen Stücken sind Aussenseite und Innenseite gleich behandelt (Nr. 1145.1453). In beiden Fällen ist es schwierig zu entscheiden, ob tatsächlich ein Überzug vorliegt oder lediglich eine geglättete Oberfläche²¹⁴. Der Ton ist wie bei den Schüsseln Drack 21 orange, oft leicht mehlig und mit Glimmer versetzt. Im Durchmesser (23–25,5 cm) entsprechen sie den grossen Exemplaren der Form Drack 21.

Die Schüssel Drack 20 mit Überzug kommt vom späten 1. Jh. bis ins spätere 2. Jh. vor.

Drack 22 similis (Abb. 115)

Im vorliegenden Material treten Schüsseln auf, die sich durch eine kleine Lippe auszeichnen, und die wie die

208 Freundliche Mitteilung des Keramikforschers Johannes Weiss, Aegst; s. auch Rychener/Albertin 1986, 76 Anm. 100.

209 Nr. 60.206.365.429.523.679.860.1184.1772.

210 Nr.: 6.44.61.62.118.130.141.181.182.249.466.467.519–521.659.660.694.695.730.985.1139.1460.1543.

211 Nr. 110.117.364.428.454.522.658.710.776.1183.1547.

212 Nr. 362.363.468.709.711.824.859.908–911.1045.1076.1140.1141.1181.1182.1233.1280.1414.1415.1435.1461.1544–1546.1664.1691.1703.1771.

213 Rychener/Albertin 1986, 76 Abb. 82; s. auch Rychener 1984, Abb. 52.

214 Die Argumente für einen Überzug scheinen mir zu überwiegen, so dass ich beide Stücke der Keramik mit keltischer Form und römischer Technik zugerechnet habe und nicht der orangen Keramik in keltischer Tradition (Kap. 4.5.1.). Da es sich nur um zwei Exemplare handelt, können sie das statistische Bild nicht beeinflussen. – Das Problem Überzug oder Oberfläche tritt auch bei der grauen Feinkeramik in keltischer Tradition auf (Kap. 4.5.2.)

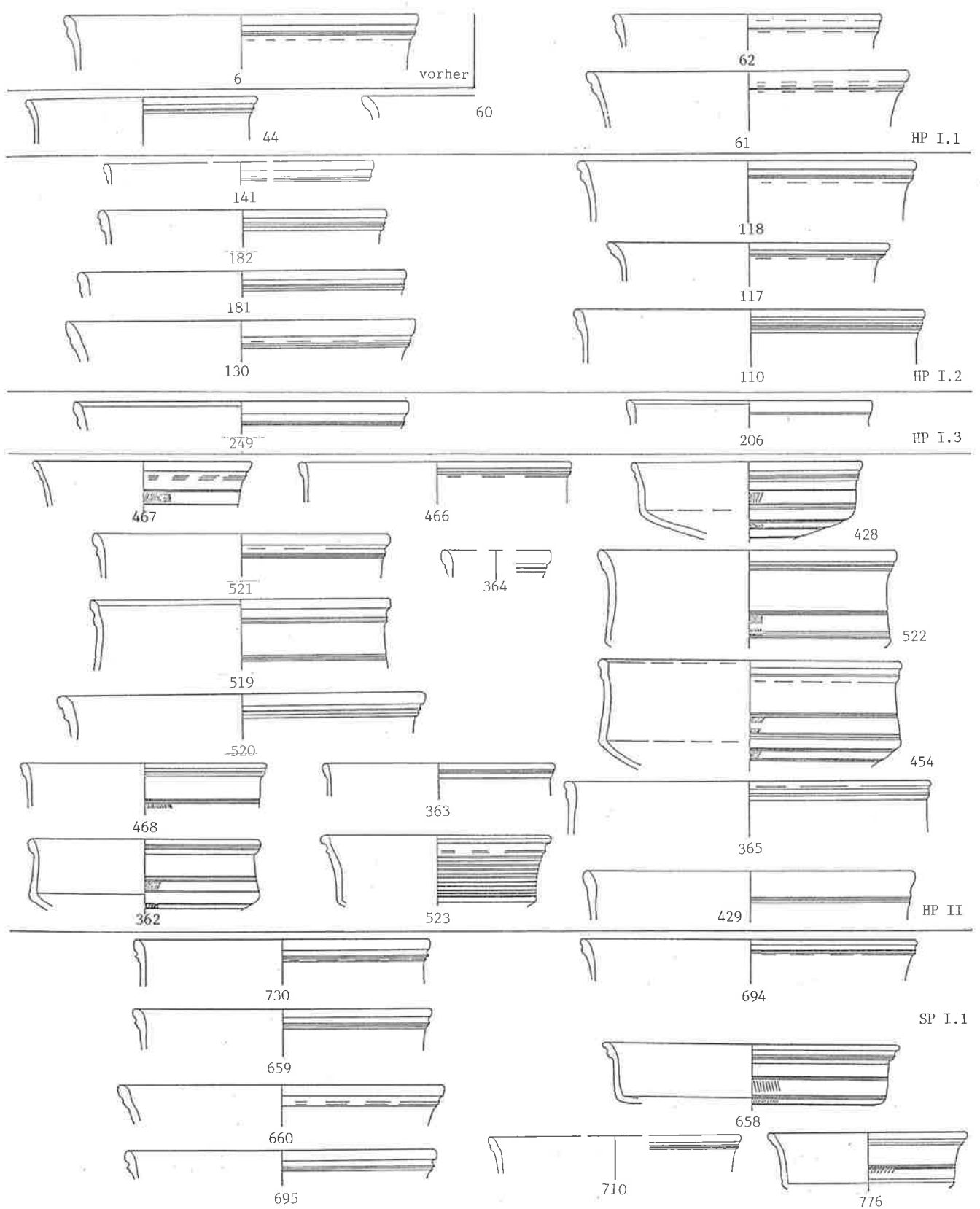


Abb. 112. Keramik keltischer Form und römischer Technik. Schüsseln Drack 21. Varianten und ihr Auftreten in den einzelnen Phasen. M ca. 1:4.

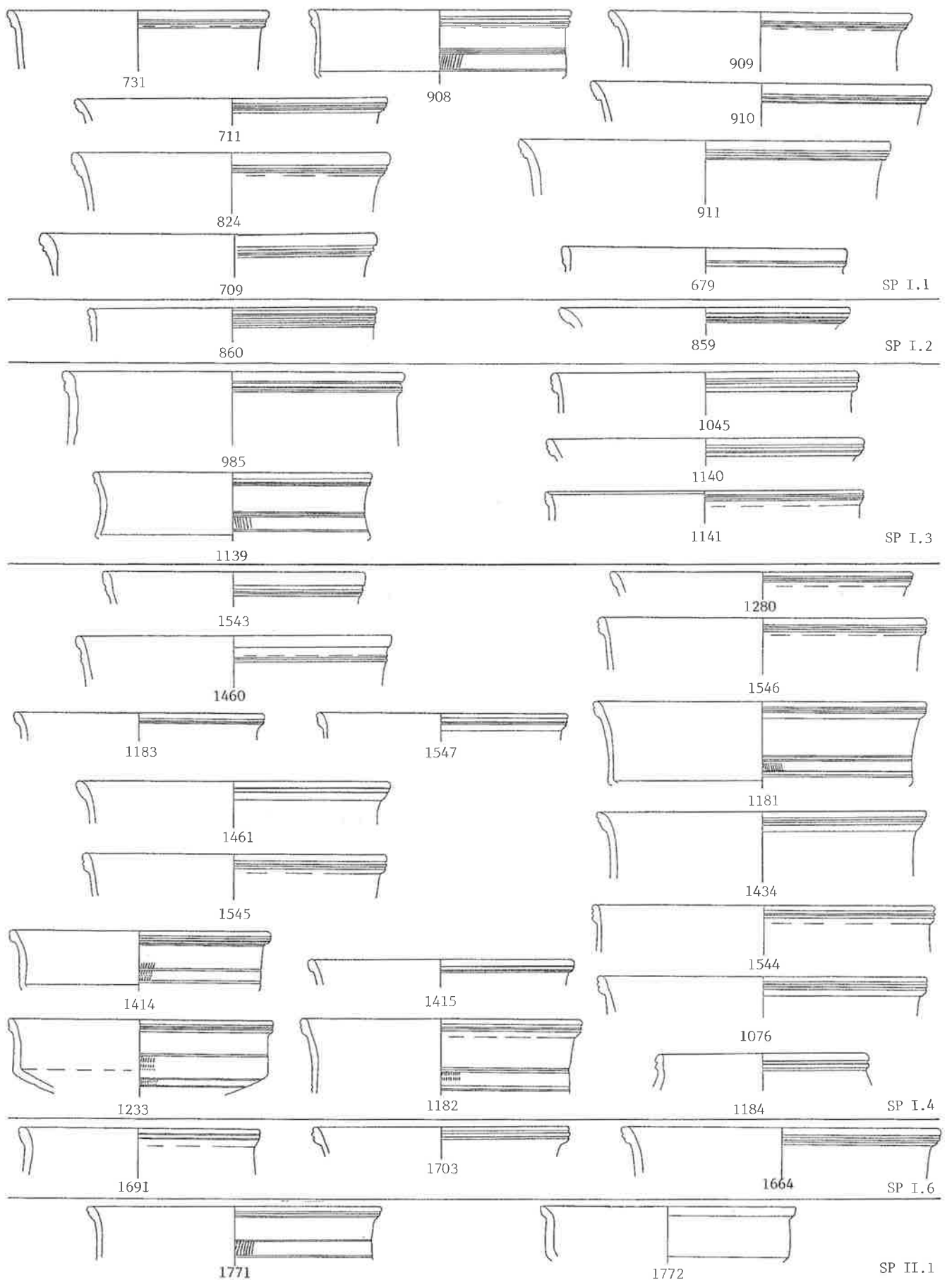


Abb. 113. Keramik keltischer Form und römischer Technik. Schüsseln Drack 21. Varianten und ihr Auftreten in den einzelnen Phasen. M ca. 1:4.

Schüssel Drack 21 nur aussen mit einem Überzug versehen sind. Mit 14% sind sie eher selten. Ihr Ton ist rosa bis orange, oft mit Glimmer versetzt und vereinzelt fein gemagert. Im Durchmesser streuen sie zwischen 14 und 26 cm. Sie sind kleiner als die Schüsseln Drack 20/21 und kleiner als die Schüsseln in keltischer und jene in römischer Tradition (Kap. 4.3.6.; 4.5.1.; 4.5.2.). In der Grösse stimmen sie mit der Sigillataschüssel Drag. 30 überein (Abb. 69).

Der Form nach lassen sich drei Untertypen umschreiben: mit nach innen geneigter Wand (Nr. 524); mit steiler Wand (Nr. 1197.1232.1334.1613; evtl. Nr. 1680); halbkugelige Form (Nr. 1335.1336.1467.1614–1616.1774). Alle Formen gehen letztlich auf die halbkugelige Schüssel der Spätlatènezeit zurück, wie die entsprechenden helltonigen, z.T. bemalten Schüsseln (Abb. 120) und die grauen Schüsseln (Abb. 130) der Keramik in keltischer Tradition (Kap. 4.5.1.; 4.5.2.). Überdies ist der Typ mit steiler Wand vielleicht nicht nur grössenmässig, sondern auch formal von der Sigillataschüssel Drag. 30 beeinflusst.

Zwei Stücke mit rotem Überzug sind mit Kerbmustern versehen (Nr. 524.1335). Sie können als Drack 22B bezeichnet werden²¹⁵. Schüsseln wie die unverzierten Stücke mit hellrotem bis rotem Überzug definiert E. Ettliger als «rot überfärbte Keramik in Spätlatèneform», die sie von der Schüssel Drack 22 getrennt behandelt, obwohl sie die Verbindung zwischen den beiden Sorten betont²¹⁶. Der Grund dürfte sein, dass sie diese Gruppe mehr in Zusammenhang mit der sog. «rot überfärbten und geflammten Ware» gesehen hat, als deren vierte Gruppe (Ettliger/Simonett 1952, 57ff.). Der Überzug der Badener Stücke ist so schlecht erhalten, dass offen bleiben muss, ob sie geflammt waren oder einheitlich rot (s. Ettliger/Simonett 1952, Nr. 382.385.386.393.394.402). Die drei ersten Gruppen kommen fast ausschliesslich in Vindonissa vor. Da sie vor allem im Westteil des Schutthügels lagen, im Ostteil hingegen weitgehend fehlten, wird ihre Herstellung der 11. Legion zugeschrieben. Es ist ein Typenspektrum, das aus den östlichen Provinzen stammt, wo sich gute Parallelen finden. Dies trifft für die vierte Gruppe nicht zu. Ihr Vorkommen ist nicht ausschliesslich auf Vindonissa beschränkt – neben Baden sind Lenzburg, Zürich, Eschenz und Chur als Fundorte bekannt (Hochuli-Gysel et al. 1986, 100). Beispiele der ersten drei Gruppen der rot überfärbten Ware fehlen im vorliegenden Material gänzlich, ebenso, wie erwähnt, sichere Beispiele der geflammten Ware. Die Form ist auch nicht von östlichen Vorbildern herzuleiten, sondern vielmehr, wie wir gesehen haben, aus dem einheimischen Formeninventar. So gesehen scheint es mir richtiger, die aussen rot überfärbten Schüsseln mit den Gefässen

215 Drack 1945, 99; s. auch Paunier 1981, 216. Der Typ Drack 22 lässt sich formal nicht klar abgrenzen (Drack 1990, 140).

216 Zur rot überfärbten Keramik in SLT-Form s. Ettliger/Simonett 1952, 58f. Nr. 380–382.385.386. 393.394.397.402; zur Schüssel Drack 22 in TS-Imitation s. a.a.O. 74 Nr. 422.423.

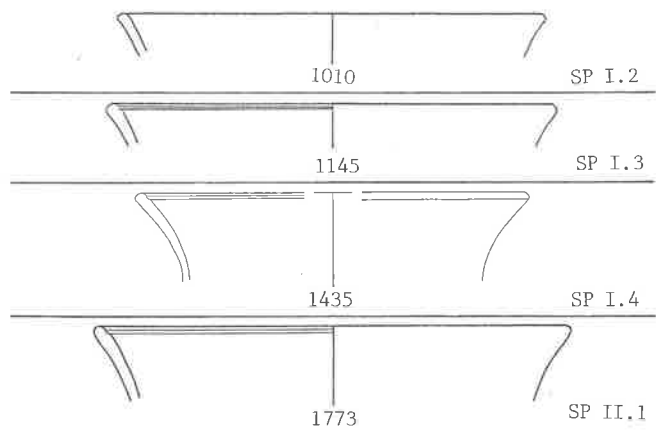


Abb. 114. Keramik keltischer Form und römischer Technik. Schüsseln Drack 20. Varianten und ihr Auftreten in den einzelnen Phasen. M ca. 1:4.

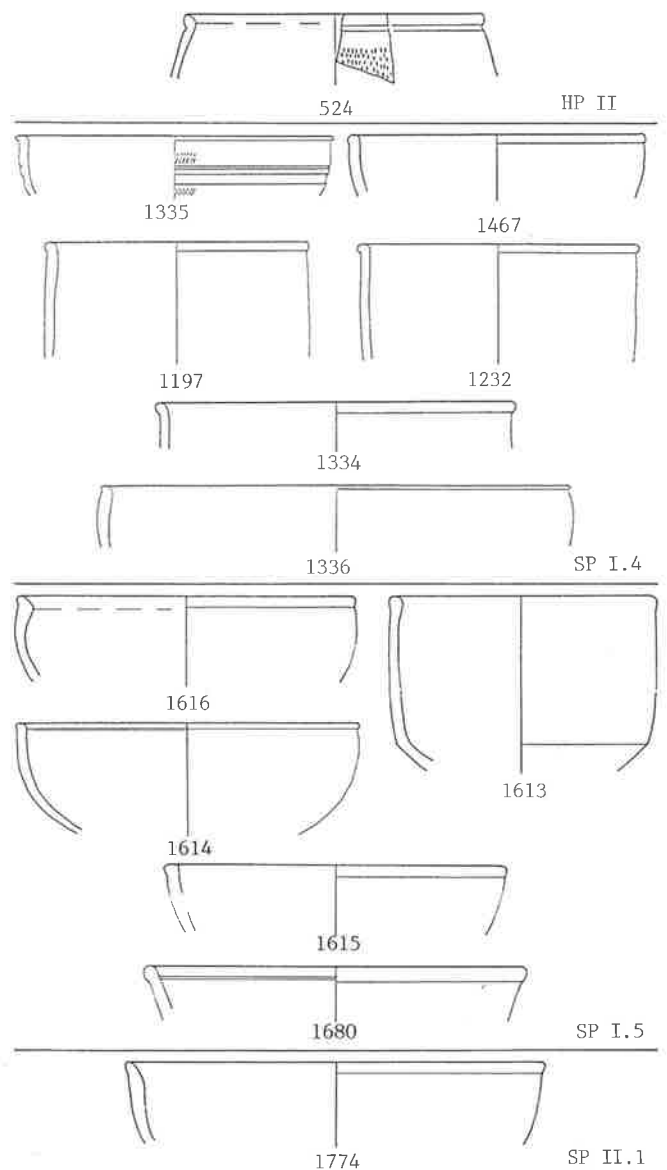


Abb. 115. Keramik keltischer Form und römischer Technik. Schüsseln Drack 22 similis. Varianten und ihr Auftreten in den einzelnen Phasen. M ca. 1:4.

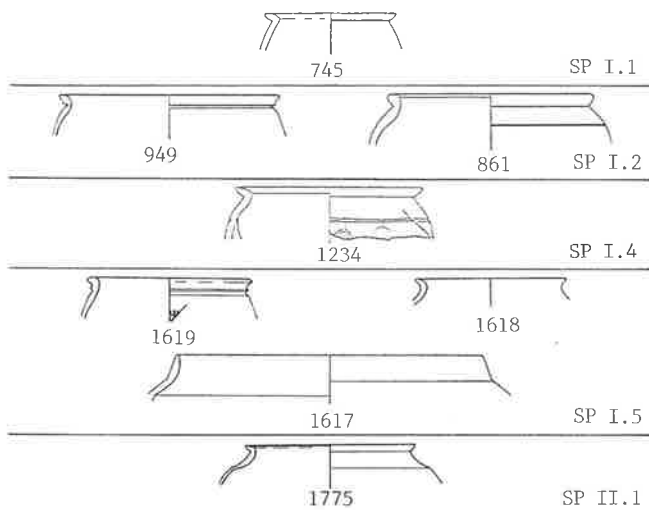


Abb. 116. Keramik keltischer Form und römischer Technik. Glanztonbecher. Varianten und ihr Auftreten in den einzelnen Phasen. M ca. 1:4.

Drack 22 zu einer Gruppe zusammenzufassen, die man Drack 22 similis nennen könnte.

Die Form mit nach innen geneigter Wand (Nr. 524) erscheint in der neronischen Holzbauperiode II, die übrigen Untertypen, insbesondere die rot überfärbten, erst in der hadrianischen Steinbauperiode I.4. Sie sind bis ins spätere 2. Jh. belegt.

4.4.2. Glanztonbecher (Abb. 116)

Die mit Glanzton überzogenen Becher und Töpfe (Nr. 1617) dürften dem orangen, oft leicht mehligem, mit Glimmer versetzten und fein gemagerten Ton nach wie die Glanztonkeramik römischer Tradition, die TS-Imitation und die orange Ware (Kap. 4.3.2.; 4.3.5.; 4.3.6.) in der Region hergestellt worden sein. Die Farbe des Überzuges an der Aussenseite der Gefässe spielt von orange über rot bis dunkelbraun, wobei alle Nuancen etwa gleich häufig sind. Im Gefässinnern ist der Überzug oft rot. Die dunklen Gefässe sind stärker vertreten als bei der Glanztonkeramik römischer Tradition oder den Glanztongefässen keltischer Tradition der Westschweiz²¹⁷, die vorwiegend orange sind. In seltenen Fällen ist der Überzug zusätzlich mit Glimmer versetzt (Nr. 861.1142), was wir von der Glanztonkeramik römischer Tradition her kennen, wo das Phänomen aber häufiger auftritt. Der Durchmesser der Becher liegt im Durchschnitt bei 9,5 cm mit einer Spannweite von 7 bis

11,5 cm. Sie sind etwas grösser als die importierten Firnisbecher (Kap. 4.2.2.) und entsprechen den Bechern, der kleinen Form der feinen Töpfe, keltischer Tradition (Kap. 4.5.1.; 4.5.2.). Nur bei einem Stück (Nr. 1617) – es ist als Topf zu bezeichnen – liegt er über 16 cm.

Mit dem Überzug stehen die Becher technologisch in der von der Sigillata, der Firniskeramik und deren Imitationen her bekannten Mittelmeertradition. Die Form wird aber aus der keltischen Keramiktradition hergeleitet (Kaenel 1974, 13; Paunier 1981, 223). Der Rand ist mit einem Schwung nach aussen gebogen, wie wir das auch bei den helltonigen und grauen feinen Bechern in keltischer Tradition (Abb. 117.122–124) beobachten können. Wie bei diesen weist er nie einen nach innen weisenden Schwung oder eine nur schwache Kehle auf, wie das für die Firnisbecher aus Lyon, aber auch für die braunen Becher aus Italien typisch ist (Abb. 70.72). Die Glanztonbecher des helvetischen Gebietes zeichnen sich durch einen engen Fuss aus²¹⁸, der beim Gefäss einen hohen Schwerpunkt bewirkt, was für die feinen Becher keltischer Tradition ebenfalls charakteristisch ist²¹⁹. Einige der in Lyon angefertigten Firnisbecher weisen einen ähnlich schmalen Fuss und hohen Schwerpunkt auf (Grataloup 1986, Abb. 2; Grataloup 1988, Nr. 171.176.193.224). Es sieht so aus, als ob sich in den Glanztonbechern zwei formale Traditionen treffen: zum einen über die Firnisbecher und hart gebrannten Becher eine in Italien und dem ganzen Mittelmeerraum seit langem beheimatete, zum anderen über die helltonigen und schwarzen feinen Becher eine keltische Tradition. Dass sie sich gegenseitig beeinflussen (Kap. 4.2.2.), in Gebieten wie Gallien oder dem Alpenraum, deren Beziehungen zu Italien bis weit in prähistorische Zeiten zurückreichen²²⁰, ist keinesfalls auszuschliessen, aber im Einzelnen schwierig zu fassen.

Anhand der äusseren Profilierung des Randes lassen sich vier Untertypen formulieren: mit nach aussen umgelegtem Rand (Nr. 745.861.1234.1775); mit sog. Karniesrand (Nr. 949.1619); mit sog. rätischem Rand (Nr. 1618); mit Steilrand (Nr. 1617). Der rätische Rand findet sich bei den helltonigen und grauen Bechern in nach aussen gebogener Ausformung wieder. Dort sind zudem der Steil- und der Karniesrand bekannt.

Die Becher sind häufig verziert. Über die Hälfte der verzierten Fragmente weisen Kerb- oder Riefelmuster auf²²¹. Die übrigen Muster, mit aufgelegten Tonfäden (Nr. 1077.1447), en barbotine (Nr. 1142.1234.1777) und mit Rille (Nr. 1776), sind selten. Korb-/Riefelmuster dominieren

217 Kaenel 1974, 10. Auch in der Region Solothurn ist die Glanztonkeramik nach meinen Erfahrungen mehrheitlich hell.

218 Dazu Kaenel 1974, Taf. 1.7.8; Ettlinger/Roth-Rubi 1979, 75; Taf. 31, 1–3.

219 So z. B. Nr. 554. Der Verzicht, in dieser Arbeit Bodenscherben abzubilden und zu behandeln, wirkt sich in diesem Fall wohl nachteilig aus, da der Fuss sozusagen «im Aufgehenden» für die Gesamtform

wichtig ist. Die Gestaltung des eigentlichen Bodens jedoch ist auch hier mehr als technische denn als formdefinierende Erscheinung zu werten, auch wenn darin – Flachboden oder aufgewölbter Boden statt Standring – ein keltisches Element gesehen wird (Kaenel 1974, 13).

220 Pauli 1979, 224ff.; Kimmig 1981; Kaenel 1987.

221 Nr. 912.1185–1187.1619.1620.1778.1779.

auch in Avenches (Kaenel 1974, Abb. 2) und in Solothurn²²²; sie erinnern an die bei den helltonigen und grauen Bechern beliebten Kerb- und Rädchenmuster. Ausserdem kommen dort aufgelegte Tonfäden vor. Die Verzierungsart an barbotine hingegen dürfte von der Reliefsigillata inspiriert sein (Kaenel 1974, 33).

Neben den Fragmenten, die wohl alle von eiförmigen Bechern stammen, ist aus dem Bauhorizont der domitianischen Steinbauperiode I.2 ein Stück mit Wandknick und konkaver Wand zu verzeichnen (Nr. 913). Es könnte von einem Becher mit Wandknick stammen (wie Kaenel 1974, Taf. 3,29–32), eine Form, die auch in der grauen Feinkeramik auftritt (Nr.1198.1199). Das Stück weist nur aussen einen Überzug auf, was an die Schüsseln mit Überzug erinnert. Er ist überdies ziemlich durchscheinend. Das Exemplar ist mit Kerbmuster und metopenartigem Feinkammstrichmuster verziert, wie wir es ähnlich von den schwarzen feinen Bechern aus den Holzbauperioden her kennen (Nr. 96.98.146.263).

Glanzttonbecher treten erstmals in der vespasianischen Steinbauperiode I.1 auf. Sie bleiben bis ins späte 2. Jh. selten (Tab. 16).

4.5. Keramik in keltischer Tradition

Ein Teil der nach Tonbeschaffenheit und Machart vermutlich in der Region hergestellten Keramik ist formal von Spätlatèneformen herzuleiten. Im Laufe der Zeit haben sich aber, wie nicht anders zu erwarten ist, eigenständige Weiterentwicklungen der keltischen Urform herausgebildet. Einige Grundformen, etwa der Topf oder der Kochtopf, kommen nicht nur im keltischen, sondern auch im mediterranen Inventar vor. In diesem Fall gehe ich davon aus, dass die keltische Form naheliegender war und deshalb eher als Vorbild in Frage kommt als die römische. Mit einer Analyse im Detail ist diese Zuweisung zu überprüfen.

Die Keramik in keltischer Tradition ist ebenso häufig wie die in der Region hergestellte Keramik in römischer Tradition, Imitation eingeschlossen (Tab. 20). Der Anteil verringert sich aber im Laufe der Zeit. Anders als bei der Keramik in römischer Tradition sind die graue Feinkeramik und die Grobkeramik gut vertreten, während die helltonige Ware eher selten ist. Die orange und die graue Feinkeramik weisen fast durchwegs gleiche oder ähnliche Formen auf.

4.5.1. Orange Keramik

Die helltonige Keramik in keltischer Tradition weist einen rosa bis orangen, selten hellbeigen Ton auf, der, vor allem bei den grösseren Gefässen, manchmal fein gemagert ist. Wie bei der helltonigen Keramik römischer Tradition (Kap. 4.3.6.) ist oft Glimmer beigegeben. Im Kern ist der Scherben manchmal grau. Die Farbe der Oberfläche spielt von beige bis dunkelbräunlichorange, meistens ist sie jedoch hellbraun. Die Aussenseite des Gefässes ist mehrheitlich geglättet oder poliert, bei den Stücken mit dreidimensionaler Verzierung (Kerben usw.) nur an den unverzierten Partien, während die Innenseite unbehandelt ist.

Mit 73 Stücken ist die orange Keramik in keltischer Tradition ziemlich selten (Tab. 20). Ihr Anteil an der Keramik keltischer Tradition (502 RS) beträgt 15%. Am häufigsten ist sie in der neronischen Holzbauperiode II²²³, während sie in der Holzbauperiode I offenbar kaum vorkommt. Im späten 1. Jh. und im 2. Jh. entspricht ihr Anteil mehr oder weniger dem Gesamtdurchschnitt.

Es kommen fünf Grundformen vor (Tab. 17): knapp die Hälfte sind Becher und feine Töpfe, die übrigen Exemplare verteilen sich annähernd gleichmässig auf die anderen Formen (Tonnen, Schüsseln, Flaschen und Näpfe). Soweit die doch eher kleinen Zahlen überhaupt eine Beurteilung zulassen, scheinen die Becher, feinen Töpfe und Schüsseln eher im mittleren 1. Jh., die Tonnen und Flaschen eher im 2. Jh. aufzutreten.

Becher und feine Töpfe (Abb. 117)

Die Becher und feinen Töpfe weisen, soweit erhalten, eine akzentuierte Schulter auf. Der Rand ist fast durchwegs in einem Schwung nach aussen gebogen, ohne dass an der Innenseite eine markante Profilierung, eine Kehle etwa, zu erkennen wäre. Damit unterscheiden sie sich von den importierten Bechern (Abb. 70.72). Die wenigen Ausnahmen, bei denen die Innenseite eine gewisse Gliederung aufweist (Nr. 374.554.715.777.1422.1437), können ebenfalls nicht mit den importierten Bechern in Verbindung gebracht werden. Wie die entsprechenden schwarzen Becher und feinen Töpfe ist die helltonige Form vom spätkeltischen Schulterbecher (Kap. 7.2.2.) herzuleiten. Helltonige Schultertöpfe sind im keltischen Inventar ebenfalls bekannt.

Dem Mündungsdurchmesser nach setzen sich die Becher kaum von den Töpfen ab. Am ehesten ist ein Grenze bei etwa 12 cm zu erkennen: Becher 7–12 cm, Töpfe 13–15,5 cm. Die Gefässe sind etwa gleich gross wie die

222 In den Vigierhäusern (Schucany 1990b) weisen die verzierten Glanztonbecher zu 50% ein Riefelmuster auf.

223 Die hohen Werte in der SP II.2 und der SP II.3 dürften an der jeweils geringen Menge – 8 bzw. 23 Randscherben – liegen und zufällig sein.

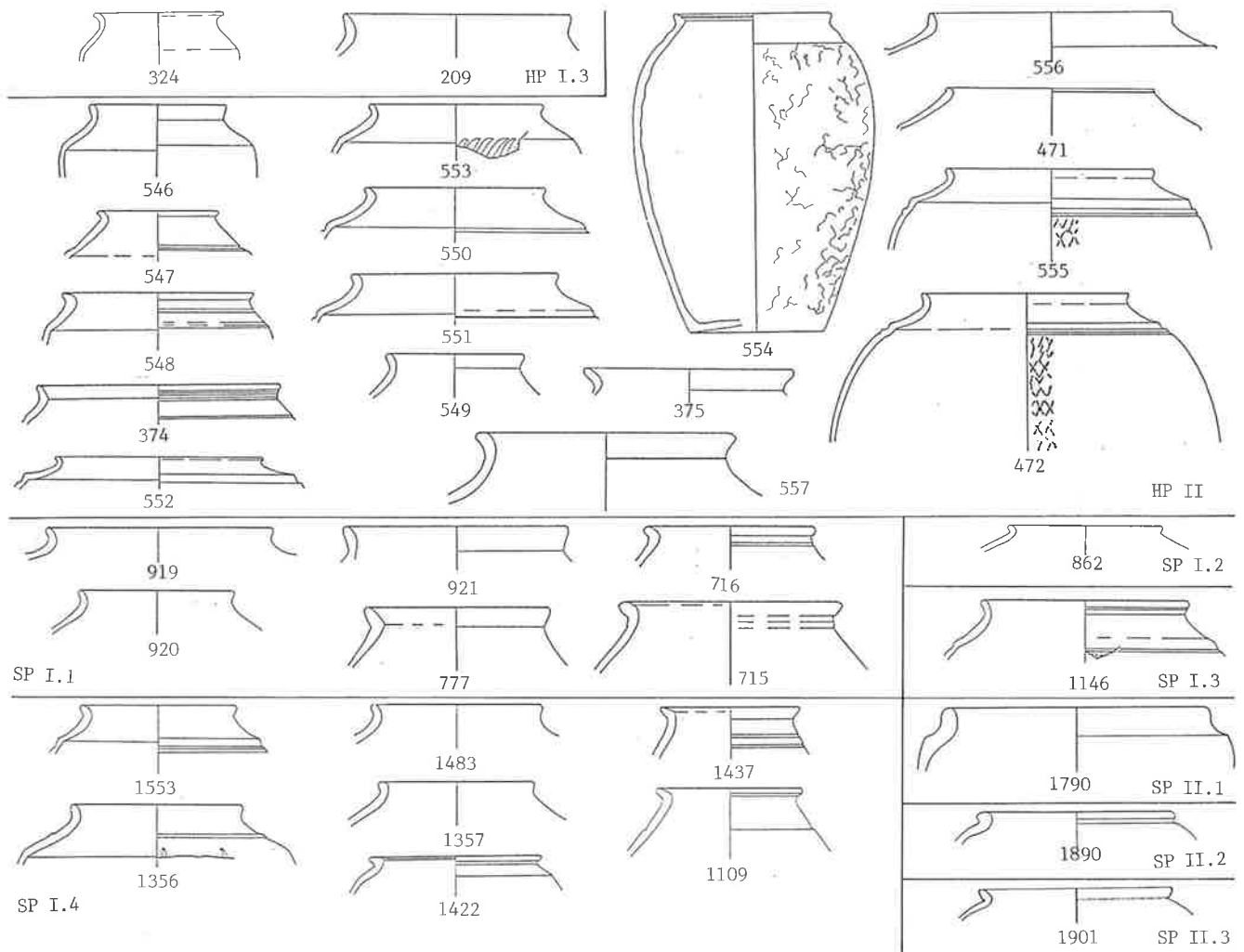


Abb. 117. Helltonige Keramik keltischer Tradition. Becher und feine Töpfe. Varianten und ihr Auftreten in den einzelnen Phasen. M ca. 1:4.

Glanztonbecher (Kap. 4.4.2.), aber etwas grösser als die importierten Becher (Kap. 4.2.2–4.2.4.). Die Becher sind wesentlich häufiger als die Töpfe (86%:14%).

Die Aussenseite des Gefäßes ist nicht selten mit Goldglimmer versehen (Nr. 324.375.546.549.1890). Beim Becher Nr. 1901 aus der Steinbauperiode II.3 des späten 2. Jh. weist auch das Innere einen Goldglimmerüberzug auf, was an die Glanztonbecher erinnert. Anders als beim keltischen Vorbild kommt Bemalung kaum vor. Einzig eine Wandscherbe aus der tiberischen Holzbauperiode I.2 (Nr. 143) weist ein bräunlich bemaltes Riefelmuster auf²²⁴. Die Bauchpartie der Gefäße ist, soweit erhalten, offenbar ähnlich dem als Vorbild dienenden keltischen Schulterbecher meistens verziert. Am häufigsten sind Kerbmuster (Nr. 210.1147.1362.1634) und Rädchenmuster (Nr. 472.555.922.1239), wobei nicht immer leicht zu entscheiden

ist, welcher der beiden Verzierungsarten ein Stück zuzuweisen ist. Riefen (Nr. 553), Netzwerk (Nr. 554) und aufgelegte Tonfäden (Nr. 1041.1356) treten nur vereinzelt auf. Die Kerb- und Rädchenmuster erinnern an die bei den Glanztonbechern so beliebten Kerb- und Riefelmuster, ebenso die aufgelegten Tonfäden.

Nach der Randform lassen sich acht Untertypen definieren: mit nach aussen gebogenem Rand²²⁵; mit nach aussen umgelegtem Rand²²⁶; mit Steilrand (Nr. 209.556.1790); randlos (Nr. 471); mit gerilltem Hals (Nr. 374.715.716.1146); mit verdickter Lippe (Nr. 554); mit Karniesrand (Nr. 1422); mit Wulstrand (Nr. 1890). Am häufigsten sind der nach aussen umgebogene Rand (29%) und der nach aussen umgelegte Rand (22%). Der gerillte Hals (8%) und der Steilrand (6%) sind seltener, während die übrigen Formen nur vereinzelt auftreten. Der nach aussen umgeboge-

224 Die Scherbe stammt von einem Becher oder einer Tonne; Flaschen hingegen scheinen nicht mit eingedrückten Mustern verziert gewesen zu sein (s. unten).

225 Nr. 324.472.550–553.555.862.919.920.1356.1357.1483.1553.

226 Nr. 375.546–549.557.777.921.1109.1437.1901.

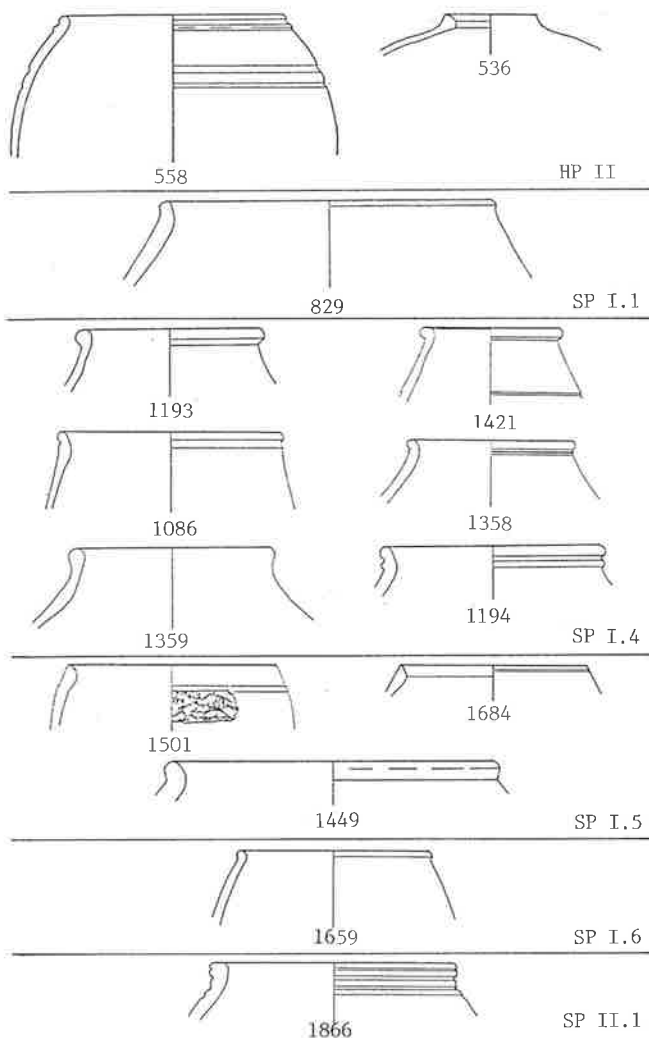


Abb. 118. Helltonige Keramik keltischer Tradition. Tonnen. Varianten und ihr Auftreten in den einzelnen Phasen. M ca. 1:4.

ne Rand kommt von der neronischen Holzbauperiode II bis zur hadrianischen Steinbauperiode I.4 vor. Der nach aussen umgelegte Rand ist hingegen von der Holzbauperiode II bis ins späte 2. Jh. belegt, wie das Stück Nr. 1901 aus Steinbauperiode II.3 zeigt: Es kann kaum als verlagert angesehen werden, da es mit dem beidseitigen Goldglimmerüberzug an die gleichzeitigen Glanztonbecher erinnert. Auch beim Becher mit Steilrand Nr. 1790 aus der Steinbauperiode II.1 dürfte es sich kaum um ein verlagertes Stück handeln, da er sich durch die beträchtliche Wanddicke deutlich von den beiden anderen aus der Holzbauperiode II (Nr. 554.556) unterscheidet. Der Typ mit gerilltem Rand erscheint von der Holzbauperiode II bis in die domitianische Steinbauperiode I.2. Die übrigen Randformen treten nur vereinzelt auf: der verdickte Rand und der randlose Typ in Holzbauperiode II, der Karniesrand in Steinbauperiode I.4 und der Wulstrand in Steinbauperiode II.2 des späten 2. Jh.

227 Eine andere Zuweisung würde das statistische Bild nur ganz minim und keineswegs signifikant verändern.

Tonnen (Abb. 118)

Als Tonnen werden im folgenden jene hohen, geschlossenen Gefässe bezeichnet, deren obere Wandpartie nach innen geneigt ist, und deren Rand kaum oder nur wenig abgesetzt und kurz ist. Die Form ist eine aus der Spätlatènezeit gut bekannt (Kap. 7.2.2.).

Bei einigen Stücken sind an der Aussenseite meist rote Farbreste zu verzeichnen (Nr. 536.1086.1449.1659). Sie erinnern von Ferne an den Untertyp mit nach innen geneigter Wand der Schüssel Drack 22 similis (z. B. Nr. 524). Da die vorliegenden Formen aber eher als hohe geschlossene Tonnen denn als offene Schüsseln zu bezeichnen sind, und da die Farbreste, soweit eine Beurteilung überhaupt möglich ist, eher auf eine breite Zonenbemalung hinweist als auf einen Überzug, habe ich diese Stücke bei den helltonigen Tonnen eingeordnet²²⁷. Ein einziges Stück ist mit Netzwerk verziert (Nr. 1501).

Die Mündungsdurchmesser streuen im Bereich von 5–18 cm. Die grossen Exemplare sind seltener. Nach der Randform lassen sich drei Untertypen definieren: mit gerilltem Wulstrand (Nr. 558.1086.1194.1358.1866); mit gerade abgestrichenem Rand (Nr. 536.829.1501.1684); mit einfachem Wulstrand (Nr. 1193.1359.1421.1449.1659). Die beiden ersten Formen kommen von der neronischen Holzbauperiode II bis etwa ins 3. Viertel des 2. Jh. vor, während die letzte erst in der hadrianischen Steinbauperiode I.4 erscheint.

Flaschen (Abb. 119)

Als Flaschen werden im folgenden jene hohen, geschlossenen Gefässe bezeichnet, deren Rand nach einer relativ starken Verengung wieder nach aussen gebogen ist. Wie der grautonige Typ (Abb. 126) gehen sie auf eine Form zurück, die im spätkeltischen Keramikinventar sehr beliebt war (Kap. 7.2.2.).

Die Mehrzahl der vorliegenden Stücke dürfte, analog zum Vorbild, von bemalten Gefässen stammen (Nr. 1087.1636). Bei den meisten Randscherben reicht der erhaltene Teil nicht bis in die bemalte Zone. Die abgebildeten bemalten Wandscherben sind wohl mehrheitlich dieser Form zuzurechnen, denn sie weisen innen eine völlig unbehandelte Oberfläche auf, was vermuten lässt, dass sie eher von geschlossenen Gefässen stammen als von bemalten Schüsseln (s. unten). Die häufigste Verzierung sind weisse und rote, selten dunkle (Nr. 91) horizontale Streifen²²⁸. Oft sind sie zusätzlich mit einem feinen dunklen Sepiamuster bemalt (Nr. 560.1088.1468.1636.1722.1791). Bei zwei Scherben ist nur je eine einfarbige Streifenbemalung erhalten: rot (Nr. 863) und weiss (Nr. 1087).

228 Nr. 966.1040.1196.1360.1450.1666.1845.

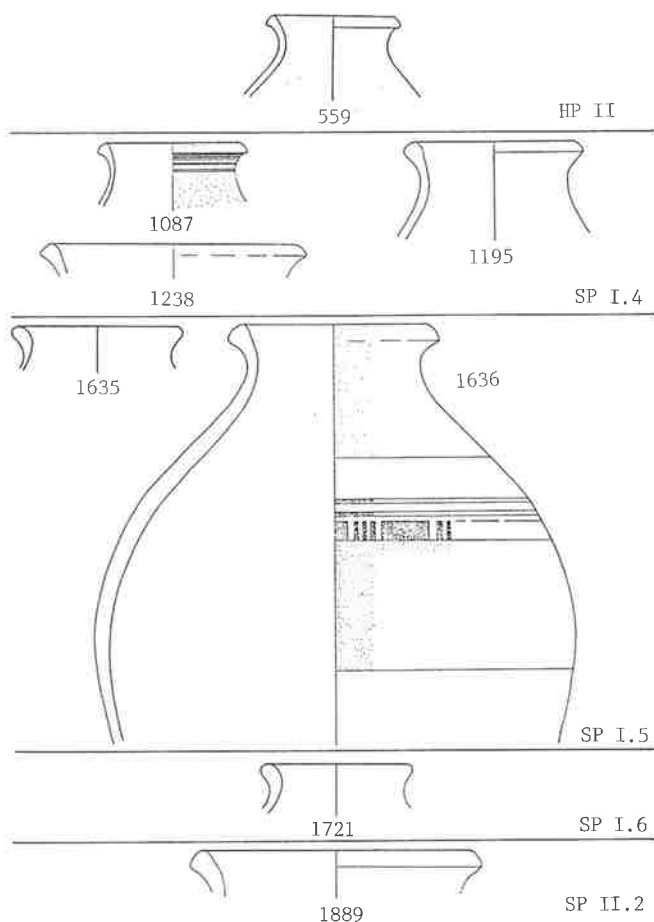


Abb. 119. Helltonige Keramik keltischer Tradition. Flaschen. Varianten und ihr Auftreten in den einzelnen Phasen. M ca. 1:4.

Die Mündungsdurchmesser liegen im Bereich von 7,5–15,5 cm. Der Ausbildung der Lippe nach können zwei Untertypen umschrieben werden: mit relativ gerade abgestrichener Lippe (Nr. 559.1087.1238.1636.1889); mit runder Lippe (Nr. 1195.1635.1721).

Die bemalte Ware römischer Zeit wird allgemein als Keramik in Spätlatène-Tradition bezeichnet (Maier 1967). Sie ist im Gesamtspektrum ebenso selten wie die Randscherben der helltonigen Flaschen (1%²²⁹). In Oberwinterthur kommt die bemalte Ware häufiger vor: An der Römerstrasse 186 im 1. Jh. macht sie 0–8% aus, bezogen auf das Spektrum der Feinkeramik, auf dem Kirchhügel 3–15%, im 2. Jh. 2–5%²³⁰. Noch grösser sind die Unterschiede zu Solothurn, wo der Anteil im Gesamtspektrum von 8% im früheren 1. Jh. über 7% im späten 1. Jh. auf 2% im späten 2./früheren 3. Jh. zurückgeht (Schucany 1990b, Abb. 1). Anders als bei diesen beiden Vergleichsstationen scheint in Baden der Anteil im Laufe der Zeit leicht zuzunehmen:

229 Bezogen auf die Zahl der Randscherben plus die bemalten Wandscherben. Bezogen auf alle Scherben wären es etwa zehnmaler. – Der Anteil der Flaschen an den Randscherben beträgt 0,5%.

230 Rychener 1984,50; Rychener/Albertin 1986, Tab. 8. In Baden beträgt

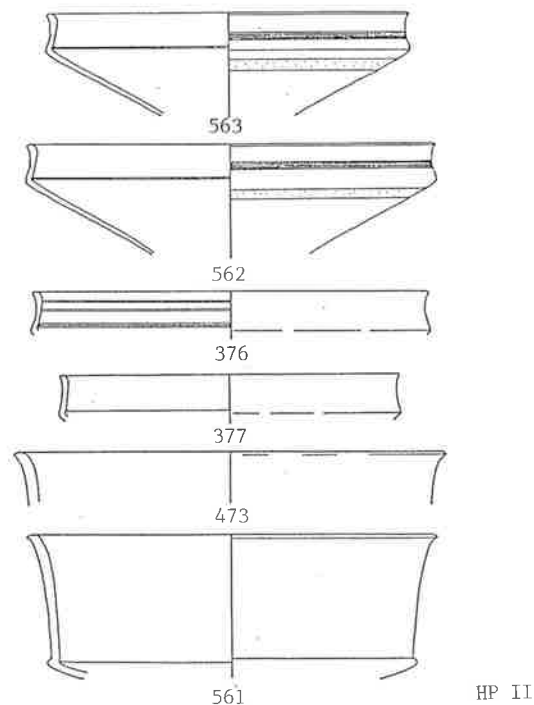


Abb. 120. Helltonige Keramik keltischer Tradition. Schüsseln. Varianten und ihr Auftreten in den einzelnen Phasen. M ca. 1:4.

Im 1. Jh. schwankt er zwischen 0% und 1%, im 2. Jh., wo ein vermehrtes Aufkommen der Flaschen zu verzeichnen ist (Kap. 9.2.1.), erhöht er sich auf 2%–4%²³¹.

Schüsseln (Abb. 120)

Es kommen zwei helltonige Schüsseltypen vor: mit Wandknick (Nr. 376.377.473.561–563); mit halbkugelförmiger Form (Nr. 256.1255.1469). Beide lassen sich aus spätkeltischen Schüsseltypen herleiten (Kap. 7.2.2.).

Die Knickschüssel kommt in zwei Ausformungen vor: mit niedrigem Rand (Nr. 376.377.562.563); mit hohem Rand (Nr. 473.561). Letztere findet sich auch bei den Schüsseln mit Überzug und bei der grauen Feinkeramik (Abb. 114.127.128). Aussen ist die Oberfläche poliert, innen nur soweit geglättet, dass sie eben ist. Zwei der Stücke des niedrigen Untertyps weisen aussen Rillen und einen aufgerauhten Streifen auf (Nr. 562.563). Mit einem Randedurchmesser von 18–23 cm sind die Knickschüsseln etwas kleiner als die entsprechende Form mit Überzug, Drack 20. Die Knickschüsseln kommen nur in der neronischen Holzbauperiode II vor.

der entsprechende Anteil 2% am Spektrum der Feinkeramik (Sigillata/TS-Imitation/Firniskeramik/Glanztonkeramik).

231 Allerdings ist angesichts der geringen Mengen bei der Beurteilung dieser Werte grosse Vorsicht geboten.

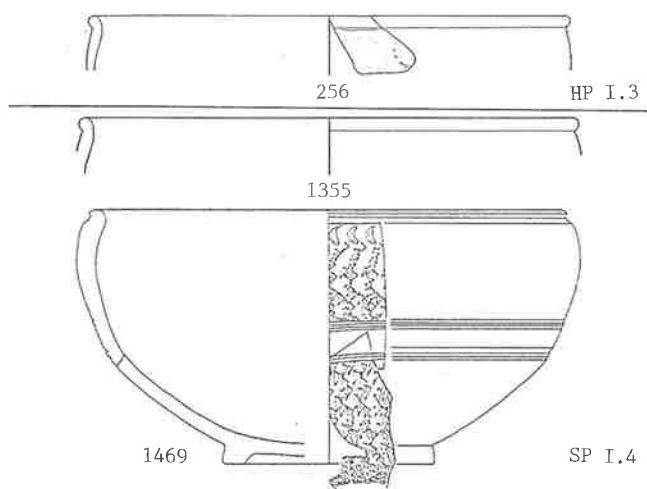


Abb.120. (Fortsetzung).

Der Ton der halbkugeligen Schüsseln ist auffallend hell, rosa bis hellorange. Ein Exemplar weist weisse Farbreste an der Aussenseite auf (Nr. 256), womit es als sog. bol Roanne bezeichnet werden kann (dazu Maier 1966, 159). Ein anderes Stück ist mit Kerbmuster verziert (Nr. 1469). Zu Schüsseln diesen Typs dürften auch die mit Riefelmuster verzierte Wandscherbe aus der tiberischen Holzbauperiode I.2 (Nr. 144) und die mit Kerbmuster verzierte Scherbe (Nr. 1451) aus der Steinbauperiode I.5 des mittleren 2. Jh. gehören. Mit einem Durchmesser von rund 26 cm sind sie grösser als die Knickschüsseln und die entsprechende Form mit Überzug, Drack 22 similis (Abb.115). Die halbkugelige Form ist ebenfalls in der Holzbauperiode II vertreten, kommt aber auch in den Schichten des 2. Viertels des 2. Jh. vor.

Näpfe (Abb. 121)

Offene Gefässe mit nach einwärts gebogenem Rand gehören zu den beliebtesten Formen der Spätlatènezeit (Furger-Gunti 1979, 73). Die groben, oft handgeformten Exemplare werden der Grobkeramik (Kap. 4.5.3.) zugerechnet. Neben grautonigen (Kap. 4.5.2.) kommen auch helltonige Stücke vor. Auch sie finden im keltischen Inventar Vorbilder (Kap. 7.2.2.). Im Gegensatz zu den flachen Gefässen römischer Tradition mit verdicktem Rand

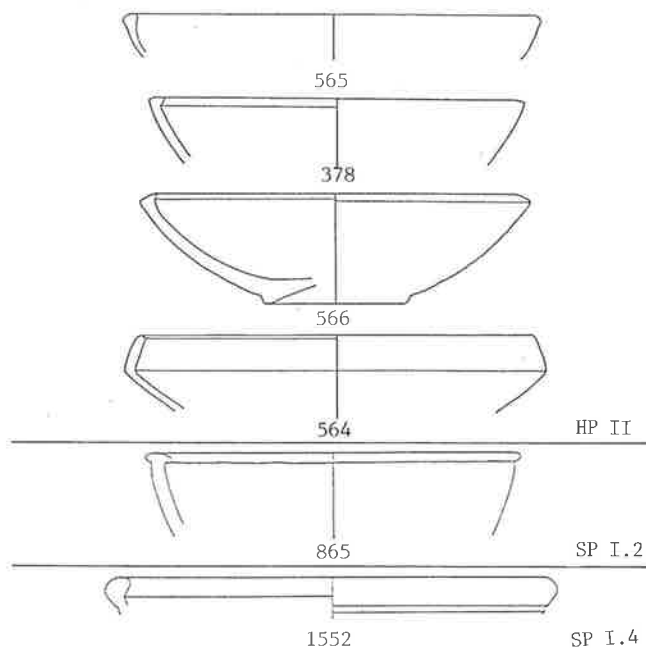


Abb.121. Helltonige Keramik keltischer Tradition. Näpfe. Varianten und ihr Auftreten in den einzelnen Phasen. M ca. 1:4.

ist bei den keltischen Näpfen wie bei jenen keltischer Tradition der Rand stets nach innen verdickt.

Die Farbe spielt von hellorange bis dunkelbeige. Die Oberfläche ist nicht immer sorgfältig geglättet wie bei den bisher besprochenen Formen (z. B. Nr. 565); der Übergang zu den grobkeramischen Näpfen ist fließend, wobei die manchmal auftretende Magerung stets feinkörnig ist.

Mit einem Durchmesser von 20,5–24,5 cm sind sie relativ gross. Der Randform nach lassen sich vier Untertypen beschreiben: mit nach innen umgelegtem Rand (Nr. 564); mit gerundetem, verdicktem Rand (Nr. 565, 1552); mit dreieckig nach innen verdicktem Rand (Nr. 378, 566); mit T-förmigem Rand (Nr. 865).

Helltonige Näpfe treten vom 3. Viertel des 1. Jh. bis ins 2. Viertel des 2. Jh. auf.

4.5.2. Graue Feinkeramik

Gefässe, deren Ton nicht oder nur fein gemagert und deren Oberfläche an der Aussenseite fast immer geglättet ist, werden der grauen Feinkeramik zugerechnet. Die Mehrzahl der Formen ist vom keltischen Inventar (Kap. 7.2.2.) herzuleiten und nur wenige sind in der Tradition des Mittelmeerraumes verwurzelt (Kap. 4.3.7.). Die graue Feinkeramik keltischer Tradition bezeichnet man auch als Nigra (Paunier 1981, 260). Der Ton ist wie bei der in der

Region hergestellten helltonigen Ware oft mit Glimmer versetzt. Ab dem früheren 2. Jh. ist der Scherben öfters sandig oder fein gemagert²³², so dass die Grenze zur Grobkeramik feinerer Machart fließend wird (z. B. Nr. 1475.1502.1508.1804.1805). Im früheren und mittleren 1. Jh. fällt eine an sich feine Ware auf, die mit hellen, oft recht groben Körnern durchsetzt ist²³³. Der Scherben ist meist grau, manchmal beige, selten rötlich oder schwarz. Die Farbe der Oberfläche schwankt von hellgrau bis schwarz. Manchmal, insbesondere bei den Schüsseln, ist schwierig zu entscheiden, ob eine geglättete, polierte Oberfläche vorliegt oder ein Überzug.

Mit 258 Randscherben ist die graue Feinkeramik keltischer Tradition nach der Sigillata die häufigste Keramikgattung im Gesamtbestand (Tab. 20). Sie macht gut die Hälfte (51%) der Keramik keltischer Tradition (502 RS) aus. Im Laufe der Zeit ist ein Rückgang zu verzeichnen.

Es kommen vier Grundformen vor (Tab. 18), die jenen der orangen Keramik in keltischer Tradition (Kap. 4.5.1.) ziemlich entsprechen: Becher/feine Töpfe, Flaschen, Schüsseln und Näpfe. Tonnen fehlen, es sei denn, man bezeichne die steilwandigen Becher als kleine Tonnen. Die Becher und feinen Töpfe machen fast zwei Drittel des Bestandes aus, die Schüsseln gut einen Viertel, Näpfe und Flaschen hingegen sind selten. Die Näpfe kommen bei der grauen Feinkeramik in ähnlichem Anteil vor wie bei der orangen Keramik (Tab. 17), die Schüsseln und Becher hingegen sind viel häufiger, die Flaschen jedoch wesentlich seltener.

Becher und feine Töpfe

Ähnlich wie bei den helltonigen Bechern und feinen Töpfen (Kap. 4.5.1.) lassen sich die grautonigen Becher dem Mündungsdurchmesser nach kaum von den Töpfen absetzen, obwohl man beim Betrachten der einzelnen Ensembles durchaus den Eindruck gewinnt, es lägen zwei Größen vor. Am ehesten lässt sich eine Grenze bei 12 cm oder 14 cm ziehen, also etwa im gleichen Bereich wie bei den helltonigen Gefäßen. Wie in jener Gruppe sind die Becher in jedem Fall häufiger²³⁴. Die Grösse schwankt zwischen 7 und 19 cm. Damit sind sie wie die Glanztonbecher (Kap. 4.3.5.) und die helltonigen Becher grösser als die importierten (Kap. 4.2.2.).

Der Form nach lassen sich zwei Typen unterscheiden: Gefässe mit einer akzentuierten Schulter und steilwandige Becher.

Schulterbecher/-töpfe (Abb. 122–124)

Wie die helltonige Entsprechung (Abb. 117) sind die Gefässe mit akzentuierter Schulter vom spätkeltischen Schulterbecher herzuleiten, für den ein in einem Schwung nach aussen gebogener Rand typisch ist (Kap. 7.2.2.). Allerdings kommen im vorliegenden Material einige wenige Stücke mit Innenkehle (Nr. 154.167.803) vor. Sie dürfen jedoch keineswegs mit den oft leicht gekelhten, aber stets kelchförmigen Rändern der importierten Becher (Abb. 70.72) in Verbindung gebracht werden. Ähnliche Innenkehlen treten, wenn auch selten, in spätkeltischen Zusammenhängen auf (Hartmann et al. 1989, Abb. 8,5).

Einige Male kommt das beim keltischen Vorbild so beliebte metopenartige Kammstrichmuster vor (Nr. 96.98.146.931). Aus Basel-Gasfabrik etwa stammt ein gut vergleichbarer Schulterbecher (Furger-Gunti/Berger 1980, Nr. 1740). Eine weitere schon in keltischer Zeit verwendete Verzierungsart ist das Glättmuster (Nr. 187.263.385.932.969.1300.1472). Die häufigste Verzierung ist jedoch wie bei den helltonigen Beispielen das Rädchenmuster²³⁵ (46%). Aufgelegte Tonfäden²³⁶ (16%) und Glättmuster (11%) kommen ebenfalls mehrmals vor, während Netzwerkmuster²³⁷ (8%), Nuppen²³⁸ (6%) und Kammstrichmuster (6%) seltener sind. Kerbmuster (Nr. 95), Riefen (Nr. 927), Besenstrich (Nr. 989), Fingernageleindrücke (Nr. 1474) und Falten (Nr. 1808) sind selten. Das Rädchenmuster ist nahezu in allen Phasen vertreten, ebenso das Netzwerkmuster und das Glättmuster. Die Beispiele streuen vom früheren 1. bis ins frühere 2. Jh. Das Kammstrichmuster hingegen scheint sich auf die Holzbauperiode I der 1. Hälfte des 1. Jh. zu beschränken – das Stück Nr. 931 vom Bauhorizont der domitianischen Steinbauperiode I.2 ist wohl verlagert. Aufgelegte Tonfäden und Nuppen – beides im Unterschied zu den übrigen Verzierungen erhabene Muster – erscheinen erst ab flavischer Zeit.

Mehrheitlich weisen die Gefässe aussen an den unverzierten Partien eine geglättete oder polierte Oberfläche auf. Einige wenige Stücke sind mit einem Glimmerüberzug (Nr. 269.432.576.577) oder einem schwarzen Tonüberzug (Nr. 1643.1685.1802.1808) versehen. Nur bei wenigen Exemplaren lässt sich nicht entscheiden, ob eine polierte Oberfläche oder ein Überzug vorliegt (Nr. 697.1058.1091.1375.1471.1868). Der Glimmerüberzug kommt nur im mittleren 1. Jh. vor. Der schwarze Überzug erscheint erst ab dem mittleren 2. Jh. oder höchstens ab flavischer Zeit, wenn man bei den unsicheren Stücken einen Überzug annimmt.

Der Randform nach lassen sich 12 Untertypen umschreiben, die weitgehend den orangen Formen entspre-

232 Nr. 969.1300.1302.1471.1474.1475.1502.1508.1686.1711.1804.1805.1874.

233 Nr. 21.121.325.328.329.396.432.434.476.570.572.574.575.831.

234 86% bei 14 cm als Grenze, 69% bei 12 cm.

235 Nr. 2.21.52.113.267.567.781.868.869.928.929.952.967.968.991.1089.1152.1302.1371.1381.1559.1810–1812.1839.1869.1902.

236 Nr. 782.993.1058.1091.1246.1423.1471.1639.1809.1868.

237 Nr. 53.167.807.992.1404.

238 Nr. 806.930.1092.1242.

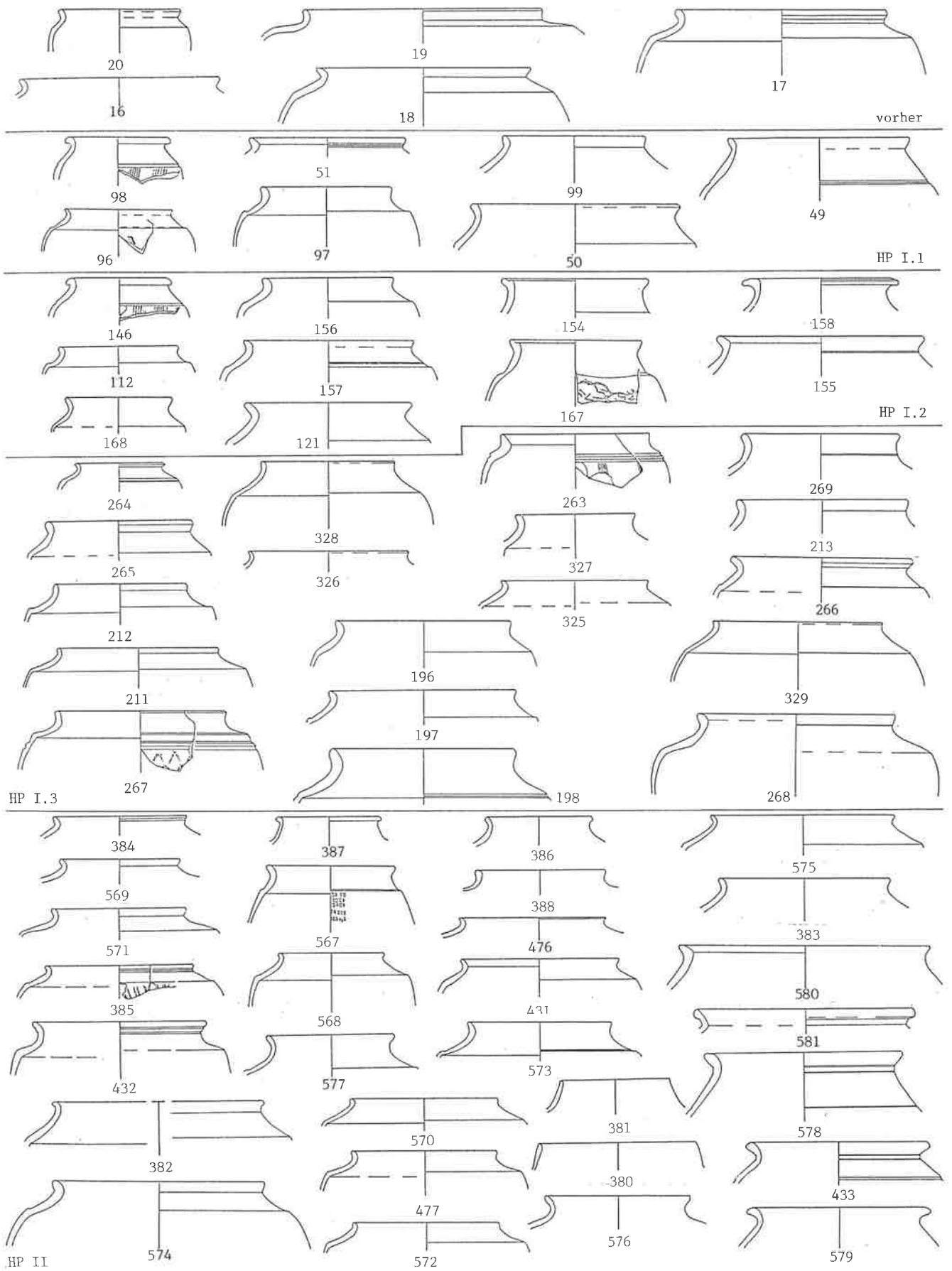


Abb.122. Grautönige Keramik keltischer Tradition. Schulterbecher der Holzbauperioden. M ca. 1:4.

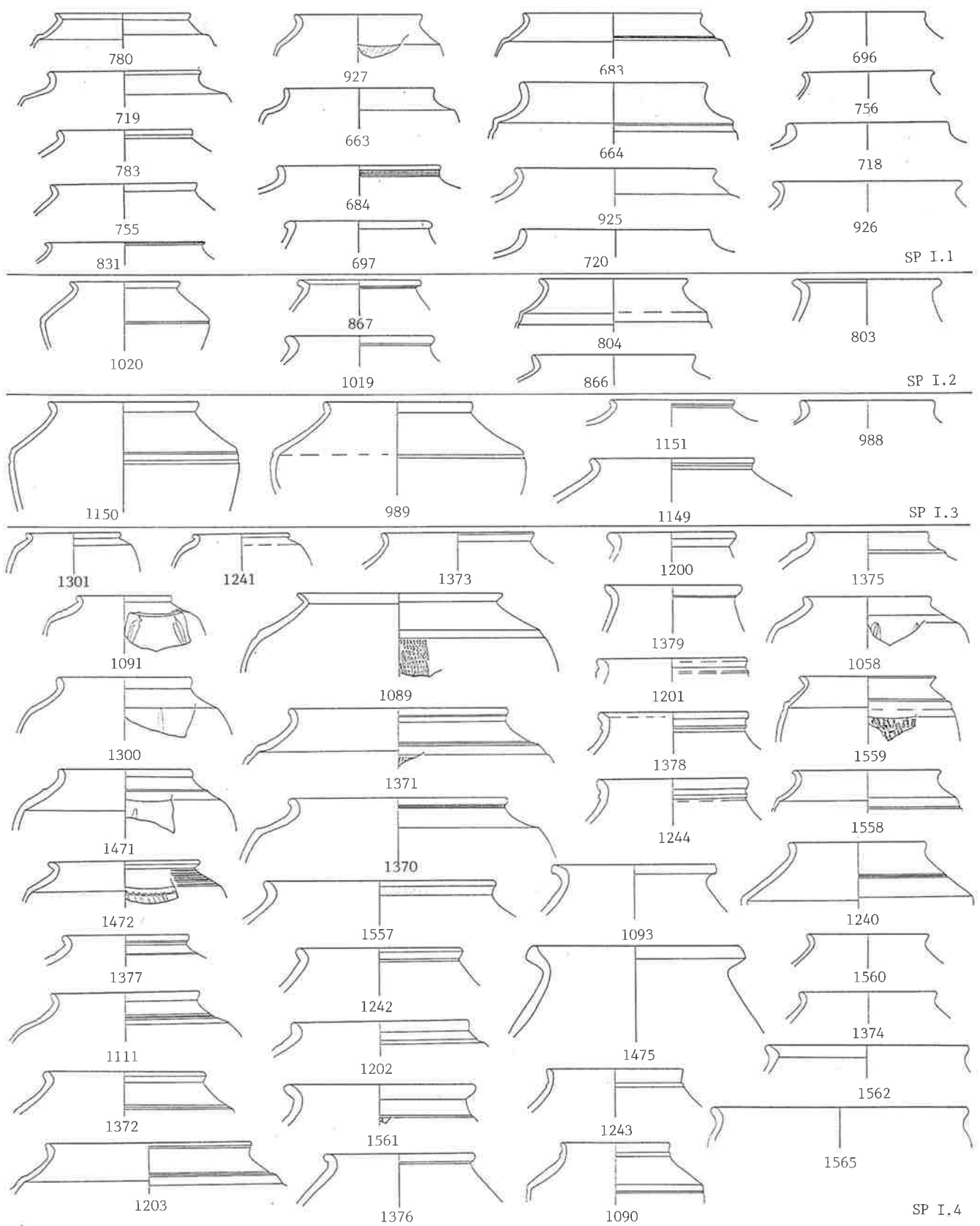


Abb. 123. Grautonige Keramik keltischer Tradition. Schulterbecher der Steinbauperiode I.1-4. M ca. 1:4.

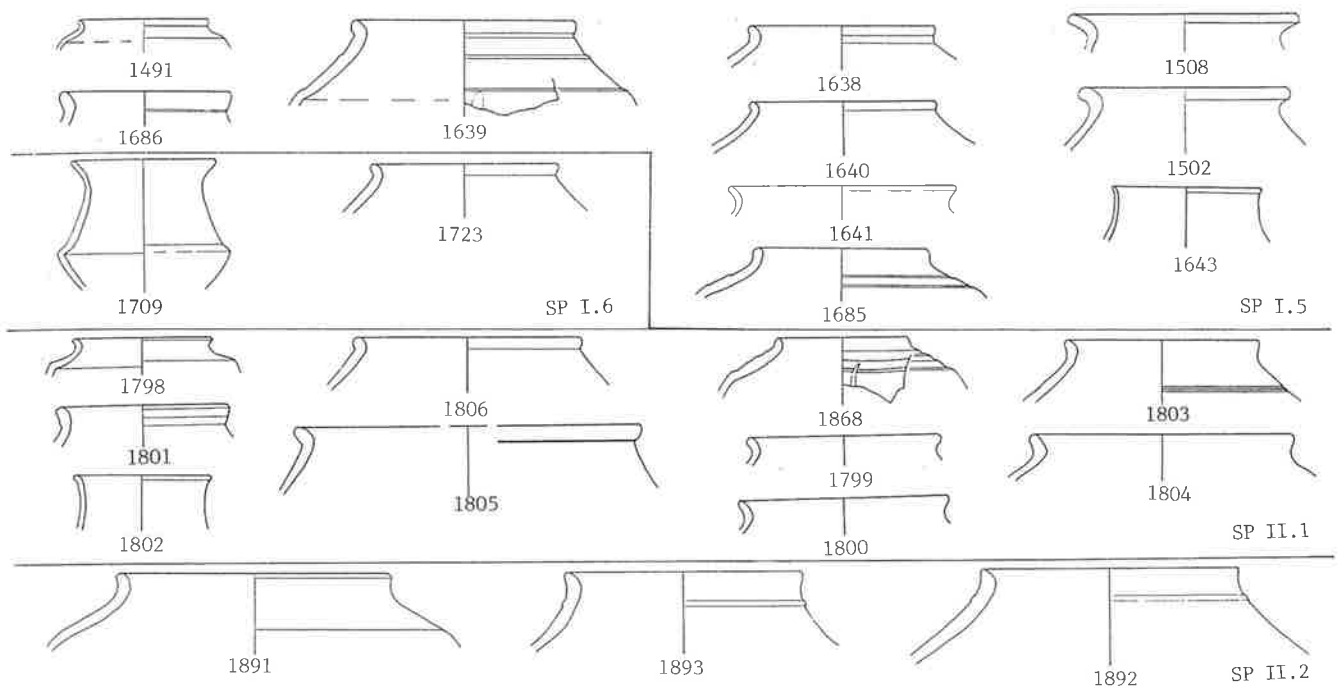


Abb. 124. Grautonige Keramik keltischer Tradition. Schulterbecher der Steinbauperiode I.5–6 und der Steinbauperiode II. M ca. 1:4.

chen: mit nach aussen gebogenem Rand²³⁹; mit nach aussen umgelegtem Rand²⁴⁰; mit Steilrand²⁴¹; mit gerilltem Hals²⁴²; mit Wulstrand²⁴³; mit Innenkehle (Nr. 154.167.803); mit gerilltem Rand (Nr. 158); mit Wulst am Hals (Nr. 1090.1243.1892.1893); mit bandförmigem, umgelegtem Rand (Nr. 1093.1475.1502.1508); Niederbieber 33 (Nr. 1643.1802); mit hohem Hals (Nr. 1709). Wie bei den helltonigen Stücken sind der nach aussen gebogene Rand (34%) und der nach aussen umgelegte Rand (25%) die mit Abstand häufigsten Formen. Der gerillte Hals (14%), der Steilrand (8%) und der Wulstrand (4%) treten ebenfalls mehrfach auf, während die übrigen Formen nur vereinzelt vorkommen. Der nach aussen gebogene Rand erscheint in allen Phasen vom frühen 1. bis ins späte 2. Jh., ähnlich wie der nach aussen umgelegte Rand, der Steilrand, der gerillte Hals und der Wulstrand, die bis ins mittlere 2. Jh. belegt sind. Der gekahlte Rand hingegen scheint typisch für das frühere 1. Jh. zu sein – das Stück Nr. 803 aus der domitianischen Steinbauperiode I.2 dürfte verlagert sein. Die Form mit Halswulst und der bandförmige Rand erscheinen erst ab der hadrianischen Steinbauperiode I.4. Der Becher Niederbieber 33 tritt erstmals in Steinbauperiode I.5 des mittleren 2. Jh. auf. Als Leitform des Niederbieber-Horizontes datiert er diese und die folgenden Schichten (Kap. 5.5.5.).

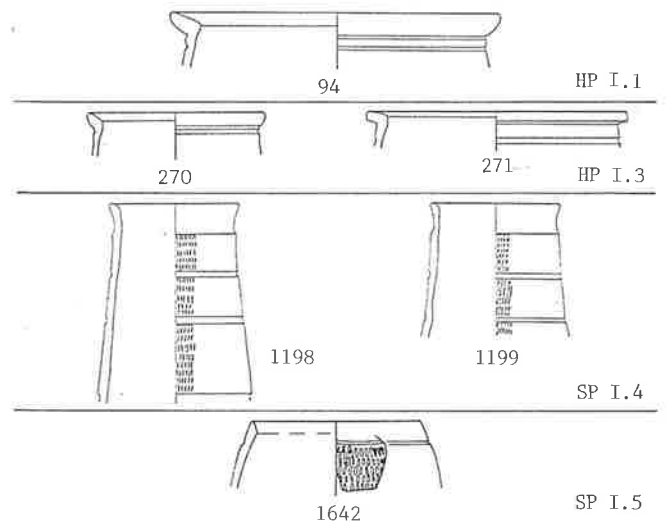


Abb. 125. Grautonige Keramik keltischer Tradition. Steilwandige Becher. Varianten und ihr Auftreten in den einzelnen Phasen. M ca. 1:4.

Steilwandige Becher (Abb. 125)

Folgende drei Typen sind zu verzeichnen: mit nach aussen umgelegtem Rand, sog. Gurtbecher (Nr. 94.270.271); mit schwach nach aussen gebogenem Rand (Nr. 1198.1199); mit nach innen geneigter Wand (Nr. 1642). Den

239 Nr. 16.50.97.112.121.156.168.197.209.267.325.327–329.383.386.388.431.476.477.567.568.570.572.573.575 – 577.579.580.663.664.683.696.718.719.756.804.831.866.925–927.1058.1374.1558 – 1560.1562.1565.1641.1798–1800.1803.1804.1891.

240 Nr. 18.20.49.96.99.155.196.198.211–213.246.265.268.269.382.433.569.571.574.578.581.755.780.989.1020.1089.1091.1111.1150.1200.1301.1372.1373.1379.1472.1491.1557.1561.1686.1723.1805.

241 Nr. 19.263.380.381.720.988.1202.1240.1300.1375.1471.1685.1868.

242 Nr. 17.51.266.384.385.432.684.783.867.1019.1149.1151.1201.1203.1242.1244.1370.1371.1376–1378.1638.1639.1801.

243 Nr. 98.146.387.697.1241.1640.1806.

Gurtbecher hat man auch schon als belgische Form angesehen (Ettlinger 1949, 39 Taf. 11,12,13). In der Machart unterscheiden sich unsere Stücke jedoch in nichts von der in der Region hergestellten grauen Feinkeramik. Ähnliche Profile sind aus keltischen Zusammenhängen aus dem Gebiet der heutigen Schweiz bekannt (Furger-Gunti 1974/75, Abb. 9,28,29). Die Gurtbecher treten nur in der Holzbauperiode I der 1. Hälfte des 1. Jh. auf. Die zweite Form aus der hadrianischen Steinbauperiode I.4 könnte auf oft mit Glättmuster verzierte grosse Becher keltischer Zeit zurückgehen (Furger-Gunti/Berger 1980, Nr. 2025–2037). Die dritte Form findet eine Entsprechung in den gleichzeitigen kleinen, orangen Tonnen (Nr. 1501.1684) aus der Steinbauperiode I.5 des mittleren 2. Jh. Ähnliche graue Tonnen kleinen Formats sind aus spätkeltischen Zusammenhängen bekannt (z.B. Furger-Gunti/Berger 1980, Nr. 1912).

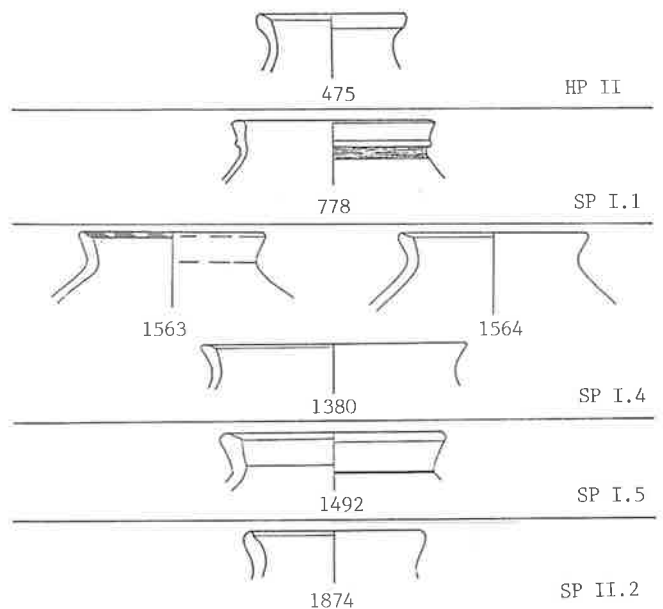


Abb. 126. Grautonige Keramik keltischer Tradition. Flaschen. Varianten und ihr Auftreten in den einzelnen Phasen. M ca. 1:4.

Flaschen (Abb. 126)

Wie der helltonige Typ (Abb. 119) sind die grautonigen Flaschen von einem keltischen Vorbild herzuleiten (Kap. 7.2.2.). Die Mündungsdurchmesser bewegen sich zwischen 8 und 14 cm, also etwa im Bereich der helltonigen Flaschen (Kap. 4.5.1.). An der Aussenseite sind die Gefässe meist geglättet. Sie weisen keinen Überzug auf.

Der Rand der vorliegenden Stücke ist ziemlich individuell gestaltet. Die von der helltonigen Form bekannten Untertypen sind vertreten, wenn auch in etwas anderer Form: mit gerade abgestrichener Lippe (Nr. 475); mit runder Lippe (Nr. 1874). Zwei weitere Untertypen sind zu verzeichnen: mit Steilrand (Nr. 778.1492); mit relativ spitzer Lippe (Nr. 1380). Grautonige Flaschen können offenbar in allen Schichten auftreten.

Schüsseln

Die grautonigen Schüsseln weisen wie die helltonigen und jene mit Überzug (Kap. 4.4.1.; 4.5.1.) mehrheitlich nur an der Aussenseite eine Oberflächenbehandlung auf: Glättung/Politur²⁴⁴ oder Überzug²⁴⁵. Sie sind wesentlich häufiger mit einem Überzug versehen als die anderen Formen der grauen Feinkeramik. Dies hängt wohl damit zusammen, dass man sie, mindestens z.T., in den gleichen Werkstätten herstellte wie die TS-Imitation (Drack 1945, 93; Laufer 1980, Abb. 7). Oft ist jedoch nicht zu entscheiden, ob eine geglättete Oberfläche oder ein Überzug vorliegt²⁴⁶.

Bei einem Exemplar (Nr. 184) ist innen eine bräunliche Haut erhalten, wie wir es von den roten Schüsseln Drack 21 her kennen.

Neben einem singulären Einzelstück (Nr. 258), das im Unterschied zur Mehrheit der Schüsseln beidseits einen Überzug aufweist, kommen die drei bei den Schüsseln mit Überzug schon festgestellten Typen vor: Knickschüssel mit einfachem Rand (Drack 20); Knickschüssel mit profiliertem Rand (Drack 21); halbkugelige Schüssel (Drack 22 similis). Die Verteilung auf die Typen sieht bei den grauen Stücken jedoch ganz anders aus: die bei den Schüsseln mit Überzug so häufige Form Drack 21 (82%) ist mit 22% vergleichsweise selten, ebenso der Typ Drack 22 similis (6%:14%), während die dort seltene Form Drack 20 (4%) hier mit 72% den Löwenanteil ausmacht.

Drack 20 (Abb. 127.128)

Die Knickschüssel mit einfachem Rand ist wie die helltonige Form (Abb. 120) von der keltischen Knickschüssel herzuleiten (Kap. 7.2.2.). Dem Durchmesser nach verteilen sich die Schüsseln relativ gleichmässig auf Grössen zwischen 17 und 28 cm. Nur wenige sind grösser. Damit entsprechen sie ungefähr den Sigillataschüsseln Drag. 29 (Abb. 69) und den Schüsseln mit Überzug Drack 20/21. In La Péniche kommen zwei Grössen vor: 12–13 cm und 20–24 cm (Laufer 1980, 33).

Der Randform nach lassen sich drei Untertypen beschreiben: mit geschweifeter oberer Wandpartie und abge-

244 Nr. 45.131.153.186.214.257.260–262.389.417.434.583.587.682.717.923.1293.1298.1369.1503.

245 Nr. 258.295.479.480.582.584–586.588.667.668.757.1053.1655.1670.1867.

246 Nr. 46.47.92.93.183–185.215.259.294.390–392.665.666.779.990.1204.1299.1366.1367.1473.1554–1556.1644.1724.1794–1796.

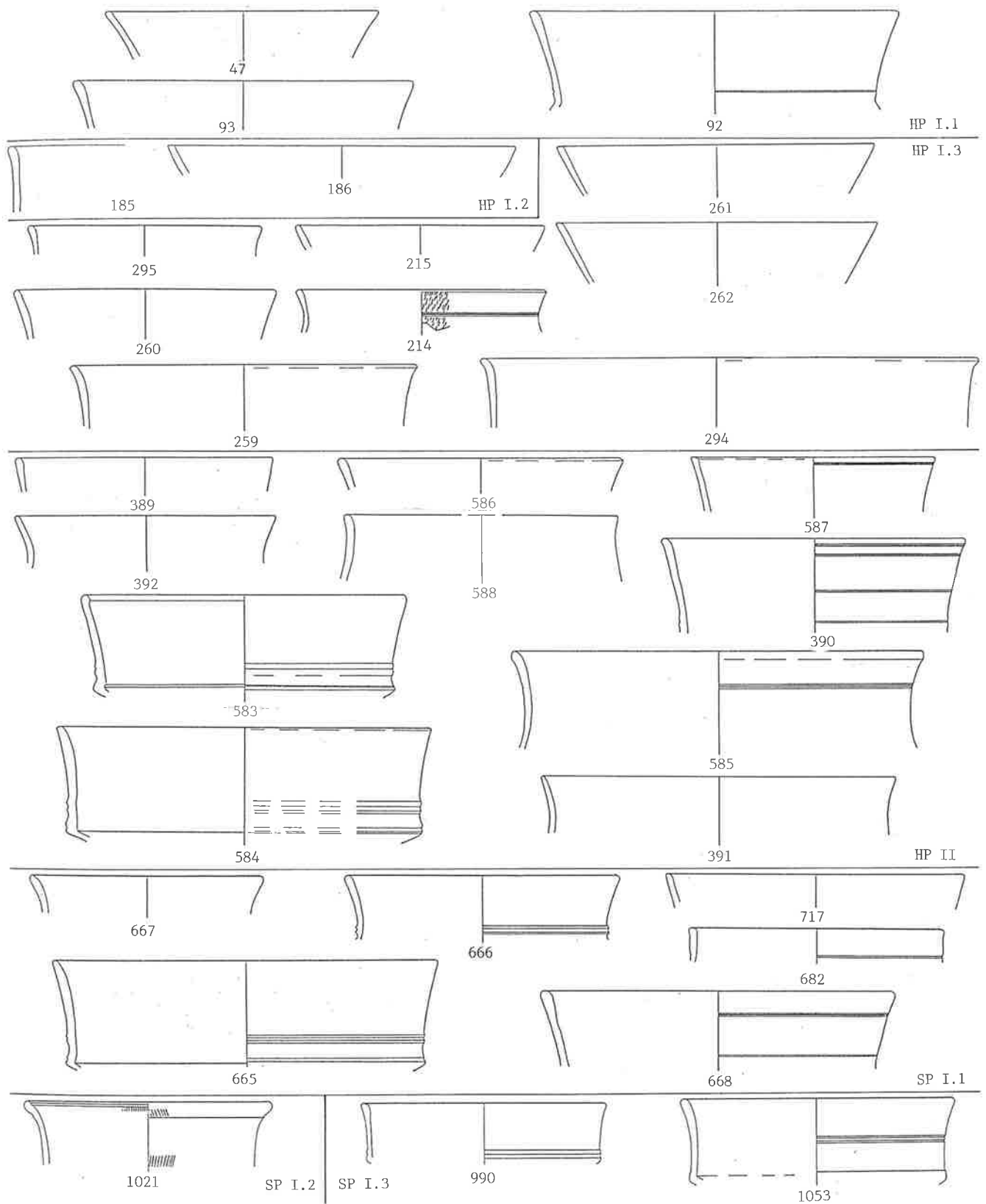


Abb.127. Grautonige Keramik keltischer Tradition. Schüsseln Drack 20 der Holzbauperioden und der Steinbauperiode I.1-3. M ca. 1:4.

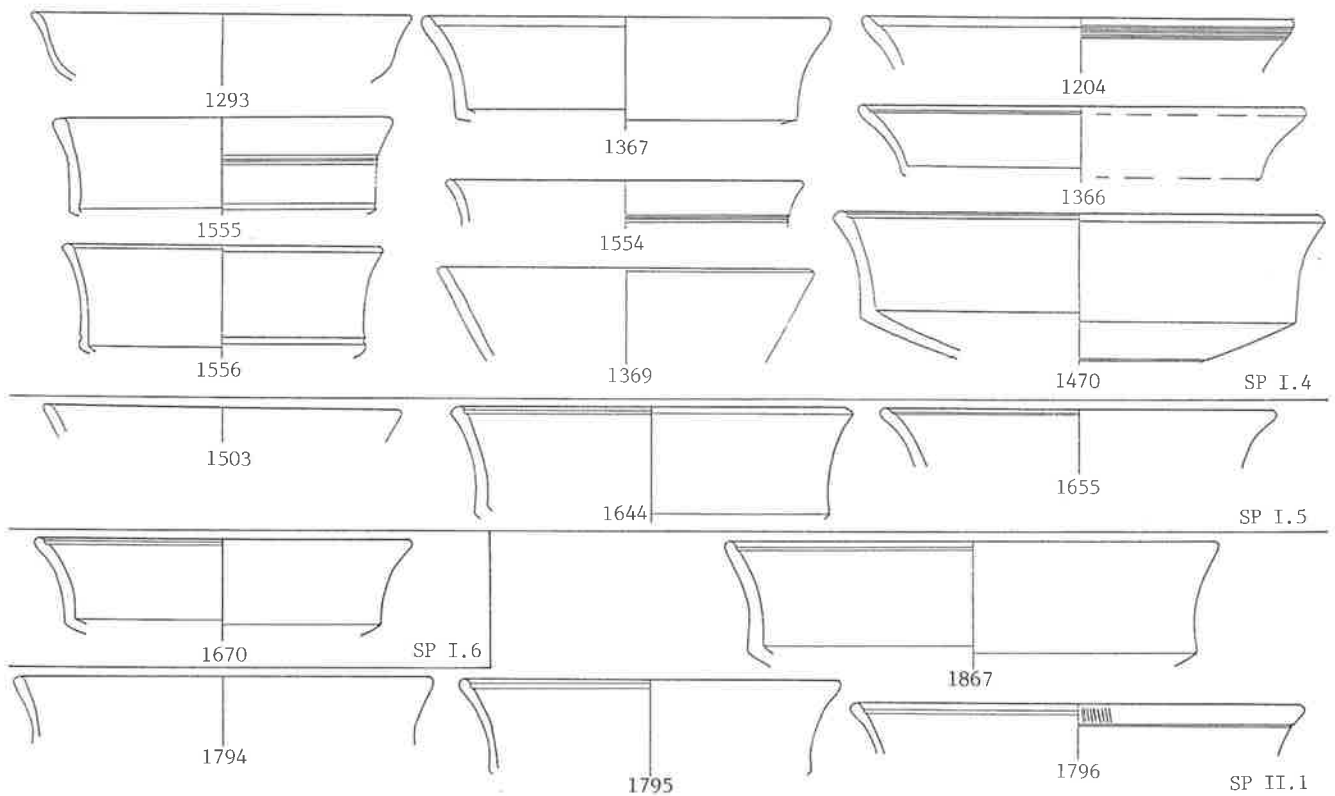


Abb. 128. Grautonige Keramik keltischer Tradition. Schüsseln Drack 20 der Steinbauperiode I.4–6 und der Steinbauperiode II. M ca. 1:4.

rundetem Rand²⁴⁷; mit gerader Wand und meist abgestrichenem Rand²⁴⁸; mit innen gegliedertem Rand²⁴⁹. Die erste Form macht mehr als die Hälfte der Bestandes aus. Mehrfach ist sie mit Rillen (Nr. 92.214.390.585.587.668.1053.1555.1556) oder Rippen (Nr. 583.584.665.666.990) verziert, einmal zusätzlich mit Kerben (Nr. 214). Sie kommt in den Phasen des frühen 1. bis mittleren 2. Jh. vor. Das Stück Nr. 1794 aus dem Bauhorizont der Steinbauperiode II.1 des späteren 2. Jh. könnte verlagert sein. Die zweite Form weist meistens eine nur polierte Oberfläche auf. Sie ist von der tiberischen Holzbauperiode I.1 bis in die vespasianische Steinbauperiode I.1 belegt. Die Stücke aus den Phasen der 1. Hälfte des 2. Jh. (Nr. 1369.1503) könnten ebenfalls verlagert sein. Die dritte Form erscheint erstmals in der domitianischen Steinbauperiode I.2. Sie scheint die beiden anderen Untertypen im Laufe des 2. Jh. abzulösen. Im Unterschied zu jenen ist ihr Gefässinneres in gleicher Weise behandelt wie die Aussenseite, nämlich poliert oder mit einem Überzug (Nr. 1655.1670.1867) versehen. Einige Stücke sind mit Riefelmuster (Nr. 1021.1796) oder Rillen (Nr. 1204) verziert.

Drack 21 (Abb. 129)

Die Knickschüssel mit profiliertem Rand ist wohl ebenfalls von der spätkeltischen Knickschüssel herzuleiten (Drack 1945, 94; Paunier 1981, 216). Zwar wird die Randprofilierung mit der Gestaltung des Randes bei Sigillaten in Verbindung gebracht (Ettlinger 1949, 47f.). Die Schüssel Drack 21 erscheint grautonig jedoch schon in der frühüberischen Holzbauperiode I.1, der Typ mit Überzug (Nr. 6) in einem spätaugusteischen Grab, in einer Zeit, als die südgallische Sigillataschüsseln Drag. 29 und Drag. 30 sich erst entwickelten (Oswald/Pryce 1920, 67; 87; Mary 1967, 47f.). Demnach wäre die Randbildung von Drack 21 auf arretinische Schüsseln zurückzuführen (z. B. Consp. R.5.2). Es lässt sich aber auch eine andere, keltische Herkunft wahrscheinlich machen: Eine graue Knickschüssel mit verdicktem Rand ist aus Basel-Gasfabrik bekannt (Furger-Gunti/Berger 1980, Nr. 2088). Die Profilierung der Ränder könnte überdies von grauen Schüsseln mit Wulst unterhalb des Randes (Furger-Gunti 1974/75, Abb. 14, 17.20) beeinflusst sein.

Die Durchmesser streuen im Bereich von 15 bis 25 cm, vielleicht mit einer Grenze bei 17/19 cm. Mehrere Exemplare sind mit Riefelbänder verziert (Nr. 183.257.585). Alle drei bei der Form mit Überzug festgestellten Untertypen

247 Nr. 47.92.93.185.214.259.260.294.295.389–392.583–586.665–668.990.1053.1293.1554–1556.1794.

248 Nr. 186.215.261.262.587.682.717.1369.1503.

249 Nr. 1021.1204.1366.1367.1470.1644.1655.1670.1795.1796.1867.

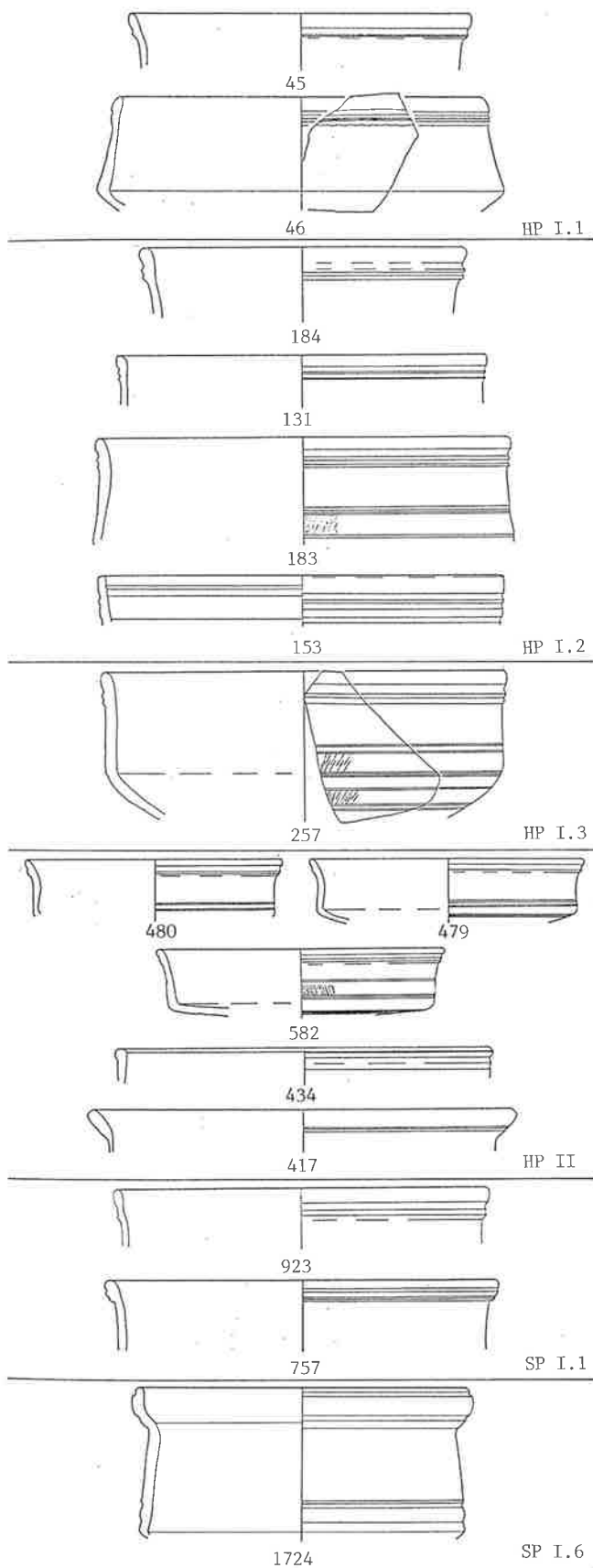


Abb. 129. Grautonige Keramik keltischer Tradition. Schüsseln Drack 21. Varianten und ihr Auftreten in den einzelnen Phasen. M ca. 1:4.

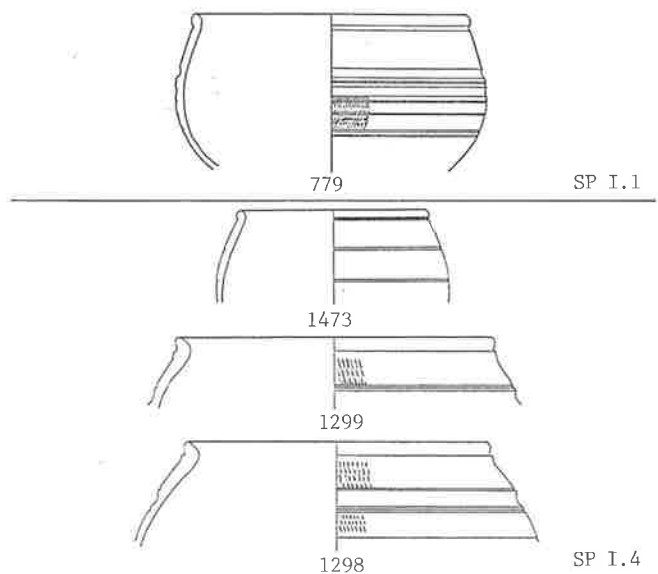


Abb. 130. Grautonige Keramik keltischer Tradition. Schüsseln Drack 22 similis. Varianten und ihr Auftreten in den einzelnen Phasen. M ca. 1:4.

(Abb. 112.113) sind vertreten: mit Randwulst, Kehle und Rippen (Nr. 45.46.131.183.184.257.923); gleiches Profil nach aussen geknickt (Nr. 479.480.582); nach aussen geknickter, gerillter Rand (Nr. 417.758). Im weiteren sind einige singuläre Varianten zu verzeichnen (Nr. 153.434.1724). Das zeitliche Vorkommen entspricht jenem der Untertypen mit Überzug: Die beiden ersten Formen treten früh auf und verschwinden in der 2. Hälfte des 1. Jh., während der dritte Typ erst in erneronischer Zeit erscheint. Mutmassliche Fehlbrände (Nr. 45.46) aus der frühiberischen Holzbauperiode I.1 deuten auf eine Herstellung an Ort hin (Kap. 3.3.1.).

Drack 22 similis (Abb. 130)

Das vorliegende Material enthält einige Scherben, die von bauchigen Gefässen mit kleiner Lippe stammen. Es dürfte sich um Schüsseln ähnlich dem mit Überzug versehenen Typ Drack 22 similis (Abb. 115) handeln, obwohl die weniger hoch erhaltenen Fragmente Nr. 1298, 1299 und 1473 auch von tonnenartigen Gefässen stammen könnten, wie sie helltonig vorkommen (z. B. Nr. 558). In diesem Fall müssten sie den grauen Bechern mit nach innen geneigter Wand (Nr. 1642) zugerechnet werden. Wie der Typ mit Überzug und die helltonige halbkugelige Schüssel (Abb. 120) ist die Form auf die halbkugelige Schüssel der späten Latènezeit zurückzuführen (Kap. 7.2.2.).

Dem Durchmesser nach (10,5–21,5 cm) scheinen sie etwas kleiner zu sein als die Form mit Überzug und der helltonige Typ. Mehrfach weisen sie Riefelbänder als Dekor auf (Nr. 779.1298.1299). Bei allen ist die Wand nach innen geneigt, so dass sie dem ersten Untertyp der Form mit Überzug entsprechen.

Die Schüsseln Drack 22 similis treten in Phasen des späteren 1./früheren 2. Jh. auf.

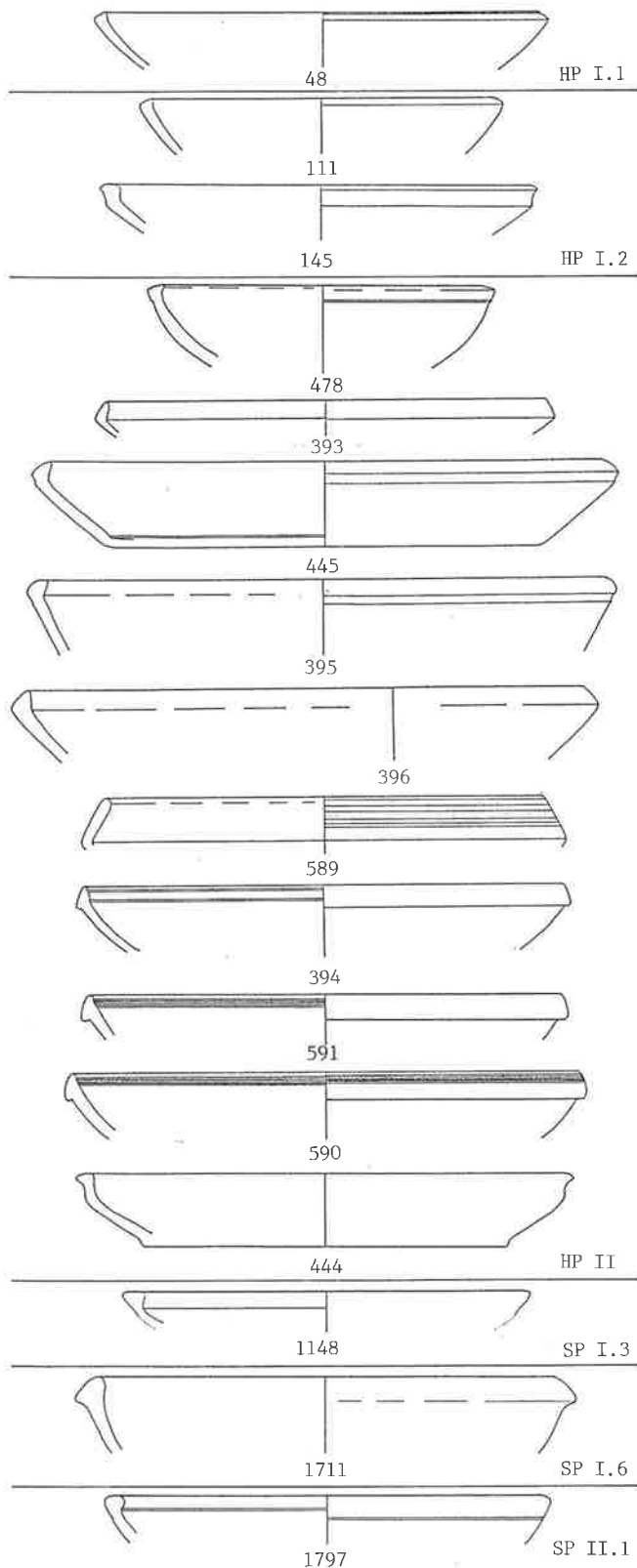


Abb. 131. Grautonige Keramik keltischer Tradition. Näpfe. Varianten und ihr Auftreten in den einzelnen Phasen. M ca. 1:4.

Näpfe (Abb. 131)

Wie die helltonigen Näpfe (Abb. 121) gehen die grautonigen auf eine der beliebtesten keltischen Formen zurück (Kap. 7.2.2.). Einige Stücke (Nr. 396.1711) lassen sich, wie gesagt, nur schwer von den grobkeramischen Näpfen (Kap. 4.5.3.) feinerer Machart abgrenzen. Im Durchmesser bewegen sich die meisten in einem Bereich von 21,5–28 cm. Nur wenige liegen darunter (bis 19 cm) oder darüber (bis 31 cm). Die grauen Exemplare scheinen etwas grösser zu sein als die helltonigen.

Die Ränder sind sehr vielfältig. Es lassen sich fünf Untertypen beschreiben: mit dreieckig nach innen verdicktem Rand (Nr. 48.111.393.396.445.478.1148); mit S-förmigem Rand (Nr. 145.444); mit nach aussen abstehendem, dreieckig verdicktem Rand (Nr. 394.590.591.1711); mit gerundet verdicktem Rand (Nr. 395.1797); mit nach innen gebogenem Rand (Nr. 589). Die zweite und dritte Form sind neu, während die übrigen bei den helltonigen Exemplaren ebenfalls auftreten. Auch die zweite Form findet Parallelen in keltischen Komplexen (Bacher 1989, Taf. 5,29), während die dritte Form wohl als Variante des verdickten Randes anzusehen ist.

Die grauen Näpfe kommen vor allem in den Holzbauperioden des früheren und mittleren 1. Jh. vor. Ob die Stücke aus den Steinbauperioden umgelagert sind, ist schwierig zu sagen. Gegen eine Verlagerung spricht, dass die helltonige Form auch im 2. Jh. belegt ist.

4.5.3. Grobkeramik

Wie bei der Grobkeramik römischer Tradition (Kap. 4.3.8.) weist die in keltischer Tradition stehende eine grosse Vielfalt in Tonbeschaffenheit und Farbe auf. Es fällt auf, dass der Ton häufig mit hellen, z.T. recht feinen Körnern gemagert ist. Auch Glimmer hat man, wie bei allen in der Region angefertigten Fabrikaten (Kap. 4.1.5.), oft beigegeben. Mehrheitlich ist die Grobkeramik keltischer Tradition dunkelgrau bis dunkelbeige. Manchmal ist der Ton im Kern rötlich. Nur wenige Stücke (8%) sind durchgehend rottonig²⁵⁰. Die neronische Holzbauperiode II allerdings fällt mit annähernd einem Viertel rottoniger Stücke aus dem Rahmen. Dies ist umso erstaunlicher, da gerade in dieser Phase zusätzlich mit vom Feuer geschwärzten, aber eigentlich helltonigen Fragmenten zu rechnen ist, die unerkannt der grauen Grobkeramik zugeschlagen sind (Kap. 4.1.4.). Manche Gefässe sind aussen und am Rand vom Gebrauch geschwärzt²⁵¹, was sie als Kochgeschirr ausweist.

250 Nr. 160.399.402.483.603.604.608.610.620.994.1095.1383.1504.1817.1903.

251 Nr. 134.160.330.994.997.1156.1504.1650.1817.1903.

Die Grobkeramik keltischer Tradition ist noch zu fast einem Drittel von Hand gefertigt (Tab. 19). Im Laufe der Zeit ist keine Verringerung des Anteils festzustellen²⁵². Die Gefässe sind am Rand manchmal überdreht.

Mit insgesamt 171 Scherben ist die Gruppe im Gesamtbestand gut vertreten (Tab. 20). Sie stellt einen Drittel der Keramik in keltischer Tradition dar. Ihr Anteil nimmt im Laufe der Zeit leicht ab, allerdings nicht zu Gunsten der Grobkeramik römischer Tradition, bei der keine entsprechende Zunahme zu verzeichnen ist. Ersetzte man im 2. Jh. das tönernerne Kochgeschirr allmählich durch Metallgefässe? Oder versteckt sich dahinter ein Funktionswechsel der Häuser? Hinsichtlich letzterem lässt der Grabungsbefund keinerlei Aussagen zu. Hingegen spricht einiges für das Aufkommen von Metallgeschirr. Ein geringer Anteil an tönernem Kochgeschirr scheint nämlich typisch für Orte mit hohem Romanisierungsgrad bzw. Lebensstandard zu sein: In der Koloniestadt Augst etwa geht der Anteil an Kochtöpfen schon um die Mitte des 1. Jh. auf geringe 2% zurück, was wesentlich weniger ist als in den gleichzeitigen Vici, Villen und Militärlager (Furger/Deschler-Erb 1992, 86f. Abb. 64). Im späten 2. und im 3. Jh., einer Zeit der Unruhe und Not (Laur-Belart/Berger 1988, 15f.), erhöht sich der Anteil wie allenthalben in Augst wieder beträchtlich²⁵³.

Es kommen vier Grundformen vor (Tab. 19): Mit Abstand am häufigsten sind die Kochtöpfe. Die Kochnäpfe sind ebenfalls gut vertreten, während die Deckel und die grossen Vorratsgefässe selten sind. In den Anteilen lässt sich keine zeitliche Differenzierung ablesen.

Vorratsgefässe (Abb. 132)

Aus der tiberischen Holzbauperiode I.1 (Nr. 71) und der neronischen Holzbauperiode II (Nr. 613) stammen zwei grosse, handgeformte Gefässe, die nicht wie Kochtöpfe wirken. Ihre Raddurchmesser betragen 18–21,5 cm, womit sie zwischen den kleinsten und den mittleren Dolien, den grossen Vorratsgefässen römischer Tradition, liegen (Kap. 4.3.8.). Sie sind mit bogenförmigem Kammstrichmuster verziert (wie Nr. 1570), einem auch bei den Kochtöpfen überaus beliebten Dekor, das aus dem keltischen Inventar herzuleiten ist (Kap. 7.2.2.). Einmal kommt eine Verzierung mit Glättrillen vor (Nr. 66), eine in keltischer Zeit vor allem bei den Näpfen häufig verwendete Verzierung. In der Form unterscheiden sie sich deutlich von den Dolien (Abb. 111). Sie sind formal in der keltischen Tradition verankert.

252 Die geringen Werte in den Phasen 2 und 3 der SP I dürften an den letztlich doch eher kleinen Zahlen – 8 bzw. 10 Randscherben – liegen und zufällig sein.

253 Da dies in allen Schichten des späten 2./3. Jh. geschieht, handelt es

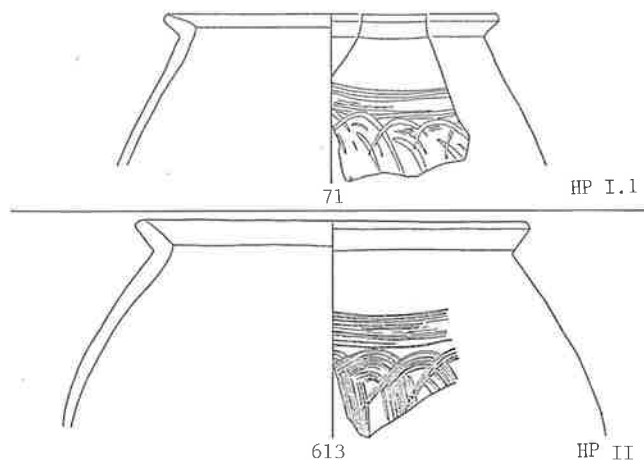


Abb. 132. Grobkeramik keltischer Tradition. Vorratsstöpfe. Varianten und ihr Auftreten in den einzelnen Phasen. M ca. 1:4.

Kochtöpfe

Handgeformte Kochtöpfe (Abb. 133)

Ein gutes Viertel der Kochtöpfe sind von Hand gefertigt (27%). Sie verteilen sich ziemlich gleichmässig auf die Grössen von 10,5–18 cm. Nur wenige sind grösser. Vielleicht ist bei 14/15 cm eine Grenze zwischen kleinen und grossen Exemplaren zu ziehen. Damit sind sie kleiner als die Kochtöpfe römischer Tradition (Kap. 4.3.8.).

Viele Gefässe sind mit einem Kamm verziert, der manchmal mit ziemlich dünnen Zinken ausgestattet war (Besenstrich). Folgende Muster kommen vor: horizontaler Kammstrich (Nr. 607–609); vertikaler Kammstrich (Nr. 72.285.1389.1568); meist bogenförmige Kammstrichmuster in der oberen und vertikaler Kammstrich in der unteren Zone (Nr. 54.483.610.611.836.1024); Kammeinstichmuster in der oberen und vertikaler Kammstrich in der unteren Zone (Nr. 284.674.675). Ein einziges Mal erscheint mit einem Kerbmuster ein anderes Dekor (Nr. 871). Die Kammstrichverzierung ist ein in der späten Latènezeit im schweizerischen Mittelland ausserordentlich beliebte Verzierungsart, während man das vor allem im raurakischen Gebiet auftretende Grübchenmuster (Kap. 7.2.2.) offenbar nicht nachahmte. Die Kammstrichverzierung tritt hauptsächlich bei den Stücken der Holzbauperioden des frühen und mittleren 1. Jh. und der vespasianischen Steinbauperiode I.1 auf. Das Stück Nr. 1568 aus dem Bauhorizont der Steinbauperiode I.5 des 2. Viertels des 2. Jh. könnte aus einer älteren Schicht verlagert sein.

Der Randform nach lassen sich sechs Untertypen definieren: mit nach aussen gebogenem Rand²⁵⁴; mit nach aus-

sich wohl um ein chronologisches Phänomen und nicht einen Funktionswechsel.

254 Nr. 54.188.189.285.397.398.483.608–610.612.758.836.1478.1568.1648.1726.1820.

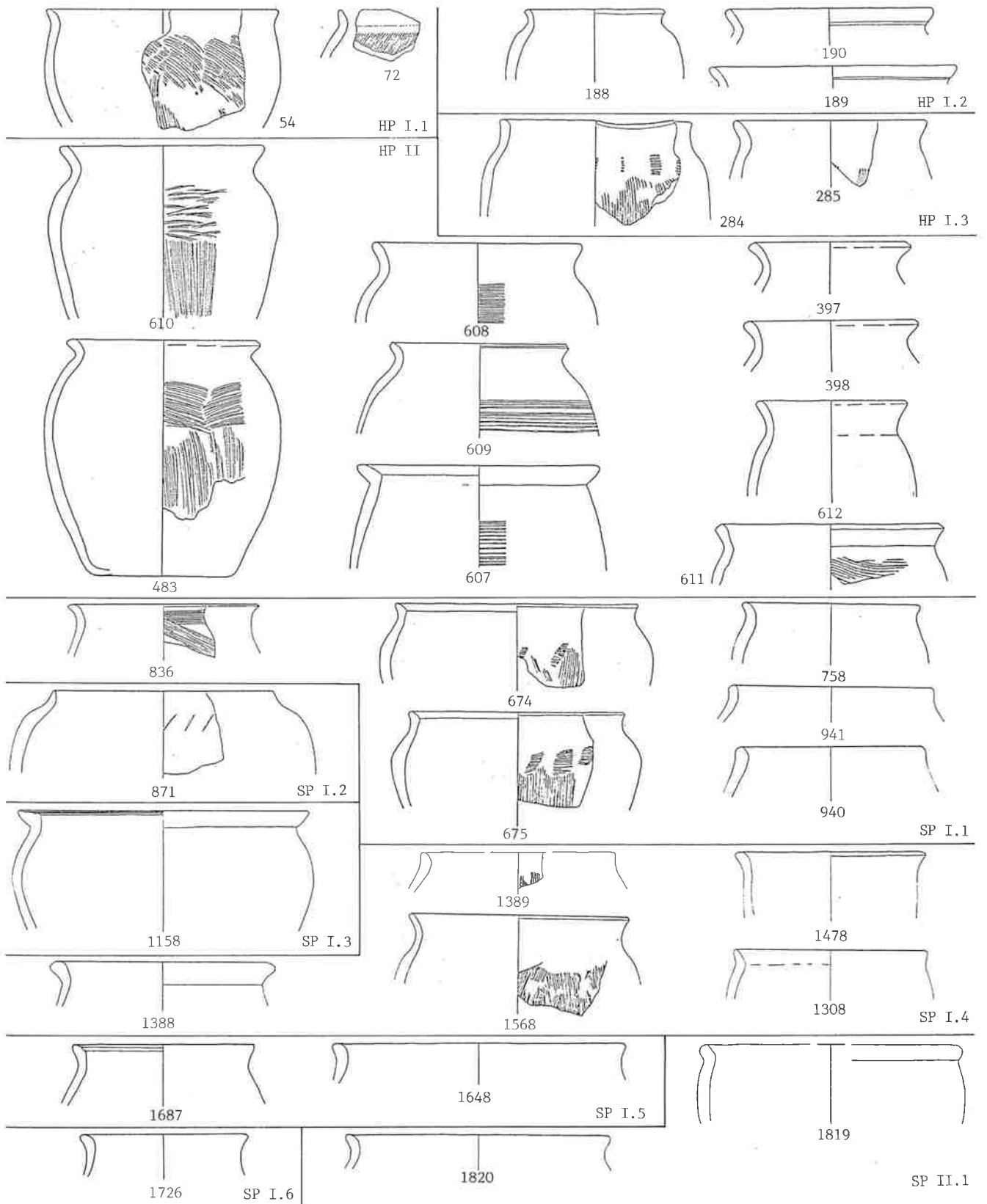


Abb.133. Grobkeramik keltischer Tradition. Handgeformte Kochtöpfe. Varianten und ihr Auftreten in den einzelnen Phasen. M ca.1:4.

sen umgelegtem Rand (Nr. 190.607.611.1388.1819); mit kurzem Steilrand (Nr. 72.284.940.941.1389); mit kurzem, schräg nach innen abgestrichenem Steilrand (Nr. 674.675.1308.1687); mit kurzem, nach innen weisendem Steilrand (Nr. 871); mit gerilltem Horizontalrand (Nr. 1158). Mit Abstand am häufigsten sind die nach aussen gebogenen oder umgelegten Ränder (68%). Sie können in allen Phasen vom frühen 1. bis ins späte 2. Jh. erscheinen. Auch die Steilränder sind gut vertreten (29%), während der gerillte Rand ein Einzelstück darstellt. Der Steilrand kann offenbar ebenfalls in allen Phasen auftreten; lediglich die innen abgestrichene Form ist möglicherweise chronologisch relevant: Sie erscheint erst ab flavischer Zeit.

Kochtöpfe mit nach aussen gebogenem Rand sind in keltischer Zeit im ganzen in dieser Arbeit untersuchten Gebiet sehr beliebt (Kap. 7.2.2.). Auch der Kochtopf mit Steilrand kommt häufig vor. Der Kochtopf mit gerilltem Horizontalrand jedoch findet nur in der Nordwestschweiz Parallelen.

Scheibengedrehte Kochtöpfe (Abb. 134.135)

Die Mehrheit der Kochtöpfe ist scheibengedreht (73%). In Form und Verzierung unterscheiden sie sich deutlich von den helltonigen Kochtöpfen römischer Tradition (Abb. 109). Vielmehr entsprechen sie weitgehend den in keltischer Tradition stehenden handgeformten Kochtöpfen. Wie diese weisen sie oft eine Verzierung mit Kammstrich auf: mit horizontalem Kammstrich²⁵⁵; mit vertikalem Kammstrich (Nr. 606.1405.1509); mit bogenförmigem Kammstrichmuster (evtl. Nr. 3; Nr. 124.133.286.330.404.1390.1493.1822). Zwei Exemplare sind mit horizontalen Rillen verziert (Nr. 1427.1816). Durch Wand-scherben sind ferner Besenstrich mit Glättrillen (Nr. 170), Glättrillen (Nr. 1043.1391) und Rillennmuster (Nr. 1097) belegt. Der horizontale Kammstrich ist sehr häufig (64%), wesentlich häufiger als bei den handgeformten Stücken. Im Unterschied zu jenen ist er bei den scheibengedrehten Kochtöpfen noch im 2. Jh. gut belegt. Kammeinstichmuster hingegen fehlen. Ein Exemplar aus der trajanischen Steinbauperiode I.3 weist einen Goldglimmerüberzug auf (Nr. 994).

Die bei den handgefertigten Kochtöpfen so beliebten Formen, der nach aussen gebogene und der nach aussen umgelegte Rand, sind auch bei den scheibengedrehten die mit Abstand häufigsten Untertypen (86%)²⁵⁶. Beide sind in allen Phasen gut vertreten. Die prägnantere Ausformung,

der nach aussen umgelegte Rand, kommt bei den scheibengedrehten Stücken jedoch häufiger vor (61%:39%), anders als bei den handgeformten Exemplaren (22%:78%). Vereinzelt treten neben den von den handgefertigten Kochtöpfen her bekannten Formen, Steilrand (Nr. 938.939) und gerillter Horizontalrand (Nr. 935.936) weitere Untertypen auf: nach aussen gebogener Wulstrand (Nr. 276.742); dreieckig verdickter Rand (Nr. 844.870.1816); nach aussen gebogener gerillter Rand (Nr. 1725). Beim steilwandigen Gefäss Nr. 132 aus der spätkeltischen Holzbauperiode I.2 handelt es sich vielleicht gar nicht um einen Kochtopf, obwohl es sandig gemagert ist. Die anderen neu auftretenden Formen lassen sich ebenfalls alle auf keltische Typen zurückführen²⁵⁷.

Die Randedurchmesser der scheibengedrehten Kochtöpfe verteilen sich ziemlich gleichmässig auf die Grössen von 9,5 bis 21 cm. Damit sind sie etwa gleich gross wie die von Hand gefertigten²⁵⁸, jedoch kleiner als jene römischer Tradition. Eine Grenze zwischen kleinen und grossen Töpfen lässt sich am ehesten bei 16 cm ziehen, womit sie in der Skala etwas höher liegt als bei den handgefertigten Stücken. Bei einem Exemplar sind aussen Reste einer Kruste erhalten (Nr. 105).

Deckel (Abb. 136)

Die grautonigen, mit Magerung versehenen Deckel werden, falls sie eine plumpe, ungegliederte Form haben, von den grautonigen Deckeln römischer Tradition (Kap. 4.3.8.) abgetrennt und der Grobkeramik keltischer Tradition zugeschlagen. Deckel kommen nämlich, wenn auch selten (Furger-Gunti 1979, 74), schon in spätlatènezeitlichen Zusammenhängen vor (Kap. 7.2.2.). Zudem sind die vorliegenden Exemplare mehrheitlich von Hand geformt (64%)²⁵⁹. Die auf der Scheibe gedrehten Stücke stammen alle aus Schichten des 2. Jh.

Die Durchmesser (10,5–24,5 cm) schwanken so stark, dass sich keine voneinander abgesetzten Grössen abzeichnen. Die Wand steigt mehrheitlich ziemlich steil an. Nur wenige Fragmente stammen von flachen Deckeln (Nr. 997.1159.1476). Es kommen zwei Randformen vor: mit gerundetem Rand (Nr. 102.216.997.1159.1247.1476.1688); mit relativ gerade abgestrichenem Rand (Nr. 287.1439.1821.1904). Die Formen scheinen jedoch keine chronologische Bedeutung zu haben.

255 Nr. 24.25.104.280.281.401–403.436–438.482.604.605.673.723.808.837.936.937.995.1095.1096.1156.1157.1207.1406.1426.1494.1566.1567.1895.

256 Nach aussen gebogen: Nr. 25.26.105.123.277.279.283.399.400.436.437.481.602.603.606.672.673.837.1095.1307.1383.1477.1495.1504.1649–1651.1817.1818.1903; nach aussen umgelegt: Nr. 3.24.104.122.133.147.159.160.169.199.278.280.281.330.401–404.418.438.482.601.604.605.671.722.723.808.843.937.994.995.1096.1112.1155–1157.1207.1425–1427.1484.1493.1494.1566.1567.1895.

257 Wulstrand: Höneisen 1989, Taf. 4,5,6; Bacher 1989, Taf. 8,3; – nach aussen gebogener gerillter Rand: Lüscher 1989, Abb. 13,14; Bacher 1989, Taf. 8,10,11; – dreieckig verdickter Rand: Bacher 1989, Taf. 8,15–17.

258 Durchschnittlich 14,96 cm, im Vergleich zu 14,88 cm bei den handgeformten Stücken.

259 Nr. 102.216.287.1159.1247.1439.1821.

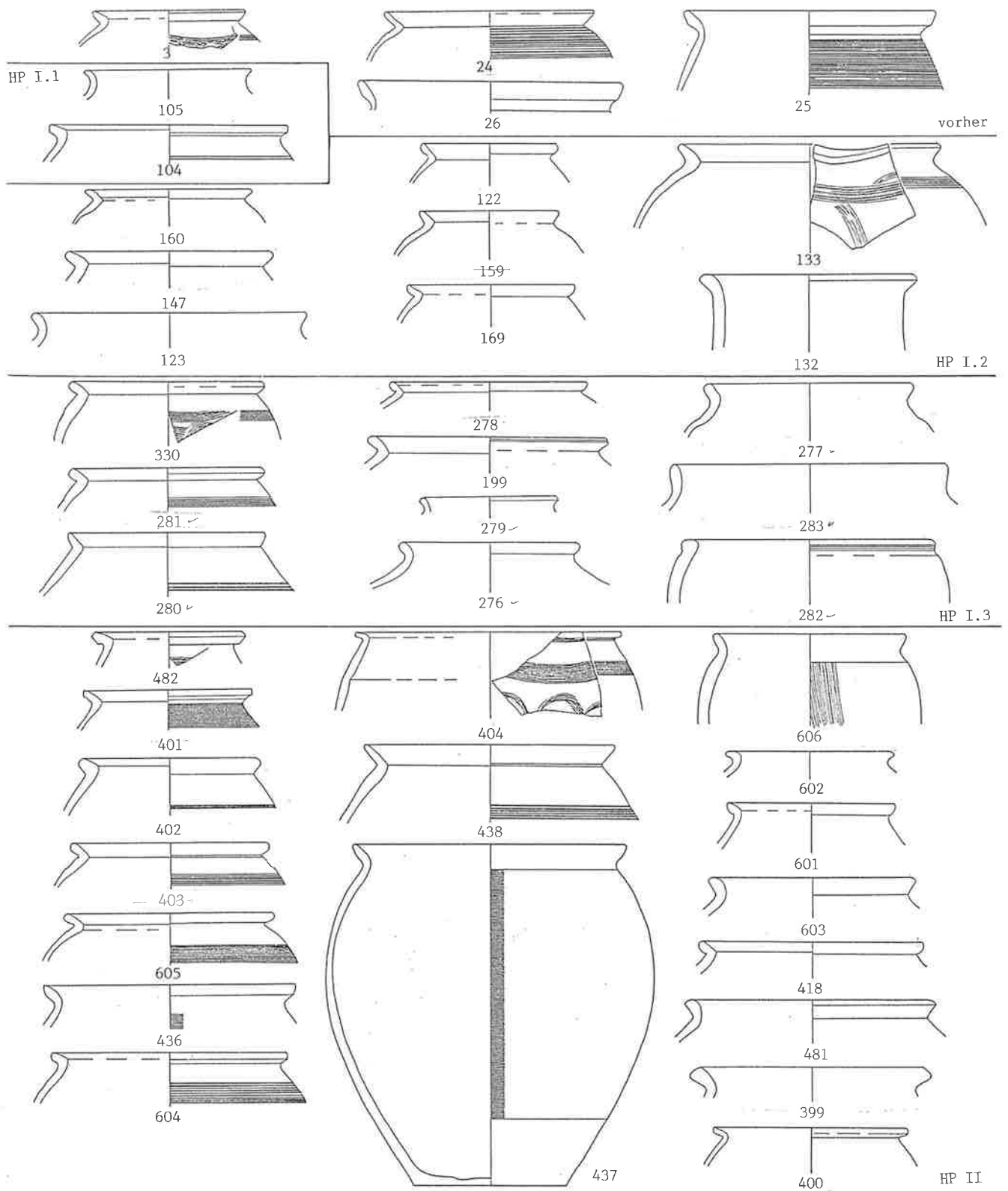


Abb.134. Grobkeramik keltischer Tradition. Scheibengedrehte Kochtöpfe der Holzbauperioden. M ca. 1:4.

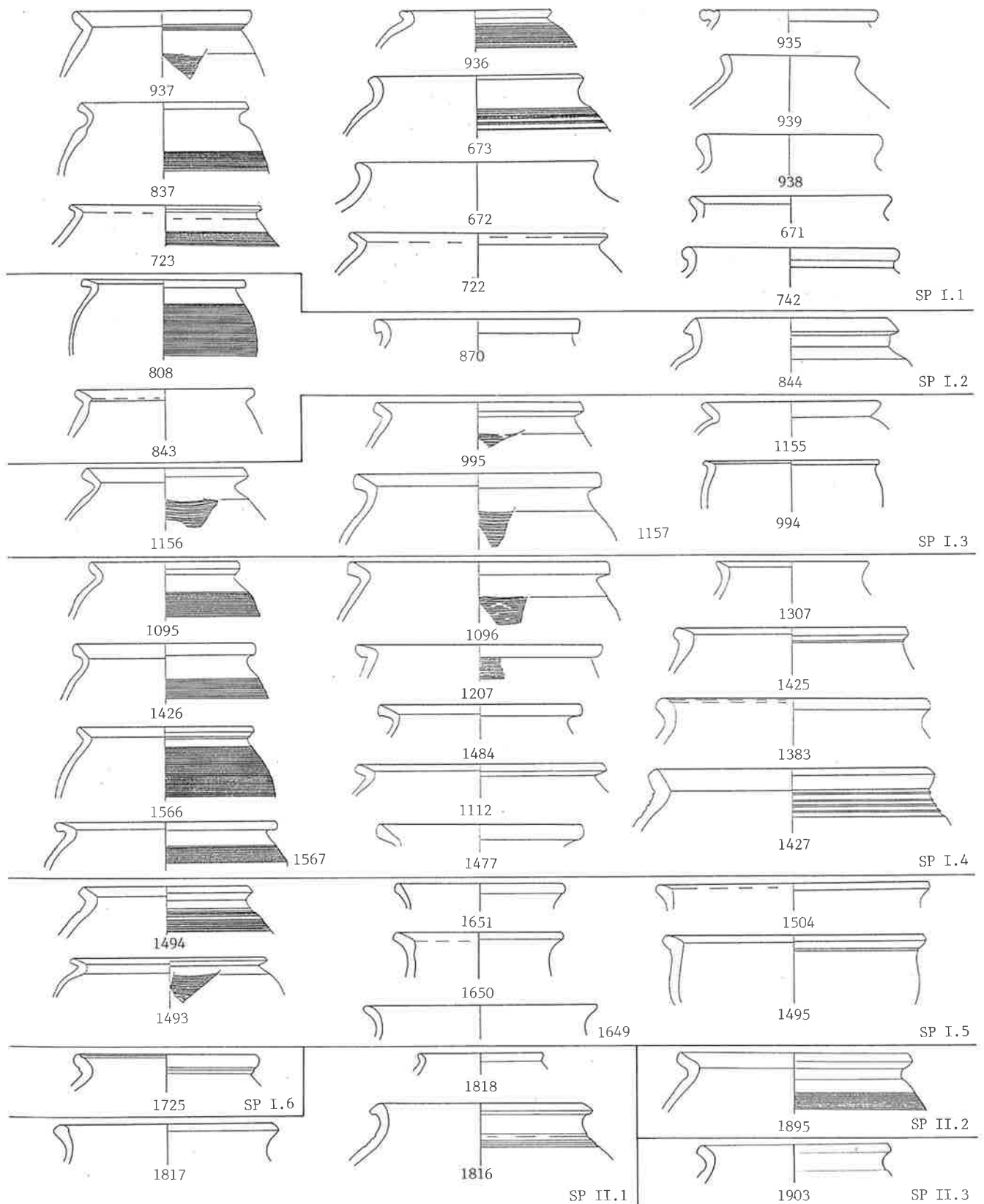


Abb. 135. Grobkeramik keltischer Tradition. Scheibengedrehte Kochtöpfe der Steinbauperioden. M ca. 1:4.

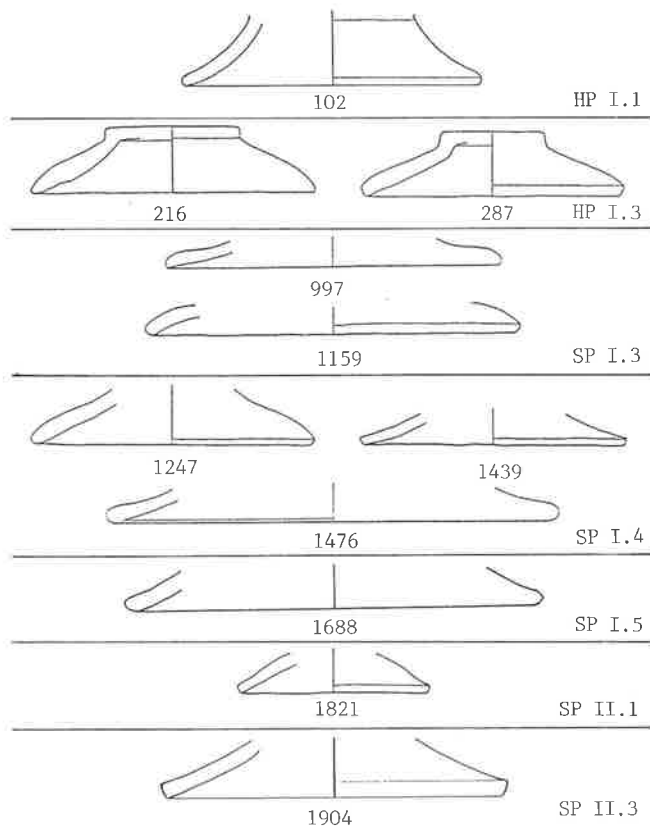


Abb. 136. Grobkeramik keltischer Tradition. Deckel. Varianten und ihr Auftreten in den einzelnen Phasen. M ca. 1:4.

Näpfe (Abb. 137)

Neben helltonigen und grauen feinen Näpfen (Abb. 121.131) kommen Gefässe ähnlicher Form in gemagertem Ton vor. Mehrheitlich sind sie von Hand gefertigt (71%)²⁶⁰. Der Form nach lassen sich drei Untertypen und drei singuläre Varianten beschreiben: mit annähernd vertikaler, gerader Wand und z.T. verdicktem Rand (Nr. 100.101.614.1023); mit nach innen gebogener Wand und z.T. verdicktem Rand (Nr. 134.275.615.670.833.953.1306.1387.1441); mit schräg gestellter, gerader Wand und z.T. verdicktem Rand (Nr. 274.616–620.834.934.996.1042.1309.1385.1386.1646.1647); Variante mit profiliertem, nach innen gebogenem Rand (Nr. 273); Variante mit nach aussen gebogenem Rand (Nr. 1569); Variante mit Leiste (Nr. 1440). Die ersten drei Formen können alle auf den in keltischer Zeit so beliebten groben Napf zurückgeführt werden (Kap. 7.2.2.). Während die Variante mit nach aussen gebogenem Rand ebenfalls Parallelen in spätkeltischer Zeit findet, sind die beiden anderen wohl vom Typ mit nach innen gebogener Wand herzuleiten. Im Keramikinventar Italiens finden sie

jedenfalls keine Parallelen (Kap. 8.2.2.). Die Untertypen scheinen keine chronologische Relevanz zu haben.

Einige Gefässe sind mit dem bei den Kochtöpfen schon seit keltischer Zeit so beliebten Kammstrich verziert (Nr. 615.1042.1646). Ein Fragment mindestens stammt von einem Dreibeingefäss (Nr. 1309), einer bereits in keltischer Zeit belegten Form. Zwei Gefässe weisen an der Innenseite Reste einer hellen Kruste auf (Nr. 934.1042).

Die Durchmesser bewegen sich im Bereich von 14 bis 27 cm. Nur wenige Stücke sind grösser. Damit sind die groben Näpfe kleiner als die grauen feinen Stücke. Sie entsprechen vielmehr den helltonigen Näpfen und den Kochschüsseln römischer Tradition, die sie möglicherweise grössenmässig beeinflusst haben.

4.6. Münzen²⁶¹

Die von Hugo Doppler, Baden, bestimmten Münzen werden im folgenden ausschliesslich vom archäologischen Standpunkt aus betrachtet; die numismatische Auswertung wird andernorts erscheinen. Aus archäologischer Sicht zeichnen sich Münzen vor allen anderen Funden dadurch aus, dass der Zeitpunkt ihrer Entstehung, das Präge-datum, meist abzulesen ist. Deswegen ist der Archäologe oft versucht, grosse Hoffnungen inbezug auf die Datierung an die Münzen zu knüpfen. Doch mehr als einen oft belanglosen terminus post geben die Münzen, mindestens im 1. und 2. Jh., offenbar meistens nicht (dazu Kap. 5). Vielmehr lassen sich umgekehrt Aussagen über Gebrauch und Umlaufzeit der einzelnen Emissionen machen, wenn man Münzen der Datierung gegenüberstellt, die sich aus der Analyse der stratigraphischen Zusammenhänge und der Keramikensembles ergibt.

In Baden fällt eine Phase durch ihren Fundreichtum auf: In der Benützungsschicht von Raum J der domitianischen Steinbauperiode I.2 (Kap. 3.5.2.) fanden sich etwa 53 Münzen, ein Drittel aller stratifizierter Prägungen. Nicht unterwartet drücken sie der Münzliste ihren Stempel auf. Leider stammen nur acht von ihnen aus sauberen Fundkomplexen; die übrigen 45 sammelten wir in Abstichkomplexen, die auch Funde der Phase 3 (FK 346) bzw. der Phasen 3 und 4 (FK 347) enthalten (s. Kap. 11.5.2.). So sind bei der Gegenüberstellung von Münzen und Phasen (Abb. 139.140) die Phasen 3 bzw. 3/4 als für den Fundort nicht ganz auszuschliessende ebenfalls anzugeben.

Die Münzen (Tab. 25) sind zum grossen Teil bestimmbar (91%). Die überwiegende Mehrheit besteht aus Bron-

260 Nr. 100.101.134.275.615–620.833.934.953.996.1023.1042.1309.1385.1386.1441.1569.1646.1647.

261 S. auch Kap. 12.7. Für Diskussionen bin ich Hugo W. Doppler, Baden,

Susanne Frei-Kupper, Prahins, und Markus Peter, Augst, zu Dank verpflichtet. Eine kursorische Münzliste findet sich bei Doppler 1983, 6f.

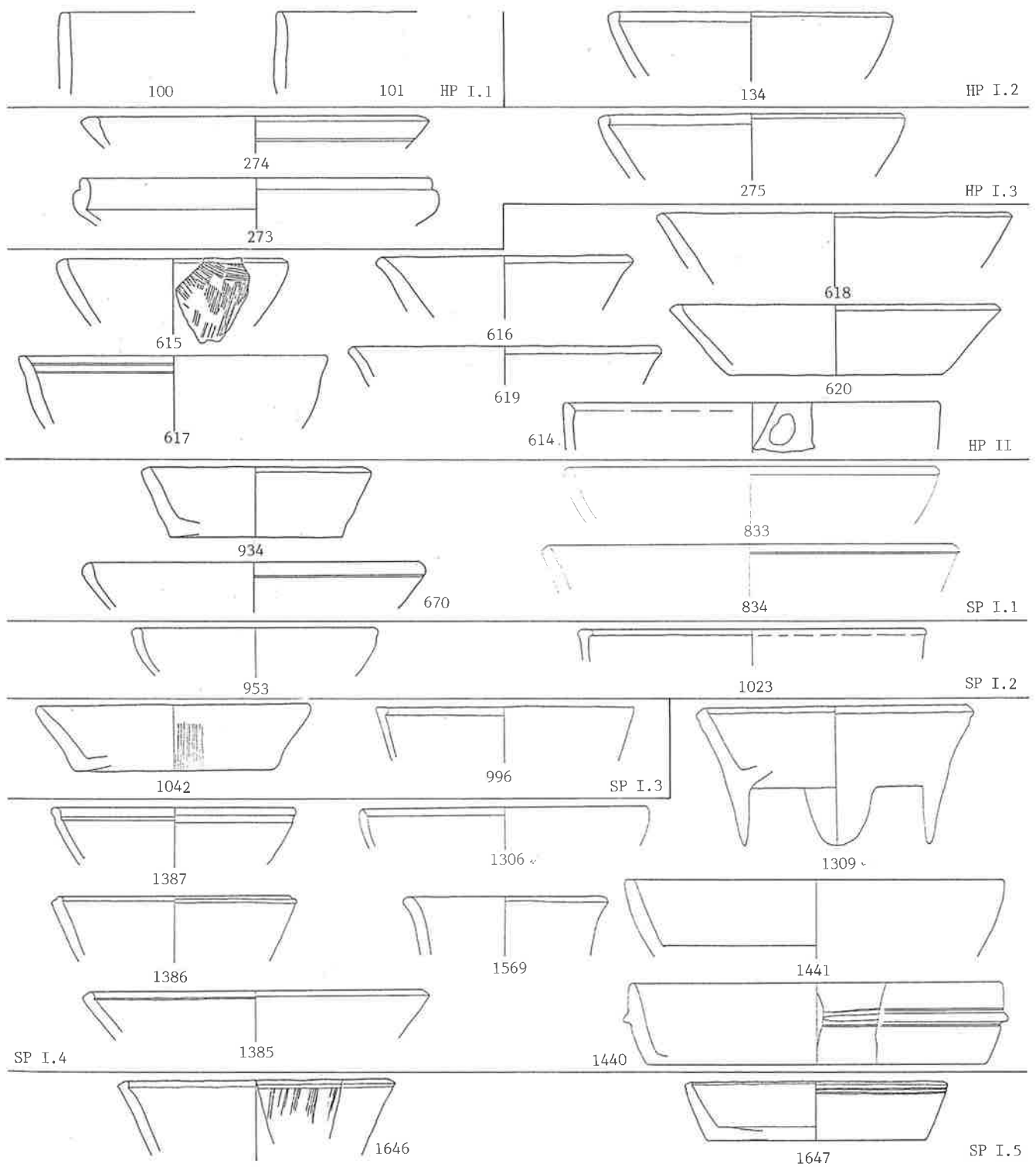


Abb.137. Grobkeramik keltischer Tradition. Näpfe. Varianten und ihr Auftreten in den einzelnen Phasen. M ca. 1:4.

ze, Stücke aus Silber sind selten (9%); letztere sind in Baden jedoch offenbar etwas häufiger als in Vindonissa²⁶². Wie im Legionslager sind die Prägungen des Augustus am häufigsten. Auf die Regierungszeit der einzelnen Kaiser bezogen, sind jene des Caligula mit Abstand am besten vertreten, gefolgt von jenen von Augustus, Tiberius, Claudius und Vitellius sowie der flavischen Kaiser (Abb. 138). Vindonissa zeigt ungefähr die gleiche Reihenfolge; die Münzen des Claudius treten aber hinter jenen des Vespasian zurück. Die Münzen, die während der Belegungszeit von Vindonissa geprägt wurden, machen 82% aus. Rechnet man die republikanischen Prägungen dazu, die im mittleren 1. Jh. n. Chr. wieder stärker in Erscheinung treten (s. unten), entsprechen sogar 93% dem Münzumsatz von Vindonissa. Nur gerade 7% der Münzen wurden erst nach dem Abzug der Legionen geschlagen. Ein ähnliches Bild zeigt die Schichtenabfolge beim Augster Theater, wo 88% der Münzen dem Münzumsatz von Vindonissa entsprechen (Furger/Deschler-Erb 1992, Abb. 18). Die jüngste stratifizierte Prägung ist ein Dupondius des Commodus unter Marc Aurel aus dem Jahre 179 (Nr. 148), die jüngste in der Grabung gefundene ein Denar des Severus Alexander (Nr. 21').

Die republikanischen Prägungen²⁶³ – ein Drittel sind Silbermünzen – erscheinen mit Ausnahme eines halbierten Asses aus der Benutzungsschicht vor der ersten Überbauung (Nr. 15) erst in den späteren Phasen der Holzbauperiode I, also lange nach ihrer Entstehung (Abb. 139). Sie kommen bis ins spätere 2. Jh. vor. Die beiden Denare aus der nachweislich von einer Vermischung mit älterem Material betroffenen Steinbauperiode II.1 (Nr. 3.6) könnten aus einer früheren Schicht stammen. Am häufigsten sind sie in den Phasen der 2. Hälfte des 1. Jh., insbesondere, wenn man das durch die, wie erwähnt, unsaubere Fundtrennung beim Abbau der Benutzungsschicht in Raum J der Steinbauperiode I.2 verfälschte Bild mitberücksichtigt. Wie sich in Vindonissa aufzeigen lässt, treten die republikanischen Silberprägungen unter Caligula und Claudius erneut vermehrt in Erscheinung, infolge der kleinen Silberemission der betreffenden Herrscher (Kraay 1962, 16). Auch die republikanischen Asse rechnet man zum claudischen Münzumsatz aufgrund ihres reichlichen Vorkommens in Vindonissa und Hofheim im Unterschied zur Seltenheit in den augusteischen Militärlagern Haltern und Oberaden (Kraay 1962, 22f.).

Die augusteischen Münzen²⁶⁴ erscheinen in den Holzbauperioden I und II, also kurz nach ihrer Prägung. Noch in den Phasen des späten 1./frühen 2. Jh. sind sie gut vertreten. Fünf Asse tragen die Schlagmarke IMPAVG²⁶⁵; beim

As Nr. 42 aus der spättiberischen Holzbauperiode I.2 hat sie die Marke TIBIM überprägt. Dies entspricht der Beobachtung in Vindonissa, wo IMPAVG stets über dem tiberischen Zeichen steht (Kraay 1962, 48). Beide Stempel sind Tiberius zuzuweisen. Sie bezeichnen ihn als Geldgeber für ausserordentliche Geldgeschenke (Speidel/Doppler 1992, 16). Aufgrund der Häufigkeit wird eine Prägung in Vindonissa angenommen (Kraay 1962, 48). Die Marken können erst nach 23 angebracht worden sein, aber aufgrund des Fehlens bei den spätesten Emissionen nicht später als in den frühen 30er Jahre. Demnach sind weitere zwei der Münzen (Nr. 42, 43) schon kurz nach ihrer sozusagen zweiten Prägung, der Kontermarkierung, in den Boden gekommen. Der Münzmeisteras Nr. 44 mit der nicht sicher zu lesenden Marke ROM aus einem Fundkomplex, der vermutlich aus der Benutzungsschicht von Raum J der domitianischen Steinbauperiode I.2 stammt, ist vorläufig nicht einzuordnen. In Vindonissa findet sich kein Vergleichsstück (Grünwald 1946; Kraay 1962).

Die tiberischen Prägungen²⁶⁶ kamen z.T. schon kurz nach ihrer Entstehung in den Boden. Die grosse Masse aber tritt erst in den Phasen nach der Jahrhundertmitte, insbesondere aber im späten 1./frühen 2. Jh. auf; ein Drittel dürfte aus der münzreichen Benutzungsschicht von Raum J der domitianischen Steinbauperiode I.2 stammen. Vereinzelt kommen sie noch im späten 2. Jh. vor. Der As Nr. 53 für Drusus aus der neronischen Holzbauperiode II trägt die Schlagmarke I TICINI, als deren Urheber L. Titinius Glaucus Lucretianus in Frage kommt, der zu Beginn der 60er Jahre des 1. Jh. Militärtribun der 22. Legion in Mainz war (Speidel/Doppler 1992, 10f.). Damit wäre auch diese Münze schon kurz nach ihrer sozusagen zweiten Prägung, der Kontermarkierung, in den Boden gekommen.

Die im Verhältnis zu seiner Regierungs- und damit Prägezeit sehr häufigen Münzen des Caligula²⁶⁷ kommen vor allem in Schichten des späten 1. und früheren 2. Jh. vor. Über die Hälfte (59%) fand sich vermutlich in der münzreichen Benutzungsschicht von Raum J der domitianischen Steinbauperiode I.2, was ihre auch in Vindonissa belegte Häufigkeit zusätzlich unterstreicht. Sie waren ein bis zwei Generationen im Umlauf. Der Dupondius Nr. 83 aus der Grube G3 hingegen lagerte sich wohl schon zur Zeit der neronischen Holzbauperiode II ab, also relativ kurz nach seiner Entstehung. Anders der As aus dem Brandschutt der ins 3. Viertel des 2. Jh. zu setzenden Steinbauperiode I.6 (Nr. 86), der sehr lange, über 130 Jahre, im Umlauf gewesen sein muss. Der Dupondius aus der trajanischen Steinbauperiode I.3 (Nr. 94) weist die Schlagmarke TI AV auf, die Claudius zugeschrieben wird (Kraay 1962, 48).

262 4% nach Kraay 1962, Tab. I.

263 Nr. 2–17; Nr. 1'–4'.

264 Nr. 18–48; Nr. 5'–10'.

265 Nr. 40–43, 47; zwei weitere Asse mit Schlagmarke IMPAVG (Nr. 8') bzw. IMAVG und TIBIM (Nr. 10') mit nicht zuweisbarem Fundort.

266 Nr. 49–82; Nr. 11', 12'.

267 Nr. 83–103; Nr. 13'.

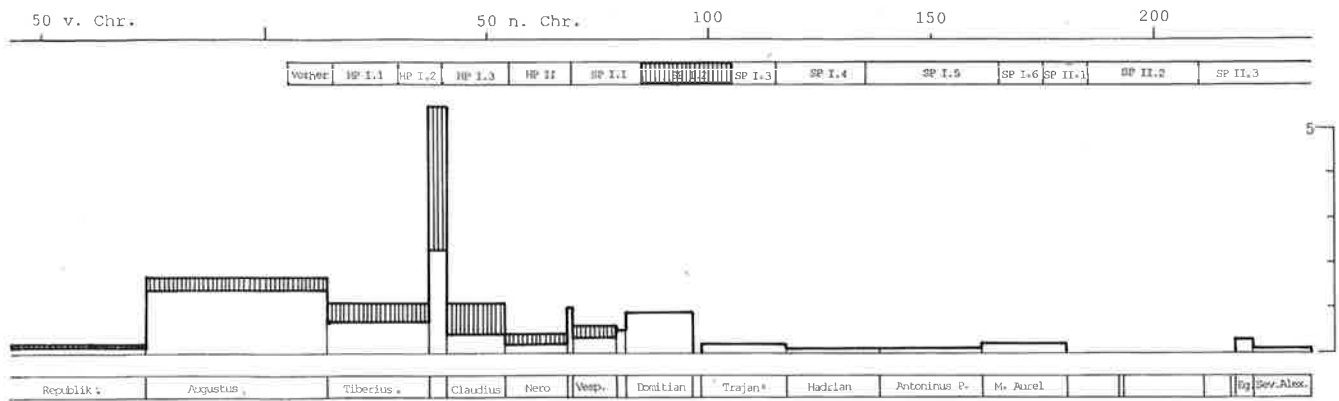


Abb. 138. Anteile der Prägungen pro Jahr; Münzen aus SP I.2 schraffiert.

Die claudischen Münzen²⁶⁸ gelangten zum überwiegenden Teil im späten 1. Jh. in den Boden. Wenn alle Stücke aus den vermischten Abbaukomplexen tatsächlich aus der Benützungsschicht von Raum J der domitianischen Steinbauperiode I.2 stammen, sind es 71%. Dies erklärt die bezogen auf die Prägezeit relative Häufigkeit der claudischen Münzen im vorliegenden Münzspektrum. Einzelne Nachzügler treten noch im früheren 2. Jh. auf. Der As aus dem Fundament der Steinbauperiode II.1 (Nr. 109) hingegen könnte aus einer älteren Schicht verlagert sein.

Die Prägungen des Nero (Nr. 117–121) kamen im späten 1./früheren 2. Jh. in den Boden. Der Denar des Vitellius Nr. 122 aus dem Fundament der Steinbauperiode II.1 stammt wohl ursprünglich aus einer älteren Schicht. Die Münzen des Vespasian Nr. 123–128 wurden schon relativ kurz nach ihrer Prägezeit abgelagert, mit Ausnahme des Dupondius Nr. 126 aus einem die Benützungsschicht der Steinbauperiode I.6 und den Bauhorizont der Steinbauperiode II.1 umfassenden Komplex. Ob letzterer ursprünglich aus einer älteren Schicht stammt, lässt sich angesichts der Fundumstände nicht entscheiden. Die einzige Münze des Titus (Nr. 129) fand sich in der hadrianischen Steinbauperiode I.4, ebenso ein As des Domitian (Nr. 140). Die domitianischen Prägungen²⁶⁹ treten aber mehrheitlich erst ab der Mitte des 2. Jh. auf. Letzteres gilt auch für die wenigen trajanischen Münzen (Nr. 141–144).

Der genaue Fundort der beiden hadrianischen Münzen Nr. 17' und 18' lässt sich nicht mehr bestimmen. Wann die beiden unter Antoninus Pius geprägten Münzen Nr. 145 und 146 verloren gingen, ist ebenfalls nicht genauer festzulegen. Sie können aber frühestens im späten 2. Jh. in den Boden gekommen sein. Die unter Lucius Verus bzw. Marc Aurel geschlagenen Prägungen²⁷⁰ scheinen hingegen schon relativ kurz nach ihrer Entstehung verloren gegangen

zu sein. Neben dem schon erwähnten Denar des Severus Alexander (Nr. 21') fand sich noch eine weitere, nicht stratifizierbare Münze des früheren 3. Jh., ein Denar der Iulia Maesa (Nr. 20').

Zusammenfassend lässt sich sagen, dass die Münzen mehrheitlich erst viele Jahre nach ihrer Prägezeit in den Boden kamen; bei rund der Hälfte dauerte es über eine bis zwei Generationen, bei 40% sogar wesentlich länger. Nur wenige gingen noch während der Regierungszeit des Prägeherrn oder kurz danach verloren. Werden die republikanischen Prägungen dem claudischen Münzumsatz zugerechnet, so erhöht bzw. verdoppelt sich der Anteil an zeitgenössischen Münzen auf noch immer geringe 17%. Diese z.T. enorme Verzögerung zeigt sich auch andernorts, etwa in Augst und Rottweil (Furger/Deschler-Erb 1992, 34): Im 73/74 n. Chr. gegründeten Kastell III von Rottweil sind die vorflavischen Prägungen fast ebenso häufig wie die flavischen. Von den Münzen aus der Schichtenabfolge beim Augster Theater gelangte die Mehrzahl erst nach 20 und mehr Jahren in den Boden, und nicht einmal ein Drittel sind als zeitgenössische Prägungen zu bezeichnen (Furger/Deschler-Erb 1992, Abb. 18).

Die Phasen weisen je nach ihrer Stellung auf der Zeitachse unterschiedliche Anteile an zeitgenössischen Münzen auf (Abb. 140). Die tiberisch-claudische Holzbauperiode I und, wenn auch in geringerem Masse, die neronische Holzbauperiode II sowie die frühflavische Steinbauperiode I.1 enthielten zur Hauptsache relativ neue Münzen bzw., wie im Fall der republikanischen Münzen, Prägungen, die man erneut im Münzumsatz verwendet hatte. In der Holzbauperiode II brauchten 17% mehr als 50 Jahre, um in den Boden zu gelangen. Im Laufe der flavischen Zeit vergrößert sich bei den meisten Münzen die Diskrepanz zwischen Prägedatum und Ablagerungszeit

268 Nr. 104–116; Nr. 14'.

269 Nr. 130–140; Nr. 15', 16'.

270 Nr. 147, 148; Nr. 19'.

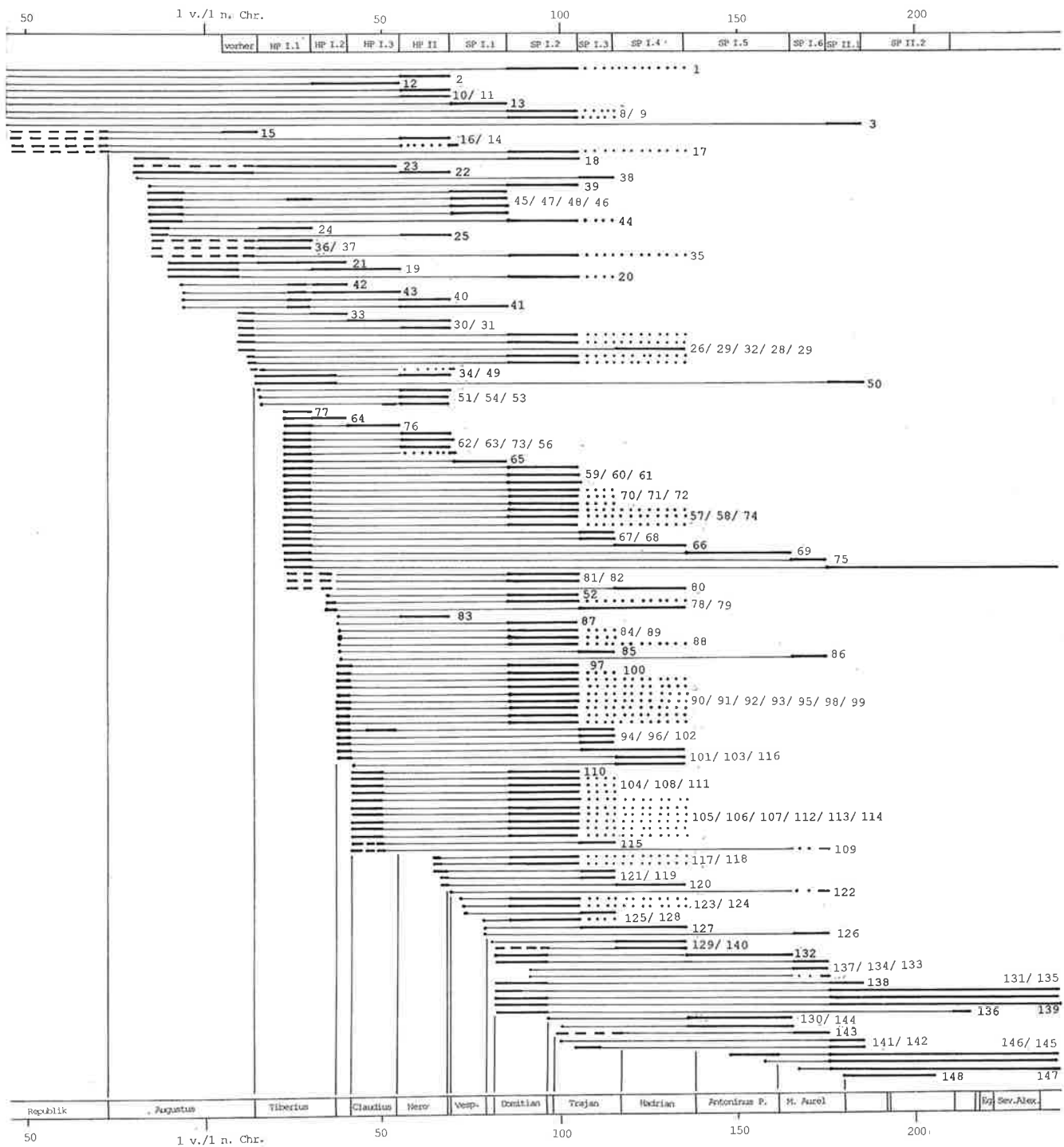


Abb.139. Verteilung der Münzen nach Prägedatum.

von unter auf über 50 Jahre und mehr. Werden die aus vermischten Abbaukomplexen stammenden Münzen alle der domitianischen Steinbauperiode I.2 zugewiesen, so wurden von den 51 bestimmbaren Münzen nur gerade 5 in einer Zeit von weniger als einer bis zwei Generationen nach ihrer Prägung abgelagert. Die Hälfte entstammt hingegen dem claudischen Münzumschlag (Republik 3, Caligula 13, Claudius 10) und noch über ein Drittel dem augusteisch-tiberischen (Augustus 10, Tiberius 13). Im früheren

2. Jh. gingen über 70% erst mehr als 50 Jahre nach ihrer Prägung verloren, im mittleren und späteren 2. Jh. sogar 100%. Erst gegen Ende des 2. Jh. erscheinen in den Schichten wieder annähernd zeitgenössische Münzen (Nr.145–148). Ein ähnliches Bild zeigt wiederum die Schichtenabfolge beim Augster Theater, wo zeitgenössische Prägungen vor allem in den Phasen der 1. Hälfte des 1. Jh. auftreten (Furger/Deschler-Erb 1992, Abb.18).

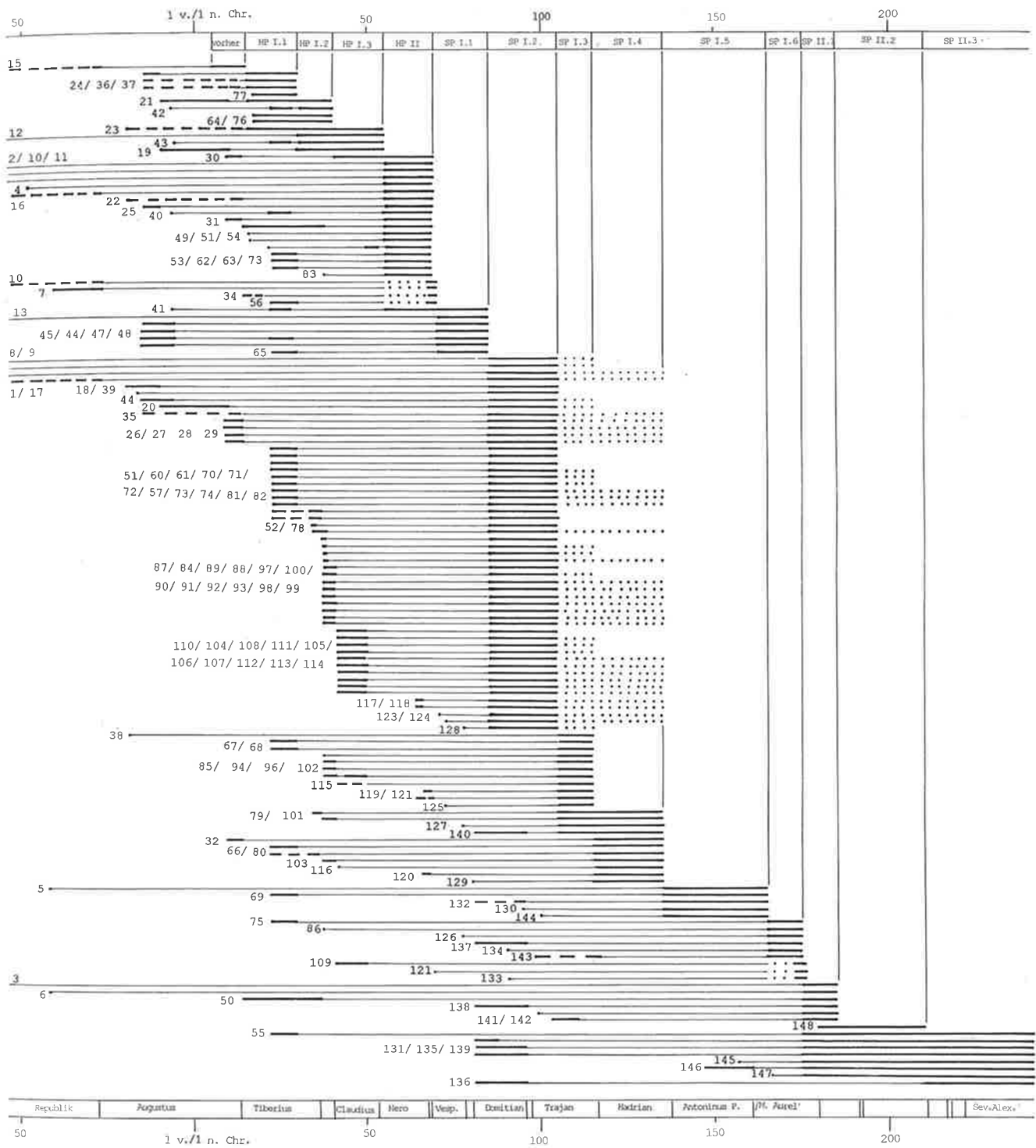


Abb.140. Verteilung der Münzen nach Fundort.

4.7. Glas

4.7.1. Glasgefäße²⁷¹

Verglichen mit der Keramik sind Glasgefäße selten – ihr Anteil an der Fundmenge beträgt durchschnittlich 1%, höchstens 5% (Tab. 26). In den Holzbauperioden kamen überhaupt keine Randscherben zum Vorschein. Der mit 4% relativ hohe Prozentsatz in den Schichten vor der ersten Überbauung dürfte an der kleinen Gesamtzahl (23 Keramikränder) liegen oder aber in der Herkunft der Funde – aus Gräbern – begründet sein (Kap. 3.2.2.). In der Steinbauperiode I scheint das Glas mit 2% etwas häufiger zu werden.

Mehrfach vertreten sind Rippenschalen (36%), Flaschen bzw. Krüge und Becher (23%) sowie Schälchen (9%), während zwei weitere Formen (Nr.1025.1026) nur als Einzelstücke vorkommen. Rippenschalen, Flaschen, Krüge und Becher sind auch in Oberwinterthur, Vindonissa und im Altbestand von Baden die häufigsten Formen²⁷². Die Zahl der Glasgefäße ist bei allen Formen zu klein, als dass eine allfällige Entwicklung in der Zeit zu erkennen wäre.

Rippenschalen (Abb. 141)

Rippenschalen Isings 3 kommen in den Phasen 1, 4 und 6 der Steinbauperiode I vor, die den Zeitraum vom letzten Viertel des 1. Jh. bis zum 3. Viertel des 2. Jh. umfassen. Zwar gilt die Form als Leittyp des 1. Jh., der im frühen 2. Jh. innerhalb weniger Jahre verschwindet (Rütti 1988, 22), doch tiefe Rippenschalen aus bläulichem Glas mit steiler gerader Profilierung in Heddernheim²⁷³ und Oberstimm-Periode 2 (Schönberger 1978, E5) belegen ein Vorkommen bis mindestens in hadrianische Zeit. Auch in Hesselbach fand sich eine Rippenschale (Baatz 1973, Abb. 40,6). Ob das Stück Nr.1660 aus der Steinbauperiode I.6 des 3. Viertels des 2. Jh. beim Erstellen des Bodens aus einer älteren Schicht verlagert wurde oder erst später verloren ging, ist deshalb nicht zu entscheiden. Das Glas ist wie bei den erwähnten Vergleichsstücken mehrheitlich blaugrünlich (Nr.1089.1099.1209.1310.1392.1660). Nur je ein Exemplar ist aus türkisblauem Glas (Nr. 784) bzw. in Millefiori-Technik mit blauem und weissem Glas (Nr.1251) angefertigt. Bei letzterem könnte es sich um ein beim Erstellen des Bodens der hadrianischen Steinbauperiode I.4 aus einer älteren Schicht verlagertes Stück handeln, denn nach den Untersuchungen in Oberwinterthur-

Unteres Bühl sind Millefiori-Schalen vor allem in der frühesten Periode vertreten (Rütti 1988, Tab.10). Der Anteil der blaugrünlichen Schalen hingegen nimmt im Laufe der Zeit zu. Wie bei den Stücken von Heddernheim und Oberstimm ist der Rand der vorliegenden Exemplare ziemlich steil und gerade, wie es für den Typ Isings 3c/Rütti Gruppe 3 typisch ist, der, anders als die frühen Gruppen 1 und 2, in Oberwinterthur auch in den späten Perioden vorkommt (Rütti 1988, 24; Abb. 8).

Flaschen/Krüge (Abb. 142)

Die Fragmente der enghalsigen Gefäße sind meistens so klein, dass nicht zu entscheiden ist, ob sie von henkellosen Flaschen oder mit Henkeln versehenen Krügen (z. B. Nr.1823) stammen. Die Farbe spielt von bläulich bis grünlich. Es kommen dünnwandige (Nr. 27.1250) und dickwandige Gefäße (Nr.1249.1727.1823) vor. Erstere sind wohl den Salbflaschen/Balsamarien zuzuweisen, allenfalls Badeflaschen/Aryballoi oder kleinen, feinen Krügen, deren Henkel nicht erhalten sind²⁷⁴, letztere wohl meistens Krügen (Rütti 1988, Taf. 22). Der Lippe nach lassen sich die Gefäße in zwei Gruppen aufteilen: mit dreieckig verdicktem Rand (Nr. 27.1727); mit nach innen gefaltetem Rand (Nr.1249.1250.1823). Der Randbildung scheint keine chronologische Bedeutung zuzukommen (a.a.O. 82). Das Salbfläschchen stammt aus einer augusteischen Schicht, was auch für das eine der Vergleichsstücke aus Oberwinterthur zutrifft (Kap. 5.2.2.). Aryballoi erfreuten sich im letzten Viertel des 1. Jh. und im 2. Jh. besonderer Beliebtheit (Rütti 1988, 80). Vierkantige, zylindrische und konische Krüge treten ab claudischer Zeit, erstere schon ab spätaugusteisch-frühtriberischer Zeit, auf und kommen bis ins 3. Jh. bzw. bis Mitte 2. Jh. vor (Rütti 1988, 82ff.). In diese Chronologie passen die Badener Stücke gut hinein.

Becher (Abb. 143)

Die Becher lassen sich in drei Gruppen einteilen: mit abgesetztem, leicht nach aussen gebogenem Rand (Nr.1027.1479.1826); randlos (Nr.1028); mit abgesetztem Steilrand (Nr.1825). Die Fragmente Nr.1027 und 1028 aus der domitianischen Steinbauperiode I.2 und Nr.1479 aus dem Bauhorizont der im 2. Viertel des 2. Jh. errichteten Steinbauperiode I.5 sind entfärbt und mit feinen Schliff-

271 Sylvia Fünfschilling, Augst, habe ich für das Überlassen der Zeichnungen und Vorlagen für den Katalog zu danken. Ein Dank geht auch an Beat Rütti, Augst.

272 Fünfschilling 1985, Tab.1; Rütti 1988, 109f. Tab. 49.

273 Welker 1974, 19; Taf. 1.2; Welker 1985, 13; Taf. 1.2–8; Taf. 2,9–11.

274 Nr. 27: Rütti 1988, Nr.1307.1308; Nr.1250: Fünfschilling 1985, Nr.198; Rütti 1988, Nr.1391.1394.

linien verziert, jene aus dem Bauhorizont der Steinbauperiode II.1 des späteren 2. Jh. (Nr. 1825.1826) durchsichtig und olivfarben bzw. hellblau. Sie gehören wohl mehrheitlich der häufigen Form Isings 12 an²⁷⁵, obwohl diese offenbar eher selten aus farblosem Glas besteht (Rütti 1988, 57). Farbloses Glas gilt als Merkmal des 2. und 3. Jh. (Welker 1974, 140; Taf. 19,307–309), doch die Grundlage der domitianischen Stücke Nr. 1027 und 1028 ist einwandfrei: Sie stammen aus einer Planie, die vor dem dicken Splitterboden (498) in Raum H der trajanischen Steinbauperiode I.3 eingebracht worden war (Beil. 5). Der eine Becher (Nr. 1826) vom Bauhorizont der Steinbauperiode II.1 könnte auch der Form Isings 96 zuzurechnen sein (wie Rütti 1988, Nr. 866). Aufgrund der Glasqualität – durchsichtig, ohne Blasen – ist er aber nicht ins 3. bzw. 4. Jh. zu datieren (a.a.O. 57). Der andere Becher (Nr. 1825) erinnert wie ein ähnliches Stück aus Vindonissa (Berger 1960, Taf. 6,94) an Keramikbecher (z.B. Nr. 97.720.1357). Ob die Becher beim Bau der Steinbauperiode II.1 aus einer älteren Schicht verlagert wurden, muss offen bleiben.

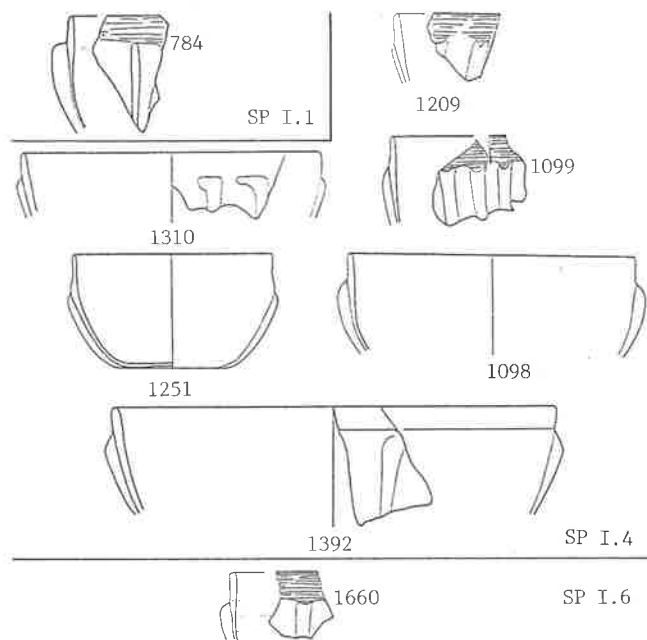


Abb. 141. Rippenschalen. Varianten und ihr Auftreten in den einzelnen Phasen. M ca. 1:4.

Schälchen (Abb. 144)

Die blaugrünlichen Schälchen Nr. 1248 aus der hadrianischen Steinbauperiode I.4 und Nr. 1824 aus dem Bauhorizont der im späteren 2. Jh. errichteten Steinbauperiode II.1 sind wohl der Form Isings 42 zuzuweisen, die zur Hauptsache in die 2. Hälfte des 1. Jh. datiert wird (Rütti 1988, 60; Nr. 911.918). Dieser Typ ist zwar noch in Oberstimm belegt (Schönberger 1978, E32-E34), kommt aber in Heddernheim offenbar nicht mehr vor (Welker 1974; 1985). Das Stück Nr. 1824 aus dem Bauhorizont der Steinbauperiode II.1 könnte ursprünglich aus einer älteren Schicht stammen. Auch Nr. 1248 der Steinbauperiode I.4 könnte beim Erstellen des Bodens verlagert sein.

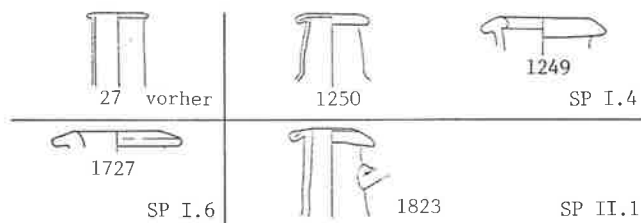


Abb. 142. Glasflaschen/-krüge. Varianten und ihr Auftreten in den einzelnen Phasen. M ca. 1:4.

Varia (Abb. 145)

Beim Gefäß Nr. 1026 mit gefaltetem, nach aussen gebogenem Rand und Henkelansatz aus der domitianischen Steinbauperiode I.2 könnte es sich um einen kleinen Modiolus handeln, einen Typ, für den eine Produktion in Slovenien vermutet wird. Die Form war seit dem frühen 1. Jh., insbesondere aber in der 2. Hälfte des 1. Jh., beliebt und kommt im Osten des römischen Reiches bis über die Spätantike hinaus vor (Rütti 1988, 62).

In der gleichen Phase fand sich ein mit weissen Tupfen versehenes blaues Glas mit Röhrchenrand (Nr. 1025), das aufgrund der schräg nach aussen geneigten Wand von

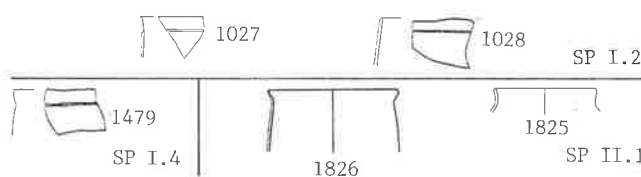


Abb. 143. Glasbecher. Varianten und ihr Auftreten in den einzelnen Phasen. M ca. 1:4.



Abb. 144. Glasschälchen. Varianten und ihr Auftreten in den einzelnen Phasen. M ca. 1:4.

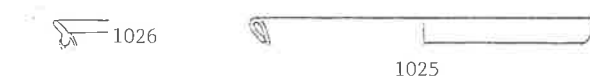


Abb. 145. Glasgefässe varia aus der Steinbauperiode I.2. M ca. 1:4.

275 Nr. 1027: ähnlich Rütti 1988, Nr. 758; Nr. 1028: a.a.O. Nr. 719; Nr. 1479: a.a.O. Nr. 759.

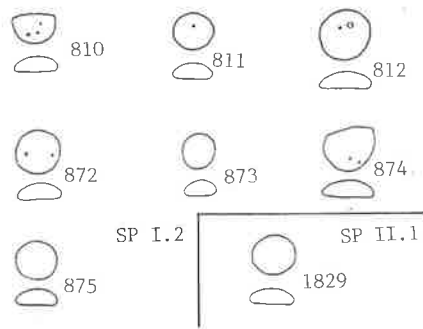


Abb. 146. Spielsteine. Varianten und ihr Auftreten in den einzelnen Phasen. M 1:3.

einem Teller Isings 46a stammen könnte. Diese Teller sind von claudischer Zeit bis ins frühe 2. Jh. belegt und vielleicht in Oberitalien hergestellt (Rütti 1988, 66; Nr. 989). Auch die Verzierung, die allerdings bisher offenbar vor allem für geschlossene Gefässe belegt ist (a.a.O., 70), verweist auf Oberitalien, mit einer Produktionsphase im 2. und 3. Viertel des 1. Jh. (Berger 1960, 34). In Oberwinterthur ist die Kombination weiss auf blau die mit Abstand häufigste (Rütti 1988, Tab. 34).

4.7.2. Spielsteine (Abb. 146)

Die Benützungsschicht in Raum J der domitianischen Steinbauperiode I.2 enthielt 24 Spielsteine²⁷⁶. Auf der benachbarten Parzelle fanden sich drei weitere Stücke (Nr. 810–812), die wohl von Spielern verloren worden waren. Das gleiche gilt wohl auch für das Stück Nr. 1829 aus dem Fundament der Steinbauperiode II.1 im Hinterhofbereich der Steinbauperiode I zwischen den beiden Parzellen. Es könnte ursprünglich vom Gehniveau von Raum A oder Raum D der Phase 2 stammen, wo es einst verloren ging.

Der Fundbestand umfasst also 28 Spielsteine (Holliger/Holliger 1983, 13). Ausser zweien aus Bein, von denen einer schwarz gefärbt ist, bestehen alle aus Glas; darunter sind drei schwarze, vier blaue (Nr. 1829), ein blaugrüner und 18 weisse (Nr. 810–812.872–875). Anders als erwartet und an anderen Fundplätzen wie Vindonissa und Velsen (a.a.O. 5) sowie Oberwinterthur (Rütti 1988, 100) belegt, ist das Verhältnis von dunklen zu hellen Steinen nicht ungefähr 1:1, sondern fast 1:2 (32%:68%), ohne dass eine Erklärung dafür zu finden wäre. Die Dicke scheint stets gleich zu sein, sie beträgt die 6 mm (dazu auch Holliger/Holliger 1983, 5). Hingegen kommen offenbar zwei Grössen vor: Durchmesser um 14 mm (12–16 mm); Durchmesser 18 mm. Den feinen Löchern auf der Oberseite (Nr. 810–812.872.874) ist wohl keine Bedeutung zuzumessen; sie

²⁷⁶ Nr. 872–875. 20 Stück gehören den leider auch Schichten der Phasen 3 und 4 der SP I umfassenden Fundkomplexen FK 346.347 an (s. Kap. 11.5.2.).

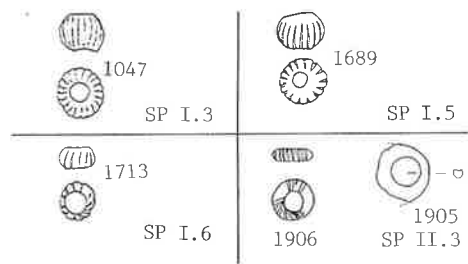


Abb. 147. Perlen. Varianten und ihr Auftreten in den einzelnen Phasen. M 1:3.

dürften auf die Verwitterung im Boden zurückzuführen sein (a.a.O. 6).

Aufgrund der grossen Funddichte ist Raum J wohl als Spielsalon zu deuten, denn Spielsteine sind an sich sehr seltene Funde – in Oberwinterthur-Unteres Bühl etwa fanden sich auf rund 1800 bestimmbare Glasfragmente nur 18 Spielsteine (Rütti 1988, 11). In Vindonissa ist eine auffällige Häufung im Lagerzentrum, im Bereich der öffentlichen Bauten mit den grossen Innenhöfen, festzustellen (Holliger/Holliger 1983, 14 Abb. 7), wo sich die Legionäre wohl zum Spiel trafen.

4.7.3. Perlen (Abb. 147)

Drei der fünf Perlen sind als sog. Melonen- oder Lotusperlen zu bezeichnen (Nr. 1047.1689.1713), die auch an anderen Fundplätzen die häufigsten sind (Rütti 1988, 97; Nr. 1943). Sie bestehen nicht aus Glas, sondern aus blauer bis türkisblauer, fayenceartiger Kieselkeramik (Riha 1990, 80). Man vermutet, dass sie in grosser Zahl während einer kurzen Zeit im 1. Jh. hergestellt, dann aber noch längere Zeit verwendet wurden. Für letzteres spricht auch das Vorkommen in den Phasen 3, 5 und 6 der Steinbauperiode I, die das früherere und mittlere 2. Jh. umfassen. In Oberstimm treten Melonenperlen noch in Periode 2 auf (Schönberger 1978, F37.F39.F50) und auch in Augst kommen sie noch in Schichten des 2. Jh. vor (Riha 1990, Tab. 97).

Die beiden ringartigen Perlen Nr. 1905 und 1906 aus der Steinbauperiode II.3 des späteren 2. Jh. bestehen aus grünlichem Glas. Bei der ersten ist die Oberfläche stellenweise nicht mehr erhalten, so dass sie nicht genau zu bestimmen ist. Die zweite weist gelbe Streifen auf, womit sie einem Typ zuzuweisen ist, dessen Datierung aber bisher nicht genau eingegrenzt werden konnte²⁷⁷. Eine ähnliche, zeitlich ebenfalls nicht einzuordnende Perle ist aus Augst bekannt (Riha 1990, Nr. 1179).

²⁷⁷ Typ 246, s. Tempelmann-Maczynska 1985, 53 Anm. 186 Taf. 5.

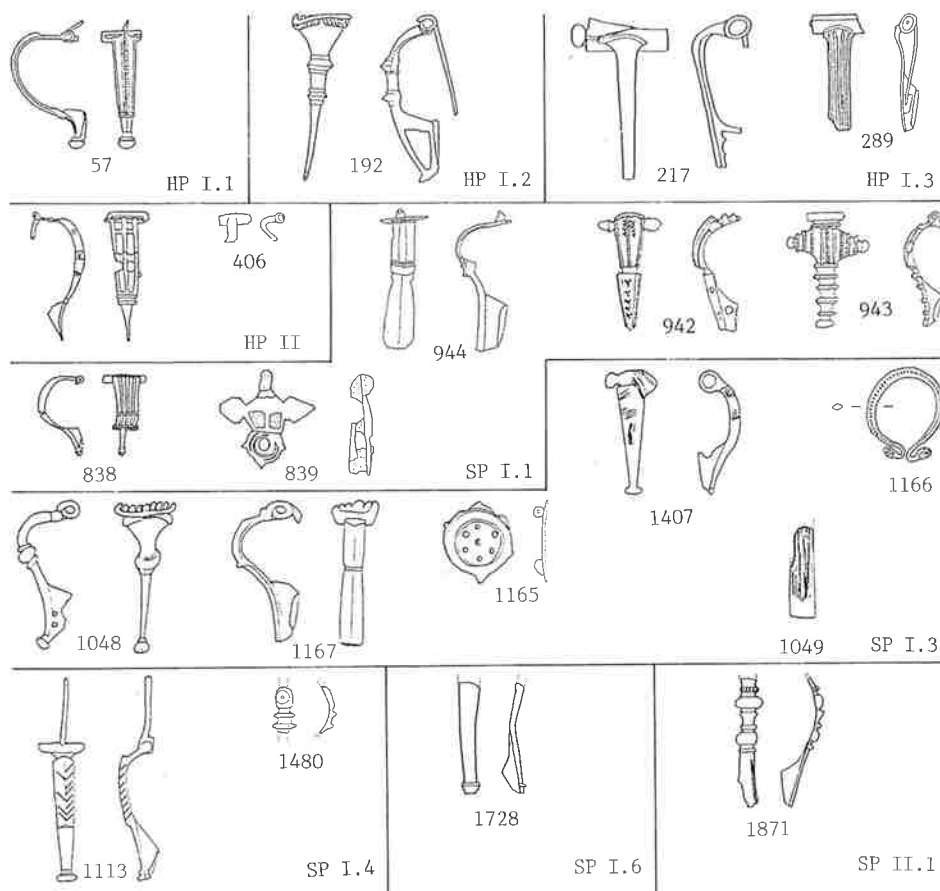


Abb. 148. Fibeln. Varianten und ihr Auftreten in den einzelnen Phasen. M 1:3.

4.8. Bronze

Mit Ausnahme der Fibeln treten die Bronzegegenstände bzw. deren Fragmente nur als Einzelstücke oder in einigen wenigen Exemplaren auf, so dass am vorliegenden Material eine allfällige Entwicklung nicht aufzuzeigen ist. Bei ihnen gilt es deshalb in erster Linie die Funktion zu bestimmen. Die besten Parallelen finden sich in militärischen Zusammenhängen, doch darf daraus nicht eine ausschliesslich militärischen Deutung abgeleitet werden. Metallgegenstände sind bisher nämlich vor allem aus Militärlagern vorgelegt²⁷⁸ und nur in geringem Masse aus zivilen Siedlungen²⁷⁹, während bei Gräbern²⁸⁰ überdies mit einem beschränkten Inventar zu rechnen ist.

Nach den Fibeln (Kap. 4.8.1.) fasse ich alle Gegenstände zusammen, die im weitesten Sinn zur Zier irgendwo als Attache angebracht waren (Kap. 4.8.2.), die Fragmente, die von einem als Ganzes aus Bronze gefertigten Objekt, meistens einem Gerät, stammen (Kap. 4.8.3.), und die

Fragmente, deren Funktion der Kleinheit und/oder des unbestimmten Charakters wegen nicht näher zu bestimmen ist (Kap. 4.8.4.).

4.8.1. Fibeln (Abb. 148)

21 Fibeln stammen aus Komplexen, die sich einer Phase zuweisen lassen. Im Vergleich zur zuweisbaren Keramik sind es verschwindend wenige (1%). Alle bestehen aus Bronze. Ein Viertel weist dank guter Erhaltungsbedingungen die ursprüngliche goldfarbene Oberfläche auf (Nr. 192.621.942.943.1167). Ein Exemplar ist mit Weissmetall (Zinn?) überzogen (Nr. 1871), zwei Fibeln tragen eine Verzierung mit Niello (Nr. 942.1113), eine war vermutlich mit Emailinlagen geschmückt (Nr. 839). Eine Fibel weist Zwischenstege aus Eisen auf (Nr. 621).

278 Z.B. ORL; Ritterling 1912; Hawkes/Hull 1947; Ulbert 1959; Walke 1965; Frere 1972; Fischer 1973; Hübener 1973; Ulbert 1969a; Ulbert 1970; Schönberger 1978; Frere 1984; Heiligmann 1990.

279 Z.B. Krämer 1957; Frova 1973; Frova 1977; Martin-Kilcher 1980; Ricci 1985; Hochuli-Gysel et al. 1986; Klee 1986.

280 Z.B. Martin-Kilcher 1976; Mackensen 1978; Ludwig 1988; Asskamp 1989.

Zwei Fibeln sind so schlecht erhalten, dass sie nicht mehr zu bestimmen sind (Nr. 406.1407). Die meisten lassen sich jedoch in die von E. Riha (1979) anhand der Fibeln von Augst und Kaiseraugst aufgestellten Typologie einordnen, ausgenommen die beiden Scheibenfibeln Nr. 839 und 1165. Zu beiden finden sich in Camulodunum Vergleichsstücke (Hawkes/Hull 1947, Nr. 164.178). Neuerdings ist in Augst eine Parallele zu Nr. 839 zum Vorschein gekommen (Furger/Deschler-Erb 1992, Taf. 27,8/75). Sieben Fibeln weisen einen Spiralverschluss auf, wobei bei dreien die Spirale in einer Hülse steckt²⁸¹, dreizehn haben einen Scharnier-²⁸² und nur eine, die Omegafibel Nr. 1166, einen Drehverschluss.

Spiralfibeln treten in der Holzbauperiode I (Nr. 192) sowie in der ersten Phase der Steinbauperiode I (Nr. 944) auf und kommen bis zur trajanischen Phase 3 (Nr. 1048.1167) vor; die Hülsenspiralfibeln sind in der claudischen Holzbauperiode I.3 (Nr. 217.289) und in der trajanischen Steinbauperiode I.3 (Nr. 1049) belegt. Bei letzterer könnte es sich um ein aus einer älteren Schicht verlagertes Stück handeln. Scharnierfibeln erscheinen schon in der tiberischen Holzbauperiode I.1 (Nr. 57) und in der neronischen Holzbauperiode II (Nr. 406.621). Bezeichnenderweise sind aber mindestens zwei von ihnen, die Aucissafibel Nr. 57 und deren Variante Nr. 621, in Zusammenhang mit Militär zu sehen (Riha 1979, 114f.122). In den Phasen der Steinbauperiode I weisen die Fibeln hingegen mehrheitlich einen Scharnierverschluss auf²⁸³. Die Omegafibel mit Drehverschluss stammt aus der trajanischen Steinbauperiode I.3. Das allmähliche Verdrängtwerden der Spiralfibel durch die Scharnierfibel nach einem längeren Nebeneinandergehen im 1. Jh. zeigt sich auch in Augst (Riha 1979, 44). Die Spiralvorrichtung gilt als einheimische Tradition (a.a.O.), die Hülsenspirale und das Scharnier hingegen als römische Errungenschaft, so dass man schon gemeint hat, den Romanisierungsprozess an den Fibeln ablesen zu können (Okun 1989, 57). Der Verschluss war jedoch beim Tragen der Fibel nicht oder mindestens nicht gut zu sehen (Riha 1979, Abb. 20), was besonders am Beispiel der Scheibenfibeln deutlich wird: ob mit Spirale oder mit Scharnier (vgl. z. B. Riha 1979, Nr. 308 mit Nr. 1620), sie sehen gleich aus. Demnach besitzt die Art des Verschlusses kaum die für die Akkulturationsfrage vor allem wichtige Zeichenfunktion (Kap. 6.2.); der Verschluss war

ein technologisches Problem, das mit der Zeit anders gelöst wurde. Die erste mit einem Scharnier ausgerüstete Fibel ist die Bogenfibel vom Typ Alesia, die in den Caesar zugeschriebenen Gräben vor Alesia schon in Erscheinung treten (Rieckhoff 1975, 20f.; Feugère 1985, 306). Ihr Entstehungsort ist umstritten: E. Ettliger (1973, 91) denkt an Oberitalien; mit Caesars Soldaten, die er nachweislich u. a. in diesem Gebiet ausgehoben hat (Ritterling 1924, 1206), wären sie nach Gallien gekommen. S. Rieckhoff (1975, 20f.) zieht eher Gallien in Betracht, da die Fibeln weniger in militärischen Kontexten sondern vor allem in den Oppida vorkommen, und betont die formengeschichtliche Kontinuität mit keltischen Fibeln²⁸⁴. In der römischen Welt scheint das Tragen von Fibeln hauptsächlich beim Militär verbreitet gewesen zu sein, denn in Mittel- und Süditalien sind Fibelfunde selten²⁸⁵. Bei den dort nachgewiesenen Fibeln handelt es sich, wenn sie nicht aus dem Antiquitätenhandel stammen (Feugère 1985, 405), durchwegs um weitverbreitete Typen (a.a.O. Typen 11/12/21/22/24/29/32; Abb. 24.26.38.46.49–51.67); sie sind bis nach Südrussland, dem freien Germanien und dem Iran verstreut, so dass sie wohl von einer weitgereisten, sozusagen internationalen Bevölkerungsgruppe getragen wurden, etwa vom Militär, wie es für die Aucissafibel (a.a.O. Typ 22) zutrifft. Ein Anzeichen einer fortschreitenden Romanisierung ist hingegen wohl darin zu sehen, dass Fibeln hauptsächlich in Schichten des 1./frühen 2. Jh. zum Vorschein kommen – in Baden sind es 17 (81%), in Augst ca. 80% (Furger/Deschler-Erb 1992, 24) – während sie in späteren Schichten selten sind²⁸⁶. In Baden fällt auf, dass gerade die Fibeln aus den jüngsten Phasen nur noch als Fragment erhalten sind (Nr. 1480.1728.1871), was darauf hindeuten könnte, dass sie schon eine Weile nicht mehr zu benutzen worden waren und deshalb als Fragment in den Boden kamen²⁸⁷, während jene aus Phasen des 1. und frühen 2. Jahrhundert mehrheitlich nahezu ganz sind.

Neben den Aucissafibeln (Nr. 57.838; evtl. Nr. 621), die vor allem typisch für das Militär sind, treten einige Typen auf, deren Hauptverbreitungsgebiet im norisch-pannonischen Raum bzw. in Rätien (Nr. 192.1048; Riha 1979, 73; 76) oder sogar in Böhmen und Mitteldeutschland (Nr. 944.1167; a.a.O. 68) liegt. Die beiden Scheibenfibeln hingegen finden beste Parallelen in Britannien. Bei gut einem Viertel (29%) liegen also das Hauptverbreitungsgebiet

281 Spiralfibel: Nr. 192.944.1048.1167; Hülsenspiralfibel: Nr. 217.289.1049.

282 Nr. 57.406.621.838.839.942.943.1113.1165.1430.1480.1728.1871.

283 Phase 1: Nr. 838.839.942.943; Phase 3: Nr. 1165.1407; Phase 4: Nr. 1113; Bauhorizont zur Phase 5: Nr. 1480; Phase 6: Nr. 1728; SP II.1: Nr. 1871.

284 Allerdings verschweigt sie nicht, dass ein mangelhafter Forschungsstand bzw. andere Beigabensitten das Bild verfälschen könnten.

285 Dazu Ettliger 1973, 7; Rieckhoff 1975, 20; 25. Wie selten Fibeln an italienischen Fundplätzen sind zeigt etwa, dass eine entsprechende Materialgattung in Gabii fehlt (Almagro-Gorbea 1982) oder die beiden einzigen Fibeln in Luni in den zum Vergleich herangezogenen

Phasen (s. Kap. 13), zwei Omegafibeln, falsch bestimmt sind, nämlich als Henkel eines Bronzegefäßes! (Frova 1977, Taf. 177,4.6). Die auch in Settefinestre äusserst seltenen Fibeln weisen alle sogar eine Spirale(!) auf (Ricci 1985, Taf. 60,5.6.9).

286 29% in Baden; in Augst 12% im 2. Jh. und je 4% im 3./4. Jh.; anders M. Feugère (1985, 445), der gerade die ansteigende Häufigkeit und Vielfalt im 1. Jh. v. Chr. in Südgallien als Anzeichen der Romanisierung deutet.

287 Das gleiche könnte für die Fragmente Nr. 406 aus der neronischen Holzbauperiode II und Nr. 1049 aus der trajanischen Steinbauperiode I.3 gelten.

und wohl auch der Produktionsort weit weg von *Aquae Helveticae*. In Augst sind es nur gute 7% (nach Riha 1979, Taf. 78). Weist der hohe Anteil auf eine starke Zuwanderung hin, oder ist er mit der Nähe des Legionslagers *Vindonissa* zu erklären? Denn sowohl die Augenfibel als auch die norisch-pannonische Doppelknopffibel und die kräftig profilierte Fibel kommen in der Schweiz vor allem in *Vindonissa* vor (Ettlinger 1973, Karte 9–11). Knapp die Hälfte der Fibeln findet die Parallelen vorwiegend in den westlichen Provinzen, wo ihr Produktionsort gelegen haben muss²⁸⁸. Die Hülsenspiralfibel mit Gitterfuss Nr. 217 könnte in Augst hergestellt worden sein (Riha 1979, 92).

Neben den vor allem für das Militär hergestellten *Aucissafibeln* sind einige Typen eher der Frauentracht zuzuweisen (Nr. 192.217.289.1049.1166; s. Riha 1979, 76.92.98.206f.).

4.8.2. Zierteile

Anhänger (Abb. 149)

Die herzblattförmigen Anhänger Nr. 626 und 946 schmückten *Pferdegeschirre*²⁸⁹. Ähnliche Anhänger aus der *Villa rustica* von *Settefinestre* (Ricci 1985, Taf. 60,15.17) belegen, dass derartige Zierart nicht nur für *Militärpferde* verwendet wurde. Das Stück Nr. 626 aus dem *Brandschutt* der *Holzbauperiode II*, könnte allerdings bei der *Plünderung* durch die 21. *Legion* verloren gegangen sein (Kap. 5.4.). Der mit *Weissmetall* beschichtete *mondsichel*förmige Anhänger Nr. 1030 ist kleiner als sein *Pendant* an *Pferdegeschirren*²⁹⁰. Ähnliche oft in *Silber* ausgeführte Stücke gelten als *typisches Frauenamulet* (Riha 1990, 73; Nr. 717), wie sie nicht selten in *Gräbern* auftreten (a.a.O. Taf. 76,2947).

Ziernieten/-nägel (Abb. 150)

Neben den kleinen *Nieten* bzw. *Nägeln* Nr. 409, 624, 1827 und 1896 und der grossen *Zierniete* mit *konzentrischen Rillen* Nr. 1163, deren *Verwendungszweck* wohl *vielfältig* war, aber nicht mehr näher zu bestimmen ist, fallen zwei *figürliche Bronzen* ins Auge. Die in einem *Amorköpfchen* endende *Niete* Nr. 945 aus der *vespasianischen Steinbauperiode I.1* dürfte wohl ähnlich verwendet worden sein wie die unverzierten kleinen Stücke. Sie findet eine enge *Parallele* in einem *Köpfchen* aus der *Villa C* des *Nordvicus* von *Rottweil* auf dem Gelände des einstigen *Kastells III*²⁹¹. Ähnliche Exemplare kamen in *Oberstimm*

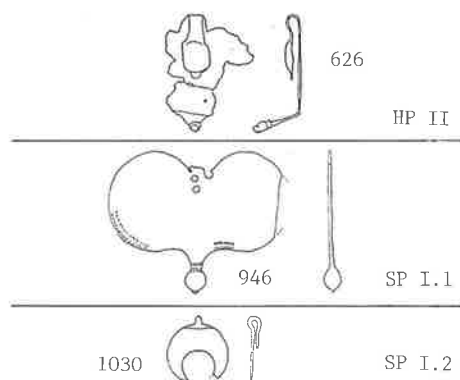


Abb. 149. Anhänger. Varianten und ihr Auftreten in den einzelnen Phasen. M 1:3.

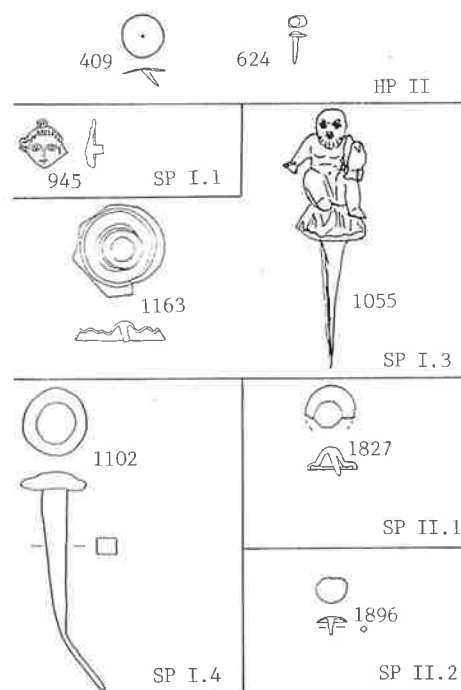


Abb. 150. Ziernieten/-nägel. Varianten und ihr Auftreten in den einzelnen Phasen. M 1:3.

und *Heddernheim* (Kap. 5.5.1.) sowie in *Augst* (Kaufmann-Heinimann 1977, Nr. 175.176) zum Vorschein. Der auf einem *Felsen* sitzende *Silen* mit einem *Vogel*, vielleicht einem *Huhn*, in der *Hand* (Nr. 1055) aus der *trajanischen Steinbauperiode I.3* dürfte einen *Wagen* geziert haben wie ein ähnlicher *Silen* ohne *Vogel* aus *Augst* (Steiger 1967, 188; Taf. 60,1–3; Kaufmann-Heinimann 1977, Nr. 56). Auch den grossen *Bronzenagel* Nr. 1102 kann man sich an einem *Wagen* oder *Möbel* vorstellen.

288 Nr. 289.942.943.1049.1113.1166.1480.1728.1871; Riha 1979, 98.124.127.135.144.206f.

289 Ulbert 1959, Taf. 20,3.4; Ulbert 1969a, Taf. 36,1; Unz 1971, Nr. 69.

290 Ritterling 1912, Taf. 14,5; Hübener 1973, Taf. 14,6; Planck 1975, Taf. 73,7.

291 Klee 1986, Taf. 28,16. Zur *Villa C*: a.a.O. 59; Abb. 1.

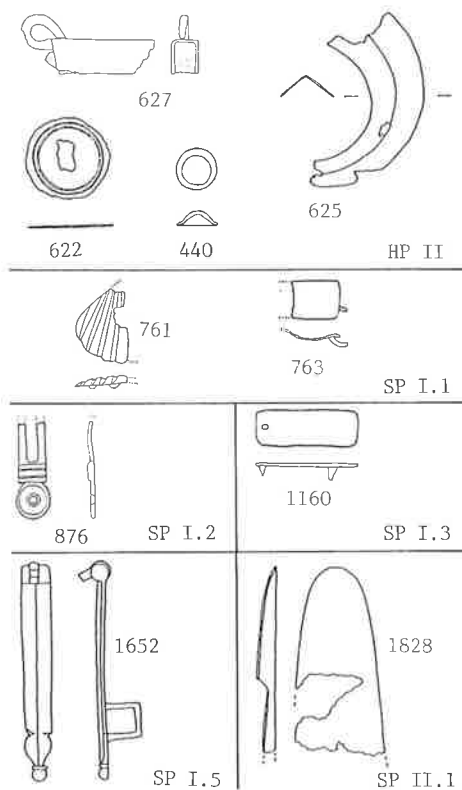


Abb. 151. Beschläge und Zierbleche. Varianten und ihr Auftreten in den einzelnen Phasen. M 1:3.

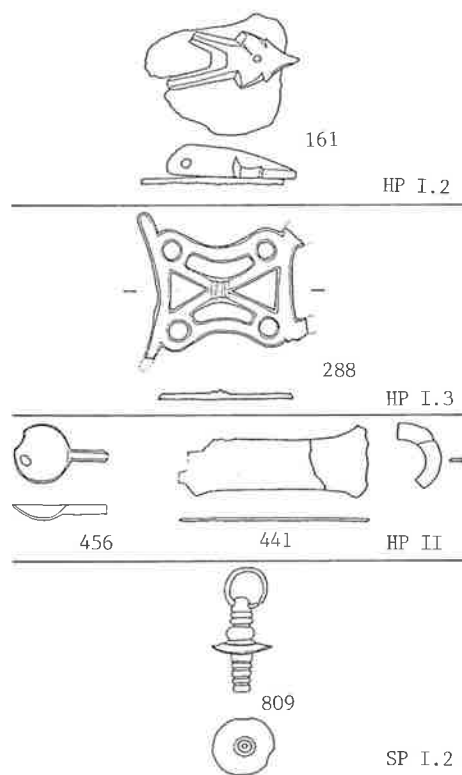


Abb. 152. Küchen-/Tafelgeräte. Varianten und ihr Auftreten in den einzelnen Phasen. M 1:3.

Beschläge und Zierbleche (Abb. 151)

Die beiden rechteckigen Bronzeplättchen Nr. 763 und 1160 gehören wohl zum Hängeschurz eines Legionärs²⁹². Das eine stammt aus dem Bauhorizont der Steinbauperiode I.1 (Nr. 763), das andere (Nr. 1160) aus dem Bauhorizont der Steinbauperiode I.4, aus Schichten also, die ohne weiteres älteres Material enthalten haben können, so dass nicht auszuschliessen ist, dass auch sie bei der Plünderung der Holzbauperiode II durch die 21. Legion verloren gegangen waren. Das muschelförmige Stück Nr. 761 könnte von einer Schwertscheideneinfassung eines Gladius vom Typ Pompeji stammen (Ulbert 1969b, 97ff.). Es fand sich im Bauhorizont der Steinbauperiode I.1 und dürfte ebenfalls mit den Ereignissen im Jahre 69 in Verbindung stehen.

Das Riemenbeschlag Nr. 876 gehört, wie die oben beschriebenen Anhänger, zum Pferdegeschirr (Ulbert 1959, 73; Taf. 18,9; Unz 1971, Nr. 42). Ob solche Stücke nur in militärischem Kontext zu erwarten sind, muss vorläufig wohl noch offen bleiben. Das gleiche gilt für das Futteralbeschlag einer Pionieraxt (Nr. 627) aus dem Brandschutt der Holzbauperiode II, das allerdings durchaus als Ausrüstungsgegenstand eines Legionärs bei der Plünderung der 21. Legion verloren gegangen sein könnte.

Das Scharnier mit Rechtecköse für den Riegel Nr. 1652 dürfte zu einem Schloss eines Holzkastens gehören, wie ein ähnliches Stück aus Risstissen nahelegt (Ulbert 1970, Taf. 25, 404). Eine kleine Truhe könnte einst das mond-sichelförmige Blech Nr. 625 verziert haben (Kemkes 1991, Abb. 39), an dessen erhaltenem Ende noch ein Loch zu erkennen ist. Das Stück findet Parallelen in Straubing (Walke 1965, Taf. 133,30) und Risstissen (Ulbert 1970, Taf. 27,431).

Wie das kleine Hütchen Nr. 440, die Scheibe Nr. 622 und das längliche, auf einer Seite spitz zulaufende Stück Nr. 1828 befestigt waren, ist ungewiss.

4.8.3. Geräte

Küchen-/Tafelgeräte (Abb. 152)

Löffel, *cochlearia*, mit runder, in der Achse liegender Laffe (Nr. 456) sind typisch für das 1. Jh.; ab dem frühen 2. Jh. werden sie durch Löffel mit abgesenkter Laffe abgelöst (Riha/Stern 1982, 14). Die Vergleichsstücke aus Augst (a.a.O. Taf. 11–13) weisen alle einen runden Stil auf, keines einen abgefasten wie der vorliegende. Liegt das an einem schlechteren Erhaltungszustand?

292 Ulbert 1959, Taf. 18,16; Unz 1971, Nr. 20; Schönberger 1978, B148-B150.

Der Stöpsel Nr. 809 dürfte zu einer Ampulle gehören²⁹³. Der durchbrochene Griff Nr. 288 aus der claudischen Holzbauperiode I.3 muss nach Beispielen aus Augst von einem Behältnis aus dünnem Blech oder organischem Material, vielleicht einem Sieb, stammen (Fünfschilling 1992). Die Parallelen datieren in die gleiche Zeit. Der Griff Nr. 441 stammt von einer Kasserolle (Holliger/Holliger 1984, Nr. 6). Auf der einen Seite – auf der Zeichnung links – ist der verkümmerte Schwanenkopf noch zu erahnen. Das Fragment Nr. 161 mit dem massiv gegossenen, wohl als Scharnier wirkenden Aufsatz dürfte von einem Kannendeckel stammen, auch wenn keine genaue Entsprechung zu finden war (ähnlich Holliger/Holliger 1985, Nr. 92.104).

Haken (Abb. 153)

Der Verwendungszweck der beiden aus Draht angefertigten Haken Nr. 764 und 162 kann nicht näher bestimmt werden. Das flache Stück Nr. 1101 hingegen stammt von einem Lampenaufhänger (Loeschcke 1919, Abb. 38,1065).

Geräte, varia (Abb. 154)

Die Wangenklappe eines Helms (Nr. 446) ist so schlecht erhalten, dass sie nicht näher zu bestimmen ist. Sie stammt aus der Brandschicht der Holzbauperiode II und dürfte bei der Plünderung durch die 21. Legion verloren gegangen sein. Der Bronzeriegel Nr. 407 stammt von einem Schloss (Walke 1965, Taf. 124,8.9; Frere 1972, Abb. 39,119). Umgebogene Bronzenadeln Nr. 628 fanden sich auch andernorts (z. B. Walke 1965, Taf. 110,15.16).

Zum verzierten Stück Nr. 760 fand ich keine Parallele. Es könnte sich aber um einen als Bein eines Raubtieres ausgeformten Griff handeln, denn zumindest sind Griffe in Form eines Pferdebeins nicht unbekannt (Fischer 1973, Taf. 21,10; evtl. auch Riha 1986, Nr. 14).

Der 13,3 g schwere Gewichtsstein Nr. 845 ist mit einer aus Weissmetall bestehenden Marke S versehen, was *se-muncia* (13,64 g) heissen muss (Mutz 1983, Tab. 2). Er gehört zu einer gleicharmigen Waage (a.a.O. 55). Siegelkapseln Nr. 1161 kommen häufig in militärischen Kontexten vor²⁹⁴, sind aber auch in zivilen Siedlungen belegt (Frova 1973, Taf. 134,13). Das Fragment mit massivem Griff Nr. 1671 aus der Steinbauperiode I.6 des späteren 2. Jh. dürfte von einer Glocke stammen (Schweitzer 1946, Abb. 15), die etwas grösser war als das besser erhaltene Stück Nr. 1311 aus der hadrianischen Steinbauperiode I.4 (a.a.O. Abb. 17; Schönberger 1978, B438). Das Stäbchen

²⁹³ Ähnlich Holliger/Holliger 1985, Nr. 132.139; Krämer 1957, Taf. 16,12.
²⁹⁴ Ritterling 1912, 186f.; Taf. 16,58.59; Ulbert 1969a, Taf. 41,21–23; Ulbert 1970, Taf. 11,179; Schönberger 1978, B460; Meyer-Freuler 1989, Taf. 25,391.

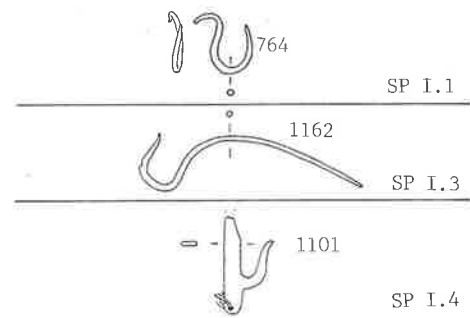


Abb. 153. Haken. Varianten und ihr Auftreten in den einzelnen Phasen. M 1:3.

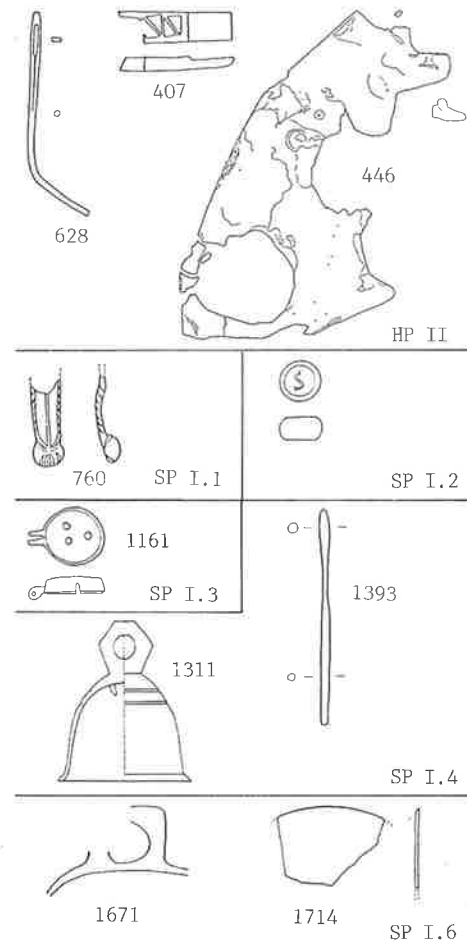


Abb. 154. Geräte, varia. Varianten und ihr Auftreten in den einzelnen Phasen. M 1:3.

Nr. 1393 könnte das Fragment einer Löffelsonde sein, wie sie ähnlich etwa in Augst gefunden wurden (Riha 1986, Taf. 49).

Die silbrig erscheinende Oberfläche des kleinen Handspiegels Nr. 1714 von rund 10 cm Durchmesser ist nach metallanalytischen Untersuchungen in Augst offenbar nicht auf eine Beschichtung mit Weissmetall zurückzuführen, sondern im Zinnreichtum der Bronze begründet²⁹⁵.

²⁹⁵ Riha 1986, 12. Auch bei einem Stück aus Augst wird ein «weisslicher Überzug» beschrieben (a.a.O. Nr. 34; auch Nr. 33). Handelt es sich um eine Anreicherung von Zinn an der Oberfläche, die durch das Polieren entstanden ist?

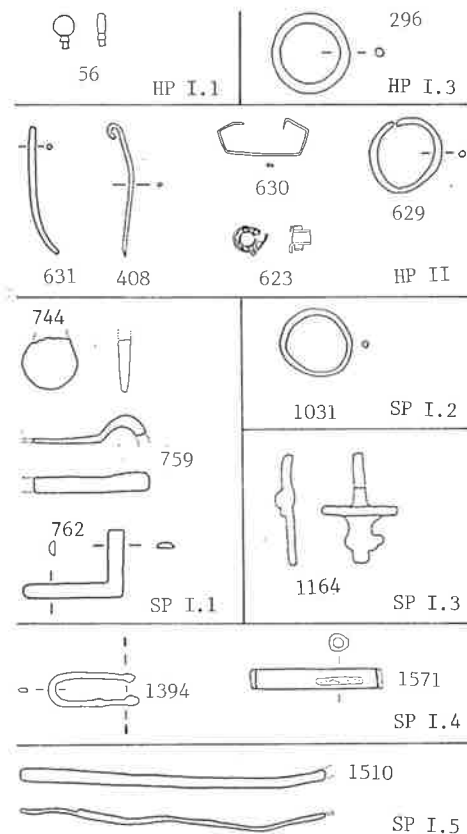


Abb. 155. Bronze varia. Varianten und ihr Auftreten in den einzelnen Phasen. M 1:3.

4.8.4. Varia (Abb. 155)

Die Ringe Nr. 296, 629 und 1031 von um die 25 mm Durchmesser sowie die Drahtfragmente Nr. 408 und 631 sind zu allgemein in der Form, als dass sie genauer zu bestimmen wären. Auch die Funktion der U-förmig umgebogenen Drahtfragmente Nr. 630 und 394 mit rechteckigem Querschnitt muss offen bleiben, ebenso jene des flachen Stückes Nr. 1510. Die Fragmente aus massiver Bronze Nr. 56, 744, 759, 762 und 1164 sind zu klein und zu unklar in der Form, als dass sie sich bestimmen liessen. Für die Funktion der röhrenartigen Stücke Nr. 623 und 1571 fand ich keine Hinweise.

4.9. Eisen

Mit fünfzehn Stücken sind Eisengegenstände und -fragmente, deren Form einigermaßen zu erkennen ist, selten; im Vergleich zu den Keramikrändern sind sie mehr als hundertmal seltener. So lässt sich am Badener Material eine allfällige Entwicklung nicht aufzeigen. Es gilt deshalb vor allem die Funktion zu bestimmen. Neben einigen Veröffentlichungen von Werkzeugen (Gaitzsch 1980; Pietsch 1983) sind die gleichen vor allem militärische Fundplätze betreffenden Publikationen wie für die Bronzegegenstände heranzuziehen (s. Kap. 4.8.).

4.9.1. Waffen (Abb. 156)

Unter dem verbrannten Gestell in Raum R der Holzbauperiode II fand sich ein Lanzenschuh Nr. 457, und aus dem Brandschutt über dem gleiche Haus stammt eine Geschossspitze (Nr. 632), die wohl bei der Plünderung durch die 21. Legion im Jahre 69 verloren gingen. Das gleiche könnte für die kleine Geschossspitze Nr. 840 gelten, die im Bauhorizont der nachfolgenden Steinbauperiode I.1 zum Vorschein kam²⁹⁶.

4.9.2. Werkzeuge (Abb. 157)

Das Fragment mit kleinen Löchern Nr. 55 stammt von einem Sieb (Hübener 1973, Taf. 20,13). Zum zweischenkigen Gerät Nr. 67 habe ich keine Parallelen gefunden, doch könnte es sich um eine grosse Klemmzange oder Pinzette handeln.

Stili bzw. Griffel (Nr. 419) sind recht häufige Geräte (z.B. Fischer 1973, Abb. 28,10). Zum grossen Messer Nr. 633 habe ich kein genaues Vergleichsstück gefunden, ebensowenig zum Gefäss Nr. 447 mit omphalosähnlicher Erhöhung, Ausguss und flachem, breitem Griff. Am ehesten lässt es sich mit Giesslöffel vergleichen²⁹⁷, die aber keinen Ausguss haben, und deren Stil lang und dünn ist. Es handelt sich wohl um eine kleine Pfanne, vielleicht einen Tiegel, in der man eine nicht mehr zu bestimmende Substanz schmolz. Der flache, breite Griff war wohl in Holz eingeklemmt, so dass sich die Pfanne zum Giessen mit Gefühl bewegen liess.

Der Hohlbeitel Nr. 685 diente wohl zur Holzverarbeitung²⁹⁸. Mit dem runden Querschnitt im oberen Teil entspricht er ganz den frühkaiserzeitlichen, während die späteren einen rechteckigen Querschnitt haben (Pietsch 1983, 30).

296 Vergleichsstücke: Ulbert 1959, Taf. 27,6; Ulbert 1969a, Taf. 46,9,10; Schönberger 1978, B33.

297 Walke 1965, Taf. 129, I.2.5; Frere 1984, Abb. 40,72; Haffner 1989, 347,h.

298 Pietsch 1983, 30; Ulbert 1969a, Taf. 48,4.

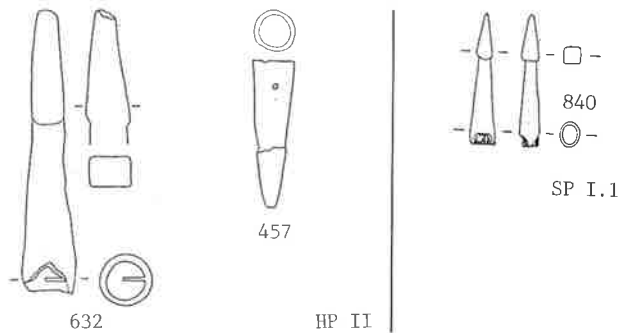


Abb. 156. Waffen. Varianten und ihr Auftreten in den einzelnen Phasen. M ca. 1:4.

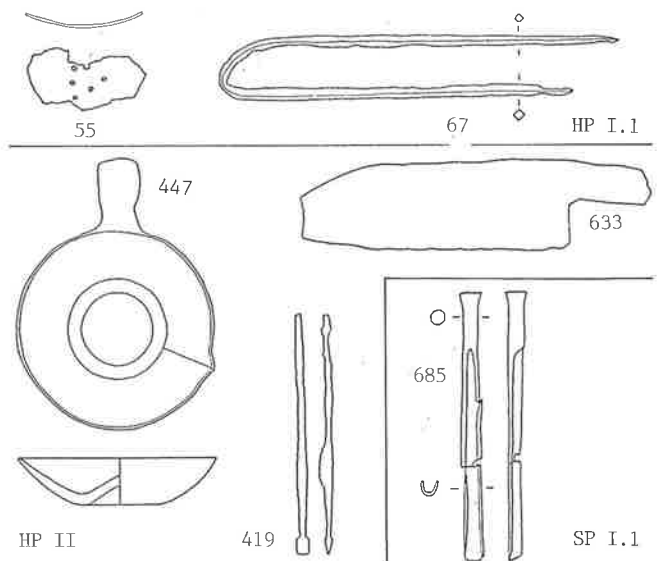


Abb. 157. Werkzeuge. Varianten und ihr Auftreten in den einzelnen Phasen. M ca. 1:4.

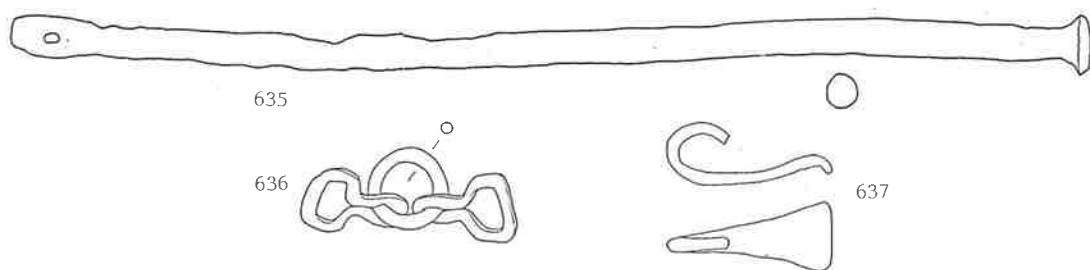


Abb. 158. Fuhrwesen. Bestandteile aus der Holzbauperiode II. M ca. 1:4.

4.9.3. Fuhrwesen (Abb. 158)

Im Brandschutt der neronischen Holzbauperiode II fanden sich die Achse eines Wagens (Nr. 635), wie sie von Fundplätzen militärischen (Hübener 1973, Taf. 15, 1.6.14) aber auch zivilen Charakters (Klee 1986, Taf. 6, 2) bekannt sind, das Fragment einer Hipposandale (Nr. 637; Schönberger 1978, B534) und eine dreigliedrige Trense²⁹⁹, die zur Pferdeausrüstung gehören.

4.9.4. Bauteile (Abb. 159)

Krampen dienten zur Befestigung von Dingen, die nicht direkt angenagelt werden konnten, da sie beweglich bleiben mussten³⁰⁰. Das vorliegende Stück Nr. 634 war be-

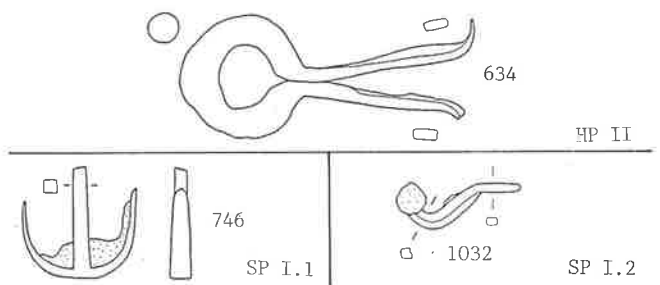


Abb. 159. Bauteile. Varianten und ihr Auftreten in den einzelnen Phasen. M ca. 1:4.

299 Nr. 636; Ulbert 1969a, Taf. 50, 11; Hübener 1973, Taf. 16, 32.

300 Hochuli-Gysel et al. 1986, 181 Taf. 58, 25; s. auch Krämer 1957, Taf. 22, 22; Ulbert 1970, Nr. 294.

festigt an einem 8,5 cm starken Holz, der Dicke wegen wohl ein Bauholz.

Mit dem ankerförmigen Nagel oder Klammer Nr. 746 befestigte man ein Element von 4,5–5,5 cm Durchmesser. Ähnliche Stücke fanden sich etwa in Oberstimm (Schönberger 1978, B497) und Straubing (Walke 1965, Taf. 130,24).

Der hakenförmige Nagel Nr. 1032 gleicht Stücken in Augsburg-Oberhausen (Hübener 1973, Taf. 24,18.20.22) und Altstadt (Schönberger/Simon 1983, BIII87).

4.9.5. Schlacken

Eisenhaltige Schlacken kamen sowohl im spätaugusteischen Grubenhaus vor der ersten Überbauung (Taf. 6,1) als auch in einer Benützungsschicht der früh-tiberischen Holzbauperiode I.1 (Taf. 6,2) zum Vorschein. Sie weisen einen geschichteten Aufbau auf – unten eisenhaltig, oben glasig – und sind manchmal leicht kalottenförmig, wie es für sog. Schmiedeschlacken typisch ist (Schucany 1986a, 216 Abb. 26; SAGEA 1991, 5.). Sie stammen vom Läutern des noch unreinen Roheisens vor der eigentlichen Bearbeitung.

Ausgeglühte, glasige Schlacken kamen nicht nur in den erwähnten Benützungsschichten der Holzbauperiode I.1 (Taf. 6,3.4) zum Vorschein, sondern auch im Splitterboden, also im Bauhorizont, der Steinbauperiode I.5 des 2. Viertels des 2. Jh. (Taf. 6,5) und im Brandschutt der Steinbauperiode I.6 des 3. Viertels des 2. Jh. (Taf. 6,8). Ob sie, wie es für jene der Holzbauperiode I.1 wahrscheinlich ist, ebenfalls vom Schmiedeprozess stammen (Schucany 1986a, Abb. 27), muss offen bleiben, denn auch bei anderen Prozessen, beispielsweise dem Brand eines Lehm-fachwerkhauses, können zum Verwecheln ähnliche Schlacken entstehen (Schönberger 1978, 302; SAGEA 1991, 6.). Letzteres könnte für die Stücke aus dem Brandschutt der Steinbauperiode I.6 zutreffen.

Ebenfalls vom Bauhorizont der Steinbauperiode I.5 (Taf. 6,6) und aus dem Brandschutt der Steinbauperiode I.6 (Taf. 6,7) stammen verbrannte Lehm-brocken, deren eine Oberfläche mit einer glasigen Haut bzw. dünnen Schicht von ausgeglühtem, glasigem Material versehen ist. Es handelt sich um sog. Mantelschlacken (Schucany 1986a, 216 Abb. 28; SAGEA 1991, 7.2.5.), um verschlackte Wandstücke eines mit Lehm ausgekleideten Ofens oder einer Esse. Wie die oben beschriebenen ausgeglühten, glasigen Schlacken können sie, müssen aber nicht vom Verarbeiten von Eisen her stammen³⁰¹.

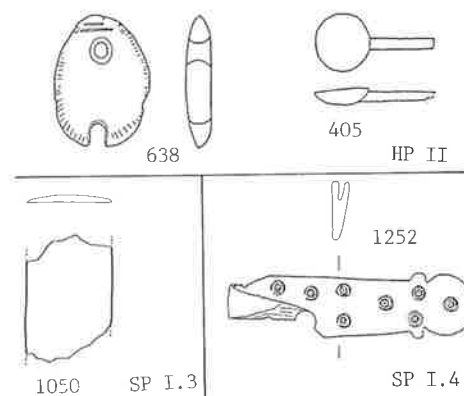


Abb. 160. Geweih/Bein. Varianten und ihr Auftreten in den einzelnen Phasen. M 1:3.

4.10. Varia

4.10.1. Geweih/Bein (Abb. 160)

Der Anhänger aus Hirschgeweih Nr. 638 gilt als militarium, obwohl auch Beispiele aus zivilen Zusammenhängen bekannt sind (Mackensen 1978, Taf. 107,16). Löffel aus Bein Nr. 405 treten in Augst vor allem in Fundkomplexen des 3. Viertels des 1. Jh. auf (Riha/Stern 1982, 13). Beim vorliegenden Exemplar geht der Stiel nicht unter die Laffe (ähnlich a.a.O. Nr. 71).

Flache, polierte Stücke, die wie ein Falzbein aussehen (Nr. 1050), werden als Schaber (Klee 1986, Taf. 28,20) oder als Bogeneinlage (Frere 1984, Abb. 32,293) gedeutet.

Der Griff Nr. 1252 stammt von einem Klappmesser, das wohl zum Rasieren diente³⁰². Dass Verzierung mit Kreis- augen nicht nur in spätrömischer Zeit vorkommen (Hochuli-Gysel et al. 1986, 167), belegen Messergriffe aus Riss-tissen (Ulbert 1970, Taf. 66,19) und Verulamium (Frere 1972, Abb. 55,208).

4.10.2. Gegenstände aus Ton (Abb. 161)

Die beiden Webgewichte Nr. 164 und 439 entsprechen der in römischer Zeit häufigsten Form (Ricci 1985, 69). Unsere Beispiele sind fast doppelt so schwer wie Parallelen aus Settefinestre (Ricci 1985, Taf. 17,1.3). Auch der Spinnwirtel Nr. 455 gehört zum üblichen Haushalt einer Frau.

301 Solange keine chemisch-mineralogischen Untersuchungen gemacht werden, kann Buntmetallverarbeitung nicht ausgeschlossen werden, s. Hochuli-Gysel et al. 1986, 163f.

302 Riha 1986, 28f. Abb. 10 Nr. 86; s. auch Frere 1972, Abb. 55,209.

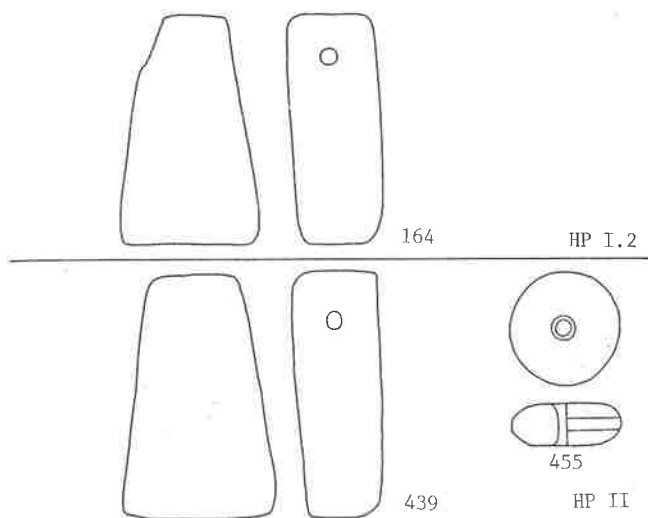


Abb.161. Geräte aus Ton. Varianten und ihr Auftreten in den einzelnen Phasen. M ca. 1:4.

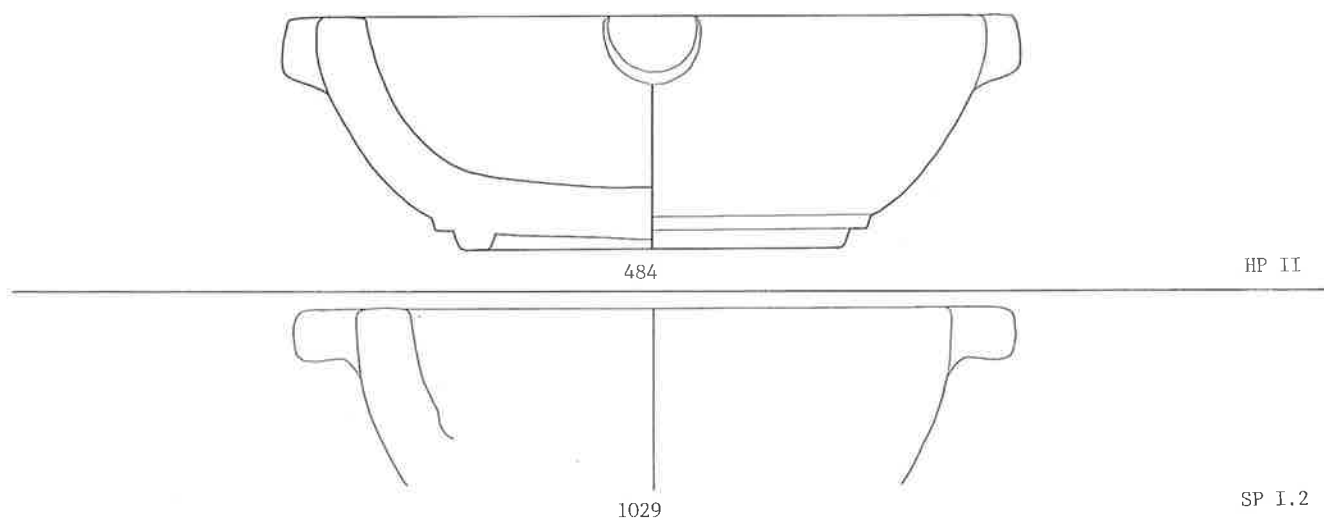


Abb.162. Steingefässe. Varianten und ihr Auftreten in den einzelnen Phasen. M ca. 1:4.

4.10.3. Steingefässe (Abb.162)

Die beiden Steinschüsseln Nr. 484 und 1029 entsprechen den aus Italien importierten Marmorschalen in der Form, wie sich eine in Altstadt fand (Schönberger/Simon 1983, 162 EI.1). Ähnliche Stücke sind etwa aus Luni bekannt (Frova 1977, Taf.169,1). Unsere Beispiele bestehen jedoch aus wohl lokalem Kalkstein, so dass sie als Imitationen anzusehen sind.

4.10.4. Holzkamm

Der verbrannte Holzkamm (Taf. 5,8) aus der hadriani-schen Steinbauperiode I.4 ist mit 10 cm Länge eher gross im Vergleich mit jenen von Vindonissa (4,9–10,5 cm; Drack/Fellmann 1988, Abb. 99), und Oberwinterthur (6,4–8 cm; Etter et al. 1991, 20; Taf. 1,1–3.6). Ähnliche höl-zerne Kämmе, wenn auch mit längeren Zinken, kamen in einem Brunnen im Nordvicus von Rottweil zum Vorschein (Klee 1986, Taf. 60,30).

5. Die Fundensembles und ihre Datierung

5.1. Einleitung

Die Horizonte setzten sich im allgemeinen aus einer Bodenunterlage (Bauhorizont), einem Boden und einer Benützungsschicht zusammen. Die Bodenunterlagen waren oft mit Schutt der Vorgängerphase des jeweiligen Gebäudes erstellt. Sie sind als erste Massnahme beim Errichten eines neuen Baus anzusehen, die darin enthaltenen Funde jedoch sind der vorherigen Phase zuzurechnen. Bei den durch Feuer zerstörten Gebäuden lag über dem eigentlichen Brandschutt stellenweise eine weitere Schicht, die als Bodenunterlage diente. Da der Wiederaufbau nach einem Brand nicht zwingend unmittelbar anschliessend erfolgen musste, zwischen Zerstörung und Wiederaufbau eine gewisse Zeitspanne liegen kann, schlage ich die Funde aus dem jeweiligen Bauhorizont über dem Brandschutt nicht zur vorangegangenen, sondern zur neu erstellten Phase. Dass sie das Bild des Ensembles in Richtung der vorangegangenen Phase verfälschen könnten, erscheint mir ohne Belang, weil bei einem tiefgreifenden Neubau, wie es nach einer Brandkatastrophe nötig war, insbesondere, wenn Mauern errichtet wurden, ohnehin ältere Funde aus den unteren Schichten in die neu entstandenen Schichten kamen, so dass das Fundensemble in jedem Fall unter diesem Gesichtspunkt zu beurteilen ist. Die Funde aus den Schichten der einzelnen Phasen werden als zusammengehöriges Ensemble aufgefasst und nicht als Einzelfunde behandelt. Dies schliesst nicht aus, dass einzelne Stücke eingehender betrachtet werden, dies jedoch immer mit dem Ensemble im Hintergrund.

Die Ensembles vergleiche ich im folgenden mit ausgewählten Fundplätzen und Komplexen (Abb. 163), um sie in den zeitlichen Rahmen zu setzen. Dabei ist ihre Stellung innerhalb der Schichtabfolge stets im Auge zu behalten. Zum Vergleich habe ich hauptsächlich jene Fundplätze und Komplexe gewählt, die sich primär, d.h. aus sich selbst heraus datieren lassen (Kap. 13): Sei es, dass sie mit einem historisch überlieferten Datum in Zusammenhang gebracht werden können, sei es durch dendrochronologische Daten, sei es durch ein auswertbares Münzspektrum, das plausibel in einen historischen Zusammenhang gestellt werden kann. Letzteres ist besonders bei militärischen Lagern, vom augusteischen Haltern bis zu den Limeskastellen, möglich. Zum Vergleich sind jedoch auch Ensembles herangezogen, die, wie die Badener, aus einer Schicht- oder Komplexabfolge stammen. Sie sind zwar

nicht absolut datiert, stehen jedoch in einem relativen zeitlichen Rahmen.

Komplexe aus einer Stratigraphie erlauben eine Aussage über die Gebrauchszeit der Fundstücke. In die Schicht kam, was – vielleicht schon geraume Zeit – in Gebrauch war³⁰³. Während bei Münzen der Zeitpunkt der Prägung meistens abzulesen ist, können wir Hinweise auf die Herstellungszeit insbesondere der Keramik höchstens von Fundplätzen erwarten, die neu, auf vorher nicht besiedeltem Boden, errichtet worden waren. Dort ist anzunehmen, dass man relativ neue Ware mitgebracht hatte. Dies trifft bei vielen militärischen Anlagen zu, was beim Vergleich mit Komplexen aus vielphasigen Siedlungen, insbesondere mit den vorliegenden Ensembles, zu berücksichtigen ist. Weiter ist beim Vergleich mit Plätzen militärischen Charakters zu bedenken, dass deren Fundensembles nicht unbedingt mit jenen ziviler Siedlungen übereinstimmen müssen³⁰⁴. Gleiches gilt für Grabfunde, deren Zusammensetzung eine Auswahl darstellt und nicht vom Zufall bedingt ist wie bei Siedlungsschichten.

Für die Datierung sind in erster Linie importierte Fundgattungen geeignet, da sie über weite Gebiete verhandelt wurden, so dass sie Vergleiche selbst mit weit entfernten gut datierten Fundplätzen erlauben. Nötig ist jedoch, dass sie einem gewissen Wandel unterworfen waren, dass im Laufe der Zeit bestehende Typen durch neue verdrängt oder abgelöst wurden. Dies trifft vor allem für Münzen, Fibeln, Amphoren, Lampen, Feinkeramik, insbesondere für Terra Sigillata zu. Letztere ist die wichtigste Gattung, da sie am weitesten häufigsten vorkommt. Leider weisen nicht alle Ensembles genügend importierte Keramikfragmente auf, um sie mit einiger Sicherheit zu datieren³⁰⁵. In diesem Fall ist auf weitere Funde auszuweichen. Als nächstbeste Fundgattung ist die lokal hergestellte, aber in römischer Tradition stehende Keramik anzusehen. Deren Vorbilder waren gleichsam als Prototypen ebenfalls für ein weites Gebiet gültig. Allerdings ist mit einer gewissen Verzögerung der Stil- und Typenentwicklung und mit lokalen Besonderheiten zu rechnen. Die Feinkeramik in römischer Tradition wie Campana-Imitation, TS-Imitation und Krüge, die im allgemeinen in viele Typen aufgegliedert sind, eignen sich für datierende Vergleiche besser als die relativ einförmige, meist vor allem durch ihre Funktion bestimmte Grobkeramik.

303 Zum Problem der Vermischung in Siedlungen mit langer Belegungszeit Kap. 4.1.2.

304 So hat A.R. Furger nachweisen können, dass die Sigillataschüssel Drag. 37 die Vorgängerform Drag. 29 in Vindonissa schneller ablöste als im sicher nicht minder romanisierten Augst (Furger/Deschler-Erb 1992, 61f.).

305 Wenn mindestens 50 Randscherben von Importkeramik, insbesondere Sigillata, vorliegen, basiert die Datierung ausschliesslich auf diesen.

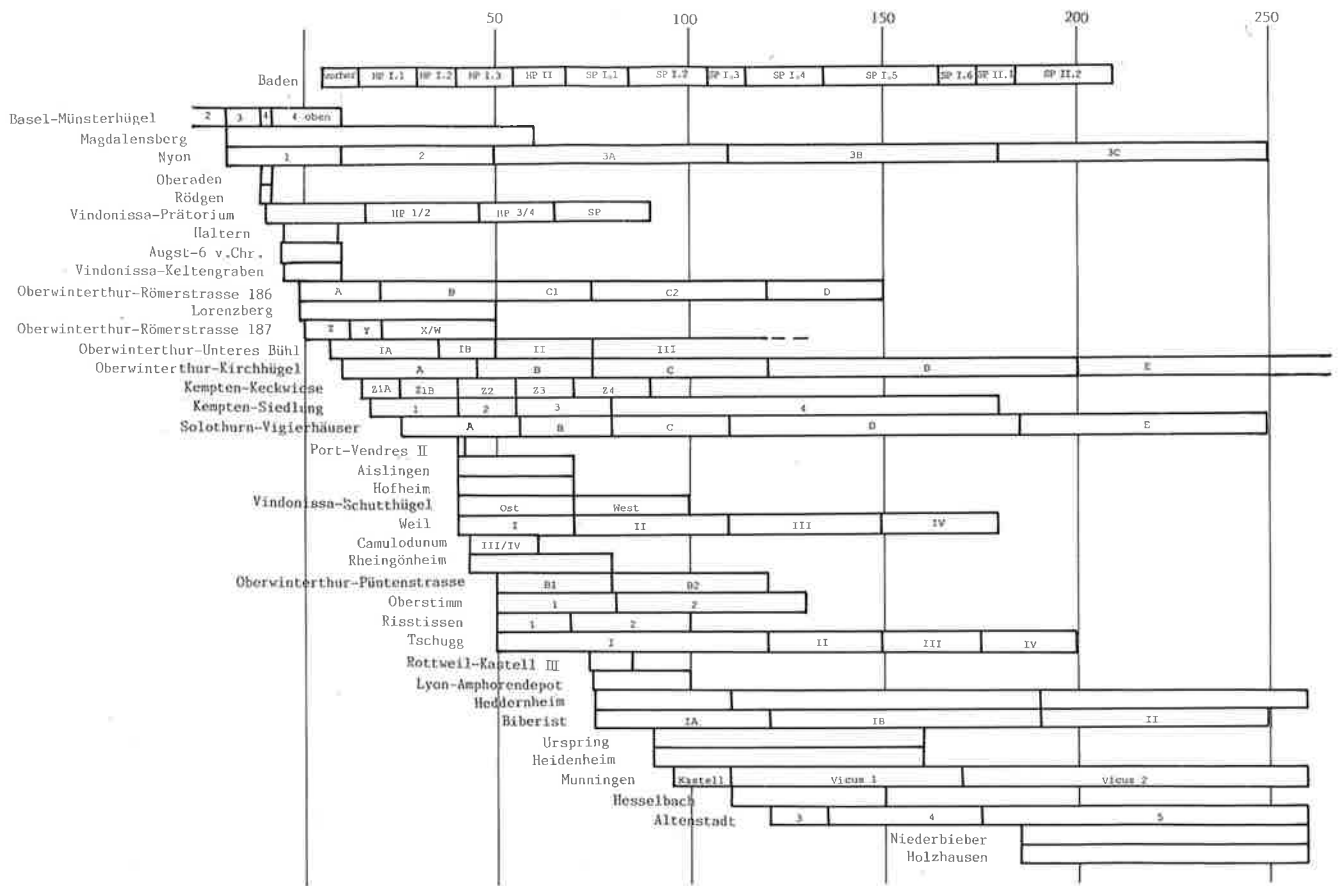


Abb. 163. Die zur Datierung herangezogenen Fundplätze; s. auch Kap. 13.

Es zeigt sich immer wieder, dass die Anteile einzelner Keramikgattungen sich im Laufe der Zeit ändern. Dies gilt vor allem für die Sigillata, die TS-Imitation und die Glanztonkeramik (Tab. 27): Im frühen 1. Jh. n. Chr. dominiert die TS-Imitation, die um die Mitte des 1. Jh. von der Sigillata verdrängt wird. Gegen Ende des 1. Jh. kommt die Glanztonkeramik auf, die im 2. Jh. immer häufiger wird. Dieses Phänomen ist schon andernorts beobachtet worden: in Oberwinterthur³⁰⁶, Biberist-Spitalhof (Schucany 1986a, 211), Solothurn-Vigierhäuser (Schucany 1990b, 97). Es sieht so aus, als ob das Verhältnis der erwähnten Keramikgattungen für eine gewisse Zeitstufe typisch ist, wenn auch mit regionalen Besonderheiten zu rechnen ist (Schucany 1990a). So lassen sich die jeweiligen Verhältnisse mit der gebotenen Vorsicht zur vergleichenden Datierung heranziehen.

Die Funde verteilten sich ziemlich gleichmässig auf die Schichten, jedenfalls war uns beim Graben mit einer Ausnahme keine Schicht durch ihren besonderen Fundreich-

tum aufgefallen. Nur im Brandschutt der durch Feuer zerstörten Holzbauperiode II kamen auf Parzelle III über einem verbrannten Gestell in Raum R (Kap. 3.4.; Abb. 12) überdurchschnittlich viele Funde (FK 256) zum Vorschein. Der Brandschutt lag dort wohl noch in situ. Die Horizonte, zu denen sich die Schichten der einzelnen Phasen zusammenfassen lassen, waren ebenfalls alle etwa gleich dick, nämlich 10–20 cm, im Durchschnitt 12,5 cm. Einzig der Brandschutt der Holzbauperiode II war in Parzelle I viel mächtiger. Die Regelmässigkeit in Fundanfall und Horizontstärke führt zur Überlegung, dass die Anzahl der Funde pro Quadratmeter in Relation zur Dauer der Phasen stehen könnte³⁰⁷. Die folgenden Berechnungen sind als Modell aufzufassen, das der anhand der Fundenssembles unabhängig erarbeiteten Datierung gegenübergestellt werden soll.

Ausgangspunkt für diese Berechnung sind die Holzbauperioden: Der Brand der Holzbauperiode II kann mit der von Tacitus (*historia* I 67) für das Jahr 69 erwähnten

306 Rychener 1984, 13; Rychener/Albertin 1986, 51f.; Rychener 1988, 106ff.

307 Eigentlich müsste man die Funde auf das Volumen (pro m³) beziehen. Da aber die Schichtdicke im Vergleich zur flächigen Ausdehnung der Schicht zur Berechnung des Volumens eine nur geringe Rolle spielt – das Verhältnis beträgt etwa 10 cm zu 10 m² (= 100 000 cm²) – und die Schichtstärke sich zudem von Phase zu Phase

kaum unterscheidet, habe ich die Mächtigkeit vernachlässigt. Mit der Massnahme, die Flächen pro Abstich zusammenzuzählen, das heisst, wenn wir die Schichten einer Phase in mehreren Abstichen abgetragen hatten, die Flächen der jeweiligen Abstiche zu addieren, sollten allfällige Unterschiede in der Schichtstärke genügend einbezogen sein.

Phase	Keramik RS	Fläche m ²	Fundanfall RS/m ²	Jahre	Chronologie		Fazit	
					kurz	lang	in Jahren	in Worten
vorher	23	35	0.66	9 bis 10	10-20 n. Chr.	5-15 n. Chr.	5/10-15/20	spät augusteisch
HP I.1	68	86	0.79	11 bis 12	20-30	15-25/30	15/20-30	früh tiberisch
HP I.2	75	111	0.68	9 bis 12	30-40	25/30-35/40	30-40	spät tiberisch
HP I.3	133	119	1.12	15 bis 16	40-55	35/40-50/55	40-55	claudisch
HP II	324	298	1.09	14 bis 16	55-69	50/55-69	55-69	neronisch
<i>Total (Jahre/RS/m²)</i>			3.67	49 bis 54	49 13.35	54 14.71		
SP I.1	198	177	1.12	15 bis 16	69-85	69-85	69-85	vespasianisch
SP I.2	79	63	1.25	17 bis 18	85-100	85-105	85-100/105	domitianisch
SP I.3	103	151	0.68	9 bis 10	100-110	105-115	100/105-110/115	trajanisch
SP I.4	254	232	1.09	14 bis 16	110-125	115-130	110/115-125/130	hadrianisch
SP I.5	269	147	1.83	24 bis 26	125-150	130-155	125/130-150/155	mittleres 2. Jh.
SP I.4+Bh	376	311	1.21	16 bis 18	110-125	115-135	110/115-125/135	hadrianisch
SP I.5-Bh	147	68	2.16	29 bis 32	125-155	135-165	125/135-155/165	mittleres 2. Jh.
SP I.6	50	90	0.56	7 bis 8	155-160	165-170	155/165-160/175	3. Viertel 2. Jh.
SP II.1	125	164	0.76	10 bis 11	160-170	170-180	160/175-170/185	späteres 2. Jh.
SP II.2	23	13	1.77	24 bis 26	170-195	180-205	170/185-195/210	spätes 2. Jh.

Abb. 164. Dauer der Phasen aufgrund des Fundanfalls.

Plünderung eines helvetischen Badeortes in Verbindung gebracht werden (Kap. 5.4.). Das Baudatum der Holzbauperiode I.1 dürfte anhand der Funde, die vorher in den Boden kamen, um 15/20 n. Chr. anzusetzen sein (Kap. 5.2.2.), was eine Dauer für die Holzbauperioden von 49 (kurze Chronologie) bzw. 54 Jahren (lange Chronologie) ergibt. Wird die Anzahl der Randscherben des einzelnen Ensembles auf die Fläche der Abstiche bezogen, gelangten in 49 bzw. 54 Jahren 3,68 RS/m² in den Boden, woraus sich die Dauer der einzelnen Phasen errechnen lässt (Abb. 164). Für die kurze Chronologie (20–69) entspricht 1RS/m² 13,3 Jahren, für die lange Chronologie (15–69) 14,7 Jahren. Umgerechnet auf die einzelnen Phasen zeigt sich, dass die Phasen 1 und 2 der Holzbauperiode I wesentlich kürzer dauerten, sich zeitlich näher stehen als die Holzbauperiode I.3 und die Holzbauperiode II. Dies stimmt bestens mit folgender Beobachtung überein: Die Fundensembles der ersten beiden Phasen (Kap. 5.3.1.; 5.3.2.) sind im Gegensatz zu den Ensembles der beiden folgenden Phasen sehr ähnlich (Kap. 5.3.3.; 5.4.). In ihren Verhältnissen sind sie fast identisch, was am einfachsten damit zu erklären ist, dass sie sich zeitlich näher stehen als die Ensembles der beiden anderen Phasen. Die Münzen widersprechen dem Modell nicht. Ebenso wenig führen die übrigen zur Datierung verwendeten Funde, die importierte Keramik und die Keramik in römischer Tradition, zu einem anderen Ergebnis. Es erstaunt, dass der Fundanfall der Holzbauperiode II für eine Dauer von nur rund 15 Jahren spricht, obwohl eigentlich anzunehmen wäre, dass ein Brandschutt überdurchschnittlich viele Funde lieferte, was die anhand des Fundanfalls errechnete Dauer einer verbrannten Phase

gleichsam künstlich verlängerte. Dies scheint im Fall der Holzbauperiode II keineswegs zuzutreffen. Die errechnete Dauer stimmt gut mit der Datierung der Funde überein (Kap. 5.4.): Die Sigillata setzt sich aus vielen, auch einigen eher frühen Typen zusammen (insgesamt 14), und das Keramikensemble unterscheidet sich, wie erwähnt, deutlich von jenem der vorangegangenen Phase, was gegen eine nur kurze Zeitspanne spricht und wohl auch einen allfälligen Hiatus zwischen den beiden Phasen ausschließt³⁰⁸.

Obwohl die Funde, die vor der ersten römischen Überbauung in den Boden gekommen waren, nicht ohne weiteres in gleicher Art in Relation gesetzt werden können, da sie nicht aus einer eigentlichen Siedlungsschicht stammen, sondern aus verschiedenen Befundzusammenhängen wie Gräber, Gehhorizont und Grubenhaus, stimmt das Ergebnis gut mit der anhand der Funde ermittelten Dauer und Datierung überein. Auch die aufgrund der Funde ermittelte Datierung der Steinbauperiode I bestätigt das Ergebnis. Bei der Phase 1 der Steinbauperiode II stimmt die errechnete Dauer ebenfalls gut mit der anhand der Keramik vorgenommenen Datierung überein (Kap. 5.6.1.), obwohl die Mehrzahl der Funde aus Fundamenten stammt, wo andere Verhältnisse für die Fundablagerung zu erwarten sind als in den Siedlungsschichten. Anders bei der Phase 2 der Steinbauperiode II (Kap. 5.6.2.): Die Funde widersprechen der anhand des Fundanfalls ermittelten langen Dauer von 25 Jahren. Das Ensemble ist mit 23 Randscherben allerdings so klein, dass es für den Fundanfall und/oder die Datierung nicht im gleichen Mass repräsentativ sein könnte.

308 Die Sigillataspektren der nur rund fünf Jahre belegten Militärlager Dangstetten (8 Typen) und Rödgen (7) oder des Schiffswracks Culip

IV (7) sind wesentlich einförmiger und werden von nur wenigen Typen dominiert (Pavlinec 1992, Abb. 2.3).

5.2. Vor der ersten römischen Überbauung

5.2.1. Die prähistorische Schicht

In der prähistorischen Schmutzschicht in Zone B kamen (Kap. 3.2.2.) wenige Keramiksplitter und eine etwas grössere Wandscherbe zum Vorschein, die der unregelmässigen Magerung wegen kaum römisch sind. Die Wandscherbe Inv.-Nr. B77/521.1. weist einen schwarzen, mit hellen, unterschiedlich grossen Körnern gemagerten Ton auf und auf der einen Seite (Aussenseite?) eine orangebräunliche Oberfläche. Sie erinnert an spätbronzezeitliche Keramik, die sich in Baden-Kappelerhof fand³⁰⁹.

5.2.2. Die römischen Schichten (Nr. 1–27)³¹⁰

Die römischen Funde stammen aus der Benützungsschicht (Nr. 1–5), aus dem Grab (Nr. 6.7) und aus dem Grubenhaus (Nr. 8–27) in Zone B (Kap. 3.2.2.). Letzteres war teilweise mit Resten von weiteren Gräbern aufgefüllt. Da die Funde zeitlich nicht offensichtlich auseinanderklaffen, vom Befund her teilweise sogar zusammenzugehören scheinen, werden sie zu einem Ensemble zusammengefasst, das auch so für eine Auswertung noch sehr klein ist.

Die einzige Münze ist ein nicht weiter bestimmbarer republikanischer As (Nr. 15).

Das Keramikensemble (Abb. 165³¹¹) enthält lediglich 23 Randscherben. Es darf nur mit Vorsicht mit anderen Komplexen verglichen werden, denn das Fehlen einer Keramikgattung, im vorliegenden Fall die Sigillata, oder gewisser Typen muss nicht zwingend bedeutsam sein, es kann ebenso an der kleinen Zahl liegen. Das Fehlen der Sigillata könnte andererseits aber auch chronologische Gründe haben. Das Ensemble muss jedenfalls vor dem massiven Zustrom von Sigillata – nach den Untersuchungen in Oberwinterthur ab ca. 30 n. Chr. (Rychener/Albertin 1986, 51) – in den Boden gelangt sein. Zum grauen Becher Nr. 1 ist eine recht gute Parallele vom Lorenzberg bekannt (Ulbert 1965, Taf. 14,14). Zum nur aussen glasierten Nuppenbecher Nr. 8 existieren Vergleichsstücke aus Haltern³¹² und aus dem Ostteil des Schutthügels von Vindonissa (Ettlinger/Simonett 1952, Nr. 200; Taf. 29,13–16). In Lyon ist die Produktion nur aussen glasierter Ware in augusteischer Zeit nachgewiesen (Kap. 4.2.5.).

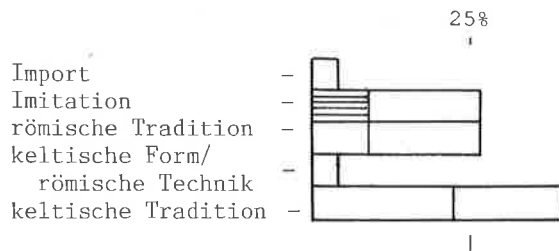


Abb. 165. Keramikensemble der römischen Schichten vor der ersten Überbauung. S. auch Tab. 20.

Eine recht gute Parallele zu den schwarzen Schrägrandtellern der Campana-Imitation (Nr. 10–12) ist auf dem Basler Münsterhügel in der oberen keltischen Schicht 3/unten zum Vorschein gekommen (Furger-Gunti 1979, Nr. 239). Sehr ähnliche Teller sind auch aus römischen Zusammenhängen bekannt: aus der untersten Einfüllung des Keltengrabens von Vindonissa (Ettlinger 1972, Nr. 38), aus Haltern (Loeschcke 1909, Typ 73a) und vom Magdalensberg³¹³. Teller Drack 2 der TS-Imitation (Nr. 13.14) fehlen in den frühromischen Schichten des Basler Münsterhügels (Furger-Gunti 1979, Katalog), sind aber in der gleichzeitig datierten Einfüllung des Keltengrabens von Vindonissa durchaus vorhanden (Ettlinger 1972, Nr. 34–36). In Augst hingegen erscheinen TS-Imitationen noch nicht im untersten ab, 6 v. Chr. belegten Horizont, sondern erst im nächstfolgenden, der ins 2. Viertel des 1. Jh. n. Chr. datiert wird (Furger 1985a, Abb. 16). In der Phase A von Oberwinterthur-Römerstrasse 186 sind Teller Drack 2 dagegen schon ziemlich häufig (Rychener/Albertin 1986, 79; Nr. 67–78; Tab. 19).

Der Krug Nr. 7 weist einen nur schwach ausladenden, kaum unterschrittenen glatten Kragenrand auf, womit er typologisch nicht zu den frühesten gehört³¹⁴. In Haltern sind ähnliche Krüge unter Typ 48 zusammengefasst (Loeschcke 1909, Abb. 24,4b; Ritterling 1901a, Abb. 18,5). In Oberwinterthur-Römerstrasse 186 treten unterschrittene Kragenränder nur in Phase A auf (Rychener/Albertin 1986, 79), in der sehr viel grösseren Fundmenge des Kastells Hofheim sind unterschrittene Ränder hingegen, wenn auch selten, noch vorhanden (Ritterling 1912, 278f.). Die Kochschüssel mit Horizontalrand Nr. 4 hat eine gute Parallele in Haltern (Loeschcke 1909, Abb. 31,2).

Die Schüssel Drack 21 Nr. 6 weist die frühe Randform auf. Sie entspricht der für Phase A von Oberwinterthur-Römerstrasse 186 typischen Randform 1 (Rychener/Al-

309 Franz B. Maier sei für diese Begutachtung und Auskunft gedankt. S. auch Hartmann et al. 1989, 48; Abb. 4.

310 Kap. 12.7.1.; 12.8.

311 Import (Nr. 1.8); Imitation (Nr. 9–14); römische Tradition (Feinkeramik: Nr. 7.15; Grobkeramik: Nr. 4.5.22.23); keltische Form/römische Technik (Nr. 6); keltische Tradition (Feinkeramik: Nr. 2.16–21; Grobkeramik: Nr. 3.24–26). Schraffierter Teil: TS-Imitation, Glanztonkeramik; Reihenfolge bei den drei letzten Gruppen: erster Teil: Feinkeramik; zweiter Teil: Grobkeramik.

312 Loeschcke 1909, 191; Typ 23; Abb. 11,1a,b. Dieser Typ scheint auch nur aussen glasiert zu sein, denn die innere Oberfläche wird als z.T. grau beschrieben.

313 Schindler 1967, evtl. Taf. 6,15; zur Form Taf. 1,17.20; Taf. 5,3.

314 Zur Typologie Ritterling 1912, 278f.; Ulbert 1960, 26; Mackensen 1978, 109.

bertin 1986, 76). Auf dem Basler Münsterhügel erscheint die Schüssel Drack 21 schon in der oberen augusteischen Schicht 4/oben (Furger-Gunti 1979, Nr. 660–662). In Augst hingegen fehlt dieser Typ wie die TS-Imitationen im untersten augusteischen Fundhorizont (Furger 1985a, Abb. 16).

Ein der Glasflasche mit dreieckiger Lippe Nr. 27 ähnliches Stück kam in der in augusteisch-tiberische Zeit datierten Periode I von Oberwinterthur-Unteres Bühl zum Vorschein (Rütti 1988, Nr. 1307).

Das römische Ensemble, das vor der ersten Überbauung in den Boden kam, weist Typen auf, die in den bis 9 n. Chr. datierten Fundplätzen wie Haltern, Basel-Münsterhügel und Vindonissa-Keltengraben vorkommen. Andererseits sind Typen in diesem kleinen Komplex vorhanden, die an den erwähnten Fundplätzen noch selten sind oder noch gar nicht vorkommen, die aber in den nur wenig jüngeren Schichten, etwa der bis 20 n. Chr. dauernden Phase A von Oberwinterthur-Römerstrasse 186, schon häufig sind. Unser Ensemble wird wohl in der Spätzeit von Haltern seinen Anfang gefunden und bis ins 2. Jahrzehnt gedauert haben, was mit 5/10–15/20 n. Chr. oder spätaugusteisch umschrieben werden kann. Damit steht es im Gegensatz zur Forschungsmeinung, die bisher die Gründung von *Aquae Helveticae* um 20 angenommen hat (Kap. 3.8.1.).

5.3. Holzbauperiode I³¹⁵

5.3.1. Phase 1 (HP I.1)

Die Funde, anhand derer die erste Phase zu beurteilen ist, stammen aus den Siedlungsschichten (Nr. 28–69) und aus dem Bauhorizont der folgenden Phase 2 (Nr. 70–105), d. h. aus Planien und massiven Böden (Splitterboden), die man beim Bau der Phase 2 einbrachte.

Drei der vier Münzen (Nr. 24.36.37) wurden in der Regierungszeit des Augustus geprägt. Die vierte ist ein As des Tiberius für Divus Augustus (Nr. 77) aus den Jahren 22–30.

Die Aucissafibel Nr. 57 mit gekerbtem Mittelgrat auf dem Bügel und Kerbmuster auf der Kopfplatte hat gute

Parallelen in Phase Z von Oberwinterthur-Römerstrasse 187 (Rychener 1988, Taf. 23,2; 55) und im Kastell Hofheim (Ritterling 1912, Nr. 192.194). Aucissafibeln mit verziertem Mittelgrat treten schon in augusteischen Zusammenhängen auf (Ritterling 1912, 126; Albrecht 1938, Abb. 37,b), sind dort aber häufig auf der Kopfplatte zusätzlich reich verziert (Schönberger/Simon 1976, 54).

Die TS-Imitation ist die häufigste Gattung (Tab. 20) des Keramikensembles (Abb. 166³¹⁶). Sie nimmt jedoch im Bauhorizont der Phase 2 ab³¹⁷. Erstmals treten Sigillaten auf. Für die Datierung ist wichtig, dass letztere noch nicht so häufig vorkommt wie die TS-Imitation (Tab. 27). Das Verhältnis beträgt insgesamt etwa 1:3 (26%:74%)³¹⁸. Ein ähnliches Verhältnis (28%:72%) hat die Periode A von Oberwinterthur-Kirchhügel geliefert³¹⁹. Bezeichnend ist, wie gesagt, die Abnahme der Imitation gegenüber der Sigillata im Bauhorizont der folgenden Phase vom Verhältnis von 4:1 im Horizont zu 2:1³²⁰.

Obwohl sämtliche Sigillaten aus Südgallien stammen, ist das Schälchen Haltern 11 Nr. 73 auf einen späten arretinischen Typ zurückzuführen (Ettlinger 1983, Abb. 8). Das Schälchen Drag. 24 Nr. 74 und der Teller Drag. 15 Nr. 28 sind Typen, die in den Kastellen Hofheim (Ritterling 1912, 206) und Aislingen (Ulbert 1959, 37) in Massen vorkommen. Erstaunlich ist, dass die Hälfte der Sigillaten von Tellern Drag. 18 (Nr. 29.34.75) stammen. Diese Form gilt als jüngerer Tellertyp, der im Laufe des 3. Viertels des 1. Jh. den Typ Drag. 15 ablöste (Schucany 1983, 68ff.; Abb. 15). Die stratigraphische Zuweisung der Stücke ist einwandfrei. Nr. 29 stammt aus dem Lehm Boden, der unter dem massiven Splitterboden der Phase 2 lag, in dem Nr. 75 gefunden wurde. Nr. 34 kam in einem Lehm Boden zum Vorschein, der von einem Lehm Boden der Phase 2 bedeckt war. Mit nur sechs Exemplaren ist die Anzahl der Sigillaten allerdings sehr klein, so dass das Spektrum nicht unbedingt repräsentativ sein muss: Gewisse Typen könnten übervertreten sein. In Oberwinterthur-Römerstrasse 186 fand sich ein in Ausformung ähnlicher Teller Drag. 18 in Phase A (Rychener/Albertin 1986, Nr. 58). Er stammt allerdings aus der vor dem Bau der nächstfolgenden Phase eingebrachten Planie (Schicht 102), die einige Fehlläufe enthielt: Typen wie Drag. 35/36 und Knorr 78 (Rychener/Albertin 1986, 24; Tab. 16), die mit Sicherheit erst später in

315 S. auch Kap. 12.7.1.; 12.9.

316 Import (Nr. 28–30.34–36.68.70.73–77); Imitation (Nr. 31–33.37–43.58.59.78–84); römische Tradition (Feinkeramik: Nr. 64. 69.85–90; Grobkeramik: Nr. 65.103); keltische Form/römische Technik (Nr. 44.60–62); keltische Tradition (Feinkeramik: Nr. 45–53.91–99; Grobkeramik: Nr. 54.71.72.100–102.104.105). Schraffierter Teil: TS bzw. TS-Imitation bzw. Glanztonkeramik; anschliessende Reihenfolge bei den drei letzten Gruppen: erster Teil: Feinkeramik; zweiter Teil: Grobkeramik.

317 Der Anteil an TS-Imitation beträgt im Bauhorizont 15%, im vorausgegangenen Siedlungshorizont 34%.

318 Werden, wie üblich, die Schüsseln Drack 20–22 dazugerechnet, beträgt das Verhältnis 22%:78%.

319 Rychener 1984, nach Katalog. Die Schüsseln Drack 20–22 dazugerechnet, beträgt das Verhältnis 19%:81%.

320 Im Bauhorizont der Phase 2 beträgt das Verhältnis TS/Imitation 38:63% im vorausgegangenen Siedlungshorizont 20:80%. Der Bauhorizont scheint zeitlich sogar etwas vorzupreschen: Er weist sowohl im Gesamtspektrum (15%) als auch im Vergleich zur Sigillata (63%) einen «zu kleinen» Anteil an TS-Imitation auf, denn in den Schichten der nachfolgenden Phase 2 (Siedlungshorizont/Bauhorizont Phase 3) ist die TS-Imitation wiederum etwas stärker vertreten: 24% im Gesamtspektrum (Tab. 20) bzw. 69% im Vergleich zur TS (Tab. 27; Kap. 5.3.2.).

die Schicht gekommen sind. Aus der als tiberisch angesehenen Periode I von Kempten ist ebenfalls ein Teller Drag. 18 bekannt (Krämer 1957, Taf. 29b,5) und auch vom Auerberg werden unpublizierte Stücke aus tiberisch datierten Zusammenhängen erwähnt (Mackensen 1978, 84 Anm. 170).

Die beiden spanischen Ölamphoren Dressel 20 Nr. 30 und 36 weisen einen noch schmalen, innen leicht gekehlten Wulstrand auf, wie er den Amphoren aus den Lagern Rödgen (Schönberger/Simon 1976, Typ 70) und Haltern (Loeschcke 1909, Typ 71) eigen ist. In Augst treten ähnliche Profile in den frühesten Schichten aus den Jahrzehnten um die Zeitwende auf (Martin-Kilcher 1987, Nr. 3; Profilgruppe A). Im Kastell Hofheim hingegen haben die Amphoren dieses Typs schon eine Lippe von halbrunder Form (Ritterling 1912, 303).

In Haltern findet sich eine gute Parallele zum Amphoriskos Nr. 63 (Loeschcke 1909, Typ 61). Die schwere, vermutlich aus Italien stammende Reibschüssel mit Kragenrand Nr. 77 lässt sich mit einem Stück aus Luni vergleichen, das jedoch aus einer Schicht des 3./4. Jh. stammt³²¹. Reibschüsseln dieser Form aus dem Mittelmeergebiet datiert man bisher allgemein in die spätere Kaiserzeit (Hayes 1967, 347). Durchaus vergleichbare Stücke aus spätrepublikanischen und frühkaiserzeitlichen Zusammenhängen jedoch, etwa von einem im 3. Viertel des 2. Jh. v. Chr. vor Marseille gesunkenen Schiff (Benoit 1961, 197; Taf. 18,2), aus Sutri (Duncan 1965, A118; Kap. 8.2.), von dem um die Mitte des 1. Jh. n. Chr. gesunkenen Schiff Dramon D (Joncheray 1972, 23 Typ 2; Joncheray 1974, 44) und aus dem Bauhorizont der flavischen Thermen in Ostia (Berti et al. 1970, Taf. 25,455) zeigen, dass ausladende Kragenränder im Mittelmeergebiet schon viel früher auftreten.

Zum begrieststen Firnischälchen Nr. 35 findet sich eine recht gute Parallele auf dem Lorenzberg (Ulbert 1965, Taf. 13,4). Mit der gut ausgebildeten Lippe unterscheidet es sich zwar vom augusteischen Typ Haltern 40 (Loeschcke 1909, 218), mit der relativ tiefen Form steht es diesem Typ jedoch näher als dem claudisch-neronischen Typ Hofheim 22 (Ritterling 1912, 251). Auf der Entwicklungssachse scheint es zwischen den beiden genannten Typen zu liegen. Der vermutlich aus Südgallien stammende Firnisbecher (Kap. 4.2.2.) mit abgesetzter Schulter Nr. 70 erinnert an den Typ Hofheim 25³²². Das Lampenfragment mit gleichmässig gerillter, gerader, eckiger Schulter Nr. 68 weist die frühe Form auf³²³, die in Baden nur in den Holzbauperioden vorkommt (Kap. 4.2.6.). Bei der Lampe mit Volutenschnauze Nr. 76 ist nicht sicher zu entscheiden, ob die Schnauze einen breiten, eckigen oder einen schmalen, gerundeten Abschluss hatte (Loeschcke Typ IB oder IV).

321 Frova 1977, Taf. 126,1; 190; zur Datierung a.a.O. 17; s. auch Frova 1973, Taf. 74,19,22.

322 Mit akzentuierter Schulter Ritterling 1912, Taf. 32,25A^c.

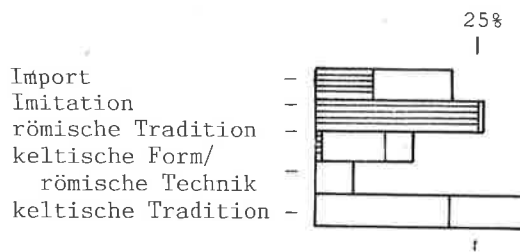


Abb. 166. Keramikensemble der Holzbauperiode I.1. S. auch Tab. 20.

Die Schulterform (Loeschcke Form IIIa) und die relativ kräftig gebogene Volute weisen eher auf einen breiten, eckigen Abschluss hin. Diese Form fehlt in Haltern noch, ist in Hofheim jedoch schon als Hauptform zu bezeichnen (Loeschcke 1909, 206; ders. 1919, 217).

Die TS-Imitationen sind überwiegend in roter Technik (82%) und nur selten in der späteren schwarzen Technik (18%) gefertigt³²⁴. Die mit Abstand häufigste Form, der Teller Drack 2 (Nr. 32.33.37–40.58.79.80), imitiert den Teller Haltern 2 des arretinischen Services II, dessen Schälchen Haltern 8 als Imitation Drack 9 (Nr. 31.59.81.82) ebenfalls gut vertreten ist. Auch der Teller Drack 4A (Nr. 41.42) ahmt eine späte augusteische Form nach. Wichtig für die Datierung ist, dass bei dieser im Ensemble sehr gut vertretenen Keramikgattung nur Teller Drack 2 vorhanden sind, nicht aber Teller Drack 3, die den jüngeren, südgallischen Teller Drag. 15 imitieren. Andererseits tritt mit den roten Schüsseln Drack 19 (Nr. 43.83) eine Form auf, die als Imitation von Hofheim 12 gilt, einer Form, die keinen augusteischen Vorläufer hat. Gewöhnlich wird der Produktionsbeginn von Hofheim 12 erst ab 40 n. Chr. datiert (Marry 1967, 24), doch Stücke mit kurzem, dickem Kragen von dreieckiger Form sind neuerdings schon aus tiberisch datierten Zusammenhängen bekannt (Mackensen 1978, 87; Anm. 225; Taf. 158,5). Einen früheren Produktionsbeginn von Hofheim 12 als bisher angenommen, könnte neben den erwähnten auch ein in der leider nicht ganz reinen Schicht 102 der Phase A von Oberwinterthur-Römerstrasse 186 gefundenes Stück belegen (Rychener/Albertin 1986, 55; Tab. 16,1). Der kurze, dreieckige Kragen erinnert zudem an den padanischen Typ Consp. 37.2, der ab tiberischer Zeit belegt ist (Ettlinger et al. 1990, 116). Zur stratigraphischen Zuweisung ist folgendes zu sagen: Nr. 83 fand sich bei einem Abstich, der einen massiven Splitterboden mit Unterlage (Südprofil B23(114/115) Beil. 7) der nachfolgenden Phase 2 umfasste. Das Stück könnte also erst beim Bau der Phase 2 in den Boden gekommen sein. Bei Nr. 43 ist nicht ganz auszuschliessen, dass die Scherbe aus einem nicht erkannten Rest des Lehm Bodens der Pha-

323 Schulterform I (Loeschcke 1919, Abb. 2).

324 In schwarzer Technik: Drack 2 (Nr. 39.40), Drack 4A (Nr. 42).

se 2 (Raum J) stammt, da dieser direkt auf dem Boden der Phase 1 lag.

Drei Krüge weisen einen gerillten Kragenrand auf (Nr. 87.88.90), der bei zweien unterschritten ist, ein weiterer Krug (Nr. 89) hat einen geraden Rand mit Wulstlippe. Beide Typen kommen in Phase A von Oberwinterthur-Römerstrasse 186 vor (Rychener/Albertin 1986, Abb. 83). Die graue Kanne Nr. 64 weist einen abgesetzten, glockenförmigen Rand mit Wulstlippe auf, der zu einem Ausguss zusammengedrückt ist. Ähnliche graue Kannen sind aus Haltern (Loeschcke 1909, Abb. 29,1), Hofheim (Ritterling 1912, Abb. 81) und dem Ostteil des Schutthügels von Vindonissa (Ettlinger/Simonett 1952, 79; Nr. 474.478) bekannt. Allerdings sind dort die Ränder nicht glockenförmig, und sie haben am Übergang zum Hals zusätzlich einen Wulst (Loeschcke 1909, 235; Ritterling 1912, 318). Die Reibschüssel mit Steilrand Nr. 86 weist eine stark unterschrittene Wulstlippe auf, wie sie auch in Haltern, allerdings selten, vorkommt (Loeschcke 1909, Abb. 33,3).

Die Schüssel mit Horizontalrand und rotem, glimmerhaltigem Glanztonüberzug Nr. 85 fällt völlig aus dem Rahmen. Sie erinnert an Schüsseln des späten 1. und 2. Jh.³²⁵. Das Stück gehört mit grosser Wahrscheinlichkeit nicht in die Fundschicht³²⁶.

Das Ensemble der Phase 1 muss aufgrund des gleichen Verhältnisses von Sigillata zu Imitation zur Zeit der Periode A von Oberwinterthur-Kirchhügel in den Boden gekommen sein. Einzelne Formen finden noch Parallelen in spätaugusteischen Komplexen. Damit steht das Ensemble dem Fundhorizont vor der ersten Überbauung so nahe, dass kaum eine Lücke zwischen den beiden Horizonten anzunehmen ist. Dafür spricht auch, dass Typen, die in beiden Ensembles vorkommen, in ihrer Ausformung sehr ähnlich sind, so die Teller Drack 2 (vgl. Nr. 13.14 mit Nr. 38) und die Schüsseln Drack 21 (Abb. 112). Der Fundhorizont vor der ersten Überbauung endet um 15/20 n. Chr., was das Baudatum für Phase 1 ergibt. Die Mehrzahl der Funde weist schon auf Typen hin, die in claudisch-neronisch datierten Fundzusammenhängen häufig vorkommen. Der Fundanfall deutet auf eine Dauer von gut 10 Jahren hin (Abb. 164), was ein Ende der Phase 1 um 30 n. Chr. ergäbe. Dem widersprechen die Funde nicht. Die jüngste Münze ergibt eine terminus post von 22–30. Zwei der fünf Exemplare von den Typen, die als eher spät gelten

(Drag. 18, Drack 19) stammen aus dem Bauhorizont der folgenden Phase, die übrigen sind vielleicht erst am Ende der Phase 1 in die Lehm Böden gekommen. Auch die Übereinstimmung mit Periode A von Oberwinterthur-Kirchhügel passt. Deren Anfang wird zwar rund zehn Jahre früher, das Ende aber etwa zehn Jahre später angenommen, so dass das identische Verhältnis der sich gerade in dieser Zeit ablösenden Sigillata und Imitation nicht erstaunt.

5.3.2. Phase 2 (HP I.2)

Die Funde, die der Beurteilung der Phase 2 der Holzbauperiode I zugrunde liegen, stammen aus den Schichten der Phase, dem Horizont (Nr. 106–170), und vom Bauhorizont der nachfolgenden Phase 3 (Nr. 171–192).

Zwei der sechs Münzen (Nr. 157.158) sind nicht bestimmbar, dürften aber als halbierte Asse in die erste Hälfte des 1. Jh. zu setzen sein. Zu den beiden Assen des Augustus (Nr. 33.42), einer mit der tiberischen Schlagmarke IMPAVG (Nr. 42), gesellen sich zwei Asse des Tiberius für Divus Augustus (Nr. 64.76), die nach H. W. Doppler nur schwach abgegriffen sind. Letztere drei ergeben einen terminus post von 22–30.

Die eingliedrige norisch-pannonische Doppelknopffibel mit rahmenförmigem Nadelhalter Nr. 192 hat gute Parallelen in den Kastellen Aislingen (Ulbert 1959, Taf. 15,3) und Rheingönheim (Ulbert 1969a, Taf. 20,5.6).

Im Keramikensemble (Abb. 167³²⁷) ist neben der grauen keltischen Feinkeramik die TS-Imitation wie in Phase 1 die häufigste Gattung (Tab. 20). Sie nimmt im Bauhorizont der folgenden Phase 3 gegenüber dem Horizont ab, was wir schon bei Phase 1 beobachten konnten³²⁸. Wichtig für die Datierung ist wiederum das Verhältnis von Sigillata zu Imitation (Tab. 27). Es beträgt 31%:69% und hat sich im Vergleich zur vorangegangenen Phase 1 um wenigstens zugunsten der Sigillata verschoben. Die TS-Imitation hat im abschliessenden Bauhorizont im Vergleich zum Siedlungshorizont an Dominanz noch mehr verloren³²⁹, ein Phänomen, das bereits bei Phase 1 zu beobachten war. Ein ähnliches Verhältnis hat, wie erwähnt, Periode A von Oberwinterthur-Kirchhügel geliefert (Kap. 5.3.1.).

Zwei von sieben Sigillatandscherben sind als Arretina zu bezeichnen (Nr. 148.171). Sie gehören mit einem wei-

325 Martin-Kilcher 1980, 30 Taf. 26,11. In der Region Solothurn treten ähnliche Schüsseln in Schichten ab dem späteren 1. Jh. auf (Schuchany 1990b, Nr. 39.60); s. auch Kap. 4.3.5.

326 Die Scherbe ist mit 7 cm² relativ klein, so dass sie durchaus durch einen Tier- oder Wurzelgang von oben in die Schicht gerutscht sein könnte. Vielleicht wurde sie auch beim Bau der Mauer der SP I.2 zwischen den Räumen B und C in die ältere Schicht gedrückt.

327 Import (Nr. 106.107.114.115.125.126.135.136.148.149.162.171–175); Imitation (Nr. 108.109.116.127.128.129.137–140.150.151.163.165.166.176–179); römische Tradition (Feinkeramik: Nr. 119.120.142.152.180; Grobkeramik: Nr. 191); keltische Form/römische Technik (Nr. 110.117.118.130.141.181.182); keltische Tradition (Feinkeramik: Nr. 124.

170; Grobkeramik: Nr. 122.123.132–134.147.159.160.169.188–190). Schraffierter Teil: TS bzw. TS-Imitation; Reihenfolge bei den drei letzten Gruppen: erster Teil: Feinkeramik; zweiter Teil: Grobkeramik.

328 Siedlungsschichten 25%; Bauhorizont 20%. In beiden Komplexen (Siedlungsschichten Phase 2/Bauhorizont Phase 3) ist sie jedoch etwas stärker vertreten als im Bauhorizont der Phase 2 (15%). Trotz dieses Ausreissers ist als Tendenz zu erkennen, dass der Anteil an TS-Imitation, wie andernorts beobachtet (Kap. 5.1.), im Laufe der Zeit abnimmt.

329 Im Bauhorizont der Phase 3 beträgt das Verhältnis TS/Imitation 43%:57% in den Siedlungsschichten 26%:74%.

teren Stück aus Südgallien spätaugusteischen Typen an (Typengruppe A)³³⁰, Haltern 2 (Nr. 171) und Haltern 15 (Nr. 114.148). Die übrigen Scherben stammen vorwiegend von Typen der Gruppe B, die in claudisch-neronischen Fundzusammenhängen in Massen vorkommen (Schucany 1983, Tab. 3), nämlich Drag. 24 (Nr. 162), Drag. 15 (Nr. 106.149), Drag. 29 (Nr. 173) und Drag. 30 (Nr. 135). Der Töpfer Crestio (Nr. 115) aus La Graufesenque ist auch in Hofheim nachgewiesen (Ritterling 1912, Nr. 175.176). Der Stempel VRI (Nr. 125) stammt vielleicht vom Töpfer Urius Arvernicius aus La Graufesenque, dessen Produktionszeit ins 1. Jh. n. Chr. datiert wird (Oswald 1931, 346). Die Schale Drag. 36 Nr. 172 hingegen fällt aus dem Rahmen. Dieser Typ der Gruppe D erscheint nicht vor flavischer Zeit. Im Kastell III von Rottweil tritt er erst in der Einfüllung der Kastellgräben auf (Planck 1975, Tab. 11). Es dürfte sich um einen sog. Fehllauf handeln, eine Scherbe, die ursprünglich nicht aus dieser Schicht stammt³³¹.

Beide Ränder der Fischsaucenamphoren Vindonissa 586 (Nr. 174.175) sind nach aussen gebogen und leicht unterschritten. Damit gleichen sie der in Hofheim vorkommenden, aus dem Haltern-Typ weiterentwickelten Form Hofheim 72 (Loeschcke 1909, 254).

Das Firnischälchen mit Griessbewurf Nr. 126 findet Parallelen in claudisch-neronischen Fundplätzen (Ettlinger/Simonett 1952, Abb. 14,5). Die beiden Lampen Nr. 107 und 136 sind eher klein. Nr. 107 weist die beim augusteischen Typ Loeschcke IA beliebte eckige Schulterform II auf, Nr. 136 die beim claudisch-neronischen Typ Loeschcke IB häufige runde Schulterform III (Loeschcke 1919, 213ff.)

Die TS-Imitation ist überwiegend in roter Technik (89%) und nur selten, noch weniger als in Phase 1, in der späteren schwarzen Technik (11%) gefertigt. Sämtliche Teller Drack 4A/B sind schwarz. Die mit Abstand häufigste Form ist wie in Phase 1 der Teller Drack 2 (Nr. 108.127.128.138.150.163.166), gefolgt vom Schälchen Drack 9 (Nr. 116.137.165.176–178). Beides sind Typen der Gruppe A, ebenso der Teller Drack 4A (Nr. 140). Neu erscheinen in Phase 2 die Teller Drack 3 (Nr. 139) und Drack 4B (Nr. 109.151), welche die an claudisch-neronischen Fundorten überaus beliebten südgallischen Typen Drag. 15 und Drag. 18 imitieren. In Oberwinterthur-Römerstrasse 186 tritt Drack 3 erst in Phase B auf (Rychener/Albertin 1986, Tab. 19,1). Der Typ Drack 4B hingegen ist dort schon in Phase A nachgewiesen (a.a.O. Taf. 8,79), allerdings in der problematischen Planierungsschicht 102 (dazu Kap. 5.3.1.).

Imitationen von pompejanisch-roten Platten (Nr. 129) scheinen typisch zu sein für die 1. Hälfte des 1. Jh. In Solo-

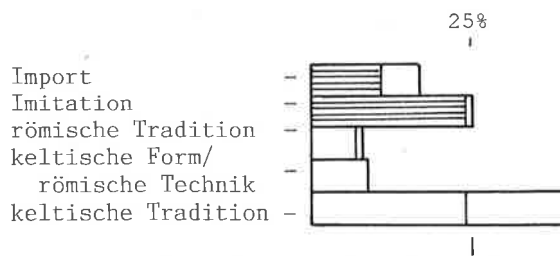


Abb. 167. Keramikensemble der Holzbauperiode I.2. S. auch Tab. 20.

thurn-Vigierhäuser kommen sie vor allem in Phase 1/1981 vor (Schucany 1990b, Nr. 6). Sie sind auch in Hofheim (Ritterling 1912, Nr. 45) und Rheingönheim (Ulbert 1969a, Taf. 15,1) nachgewiesen.

Zwei der drei Krüge weisen einen schwach unterschrittenen gerillten Kragenrand auf (Nr. 119.180), wie sie ähnlich in Phase A von Oberwinterthur-Römerstrasse 186 zum Vorschein kamen (Rychener/Albertin 1986, Abb. 83, Nr. 169.170). Der Krug mit wulstigem gerilltem Kragenrand Nr. 120 hat eine gute Parallele in Aislingen (Ulbert 1959, Taf. 8,13).

Das Ensemble der Phase 2 gleicht sehr dem der vorangegangenen, in frühüberische Zeit datierten Phase 1. In beiden Komplexen sind das Verhältnis von Sigillata zu Imitation und deren Anteile im Ensemble nahezu identisch. Wie in Phase 1 finden sich zu einzelnen Stücken Parallelen in spätaugusteischen Fundzusammenhängen. Die Mehrzahl der Funde jedoch kann mit den von claudisch-neronischen Fundstellen bekannten Typen verglichen werden. Schon die Analyse der Befunde (Kap. 3.3.2.) deutet auf eine unmittelbare, lückenlose Ablösung der Phase 1 durch die Phase 2 hin, was die Untersuchung der Funde nur bestätigt. Die ausserordentlich grosse Ähnlichkeit der beiden Ensembles deutet überdies darauf hin, dass die Phasen 1 und 2 einen so engen Zeitraum umfassen, dass eine Entwicklung nicht festzustellen ist. Der Fundanfall lässt eine Dauer von knapp zehn Jahren für die Phase 2 vermuten (Abb. 164), was ein Ende um 40 ergäbe. Dem widersprechen die Funde in keiner Weise.

Die Phasen 1 und 2 zusammengefasst ergeben das charakteristische Bild eines tiberischen Fundkomplexes (15/20–40). Dieser wird von der TS-Imitation dominiert, die zweieinhalb Mal so häufig vorkommt wie die Sigillata (71%:29%). Typologisch steht er zwischen den bekannten spätaugusteischen Militärstationen (Haltern, Oberhausen) und den claudisch-neronischen Kastellen (Hofheim, Aislingen, Rheingönheim): ältere Formen sind noch vorhanden, jüngere treten schon auf (Furger 1985a, 140).

330 Zu den TS-Typengruppen Kap. 4.2.1.

331 Die Scherbe ist mit 2 cm² sehr klein. Sie könnte durch einen Tier- oder Wurzelgang von oben in die Schicht gerutscht sein oder beim

Bau der nördlichen Aussenmauer von Haus II der SP I in die Schicht hineingedrückt worden sein.

5.3.3. Phase 3 (HP I.3)

Die Funde, die zur Beurteilung der Phase 3 der Holzbauperiode I führen, stammen aus den Siedlungsschichten (Nr. 193–298) und aus dem Bauhorizont der nächstfolgenden Phase (Nr. 299–330), aus Planien, die beim Bau der Holzbauperiode II eingebracht worden waren.

Weder in den Siedlungsschichten noch im Bauhorizont der nachfolgenden Phase fanden sich Münzen.

Hülsenspiralfibeln mit Gitterfuss (Nr. 217) stammen in Augst vorwiegend aus tiberisch-claudisch datierten Fundkomplexen (Riha 1979, 92). Fibeln vom Langton-Down-Typ (Nr. 289) kamen in Camoludunum vor allem in den Perioden III und IV zum Vorschein (Hawkes/Hull 1947, 317; Taf. 94,90). Der Bronzegriff Nr. 288 hat eine gute Parallele in Rheingönheim (Ulbert 1969a, Taf. 40,8).

Im Keramikensemble (Abb. 168³³²) hat die Sigillata die Imitation als häufigste Gattung abgelöst (Tab. 20). Das für die Datierung wichtige Verhältnis von Sigillata zu Imitation beträgt 57%:43% (Tab. 27). Im abschliessenden Bauhorizont ist das Verhältnis, wie in den vorangegangenen Phasen, wiederum stärker zugunsten der Sigillata verschoben³³³. Ein ähnliches Verhältnis zeigt Periode B von Oberwinterthur-Kirchhügel (55%:45%)³³⁴.

Sechs der 35 Sigillatarandscherben stammen von der Typengruppe A, nämlich Haltern 8 (Nr. 193.299–301) und Haltern 11 (Nr. 218.219). Dem Ton nach müssen sie in Südgallien hergestellt worden sein. Die übrigen Scherben gehören Typen an, die in claudisch-neronischen Fundzusammenhängen in Massen vorkommen (Schucany 1983, Tab. 3): Gruppe B – Hofheim 5 (Nr. 220), Drag. 17 (Nr. 225–227), Drag. 24 (Nr. 221.222.302.303), Drag. 15 (Nr. 228.229.290.291.298.306.), Drag. 29 (Nr. 233.292.309.310) – und Gruppe C – Drag. 27 (Nr. 223.224.297.304), Drag. 18 (Nr. 194.230–232.307.308). Ein Stück der letzten Gruppe gehört der späten, dunklen südgallischen Produktion an (Nr. 304). Die Typen sind mehrheitlich von den vorangegangenen tiberischen Phasen bekannt. Die Typengruppe A ist jedoch in Phase 3 etwas schwächer (17% statt 38%) vertreten (Tab. 3). Auffallend ist der mit 14% hohe Anteil an Reliefsigillata³³⁵. Alle Scherben stammen von Schüsseln Drag. 29 und weisen die überreichen Girlanden auf, wie sie in Camulodunum etwa sehr häufig sind (Hawkes/Hull 1947, Taf. 24–34). Der Stempel Nr. 305 stammt von einem Töpfer Licnus oder Licinus aus La Graufesenque (Oswald 1931, 164; Oxé 1936, 386). Ähnliche Stempel fanden sich in Camulodunum und Rheingönheim³³⁶.

Das Firnisschälchen vom Typ Hofheim 22 Nr. 235 weist eine Verzierung auf, die in Aislingen (Ulbert 1959, Taf. 7,7) und in Hofheim (Ritterling 1912, Abb. 54,8) gute Vergleiche findet. Die Lampe mit Volutenansatz Nr. 200 hat eine gerundete Schulter (Loeschcke Form III), die in Vindonissa beim augusteischen Typ IA fehlt und ausschliesslich bei den ins mittlere und spätere 1. Jh. datierten Typen IB und IC vorkommt (Loeschcke 1919, Abb. 2; 214ff).

Der Rand der Amphore Dressel 20 Nr. 234 ist schon etwas wulstiger als jener der Phase I (Nr. 30.36). Er entspricht der in Hofheim belegten annähernd halbrunden Form (Ritterling 1912, 303), die auch in Aislingen (Ulbert 1959, Taf. 11,9) vorkommt. Ein gut vergleichbares Stück aus Augst stammt zwar aus einem ins 3. Viertel des 1. Jh. datierten Fundkomplex, der Form nach gehört es jedoch der augusteisch-tiberisch datierten Profilgruppe A an (Martin-Kilcher 1987, Nr. 154; 54).

Wie in den vorangegangenen Phasen ist die TS-Imitation überwiegend in roter Technik (81%) und nur selten in der späteren schwarzen Technik (19%) gefertigt. Schwarz sind vor allem die Teller Drack 4A/B (Nr. 195.205.246.293.315) und die Schüssel Drack 19 (Nr. 316). Die Typengruppe A – das Schälchen Drack 9 (Nr. 237–239.311.312), der Teller Drack 2 (Nr. 203.241, evtl. Nr. 242), der Teller Drack 4A (Nr. 205.246.247.293.315) – macht zwar noch immer etwa die Hälfte (57%) aus, doch die Typengruppe B – Drack 18 (Nr. 240), Imitation Hofheim 9 (Nr. 201), Drack 3 (Nr. 243–245.313.314), Drack 5 (Nr. 202), Drack 19 (Nr. 316) – hat im Vergleich zu den vorangegangenen Phasen deutlich zugenommen (von ca. 6% auf 35%). Die Typengruppe C – Drack 4B (Nr. 195; evtl. Nr. 204; Nr. 248) – ist etwa gleich geblieben.

Schalen mit Hängelippe der Campana-Imitation (Nr. 236) treten im Schutthügel von Vindonissa vor allem im Ostteil auf (Ettlinger/Simonett 1952, Nr. 56). Die Imitation einer pompejanisch-roten Platte (Nr. 317) weist einen nach innen verdickten Rand auf, ähnlich jenen aus der Phase I/1981 der Vigierhäuser in Solothurn (Schucany 1990b, Nr. 6).

Der Krug Nr. 250 weist einen ausladenden, unterschnittenen gerillten Kragenrand auf, wie er aus augusteischen Fundzusammenhängen wie Haltern bekannt ist (Loeschcke 1909, Abb. 18,4), jedoch auch in Hofheim, allerdings selten, auftritt (Ritterling 1912, 279; Abb. 62,2; Taf. 34,58). Mehrheitlich sind die Kragenränder nur noch wenig unterschnitten (Nr. 208.251.320–322), ähnlich je-

332 Import (Nr. 193.194.200.218–235.290–292.297–310); Imitation (Nr. 195.201–205.236–248.293.311–317); römische Tradition (Feinkeramik: Nr. 207.208.250–251.253–255.318–323; Grobkeramik: Nr. 272); keltische Form/römische Technik (Nr. 206.249); keltische Tradition (Feinkeramik: 196.197.198.209–215.256–271.294.295.325.329; Grobkeramik: Nr. 199.216. 273–289.330). Schraffierter Teil: TS bzw. TS-Imitation; Reihenfolge bei den drei letzten Gruppen: erster Teil: Feinkeramik; zweiter Teil: Grobkeramik.

333 63%:38% im Vergleich zu 56%:44% in den Siedlungsschichten.

334 Rychener 1984, Randscherben nach Katalog.

335 Das Fehlen von Reliefsigillata in den Phasen I und 2 liegt wohl an der kleinen Anzahl an Sigillaten und dürfte zufällig sein.

336 Hawkes/Hull 1947, 42; 92; Ulbert 1969a, Taf. 9,33.35. Bei den Parallelen ist allerdings der Buchstabe N korrekt geschrieben.

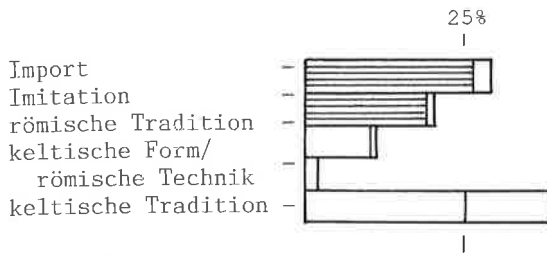


Abb. 168. Keramikensemble der Holzbauperiode I.3. S. auch Tab. 20.

nen in Oberwinterthur in Phase A-Römerstrasse 186 (Rychener/Albertin 1986, 79; Abb. 83,169.170) und Periode A-Kirchhügel (Rychener 1984, Abb. 62,143). Bei einem Krug (Nr. 207) ist der Kragenrand nicht mehr unterschritten. Mit der wulstig verdickten Lippe leitet er zum sog. getreppten Kragenrand über (Nr. 318; Roth-Rubi 1979, Taf. 3.4), der in dieser Phase neu erscheint. Nr. 207 hat eine Parallele in Oberwinterthur-Kirchhügel Periode A (Rychener 1984, Nr.101), Nr. 318 eine in Camulodunum-Perioden III/IV–VI (Hawkes/Hull 1947, Taf. 60,141A). Der Krug mit senkrechtem Rand und Wulstlippe Nr. 254 erinnert an ein Stück aus Phase 2 (Nr. 89). Der kleine Krug mit kelchförmigem Rand Nr. 253 gleicht einem in Vindonissa im Ostteil des Schutthügels gefundenen Stück (Ettliger/Simonett 1952, Nr. 437). Ein Krug Nr. 319 weist einen einfachen, relativ senkrechten Rand auf, wie er ähnlich in Oberwinterthur, in Periode A-Kirchhügel (Rychener 1984, Nr. 27) und Phase A-Römerstrasse 186 (Rychener/Albertin 1986, Nr. 291) vorkommt.

Ähnliche Reibschüsseln mit Kragenrand wie Nr. 323 sind in Aislingen (Ulbert 1959, Taf. 12,10) belegt. In Vindonissa ist dieser Typ im Ostteil des Schutthügels schon um einiges häufiger als die Reibschüssel mit Steilrand (Ettliger/Simonett 1952, 86f.; Nr. 567). Der helltonige Topf mit abgesetztem, kegelförmigem Hals, ein sog. Honigtopf, findet im Gräberfeld von Neu-Allschwil in Grab 47 ein Vergleichsstück mit gekehltem Rand, das mit Schalen der Campana-Imitation (ähnlich Nr. 236) vergesellschaftet ist und in claudische Zeit datiert wird (Ettliger 1944, Abb. 7,72; 14; 36).

Das Ensemble der Phase 3 unterscheidet sich von jenen der in tiberische Zeit datierten Phasen 1 und 2. Zwar kommen viele Typen vor, die schon in Phase 2 auftreten. Auch unterscheiden sie sich in der Ausprägung in keiner Weise voneinander, beispielsweise etwa das Schälchen Drag. 24 (vgl. Nr. 222 mit Nr. 162), der Teller Drag. 15 (vgl. Nr. 228 mit Nr. 149) oder der handgefertigte Napf (vgl. Nr. 275 mit Nr. 134). Die Anteile der Typen sind in den Ensembles je-

doch verschieden. So löst die Sigillata die in den Phasen 1 und 2 vorherrschende Imitation ab. Bei den Sigillatotypen kommen die älteren Formen seltener vor. Die TS-Imitation ahmt vermehrt südgallische Produkte nach. Die meisten Parallelen finden sich in claudisch-neronisch datierten Fundzusammenhängen. Die Funde deuten auf eine unmittelbare Ablösung der Phase 2 durch die Phase 3 hin. Auch die Analyse des Befundes (Kap. 3.3.3.) legt eine lückenlose Abfolge nahe. Der Fundanfall deutet auf eine Dauer von gut 15 Jahren hin (Abb. 164), was ein Ende der Phase 3 um 55 ergäbe. Dem widersprechen die Funde in keiner Weise.

5.4. Holzbauperiode II (HP II)³³⁷

Die Funde, anhand derer die Holzbauperiode II zu beurteilen ist, stammen aus den Lehm Böden der Parzellen I (Nr. 331–409) und III (420–441), aus Benützungsschichten der Parzelle I (Nr. 410–419), aus der Brandschicht von Haus III (Nr. 442–447), von einem verbrannten Gestell in Haus III (Nr. 448–457) und aus dem Brandschutt über dem Gestell (Nr. 458–484). Die Funde aus dem Brandschutt (Nr. 485–638) sind mit der erwähnten Ausnahme nicht nach Parzellen aufgeteilt, da aufgrund des Befundes und der vielen Passscherben zu vermuten ist, dass beim Bau von Haus II der Steinbauperiode I.1 Brandschutt von Parzelle III auf Parzelle I verschoben worden war (Kap. 3.5.1.). Dabei scheint der Brandschutt teilweise verlesen worden zu sein. Die Funde aus dem Bauhorizont der folgenden Phase (Nr. 699–732) habe ich nicht einbezogen, da zwischen dem Brand und dem Wiederaufbau eine gewisse Zeitspanne liegen könnte. Tatsächlich finden sich bei der Analyse des Befundes Hinweise, dass man Haus III der Steinbauperiode I.1 erst einige Zeit später erbaut hatte.

Von den Münzen könnte der in den Jahren 21/22 für Drusus geprägte As des Tiberius Nr. 53 den terminus post ergeben³³⁸, denn er trägt eine Schlagmarke, die vielleicht einem ritterlichen Offizier des Rheinheeres, L. Titinius Glaucus Lucretianus, zuzuweisen ist, der zu Beginn der 60er Jahre des 1. Jh. Militärtribun bei der 22. Legion in Mainz war (Speidel/Doppler 1993, 10). In der unter dem Keller der Steinbauperiode I.1 gelegenen Grube G5, die wohl der Holzbauperiode II zuzuweisen ist (Kap. 11.7.1.), fanden sich zwei weitere Münzen: ein republikanischer As (Nr. 16) und ein Dupondius des Caligula (Nr. 83), der einen terminus post von 37/38 ergibt.

³³⁷ S. auch Kap. 12.7.1.; 12.10.

³³⁸ Republik: 2 Denare (Nr. 2.4), 2 Asse (Nr. 10.11); Augustus: 3 Asse (Nr. 22.25.40), 1 Sesterz (Nr. 31); Tiberius: 1 Denar (Nr. 49), 6 Asse (Nr. 51.53.54.62.63.73).

Im Keramikensemble ist die Sigillata erneut die häufigste Sorte (Abb. 169³³⁹). Ihre für die Datierung wichtige Relation zur TS-Imitation beträgt 74%:26% (Tab. 27). Im Brandschutt überwiegt die Sigillata noch stärker als in den Siedlungsschichten (81%:19%), ähnlich wie bei den vorangegangenen Phasen, bei denen die jeweils abschliessenden Bauhorizonte ebenfalls eine jüngere Tendenz aufweisen. Für die Siedlungsschichten der Parzellen I scheinen etwas ältere Werte zu gelten als für jene der Parzelle III³⁴⁰.

Mit 86 Randscherben hat die Holzbauperiode II so viele der chronologisch empfindlichen Sigillaten geliefert, dass es zulässig ist, sich für die Datierung neben den Münzen ausschliesslich auf sie abzustützen. Die Sigillata bleibt die häufigste Gattung. Zwei Exemplare sind als Arretina (2%) zu bezeichnen. Es handelt sich um zwei Schälchen des spätaugusteischen Typs Haltern 11 (Nr. 420). Sie fanden sich in Lehm Böden von Haus III. Wieweit sie dafür sprechen, dass Haus III früher als Haus I erbaut worden war, ist angesichts der im Einzelfall doch sehr kleinen Zahlen nicht zu entscheiden³⁴¹. Wie erwähnt, ist das Verhältnis Sigillata/Imitation in Parzelle III hingegen moderner. Die beiden Ensembles dürften gleichzeitig sein. Andererseits weist die Bautechnik von Haus I viele sozusagen moderne Züge auf – verputzte Wände, massive Böden – die in Haus III fehlen. Chronologisch bedeutsam ist hingegen, dass diese frühe Sigillataform im Brandschutt nicht mehr auftritt. Alle übrigen Vertreter der Gattung stammen aus Südgallien. Zu den schon von den vorangegangenen Phasen bekannten Typen der Gruppe B – Hofheim 5 (Nr. 421), Drag. 17 (Nr. 335.489; dazu Schucany 1983, Nr. 34.43), Hofheim 1 (Nr. 338; dazu Schucany 1983, Nr. 58.59), Drag. 24³⁴², Drag. 15³⁴³, Hofheim 12 (Nr. 463; dazu Schucany 1983, Nr. 33) und Drag. 29 (Nr. 450.494.495) – und der Gruppe C – Drag. 27³⁴⁴, Drag. 18³⁴⁵ – gesellen sich die Schälchen Hofheim 8 (Nr. 410.448.487; dazu Schucany 1983, Nr. 14–16) und Hofheim 9 (Nr. 460; dazu Schucany 1983, Nr. 20.21) sowie die Reliefschüsseln Drag. 30 (Nr. 341) und Drag. 37 (Nr. 496). Die ersten drei der neuen Typen gehören zur Gruppe B, die typisch ist für das Spektrum claudisch-neronischer Komplexe (Schucany 1983,

Tab. 3). Die Schüssel Drag. 37 (Gruppe D) hingegen ist in diesen Ensembles äusserst selten. Sie wird erst ab flavischer Zeit allmählich zur vorherrschenden Form (zuletzt Pferdehirt 1986, 240f.). Im grossen Bestand von über 800 Reliefsigillaten von Camulodunum-Sheepen fehlt sie vollständig (Hawkes/Hull 1947, 170ff.). In Hofheim, Aislingen und Valkenburg-Castellum 3 ist sie äusserst selten³⁴⁶. Auch im frühflavischen Kastell III von Rottweil kommt sie nur selten vor (3%; Planck 1975, Taf. 54,4–6.8). In Oberstimm erscheint sie erst in der Zwischenphase Id (Schönberger 1978, C78). Angesichts der Seltenheit von Drag. 37 in vor 70 datierten Schichten, ist es wichtig, dass die Fundumstände des Stückes von Baden stratigraphisch einwandfrei sind. Es stammt aus dem Brandschutt, der vermutlich über Haus I geschoben worden war (Kap. 3.5.1.). Dieser war durch den massiven Splitterboden in Raum J der Steinbauperiode I.1 nach oben abgeriegelt. Da das Stück Brandspuren aufweist, ein Phänomen, das fast ausschliesslich bei Scherben aus Brandschichten zu beobachten ist, war es mit grosser Wahrscheinlichkeit schon beim Brand vorhanden und kam nicht erst beim Planieren des Brandschuttes zum Bau der Steinbauperiode I.1 in die Schicht³⁴⁷. Zwar weist es einen recht grossen Durchmesser auf (25 cm). Die Lippe jedoch ist mit einer Höhe von 1,8% (4,6 mm) des Raddurchmessers etwas zierlicher als bei den frühesten Vergleichsstücke aus spätenronischen und frühflavischen Zusammenhängen³⁴⁸.

Der Brand, dem die Holzbauperiode II zum Opfer gefallen war, kann aufgrund folgender Überlegungen mit der von Tacitus (*historia* I 67) überlieferten Plünderung eines helvetischen Badeortes im Jahre 69 durch die 21. Legion von Vindonissa in Verbindung gebracht werden (Schucany 1983): Waffenfunde und die Änderung der Parzelleneinteilung in der nachfolgenden Phase deuten auf eine kriegerische Zerstörung hin. Neue Grabungen haben gezeigt, dass auch weiter westlich die Steinbauperiode I.1 eine andere Parzellierung aufwies als die letzte Holzbauperiode (Koller 1989, Abb. 3.4; s. auch Abb. 36). Zu einer Neuverteilung des Bodens könnte es gekommen sein, weil nach diesen Ereignissen viel erbenloses Land vorhanden war

339 Import (Nr. 331–347.410–413.420–424.448–452.458–465.485–504; Schucany 1983, Nr. 1–77); Imitation (Nr. 348–361.427.442.443–453.505–518); römische Tradition (Feinkeramik: Nr. 366–373.379.414–416.425.426.430.469.470.474.525–545; Grobkeramik: Nr. 435.592–600); keltische Form/römische Technik (Nr. 362–365.428.429.454.466–468.519–524); keltische Tradition (Feinkeramik: Nr. 374–378.380–396.417.431–434.444.445.471–473.475–480.546–591; Grobkeramik: Nr. 397–404.418.436–438.481–483.601–620). Schraffierter Teil: TS bzw. TS-Imitation; Reihenfolge bei den drei letzten Gruppen: erster Teil: Feinkeramik; zweiter Teil: Grobkeramik.

340 Parzelle I: 64%:36%, Parzelle III: 70%:30%. Parzelle III hat allerdings nur 7 Sigillaten und 3 Imitationen geliefert.

341 Parzelle I: 25 Sigillaten; Parzelle III: 7 Sigillaten.

342 Nr. 331.332.411.422.458.485.486; dazu Schucany 1983, Nr. 4.7–9.

343 Nr. 336.337.423.449.461.462.490.491; dazu Schucany 1983, Nr. 35.40.45.46.48.51–57.

344 Nr. 333.334.459.488; dazu Schucany 1983, Nr. 24.25.27.28.30.31.

345 Nr. 339.340.492.493; dazu Schucany 1983, Nr. 62.64–66.69–72.

346 Hofheim (Ritterling 1912, 231ff.): 4–5 Exemplare (ca. 0,5%); Aislingen (Ulbert 1959, 34): ca. 10 Exemplare (ca. 1,5%); Valkenburg-Castellum 3 (Glasbergen 1967, 80ff.): 2 Exemplare (1,5%).

347 Wahrscheinlich stammt ein weiteres verbranntes Exemplar (Nr. 890) aus dem Bauhorizont der SP I.2 ursprünglich ebenfalls aus dem Brandschutt der HP II.

348 Die Masse wurden im Massstab 1:2 ausgewertet: Hofheim (Ritterling 1912, Taf. 32,19): Durchmesser 20 cm, Höhe ca. 5,2 mm (2,5%); Pompeji: ca. 2,0%–4,5% (Zevi 1984, Abb. 165.167 – nach Foto!); Baden SP I.1: im Durchschnitt 2,6%; SP I.2: 2,5% (Tab. 5); Solothurn-Vigierhäuser (unpubliziert; Kap. 10.2.2.): Durchmesser 19 cm, Höhe 5,6 mm (3%); Durchmesser 19 cm, Höhe 6,8 mm (3,6%). Leider fehlen in vielen Publikationen Profil und Gesamtform der Reliefsigillaten, so dass der Durchmesser, wird er im Text nicht erwähnt, nicht zu ermitteln ist. So kann nur die Lippenhöhe verglichen werden: In Aislingen beträgt sie 4,4–5,6 mm (Ulbert 1959, Taf. 74,3–5), in Rottweil-Kastell III 4,8–5,2 mm (Planck 1975, Taf. 54,6,8) und in Oberstimm-Phase Id 5,8 mm (Schönberger 1978, C78).

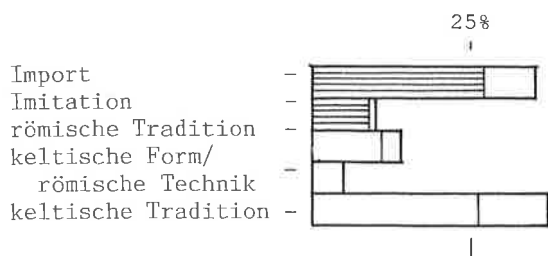


Abb. 169. Keramikensemble der Holzbauperiode II. S. auch Tab. 20.

(Schillinger-Häfele 1974). Zu den Waffenfunden aus der Brandschicht und aus dem Brandschutt gesellen sich weitere Militaria aus dem Bauhorizont der Steinbauperiode I.1 (Nr. 761.763), die wohl ebenfalls bei der Zerstörung der Holzbauperiode II verloren gegangen sind. Das gleiche könnte auch für Fundstücke militärischer Art gelten, die aus Auffüllschichten späterer Phasen stammen (Nr. 1160), da Planien oft älteres Material enthalten. Nur vier von insgesamt dreizehn militärischen Fundstücken kamen nicht in der Holzbauperiode II oder im Bauhorizont der Steinbauperiode I.1 zum Vorschein. Die relative Funddichte an Militaria beträgt $0,4/10\text{ m}^2$, was im Vergleich zu Augst zwischen den Werten der Oberstadt ($0,12/10\text{ m}^2$) und der militärisch belegten Unterstadt ($0,94/10\text{ m}^2$) liegt³⁴⁹. Die Münzen und Sigillaten der Holzbauperiode II widersprechen einer Datierung in neronische Zeit nicht. Die vorliegende Auswertung der gesamten Grabung von 1977 bringt nun neu das entscheidende Argument, dass der Zerstörungshorizont der Holzbauperiode II als einzige Brandschicht keine vespasianische Münzen geliefert hat; die ersten flavischen Münzen (Nr. 123–125.128) erscheinen schon in den Phasen 2 oder 3 der Steinbauperiode I (s. auch Abb. 139). Falls Aquae Helveticae dem Angriff der 21. Legion zum Opfer gefallen ist – und der Name lässt kaum Zweifel zu (Schucany 1983, 40) – ist es der Brand der Holzbauperiode II, der auf dieses Ereignis zurückzuführen ist.

Das Baudatum der Holzbauperiode II ist aufgrund der Analyse der Holzbauperiode I.3 um 55 anzusetzen. Der Fundanfall entspricht etwa jenem der Holzbauperiode I.3 (Abb. 164), so dass ebenfalls eine Zeitspanne von 15 Jahren anzunehmen ist. Damit kommen wir von Baudatum und Fundanfall ausgehend ebenfalls in die Jahre um 70. Das 1983 ermittelte Baudatum geschah in Unkenntnis der Funde der Holzbauperiode I.3 (Schucany 1983, 75). Anhand der Fundplätze, die wegen ihrer relativ guten Datierung zum Vergleich geeignet sind (Camulodunum-Perioden III/IV, Hofheim, Aislingen, Rheingönheim, Vinodissa-Schutthügel Ost), konnte damals und kann auch

heute ein claudisches Ensemble nicht von einem neronischen unterschieden werden. Erst die guten stratigraphischen Verhältnisse in Baden machen es möglich, ein claudisches (Holzbauperiode I.3) einem neronischen Ensemble (Holzbauperiode II) gegenüberzustellen. Typologisch sind sie nicht zu trennen. Unterschiede zeigen sich einzig in den Anteilen der einzelnen Typen, vor allem jedoch in den Anteilen der Gattungen. Aussagekräftig ist insbesondere das Verhältnis von Sigillata zu Imitation (Tab. 27): Holzbauperiode I.3 57%:43% (ca. 1:1); Holzbauperiode II 74%:26% (ca. 3:1). Leider scheint dieses Verhältnis im Gegensatz zu den Typen regionalen Bedingungen zu unterliegen, so dass es bei Vergleichen über die engere Region hinaus nur mit Vorsicht zu verwenden ist (Schucany 1990a).

5.5. Steinbauperiode I³⁵⁰

5.5.1. Phase 1 (SP I.1)

Der Wiederaufbau nach der Zerstörung der Holzbauperiode II durch die 21. Legion im Jahre 69 muss nicht unverzüglich und nicht überall gleichzeitig eingesetzt haben. Die Funde aus den Planien des Bauhorizontes (Nr. 699–732.747–764), die über dem Brandschutt der Holzbauperiode II lagen, werden deshalb der Phase I der Steinbauperiode I zugerechnet statt wie gewohnt der vorangegangenen Phase. Weiter dienen zur Beurteilung der Phase I die Funde aus den Siedlungsschichten (Nr. 639–698.733–746.765–784) und aus dem Bauhorizont der nachfolgenden Phase 2 (Nr. 785.813–840.877–946).

Mit dem Bau der bis in den anstehenden Boden reichenden Mauern und dem Holzkeller in Haus III ist erstmals mit einer starken Vermischung mit Funden aus den während den Holzbauperioden abgelagerten Schichten zu rechnen. Dies trifft insbesondere für die Parzelle II zu, wo in der erfassten Fläche durch den Aushub für die Fundamente $24,4\text{ m}^3$ auf 203 m^2 oder 12 Liter pro Quadratmeter ($1/\text{m}^2$) der abgelagerten Schichten an die Oberfläche kamen. Weniger stark dürften die Parzelle I mit $0,81/\text{m}^2$ und, trotz des Kellers, die Parzelle III mit $1,61/\text{m}^2$ von einer Vermischung betroffen sein. Dort war das abgelagerte Schichtpaket nur etwa 10 cm stark, während es in den Parzellen I und II 100–160 cm umfasste. Ein weiterer Beleg für die Vermischung könnten verbrannte Scherben sein, die ursprünglich wohl aus dem Brandschutt der Holzbauperiode II stammen. Mit rund 4–6% bei der Sigillata ist der Anteil zwar nicht sehr hoch, doch höher als gewöhnlich.

349 Deschler-Erb et al. 1991, 44; Abb. 34. Mit $2,5/10\text{ m}^2$ liegt auch die Bronzefunddichte von Baden insgesamt im Rahmen der Augster Streuung ($0,44\text{--}5,63/10\text{ m}^2$).

350 S. auch Kap. 12.7.1.; 12.11.

Im Brandschutt der Holzbauperiode II beträgt er 50%! (Schucany 1983, 38). Erstaunlicherweise finden sich kaum Passscherben, die eine Vermischung belegen (Kap. 4.1.3.).

Die jüngsten der geborgenen zwölf Münzen sind zwei Asse des Tiberius für Divus Augustus³⁵¹. Mehr als einen belanglosen terminus post ergeben sie nicht.

Bei einem Abstich, der Bodenschichten und Schichten des Bauhorizontes der folgenden Phase umfasste, fand sich ein Ziegelfragment mit dem Stempel der 11. Legion (Taf. 5,4; Schucany 1983, Abb.16). Ziegel mit Stempel dieses Typs waren in Vindonissa beim Apsidenbau am häufigsten, der auf die noch von der 11. Legion benutzten Basilika folgte (Meyer-Freuler 1989, 56 Abb. 30; 144). Demnach scheinen sie nicht zur frühesten Bautätigkeit der 11. Legion zu gehören. Da der Typ anders als die späteren in Rottweil nur vereinzelt vorkommt (Planck 1975, 193), ist er offenbar auch nicht mit der spätesten Bautätigkeit zu verbinden. Im vorliegenden Fall muss offen bleiben, ob das Fragment zu den Funden der Phase I zu zählen ist oder erst beim Bau der Phase 2 in die Schicht kam.

Die Steinbauperiode I.1 hat relativ viele Fibeln geliefert. Sie stammen alle aus dem Bauhorizont der nachfolgenden Phase. Die kleine Aucissafibel Nr. 838 mit flachem, gerilltem Bügelquerschnitt hat in Augst eine gute Parallele aus einem claudischen Komplex (Riha 1979, Nr. 673). Ebenfalls von Parzelle II stammt die Scheibenfibel Nr. 839, die vermutlich mit Emailinlagen verziert war. Ein gutes Vergleichstück fand sich in Augst in Phase 8 der Schichtenabfolge beim Theater, die ins späte 1. Jh. datiert (Furger/Deschler-Erb 1992, Taf. 27,8/75). Die Scharnierflügelfibel mit Nielloverzierung Nr. 942 von Parzelle III findet eine ziemlich gute Entsprechung in einem Einzelstück aus einem neronisch-frühflavischen Komplex in Augst (Riha 1979, Nr. 826). Ebenfalls aus Augst stammt ein vor allem in der Proportionen ähnliches Vergleichstück (a.a.O. Nr. 911) zur profilierten Scharnierflügelfibel Nr. 943. Der Typ wird zur Hauptsache in die Mitte und ins 3. Viertel des 1. Jh. datiert (a.a.O. 127). In die gleiche Zeit ist die Augenfibel Nr. 944 zu setzen (a.a.O. 68), die in Augst (a.a.O. Nr.199) und in Oberstimm (Schönberger 1978, B367.B368) Parallelen findet.

Das Amorköpfchen Nr. 945 erinnert an Beispiele aus Oberstimm (Schönberger 1978, B416; vor allem B417) und aus Periode I von Heddernheim (Fischer 1973, Abb.15,9).

Ein ähnlicher herzförmiger Anhänger (Nr. 946) fand sich im Brandschutt der Holzbauperiode II (Nr. 626).

Im Keramikensemble (Abb.170³⁵²) beträgt das für die Datierung wichtige Verhältnis von Sigillata zu TS-Imitation 68%:32%. Verglichen mit der Holzbauperiode II zeigt es einen «älteren» Wert an (Tab. 27). Es hat sich in der Gegenrichtung zur allgemeinen Tendenz verändert. Das der Stratigraphie scheinbar widersprechende Resultat wird verursacht durch das Ensemble der vermutlich von der Vermischung mit älteren Schichten besonders betroffenen Parzelle II, das mit 58%:42% ein Verhältnis wie die claudische Holzbauperiode I.3 (57%:43%) aufweist. Die Ensembles der Parzellen I und III hingegen entsprechen mit 72%:28% bzw. 75%:25% jenem der Holzbauperiode II (74%:26%)³⁵³. Anders als bei den Holzbauperioden unterscheiden sich die abschliessenden Bauhorizonte nicht wesentlich von den entsprechenden Siedlungshorizonten mit ihren Planien³⁵⁴. Mit der Glanztonkeramik (Nr. 680.745.913.914) tritt neu eine Ware auf, die in der Folge sehr wichtig wird. Mit nur 1% ist sie im Ensemble ähnlich schwach vertreten wie in der Abfallschicht der Phase II (Goldgasse) von Solothurn-Vigierhäuser (Schucany 1990a, Tab. 1). Die wenigen Scherben stammen aus den Siedlungsschichten oder aus dem Bauhorizont der folgenden Phase. Sie können durchaus erst gegen Ende der Phase I in den Boden gekommen sein.

Die Sigillata, wie in der vorangegangenen Phase die häufigste Gattung, setzt sich zur Hauptsache aus südgallischen Produkten zusammen, wobei die frühe helle Materialgruppe leicht abgenommen, die späte dunkle zugenommen hat (Tab. 2). Es sind die von den Holzbauperioden bekannten Typen claudisch-neronischer Zeit: die Gruppe B – Hofheim 8 (Nr. 686), Hofheim 9 (Nr. 880), Drag. 24 (Nr. 639–642.676.724.877–879), Hofheim 1 (Nr. 736), Drag. 15³⁵⁵, Hofheim 12, Drag. 29³⁵⁶, Drag. 30 (Nr. 769) – und die Gruppe C – Drag. 27³⁵⁷, Drag. 18 (Nr. 647.648.699.886.887). Zwei der letzteren sind aus Mittell Gallien (Nr. 748.886). Die arretinische Platte Haltern 2 Nr. 883 aus dem Bauhorizont zur nachfolgenden Phase stammt wohl ursprünglich aus einer älteren Schicht. Mit 11% hat jedoch der Anteil der Typen der Gruppe D zugenommen (Tab. 3), die im vorangegangenen Ensemble noch selten sind, wie Drag. 37 (Nr. 703.766–768.770.890), oder noch gar nicht vorkommen, wie Drag. 36 (Nr.

351 Republik: 3 Asse (Nr. 7.13.14); Augustus: 5 Asse (Nr. 34.45–48); Tiberius: 2 Asse (Nr. 56.65); 2 unbestimmbar (Nr. 151.152).

352 Import (Nr. 639–651.676–678.686–691.699–705.724–727.733–737.747–754.765–771.813–820.877–902); Imitation (Nr. 652–657.692.693.706–708.728.729.738–741.772–775.785.821–823.903–907); römische Tradition (Feinkeramik: Nr. 661.662.680.681. 694.695.712–716.732.777.825–828.833.914–918.933; Grobkeramik: Nr. 669.698.721.743.832. 835); keltische Form/römische Technik (Nr. 658–660.679.709–711.730.731.742.776.824.908–912); keltische Tradition (Feinkeramik: Nr. 663–668.682–684.696.697.717–720.755–757.778–783.829.831.919–932; Grobkeramik: Nr. 670–675.722.723.742.758.833.834.836.837.934–941). Schraffierter Teil: TS bzw. TS-

Imitation bzw. Glanztonkeramik; anschliessende Reihenfolge bei den drei letzten Gruppen: erster Teil: Feinkeramik; zweiter Teil: Grobkeramik.

353 Der «zu alte» Wert für die Siedlungsschichten in Parzelle III dürfte an der geringen Anzahl (4 Sigillaten/3 TS-Imitationen) liegen und zufällig sein.

354 Parzelle II: 57%:43% (Bauhorizont der Phase 2); 58%:42% (Siedlungshorizont mit Bauplanie); Parzelle III: 78%:22% (Bauhorizont); 70%:30% (Siedlungshorizont mit Bauplanie).

355 Nr. 645.646.688–690.733–735.747.884.885.

356 Nr. 691.701.702.726.749.750.765.815.888.889.892.893.

357 Nr. 643.644.677.687.725.748.813.881.882.

700.814). Die Schale Drag. 36 ist in Hofheim (Ritterling 1912, 211) und Aislingen (Ulbert 1959, 17) äusserst selten. In Obestimm erscheint sie in der Zwischenphase 1d (Schönberger 1978, C617.C641). In Rottweil-Kastell III tritt sie erst in der Einfüllung der Kastellgräben auf (Planck 1975, Tab. 11). Ein Exemplar (Nr. 700) kam in der Planie unter dem massiven Mörtelboden in Raum E zum Vorschein. Beim Bau von Haus II muss dieser Typ schon produziert worden sein. Die Schälchen Drag. 27 haben noch mehrheitlich die für die Holzbauperiode II typische spitze Lippe³⁵⁸. Die flauere Ausgestaltung, wie sie zwei Exemplare (Nr. 644.882) zeigen, ist neu. Drei der sieben Schüsseln Drag. 29 (Nr. 701.749.889) weisen die jüngere Form mit Wandknick auf, die nun erstmals auftritt. Die Schüsseln Drag. 37 stammen fast ausschliesslich von Parzelle III. Ihre Lippen sind mit Höhen von durchschnittlich 2,6% des Raddurchmessers relativ zierlich (Tab. 5). Das verbrannte Stück Nr. 890 aus dem Bauhorizont der folgenden Phase stammt vielleicht ursprünglich aus dem Brandschutt der Holzbauperiode II. Ein Stempel des Ardacus (Nr. 751) fand sich schon in der Holzbauperiode II. Die Töpfer Crestio (Nr. 895), Passienus (Nr. 896) und Scotnus (Nr. 897) sind alle in Camulodunum belegt (Hawkes/Hull 1947, Taf. 42, Nr. 73ff.; Taf. 43, Nr. 144.161). Ein Stempel des Crestio kam in Oberstimm zum Vorschein (Schönberger 1978, C753). Stempel des Passienus sind im Keramiklager von Oberwinterthur die mit Abstand häufigsten (Ebnöther/Eschenlohr 1985, Abb. 6).

Die mit drei Exemplaren am besten vertretene Amphore mit Wulstlippe gehört dem Typ Camulodunum 184 oder Dressel 2-4 an (Nr. 752.898.899), die zum Weintransport dienten. Zwei Stücke (Nr. 752.898) sind verbrannt, was vermuten lässt, dass sie ursprünglich aus dem Brandschutt der Holzbauperiode II stammen. Gute Parallelen finden sich in Camulodunum-III/IV (Hawkes/Hull 1947, 151f.), Aislingen (Ulbert 1959, Taf. 11, 1.2), Hofheim (Ritterling 1912, Abb. 71) und im Depot von Lyon (Dangréaux/Desbat 1987/88, Abb. 2.2.3). Die Ölamphoren Dressel 20 (Nr. 649.737) weisen, verglichen mit jener der Holzbauperiode I.3 (Nr. 234), einen stärker nach aussen gebogenen Rand auf. Mit dem annähernd halbkreisförmigen Querschnitt unterscheidet sich die Lippenform jedoch deutlich von den flachgedrückten, dreieckigen Rändern flavischer Zeit (Martin-Kilcher 1987, 54; Profilgruppen C.D). Gute Vergleichsstücke, die ebenfalls leicht nach aussen geneigt sind, kamen in Rottweil-Kastell III (Planck 1975, Taf. 55,4) und im Depot von Lyon (Dangréaux/Desbat 1987/88, Abb. 13,1) zum Vorschein. Die Weinamphore Dressel 10 similis Nr. 705 findet relativ gute Parallelen in Oberstimm (Schönberger 1978, D530.D532).

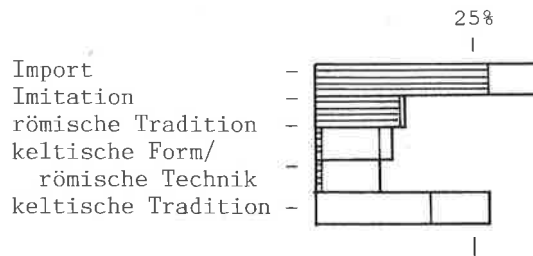


Abb. 170. Keramikensemble der Steinbauperiode I.1. S. auch Tab. 20.

Die Firnischälchen Nr. 753, 818, 900 und 901 gleichen stark jenen der Holzbauperiode II (Abb. 70). Ähnliche Schälchen sind aus Rottweil-Kastell III (Planck 1975, Taf. 55,1.2) und Oberstimm-Periode 2 (Schönberger 1978, D59) bekannt. Neu treten Firnisbecher auf, die wie die Schälchen in Lyon hergestellt worden sind (Kap. 4.2.2.) – ein Firnisbecher (Nr. 70) aus Südgallien kam schon in Holzbauperiode I.1 zum Vorschein. Zum Exemplar Nr. 771 mit nach innen gebogenem Rand findet sich eine Parallele in Vindonissa (Ettlinger/Simonett 1952, Abb. 14,7). Leider ist nicht auszumachen, ob dieses Stück wie die ähnlichen halbkugeligen Tässchen (a.a.O. Nr. 228.229.231) ebenfalls aus dem Westteil des Schutthügels stammt. Der zweite Becher (Nr. 819) weist einen Trichterrand auf. Ähnliche Becher fanden sich in Oberstimm³⁵⁹. Im Schutthügel von Vindonissa kommen sie vor allem im Westteil vor (Ettlinger/Simonett 1952, 40). Von den fünf Lampen (u. a. Nr. 650) weisen zwei eine Volutenschnauze auf (Nr. 651.820). Die horizontalen Schultern deuten auf eine eckige Schnauze hin (Loeschcke Typ IA/B), die in den ersten beiden Dritteln des 1. Jh. geläufig ist (Loeschcke 1919, 214ff.). Die beiden Lampen Nr. 754 und 902 mit einfacher, kleiner Rundschnauze gehören dem Typ VIII nach Loeschcke an. In die Mitte des 1. Jh. datiert, kommt er im letzten Viertel des 1. Jh. nur noch selten vor (Loeschcke 1919, 239). Zum Gladiator auf dem Spiegel Nr. 902 findet sich eine Parallele in Vindonissa (Loeschcke 1919, Taf. 10,438), zur Rosette innerhalb eines Eierstabkreises (Nr. 754) eine in Aislingen (Ulbert 1959, Taf. C,7).

Mit dem matten Überzug unterscheidet sich der Glanztonkrug Nr. 680 von der klassischen hochglänzenden Ware. Der Rand erinnert an ein Beispiel aus Avenches (Kaenel 1974, Taf. 3,27). Ein unserer Nr. 745 ähnlicher Becher fand sich in Periode C von Oberwinterthur-Kirchhügel (Rychener 1984, Nr. 375).

Das Ensemble der Phase I der Steinbauperiode I zeigt, dass die aufgrund des Befundes vor allem für die Parzelle II vermutete Vermischung mit Material aus älteren Schichten tatsächlich stattgefunden hat. Das Ensemble von Par-

358 Nr. 643.748.813.881; Schucany 1983, 50.

359 Schönberger 1978, D66; aus Periode 2: D64.

zelle II weist deutlich ältere Elemente auf als jene der Parzellen I und III, etwa das Verhältnis Sigillata zu Imitation. Auch weitere Stücke eher früher Ausformung wie der Teller Drack 4A Nr. 655, die Reibschüssel mit Steilrand Nr. 828 und der feine schwarze Becher mit Feinkammstrichmuster Nr. 931, könnten von einer Vermischung mit älteren Schichten zeugen. Insgesamt passen aber nur knapp 4% der Scherben nicht ins Bild. Die Beantwortung der Frage, ob zwischen der Zerstörung der Holzbauperiode II und dem Bau der Steinbauperiode I.1 eine gewisse Zeit verstrichen war, oder ob der Wiederaufbau unmittelbar erfolgte, ist schwierig. Wegen der Vermischung mit älterem Material lässt sich das Ensemble im Spektrum nicht so von jenem der Holzbauperiode II absetzen wie es nötig wäre, wollte man eine Lücke aufzeigen – die Spektren der Parzellen I und III entsprechen jenem der Holzbauperiode II, das Spektrum der Parzelle II sogar jenem der claudischen Holzbauperiode I.3. Das Auftreten der in dieser Zeit, wie erwähnt, noch äusserst seltenen Schale Drag. 36 im Bauhorizont der Parzelle II deutet vielleicht auf eine gewisse Zeitspanne zwischen Zerstörung und Wiederaufbau hin. Aufgrund des Befundes muss die Parzelle II vor der Parzelle III überbaut worden sein (Kap. 3.5.1.). Wie weit die Funde dies zeigen, ist schwierig zu sagen. Dass Schüsseln Drag. 37 zur Hauptsache in Parzelle III zum Vorschein kamen, könnte dafür sprechen. In einer späteren Überbauung der Parzelle III die Ursache dafür zu sehen, dass das Keramikspektrum von Parzelle II ein älteres, nämlich ein zu altes Bild vermittelt, ist jedoch nicht statthaft, denn das errechnete Verhältnis weist nicht nur gegenüber der Parzelle III «ältere» Werte auf, sondern auch gegenüber der Parzelle I, insbesondere aber gegenüber der vorangegangenen Holzbauperiode II. Der Fundanfall weist für die Steinbauperiode I.1 auf eine Dauer von gut 15 Jahren hin (Abb. 164), was ein Ende um 85 ergäbe. Dem widersprechen die Funde nicht.

5.5.2. Phase 2 (SP I.2)

Mit dem Bau von Haus I muss im Bereich von Parzelle I mit einer gewissen Vermischung mit älteren Schichten gerechnet werden. Durch den Mauerbau wurden 2,6 Liter pro Kubikmeter Material umgelagert, was wesentlich weniger ist als bei Parzelle II der Phase 1, in der sich ältere Fundstücke in beträchtlichem Ausmass nachweisen lassen

(Kap. 5.5.1.). Die Seltenheit von verbrannten Scherben (1%), die aus dem Brandschutt der Holzbauperiode II stammen könnten, und das Fehlen von Passscherben weisen ebenfalls auf einen relativ geringen Vermischungsgrad hin.

Die Funde, anhand derer die Phase 2 zu beurteilen ist, stammen aus den Siedlungsschichten (Nr. 786–812.841–876) und aus dem Bauhorizont der folgenden Phase 3 (Nr. 947–953.998–1032) auf den Parzellen I und II. Von Parzelle III sind keine unvermischten Fundkomplexe vorhanden.

Wie erwähnt (Kap. 3.5.2.), kamen in der Benützungsschicht von Raum J vermutlich 54 Münzen zum Vorschein. Die mangelnde Sorgfalt beim Graben aber führte dazu, dass nur von acht Stücken die Zuweisung zu Phase 2 gesichert ist³⁶⁰. Zu diesen gesellen sich drei weitere Münzen: ein Dupondius des Augustus (Nr. 18), ein As des Tiberius (Nr. 61) sowie als jüngste Münze ein As des Claudius (Nr. 110). Unter den Münzen mit nicht ganz gesichertem Fundort finden sich zwei Sesterze des Nero (Nr. 117.118) und ein Sesterz sowie zwei Asse des Vespasian (Nr. 123.124.128), die für einen terminus post von 77/78 für die Phase 2 sprechen.

Dem Stück Nr. 876 ähnliche Riemenbeschläge fanden sich in Aislingen (Ulbert 1959, Taf. 18,9).

Im Keramikensemble (Abb. 171³⁶¹) beträgt das für die Datierung wichtige Verhältnis von Sigillata zu Imitation 86%:14% (Tab. 27). Es hat sich, der allgemeinen Tendenz folgend, in Richtung zugunsten der Sigillata verschoben. Mit einem Anteil von 11% hat die Glanztonkeramik – mit römischer und mit keltischer Form – stark zugenommen. Werden die drei Feinkeramiksorten einander gegenübergestellt, ergeben sich folgende Werte: 66% Sigillata, 11% TS-Imitation, 24% Glanztonkeramik. Da die Unterschiede zwischen Siedlungsschichten und Bauhorizonte bei Phase 2 sozusagen übers Kreuz auftreten, dürfen sie nicht chronologisch erklärt werden³⁶². Nahezu gleiche Verhältnisse weist Periode C von Oberwinterthur-Kirchhügel auf: 84% Sigillata zu 16% TS-Imitation bzw. 66% Sigillata, 12% TS-Imitation, 22% Glanztonkeramik (Rychener 1984 nach Katalog).

Die Sigillata, wiederum die häufigste Gattung, setzt sich wie in Phase 1 zur Hauptsache aus südgalischen Produkten zusammen. Die späte dunkle Sorte hat auf Kosten der mittleren Materialgruppe zugenommen (Tab. 2). Zwei Exemplare – Drag. 18 Nr. 793, Drag. 37 Nr. 1004 – stammen aus Mittelgalien. Die südgalischen Typen sind die

360 Augustus: 1 As (Nr. 39); Tiberius: 5 Asse (Nr. 52.59.60.81.82); Caligula: 2 Asse (Nr. 87.97).

361 Import (Nr. 785–797.841.846–853.947.948.998–1007); Imitation (Nr. 798.799.1008.1009); römische Tradition (Feinkeramik: Nr. 800–802.842.854–858.864.950.951.1011–1018; Grobkeramik: Nr. 1022); keltische Form/römische Technik (Nr. 861.895.896. 949.1010); keltische Tradition (Feinkeramik Nr. 803–807.862.863.865.866–869.952. 1019–1021); Grobkeramik Nr. 808.843.844.870.871.953.1023.1024). Schraffierter Teil: TS bzw. TS-Imitation bzw. Glanztonkeramik; an-

schliessende Reihenfolge bei den drei letzten Gruppen: erster Teil: Feinkeramik; zweiter Teil: Grobkeramik.

362 Die Siedlungsschichten von Parzelle II sowie der Bauhorizont der Phase 3 von Parzelle I weisen fortschrittlichere Werte auf (RS: je 7 TS/0 TS-Imitation/6 bzw. 3 Glanztonkeramik) als der Bauhorizont von Parzelle I und die Siedlungsschichten auf Parzelle II (10 bzw. 7 TS/je 2 TS-Imitation/0 Glanztonkeramik). Die Unterschiede sind wohl auf die verhältnismässig kleinen Zahlen zurückzuführen.

von den Holzbauperioden bekannten der Gruppe B – Hofheim 8 (Nr. 789.847.999), Hofheim 9 (Nr. 790), Drag. 24 (Nr. 787.998), Drag. 17 (Nr. 848), Drag. 15 (Nr. 791.841), Hofheim 12 (Nr. 795), Drag. 29 (Nr. 850.1003) – und der Gruppe C – Drag. 27 (Nr. 788.946), Drag. 18 (Nr. 793.794.849.1000.1001), Drag. 16 (Nr. 797). Der Teller Drag. 18 ist der häufigste Typ. Das südgallische Schälchen Haltern 11 Nr. 786 ist wohl aus einer älteren Schicht verlagert. Es stammt von Parzelle I und könnte die dort aufgrund des Befundes vermutete Vermischung bestätigen. In Oberstimm-Periode 2 (Schönberger 1978, nach Katalog) und in Rottweil-Kastell III (Planck 1975, Tab.11) ist Drag. 18 ebenfalls die häufigste Form. Die Typen der Gruppe D, Drag. 37 (Nr. 947.948.1004) und Drag. 36 (Nr. 1002), treten vermehrt auf (12%), sind aber noch nicht als dominant zu bezeichnen.

Die Schälchen Drag. 27 (Nr. 788.846) weisen die zweite Randform mit recht flauer Lippe auf, die für die Steinbauperioden typisch ist (Kap. 4.2.1.). Die Schüsseln Drag. 29 Nr. 850 und 1003 geben mit dem stark nach aussen geknickten Riefelrand die jüngere Form wieder, wie sie in Phase I erstmals auftritt. Eine im Dekor ähnliche Schüssel stammt aus der Grabeneinfüllung von Rottweil-Kastell III (Planck 1975, Taf. 4,1). Mit Lippenhöhen von durchschnittlich 2,5% des Randedurchmessers entsprechen die Schüsseln Drag. 37 jenen der Phase I (Tab. 5). Ware der Töpfer Sabinus (Nr. 847) und Iucundus (Nr. 1005) ist aus Oberstimm bekannt (Schönberger 1978, C760.C779). In Rottweil gilt Iucundus als einer der Haupttöpfer flavischer Zeit (Planck 1975, 159).

Die Fischsaucenamphore Pélichet 46 (Nr. 851) wird hauptsächlich in flavische Zeit bis ins frühe 2. Jh. datiert (Peacock/Williams 1986, 122f.). Gute Parallelen finden sich im Amphorendepot von Lyon (Dangréaux/Desbat 1987/88, Abb. 16). Auch die Fischsaucenamphore Dressel 9 similis (Nr. 852) ist in diesem Depot in ähnlicher Form vertreten (a.a.O. Abb. 18,11). Sie wird ins 2. bis 4. Viertel des 1. Jh. datiert (Paunier 1981, 236), doch ist sie in Hesselbach noch belegt (Baatz 1973, Taf. 20,S10). Die Ölamphore Dressel 20 Nr. 853 unterscheidet sich mit dem nach aussen gezogenen Rand stark von jenen der Steinbauperiode I.1 (Abb. 76). Sie weist die für flavische Zeit typische Randform auf (Martin-Kilcher 1987, Profilgruppe D; z. B. Nr. 452.468), obwohl die abgerundete statt spitze Lippe noch an die claudisch-neronische Profilform erinnert (a.a.O. Profilgruppe C; z. B. Nr. 313).

Das graue hartgebrannte Schälchen Nr. 797 entspricht einem Stück aus der Holzbauperiode II (Nr. 425) und in der Ware einem Becher (Nr. 1) aus der Benützungsschicht vor der ersten Überbauung. Alle sind Produkte aus Oberitalien (Kap. 4.2.3.). Das Stück fand sich auf der wohl von Vermischung betroffenen Parzelle I, so dass nicht auszuschliessen ist, dass es ursprünglich aus einer älteren Schicht stammt. Das Firnischälchen Nr. 1006 gleicht je-

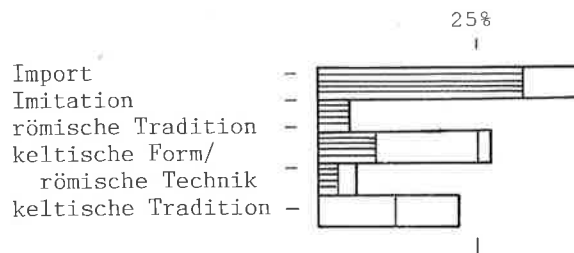


Abb. 171. Keramikensemble der Steinbauperiode I.2. S. auch Tab. 20.

nen der Holzbauperiode II (z. B. Nr. 342) und der Steinbauperiode I.1 (z. B. Nr. 900). Möglicherweise lag es ebenfalls ursprünglich in einer älteren Schicht, denn der Typ gilt als Leitform claudisch-neronischer Zeit (Ulbert 1959, 49ff.). Andererseits kommt ein ähnliches Schälchen noch in Oberstimm-Periode 2 vor (Schönberger 1978, D59). Dem Firnisbecher Nr. 796 ähnliche Stücke treten erstmals in der Steinbauperiode I.1 (z. B. Nr. 819) auf. Auch sie haben Parallelen in Oberstimm (a.a.O. D64–D72).

Die pompejanisch-rote Platte Nr. 1007 ist wesentlich kleiner und feiner als jene der Holzbauperiode II (Abb. 74) und jene aus dem Praetorium von Vindonissa (Meyer-Freuler 1989, Taf. 23,366).

Bei der TS-Imitation tritt ein neuer Typ (Nr. 1009) auf, der mit dem geriefelten Rand die Sigillataschüssel Drag. 29, der Form nach aber eher die Schüssel Drag. 30 nachahmt und mit dem nur aussen angebrachten Überzug an die Schüssel Drack 21 erinnert. In Oberwinterthur-Römerstrasse 186 fand sich in Phase C1 ein allerdings in schwarzer Technik gehaltenes Vergleichsstück (Rychener/Albertin 1986, Nr. 447). Ein ähnliches, ebenfalls schwarzes Stück kam im Westteil des Schutthügels von Vindonissa zum Vorschein (Ettliger/Simonett 1952, Nr. 282).

Ähnliche Glanztonteller wie Nr. 854–856 treten in Periode C von Oberwinterthur-Kirchhügel (Rychener 1984, Nr. 520–522) und Periode IB von Biberist-Spitalhof (Schucany 1986a, Abb. 24,16.17) auf. Zu den Schüsseln mit Horizontalrand Nr. 857 und 951 finden sich Parallelen in den Perioden B und vor allem C von Oberwinterthur-Kirchhügel (Rychener 1984, Nr. 219.220.573.597). Die Schale Nr. 950 erinnert an ein Stück aus Periode I/II von Tschugg (von Kaenel/Pfanner 1980, Nr. 76). Auch in Hofheim fand sich ein Exemplar, das allerdings als Deckel angesehen wird (Ritterling 1912, 273; Taf. 33,45). Die Schüssel mit Wandleiste Nr. 858 gleicht einem Stück aus Periode C von Oberwinterthur-Kirchhügel (Rychener 1984, Nr. 295). Der etwas plumpe Glanztonbecher Nr. 861 erinnert an Beispiele aus Periode I/II von Tschugg (von Kaenel/Pfanner 1980, Nr. 184). Der Glanztonbecher mit Karniesrand Nr. 949 hat eine Parallele in Periode C von Oberwinterthur-Kirchhügel (Rychener 1984, Nr. 492).

Der Krug mit leicht unterschrittenem glattem Kragensrand Nr. 1014 gleicht dem Exemplar aus dem Grab vor der

ersten Überbauung (Nr. 7). Er ist überdies in Holzbauperiode I (Nr. 251.320.321) und Holzbauperiode II (Nr. 367.531) gut vertreten (Abb. 95). Dieser Typ kommt aber noch in Komplexen des 2. Jh. vor, wie ein Beispiel von Hesselbach (Baatz 1973, Taf. 16, E1f) zeigt. Auch Krüge mit geradem Rand und Wulstlippe vergleichbar Nr. 1016 fanden sich in der Holzbauperiode I (Nr. 89.254) und der Steinbauperiode I.1 (Nr. 712.825). Die Form ist in Hesselbach ebenfalls belegt (Baatz 1973, Taf. 16, E9). Krüge mit hohem gerilltem Kragenrand (Nr. 800) und solche mit glattem oder gerilltem Schrägrand (Nr. 842.1015) treten hingegen neu auf. Der gerillte Kragenrand besitzt Parallelen in Aislingen (Ulbert 1959, Taf. 8, 11) und Rottweil-Kastell III (Planck 1975, Taf. 43.4.5.8). Ein Krug mit einfachem Schrägrand kam in Oberstimm-Periode 2 zum Vorschein (Schönberger 1978, D487). Die Variante mit gerilltem Schrägrand fanden sich in Rottweil-Kastell III (Planck 1975, Taf. 32, 7) und Hesselbach (Baatz 1973, Taf. 16, E5a). In Hofheim ist er noch selten (Ritterling 1912, 281; Abb. 64, 10). Zu den Schüsseln mit Horizontalrand ohne Überzug Nr. 801 bzw. mit Goldglimmerüberzug Nr. 1011 finden sich Parallelen in Rottweil-Kastell III (Planck 1975, Taf. 15, 7; Taf. 23, 10), Periode C von Oberwinterthur-Kirchhügel (Rychener 1984, Nr. 387), Tschugg-Periode I/II (von Kaenel/Pfanner 1980, Nr. 181.186) und Vindonissa-Schutthügel West (Ettlinger/Simonett 1952, Nr. 174a). Zwei der Reibschüsseln mit Kragenrand (Nr. 864.1012.1013) weisen an der Innenseite einen Randwulst auf (Nr. 864.1012), wie er erstmals im Brandschutt der Holzbauperiode II auftritt (Nr. 544). In Rottweil-Kastell III (Planck 1975, Taf. 17, 6.10; Taf. 28, 2–4), Oberstimm-Periode 2 (Schönberger 1978, D387.394.407.419) und Periode C von Oberwinterthur-Kirchhügel (Rychener 1984, Abb. 64) ist bei den Reibschüsseln mehrheitlich dieser Wulst zu verzeichnen.

Wie bei Phase 1 der Steinbauperiode I lässt sich bei Phase 2 mindestens typologisch die Vermischung nachweisen, die bereits anhand des Befunds in Parzelle I zu vermuten ist. Neben den erwähnten Stücken könnte ein feiner schwarzer Becher mit gekehltem Rand (Nr. 803) ursprünglich aus einer älteren Schicht stammen³⁶³. Alle Schichten weisen gleichermassen Elemente auf, die sie mit den vorangegangenen Phasen verbinden. Phase 2 folgte wohl unmittelbar auf Phase 1, was schon der Befund nahelegt (Kap. 3.5.2.). Im ganzen gesehen unterscheidet sich das Ensemble jedoch deutlich von jenem der Phase 1. Neben den neuen, jetzt stärker vertretenen Sigillatotypen sind es vor allem die Glanzton- und die Mehrheit der oran-

gen Keramik, die beste Parallelen in Komplexen des späteren 1. Jh. finden. Die Münzen ergeben einen mutmasslichen terminus post von 77/78. Der Fundanfall deutet auf eine Dauer von 15–20 Jahren hin (Abb. 164), was ein Ende um 100/105 ergäbe. Dem widersprechen die Funde nicht.

5.5.3. Phase 3 (SP I.3)

Aufgrund des Befundes ist bei Phase 3 im Gegensatz zu den vorangegangenen Phasen der Steinbauperiode I keine Vermischung mit Material von älteren Schichten zu erwarten.

Die Funde, die die Beurteilung der Phase 3 erlauben, stammen aus den Siedlungsschichten (Nr. 954–997.1033–1045) und aus dem Bauhorizont der folgenden Phase 4 (Nr. 1052–1055.1114–1167.1395–1407).

Die jüngste der elf Münzen ist der As des Vespasian, der einen terminus post von 72/73 ergibt³⁶⁴.

Die Fibel Nr. 1407 aus dem Bauhorizont der nachfolgenden Phase 4 ist so schlecht erhalten, dass sie nicht mehr zu bestimmen ist. Das Blechfragment Nr. 1049 könnte von einer Langton-Down-Fibel stammen, denn im Camulodunum fand sich ebenfalls ein Stück, auf dessen Fussende die Rillen nicht mehr erhalten sind (Hawkes/Hull 1947, Taf. 94, 91). In Augst kommt dieser Typ fast ausschliesslich in Fundkomplexen der 1. Hälfte des 1. Jh. vor (Riha 1979, 98). Nur als Fragment erhalten, könnte das Badener Stück schon eine Weile nicht mehr als Fibel zu benutzen gewesen sein. Vielleicht stammt es ursprünglich aus einer älteren Schicht und war beim Erstellen des Bodens in die Bodenunterlage gekommen. Das gleiche gilt für die durchlochte Scheibenfibel Nr. 1165 aus dem Bauhorizont der folgenden Phase, die eine gute Entsprechung in Camulodunum (Hawkes/Hull 1947, Nr. 178) hat. Augenfibern (Nr. 1167) sind in Oberstimm in beiden Perioden nachgewiesen³⁶⁵. Ein weiteres Vergleichsstück kam im Vicus von Ursprung zum Vorschein (Heiligmann 1990, Taf. 115, 7). Zur kräftig profilierten Fibel Nr. 1048 liegen Parallelen in Augst in einem Komplex des späteren 1./frühen 2. Jh. (Riha 1979, Nr. 233) und in Oberstimm-Periode 1 (Schönberger 1978, B372) vor. Eine mit unserer Nr. 1166 vergleichbare Omega-fibel ist in Augst in einem Komplex des späten 1./frühen 2. Jh. nachgewiesen (Riha 1979, Nr. 1800). Ein weiteres Vergleichsstück stammt aus Heidenheim (Heiligmann 1990, Taf. 146, 13).

Im Keramikensemble (Abb. 172³⁶⁶) hat sich das in den Holzbauperioden für die Datierung jeweils so aussage-

363 Die als Nachzügler auftretenden Typen, vermutlich aus älteren Schichten verlagerte Stücke, machen 4% des Gesamtbestandes bzw. 12% der Scherben aus Parzelle I aus.

364 Augustus: 1 Denar (Nr. 38); Tiberius: 2 Asse (Nr. 67.68); Caligula: 3 Asse (Nr. 85.96.102), 1 Dupondius (Nr. 94); Claudius 1 As (Nr. 115); Nero: 2 Asse (Nr. 119.121); Vespasian (Nr. 125).

365 Schönberger 1978, B367 (Periode 1); B368 (Periode 2).

366 Import (Nr. 954–960.970–983.1033–1036.1114–1135.1395–1400); Imitation (Nr. 984.1037–1039.1136–1138.1401); römische Tradition (Feinkeramik: Nr. 961–965.1046.1052.1143.1153.1154.1403; Grobkeramik: Nr. 1054); keltische Form/römische Technik (Nr. 985.1045.1139–1141); keltische Tradition (Feinkeramik: Nr. 966–969.986–993).

kräftige Verhältnis von Sigillata zu Imitation (86%:14%) verglichen mit Phase 2 nicht geändert (Tab. 27). Da auch in den folgenden Phasen die Werte gleich bleiben, ist zu vermuten, dass das Verhältnis nun chronologisch nicht mehr relevant ist. Die Sigillata stellt mit fast 50%(!) die mit Abstand grösste Gruppe dar (Tab. 20). Der Anteil an Glanztonkeramik mit römischer und keltischer Form ist mit nur 2% wider Erwarten beträchtlich zurückgegangen. Allerdings mag das Randscherbenspektrum nicht genügend repräsentativ sein, denn Glanztonbecher etwa, als Randscherbe nicht vertreten, sind durch Wandscherben (z.B. Nr.1142) belegt. Schwankungen im Anteil der Glanztonkeramik sind jedoch auch von anderen Ensembles des späten 1. und 2. Jh. bekannt. In den Vigierhäusern in Solothurn weisen Schichten, die sich sowohl stratigraphisch wie auch von den Funden her durchaus entsprechen, Unterschiede von 9% auf (Schucany 1990b, Abb. 1). Der Anteil an Glanztonkeramik scheint erst ab dem späten 2. Jh. stabil zu werden. In Oberwinterthur ist in den zeitlich entsprechenden Phasen die Glanztonkeramik ebenfalls unterschiedlich stark vertreten (Rychener 1988, 92 Tab. 509; Tab. 616).

In Phase 3 stammen die meisten Sigillaten wie in den vorangegangenen Phasen aus Südgallien (Tab. 2). Die frühe helle Sorte ist selten geworden und nur mit den zwei Schälchen Drag. 24 Nr.1034 und 1114 vertreten, die vielleicht ursprünglich aus einer älteren Schicht stammen. Je ein Exemplar Drag. 27 (Nr. 1036), Drag. 18 (Nr. 972) und Drag. 37 (Nr. 1400) sind mittelgallisch. Die von den vorangegangenen Phasen bekannten südgallischen Sigillatotypen sind gut vertreten: Gruppe B – Hofheim 9 (Nr. 1395), Drag. 24 (Nr. 1034.1035.1114.115), Drag. 15 (Nr. 1033.1118.1119), Drag. 29³⁶⁷, Drag. 30 (Nr. 975) – und Gruppe C – Drag. 27 (Nr. 973.1036), Drag. 16 (Nr. 970.1120), Drag. 18³⁶⁸ – sowie Gruppe D – Drag. 37³⁶⁹. Der Teller Drag. 18 ist nach der Schüssel Drag. 29 erneut die häufigste Form. Neu erscheinen die Schälchen Drag. 35 (Nr. 1116.1117), Drag. 42 (Nr. 974) und das halbkugelige Reliefschälchen Hémet 9 (Nr. 1126), alles Typen der Gruppe D. In Rottweil-Kastell III kommt der Typ Drag. 35 erst in der Einfüllung der Kastellgräben vor, während Drag. 42 noch fehlt, obwohl er im Altbestand nicht selten ist (Planck 1975, Tab. 11; 156). Letzterer fehlt auch in Oberstimm (Schönberger 1978, Taf. 57f.). Ähnliche Reliefschälchen kamen in Baden schon in früheren Grabungen zum Vorschein (Ettlinger/Simonett 1952, Taf. 33,7,8). Sie werden in neronisch-frühflavische Zeit datiert, da sie vermutlich die südgallischen Reliefschälchen claudischer

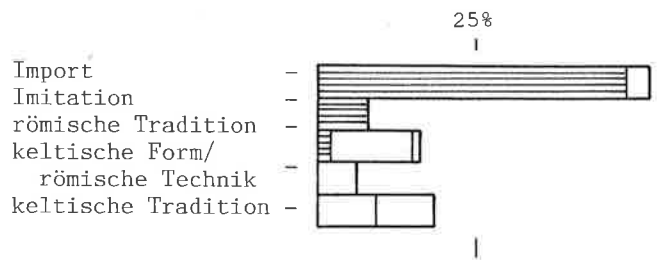


Abb. 172. Keramikensemble der Steinbauperiode 1.3. S. auch Tab. 20.

Zeit als Kleinform ablösen und ihrerseits wiederum von den Typen Knorr 78 und Déchelette 67 ersetzt werden (Ettlinger/Simonett 1952, 42f.).

Die Schüsseln Drag. 29 weisen mehrheitlich die nach aussen geknickte jüngere Form auf (Nr. 976–978.1127.1128.1399). Nur das Exemplar Nr. 957 erinnert in Form und Verzierung an die Schüsseln der Holzbauperioden (Nr. 292.495). Es stammt vom Töpfer Amandus, dessen Produktionszeit zwar entsprechend dem Vorkommen von Stempeln in Hofheim (Ritterling 1912, 236) und Camulodunum (Hawkes/Hull 1947, 196) zwischen 45–70 angenommen wird (Mary 1967, 38). Da aber die Schüssel in grossen Teilen erhalten ist, kann es sich kaum um ein aus einer älteren Schicht umgelagertes Stück handeln; es ist offensichtlich erst mehr als eine Generation nach der Herstellung in den Boden gekommen. Schüsseln mit Eierstab unter dem Riefelrand wie Nr. 981 sind aus Rheingönheim (Ulbert 1969a, Taf. 4,2) und aus Camulodunum (Hawkes/Hull 1947, Taf. 22,1) bekannt. Der Löwe (Nr. 980) und das s-förmige Motiv (Nr. 1129) finden sich, wenn auch seitenverkehrt, auf Schüsseln aus Oberstimm (Schönberger 1978, C25). Die Schüsseln Drag. 37 weisen zierliche Lippen auf, die mit einer durchschnittlichen Höhe von 1,9% des Raddurchmessers den Schüsseln der vorangegangenen Phasen entsprechen (Tab. 5).

Die Weinamphore Haltern 70 Nr. 1134 weist nach Mitteilung von St. Martin-Kilcher, Basel, ein spätes Profil auf. Auf einem bei Port-Vendres gesunkenen Schiff fand sich ein ähnliches Stück (Colls et al. 1977, Abb. 12,1). Dieser Typ ist in Vindonissa sowohl im Ost- als auch im Westteil des Schutthügels vorhanden (Ettlinger/Simonett 1952, Nr. 583). Gute Parallelen zur Fischaucenamphore Dressel 9 similis Nr. 1135 findet sich im Amphorendepot von Lyon (Dangréaux/Desbat 1987/88, Abb. 18,11), ebenso in Hesselbach (Baatz 1973, Taf. 20,S10).

Das Firnisschälchen Nr. 1132 erinnert an jene der vorangegangenen Phasen (Abb. 70), ebenso die Firmisbecher

1040.1041.1053.1144–1146.1148–1152.1404–1406; Grobkeramik: Nr. 994–997.1042.1155–1159). Schraffierter Teil: TS bzw. TS-Imitation bzw. Glanztonkeramik; anschliessende Reihenfolge bei den drei letzten Gruppen: erster Teil: Feinkeramik; zweiter Teil: Grobkeramik.

367 Nr. 957.976–981.1127.1128.1399.

368 Nr. 954.955.971.972.1121–1125.1396–1398.

369 Nr. 982.983.1129–1131.1400.

Nr. 959 und 960. Letztere treten aber erst in den Steinbauperioden auf. In Oberstimm kommen ähnliche Formen in Periode 2 vor (Schönberger 1978, D59.D64).

Die in Vindonissa relativ häufigen Firmenlampen des Phoetaspus (Nr. 1133) sind sowohl im Ost- wie auch im Westteil des Schutthügels nachgewiesen, ebenso in Pompeji und Hofheim (Loeschke 1919, 286; Leibundgut 1977, 273; 278).

Die Funde der Phase 3 weisen viele Gemeinsamkeiten mit den vorangegangenen Phasen auf, insbesondere mit den Phasen 1/2 der Steinbauperiode I. Die Mehrheit der Sigillata und das Firnissschälchen sind aber nicht als Beleg für eine Vermischung mit älteren Schichten heranzuziehen. Wie die Vergleiche mit flavisch-trajanischen Referenzkomplexen zeigen, sind sie nämlich in dieser Zeit durchaus noch präsent. Die Funde belegen vielmehr, dass Phase 3 unmittelbar auf Phase 2 folgte, was auch der Befund nahelegt (Kap. 3.5.3.). Der Fundanfall weist auf eine Dauer von knapp 10 Jahren hin (Abb. 164), was ein Enddatum um 100/115 ergäbe. Dem widersprechen die Funde in keiner Weise.

5.5.4. Phase 4 (SP I.4)

Die Phase 4 scheint aufgrund des Befundes nicht durch Vermischung mit unteren Schichten beeinträchtigt zu sein. Ein etwas anderes Bild ergeben einige Passscherben Nr. 794.851.1105 mit den unmittelbar vorangegangenen Phasen 2 und 3 (Abb. 47) und einige wenige typologisch ältere Scherben – der Teller Drack 3 Nr. 1278, die Reibschüssel mit Steilrand Nr. 1289, die schwarze Schüssel Drack 20 Nr. 1369 und die Rippenschale aus Millefioriglas Nr. 1251. Sie dürften ursprünglich aus einer älteren Schicht stammen.

Die Funde, anhand derer die Phase 4 zu beurteilen ist, stammen aus den Siedlungsschichten und dem Brandschutt (Nr. 1056–1113.1168–1394). Die Scherben aus dem Brandschutt sind überdurchschnittlich häufig verbrannt (12%), aber deutlich seltener als in Holzbauperiode II (Schucany 1983, 38). Die Funde aus dem Bauhorizont der nachfolgenden Phase 5 habe ich weggelassen, da zwischen der Zerstörung der Phase 4 und dem Bau der Phase 5 eine gewisse Zeit verstrichen sein könnte. Allerdings deutet der Befund, anders als bei der Steinbauperiode I.1 und

der Steinbauperiode II.1, eher auf einen unmittelbar erfolgten Wiederaufbau hin, wurden doch die verbrannten Aussenmauern nicht ersetzt sondern nur renoviert (Kap. 3.5.5.).

Neben sieben älteren Münzen liefert der As des Domitian Nr. 140, der sich in vermischten Schichten der Phasen 3 und 4 fand, einen terminus post von 81–96³⁷⁰.

Scharnierfibeln mit Nielloeinlagen wie Nr. 1113 kommen in Augst in Komplexen des späten 1./frühen 2. Jh. vor (Riha 1979, Nr. 1155.1158.1162). Eine unserer Nr. 1311 ähnliche Bronzeglocke ist aus Oberstimm bekannt (Schönberger 1978, B438).

Im Keramikensemble (Abb. 173³⁷¹) hat sich der Anteil an Glanztonkeramik römischer und keltischer Form im Vergleich zu Phase 3 nicht verändert (Tab. 27). Mit 2% ist er immer noch eher niedrig, vor allem im Vergleich zu Phase 2. Bemerkenswert ist, dass bei dem in dieser Zeit insgesamt nicht mehr aussagekräftigen Verhältnis von Sigillata zu Imitation das Ensemble aus Parzelle I mit 61%:39% einen stark retardierten Wert aufweist, im Gegensatz zum Ensemble aus Parzelle II mit dem erwarteten hohen Wert für die Sigillata (90%:10%). Damit steht das Verhältnis für Parzelle I etwa zwischen der claudischen Holzbauperiode I.3 (57%:43%) und der neronischen Holzbauperiode II (74%:26%)³⁷².

Die Sigillata ist knapp die häufigste Gattung (Tab. 20). Sie stammt vorwiegend aus Südgallien (Tab. 2). Die frühe helle Sorte tritt nur noch mit einem Einzelstück – Hofheim 9 Nr. 1317 – auf, das wohl wie der Teller Hofheim 1 ursprünglich aus einer älteren Schicht stammt. Die von den Holzbauperioden her bekannten Typen sind in Phase 4 noch immer gut vertreten: Gruppe B – Hofheim 9 (Nr. 1103.1317), Drag. 24 (Nr. 1059.1210), Hofheim 1 (Nr. 1313), Drag. 15 (Nr. 1061.1062.1213.1214.1253–1255.1312), Hofheim 12 (Nr. 1064.1218), Drag. 29³⁷³, Drag. 30 (Nr. 1220.1326.1327) – und Gruppe C – Drag. 27 (Nr. 1211.1212.1259.1316), Drag. 18³⁷⁴, Drag. 22 (Nr. 1217). Je ein Schälchen Drag. 24 (Nr. 1059) und Drag. 27 (Nr. 1212) stammen aus Mittelgallien. Die Typen der Gruppe D, Drag. 37 (Nr. 1066.1176.1264–1266), Drag. 36 (Nr. 1173.1175.1257.1321–1323), Drag. 35 (Nr. 1319.1320), Drag. 42 (Nr. 1060.1219.1258.1324) und das halbkugelige Relief-schälchen (Nr. 1223) haben ihren Anteil gegenüber Phase 3 erneut erhöht (Tab. 5). Einige stammen aus Mittelgallien (Nr. 1060.1175.1323). Neu treten Typen der Gruppe E auf,

370 Augustus: 1 As (Nr. 32); Tiberius: 2 Asse (Nr. 66.80); Caligula: 1 As (Nr. 103); Claudius: 1 Sesterz (Nr. 116); Nero: 1 As (Nr. 120); Titus: 1 As (Nr. 129).

371 Import (Nr. 1056.1059–1067.1103–1105.1168–1177.1210–1227.1253–1277.1312–1331); Imitation (Nr. 1068–1075.1107.1178.1179.1205.1228.1229.1278.1279.1332.1368); römische Tradition (Feinkeramik: Nr. 1057.1078–1085.1094.1108–1110.1180.1188–1191.1206.1230.1231.1235–1237.1281–1292.1294–1297.1333.1337–1354.1363.1364; Grobkeramik: Nr. 1208.1303–1305.1382.1384); keltische Form/römische Technik (Nr. 1076.1077.1181–1187.1197.1232–1234.1280.1334–1336); keltische Tradition (Feinkeramik: Nr. 1058.1086–1093.1109.1111.

1192–1196.1198–1204.1238–1246.1293.1298–1302.1355–1362.1366.1367.1369–1381; Grobkeramik: Nr. 1095–1097.1112.1207.1247.1306–1309.1383.1385–1391). Schraffierter Teil: TS bzw. TS-imitation bzw. Glanztonkeramik; anschließende Reihenfolge bei den drei letzten Gruppen: erster Teil: Feinkeramik; zweiter Teil: Grobkeramik.

372 Da der Wert sich auf eine mit 25 Scherben doch relativ kleine Basis abstützt, könnte er zufällig sein.

373 Nr. 1065.1105.1221.1222.1261–1263.1325.

374 Nr. 1104.1168–1172.1215.1216.1256.1314.1315.

das Schälchen Drag. 33 Nr. 1318 und der Becher Nr. 1260. Die häufigsten Formen sind wiederum die Schüssel Drag. 29 und der Teller Drag. 18. Der Typ Drag. 33 fehlt in Rottweil-Kastell III mit einer Ausnahme aus der jüngeren Einfüllung der Kastellgräben (Planck 1975, 154; Tab.11). In Oberstimm ist er jedoch mehrfach vertreten (Schönberger 1978, C593–601.716), ebenso in Periode 4 von Altenstadt (Schönberger/Simon 1983, CI692).

Die Schüsseln Drag. 29 weisen die jüngere geknickte Form auf³⁷⁵, mit Ausnahme des Stückes mit Eierstab unter dem Riefelrand Nr. 1263. Letzteres gleicht einer Schüssel aus Phase 3 (Nr. 981). Die übrigen Schüsseln sind mit Motiven verziert, die erst ab flavischer Zeit häufig auftreten (Heiligmann 1990, 142ff.) wie Tierfriese (Nr. 1105.1261.1262), hängende Halbbögen (Nr. 1262), mit Pfeilblättchen gefüllte Flächen (Nr. 1065.1106.1261) und radial angeordnetes Stabwerk (Nr. 1261). Das Bildfeld ist oft mit Zickzackstäben (Nr. 1261.1262) und mit einem kleinen, kranzartigen Fries (Nr. 1065.1105.1262) gegliedert. Ähnlich verzierte Schüsseln sind aus Oberstimm (Schönberger 1978, C16.C25), Rottweil-Kastell III (Planck 1975, Taf. 37,2; Taf. 53,4), aus dem Altbestand von Rottweil (Planck 1975, Taf. 93,1.3.4; Taf. 95,2; Taf. 96,5) und aus Phase C2 von Oberwinterthur-Römerstrasse 186 (Rychener/Albertin 1986, Taf. 48,548) bekannt. Das Schälchen Drag. 33 weist aussen direkt unter dem Rand einen feinen Absatz auf, die ältere Profilierung, womit es den erwähnten Beispielen aus Oberstimm entspricht. Der Stempel des Certus Nr. 1174, eines Töpfers aus Lezoux, wird in domitianisch-trajanische Zeit datiert (Oswald 1931, 75).

Die Ölamphoren Dressel 20 Nr. 1269–1271 sind alle innen mit einem deutlichen Randwulst versehen, dem, soweit erhalten, eine prägnante Kehle folgt. Die beiden mit sichelförmiger Lippe (Nr. 1269.1270) entsprechen in Augst der neronisch datierten Profilgruppe C (Martin-Kilcher 1987, Beil. 1; z. B. Nr. 299), jene mit dreieckiger Lippe (Nr. 1271) der ins spätere 1./frühe 2. Jh. datierten Profilgruppe D (a. a. O. z. B. Nr. 517). Die Fischsaucenamphore Vindonissa 586 (Nr. 1277) hat Vergleichsstücke mit ähnlich ausladendem und nicht mehr unterschrittenem Rand in Oberstimm (Schönberger 1978, D531) und im gesunkenen Schiff Port-Vendres II (Colls et al. 1977, Abb. 15,2). Die Fischsaucenamphoren Pélichet 46 (Nr. 1227.1272.1273.1330.1331), die allgemein in die 2. Hälfte des 1. Jh. datiert werden (Paunier 1981, 236), sind in Oberstimm (Schönberger 1978, D524) und im Amphorendepot von Lyon vertreten (Drangéaux/Desbat 1987/88, Abb. 16). Auch zu den Fischsaucenamphoren Dressel 10 similis (Nr. 1275.1276) finden sich in Oberstimm Parallelen (Schönberger 1978, D530.532). Die Fischsaucenamphore Dressel 9 similis Nr. 1226 erinnert an ein Stück aus Hesselbach (Batz 1973, Taf. 20, S10).

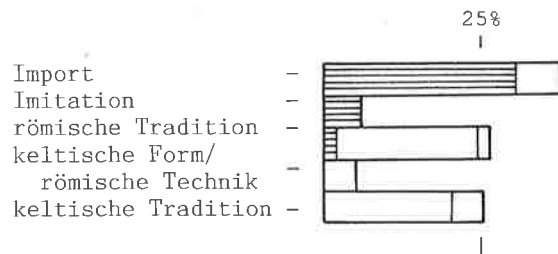


Abb. 173. Keramikensemble der Steinbauperiode I.4. S. auch Tab. 20.

Das Firnissschälchen Nr. 1268 gleicht jenen der Holzbauperioden (Abb. 70), vor allem aber dem Exemplar aus der unmittelbar vorangegangenen Steinbauperiode I.3 (z. B. Nr. 1132). Die grün glasierte Scherbe mit Fadenauf-lage Nr. 1328 dürfte von einem Becher stammen, wie er in Vindonissa im Westteil des Schutthügels vorkommt (Ettlinger/Simonett 1952, Nr. 192).

Die beiden Bildlampen Nr. 1224 und 1329 stammen aufgrund der abfallenden Schulter vom Typ Loeschcke IV (Loeschcke 1919, 225), der in Oberstimm ebenfalls mehrfach nachgewiesen ist (Schönberger 1978, D53.D54). Das kleine Henkellämpchen mit Volutenknopf Nr. 1225 wird in die 2. Hälfte des 1. Jh. datiert (Loeschcke 1919, 232f.).

Die pompejanisch-rote Platte Nr. 1177 ist grösser als jene der Phase 2 (Nr. 1007). In Vindonissa ist die Gattung noch in den Steinbauphasen der 2. Hälfte des 1. Jh. gut vertreten (Meyer-Freuler 1989, 20).

Die Glasflasche Nr. 1249 hat in Heddernheim-Periode IIA eine Parallele (Fischer 1973, Abb. 54,3). Rippenschalen sind noch in Hesselbach belegt (Batz 1973, Abb. 40,6). Tiefe Rippenschalen aus bläulichem Glas (Nr. 1099.1209.1310.1392) kommen in Oberstimm (Schönberger 1978, E5) und Heddernheim (Welker 1974, Taf. 1.2; Welker 1985, Taf. 1,2–8; Taf. 2,9–11) vor.

Das Ensemble der Phase 4 weist erneut viele Typen auf, die von den vorangegangenen Phasen bekannt sind, und überdies gute Parallelen in den zum Vergleich herangezogenen Komplexen des späten 1./früheren 2. Jh. finden. Der Anteil der späten Sigillatotypen hat beträchtlich zugenommen. Die Ähnlichkeit mit dem Ensemble der Phase 3 spricht für eine lückenlose Abfolge. Der Fundanfall deutet auf eine Dauer von rund 15 Jahren hin, was ein Enddatum von 125/130 ergäbe (Abb. 164). Dem widersprechen die Funde nicht. Wird der Wiederaufbau in Phase 5 unmittelbar anschliessend angenommen, so dass man, wie gewohnt, die Funde aus dem Bauhorizont dem Ensemble der Phase 4 zurechnen darf, verlängerte sich die Dauer um wenigstens, was ein Ende um 125/135 ergäbe (s. auch Kap. 5.5.5.). Eine solche Verlängerung lassen die Funde durchaus zu.

375 Nr. 1065.1105.1221.1222.1261.1262.1325.

5.5.5. Phase 5 (SP I.5)

Nach dem Brand der Phase 4 wurden im Gegensatz zur Steinbauperiode I.1 und zur Steinbauperiode II.1 keine neuen Mauern errichtet, sondern die verbrannten Aussenmauern der Steinbauperiode I renoviert (Kap. 3.5.5.). Daher ist auch für Phase 5 vom Befund her kaum mit einer Vermischung mit Funden aus älteren Schichten zu rechnen. Die geringe Zahl von Passscherben weist ebenfalls auf eine geringe Vermischung hin. Überdies kommen nur einige wenige Stücke früherer Ausprägung vor (3%), die aus älteren Schichten stammen dürften (s. auch unten): aus dem Bauhorizont ein Schälchen Drack 11 (Nr. 1538), zwei rote Schüsseln Drack 21 (Nr. 1460.1543), ein handgefertigter Kochtopf (Nr. 1568) und aus den Siedlungsschichten eine Schüssel Drack 19 (Nr. 1446), eine schwarze Schüssel Drack 20 (Nr. 1503) und eine Kochschüssel (Nr. 1505).

Wie bei allen Phasen, die auf einen Brand folgten, habe ich die Funde aus dem Bauhorizont (Nr. 1408–1441.1453–1484.1512–1571) nicht zur vorangegangenen Phase, sondern zur neuen geschlagen, denn zwischen Zerstörung und Wiederaufbau könnte eine gewisse Zeit verstrichen sein. Der Befund deutet bei Phase 5 allerdings eher auf einen unmittelbar erfolgten Wiederaufbau hin. Mit 10% verbrannten Scherben weisen die Schichten des Bauhorizontes einen fast ebenso hohen Wert auf wie der Brandschutt der Phase 4 (12%) und übertreffen die folgenden Schichten der Phase 5 (3%) um einiges. Wahrscheinlich enthalten sie weitgehend Funde, die während der Phase 4 abgelagert worden waren. Im weiteren dienen zur Beurteilung der Phase 5 die Funde aus den Siedlungsschichten (Nr. 1442–1452.1485–1511) und aus dem Bauhorizont der folgenden Phase 6 (Nr. 1572–1655.1672–1689).

Die jüngste der sechs Münzen ist der Dupondius des Traian, der einen terminus post von 100 ergibt³⁷⁶.

Eine der Nr. 1480 ähnliche Scharnierfibel mit Kreisauge ist in Augst mit Keramik des 2. Jh. vergesellschaftet (Riha 1979, Nr. 1005). Generell wird der Typ aber ins mittlere 1. bis frühe 2. Jh. datiert (a.a.O. 135). Ob das vorliegende nur als Fragment erhaltene Stück schon eine Weile nicht mehr als Fibel getragen werden konnte, muss offen bleiben. Melonenperlen wie Nr. 1689 kommen in Oberstimm in Periode 2 vor (Schönberger 1978, F37.F39.F50).

Im Keramikensemble (Abb. 174³⁷⁷) ist der Anteil an Glanztonkeramik römischer und keltischer Form gleich geblieben (Tab. 27). Er ist mit 2% immer noch eher gering. In dem die Siedlungsschichten und den Bauhorizont der Phase 6 umfassenden Ensemble ist er aber etwas höher (3,4%) als im Bauhorizont (0,8%). Auch bei dem an sich seit geraumer Zeit nicht mehr sehr aussagekräftigen Verhältnis von Sigillata zu Imitation weist der Bauhorizont mit 81%:19% einen «älteren» Wert für die Sigillata auf als die Siedlungsschichten (92%:8%).

Die Sigillata, erneut die häufigste Gattung, stammt immer noch zum überwiegenden Teil aus Südgalien (Tab. 2). Die frühe helle Sorte tritt nur noch vereinzelt auf – Drag. 15 (Nr. 1496), Drag. 33 (Nr. 1456.1526). Das erste Stück könnte verlagert sein, ebenso die Vertreter der Typen Hofheim 1 Nr. 1522 und Hofheim 8 Nr. 1572. Die seit den Holzbauperioden beliebten südgalischen Sigillatotypen sind immer noch sehr gut vertreten: Gruppe B – Hofheim 8, Hofheim 9 (Nr. 1516.1573.1672), Drag. 24 (Nr. 1442.1512), Hofheim 1, Drag. 15 (Nr. 1496.1518–1521.1586.1653), Hofheim 12, Drag. 29³⁷⁸, Drag. 30 (Nr. 1532.1594.1595.1603) – und Gruppe C – Drag. 27³⁷⁹, Drag. 23 (Nr. 1574.1673) und Drag. 18³⁸⁰. Die Typen der Gruppe D, Drag. 37³⁸¹, Drag. 35 (Nr. 1429.1430.1579–1581.1674–1676) und Drag. 36 (Nr. 1582.1583), halten ihren Anteil (Tab. 3). Bemerkenswert ist, dass sie im Bauhorizont seltener sind (20%) als in den Siedlungsschichten und im abschliessenden Bauhorizont der Phase 6 (29%). Zwei der Schüsseln Drag. 37 (Nr. 1432.1600) stammen aus Ostgalien. Zugenommen hat in allen Schichten der Anteil der Typengruppe E: Schälchen Drag. 33 (Nr. 1456.1486.1487.1526.1584.1585.1677). Als neuer Typ erscheint ein weiterer Becher (Nr. 1517). Ein ähnliches Stück fand sich in Munningen in einem Fundament, das mit grosser Wahrscheinlichkeit die Brandschicht von 170 schneidet (Baatz 1976, 32; Taf. 30,20). Die häufigsten Typen sind die Teller Drag. 18, die Schüssel Drag. 29 und das Schälchen Drag. 35.

Sämtliche Schüsseln Drag. 29 weisen die jüngere nach aussen geknickte Form auf. Bei den ostgalischen Schüsseln Drag. 37 (Nr. 1432, evtl. Nr. 1600) ist die unverzierte Randzone höher als bisher (Tab. 5). Sie misst 23% des Randdurchmessers. In Hesselbach beträgt die Randhöhe 16% (Baatz 1973, Taf. 14, T12). In Holzhausen weisen zwei

376 Republik: 1 Denar (Nr. 5); Tiberius: 1 As (Nr. 69); Domitian: 2 Denare (Nr. 130.132); Traian: 1 Dupondius (Nr. 144); unbestimmbar: 1 halbiert (Nr. 160).

377 Import (Nr. 1408–1412.1428–1432.1442–1445.1453–1457.1481.1482.1485–1487.1496–1498.1511–1536.1572–1605.1653.1672–1679); Imitation (Nr. 1413.1446.1458.1459.1537–1542.1606–1610); römische Tradition (Feinkeramik: Nr. 1414–1421.1424.1433.1436–1438.1448.1452.1462–1466.1476.1488.1489.1499.1500.1506.1548–1551.1611.1612.1621–1633.1637.1681–1683; Grobkeramik: Nr. 1505.1645); keltische Form/römische Technik (Nr. 1414.1415.1434.1435.1447.1460.1461.1543–1547.1613–1620.1680); keltische Tradition (Feinkeramik: Nr. 1422.1423.1449–1451.1467–1475.1483.1490–1492.1501–1503.1507.1508.1552–1565.1634–1636.1638.1644.1654.1655.1684–1686; Grobkeramik: 1425–1427.1439–1441.1477.1478.1484.1493–1495.1504.1509.

1566–1570.1646–1651.1687.1688). Schraffierter Teil: TS bzw. TS-Imitation bzw. Glanztonkeramik; anschliessende Reihenfolge bei den drei letzten Gruppen: erster Teil: Feinkeramik; zweiter Teil: Grobkeramik.

378 Nr. 1511.1527–1530.1596–1598.1601.1602.

379 Nr. 1408.1443.1455.1481.1513–1515.1575–1578.

380 Nr. 1409.1428.1444.1485.1497.1523–1525.1587–1593.

381 Nr. 1431.1432.1453.1454.1498.1599.1600.1678.

382 Leider kann bei den wenigsten Publikationen die Randhöhe der Drag. 37 mit dem Randdurchmesser in Beziehung gebracht werden, da letzterer meistens weder aus den Abbildungen zu ermitteln ist noch im Katalogtext erwähnt wird. So etwa muss offen bleiben, ob der für Hesselbach errechnete Wert typisch ist.

Drittel der Schüsseln Drag. 37 eine geringere Randhöhe auf und nur ein Fünftel entsprechen mit 24–25% unserem Stück (Pferdehirt 1976, 33; A1.A64.A68.A182)³⁸². Die Schälchen Drag. 33 weisen mehrheitlich die frühe Profilierung mit Absatz oder Rille auf. Nur bei einem Stück (Nr.1585) ist der Rand aussen glatt, was vermuten lässt, dass sich die Rille weiter unten, in der Mitte der Wandung befand. In Oberstimm fehlt diese Ausformung noch (Schönberger 1978, Taf. 57), während sie in Hesselbach die geläufige Variante ist (Batz 1973, Taf. 14,T4a/b). Die tiefliegende Rille kommt in Oberwinterthur in Periode C des Kirchhügels (Rychener 1984, Nr. 409.508) und in Phase C2 der Römerstrasse 186 (Rychener/Albertin 1986, Nr. 555) vor. Der Töpfer Secundus (Nr.1482) ist u. a. in Oberstimm nachgewiesen. Ein Exemplar fand sich in Periode 1 (Schönberger 1978, C783), ein zweites in den oberen Schichten (a.a.O. C784), so dass nicht auszuschliessen ist, dass es ursprünglich aus Periode 2 stammt.

Ein Exemplar (Nr.1536) der Ölamphoren Dressel 20 weist eine halbrunde Lippe auf, wie sie, wenn auch weniger dick, in der Holzbauperiode I.3 vorkommt (Nr. 234). Diese Randform entspricht der Augster Profilgruppe B, die ins mittlere 1. Jh. datiert wird (Martin-Kilcher 1987, z.B. Nr.134). Vermutlich stammt das Stück ursprünglich aus einer älteren Schicht. Bei den übrigen ist die Lippe spitzdreieckig nach aussen gezogen (Nr.1412.1445.1679), wobei auf der Innenseite die Profilierung sehr unterschiedlich ausgestaltet ist. Parallelen in Augst bilden die ins spätere 1./frühe 2. Jh. datierte Profilgruppe D, die dort jedoch noch in Komplexen belegt ist, die bis über die Mitte des 2. Jh. zu datieren sind (Martin-Kilcher 1987, z.B. Nr. 452.467.517). Die Weinamphore Gauloise 4 (Nr.1535) hat einen keulenförmig verdickten Rand, wie er etwa in Trier in einem Grab des mittleren 2. Jh. (Cüppers 1973, Abb. 39,10a), in Hesselbach (Batz 1973, Taf. 20,S12) oder in Altenstadt (Schönberger 1983, Taf. 60,CIX 136) vorkommt.

Beim glasierten Becherfragment mit zweifarbiger Fadenaufgabe Nr.1411 dürfte es sich um den gleichen Typ handeln, wie er sich schon in Phase 4 fand (Nr.1328), und wie er vom Westteil des Schutthügels von Vindonissa her bekannt ist (Ettliger/Simonett 1952, 31; Nr.192). Beim begriessenen Bodenfragment Nr.1534 dürfte es sich um einen ähnlichen Becher handeln.

Die Bildlampen Nr.1457, 1533 und 1604 weisen alle eine abfallende Schulter auf, die für den Typ mit runder Schnauze charakteristisch ist (Loeschke 1919, 225). Ähnliche Lampen fanden sich in Oberstimm (Schönberger 1978, D53.D54).

Aus dem Bauhorizont der Phase 6 stammt ein schwarzer Hochhalsbecher Niederbieber 33 (Nr.1643). Dieser Typ fehlt in Hesselbach (Batz 1973, Taf.15), Ursprung und Heidenheim (Heiligmann 1990, Taf.112–113.127–131). Er gilt als eine der Leitformen des sog. Niederbieber-Horizon-

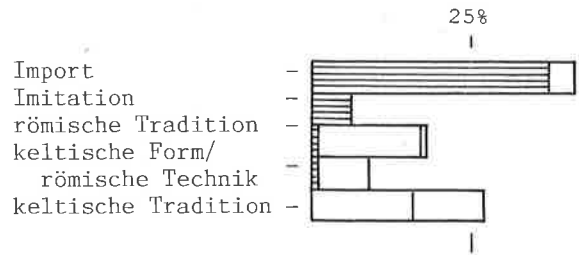


Abb.174. Keramikensemble der Steinbauperiode I.5. S. auch Tab. 20.

tes (Roth-Rubi 1986, 30). In Oberwinterthur-Kirchhügel kommt er in Periode D vor (Rychener 1984, Nr. 622). In Nyon fand sich eine vergleichbare Form in Phase 3B (Morel/Amstad 1990, 106f.). Im Gräberfeld von Weil ist er Beigabe in einigen der jüngsten Gräber (Asskamp 1989, Tab. 14).

Das Ensemble der Phase 5 weist viele Ähnlichkeiten mit den vorangegangenen Komplexen auf, insbesondere mit jenem der Phase 4. Dies trifft nicht nur für die Funde aus dem Bauhorizont zu, die z.T. eine etwas ältere Tendenz aufweisen als jene der Siedlungsschichten und des Bauhorizontes der nachfolgenden Phase. Der Wiederaufbau dürfte kurz nach dem Brand erfolgt sein. Andererseits stammt aus den Schichten, die man beim Wiederaufbau der Häuser eingebracht hatte, eine ostgallische Schüssel Drag. 37 mit hohem Rand (Nr.1432), die wie der Becher Niederbieber 33 von der Nähe des Niederbieber-Horizontes des späten 2./früheren 3. Jh. zeugt. Die Schüssel könnte zwar beim Eintiefen der Amphoren der Phase 6 (Westprofil A0 [704–708]; Beil.1) nachträglich in den Splitterboden (648) der Phase 5 gedrückt worden sein. Sie wäre jedoch auch in diesem Fall zu Phase 5 zu zählen. Der Becher stammt aus der Bodenunterlage (Westprofil A0 [711]; Beil.1), die nicht mehr überall vom Splitterboden (712) der Phase 6 bedeckt war, so dass nicht auszuschliessen ist, dass er erst nachträglich in die Schicht hineingedrückt wurde. Der Fundanfall deutet auf eine Dauer von rund 25 Jahren hin (Abb.164), was ein Ende um 150/155 ergäbe. Mit Ausnahme der erwähnten Schüssel wäre aufgrund der Sigillata auch eine kürzere Spanne in Betracht zu ziehen. Mit der späten Schüssel und dem Hochhalsbecher jedoch kommt man mit der Datierung mindestens in diese Zeit, ja man ginge sogar gerne ein wenig mehr in die zweite Jahrhunderthälfte hinein. Die aufgrund des Fundanfalls errechnete Dauer verlängert sich etwas, wenn man die Objekte aus dem Bauhorizont der vorangegangenen Phase 4 hinzurechnet. Da die Steinbauperiode I.5 offenbar unmittelbar auf die Steinbauperiode I.4 folgte, muss mit keinem Eindringen von Funden gerechnet werden, die erst nach dem Brand geläufig wurden. Somit könnten die beiden Abschnitte wie jene behandelt werden, die nicht durch einen Brand getrennt waren. Nach dieser Rechnung dauerte Phase 4 15–20 Jahre (110/115–125/135) und Phase 5 rund 30 Jahre (125/135–155/165).

5.5.6. Phase 6 (SP I.6)

Die Häuser baute man in Phase 6 nur wenig um, so dass vom Befund her nicht mit einer Vermischung mit älteren Schichten zu rechnen ist. Allerdings weist die Phase ziemlich viele Passscherben auf (Abb. 47). Am stärksten ist sie mit der vorangegangenen Phase 5 verbunden. Das Gefäß Nr. 829, das in zwei weit voneinander entfernt gefundene Fragmente zerbrochen war, könnte ein Hinweis sein, dass Bodenunterlagen und Böden Material mitunter aus sehr viel früher abgelagerten Schichten, etwa Abfallhaufen, enthalten.

Die Funde, die zur Beurteilung der Phase 6 heranzuziehen sind, stammen aus den Siedlungsschichten (Nr. 1656–1671.1690–1728). Da die Phase 6 einem weiteren Brand zum Opfer gefallen ist, werden die Objekte aus dem Bauhorizont der folgenden Steinbauperiode II.1 wie gewohnt nicht zum Ensemble gerechnet, denn zwischen Zerstörung und Wiederaufbau könnte eine gewisse Zeitspanne liegen.

Die jüngste der sieben Münzen ist der As des Trajan, der einen belanglosen terminus post ergibt³⁸³.

Das Fibelfragment Nr. 1728 ist nicht sicher zuweisbar. Es könnte sich um eine Scharnierflügelfibel handeln, die in Augst vor allem im 2. und 3. Viertel des 1. Jh. vorkommt, aber auch in Komplexen des 2. Jh. auftritt (Riha 1979, 126f.). Dass das vorliegende Stück nur als Fragment erhalten ist, könnte bedeuten, dass es schon eine Weile nicht mehr als Fibel getragen worden ist.

Das Fehlen der Glanztonkeramik römischer und keltischer Form liegt wohl an der Kleinheit (50 RS) des Keramikensembles (Abb. 175³⁸⁴). Sie scheint jedoch in Baden noch immer nicht sehr häufig zu sein: In der vorangegangenen Phase 5 beträgt ihr Anteil 2%, in der folgenden Steinbauperiode II.1 7% (Tab. 27).

Die Sigillata ist erneut die mit Abstand häufigste Gattung (Tab. 20). Sie stammt noch zur Hauptsache aus Südgallien (Tab. 2). Das Spektrum der Sigillatotypen hat sich jedoch verändert (Tab. 3). Die Typengruppe B ist im Anteil stark zurückgegangen und nur noch mit einer Schüssel Drag. 29 (Nr. 1698) vertreten. Von der Typengruppe C kommen vor: Drag. 27 (Nr. 1690), Drag. 23 (Nr. 1694), und Drag. 18 (Nr. 1656.1661.1662.1693). Die Typengruppe D hingegen hat massiv zugelegt: Drag. 37 (Nr. 1667.1699–1702.1716.1717) Drag. 35 (Nr. 1668.1695.1696), Drag. 36

(Nr. 1715) und Drag. 46 (Nr. 1663). Die Gruppe E ist nur mit einem Exemplar – Drag. 33 (Nr. 1697) – vertreten, was wohl an der Kleinheit des Ensembles liegt. Die Schüssel Drag. 37 ist nun die mit Abstand häufigste Form. Erstmals übertrifft sie mit 7:2 (78%:22%) die in den vorangegangenen Phasen dominierende ältere Reliefschüssel Drag. 29. In Oberwinterthur sind folgende Werte im Verhältnis Drag. 29 zu Drag. 37 nachgewiesen: Kirchhügel (Rychener 1984, 54) Periode C: 25%:75% (33:96), Periode D: 10%:90% (4:36); Römerstrasse 186 (Rychener/Albertin 1986, Tab. 16.1) Phase C2: 30%:70% (6:14), Phase D 14%:86% (1:6); Püntenstrasse (Rychener 1988, Tab. 514.1) Phase Z: 14%:86% (2:12), Phase P: 8%:92% (4:46). Das Badener Verhältnis entspricht etwa der Fundortgruppe C nach B. Pferdehirt (1986, Tab. 3) mit Häsenbühl, Burladingen und Eining³⁸⁵.

Das Schälchen der Campana-Imitation Nr. 1710 erinnert an jene, die sich in den Schichten des frühen 1. Jh. fanden (Nr. 9.78). Es stammt wohl ursprünglich aus einer älteren Schicht.

Der Teller Drack 4B Nr. 1657 ist an der Lippe aussen und innen auffallend stark gegliedert. Das Fragment einer schwarzen Schüssel Drack 19 ist so klein, dass es nicht abgebildet ist (Inv.-Nr. B77/253.4.). Teller Drack 4 und schwarze Schüsseln Drack 19 sind in Oberwinterthur-Püntenstrasse in Phase P noch vorhanden (Rychener 1988, Tab. 514.2).

Bei den Krügen kommen Kragenränder mit Wulstlippe (Nr. 1665.1669), ein getreppter Kragenrand (Nr. 1704) und ein gerader Rand mit Wulstlippe (Nr. 1718) vor. Ähnliche Kragenränder sind aus Periode 4 des Kastells Altenstadt (Schönberger/Simon 1983, CVII29.CVII38) und aus Hesselbach (Baatz 1973, Taf. 16, Elc–f) bekannt. Krüge mit geradem Rand mit Wulstlippe sind in Oberwinterthur-Kirchhügel vor allem in den Perioden C und D vorhanden (Rychener 1984, Abb. 62). Auch in Phase P der Püntenstrasse sind sie gut vertreten (Rychener 1988, Taf. 55, 204.206). Die Schüssel mit gefalztem Horizontalrand Nr. 1706 gleicht jenen der Periode III von Tschugg (von Kaenel/Pfanner 1980, Abb. 84, 209.211). Bei den beiden orangen Töpfen Nr. 1705 und 1719 handelt es sich um sog. Honigtöpfe, wie sie ähnlich in Altenstadt vorkommen (Schönberger/Simon 1983, Taf. 39, CVII201). Sämtliche Reibschüsseln weisen innen den für die späte Form typischen Randwulst auf, der den Kragenrand überragt (Nr. 1692.

383 Tiberius: 1 As (Nr. 75); Caligula: 1 As (Nr. 86); Vespasian: 1 Dupondius (Nr. 126); Domitian: 1 Dupondius (Nr. 134), 1 As (Nr. 137); Traian: 1 As (Nr. 143); unbestimmbar: 1 halbiert (Nr. 161).

384 Import (Nr. 1656.1661–1663.1667.1668.1690.1693–1702.1715–1717); Imitation (Nr. 1657); römische Tradition (Feinkeramik: Nr. 1658.1665.1669.1692.1704–1708.1718–1720; Grobkeramik: Nr. 1712); keltische Form/römische Technik (Nr. 1664.1691.1703); keltische Tradition (Feinkeramik: Nr. 1670.1709–1711.1723.1724; Grobkeramik: Nr. 1725.1726). Schraffierter Teil: TS bzw. TS-Imitation; Reihenfolge bei den drei letzten Gruppen: erster Teil: Feinkeramik; zweiter Teil: Grobkeramik.

385 Der Vergleich mit diesen Zahlen ist allerdings schwierig, denn die jeweiligen Fundorte sind, anders als in Oberwinterthur und Baden, als ungeteilte Fundeinheiten behandelt, unabhängig, ob der Fundort lange oder nur kurz belegt war, bzw. ohne Rücksicht darauf, wie lange der Fundort parallel zur Produktionszeit von Drag. 29 bzw. Drag. 37 besiedelt war. Aus dieser Untersuchung lässt sich das wirkliche Verhältnis der beiden Schüsseln zu einer gewissen Zeit nicht ablesen; s. auch Haalebos et al. 1991, 88f.

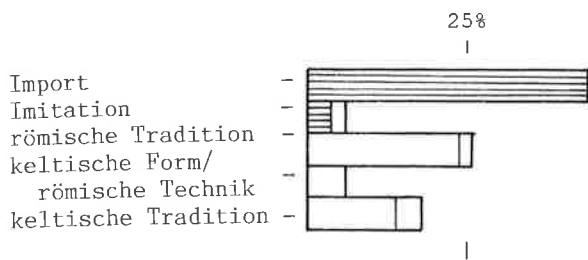


Abb. 175. Keramikensemble der Steinbauperiode I.6. S. auch Tab. 20.

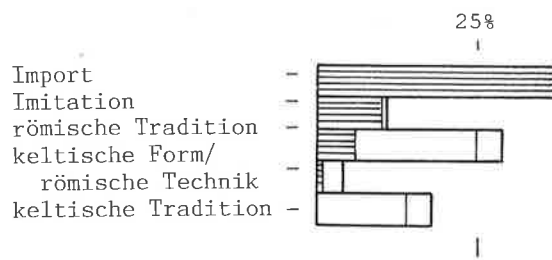


Abb. 176. Keramikensemble der Steinbauperiode II.1. S. auch Tab. 20.

1707.1720). Schon in der vorangegangenen Phase 5 haben die Reibschüsseln mehrheitlich diese Form (Nr. 1418.1438.1466.1550.1551). Ähnliche Stücke sind etwa aus Hesselbach bekannt (Batz 1973, Taf. 20, S2a. S2b).

Die Kochschüssel Nr. 1712 erinnert an Beispiele aus Hesselbach (Batz 1973, Taf. 18, R8l. R8 m).

Das Ensemble der Phase 6 ist, bedingt durch die relative Kleinheit, nicht ganz einfach zu datieren. Es weist zwar Ähnlichkeiten mit den vorangegangenen Phasen, insbesondere mit Phase 5, auf, es unterscheidet sich aber von jenen im Sigillataspektrum beträchtlich. Zu Fundkomplexen des mittleren 2. Jh. lassen sich viele gute Parallelen finden. Gegen Ensembles des Niederbieber-Horizontes hingegen lässt es sich gut absetzen. Der Fundanfall deutet auf eine kurze Zeitspanne von nur 5–10 Jahren hin (Abb. 164). Vom Enddatum der Phase 5 her gerechnet, ein Datum, das allerdings nicht so eindeutig zu fassen ist, ergäbe dies ein Enddatum für Phase 6 zwischen 160 und 175. Der relativ grosse Unterschied im Sigillataspektrum zu Phase 5 spricht zwar eher für eine längere Dauer, die Funde als Ganzes genommen lassen hingegen kaum eine Datierung ins späteste 2. Jh. zu. So gesehen erscheint das postulierte Enddatum nicht unwahrscheinlich.

5.6. Steinbauperiode II³⁸⁶

5.6.1. Phase 1 (SP II.1)

Der Brand der Steinbauperiode I.6 muss die Häuser weitgehend zerstört haben, so dass ein grundlegender Neuaufbau nötig wurde (Kap. 3.6.1.). Es kam zu einer Änderung der Parzelleneinteilung. Zwischen Zerstörung und Wiederaufbau könnte eine gewisse Zeit verstrichen sein, weshalb ich die Funde aus dem Bauhorizont (Nr. 1729–

1846) wie bei allen auf einen Brand folgenden Phasen nicht zur vorangegangenen Phase rechne, sondern zur neuerbauten. Zur Beurteilung der Phase I dienen im weiteren die Funde aus einer Benützungsschicht (Nr. 1847–1871).

Mit dem Bau der fast durchwegs bis auf den anstehenden Boden reichenden Mauern ist wie bei der Steinbauperiode I.1 erneut mit einer starken Vermischung mit Funden aus den abgelagerten Schichten zu rechnen. Mit 40 m³ auf 131 m² oder 31 Liter pro Kubikmeter wurde mehr als doppelt soviel Material umgelagert als beim Bau der Steinbauperiode I.1 (Kap. 5.5.1.). Die Passscherben belegen eine Vermischung mit den beiden unmittelbar vorangegangenen Phasen 5 und 6 der Steinbauperiode I, während Passscherben zu älteren Schichten fehlen (Abb. 47).

Die jüngste von neun Münzen, ein Dupondius des Trajan, ergibt einen terminus post von 103–111³⁸⁷. Die Münzen aus dem Bauhorizont (Nr. 109.122.133) stammen ursprünglich wohl aus einer älteren Schicht.

Das Fibelfragment Nr. 1871 könnte von einer querprofilierten Scharnierfibel stammen. Allerdings scheint sich die Fussplatte zum Ende hin zu verbreitern, was bei den Beispielen aus Augst nicht zutrifft (Riha 1979, Taf. 29.30; s. auch Ettliger 1973, Taf. 10, 15–19). Querprofilierter Scharnierfibeln werden zur Hauptsache ins späte 1./frühe 2. Jh. datiert (Riha 1979, 124). In Augst sind einige Exemplare mit Keramik des späten 2. Jh. vergesellschaftet. Dass das vorliegende Stück nur als Fragment erhalten ist, könnte heissen, dass es schon eine Weile nicht mehr als Fibel getragen wurde.

Im Keramikensemble (Abb. 176³⁸⁸) erreicht das Verhältnis von Sigillata zur im 2. Jh. seltenen Imitation mit 78%:22% einen Wert, der etwa jenem der neronischen Holzbauperiode II entspricht (Tab. 27)! Dieses Paradox wird verursacht durch einen überdurchschnittlich hohen Anteil an TS-Imitation im Bauhorizont (26%), während

386 S. auch Kap. 12.7.1.; 12.12.

387 Republik: 2 Denare (Nr. 3.6); Tiberius: 1 Denar (Nr. 50); Claudius: 1 As (Nr. 109); Vitellius: 1 Denar (Nr. 122); Domitian: 2 Asse (Nr. 133.138); Traian: 2 Dupondien (Nr. 141.142).

388 Import (Nr. 1729–1756.1830–1833.1847.1848); Imitation (Nr. 1757–1762.1792.1793.1834.1840.1846.1859.1860); römische Tradition (Feinkeramik: Nr. 1763–1770.1780–1789.1707.1835–1839.1841–1844.

1861–1865; Grobkeramik: Nr. 1813–1815.1870); keltische Form/römische Technik (Nr. 1771–1779); keltische Tradition (Feinkeramik: Nr. 1790.1791.1794–1806.1808–1812.1839.1866–1869; Grobkeramik: Nr. 1816–1822). Schraffierter Teil: TS bzw. TS-Imitation bzw. Glanztonkeramik; anschliessende Reihenfolge bei den drei letzten Gruppen: erster Teil: Feinkeramik; zweiter Teil: Grobkeramik.

die Siedlungsschichten mit einem Anteil von nur 8% im Rahmen liegen. Im Bauhorizont manifestiert sich wohl die vom Befund her erwartete Vermischung mit älteren Schichten. Der Anteil an Glanztonkeramik hat mit 7% deutlich zugelegt, erreicht aber noch keineswegs die hohen Werte, wie sie für das frühe 3. Jh. typisch sind³⁸⁹.

Auch im Spektrum der Sigillatotypen könnte sich teilweise die Vermischung mit älteren Schichten zeigen (Tab. 3), während die Materialgruppen mit einer leichten Zunahme der mittel- und ostgallischen Produkte durchaus der Tendenz entsprechen (Tab. 2). Die Typengruppe B – Drag. 15 (Nr. 1734.1847), Drag. 29 (Nr. 1747.1748.1853), Drag. 30 (Nr. 1746) – ist verglichen mit der Steinbauperiode I.6 wesentlich stärker vertreten, während die Typengruppe D – Drag. 35 (Nr. 1733.1849), Drag. 36 (Nr. 1850.1851), Drag. 37 (Nr. 1749.1750.1854–1857) – einen geringeren Anteil aufweist. Bei den Reliefschüsseln ist die ältere Form Drag. 29 anders als in Steinbauperiode I.6 (Kap. 5.5.6.) erneut häufiger als die jüngere Form Drag. 37 (8:5). Grund dafür ist der überdurchschnittlich hohe Anteil im Bauhorizont, während in der Benützungsschicht die Schüssel Drag. 37 häufiger ist (3:2). Die verbrannte Schüssel Drag. 29 Nr. 1747 aus dem Bauhorizont stammt wohl aus einer älteren Schicht (Holzbauperiode II?), ebenso das helle südgallische Schälchen Drag. 27 Nr. 1731. Der Teller Drag. 18 (Nr. 1736–1743.1830.1831) ist die häufigste Form. Als weitere Typen der Gruppe C treten das Schälchen Drag. 27 (Nr. 1729–1732) und der Teller Drag. 16 (Nr. 1735) auf. Wichtig für die Datierung ist, dass mit Drag. 31 (Nr. 1744) und Drag. 32 (Nr. 1745.1852) neu zwei Tellertypen auftreten, die typisch für das späte 2. Jh. sind (Heiligmann 1990, Tab. 15). In Hesselbach fehlt der Typ Drag. 32 und auch der Typ Drag. 31 scheint nicht vorzukommen (Baatz 1973, 86f.). In Heidenheim ist der Teller Drag. 32 hingegen mit 7% der glatten Sigillaten schon recht gut vertreten (Heiligmann 1990, Tab. 14). Zwei der Badener Stücke sind ostgallische Produkte (Nr. 1744.1745). Von den mit einiger Sicherheit zuweisbaren Töpferstempeln wird jener des Celsius (Nr. 1754) in flavische Zeit datiert (Oswald 1931, 370), jener des Ceflicio (Nr. 1753) in hadrianisch-antoninische Zeit (a.a.O. 69).

Der Firnisbecher Nr. 1756 gleicht jenen, die in den flavisch-trajanischen Phasen 1–3 der Steinbauperiode I auftreten (Nr. 772.796.819.959.960). Möglicherweise ist er aus einer älteren Schicht verlagert. Die Wandscherbe einer Bildlampe (Nr. 1833) stammt wohl ebenfalls aus einer älteren Schicht.

Die eine Campanaform imitierende Schale Nr. 1859 erinnert an die beiden Exemplare der Steinbauperiode I.1 (Nr. 771.903). Vielleicht stammt auch sie aus einer älteren

Schicht, denn die Campana-Imitationen kommen mit einer Ausnahme ausschliesslich in den Phasen des 1. Jh. vor (Kap. 4.3.1.). Die TS-Imitation ist, wie erwähnt, überdurchschnittlich stark vertreten. Beim einzigen Exemplar der frühen Gruppe – eine Platte Drack 4A (Nr. 1793) – ist der Rand nicht so steil wie bei den Stücken der Holzbauperioden (Nr. 42.205.360.361). Es stammt aus dem Bauhorizont. Der häufigste Typ ist der Teller Drack 3 (Nr. 1757–1759.1840.1860). Er kommt jedoch nur in der späten Ausformung vor, die erst ab der Steinbauperiode I.4 erscheint. Auch einer (Nr. 1846) der beiden Teller Drack 4B (Nr. 1761), verziert mit einem Riefelband, weist die späte Form auf, die erst seit der Steinbauperiode I.3 auftritt. Mit der Schüssel Drack 19 Nr. 1762, den Schälchen Imitation Hofheim 9 Nr. 1792 und Drack 13 Nr. 1834 kommen weitere Typen vor, die in den unmittelbar vorangegangenen Phasen gut vertreten oder, die an sich eher selten sind.

Glanztonschüsseln mit schrägem Horizontalrand (Nr. 1765–1767) treten seit der Steinbauperiode I.2 auf³⁹⁰. Ähnliche Schüsseln kommen auch tongrundig vor (Nr. 1784.1842.1843). Sie entsprechen jenen, die in der Region Solothurn in den Schichten des mittleren und späten 2./frühen 3. Jh. sehr häufig sind (Schucany 1990b, Nr. 39.46.60). Die flachen Schalen Nr. 1768 und 1770 erinnern an ähnliche Stücke aus den Phasen 2 und 3 der Steinbauperiode I (Nr. 950.961). Die beiden Glanztonkrüge Nr. 1763 und 1764 weisen wie der tongrundige Krug Nr. 1783 innen eine Kehle auf. Typen mit Innenkehle sind neu. Die übrigen Krüge (Nr. 1781.1782.1835.1844.1861) haben gute Parallelen in den unmittelbar vorangegangenen Phasen (Abb. 95). Einzig der Krug mit nach aussen gebogenem einfachem Kragenrand Nr. 1780 erinnert an Beispiele des 1. Jh. (z. B. Nr. 320). Er könnte ursprünglich aus einer älteren Schicht stammen. Gekehlte Krüge treten in Oberwinterthur an der Römerstrasse 186 in Phase C (Rychener/Albertin 1986, Nr. 416) und auf dem Kirchhügel in Periode D (Rychener 1984, Nr. 702.703) auf. In Hesselbach sind sie selten (Baatz 1973, 100; Taf. 16E3), ebenso in den Kastellen auf der Schwäbischen Alb. Einzig in Oberdorf fanden sich Beispiele (Heiligmann 1990, Taf. 158.3.4). Hingegen sind Exemplare vom Kastell Altenstadt bekannt – sie werden dort als späte Krugtypen bezeichnet (Schönberger/Simon 1983, CVII85.CVIII100). In Niederbieber kommen ähnliche Formen sowohl tongrundig als auch mit marmoriertem Überzug vor³⁹¹. Der Typ Niederbieber 62a ist dort wie in Holzhausen die häufigste Krugform (Oelmann 1914, 4, 58; Pferdehirt 1976, 96). In Weil ist ein Exemplar mit Innenkehle mit einem Becher Niederbieber 33 vergesellschaftet (Asskamp 1989, Taf. 27, B8). Einfache Teller mit Glanztonüberzug (Nr. 1769) oder tongrundig

389 In der Region Solothurn sind im mittleren 2. Jh. Werte von 10–20%, im späten 2./frühen 3. Jh. von 40% nachgewiesen (Schucany 1990b, Abb. 1). In Oberwinterthur-Kirchhügel Periode C steht der Anteil bei 7%, in Periode D bei 14% (Rychener 1984 nach Katalog).

390 Abb. 93. Beim Exemplar aus der HP I.1 dürfte es sich um einen sog. Fehllauf handeln.

391 Oelmann 1914, Typ 62a Abb. 37,1; Typ 66 Abb. 38; Abb. 27,19F.

(Nr.1786.1787) sind aus den unmittelbar vorangegangenen Phasen bekannt (Abb. 94.98), ebenso die Reibschüssel mit Kragenrand und Randwulst (Nr. 1864.1865).

Graue Töpfe mit Innenkehle wie Nr.1807 sind in den unmittelbar vorangegangenen Phasen häufig, fehlen aber in den Schichten des 1. und frühen 2. Jh. (Abb. 106).

Wichtig für die Datierung sind zwei Fragmente von schwarzen, hochhalsigen Faltenbechern Niederbieber 33 (Nr.1802.1808), eine Leitform des sog. Niederbieberhorizontes (s. auch Kap. 5.5.5.).

Das Ensemble der Steinbauperiode II.1 scheint aufgrund des überdurchschnittlich hohen Anteils an TS-Imitation und des erneuten Überwiegens der älteren Sigillata-Schüssel Drag. 29 gegenüber der jüngeren Form Drag. 37 mit Funden aus älteren Schichten vermischt zu sein. Nach typologischen Gesichtspunkten allerdings lässt sich mit den erwähnten Ausnahmen – es gesellt sich eine frühe Form der schwarzen Schüssel Drack 20 (Nr. 1794) hinzu – eine Vermischung kaum nachweisen. Typen in der Art, wie sie in den Holzbauperioden und den ersten Phasen der Steinbauperiode I vorkommen, fehlen weitgehend. Die Mehrzahl der Formen tritt erst in den unmittelbar vorangegangenen Phasen auf. Bei ihnen sind jene Stücke, die zur Zeit der Steinbauperiode II.1 noch produziert oder gebraucht wurden, nicht von den allfällig umgelagerten, aber nur wenig älteren Stücken zu unterscheiden. Für die Datierung ausschlaggebend sind mehrere Typen, die frühestens in der 2. Hälfte des 2. Jh. auftreten und im weitesten Sinn dem Niederbieberhorizont (185–260) zuzurechnen sind: die ostgallischen Sigillatateiler Drag. 31 und Drag. 32, der Hochhalsbecher Niederbieber 33 und die Krüge mit Innenkehle. Alle stammen aus dem Kieselfundament der westlichen Aussenwand von Haus II. Sie müssen beim Bau der Mauer ins Fundament gekommen sein. Es ist auszuschliessen, dass sie bei einer allfälligen späteren Massnahme hineingerieten, denn jede Störung wäre beim Ausgraben eindeutig zu erkennen gewesen. Der Bau von Haus II ist an den Anfang des Niederbieberhorizontes, ins späte 2. Jh., zu setzen. Der Brand der Steinbauperiode I.6 ist etwa ins 3. Viertel des 2. Jh. zu datieren (160/175). Wieweit zwischen Brand und Wiederaufbau eine zeitliche Lücke klafft, ist schwierig zu sagen. Die Ähnlichkeit des Ensembles mit den vorangegangenen und das Vorkommen der ersten Niederbiebertypen schon in der etwa zehn Jahre älteren Phase 5 der Steinbauperiode I weist auf eine eher kurzfristige Abfolge hin. Der Fundanfall entspricht einer Dauer von gut zehn Jahren (Abb. 164), was ein Enddatum um 170/185 ergäbe. Dem widersprechen die Funde nicht. Die Steinbauperiode II.1 lässt sich somit ins spätere 2. Jh. (ca. 175–185) datieren.

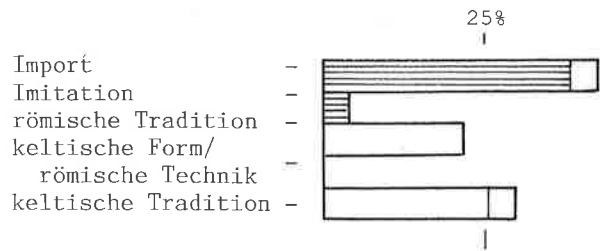


Abb.177. Keramikensemble der Steinbauperiode II.2. S. auch Tab. 20.

5.6.2. Phase 2 (SP II.2)

Von Phase 2 sind nur wenige Befunde erhalten, so dass offen bleiben muss, wieweit der Umbau in ältere Schichten eingegriffen und so eine Vermischung verursacht hatte. Lehmfachwerkbrocken (Taf. 3,4) aus dem Bauhorizont der nachfolgenden Phase, die vom Brand der Steinbauperiode I.6 stammen dürften, weisen auf eine gewisse Vermischung hin (Kap. 4.1.2.).

Die Funde, die zur Beurteilung der Phase 2 heranzuziehen sind, stammen aus einem Kiesboden (Nr.1872–1874) und aus dem Bauhorizont der folgenden Phase 3 (Nr.1875–1896).

Aus einem Abstich, der Schichten der Steinbauperiode I.6 sowie der Phasen 1 und 2 der Steinbauperiode II umfasst, stammt ein Dupondius des Commodus geprägt unter Marc Aurel (Nr. 148), der einen terminus post von 179 ergibt.

Mit nur 23 Randscherben ist das Keramikensemble (Abb. 177³⁹²) sehr klein. Es darf daher nur mit der gebotenen Vorsicht ausgewertet werden, denn die Anteile der Gattungen und Typen im Spektrum sind stark vom Zufall bestimmt: Einige Formen können übervertreten sein, andere, die zu erwarten wären, gänzlich fehlen. So vermischen wir etwa die Keramik mit keltischer Form und römischer Technik, während die Keramik in keltischer Tradition mit 30% ungewöhnlich stark vertreten ist. Das Fehlen der Glanztonkeramik aber könnte durchaus eine gewisse chronologische Relevanz haben. Das Ensemble reicht wohl kaum weit ins 3. Jh. hinein, in eine Zeit, in der mit einem hohen Anteil an Glanztonkeramik zu rechnen ist (s. Kap. 5.1.). Das Verhältnis von Sigillata zu Imitation entspricht mit 9:1 dem erwarteten Bild.

Die TS stammt mehrheitlich zwar noch aus Südgallien, doch mit 13% erreichen die mittelgallischen Produkte den bisher höchsten Wert (Tab. 2). Im Spektrum sind lediglich die beiden späteren Gruppen C und D vertreten, wobei letztere deutlich überwiegt. Der häufigste Typ ist die

392 Import (Nr.1872.1873.1875–1883); Imitation (Nr.1884); römische Tradition (Nr.1885–1888.1894); keltische Tradition (Feinkeramik: Nr.1874.1889–1893; Grobkeramik: Nr.1895). Schraffierter Teil: TS

bzw. TS-Imitation, Glanztonkeramik; Reihenfolge bei den drei letzten Gruppen: erster Teil: Feinkeramik; zweiter Teil: Grobkeramik.

Schüssel Drag. 37 (Nr. 1872.1873.1880–1882) – die ältere Schüssel Drag. 29 fehlt. Zweimal kommt der Teller Drag. 18 (Nr. 1875.1876) vor, je einmal die Schälchen Drag. 35 (Nr. 1877), Drag. 46 (Nr. 1878) und Drag. 42 (Nr. 1879).

Die Bildlampe Nr. 1883 ist wohl aus einer älteren Schicht verlagert und darf nicht für die Datierung herangezogen werden.

Die TS-Imitations-Platte Nr. 1884 erinnert in der Ausformung an Stücke, wie sie in der Holzbauperiode II vorkommen (Nr. 517.518). Möglicherweise handelt es sich um ein verlagertes Exemplar.

Der einfache Teller Nr. 1886 und die Reibschüssel Nr. 1887 sind in der Art von den vorangegangenen Phasen her gut bekannt (Abb. 98.103). Der Krug Nr. 1888 ist auf der dreieckigen Lippe gerillt. Diese Randform scheint selten zu sein, denn weder in Hesselbach (Batz 1973, Taf. 16), noch in Niederbieber (Oelmann 1914, Taf. 3; Abb. 36–42) oder Avenches (Roth-Rubi 1979, Taf. 7–9) fanden sich Parallelen.

Graue Töpfe mit Kegelhals und Trichterrand (Nr. 1894) kommen seit der Steinbauperiode I.3 vor (s. Abb. 106).

Das kleine Ensemble der Phase 2 setzt sich typologisch nicht von den vorangegangenen Phasen ab. Einzelne Stücke könnten ursprünglich aus einer älteren Schicht stammen. Der Fundanfall weist auf eine Dauer von etwa 25 Jahren hin (Abb. 164), was ein Enddatum von 210 ergäbe. Dies aber kann von den Funden her kaum bestätigt werden. Der Komplex weist nicht über das späte 2. Jh. hinaus. Möglicherweise beeinflusst die geringe Materialbasis die Errechnung des Fundanfalls ungünstig, so dass dieser Wert mit Skepsis zu betrachten ist. Phase 2 der Steinbauperiode II lässt sich mit aller gebotenen Verisicht ins späteste 2. Jh. (ca. 185–190/200) datieren.

5.6.3. Phase 3 (SP II.3)

Von Phase 3 waren nur noch geringe Reste erhalten. Sie war, wie die Holzbauperiode II sowie die Phasen 4 und 6 der Steinbauperiode I, einem Feuer zum Opfer gefallen, das allerdings, soweit die spärlichen Befunde überhaupt eine Aussage zulassen, ähnlich jenem der Steinbauperiode I.4 die Bauten nur teilweise zerstörte. Die wenigen Funde, die sich Phase 3 zuweisen lassen, stammen aus der Brandschicht (Nr. 1897–1906).

Da das Ensemble nur 8 Randscherben umfasst, darf es nicht in der Art der vorangegangenen ausgewertet werden, denn die Anteile der Keramikgattungen und Typen sind dermassen vom Zufall bestimmt, dass sie nicht aussagekräftig sind. So entsprechen die Anteile der Importkeramik (25%) und der Keramik in keltischer Tradition (38%) etwa jenen der in die 1. Hälfte des 1. Jh. datierten Holzbauperiode I (Tab. 20)! Die Gebrauchskeramik in römischer Tradition weist einen Wert auf (38%), der in keiner anderen Phase auch nur annähernd erreicht wird.

An Sigillata kamen je ein Fragment einer Schüssel Drag. 29 und Drag. 37 (Nr. 1897) zum Vorschein. Die Glanztonschüssel mit Wulstlippe Nr. 1898 imitiert wohl die Form Drag. 37. Aus sich heraus sind die Funde höchstens ganz allgemein ins 2. Jh. zu setzen. Eine Datierung weit ins 3. Jh. hinein lassen sie kaum zu. Der stratigraphischen Abfolge nach zu urteilen muss das Ensemble der Steinbauperiode II.3 ins späteste 2./früheste 3. Jh. gehören.

5.6.4. Phase 4 (SP II.4)

Wenige Befunde können noch einer vierten Phase zugewiesen werden. Da wir leider die Schichten beim Ausgraben nicht sauber trennten, fehlen Funde, die allein mit der Phase 4 zu verbinden sind, weshalb eine Beurteilung aufgrund eines Komplexes entfallen muss. Dem Befund nach zu urteilen dürfte die Steinbauperiode II.4 unmittelbar auf Phase 3 gefolgt sein (Kap. 3.6.2.), so dass eine Datierung ins frühe 3. Jh. wahrscheinlich ist.

6. Vorbemerkungen

6.1. Begriffe

Im folgenden sollen drei Begriffe definiert werden, die in der vorliegenden Arbeit immer wieder auftreten: Kultur und Tradition – zwei in der Archäologie grundlegende Begriffe – sowie Romanisierung.

6.1.1. Kultur

Kultur (lat. *cultura*) leitet sich vom Verb *colere* (pflegen) ab, das von einem indogermanischen Wort für «sich drehend bewegen» herkommt (Georges 1951). *Colere* wie *cultura* gelten in erster Linie für eine Tätigkeit in der Landwirtschaft – Bearbeitung, Pflege des Bodens – im weiteren Sinn aber auch für eine «Bearbeitung» auf geistiger und religiöser Ebene – Ausbildung, Gottesdienst. Kultur bedeutet einerseits das Tun, andererseits das Verfahren, die Art und Weise, wie eine Tätigkeit auszuüben ist.

Nach neueren kultursoziologischen (Bühl 1987) und kulturpsychologischen (Boesch 1980) Arbeiten wird Kultur heute als Handlungsfeld definiert, das Möglichkeiten, Ziele anbietet, aber auch Bedingungen, Grenzen stellt (Boesch 1980, 17; s. auch Bellebaum 1980, 60). Kultur ist ein System von übermittelten Verhaltensmustern, Regeln, die den Menschen befähigen, sich in die Umwelt einzufügen und mit der eigenen wie mit anderen menschlichen Gemeinschaften zu verkehren (Bühl 1987, 5.13), wobei unter Umwelt nicht nur das natürliche Umfeld, das Biotop, zu verstehen ist, sondern auch der von metaphysischen Bedingungen durchdrungene Kosmos (Boesch 1980, 49). Kultur gehört zur Grundbedingung des menschlichen Lebens (Plessner 1928, 30). Anders als das Tier ist der Mensch weltoffen, in seinem Verhalten genetisch nicht vollständig festgelegt (Bellebaum 1980, 25ff.; Eibl-Eibesfeldt 1984, 70ff.). Er sieht sich auch von aussen, sieht sein Leben in der Zeitlichkeit. Er muss sein Leben führen (Plessner 1928, 16f.25), ist ortlos, zeitlos, im Nichts stehend und muss sich, sein Leben in eine Ordnung einbinden (s. auch Bischof 1991, 567). Von Beginn an muss er strukturiert und programmiert werden (Bühl 1987, 62ff.). Die Beziehung des Menschen zu seiner Kultur ist jedoch stets

zwiespältig: Einerseits muss er sich einpassen, ist er von ihr geprägt, ist er Objekt, andererseits kann er sie auch verändern, handelt er als Programmierer, als Subjekt (Boesch 1980, 13; 17; Bühl 1987, 88). Wie das Beispiel der Sprache zeigt, sind Denkweise, Sehweise wie Erfahrungsweise des Menschen grundlegend von seiner Kultur geprägt³⁹³. Wie jedes menschliche Handeln ist Kultur bestimmt durch zweckrationale, wertrationale und traditionale Erwägungen (Weber 1922, 12f.): Was erfahrungsgemäss nützt, was dem Weltbild gemäss ist und was man immer schon so gemacht hat.

Kultur lässt sich als Mehrebenen-System sehen (Bühl 1987, 61). Mit der Archäologie sind jene Ebenen oder Subsysteme fassbar, die in meist unbelebter Materie Spuren hinterlassen haben. Wie jede Kultur sind auch die vergangenen nur als Verhaltenskultur, als Summe der Äusserungen zu erfassen, während sich die Inhalte nicht unabhängig davon bestimmen lassen, sondern nur daraus zu erschliessen sind (Bühl 1987, 66). Die Rekonstruktion einer Kultur ist nur vorzunehmen, indem man die Spuren entziffert und interpretiert. Von den zahlreichen Ebenen sind in der vorliegenden Arbeit zwei zur Untersuchung herausgegriffen: Bauweise und Keramik.

6.1.2. Tradition

Tradition (lat. *traditio*) leitet sich vom Verb *tradere* (übergeben) her (Georges 1951). Im Wort ist eine Bewegung enthalten: übergeben; eine Bewegung im Raum (Auslieferung), aber auch und vor allem in der Zeit (Überlieferung). Der Begriff beinhaltet die Übergabe von altüberkommenen, altbewährten Werten und Verhaltensregeln von einer Generation zur anderen. Tradition verbindet den Menschen mit seinen Ahnen, aber auch mit seinen Mitmenschen, die der gleichen Tradition angehören, zu einer Gemeinschaft, einem Volk, und grenzt ihn ab von Gemeinschaften mit anderen Traditionen (Weber 1922, 235ff.).

393 Whorf 1984, 53; zur heutigen Diskussion der Whorfschen Hypothese s. Werlen 1989, bes. 178f.203.

6.1.3. Romanisierung

Dem Wort nach heisst Romanisierung «Werden wie Rom». Ein romanisierter Mensch ist kein Römer, sondern ein Angehöriger einer anderen Kultur, eines anderen Volkes, der sich römisch gibt. Romanisierung ist die Überlagerung einer einheimischen durch die in Rom symbolisierte hellenisierte Mittelmeerkultur. Der Vorgang ist somit ein Fall von Akkulturation (Okun 1989, 13), wie die Übernahme und Verarbeitung von Werten einer stärkeren Kultur durch eine ihr unterlegenen bezeichnet wird (Wachtel 1974, 125). Grundsätzlich können bei der Übernahme von Elementen einer Kultur verschiedene Gründe mitspielen: zweckrationale, weil sie geeigneter, nützlicher sind; affektuale, weil sie vorbildlich sind (Weber 1922, 19). Eine Übernahme aus zweckrationalen Gründen muss noch nicht zu einer neuen kulturellen Identifikation, zu einer Akkulturation führen. So liessen sich die Römer im Fuhrwesen von der Technologie der Kelten beeinflussen, wie entsprechende Begriffe zeigen³⁹⁴, ohne dass von einer Keltisierung gesprochen werden kann. In jeder Kulturüberlagerung lassen sich zwei Arten von Akkulturation unterscheiden (Wachtel 1974, 128f.): eine erzwungene und eine freiwillige, ausgelöst durch das Prestige der dominierenden Kultur. Die Christianisierung, wie sie etwa in Amerika stattfand, ist ein Beispiel für eine erzwungene Akkulturation. Dies trifft jedoch für das, was in den römischen Provinzen geschah, nicht zu (s. z. B. Meyer 1942, 407; Gozzoli 1987). Militär wie Verwaltung waren lediglich an der Kontrolle des Territoriums und an der Sicherung der Steuereinkünfte interessiert. Man versuchte stets die einheimische Elite in das System einzuspannen, etwa indem man ihnen das römische Bürgerrecht mit seinen Privilegien gab für geleistete Dienste als Magistraten. Die kulturellen Werte wie Religion, die Art und Weise des täglichen Lebens wurden hingegen nicht tangiert. Jeder Akkulturationsprozess spielt sich zwischen den beiden Polen Assimilation – Übernahme von neuen Werten verbunden mit der Aufgabe der alten – und Integration – Einbinden von neuen Werten ins alte System – ab (Wachtel 1974, 130).

Wie ein solcher Prozess vonstatten gehen kann, lässt sich anhand von Peru unmittelbar nach der spanischen Eroberung zeigen (Wachtel 1974, 134ff.), wobei man beim Vergleich mit der Romanisierung der keltischen Welt zwei grundlegende Unterschiede mitzubehaltenden hat: Einerseits verlangte im religiösen Bereich der christliche Gott anders als die antiken, dass es keine anderen Götter neben ihm gebe. Andererseits war das Gefälle zwischen der römischen und der keltischen Kultur und die Unterschiede in den verschiedenen Ebenen oder Subsystemen der Kultur weit weniger gross – Römer wie Kelten sprachen

etwa eine indoeuropäische Sprache, und wirtschaftliche Kontakte waren seit langem vorhanden (Kimmig 1981; Kaenel 1987). In Lateinamerika hingegen prallten zwei auf sehr unterschiedlichem Niveau stehende Kulturen aufeinander, die noch nie miteinander irgend einen Kontakt hatten.

In der Landwirtschaft ist in Peru eine schnelle Übernahme, Integration, von Elementen, die keine Entsprechung hatten, zu beobachten, wie etwa Äpfel, Orangen bei den Früchten, Geflügel bei den Tieren, während sich das spanische Vieh nur in Gebieten, wo vorher das Lama nicht gezüchtet worden war, schnell durchsetzte. Mais und Kartoffeln, in traditioneller Weise angepflanzt, blieben die Basis der Ernährung, während man Getreide nur anbaute, um den Spaniern Tribut zu zahlen. Ähnliches lässt sich auch bei den nordamerikanischen Prärieindianern zeigen, die das Pferd, zu dem sie in ihrer bisherigen Lebensart keine Entsprechung hatten, sehr schnell übernahmen, was die Möglichkeiten der Bewegung in ihrem Lebensraum und damit ihre Kultur grundlegend veränderte. In der Bewirtschaftung des Bodens aber verzichteten sie in der Regel auf den Einsatz europäischen Werkzeugs und Praktiken und hielten in unerschütterlichem Traditionsbewusstsein an den hergebrachten Formen des Ackerbaus fest (Bitterli 1986, 52f.).

Die erzwungene Umsiedlung in rechteckig um einen Platz mit Kirche, Verwaltungsposten und Gefängnis angelegte spanische Dörfer führte in Peru zu einer Änderung der Siedlungsweise, doch ist in der Zweiteilung von Dorf und Territorium ein Nachwirken der traditionellen Weltanschauung zu erkennen. Ähnlich im religiösen Bereich: Unter einem christlichen Mantel versteckt leben trotz Zwangskristianisierung viele einheimische Traditionen bis heute weiter.

In der Gesellschaft hingegen sind zwei Tendenzen zu beobachten: Die Elite assimilierte sich weitgehend und sehr schnell. Sie übernahm die spanische Sprache ohne die einheimische aufzugeben, den Gebrauch der Schrift, die europäischen Kleider, Statussymbole wie Pferd und Gewehr sowie die Marktwirtschaft, die sie schnell reich werden liess. Ihre Macht jedoch fusste wie eh und je auf der traditionellen Basis: Sie liess gegen Kost und Kleidung für sich arbeiten, sie verwaltete die Gesellschaft und deren Güter wie zu Zeiten der Inkas. Anders die Mehrheit der Gemeinschaft, die einfachen Leute: Sie behielten Sprache wie Kleidung bei – nur der spanische Sombrero wurde übernommen – ebenso die wirtschaftliche Selbstversorgung.

Zusammenfassend lässt sich sagen, dass bei einer Akkulturation Statussymbole übernommen werden, insbesondere bisher unbekannte Elemente zu neuen Statussym-

394 Schmidt 1983, 1000: z. B. *carpentum, carrus, cisium, essedum, raeda* (Georges 1951).

bolten werden. Die Struktur der Kultur hingegen bleibt sich weitgehend gleich, oder die einheimischen Traditionen wirken mindestens sehr stark nach. Wie die Akkulturation sich auf mehreren verschiedenen Ebenen abspielt, so vollzieht sie sich auch nicht in einem Mal, gleichzeitig, sondern je nach Region und sozialer Gruppe werden die einzelnen Elemente zu unterschiedlichen Zeiten übernommen (Wachtel 1974, 143).

Fallen Zwangsmassnahmen wie die Christianisierung im Fall von Lateinamerika weg, so bleiben vor allem die Statussymbole, an denen sich die Akkulturation ablesen lässt. In unserem Fall der Romanisierung ist es Rom, die römische Kultur, die zum Vorbild genommen wird und die Statussymbole abgibt. Lässt sich dies anhand des archäologischen Materials bestätigen? Welche römischen Kulturäusserungen übernahm die keltische Bevölkerung von *Aquae Helveticae* als Statussymbole³⁹⁵? In welchen Zeichen drückte sich für sie das Römische aus? Sind in der Übernahme der einzelnen Elemente Zeitunterschiede zu beobachten?

6.2. Die Zeichenfunktion archäologischer Phänomene

An archäologischen Erscheinungen (Funde, Baustrukturen, Fund-, Befundzusammenhänge usw.) lassen sich stets mehrere Aspekte ablesen, etwa die Organisation einer Kultur, die allgemeine sowie die technologische Entwicklung in der Zeit. Wie in der Diskussion des Begriffs Romanisierung zum Ausdruck kommt, haben die archäologischen Phänomene als Kulturäusserungen zudem einen Symbolgehalt, sind sie Zeichen. Wenn sich das Römische tatsächlich in Statussymbolen manifestiert, so muss sich auch das Keltische in Zeichen ausdrücken. Definitionsgemäss (Eco 1977, 28f.) belegt ein Zeichen (Signifikant) einen Sachverhalt (Referent) nach einem Kode mit einer Bedeutung, einer Botschaft (Signifikat). Wer den Kode nicht kennt, kann das Zeichen nicht lesen, die Botschaft nicht verstehen. Archäologische Erscheinungen sind optische Zeichen. Um deren System zu erschliessen, ist ihre optische Wirkung zu betrachten. Sie, und in diesem Zusammenhang nur sie, ist wichtig. Wie wirkt ein Haus, ein Gefäss auf den ersten Blick auf den Betrachter? Was ist ihr äusserer Aspekt? So wird klar, dass alle Erscheinungen technologischer Art, solange sie nicht klar zu sehen sind, zunächst eine untergeordnete Rolle spielen. Dies trifft etwa beim Haus für die Ausführung der Fundamente zu, bei der Keramik für die Ausgestaltung des Bodens, bei den

Fibeln für die Art des Verschlusses. Die Materialbeschaffenheit spielt nur insofern eine Rolle, soweit sie sich deutlich abhebt, also ebenfalls eine Zeichenfunktion hat. Die Form der Dinge ist das Entscheidende (s. auch Ettlinger 1978, 25) und zwar die Form in groben Zügen, nicht die feine Ausgestaltung im Detail. Überdies ist ein keramischer Typ nicht als reelles Gefäss zu definieren, dem das zu vergleichende Stück sozusagen eins zu eins gegenüberzustellen ist, sondern als die Idee, die hinter einer Gruppe von Gefässen mit genügend gleichen formalen Merkmalen steht (Pucci 1983, 275). Es ist die Idee, die der Töpfer im Kopf hatte, als er das einzelne Gefäss als deren konkreter Ausdruck schuf. Dies ist stets zu berücksichtigen, wenn im folgenden versucht wird, anhand von Vergleichen die in Baden zum Vorschein gekommenen archäologischen Phänomene, die Häuser mit ihrer Bautechnik und die Keramik, auf die Traditionen hin, die in ihnen wirksam sind, zu untersuchen.

6.3. Vorgehen

Anhand der Bauweise und der Keramik versuche ich den Romanisierungsprozess in *Aquae Helveticae* aufzuzeigen. Diese beiden Kulturäusserungen bieten sich im Gegensatz zu andern wie beispielsweise Siedlungsbild und Totenbrauch an, da Daten zu ihnen in ausreichendem Mass vorhanden sind, so dass sie sich genügend detailliert umschreiben lassen.

In *Aquae Helveticae* setzt die Besiedlung in spätaugusteischer Zeit ein (Kap. 3.8.1.). Die einheimischen Wurzeln, aus denen sich die Elemente keltischer Tradition entwickelten, sind in der keltischen Kultur der näheren und weiteren Umgebung der spätesten Latènezeit (LT D2) zu suchen (Kap. 7). Es ist jedoch wichtig, sie nicht als statisches Bild zu begreifen, dem die römerzeitlichen Kulturäusserungen sozusagen eins-zu-eins gegenüberzustellen sind; vielmehr geht es darum, die Entwicklungslinien seit der späten Mittellatènezeit (LT C/D1) herauszuarbeiten, an die man die römerzeitlichen Kulturäusserungen keltischer Tradition anzuknüpfen hat. So lässt sich abklären, ob und wieweit die latènezeitlichen Entwicklungstendenzen in römischer Zeit weiterwirkten, ob Brüche oder Beschleunigungen zu verzeichnen sind.

Mit der Mittelmeerwelt waren die Kelten des schweizerischen Mittellandes durch Oberitalien, die *Gallia Cisalpina*, und das Rhonetal, die *Gallia Narbonensis*, verbunden. Wie Untersuchungen in Massongex zeigen, führte in spätkeltischer Zeit die wichtigste Handelsverbindung Rich-

395 Mediterrane Statussymbole finden sich nördlich der Alpen zwar schon viel früher, spätestens ab der Hallstattzeit (s. Kimmig 1981), doch kommen sie nur in den Gräbern der obersten Elite vor. So gear-

tete Kontakte werden als Kulturberührung bezeichnet (Bitterli 1986, 17ff.).

tung Süden über die Alpenpässe in die Poebene, während der Fernhandel durch das Rhonetal erst im 1. Jh. n. Chr. grössere Ausmassen annahm und die traditionellen Verbindungen allmählich verdrängte³⁹⁶. Da beide Regionen zum keltisch besiedelten Raum gehören³⁹⁷, ist bei den Kulturäusserungen mit einem entsprechenden Substrat zu rechnen ist. Bei einem Vergleich wäre zuerst deren Romanisierungsprozess abzuklären. Um aber die römische Tradition in einem gallorömischen Material aufzuzeigen, ist letztlich immer auf die Kultur im römischen Kernland zurückzugreifen. Nur sie kann als rein römische, von anderen, insbesondere keltischen Einflüssen freie Folie dienen, auf der sich der römische Gehalt der Kulturelemente abzeichnet. Auch Süditalien, die Magna Graecia, ist wegzulassen, weil mit dem griechischen Einfluss eine ebenfalls schwierig abzuschätzende Komponente hineinkäme.

Da es vor allem das römische Militär war, das die römische Kultur in die Gegenden nördlich der Alpen brachte (Gozzoli 1987, 87f.), sind die nahe gelegenen Legionslager Dangstetten und Vindonissa ebenfalls in die Untersuchung einzubeziehen. Zwar wissen wir, dass seit Caesar in Oberitalien und Südgalien Truppen ausgehoben wurden, nicht nur in den römischen Kolonien, sondern auch unter den dortigen Kelten³⁹⁸. Ihnen gab man aber Offiziere und weitere römische Soldaten bei, um sie in der römischen Kriegskunst in Theorie und Übungen auszubilden, und rüstete sie aus³⁹⁹, so dass davon auszugehen ist, dass diese Truppen, in ihrem Bewusstsein jedenfalls, nicht mehr unter dem Einfluss der keltischen Tradition standen⁴⁰⁰. Die in Dangstetten vermutete 19. Legion bestand aus Italikern; sie war durch Hilfstruppenverbände, Reiterei (Gallier?) und Bogenschützen (Orientalen?), verstärkt (Fingerlin 1970/71, 210f.). Über die Herkunft der ersten in Vindonissa

bzw. in den Aussenposten Zurzach und Kaiseraugst stationierten 13. Legion ist wenig bekannt⁴⁰¹. Inschriftlich sind Soldaten aus Oberitalien und, vereinzelt, aus Südgalien und aus dem Noricum nachgewiesen (Ritterling 1924, 1726f.). Als Hilfstruppen sind die Ala (Gallorum) Gemelliana, die Ala I Hispanorum, die Ala Moesica felix torquata und die Cohors VII Raetorum equitata, alles Reitertruppen, zu vermuten (Hartmann/Speidel 1992, 13ff.). In der folgenden 21. Legion scheint der Anteil an Soldaten aus den Alpenregionen besonders hoch gewesen zu sein (Ritterling 1924, 1781). Sie war verstärkt durch die Cohors III Hispanorum und die Cohors VI Raetorum (Hartmann/Speidel 1992, 12ff.). Von der 11. Legion sind inschriftlich Soldaten aus Oberitalien und vereinzelt aus der Narbonensis, aus Aquitanien und aus Spanien bekannt (Ritterling 1924, 1704).

Anhand ausgewählter Beispiele werden Bauweise und Keramik vorgestellt, wie sie in Mittelitalien und beim Militär gebräuchlich waren (Kap. 8). Auch hier gilt es, neben der Beschreibung des Vorbildes die Entwicklungslinien während der Kaiserzeit (1./2. Jh. n. Chr.) herauszuarbeiten, um abzuklären, ob sich die Kulturäusserungen römischer Tradition in *Aquae Helveticae* in gleicher Weise entwickelten wie im römischen Kernland, oder ob sie neue durch das Nachwirken der keltischen Tradition bedingte Wege gingen.

Um abzuklären, ob der Romanisierungsprozess von *Aquae Helveticae* (Kap. 9) typisch dafür ist, wie sich die Bevölkerung helvetischer Kleinstädte mit der durch die Römer symbolisierten Mittelmeerwelt auseinandersetzten, werden einige *Vici* der näheren Umgebung in gleicher Weise betrachtet (Kap. 10).

396 Haldimann et al. 1991, 155f. In Genf-St. Gervais allerdings stammt die importierte Feinkeramik eines voraugusteischen Komplexes vorwiegend aus dem Rhonetal (Haldimann 1991, 215).

397 Keltischen Flurnamen nach ist nämlich auch im östlichen Oberitalien, im Veneto, mit einer nicht unbeträchtlichen keltischen Besiedlung zu rechnen (Bernardi 1975).

398 Ritterling 1924, 1206f.; z. B. Sueton *Caes.* 24,2.

399 Sueton, *Caes.* 24,2: ... (*legionem*), *quam disciplina cultuque Roma-*

no institutam et ornatam ...; Tacitus, *Agric.* 28,1: ... (*centurio, milites*), *qui ad tradendam disciplinam* ...

400 Wieweit unbewusst ein keltisches Substrat nachwirkte, wäre im Detail noch zu untersuchen. Tatsächlich weist etwa die Keramik von Dangstetten bezeichnende Unterschiede zu jener Mittelitaliens auf, die an einen Einfluss der keltischen Tradition denken lassen (s. auch Kap. 8.1.2.).

401 Dräck/Fellmann 1988, 540; Hartmann 1986a, 39ff.

7. Zur keltischen Kultur der späten Latènezeit

7.1. Bauweise⁴⁰²

Als Vorläufer für die in den römischen Vici nördlich der Alpen verwendete Bauweise einheimischer Tradition wäre die Bauweise keltischer Kleinsiedlungen der späten Latènezeit (LT D1/D2) zu betrachten. Caesar (*bell. gall.* I 5.4; I 28.3) nennt sie *vici*. Im Gebiet der Helvetier gibt er deren Zahl mit 400 an und unterscheidet sie von den zwölf Zentren, den befestigten Oppida. Leider sind im gesamten von den Kelten besiedelten Gebiet bisher kaum unbefestigte Kleinsiedlungen ausgegraben und publiziert worden, Ausnahme Roanne, so dass für die Beschreibung der Bauweise auch die Oppida hinzuzuziehen sind. Der schlechte Kenntnisstand erschwert überdies, die Entwicklungslinien herauszuarbeiten, die in römischer Zeit nachgewirkt haben könnten.

Aus der näheren Umgebung des späteren Vicus Aquae Helveticae sind bisher leider nur sehr wenige Siedlungsspuren der späten Latènezeit bekannt⁴⁰³: Baden-Kappelerhof und Vindonissa. Auch die Einbeziehung des Schweizerischen Mittellandes – Altenburg-Rheinau – und der Nordwestschweiz – Basel-Münsterhügel – reicht, anders als etwa bei der Keramik (Kap. 7.2.), für eine genügend fundierte Beschreibung der spätkeltischen Bauweise nicht aus. Deshalb habe ich zusätzlich entfernter gelegene spätkeltische Siedlungen hinzugezogen, in denen Hausgrundrisse untersucht sind: Besançon im Gebiet der Sequani, Roanne, im Gebiet der Segusavi, Condé-sur-Suipe im Gebiet der Remi, den Titelberg und Bundenbach-Altburg im Gebiet der Treveri sowie Manching im Gebiet der Vindelicii. Die Befunde werden überdies mit den von O. Büchschütz (1984) im zentralen und nördlichen Gallien herausgearbeiteten Ergebnissen verglichen.

7.1.1. Grundriss und Baumasse

Die Häuser sind mehrheitlich klein und von quadratischem bis kurzrechteckigem Grundriss, so dass die Breite meist über 70% der Länge ausmacht⁴⁰⁴. In Gallien sind die Gebäude bei etwa gleicher Fläche (8–36 m²) etwas länger proportioniert⁴⁰⁵. In Manching und Bundenbach treten einige Bauten auf, die grösser und anders proportioniert sind (Breite nur ca. 50% der Länge)⁴⁰⁶. Eigentliche Langhäuser von über 30 m sind vereinzelt aus Manching bekannt; ihre Breite beträgt um die 6 m (= unter 20%)⁴⁰⁷. In grossen Oppida ist wohl vermehrt mit grossen, langen Häusern zu rechnen, wie Beispiele von Condé-sur-Suipe und vom Titelberg zeigen⁴⁰⁸.

An einem hervorragend erhaltenen Haus in Manching lassen sich als Schnurgerüst zwei Rechtecke von je 4×7 Einheiten für die Seitenlängen sowie 8 Einheiten für die Diagonale wahrscheinlich machen, mit einem Fuss von 310 mm als Basismass, der durch den glücklichen Fund eines Massstabes für einen Fuss von 309 mm bestätigt wird⁴⁰⁹.

Die meisten Häuser, auch die Langhäuser, weisen keine eindeutige Inneneinteilung auf – allfällige Pfostenlöcher dürften von der Dachkonstruktion stammen. In Manching fand sich ein in drei Räume eingeteiltes Haus (Krämer 1962, 301 Beil. 3,3). In Besançon ist bei den meisten Häusern ein Keller abgetrennt (Guilhot et al. 1992, Abb. 3). In Gallien finden sich vereinzelt Grundrisse, die in Räume – es sind überdies stets nur wenige – aufgeteilt sind⁴¹⁰. Eine Ausnahme sind die Bauten in Villeneuve-Saint-Germain (Büchschütz 1984, 63ff.; Abb. 39). Sie bestehen aus vielen aneinandergereihten Räumen, womit sie, wie auch mit der Konstruktion der Wand (s. unten), völlig aus dem Rahmen fallen. Sie sind jedoch spät, ins 3. Viertel des 1. Jh. v. Chr., anzusetzen und gelten als schon in einer ersten Stufe der Romanisierung stehend. Die Kleinheit der Häuser und das Siedlungsbild von Bundenbach machen wahr-

402 Hinweise zu Siedlungsbefunden keltischer Zeit verdanke ich L. Berger, J. Hecht, P. Jud, St. Martin-Kilcher und K. Richner, Basel.

403 Die zur Erarbeitung der keltischen Bautradition herangezogenen Siedlungsplätze sind in bezug auf Art der Siedlung, Datierung und Erhaltungsbedingungen in Kap. 13 kurz vorgestellt.

404 Baden: ca. 36 m², Breite 88% der Länge (Hartmann et al. 1989, Abb. 2); Basel: ca. 14 m², 88% (Furger-Gunti 1979, Abb. 12); Manching: 6–50 m², 70–100% (nach Krämer 1962, Beil. 3.4; Maier 1985, Beil. 2.3; 1986, Beil. 2.3); Bundenbach: 4–30 m², 75–100% (nach Schindler 1977, Abb. 9.12); s. auch Arcelin/Büchschütz 1985, 19; Guilhot et al. 1992, 257.

405 Hausbreite: 40–70%, selten über 75% der Länge (nach Büchschütz 1984, 201f.); in Besançon 24 m²/53% (Guilhot et al. 1992, 294 Abb. 16); in Roanne 22 m²/70% (a.a.O. 250 Abb. 18); kleine Langhäuser (30 m²/33%) sind aus Sierentz bekannt (s. Wolf 1990, 111).

406 Manching: 63–119 m², 41–48% (nach Krämer 1962, Beil. 4.1,2);

Bundenbach: 45–60 m², 35–70% (nach Schindler 1977, Abb. 10,19; Abb. 11,186; Abb. 13.14).

407 Krämer 1962, Beil. 4,3; Schubert 1972, Beil. 5.

408 Condé-sur-Suipe: Einige der Häuser messen 90–110 m² mit einer Breite von 30–35% der Länge (Gallia Informations 2, 1989, 311f.; Abb. 1; s. auch Gallia 41, 1983, 236ff.). – Titelberg: Die Häuser messen bis über 100 m² mit Proportionen von 60% (Metzler 1984, Abb. 5). Die von S. Sommer (1988, 576) erwähnte Ähnlichkeit mit den sog. Streifenhäusern der späteren Vici ist abzulehnen angesichts der deutlich kürzeren Proportionen und der mit 2–4 m viel breiteren Zwischenräume zwischen den einzelnen Häusern – bei den Kastellvici in Obergermanien betragen die Proportionen 20–40% (a.a.O. Abb. 35), und die Zwischenräume sind schmal oder fehlen (a.a.O. 575f.).

409 Schubert 1992, 294ff. Abb. 2; 297ff., freundlicher Hinweis von Felix Müller, Bern; s. auch Schindler 1977, 46.

scheinlich, dass die einzelnen Funktionen des häuslichen, bäuerlichen und gewerblichen Lebens mehrheitlich in Einzelbauten, sozusagen in freistehenden Zimmern, stattfand (Arcelin/Büchschütz 1985, 19) und nicht unter einem Dach in aneinandergereihten Räumen eines grösseren Hauses.

7.1.2. Boden

Die meist prekären Erhaltungsbedingungen bewirken, dass sich über die Konstruktion des Bodens nur selten Gesichertes und Präzises aussagen lässt. In Vindonissa sprechen zusammengepresste, ausgelaugte Schichten im Hausinnern (Hartmann/Lüdin 1977, 9) gegen einen eigens eingebrachten Lehm Boden. In Basel gibt es vage Hinweise auf einen Holzboden (Furger-Gunti 1979, 30), ebenso in Gallien (Büchschütz 1984, 193). Für Manching wird trotz des erhaltenen keltischen Humus nie von einer eigentlichen Bodenkonstruktion gesprochen. Oft benutzte man wohl die Oberfläche des anstehenden Bodens als Lauffläche, wie dies ein Befund aus Basel wahrscheinlich macht (Mäglin 1986, 25; Abb. 4). In Besançon bestanden die Böden aus gestampftem Lehm, ebenso in Roanne, wo einmal eine Unterlage aus zerschlagenen Amphoren nachgewiesen ist (Guilhot u. a. 1992, 253f.). Auf dem Titelberg waren zwei Häuser z.T. mit einem Pflaster aus grossen Kalksteinplatten ausgelegt (Metzler 1984, 74).

7.1.3. Wand

Das Traggerüst bildeten in den anstehenden Boden eingetieft Pfosten meist im Abstand von 3 m, was wohl 10' entspricht. Wie Beispiele in Manching zeigen, massen die Pfosten 25–30 cm im Querschnitt und standen oft auf einer horizontalen Holzunterlage, einem Pfahlschuh sozusagen, für die Gruben bis zu über 1 m Durchmesser auszuheben waren (Schubert 1992, 294). Die Zwischenräume können, wie aus Hüttenlehmbrocken hervorgeht⁴¹¹, mit einem mit Lehm verstrichenen Rutengeflecht ausgefacht gewesen sein (Arcelin/Büchschütz 1985, 19), das manchmal in einem zwischen den Pfosten verlaufenden Gräbchen verankert war⁴¹². Dass es sich bei letzteren nicht um Fundamentgräbchen für Schwellbalken handeln kann, beweisen kleine, vom Rutengeflecht stammende Pfostenlöcher (Hartmann/Lüdin 1977, Abb. 2; Furger-Gunti 1979,

Abb. 12). Eine Ausfachtung mit horizontalen Hölzern liess sich nur selten nachweisen. Die geglättete Aussenseite der Hüttenlehmbrocken wies einige Male einen weissen Überzug auf. Eine manchmal mehrschichtige weissgelbe Tonschlämme war in Bundenbach zu beobachten (Schindler 1977, 87). Vielleicht sollte man vermehrt eine Ausfachtung mit Holz in Betracht ziehen, denn oft ist die Menge der verbrannten Lehmbrocken – sie könnten ebenso von Öfen stammen – für den zu erwartenden Schutt eines ganzen in Lehmfachwerktechnik errichteten Hauses zu gering (Krämer 1962, 300). Ein Gebäude, das auf Schwellbalken gestanden haben könnte, fand sich in Baden, doch ist seine späteltische Zeitstellung nicht gesichert. In der späteltischen Siedlung von Basel-Gasfabrik (JbSGU 31, 1939, Abb. 27) und in dem in den letzten Abschnitt der Stufe LT DI datierten Töpferbezirk von Sissach-Brühl (JbSGU 29, 1937, Abb. 19) kamen Gräbchen zum Vorschein, die man aber als Spuren von Holzrostböden deutet. Nur in Sissach ist ein von Gräbchen gebildeter Hausgrundriss zu erkennen. Da keine Pfostenlöcher zu finden waren (a.a.O. 77) enthielten sie wohl Balken. In Besançon fanden sich Schwellbalken, unter denen Abdrücke von vertikalen Hölzern zu sehen waren (Guilhot et al. 1992, 249f.). Sind in diesen Befunden tatsächlich reine Schwellbalkenkonstruktionen zu sehen, wie vorgeschlagen, oder sind sie nicht vielmehr als Pfostenwände mit in Gräbchen verankerter Ausfachtung zu lesen? In Altenburg-Rheinau lässt das Fehlen von Pfosten Spuren vermuten, dass die Häuser in Blockbauweise erbaut waren (Fischer 1975, 317). In Basel-Gasfabrik wurde für die Häuser wegen des weitgehenden Fehlens von Pfostenlöchern zunächst eine Konstruktion mit Schwellbalken postuliert⁴¹³. Es ist allerdings zu überlegen, ob das Fehlen von Pfostenlöchern nicht in der Erosion begründet ist – vielfach ist die Benützungsschicht nicht mehr vorhanden, womit allfällige Spuren fehlen. Bei erhaltenem Gelniveau greifen die Pfosten nämlich oft nur 10–20 cm in den Boden⁴¹⁴.

Alles in allem sind Hinweise auf eine andere Konstruktionsweise als mit Pfosten, auf Schwellbalken etwa, äusserst selten. Auch in Gallien kommen mit der erwähnten Ausnahme von Villeneuve-Saint-Germain fast ausschliesslich Pfostenbauten vor (Büchschütz 1984, 193; 196; 200ff.). Die Stabilität der Wand beruhte offenbar meist allein auf der Verankerung der in den anstehenden Boden eingetieften Pfosten. Die Verspannung mit Schwellbalken war selten und scheint erst im spätesten Abschnitt der Latènezeit aufgekommen zu sein.

410 Büchschütz 1984, 200ff. Nr. 14.27.28; s. auch Gallia Informations 2, 1989, 311f. Abb. 1; Guilhot et al. 1992, Abb. 10.

411 Krämer 1962, 300; Schindler 1977, 31; Büchschütz 1984 193; 196; 200ff.; Metzler 1984, 74; Guilhot et al. 1992, 249f.

412 Krämer 1962, Beil. 3,1; Maier 1985, 32; Schindler 1977, 44; Metzler 1984, Abb. 5; Gallia Informations 2, 1989, 311f. Abb. 1; Guilhot et al. 1992, Abb. 18.

413 Mitteilung von P. Jud, Basel. Bei neueren Grabungen kamen jedoch Pfostenlöcher zum Vorschein, die sich zu eigentlichen Baufluchten zusammenfassen lassen (Jud 1989, 24).

414 Guilhot et al. 1992, 251. Im Basler Münster beträgt die Tiefe der Pfosten bezogen auf Phase 1 25 cm (Furger-Gunti 1979, Beil. 1.2). Es sind aber auch Tiefen von bis zu einem halben Meter bekannt (Hartmann/Lüdin 1977, Abb. 2).

7.1.4. Dach

Die Dachkonstruktion ruhte wohl auf den sich jeweils paarig gegenüberstehenden Pfosten der Wandkonstruktion: Die Dachsparren könnten jeweils mit einem Bundbalken ein Dreieck gebildet haben, das auf den Pfosten auflag und die Schubkräfte des Daches an diese weitergab. Bei breiteren Häusern können Mittelpfosten auftreten, die den Firstbalken bzw. die Bundbalken getragen haben und den Innenraum in zwei Schiffe teilen⁴¹⁵. Manchmal weisen die Häuser an zwei Seiten einen mittleren Pfosten auf, der als Firstpfosten gedient haben könnte⁴¹⁶. Zum Deckmaterial gibt es kaum Hinweise, doch werden die Dächer meist als steile Strohdächer rekonstruiert⁴¹⁷. Aus Besançon sind Schindeln bekannt (Choel et al. 1991, 91).

7.1.5. Strukturen

Die schlechten Erhaltungsbedingungen des Gehneveaus führten dazu, dass sich nur wenige Feuerstellen fanden (z. B. Schindler 1977, 39). Auf dem Titelberg bestanden sie aus Lehm und waren manchmal mit flachen Steinen unterlegt (Metzler 1984, 74). Ähnliche Konstruktionen kamen in Besançon und Roanne in der Mitte der Häuser zum Vorschein (Guilhot u. a. 1992, 253f.).

Die Häuser sind meist von vielen Gruben umgeben⁴¹⁸. Sie können als Holzkisten ausgezimmert oder mit senkrechten Brettern verschalt gewesen sein (Maier 1985, 29) und dürften in erster Verwendung als Keller, später als Abfallgruben gedient haben. Verschiedentlich meint man eine Verschalung mit Flechtwerk beobachten zu haben (Maier 1986, 12). In Condé-sur-Suipe fallen Kellergruben auf, die jeweils den Häusern zur Strasse hin vorgelagert sind (Gallia Information 2, 1989, 311f. Abb. 1). Auf dem Titelberg kamen Kellergruben auch im Hausinnern zum Vorschein (Metzler 1984, 74).

7.1.6. Zusammenfassung

In spätkeltischer Zeit baute man offenbar für jede Funktion des täglichen Lebens einen freistehenden Raum, ein eigenes Gebäude. Wieweit die Kleinheit dieser einräumi-

gen Häuser durch die relativ wackelige Bauweise (Arcelin/Büchschütz 1985, 19) bedingt war, bleibe dahingestellt. Das hölzerne Traggerüst war nämlich nur durch die im Boden verankerten Pfosten stabilisiert. Die Pfostengruben weisen zwar meist beträchtliche Ausmasse auf, was aber, wie das erwähnte Beispiel aus Manching zeigt, auf das Verwenden von Pfahlschuhen zurückgeführt werden kann, also nicht zwingend als Hinweis auf die Dimensionen der Pfostens zu lesen ist. Jedenfalls brachte schon das geringste Wanken eines Pfosten, verursacht etwa durch eine schlechte Verankerung oder durch das Faulen des Holzes am Übergang vom feuchten Boden zur Luft, das Dach in Bewegung, was bei einem grossflächigen, schweren Dach verherend gewesen sein muss⁴¹⁹. Das mit Lehm verstrichene Rutengeflecht der Wandflächen und das wohl mit Stroh gedeckte Dach verfestigten die Konstruktion kaum. Hinweise auf Block- oder Schwellenbauweise sind selten, auch dort, wo ihre Spuren aufgrund guter Erhaltungsbedingungen vorhanden sein müssten. Eine Entwicklung in der Zeit ist kaum zu erkennen; diese Bauweise ist, mindestens in Gallien, bis in die späte Bronzezeit zurückzufolgen (Arcelin/Büchschütz 1985, 18).

7.2. Keramik

Die Siedlungskeramik der späten Latènezeit (LT D1/D2), die Vorläufer der im römischen *Aquae Helveticae* verwendeten Ware keltischer Tradition gewesen sein könnte, ist eine der beiden Entwicklungslinien, in welche die römerzeitliche Keramik einzuhängen ist.

Die in der näheren Umgebung des späteren *Aquae Helveticae* gefundenen Keramik-Ensembles der späten Latènezeit von Baden-Kappelerhof und Vindonissa reichen nicht aus, die Keramik des helvetischen Gebietes genügend zu beschreiben. Weitere Fundstellen aus dem Gebiet der Helvetier, dem Schweizerischen Mittelland, sind hinzuzuziehen, von denen grössere Fundmengen publiziert sind⁴²⁰: Altenburg-Rheinau, Merishausen, in 37 km Entfernung, und Bern (ca. 85 km). Dabei ist zu bedenken, dass Bern, anders als Baden, sowohl in der Mittellatènezeit (Berger 1974, 85) wie auch in der römischen Zeit (Schucany 1986a, 213) einem westhelvetischen Bereich angehört,

415 Krämer 1962, Beil. 4,2.3; Schubert 1972, Beil. 5; Schindler 1977, Abb. 11,21; Abb. 12; Abb. 14,18.32.41; evtl. Furger-Gunti 1979, Abb. 12.

416 Krämer 1962, Beil. 3,4; Beil. 4,1; Schindler 1977, Abb. 10,12.82; Abb. 11,13; Abb. 13,15.

417 Schindler 1977, Abb. 36–39; Büchschütz 1984, Abb. 78; Metzler 1984, Abb. 6.

418 Krämer 1962, Beil. 2; Fischer 1975, 317; Mäglin 1986, Abb. 1; s. auch Furger-Gunti/Berger 1980, Beil. A; Guilhot et al. 1992, 246. In Bundenbach fehlen grössere Gruben, was wohl auf den felsigen Untergrund zurückzuführen ist (Schindler 1977, 8f.).

419 Die eindrücklichen langen Pfostenhäuser der frühneolithischen

Bandkeramik-Kultur mit Grundflächen von 140–450 m² weichen im Laufe der Zeit kleineren Häusern: in der mittelnolithischen Rössener Kultur 20–86 m², ab dem Endneolithikum 16–32 m² (Luley 1992, 7f.). Andererseits sind wohl auch kulturelle und/oder soziale Gründe als Erklärung für die Kleinheit der Häuser in Betracht zu ziehen, denn grosse, dreischiffige Langhäuser von über 20 m Länge sind in Skandinavien und den nördlichen Teilen Hollands und Deutschlands bis in die römische Kaiserzeit üblich (Bloemers 1978, 182).

420 Die zur Erarbeitung der keltischen Keramiktradition herangezogenen Fundstellen sind in bezug auf Art der Siedlung, Fundzusammenhang und Vorlage der Ensembles sowie Datierung in Kap. 13 kurz vorgestellt.

so dass mit Unterschieden zu rechnen ist. Als weiterer gut dokumentierter Fundplatz wird das nur etwa 56 km entfernte, allerdings im raurakischen Gebiet gelegene Basel hinzugenommen.

7.2.1. Keramikgattungen (Tab. 28; Abb. 184)

Der Anteil der Grobkeramik scheint im Laufe der Zeit abzunehmen⁴²¹. Die orange Feinkeramik gewinnt an Bedeutung gegenüber der grauen Feinkeramik. In der Stufe LT D2 scheinen sie etwa im gleichen Umfang vertreten zu sein. Die Feinkeramik ist stets scheibengedreht, die Grobkeramik mehrheitlich handgeformt. Der Anteil der scheibengedrehten groben Ware nimmt im Laufe der Zeit zu⁴²².

7.2.2. Formen (Tab. 28)

Die Feinkeramik ist in allen zum Vergleich herangezogenen Fundstellen ziemlich ähnlich. Es lassen sich kaum regionale Typen herausarbeiten. Eine Ausnahme könnte der Berner Napf mit innen schräg abgestrichenem Rand sein (Lüscher 1989, 130.133). Im grossen Ganzen dürfte die Feinkeramik jedoch in einer gesamt-keltischen Tradition stehen und überregionalen Modestömungen folgen (Berger 1974, 75f.). In den Formen – Näpfe, Schüsseln, Flaschen, Tonnen, Töpfe und Becher – entsprechen sich die orange und die graue Produktion weitgehend.

Die orange Feinkeramik ist oft bemalt⁴²³, sehr selten jedoch in einer anderen Art verziert, etwa mit Kerbmustern (Bacher 1989, Taf. 2,28). Neben helltonigen Näpfen⁴²⁴ kommen Schüsseln vor, die sich in zwei Untertypen aufteilen lassen: geschweiftes Profil⁴²⁵, oft mit Wandknick⁴²⁶; halbkugelige Form⁴²⁷. Die Hochformen setzen sich aus Flaschen⁴²⁸, Tonnen⁴²⁹, Töpfen⁴³⁰ und Bechern zusammen. Letztere können einen Steilrand haben (Höneisen 1989, Taf. 9,23). Meistens ist der Rand jedoch sanft, in einem Schwung nach aussen gebogen, und viele Stücke weisen eine ausgeprägte Schulter auf, die mit einem bemalten Streifen zusätzlich betont sein kann⁴³¹.

Bei der grauen Feinkeramik sind folgende meist vertiefte Verzierungsarten belegt: Glättmuster⁴³², Feinkammstrichmuster⁴³³, oft als Metopen ausgeführt⁴³⁴, Stempelmuster (Höneisen 1989, Taf. 10,4), Einstichmuster (Lüscher 1989, 132), Fingernageleindrücke (Bacher 1989, Taf. 2,36–40) und Kerbmuster (Bacher 1989, Taf. 6,9.10). An offenen Formen kommen Näpfe⁴³⁵ und Schüsseln vor. Letztere lassen sich in die gleichen Untertypen unterteilen wie die helltonigen: geschweiftes Profil⁴³⁶, oft mit Wandknick⁴³⁷; halbkugelige Form⁴³⁸. Die Gruppe der Hochformen setzt sich aus Flaschen⁴³⁹, Tonnen⁴⁴⁰, Töpfen⁴⁴¹ und Bechern zusammen. Letztere weisen meist einen sanft, in einem Schwung nach aussen gebogenen Rand und oft eine ausgeprägte Schulter auf⁴⁴², seltener einen Steilrand (Höneisen 1989, Taf. 9,21.22).

Bei einzelnen Formen der Feinkeramik ist eine deutliche Entwicklung zu erkennen: Die halbkugeligen Schüs-

421 In Basel ist allerdings eine Zunahme zu verzeichnen, die aber weniger hoch ausfällt, wenn das Spektrum aller Scherben des Münsterhügels jenem der Gasfabrik gegenübergestellt wird, das ebenfalls alle Scherben umfasst: 47% (statt 61%) zu 34% (s. Kap. 13).

422 In den älteren Stationen beträgt der Anteil der handgemachten groben Ware um die 100% (Höneisen 1989, nach Katalog; Bacher 1989, 32; Lüscher 1989, 133; Furger-Gunti 1979, 74), in den jüngeren noch etwa die Hälfte (Hartmann/Lüdin 1977, nach Katalog; Furger-Gunti 1979, 74).

423 Hartmann/Lüdin 1977, 17f.; Fischer 1966, 300; Bacher 1989, 40; Lüscher 1989, 132; Furger-Gunti 1979, 76f. – In Merishausen fehlen bemalte Stücke wohl aus chronologischen Gründen (Höneisen 1989, 107).

424 Paunier 1975, Abb. 6,6; Müller-Vogel 1986, 23; Mäglin 1986, Taf. 11,80; Höneisen 1989, Taf. 8,18–21.26.29.31–35; Lüscher 1989, Abb. 9,9.15.

425 Höneisen 1989, Taf. 9,17.18; Lüscher 1989, Abb. 14,15; Abb. 15,27; Furger-Gunti 1979, Nr. 212; Furger-Gunti/Berger 1980, Taf. 130–132.

426 Furger-Gunti/Berger 1980, Nr. 2084.2085; Müller-Vogel 1986, Taf. 1–3.

427 Furger-Gunti 1974/75, Abb. 8,1; Abb. 10,1; Abb. 11,29–31; Hartmann/Lüdin 1977, Nr. 8; Furger-Gunti 1979, Nr. 50–52.208; Furger-Gunti/Berger 1980, Nr. 2162.2163.2180–2194; Paunier 1981, Nr. 20; Müller-Vogel 1986, Nr. 49–62; Mäglin 1986, Taf. 3,10.

428 Furger-Gunti 1974/75, Abb. 8,33; Abb. 10,17–26; Abb. 14,6–9; Hartmann/Lüdin 1977, Nr. 13; Furger-Gunti 1979, Nr. 40.196.197.203; Furger-Gunti/Berger 1980, Taf. 94.97–99.102.105.106.107.1803.1806.1807.1812; Taf. 108–111; Paunier 1981, Nr. 9; Curdy et al. 1984, Taf. 2,4; Müller-Vogel 1986, Taf. 11–16; Mäglin 1986, Taf. 1,1–3; Höneisen 1989, Abb. 9,3–5; Lüscher 1989, Abb. 10,25; 14,19; Bacher 1989, Taf. 1,1.2.5.16–20.

429 Ruoff 1964, Abb. 15,1.2; Furger-Gunti 1979, Nr. 45.46; Furger-Gunti/Berger 1980, Taf. 112–116.119–122; Curdy/Klausener 1985, Abb. 9; Müller-Vogel 1986, Taf. 7–10; Mäglin 1986, Taf. 2,9; Höneisen 1989, Abb. 9,10.11.

430 Bacher 1989, Taf. 1,15; Furger-Gunti 1979, Nr. 44.192.193.195; Furger-Gunti/Berger 1980, Nr. 1708–1712.1725–1728.1734–1738.1747.

431 Furger-Gunti 1974/75, Abb. 8,2; Abb. 10,29; Paunier 1981, Nr. 29.30; Mäglin 1986, Taf. 4,19; Lüscher 1989, Abb. 14,20.21. Bacher 1989, Taf. 2,13.

432 Furger-Gunti/Berger 1980, Nr. 2222–2236; Höneisen 1989, Taf. 10,1; Mäglin 1986, Taf. 8,53.56; Taf. 14,116–118.

433 Furger-Gunti 1979, 76f.; Furger-Gunti/Berger 1980, Nr. 1593–1650.1661.1662; Nr. 1977ff.; Bacher 1989, Taf. 6,4.5; Lüscher 1989, 132.

434 Mäglin 1986, Abb. 20; Höneisen 1989, Taf. 10,3.

435 Furger-Gunti 1974/75, Abb. 8,10.13; Abb. 11,1.2; Abb. 13,2–4; Furger-Gunti/Berger 1980, z. B. Nr. 1295ff.; Paunier 1981, Nr. 45–48; Curdy/Klausener 1985, Abb. 8,b; Mäglin 1986, Taf. 5,28–32; Taf. 7,41; Taf. 12,86.89.90; Höneisen 1989, Taf. 8,27; Lüscher 1989, Abb. 9,1–8.10–17; Abb. 13,1–3; Abb. 14,1–6.8–10; Bacher 1989, Taf. 5,1–5.12–14.23–28.35–42.

436 Höneisen 1989, Taf. 9,19; Lüscher 1989, Abb. 13,4; Abb. 14,11–14.16.17; Furger-Gunti 1979, Nr. 54; Furger-Gunti/Berger 1980, Nr. 2090–2095; Taf. 129; Taf. 134.

437 Furger-Gunti/Berger 1980, Nr. 2087; Haldimann 1989, Abb. 18,4.

438 Furger-Gunti 1974/75, Abb. 9,24; Abb. 11,34.35; Abb. 14,43; Furger-Gunti/Berger 1980, Nr. 2161.2164–2179.2195–2199.

439 Furger-Gunti 1974/75, Abb. 10,25; Hartmann/Lüdin 1977, Nr. 6.22; Furger-Gunti/Berger 1980, Taf. 96.100.101.107.1808–1810; Taf. 108–111; Paunier 1981, Nr. 32.35; Mäglin 1986, Taf. 1,4.5; Lüscher 1989, Abb. 14,19; Bacher 1989, Taf. 3,1–3.5.10.12.13; Taf. 4,11.15.22.23.27.

440 Furger-Gunti/Berger 1980, Nr. 1910–1917.1927.1935.1943–1963.

441 Hartmann/Lüdin 1977, Nr. 27; Höneisen 1989, Taf. 9,1.2.6.8.9. 13.14; Furger-Gunti 1979, Nr. 191.194; Furger-Gunti/Berger 1980, Nr. 1593–1650.1661.1662.

442 Furger-Gunti 1974, Abb. 9,21; Abb. 12,32; Furger-Gunti/Berger 1980, Taf. 83–86; Curdy et al. 1984, Taf. 1,11.14; Curdy/Klausener 1985, Abb. 8,a; Mäglin Taf. 9,63–67; Haldimann 1989, Abb. 19,20; Bacher 1989, Taf. 2,35.37–39.46.47.51–54; Taf. 37,2.

seln gelten als die jüngeren (Furger-Gunti 1979, 85); sie ersetzen die geschweiften jedoch keineswegs. Bei den Töpfen hat man den Eindruck, dass sie im Laufe der Zeit kleiner werden. Die hohen, schlanken, fliessenden Formen der Stufe LT D1 werden in der Stufe LT D2 bauchig, prall (Furger-Gunti 1979, 86f. Abb. 46).

Bei der Grobkeramik lassen sich im Gegensatz zur Feinkeramik viele regionale Besonderheiten feststellen. An Formen kommen Nöpfe und Kochtöpfe vor, während Deckel⁴⁴³ und Vorratsgefässe⁴⁴⁴ eher selten sind. Die Nöpfe können folgende Formen aufweisen: mit vertikaler Wand⁴⁴⁵; mit nach innen gebogener Wand⁴⁴⁶; mit schräger Wand⁴⁴⁷; mit nach aussen gebogener Wand (Mäglin 1986, Taf. 12,85; Bacher 1989, Taf. 37,18). Eine Basler Spezialität innerhalb der hier einbezogenen Region scheinen die Glättmuster an der Innenseite der Nöpfe zu sein (Furger-Gunti/Berger 1980, Taf. 66). Im helvetischen Gebiet hingegen sind die Nöpfe manchmal aussen mit einem Kamm oder Spatel verziert⁴⁴⁸. Insbesondere bei den Kochtöpfen sind beträchtliche Unterschiede zu verzeichnen. Zwar ist der Typ mit nach aussen gebogenem Rand in allen zum Vergleich herangezogenen Fundstellen ausserordentlich beliebt⁴⁴⁹. Auch Steilränder sind nicht selten⁴⁵⁰. Der gerillte Horizontalrand jedoch kommt ausschliesslich im raurakischen Gebiet vor⁴⁵¹, während im helvetischen Gebiet mit dem nach innen gebogenen, sichelförmigen Rand vereinzelt Einflüsse aus dem vindelikischen Gebiet zu fassen sind⁴⁵². In diesem Zusammenhang ist auch die wohl meist

importierte Graphittonware zu sehen⁴⁵³. Vor allem aber in der Verzierungsart lassen sich grosse Unterschiede zwischen dem helvetischen und dem raurakischen Gebiet aufzeigen. Im Mittelland haben die Kochtöpfe im Ziergürtel unter dem Hals meist mit dem Kamm vorgenommene Muster, Kammstrichmuster oder Kammeinstichmuster, oft als bogenförmige Motive ausgeführt⁴⁵⁴. In der Nordwestschweiz fehlt diese Verzierungsart weitgehend⁴⁵⁵. Der Ziergürtel ist dort mit einem Spatel hergestellt⁴⁵⁶. Der untere Teil des Gefässes ist in beiden Regionen häufig mit Kammstrich versehen.

7.2.3. Formenspektrum (Tab. 28.29; Abb. 185)

Aus dem im einzelnen zwar ziemlich heterogenen Bild lassen sich einige Tendenzen herausarbeiten, die eine Entwicklungslinie der keltischen Keramik ergeben. Der stets hohe Anteil der feinkeramischen Nöpfe nimmt im Laufe der Zeit ab. Sie werden offenbar durch die Schüsseln ersetzt. Der Anteil der Flaschen ist in den jüngeren Stationen, Bern-Engemeistergut (späte Phase LT D1), Vindonissa und Basel-Münsterhügel (LT D2), auffallend hoch. Die Becher ersetzen im Laufe der Zeit offenbar z.T. die grossen Töpfe, die überdies kleiner werden.

Bei der Grobkeramik scheint der Anteil der Nöpfe abzunehmen, auch wenn hier das statistische Bild unklar ist.

443 Fischer 1966, Abb. 8,2.5; Furger-Gunti 1974/75, Abb. 11,13; Haldimann 1989, Abb. 20,33.
 444 Curdy/Klausener 1985, Abb. 7; Mäglin 1986, Taf. 7,44; Bacher 1989, Taf. 8,1; Hartmann et al. 1989, Abb. 8,14.15.
 445 Müller-Vogel 1986, Nr. 943; Mäglin 1986, Taf. 5,34; Bacher 1989, Taf. 7,18.40.
 446 Furger-Gunti 1974/75, Abb. 7,22; Abb. 8,8.11.12; Abb. 10,3.4; Abb. 13,1–6.18–22; Hartmann/Lüdin 1977, Nr. 31–33; Furger-Gunti 1979, Nr. 23–29.31–36.168.169.171–178; Furger-Gunti/Berger 1980, z.B. Taf. 64; Paunier 1981, Nr. 85.86; Müller-Vogel 1986, Nr. 914–942; Mäglin 1986, Taf. 5,33.35; Höneisen 1989, Taf. 7; Taf. 8,1–17; Lüscher 1989, Abb. 10,40–46; Abb. 11,47–57; Abb. 15,29–33.36–39.
 447 Furger-Gunti 1974/75, Abb. 13,8; Furger-Gunti 1979, Nr. 30.170.185–187; Furger-Gunti/Berger 1980, Nr. 1549; Mäglin 1986, Taf. 7,39; Taf. 11,75.77; Taf. 12,82; Lüscher 1989, Abb. 15,35; Bacher 1989, Taf. 37,12.
 448 Hartmann/Lüdin 1977, Nr. 33; Lüscher 1989, Abb. 10,37.
 449 Fischer 1966, Abb. 7,12.15; Hartmann/Lüdin 1977, Nr. 1.3.4.26; Kaelin 1978, Abb. 7,c,d; Furger-Gunti 1979, Nr. 12.21.157–161.165–167; Furger-Gunti/Berger 1980, Taf. 31–40; Taf. 43–51; Paunier 1981, Nr. 76–80; Höneisen 1989, Taf. 3; Taf. 4,1–6.8.9; Lüscher 1989, Abb. 11,58–65.68; Abb. 16,45–59; Hartmann et al. 1989, Abb. 8,9–12.14.15; Bacher 1989, Taf. 8,4–9.12–14.

450 Hartmann/Lüdin 1977, Nr. 39; Höneisen 1989, Taf. 4,7.10.11; Taf. 5,2.4; Lüscher 1989, Abb. 11,66; Abb. 16,60–63; Bacher 1989, Taf. 9,1–4.
 451 Furger-Gunti 1974/75, Abb. 10,7; Abb. 11,19; Furger-Gunti 1979, Nr. 13; Furger-Gunti/Berger 1980, Nr. 995–1005; Mäglin 1986, Taf. 13,93. Dieser Typ – aus ihm entwickelte sich in römischer Zeit ein etwa in Augst sehr beliebter Kochtopf (z.B. Ettliger 1949, Taf. 13,16.17) – ist schon in Basel-Gasfabrik gut vertreten, so dass es sich um eine einheimische Form und nicht um eine von Gallien beeinflusste (Furger-Gunti 1979, 76) handeln dürfte.
 452 Fischer 1966, 310; Abb. 7,1–10.16.17; Hartmann/Lüdin 1977, Nr. 2; Hartmann et al. 1989, Abb. 8,13.
 453 Bacher 1989, 41; 63; Taf. 10,11–15; Taf. 37,9.
 454 Hartmann et al. 1989, Abb. 8,6.7.9–12; Hartmann/Lüdin 1977, Nr. 1.5; Fischer 1966, Abb. 7,12.13.15.16; Höneisen 1989, 103; Taf. 4,8.10; Taf. 5,3.4; Bacher 1989, Taf. 10,18.
 455 Ausnahmen: Mäglin 1986, Taf. 13,98–101; Furger-Gunti 1980, Nr. 1038.1259ff.
 456 Furger-Gunti 1979, Nr. 12–16.157–161. Furger-Gunti/Berger 1980, Taf. 54–58.

8. Zur römischen Kultur in Italien (1. Jh. v. Chr.–2. Jh. n. Chr.)

8.1. Bauweise

Um den Ursprung der römischen Tradition in der Bauweise von *Aquae Helveticae* zu bestimmen, ist anders vorzugehen als bei der keltischen Tradition, die in die allgemeine Entwicklung der späten Latènezeit einzubinden ist: Es gilt innerhalb vieler Möglichkeiten, die nicht alle zur Wirkung gekommen sind, dasjenige Beispiel im römischen bzw. mediterranen Kulturraum zu finden, das als Modell gedient haben könnte.

Als Vorbild bieten sich einerseits die *Vici* Mittelitaliens spätrepublikanisch-augusteischer Zeit an. Der Begriff *Vicus* bezeichnet im römischen Italien Siedlungskerne unterschiedlichen Typs (Patterson 1984, 67), etwa die Quartiere in Rom (a.a.O. Anm. 2), Arbeitersiedlungen einer grossen Villa oder eines Industriebetriebes (a.a.O. Anm. 5) oder Dörfer im gebirgigen Mittelitalien (a.a.O. Anm. 3). Letztere, wie im Gebiet der Marsen nachgewiesen, zeichnen sich durch stets adjektivische Namen aus, die sich vom Namen eines Volkes oder einer Gens herleiten lassen, während die dortigen *Oppida* der vorrömischen Zeit und die späteren *Munizipien* eigenständige Namen in der Femininum- oder Neutrumsform haben (Letta 1988, 223f.). Ihre Magistraten werden, anders als etwa bei einem aus einem *Oppidum* herausgewachsenen *Munizipium* wie *Antinum*, nicht mit italischen sondern mit lateinischen Begriffen bezeichnet (a.a.O. 226f.). Keiner der bisher archäologisch untersuchten *Vici* setzt vor dem 3. Jh. v. Chr. ein. Sie sind eine späte Erscheinung und dürften mit einer Neuorganisation der Besiedlung des betreffenden Gebietes nach dem Abschluss eines *Foedus* mit Rom um 302 v. Chr. in Zusammenhang stehen. Leider sind bisher kaum Baubefunde von *Vici* publiziert, Ausnahme *Basciano-San Rustico*, so dass für bestimmte Fragestellungen eine Kolonie wie *Lucus Feroniae* in die Untersuchung einzubeziehen ist⁴⁵⁷.

Andererseits dürften die Bauten südlich der Alpen kaum direkt auf die keltischen Bauleute gewirkt haben, da die wenigsten sie aus eigener Anschauung kannten. Auch mit mitgebrachten Modellen, mit Aufrissen und Grundrissen ist für diese einfachen Gebäude nicht zu rechnen – anders als bei der Keramik, die man in nicht unbeträchtlichem Masse importierte. Mit den ersten Römern entstan-

den jedoch auch nördlich der Alpen Bauten römischer Tradition. Die ersten, zugleich die häufigsten, errichtete das römische Militär. So liegt es auf der Hand, die für das helvetische Gebiet entscheidenden Legionslager von *Dangstetten* und *Vindonissa* in die Untersuchung einzubeziehen. Als Vorbild für die *Vicushäuser* kommen von allen Bauten am ehesten die *Mannschaftsunterkünfte* in Frage, auch wenn bezüglich der Grösse von vornherein Unterschiede zu erwarten sind: Sie mussten eine ganze *Centurie*, 100 Mann, aufnehmen und nicht nur eine Familie. Die nördlich der Alpen gegründeten Kolonien wie *Augst* könnten ebenfalls die römische Bauweise vermittelt haben. Da sie aber vorwiegend mit *Ansässigen* bevölkert wurden (Laur-Belart/Berger 1988, 12), wäre zuerst ein allfälliges Nachwirken der keltischen Tradition abzuklären, bevor sie als Träger der römischen Tradition zum Vergleich herangezogen werden dürfen.

Die Bauweise ist, wie erwähnt, nicht als statisches System aufzufassen; vielmehr ist die in Mittelitalien und in der Militärarchitektur vollzogene Entwicklung sichtbar zu machen, der jene von *Aquae Helveticae* anzuschliessen bzw. gegenüberzustellen ist⁴⁵⁸.

8.1.1. Grundriss und Baumasse

Die Häuser im *Vicus* von *Basciano-San Rustico* (Abb. 178) weisen Grundflächen von 170–325 m² auf. Mit einer Breite, die nur 20–35% der Länge ausmacht, sind sie als *Langhäuser* zu bezeichnen. Die *Mannschaftsbauten* der Legionslager weisen mit Breiten von um die 25% der Länge für *Doppelkasernen* ähnliche Proportionen auf – um die 10% für *Einzelkasernen*; im Laufe der Zeit scheinen sie etwas breiter zu werden⁴⁵⁹. Als *Unterkünfte* für eine bzw. zwei *Centurien*, ein *Manipel* (von Petrikovits 1975, 36f.), sind sie jedoch wesentlich grösser als die zivilen, meist nur für eine Familie gedachten *Vicushäuser*⁴⁶⁰. Letztere, wie überhaupt die einfachen kleinen Häuser der Kolonien, die *Tabernen*, werden neben den Zelten der *Marschlager* als Vorbild für die *Kasernen* vermutet (von Petrikovits 1975, 144f.). In *Lucus Feroniae* beträgt die

457 Folgenden Kollegen/innen habe ich für Gespräche über Siedlungsbefunde in Italien zu danken: Gian Franco Gazzetti (*Lucus Feroniae*), Stefano Musco (*Rom/Gabii*), Rudolf Känel (*Fregellae*), Fausto Berti (*Montelupo Fiorentino*), Liliana Giardino und Antonio De Siena (*Metapont*), Antonio Sancier (*Porto Torres*).

458 Die als Vorbild für die römische Tradition in Frage kommenden Siedlungen sind in bezug auf Art der Siedlung, Datierung und Erhaltungsbedingungen in Kap. 13 vorgestellt. Bei den italienischen Orten sind als Lokalisierungshilfe Provinz und Region angegeben.

459 *Dangstetten*: 22%/10% (nach Fingerlin 1970/71, Beil. 28); *Vindonissa*, gerade Holzbauten: 24%/12% (nach Hartmann 1986a, Plan 2); *Steinbauten*: 28%/12% (nach a.a.O. Plan 3).

460 *Dangstetten*: 1625 m² (*Einzelkaserne*)/3640 m² (*Doppelkaserne*) – der Massstab (Fingerlin 1970/71, Beil. 28) ist falsch; ca. 1:2000 statt 1:500 (a.a.O. 208; Abb. 2); *Vindonissa*, gerade Holzbauten: 850 m²/1700 m²; *Steinbauten*: 850 m²/2040 m².

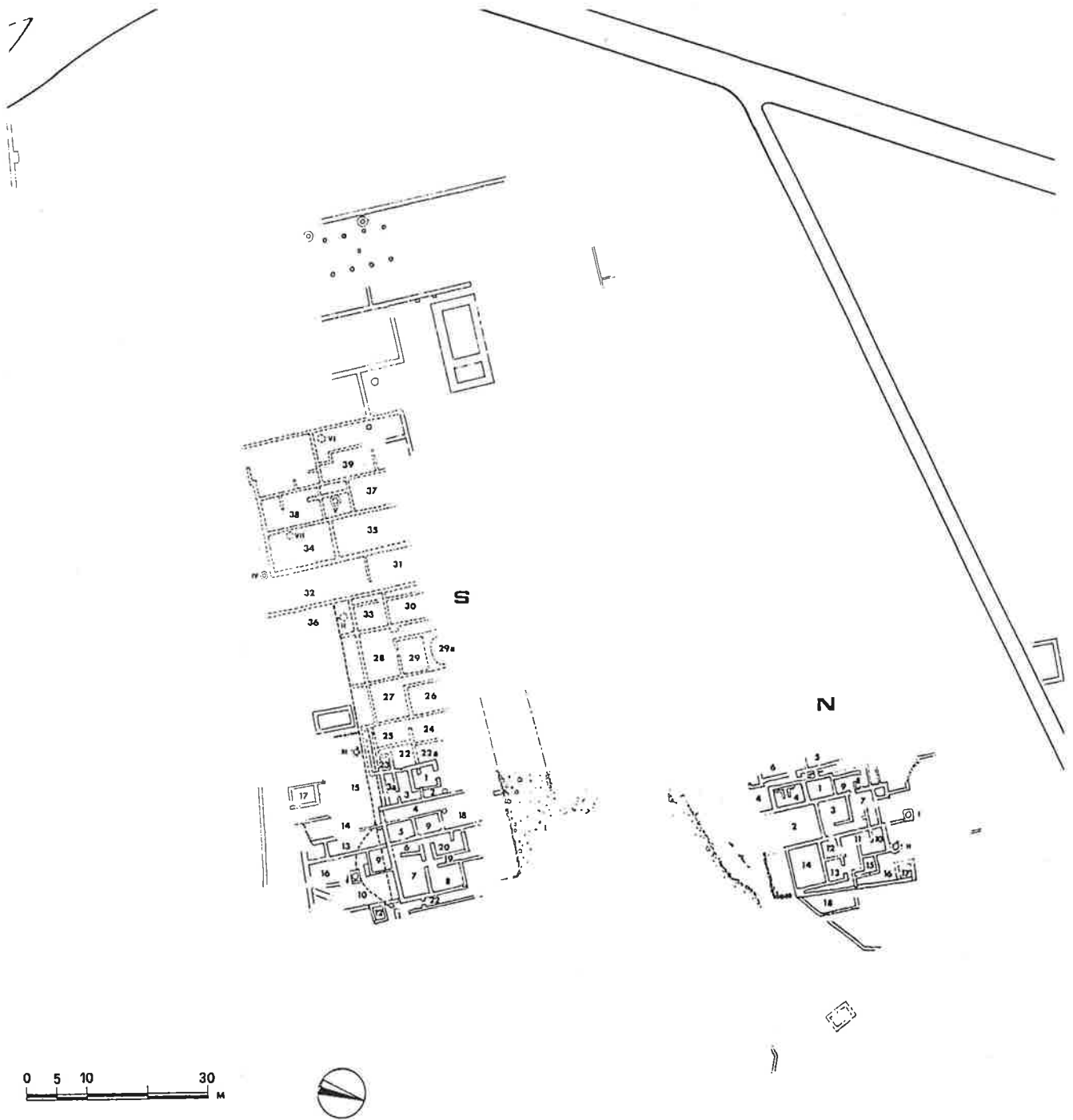


Abb. 178. Vicus von Basciano-San Rustico. Übersichtsplan. Nach Messineo/Pellegrino 1986, Abb. 47.

Grundfläche der Tabernen der jüngeren Periode in der ersten Ausbauphase am Forum etwa 200 m² und die Breite ca. 40% der Länge⁴⁶¹.

Kasernen wie Vicusbauten sind Langhäuser, für die eine Aneinanderreihung, eine Staffelung der Räume charakteristisch ist – in Vindonissa ist der Kasernenkopf

gleich behandelt, tanzt nicht aus der Reihe wie etwa in Neuss, wo er als Peristylhaus ausgeführt ist (von Petrikovits 1975, 62; Bild 3,4). Die Anordnung ist bei den militärischen Bauten meist zweiteilig, bei den Doppelkasernen entsprechend vierteilig. Bei den Vicushäusern von Basciano-San Rustico ist kein System in der Anordnung der

461 S. Simoncini 1962, Taf. 1. Bei einem Besuch konnte ich die Baustrukturen der ersten Siedlung (1. Periode) sowie der Kolonie (2. Periode)

genauer studieren. Ich schritt folgende Masse ab: ca. 9 m für die Breite, ca. 22 m für die Länge inklusive Portikus.

Räume zu erkennen; anders in Lucus Feroniae, wo ebenfalls eine Zweiteiligkeit zu sehen ist (Simoncini 1962, Taf. 1).

Man gewinnt den Eindruck, dass die zum Vergleich herangezogenen Bauten teilweise Abmessungen aufweisen, die sich auf Dreier- oder Fünfer-Fussmasse zurückführen lassen bei einem Wert für den Fuss von knapp unter 29 cm⁴⁶². Bei den geraden Holzbauten von Vindonissa liess sich ein Mass von 12' bzw. 15' für den Abstand der Innenwände und 9' für die Tiefe der Portikus nachweisen⁴⁶³. Die von Vitruv (IX 6) empfohlene Methode, den rechten Winkel nach dem Satz des Pythagoras mit dem Verhältnis von drei zu vier zu fünf Einheiten zu konstruieren, lässt sich bei den zum Vergleich herangezogenen Bauten nicht nachweisen, anders als etwa beim Tempel von Gabii (Almagro-Gorbea 1982, 90).

8.1.2. Boden

Im Vicus von Basciano-San Rustico bestanden die Böden, auch jene, die nicht durch eine Abflussvorrichtung zur Aufnahme von Wasser dienten, mehrheitlich aus mit Ziegelschrot durchsetztem Mörtel oder Lehm⁴⁶⁴. Räume mit Kiesböden, Pflasterung oder mit Ziegelsplittern erstelltem Boden werden als Höfe, als nicht überdachte Räume, angesehen. Einer der Böden bestand aus Steinsplittern und Mörtel (Messineo/Pellegrino 1986, 142). Lehm Böden werden keine erwähnt; sie scheinen in Italien selten zu sein⁴⁶⁵.

In Vindonissa fand sich im augusteischen Militärposten eine dunkle Benützungsschicht im Hausinnern (Hartmann/Lüdin 1977, 11). Für die Holzbauten des schrägen und des geraden Legionslagers werden Lehm Böden (a.a.O. 13) und Kiesböden erwähnt (Meyer-Freuler 1989, 25; 40). Bei den geraden Bauten hatte man die Lehm Böden vor dem Verlegen der Schwellbalken der Wände eingebracht (Lüdin 1966, 26). In den Steinbauten, insbesondere in den Centurionenhäuser der jüngsten Phase, fanden sich Mörtelböden, Terrazzomörtelböden und Ziegelböden (Fellmann 1953/54, 27; Tomasevic 1962, 40), während im Mannschaftsteil die Böden offenbar fehlten (a.a.O. 43). Da aber oft eine Ziegelschicht vorhanden war, die als Versturz des Daches gilt, ist zu fragen, ob die darunter fehlenden Böden nicht mit Holz erstellt waren, das sich nicht erhalten konnte (Lüdin 1966, 22). In den Höfen zwischen den Bauten kamen Pflasterungen von Kies (Fellmann 1953/54, 27), Kalk-, Ziegel- und Amphorensplittler mit

Mörtel (Tomasevic 1962, 43) oder Steinplatten (Hartmann 1986b, 67) zum Vorschein.

8.1.3. Wand

Die etwa 50 cm starken Mauern der Vicusbauten von Basciano-San Rustico bestanden aus Kieselsteinen, die mit jeweils einer abgeschlagenen Seite gerade Mauerfronten bildeten (Messineo/Pellegrino 1986, 143). Sie waren mit Mörtel verbunden und verputzt, manchmal sogar mit einer Malschicht versehen. Die Fundamente waren etwas breiter und in ähnlicher, wenn auch weniger regelmässiger Weise gefügt. Unter diesen Wänden fanden sich oft Mauerreste einer Vorgängerphase aus kleineren, unbehauenen Kieselsteinen. Die wenigen späteren Einbauten enthielten Backsteine. Es fällt auf, dass die Mauertechnik sich über lange Zeit nicht änderte (a.a.O. 138). In Lucus Feroniae sind die Fundamentsockel der ersten Überbauung (1. Periode) nur 35–50 cm breit, so dass vermutet wird, sie hätten nicht Mauern, sondern Lehmwände getragen⁴⁶⁶. Die Sockel bestehen aus zwei Schalen von 10–15 cm hohen Lagen aus Travertinbruchsteinen. Die Mauern der Kolonie (2. Periode) sind mit 50–65 cm etwas breiter und in der ersten Phase aus braunem Tuff in *opus quasi reticulatum* ausgeführt (s. Simoncini 1962, Taf. 1; Abb. 6.9.10). In einer zweiten Phase verwendete man Bruchsteine aus Travertin, zweischalig, in horizontalen, 10–15 cm hohen Lagen, als *opus reticulatum* oder zusammen mit Steinen unterschiedlicher Form und Grösse (*opus incertum*) verbaut. Die jüngsten Einbauten bestehen aus 3–4 cm hohen Backsteinen.

Die Wände der militärischen Unterkünfte augusteischer Zeit im helvetischen Gebiet standen mehrheitlich auf Schwellbalken (Fingerlin 1970/71, 209; Hartmann/Lüdin 1977, 10). Auch im Legionslager Vindonissa lagen die Wände der Holzbauten meist auf Schwellen auf (Meyer-Freuler 1989, 25f.; 27ff.; 41); vereinzelt waren in Gräben gestellte Pfosten zu beobachten (z.B. Hartmann/Lüdin 1977, 14). In die Schwellen eingezapfte Ständer bildeten das Traggerüst. Da die Balkengrübchen der schrägen Holzbauten weniger breit waren als jene der geraden und eine Planierungsschicht aus Lehm wie jene zwischen den geraden Holzbauten und den Steinbauten fehlte, nimmt man an, dass die Wände des ersten Lagers nicht aus Lehm bestanden, sondern mit Brettern ausgefacht waren (Wiedemer 1962, 24; Sitterding 1961/62, 26); Ch. Meyer-Freuler (1989, 25f.; 41) vermutet hingegen Lehmfachwerk ohne

462 Basciano-San Rustico: z.B. 33'×96' 21'×96' 36'×120' 24'×120'; Dangstetten: 45/100'×450'; Vindonissa, gerade Holzbauten: 36/70'×300'; Steinbauten: 36/85'×300'. Allerdings ist zu bedenken, dass ich die hier vorgelegten Masse an Plänen mit sehr kleinem Massstab (1:1000–1:2500) ermittelt habe.

463 Simonett 1937, 86; Wiedemer 1962, 22; Lüdin 1966, 26.

464 Messineo/Pellegrino 1986, 143. Der Begriff *cocciopesto* bezeichnet eine Mischung von grobem Ziegelschrot und Kalk (Alessi 1986) oder, seltener, Lehm (Brödner 1989, 72f.).

465 In den Handbüchern über die römische Bautechnik fehlen Lehm Böden (Marta 1986, 46ff.; Adam 1989, 251ff.). Die bei Brödner 1989, 72f. erwähnten Böden von festgestampftem Lehm weisen häufig Muster mit eingelegten Mosaikplättchen auf oder sind mit Ziegelschrot versetzt, so dass sie nicht als einfache Lehm Böden zu bezeichnen sind.

466 Freundliche Mitteilung von Gian Franco Gazzetti, Rom.

Verputz. Lehmfachwerkwände mit Verputz sind für die geraden Holzbauten nachgewiesen⁴⁶⁷. Die Fundamente der sog. Steinbauten bestanden meist aus nur einer Lage von mörtellos gefügten Kieseln⁴⁶⁸. Damit waren sie nur wenig tief fundiert und erreichten den anstehenden Boden nicht⁴⁶⁹. Beidseits etwas vorspringend trugen sie das 40–45/45–50 cm starke, gemörtelte aufgehende Mauerwerk. In der älteren Phase bestand es aus zwei Schalen von 10–15 cm hohen Lagen von Tuffquadern⁴⁷⁰, in der jüngeren Phase aus 10 cm hohen Lagen von Kalkbruchsteinen (Tomasevic 1962, 40). Mehrheitlich handelt es sich wohl um gemauerte Sockel für verputzte Lehmfachwerkwände mit Schwellen und Ständer⁴⁷¹. In einem Mannschaftsteil fand sich allerdings ein Steinversturz, der auf eine Mauerhöhe von 1.50 m hindeutet (Tomasevic 1963, 22). Die Wände waren in der Sockelzone verputzt und teilweise bemalt (Tomasevic 1962, 35f.)

Der Vergleich der römischen Bauten nördlich und südlich der Alpen zeigt, dass im Süden ab spätrepublikanischer Zeit die Wände meist als Mauern aufgeführt waren, mit Lehmwänden allenfalls für die Zeit vor dem 1. Jh. v. Chr. zu rechnen ist, auch wenn verputztes Lehmfachwerk bei Vitruv (II 8.20; VII 3.11) erwähnt wird. Anders im Norden, wo die Lehmfachwerktechnik, anfangs vielleicht auch reine Holzbauweise, für die Mannschaftsunterkünfte mindestens bis ins späteste 1. Jh. n. Chr. in Gebrauch war – auch wenn im späteren 1. Jh. n. Chr. eine «Versteinerung» der Fundamente zu fassen ist. Mit dem in Vindonissa seit den geraden Holzbauten, seit Mitte des 1. Jh. n. Chr., belegten Verputz wirkten sie aber trotz der Holz-Lehm-Technik wie Steinbauten⁴⁷².

8.1.4. Dach

Über die Dachkonstruktion ist sowohl bei den Vicusbauten von Basciano-San Rustico wie auch bei den Mannschaftsunterkünften der Militärlager nur wenig bekannt. Der Dachstuhl lag wohl auf den Mauern auf oder stützte sich auf den Ständern der Lehmfachwerkwände ab.

Auch die Frage nach dem Abdeckmaterial ist schwierig zu beantworten. Fehlen Ziegel, wie das nach meinen Er-

fahrungen für die Holzbauten von Vindonissa der Fall ist⁴⁷³, wird eine Abdeckung aus pflanzlichem Material wie Stroh, Schilf, Schindeln etc. vermutet (Adam 1989, 232). In Italien ist wohl meist ein Ziegeldach anzunehmen (a.a.O. 230f.). In Vindonissa sind Ziegeldächer erst bei den sog. Steinbauten sicher nachgewiesen (Wiedemer 1962, 28; Lüdin 1966, 22).

8.1.5. Strukturen

Im Vicus von Basciano-San Rustico kamen neben einem Kanalsystem (Messineo/Pellegrino 1986, 140ff.) viele z.T. über 3 m tiefe Sodbrunnen zum Vorschein (a.a.O. 139), die jeweils im hinteren Teil des Hauses lagen. Feuerstellen werden keine erwähnt. In der ersten Siedlung von Lucus Feroniae bestanden sie aus Flachziegeln⁴⁷⁴. Im Mittelmeerraum waren die Herde und Öfen meist aufwendig mit Ziegelsteinen und -platten auf halber Höhe an die Wand gemauert (Adam 1989, Abb. 708.709; Brödner 1989, 40).

In Vindonissa waren die Kasernen durch Kanäle mit Wasser versorgt und entsorgt⁴⁷⁵. Sodbrunnen fanden sich keine, hingegen ursprünglich mit Holz verschaltete Gruben, die wohl als Keller dienten, und Sickergruben (Weiss/Holliger 1979/80, 52f.). Aufgrund der Verfüllung gehören sie Mehrheitlich zum Lager der 13. Legion. Die Feuerstellen scheinen sich in den Holzbauten als verbrannte Lehmflecken im Boden angedeutet zu haben⁴⁷⁶. Für die Steinbauten sind hufeisenförmige Feuerstellen aus Ziegelfragmenten mit Boden aus Ziegelplatten nachgewiesen⁴⁷⁷.

8.1.6. Zusammenfassung

Die römische Bauweise war stabil: Sie ermöglichte auch für bescheidene Zwecke wie einfache Wohnhäuser das Erstellen von relativ grossen, vielräumigen Häusern. Die Vicusbauten Italiens wie die kleinstädtischen Tabernen überhaupt waren Langhäuser (s. auch Sommer 1988, 577), ebenso die Kasernen der Militärlager. Die Wände waren in Italien seit dem 1. Jh. v. Chr. gemauert, die Dächer

467 Simonett 1937, 90; Sitterding 1961/62, 31; Wiedemer 1962, 26; Meyer-Freuler 1989, 27ff.

468 Simonett 1938, 86; Sitterding 1961/62, 32 Beil.; Tomasevic 1962, 35f. Beil. 1; Lüdin 1966, 22.

469 UK des Fundamentes kann 50 cm über OK des anstehenden Bodens liegen (s. z.B. Tomasevic 1963, Beil. 1).

470 Tomasevic 1962, 35f.; auch Simonett 1938, 86; Fellmann 1953/54, 26f.; Sitterding 1961/62, 32; Wiedemer 1962, 27 Anm. 35; Hartmann 1973b, 8.

471 Wiedemer 1962, 27; Lüdin 1966, 22; Hartmann 1979/80, Abb. 5.7; Hartmann 1986a, 61.

472 Die hölzerne Tragkonstruktion war wohl wie bei den zivilen Bauten (s. Kap. 3.4.) von verputztem Lehm umschlossen und nicht sichtbar (s. auch Meyer-Freuler 1989, Abb. 13).

473 Das Fehlen von Ziegeln in den Schichten der Holzbauten ist in den

Profilen zu sehen (z.B. Sitterding 1961/62, Beil.; Tomasevic 1962, Beil. 1; Lüdin 1966, Beil. 3; Hartmann 1973b, Beil. 3). Von der 13. Legion sind keine Ziegelstempel bekannt (Jahn 1909, 124f.; Meyer-Freuler 1989, 140ff.). Allerdings waren Ziegel in einem Grab verbaut, das man aufgrund eines Arretinatellers und einer Münze des Augustus mit Lyoneraltar in die Zeit der 13. Legion, nämlich um 20, datiert (Hartmann 1974, 7f.).

474 Freundliche Mitteilung von Gian Franco Gazzetti, Rom.

475 Tomasevic 1963, Beil. 3; Lüdin 1966, Beil. 1; Hartmann 1979/80, Abb. 8.

476 Simonett 1938, 86. Ähnliche Feuerstellen fanden sich im Valetudinarium des Holzlagers (Simonett 1937, 92 Abb. 5).

477 Sitterding 1961/62, Abb. 15–17; Lüdin 1966, Abb. 3; Hartmann 1979/80, Abb. 5; Hartmann 1986b, Abb. 2.

mit Ziegeln gedeckt und die Böden oft in einer massiven Bauweise erstellt. Eine Weiterentwicklung in der Zeit ist kaum zu erkennen. Nördlich der Alpen, wo Steinbrüche vorerst, wenn überhaupt, nur wenig erschlossen waren, errichtete man stabile Holz- oder Lehmfachwerkwände mit Schwellen, Ständern und einer das Traggerüst verstreben- den Ausfachung. Gegen die Mitte des 1. Jh. n. Chr. schützte man die Wände mit Verputz, wenig später zusätzlich durch das Anheben auf einen gemauerten Sockel vor der Feuchtigkeit des mitteleuropäischen Klimas. Mit den gemauerten Sockeln setzte sich das Ziegeldach durch, und die Böden wurden vermehrt in einer massiven Bauweise errichtet. Seit die Lehmfachwerkhäuser mit Verputz versehen waren, wirkten sie wie Steinhäuser.

8.2. Keramik

Das Vorbild für die Keramik römischer Tradition von *Aquae Helveticae* wäre in der Keramik mittellitalischer *Vici* republikanisch-augusteischer Zeit zu suchen; deren weitere Entwicklung in der Kaiserzeit ist zum Vergleich heranzuziehen, um die Entwicklung der römischen Keramik kleinerer Siedlungszentren im allgemeinen zu beschreiben. Leider liegt bisher kein entsprechendes Material vor, so dass die Untersuchung auf Kolonien wie *Gabii*, *Ostia*, *Sutri*, *Cosa* und *Narni*, Munizipien wie *Pistoia* und *Ortona*, Villen wie jene von *Settefinestre* und *Colle Plinio* auszuweiten ist⁴⁷⁸. Da die Kelten nördlich der Alpen die fremde Keramik, insbesondere die nicht importierte Gebrauchskeramik, wohl in erster Linie durch den Kontakt mit dem römischen Militär kennenlernten, ziehe ich mit *Dangstetten* auch ein frühes *Legionslager* zum Vergleich heran⁴⁷⁹.

Die Keramikentwicklung lässt sich nur anhand stratifizierter Ensembles beschreiben, die mindestens tabellarisch vollständig erfasst vorliegen. So kann die schon seit langem publizierte Keramik von *Gabii*, *Sutri* und *Cosa* nur für die Formen, nicht aber für die Formenverteilung und die Keramikentwicklung als Vergleich dienen, da sie jeweils nur in einer Auswahl vorliegt. In neueren Publikationen legt man das Material zwar durchwegs tabellarisch vor, doch herrscht über die Zählweise keine Einigkeit (Arthur/Ricci 1981). Meist werden alle Fragmente gezählt, die

einem Typ zuzuweisen sind (Frova 1977, 67ff.; Ricci 1985, 15; Vannini 1987, X). Bei kleineren Ensembles liegt das ganze Material als Katalog vor, so dass die Randscherben sich auszählen lassen wie es für *Albinia*, *Narni* und vermutlich *Ortona* möglich ist. Auch für *Dangstetten* lässt sich ein Ensemble erstellen. Anders jedoch bei den Fundstellen mit grossen Fundmassen. Dort lässt sich die Keramik nicht mehr vollständig in einem Katalog vorlegen, sondern nur noch tabellarisch. Die erwähnte Uneinheitlichkeit in der Erfassung des Materials wird aber nur dann nicht zum Problem, wenn die Fragmente in den Tabellen nach Randscherben, Wandscherben, Bodenscherben aufgeschlüsselt sind. Dies ist in *Colle Plinio*, *Ostia* und teilweise in *Pistoia* der Fall. Fehlt diese Gliederung, so wird die Auszählung aufgrund der Bestimmbarkeit der Keramik zum Problem. Diese ist nämlich nicht für alle Gattungen gleich: *Campana*, *Sigillata*, sog. importierte Feinkeramik, deren Imitationen, Lampen und Amphoren sind typologisch sehr gut definierte Sorten, deren Wand- und Bodenscherben sich ähnlich gut wie die Randscherben zuweisen lassen. In einer auf allen bestimmaren Fragmenten beruhenden Tabelle sind sie übervertreten; einfache Gebrauchskeramik hingegen wie die *orange Ware*, die graue Feinkeramik und die Grobkeramik lassen sich meist nur über die Randscherben typologisch bestimmen, so dass sie untervertreten sind. Eine Ausnahme macht hier die aus Afrika importierte Kochkeramik, die anhand ihrer charakteristischen Tonqualität auch an kleinsten Wandscherben zu erkennen ist. Ebenso sind die offenen Formen besser erfasst, da die Randscherben und oft auch die Bodenscherben einen weit höheren Anteil am Gesamtgefäss ausmachen als bei den engen, geschlossenen Formen. Krüge etwa kommen in einem so zusammengestellten Ensemble sozusagen doppelt schlecht weg, da sie nur über den Rand einem Typ zuweisbar sind, der seinerseits nur einen geringen Prozentsatz des ganzen Gefässes ausmacht. Unter dem Vorbehalt, dass die Feinkeramiksorten, die Amphoren und die afrikanische Kochkeramik wegen der besseren Bestimmbarkeit übervertreten sind, müssen die Ensembles von *Settefinestre* und *Luni* betrachtet werden, wobei beim letzteren Fundort sich zusätzlich das Problem stellt, dass man die Keramikgattungen nicht nach einheitlichen Kriterien erfasst hatte!

Problematisch sind oft auch die Fundzusammenhänge, aus denen das Material stammt. Bedingt durch die massive

478 Folgenden Kollagen/innen verdanke ich, dass ich römische Keramik aus Mittelitalien anschauen konnte: Stefano Musco (*Gabii*), Clementina Panella (*Ostia*), Gian Franco Gazzetti (*Lucus Feroniae*), Amanda Claridge (*Sutri*), Robin T. Scott (*Cosa*) und Fausto Berti (*Montelupo Fiorentino*). Keramik aus *Pistoia* ist in einem *percorso archeologico* im alten Bischofspalast von *Pistoia* zu sehen. An der Universität *La Sapienza* in Rom konnte ich im Frühjahr 1991 an dem von Gian Franco Gazzetti gehaltenen Kurs «*introduzione al catalogo dell'instrumentum domesticum di età romana*» teilnehmen. Infor-

mativ war auch der Vergleich mit der Keramik der *Magna Graecia* und Sardinien, wofür ich *Liliana Giardino* (*Metapont*), *Rubens d'Oriano* (*Olbia*) und *Antonio Sanciu* (*Porto Torres*) zu danken habe.

479 Die zur Erarbeitung der römischen Keramiktradition herangezogenen Fundstellen sind in bezug auf Art der Siedlung, Fundumstände und Zustandekommen der Ensembles sowie Datierung in Kap. 13 vorgestellt. Als Lokalisierungshilfe sind bei den italienischen Orten jeweils Provinz und Region angegeben.

Bautechnik (Kap. 8.1.) entstanden kaum mehr Ablagerungen – die Siedlungsreste von Albinia sind eine Ausnahme. Die meisten Schichten sind mächtige Auffüllungen oder Planien, die man jeweils vor einem Neu- oder Umbau eingebracht hatte, wie dies für Narni, Pistoia, Ostia, Settefinestre und Luni zutrifft. So erstaunt nicht, dass das Fundmaterial oft uneinheitlich erscheint, dass Funde, die in beträchtlich früheren Zeiten abgelagert sein müssen, noch lange nachwirken, wie etwa die Campana, die in Schichten des späten 1./früheren 2. Jh. n. Chr. noch bis um die 5% eines Ensembles ausmachen kann (s. Tab. 30). Die Funktion als Baugrund könnte auch den z.T. ungewöhnlich hohen Anteil an Amphoren in den Schichten erklären, deren grosse, poröse und äusserst stabile Fragmente sich gut zur Festigung des Geländes eignen. Neu- oder Umbauten waren angesichts der stabilen und massiven Bauweise in Italien jedoch offenbar eher selten nötig, so dass zwischen den einzelnen Bauphasen grosse Zeiträume liegen, die kaum je weniger als ein halbes Jahrhundert umfassen. Auch dies erschwert das Erstellen eines engmaschigen Netzes für die Feindatierung der Keramik.

8.2.1. Keramikgattungen (Tab. 30.31; Abb. 187)

Die folgenden Keramikgattungen sind so gegliedert, dass sie einerseits dem in Italien gefundenen Material des 1. Jh. v. Chr.–2. Jh. n. Chr. entsprechen, andererseits in etwa mit den beim Badener Material verwendeten Gattungen übereinstimmen.

Die Campana oder Keramik mit schwarzem Glanztonüberzug (a vernice nera) ist in spätrepublikanischen Komplexen gut vertreten. Sie verschwindet im Laufe des späteren 1. Jh. v. Chr. In den jüngeren Ensembles tritt sie nur noch als verlagerte Einzelstücke auf. Meist ist die lokale, als Imitation zu bezeichnende Produktion nicht von der importierten getrennt – Ausnahmen Narni und Ostia. Sie scheint jedoch selten zu sein (Vannini 1987, 4).

Ersetzt wird die Campana durch die Sigillata; in augusteischer Zeit sind beide Gattungen etwa gleich häufig. Um die Mitte des 1. Jh. n. Chr. steigt der TS-Anteil an. Im 1. Jh. stammt die Sigillata zur Hauptsache aus Etrurien. Nur eher selten kommen andere Produkte vor, etwa entsprechend den nordwestlichen Provinzen (Kap. 4.2.1.) aus Südgalien⁴⁸⁰, oder aus Spanien (Carandini/Panella 1973, 325) und im 2. Jh. aus dem östlichen Mittelmeerraum (Ricci 1985, 161f.). Gegen Ende des 1. Jh. erscheint die sog. afrikanische Sigillata (terra sigillata chiara A), im nördlichen Tunesien hergestellt, die in der 2. Hälfte des 2. Jh. zur

dominanten Sorte wird (Ricci 1985, 160f.; Vannini 1987, 329f.); Mittel- und ostgallische Sigillata fehlt. Imitationen von Sigillata sind keine zu verzeichnen, mit Ausnahme von Dangstetten, wo vereinzelte Stücke aus einer lokalen Produktion stammen. Offenbar lohnte es sich nur in dem an der Grenze des Reiches, weit von den grossen Produktionsstätten entfernt gelegenen Legionslager, die Sigillata zu imitieren.

Die sehr hart gebrannte sog. Feinkeramik (a pareti sottili) importierte man wie die glasierte Feinkeramik aus bestimmten Zentren⁴⁸¹. In republikanischer Zeit ist sie meist ohne Überzug, bräunlich oder orange, mit eher rauher Oberfläche, in der Kaiserzeit ist sie vermehrt mit Überzug versehen. Sie ist im früheren 1. Jh. v. Chr. ziemlich selten. In augusteischer Zeit verzeichnet sie einen starken Aufschwung. Ab der Mitte des 1. Jh. n. Chr. fällt ihr Anteil sukzessive zurück.

Neben der Feinkeramik kommen noch wenige andere nicht in der jeweiligen Region hergestellte Gefässe vor. Meist sind es sog. pompejanisch-rote Platten (a vernice rossa interna; s. auch Kap. 4.2.8.). Sie treten in fast allen Komplexen auf (Tab. 30), scheinen aber nicht imitiert worden zu sein.

Lampen sind in allen Ensembles relativ selten. Meist sind sie mit einem Überzug versehen (Ricci 1985, 212). Wie die Feinkeramik importierte man auch sie aus verschiedenen Zentren⁴⁸².

Die Amphoren sind mit Anteilen von etwa 5–10% vertreten, wenn wir jene Ensembles nicht berücksichtigen, die wegen der Schichtart (Auffüllung) oder der Zählweise der Fragmente einen zu hohen Anteil haben könnten. Einzig die republikanischen Siedlungsreste von Albinia weisen mit knapp 20% einen nicht zu erklärenden hohen Prozentsatz auf.

Der Glanztonkeramik sind gemäss den beim Badener Material verwendeten Kriterien (Kap. 4.3.5.) alle mit einem Überzug versehenen Typen zugerechnet, die nicht der importierten Feinkeramik angehören. Die Ware ist selten, sie gilt in der italienischen Forschung nicht als eigene Gattung. Allfällige Exemplare finden sich bei der Gebrauchskeramik⁴⁸³. Die helltonige Keramik (ceramica comune) ist in den Ensembles gut vertreten, im Laufe der Zeit scheint sie jedoch leicht abzunehmen. Die graue Feinkeramik (ceramica grigia) ist selten. Einzig im 1. Jh. n. Chr. erreicht sie einen nicht unbeträchtlichen Anteil.

Die Grobkeramik (terracotta rozza) ist gut vertreten, wobei die Anteile beträchtlich schwanken. Das liegt wohl auch daran, dass die Unterschiede zur orangen Keramik nicht so gross und die Grenze fließend sind, so dass je

480 Carandini/Panella 1973, 322; Frova 1977, 139; Ricci 1985, 151; Vannini 1987, Nr. 900–902.

481 Marabini Moevs 1973; Frova 1977, 144; Ricci 1985, 172; Vannini 1985, 311; s. auch Kap. 4.2.–4.4.

482 Carandini/Panella 1973, 401; s. auch Kap. 4.2.6.

483 Möglicherweise sind mir Stücke entgangen, die nach meinen Kriterien der Glanztonkeramik zuzuweisen wären, denn die Beschreibung in den Katalogen ist nicht immer eindeutig.

nach Kriterien die Anteile unterschiedlich ausfallen⁴⁸⁴. Der Anteil vergrößert sich im 2. Jh.; ab dem Ende des 1. Jh. n. Chr. führte man in zunehmendem Masse Küchengerätschaften aus Afrika ein, die die lokalen Produkte ersetzten (Carandini/Panella 1973, 456). In der Scherbe ist die Grobkeramik meist helltonig, fein gemagert und hart gebrannt (Ricci 1985, 130f. mit Abb. 40). Bei den Töpfen kommen, wenn auch selten, graue Tonarten vor (Monacchi 1986/87, 163f.; Vannini 1985, 339). Die aus Afrika importierte Ware zeigt eine sehr charakteristische Beschaffenheit (Tortorella 1981, 208), so dass sie gut zu erkennen ist und in der italienischen Forschung als eigene Gattung gilt. Der Ton ist leuchtend orange, hart, fein gemagert. Die Gefäße weisen einen aschgrauen Überzug (patina cenerognola) auf, der entweder grosse Teile der Aussenseite bedeckt (Kochschüsseln) oder nur den Rand (Platten/Deckel; a orlo annerito).

8.2.2. Formen (Tab. 30.31)⁴⁸⁵

Die Campana besteht in etwa gleichen Anteilen aus Schüsseln, Tellern und Schälchen. Die Sigillata setzt sich aus den gleichen Formgruppen zusammen, wobei sich Schüsseln erst ab dem mittleren 1. Jh. in den Spektren bemerkbar machen. Vereinzelt treten Becher auf. Bei der afrikanischen Sigillata kommt mit dem Krug eine neue, aber seltene Form hinzu.

Die importierte Feinkeramik tritt als Becher und Schälchen auf. Beide Formen scheinen in Italien – nicht aber in Dangstetten – oft mit Henkeln versehen zu sein⁴⁸⁶. Die Becher, schon im frühen 1. Jh. v. Chr. belegt, erreichen einen Höhepunkt in augusteischer Zeit. Dies ist nicht nur in Dangstetten zu beobachten, sondern auch in einer zivilen Siedlung wie Ortona, wo es sich nicht wie in einem Legionärlager mit ausschweifenderen Trinksitten erklären lässt. Im 1. Jh. n. Chr. überwiegen die Schälchen deutlich, während im 2. Jh. das Verhältnis eher ausgewogen oder so-

gar wieder zugunsten der Becher verschoben ist. Wie bei der Campana und der Sigillata imitierte man die importierte Feinkeramik kaum.

Den Amphorenfunden nach zu urteilen importierte man in erster Linie Wein, Öl und Fischsaucen sind hingegen seltener⁴⁸⁷. Im 2. Jh. nimmt der Import von Garum zu, das in Settefinestre die zweite Stelle einnimmt, nach Wein und vor Öl. Die wichtigsten Herkunftsgebiete sind Italien (Wein, Früchte), Spanien (Wein, Öl, Garum), Gallien (Wein), die Ägäis (Wein) und Afrika (Öl, Garum).

An Glanztonkeramik treten im 1. Jh. v. Chr. wenige Schüsseln und Krüge auf. In Dangstetten sind es hauptsächlich Krüge – sie machen 28% aller Krüge aus –, die Reste eines Überzuges von lederbrauner, rot bis violetter oder weisser Farbe tragen⁴⁸⁸. Offensichtliche Metallimitationen fehlen⁴⁸⁹.

Die häufigsten Formen der helltonigen Gebrauchskeramik (Abb. 179) sind die Kanne, der Krug⁴⁹⁰ und der kleine meist zweihenkelige Vorratsstopf – olla da conserva⁴⁹¹. Dessen Ränder sind häufig zur Aufnahme eines Deckels leicht gekehlt⁴⁹², dreieckig verdickt (Duncan 1964, Nr. 105) oder scharf nach aussen umgelegt⁴⁹³, und oft weist er einen kurzen, abgesetzten Hals auf⁴⁹⁴. Teller sind ebenfalls gut vertreten⁴⁹⁵. Es kommen einfache Ränder (Duncan 1965, A113; Berti et al. 1970, Nr. 348) und nach aussen verdickte (a. a. O. Nr. 347) vor. Schüsseln treten in eher kleiner Ausführung – coppe⁴⁹⁶ – oder als sehr grosse Exemplare – bacini⁴⁹⁷ – mit Durchmessern deutlich über 30 cm auf. Es sind weit geöffnete Formen mit meist nach aussen umgelegtem oder an der Aussenseite profiliertem Rand. Sie können einen Wandknick aufweisen. Kleinere Stücke mit Horizontalrand sind gut vertreten⁴⁹⁸. Die mit Durchmessern von häufig über 40–50 cm sehr grossen Reibschüsseln⁴⁹⁹ sind eher selten. In Dangstetten sind sie mit durchschnittlich 32 cm deutlich kleiner⁵⁰⁰. Bei den Deckeln (z. B. Ricci 1985, Taf. 31, 8–11) kann anhand der Publikationen die Unterscheidung zwischen sog. Gebrauchskeramik und Kochgeschirr nicht immer so vorgenommen werden

484 Insbesondere die Deckel (s. unten) und Töpfe lassen sich, wie ich selber erkennen musste, nicht immer eindeutig trennen.

485 Abb. 179–181 sind auf Wunsch der Herausgeber für die Leser nördlich der Alpen entstanden und geben nicht unbedingt die besten, sondern die mir 1994 in Bern zugänglichen Beispiele wieder.

486 Nach den Typentafeln (Marabini Moevs 1973; Mayet 1975, Taf. 78ff.) sind die Becher etwa zu einem Drittel gehenkelt, die Schälchen zur Hälfte. Im Katalog von Dangstetten (Fingerlin 1986) sind keine Henkel abgebildet.

487 Ricci 1985, Abb. 225; s. auch Frova 1977, 268f.; Vannini 1985, 342ff.; Vannini 1987, z. B. Tab. 76a.

488 Fingerlin 1986, Nr. 2/6.56/28.60/6.64/4.66/32.73/7.85/11.109/6–8.140/8–9 (von den ersten 150 Fundstellen).

489 Erst die Terra Sigillata chiara C des 3./4. Jh. imitiert Metallformen (Carandini 1981, 14).

490 Z. B. Ricci 1985, Taf. 33, 16–23; Taf. 34; Vannini 1987, Nr. 1010–1035.

491 Z. B. Frova 1977, Taf. 129; Ricci 1985, Taf. 30, 5–13; Vannini 1987, Nr. 1043.1061–1067.

492 Duncan 1964, Nr. 107; Vegas 1968, Nr. 131–134; Fingerlin 1986, Nr. 107/11.

493 Duncan 1964, Nr. 101; Vegas 1968, Nr. 135; Fingerlin 1986, Nr. 44/6; Monacchi 1986/87, Taf. 9, 5; Vannini 1987, Nr. 1065.

494 Duncan 1964, Nr. 131–140; Fingerlin 1986, Nr. 4/13.35/9.42/22–23. 115/47–48.129/47–49.132a/19.142/19.

495 Z. B. Dyson 1976, PD–9–12; Ciampoltrini 1984, Abb. 9, 14.15; Ricci 1985, Taf. 33, 2–4; Vannini 1987, Nr. 1095.1096.

496 Z. B. Ricci 1985, Taf. 33, 1.5–15; Vannini 1987, Nr. 1086–1092.

497 Z. B. Frova 1977, Taf. 126f.; Ricci 1985, Taf. 53–55; Vannini 1987, Nr. 1097–1101.

498 Duncan 1965, A21.A23; Frova 1977, Taf. 131, 14.16; Monacchi 1983, Taf. 1, f.m; Taf. 2, a.

499 Z. B. Ricci 1985, Taf. 56; Vannini 1987, Nr. 1120.

500 Fingerlin 1986, Nr. 4/19.6/9.11/10.30/30.42/46.76/7.103/5. 129/56 (von den ersten 150 Fundstellen).

501 S. auch Ricci 1985, 93. – Wenn sie nicht explizit als Kochkeramik angesprochen oder als stark gemagert beschrieben sind, habe ich sie der orangenen Keramik zugerechnet, wie ich dies beim Badener Material gemacht habe. – Auch beim Badener Material war die Zuweisung nicht immer eindeutig (Kap. 4.3.6.; 4.3.8.).

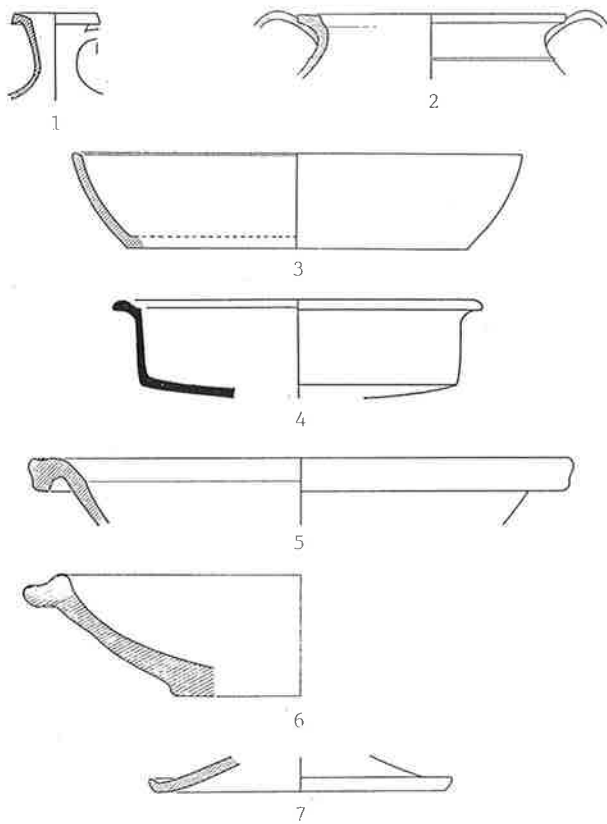


Abb. 179. Helltonige Gebrauchskeramik aus Italien. 1–3.5.7 Gabii; 4 Sutri; 6 Pompeji. 1–3.5.7 nach Vegas 1968, Nr. 106.131.158.167.174; 4 nach Duncan 1965, A23; 6 nach Bruckner 1975, Abb. 205,7. M ca. 1:4.

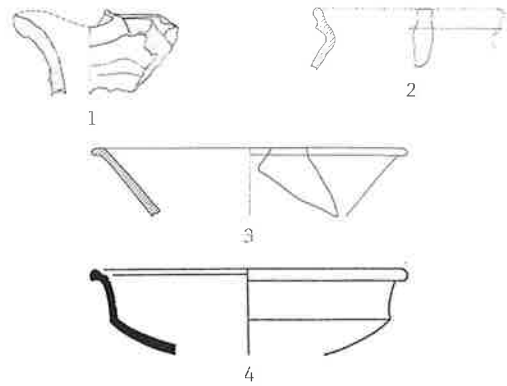


Abb. 180. Graue Feinkeramik aus Italien. 1–3 Ostia; 4 Sutri. 1–3 nach Berti et al. 1970, Taf. 19,320; Carandini/Panella 1973, Taf. 41,316; 68,620; 4 nach Duncan 1965, A22. M ca. 1:4.

(s. unten) wie beim Badener Material⁵⁰¹. Es kommen geschweifte Profile⁵⁰², gerundete⁵⁰³ und eckige Ränder⁵⁰⁴ vor.

Die häufigsten Formen der grauen Feinkeramik (Abb. 180) sind Kannen oder Krüge⁵⁰⁵, während Schüsseln (Duncan 1965, A22; Vannini 1987, Nr. 535.3880), Teller (Vannini 1987, Nr. 3898) und Töpfe⁵⁰⁶, die gehenkelt sein können, nur vereinzelt auftreten. Einzig in Dangstetten kommen grautonige Töpfe häufiger vor. Mehrheitlich weisen sie das von den helltonigen Töpfen bekannte Profil mit kurzem, abgesetztem Hals (Fingerlin 1986, Nr. 17/17–18.42/26–27.42/33.116/4) oder mit innen abgesetztem Rand (a.a.O. Nr. 142/20.150/9) auf. Vereinzelt treten in Dangstetten auch Formen auf (a.a.O. Nr. 4/12.114/13), die stark an die feintonigen Töpfe insbesondere die Schultertöpfe der späten Latènezeit erinnern (Kap. 7.2.2.).

Häufige Formen der Grobkeramik (Abb. 181) sind die Kochschüssel – pentola – und der Kochtopf – olla da fuoco. Die lokalen Kochschüsseln⁵⁰⁷ haben meistens einen Horizontalrand⁵⁰⁸, der manchmal gefalzt ist⁵⁰⁹. Mit den auf der Aussenseite grau beschichteten afrikanischen Kochschüsseln⁵¹⁰ kommen Wulstränder auf. Die in Italien gebräuchlichen Kochtöpfe weisen von allen Grundformen formal die grösste Nähe zur keltischen Entsprechung auf, so dass die beiden Traditionsstränge zur Unterscheidung sehr genau formuliert werden müssen. Die mittelitalischen Kochtöpfe sind durchwegs scheibengedreht und nur selten grautonig. Nur in Dangstetten treten letztere gehäuft auf; sie scheinen sogar knapp häufiger zu sein als die helltonigen⁵¹¹. Oft weisen sie einen abgesetzten Hals auf⁵¹². Die Ränder sind mandelförmig⁵¹³ oder dreieckig verdickt⁵¹⁴, in-

502 Z.B. Duncan 1964, Abb. 15,177.178.180–182; ders. 1965, Abb. 14, A122–125; Vegas 1968, Abb. 16,162–167; Dyson 1976, V-D-68.69.71.72; PD-86.

503 Duncan 1964, Abb. 15,179; Dyson 1976, V-D-70; PD-87.

504 Duncan 1965, Abb. 14, A119.120; Vegas 1968, Abb. 16,161.

505 Carandini/Panella 1973, 405; Frova 1977, 117; 156; Vannini 1987, 5.

506 Carandini/Panella 1973, 405; Taf. 58,497; Frova 1977, Taf. 88,5; Vannini 1987, Nr. 531.

507 Frova 1977, Taf. 131,6–23; Taf. 132,1–35; Ricci 1985, Taf. 24,5–16; Taf. 25–27; Vannini 1987, Nr. 266–268.1173.1179.

508 Vegas 1968, 38ff.; Dyson 1976, PD-27–31; Ricci 1985, Taf. 24,13.14; Vannini 1987, Nr. 267.

509 Bruckner 1975, Abb. 204,1,2; Dyson 1976, 22II-15; Vannini 1987, Nr. 1173.

510 Frova 1977, Taf. 122–124; Vannini 1987, Nr. 993.997.4157.

511 56% von den ersten 150 Fundstellen (Fingerlin 1986, nach Katalog).

512 Duncan 1964, Abb. 11; Bruckner 1975, Abb. 204,12; Dyson 1976, V-D-51–55; 22II-53; Frova 1977, Taf. 132,10; Ciampoltrini 1984, Abb. 8,13; Ricci 1985, Taf. 28,3; Monacchi 1986/87, Taf. 5,10; Vannini 1987, Nr. 258.260.1168.

513 Dyson 1976, V-D-29–31; PD-41–43; Frova 1977, Taf. 133; Almagro-Gorbea 1982, 453 Nr. 1–4; Monacchi 1986/87, Taf. 6,2.4.5; .

514 Dyson 1976, 22II-59; Almagro-Gorbea 1982, 452 Nr. 11.12; Ricci 1985, Taf. 30,1.2.4; Monacchi 1986/87, Taf. 5,9; Taf. 6,1.

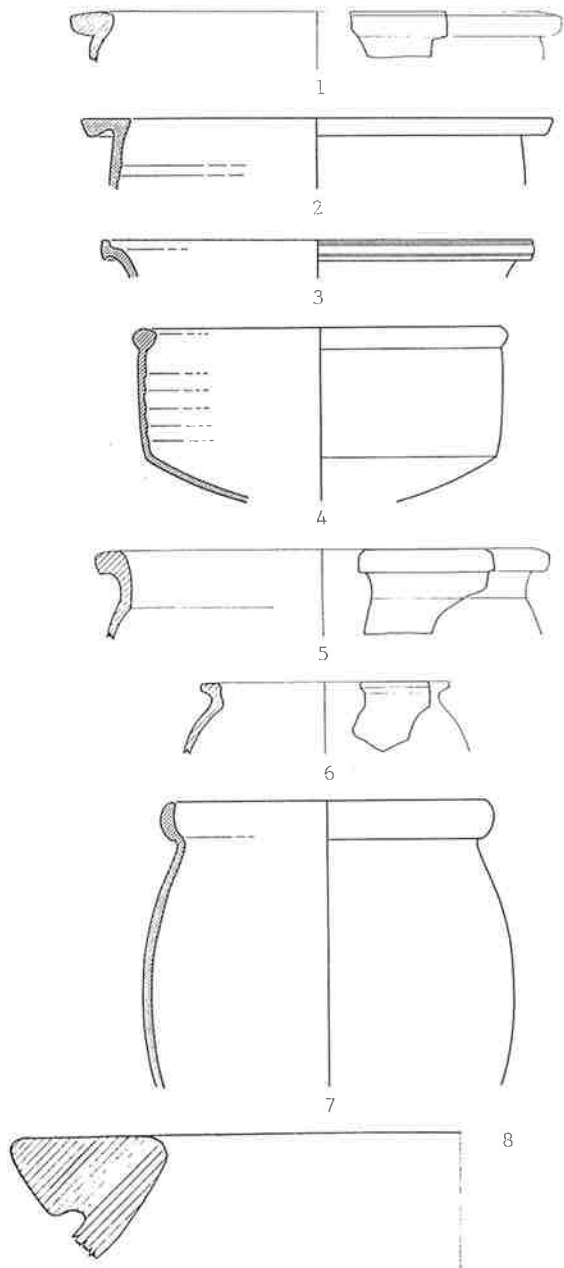


Abb.181. Grobkeramik aus Italien. 1.5.6.8 Settefinestre; 2–4.7 Gabii. 1.5.6.8 nach Ricci 1985, Taf.11,2; Taf. 26,7; Taf. 28,3,11; 2–4.7 nach Vegas 1968, Nr.138.149.153.155. M ca. 1:4.

nen gekehlt⁵¹⁵ oder nach aussen umgelegt⁵¹⁶. Auch Horizontalränder sind nicht selten⁵¹⁷. Diese Typen lassen sich alle gut von jenen keltischer Tradition abgrenzen. Aus Lunini hingegen, der im Norden, in Nachbarschaft zum keltischen Oberitalien gelegenen Kolonie, stammen einige Stücke, die ausgesprochen keltisch wirken (Frova 1973, Taf. 75,1.5.6.15.17.18). Sie bestehen aus dunklem, oft schwärzlichem Ton und können handgeformt sein (a.a.O. 421ff.). Einige sind mit Kammstrich verziert. In ihnen wird eine vorrömische Tradition gesehen. Im Legionslager Dangstetten treten mit 10% in nicht unbeträchtlicher Menge handgeformte Kochtöpfe auf, die ganz in der Tradition der späten Latènezeit stehen⁵¹⁸. Die einfachen Kochteller⁵¹⁹ erreichen erst mit dem Import aus Afrika, den Kochplatten mit geschwärztem Rand⁵²⁰, einen gewissen Umfang. Zu den Backplatten wären an sich auch die pompejanisch-rotten Platten zu zählen, die analog zu Baden aber bei der Importkeramik aufgeführt sind⁵²¹. Die Deckel (z.B. Frova 1977, Taf. 137,1–11) schwanken stark im Anteil, doch dürfte dies nicht zuletzt an der nicht immer konsequenten Trennung von den helltonigen Deckeln liegen. Die Dolien⁵²² weisen einen meist orangefarbenen, selten grauen Ton auf (z.B. Ricci 1985, 321f. mit Abb. 30.39). In republikanischer Zeit sind die Ränder sichelförmig nach innen gebogen (Duncan 1965, Abb. 7,A32.A33). Ab dem 1. Jh. n. Chr. treten Horizontalränder (Duncan 1964, Abb. 18,212) und einfache, nach innen gebogene Ränder auf (Vegas 1973, Abb. 42,3.4; Ricci 1985, Taf. 23,1).

Die Keramik des am Rand der römischen Welt gelegenen Legionslagers Dangstetten unterscheidet sich in einigen bemerkenswerten Punkten von jener Mittelitaliens: Die importierten feinen Becher und Schälchen haben keine Henkel. Die Reibschüsseln sind durchwegs kleiner. Bei den feineren Töpfen treten vermehrt grautonige auf, die mitunter eine ausgesprochen keltische Form aufweisen. Das gleiche gilt für die Kochtöpfe, die überdies zu einem beträchtlichen Prozentsatz (ca. 40%:60%) ganz in keltischer Manier gefertigt sind, während Kochschüsseln, die

515 Dyson 1976, PD-44–49; 22II-62; De Boe/Vanderoeven 1979, Nr. 58–61; Almagro-Gorbea 1982, 453 Nr. 13; Ciampoltrini 1984, Abb. 12,18 (bei den Abbildungen ist die Legende mit jener von Abb.11 vertauscht); Ricci 1985, Taf. 28,4.13–20; Taf. 29,6.10.13.16–23; Vannini 1987, Nr. 1212.1215.

516 Vegas 1968, Abb. 15,146; Dyson 1976, V-D-23–28; PD-34.36–40.50. 51.60–62.73; Almagro-Gorbea 1982, 453, Nr. 5–10; Ricci 1985, Taf. 29,9; Monacchi 1986/87, Taf. 6,1.3.6.

517 Dyson 1976, pd-52.56–58; Almagro-Gorbea 1982, 457 Nr. 15–19; Monacchi 1983, Taf. 2,f; Ciampoltrini 1984, Abb. 12,14 (s. oben Anm. 515); Ricci 1985, Taf. 28,5–11; Taf. 29,4.8.9.

518 Fingerlin 1986, Nr. 3/9.4/16.28/13.30/25.31/23–24.42/35–40.44/9.48/6.50/8.51/6.56/31–32.62/20.67/12.80/7.85/15.86/21.101/8.104/24.110/17–18.111/4.115/54.124/20–21.132a/20.142/24. 150/10–12 (von den ersten 150 Fundstellen).

519 Frova 1977, Taf. 131,1–5; Ricci 1985, Taf. 24,1–4.

520 Frova 1977, Taf. 120f.; Vannini 1987, Nr. 985–992.

521 Da es sich nicht um sehr viele Gefässe handelt, veränderte eine andere Zählweise das statistische Bild nur wenig; s. auch Kap. 8.2.3.

522 Ricci 1985, Taf. 11,1–7; Taf. 23,1–6; Vannini 1987, Nr. 1138–1140.

im Mittelmeergebiet beliebte Kochform, völlig fehlen (Fingerlin 1986). Ist hier ein Einfluss der vielleicht aus Gallien stammenden Hilfstruppen zu sehen?

8.2.3. Formenspektrum

Die Formenverteilung der Feinkeramik (Tab. 32; s. auch Abb. 188) ändert sich im Laufe der Zeit. Die Schüsseln verringern ihren Anteil seit spätrepublikanischer Zeit, von 20–25%, um gegen Ende des 1. Jh. wieder einen ähnlichen Wert zu erreichen⁵²³. Reibschüsseln sind in allen Ensembles selten. Die Teller sind ziemlich häufig, bei grossen Schwankungen⁵²⁴. Sie scheinen zuzunehmen. Der Anteil der Schälchen steigt ab dem 1. Jh. v. Chr. an, von um die 15% auf ca. 35%, um im späten 1. Jh./früheren 2. Jh. wieder zurückzugehen, eine Entwicklung, die sich im späteren 2. Jh. fortzusetzen scheint⁵²⁵. Sie dürfte in der abnehmenden Häufigkeit von dünnwandigen Schälchen begründet sein, die im früheren und mittleren 1. Jh. n. Chr. etwa die Hälfte ausmachen, im 2. Jh. aber seltener werden. Die Becher weisen in augusteischer Zeit einen grossen Aufschwung auf, sie fallen danach, im 1. und 2. Jh. n. Chr., auf einen geringen Wert zurück. Deckel sind mit Ausnahme des früheren 1. Jh. v. Chr. ziemlich selten. Die Anteile sind

jedoch mit jenen der grobkeramischen Deckel zusammen zu betrachten, da sich die Trennung, wie erwähnt, nicht immer sauber durchführen liess. Die Töpfe sind im 1. Jh. v. Chr. gut vertreten. Im 1. und 2. Jh. n. Chr. sind sie mit wenigen Ausnahmen selten. Die Villa rustica von Colle Plinio weist mit 25% jedoch einen vielleicht durch die Funktion als Villa rustica bedingten hohen Anteil auf, handelt es sich bei den Töpfen doch mehrheitlich um kleine, mit Henkeln versehene Vorratsgefässe. Die Krüge und Kannen steigern ihren Anteil ab dem 1. Jh. v. Chr. Im 1. und 2. Jh. n. Chr. sind sie relativ häufig⁵²⁶.

Beim Kochgeschirr (Tab. 31) überwiegen im 1. Jh. v. Chr. die Kochtöpfe gegenüber den -schüsseln und -platten. In Dangstetten fehlen die Schüsseln während sie in Mittelitalien ab der Mitte des 1. Jh. n. Chr. die häufigste Form sind. Gegen Ende des 1. Jh. verdrängen die Teller und Platten die Töpfe auf den letzten Platz. Werden die pompejanisch-roten Platten mitberücksichtigt, erhöht sich der Anteil der Teller um knapp 10%⁵²⁷. Der Anteil der Deckel, in deren Betrachtung man, wie eben erwähnt, auch die als feinkeramisch definierten Deckel einbeziehen muss, ist sehr unterschiedlich, ohne dass dafür eine schlüssige Erklärung zu finden ist⁵²⁸. Die Dolien sind in allen Ensembles, mit Ausnahme jener des früheren 1. Jh. v. Chr., ziemlich selten.

523 Hier zeigt sich deutlich, wie sich die unterschiedliche Zuweisbarkeit der einzelnen Keramikgattungen auf die Anteile auswirkt: jene Spektren, die auch Wand- und Bodenscherben enthalten, weisen alle zu hohe Anteile an Schüsseln auf, da diese Form sich vorwiegend aus sehr gut bestimmbareren Gattungen wie Campana und Sigillata zusammensetzt.

524 Der geringe Anteil im Ensemble IIB/C von Settefinestre ist durch die Bestimmbarkeit der Keramik nicht zu erklären, denn die gut zuweisbaren Gattungen sind bei den Tellern ähnlich gut vertreten wie bei den Schüsseln (s. oben Anm. 523).

525 Werden die Wand- und Bodenscherben ins Spektrum einbezogen, sind die Schälchen, bedingt durch die gute Bestimmbarkeit, allerdings auch im 2. Jh. in beträchtlichen Mengen vorhanden.

526 Wie vermutet zeigt sich hier, in Umkehrung zu den Schüsseln, Tellern und Schälchen, wie die Krüge/Kannen in Spektren, bei denen auch zuweisbare Wand- und Bodenscherben einbezogen sind, krass unterbewertet werden.

527 Dazu Tab. 30. Bei den durch den Einbezug auch der Wand- und Bodenscherben beeinträchtigten Ensembles liegt der Anteil z.T. wesentlich höher, was auf die im Vergleich zu den übrigen grobkeramischen Formen viel bessere Bestimmbarkeit zurückzuführen ist.

528 Die geringe Zuweisbarkeit spielt bei den Ensembles von Settefinestre wohl eine Rolle, bei jenen von Luni aber offenbar nicht.

9. Der Romanisierungsprozess von *Aquae Helveticae*

9.1. Bauweise⁵²⁹

(Abb. 182)

Das kleine spätaugusteische Grubenhaus entspricht sowohl vom Grundriss – Fläche, Proportion, Einzelligkeit – wie auch von der Konstruktionsweise – Pfostenbau – her vollständig einem Haus keltischer Zeit (Kap. 7.1.). In den Boden eingetiefe Bauten sind in keltischen Siedlungen nicht selten⁵³⁰.

Ganz anders das in frühtiberischer Zeit erbaute Haus der Holzbauperiode I. An Grundfläche übertrifft es ein durchschnittliches keltisches Haus um mindestens das fünffache, und es erreicht gleiche Ausmasse wie die Vicushäuser Mittelitaliens (dazu allg. Kap. 8.1.). Allerdings scheint es nicht ganz so langgezogen wie jene zu sein, was vielleicht mit einer fortwährenden Vorliebe für kurzrechteckige Grundrisse wie in keltischer Zeit zu erklären ist. Die Aneinanderreihung von mehreren Räumen entspricht wiederum der Anordnung der Vicusbauten Mittelitaliens sowie der militärischer Mannschaftsunterkünfte nördlich der Alpen. Letztere weisen zudem wie die kleinstädtischen Tabernen in Kolonien die bei der Holzbauperiode I beobachtete Zweiteiligkeit auf. Das Haus lässt sich auf Module von drei und fünf Fuss zu je 280–286 mm zurückführen; das Basismass ist damit kleiner als jene, die in Vindonissa gefunden wurden⁵³¹. Der in Manching festgestellte keltische Fuss von 309 mm (Kap. 7.1.1.) kann ebenfalls nicht als Vorbild in Frage kommen. Die Konstruktion von Boden, Wand und wohl auch Dach unterscheidet sich stark, was die Wand betrifft, sogar fundamental von der eher wackeligen Bauweise keltischer Zeit. Doch die massive, sozusagen versteinerte Bautechnik Mittelitaliens mit weitgehend festen Böden, Mauern und Ziegeldächern kann ebensowenig als direktes Vorbild gedient haben. Hingegen springt die Ähnlichkeit mit den frühen Militärkasernen ins Auge: Wie in Vindonissa bestanden die Böden aus eigens eingebrachtem Lehm, allenfalls aus Kies oder Kalksteinsplittern, die Wände aus Schwellbalken und Ständern mit einer diesen Rahmen verstrebbenden Ausfachung aus Holz, allenfalls Lehmfachwerk ohne Verputz. Das Dach war vermutlich mit Schindeln gedeckt und die Feuerstellen zeigten sich als verbrannte Lehmflecken.

Die Bautechnik, in der in neronischer Zeit die Häuser der Holzbauperiode II errichtet wurden, orientiert sich an

den wohl nur wenig früher entstandenen Kasernen des geraden Holzlagers von Vindonissa, insbesondere, was die Wandkonstruktion betrifft: Die Wände bestanden aus Schwellen, die wie dort erst nach dem Erstellen der Böden verlegt worden waren, aus Ständern und Lehmfachwerk, das neu bei einigen Häusern einen Verputz trug. Die Böden waren mit Lehm und vermehrt mit Kalksteinsplittern erstellt. Spätestens in dieser Phase ist mit einem mit Wandheizung versehenen Raum zu rechnen. Die Baumasse lassen sich wie in der vorangegangenen Periode auf Module zu drei und fünf Fuss zurückführen, doch der Basiswert entspricht mit 293 mm nun dem Vindonissa-Fuss. In der Proportion verbreiterten sich die Häuser etwas, bei gleichbleibender Grundfläche, so dass sie sich in dieser Hinsicht noch deutlicher von den langen Militärkasernen unterscheiden und damit, wenn vielleicht auch zufällig, wieder stärker an die kurzrechteckigen keltischen Häuser erinnern. Die breiteren Proportionen sind wohl eher auf eine Beeinflussung durch die Wohnbauten in den Kolonien zurückzuführen: Die in neronisch-frühflavischer Zeit durch Steinbauten ersetzten verputzten Lehmfachwerkbauten von Augst etwa haben einen ähnlich breiten Grundriss (Ewald 1968, 88ff. Abb. 3). Identisch ist zudem die in der Holzbauperiode II neu auftretende Dreiteiligkeit in der Anordnung der Räume. Eine Verwandtschaft mit Häusern in Kolonien bekräftigte die von Tacitus (*historia* I 67) überlieferte Aussage, dass *Aquae Helveticae* ein in der Art eines Municipiums erbauter Ort gewesen sei (*in modum municipii constructus locus*). Ob nur die Hausproportionen für diesen Eindruck verantwortlich waren, muss angesichts des nur sehr lückenhaft bekannten Siedlungsplanes (Abb. 2) offen bleiben. Nauportus, an der Bernsteinstrasse gelegen, ist nach Tacitus (*annales* I 20,1) ebenfalls ein Vicus, der wie ein Municipium wirkte (*quod municipii instar erat*), mit folgendem Siedlungsmuster: Die Häuser, die ins 1. Jh. v. Chr. datieren (Horvat 1990, 229), sind mehrheitlich langgezogen und weisen mit 5–6 m Breite und 25–30 m Länge die gleichen Proportionen auf, wenn auch mit etwas kleineren Grundflächen, wie die Vicushäuser und kleinstädtischen Tabernen⁵³². Die Aussenwände bestanden aus Lehmfachwerk, das auf steinernen Sockeln stand. Die

529 S. auch Kap. 3.8.2.

530 Büchschütz 1984, 193; Abb. 74,24; s. auch Krämer 1962, Anm. 17.18.

531 Heinz 1991, 69ff. Vier Masse basieren auf dem sog. Vindonissa-Fuss (29,25 cm), drei auf dem punischen Fuss (29,41 cm) und zwei auf dem *pes Romanus* (29,62 cm).

532 Horvat 1990, 207ff. Abb. 9. Allerdings werden die von mir als Häuser interpretierten Raumeinheiten dort als Räume gedeutet und zu

grossen Bauten zusammengefasst. Doch die vielen meist durch einen schmalen Zwischenraum von 30–50 cm (*ambitus*) getrennten Doppelwände – fast jede zweite Wand – sprechen für Einzelbauten. Das Fehlen der Inneneinteilung fällt als Gegenargument weg, denn dies liegt wohl eher an der mangelhaften Grabungsmethoden des letzten Jahrhunderts bzw. der 30er Jahre; überdies werden Lehmwände erwähnt.

Bauelement	Aequae Helveticae	keltische Tradition	mediterrane Tradition
Grundrissfläche	vorher: 7 m ² HP I: 270 m ² HP II: 220-320 m ² SP I: 374-610 m ² SP II: 340 m ²	4-120 m ²	Vicus: 170-325 m ² Militär: 850-1600 m ²
Grundrissproportion (Breite/Länge)	vorher: 60% HP I: 40-45% HP II: 50-55% SP I: 70-90% SP II: 25-30%	55-100%	Vicus: 20-35% Militär: 10-12%
Einteilung	vorher: einzellig HP I: vielräumig HP II: vielräumig SP I: vielräumig SP II: vielräumig	einzellig	Vicus: vielräumig Militär: vielräumig
Baumasse	vorher: unbekannt HP I: Modul zu 3/5 Fuss HP II: Modul zu 3/5 Fuss SP I: Pythagoras, Modul zu 3/5 Fuss SP II: Modul zu 3/5 Fuss	10-Fuss-Modul?	Vicus: Modul zu 3/5 Fuss? Militär: Modul zu 3/5 Fuss
Boden	vorher: unbekannt HP I: Lehm, selten Steinsplitter HP II: Lehm, Steinsplitter SP I: Lehm, Holz, Mörtel, vermehrt Steinsplitter SP II: Steinsplitter	selten Lehm-boden; Holzböden?	Vicus: Mörtel, Ziegelschrot, Kies Militär: HP: Lehm, Kies SP: Holz?, Mörtel, Ziegelsplitter
Wand	vorher: Pfosten HP I: Holzrahmen mit Holz-/Lehm-ausfachung, unverputzt HP II: Holzrahmen mit Lehmaus-fachung, z.T. verputzt SP I: aussen: Mauern; innen: Lehmfachwerk, verputzt SP II: aussen: Mauern, z.T. Fachwerk innen: Lehmfachwerk, verputzt	Pfosten mit Rutenlehm-/Holzausfachung	Vicus: Mauern Militär: HP I: Holzrahmen mit Holz-/Lehm-ausfachung, unverputzt HP II: Holzrahmen mit Lehm-ausfachung, z.T. verputzt SP: Mauersockel mit Lehm-fachwerk, verputzt
Dach	vorher: Stroh? HP I: Schindeln? HP II: Schindeln? SP I: Ziegel SP II: Ziegel	Stroh?	Vicus: Ziegel Militär: HP: Schindeln? SP: Ziegel
Feuerstelle	vorher: keine HP I: Lehm HP II: Lehm SP I.1/2: Lehm SP I.3-5: Lehm mit Unterlage SP I.6: Tonplatte	Lehm	Vicus: Ziegel, Tonplatten Militär: HP: Lehm SP: Ziegel

Abb.182. Vergleich der Bauelemente in Baden mit keltischer und mediterraner Tradition.

Häuser gruppieren sich um einen grossen Platz, der als Forum gedeutet wird. Nauportus war befestigt, doch ist dies weniger auf die Funktion ähnlich einem Munizipium zurückzuführen als auf die in republikanischer und augusteischer Zeit dort stationierten Truppen (Horvat 1990, 211).

Mit dem Neubau Badens nach der Zerstörung im Jahre 69, der Steinbauperiode I, scheint der Einfluss der Militärarchitektur noch stärker in den Hintergrund zu treten. Die kurzrechteckigen bis fast quadratischen Häuser setzen sich noch deutlicher von den langezogenen Kasernen ab. Dahinter ist jedoch wohl weniger die Tradition der kurzen keltischen Häuser zu sehen als der Wunsch nach einer breiteren Front zur Strasse hin. Die Grundfläche erhöhte sich, in Einzelfällen bis auf das Doppelte. Damit erinnern die Häuser noch stärker an jene in Kolonien, wie etwa Augst (Laur-Belart/Berger 1988, 131 Abb. 125.126), wo Häuser sich über mehrere Parzellen erstreckend ebenfalls eine grössere Grundfläche, eine gedrungene Proportion und eine längere Strassenfront aufweisen können. Der zur Konstruktion des rechten Winkels verwendete Satz des Pythagoras kam nicht nur in Italien, sondern auch nördlich der Alpen zur Anwendung, wie Beispiele in Villen zeigen⁵³³. Da schon in keltischer Zeit Schnurgerüste bekannt waren, wenn auch mit anderem Seitenverhältnis, erstaunt die Übernahme nicht. In der Konstruktionsweise setzen sich die neu erbauten Vicushäuser ebenfalls stärker von den gleichzeitigen Militärkasernen ab. Die Böden wurden zwar hier wie dort vermehrt mit festen Baumaterialien wie Mörtel oder Kalksteinsplinter erstellt, doch in der Wandkonstruktion zeigen sich beträchtliche Unterschiede. Die als Mauern errichteten Aussenwände waren etwas stärker, vor allem aber wesentlich massiver und bis in den anstehenden Boden fundiert. Dies verstärkt die Indizien, dass die Wände bis zuoberst als Mauern aufgeführt waren und nicht als auf gemauerten Sockeln ruhende Lehmfachwerkwände, wie bei den Kasernen, deren Fundamente nur wenig tief reichten. Damit folgen sie der Bauweise, wie sie etwa in Augst (z. B. Hänggi 1988, 194; 196ff. Abb. 28ff.) sowie in Italien üblich war. Die Innenwände dagegen bestanden weiterhin aus verputztem Lehmfachwerk mit Schwellen und Ständern, die, anders als bei den Kasernen, nur in einem Ausnahmefall auf einem gemauerten Sockel ruhten. Diese Technik ist ebenfalls aus Augst bekannt (a. a. O. 197 Abb. 27). Die in der hadrianischen Phase 4 erbauten Wände hingegen waren mit Pfosten errichtet. Ist darin ein Rückgriff auf keltische Bautechniken zu sehen? Die Dächer waren wie bei den Kasernen mit Ziegeln gedeckt. Ab trajanischer Zeit verfestigte man die Feuerstellen durch eine Unterlage, doch erst im 3. Viertel des 2. Jh.

treten Konstruktionen mit Tonplatten und Ziegeln auf, wie sie in Vindonissa schon im späteren 1. Jh. und in Italien schon mindestens seit republikanischer Zeit üblich waren. Die Bauten der Steinbauperiode I nähern sich, mindestens im Äusseren, mit den gemauerten Aussenwänden und dem Ziegeldach, dem mediterranen Vorbild an. Im Innern mit den Lehmfachwerkwänden, den immer noch recht häufigen einfachen Lehmböden und den vorerst einfachen Feuerstellen aus Lehm, bleiben sie der Bauweise der vorangegangenen Holzbauperiode II verhaftet, auch wenn zu betonen ist, dass verputzte Lehmwände kaum einen anderen Raumeindruck bewirkten als Mauern.

Beim Bau der Steinbauperiode II im späten 2. Jh. findet, bedingt durch die vermutete Verschmälerung der Parzellen, eine deutliche Verlängerung der Bauten statt. Ob und welche Tradition sich darin manifestiert, ist schwierig zu entscheiden. Ökonomische Gründe scheinen nicht die Ursache zu sein, da sich die Grundfläche der Häuser kaum verringert, hingegen kommen demographische Gründe in Frage: Mit einer schmalen Front lassen sich mehr Häuser auf gleicher, vielleicht durch die Vicusgrenzen und/oder die Gräberfelder entlang der Ausfallstrassen gegebenen Strassenlänge aufreihen, so dass darin eine Verdichtung der Siedlungsweise zum Ausdruck kommen könnte. In der Bauweise ist zwar durch die Verwendung der Fachwerktechnik auch für einige der Aussenwände ein gewisser Rückgriff auf ältere Techniken zu verzeichnen. Die Böden hingegen waren ausschliesslich mit festem Material erstellt. Der äussere Aspekt blieb der eines gemauerten Hauses.

Zusammenfassend lässt sich sagen, dass mit der ersten eigentlichen Überbauung in früh-iberischer Zeit anlässlich der Einbeziehung des Geländes in den Vicus der Bruch mit der keltischen Bauweise total ist. Statt kleiner, jeweils nur für eine Tätigkeit vorgesehener, eher wackelig gebauter Hütten entstanden grosse, mehrräumige Häuser mit stabilen Wänden, die in den Dimensionen und Proportionen mit den Vicushäusern Italiens bestens übereinstimmen. Bei der Konstruktionsweise ist der Einfluss der Militärarchitektur von Vindonissa offensichtlich, mindestens für die Holzbauperioden in der 1. Hälfte des 1. Jh. Mit den Steinbauten, z. T. vielleicht schon mit der Holzbauperiode II, treten als Vorbild die Häuser der Kolonien nördlich der Alpen hinzu, die, was die Bautechnik betrifft, die in Italien seit langem übliche versteinerte Bauweise besser vermittelten als die Mannschaftsunterkünfte des Militärs. Das in römischer Bautradition errichtete Vicushaus darf wohl als eines der von den Helvetiern aus der Mittelmeerkultur übernommenen Statussymbole angesehen werden.

533 WE. Stöckli, Bern, machte mich auf dieses Phänomen aufmerksam. Beim Gutshof von Wiedlisbach folgen die Distanzen überdies mit einer Ausnahme durchwegs Einheiten zu drei bzw. fünf Fuss (Schu-

ler/Stöckli 1984, Abb. 6.17). Im Gutshof von Biberist-Spitalhof lässt sich diese Methode beim Getreidespeicher D (s. Archäologie des Kantons Solothurn 6, 1989, 133) nachweisen.

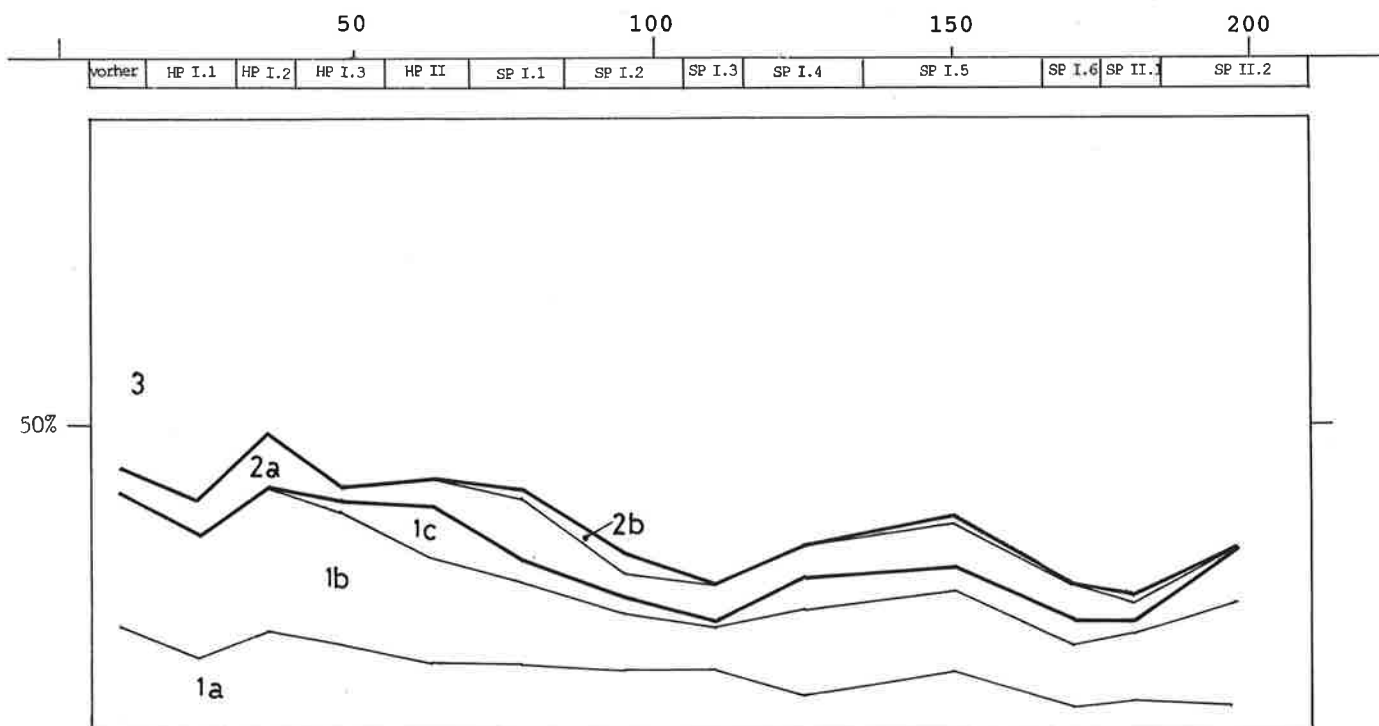


Abb.183. Entwicklung der Keramikgattungen keltischer Tradition in Gegenüberstellung zur Keramik römischer Tradition. 1 Keramik keltischer Tradition, a Grobkeramik, b graue Feinkeramik, c orange Keramik; 2 Keramik mit keltischer Form/römischer Technik, a Schüsseln, b Glanztonkeramik; 3 Keramik römischer Tradition. S. auch Tab. 20.

9.2. Keramik

9.2.1. Keltische Keramik⁵³⁴

Der Anteil an Keramik in keltischer Tradition (Abb.183,1) nimmt im Laufe der Zeit ab. Wird die Keramik mit keltischer Form und römischer Technik (Abb.183,2) dazugerechnet, erhöhen sich die Werte etwas.

Die Anteile der Formen, in geringerem Masse auch der Keramikgattungen, hingegen bleiben sich in allen Phasen ziemlich ähnlich (Tab. 21.22), obwohl im einzelnen Unterschiede zu verzeichnen sind, die zur Hauptsache auf die z.T. doch eher kleinen Zahlen zurückzuführen sind. Anders als in der Spätlatènezeit zeigt sich in römischer Zeit kaum mehr eine Entwicklung. So dürfen wir im folgenden die auf der Gesamtmenge basierenden Werte zum Vergleich mit den keltischen Ensembles heranziehen.

Entsprechend der in keltischer Zeit festgestellten Tendenz ist der Anteil an Grobkeramik (Abb.184,4) noch weiter zurückgegangen, ein Prozess, der sich in römischer Zeit fortsetzt⁵³⁵. Der Anteil an handgeformter Ware hat sich ebenfalls verringert, von 50% in der entwickelten

534 Vgl. auch Kap. 4.4. und 4.5. mit Kap. 7.2.

535 Tab. 21. Der hohe Anteil in der SP II.3 ist auf die kleine Menge von nur 3 Randscherben zurückzuführen und zufällig.

Abb.184. Vergleich mit keltischen Fundplätzen. Keramikgattungen. 1 Glanztonkeramik; 2 orange Keramik; 3 graue Feinkeramik; 4 Grobkeramik. S. auch Tab. 28.

Spätlatènezeit auf gut 30%. In der Folge ist jedoch kein weiterer Rückgang zu verzeichnen. Handgeformtes Kochgeschirr entsprach offenbar einem Bedürfnis nicht nur der keltischen, sondern auch der gallo-römischen Küche. Bei der Feinkeramik wird die starke Abnahme der orangen Ware (Abb. 184,2) nicht durch die neue, in römischer Technik, nämlich mit Überzug versehene, helltonige Ware (Abb. 184,1) wettgemacht, so dass die graue Feinkeramik (Abb. 184,3) entgegen der in keltischer Zeit festgestellten Tendenz wiederum stärker vertreten ist und fast Werte wie in der Stufe LT D1 erreicht. Im Laufe der Zeit scheint sie aber wieder etwas abzunehmen, während die orange Feinkeramik eher zulegt (Tab. 21). Die deutliche Zunahme der grauen Feinkeramik ist auch auf dem Basler Münsterhügel beim Wechsel von den spätlatènezeitlichen zu den augusteischen Schichten zu beobachten (Furger-Gunti 1979, 78).

Alle vom keltischen Inventar her bekannten Formen sind vorhanden (Tab. 28): Schüssel, Napf, Becher, feiner Topf, Flasche und Tonne bei der orangen und grauen Feinkeramik, Kochtopf, Napf, Deckel und grosse Vorratsgefäße bei der Grobkeramik. Die in neuer Technik gefertigte Keramik mit Überzug hingegen umfasst nur Schüsseln, Becher und feine Töpfe. Die oft mit Kammstrich verzierten Kochtöpfe mit dem meist nach aussen gebogenen Rand stehen mehrheitlich ganz in der Tradition des helvetischen Gebietes. Sie entsprechen in Vindonissa den vor allem von der 13. und 21. Legion ungemein häufig verwendeten Kochtöpfen, deren Herstellung durch einheimische Töpfer vermutet wird⁵³⁶. Mit dem gerillten Horizontalrand (Nr. 935.936.1158) und dem gerillten eingebogenen Rand (Nr. 282) sind vereinzelt Einflüsse aus dem raurakischen Gebiet bzw. aus Oberitalien zu verzeichnen, während sog. Auerbergtöpfe (z. B. Ulbert 1959, Taf. 2,1–13), Nachfolger des vindelikischen Kochtopfes mit nach innen gebogenem Steilrand, im Gegensatz zur Spätlatènezeit fehlen⁵³⁷. Macht sich hier die Provinzgrenze bemerkbar, die das helvetische mit dem raurakischen Gebiet in der Germania superior zusammenfasste und von der Raetia abgrenzte, in der das vindelikische Gebiet eingegliedert war? Allerdings scheint der Auerbergtopf auch in der Ostschweiz zu fehlen⁵³⁸.

Im Formenspektrum hat bei der Feinkeramik entsprechend der Tendenz eine weitere Verlagerung von den Näpfen (Abb. 185,2) zu den Schüsseln (Abb. 185,1) bei den offenen Formen stattgefunden, bei den geschlossenen Formen von den hohen, schlanken Typen, insbesondere den Flaschen (Abb. 185,4) und den Tonnen (Abb. 185,5), zu den Bechern (Abb. 185,3) und feinen Töpfen (Abb. 185,6) von

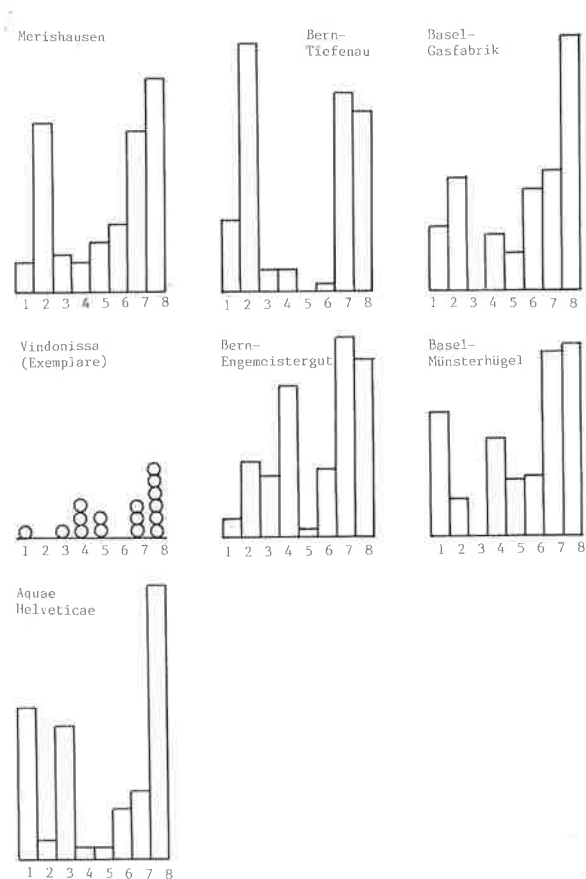


Abb. 185. Vergleich mit keltischen Fundplätzen. Formenspektrum (%-Werte). 1 Schüsseln; 2 Näpfe; 3 Becher; 4 Flaschen; 5 Tonnen; 6 feine Töpfe; 7 Kochnäpfe; 8 Kochtöpfe. S. auch Tab. 29.

meist bauchiger Form mit ausgeprägter Schulter. Bezeichnenderweise sind, wie erwähnt, nur diese Typen in der neuen Technik hergestellt. Ab hadrianischer Zeit allerdings scheinen die Flaschen, Tonnen und grossen, tonnenartigen Töpfe wieder häufiger zu werden, auf Kosten der Becher. Hier könnte sich eine, wenn auch nur schwache Entwicklung im Formenspektrum zeigen. Das Phänomen ist aber aufs Ganze gesehen zu schwach, um als Latènerenaissance bezeichnet zu werden (Kap. 9.2.3.). Bei der Grobkeramik sind die Näpfe wesentlich seltener als in den keltischen Ensembles, was dem für die Spätlatènezeit vermuteten Rückgang entspricht.

536 Ettliger 1977b, Gruppen 1–3.

537 Ettliger (1977b, 48f.) vermutet für ihre Gruppe 4 eine Herkunft aus Oberitalien; auch in Vindonissa sind raurakische Kochtöpfe selten, während der Auerbergtopf fehlt (a.a.O. Fig. 5.3 Nr. 24.28).

538 S. auch Kap. 10.2.1.; Bürgi/Hoppe 1985, Nr. 213–240; Hochuli-Gysel et al. 1986, Taf. 30f.; Brem et al. 1987, Nr. 198–221.

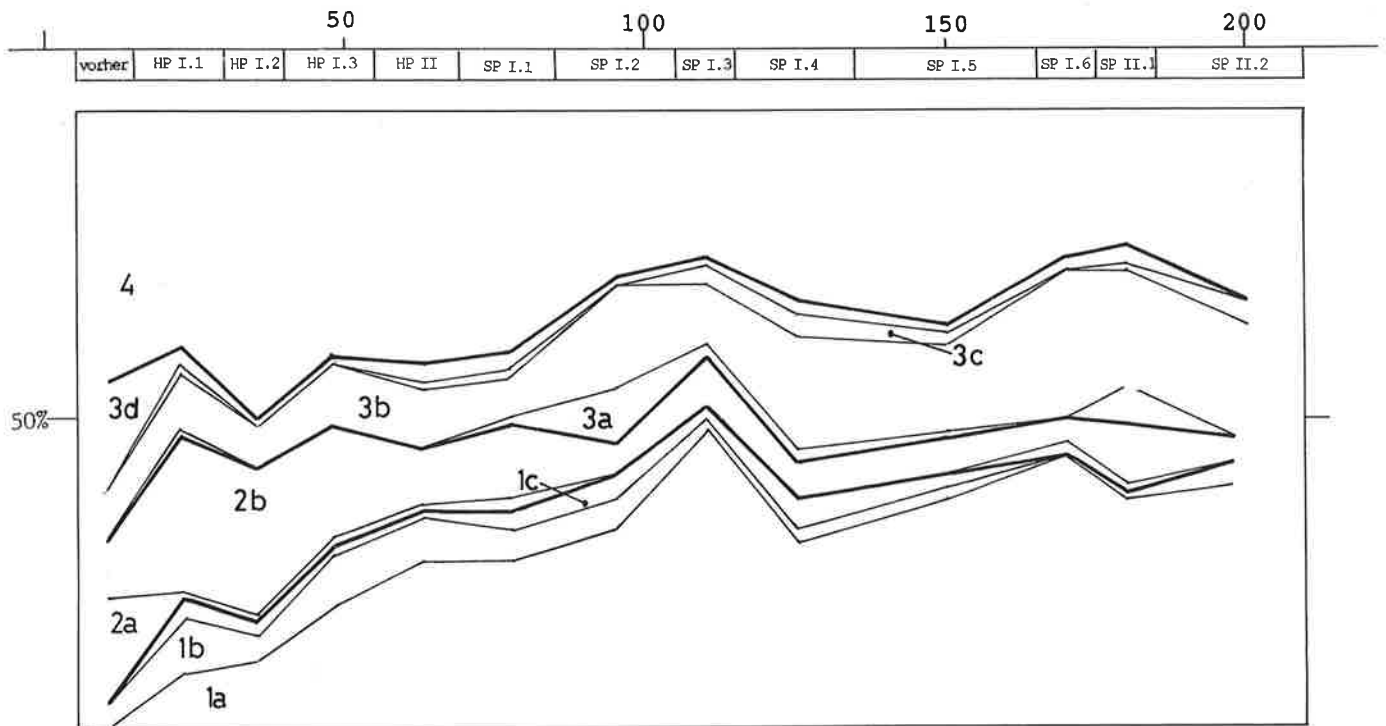


Abb. 186. Entwicklung der Keramikgattungen römischer Tradition in Gegenüberstellung zur Keramik keltischer Tradition. 1 Import, a TS, b Varia, c Amphoren; 2 Imitation, a Varia, b TS-Imitation; 3 Keramik in römischer Tradition, a Glanztonkeramik, b orange Keramik, c graue Feinkeramik, d Grobkeramik; 4 Keramik keltischer Tradition. S. auch Tab. 20.

9.2.2. Römische Keramik⁵³⁹

Der Anteil an Keramik in römischer Tradition nimmt im Laufe der Zeit zu. Dies liegt ausschliesslich an der importierten Keramik (Abb. 186,1), deren Anteil, in den Schichten vor der ersten Überbauung noch selten, sukzessive steigt, um in der trajanischen Steinbauperiode I.3 den Gipfel zu erreichen. Anschliessend fällt sie leicht zurück. Die in der Region hergestellte Ware römischer Tradition (Abb. 186,2.3) hingegen nimmt von einem hohen Anteil in den frühesten Phasen spätaugusteisch-frühtiberischer Zeit ab⁵⁴⁰.

Sowohl das Spektrum der Keramikgattungen wie deren Formenzusammensetzung und das Formenspektrum der Feinkeramik ändert sich im Laufe der Zeit (Tab. 23.24). Also anders als bei der Keramik keltischer Tradition ist bei der Keramik römischer Tradition eine deutliche Entwicklung festzustellen, die sich der Keramikentwicklung in Mittelitalien gegenüberstellen lässt.

Keramikgattungen (Tab. 23)

Die Grobkeramik römischer Tradition ist mit Ausnahme der Schichten vor der ersten Überbauung selten; grobe Ware stellte man mehrheitlich in keltischer Machart her. Beide Gruppen zusammengenommen machen einen allmählich sinkenden Anteil am Gesamtspektrum aus: von um die 15% in den Siedlungsschichten der tiberischen und claudischen Zeit auf 10% im späteren 1. Jh. und im 2. Jh. (Tab. 20). In Mittelitalien hingegen ist eine gegenteilige Entwicklung zu beobachten, die nicht nur auf das aus Afrika importierte Küchengeschirr zurückzuführen ist, das in *Aquae Helveticae* wie anderswo nördlich der Alpen fehlt (Tortorella 1981, 210).

Anteile und Entwicklungen der Feinkeramikgattungen sind sich in Baden und in Mittelitalien hingegen sehr ähnlich⁵⁴¹. Die Sigillata (Abb. 187,2a) nimmt im Laufe der Zeit zu. Sie ersetzt die TS-Imitation, die seit den tiberischen Phasen sukzessive zurückfällt und ab dem späten 1. Jh. sel-

539 Vgl. auch Kap. 4.2. und 4.3. mit Kap. 8.2.

540 Der «zu hohe» Wert in SP II.1 dürfte auf die Vermischung dieses Ensembles mit älteren Funden zurückzuführen sein (Kap. 5.6.1.), jener der SP II.3 auf die kleine Zahl von nur 5 Randscherben.

541 Pistoia und Ostia sind deshalb gewählt, weil sie einerseits eine Abfolge von Ensembles aufweisen, diese andererseits nicht durch eine Wand- und Bodenscherben einbeziehende Zählweise beeinträchtigt sind.

ten wird. Im Gesamtspektrum, das heisst unter Einbezug der Keramik keltischer Tradition, steigt der Anteil der Sigillata und deren Imitation von 26% im früheren 1. Jh. auf über 50% im frühen 2. Jh., anschliessend geht sie leicht zurück (Tab. 20). In Mittelitalien ist die Sigillata (Abb. 187,2a/c) schwächer vertreten, in der 1. Hälfte des 1. Jh. sogar deutlich schwächer.

Die importierte Feinkeramik (Abb. 187,3a) ist selten. Sie verschwindet im 2. Jh. Auch in Mittelitalien ist eine Verringerung zu verzeichnen, der Anteil ist aber stets höher. Pompejanisch-rote Platten sind äusserst selten (Tab. 23), während sie in Mittelitalien einen nicht ganz unbedeutenden Teil der Teller ausmachen (Tab. 30.32). Auch die Lampen (Abb. 187,3b) sind selten. Etwas häufiger sind sie in Mittelitalien, wo sie ab dem späten 1. Jh. ihren Anteil erhöhen. Die Amphoren (Abb. 187,5) gehören in Baden ebenfalls zu den seltenen, in Mittelitalien etwas besser vertretenen Sorten. Wieweit dies auf eine generell bessere Versorgungslage des Südens zurückzuführen ist oder an der Art der Fundschichten (meist Planien!) liegt, ist schwierig zu sagen.

Die lokale Glanztonkeramik römischer Tradition (Abb. 187,4a) tritt erstmals in flavischer Zeit auf⁵⁴². Sie bleibt auch im 2. Jh. selten. In Mittelitalien ist ihr Anteil noch geringer. Sie tritt nur in republikanischer und augusteischer Zeit auf. Bei der tongrundigen Ware (Abb. 187,4b) ist ein Zuwachs zu verzeichnen. In Mittelitalien hingegen geht der Anteil an oranger Keramik leicht zurück. Die graue Feinkeramik römischer Tradition (Abb. 187,4c) ist sehr selten, ähnlich in Mittelitalien, wo der Anteil bis zur Mitte des 1. Jh. höher ist.

Formen (Tab. 23)

Die Sigillata setzt sich im früheren und mittleren 1. Jh. vor allem aus Tellern und Schälchen zusammen, während Schüsseln noch eher selten sind. Letztere nehmen ab dem späteren 1. Jh. zu und erreichen im 2. Jh. Werte wie die Teller und Schälchen. Unter Einbezug der TS-Imitation fällt der Anteil der Schüsseln noch geringer aus, während die Teller stärker vertreten sind. Mittelitalien zeigt ein ähnliches Bild (Tab. 30).

Die importierte Feinkeramik besteht im früheren und mittleren 1. Jh. vor allem aus Schälchen, in flavischer Zeit kommen Becher hinzu. Ähnlich in Mittelitalien, wo im 1. Jh. n. Chr. die Schälchen ebenfalls überwiegen. Die dort nicht seltenen Henkel an Bechern und Schälchen fehlen in *Aquae Helveticae*, wie es für die Lyoner Produktion ty-

pisch ist (Kap. 4.2.2.), und was an die ebenfalls henkellosen Gefässe aus dem Legionslager Dangstetten erinnert. Das häufigste in den Amphoren verhandelte Gut ist Fischsauce, gefolgt von Öl und Wein. Anders sind die Verhältnisse in Mittelitalien, wo die Amphoren zur Hauptsache Wein enthielten, gefolgt von Öl und Garum, das im 2. Jh. das Öl als zweites Importgut verdrängte.

Die Glanztonkeramik setzt sich aus Krügen, Schüsseln und Tellern zusammen, die alle Vorbilder in Metall, seltener in Sigillata wiedergeben. Die Glanztonkeramik Mittelitaliens – es kommen lediglich Krüge und Schüsseln vor – scheint dagegen keinen Metallvorbildern zu folgen. Das Formeninventar der orangen Keramik – Reibschüsseln, Schüsseln, Teller, Deckel, Töpfe, Krüge – stimmt wiederum weitgehend mit jenem Mittelitaliens überein. Einzig die riesigen Becken, die *bacini* (Abb. 179,5), finden in *Aquae Helveticae* keine Entsprechung. Sie dienten als Wasserbecken (Ricci 1985, 21). Die helltonigen Schüsseln erscheinen in *Aquae Helveticae* erst ab Mitte des 1. Jh. Reibschüsseln sind wie in Mittelitalien selten (Abb. 188,2). Sie sind wie die Exemplare aus den Legionslagern meist kleiner als jene in Mittelitalien. Bei der grauen Feinkeramik kommen wie dort hauptsächlich Kannen und mit Henkel versehene Töpfe vor.

Die Grobkeramik römischer Tradition setzt sich vor allem aus Dolien und Kochschüsseln zusammen, während Deckel und Kochtöpfe nur vereinzelt auftreten. Die in Mittelitalien vor allem im 2. Jh. häufigen Kochplatten fehlen mit Ausnahme der seltenen pompejanisch-roten Platten und deren Imitationen. Die Schüsseln sind deutlich kleiner als jene Mittelitaliens.

Formenspektrum der Feinkeramik

Die Schüsseln (Abb. 188,1) erhöhen ihren Anteil im Laufe der Zeit⁵⁴³. Dies erinnert an die Formenverteilung mittelitalischer Orte. Dort nehmen die Schüsseln – sie sind zwar etwas seltener – ebenfalls zu, wenn auch nicht ganz so stark.

Die Teller (Abb. 188,3) hingegen nehmen ab. Bezieht man die Grösse der Stücke in die Überlegung mit ein, so zeigt sich, dass es vor allem die grossen Exemplare sind, die Platten, die den Rückgang verursachen (Tab. 24). Ihr Anteil fällt von 25%–30% in der 1. Hälfte des 1. Jh. auf höchstens 15% in den folgenden Phasen zurück. Die kleineren Exemplare, die eigentlichen Teller, hingegen halten ihren Anteil⁵⁴⁴. Dem entspricht, dass beim Sigillatyp Drag. 18 die grossen Platten in den jüngeren Phasen selte-

542 Bei der Schüssel Nr. 85 aus der tiberischen HP I.1 dürfte es sich um einen sog. Fehllauf handeln (Kap. 5.3.1.).

543 Der sehr hohe Wert in SP II.3 dürfte an der kleinen Menge liegen.

544 Der sehr hohe Anteil in den Schichten vor der ersten Überbauung und die niedrigen Anteile in SP I.6 und SP II.3 dürfte an der Kleinheit des Ensembles – 9 bzw. 37 bzw. 5 Randscherben – liegen und zufällig sein.

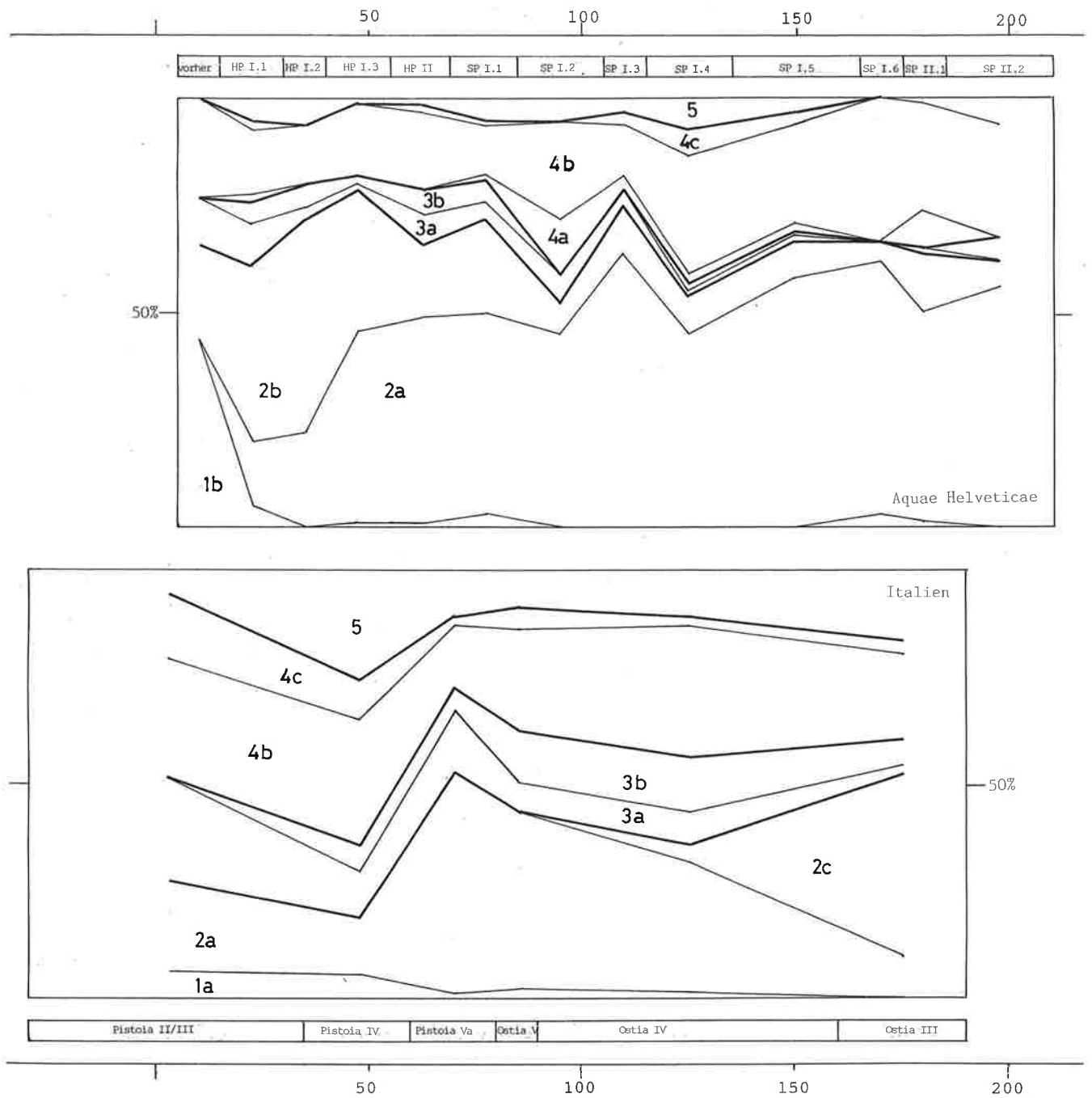


Abb. 187. Vergleich der Entwicklung der Feinkeramikgattungen . 1 Campana, a Import, b Imitation. 2 Sigillata, a Import, b Imitation, c afrikanische Sigillata. 3 Import, a Feinkeramik, b Lampen. 4 Gebrauchskeramik, a Glanztonkeramik, b orange Keramik, c graue Feinkeramik. 5 Amphoren. S. auch Tab. 23.30.

ner werden (Abb. 60), ein Phänomen, das andernorts ebenfalls beobachtet wurde⁵⁴⁵. In Mittelitalien zeigt sich hingegen ein anderes Bild. Dort erhöht sich der Anteil der Teller bzw. Platten.

Die Gruppe der Schälchen (Abb. 188,5), zu der die Sigillata- und die Imitationsprodukte sowie die wenigen Stücke der dünnwandigen Importware gehören, wird all-

mählich seltener. In Mittelitalien liegt ihr Anteil im ganzen 1. Jh. etwas höher, vor allem bedingt durch die zahlreichen Exemplare dünnwandiger Ware. Dagegen sind dort die Campana- und Sigillataschälchen seltener als die Sigillata- und Imitationsstücke in Aquae Helveticae (Tab. 24.32).

Die Becher römischer Tradition (Abb. 188,6) sind mit Ausnahme der Schichten vor der ersten Überbauung sel-

⁵⁴⁵ Ritterling 1912, 205. Schon bei der italischen Sigillata werden die Platten bei den jüngeren Typen seltener (Ettlinger 1983, 110 Abb. 10).

ten. Ein ähnliches Bild zeigt Mittelitalien, wo sie aber im 2. Jh. wieder etwas häufiger werden.

Die Deckel (Abb. 188,4) sind relativ selten, ebenso die Töpfe römischer Tradition (Abb. 188,7). Letztere scheinen im 2. Jh. etwas häufiger zu werden. Auch in Mittelitalien sind beide Formen selten; die Töpfe weisen vor der Mitte des 1. Jh. allerdings höhere Werte auf.

Die Krüge und Kannen (Abb. 188,8) sind in allen Phasen gleichmässig vertreten. Sie sind deutlich seltener als in Mittelitalien.

Zusammenfassend lässt sich sagen, dass die Keramik römischer Tradition von *Aquae Helveticae* sich vor allem in den Anteilen der Gattungen von der Siedlungskeramik Mittelitaliens unterscheidet. Die Grobkeramik ist kaum vertreten. Auch die Importkeramik zeigt Unterschiede in den Anteilen, bei den Amphoren zusätzlich in den Typen und damit in den von ihnen gebrachten Gütern. Die Formen bzw. Typen und deren Entwicklung jedoch entsprechen sich relativ gut. Nur bei den Anteilen der Schüsseln und Teller sind deutliche Unterschiede zu verzeichnen.

9.2.3. Zusammenfassung und Folgerung

Wie zeigt sich der Romanisierungsgrad in der Keramik von *Aquae Helveticae*, welche Formen übernahm man, vielleicht im Sinn eines Statussymbols, aus der Mittelmeertradition, welche nicht, was wurde vom keltischen Inventar beibehalten?

Die Grobkeramik steht während der ganzen durch die vorliegenden Siedlungsphasen belegten Zeit überwiegend in keltischer Tradition (Tab. 20)⁵⁴⁶. Einzig in den Schichten vor der ersten Überbauung treten mit vier Stücken ungewöhnlich viele «römische» Kochschüsseln auf – ebenso viele wie «keltische» Kochtöpfe –, was nach einer Deutung ruft, obwohl diese wegen der Kleinheit des Ensembles kaum vorzunehmen ist. Waren die mit der Erweiterung des *Vicus Beschäftigten*, von denen die Reste stammen könnten, in besonders hohem Grad romanisiert? Waren sie etwa Legionäre von *Vindonissa*? Allerdings waren Kochschüsseln, wie das Beispiel von *Dangstetten* zeigt (Kap. 8.2.2.), im Soldatenhaushalt offenbar auch nicht geläufiger. Im übrigen wurden die ganz in der Tradition der Region stehenden helvetischen Kochtöpfe nie auch nur annähernd durch entsprechende Schüsseln ersetzt, der Hauptform in Mittelitalien ab der Mitte des 1. Jh. n. Chr. Die wenigen in *Aquae Helveticae* vorkommenden Stücke unterscheiden sich von jenen Mittelitaliens durch ihre weit geringere Grösse, was vielleicht auf das vom Militär mitgebrachte Vorbild zurückzuführen ist. Backplatten sind ebenfalls seltener als in Mittelitalien, auch unter Einbezug

der andernorts eingeordneten pompejanisch-roten Platten und deren Imitationen.

Die Feinkeramik hingegen, die als Vorzeigegeschirr die Eigenschaft eines Statussymbols haben könnte, zeigt einen stark romanisierten Charakter. Schon im früheren und mittleren 1. Jh. sind 55%–65% der Typen aus der römischen Tradition herzuleiten, im 2. Jh. steigt der Anteil sogar auf 70%–80% (Tab. 20). Mit wenigen Ausnahmen übernahm man alle in Mittelitalien beliebten Formen. Wie andernorts festgestellt, ist in römischer Zeit die Vielfalt an Gattungen, Formen und Typen grösser als in keltischer Zeit (Okun 1989, 94 Tab. 7.6).

Das Spektrum der Gattungen (Tab. 20) zeigt, dass das mit Glanzton überzogene feinere Tafelgeschirr (*Campana-Imitation*, *Sigillata*, *TS-Imitation*, *Firmiskeramik*, *Glanztonkeramik*) mindestens die Hälfte ausmacht, Werte, die in Mittelitalien nicht übertroffen werden (Tab. 30). Die Gruppe besteht vorwiegend aus Formen römischer Tradition (88%). Einzig der Bedarf an Schüsseln, eine in Mittelitalien weniger häufige Form, liess sich offenbar nicht decken, so dass man entsprechende Formen aus dem keltischen Formeninventar hinzuziehen musste (12%). Im 2. Jh. kommen mit Glanzton überzogene Becher auf, die ebenfalls in keltischer Tradition stehen (1%).

Die helltonige Gebrauchskeramik erreicht erst im späteren 2. Jh. die Werte Mittelitaliens; im 1. Jh. liegt der Anteil um die Hälfte tiefer. Sie besteht zur Hauptsache aus Formen römischer Tradition: Krug, Schüssel, Reibschüssel, Teller, kleiner Vorratstopf und Deckel. Einzig die grossen Waschbecken Mittelitaliens kommen nicht vor. Ab dem mittleren 1. Jh. erscheinen zunehmend keltische Formen wie Becher, Tonnen und Flaschen. Letztere waren in der Spätlatènezeit sehr beliebt, sie tauchen im 2. Jh. n. Chr. vermehrt wieder auf. Die schwächere Quote der helltonigen Keramik liegt vor allem an den Krügen, die in *Aquae Helveticae* seltener sind als in Mittelitalien.

Die graue Feinkeramik hingegen ist in allen Phasen mindestens doppelt so häufig wie in Mittelitalien. Die Formen stehen dementsprechend mehrheitlich in keltischer Tradition. Neben Schüsseln und selteneren Näpfen sind es vor allem Becher, während tonnenartige Töpfe und Flaschen wie die helltonigen Stücke erst im 2. Jh. vermehrt wieder auftreten.

Bei den Formen (dazu Tab. 22.24) zeigt sich, dass in *Aquae Helveticae* wesentlich mehr Schüsseln vorkommen als in Mittelitalien (Tab. 32)⁵⁴⁷. Wie erwähnt, musste man den Bedarf zusätzlich mit keltischen Formen decken, die z.T. aber in einer römischen Technik, nämlich mit Überzug versehen, gefertigt wurden. Reagierten die gallischen *Sigillatätöpfe* mit der massenhaften Produktion von Schüsseln *Drag. 29*, insbesondere aber *Drag. 37* auf eine beson-

546 Die teilweise recht grossen Schwankungen sind wohl auf die letztlich doch eher kleinen Zahlen zurückzuführen.

547 Auch in Pompeji ist die Seltenheit von *Sigillatäsüsseln* schon aufgefallen (Bruckner 1975, 209).

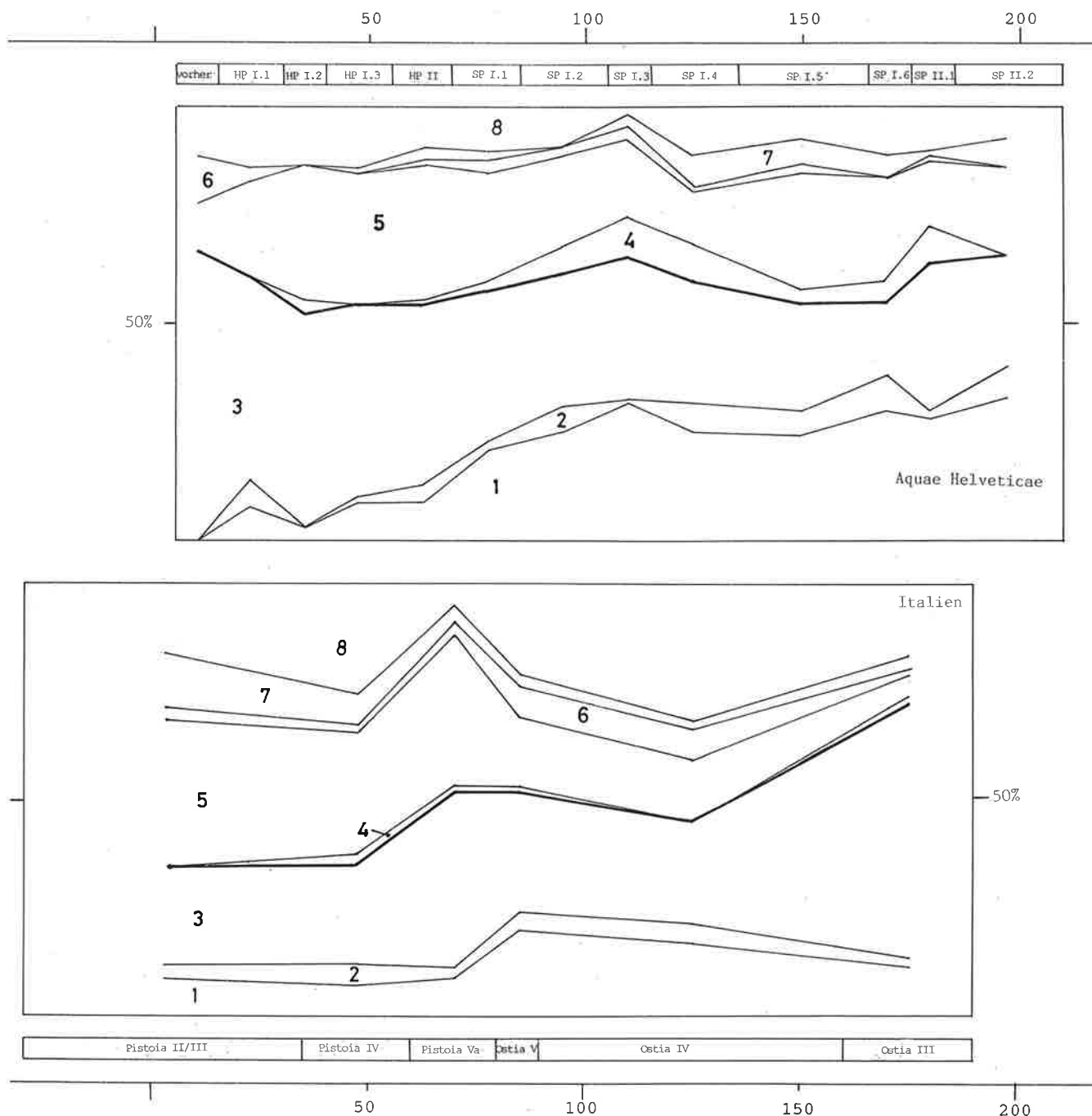


Abb. 188. Vergleich der Formenspektren der Feinkeramik. 1 Schüsseln; 2 Reibschüsseln; 3 Teller/Platten; 4 Deckel; 5 Schälchen; 6 Becher; 7 Töpfe; 8 Krüge. S. auch Tab. 24.32.

ders grosse Nachfrage nach Schüsseln im keltischen Gebiet? In Lyon und Vienne jedenfalls fallen einem in Komplexen der 1. Hälfte des 1. Jh. die vielen ganz in keltischer Tradition gehaltenen Schüsseln auf⁵⁴⁸, die das ansonsten sehr romanisierte Repertoire ergänzen.

Die Teller, eine im keltischen Inventar fehlende Form, kommen seltener vor. Insbesondere die grossen Platten verringern ihren Anteil, wogegen in Italien die Teller eher

zuzunehmen scheinen. Offenbar zog man im Laufe des 1. Jh. in Aquae Helveticae vor, die Speisen in Schüsseln statt auf Platten angerichtet zu Tisch zu bringen. Nach Varro (*de lingua latina* V,120) servierte man auf Platten (*catinus*) Gebratenes, in Schüsseln (*patena/patella*) hingegen Saucen und Gerichte an Saucen.

Die anderen im keltischen Inventar fehlenden Formen – Schälchen, Krüge, Kannen – sind z.T. ebenfalls deutlich

548 Z.B. Godard 1992, Taf. 4,49.50 (graue Feinkeramik); Taf. 6,73.74 (mit Überzug); Taf. 7,86–92 (in SLT-Tradition bemalt).

seltener als in Mittelitalien. Das gleiche gilt für die Deckel, während die Reibschüsseln in ebenso geringem Anteil wie in Mittelitalien vorkommen. Die Becher, eine im Unterschied zu den erwähnten schon im keltischen Inventar vorkommende Form, hingegen sind wesentlich häufiger. Es erstaunt nicht, dass sie mehrheitlich in keltischer Tradition stehen. Die Abnahme im 2. Jh. wird durch die in dieser Zeit vermehrt aufkommenden Tonnen und tonnenartigen Töpfe keltischer Tradition aufgefangen. Die auch in Mittelitalien bekannten hell und grautonigen, oft gehenkelt kleinen Vorratstöpfe erscheinen schon ab der Mitte des 1. Jh. Im 2. Jh. scheinen sie sogar leicht höhere Werte als in Mittelitalien zu erreichen.

Zusammenfassend lässt sich sagen, dass die Kochgewohnheiten keltischer Zeit offenbar beibehalten wurden (dazu Okun 1989, 122), das Kochen in hohen, eher geschlossenen Töpfen, der Gebrauch von eher kleinem Kochgeschirr, das häufig noch von Hand gefertigt war. Insbesondere machte man den Trend zu offenen Gefäßen, Kochschüsseln und Platten nicht mit. Einzig mit der Reibschüssel trat eine neue Form hinzu (Okun 1989, 125; Baatz 1977). Sie diente zum Anrühren von Saucen, die in Sigillataschälchen⁵⁴⁹ und deren Imitationen separat angerichtet die Küche in *Aquae Helveticae* ebenso verfeinerten wie jene im Süden. Anders als in Mittelitalien wurden hingegen in *Aquae Helveticae* die Gerichte offenbar meistens im Sud angerichtet, so dass sie nicht auf Platten aufgetragen werden konnten, sondern in Schüsseln serviert werden mussten. Im übrigen versuchte man jedoch den Tisch möglichst in römischer Manier zu decken, mit Tellern, Schüsseln, den erwähnten Saucenschälchen und Krügen, auch wenn letztere offenbar eine geringere Rolle spielten als in Italien. Beim Trinken kam man zwar von den grossen Trinkgefäßen wie Tonnen und tonnenartigen Töpfen der Spätlatènezeit ab und ging zu kleineren Gefäßen, zu Bechern, über, was Okun (1989, 95f.; Tab. 7,7) als Abkehr vom gemeinsamen Trinken gedeutet hat, wie es Athenaeus (IV,152) für die Kelten überliefert. Man bevorzugte jedoch offensichtlich immer noch eine keltische Form⁵⁵⁰, sind doch die Becher römischer Tradition und die als Trinkgefäße gedeuteten dünnwandigen Schälchen⁵⁵¹ – beides in Mittelitalien häufige Typen – selten. Dieses Bild können auch die Glasgefäße nicht verändern, denn sie machen nur 1% der Tonscherben aus. Offenbar fielen sie z.T. dem Recycling zum Opfer (Rütti 1991, 152), wie es vor allem für die nur äusserst selten überlieferten Metallgefäße an-

zunehmen ist. Letztere, vermutlich an sich selten, veränderten das Ergebnis kaum wesentlich⁵⁵².

Mit osteologischen und botanischen Untersuchungen könnte man dem Wechsel von der keltischen Küche (Kaelnel 1985) zur römischen (Fünfschilling et al. 1985; Furger 1985b) weiter nachgehen. Sicher ist, dass neben dem schon in keltischer Zeit importierten Wein weitere Güter aus dem Mittelmeerraum wie Olivenöl und Fischsauce die keltische Küche verfeinerten.

Von einer Renaissance keltischer Formen und Techniken im 2. Jh., wie sie analog des vermehrten Auftretens von keltischen Personennamen in der Spätantike, des Gebrauchs keltischer Ortsnamen statt der römischen und des Masses *leuga* ab 202 auf Meilensteinen (Meyer 1942, 416) postuliert worden ist⁵⁵³, kann bei der Keramik keine Rede sein: Das leichte Ansteigen der bemalten Ware und das vermehrte Aufkommen von Flaschen, Tonnen und tonnenartigen Töpfen bei der hellen und grauen Feinkeramik sind aufs Ganze gesehen keine gewichtigen Erscheinungen. Der Begriff dürfte auf F. Oelmann (1914, 5) und W. Unverzagt (1916, 11) zurückgehen, die bei der Keramik ein Wiederaufleben keltischer Formen und Techniken seit dem späten 2. Jh. konstatieren und insbesondere in der Abkehr vom Relief und der Hinwendung zur Rädchenverzierung bei der Argonnensigillata eine Abwendung von der hellenistischen Tradition und eine Rückkehr zur altgallischen Stilauffassung sehen (Unverzagt 1925, 157f.). In der schweizerischen Forschung taucht der Begriff meines Wissens erstmals bei H. Urner-Astholz (1942, 85f.) auf, die damit das Vorkommen bemalter Ware, die jener von Basel-Gasfabrik gleiche, in einem Verkaufsmagazin in Eschenz erklärt, das aufgrund einer Münze des Marc Aurel ins 2. Jh. zu datieren ist (a.a.O. 93). Im Aufsatz von E. Vogt (1931) über die bemalte Keramik von Vindonissa ist er jedenfalls in Wort und Sinn noch unbekannt.

9.3. Fazit

Anhand der Untersuchung der Bauweise, der Feinkeramik und der Grobkeramik wird klar, wie komplex der Romanisierungsprozess von *Aquae Helveticae* ist. Die drei untersuchten Elemente traten zu unterschiedlichen Zeitpunkten in den Bannkreis der römischen Kultur, was eine der eingangs gestellten Fragen beantwortet (Kap. 6.1.3.).

549 Zur Verwendung für Saucen s. Martin-Kilcher 1976, 82.

550 Die Funktion der sog. Becher und kleinen, feinen Töpfe als Trinkgefäße lässt sich anhand von Grabinventaren wahrscheinlich machen; römische Zeit: Martin-Kilcher 1976, 82; Mackensen 1978, 164ff.; Castella 1987, 29; spätkeltische Zeit: Ettlinger 1963, Nr. 3.

551 Für die Verwendung als Trinkschälchen spricht die Herstellung in den gleichen Werkstätten wie die Becher, die Ablösung der einen durch die andere Form sowie Indizien, wie sie in Geschirrkombina-

tionen in den Tessiner Gräberfeldern zu finden sind (Mackensen 1978, 165f.).

552 Die Trinkbecher eines Depotfundes von Bronzegegeschirr aus Augst etwa stehen formal völlig in keltischer Tradition, während die Gefäße zum Kochen, Auftragen, Trinken und Waschen ganz der römischen Tradition verhaftet sind (Furger 1985b, Abb. 8).

553 Z.B. Ettlinger/Simonett 1952, 8; zusammenfassend, wenn auch nicht vertiefend, MacMullen 1965.

Und sie liessen sich nicht in gleichem Masse, bis zum gleichen Grad von dieser beeinflussen. Auch die Frage, ob sich die Romanisierung von *Aquae Helveticae* ebenfalls an Statussymbolen ablesen lässt, ist zu bejahen. Die römische Lebensweise drückt sich für die Helvetier offenbar vor allem im Bau eines «römischen» Hauses aus, denn mit der ersten eigentlichen Überbauung des Geländes mit *Vicushäusern* in frühüberischer Zeit bricht die Bauweise vollkommen mit der keltischen Tradition, die im vorangegangenen Grubenhaus noch zum Ausdruck kommt. Die Bauweise ist dermassen ähnlich wie jene der Mannschaftsbauten von *Vindonissa*, dass sich die Frage aufdrängt, ob die Überbauung nicht sogar von *Vindonissa* aus angeordnet oder mindestens unterstützt war. Ob die «römischen» Kochschüsseln in den Schichten vor der Überbauung für eine Teilnahme von Legionären am Aufbau sprechen, muss angesichts der Kleinheit jenes Ensembles offen bleiben. Wieweit die Übernahme der Bauweise freiwillig war, oder ob sich dahinter eine Zwangsansiedlung der vielleicht verstreut lebenden Bevölkerung in verdichteten Kernen, den *Vici*, versteckt, könnte erst eine breit angelegte Untersuchung aller *Vici* sowie der übrigen Siedlungen in einem grösseren Gebiet zeigen. Für Britannien jedenfalls ist überliefert, dass die römischen Eroberer gegen die verstreute Siedlungsweise der einheimischen Bevölkerung vorgingen und von Staats wegen halfen, neben Märkten und Tempel die Häuser zu errichten (*Tacitus, Agricola* 21). Andererseits beschränkt sich die Romanisierung in *Aquae Helveticae* keineswegs nur auf die Bauweise. Den Leuten war es offenbar nicht minder wichtig,

einen nach römischer Manier gedeckten Tisch vorzuzeigen. Insbesondere das Essgeschirr, als Vorzeigekeramik ebenfalls als Statussymbol anzusehen, zeigt schon seit dem frühen 1. Jh. zu mehr als der Hälfte ein romanisiertes Aussehen. Im späten 1. Jh. ist eine weitere Zunahme an römischen Formen auf drei Viertel des Bestandes zu verzeichnen. Spiegelt sich darin ein verstärkter Einfluss der Kolonien wieder? Ein solcher ist nämlich in der Bauweise mindestens ab flavischer Zeit, vielleicht schon seit der Mitte des 1. Jh. zu fassen. Die Gewohnheiten in der Küche hingegen blieben mit wenigen *Retouchen* offenbar ganz der keltischen Tradition verhaftet: Zwar übernahm man als Verfeinerung gern die vielen zusätzlichen Saucen, die die römische Küche auszeichneten, auch das Olivenöl und das *Garum*, doch die Kochweise scheint die keltische Tradition weitgehend ungebrochen weitergeführt zu haben: das Kochen in relativ kleinen, hohen, geschlossenen Töpfen und das Anrichten der Speisen im Kochsud in Schüsseln. Auch die Trinkgefässe bleiben mehrheitlich der keltischen Tradition verhaftet, selbst wenn dies weniger aussagekräftig zu sein scheint, da sich die römischen und keltischen Formen nicht so klar voneinander absetzen lassen. Beim Geschirr zeigt sich deutlich, dass die Romanisierung mehr die Zeichen und die Statussymbole betrifft, das vorzeigbare Tafelgeschirr etwa, und weniger die innere Struktur, nämlich den Inhalt der Gefässe, Speis und Trank. Damit ist die Ähnlichkeit mit der in Peru unmittelbar nach der spanischen Eroberung zu beobachtenden Akkulturation (Kap. 6.1.3.) trotz der grossen Unterschiede in der Ausgangslage frappant.

10. Der Romanisierungsprozess gallo-römischer Vici im Vergleich

Um den Romanisierungsprozess von *Aquae Helveticae* in einem grösseren Rahmen würdigen zu können, konfrontiere ich ihn im folgenden mit dem Befund einiger anderer Vici der näheren und weiteren Umgebung. Leider sind bisher nur wenige Vici so untersucht und vorgelegt, dass ein Vergleich möglich ist. Insbesondere lässt sich nur in einem Fall, beim *Vicus Vidudurum/Oberwinterthur*, sowohl die Entwicklung der Bauweise als auch der Keramik beschreiben, so dass sich nur dort der Romanisierungsprozess in gleicher Weise an mehreren Elementen – Bauweise, Feinkeramik, Grobkeramik – überprüfen lässt.

10.1. Bauweise⁵⁵⁴

In zwei Vici aus der näheren Umgebung von *Aquae Helveticae*, in Lenzburg und in *Vitudurum/Oberwinterthur*, liegen Baubefunde in genügendem Masse vor, so dass sich ihre Bauweise und deren Entwicklung in ähnlicher Weise beschreiben lassen wie jene von *Aquae Helveticae*.

10.1.1. Oberwinterthur⁵⁵⁵

Die augusteischen Häuser weisen eine Grundfläche von 60–75 m² auf⁵⁵⁶. Mit einer Breite, die 60%–75% der Länge ausmacht, sind die Bauten an der Römerstrasse 186 als kurzrechteckig zu bezeichnen, jene im Unteren Bühl sind etwas länger (40%–50%). In beiden Fällen handelt es sich um einzellige Pfostenbauten. Die Zwischenräume der Wände waren mit horizontalen Bohlen ausgefacht. Im Haus an der Römerstrasse 186 fand sich ein Bretterboden, der auf Aststücken auflag. Das steile Dach dürfte mit Stroh gedeckt gewesen sein, während im Unteren Bühl Schindeln nachgewiesen sind. Die Feuerstellen bestanden aus verbrannten Lehmlinsen. Die Häuser entsprechen in allem, insbesondere in der Pfostenbauweise und der Einräumigkeit, den grösseren keltischen Häusern (Kap. 7.1.). Die beiden kleinen Häuser an der Römerstrasse 186 scheinen eine Einheit zu bilden, vielleicht Wohnhaus mit Stall/Speicher, wie wir das aus keltischer Zeit

kennen. Auch eine Ähnlichkeit mit dem spätaugusteischen Grubenhaus von *Aquae Helveticae* ist nicht von der Hand zu weisen.

In tiberischer Zeit baute man an der Römerstrasse 186 neben einem etwa gleich grossen Gebäude wie die vorherigen ein dreimal so grosses Haus, wobei die Proportionen etwa gleich blieben⁵⁵⁷. Wie bei den gleichzeitigen, offenbar in der Grösse gleichbleibenden Neubauten im Unteren Bühl⁵⁵⁸ liess sich vereinzelt eine Inneneinteilung fassen. Die Wände waren als Rahmen ausgeführt mit Schwellen, Ständern und senkrechten Brettern in den Zwischenräumen. Pfosten kamen nur noch vereinzelt vor. Für Böden hatte man kiesigen Lehm eingebracht. Die Feuerstellen bestanden weiterhin aus Lehm, sie ruhten aber teilweise auf Sandsteinplatten. Das Dach bestand aus Schindeln. Die Häuser setzen sich in der Konstruktionsweise, insbesondere jener der Wände, deutlich von den keltischen Bauten ab, selbst wenn in den Proportionen und mit einer Ausnahme in der Grundfläche eine Ähnlichkeit bestehen bleibt. Diese oder eine ähnliche Bauweise mit Rahmen aus Schwellen, Ständern und einer Ausfachung mit Brettern glaubt man auch im schrägen Lager von *Vindonissa* nachweisen zu können (Kap. 8.1.). Für die allerdings stärker in die Länge gezogenen Häuser der Holzbauperiode I von *Aquae Helveticae* ist sie ebenfalls anzunehmen.

Das Haus an der Römerstrasse 186 (Rychener/Albertin 1986, 34ff. Pl. 4) des ins 3. Viertel des 1. Jh. zu datierenden *Vicus-Horizontes III* (Rychener 1988, 100ff. Abb. 601.602) weist eine grössere Grundfläche (390 m²) auf – das Gleiche trifft wohl für die Bauten im Unteren Bühl zu⁵⁵⁹ – und damit bei gleichbleibender, da durch die Parzellengrenzen bedingter Breite eine gelängte Proportion (37%). Die Grundrisse setzen sich aus einigen, wenn auch nicht aus sehr vielen Räumen zusammen. Die Wände ruhten wie bei der vorangegangenen Phase auf Schwellen, die teilweise auf Unterlagesteinen, manchmal auf eigentlichen Trockenmüerchen auflagen. Eine Wand von Haus C1 und alle von Haus C2 an der Römerstrasse 186 standen auf einem gemauerten Fundament. Allerdings könnte es sich wie beim Mörtelboden in Haus C1 um einen Umbau in flavischer Zeit (Phase C2) handeln. Eine Nut im Schwellbalken ist möglicherweise ein Indiz für Stabwände (Rychener/Albertin 1986, 37), doch könnte sie ebensogut das Rutenge-

554 Vgl. mit Kap. 3.8.2.

555 S. auch Kap. 13.

556 *Vicus-Horizont I* (Rychener 1988, 100ff. Abb. 601.602); Unteres Bühl I (Zürcher 1982, 215; dazu auch Drack/Fellmann 1988, Abb. 87); Römerstrasse 186 (Rychener/Albertin 1986, 16ff.; Pl. 2).

557 Rychener/Albertin 1986, 23ff. Plan 3. Es handelt sich um den *Vicus-Horizont II* (Rychener 1988, 100f. Abb. 601.602).

558 Zürcher 1982, 215f.; Drack/Fellmann 1988, Abb. 87.

559 Zürcher 1982, 220f. Nach Rychener 1988, Abb. 601 vergrösserte sich die Grundfläche zum Teil.

flecht einer Lehmfachwerkwand enthalten haben, wie es für die Bauten vom Unteren Bühl nachgewiesen ist. Die Wände waren nicht verputzt (Rychener 1988, 100). Die Böden bestanden aus Brettern auf Balken oder aus mergeligem Material; dazu gesellt sich der erwähnte, erst in flavischer Zeit errichtete Mörtelboden. Die Dächer waren zur Hauptsache mit Schindeln gedeckt. Für die Portikus der Häuser im Unteren Bühl wurden Ziegel verwendet. Die Häuser entsprechen in Grösse und Bautechnik den einfacheren, nämlich unverputzten Häusern der Holzbauperiode II von *Aquae Helveticae*, auch wenn sie durch ihre gelangten Proportionen eher an jene der tiberisch-claudischen Holzbauperiode I erinnern.

Die Bauten des ins späte 1./frühe 2. Jh. datierten *Vicus-Horizontes IV* (Rychener 1988, 100ff. Abb. 601.602) entsprechen jenen der vorangegangenen Phase in Fläche und Proportionen⁵⁶⁰. Auch sie weisen eine Inneneinteilung auf. Die Schwellen der Lehmfachwerkände lagen auf einem Steinbett oder Trockenmäuerchen. Einzelne Bauten wiesen ein gemörteltes Fundament auf, doch ein genereller Übergang zu eigentlichen Steinbauten vollzog sich in Oberwinterthur nie, auch später nicht (Rychener 1988, 103). Die Lehmfachwerkände waren verputzt und z.T. bemalt (a.a.O. 100; 1984, 23 Abb. 13), so dass sie das Aussehen gemauerter Wände hatten. Die Böden bestanden mehrheitlich aus Lehm; selten war ein auf ein Steinbett gegossener Mörtelboden zu finden (Rychener 1984, 23f.). Ziegeldächer scheinen nur vereinzelt vorzukommen (Rychener 1988, 103). Feuerstellen wiesen einen Boden aus Ziegeln, Ton- oder Sandsteinplatten auf. Die Häuser unterscheiden sich deutlich von den annähernd quadratischen und z.T. grösseren Bauten der in vespasianischer Zeit errichteten Steinbauperiode I von *Aquae Helveticae* mit den gemauerten Aussenwänden, den oft massiv gebauten Böden und den Ziegeldächern. Sie erinnern vielmehr an die entwickelteren, nämlich verputzten Beispiele der neronischen Holzbauperiode II, in den Proportionen sogar an jene der tiberisch-claudischen Holzbauperiode I. Letzteres ist durch die für alle *Vicus-Horizonte* gleichbleibende Parzellenbreite bedingt, die eine Vergrösserung der Grundfläche nur durch eine Verlängerung der Bauten zulies. Die Häuser scheinen stärker der altüberbrachten *Vicusbauweise* verhaftet zu sein und die Annäherung an die Architektur der Kolonien und damit Italiens nicht mitgemacht zu haben, oder nur insofern, als sie mit den verputzten Lehmwänden Steinbauten vortäuschten.

10.1.2. Lenzburg

Von der ersten Phase sind nur wenige Spuren bekannt, da man erst in der Kampagne 1984 versuchte, ein Bild über den Schichtaufbau ab dem anstehenden Boden zu gewinnen (Niffeler 1988, 11f.). Erfasst wurden vor allem Pfostenlöcher, Steinplatten, die vielleicht als Unterlage für Pfosten dienten, einfache Feuerstellen und Reste einer Benützungsschicht (a.a.O. 179). Über Grundriss und Grösse der Bauten lässt sich nichts, über die Bautechnik nur wenig aussagen. Eine Lehmplanie über der Benützungsschicht (a.a.O. 40 Abb. 45) könnte ein Hinweis sein, dass die Wände aus Lehmfachwerk bestanden. Die Phase wird ins 2. Viertel des 1. Jh. datiert, da *Arretina* und frühe *TS-Imitationen* fehlen.

In der 2. Hälfte des 1. Jh. ersetzte man die leichten Bauten durch Häuser mit Steinfundamenten. Ob dies bei Gebäude 1 wirklich schon kurz nach 50 geschah (a.a.O. 27), kann nicht mehr anhand der Funde überprüft werden⁵⁶¹. Die Häuser weisen mit 170–681 m² sehr unterschiedliche Grundflächen auf⁵⁶². Mit einer Breite, die 50%–60% der Länge ausmacht, sind sie nicht besonders lang. Nur knapp die Hälfte aller bekannten Häuser lassen sich als sog. Kleinhausbauten mit Hausbreiten von höchstens 14 m bezeichnen (a.a.O. 81f.), die als die typischen *Vicusbauten* gelten⁵⁶³. Die übrigen sind breiter. Gebäude 2 fällt aus dem Rahmen, da es mit der Längsseite zur Strasse hin gebaut war, was an Häuser in Kolonien erinnert (z. B. Laur-Belart/Berger 1988, 131 Abb. 125.126). Die Grundrisse der Häuser 1–4 weisen viele Räume auf, die die Gebäude in ein bis drei Teile gliedern. Die 63 cm starken Aussenwände hatten ein Kieselfundament (Niffeler 1988, Abb. 36; 73). Darüber folgte das zweischalige gemörtelte Aufgehende, das ebenfalls mit Kiesel gefügt war. Vereinzelt war *Pietra rasa*-Technik mit Fugenstrich zu beobachten (a.a.O. Abb. 32). Die Innenwände waren gleich ausgebildet, aber meist weniger stark. Mindestens sie könnten als Sockel eine Lehmfachwerkwand getragen haben, wie entsprechende Brocken nahelegen⁵⁶⁴. Neben einfachen Lehm Böden fand sich ein Boden aus Terrazzomörtel. Ziegelfragmente in den Schichten (Niffeler 1988 Abb. 34–36.45–47) weisen auf ein Ziegeldach hin. Die Feuerstellen zeigten sich meist als verbrannte Lehmflecken (a.a.O. 74). Die Häuser entsprechen recht gut jenen der in vespasianischer Zeit erbauten Steinbauperiode I von *Aquae Helveticae*. Bei etwa gleicher Grundfläche sind sie allerdings etwas länger, was an frühere *Vicusbauten* wie jene der ne-

560 Rychener/Albertin 1986, 41ff. Pl. 5; Zürcher 1982, 222f.; s. auch Drack/Fellmann 1988, Abb. 87.

561 Niffeler 1988, Anm. 102. Die Datierung nahm P. Ammann-Feer 1936 anhand der *Sigillata* vor, die im Bauhorizont unter einem Mörtelboden zum Vorschein kam (a.a.O. 27 Anm. 111). Vermutlich handelt es sich um Material, das mit Hofheim gleichzusetzen ist und auch noch neronisch sein könnte.

562 Die folgenden Überlegungen basieren auf den Gebäuden 1–4, die am besten untersucht sind (Niffeler 1988, 26ff. Beil. 5). Den Häusern habe ich jeweils die Portikus dazugerechnet, wie ich es auch für *Aquae Helveticae* getan habe.

563 Dazu Ulbert 1975, Abb. 11; Sommer 1988, 582.

564 Niffeler 1988, 75. Leider wird nicht angegeben, ob die Lehmfachwerkbrocken verputzt waren.

ronischen Holzbauperiode II erinnert. Die Innenwände hingegen stehen durchwegs auf Steinfundamenten wie bei den Kasernen der Steinbauten von Vindonissa (Kap. 8.1.).

Im späteren 2. Jh. vergrösserte man die Häuser in der Art, dass es zu einer Verkürzung der Proportionen kam; die Hausbreite beträgt jetzt ca. 70% der Länge. Im Aufgehen der Mauern waren fast ausschliesslich Bruchsteine verbaut. Vermehrt treten Böden aus Mörtel und Terrazzomörtel auf. Einer der Böden bestand aus Tuffsteinbrocken und Lehm. Die Feuerstellen zeigten sich meist als verbrannte Lehmflecken. Manchmal wiesen sie eine Unterlage aus Kiesel, seltener aus Ziegelfragmenten auf (Niffeler 1988, 74). In der Bautechnik lassen sich die Häuser mit jenen der Steinbauperiode II des späten 2. Jh. von *Aquae Helveticae* vergleichen, auch wenn sich eine erneute Verwendung der Fachwerktechnik nicht nachweisen liess und die Innenwände auf Steinfundamenten standen. In den Proportionen hingegen sind die Unterschiede nicht zu übersehen: Eine Verschmälerung der Parzellen, die in *Aquae Helveticae* bei gleichbleibender Grundfläche zur Längung der Häuser geführt hatte, fand nicht statt. Vielleicht war sie nicht nötig, da im Vicusbereich genügend Platz vorhanden war, so dass die bebaute Fläche nicht verdichtet werden musste.

10.1.3. Zusammenfassung

Der Vergleich zeigt, dass der Romanisierungsprozess der Bauweise in den drei *Vici* trotz Konstanten unterschiedlich verlief. Der Bruch mit der keltischen Bauweise ist aber in allen drei Fällen total: Die kleinen, kurzrechteckigen, einzelligen Pfostenhütten werden durchwegs durch grosse, lange, mehrräumige Häuser ersetzt. In *Aquae Helveticae* wie in *Vitudurum* geschah dies in früh-tiberischer Zeit. In die gleiche Zeit datiert im *Vicus Lousonna* die Anlage des urbanen Netzes, das sich ohne Rücksicht über die vorangegangene Bebauung legte, und das für die folgenden drei Jahrhunderte gelten sollte⁵⁶⁵. Der Einfluss der Militärarchitektur, vermittelt durch *Vindonissa*, ist nicht zu übersehen. Dies scheint für die nordwestlichen Provinzen typisch zu sein, denn in Britannien ist ein gleicher Bruch festzustellen zwischen den kleinen Pfostenhütten keltischer Zeit und der von den Militärkasernen her stammenden Holz- bzw. Lehmfachwerkbauweise römischer Zeit⁵⁶⁶.

Der Romanisierungsprozess scheint in *Aquae Helveticae* aber schneller und intensiver verlaufen zu sein als andernorts. Die ersten Häuser der neuen Bautechnik in Ober-

winterthur blieben nämlich im Gegensatz zu jenen von *Aquae Helveticae* in gewissen Elementen, insbesondere in den Proportionen, der keltischen Tradition verhaftet. Auch bei den späteren Phasen sind stets retardierende Elemente zu fassen, neben den Proportionen auch die Raumaufteilung und die leichte Bauweise der Wände und des Daches. In flavischer Zeit wird der Unterschied noch grösser. Die flavischen Steinbauten im *Vicus Lenzburg* weisen vor allem bei den Proportionen ein älteres Bild auf. Im Gegensatz zu Oberwinterthur lässt sich jedoch für *Lenzburg* bei vielen Häusern ein gewisser Einfluss der Koloniebauten wahrscheinlich machen.

10.2. Keramik

Für die Beschreibung der Keramikentwicklung in anderen helvetischen *Vici* habe ich neben *Vitudurum*/Oberwinterthur *Salodurum*/Solothurn gewählt, da mir von beiden Fundplätzen Abfolgen von Keramikensembles zur Verfügung standen, die sich in gleicher Art wie jene von *Baden* auswerten lassen.

10.2.1. Oberwinterthur

Die intensive Grabungstätigkeit in Oberwinterthur in den 80er Jahren hat mehrere Abfolgen von Ensembles geliefert (s. Kap. 13), anhand derer sich, wenn auch mit Unterschieden, die Entwicklung des dortigen Keramikrepertoires vom frühen 1. bis ins 3. Jh. aufzeigen lässt. Aufgrund der Erfahrungen bei der Datierung (Kap. 5) eignen sich vor allem die Ensembles vom Kirchhügel zum Vergleich mit *Baden*⁵⁶⁷.

Keramikgattungen

Die Entwicklung des Spektrums verläuft in Oberwinterthur tendenziell ähnlich wie in *Baden*, wenn auch in den Anteilen nicht unerhebliche Unterschiede zu verzeichnen sind. Die Keramik in keltischer Tradition (Abb. 189,6–8) weist in der 2. Hälfte des 1. Jh. ebenfalls einen markanten Rückgang auf. An der Römerstrasse 186 findet dieser Sprung schon im 2. Viertel des 1. Jh. statt, von 40% auf knapp 30%, doch weisen gerade die betreffenden Ensembles (Phasen A/B) mit 51%:49% bzw. 77%:23% offenbar

565 Freundliche Mitteilung von Sylvie Berti, Lausanne; Berti/May Castella 1992, 173.

566 Frere 1972, 10; M. Millett (1991, 71f.) hingegen nimmt eine fortschrittliche Bautechnik schon für die Zeit vor der Ankunft der Römer an.

567 Als Korrektiv habe ich zusätzlich die Abfolge von der Römerstrasse 186 hinzugezogen. Die Keramikspektren basieren auf den Randscherben (Rychener 1984 bzw. Rychener/Albertin 1986, nach Katalog).

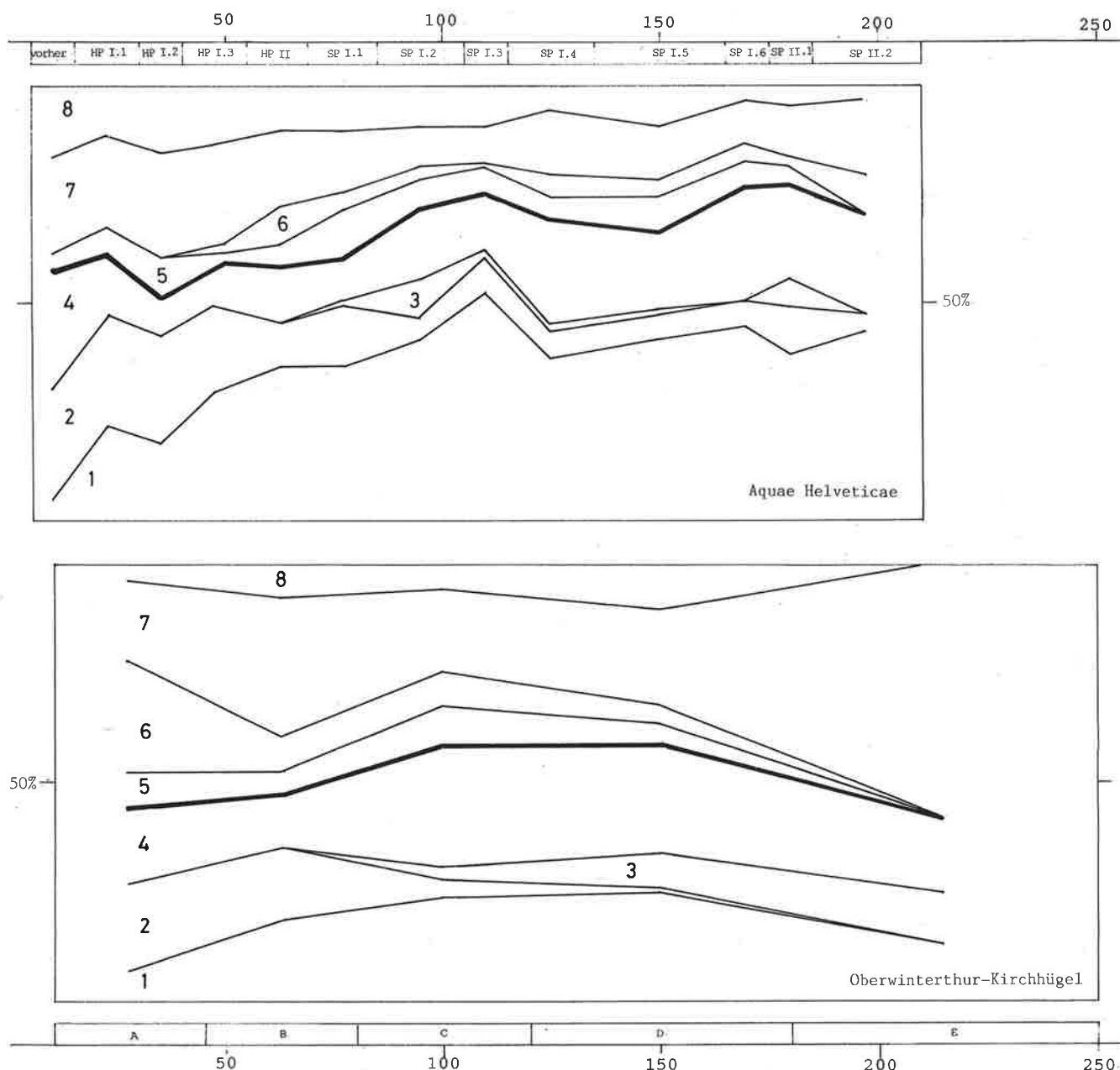


Abb. 189. Vergleich der Keramikgattungen. 1 Import (Sigillata); 2 Imitation (TS-Imitation); 3 Glanztonkeramik römischer Form; 4 Keramik römischer Tradition (orange Keramik); 5 Keramik keltischer Form/römischer Technik; 6 orange Keramik keltischer Tradition; 7 graue Feinkeramik keltischer Tradition; 8 Grobkeramik keltischer Tradition. S. auch Tab. 20.33,

ein für ihre Zeit um etwa 25 Jahre «zu frühes» Verhältnis von Sigillata zu Imitation auf (s. Kap. 5.1.; Tab. 27), so dass vermutlich auch die Anteile der Keramiktraditionen nicht den für diese Zeit zu erwartenden Werten entsprechen. Im späten 2. Jh./frühen 3. Jh. scheint die Keramik keltischer Tradition wiederum zuzulegen⁵⁶⁸. Die Werte sind aber in allen Ensembles höher als in Baden. Anders als in Aequae Helveticae ist die orange Keramik (Abb. 189,6) schon im

früheren 1. Jh. gut vertreten. Sie verringert ihren Anteil im Laufe der Zeit. Die graue Feinkeramik (Abb. 189,7) nimmt nicht ab. Die Grobkeramik (Abb. 189,8) ist etwas weniger stark vertreten als im Baden.

Die Keramik mit keltischer Form und römischer Technik (Abb. 189,5) entspricht im Anteil etwa jener von Baden. An der Römerstrasse 186 ist sie im frühesten 1. Jh. mit über 15% etwas stärker vertreten.

568 Das Spektrum der Periode E ist mit nur 17 Randscherben jedoch sehr klein, so dass der Wert zufällig sein könnte.

Wie in Baden nimmt die Keramik in römischer Tradition (Abb. 189,1–4) zu, weist allerdings stets geringere Werte auf, die im späten 2. Jh./früheren 3. Jh. sogar wieder etwas zurückgehen (aber Anm. 568). Die Importkeramik (Abb. 189,1), vorwiegend Sigillata, erreicht nur halb so hohe Anteile wie in Baden. Dieser Befund könnte sich indes als lokale Besonderheit des Kirchhügels erweisen, denn an der Römerstrasse 186 zeigt die Importkeramik – auch hier vor allem Sigillata – mit 16% im frühesten 1. Jh. und 45–50% im späteren 1./früheren 2. Jh. einen zwar durch den erwähnten ungewöhnlich hohen Anteil an Sigillata etwas verschobenen, jedoch durchaus ähnlichen Verlauf wie in Baden. Die Amphoren fallen noch weniger ins Gewicht als in Baden. Die Imitationen (Abb. 189,2), zur Hauptsache TS-Imitationen, sind ähnlich häufig wie Baden. An der Römerstrasse 186 ist die Imitation ungewöhnlich schwach vertreten. Sie scheint dort früher als anderswo durch die Sigillata ersetzt zu sein. Die Gebrauchskeramik entspricht in Anteil und Kurvenverlauf jener von Baden. Wie dort kommt vor allem helltonige Ware (Abb. 189,4) vor. Ab der 2. Hälfte des 1. Jh. erscheint ebenfalls die Glanztonkeramik römischer Form (Abb. 189,3); sie steigert ihren Anteil stetig. Die Grobkeramik römischer Tradition ist ebenfalls selten.

Formen⁵⁶⁹

Bei der helltonigen sowie der grauen Feinkeramik keltischer Tradition kommen in Oberwinterthur die von Baden her bekannten Grundformen vor: Schüsseln, Näpfe, Flaschen, Tonnen tonnenartige, grosse Töpfe und Becher⁵⁷⁰. Einige der Näpfe sind, ebenso wie Teller und Deckel römischer Tradition, mit einem roten Streifen am Rand versehen⁵⁷¹, eine Verzierung, die in Baden fehlt.

Wie gewohnt sind die Kochtöpfe häufiger als die Kochnäpfe (Rychener 1984, Abb. 56), während die Deckel (a.a.O. Nr. 709.744) eher selten sind. Dreibeingefässe wie unsere Nr. 1309 sind ebenfalls vorhanden (a.a.O. Nr. 100). Vorratsgefässe ähnlich Nr. 71 fanden sich nur an der Römerstrasse (Rychener/Albertin 1986, Nr. 139). Wie in Baden weisen die Kochtöpfe öfters einen nach aussen gebogenen Rand und manchmal Kammeinstichmuster im Zier-

gürtel am Hals auf (Rychener 1984, Nr. 87.132), während die kurzen Steilränder offenbar häufiger sind. Vereinzelt tritt auch horizontaler Kammstrich auf (Rychener/Albertin 1986, Nr. 296). Nachfolger des vindelikischen Kochtopfes (s. Kap. 9.2.1.) fehlen ebenfalls.

Wie in Baden setzt sich die Keramik mit keltischer Form und römischer Technik aus Schüsseln und Bechern zusammen⁵⁷².

Die Feinkeramik römischer Tradition entspricht ebenfalls weitgehend jener von Baden. Die Sigillata besteht im früheren 1. Jh. vor allem aus Tellern und Schälchen, während Schüsseln vorerst selten sind und ihren Anteil erst ab dem späteren 1. Jh. steigern. Die TS-Imitation setzt sich im 1. Jh. desgleichen aus vielen Tellern und einigen Schälchen zusammen. Auch vereinzelt Schüsseln kommen vor. Die Glanztonkeramik umfasst wiederum Schüsseln mit Horizontalrand und Teller⁵⁷³. Krüge fehlen hingegen, während mit den Reibschüsseln (a.a.O. Nr. 502.618.707.753) eine Form auftaucht, die in Baden noch nicht vorkommt. Die häufigste Grundform der orangen Keramik ist wie in Baden der Krug, gefolgt von Tellern, Deckeln, Schüsseln und Reibschüsseln, während Töpfe selten sind⁵⁷⁴. Bei der grauen Feinkeramik entsprechen sich die Deckel und Töpfe, während die Schüsseln und Kannen eine etwas andere Form aufweisen⁵⁷⁵. An Grobkeramik römischer Tradition kommen ausschliesslich Dolien (a.a.O. Nr. 33.518.519.584) vor; Kochgefässe fehlen.

Formenspektrum

In der Formenverteilung der Feinkeramik keltischer Tradition weist Oberwinterthur ein recht anderes Bild auf als Baden. Die Schüsseln (Abb. 190,1) sind im 1. Jh. nur etwa halb so häufig wie in Baden. An der Römerstrasse 186 jedoch entsprechen sie mit 40–50% im 1. Jh. den Badener Werten. Die Näpfe (Abb. 190,2) sind hingegen wesentlich häufiger⁵⁷⁶. Offenbar sind sie erst teilweise durch die Schüsseln ersetzt worden, denn beide Formen zusammen erreichen im 1. Jh. etwa die Badener Werte. Im 2. Jh. nehmen die Schüsseln ab⁵⁷⁷. Auch die Näpfe verringern ihren Anteil. Wie in Baden ist die Flasche (Abb. 190,6) eine unbedeutende Form. Die Tonnen (Abb. 190,5)

569 Tab. 34.35; Beispiele, die sich gut mit der Keramik von Baden vergleichen lassen, finden sich in Tab. 38.

570 Schüsseln: Rychener 1984, Abb. 51.55; Näpfe: a.a.O. Abb. 59.60; Tonnen: a.a.O. Abb. 57; tonnenartige, grosse Töpfe: z. B. a.a.O. Nr. 125.126.251; Becher: a.a.O. Abb. 54; z. B. Nr. 249.287.289.566.

571 Näpfe: a.a.O. Nr. 10.96.191.218; Teller: a.a.O. Nr. 8.135.136; Deckel: a.a.O. Nr. 12.

572 Schüsseln: Rychener 1984, Abb. 52; Becher: a.a.O. Abb. 53.

573 Schüsseln mit Horizontalrand: z. B. Rychener 1984, Nr. 773; Teller: a.a.O. Nr. 496.

574 Krüge: a.a.O. Abb. 62; Teller: z. B. a.a.O. Nr. 134–136.271; Deckel: a.a.O. Abb. 63; Schüsseln: z. B. a.a.O. Nr. 389; Reibschüsseln: z. B. a.a.O. Nr. 583.619.642; Töpfe: z. B. a.a.O. Nr. 131.

575 Deckel: z. B. a.a.O. Nr. 102.221.641; Töpfe: a.a.O. Nr. 212.285.286; Schüsseln: a.a.O. Nr. 279.627.637; Kannen: z. B. a.a.O. Nr. 702.703.

576 Der enorm hohe Wert an der Römerstrasse 186 in Phase B basiert auf der geringen Zahl von nur 57 Randscherben und könnte zufällig sein.

577 Der sehr hohe Wert an der Römerstrasse 186 in Phase D basiert auf nur 40 Randscherben und könnte zufällig sein.

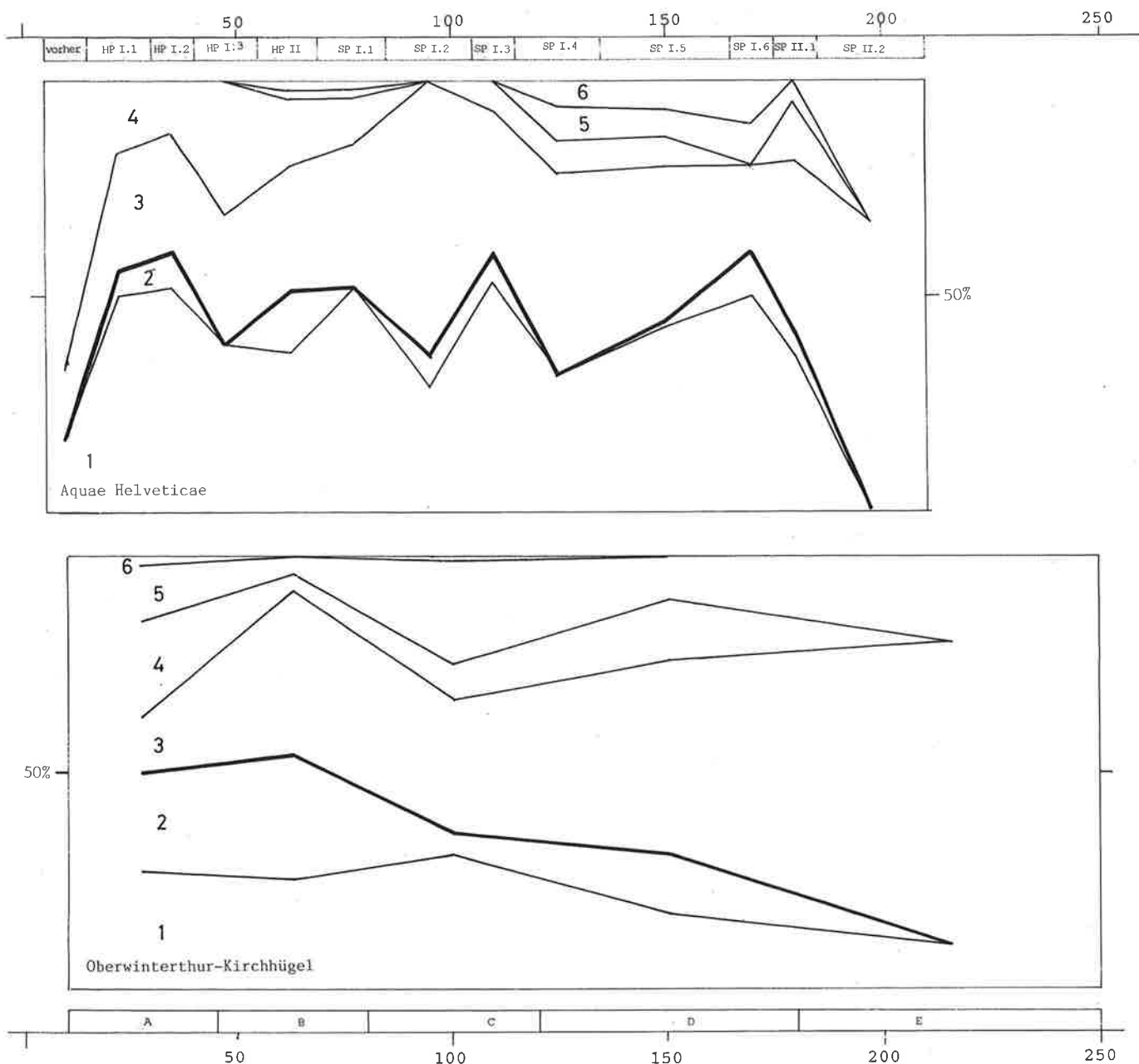


Abb. 190. Vergleich der Formenspektren der Feinkeramik keltischer Tradition. 1 Schüsseln; 2 Näpfe; 3 Becher; 4 Töpfe; 5 Tonnen; 6 Flaschen. S. auch Tab. 22.36.

und tonnenartigen, grossen Töpfe (Abb. 190,4) hingegen sind wesentlich besser vertreten – an der Römerstrasse 186 trifft dies nur für die Töpfe zu. Dazu passt auch ein höherer Anteil an bemalter Ware. Die Töpfe scheinen ab der Mitte des 1. Jh. seltener zu werden. Die Becher hingegen, mit ähnlichen Anteilen wie in Baden, werden häufiger. Im späten 2./früheren 3. Jh. erreichen sie einen sehr hohen Wert⁵⁷⁸.

Der Verlauf des Formenspektrums der Feinkeramik römischer Tradition hingegen entspricht weitgehend jenem

von Baden. Die Schüsseln (Abb. 191,1) nehmen anteilmässig kontinuierlich zu, im 2. Jh. sogar stärker als in Baden, wodurch der Anteil der Schüsseln in Oberwinterthur etwas grösser ist – im 1. Jh. ist er minim kleiner. Die Prozentzahlen der Teller (Abb. 191,3) nehmen ab, was nicht nur am Rückgang der grossen Platten liegt wie in Baden, sondern auch an der Abnahme der kleineren Exemplare (Tab. 37). In Anteilen und Verlauf stimmen die beiden Kurven jedoch gut miteinander überein. Auch die Schälchen (Abb. 191,5) entsprechen im Anteil dem Badener

⁵⁷⁸ Auch in Baden sind die Becher in den beiden letzten fundführenden Phasen 2 und 3 der SP II sehr gut vertreten, doch ist die Basis mit 6

bzw. 1 RS an Feinkeramik keltischer Tradition für eine bindende Aussage zu klein.

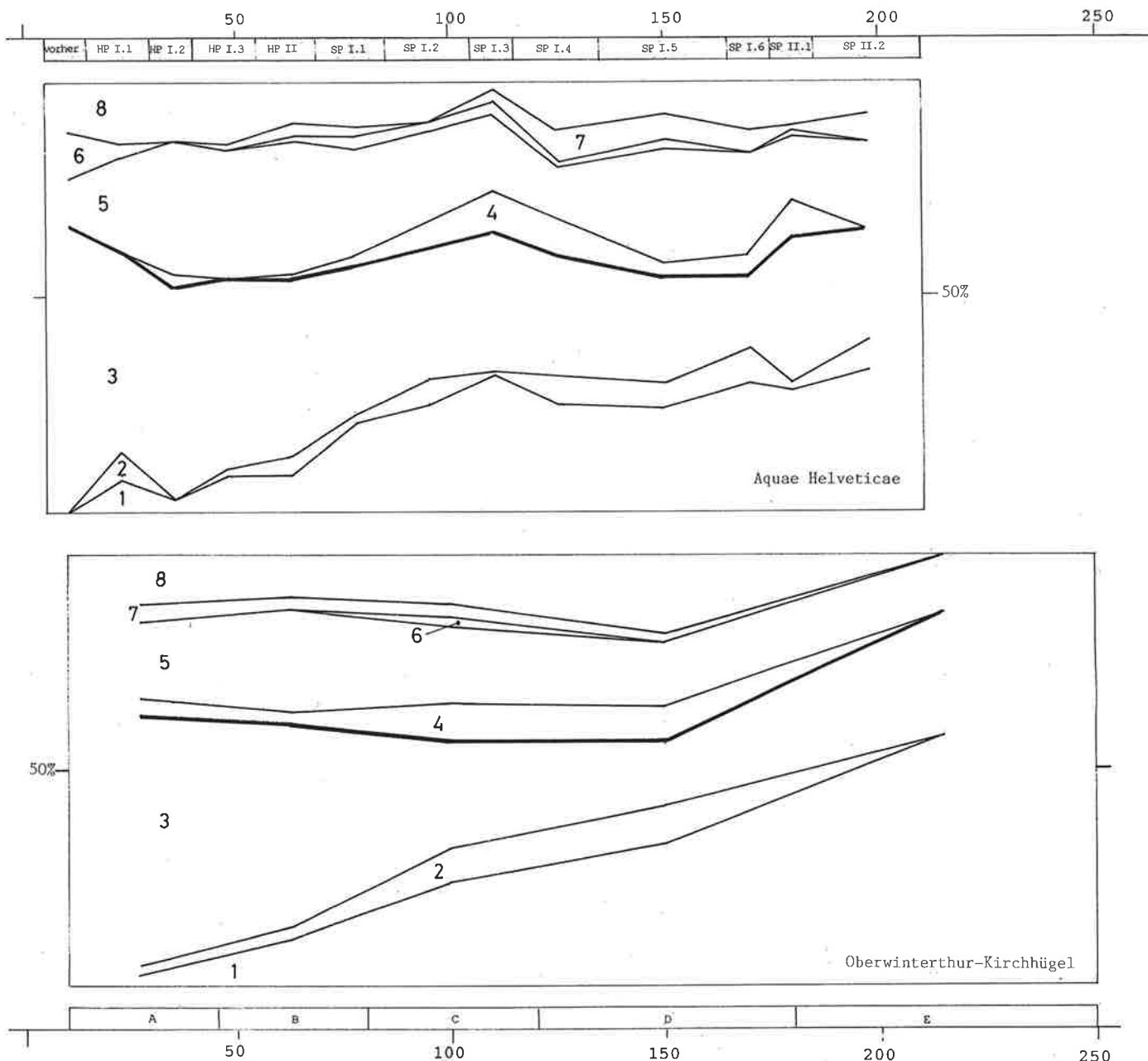


Abb. 191. Vergleich der Formenspektren der Feinkeramik römischer Tradition. 1 Schüsseln; 2 Reibschüsseln; 3 Teller/Platten; 4 Deckel; 5 Schälchen; 6 Becher; 7 Töpfe; 8 Krüge. S. auch Tab. 24.32.

Wert. An der Römerstrasse 186 sind sie etwas häufiger. Wie in Baden scheinen sie im 2. Jh. leicht zurückzugehen. Die in Baden nicht seltenen Firnischälchen fehlen weitgehend⁵⁷⁹. Die Krüge (Abb. 191,8) passen anteilmässig ebenfalls gut ins Bild. Die Reibschüsseln (Abb. 191,2) sind wie in Baden eher selten. Im späteren 2. Jh. treten vermehrt mit Glanzton überzogene Stücke auf, die in Baden noch fehlen. Die Becher (Abb. 191,6) sind wie in Baden äusserst selten; Firnisbecher fehlen im Randscherbenspektrum

zwar, sind jedoch als Wandscherben nachgewiesen (Rychener 1984, 13). Deckel (Abb. 191,4) und Töpfe (Abb. 191,7) sind auch in Oberwinterthur eher seltene Formen.

⁵⁷⁹ An der Römerstrasse 186 sind sie offenbar durch wenige Wandscherben belegt (Rychener/Albertin 1986, 62).

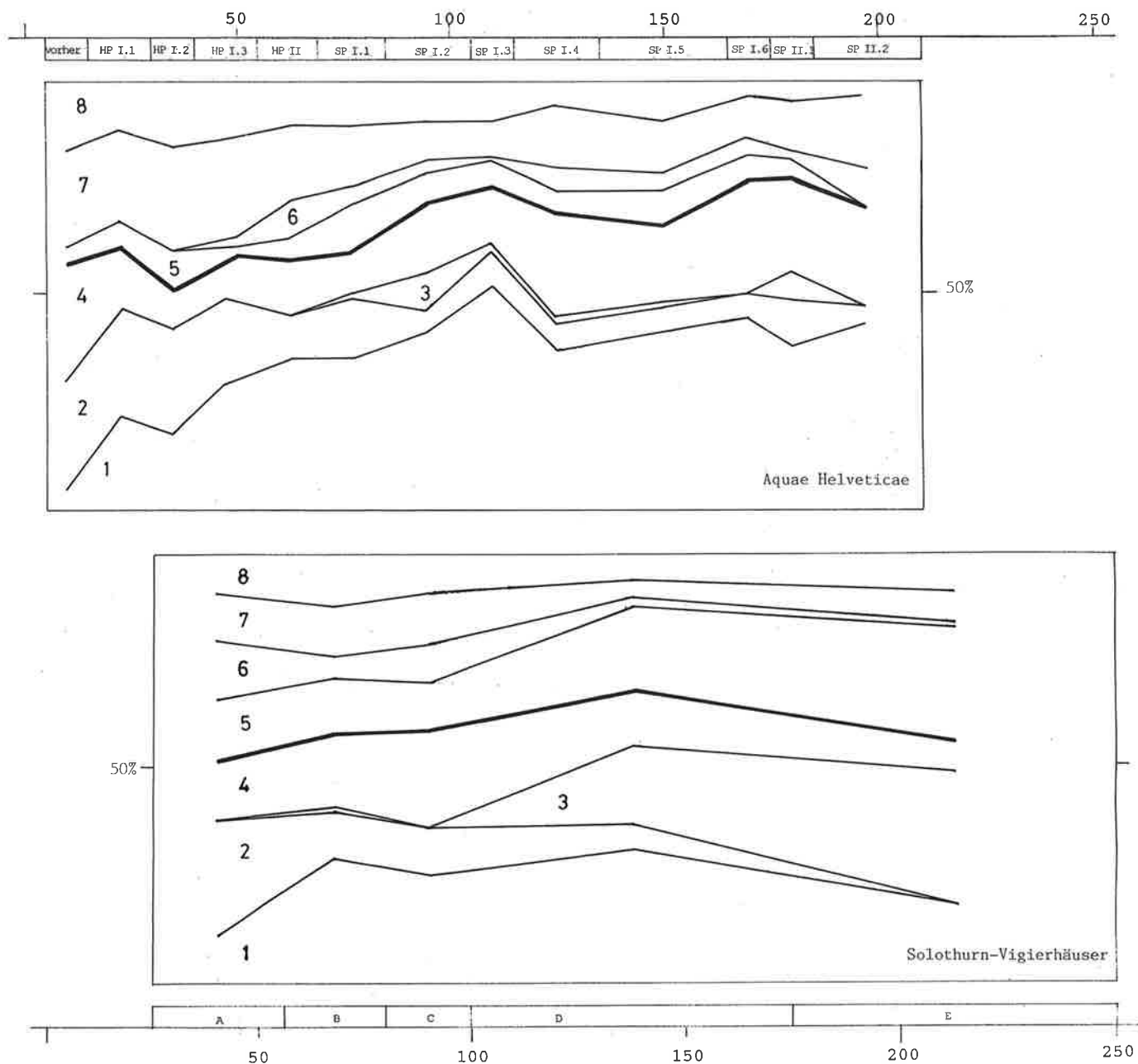


Abb. 192. Vergleich der Keramikgattungen. 1 Import (Sigillata); 2 Imitation (TS-Imitation); 3 Glanztonkeramik römischer Form; 4 Keramik römischer Tradition (orange Keramik); 5 Keramik keltischer Form/römischer Technik; 6 orange Keramik keltischer Tradition; 7 graue Feinkeramik keltischer Tradition; 8 Grobkeramik keltischer Tradition. S. auch Tab. 20.38.

10.2.2. Solothurn

Anhand der in den Vigierhäusern erfassten Schichten lässt sich eine Abfolge von Keramikensembles zusammenstellen, die den Zeitraum vom frühen 1. bis zur Mitte des 3. Jh. umfassen⁵⁸⁰.

Keramikgattungen

Das Spektrum zeigt ein an sich recht ähnliches Bild wie in Baden, bei einigen Unterschieden. Der in Baden in flavischer Zeit erfolgte markante Rückgang der Keramik in keltischer Tradition (Abb. 192,6–8) ist ebenfalls zu beobachten, allerdings etwas später, erst im späten 1./früheren 2. Jh. Die helltonige Keramik (Abb. 192,6) ist im Gegensatz zu Baden schon im früheren 1. Jh. vorhanden. Sie wird

580 S. Kap. 13. Die Keramikspektren basieren auf den Randscherben, deren Publikation in Vorbereitung ist; s. auch Schucany 1990b.

im Laufe der Zeit seltener. Wie in Baden halbiert sich der Anteil der ohnehin weniger häufigen grauen Feinkeramik (Abb. 192,7) im 2. Jh. Die Grobkeramik (Abb. 192,8) ist etwas weniger stark vertreten.

Die Keramik mit keltischer Form und römischer Technik (Abb. 192,5) ist etwa dreimal so häufig wie in Baden. Ihr Anteil steigt, anders als dort, im Laufe der Zeit, was ausschliesslich auf die Zunahme der Glanztonkeramik keltischer Tradition zurückzuführen ist, insbesondere der Glanztonbecher (Tab. 39). Dieser Unterschied ist wohl nicht zuletzt darauf zurückzuführen, dass im Badener Material Ensembles der 1. Hälfte des 3. Jh. fehlen.

Der Anteil an Keramik in römischer Tradition (Abb. 192,1–4) nimmt zu, verringert sich aber gegen Ende des 2. Jh./1. Hälfte des 3. Jh. leicht⁵⁸¹. Die Importkeramik (Abb. 192,1) – wie in Baden hauptsächlich Sigillata – wird häufiger. Im 2. Jh./früheren 3. Jh. fällt sie wieder leicht zurück. Damit zeigt sie einen ähnlichen Verlauf wie in Baden, allerdings mit jeweils geringerem Anteil – ein Drittel bis die Hälfte. Die Amphoren sind selten. Wie in Baden geht der Prozentsatz an Imitation (Abb. 192,2) – zur Hauptsache jene der Sigillata – im Laufe der Zeit zurück, bis er am Ende des 2. Jh./1. Hälfte des 3. Jh. auf Null sinkt. Die Gebrauchskeramik in römischer Tradition hingegen vergrössert ähnlich wie in Baden den Anteil. Sie besteht wie dort vorwiegend aus helltoniger Ware (Abb. 192,4), ab der 2. Hälfte des 2. Jh. verringert sie aber ihren Anteil zugunsten der Glanztonkeramik römischer Form (Abb. 192,3). Die grobe Ware römischer Tradition ist ähnlich selten wie in Baden.

Formen⁵⁸²

Die Formen der orangen und grauen Feinkeramik keltischer Tradition sind die bekanntesten: Schüsseln, Nöpfe, Flaschen, Tonnen, grosse, tonnenartige Töpfe und Becher⁵⁸³.

Wie in Baden überwiegen bei der Grobkeramik die Kochtöpfe gegenüber den Kochnöpfen, während die Deckel (Schucany 1990b Nr. 23) selten sind. Die Kochtöpfe weisen ebenfalls häufig einen nach aussen gebogenen oder umgelegten Rand oder einen kurzen Steilrand auf und können mit Kammstrichmuster oder horizontalem Kammstrich verziert sein (a.a.O. Nr. 24.78.80). Ab flavischer Zeit gesellt sich ein kugelförmiger, nahezu randloser Typ hinzu (a.a.O. Nr. 25.81), der in Baden fehlt, in der Solothurner Gegend aber zur Hauptform wird (a.a.O. 97; Schucany 1986a, 213).

Die Keramik mit keltischer Form und römischer Technik setzt sich wie in Baden aus Schüsseln, Bechern und feinen Töpfen (Schucany 1990b, Nr. 65) zusammen.

Auch die Formen der Keramik römischer Tradition weisen eine grosse Ähnlichkeit auf. Die Sigillata umfasst Teller, Schälchen und Schüsseln. Letztere bleiben allerdings, anders als in Baden, auch im 2. und früheren 3. Jh. seltener als die Teller und Schälchen. Die Gruppe der TS-Imitationen besteht zur Hauptsache aus Tellern (a.a.O. Nr. 1.2.12.13), während Schüsseln und, anders als in Baden, Schälchen selten sind. Bei der Glanztonkeramik überwiegen die Teller gegenüber den Schüsseln – in Baden ist das Verhältnis umgekehrt⁵⁸⁴. Kannen bzw. Krüge sind ebenfalls selten (a.a.O. Nr. 63). Die im späten 2./früheren 3. Jh. erscheinende Reibschüssel mit Glanztonüberzug (a.a.O. Nr. 62) fehlt in Baden, wie erwähnt. Die Krüge sind wie in Baden die häufigste Form der orangen Keramik. Auch die übrigen Formen – Reibschüsseln (a.a.O. Nr. 72), Schüsseln, häufig mit gefalztem Horizontalrand, Teller, Deckel, Töpfe – sind vertreten. Die graue Feinkeramik hingegen sieht etwas anders aus: Teller fehlen in Baden; die Schüsseln (a.a.O. Nr. 73) weisen eine andere Form auf als etwa unsere Nr. 1094.

An Grobkeramik römischer Tradition kommen vor allem Dolien (a.a.O. Nr. 26) vor, während Deckel und Töpfe selten sind.

Formenspektrum

Das Formenspektrum der Feinkeramik keltischer Tradition aus Solothurn zeigt ein z.T. recht anderes Bild als jenes in Baden: Die Anteile ändern sich im Laufe der Zeit stärker. Die Flaschen (Abb. 193,6) und Tonnen (Abb. 193,5) sind im 1. Jh. wesentlich besser vertreten, was sich auch in einer stärkeren Präsenz der bemalten Ware bemerkbar macht. Sie nehmen aber wie die grossen, tonnenartigen Töpfe (Abb. 193,4) im Laufe des 2. Jh. ab. Ihre Funktion hatten in Baden wohl die Becher und feinen Töpfe (Abb. 193,4) inne, kleinere, gedrungene Formen also, die mit knapp 45% dementsprechend häufiger sind als in Solothurn. Becher und tonnenförmige Gefässe zusammengenommen ergeben mit etwa 40% denn auch etwa die Badener Werte. Die Becher steigern in Solothurn ihren Anteil. Im späten 2. Jh./früheren 3. Jh. ist, bedingt durch die massive Zunahme der Glanztonbecher, ein Anteil an Bechern zu verzeichnen, der sogar über jenem in Baden liegt. Da das hier präsentierte Material aus Baden nicht

581 In Baden scheint sich das Phänomen in der SP II.2 ebenfalls abzuzeichnen. Mit nur 23 Randscherben ist das Ensemble jedoch zu klein, um eine verbindliche Aussage zu machen.

582 Tab. 40.41; Beispiele, die sich gut mit der Keramik von Baden vergleichen lassen, sind in Tab. 44 erfasst.

583 Schüsseln: z. B. Schucany 1990b, Nr. 4; Flaschen: z. B. a.a.O. Nr. 5; Tonnen: a.a.O. Nr. 19.75; grosse, tonnenartige Töpfe: a.a.O. Nr. 8.

584 Teller: a.a.O. Nr. 61; Schüsseln: z. B. a.a.O. Nr. 16.56–59.

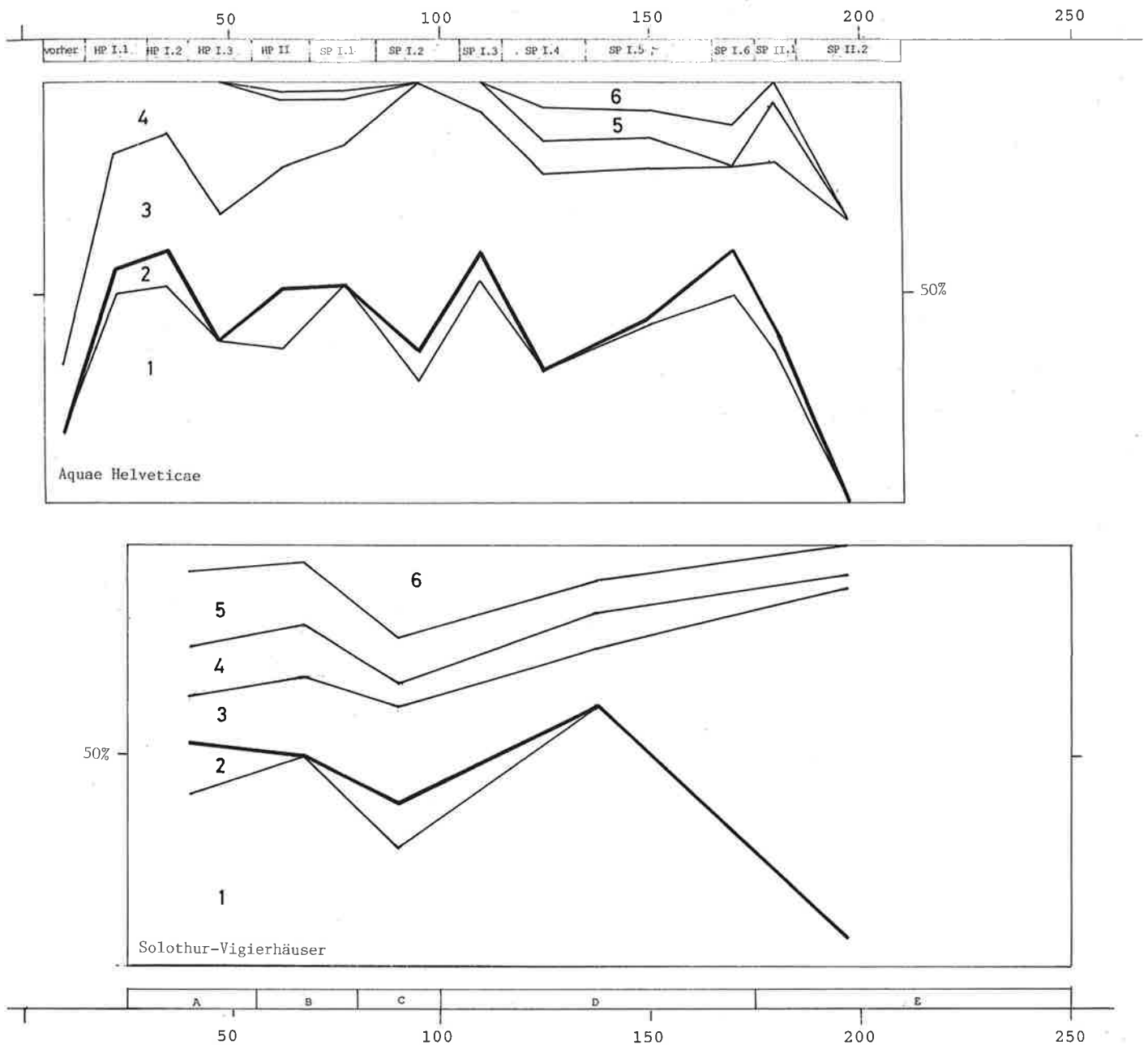


Abb.193. Vergleich der Formenspektren der Feinkeramik keltischer Tradition. 1 Schüsseln; 2 Näpfe; 3 Becher; 4 Töpfe; 5 Tonnen; 6 Flaschen. S. auch Tab. 22.42.

wesentlich über das späteste 2. Jh. hinausgehen dürfte, muss offen bleiben, ob auch dort die Becher in dieser Zeit zunehmen⁵⁸⁵. Bei den Schüsseln ist in Solothurn im späten 2./früheren 3. Jh. ein markanter Rückgang zu verzeichnen. Im übrigen weichen die Kurven der Schüsseln und Näpfe (Abb. 193,2) beider Fundstellen nur wenig voneinander ab.

Die Formverteilung der Feinkeramik römischer Tradition hingegen stimmt im Bild besser mit Baden überein. Wie dort ist im Laufe der Zeit eine Zunahme der Schüsseln (Abb. 194,1) zu beobachten. Auch anteilmässig erreichen sie etwa die gleichen Werte. Die Abnahme der etwas häufigeren Teller (Abb. 194,3) fällt weniger deutlich aus, ob-

585 In den beiden letzten Ensembles, den Phasen 2 und 3 der SP II, sind die Becher zwar sehr gut vertreten, doch ist die Basis mit 6 bzw. 1 Randscherbe an Feinkeramik keltischer Tradition für eine bindende Aussage viel zu klein.

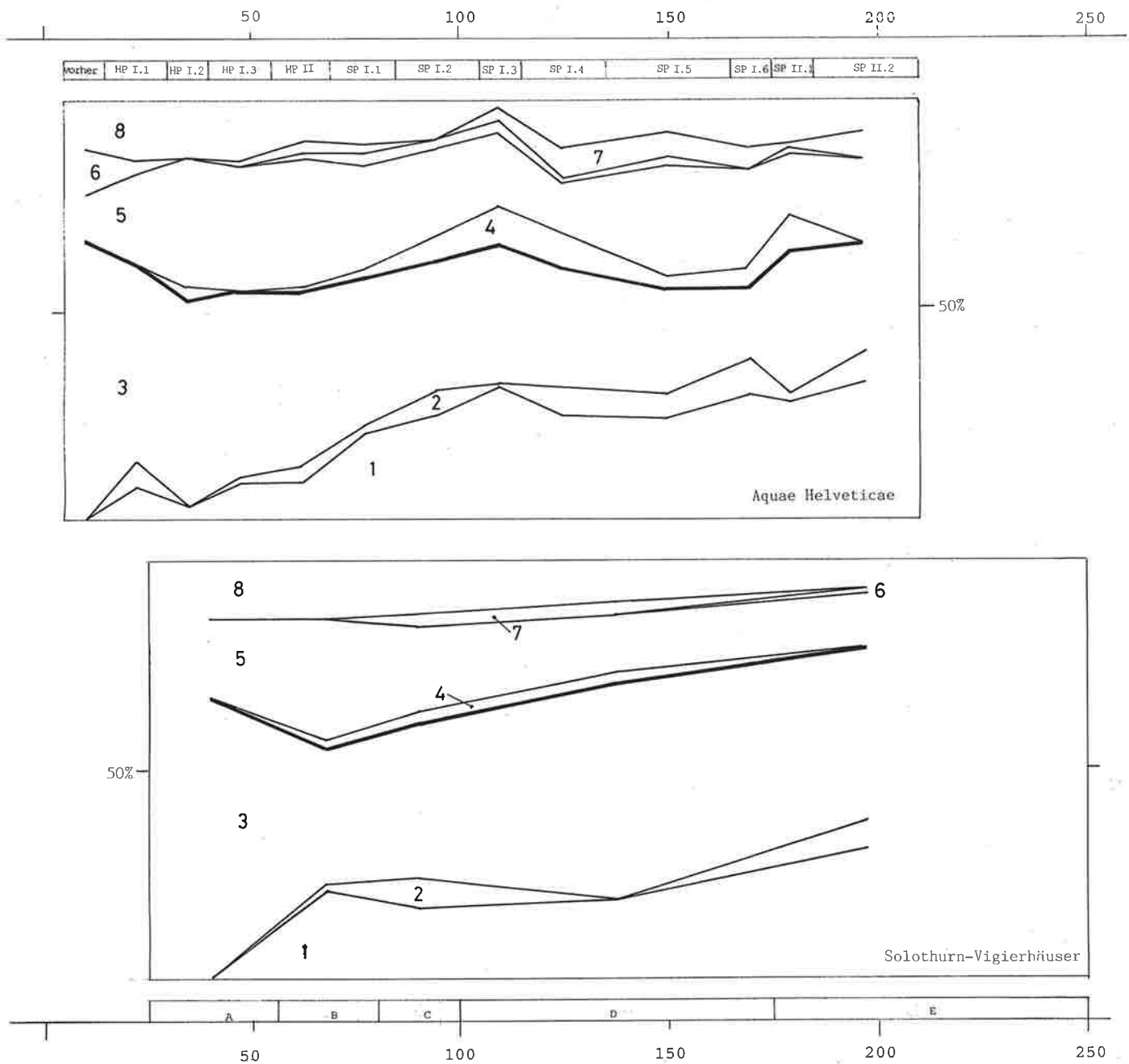


Abb. 194. Vergleich der Formenspektren der Feinkeramik römischer Tradition. 1 Schüsseln; 2 Reibschüsseln; 3 Teller/Platten; 4 Deckel; 5 Schälchen; 6 Becher; 7 Töpfe; 8 Krüge. S. auch Tab. 24.43.

wohl die Platten ebenfalls seltener werden (Tab. 42). Bei den Schälchen (Abb. 194,5) – sie sind etwas seltener – zeigt sich eine deutliche Abnahme, die für Baden nur vermutet werden kann. Die in Baden nicht seltenen Firnis-schälchen des 1. Jh. fehlen im Spektrum der Randscherben zwar, sind aber mit einigen Wandscherben nachgewiesen. Die Krüge (Abb. 194,8) weisen an beiden Fundstellen gleiche Werte auf. Die Reibschüsseln (Abb. 194,2) sind wie in Baden selten. Im späten 2./frühen 3. Jh. sind sie mehrheitlich mit Glanzton überzogen. Becher (Abb. 194,6), Töpfe (Abb. 194,7) und Deckel (Abb. 194,4) sind ebenso selten wie in Baden. Sie lassen sich nicht weiter auswerten.

10.2.3. Zusammenfassung

Die Keramik keltischer Tradition ist in Oberwinterthur und Solothurn etwas stärker vertreten als in Baden. Wird die Keramik mit keltischer Form und römischer Technik dazugerechnet, vergrößert sich der Unterschied. Der an allen drei Orten festgestellte abrupte Rückgang der Keramik keltischer Tradition fällt in Baden und wohl auch in Oberwinterthur in die flavische Zeit, in Solothurn ist er offenbar etwas später anzusetzen.

Bei den Formen der Feinkeramik keltischer Tradition erinnern Oberwinterthur und Solothurn mit höheren Anteilen an Näpfen, Tonnen und tonnenartigen Töpfen bzw. Flaschen, Tonnen und Töpfen noch stärker an das spätlatènezeitliche Formeninventar, während Baden mit hohen Anteilen an Schüsseln, Bechern und feinen Töpfen gedrungener Form ein entwickelteres Bild aufweist. Die Feinkeramik römischer Tradition zeigt hingegen an allen drei Orten ein erstaunlich uniformes Bild. Dieser Befund dürfte Folge einer überregionalen Modeströmung sein, die sich an Italien orientierte, wo eine wenn auch mit bezeichnenden Ausnahmen ähnliche Entwicklung festzustellen ist (Kap. 8.2.), und die wohl in weiten Teilen des von Kelten bewohnten Gebietes, in den nordwestlichen Provinzen des römischen Reiches, wirksam war⁵⁸⁶. Charakteristisch dürfte etwa sein, dass anders als in Italien vorwiegend Schüsseln als Auftraggeschirr dienten (Kap. 9.2.3.), denn auch in Solothurn und Oberwinterthur sind Schüsseln häufiger als in Mittelitalien, Teller/Platten hingegen seltener.

Die Grobkeramik steht an allen drei Orten überwiegend in keltischer, was die Kochtöpfe betrifft, sogar in einer sehr lokalen helvetischen Tradition.

Der Romanisierungsgrad des Badener Keramikensembles ist höher. Ist dies auf die unmittelbare Nachbarschaft des Legionslagers Vindonissa zurückzuführen⁵⁸⁷? Die frü-

her vermutete Renaissance keltischer Formen und Techniken im 2. Jh. (Kap. 9.2.3.) lässt sich weder hier noch in Oberwinterthur und Solothurn nachweisen.

10.3. Fazit

Der Romanisierungsprozess in den *Vici Aquae Helveticae*, *Vitudurum*, *Lenzburg* und *Salodurum* verlief zwar ähnlich; im einzelnen zeigen sich indes einige Unterschiede, die davor warnen, die Romanisierung des keltischen Gebietes als ein einheitliches, allorts gleich verlaufendes Phänomen anzusehen. Der Bruch mit der keltischen Bauweise, der wohl in früh-tiberischer Zeit, vielleicht unter dem Einfluss des Militärs von Vindonissa, stattfand, ist jedoch total. Auch die Keramik steht seit Beginn der jeweiligen Besiedlung mehrheitlich in römischer Tradition. Der Einfluss des römischen Geschirrinventars verstärkte sich im Laufe der Zeit, in *Aquae Helveticae* und Oberwinterthur in flavischer Zeit, in Solothurn erst zwei Generationen später. Die Feinkeramik, das Tafelgeschirr, hat sich mehrheitlich der römischen Tradition angeglichen und entspricht ihr in Formen wie Entwicklung weitgehend. Bemerkenswert ist, dass in allen drei untersuchten *Vici* die Schüsseln die Teller bzw. grossen Platten im Laufe der Zeit als Auftraggeschirr ersetzten; die Speisesitten waren wohl in den drei *Vici* identisch, sie wichen aber von jenen in Mittelitalien ab. Das Kochgeschirr hingegen bleibt in allen untersuchten *Vici* fast zur Gänze der keltischen, ja meist sogar einer ausgesprochen lokalen Tradition verhaftet. Es sind also vor allem äussere, augenfällige Zeichen, Statussymbole sozusagen, die man übernahm: das römische Tafelgeschirr, insbesondere aber das römische Haus, bei dem man, wie in Oberwinterthur festgestellt, mindestens die gut sichtbare strassenseitige Portikus mit Ziegeln versah, wenn schon nicht alle Dächer mit Ziegeln gedeckt werden konnten.

In *Aquae Helveticae* verlief der Romanisierungsprozess sowohl bei der Bautechnik als auch bei der Keramik schneller, intensiver als in Oberwinterthur oder Lenzburg. Die Häuser zeigen seit flavischer, vielleicht schon seit neronischer Zeit vermehrt Einflüsse der städtischen Architektur der Kolonien. Die Keramik, insbesondere die Feinkeramik steht zu einem noch grösseren Teil in römischer Tradition, und die Feinkeramik keltischer Tradition erweist sich durch die höheren Anteile an Schüsseln und Bechern im Vergleich zu Näpfen und Tonnen bzw. grossen, tonnenartigen Töpfen als fortschrittlicher als jene in Solo-

586 Die vorliegende Arbeit zeigt aber, wie komplex und in unterschiedlichem Grad der Romanisierungsprozess in drei nahe gelegenen *Vici* verlief, so dass weitere detaillierte Untersuchungen nötig wären, um die Romanisierung der keltischen Welt beschreiben zu können.

587 Die Verhältnisse in Vindonissa lassen sich vorläufig nicht beschreiben, da die bisher publizierte Keramik nicht in vollständig vorgelegten Ensembles veröffentlicht ist, so dass sie sich nicht in gleicher Weise auswerten lässt.

thurn und Oberwinterthur. Badens Vorsprung in der Entwicklung ist sicher auf die Nähe des Legionslagers Vindonissa zurückzuführen. Wie stark die Einflüsse aus Kolonien, Augst etwa, waren, wie sie in der Bauweise zu fassen sind, müssen künftige Forschungen abklären. Die Bäder dürften das Ihre dazu beigetragen haben, dass Aquae Helveticae schon im 3. Viertel des 1. Jh. stärker als andere Vici im Aussehen einer Kolonie oder, wie Tacitus (*historia* I 67) schreibt, einem Munizipium glich.

IV. Katalog

11. Befund

11.1. Einleitung

Der Katalog der Befunde ist wie die Beschreibung der Befunde nach Phasen geordnet und innerhalb der Phase nach Räumen. Denn eine Anordnung nach archäologischen Einheiten (Raum) scheint mir für die Aussenstehenden verständlicher und einsichtiger zu sein als eine Anordnung nach Ausgrabungseinheiten (Fläche/Sektor). Die stratigraphischen Zusammenhänge sind aus den Profilen abzulesen (Beil. 1–10), wobei sie sich nicht nur auf die Profile abstützen, sondern auch auf den Befund in der Fläche. Oft zeigt sich nämlich ein Phänomen nur in der Fläche, nicht aber im Profil, oder umgekehrt, ohne dass sich dafür eine Erklärung finden liesse.

Die Schichten der Profile sind nach Phasen geordnet durchnummeriert mit Beginn beim Westprofil A0 (Beil. 1), gefolgt vom Nordprofil B0 (Beil. 2), Profil A6 (Beil. 3), Profil B5 (Beil. 4), Ostprofil A10/A6 (Beil. 5), Nordprofil B11/B16.50/B10 (Beil. 6), Südprofil B23/B24 (Beil. 7), Westprofil A23 (Beil. 8), Ostprofil A30 (Beil. 9), Nordprofil B20.50 (Beil. 10). Die Nummer steht im laufenden Text jeweils hinter der Schicht/Struktur in Klammer () mehr oder weniger direkt auf das betreffende Profil bezogen. Darstellung der Schichtgrenzen (Beil. 1–10) wie Beschreibung der Schichten (Kap. 11.1.1.) halten sich eng an die Grabungsdokumentation. Letztere ist zwar uneinheitlich, denn sie widerspiegelt die Unterschiede der einzelnen Zeichner und Beschreiber, den sich ändernden Stand der Erkenntnis im Laufe der Ausgrabung und nicht zuletzt Unterschiede im Licht und in der Bodenfeuchtigkeit. Wie erwähnt (Kap. 1.2.), ist es mir aber äusserst wichtig, den ersten, authentischen Eindruck der Phänomene wiederzugeben, weil diese die Ausgangsbasis für die Befundauswertung sind. Die für die betreffende Phase wichtigen Phänomene sind aus den Profilen auf den Grundrissplan übertragen, der so alle für die betreffende Phase wichtigen Informationen enthält. Die Beschaffenheit der Schichten in der Fläche ist aus der Signatur auf den Grundrissplänen zu ersehen. Sie werden im Katalog, wenn nötig, genauer beschrieben.

Der Befundkatalog enthält zudem ein Verzeichnis der Funde bzw. Fundkomplexe. Wo sich Raumbegrenzen erst nach dem Abtrag einer Strate enthüllten, liessen sich Stücke und Komplexe lediglich einem Bereich zuordnen. In diesen Fällen können dieselben Objekt-/Komplexnummern unter mehreren Räumen stehen.

In der Beschreibung der Befunde verwende ich folgende Abkürzungen:

- Bh Bauhorizont
- FK Fundkomplex
- FO Fundort
- HP Holzbauperiode
- OK oberkant
- SP Steinbauperiode
- UK unterkant

11.1.1. Beschreibung der Schichten und Strukturen der Profile (Beil. 1–10)

anstehender Boden

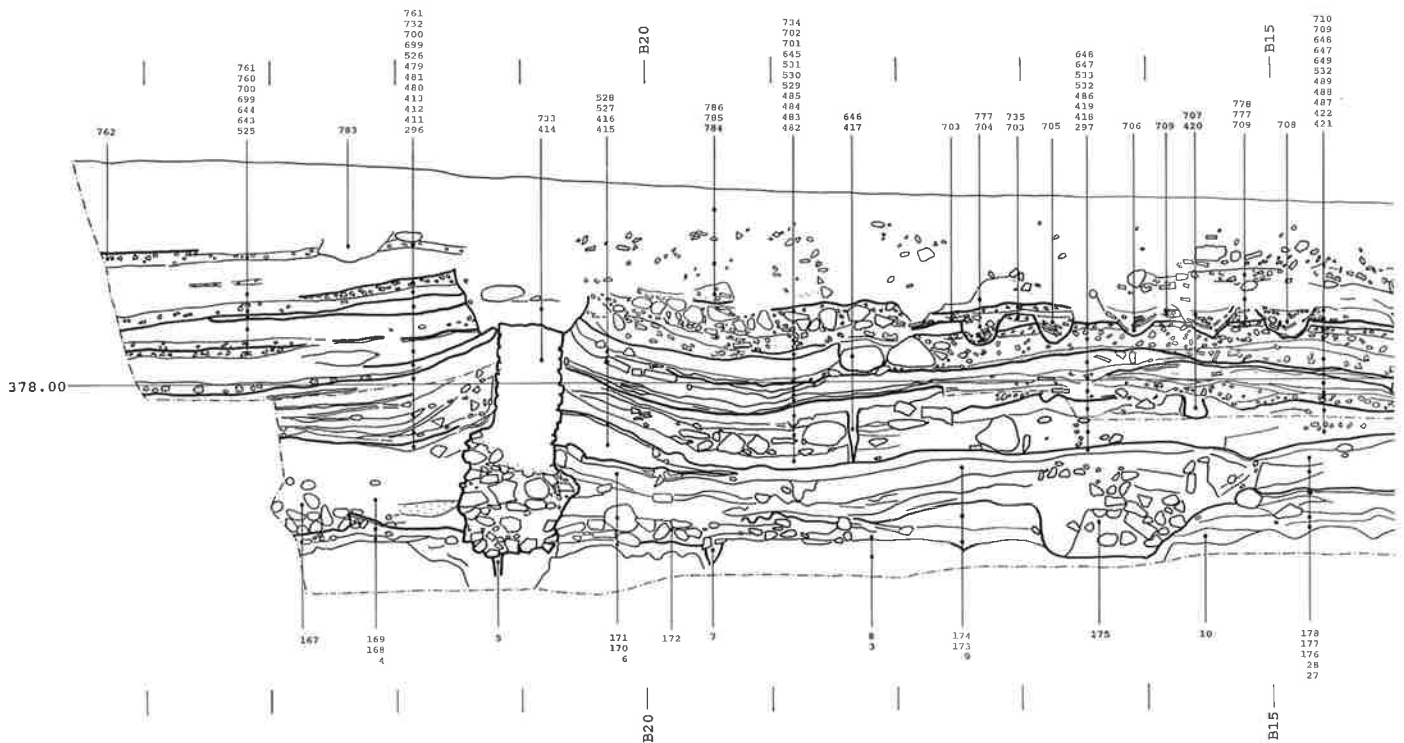
1 Sand mit Kieseln, gelblich; 2 Kies; 3 sandiger Lehm, ockerbeige.

Vor der ersten Überbauung

4 fetter Lehm; 5 Pfostenloch: Lehm, verschmutzt; 6 sandiger Lehm, verschmutzt; 7 Pfostenloch: sandiger Lehm, verschmutzt; 8 sandiger Lehm, verschmutzt; 9 Graben; 10 sandiger Lehm, verschmutzt; 11 sandiger Lehm, verschmutzt; 12 Pfostenloch; 13 Pfostenloch; 14 Pfostenloch; 15 Graben: sandiger Lehm mit Kieseln, verschmutzt; 16 sandiger Lehm, verschmutzt; 17 Pfostenloch; 18 Pfostenloch; 19 sandiger Lehm, verschmutzt; 20 sandiger Lehm, verschmutzt; 21 sandiger Lehm, stark verschmutzt, mit vielen kleinen und grossen Holzkohlestücken durchsetzt; 22 Lehm, leicht verschmutzt; 23 möglicher Graben: Lehm, leicht verschmutzt; 24 Lehm, leicht verschmutzt, mit dünnen Holzkohleschichten; 25 Vertiefung: Lehm, leicht verschmutzt, mit dünnen Holzkohleschichten; 26 Lehm, leicht verschmutzt.

Holzbauperiode I.1 (HP I.1)

27 sandiger Lehm, leicht verschmutzt; 28 sandiger Lehm, relativ stark verschmutzt; 29 Unterlagestein der westlichen Aussenwand von Haus I (HP I.1–3); 30 in Zusammenhang mit der westlichen Aussenwand von Haus I (HP I.1–3): fetter, reiner Lehm, im oberen Teil kiesiger; 31 Pfostenloch der westlichen Aussenwand von Haus I (HP I.1–3); 32 sandiger Lehm, verschmutzt; 33 sandiger Lehm, verschmutzt mit Holzkohlestücklein; 34 Unterlagestein der nördlichen Aussenwand von Haus I; 35 Unterlagestein der Südwand von Raum C (HP I.1)/nördlichen Aussenwand von Haus I (HP I.2); 36 Gehniveau: sandiger Lehm, leicht kiesig, verschmutzt, Oberfläche mit Asche und Holzkohlestücklein verschmutzt; 37 Südwand von Raum D; 38 sandiger Lehm, mit Holzkohlestücklein verschmutzt; 39 sandiger Lehm, verschmutzt; 40 Unterlagestein der Südwand von Raum F; 41 sandiger Lehm, verschmutzt; 42 Feuerstelle: verbrannter Lehm; 43 Benützungsschicht zur Feuerstelle (42): mit Holzkohlestücklein durchsetzt; 44 sandiger Lehm, verschmutzt; 45 Nordwand von Raum D (HP I.1)/nördliche Aussenwand von Haus I (HP I.2): Abbruch der Schichten; 46 sandiger Lehm, verschmutzt; 47 sandiger Lehm, verschmutzt; 48 sandiger Lehm, leicht kiesig, verschmutzt; 49 nördliche Aussenwand von Haus I; 50 sandiger Lehm, leicht kiesig, verschmutzt; 51 sandiger Lehm, leicht kiesig, verschmutzt; 52 Unterlagestein der Ostwand von Raum B; 53 sandiger Lehm, kiesig, verschmutzt; 54 sandiger Lehm, leicht verschmutzt; 55 lehmiger Kies, verschmutzt; 56 sandiger Lehm, leicht kiesig, verschmutzt; 57 Benützungsschicht: leicht schlammiger Lehm, stark verschmutzt; 58 sandiger Lehm, leicht verschmutzt; 59 westliche Aussenwand von Haus I (HP I.1–3): sandiger Lehm, verschmutzt; 60 mögliches Pfostenloch der westlichen Aussenwand

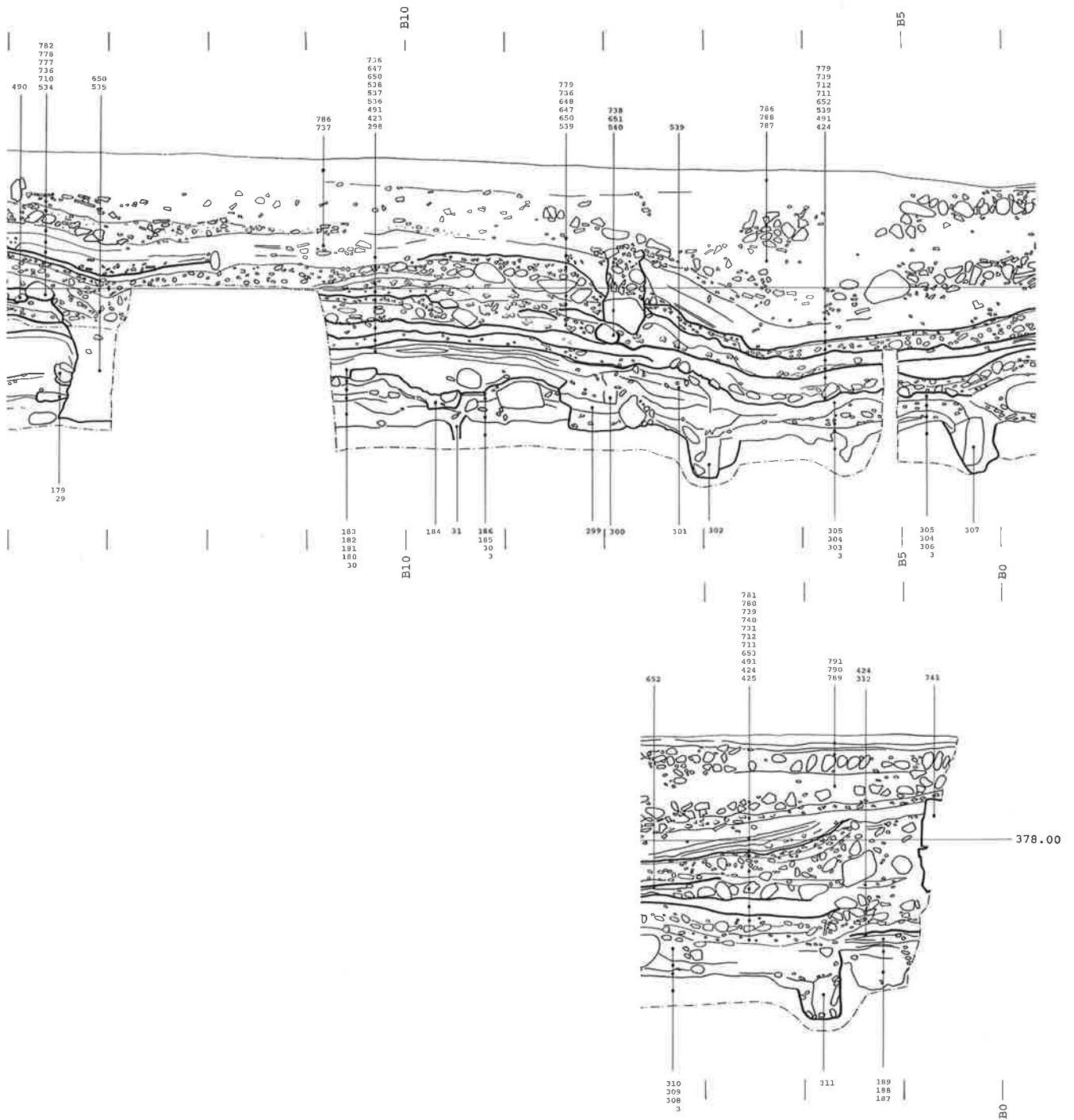


von Haus I (HP I.1–3); 61 verkohltes Holz der westlichen Aussenwand von Haus I (HP I.1–3), vermutlich anlässlich des Brandes der Holzbauperiode II verkohlt; 62 Benützungsschicht: Lehm, verschmutzt, mit Holzkohlestücklein und Keramik durchsetzt; 63 sandiger Lehm, verschmutzt; 64 Lehm Boden: leicht verschmutzt; 65 Ostwand von Raum B: sandiger Lehm, verschmutzt; Pfostenloch: kiesiger, stärker verschmutzt; 66 sandiger Lehm, verschmutzt; 67 sandiger Lehm, leicht verschmutzt, mit Schmutzbändern; 68 Gehniveau: sandiger Lehm, verschmutzt; 69 Unterlagestein der östlichen Aussenwand von Haus II (HP I.1–3); 70 sandiger Lehm, verschmutzt; 71 dünne Brandschicht: mit Holzkohlestücklein und Brandbröcklein; 72 Feuerstelle: verbrannter Lehm; 73 Unterlagestein der westlichen Aussenwand von Haus I (HP I.1–3); 74 verkohltes Holz der westlichen Aussenwand von Haus I (HP I.1–3), wohl in Zusammenhang mit der Brandgrube (279) oder beim Brand der Holzbauperiode II verkohlt; 75 sandiger Lehm, verschmutzt.

Holzbauperiode I.2 (HP I.2)

76 Gehniveau: sandiger Lehm, braungrau, verschmutzt, mit wenig Holzkohlestücklein und mit Spuren von vermodertem Holz durchsetzt, im unteren Teil reiner; 77 Bodenunterlage: Steine und sandig-lehmiger Kies; 78 Benützungsschicht: sandiger Lehm, stark verschmutzt, mit Brandbröcklein und Holzkohlestücklein durchsetzt; 79 sandiger Lehm, verschmutzt, mit Holzkohlestücklein und Brandbröcklein durchsetzt; 80 Lehm, verschmutzt, mit Brandbröcklein und Holzkohlestücklein durchsetzt; 81 Lehm, verschmutzt, mit Brandbröcklein und Holzkohlestücklein durchsetzt, im Westen im oberen Teil etwas kiesiger; 82 kiesiger Lehm; 83 Benützungsschicht: leicht kiesiger Lehm, mit feinen Holzkohlestücklein, Brandbröcklein und Keramik durchsetzt; 84 sandiger Lehm, verschmutzt, mit Holzkohlestücklein durchsetzt; 85 sandiger Lehm, verschmutzt, mit Holzkohlestücklein durchsetzt; 86 Pfostenloch; 87 sandiger Lehm, leicht verschmutzt, im unteren Teil leicht kiesig; 88 sandiger Lehm, mit Steinen, leicht verschmutzt; 89

Bodenunterlage: Kiesel mit lehmigem Sand; 90 Boden: sandiger Lehm, mit wenig Kies, leicht verschmutzt, an der Oberfläche stark mit Holzkohlestücken und Brandbröcklein verschmutzt; 91 Süd wand von Raum D (HP I.2/3): sandiger Lehm; 92 sandiger Lehm, verschmutzt, mit Brandbröcklein und Holzkohlestücklein durchsetzt; 93 Lehm Boden; 94 Benützungsschicht: sandiger Lehm, grau verschmutzt; 95 sandiger Lehm, verschmutzt; 96 grobsandiger Kies, verschmutzt, im unteren Teil lehmiger; 97 Boden: sandiger Lehm, leicht kiesig, leicht verschmutzt; 98 Benützungsschicht: stark mit Holzkohlestücklein durchsetzt; 99 Benützungsschicht: kiesiger Lehm, verschmutzt, mit feinen Holzkohlestücklein und Brandbröcklein durchsetzt; 100 Ostwand von Raum C (HP I.2)/Ostwand von Raum B (HP I.3): Niveauunterschied zwischen Osten und Westen; 101 Bodenunterlage: Steine mit sandig-lehmigem Kies; 102 Benützungsschicht: stark mit feinen Holzkohlestücklein und Brandbröcklein durchsetzt; 103 Boden: sandiger Lehm, leicht verschmutzt; 104 Benützungsschicht: schlammiger Lehm, verschmutzt, mit vielen Holzkohlestücklein und mit einzelnen Knochen durchsetzt; 105 Ostwand von Raum K (HP I.2)/Ostwand von Raum J (HP I.3): Niveauunterschied zwischen Osten und Westen; 106 Boden: sandiger Lehm, leicht verschmutzt; 107 Benützungsschicht: schlammiger Lehm, verschmutzt, mit vielen Holzkohlestücklein und mit einzelnen Knochen durchsetzt; 108 Boden: sandiger Lehm; 109 Benützungsschicht: schlammiger Lehm, mit Keramik durchsetzt; 110 Rand eines Pfostenloches; 111 Benützungsschicht: sandiger Lehm, leicht kiesig; 112 Unterlagesteine der Ostwand von Raum H; 113 sandig-lehmiger Kies, leicht verschmutzt; 114 sandig-lehmiger Kies; 115 Kalksteinsplitterboden; 116 Benützungsschicht: schlammiger Lehm, mit Keramik durchsetzt; 117 sandiger Lehm, leicht verschmutzt; 118 sandiger Lehm, stark verschmutzt, mit Linse von sandig-lehmigem Kies; 119 Kalksteinsplitterboden; 120 sandiger Lehm, verschmutzt; 121 sandiger Lehm, leicht kiesig, verschmutzt, mit Keramik durchsetzt; 122 sandiger Lehm, leicht kiesig, ziemlich verschmutzt.



vorher: 4-10

HP I.1: 27-31

HP II: 167-189

SP I.1: 296-312
 SP I.2: 411-426
 SP I.3: 479-491

SP I.4: 524-540
 SP I.5: 643-653
 SP I.6: 699-712.731

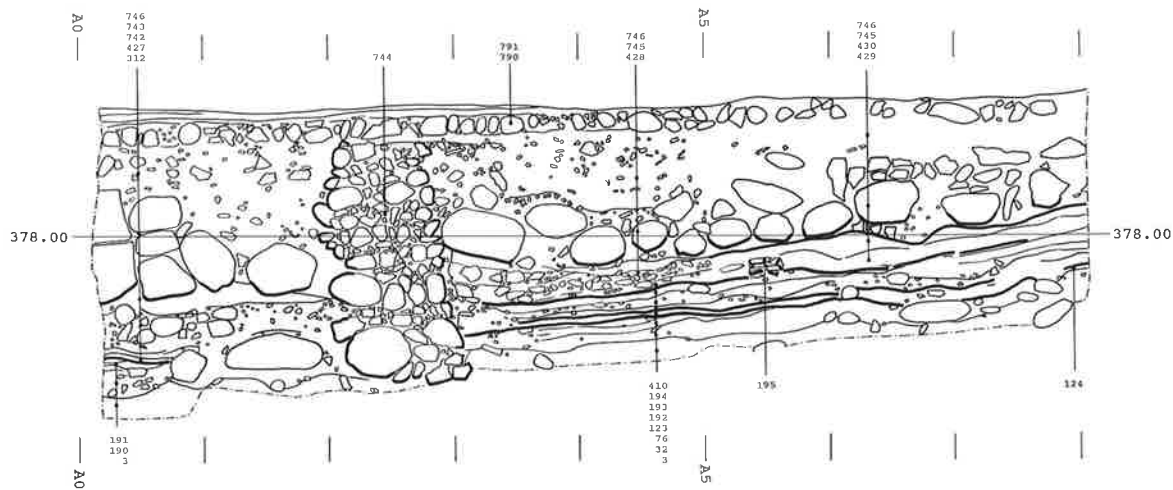
SP II.1: 732-741
 SP II.2: 760-776
 SP II.4(?): 777-782

Beil. I. Westprofil A0. M 1:60.

Holzbauperiode I.3 (HP I.3)

123 Benützungsschicht: sandiger Lehm, dunkelgraubraun, mit vielen Holzkohlestücklein durchsetzt; 124 Benützungsschicht: sandiger Lehm, teilweise fett, schlammig, verschmutzt, mit Holzkohlestücklein, vermoderten Holzstücklein und Mörtelresten(!) durchsetzt; 125 leicht sandiger Lehm, mit Brandbröcklein, wenigen

Holzkohlestücklein, Steinen und Keramik durchsetzt; 126 sandig-lehmiger Kies, verschmutzt; 127 Boden: Lehm mit wenig Kies, leicht verschmutzt; 128 Benützungsschicht: lehmig, leicht schlammig, stark verschmutzt, mit viel Holzkohlestücklein und einigen Funden durchsetzt; 129 Vertiefung: sandiger Lehm, mit feinen Holzkohlestücklein, Brandbröcklein, Kies und Keramik durchsetzt; 130 grober Sand mit Kies, im Süden lehmiger; 131 sandiger



vorher: – HP I.1: 32
HP I.2: 76
HP I.3: 123,124

HP II: 190–195

SP I.1: 312,410
SP I.2: 427–430

SP II.1: 742–746

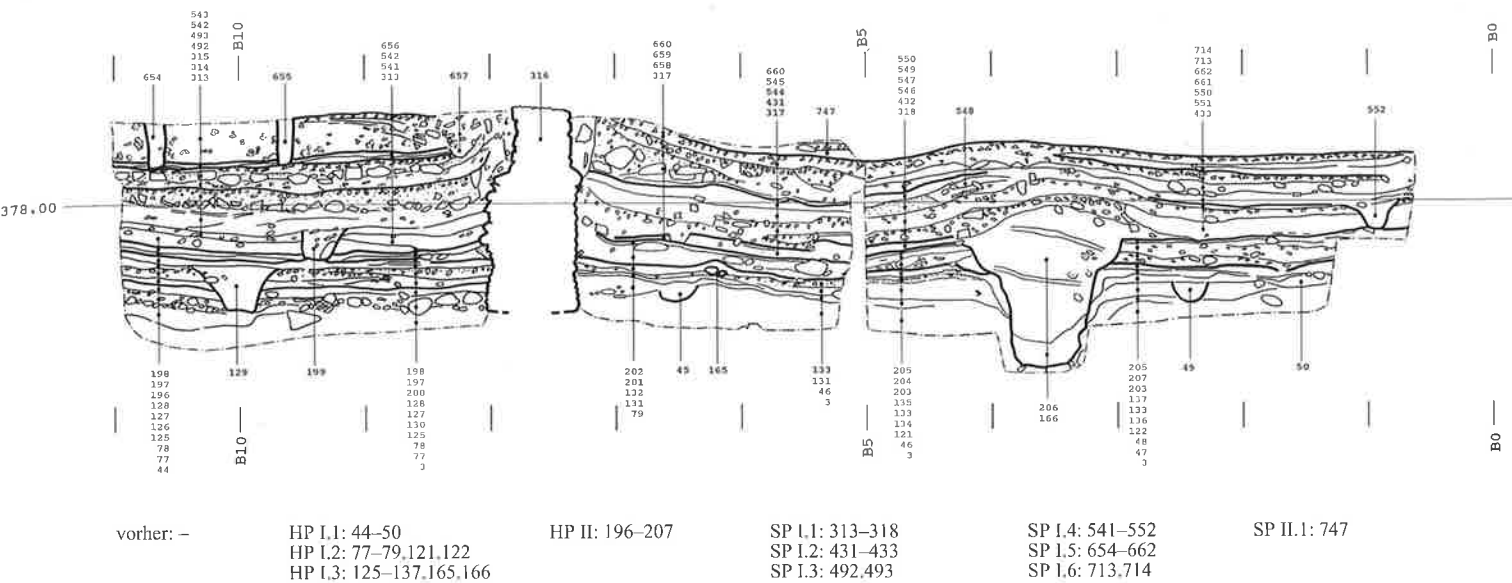
Beil. 2. Nordprofil B0. M 1:60.

Lehm, im oberen Teil kiesiger, verschmutzt; 132 Boden: fetter Lehm, leicht verschmutzt; 133 Boden: Lehm mit wenig Kies; 134 grober Sand mit Kies, leicht verschmutzt; 135 Benützungsschicht: sandiger Lehm, leicht kiesig, verschmutzt, mit vielen rotbraunen, vermoderten Holzresten durchsetzt; 136 sandiger Lehm, leicht kiesig, ziemlich verschmutzt; 137 Benützungsschicht: sandiger Lehm, stark verschmutzt, mit Keramik und wenig Kies durchsetzt; 138 Boden: Lehm, leicht verschmutzt; 139 Benützungsschicht: schlammiger Lehm, verschmutzt; 140 Benützungsschicht: sandiger Lehm, verschmutzt, mit Brandbröcklein, Holzkohlestücklein durchsetzt; 141 Benützungsschicht: sandiger Lehm, stark verschmutzt, mit Holzkohlestücklein durchsetzt; 142 Feuerstelle: sandiger Lehm, orangerot verbrannt, mit brauner Oberfläche; 143 grobsandiger Kies, leicht verschmutzt; 144 Unterlagestein der nördlichen Aussenwand von Haus I; 145 sandiger Lehm, mit vielen feinen Holzkohlestücklein und Brandbröcklein durchsetzt; 146 sandig-lehmiger Kies, verschmutzt; 147 Boden: kiesiger Lehm, gegen Süden sandiger, weniger kiesig, verschmutzt; 148 sandiger Lehm, leicht verschmutzt; 149 Lehm Boden; 150 schlammiger Lehm, verschmutzt, mit einzelnen vermoderten Holzresten durchsetzt; 151 Benützungsschicht: sandiger Lehm, stark mit Holzkohlestücken durchsetzt; 152 sandiger Lehm, teilweise mit vielen Brandbröcklein durchsetzt; 153 sandig-lehmiger Kies, mit einem Ziegelfragment(!); 154 sandiger Lehm, mit Holzkohlestücklein und Brandbröcklein durchsetzt; 155 sandig-lehmiger Kies im Westen, sandiger Lehm im Osten, verschmutzt; 156 Boden: Lehm, ganz leicht verschmutzt; 157 Benützungsschicht: sandiger Lehm, stark verschmutzt, mit Holzkohlestücklein und Funden durchsetzt; 158 Unterlagestein der Ostwand von Raum C; 159 Lehm Boden, Oberfläche stark verschmutzt; 160 Splitterboden: Kalksteinsplitter mit sandigem Lehm, teilweise rot verbrannt, bedeckt von dünner, stark mit Holzkohlestücklein durchsetzter Benützungsschicht; 161 Splitterboden: Kalksteinsplitter mit sandigem Lehm, bedeckt von dünner, stark mit Holzkohlestücklein durchsetzter Benützungsschicht; 162 Lehm, mit wenig Kies, leicht verschmutzt; 163 leicht schlammiger Lehm, mit Kies durchsetzt, verschmutzt; 164 Feuerstelle(?): dunkelbraunschwarz verbrannter Lehm, stark mit Asche durchsetzt; darunter in Schicht (163) fallen einige grosse Steine auf, die als Unterlage gedient haben könnten; 165 Unterlagestein der nördlichen Aussenwand von Haus I; 166 Grube: sandiger Lehm, leicht

kiesig, mit einzelnen Steinen durchsetzt, ziemlich verschmutzt; an den Rändern Reste einer Lehmverkleidung. Die Grube ist gestört durch die Grube (206) der Holzbauperiode II.

Holzbauperiode II (HP II)

167 Grube: Kiesel, dazwischen Brandschutt; 168 Gehriveau: leicht sandiger Lehm, verschlammte, mit wenigen Holzkohlestücklein durchsetzt, an der Oberfläche teilweise mit einer Brandschicht bedeckt; 169 Brandschutt: sandiger Lehm, mit Lehmfachwerkbrocken, Holzkohlestücken, Brandbröcklein und Mörtel durchsetzt; 170 Lehm mit Kiesel, verschmutzt, mit Holzkohlestücken durchsetzt; 171 Brandschutt: sandiger Lehm, mit Lehmfachwerkbrocken, Brandbröcklein, Holzkohlestücken durchsetzt, dazwischen Reste von Holzkohleschicht; 172 Unterlagesteine der Südwand von Raum F; 173 Boden: leicht fetter Lehm, im Norden sandiger, verschmutzt; 174 sandiger Lehm, mit wenigen Brandbröcklein und Holzkohlestücklein durchsetzt; vielleicht umgekippte Wand der Struktur (175); 175 Grube: verfüllt mit Steinen und leicht schlammigem Lehm; an den Seiten sind die ehemaligen Hohlräume der Wandkonstruktion noch zu erahnen, die von oben mit Brandschutt (171/178) verfüllt waren; 176 Boden: sandiger Lehm, verschmutzt, mit Holzkohleschicht bedeckt; 177 sandiger Lehm, sehr stark mit Holzkohlestücklein und Brandbröcklein durchsetzt; vielleicht wie Schicht (176) umgekippte Wand der Struktur (175); 178 Brandschutt: Lehmfachwerkbrocken und Holzkohlestücke; 179 Unterlagesteine der Südwand der Räume B/C; 180 Boden: reiner, sandiger Lehm; 181 Benützungsschicht: sandiger Lehm, mit Holzkohlestücklein durchsetzt; 182 Brandschicht: sandiger Lehm, aschehaltig, mit Lehmfachwerkbrocklein durchsetzt; 183 Brandschutt: sandiger Lehm, mit Lehmfachwerkbrocken und Holzkohlestücken durchsetzt; 184 nördliche Aussenwand von Haus I: Graben mit Holzkohlestücken; 185 sandiger Lehm, leicht kiesig; 186 Brandschicht: sandiger Lehm, aschehaltig, mit Brandbröcklein durchsetzt; 187 sandiger Lehm, leicht verschmutzt; 188 sandiger Lehm, verschmutzt, mit Holzkohlestücklein durchsetzt, dazwischen helle Schicht; 189 fleckenweise orange verbrannter Lehm, teilweise mit schwarzer Asche; 190 sandiger Lehm, leicht verschmutzt, mit Steinen durchsetzt; 191 sandiger Lehm, verschmutzt, mit Holzkohle-



Beil. 3. Westprofil A6 (B0–B5: seitenverkehrt). M 1:60.

stücklein durchsetzt; 192 sandiger Lehm, mit Kies und einzelnen Holzkohlestücklein durchsetzt; 193 sandiger Lehm, kiesig, mit Kalksteinsplintern durchsetzt; 194 Gehniveau: sandiger Lehm, mit wenigen Holzkohlestücklein durchsetzt; 195 Feuerstelle: 3 Lagen von Ziegeln; 196 Boden: Lehm, mit wenigen Steinen durchsetzt; 197 Brandschicht: sandiger Lehm, stark mit Holzkohlestücklein durchsetzt; 198 Brandschutt: Lehmfachwerkbrocken, Holzkohlestücklein, einzelne Steine, locker; 199 Pfostenstellung der nördlichen Aussenwand von Haus I; 200 Boden: Lehm, verschmutzt, mit Steinen durchsetzt; 201 Lehm, mit grobem Kies durchsetzt, verschmutzt, im Norden teilweise leicht verschmutzter Lehm; 202 Brandschicht: mit Holzkohlestücklein durchsetzt; 203 sandig-lehmiger Kies, mit Kalksteinsplinter durchsetzt, verschmutzt; 204 Boden: kiesiger Lehm; 205 Brandschicht: verkohltes Holz, gegen Norden sandiger Lehm, stark verschmutzt, mit einzelnen Ziegeln durchsetzt, die wohl vom Abbruch der Feuerstelle (195) stammen; 206 Grube: locker mit Brandschutt verfüllt: Lehmfachwerkbrocken, Brandbröcklein, Kies, Mörtelbröcklein und Holzkohlestücklein; 207 lehmiger Kies, leicht verschmutzt, mit Brandbröcklein durchsetzt; 208 fleckiger Lehm, verschmutzt; 209 schlammiger Lehm; 210 Gehniveau: sandiger Lehm, teilweise verschmutzt, an der Oberfläche verbrannt; 211 Brandschicht: sandiger Lehm, stark mit Holzkohlestücklein und Brandbröcklein durchsetzt; 212 sandiger Lehm, leicht kiesig, verschmutzt; 213 Boden: kiesiger Lehm; 214 sandiger Lehm, teilweise mit Holzkohlestücklein durchsetzt; 215 sandiger Lehm, kiesig; 216 sandiger Lehm, verschmutzt, Oberfläche teilweise schutthaltig, steinig; 217 Brandschicht: sandig-kiesiger Lehm; 218 Brandschutt: sandiger Lehm, verbrannt; 219 sandiger Lehm, fleckig, teilweise verschmutzt; 220 Brandschicht: sandiger Lehm, stark mit Holzkohlestücklein und Brandbröcklein durchsetzt; 221 Boden: sandiger Lehm, mit einzelnen Steinen durchsetzt, im Süden eine Schmutzlinse; 222 Brandschicht: stark mit mit Holzkohlestücklein, Asche, Brandbröcklein und einzelnen kleinen Steinen durchsetzt; 223 Südwand von Raum E: Vertiefung, rot verbrannter Lehm, im unteren Teil Reste der unverbrannten Wand: sandiger Lehm, mit Mörtelresten; 224 sandiger Lehm, mit Mörtelresten; wohl umgekippte Wand (223); 225 sandiger Lehm, verschmutzt; 226 Brandschutt: Lehmfachwerkbrocken, Holzkohlestücke und Mörtelbrocken; 227 Lehm Boden, an Oberfläche mit schwarzer Asche verschmutzt; 228 Brandschutt: Lehmfachwerk-

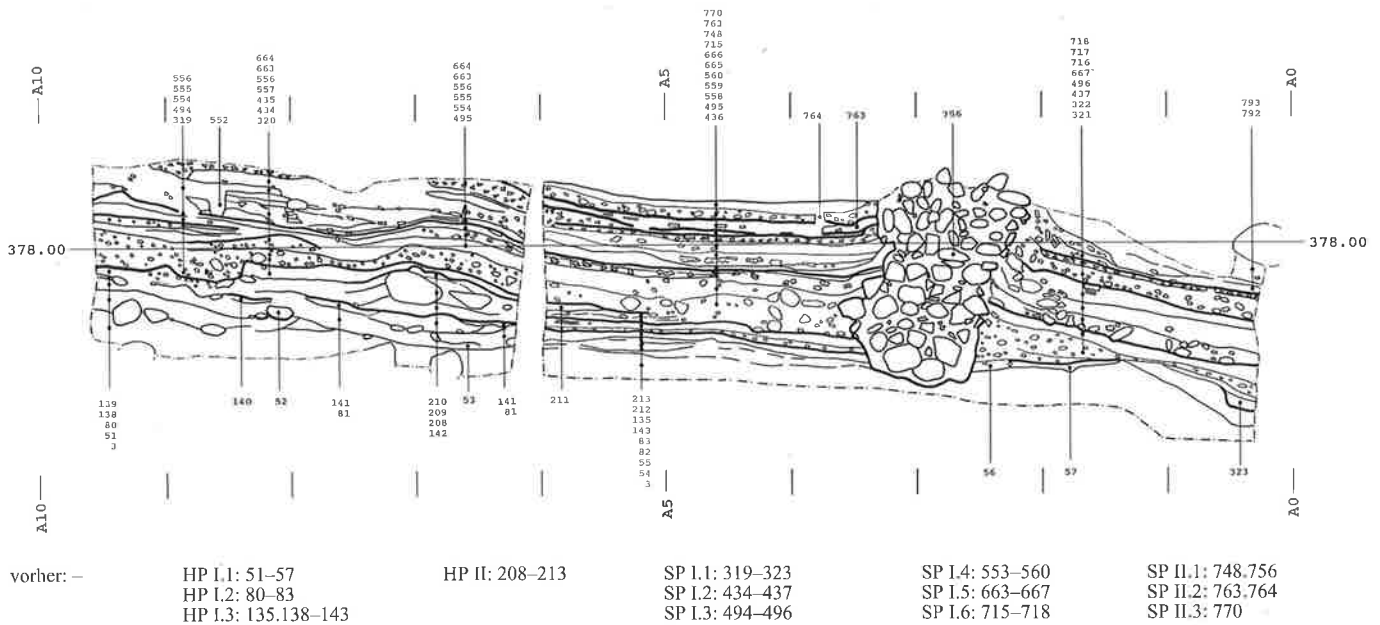
brocken, Holzkohlestücke, im oberen Teil dunkler; 229 östliche Aussenwand von Haus I: Vertiefung, mit Brandschutt (226) verfüllt, an der UK verkohltes Holz; 230 Brandschicht; 231 lehmiger Kies; 232 Splitterboden: Kalksteinsplinter mit sandigem Lehm, im unteren Teil mit Kies vermischt; 233 Brandschutt: im Süden im unteren Teil heller; 234 Splitterboden, von dünner Schmutzschicht bedeckt; darüber lag verkohltes Holz der Brandschicht; 235 Brandschutt: Lehmfachwerkbrocken mit Mörtelbrocken; 236 Boden: sandiger Lehm, leicht kiesig, im unteren Teil mit Kalksteinsplintern durchsetzt, verschmutzt; 237 Ostwand von Raum B: Vertiefung, mit Brandschutt verfüllt; 238 Pfostenloch: mit Brandschutt verfüllt; 239 Splitterboden: Kalksteinsplinter mit sandigem Lehm, an der Oberfläche sandiger Lehm, leicht verschmutzt, bedeckt von Brandschicht: sandiger Lehm mit Holzkohlestücklein durchsetzt; 240 Brandschutt: sandiger Lehm, mit vielen Lehmfachwerkbrocken durchsetzt; 241 Ostwand von Raum C: Graben mit verkohltem Balken, darüber Brandschutt (243); 242 Lehm Boden, leicht verschmutzt, bedeckt von Benützungsschicht und Brandschicht: schlammiger Lehm, mit wenig Kies durchsetzt, stark verschmutzt, an der Oberfläche stark mit Holzkohlestücklein durchsetzt; 243 Brandschutt: verbrannter lehmiger Sand, mit vielen Lehmfachwerkbrocken und einzelnen Holzkohlestücklein durchsetzt; 244 Lehm Boden: leicht verschmutzt; 245 Sand; 246 lehmiger Kies, ganz leicht verschmutzt; 247 Brandschicht: schlammiger Lehm, mit wenig Kies durchsetzt, stark verschmutzt, an der Oberfläche stark mit Holzkohlestücklein durchsetzt, darunter stellenweise Sand; 248 östlich Aussenwand von Haus I: Vertiefung, verfüllt mit sandig-lehmigem Kies, mit Holzkohlestücklein und Brandbröcklein durchsetzt, an der UK Brandschicht; 249 Boden: sandiger Lehm, leicht verschmutzt, mit einzelnen Holzkohlestücklein durchsetzt, teilweise bedeckt von Brandschicht: verschmutzt, mit Holzkohlestücklein durchsetzt; 250 Brandschutt: Lehmfachwerkbrocken, Holzkohlestücke und wenig Mörtelschutt; 251 Ostwand von Raum N: Absatz, darüber Mörtelschutt aus weissem Kalk, wohl Wandverputz; 252 Lehm Boden: verschmutzt, Oberfläche gerötet; 253 Unterlagestein der Holzbauperiode I (69) als Unterlage der östlichen Aussenwand von Haus II; die Brandschicht zieht darüber; 254 westliche Aussenwand von Haus III: Vertiefung mit grossem Stein und verschmutztem, lockerem Material, von Brandschicht bedeckt; 255 Boden: harter, lehmiger Kies, bedeckt von

Brandschicht: Lehm, stark verschmutzt, mit vielen Holzkohlestücklein und Brandbröcklein durchsetzt; 256 Lehm, brandgerötet, mit Holzkohlestücken durchsetzt; 257 Lehm, mehr oder weniger verschmutzt, mit Holzkohlestücklein durchsetzt; 258 Boden: fetter Lehm; 259 Benützungsschicht/Brandschicht: schlammiger Lehm, mit Holzkohlestücklein durchsetzt; 260 Pfostengrube; 261 Lehm-boden: brandgerötet; 262 Brandschicht; 263 Brandschutt; 264 Ostwand von Raum S: Graben, mit Brandschutt verfüllt; 265 Lehm-boden: brandgerötet; 266 Benützungsschicht: grau verschmutzt; 267 Ostwand von Raum P: Unterbruch der Bodenschichten (266/268); 268 Lehm-boden: brandgerötet; 269 Bodenunterlage: grober, unregelmässiger Kies; 270 Splitterboden: Kalksteinsplitter mit sandigem Lehm, Oberfläche brandgerötet; 271 Ostwand von Raum K: verkohlter Schwellbalken, darüber weisse Asche; 272 Splitterboden: Kalksteinsplitter mit sandigem Lehm, Oberfläche brandgerötet; 273 Brandschicht: dunkelbraunschwarz verbrannter Lehm, teilweise mit weisser Asche vermischt; 274 Brandschutt: Lehm-fachwerkbrocken, einzelne Steine und Holzkohlestücke, locker; 275 sandig-lehmiger Kies mit Steinen, unter Splitterboden (272); 276 fetter Lehm, mit Holzkohlestücklein und einzelnen Knochen durchsetzt; 277 Boden: sandiger Lehm, stark verschmutzt, im Westen Reste eines Splitterbodens, bedeckt von Brandschicht: braunschwarz verbrannter Lehm, stark mit Asche durchsetzt, im Osten mit Holzkohlestücken, von Wand (295)?; 278 Brandschutt: mit vielen Lehm-fachwerkbrocken, Holzkohlestücklein, Brandbröcklein, einzelnen Mörtelresten und Steinen durchsetzt, locker, im oberen Teil mit sandigem Lehm vermischt; 279 Grube: verfüllt mit Kiesel und lehmigem Sand, darüber hart verbrannter sandiger Lehm, teilweise nicht verbrannt, teilweise mit heller, kalkartiger Asche, darüber schwarz verbrannter Lehm, im Osten mit vielen Holzkohlestücklein durchsetzt; 280 Brandschutt: hart verbrannte Lehm-brocken; 281 Brandschicht: stark mit Holzkohlestücklein durchsetzt, mit Linsen von hellem Lehm dazwischen, darunter teilweise brandgerötete Oberfläche; 282 Brandschutt: Lehm-fachwerkbrocken; 283 Südwand von Raum T: Graben mit verkohltem Holz, mit Brandschutt verfüllt, im Norden Brandschicht; 284 sandiger Lehm, teilweise wenig, teilweise stärker verschmutzt; 285 Brandschicht: mit vielen Holzkohlestücklein durchsetzt; 286 Brandschutt; 287 Südwand von Raum U: Graben mit verschmutztem Lehm verfüllt; 288 Lehm-boden; 289 Brandschicht; 290 sandiger Lehm, leicht verschmutzt; 291 Brandschicht: schwarz verschmutzt; 292 Ostwand von Raum S: verkohltes Holz; 293 Brandschutt: Lehm-fachwerkbrocken; 294 Ostwand von Raum D: Absatz; 295 Ostwand von Raum J: Ende des Bodens (277).

Steinbauperiode I.1 (SP I.1)

296 Gehniveau: sandiger Lehm, verschlammt, verschmutzt, mit einzelnen Holzkohlestücklein durchsetzt; 297 Gehniveau: lehmiger Schlamm, stark verschmutzt; 298 Gehniveau: fetter Lehm, verschmutzt, mit Linsen von sandigem oder kiesigem Lehm, teilweise mit Mörtelresten oder Brandbröcklein durchsetzt; 299 Graben der Nordwand von Raum B (300): sandig-kiesiger Lehm darunter Gemisch aus verschiedenfarbigen Lehm-brocken, sandiger, ziemlich fetter Lehm, Mörtelresten, darüber sandiger, verschmutzter Lehm; 300 Pfostenloch der Wand (299): sandiger Lehm; 301 sandiger Lehm, feinkiesig, mit einzelnen Kiesel; darunter mit beige-orangen Lehm-bröcklein, Holzkohlestücklein und Kies durchsetzt; darunter verschmutzt, mit Holzkohlestücklein durchsetzt; darunter mit vielen Holzkohlestücklein und wenigen Mörtelresten durchsetzt; 302 Pfosten der Westwand von Raum A: Pfostenloch: reiner, fetter Lehm; Pfostengrube: sandiger Lehm, körnig, mit Holzkohlestücklein, Kiesel, Mörtel- und Ziegelschutt durchsetzt; 303 sandiger Lehm, verschmutzt; 304 lehmig-sandiger Kies; 305 Gehniveau:

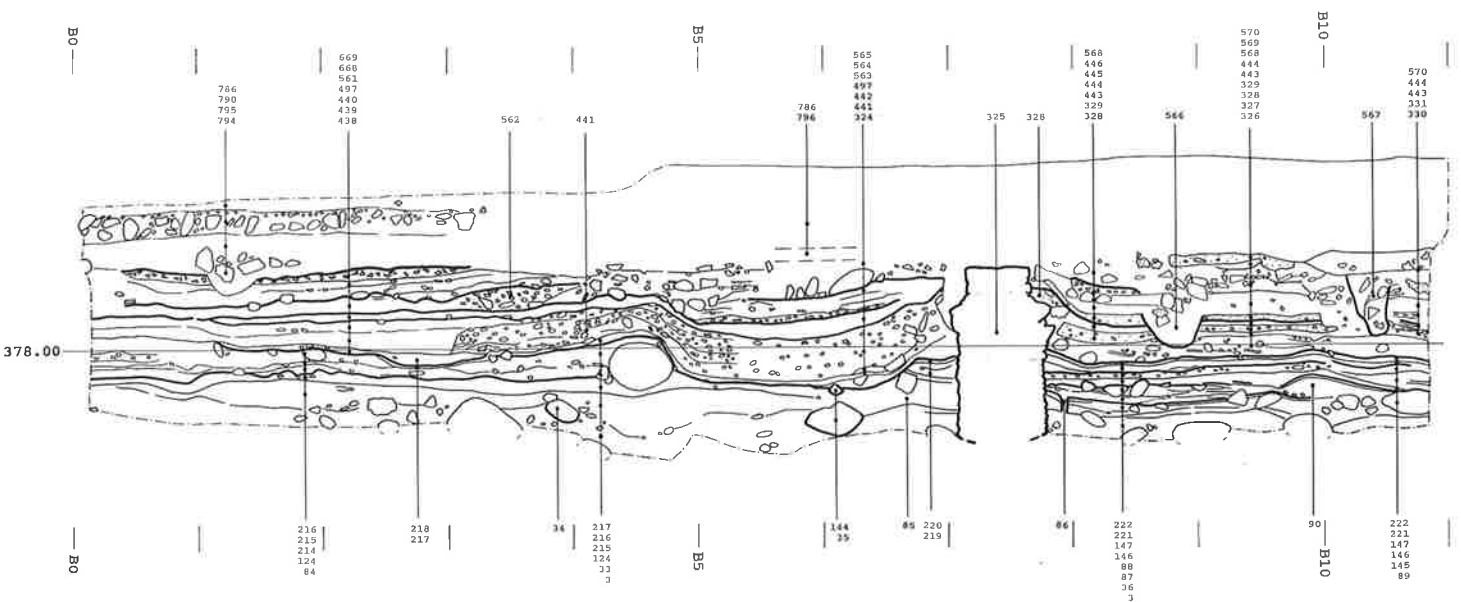
satter, homogener Lehm, mit rotbraunen Holzresten durchsetzt; 306 sandiger, leicht fetter Lehm, verschmutzt, mit Ziegelresten, Holzkohlestücklein und Linse von reinem, sandigem Lehm durchsetzt; 307 Pfosten der Westwand von Raum A: Hohlraum, umgeben von sandigem Lehm, verschmutzt; 308 sandiger Lehm, steinig, fleckig, verschmutzt; 309 sandiger Lehm, fett, verschmutzt, mit Holzkohlestücklein durchsetzt; 310 sandiger Lehm, mit Kies und Holzkohlestücklein durchsetzt, verschmutzt, z.T. mit grossen Kiesel; 311 Pfosten der Westwand von Raum A: Hohlraum, umgeben von sandigem Lehm, verschmutzt; 312 schwarzes Material mit in-kohlten Ruten; 313 lehmiger Kies, verschmutzt; 314 Lehm, mit einzelnen Holzkohlestücklein, Brandbröcklein, Steinen und Holzkohle-linsen durchsetzt, im unteren Teil mehr Brandbröcklein; 315 Mörtelboden: grobkiesiger Mörtel; Unterlage: Kalkbruchsteine und einzelne Kiesel mit Mörtelschutt; 316 nördliche Aussenwand von Haus II: – Fundament: im unteren Teil Kiesel mit sandigem Lehm; im oberen Teil Kiesel mit grobkiesigem Mörtel; – Aufgehendes: 4 Lagen von Kalkbruchsteinen mit grobkiesigem Mörtel; 317 Lehm-boden: leicht verschmutzt, mit wenigen Holzkohlestücklein durchsetzt; 318 Gehniveau: lehmiger Kies, leicht verschmutzt; 319 Grube: verfüllt mit Schicht (434) der Steinbauperiode I.2; 320 Boden: sandiger Lehm, verschmutzt, mit wenigen Holzkohlestücklein durchsetzt; 321 grobsandiger Kies, im unteren Teil teilweise vermischt mit Schicht (57); 322 Gehniveau: schlammig-lehmig, mit vielen rötlichbraunen Holzstücken und einzelnen Holzkohlestücklein durchsetzt; 323 Westwand von Raum A: leicht schlammig, mit Holzkohlestücklein und Brandbröcklein durchsetzt; darunter leicht verschmutzter Lehm; darüber stark verschmutzter, leicht sandiger Lehm; 324 Grube (319): Benützungsschicht: ziemlich homogener Lehm, OK mit vermoderten Holzresten, darunter im Süden verschmutzter, mit Mörtelresten durchsetzter Lehm; 325 nördliche Aussenwand: – Fundament: im unteren Teil Kiesel mit sandigem Lehm, im oberen Teil mit viel Mörtel; – Aufgehendes: 2 Lagen Kalkbruchsteine mit Mörtel, oben glattgestrichene Oberfläche eines Eingangs; 326 sandiger Lehm, leicht kiesig, stark mit Holzkohlestücklein, Brandbröcklein und einzelnen Steinen durchsetzt; gegen Süden im oberen Teil heller, im unteren Teil teilweise nur leicht verschmutzt, an der Oberfläche stark verschmutzt; ganz im Süden stark verschmutzt; 327 sandiger Lehm, leicht verschmutzt; 328 Bauhorizont: Stein- und Tuffsteinmehl vermischt mit Kies, im Süden kiesiger; 329 Gehniveau: sandiger Lehm, teilweise stark verschmutzt; 330 sandiger Lehm, fleckig, stark verschmutzt, mit etwas Kies und einigen Mörtelbrocken durchsetzt; 331 Gehniveau: sandiger Lehm, mit einem grauverschmutzten Linse; 332 Boden: sandiger Lehm; 333 Südwand von Raum G: sandiger Lehm; 334 sandiger Lehm mit wenig Kies; 335 Boden: sandiger Lehm, leicht verschmutzt; 336 Benützungsschicht: sandiger Lehm, stark verschmutzt, mit Holzkohlestücklein durchsetzt, an der OK Mörtelreste wohl von der umgelegten Wand (333/444); 337 Südwand von Raum H (SP I.1–3; SP I.4: Raum K): sandiger Lehm, brockig; 338 sandiger Lehm, stark verschmutzt, mit Ascheteilen und Brandbröcklein durchsetzt; 339 brockiges Gemisch von sandigem Lehm, mit Holzkohlestücklein und einzelnen Ziegelresten durchsetzt, dazwischen im Norden eine dünne Schmutzschicht; 340 Bodenunterlage: Kalksteinsplitter mit sandigem Lehm; 341 Splitterboden: Kalksteinsplitter mit sandigem Lehm; 342 Brandschutt: brockig; 343 Südwand von Raum J (SP I.1–3; SP I.4: Räume K/L): – im unteren Teil Kieselfundament ohne, im obersten Teil mit Mörtel; – Aufgehendes: 2 Lagen von Kalkbruchsteinen mit Mörtel, Oberfläche oben abgestrichen für eine Schwelle; 344 sandiger Lehm, mit Kies, Holzkohlestücklein und Brandbröcklein durchsetzt, im unteren Teil kiesiger, stärker verschmutzt; 345 leicht sandiger Lehm, mit vielen Brandbröcklein und einzelnen Mörtelbröcklein durchsetzt; 346 Südwand von Raum K: – Fundament: Kiesel, im unteren Teil grössere, locker, im oberen Teil kleinere, dichter gesetzt; – Auf-



Beil. 4. Südprofil B5 (A6–A10: seitenverkehrt). M 1:60.

gehendes: 3 Lagen Kalkbruchsteine mit Mörtel; 347 Benützungsschicht: sandiger Lehm, leicht kiesig, verschmutzt; 348 Westwand von Raum B: sandiger Lehm, verschmutzt; 349 Boden: sandiger Lehm, mit einzelnen Steinen, im Osten leicht verschmutzt; 350 Benützungsschicht: sandiger Lehm, leicht kiesig, verschmutzt, mit einzelnen Ziegelstücken durchsetzt; zieht auf Fundamentabsatz von Mauer (351); 351 westlich Aussenwand von Haus II der SP I (SP I.1: nördlicher Teil): – Fundament: im unteren Teil Kiesel mit Lehm, im oberen Teil Kiesel und Kalkbruchsteine mit Mörtel; – Aufgehendes: 8 Lagen Kalkbruchsteine mit grobkiesigem Mörtel; 352 Bauhorizont: sandiger Lehm, teilweise mit Steinen, teilweise mit Tuffsteinmehl durchsetzt; 353 sandiger Lehm, mit vielen Brandbröcklein und einzelnen Holzkohlestücklein durchsetzt; 354 sandiger Lehm, verschmutzt, mit Brandbröcklein durchsetzt, Oberfläche teilweise schwarz verschmutzt; 355 Mörtelboden: grobkiesiger Mörtel, im Osten mit glatter Oberfläche; Unterlage: Kalkbruchsteine vermisch mit teilweise gerötetem Mörtelschutt; 356 Ostwand von Raum E (SP I.2: Raum F): sandiger Lehm, beidseitig verputzt; 357 Bauhorizont: sandiger Lehm, ganz leicht verschmutzt, im oberen Teil mit Tuffsteinmehl durchsetzt, von dünner Schmutzschicht bedeckt; 358 Splitterboden: Kalksteinsplitter mit Lehm; Unterlage: sandig-lehmiger Kies mit grossen Steinen; 359 Lehm, brockig, teilweise leicht kiesig, verschmutzt, mit Holzkohlestücklein und Brandbröcklein durchsetzt, im Osten im oberen Teil mit vielen Holzkohlestücklein und Brandbröcklein; 360 Bauhorizont: sandig, mit Mörtelbröcklein und wenig Kies durchsetzt; 361 östliche Aussenwand von Haus II der SP I: – Fundament: im unteren Teil Kiesel mit sandig-lehmigem Kies, im oberen Teil Kiesel und Bruchsteine mit Mörtel; – Aufgehendes: 5 Lagen Kalkbruchsteine mit Mörtel, Ostseite in *pietra rasa*-Technik verputzt; 362 Lehm, mit vielen Holzkohlestücklein, Brandbröcklein und Lehmfachwerkbrocken durchsetzt, teilweise grau verschmutzt, mit wenigen Kieseln, einzelnen Tuff- und Mörtelbröcklein (Bauhorizont?), im unteren Teil weniger Einschlüsse; 363 Benützungsschicht: Lehm, verschmutzt, mit Holzkohlestücklein und ganz wenigen Mörtelbröcklein und Kieseln durchsetzt; 364 Boden: fetter Lehm; 365 Unterlagestein der Ostwand von Raum N (SP I.2: Raum L; SP I.3: Raum N; SP I.4: Raum U); 366 lehmig, humös, mit Ver-

putzmörtel durchsetzt; 367 Kellerhals zu Raum W (SP I.2: Raum Q; SP I.3: Raum O; SP I.4: Raum T; SP I.5: Raum R; SP I.6: Raum P): Kalkbruchsteine mit Mörtel; 368 Unterlagestein der Ostwand von Raum S; 369 Lehm, verschmutzt, mit Steinen durchsetzt; 370 Lehm; 371 lehmiger Kies; 372 feiner lehmiger Kies; 373 Gehniveau: sandiger Lehm, verschmutzt, mit Holzkohlestücklein durchsetzt; 374 Südwand von Keller Q (schräg geschnitten): grosse Kiesel mit sandig-lehmigem Kies, im Westen mit sandigem Kies; 375 Gehniveau: lehmiger Kies; 376 Südwand von Raum K (hinter dem Profil): – Fundament: Kiesel mit sandigem Lehm; 377 kiesiger, teilweise sandiger Lehm, stark verschmutzt, mit Brandbröcklein durchsetzt, bei (376) mit Mörtelschutt; 378 Boden: leicht kiesiger Lehm, leicht verschmutzt; 379 westliche Aussenwand von Haus II (südlicher Teil) bzw. Westwand von Raum K: – Fundament: im unteren Teil Kiesel mit sandigem Lehm, im oberen Teil Kiesel mit Mörtel; – Aufgehendes: 3 Lagen Kalkbruchsteine mit Mörtel, weniger schön gemauert als Teil der Westwand im Norden; 380 Gehniveau: schlammiger Lehm, stark verschmutzt; darunter im Westen fetter, schlammiger Lehm (Boden?); 381 Lehm Boden; 382 Lehm mit Steinen; darunter teilweise fetter Lehm; darüber sandiger Lehm; 383 lehmiger Kies; 384 Boden: lehmiger Kies; 385 Südwand von Raum P (westlicher Teil): – Fundament: Kiesel mit Mörtel; – Aufgehendes: 5 Lagen Kalkbruchsteine und wenige Kiesel mit Mörtel; 386 sandiger Lehm, mit Mörtelresten, teilweise dunkel verschmutzt, im oberen Teil mit Brandschutt durchsetzt; 387 Boden: kiesiger Lehm; 388 Benützungsschicht: Lehm, verschmutzt, mit Holzkohlestücklein durchsetzt; 389 schlammiger, sandiger Lehm, verschmutzt, mit Holzkohlestücklein durchsetzt, im Norden im oberen Teil mit Linse von hellem sandigem Lehm und teilweise mit Brandschutt durchsetzt, im unteren Teil heller Lehm; 390 Unterlagesteine der Südwand von Raum N; 391 Gehniveau: Lehm, verschmutzt, mit Holzkohlestücklein durchsetzt; 392 schlammiger Lehm, verschmutzt, mit Holzkohlestücklein und Brandbröcklein durchsetzt; 393 lehmiger Kies, im Süden im unteren Teil mit Holzkohlestücklein und Brandbröcklein durchsetzt; 394 Boden: sandig-kiesiger Lehm; 395 Südwand von Raum V (SP I.2: Raum P): sandiger Lehm, mit Holzkohlestücklein durchsetzt; 396 Boden: fetter Lehm, verschmutzt, im Süden von Benützungsschicht bedeckt;

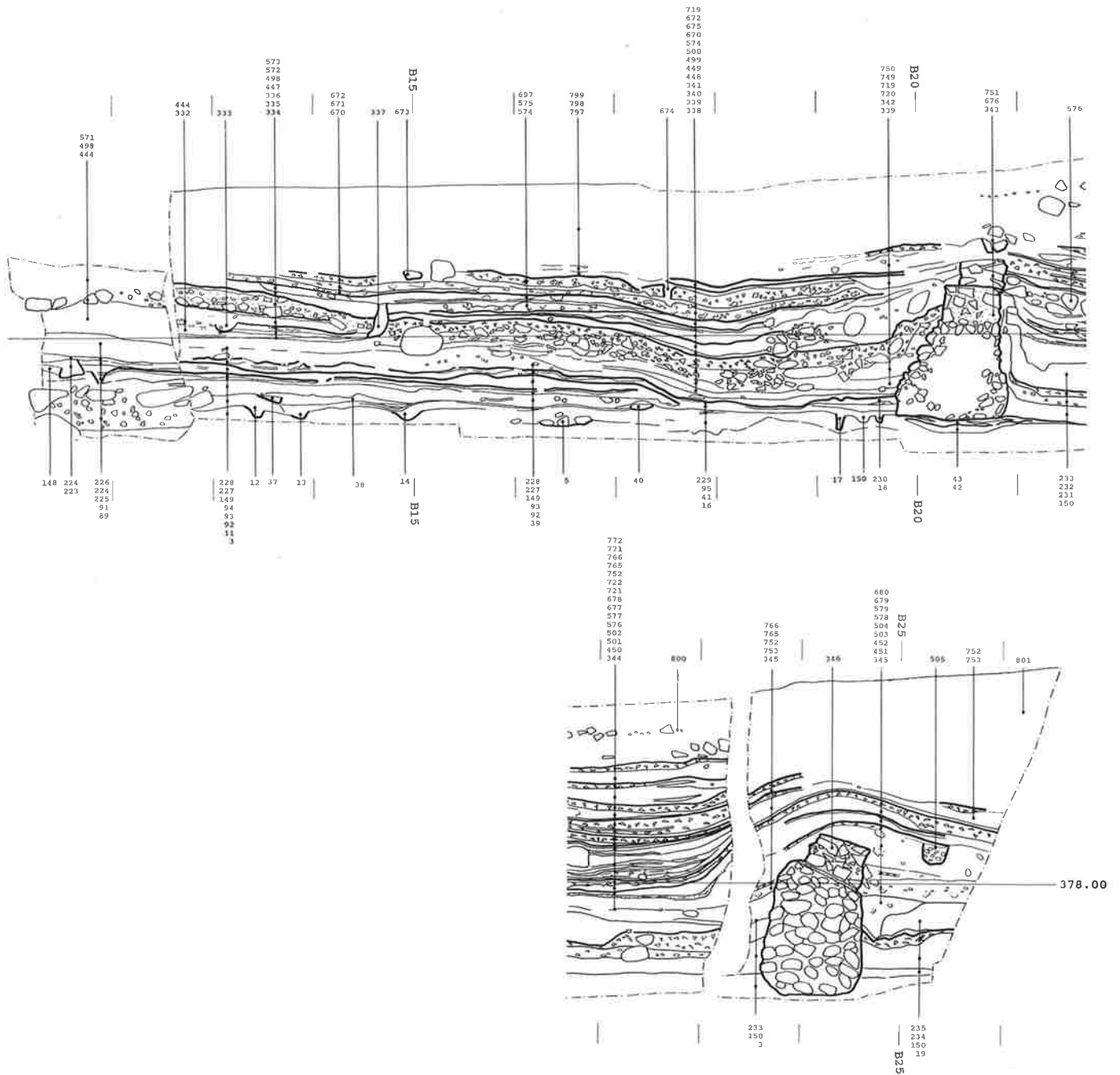


stark mit Holzkohlestücklein durchsetzt; 397 Lehm, mit Holzkohlestücklein durchsetzt; 398 Boden: sandig; 399 Feuerstelle(?): die Schichten (393/397) sind brandgerötet; 400 Boden: sandig; 401 Unterlagestein der Südwand von Raum U: sandig-lehmiger Kies, mit Steinen durchsetzt; 402 Lehm, mit Holzkohlestücklein durchsetzt; 403 Bauhorizont: Tuffsteinmehl; 404 sandiger Lehm, mit Steinen durchsetzt; 405 lehmiger Kies, mit Holzkohlestücklein und Brandbröcklein durchsetzt; 406 Unterlagestein der Ostwand von Raum R; 407 Keller Q; 408 Ostwand von Raum J: lehmige Stelle zwischen dem Splitterboden (358) und dem Kiesboden (409); 409 Boden: lehmiger Kies, im Westen leicht verschmutzt; 410 sandiger Lehm, verschmutzt, mit Brandschutt durchsetzt.

Steinbauperiode I.2 (SP I.2)

411 lehmiger Sand, leicht kiesig, gegen die Mauer (414) ein Keil mit Mörtelschutt, Steinen mit anhaftendem Mörtel (Abbruchschutt?); 412 stark sandiger Lehm, im Norden stark gerötet, im Süden mit Linse von verschmutztem, lehmigem Sand, teilweise von Schmutzschicht bedeckt; 413 Boden: sandiger Lehm, an der Oberfläche verschmutzt; 414 südliche Aussenwand von Haus I: – Fundament mit Kiesel, Bruchsteinen und verschmutztem, sandig-kiesigem Lehm; – Aufgehendes: 8–10 Lagen von Kalkbruchsteinen mit Mörtel, im Norden 6 Lagen sichtbar; 415 Bauhorizont: fester Mörtel mit Steinen; 416 Gehriveau: Lehm, stark verschmutzt; 417 nördliche Grubenwand: sandiger Lehm; 418 kiesiger, sandiger Lehm, mit Steinen durchsetzt; 419 Boden: leicht sandiger Lehm, mit ganz wenigen Holzkohlestücklein und Kies durchsetzt; 420 nördliche Aussenwand von Haus I: Vertiefung mit fettem, verschmutztem Lehm; 421 fetter Lehm, mit sandigem Lehm vermischt, im oberen Teil mit Kalksteinsplittern und Mörtelbröcklein durchsetzt (Bauhorizont?); 422 Boden: Lehm, etwas steinig, leicht verschmutzt; 423 Boden: sandiger Lehm, kiesig, teilweise grobkiesig, mit einzelnen Holzkohlestücklein durchsetzt; 424 Unterlage: Kiesel mit sandigem Lehm; 425 sandiger Lehm, stark kiesig, mit Holzkohlestücklein, Ziegelmehl und Mörtelresten durchsetzt; 426 Boden: sandiger Lehm, im unteren Teil ziemlich kiesig, verschmutzt; 427 Niveauer-

höhung: sandiger Lehm, kiesig, mit Kiesel durchsetzt, im unteren Teil mit sehr grossen Steinen; 428 sandiger Lehm, mit vielen Kiesel; 429 sandiger Lehm, leicht verschmutzt; 430 Gehriveau: sandiger Lehm, verschmutzt; 431 sandig-lehmiger Kies, teilweise mit Linse von feinem Kies; 432 grober Kies mit grobem Sand und einzelnen Steinen; 433 sandiger Lehm; 434 sandig-lehmiger Kies; 435 Gehriveau: sandiger Lehm, kiesig; 436 sandig-lehmiger Kies; 437 leicht kiesiger Lehm, mit vielen Steinen durchsetzt, leicht verschmutzt; 438 sandiger Lehm, verschmutzt, an der Oberfläche teilweise schutthaltig, steinig; 439 sandiger Lehm, teilweise mit dunklem Sand verschmutzt; 440 Gehriveau: sandiger Lehm, teilweise steinig; 441 sandiger Lehm, mit Kalksteinsplitt und Mörtelresten durchsetzt (Bauhorizont?), im oberen Teil lehmiger; 442 sandiger Kies, an der Oberfläche leicht sandiger Lehm, mit Linsen von feinem, kompaktem Kies, im unteren Teil sandiger Lehm; 443 Bauhorizont: Kies mit anhaftendem Mörtel und grober Sand mit Mörtel; 444 sandiger Lehm, verschmutzt, mit einzelnen Mörtelresten; wohl planierte Lehmwand (333); 445 3 Kalkbruchsteine der kreisförmigen Struktur in Raum H, im Süden Lehm; 446 Mörtelboden: Mörtel mit teilweise grobem Kies; 447 Boden: sandiger Lehm, mit einzelnen sandigen, verschmutzten Einschlüssen; 448 Boden: sandiger Lehm; 449 Benützungsschicht: sandiger Lehm, verschmutzt, mit einzelnen Steinen durchsetzt; in dieser Schicht fanden sich viele Münzen (Nr. 39.52.59.60.81.82.87.97) und Spielsteine (Nr. 872–875); 450 Boden: fetter Lehm, mit Mörtelresten; 451 Abbruchhorizont: Mörtelschutt mit vielen Steinen, einzelnen Tuffsteinbrocken; 452 sandig-lehmiger Kies; 453 Bauhorizont: sandiger Lehm; darunter teilweise Tuffsteinmehl; darüber leicht mörteliger Sand, teilweise mit mehr Mörtel; 454 sandiger Lehm, leicht verschmutzt; 455 Mörtelboden: grobkiesiger Mörtel, im Osten im unteren Teil Kies vermischt mit verschmutztem Sand; von einer Benützungsschicht bedeckt; 456 Steine der kreisförmigen Struktur in Raum H; 457 Boden: sandiger Lehm; 458 Ostwand von Raum J: Unterbruch der Bodenschichten (457/459); 459 Boden: sandiger Lehm, mit wenig Kies und Holzkohlestücklein durchsetzt, im Osten an der Oberfläche rot verbrannt; 460 Gehriveau: lehmiger Kies, an der Oberfläche dunkelgrau verschmutzt; 461 sandig, im unteren Teil sandig-lehmig, mit Holzkohlestücklein durchsetzt; 462 Boden:



vorher: 11–19

HP I.1: 33–43
 HP I.2: 84–95
 HP I.3: 124,144–150

HP II: 214–235

SP I.1: 324–346
 SP I.2: 438–452
 SP I.3: 497–505

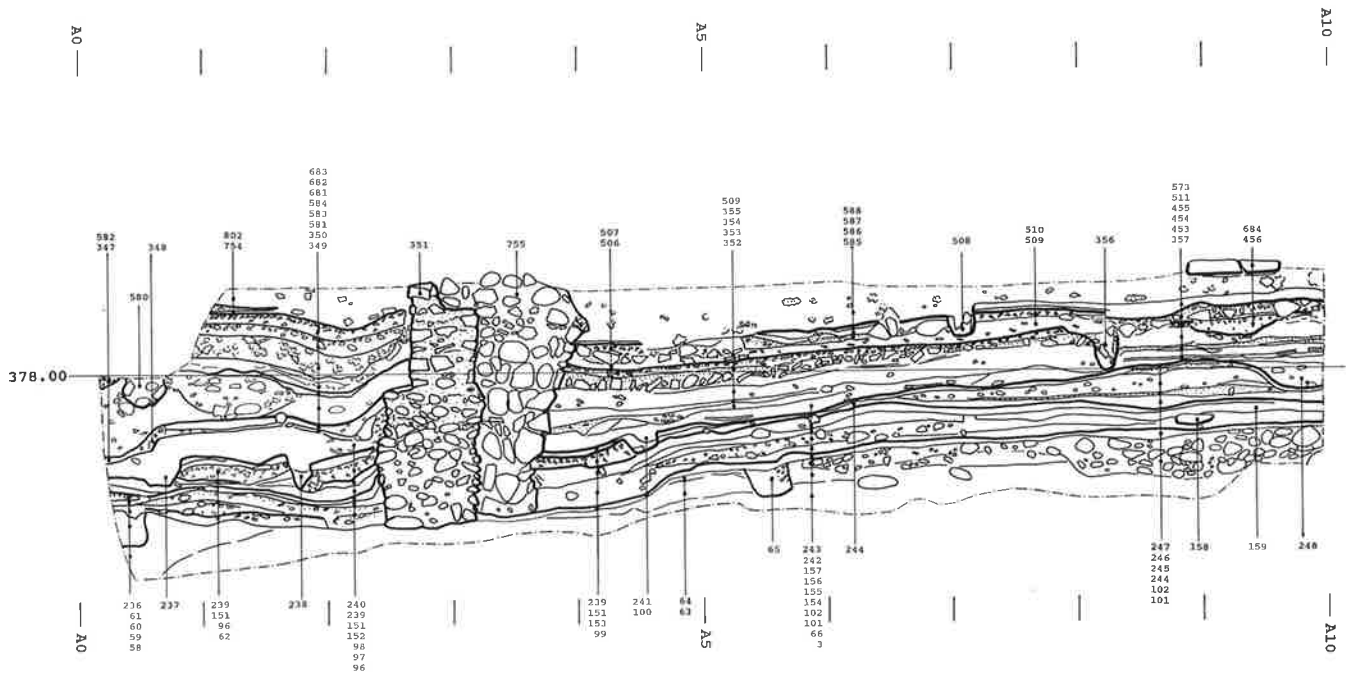
SP I.4: 561–579
 SP I.5: 668–680,697
 SP I.6: 719–722

SP II.1: 749–753
 SP II.2: 765,766
 SP II.3: 771–772

Beil. 5. Ostprofil A10 (B11–B13: A9; B23–B26: A6, seitenverkehrt).%M 1:60.1A

harter Kies, sandig; 463 Abbruchhorizont der Mauer (379): sandiger Lehm, stark mit Mörtelschutt durchsetzt; 464 Boden: Lehm, mit einzelnen sandigen Mörtelresten (Verputz?) durchsetzt; 465 sandiger Lehm, mit Kies durchsetzt, fleckig; 466 Boden: fetter Lehm, ganz leicht verschmutzt, mit mehreren Schmutzbändern durchsetzt; 467 Boden: sandiger Lehm, stark mit Holzkohlestücklein durchsetzt; 468 Südwall von Raum N: Vertiefung, verfüllt mit sandigem Lehm, stark mit Holzkohlestücklein durchsetzt; 469 sandig, mit Holzkohlestücklein durchsetzt, darüber Abbruchhorizont:

sandiger Lehm, mit Verputzresten durchsetzt, wohl umgelegte Lehmwand (395); 470 Südwall von Raum M (SP I.3 Nordwall von Raum L; SP I.4 Raum S): sandiger Lehm, verschmutzt; 471 sandiger Lehm; 472 Gelniveau: sandig-lehmig, im Norden sandig, im Süden kiesig; 473 Südwall von Raum N: Vertiefung mit sandigem Lehm; 474 sandig-lehmiger Kies, im Süden ohne Kies; 475 Gelniveau: sandig-lehmiger Kies; 476 Auffüllung des Kellers Q (SP I.1): Kies, leicht lehmig, mehr oder weniger stark durchsetzt mit Mörtelbröcklein, Holzkohlestücklein und Brandbröcklein, im



oberen Teil mit vielen Mörtelbröcklein, ohne Brandbröcklein; 477 schlammiger Lehm, mit braunen Holzresten, Brandbröcklein und wenigen Holzkohlestücklein durchsetzt, teilweise etwas heller; 478 Boden: Lehm mit wenig Kies, verschmutzt.

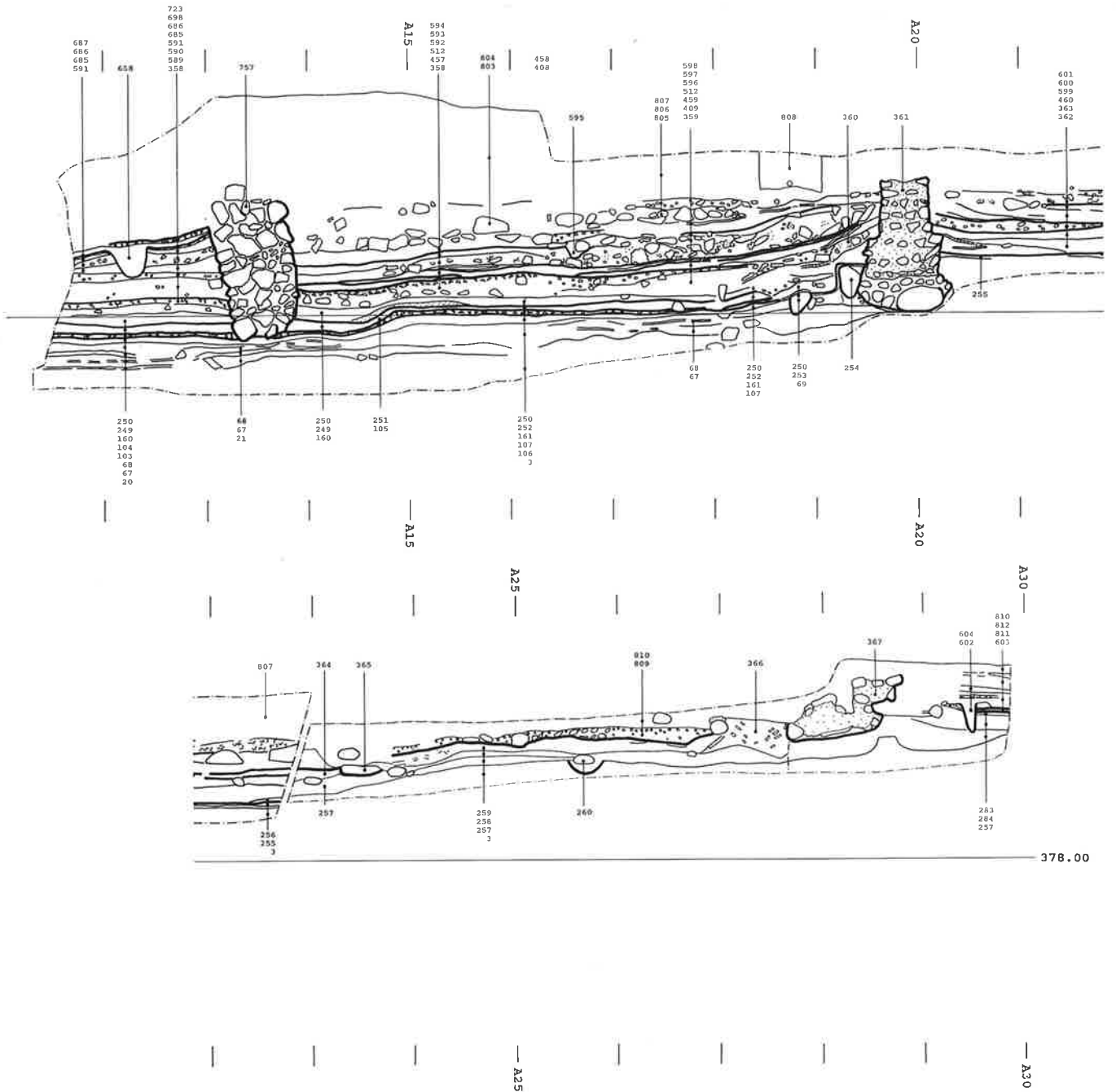
Steinbauperiode I.3 (SP I.3)

479 sandiger Lehm, leicht verschmutzt, teilweise mit Schmutzschicht dazwischen; 480 Abbruchhorizont: Schutt mit losem Mörtel, festen Mörtelbrocken und Kalkbruchsteinen; 481 Boden: sandiger Lehm, leicht kiesig; 482 sandiger Lehm, stark kiesig, mit wenigen Holzkohlestücklein durchsetzt; 483 Kiesel in leicht schlammigem, sandigem Lehm; 484 sandiger Lehm, leicht schlammig, verschmutzt; 485 Boden: leicht fetter Lehm, mit einzelnen Holzkohlestücklein durchsetzt, im Norden mit wenigen länglichen Mörtelresten (Verputz?); 486 sandiger Lehm, leicht verschmutzt; 487 sandig-lehmiger Kies; 488 sandiger Lehm, teilweise verschmutzt; 489 Boden: sandiger Lehm, leuchtend ockerfarben, mit einzelnen Mörtelresten; 490 Unterlagesteine der nördlichen Aussenwand; 491 Boden: sandiger Lehm, verschmutzt, mit einzelnen Holzkohlestücklein durchsetzt; 492 Abbruchhorizont: planierte Lehmfachwerkwand: leicht sandiger Lehm, mit vielen Verputzstücken durchsetzt; 493 Splitterboden: Kalksteinsplitter mit sandigem Lehm; Unterlage: Kalkbruchsteine und einzelne Kiesel mit Mörtelschutt und Sand; 494 Boden: fetter Lehm, von Schmutzschicht bedeckt; 495 lehmiger Kies, fleckig; 496 sandiger Lehm, verschmutzt, mit einzelnen Mörtelbröcklein und Knochen durchsetzt; 497 Boden: leicht sandiger Lehm, fleckig; 498 Splitterboden: Kalksteinsplitter und Kalkbruchsteine mit kiesigem Mörtel, darüber im Norden Deckschicht von sandigem Lehm, von oben verschmutzt; 499 sandiger Lehm, verschmutzt, mit Ziegelstücklein durchsetzt; 500 Boden: sandiger Lehm, mit Ziegelstücklein durchsetzt; bedeckt von Schmutzschicht, im Norden stark mit Holzkohlestücklein durchsetzt; 501 sandiger Lehm, mit wenig Kies und Mörtelresten durchsetzt; 502 Splitterboden; 503 sandig-lehmiger Kies, mit etwas Mörtelschutt durchsetzt; 504 Splitterboden; 505 Pfostenloch: sandiger Lehm mit kleinen Kiesel; 506 sandiger

Lehm, mit einzelnen Verputzstücken und Ziegelfragmenten durchsetzt; 507 Splitterboden: Kalksteinsplitter mit sandigem Lehm, an der Oberfläche sandiger Lehm, grau verschmutzt; Unterlage: Steine mit Mörtelschutt und sandigem Lehm; 508 Ostwand von Raum F (SP I.4 Raum H): Balkengraben mit verkohltem Schwellbalken, verfüllt mit Brandschutt (SP I.4); 509 Abbruchhorizont: umgestürzte Lehmfachwerkwand: sandiger Lehm, mit Verputzstücken und einzelnen Steinen durchsetzt; 510 Splitterboden: Kalksteinsplitter mit sandigem Lehm, bedeckt von Benützungsschicht: sandiger Lehm, mit etwas Kies, stark verschmutzt; 511 Bodenunterlage: Kalkbruchsteine mit mörteligem Sand; 512 Benützungsschicht: sandiger Lehm, verschlamm, verschmutzt, mit Holzkohlestücklein durchsetzt; 513 Boden: sandiger Lehm, an der Oberfläche grau verschmutzt; 514 leicht lehmiger Sand, leicht verschmutzt; 515 Splitterboden: Kalksteinsplitter mit sandigem Lehm; 516 Ostwand von Raum C (SP I.4 Raum E): Unterbruch der Schichten; 517 Mörtelschutt (Abbruchhorizont?); 518 Benützungsschicht über Lehm-boden; 519 Abbruchhorizont: sandiger Lehm, mit vielen Mörtelbrocken, Mörtelschutt und einzelnen Steinen durchsetzt; 520 Boden: lehmiger Sand, im unteren Teil lehmiger, mit Kalksteinsplittern durchsetzt, bedeckt von Benützungsschicht: sandiger Lehm, stark verschmutzt; 521 sandig, im Osten im unteren Teil mit Kies durchsetzt; mit Schmutzbändern durchsetzt; 522 Boden: sandiger Lehm, verschmutzt, mit Holzkohlestücklein durchsetzt; 523 3 Bodenniveaus: abwechselnd dünne Sandschichten und verschmutzte, sandige Lehmschichten.

Steinbauperiode I.4 (SP I.4)

524 stark sandig-lehmiger Kies; 525 Splitterboden: Kalksteinsplitter mit leicht sandigem Lehm; 526 Gehniveau: schlammiger Lehm, verschmutzt; 527 Feuerstelle: Ziegelplatten; 528 Brandschutt: sandiger Lehm, mit Mörtelresten und Holzkohlestücklein durchsetzt; 529 sandiger Lehm, leicht verschmutzt, im unteren Teil mit Mörtelresten; 530 Boden: sandiger Lehm, im Norden teilweise mit Holzkohlestücken durchsetzt, im Süden von Schmutzschicht bedeckt; 531 Brandschutt: verbrannter Lehm, Holzkohlestücke; 532 Gehni-

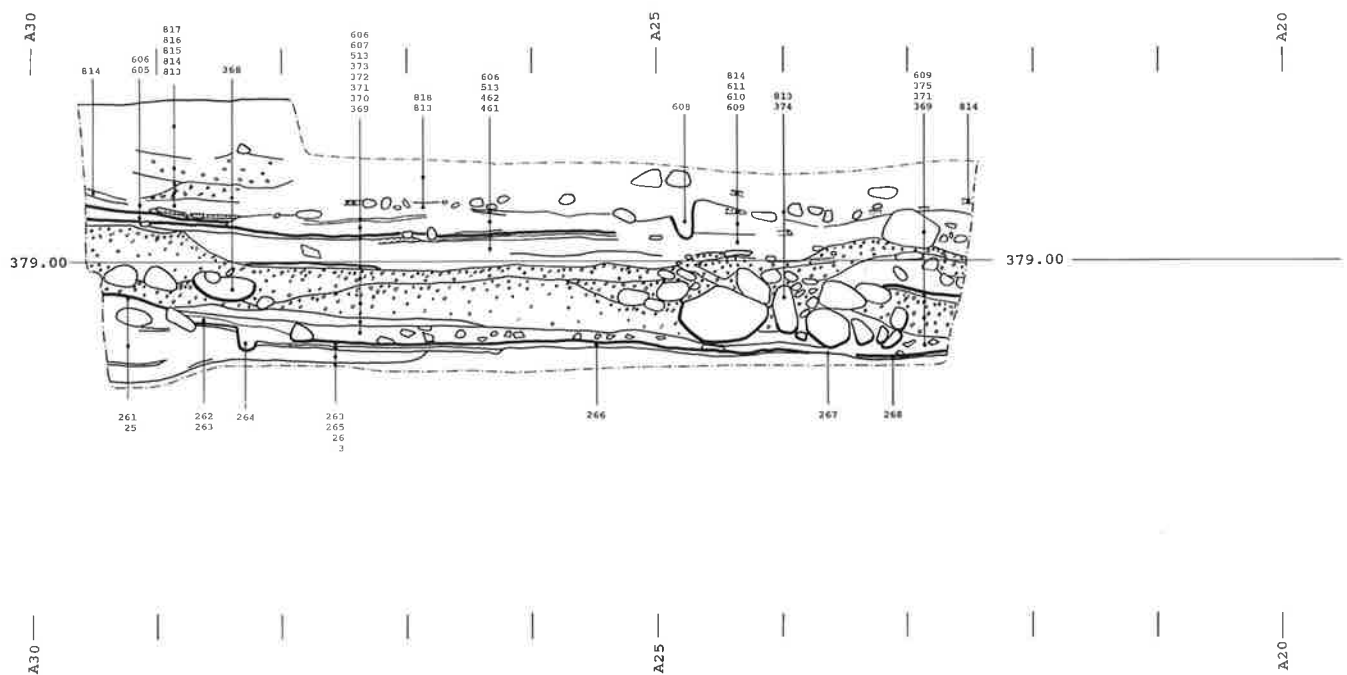


vorher: 20.21 HP I.1: 58–69 HP II: 236–260.294 SP I.1: 347–367.408.409 SP I.4: 580–604 SP II.1: 754.755.757
 HP I.2: 96–107 SP I.2: 453–460 SP I.5: 681–689.698
 HP I.3: 151–161 SP I.3: 506–512 SP I.6: 723

Beil. 6. Nordprofil B11/B16.50/B10 (A0–A10: B11, seitenverkehrt; A11–A23: B16.50; A23–A30: B10). M 1:60.

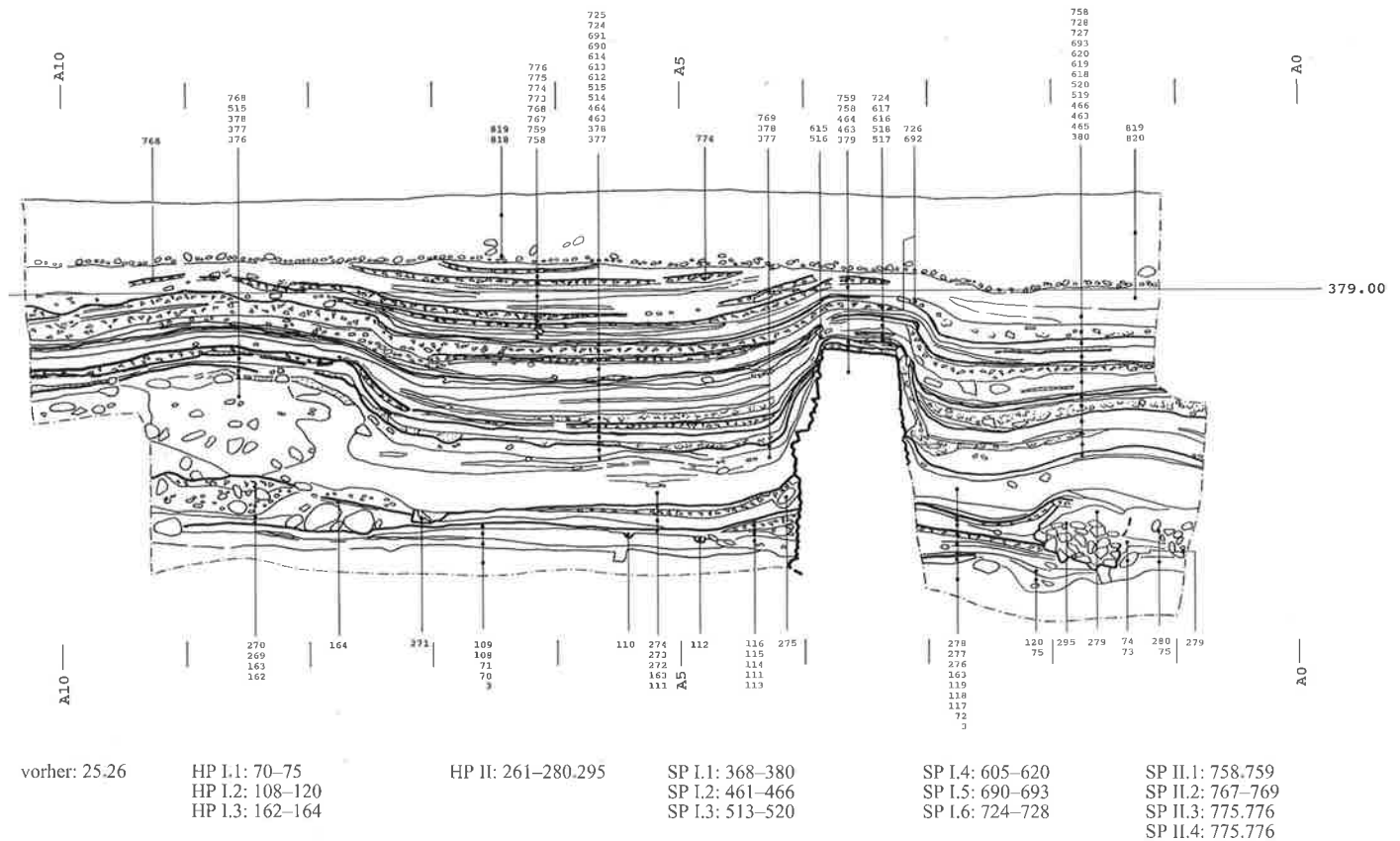
veau: sandiger Lehm, teilweise verschmutzt, mit etwas Kies, Keramik und Glas durchsetzt, teilweise von Brandschicht bedeckt; 533 Benützungsschicht: sandiger Lehm, dunkel verschmutzt, mit einzelnen Mörtelresten, Holzkohlestücklein und Ziegelstücklein durchsetzt; 534 Unterlagestein der Südwand von Raum C; 535 Grube: mit lehmigem Schlamm verfüllt, mit Brandbrocken durchsetzt, UK mit sehr viel Holzkohlestücken, im oberen Teil mit grobem Kies; 536 sandiger Lehm, locker mit Kieseln durchsetzt; 537 Splitterboden; 538 Brandschutt: sandiger Lehm, ziemlich fett,

aschehaltig, mit verkohlten Holzruten der Lehmfachwerkwand (580), in Ostwest-Richtung liegend, von 15 mm Durchmesser; 539 Abbruchschicht: sandiger Lehm, stark mit Mörtelschutt durchsetzt, steinig, darin zwei Lehmlinsen (Wandreste?); 540 Unterlagestein der nördlichen Aussenwand von Haus I; 541 Boden: leicht sandiger Lehm; 542 Brandschicht/Brandschutt: sandiger Lehm, leicht schlammig, grau verschmutzt, mit Asche und Holzkohlestücklein durchsetzt; 543 Brandschutt: sandiger Lehm, locker, stark verschmutzt, mit vielen Lehmfachwerkbrocken, Mörtelbrocken und



kleineren Kalkbruchsteinen durchsetzt, im Norden mit zahlreichen Mörtelbrocken, Kalkbruchsteinen, Kiesel, wenigen Ziegelfragmenten und Brandbrocken durchsetzt; 544 Boden: fetter Lehm, mit wenig Kies und Mörtelbröcklein durchsetzt; 545 Brandschicht: Holzkohlestücke, Asche; darüber Reste von Brandschutt; 546 lehmiger Kies, leicht verschmutzt, mit einzelnen Ziegelstücklein durchsetzt; 547 grober Sand, mit Mörtelbröcklein durchsetzt; 548 Gehniveau: sandiger Lehm, stark verschmutzt, mit Ziegelstücklein, Steinen und wenig Kies durchsetzt, im oberen Teil mit vielen Brandbröcklein; 549 Brandschicht: verkohltes Holz; 550 Brandschutt: sandiger Lehm, verschmutzt, stark mit Holzkohlestücklein, Asche, mit einzelnen Ziegelstücklein, Brandbröcklein, Keramik, Knochen, Kalksteinsplittern und Mörtel durchsetzt; 551 Brandschicht: stark mit Holzkohlestücklein durchsetzt; 552 Pfostenloch: sandiger Lehm, verschmutzt; 553 sandig-lehmiger Kies, verschmutzt; 554 Boden: sandiger Lehm, teilweise grau verschmutzt, teilweise gerötet; 555 Benützungsschicht: schlammig, mit Holzkohlestücklein durchsetzt; 556 Brandschutt: Holzkohlestücke und Asche; 557 Brandschutt: sandiger Lehm, verschmutzt, mit Brandbröcklein, Holzkohlestücklein, einigen Ziegelstücklein und Knochen durchsetzt; darunter sandiges, schlammiges Material, mit Holzkohlestücklein und Ziegelstücklein durchsetzt; 558 Abbruchschicht: mörteliger Schutt, im Westen sandiger Lehm, leicht kiesig, verschmutzt, mit Mörtelbröcklein durchsetzt; 559 Boden: Lehm, mit wenig Kies; im Westen von Schmutzschicht bedeckt, schlammig, leicht kiesig, verschmutzt; 560 Brandschicht: verkohltes Holz; 561 Gehniveau: sandiger, humöser Lehm; 562 Gehniveau: sandig lehmig, humös, sehr steinig; 563 Kies, verschmutzt; 564 Boden: sandiger Lehm, verschmutzt, mit einzelnen Mörtelbröcklein, Brandbröcklein und Holzkohlestücklein durchsetzt; 565 Brandschutt: humöser Lehm, stark mit Holzkohlestücklein durchsetzt, mit Steinen, Ziegelfragmenten, Keramik und Mörtelbrocken; 566 Pfostenloch der Ostwand von Raum K: sandiger Lehm, verschmutzt, von oben mit (568) verfüllt; 567 Pfostenloch der Ostwand von Raum K: sandiger Lehm, verschmutzt, im Süden stark verschmutzt, mit einzelnen Kalksteinen, Mörtelbrocken und etwas Kies durchsetzt; in der Mitte Hohlraum des Pfostens, von oben mit

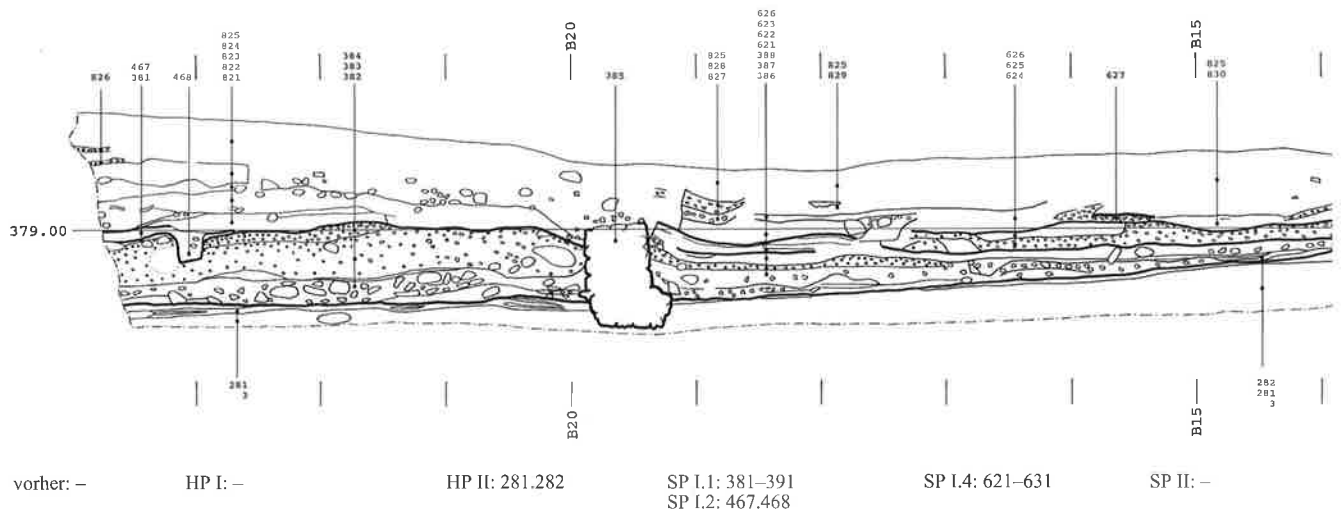
aschehaltiger Erde (569) verfüllt; 568 Abbruchschicht: lehmige Erde, teilweise mit vielen Kiesel, Kalkbruchsteinen, Mörtelbrocken und Ziegelfragmenten durchsetzt; 569 Brandschutt: stark aschehaltige Erde; 570 Brandschutt: stark holzkohlestücklein- und aschehaltige Erde, mit vielen Lehmfachwerkbrocken, einzelnen Mörtelbrocken und Steinen durchsetzt; im oberen Teil teilweise Mörtelbrocken mit einzelnen Steinen und Brandbrocken; 571 humös, schutthaltig, mit einzelnen Mörtelbröcklein und Brandbröcklein durchsetzt; 572 Gehniveau: sandiger Lehm, verschmutzt, mit Holzkohlestücklein durchsetzt; 573 Brandschicht: sandiger Lehm, aschehaltig; 574 Boden: sandiger Lehm, fleckig, teilweise verbrannt, ziemlich brockig, im Süden feiner, mit Ziegelstücklein durchsetzt; teilweise von Brandschicht bedeckt: Holzkohlestücklein und Asche; 575 umgekippte Wand (337): brockiger, verbrannter Lehm, an der UK Verputzreste; 576 sandiger Lehm, mit wenigen Mörtelreste und Holzkohlestücklein durchsetzt, geschichtet, mehr oder weniger verschmutzt, im Norden mit grösseren Kiesel; 577 Boden: sandiger Lehm, an der Oberfläche verbrannt, von Brandschicht bedeckt; 578 stark sandiger Lehm, verschmutzt, mit wenigen Holzkohlestücklein durchsetzt; 579 Brandschicht; 580 Balkengraben der Ostwand von Raum B: sandiger Lehm, verschmutzt, mit Kiesel und einem Ziegelfragment; 581 sandiger Lehm, leicht kiesig, verschmutzt, mit wenig Keramik und Verputzstücken durchsetzt; darin eine Linse mit Abbruchschutt: stark mit teilweise geröteten Mörtelbrocken, einzelnen Kalkbruchsteinen, Kiesel, Ziegelfragmenten und Brandbröcklein durchsetzt; 582 Splitterboden: Kalksteinsplittter mit sandigem Lehm; 583 Boden: verkohltes Holz, 3 Nägel, Keramik; 584 Brandschutt: umgestürzte Lehmfachwerk wand, wohl Wand (580); 585 Abbruchschicht: sandiger Lehm, stark mit Mörtelschutt und einzelnen Steinen durchsetzt; 586 sandiger Lehm, mit etwas Kies, stark verschmutzt; 587 Boden: sandiger Lehm; 588 Brandschutt: viele Lehmfachwerkbrocken, teilweise mit Verputz, Brandbrocken, Mörtelbrocken, Holzkohlestücklein, mit wenig Keramik und Steinen durchsetzt, stark verschmutzt; 589 sandiger Lehm, leicht kiesig, mit Mörtelresten und Holzkohlestücklein durchsetzt; 590 sandig-lehmiger Kies; 591 Brandschutt: Lehmfachwerkbrocken, Holzkohlestücken und Mörtelschutt; 592



Beil. 7. Südprofil B23/B24 (A1-A10: B23; A22-A30: B24). M 1:60.

Abbruchschicht: stark lehmiger Sand, verschmutzt, teilweise stark mit Kalkbruchsteinen und Mörtelschutt durchsetzt; 593 Boden: leicht sandiger Lehm, bedeckt von Schmutzschicht: sandiger Lehm, verschlammmt, verschmutzt; 594 Brandschutt: Lehmfachwerkbrocken, Holzkohlestücke und Mörtelschutt; 595 Ostwand von Raum M: Vertiefung, mit Schutt verfüllt, bedeckt mit feinem, hartem Lehm, Kies, leicht grau verschmutzt; 596 Abbruchschicht: Mörtelschutt und Steine, im oberen Teil teilweise sandiger Lehm; 597 Boden: Lehm, teilweise stark verschmutzt; 598 Brandschutt: sandiger Lehm, mit Holzkohlestücklein und Brandbröcklein durchsetzt, im oberen Teil mit Lehmfachwerkbrocken und Holzkohlestücklein; 599 Lehm, verschmutzt, mit wenig Kies, Holzkohlestücklein, Brandbröcklein und Mörtelbröcklein durchsetzt; 600 Boden: Lehm, grau verschmutzt, mit Holzkohlestücklein durchsetzt; 601 Brandschutt: sandiger Lehm, dunkel verschmutzt, mit Lehmfachwerkbrocken und Holzkohlestücklein durchsetzt; 602 Pfostenloch in Raum S: Lehm, verschmutzt; 603 Gehniveau: Lehm, im oberen Teil verschmutzt, mit Brandbröcklein durchsetzt; 604 Brandschutt: Brandbrocken; 605 Boden: Kies, brandgerötet; 606 Brandschicht: Holzkohlestücklein und Asche; 607 sandiger Lehm, mit wenig Holzkohlestücklein durchsetzt; 608 Pfostenloch: sandiger Lehm, stark mit Holzkohlestücklein durchsetzt; 609 sandiger Lehm, mit wenig Holzkohlestücklein und teilweise grossen Steinen durchsetzt; 610 sandig; 611 Brandschutt; 612 Abbruchschicht: sandiger Lehm, mit viel Mörtel durchsetzt, an der Oberfläche Schmutzschicht; 613 sandiger Lehm, geschichtet mehr oder weniger verschmutzt; 614 Boden: sandiger Lehm, fleckig, mit einzelnen Holzkohlestücklein, Brandbröcklein, Ziegelstücklein, Mörtelbröcklein und Steinen durchsetzt; von Brandschicht bedeckt: schwarz, im unteren Teil teilweise orange verbrannter Lehm, stark

mit Asche durchsetzt; 615 Trennung zwischen Lehm Boden (614) und Splitterboden (616/619); 616 Boden: sandiger Lehm, verschmutzt, mit einzelnen Kalksteinsplittern durchsetzt; wohl Teil von Splitterboden (619); 617 Brandschicht: oben orange, unten braunschwarz verbrannter Lehm; 618 leicht lehmiger Sand, leicht verschmutzt, darin mit einzelnen Steinen und mit Steinmehl durchsetzte Linse; 619 Splitterboden: an der Oberfläche teilweise gerötet; 620 Brandschicht; 621 Lehm, verschmutzt; 622 Boden: Lehm, bedeckt von Brandschicht; 623 Brandschutt: sandiger Lehm, grau verschmutzt, mit vielen Brandbröcklein durchsetzt, bedeckt von Brandbrocken; 624 lehmiger Kies; 625 Boden: Lehm, mit Brandschutt durchsetzt; 626 Brandschutt: humös, mit vielen Holzkohlestücklein durchsetzt; 627 Splitterboden; 628 Brandschutt: schwarzes Material mit vielen Holzkohlestücklein; 629 Lehm, leicht verschmutzt; 630 Nordwand von Raum Q: Vertiefung mit Steinen; 631 sandiger Lehm, mit Mörtelbrocken; 632 sandiger Lehm, verschmutzt, mit feinen Mörtelresten und Brandbröcklein durchsetzt; 633 Boden: Lehm, teilweise verbrannt; 634 Lehm, mit Holzkohlestücklein durchsetzt; 635 Boden: Kies, verbrannt; 636 Pfostenloch: humös, mit Brandbrocken durchsetzt; 637 sandiger Lehm, mit Holzkohlestücklein durchsetzt; 638 Boden: Kies, brandgerötet, im Süden von Brandschicht bedeckt; 639 sandig; 640 Boden: lehmiger Kies, an der Oberfläche teilweise brandgerötet, im Westen von Benützungsschicht bedeckt: sandiger Lehm, grau verschmutzt, teilweise brandgerötet; von Brandschicht bedeckt: Holzkohlestücklein und Asche; 641 Brandschutt: sandiger Lehm, mit Holzkohlestücklein, Brandbrocken und Ziegelstücklein durchsetzt; 642 Brandschicht: stark aschehaltige Erde, mit Holzkohlestücken durchsetzt.



Beil. 8. Westprofil A23. M 1:60.

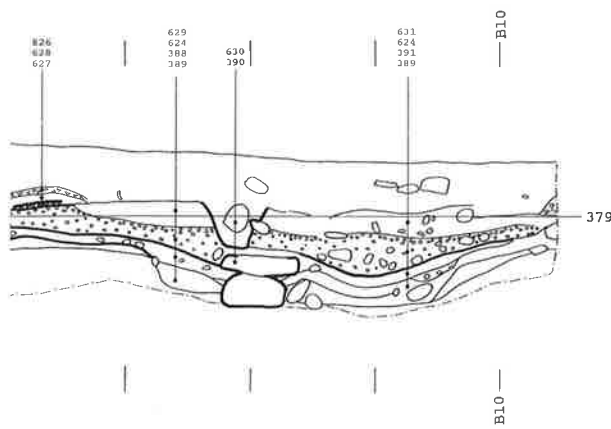
Steinbauperiode I.5 (SP I.5)

643 leicht kiesiger Lehm; 644 Gehniveau: schlammiger Lehm, verschmutzt, mit Holzkohlestücklein und Mörtelresten durchsetzt; 645 Boden: sandiger Lehm, mit wenig Kies durchsetzt; 646 Unterlagestein der Südwand von Raum B; 647 sandig-lehmiger Kies, an der UK im Süden mit Mörtelresten und Ziegelstücklein, im Norden ohne Kies; 648 Splitterboden, von Schmutzschicht bedeckt; 649 Abbruchhorizont: brockiges Gemisch aus Ziegelfragmenten und Kalkbruchsteinen sowie kleinen Mörtelbrocken, Ziegelsplittern und Holzkohlestücken in dunklem, verschmutztem, sandigem Lehm; im oberen Teil teilweise ohne Mörtel, im Norden über der Grube (535) ohne Ziegel; 650 Abbruchhorizont: sandiger Lehm, schutthaltig, mit Verputzresten, Mörtelbröcklein und Kies durchsetzt; 651 Unterlagestein der nördlichen Aussenwand von Haus I; 652 Gehniveau: sandiger Lehm, ziemlich fett, verschmutzt, mit Holzkohlestücklein und einzelnen Steinen durchsetzt; 653 Unterlage: Kiesel in sandigem Lehm; 654 Pfostenloch: leicht lehmige Erde, teilweise mit Mörtelbröcklein und Steinen durchsetzt; 655 Pfostenloch: leicht lehmige Erde, teilweise mit Mörtelbröcklein und Steinen durchsetzt; 656 Splitterboden: Kalksteinsplitter mit sandigem Lehm; 657 Abbruchhorizont: lehmige Erde, stark mit Mörtelbrocken, Kalkbruchsteinen, Kieseln, mit einem Ziegelfragment und Brandbrocken durchsetzt; 658 Abbruchhorizont: Mörtelschutt mit Kalkbruchsteinen und Kieseln durchsetzt; darunter sandiger Lehm, mit Brandschuttresten durchsetzt; 659 stark lehmiger Sand, mit Kies und einzelnen Holzkohlestücklein durchsetzt, mit Zonen von lehmigem Kies; 660 Splitterboden: Kalksteinsplitter mit sandigem Lehm; 661 sandiger Lehm, teilweise mit Kies durchsetzt, im Norden etwas lehmiger, leicht verschmutzt; 662 Splitterboden: Kalksteinsplitter mit sandigem Lehm, mit Schmutzschicht; 663 sandiger Lehm, stark verschmutzt, im Westen mit etwas Kies und Linse mit teilweise verbranntem Lehm durchsetzt; 664 Splitterboden: Kalksteinsplitter mit sandigem Lehm; 665 sandiger Lehm, kiesig, leicht verschmutzt; 666 Splitterboden: Kalksteinsplitter mit sandigem Lehm, bedeckt von Schmutzschicht: schlammig, leicht lehmig, mit feinen Holzkohlestücklein durchsetzt; 667 Gehniveau: sandiger Lehm, leicht schlammig, stark verschmutzt, mit Keramik durchsetzt; 668 sandiger Lehm, mit Kies durchsetzt, im unteren Teil sandiger, heller, im oberen Teil humushaltig; 669 Splitterboden: Kalksteinsplitter mit harten Lehmbröcklein; 670 Abbruchho-

rizont: sandiger Lehm, leicht schutthaltig, mit Mörtelresten und Steinen durchsetzt, im Süden grossbrockig; 671 brockiges Gemisch von orange bis schwärzlich verbranntem Lehm, teilweise verschmutzt; 672 Splitterboden mit Schmutzschicht; 673 Unterlagestein der Südwand von Raum G (SP I.6 Raum K); 674 Pfostenloch der Südwand von Raum M (SP I.6 Raum L); 675 sandiger Lehm, leicht steinig, stark verschmutzt; 676 Fundament der Südwand der Räume J/K/N (SP I.6 Räume G/H/M): Kalkbruchsteine in Lehm, mit Brandbröcklein durchsetzt; darüber verkohlte Schwelle; 677 sandiger Lehm, an der Oberfläche mit Holzkohlestücklein verschmutzt; 678 Splitterboden, von Schmutzschicht bedeckt; 679 stark sandiger Lehm, mit wenigen Holzkohlestücklein verschmutzt; 680 Splitterboden, von Schmutzschicht bedeckt; 681 Abbruchhorizont: sandiger Lehm, stark mit teilweise geröteten Mörtelbrocken, einzelnen Kalkbruchsteinen und Kieseln durchsetzt, leicht verschmutzt; 682 grober Kies, vermisch mit lehmigem Sand; 683 Splitterboden: Kalksteinsplitter mit sandigem Lehm, teilweise gerötet (SP I.6 Raum B); 684 Steinplatten als Unterlage der Ostwand von Raum F (SP I.6 Raum E); 685 Abbruchhorizont: loser Mörtelschutt, Mörtelbrocken, Steine und einzelne Brandbröcklein; 686 humöser, sandiger Lehm, mit Holzkohlestücklein und Brandbröcklein durchsetzt; 687 Splitterboden, von Schmutzschicht bedeckt; 688 Ostwand von Raum M: Vertiefung mit humösem, sandigem Lehm, mit Holzkohlestücklein und Brandbröcklein durchsetzt; 689 Splitterboden, von Schmutzschicht bedeckt; 690 sandiger Lehm, mit Linse von fettem Lehm, im Osten kiesig, leicht, teilweise stärker verschmutzt; 691 Splitterboden, von Schmutzschicht bedeckt; 692 Ende des Splitterbodens; 693 Gehniveau: lehmiger Sand, mit feinen Holzkohlestücklein, Resten von vermoderem Holz durchsetzt, im unteren Teil teilweise leicht kiesig, dazwischen grobsandiger Kies, an der OK teilweise mit Steinmehl durchsetztem Kies (Bauhorizont?); 694 sandiges Material; 695 Kiesboden; 696 Kiesboden: lehmig, teilweise verschmutzt; 697 Splitterboden; 698 Splitterboden, von Schmutzschicht bedeckt.

Steinbauperiode I.6 (SP I.6)

699 Brandschicht: fast reine Holzkohle, im Norden mit verschmutztem Lehm, einzelnen Brandbröcklein und Mörtelresten durchsetzt; 700 Brandschutt: kleine und grössere Brandbrocken,



einzelne Ziegelstücklein, feste Mörtelbröcklein und Mörtelschutt; 701 Gehniveau: sandiger Lehm, verschmutzt, mit wenig Kies und Holzkohlestücklein durchsetzt; 702 Brandschutt: sandiger Lehm, verschmutzt, stark mit Holzkohlestücken, Ziegelfragmenten, Mörtelresten, Kies und Keramik durchsetzt, im oberen Teil teilweise weniger Einschlüsse; 703 Gehniveau: sandiger Lehm, verschmutzt, mit Kies und Ziegelstücklein durchsetzt, teilweise brandgerötet; 704 Grube mit Unterteil einer Ölamphore Dressel 20, eingetieft, mit feibrockerigem, verschmutztem, mit Brandbröcklein und Holzkohlestücken durchsetztem Lehm verfüllt; 705 Grube mit Unterteil einer Ölamphore Dressel 20, eingetieft, mit feibrockerigem, verschmutztem, mit Brandbröcklein und Holzkohlestücken durchsetztem Lehm verfüllt; 706 Grube mit Unterteil einer Ölamphore Dressel 20, eingetieft, mit feibrockerigem, verschmutztem, mit Brandbröcklein und Holzkohlestücken durchsetztem Lehm verfüllt; 707 Grube mit Unterteil einer Ölamphore Dressel 20, eingetieft, mit feibrockerigem, verschmutztem, mit Brandbröcklein und Holzkohlestücken durchsetztem Lehm verfüllt; 708 Grube mit Unterteil einer Ölamphore Dressel 20, eingetieft, mit feibrockerigem, verschmutztem, mit Brandbröcklein und Holzkohlestücken durchsetztem Lehm verfüllt; 709 Splitterboden; 710 Abbruchhorizont: leicht grobkörniger Lehm, verschmutzt, mit Holzkohlestücklein, Mörtelresten, Ziegelstücklein, Steinen und Ziegelfragmenten durchsetzt; 711 Bodenunterlage: sandiger Kies, fein bis grob, im Norden mit grösseren Steinen; 712 Splitterboden: im Norden mit brandgeröteter Oberfläche, von Schmutzschicht bedeckt; 713 leicht lehmiger Sand, mit etwas Kies; 714 Splitterboden: Kalksteinsplitter mit lehmigem Sand, mit wenig Kies durchsetzt; 715 Splitterboden: Kalksteinsplitter mit sandigem Lehm; 716 Bodenunterlage: grober Kies mit sandigem Lehm, verschmutzt; 717 Splitterboden: Kalksteinsplitter mit sandigem Lehm; 718 Abbruchhorizont: sandiger Lehm, mit Holzkohlestücklein, Ziegelfragmenten, Keramik, Knochen und einzelnen Steinen durchsetzt, im oberen Teil kiesig; 719 Boden: sandiger Lehm, mit Ziegelresten durchsetzt, an der OK Mörtelschutt; 720 sandiger Lehm, teilweise verschmutzt; 721 Splitterboden: an der Oberfläche brandgerötet, dazwischen teilweise Schmutzbänder; 722 Brandschutt: Brandbrocken, mit Schutt durchsetzt; 723 Splitterboden; 724 Splitterboden: Kalksteinsplitter mit sandigem Lehm, im Osten an der Oberfläche verbrannt, im Westen von aschehaltiger Schmutzschicht bedeckt; 725 Brandschicht: Lehm, stark mit Asche durchsetzt, teilweise orange verbrannt; 726

Ende des Splitterbodens (724); 727 Brandschicht: Lehm, sehr stark mit Asche durchsetzt, mit wenig Keramik; evtl. verbrannter Boden; 728 Brandschutt: lehmige Erde, stark mit Brandbröcklein, Lehm-fachwerkbrocken, Holzkohlestücklein und einzelnen Kalksteinsplittern sowie Mörtelbrocken durchsetzt; 729 Brandschutt; 730 Brandschutt: Lehm-fachwerkbrocken; 731 Brandschutt: braunschwarz, dunkelbraun und orange verbrannter Lehm.

Steinbauperiode II.1 (SP II.1)

732 Splitterboden: Kalksteinsplitter mit lehmigem Sand; 733 Fundament der Südwand von Raum B: erdiger Lehm mit Steinen; 734 Bodenunterlage: Kiesel mit erdigem Lehm, verschmutzt, im Süden an der UK relativ feinkiesig, im Norden bedeckt von Resten eines Splitterbodens; 735 Splitterboden; 736 sandiger Lehm, homogen, dunkel verschmutzt; 737 Linse von hellem sandigem Lehm in Schicht (736), darunter mit Kies, Steinen, Holzkohlestücklein und Ziegelstücklein durchsetzt; 738 Südwand von Raum A: erdiger Lehm, mit Kiesel, Ziegelfragmenten, Kalkbruchsteinen und Kies durchsetzt; 739 sandiger Lehm, dunkel verschmutzt, mit dünnen Straten von Asche und Schutt; 740 sandiger Lehm, an der OK Mörtel; 741 Fundament der Nordwand von Raum A: grosse Kalksteinblöcke; 742 sandiger Lehm, mit Holzkohlestücklein durchsetzt; 743 Fundament der Nordwand von Raum A, längs zum Profil verlaufend: grosse Kalksteinblöcke und Kiesel in dunklem, sandigem Lehm; 744 Fundament der westlichen Aussenwand von Haus II: Kiesel, im unteren Teil Lagen von abwechselnd grossen Kiesel und kleineren Bruchsteinen; an der OK 2 Kalkbruchsteine, die evtl. zur ersten Lage des Aufgehenden gehören, was eine Mauerstärke von 52 cm ergäbe; 745 Fundament der Südwand von Raum G, längs zum Profil verlaufend: grosse Kiesel in dunklem, sandigem Lehm; 746 Hinterfüllung der Fundamente (743/745): dunkler, sandiger Lehm, teilweise mit Kies durchsetzt, mit Ziegelstücklein und viel Keramik; 747 Boden: erdig, locker; evtl. in Zusammenhang mit vermodertem Holz; 748 Boden: sandiger Lehm, sehr fein und weich, leicht schlammig; evtl. in Zusammenhang mit vermodertem Holz; mit Ziegelstücklein und feinen Holzkohlestücklein durchsetzt; 749 sandig-erdiger Lehm, mit wenig Kies, einzelnen Steinen durchsetzt, an der OK Reste von Brandschutt (von SP I.6): sandiger Lehm, verbrannt, brockig; 750 Splitterboden; 751 Fundament der Südwand von Raum E: Bruchsteine mit mit erdigem Lehm; 752 Splitterboden; 753 stark sandiger Lehm, stark verschmutzt; 754 Splitterboden: Kalksteinsplitter mit sandigem Lehm; 755 Fundament der westlichen Aussenwand von Haus II: grosse und kleinere Kiesel, einzelne Kalkbruchsteine, im unteren Teil in sandigem Lehm, im oberen Teil in lehmiger Erde; 756 Fundament der westlichen Aussenwand von Haus II: im unteren Teil Kiesel und einzelne Ziegelfragmente in sandig-lehmigem Kies, mit Holzkohlestücklein durchsetzt, sorgfältig gesetzt; im oberen Teil Kiesel und einzelne Kalkbruchsteine mit anhaftendem Mörtel, schräg gegen Norden geneigt, in lehmiger Erde, verschmutzt; 757 Fundament der östlichen Aussenwand von Haus II: lose Kiesel und Kalkbruchsteine in erdigem, sandigem Lehm; 758 Erde, geschichtet, teilweise lehmig, mit Kies durchsetzt; 759 Splitterboden: Kalksteinsplitter mit sandigem Lehm.

Steinbauperiode II.2 (SP II.2)

760 sandiger Lehm, verschmutzt, teilweise mit Kieshorizont durchsetzt; 761 Bodenunterlage: mittelgrober Kies, verschmutzt; 762 Splitterboden; 763 Boden: grober Kies, mit sandigem Lehm; 764 Pfostenloch(?): verschmutzt, locker; 765 leicht sandiger Lehm; 766 Splitterboden; 767 kiesige Erde; 768 Splitterboden; 769

sandig-lehmiger Kies, mit Brandbrocken durchsetzt; vielleicht in Zusammenhang mit einer Feuerstelle.

Steinbauperiode II.3 (SP II.3)

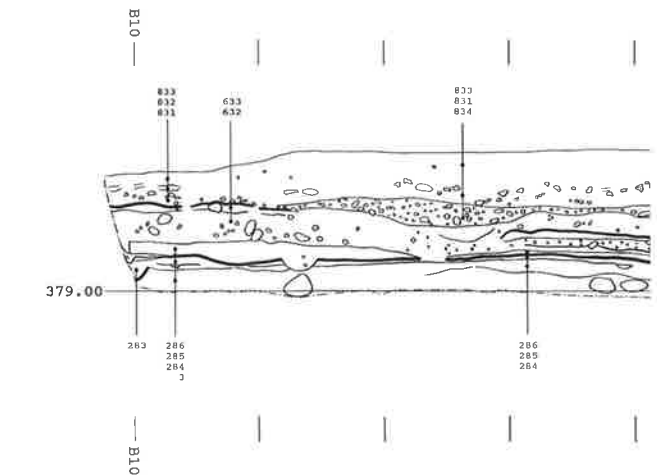
770 Brandschicht: leicht erdig, stark mit feinen und grösseren Holzkohlestücken und Asche durchsetzt, stark verschmutzt; 771 leicht sandiger Lehm; 772 Splitterboden, an der Oberfläche brandgerötet; 773 lehmige Erde, geschichtet, teilweise sandig, grau, teilweise mit einzelnen Kalksteinsplittern durchsetzt; 774 Splitterboden: Kalksteinsplitter mit sandigem Lehm, an der Oberfläche brandgerötet.

Steinbauperiode II.4 (SP II.4)

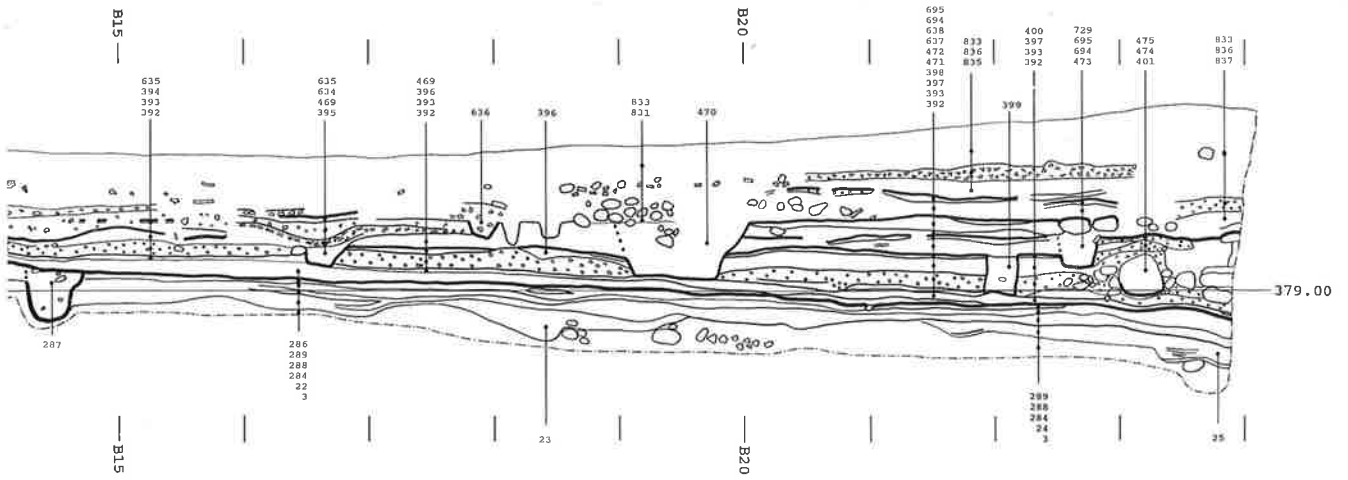
775 kiesige, leicht lehmige Erde, verschmutzt; 776 Splitterboden: Kalksteinsplitter mit sandigem Lehm; 777 sandiger Lehm, humös, fleckig, mit hellem Material durchsetzt; 778 Abbruchhorizont: Gemisch aus Brocken von unterschiedlichem Mörtel, Kalkbruchsteinen, Kieseln und Ziegelfragmenten; 779 Abbruchhorizont: Ansammlung von Ziegelfragmenten und Steinen in humösem, sandigem Lehm; 780 sandiger Lehm, mit verhärteten Tuffmehlbrocken und Kalksteinsplittern durchsetzt; 781 Abbruchhorizont: Kalkbruchsteine, Kiesel und Ziegelfragmente; 782 Abbruchhorizont: Ziegelfragmente und Steine.

nicht zuweisbare bzw. nachrömische Schichten

783 Fundament des rezenten Gartenhages; 784 humöser Lehm, stark mit Tuffmehl und -brocken durchsetzt; evtl. mit Schicht (780) zu korrelieren; 785 humöser Lehm, leicht steinig, mit Ziegelstücklein und Mörtelresten durchsetzt; 786 rezenter Humus; 787 humöser, sandiger Lehm, mit vielen Steinen sowie mit Ziegelfragmenten durchsetzt; 788 Nest von Kieseln, Kalkbruchsteinen und Ziegelfragmenten; 789 humöse Erde, leicht kiesig, mit Ziegelstücklein durchsetzt; 790 Steinbett des rezenten Sandplatzes (791); 791 rezenter Sandplatz; 792 lehmiger Sand, im unteren Teil dunkler; 793 lehmige Erde, verschmutzt, mit einem Ziegelfragment und grossen Kiesel; 794 Steinrest; 795 humöse Erde, leicht steinig; 796 Telefonleitung; 797 sandiger Lehm, verschmutzt, mit etwas Kies durchsetzt; 798 sandiger Lehm, mit Ziegelstücklein und Mörtelschutt durchsetzt; 799 sandig-lehmige Erde, steinig; 800 humöse Erde, mit Kies und grösseren Kalkbruchsteinen durchsetzt (Abbruchhorizont?); 801 sandig-lehmiger Humus; 802 Erde, mit einzelnen Kalkbruchsteinen, Ziegelfragmenten, Brandbröcklein und Kiesel durchsetzt (Abbruchhorizont?); 803 humöser, sandiger Lehm, leicht schutthaltig, an der UK mit vielen Kalkbruchsteinen und Kiesel durchsetzt (Abbruchhorizont?); 804 humös, leicht schutthaltig, mit einzelnen Ziegelfragmenten, Brandbröcklein und Mörtelresten durchsetzt; 805 Lehm, verschmutzt, teilweise mit Kiesel, Brandbröcklein und Holzkohlestücklein durchsetzt (Abbruchhorizont?);

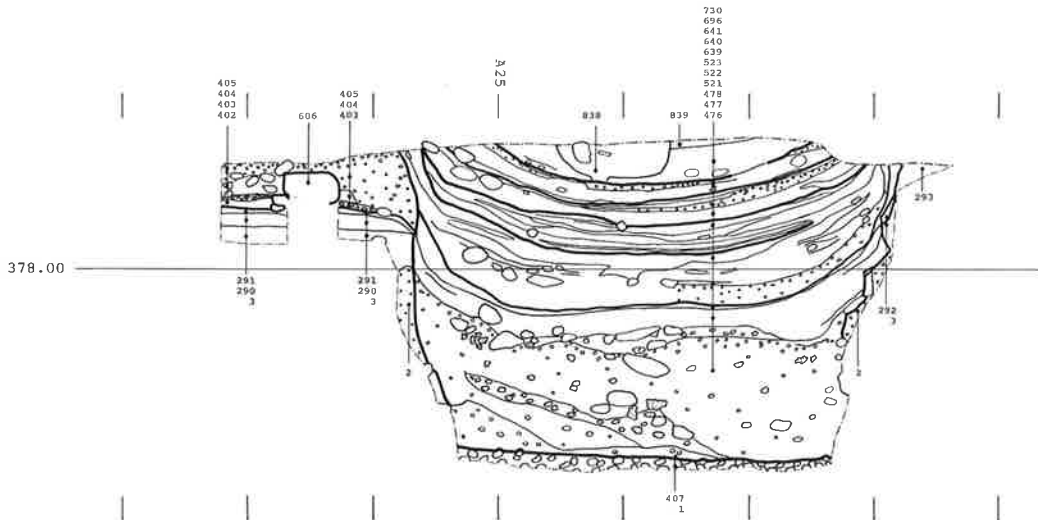


zont?); 806 lehmiger Kies, mit Brandbröcklein, wenigen Holzkohlestücklein und Ziegelstücklein durchsetzt; 807 humös, mit Kies, Kalkbruchsteinen, Kalksteinsplittern und Ziegelfragmenten durchsetzt; 808 rezenter Leitungsgraben; 809 lehmiger Kies; 810 Humus; 811 humöser Lehm; 812 humöser Lehm, mit Brandbrocken durchsetzt; 813 lehmig, teilweise mit Steinen durchsetzt; 814 Lehm mit Kalksteinsplittern (Boden?); 815 sandiger Lehm, dunkel; 816 humös, mit Steinen durchsetzt; 817 Humus; 818 kiesige, humöse Erde; 819 humöser Kies; 820 leicht kiesige Erde; 821 Lehm, bedeckt von hellen Lehmlinsen (Bodenresten); 822 sandig, mit wenig Holzkohlestücklein und Mörtelbröcklein durchsetzt, im Süden im unteren Teil etwas dunkler, mit Schichtresten von reinem Material; 823 sandiger Lehm, mit Kies durchsetzt; 824 sandig, im Norden mit humösem Material durchsetzt; 825 humöse Erde, UK teilweise mit Steinen (Abbruchhorizont?); 826 Kalksteinsplitter (Bodenrest?); 827 humös, mit Mörtelbröcklein durchsetzt; 828 Kalksteinsplitter (Bodenrest?); 829 humös, mit Brandbrocken durchsetzt; 830 humös, stark mit Holzkohlestücklein durchsetzt; 831 humös, mit kleinen Kiesel, Ziegelfragmenten und Mörtelbröcklein durchsetzt (Abbruchhorizont?); 832 Ziegelfragmente und Brandbrocken; 833 humöse Erde; 834 sandig-lehmiger Kies; 835 humös, mit sandigem Material durchsetzt; 836 Kalksteinsplitter (Boden?); 837 sandiger Lehm, mit Holzkohlestücklein durchsetzt, im Süden an der UK mit Kies; 838 sandiger Lehm, verschmutzt, mit Brandbrocken und Holzkohlestücklein durchsetzt; 839 sandiger Lehm, verschmutzt, mit Holzkohlestücklein durchsetzt.



vorher: 22–25 HP I: – HP II: 283–289 SP I.1: 392–401 SP I.4: 632–638 SP II: –
 SP I.2: 469–475 SP I.5: 694,695 SP I.6: 729

Beil. 9. Ostprofil A30. M 1:60.



vorher: – HP I: – HP II: 290–293 SP I.1: 402–407 SP I.4: 639–641 SP II: –
 SP I.2: 476–478 SP I.5: 696 SP I.3: 521–523 SP I.6: 730

Beil. 10. Nordprofil B20.50. M 1:60.

11.2. Vor der ersten römischen Überbauung (Beil. 11)

Zone A (A0–A10/B0–B11)

Strukturen: zwei vereinzelt Pfostenlöcher (A1.75/B8.45; A0.55/B10.15) im anstehenden Boden, dunkles Material, keine Funde.

Zone B (A0–A10/B13–B16.50)

Grenzen: Norden: nicht erfasst. – Süden: Graben (B16.50/A5.30–A9.60), 35–50 cm breit, 5–10 cm tief, Westprofil A0 (9), Beil. 1; Ostprofil A10 (15), Beil. 5. Einfüllung: im Westen dunkles Material, im Osten zusätzlich mit Steinen.

Boden: verschmutzter Lehmfleck (A4–A7/B13–B14) mit wenigen prähistorischen Scherbensplittern. – schwach verschmutzter Lehm mit römischen Funden, Westprofil A0 (10), Beil. 1; Ostprofil A10 (11), Beil. 5.

Strukturen: Reste eines Brandgrabes (A1.50/B13.70): Anhäufung von verbrannten menschlichen Knochen und einzelnen Scherben. – rechteckiges Grubenhaus (A2.50–A5/B14–B16), 3,30 m lang, 2 m breit, ca. 40 cm tief. An den Rändern noch fünf Pfostenlöcher erhalten (A4.80/B14.25; A2.60/B14.10; A1.70/B14.20; A1.60/B16; A2.60/B16.05). Die stark aschehaltige Einfüllung enthielt einzelne verbrannte menschliche Knochen und mehrere zerdrückte Gefässe (FK 483), die von weiteren Brandgräber stammen. Im weiteren kamen Schmiedeschlacken zum Vorschein. – acht kleine Pfostenlöcher östlich des Grubenhauses: A5.40/B13.30; A8.10/B14; A8.30/B14.25; A8/B15; A9.25/B14.60; A9.90/B13.40, Ostprofil A10 (12), Beil. 5; A9.90/B13.85, Ostprofil A10 (13), Beil. 5; A9.90/B14.90, Ostprofil A10 (14), Beil. 5. Sie lassen sich zu keinem überzeugenden Bild zusammenfügen.

Funde: prähistorische Fundschicht: FK 517.521. – römische Benützungsschicht: Nr. 1–5; Münze Nr. 15; FK 509.515. – Brandgrab: Nr. 6.7; FK 484. – Grubenhaus: Nr. 8–27; Taf. 6,1; FK 480.483. 486.492.505.516.

Zone C (A0–A10/B16.50–B23)

Grenzen: Norden: s. Graben im Süden der Zone B. – Süden: nicht erfasst.

Strukturen: 28 kleine Pfostenlöcher: A0.80/B19.50, Westprofil A0 (7), Beil. 1; A0.80/B21.20, Westprofil A0 (5), Beil. 1; A1.90/B18.20; A2.20/B18; A2.25/B19.25; A1.90/B19.40; A2.40/B20.05; A2/B21.90; A4.90/B18.50; A4.90/B19.50; A5.60/B18.40; A5.60/B19.25; A6.50/B18.70; A6.65/B19.65; A6.40/B20; A6.60/B20.10; A7.80/B18.30; A8.25/B18; A8.40/B18.25; A8.60/B17.80; A8.75/B17.90; A8.90/B17.90; A9.40/B18.30; A9.40/B18.60; A9.50/B18.80; A9.70/B17.70; A9.80/B19.25, Ostprofil A10 (17), Beil. 5; A9.80/B19.60, Ostprofil A10 (18), Beil. 5. Mit etwas Phantasie lassen sie sich in ein parallel zum Graben verlaufendes, rechtwinkliges Raster einpassen. Sie könnten von Keilhölzern einer hölzernen Bodenkonstruktion stammen. Allerdings zeigten sich keinerlei Spuren von quer oder längs verlegten Hölzern. – zwei kleine Gruben (A1.80/B18; A1.80/B18.70), 25 cm tief, leicht verschmutzter Lehm, keine Funde.

11.3. Holzbauperiode I

11.3.1. Phase 1 (HP I.1; Beil. 12)

Parzelle I (A0–A10)

Raum A (A0–A10/B0–B2.50)

Boden: Schmutzschicht (Nordprofil B0 (32), Beil. 2; Profil A6 (50), Beil. 3).

Wände: Nord-/Ost-/Westwand: nicht erfasst. – Südwand: s. nördliche Aussenwand von Haus I.

Funde: Unterlage/Boden/Benützungsschicht: Teil von FK 158. – Benützungsschicht: Nr. 60; Taf. 6,4; Teil von FK 160. – Balkengraben: Südwand: Nr. 68; FK 151.

Haus I (A0–A10/B2.50–B23)

Aussenwand Nord: westlicher Teil: Pfostenloch (A1.15/B2.90), 15 cm Durchmesser, 19 cm tief; Graben (B2.50/A4.80–A6.20), 30 cm breit, mit dunklem Material verfüllt. – östlicher Teil: Pfostenloch (A7.60/B4.20), 15 cm Durchmesser, 10 cm tief; Graben (B4/A8–A9.25), 25 cm breit, 10 cm tief; grosser Unterlagestein (34) im Ostprofil A10 (Beil. 5).

Aussenwand Ost: nördlicher Teil: Die Verbindung zwischen dem westlichen und dem östlichen Teil der Nordwand lag vermutlich auf der Flucht (A7.50) senkrecht zum Pfosten (A7.60/B4.20). – südlicher Teil: Im nicht untersuchten Streifen (B16.50/A9.60–A11.40) ist aufgrund der unterschiedlichen Niveaus der Böden eine Geländestufe von 30 cm zwischen Osten und Westen anzunehmen. In diesem Bereich stand wohl eine Trennwand, vielleicht auch zwei, die östliche Aussenwand von Haus I und die westliche Aussenwand von Haus II, analog den Aussenwänden der Häuser II und III der HP II bei B16.50/A18.70–A19.40).

Aussenwand Süd: nicht erfasst.

Aussenwand West: Reste eines verkohlten Balkens über einer mit dunklem Material verfüllten Vertiefung (58–61) im Südprofil B11 (Beil. 6), ebenso über einem Unterlagestein (73/74) im Südprofil B23 (Beil. 7); Steinreihe (A1/B13.50–20.50). Ein 15 cm tiefes Pfostenloch (31) im Westprofil A0 (Beil. 1) deutet darauf hin, dass die Wand wohl noch weiter nach Norden reichte.

Raum B (A0–A8/B2.50–B14)

Boden: Reste eines stark verschmutzten Lehm Bodens, Profil A6 (46/48), Beil. 3; Profil B5 (53/54), Beil. 4.

Wände: Nordwand: s. nördliche Aussenwand. – Ostwand: nördlicher Teil: s. östliche Aussenwand; mittlerer Teil: Unterlagestein (52) im Profil B5 (Beil. 4); südlicher Teil: Graben (A5.50/B8–B11; B13–B14), 30 cm breit, 20 cm tief, mit verschmutztem Material verfüllt. Am Ostrand zeigten sich im Graben fünf Pfostenlöcher (A5.50/B9; A5.50/B9.20; A5.65/B10.90; A5.95/B12.90; A5.95/B13.10) von bis zu 10 cm Durchmesser (Abb. 9). – Süd- wand: s. Nordwände der Räume D und E. – Westwand: s. westliche Aussenwand.

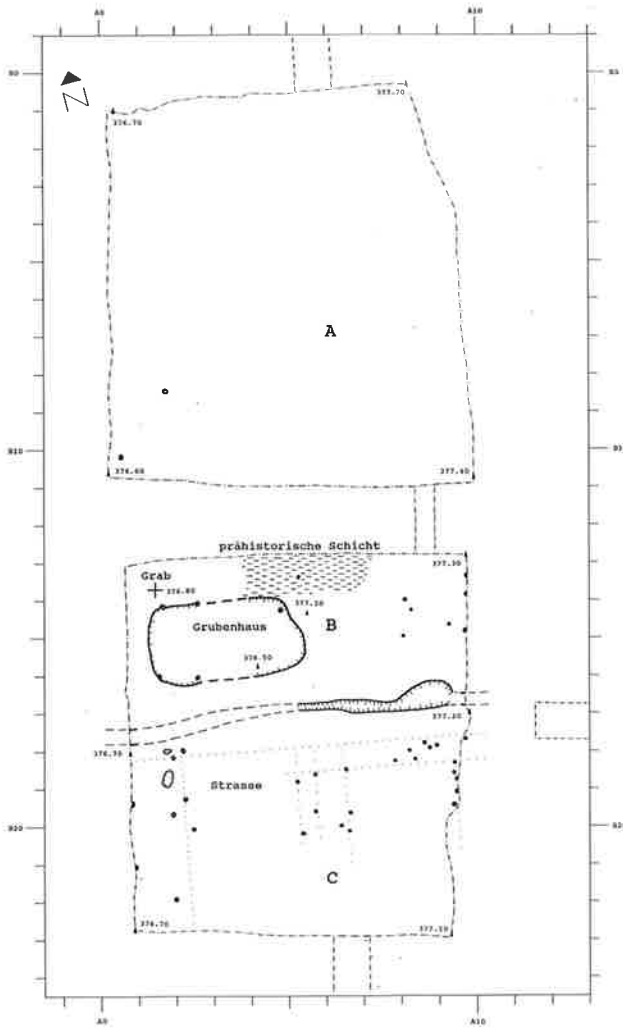
Strukturen: Zwei Pfostenlöcher (A4/B6.80; A1.40/B8.40).

Funde: Unterlage/Boden/Benützungsschicht: Nr. 35.42.44.47–49.51–53; Münzen Nr. 36.37; Teil von FK 158, FK 504. – Benützungsschicht: Nr. 60; Taf. 6,4; Teil von FK 160. – Balkengraben: Nordwand: Nr. 68; FK 151; Ostwand: Nr. 69; FK 520.

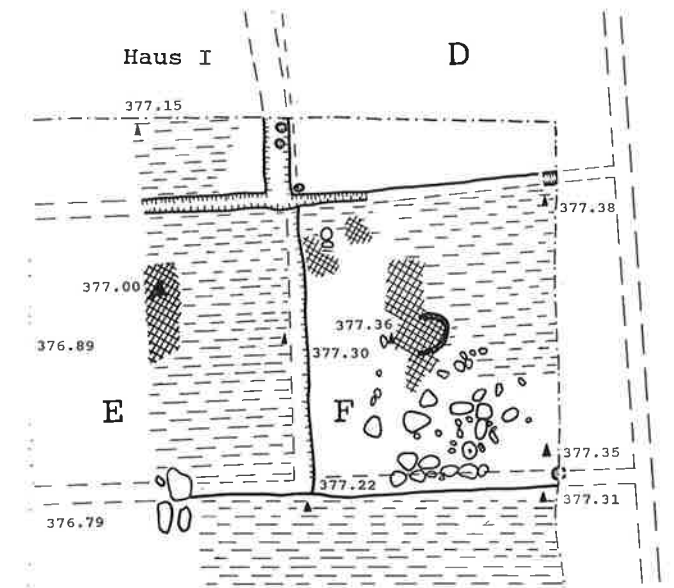
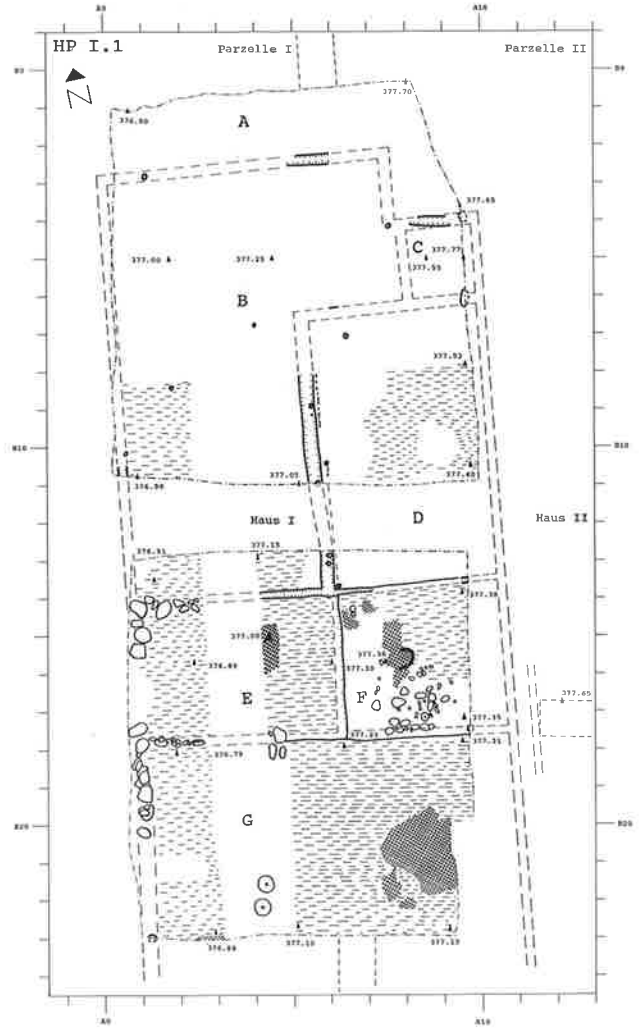
Raum C (A8–A10/B4–B6.20)

Boden: Schmutzschicht (51) im Profil B5 (Beil. 4).


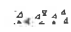






Wände: Nord-/Ostwand: s. nördliche bzw. östliche Aussenwand. – Süd- wand: s. Nordwand von Raum D. – Westwand: s. Ostwand (mittlerer Teil) von Raum B.



Beil. 11. Befunde vor der ersten Bebauung, in der Fläche der 1. und 2. Grabungsetappe. M 1:200.



Beil. 12. Holzbauperiode I.1 in der Fläche der 1. und 2. Grabungsetappe. M 1:200; Ausschnitt M 1:100.

-  Lehm
-  Kalksteinsplitter
-  Mörtel
-  verschmutzt
-  verbrannt
-  verkohltes Holz
-  kleines Pfostenloch
-  Vertiefung

Raum D (A5.70–A10/B6.40–B13.50)

Boden: Lehmboden, an der Oberfläche verschmutzt, Ostprofil A10 (36), Beil. 5; Südprofil B11 (66), Beil. 6.

Wände: Nordwand: Unterbruch (45) im Profil A6 (Beil. 3) und grosser Unterlagestein (35) im Ostprofil A10 (Beil. 5), die die nördlichen Schichten von den mächtigeren im Süden trennen, könnten auf eine Trennwand hinweisen. – Ostwand: s. östliche Aussenwand. – Südwand: Graben (B13.80/A6–A7), 15 cm breit, 10 cm tief; eine verschmutzte Stelle (37) im Ostprofil A10 (Beil. 5); das Ende des Lehmbodens (38) von Raum F auf dessen Flucht und deuten auf eine Trennwand hin. – Westwand: s. Ostwand (südlicher Teil) von Raum B.

Strukturen: rund 10 cm von der Westwand entfernt elf kleine Pfostenlöcher (A5.70/B8.10–B9.50), 2–5 cm Durchmesser, 2–12 cm tief; grösseres Pfostenloch (A5.80/B10.40), 10 cm Durchmesser, 13 cm tief; zwei kleine Pfostenlöcher (A5.90/B10.60–10.80), 8–26 cm tief; Pfostenloch (A6.20/B13.70) (Abb. 9). Sie könnten auf ein Rutengeflecht hindeuten. – Pfostenloch (A5.80/B6.70) an der Nordwand.

Funde: Unterlage/Boden/Benutzungsschicht: Nr. 35.42.44.47–49.51–53; Münzen Nr. 36.37; Teil von FK 504. – Benutzungsschicht: Nr. 58; Münze Nr. 24; FK 136b. – Balkengraben der Westwand: Nr. 69; FK 520.

Raum E (A1–A6/B14–B18)

Boden: Lehmboden über dem mit grossen Steinen aufverfüllten Grubenhaus (A3/B15) der Phase vor der ersten Überbauung, mit Schmutzschicht bedeckt.

Wände: Nordwand: Streifen (B14/A0.85–A2.60) mit Unterlagesteinen; Graben (B14/A4.25–A5.75) eines Schwellbalkens, 20 cm breit, mit dunklem Material verfüllt. – Ostwand: Absatz (A6.30/B14–B17.50) von rund 10 cm zwischen den Niveaus der Räumen E und F deutet auf eine Trennwand hin. – Südwand: Steinreihe (B17.70/A1.20–A2.80) mit Resten eines vermoderten Holzbalkens; Pfostenloch (A4.40/B17.80) mit Steinkranz; Ende der Bodenunterlage über dem älteren Grubenhaus auf einer Linie (B17.80/A4.80–A6.30). – Westwand: s. westliche Aussenwand.

Strukturen: Feuerstelle (A4.30/B5), annähernd viereckige Form, orange und braun bis schwarz verbrannter Lehm.

Funde: Unterlage/Boden/Benutzungsschicht: Nr. 34.36.41.50.54.56; FK 503. – Benutzungsschicht: Nr. 61.67; Taf. 6.2,3; FK 466.470.499.

Raum F (A6.30–A10/B13.80–B17.50)

Boden: Lehmboden, Ostprofil A10 (38/39), Beil. 5, mit Schmutzschicht bedeckt, stellenweise über einer Steinunterlage.

Wände: Nordwand: s. Südwand von Raum D. – Ostwand: s. östliche Aussenwand. – Südwand: Absatz (B17.80/A6.40–A9.80) von 5–10 cm; Unterlagestein (40) im Ostprofil A10, Beil. 5, in der Verlängerung der Trennwand zwischen den Räumen E und G. – Westwand: s. Ostwand von Raum E.

Strukturen: Reste einer hufeisenförmigen Feuerstelle (A8/B15.50), hart verbrannter Lehm, mit heller Asche.

Funde: Unterlage/Boden/Benutzungsschicht: Nr. 35.42.44.47–49.51–53; Münzen Nr. 36.37; Teil von FK 504.

Raum G (A1.30–A10/B17.70–B23)

Boden: Lehmboden, mit Schmutzschicht bedeckt, Südprofil B23 (70/71), Beil. 7.

Wände: Nordwand: s. Südwand der Räume E und F. – Ost-/Westwand: s. östliche bzw. westliche Aussenwand. – Südwand: nicht erfasst.

Strukturen: Rest einer Feuerstelle (72) im Südprofil B23, Beil. 7, rot verbrannter Lehm. – grosse Feuerstelle (A8.50/B21), rund 2.50 m Durchmesser, orange bis dunkelbraun verbrannter Lehm, stellenweise mit weisser und schwarzer Asche bedeckt. – Mühle (A4.20/B22.20): Bodenstein und im Norden zugehöriger Läufer, aus Muschelkalkstein (FK 498).

Funde: Boden: Nr. 28–33; FK 473.496. – Boden/Benutzungsschicht: Nr. 39.43.45.46.55.57; Münze Nr. 77; FK 487. – Benützungsschicht: Nr. 59.62–66; FK 460.467–469.495.

Parzelle II (A11–A20)

Haus II (B16.60/A11.40–A18)

Aussenwände Nord und Süd: nicht erfasst.

Aussenwand Ost: Östlich der markanten Stufe (A20) im anstehenden Boden zeigten sich unter dem Boden der HP II keine älteren Schichten. Die Ostwand von Haus II lag vermutlich im Bereich (A18.60–A20.20) der Parzellengrenze zwischen den Häusern II und III der HP II. Ein grosser Stein (69) im Nordprofil B16.50 (Beil. 6; Abb. 37) könnte als Unterlage eines Schwellbalkens gedient haben.

Aussenwand West: s. östliche Aussenwand von Haus I.

Boden: Reste einer Schmutzschicht (68) im Nordprofil B16.50 (Beil. 6).

11.3.2. Phase 2 (HP I.2; Beil. 13)

Parzelle I (A0–A10)

Raum A (A0–A10/B0–B6.50)

Boden: Schmutzschicht, Nordprofil B0 (76), Beil. 2; Profil B5 (80–83), Beil. 4; Ostprofil A10 (84), Beil. 5; Profil A6 (121/122), Beil. 3.

Wände: Nord-/Ost-/Westwand: nicht erfasst. – Südwand: s. nördliche Aussenwand von Haus I.

Strukturen: Grube (A4/B2), amorphe Form, Durchmesser ca. 3 m, 50–70 cm in den Boden eingetieft. – Brandgrube (A7/B1.50), amorphe Form, 10–50 cm in den nach Nordosten ansteigenden Boden eingetieft, im Südwesten Reste des verbrannten Lehmbodens, mit Brandschutt verfüllt, der von einer aufgehenden Konstruktion, einem Ofen stammen könnte. Der Brandschutt bestand wohl aus verbrannten Lehmfachwerkbrocken, denn das Material (verbrannter Lehm und Holzkohlestücklein) soll jenem der Brandschicht der Holzbauperiode II sehr ähnlich gewesen sein. Leider haben wir keine Proben aufbewahrt.

Funde: Schmutzschicht: Nr. 163; FK 163.172.

Haus I (A0–A10/B6.50–B23)

Aussenwand Nord: Da im Hinterhof A keine baulichen Strukturen zum Vorschein kamen, dürfte der nördliche Abschluss von Haus I auf der Flucht der Nordwand von Raum D der Phase 1 zu suchen sein, wo sich im Profil A6 (35) (Beil. 3) und im Ostprofil A10 (45) (Beil. 5) auch in dieser Phase ein Ende der Schichten zeigt.

Aussenwand Ost: Ein Niveauunterschied von 37 cm zwischen den Räumen G und K deutet wie in Phase 1 auf eine oder zwei Trennwände im Bereich (A10–A11.50) hin; s. östliche Aussenwand, südlicher Teil (Phase 1).

Aussenwand Süd: nicht erfasst.

Aussenwand West: s. westliche Aussenwand von Haus I (Phase 1).

Raum B (A0.25–A3/B7–B14)

Boden: Reste eines Lehmbodens, mit einer Schmutzschicht bedeckt, Südprofil B11 (97/98), Beil. 6.

Wände: Nordwand: s. nördliche Aussenwand. – Ostwand: Ein Niveauunterschied von über 30 cm zwischen den Räumen B und C deutet auf eine Trennwand hin, deren Spuren beim Bau der Steinbauperioden wohl zerstört wurden. – Südwand: s. Nordwand von Raum E (Phase 1). – Westwand: s. westliche Aussenwand.

Raum C (A3–A4.50/B7–B12)

Boden: Reste einer Schmutzschicht (99) im Südprofil B11, Beil. 6.

Wände: Nordwand: s. nördliche Aussenwand. – Ostwand: Eine Stufe (100) von über 25 cm im Südprofil B11, Beil. 6, zwischen den Räumen C und D deutet auf eine Trennwand hin. – Südwand: Raum C lag über 50 cm tiefer als der im Süden anschließende Raum F. In der nicht vollständig abgetragenen Profilbrücke (B11–B12.80) muss sich eine Trennwand befunden haben, vielleicht in der Flucht der Südwand von Raum D. – Westwand: s. Ostwand von Raum B.

Funde: Unterlage/Boden/Benutzungsschicht: Nr. 114–124; Teil von FK 223.

Raum D (A4.50–A10/B6.50–B11.70)

Boden: Lehmboden, stark mit brandigem Material verschmutzt, im Südosten (A5.80–A10/B7–B11.70) über einer Bodenunterlage mit Steinen und Lehm, 10–30 cm stark, Ostprofil A10 (89/90), Beil. 5; Südprofil B11 (101/102), Beil. 6.

Wände: Nord-/Ostwand: s. nördliche bzw. östliche Aussenwand. – Südwand: Eine mit sandigem Material verfüllte Vertiefung (91) im Ostprofil A9 (Beil. 5) trennt die Benutzungsschicht (90) vom Boden (93) von Raum G im Süden. Die Wand muss aber nach dem Erstellen der Bodenunterlage (89) errichtet worden sein. – Westwand: s. Ostwand von Raum C.

Strukturen: Grube (A9/B10), annähernd runde Form, Durchmesser 1.10 m, mindestens 50 cm tief (UK nicht eingemessen), abwechslungsweise mit verbranntem Lehm und Holzkohlestücklein verfüllt. – Pfostenloch (A9.90/B7.95), Durchmesser 5 cm, Ostprofil A10 (86), Beil. 5.

Funde: Bodenunterlage: Nr. 70.71; FK 137.231. – Unterlage/Boden: Nr. 114–124; Teil von FK 223. – Boden/Schmutzschicht/Grube: Nr. 125–134; FK 131. – Grube: Nr. 165–170; Münze Nr. 33; FK 116b.118.

Raum E (A1.50–A6/B14–B17.50)

Boden: Lehmboden, mit einer Schmutzschicht bedeckt.

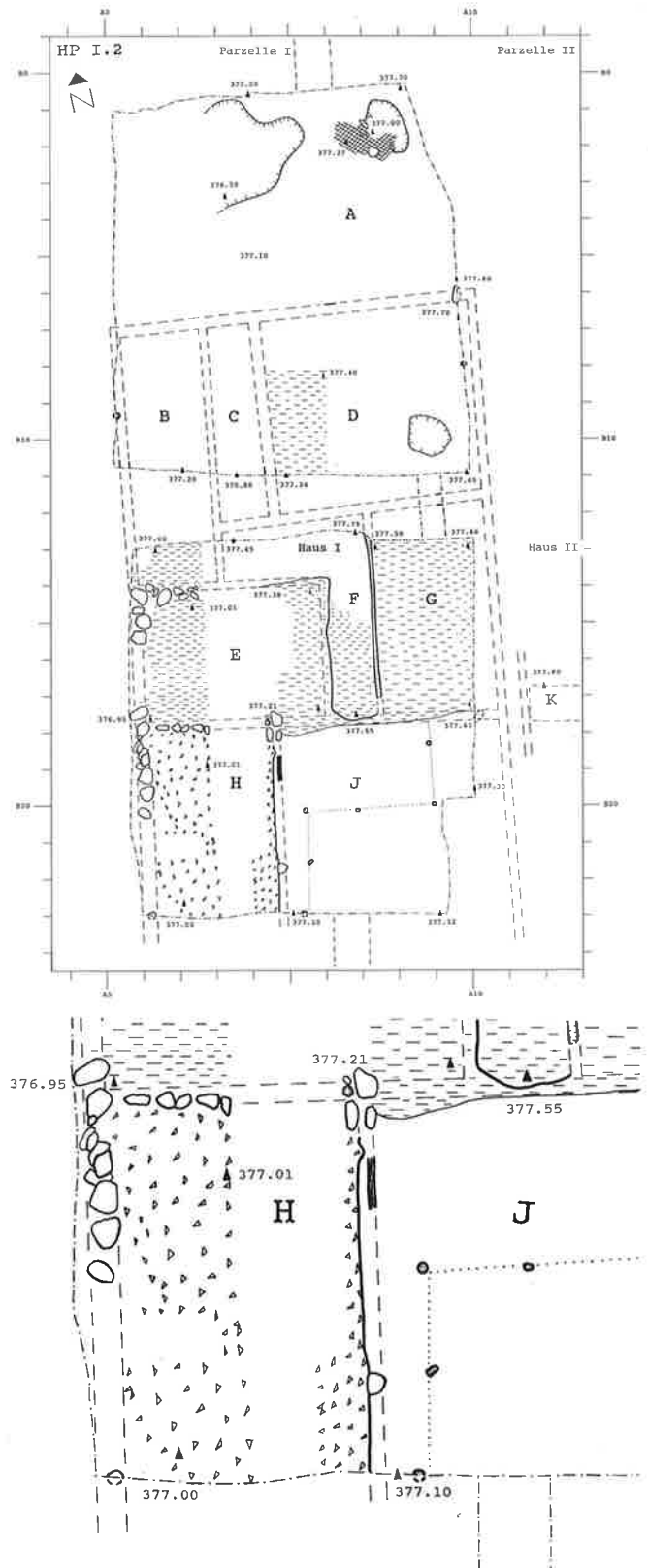
Wände: Nordwand: s. Nordwand von Raum E (Phase 1). Bei B13.90/A4.20–A6 endet der Lehmboden auf einer geraden Linie beim Absatz zum höher gelegenen Raum F. – Ostwand: Stufe (A6/B14–17.50) von über 20 cm zum höher gelegenen Raum F deutet auf eine Trennwand hin. – Südwand: s. Südwand von Raum E (Phase 1). Bei B18/A4.80–A6 endet der Lehmboden. – Westwand: s. westliche Aussenwand.

Funde: Boden: Nr. 135–140.142–147; Münzen Nr. 64.158; FK 471, Teil von FK 481.

Raum F (A3–A7.20/B12–B17.50)

Boden: Lehmboden über einer Steinpackung als Niveauerhöhung, bedeckt von einer Schmutzschicht.

Wände: Nordwand: s. Südwand der Räume C/D. – Ostwand: Balkengraben (A7.40/B12.80–B17.10) am Absatz zum tiefer gelegenen Raum G, 15 cm breit, 7–14 cm tief. – Südwand: östlicher Teil: Der Absatz (B17.70/A6–A7.40) von über 30 cm zum tiefer gelegenen Raum J deutet auf eine Trennwand hin; westlicher Teil: s. Nordwand von Raum E. Auf dieser Linie endete auch die



Beil. 13. Holzbauperiode I.2 in der Fläche der 1. und 2. Grabungsetappe. M 1:200, Ausschnitt M 1:100. Signaturen s. S. 249.

Steinpackung des Bodens. – Westwand: südlicher Teil: s. Ostwand von Raum E; nördlicher Teil: s. Ostwand von Raum B.

Funde: Unterlage/Boden: Nr. 106–113; FK 502. – Boden: Nr. 135. 136.141.143.145; Münze Nr. 158; Teil von FK 481, FK 502. – Benützungsschicht: FK 477.

Raum G (A7.50–A10/B12–B17.50)

Boden: Lehm Boden, mit Schmutzschicht bedeckt, Ostprofil A10 (93/94), Beil. 5, im Norden (A7.50–A10/B12–B13) mit der gleichen Steinpackung (89) wie in Raum D unterlegt.

Wände: Nordwand: s. Südwand von Raum D. – Ostwand: s. östliche Aussenwand. – Südwand: Der Absatz (B17.75/A7.50–A10) von fast 20 cm zum tiefer gelegenen Raum J auf der Flucht der Südwand der Räume E/F über der Südwand (40) von Raum F (Phase 1) weist auf eine Trennwand hin (s. Ostprofil A10, Beil. 5). – Westwand: s. Ostwand von Raum F.

Funde: Bodenunterlage: Nr. 72; FK 512. – Boden/Benützungsschicht: Nr. 148–161; Münze Nr. 42; FK 497. – Benützungsschicht: FK 511.

Raum H (A1.40–A4.60/B17.80–B23)

Boden: Splitterboden: Kalksteinsplitter und Lehm, bedeckt von einer Schmutzschicht, über einer Unterlage von flachen Steinen mit Lehm, Südprofil B23 (115/116/119), Beil. 7.

Wände: Nordwand: s. Südwand von Raum E. – Ostwand: Graben (A4.70/B17.90–B23) am Rand des Splitterbodens, 15–30 cm breit, mit Resten eines vermoderten Holzbalkens (B18.60–B19.30); zwei Unterlagesteine (112) im Südprofil B23, Beil. 7. – Südwand: nicht erfasst. – Westwand: s. westliche Aussenwand.

Funde: Bodenunterlage: FK 494. – Unterlage/Boden: Nr. 73–105; Münze Nr. 157; FK 464.

Raum J (A5–A10/B18–B23)

Boden: Lehm Boden, verschmutzt, Ostprofil A10 (95), Beil. 5; Südprofil B23 (108/109/111), Beil. 7.

Wände: Nordwand: s. Südwand der Räume E/F/G. – Ostwand: s. östliche Aussenwand. – Südwand: nicht erfasst. – Westwand: s. Ostwand von Raum H.

Strukturen: sechs Pfostenlöcher: A8.70/B18.40: 8×8 cm, 25 cm tief; A8.90/B19.90: Durchmesser 11 cm, 24 cm tief; A6.75/B20.15: Durchmesser 11 cm, 6 cm tief; A5.30/B20.15: 8×8 cm, 17 cm tief; A5.50/B21.50: 14×21 cm, 10 cm tief; A5.50/B22.90: Durchmesser 8 cm, 26 cm tief, Südprofil B23 (110), Beil. 7. Sie grenzen einen L-förmigen Bereich ab. Da sie nicht genau auf der Flucht, sondern leicht versetzt liegen, könnte man sich eine Bretterwand vorstellen, die auf beiden Seiten von Pfosten gehalten wurde. Der Abstand zwischen den Pfosten beträgt 1,25–2 m.

Funde: Benützungsschicht: Nr. 164; FK 475.

Parzelle II (A11–A20)

Haus II

Aussenwände Nord und Süd: nicht erfasst.

Aussenwand Ost: s. östliche Aussenwand von Haus II (Phase 1). Der Boden von Raum L reicht bis A18.60.

Aussenwand West: s. östliche Aussenwand von Haus I.

Raum K (B16.50/A11.40–14.80)

Boden: Lehm Boden mit Benützungsschicht, Nordprofil B16.50 (103/104), Beil. 6.

Wände: Nord-/Südwand: nicht erfasst. – Ostwand: Stufe (105) im Nordprofil B16.50, Beil. 6, zum höher gelegenen Raum L. – Westwand: s. westliche Aussenwand.

Raum L (B16.50/A14.80–A18.60)

Boden: Lehm Boden mit Benützungsschicht, Nordprofil B16.50 (106/107), Beil. 6.

Wände: Nord-/Südwand: nicht erfasst. – Ostwand: s. östliche Aussenwand. – Westwand: s. Ostwand von Raum K.

Funde: Benützungsschicht: Nr. 162; FK 557.

11.3.3. Phase 3 (HP I.3; Beil. 14)

Parzelle I (A0–A10)

Raum A (A0–A10/B0–B6.30)

Boden: Lehm Boden, verschmutzt, mit Spuren von vermodertem Holz, Nordprofil B0 (123/124), Beil. 2; Ostprofil A10 (124), Beil. 5; Profil A6 (133/135/137), Beil. 3; Profil B5 (138–141), Beil. 4.

Wände: Nord-/Ost-/Westwand: nicht erfasst. – Südwand: s. nördliche Aussenwand von Haus I.

Strukturen: Grube (A6/B3.50), ovale Form, 55×30 cm, 80 cm tief, mit Resten einer Auskleidung aus Lehm, Profil A6 (166), Beil. 3. – Feuerstelle (A7/B5), annähernd rechteckig, 36×46 cm, 10 cm stark, orange verbrannter Lehm mit brauner Oberfläche, Profil B5 (142), Beil. 4.

Funde: Bodenunterlage: Nr. 175.187.192; FK 130.149. – Unterlage/Boden/Benützungsschicht: Nr. 219.212.222.224.227–232.234–248.251–256.258–261.263.264.266.269.270.273.274.277.280–282.284.286–289; FK 213, Teil von FK 221. – Benützungsschicht: FK 171.

Haus I (A0–A10/B6.30–B23)

Aussenwand Nord: Steinreihe (B6.15/A8.25–9.75), Ostprofil A10 (144), Beil. 5; Unterlagestein (165) im Profil A6, Beil. 3.

Aussenwand Ost: Der Niveauunterschied von 35 cm zwischen den Räumen G sowie J und die unterschiedlichen Böden in den beiden Räumen, Südprofil B11 (159), Nordprofil B16.50 (160), Beil. 6, deuten auf eine Trennung im Bereich (A10–A11.50) hin; s. östliche Aussenwand (südlicher Teil) der Phase 1.

Aussenwand Süd: nicht erfasst.

Aussenwand West: s. westliche Aussenwand von Haus I (Phase 1).

Raum B (A0.50–A4.50/B6.50–B14)

Boden: Lehm Boden, stark verschmutzt, Südprofil B11 (151), Beil. 6.

Wände: Nordwand: s. nördliche Aussenwand. – Ostwand: nördlicher Teil: Der Absatz von 24 cm deutet auf eine Trennwand gegen Raum C hin, Südprofil B11 (100), Beil. 6; südlicher Teil: Auch zum 20 cm höher gelegenen Raum F, der über die Flucht des nördlichen Teils nach Westen reicht, muss eine Trennwand im Bereich der späteren Mauern der Steinbauperioden vorhanden gewesen sein. – Südwand: westlicher Teil: s. Nordwand von Raum E (Phase 1); östlicher Teil: Die Trennwand zum höher gelegenen Raum F muss sich im nicht ausgegrabenen Profilsteg (B11–B13) befunden haben. Vielleicht benutzte man die Südwand von Raum C (Phase 2) weiter. – Westwand: s. westliche Aussenwand.

Funde: Unterlage/Boden: Nr. 193–199; Teil von FK 220. – Unterlage/Boden/Benützungsschicht: Nr. 228.230.232.239.241.243.246.248.255.259.274.282.288; FK 221.

Raum C (A4.50–A9/B6.25–B11.80)

Boden: Lehmboden, mit Schmutzschicht bedeckt, Profil A6 (127/128), Beil. 3; Südprofil B11 (156/157), Beil. 6.

Wände: Nordwand: s. nördliche Aussenwand. – Ostwand: Steinreihe (A8.90/B7.85–9.80); Unterlagestein (158) im Südprofil B11 (Beil. 6). – Südwand: s. Südwand von Raum E (Phase 2). – Westwand: s. Ostwand von Raum B.

Strukturen: Vertiefung (A6/B10) (129) im Profil A6, Beil. 3, 30 cm breit, 35 cm tief, von der Schmutzschicht (128) bedeckt. In der Fläche war die Vertiefung nicht zu erkennen.

Funde: Bodenunterlage: Nr. 171–174.176–186.188–190; Münze Nr. 76; Teil von FK 99.110.170, FK 176.207. – Vertiefung (A6/B10): FK 175. – Boden: Nr. 201.203.204.209.210.214–216; Teil von FK 97. – Unterlage/Boden/Benutzungsschicht: Nr. 218.220.223.225.226.228.230.232.233.239.241.243.246.248–250.255.257.259.262.265.267.268.271.272.274.275.278.279.282.283.285.288; Teil von FK 95.220. – Benützungsschicht: Nr. 290–296; Teil von FK 92, FK 174, Teil von FK 206.

Raum D (A9–A10/B6.15–B11.75)

Boden: Lehmboden, an der Oberfläche verschmutzt, Ostprofil A10 (147), Beil. 5; Südprofil B11 (159), Beil. 6.

Wände: Nord-/Ostwand: s. nördliche bzw. östliche Aussenwand. – Südwand: s. Südwand von Raum D (Phase 2). – Westwand: s. Ostwand von Raum C.

Funde: Bodenunterlage: Nr. 172–174.176–186.188–191; Teil von FK 99.110.170. – Boden: Nr. 201.203.204.209.210.214–216; Teil von FK 97. – Unterlage/Boden/Benützungsschicht: Nr. 218.220.223.225.226.233.249.250.257.262.265.267.268.271.272.275.278.279.283.285; Teil von FK 95. – Benützungsschicht: Nr. 290–296; Teil von FK 92, FK 174, Teil von FK 206.

Raum E (A3.50–A6.50/B14–B18)

Boden: Reste eines Lehmbodens mit teilweise brandgeröteter Oberfläche im Osten, bedeckt von einer Schmutzschicht.

Wände: Nordwand: s. Nordwand von Raum E (Phase 1). Im Osten lag der Absatz von ca. 30 cm zum höher gelegenen Raum F. – Ostwand: Der Absatz (A6.50/B13.80–B17.80) von 35 cm zum höher gelegenen Raum F weist auf eine Trennwand hin. – Südwand: Der Lehmboden endete bei B18.20. Vermutlich benützte man die Südwand von Raum E (Phase 1) auch in Phase 3 weiter. – Westwand: s. westliche Aussenwand.

Raum F (A4.60–A7.50/B12–B17.60)

Boden: Lehmboden, bedeckt mit einer stark mit Holzkohlestücken durchsetzten Schmutzschicht.

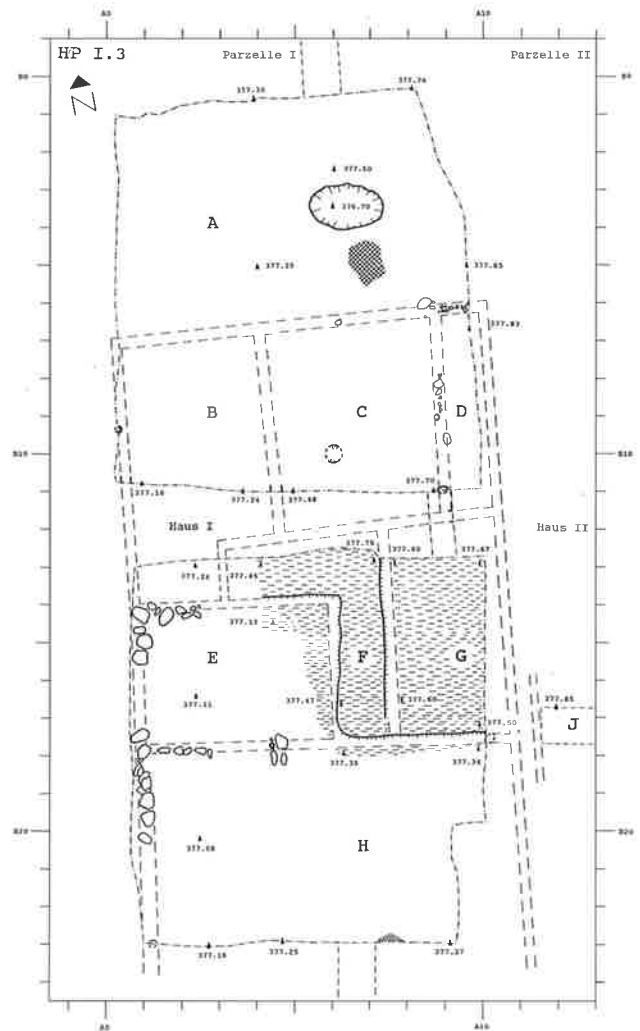
Wände: Nordwand: s. Südwand der Räume B/C. – Ostwand: Der Absatz (A7.50/B12.70–B17) von 13 cm zum tiefer gelegenen Raum G weist auf eine Trennwand hin. – Südwand: westlicher Teil: s. Nordwand von Raum E; östlicher Teil: Der Absatz (B17.60/A6.50–A7.50) von 20 cm weist auf eine Trennung zwischen den Räumen F und H hin. – Westwand: s. Ostwand der Räume B/E.

Funde: Boden: Nr. 200.202.205.208.211–213.217; FK 465, Teil von FK 476.

Raum G (A7.50–A10.50/B11.75/B17.60)

Boden: Lehmboden, bedeckt mit einer stark mit Holzkohlestücken durchsetzten Schmutzschicht, Ostprofil A10 (93/94), Beil. 5. Darüber fand sich teilweise eine dünne Abfallschicht.

Wände: Nordwand: s. Südwand von Raum D (Phase 2). – Ostwand: s. östliche Aussenwand. – Südwand: Der Absatz (B17.50/A7.70–A10) von 16 cm weist auf eine Trennung zwischen den Räumen G und H hin. – Westwand: s. Ostwand von Raum F.



Beil. 14. Holzbauperiode I.3 in der Fläche der 1. und 2. Grabungsetappe. M 1:200. Signaturen s. S. 249.

Funde: Boden: Nr. 200.202.205.208.211–213.217; FK 465, Teil von FK 476. – Abfallschicht: Nr. 297.298; Teil von FK 450.

Raum H (A1–A10.50/B18–B23)

Boden: Von einer Bodenkonstruktion zeigte sich keine Spur, sondern nur eine verschmutzte, schlammige Schicht mit Spuren von vermoderem Holz, die sich auch unter dem Boden von Raum E fand, also beim Bau schon eingebracht worden war. Darüber lag im Osten die gleiche Abfallschicht wie in Raum G.

Wände: Nordwand: s. Südwand der Räume E/F/G. – Ost-/Westwand: s. östliche bzw. westliche Aussenwand. – Südwand: nicht erfasst.

Strukturen: mögliche Feuerstelle (A8/B23), Südprofil (164) B23, Beil. 7, verbrannter Lehm über grossen Steinen.

Funde: Abfallschicht: Nr. 297.298; Teil von FK 450.

Parzelle II (A11–A20)

Haus II (A11.40–A18.70)

Aussenwände Nord und Süd: nicht erfasst.

Aussenwand Ost: s. östliche Aussenwand von Haus II (Phase 1). Der Boden von Raum K reichte bis A18.60.

Aussenwand West: s. östliche Aussenwand von Haus I.

Raum J (B17/A11–A14.80)

Boden: Splitterboden, an der Oberfläche teilweise verbrannt, von einer dünnen Schmutzschicht bedeckt, Nordprofil B16.50 (160), Beil. 6.

Wände: Nord-/Südwand: nicht erfasst. – Ostwand: Der Absatz (105) im Nordprofil B16.50 (Beil. 6) von 20 cm zum höher gelegenen Raum K deutet auf eine Trennwand hin. – Westwand: s. westliche Aussenwand.

Raum K (B17/A14.80–A18.60)

Boden: Splitterboden, teilweise von einer Schmutzschicht bedeckt, Nordprofil B16.50 (161), Beil. 6.

Wände: Nord-/Südwand: nicht erfasst. – Ostwand: s. östliche Aussenwand. – Westwand: s. Ostwand von Raum J.

11.4. Holzbauperiode II (Beil. 15)

Parzelle I (A0–A10)

Raum A (A0–A10/B0–B9)

Boden: Lehm Boden, lag teilweise über grossen Steinen, was eine unebene Fläche bewirkte (Abb. 5); an der Oberfläche teilweise verbrannt, von dünner Schmutzschicht bedeckt; darüber lag die dünne Brandschicht, Nordprofil B0 (194), Beil. 2; Profil A6 (197/200/202/204/205), Beil. 3; Profil B5 (210/213), Beil. 4; Ostprofil A10 (217/220), Beil. 5.

Wände: Nord-/Ost-/Westwand: nicht erfasst. – Südwand: s. nördliche Aussenwand von Haus I.

Strukturen: Feuerstelle (A5.60/B0.70), hufeisenförmig, mit Lehm Boden, mit Lehm ausgestrichenen Wänden aus Bruchsteinen und drei Lagen Ziegelfragmenten, Nordprofil B0 (195), Beil. 2; Abb. 11. – Grube (A6/B3.50), ovale Form, 2×1.20 m, ca. 70 cm in den Boden eingetieft, Profil A6 (206), Beil. 3.

Funde: Bauhorizont: Nr. 299–330; Taf. 5,1; FK 208.212. – Boden: Nr. 333.349–351.354–356.358.367.370.373.379.380.386.399.402–404; Münzen Nr. 40.73; FK 65.73, Teil von FK 93.197.210. – Benützungsschicht: Nr. 410–419; FK 210.224. – Brandschutt: Nr. 490.491.502.509.524.528.543.575.619.633; Taf. 1,3; Teil von FK 88, FK 181.

Haus I (A0–A10/B9.50–B25.50)

Aussenwand Nord: Vertiefung (184) im Westprofil A0 (Beil. 1); verkohltes Holz (A4/B9.50) über Unterlagesteinen; Pfostenstellung (199) im Profil A6 (Beil. 3); Pfostenloch (A7.60/B9.30) von Steinen umgeben. Das senkrecht zur Wand zum Vorschein gekommene verkohlte Holz (A4/B8.50) könnte Rest eines umgestürzten Ständers sein.

Aussenwand Ost: rot verbrannter Lehmstreifen (A9.50/B10–11); Absatz (248) im Südprofil B11 (Beil. 6); verkohlte Balkenreste (A10/B12.50/B20) entlang dem Rand der Splitterböden der Räume H/L.

Aussenwände Süd und West: nicht erfasst.

Raum B (A0–A0.50/B9.80–B13.20)

Boden: Lehm Boden mit Schmutzschicht, Westprofil A0 (180/181), Beil. 1; Südprofil B11 (236), Beil. 6.

Wände: Nordwand: s. nördliche Aussenwand. – Ostwand: Vertiefung (237) im Südprofil B11 (Beil. 6). – Südwand: s. Nordwand von Raum F. – Westwand: nicht erfasst.

Funde: Brandschutt: Teil von FK 236.

Raum C (A0.70–A4.60/B9.60–B13)

Boden: Splitterboden: Kalksteinsplitter mit sandigem Lehm, von einer dünnen Lehmschicht bedeckt, im Osten, bei der Feuerstelle, an der Oberfläche rot verbrannt, im Westen von einer dünnen Ascheschicht bedeckt, Südprofil B11 (239), Beil. 6.

Wände: Nordwand: s. nördliche Aussenwand. – Ostwand: verkohlter Schwellbalken (A6.40/B9.60–B13), 15 cm breit, 7 cm hoch, versenkt, Südprofil B11 (241), Beil. 6; Abb. 10. – Südwand: Reste eines verkohlten Balkens (B13/A1.50–A2.20) in der Vertiefung am Absatz zu dem Böden der Räume F/G. – Westwand: s. Ostwand von Raum B.

Strukturen: Feuerstelle (A4.20/B11.50), hufeisenförmig, Lehm (Abb. 10). – Pfosten (A1.70/B10.80) (238) im Südprofil B11, Beil. 6.

Funde: Boden: Nr. 379; FK 225, Teil von FK 197. – Benützungsschicht: Nr. 410.412–419; Teil von FK 210. – Brandschutt: Nr. 506–508.581.583.593.623.624.635; Teil von FK 236, FK 411.412, Teil von FK 434.

Raum D (A4.70–A6.40/B9.50–B12)

Boden: Lehm Boden, von Brandschicht bedeckt, Südprofil B11 (242), Beil. 6.

Wände: Nordwand: s. nördliche Aussenwand. – Ostwand: Absatz (294) im Südprofil B11 (Beil. 6) zum Raum E, dessen Niveau in einer zweiten Phase zusätzlich erhöht wurde; viereckiges Pfostenloch (A6.50/B12). – Südwand: verkohlte Birkenbretter (B12/A5.20–A6.40. Bestimmung der Holzprobe B77/436.1: Stefanie Jacomet, Basel), die von einer am Pfosten der Ostwand angeschlagenen Tür stammen könnten (Abb. 10). – Westwand: s. Ostwand von Raum C.

Funde: Boden: Nr. 346.379; Teil von FK 197, FK 232. – Benützungsschicht: Nr. 410.412–419; Teil von FK 210. – Brandschutt: Nr. 506–508.581.583.593.623.624; Teil von FK 434.

Raum E (A6.50–A9.50/B9–B12.70)

Boden: 1. Phase: Lehm Boden, Höhe 377.80, Südprofil B11 (244), Beil. 6. – 2. Phase: Niveauerhöhung mit Kies und Sand, von Brandschicht bedeckt, Südprofil B11 (245/246/247), Beil. 6.

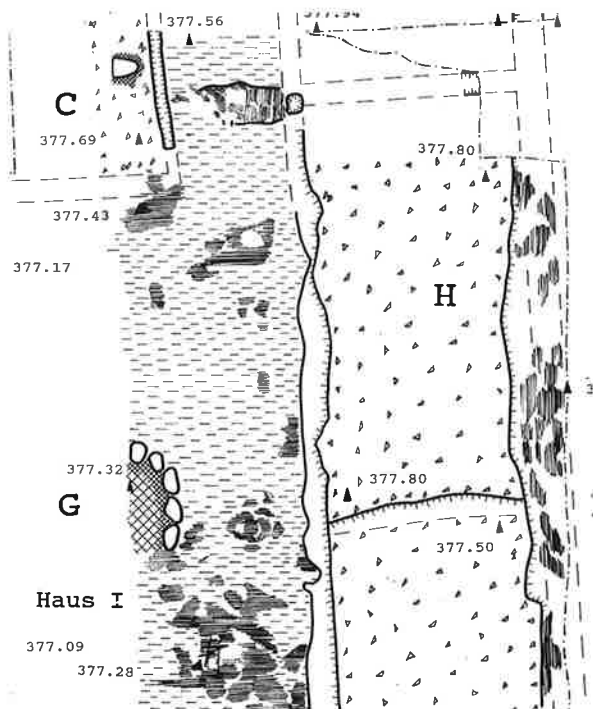
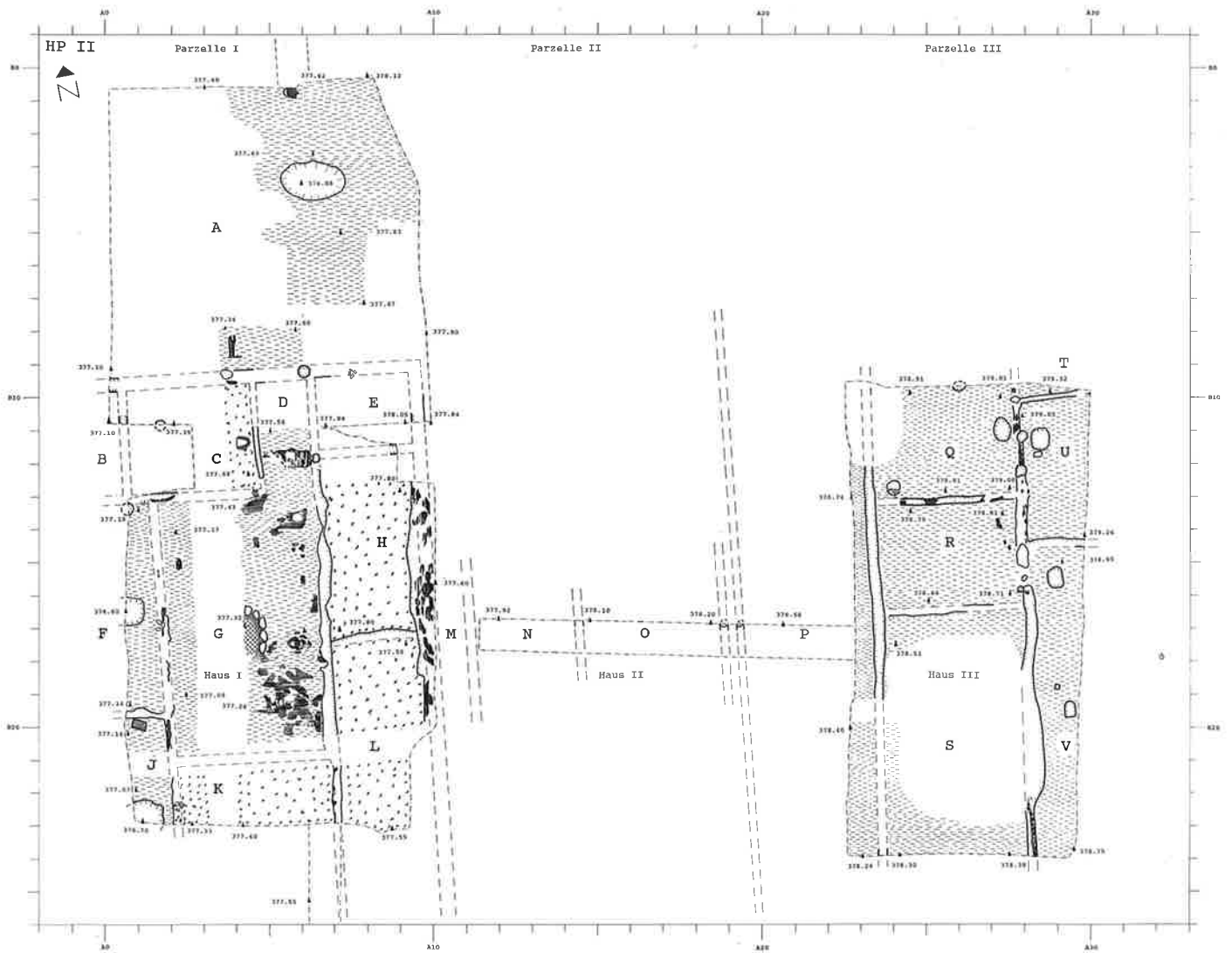
Wände: Nord-/Ostwand: s. nördliche bzw. östliche Aussenwand. – Südwand: Vertiefung mit Resten einer verputzten Lehmwand (223/224) im Ostprofil A9, Beil. 5. – Westwand: s. Ostwand von Raum D.

Funde: Boden: Nr. 33.349.350.354–356.358.367.373.380.386.402–404; Münzen Nr. 40.73; Teil von FK 93. – Brandschutt: Nr. 506–508.524.581.583.593.623.624; Teil von FK 88.434.

Raum F (A0–A1.80/B13.30–B19.60)

Boden: Lehm Boden, Oberfläche, teilweise von Brandschicht bedeckt, Westprofil A0 (173/176), Beil. 1.

Wände: Nordwand: s. Südwand von Raum C; in der Verlängerung, aber leicht versetzt, Steine (179) im Westprofil A0, Beil. 1, die als Unterlage eines die Wand haltenden Ständers gedient haben könnten. – Ostwand: Reste eines verkohlten Balkens (A1.80/B15N17.50); Pfosten (A1.50/B17) mit Steinkranz; Streifen (A1.90/B17.50–B19.50) von unverbranntem Lehm ohne Brandschicht. In der Brandschicht über dem Boden kamen verkohlte Ruten zum Vorschein, die von der Wandkonstruktion stammen könnten. – Südwand: Streifen (B19.70/A0.50–A1.80) von unverbranntem Lehm ohne Brandschicht über Steinen, Westprofil A0 (172), Beil. 1. – Westwand: nicht erfasst.



Beil.15. Holzbauperiode II in der Fläche der 1.-3. Grabungsetappe. M1:200, Ausschnitt M1:100. Signaturen s. S. 249.

Strukturen: Grube (A0.60/B16.50), ovale Form, 1.10 m lang, ca. 40 cm in den Boden eingetieft, 20 cm über dem Niveau noch erhalten. Fundamentkranz aus grossen Kieselsteinen mit schlammigem Lehm, darüber vielleicht einst eine mindestens 2.80 m hohe Wandkonstruktion aus Lehm, Westprofil A0 (174/177), Beil. 1, verfüllt mit Brandschutt; evtl. Ofen.

Funde: Brandschutt: Nr. 493.500.501.505.510.513.521.530.532.533.538.544.545.556 – 558.562 – 564.568 – 572.576.577.579.580.582.584.586.598.604 – 608.610.616 – 618.620.626.628.629.631.636 – 638; Münze Nr. 53; Taf. 1,4; Taf. 3,6; Teil von FK 402.408 (OK/UK des Brandschuttes).

Raum G (A1.80–A6.80/B13–B21)

Boden: verkohlte Bretter über Lehmboden.

Wände: Nordwand: s. Südwand der Räume C/D. – Ostwand: Streifen (A6.70/B13–B20.40) entlang der Kante der Splitterböden der Räume H/L, der von der Brandschicht nicht überdeckt war. – Südwand: Da die Räume G und K unterschiedliche Böden aufwiesen, muss sich im Bereich (B21/A3.50–A8.50) der Mauer der SP I eine Trennwand befunden haben. – Westwand: s. Ostwand von Raum F.

Strukturen: Feuerstelle (A4/B17), hart gebrannter Lehm, im Norden und Osten mit Steinen umstellt.

Funde: Boden: Nr. 334.348.352.369.383.387.389.396.400; Münze Nr. 149; FK 447. – Feuerstelle: Beim Putzen kamen viele Nägel zum Vorschein. Inv.-Nr. B77/376.177.: 8 ausserordentlich gut erhaltene Eisennägel, teilweise verbrannt, 5–6 cm lang. – Brandschutt: Nr. 486–488.492–494.496.498.500.501.505.510.515.517.518 – 522.526.530 – 534.536.538.539.542.544.545.547.548.550.552–565.568–572.576.577.579.580.582.585–587.589–591.594.595.598.604 – 608.610.614 – 618.620 – 622.625 – 629.631.636–638; Münzen Nr. 10.11.31.51.53.54.62.63.150; Taf. 1,1,4; Taf. 3,5,6; Teil von FK 368.376.402.408 (OK/UK des Brandschuttes).

Raum H (A6.80–A9.70/B12.80–B17.50)

Boden: Splitterboden: Kalksteinsplitter mit Lehm, bedeckt von dünner Lehmschicht, an der Oberfläche teilweise brandgerötet, teilweise von dünner Brandschicht bedeckt.

Wände: Nordwand: s. Südwand von Raum E. – Ostwand: s. östliche Aussenwand. – Südwand: Der Absatz (B17.50/A6.80–A9.80) zu Raum L deutet auf eine Trennwand hin. – Westwand: s. Ostwand von Raum G.

Funde: Brandschutt: Nr. 486–488.492.494.496.498.506–508.511.512.514.515.517 – 520.522.526.531.534.536.539.542.547.548.550.552 – 555.559 – 561.565.581.583.585.587.589 – 591.593 – 595.614.615.621–625.627; Münzen Nr. 10.11.31.51.54.62.63.150; Taf. 1,1; 3,5; Teil von FK 368.376.434.

Raum J (A0.50–A2/B19.90–B23)

Boden: Lehmboden, Westprofil A0 (168), Beil. 1.

Wände: Nordwand: s. Südwand von Raum F. – Ostwand: Reste von verkohltem Balken (A2/B19.50–B20.80); Pfostenstellung (A2/B23) mit Steinkranz; Ende (295) des Splitterbodens von Raum K im Südprofil B23, Beil. 7. – Süd-/Westwand: nicht erfasst.

Strukturen: Grube (A1/B23), ca. 50 cm in den Boden eingetieft, noch 40 cm über das Niveau hinaus erhalten, Fundamentkranz aus grossen Kieselsteinen mit lehmigem Sand, mit Brandschutt verfüllt, von verschieden farbig gebrannten, harten Lehmschichten bedeckt. Dem Südprofil B23, Beil. 7, nach muss sie (279) vor oder bei der Erstellung des Splitterbodens (277) von Raum K und der Ostwand (295) angelegt worden sein. – Pfosten (A1/B20), Nadelholz, verkohlt (die 35 erhaltenen Jahrringe konnten leider bis April 1996 nicht in eine Kurve eingehängt werden (freundliche Mitteilung A. Orce, Moudon).

Funde: Boden: Nr. 331.332.335–345.347.353.357.359–366.368.371.372.374 – 378.381.382.384.385.388.390 – 395.397.398.401.405–409; Teil von FK 441. – Brandschutt: 493.497.500.501.505.510.513.521.525.529.530.532.533.538.544.545.556 – 558.562 – 564.568 – 672.576.577.579.580.582.584.586.598.601.604 – 608.610.616–618.620.626.628.629.631.636–638; Münze Nr. 53; Taf. 1,4; Taf. 3,6; Teil von FK 402.408.417 (z.T. OK/UK des Brandschuttes).

Raum K (A2–A7/B21–B25.60)

Boden: Splitterboden: Kalksteinsplitter mit sandigem Lehm, an der Oberfläche teilweise brandgerötet, teilweise von einer Brandschicht bedeckt, Südprofil B23 (272/273/277), Beil. 7.

Wände: Nordwand: s. Südwand von Raum G. – Ostwand: verkohlter Balken (A7/B21.20–B23.20), 16 cm breit, 10 cm hoch, Südprofil B23 (271), Beil. 7. – Südwand: nicht erfasst. – Westwand: s. Ostwand von Raum J.

Funde: Bodenunterlage: FK 508. – Boden: Nr. 331.332.335–345.347.353.357.359 – 366.368.371.372.374 – 378.381.382.384.385.388.390–395.397.398.401.405–409; Teil von FK 441. – Brandschutt: Nr. 497.516.525.527.529.541.588.601; Taf. 4,1; Teil von FK 417.425.428 (z.T. OK/UK des Brandschuttes).

Raum L (A7–A10/17.50–B23)

Boden: Splitterboden: Kalksteinsplitter mit sandigem Lehm, teilweise auf Unterlage aus grobem Kies, an der Oberfläche teilweise brandgerötet, teilweise von der Brandschicht bedeckt, Ostprofil A10 (232), Beil. 5; Südprofil B23 (269/270), Beil. 7.

Wände: Nordwand: s. Südwand von Raum H. – Ostwand: s. östliche Aussenwand. – Südwand: nicht erfasst. – Westwand: s. Ostwand der Räume G/K.

Funde: Brandschutt: Nr. 486–488.492.494.496.498.511.512.514–520.522.526.527.531.534.536.539.541.542.547.548.550.552 – 555.559 – 561.565.585.587 – 591.594.595.614.615.621.622.625.627; Münzen Nr. 10.11.31.51.54.62.63.150; Taf. 1,1; 3,5; 4,1; Teil von FK 368.376.425.428 (OK/UK des Brandschuttes).

Raum M (A10–A11/B9–B20)

Boden: Lehmboden, von Brandschicht bedeckt, Ostprofil A10 (227), Beil. 5.

Wände: Norden: im Ostprofil A10, Beil. 5, fehlt jeder Hinweis auf eine Trennwand, so dass der Raum gegen den Hinterhof A offen war; evtl. Weg. – Ostwand: s. westliche Aussenwand von Haus II. – Südwand: nicht erfasst. – Westwand: s. östlich Aussenwand von Haus I.

Parzelle II (A11–A19)

Haus II (B17/A11–A19)

Aussenwände Nord und Süd: nicht erfasst.

Aussenwand Ost: Der Unterlagestein im Nordprofil B16.50 (Beil. 6; Abb. 37) der HP I (69) muss für die HP II (253) noch benützt worden sein, da die Brandschicht direkt darüber lag; Ende des Bodens (252) von Raum O.

Aussenwand West: Zwischen den Räume M und N betrug der Niveauunterschied über 30 cm, was auf eine Trennwand hindeutet.

Raum N (B17/A11.60–A14.50)

Boden: Lehmboden, teilweise von dünner Brandschicht bedeckt, Nordprofil B16.50 (249), Beil. 6.

Wände: Nord-/Südwand: nicht erfasst. – Ostwand: Der Absatz (251) im Nordprofil B16.50, Beil. 6, zwischen den Räumen N und O weist auf eine Trennwand hin. Im Osten anschliessend

lag über der Brandschicht ein dünner, 1.10 m langer Streifen von feinem Mörtel, wohl Verputzreste der umgekippten Lehmwand. – Westwand: s. westliche Aussenwand.

Raum O (B17/A14.60–B19)

Boden: Lehm Boden, teilweise brandgerötet, teilweise von dünner Brandschicht bedeckt, Nordprofil B16.50 (252), Beil. 6.

Wände: Nord-/Süd wand: nicht erfasst. – Ost wand: s. östlich Aussen wand. – West wand: s. Ost wand von Raum N.

Parzelle III (A19.50–A30)

Haus III (A19.50–A30/B9.70–B24)

Aussenwände Nord, Ost und Süd: nicht erfasst.

Aussenwand West: Der grosse Stein in der Vertiefung (254) im Nordprofil B16.50 (Beil. 6; Abb. 37) bei der markanten Geländestufe könnte als Unterlage des Schwellbalkens gedient haben.

Raum P (A19.50–A23.70/B12–B24)

Boden: Lehm Boden, stark verschmutzt, an der Oberfläche teilweise brandgerötet, von Brandschicht bedeckt, Nordprofil B16.50 (255), Beil. 6; Südprofil B24 (268), Beil. 7; Westprofil A23 (281), Beil. 8.

Wände: Nord-/Süd wand: nicht erfasst. – Ost wand: Balkengraben (A23.70/B12–B19.30) mit rundem Pfostenloch (A23.70/B15.60; UK 378.03); Lücke (267) im Südprofil B24 (Beil. 7) in der Verlängerung. – West wand: s. westliche Aussen wand.

Funde: Boden: Nr. 420–441; Münze Nr. 4; Teil von FK 310. – Brandschutt: Nr. 504.537.592; Teil von FK 309.

Raum Q (A23.60–A28/B9.70–B13)

Boden: Lehm Boden mit teils geröteter, teils geschwärzter Oberfläche, teilweise von Brandschicht bedeckt, Nordprofil B10 (258/259), Beil. 6.

Wände: Nord wand: nicht erfasst. – Ost wand: Reste verkohlter Balken, 15 cm breit, zwischen einem viereckigen Pfostenloch (A28/B9.80) von 25 cm Tiefe und zwei Pfostengruben (A28/B11.30) (A28.10/B12.30). – Süd wand: Reste eines verkohlten Balkens (B13.40/A24.20–A28), 15 cm breit. – West wand: s. Ost wand von Raum P.

Strukturen: Pfostengrube (260) im Nordprofil B10 (Beil. 6) mit grossem Stein, vielleicht als Unterlage für einen Ständer. – Grube (27.50/B11), ovale Form, verfüllt mit grösseren Steinen. Mühlstein (A24/B13), Bodenstück. Aus dem darüber gelegenen Brandschutt stammen Fragmente eines Läufers, die dazu gehören können (FK 255, s. unten).

Funde: Boden: Nr. 420–441; Münze Nr. 4; Teil von FK 310. – Brandschicht: Nr. 443; FK 277.438. – Brandschutt: Nr. 495.504.523.537.566.592.613.632; Taf. 1,5; FK 257.271, Teil von FK 255 (s. Kap. 3.1.2.) und FK 309.

Raum R (A23.80–A28.30/B13.30–B16.60)

Boden: Lehm Boden, an der Oberfläche teils grau, teils orange verfärbt, teilweise von Brandschicht bedeckt.

Wände: Nord wand: s. Süd wand von Raum Q. – Ost wand: Reste eines verkohlten Balkens (A28.40/B13–B16.50). Am Pfosten im Pfostenloch (A28.20/B16) an der Westseite war vielleicht eine Türe angeschlagen, denn der Schwellbalken fehlte auf einer Länge von 1.20 m gegen Norden, und die Oberfläche des Lehm Bodens war teilweise rot verfärbt. – Süd wand: Der Absatz (B16.60/A23.70–A26.30) zu Raum S deutet auf eine Trennwand hin. – West wand: s. Ost wand von Raum P.

Strukturen: verkohlte Hölzer (A27/B14) in der Nordostecke mit vielen Funden, die teilweise unter den Hölzern lagen, deuten auf ein verbranntes Möbel, wohl ein Gestell hin.

Funde: Boden: Nr. 420–441; Münze Nr. 4; Teil von FK 310. – Gestell: Nr. 448–457; FK 272–276.283–285. – Brandschicht: Nr. 444.446.447; Münze Nr. 22; FK 286–288.292. – Brandschutt über dem Gestell: Nr. 458–484; FK 256. – Brandschutt: Nr. 495.504.537.592.566; Taf. 1,5; Teil von FK 255 (s. Kap. 3.1.2.) und FK 309.

Raum S (A24–A28.50/B16.60–B24)

Boden: Lehm Boden, an der Oberfläche teilweise braun bis orange, zum Teil hart verbrannt, teilweise von Benützungsschicht bzw. Brandschicht bedeckt, Südprofil B24 (265/266), Beil. 7.

Wände: Nord wand: s. Süd wand von Raum R. – Ost wand: Reste eines verkohlten Balkens in einem Balkengraben (A28.50/B16.50–B24), 15 cm breit, Südprofil B24 (264), Beil. 7; Nordprofil B20.50 (292), Beil. 10. – Süd wand: nicht erfasst. – West wand: s. Ost wand von Raum P.

Funde: Boden: Nr. 420–441; Münze Nr. 4; Teil von FK 310. – Brandschutt: Nr. 485.489.495.504.535.537.574.592.599.600.603.632; Taf. 1,5; Teil von FK 255 (s. Kap. 3.1.2.) und FK 303.309; FK 431.

Raum T (B10/A28–A30)

Boden: Lehm Boden, teilweise brandgerötet.

Wände: Nord-/Ost wand: nicht erfasst. – Süd wand: Reste eines verkohlten Balkens in einem Balkengraben, A10/B28–B30.20, Ostprofil A30 (283), Beil. 9. – West wand: s. Ost wand von Raum Q.

Funde: Boden: Nr. 420–441; Teil von FK 310. – Brandschutt: Nr. 495.632; Taf. 1,5; Teil von FK 255 (s. Kap. 3.1.2.) und FK 303.

Raum U (A28.20–A30/B10–B14.50)

Boden: Lehm Boden, teilweise rot verbrannt, teilweise von Brandschicht bedeckt, Ostprofil A30 (285), Beil. 9.

Wände: Nord wand: s. Süd wand von Raum T. – Ost wand: nicht erfasst. – Süd wand: Balkengraben (B14.40/A28.30–A30), Ostprofil A30 (287), Beil. 9. – West wand: s. Ost wand der Räume Q/R.

Strukturen: Grube (A28.70/B12.70; UK 378.91), mit Brandschutt verfüllt.

Funde: Boden: Nr. 420–441; Münze Nr. 4; Teil von FK 310. – Brandschutt: Nr. 495.612.634; Taf. 1,5; Teil von FK 255 (s. Kap. 3.1.2.) und FK 453.522.

Raum V (A28.60–A30/B14.50–B24)

Boden: Lehm Boden, an der Oberfläche teilweise rot verbrannt, teilweise von Brandschicht bedeckt, Südprofil B24 (261/262), Beil. 7; Ostprofil A30 (288/289), Beil. 9.

Wände: Nord wand: s. Süd wand von Raum U. – Ost-/Süd wand: nicht erfasst. – West wand: s. Ost wand der Räume R/S.

Strukturen: Grube (A29.20/B15.50), 20 cm tief, mit einzelnen Steinen am Rand. – Grube (A29.70/B19.70; UK 378.45). – Pfosten (A29.50/B18.80), rechteckige, mit lockerem Material verfüllte Vertiefung in einer runden Pfostengrube.

Funde: Boden: Nr. 420–441; Münze Nr. 4; Teil von FK 310. – Brandschicht: Nr. 422.445; FK 279.280. – Brandschutt: Nr. 495.503.540.546.549.551.567.573.578.596.597.602.609.611.612.630.634; Taf. 1,5; Teil von FK 255 (s. Kap. 3.1.2.); FK 281.298.422; Teil von FK 453.522.

11.5. Steinbauperiode I (Beil. 1–10)

11.5.1. Phase 1 (SP I.1; Beil. 16)

Parzelle I (A0–A3)

Raum A (A0–A3/B0–B8)

Boden: schlammiger Lehm mit vermoderten Holzresten, Westprofil A0 (305), Beil. 1; Profil B5 (322), Beil. 4.

Wände: Nordwand: nicht erfasst. – Ostwand: Da der Boden nicht über A3 hinausreichte muss an der Stelle der westlichen Aussenwand von Haus II der SP II eine Trennwand gestanden haben. – Südwand: Graben (B8/A0–A2.20), 80 cm breit, 60 cm tief, mit Pfostenloch, Westprofil A0 (199/200), Beil. 1. – Westwand: Graben (A0.30/B0–B8) mit vier Hohlräumen von Pfosten (A0.30/B6.90/UK 376.10; Westprofil A0 (B302/307/311), Beil. 1). Die Pfosten waren vierkantig, 18 cm stark, mit Steinen verkeilt und 50 cm in den anstehenden Boden eingetieft, so dass sie ca. 1 m unter das damalige Niveau reichten. In der Nordwestecke kamen im Abstand von 10–70 cm inkohlte Ruten zum Vorschein, die parallel zur Wand verliefen, Nordprofil B0 (312), Beil. 2; Abb. 16 und östlich des Pfostens (307) inkohlte Holzreste (B4.20/A0.50–A0.80), die senkrecht zu Wand und Ruten lagen und wohl vom umgekippten Pfosten stammen.

Funde: Graben der Westwand: FK 152.157. – Unterlage/Boden: Nr. 639–675; Münze Nr. 48; FK 122. – Benutzungsschicht (Schlamm): Nr. 676–685; FK 105. – Boden/Unterlage der SP I.2: Nr. 686–698; Münzen Nr. 47.65; Teil von FK 211.

Raum B (A0.50–A2.50/B8–22)

Boden: Lehmboden, bedeckt von Benutzungsschicht, Südprofil B11 (349/350), Beil. 6.

Wände: Nordwand: s. Südwand von Raum A. – Ostwand: s. westliche Aussenwand von Haus II. – Südwand: Da die Räume B und C unterschiedliche Böden aufwiesen und die Westwand im Süden nicht zu finden war, muss im nicht ausgegrabenen Steg (B11–B13) eine Trennwand gewesen sein. – Westwand: Graben (A0.50/B9.60–B10.80), 16 cm breit, 20 cm tief, Südprofil B11 (348), Beil. 6.

Funde: Benutzungsschicht: FK 226. – Boden/Unterlage der SP I.2: Nr. 686–698; Münzen Nr. 47.65; Teil von FK 211.

Raum C (A0–A3/B13–B23)

Boden: verschlammter Lehmboden, Westprofil A0 (296/297), Beil. 1; Südprofil B23 (380), Beil. 7.

Wände: Nordwand: s. Südwand von Raum B. – Ostwand: s. westliche Aussenwand von Haus II. – Süd-/Westwand: nicht erfasst.

Parzelle II (A3–A20)

Raum D (A3–A10/B0–B7.50)

Boden: Lehmboden, Profil A6 (317/318), Beil. 3; Profil B5 (320), Beil. 4.

Wände: Nordwand: nicht erfasst. – Ostwand: nicht erfasst, vielleicht östliche Aussenwand von Haus II/westliche Aussenwand von Haus III. – Südwand: s. nördliche Aussenwand von Haus II. – Westwand: s. Ostwand von Raum A.

Strukturen: Grube (A9/B5), vermutlich rechteckig, ca. 50 cm in den bestehenden Boden eingetieft, mit Schmutzschicht auf der Sohle, Profil B5 (319), Beil. 4; Ostprofil A10 (324), Beil. 5.

Haus II (A3–A20/B7.50–B24)

Aussenwand Nord: Mauer (B7.50/A2.50–A10) mit Eingang auf 378.65, mindestens im Fundament mit westlicher Aussenwand (nördlicher Teil) im Verband, Profil A6 (316), Beil. 3; Ostprofil A10 (325), Beil. 5; Abb. 17: Kieselfundament, 70–80 cm stark, gegen die Erde gebaut, im oberen Teil gemauert; aufgehendes Mauerwerk, 50 cm stark, zwei Schalen von ca. 10 cm hohen, versetzten Lagen Kalksteinquadern.

Aussenwand Ost: Mauer (A20/B16–B21), Nordprofil B16.50 (361), Beil. 6; Abb. 14.19.20.37: Kieselfundament, 70–90 cm stark, gegen die Erde gebaut, im oberen Teil gemauert; aufgehendes Mauerwerk, 50 cm stark, zwei Schalen von ca. 10 cm hohen Lagen Kalksteinquadern, Ostseite in *pietra rasa*-Technik verputzt.

Aussenwand Süd: nicht erfasst.

Aussenwand West: nördlicher Teil: Mauer (A3/B7.50–B21.30) mit Eingang (B14) mit glatt verstrichenem Mörtel auf 378.45, im Fundament mit der nördlichen Aussenwand wie auch mit der Südwand von Raum J im Verband, Südprofil B11 (351), Beil. 6; Abb. 32: Kieselfundament, 80 cm stark, gegen die Erde gebaut, im oberen Teil gemauert; aufgehendes Mauerwerk, 55 cm stark, zwei Schalen von ca. 10 cm hohen, regelmässigen, versetzten Lagen von Kalksteinquadern und einzelnen Tuffsteinquadern, im Süden mit Haupt aus Tuffsteinquadern, Westseite in *pietra rasa*-Technik verputzt, mit Fugenstrich (Abb. 18). – südlicher Teil: Mauer (A3.50/B21–B25), an Haupt des nördlichen Teils zwar anstossend (s. Abb. 21), aber es muss sich um eine Arbeitsfuge handeln, da die abgebrochene Mauer (379) vom Boden (464) der SP I.2 überdeckt war (Südprofil B23, Beil. 7): Kieselfundament, gegen die Erde gebaut, 95 cm stark, im oberen Teil 75 cm stark, gemauert; aufgehendes Mauerwerk, 60 cm stark, zwei Schalen von unregelmässigen Lagen Kalkbruchsteinen, wohl ursprünglich verputzt, da sich in der Abbruchschicht (463) viele Reste von Wandverputz fanden.

Raum E (A3–A8/B8–B12)

Boden: Mörtelboden mit Steinunterlage, Oberfläche teilweise erhalten, Profil A6 (315), Beil. 3; Südprofil B11 (355), Beil. 6; Abb. 25.

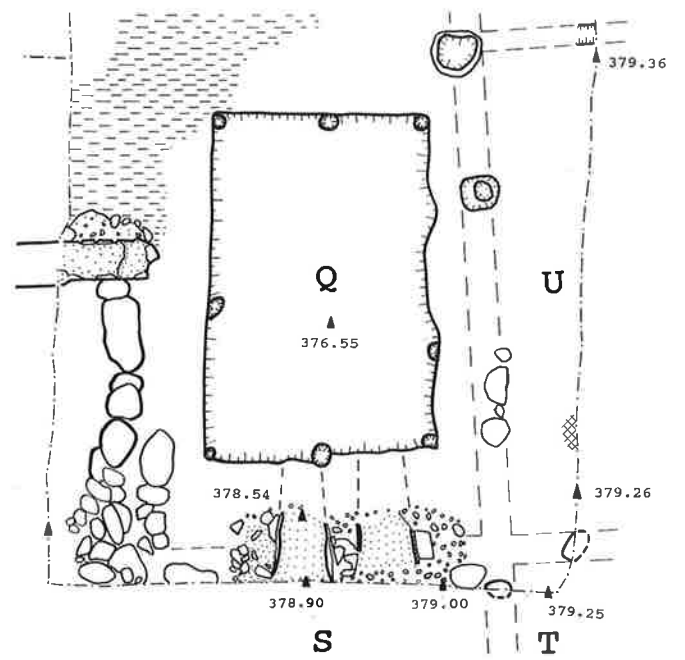
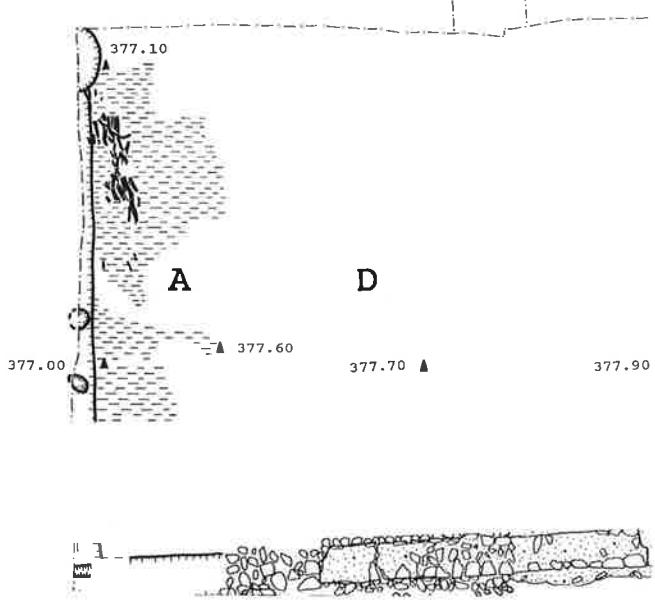
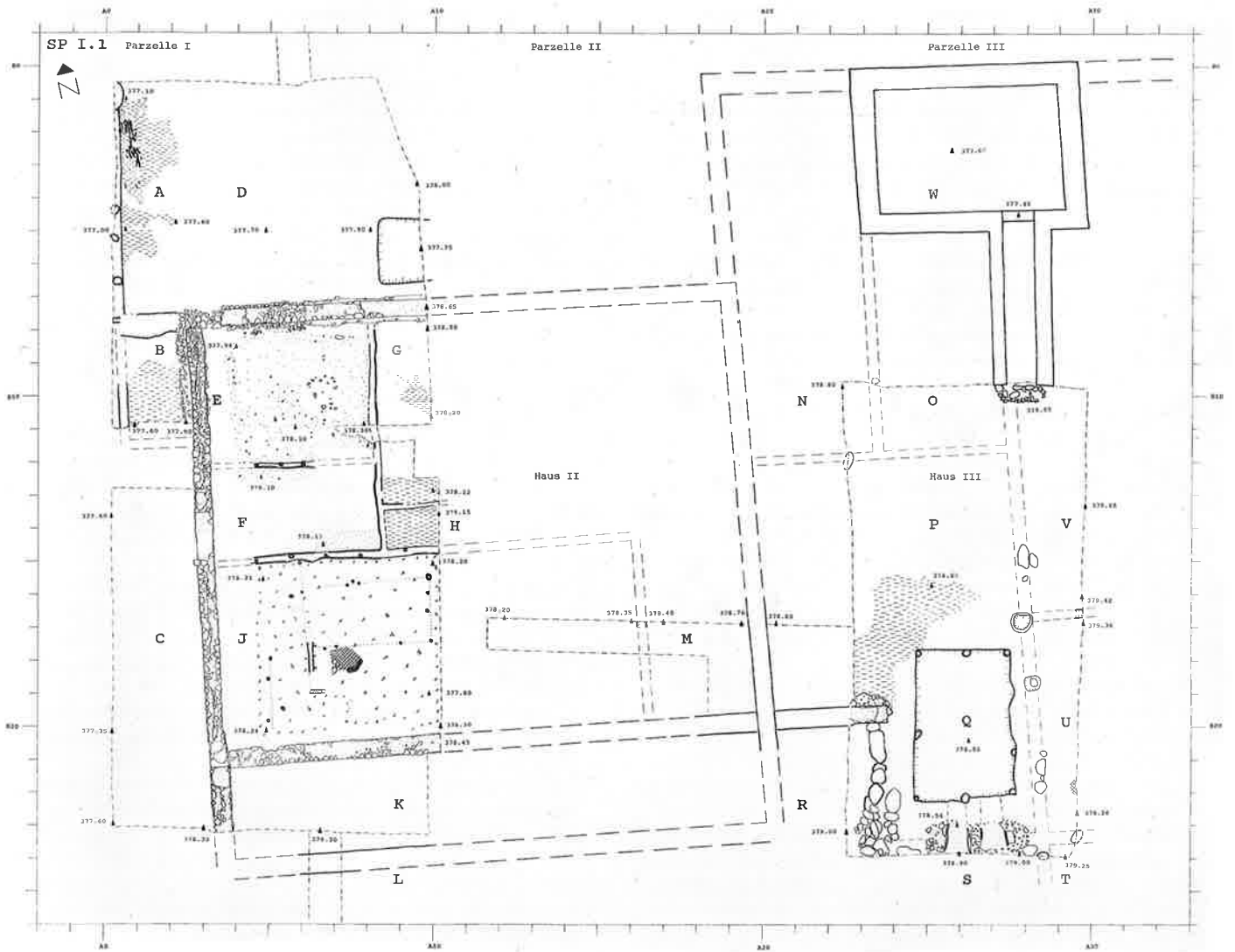
Wände: Nordwand: s. nördliche Aussenwand. – Ostwand: Lehm-fachwerkwand (A8.20/B7.80–B12), Südprofil B11 (356), Beil. 6. Der Schwellbalken an einzelnen Stellen mit Steinen unterlegt, und da dessen Hohlraum teilweise mit Kalkschlamm der neuzeitlichen Kalkgrube (A7/B13; s. Kap. 3.1.3.) aufverfüllt war, blieben die Masse von 18×18 cm erhalten. Die Wand trug beidseitig einen Verputz, der vor dem Erstellen des Mörtelbodens angebracht worden war. – Südwand: Lehm-fachwerkwand (B12.20/A4.80–A8.20), 16 cm stark, mit Ständern (A4.60; A5.35; A6), beidseitig verputzt. Die Wand endete im Westen beim Ständer (A4.60), vielleicht vor einem Eingang in Raum F.

Funde: Bodenunterlage: Nr. 699–702.704.705.707–710.712–715.717–723; Münze Nr. 14; FK 80, Teil von FK 81.189. – Nordwand: Nr. 706.711.716; FK 133. – Ostwand: FK 75. – Mörtelboden: FK 187. – Boden/Bauhorizont zur SP I.2: Nr. 745.746; Taf. 5,4; FK 433.

Raum F (A3.30–A8.30/B12.30–B15)

Boden: Reste eines Mörtelbodens.

Wände: Nordwand: s. Südwand von Raum E, diesseitig mit Farbspritzern verziert (Taf. 4,2). – Ostwand (A8.30/B12–B15): Fortsetzung der Ostwand von Raum E, diesseitig mit Farbspritzern verziert (Abb. 22). – Südwand: Lehm-fachwerkwand (B15/



Beil. 16. Steinbauperiode I.1 in der Fläche der I.-3. Grabungsetappe. M 1:200, Ausschnitte M 1:100. Signaturen s. S. 249.

A3.40–A8.50), 18 cm stark, beidseitig verputzt, diesseitig mit Farbspritzern verziert. Wegen des Brandes in der SP I.4 zeigten sich in fünf Hohlräumen (A4.60; A5.70; A6.80; A7.90; A9.10) verkohlte Reste der 9 cm starken, vierkantigen Ständer und auf einer geschlängelten Linie 14 verbrannte Ruten, 15–20 mm dick (A7.10–A7.70). – Westwand: s. westliche Aussenwand (nördlicher Teil), im Süden mit 1.40 m breitem Eingang auf 378.45 mit glatt abgestrichener Mörteloberfläche.

Funde: Südwand: FK 398.400.

Raum G (A8.30–10/B7.70–B13.30)

Boden: Lehmboden, an der Oberfläche verschmutzt, Ostprofil A10 (329/332), Beil. 5.

Wände: Nordwand: s. nördliche Aussenwand, im Westen mindestens 1.60 m breiter Eingang auf 378.65 mit glatt abgestrichener Mörteloberfläche. – Ostwand: nicht erfasst. – Südwand: Lehm-fachwerkwand (B13.50/A8.50–A10), ca. 15 cm stark, mit Verputzresten diesseitig, Ostprofil A10 (333), Beil. 5. – Westwand: s. Ostwand von Raum E.

Funde: Unterlage: Nr. 699.704.705.707.708.710.717.718.720.722.723; Teil von FK 81. – Benützungsschicht: Nr. 744; Münze Nr. 45; FK 379. – Boden/Bauhorizont zur SP I.2: Nr. 745.746; Taf. 5.4; Teil von FK 433.

Raum H (A8.70–A10/B13.60–B14.70)

Boden: Lehmboden mit Benützungsschicht, Ostprofil A10 (335/336), Beil. 5.

Wände: Nordwand: s. Südwand von Raum G. – Ostwand: nicht erfasst. – Südwand (B14.90/A8.40–A10): Fortsetzung der Süd-wand von Raum F, Ostprofil A10 (337), Beil. 5, diesseitig nicht verputzt. Falls die Wand tatsächlich beim Brand der SP I.4 umstürzte und in situ liegenblieb, liesse sich eine Raumhöhe von mindestens 2.60 m nachweisen, s. Ostprofil A6/A10 (575), Beil. 5. – Westwand: s. Ostwand von Raum E, diesseitig nicht verputzt.

Raum J (A3.15–A13.50/B15–B20.30)

Boden: Splitterboden: Kalksteinsplitter mit Lehm; Unterlage: Kalkbruchsteine, Kiesel und Lehm, Ostprofil A10 (340/341), Beil. 5; Nordprofil B16.50 (358), Beil. 6.

Wände: Nordwand: s. Südwand von Raum F. – Ostwand: lehmige Stelle (408) im Nordprofil B16.50, Beil. 6, zwischen dem Split-terboden (358) und dem Kiesboden (409) von Raum M. – Süd-wand: Mauer (B21/A3.20–A10), im Westen in der Fundament-zeone mit der westlichen Aussenwand im Verband (Abb. 21). Im Osten stiess sie im Aufgehenden an die östliche Aussenwand (Abb. 19.20). Da wir den Anschluss im Fundamentbereich nicht untersuchten, ist nicht auszuschliessen, dass die Mauern auch dort im Verband waren, Ostprofil A10 (343), Beil. 5: Kieselfun-dament mit Lehm, im obersten Teil mit Mörtel, im unteren Teil 100 cm stark, im oberen Teil 70 cm stark, gegen den lockeren Brandschutt der HP II gebaut; aufgehendes Mauerwerk, 55 cm stark, zwei Schalen von zwei Lagen relativ unregelmässiger Kalkbruchsteine. Die Mauerkrone war oben auf der ganzen er-grabenen Länge mit Mörtel abgestrichen und auch die Fortset-zung (Süd-wand von Raum M) wies beim Anschluss an die östliche Aussenwand im Gegensatz zu der von Osten anstossenden Mauer von Haus III nur wenig Aufgehendes auf, so dass anzu-nehmen ist, dass die glattgestrichene Mauerkrone sich bis zur östlichen Aussenwand erstreckte und als Unterlage für eine leicht Wandkonstruktion (Lehm-fachwerk-wand/Holz-wand) diente. – Westwand: s. westliche Aussenwand.

Strukturen: Feuerstelle (A7.50/B18), hufeisenförmig(?), rot ver-brannter Lehm, am Rand dunkelbraun verbrannter Lehm (Wand?). – 19 kleine Pfostenlöcher (A5/B18.10; A5/B18.70;

A5.40/B19.50; A4.90/B19.90; A5.90/B15.20; A6/B16.20; A5.70/B16.20; A7.40/B15.90; A7.60/B15.80; A7.70/B15.90; 10/B15.70; A9.90/B16.10; A9.90/B16.60; A9.90/B17.50; A9/B17.60; A7/B17.70; A6.70/B17.70; A5/B20; 6.50/B18.70), von geringer Tiefe, und zwei Gräbchen (A6.20/B17.40–B18.50; B19/A6.20–A6.70) lassen sich zu Linien verbinden, die etwa parallel zu den Wänden verlaufen.

Funde: Unterlage/Splitterboden: Nr. 724–732; Münzen Nr. 7.34.56.151; FK 357. – Süd-wand: Nr. 703; Teil von FK 414.

Raum K (A4–A9/B21–B24)

Boden: kiesiger Lehmboden, Südprofil B23 (378), Beil. 7.

Wände: Nordwand: s. Süd-wand von Raum J. – Ost-wand: evtl. östliche Aussenwand. – Süd-wand: Mauer (B24/A6–A10), Westpro-fil A6 (346), Beil. 5: Kieselfundament mit Lehm, 80–100 cm stark, gegen den lockeren Brandschutt der HP II gebaut, was bewirkte, dass die Mauer durch das Nachgeben des Brandschut-tes um ca. 30°C nach Süden kippte; aufgehendes Mauerwerk, 50 cm stark, zwei Schalen von zwei bis drei Lagen unregelmäs-siger Kalkbruchsteine. – West-wand: s. westliche Aussenwand.

Funde: Boden: Nr. 733–743; FK 424. – Nord-wand: Nr. 703; Teil von FK 414.

Raum L (A6.50/B25)

Boden: nicht erhalten. Über dem Brandschutt der HP II folgte eine relativ dicke Schicht mit Mörtelschutt, Westprofil A6 (451), Beil. 5, der eher vom Abbruch als vom Bau einer Mauer stammt; vgl. entsprechende Schuttschicht über dem Boden der Räume C/K und unter den Böden der SP I.2, die vom Abbruch der west-lichen Aussenwand (südlicher Teil) stammen dürfte, Südprofil B23 (463), Beil. 7.

Wände: Nordwand: s. Süd-wand von Raum K. – Ost-wand: vermut-lich östliche Aussenwand. – Süd-wand: nicht erfasst. – West-wand: westliche Aussenwand (südlicher Teil).

Raum M (A16.50–A19.50/B16–B20)

Boden: lehmiger Kiesboden, Nordprofil B16.50 (409), Beil. 6.

Wände: Nordwand: nicht erfasst. – Ost-wand: s. östliche Aussen-wand. – Süd-wand: s. Süd-wand von Raum J. – West-wand: s. Ost-wand von Raum J.

Parzelle III (A20–A40)

Haus III (A20–A40/B0–B24)

Aussenwand Nord: nicht erfasst, vielleicht auf der Nordwand des Kellers W gelegen, in dessen Verfüllung bemalte Verputzreste zum Vorschein kamen, die wohl von einem darüber gelegenen Raum stammen.

Aussenwand Ost: Beim Aushub der Baugrube kam nur eine nicht näher beschriebene Mauer (A39.70/B7.50) zum Vorschein, die möglicherweise schon 1893 erfasst worden war. In einem Schnitt (A40/B6) war nämlich die östliche Grenze des 1.60 m mächtigen römischen Schichtpaketes zu sehen, bei der es sich um die westliche Grenze der Grabung von 1893 handeln muss.

Aussenwand Süd: nicht erfasst.

Aussenwand West: s. östliche Aussenwand von Haus II.

Raum N (A22–A23/B9–B12)

Boden: Lehmboden, verschmutzt, Nordprofil B10 (364), Beil. 6; Westprofil A23 (391), Beil. 8.

Wände: Nordwand: nicht erfasst. – Ost-wand: zwei grosse Unterla-gesteine (365) übereinander am Ende des Bodens (364) im Nordprofil B10 (Beil. 6). – Süd-wand: zwei grosse Unterlage-

steine übereinander, Westprofil A23 (390), Beil. 8. – Westwand: nicht erfasst, vielleicht westliche Aussenwand.

Raum O (A23.50–A27/B9.50–B11.50)

Boden: nicht erhalten, muss höher gelegen sein als 379.30.

Wände: Nordwand: nicht erfasst. – Ostwand: Die Ostwand von Raum P liegt auf der Flucht der Westwand des Kellerhalses von Raum W, was dafür sprechen könnte, dass sie sich nach Norden fortgesetzt, als Ostwand von Raum O. – Südwand: Der grosse Niveauunterschied von über 50 cm zwischen den Räumen O und P deutet auf eine Trennwand hin, vielleicht in der Verlängerung der Südwand von Raum N. – Westwand: s. Ostwand von Raum N.

Raum P (A20–A27/B12–B23)

Boden: Lehm Boden, bedeckt von dicker Benützungsschicht, Westprofil A23 (387/388), Beil. 8.

Wände: Nordwand: s. Südwand der Räume N/O. – Ostwand: zwei Pfostengruben (A27.80/B17, UK 378.66; A28/B18.60, UK 378.71); mehrere Unterlagesteine (A27.80/B14.50–B15.70; A28.20/B20.80–B22). – Südwand: östlicher Teil: s. Südwand von Raum Q; westlicher Teil: Mauer (B20/A20–A23.60), stiess im Westen an die durchgehend in *pietra rasa*-Technik verputzte Ostwand von Haus II (Abb. 14.19), schloss im Osten mit einem Tuffhaupt ab (Abb. 28), vor der Niveauerhöhung (386) erbaut, da diese ihr Fundament (385) überlagerte; Westprofil A23 (Beil. 8): gemauertes Fundament, 75 cm stark; aufgehendes Mauerwerk, 50 cm stark, zwei Schalen von versetzten Lagen mit Kalkstein- und einzelnen Tuffsteinquadern. – Westwand: südlicher Teil: Fundament (A23.50/B20–B23.50) aus sehr grossen Kiesel, Nordprofil B20.50 (406), Beil. 10; – nördlicher Teil: s. östliche Aussenwand.

Strukturen: Raum/Keller Q (s. unten).

Funde: Unterlage: Nr. 747–764; Teil von FK 269.270. – Benützungsschicht: FK 556.

Raum Q (A24.50–A27.50/B17.70–B22.20)

Boden: dünner Lehm Boden, verschmutzt, Nordprofil B20.50 (407), Beil. 10.

Wände: Nordwand (Abb. 23): drei Pfostenlöcher (A24.60/B17.70, UK 376.43; A26.10/B17.80, UK 376.40; A27.30/B17.80, UK 376.35), rund, 20 cm Durchmesser, ca. 20 cm in den Boden eingetieft. – Ostwand (Abb. 23): zum Pfosten der Nordwand zwei weitere Pfostenlöcher (A27.50/B20.80, UK 376.39; A27.50/B22, UK 376.40), 20 cm Durchmesser. – Südwand: zum Pfosten der Ostwand zwei weitere Pfostenlöcher (A26/B22, UK 376.45; A24.60/B22, UK 376.50), rund, 20 cm Durchmesser. In den beiden Zwischenräumen kamen Reste zweier gemauerter, sich nach Süden öffnender, rampenartiger Fenster (A26/B24; A27/B24) zum Vorschein (Abb. 24), deren südliche, höher gelegene Hälfte noch in situ lag. Die nördliche, tiefer gelegene Hälfte und Reste des oberen Teils fanden sich abgestürzt in der Auffüllung, Nordprofil B20.50 (476), Beil. 10. Die Fenster lagen auf einer mit grossen Steinen gefestigten Kiespackung, Südprofil B24 (374), Beil. 7, die vermutlich auch eine Wand trug. Die rampenartigen Fensterbänke waren mit einer 1 cm dicken, an der Oberfläche geglätteten Mörtelschicht bedeckt und wiesen eine Neigung von 20° bzw. 38% auf. Sie endeten im Norden wohl auf ca. 378.40, rund 1.80 m über dem Kellerboden, im Süden, zu Raum S auf 378.90, was etwa der Höhe des Bodens von Raum S entspricht. – Westwand (Abb. 23): zu den Pfosten der Süd- bzw. Nordwand ein drittes Pfostenloch (A24.60/B20.10, UK 376.33), 20 cm Durchmesser.

Funde: Bodenoberfläche: Nr. 765–782; FK 320.421.

Raum R (A20–A23/B20–B24)

Boden: Lehm Boden, Südprofil B24 (375), Beil. 7; Westprofil A23 (381/384), Beil. 8.

Wände: Nordwand: s. Südwand von Raum P (westlicher Teil). – Ostwand: s. Westwand von Raum P (südlicher Teil). – Südwand: nicht erfasst, vielleicht offen. – Westwand: vermutlich westliche Aussenwand.

Funde: Bodenunterlage: Nr. 747–764; Teil von FK 269.270.

Raum S (B24/A23.50–A28)

Boden: Lehm Boden, verschmutzt, Südprofil B24 (373), Beil. 7.

Wände: Nordwand: s. Südwand von Raum Q. – Ostwand: grosser Kiesel (368) im Südprofil B24, Beil. 7, als Unterlage einer Trennwand oder einer Stufe zwischen den unterschiedlich hoch gelegenen Räumen S/T. – Südwand: nicht erfasst. – Westen: nicht erfasst, evtl. offen.

Strukturen: zwei Fenster in der Nordwand zu Keller Q.

Raum T (A28.50–A29.70/B23.50–B23.90)

Boden: nicht erhalten; er muss höher gelegen sein als 379.30 (s. Südprofil B24, Beil. 7).

Wände: Nordwand: s. Südwand der Räume Q/U. – Ost-/Südwand: nicht erfasst. – Westwand: s. Ostwand von Raum S.

Raum U (A28–A30/B16.70–B23)

Boden: Lehm Boden, leicht verschmutzt, Ostprofil A30 (396/398), Beil. 9.

Wände: Nordwand: Balkengraben (395) im Ostprofil A30 (Beil. 9), 20 cm breit, eingetieft in Kiesplanierung (393) über dem Brandschutt (286) der HP II, stösst im Westen senkrecht auf den Pfosten (A27.70/B16.70) der Ostwand von Raum P. – Ostwand: nicht erfasst. – Südwand: grosser Stein (401) im Ostprofil A30, Beil. 9, als Unterlage einer Trennwand in der Verlängerung der Südwand von Raum Q. – Westwand: s. Ostwand von Raum P.

Strukturen: Feuerstelle(?) (399) im Ostprofil A30 (Beil. 9): Brandrötung der darunter gelegenen Schichten (393/397), 30 cm tief.

Funde: Nordwand: Nr. 783.784; Teil von FK 451.

Raum V (A27.50–A30/B10–B16.50)

Boden: Lehm Boden (394) im Ostprofil A30, Beil. 9.

Wände: Nord-/Ostwand: nicht erfasst. – Südwand: s. Nordwand von Raum U. – Westwand: s. Ostwand der Räume O/P.

Strukturen: Eingang (A28/B10) in den Keller W.

Funde: Südwand: Nr. 783.784; Teil von FK 451.

Raum W (A23–A29.50/B0–B5)

Boden: Eine eigentliche Bodenkonstruktion war nicht sicher festzustellen. Die Kellereinfüllung war im untersten Teil lehmiger, was für einen Lehm Boden sprechen könnte. Hinweise auf das Niveau geben der Verputz an der Nordwand (UK 377.07) und der Eingang (A28/B4.60) zum Kellerhals (377.45).

Wände: Nordwand: Mauer (B0.50/A22.60–A29.50), Kiesel mit gutem Mörtel, an der Südseite mit Terrazzomörtel verputzt, der von einem gewöhnlichen Verputz bedeckt war (UK 377.07). – Ostwand: Mauer (A29.50/B0–B5), 67 cm stark, gegen die Erde gemauert, Kiesel mit gutem Mörtel. – Südwand: Mauer (B5/A23–A29.80) mit 1 m breitem Eingang (A28/B4.60) auf 378.45 zum Kellerhals, Kiesel mit gutem Mörtel. – Westwand: Mauer (A23/B0–20–B5), Kiesel mit gutem Mörtel.

Strukturen: Kellerhals (A28/B5–B10), 90 cm breit, 5.80 m lang, mit Zugang zu Raum V. Die östliche und die westliche Wange waren bis zu 2 m hoch erhaltene Mauern und bestanden wie jene des Kellers aus Kiesel und gutem Mörtel, von dem festgehalten ist, dass er jenem der Südwand von Raum P entspricht.

Funde: FK 563 (s. Kap. 11.7.3.).

11.5.2. Phase 2 (SP I.2; Beil. 17)

Parzelle I

Raum A (A0–A2.30/B0–B15.50)

Boden: kiesiger Lehmboden, im Norden mit einer Unterlage von Kies und Steinen, Westprofil A0 (422/423/424/426), Beil. 1; Nordprofil B0 (427), Beil. 2.

Wände: Nord-/Westwand: nicht erfasst. – Ostwand: s. westliche Aussenwand (nördlicher Teil) von Haus II (SP I.1) und Westwand von Raum D. – Südwand: s. nördliche Aussenwand von Haus I.

Funde: Unterlage/Boden: Nr. 786–812; FK 82, Teil von FK 396.

Haus I (A0–A3/B15.50–B21)

Aussenwand Nord: Vertiefung (420) im Westprofil A0 (Beil. 1); Streifen (B15.60/A0–A1.20) von reinem Lehm.

Aussenwand Ost: s. westliche Aussenwand (nördlicher Teil) von Haus II (SP I.1).

Aussenwand Süd: nicht erfasst; evtl. Südwand von Raum C.

Aussenwand West: nicht erfasst.

Raum B (A0–A2.70/B15.50–B21)

Boden: Lehmboden, bedeckt mit Schmutzschicht, stark mit Holzkohlestücklein durchsetzt, Westprofil A0 (419), Beil. 1.

Wände: Nord-/Ostwand: s. Aussenwände. – Südwand: Mauer (B21/A0–A2.70) mit Eingang (A2/B21) auf 378.30, an der Oberfläche mit glatt abgestrichenem Mörtel, im Osten an die westliche Aussenwand (nördlicher Teil) von Haus II (SP I.1) anstossend, Westprofil A0 (414), Beil. 1: Fundament, 80–90 cm stark, Kiesel und Kalkbruchsteine mit Lehm, darüber gemauertes Vorfundament; aufgehendes Mauerwerk, 55 cm stark, regelmässige, ca. 10 cm hohe Lagen von Kalkbruchsteinen mit grobkiesigem Mörtel. – Westwand: nicht erfasst.

Strukturen: Grube (A2/B16) im Nordosten, quadratisch, 1.10×1.10 m, ca. 60 cm tief, mit Süd- und Westwand, Streifen von reinem Lehm, 10 cm stark. – Grube (A2/B19) im Süden, 2.35 m breit, wohl einst 50 cm tief (jetzt bis 100 cm), mit Nordwand, Streifen von reinem Lehm, 8 cm stark, Westprofil A0(417), Beil. 1; an der Sohle stark verschmutzter Lehmboden, Westprofil A0 (416), Beil. 1.

Funde: Fundament der Südwand: Nr. 785; FK 472. – Unterlage/Boden: Nr. 786–788.790–812; Teil von FK 396.

Raum C (A0–A9/B21–B23)

Boden: Lehmboden, Westprofil A0 (413), Beil. 1; Ostprofil A10 (450), Beil. 5; Südprofil B23 (466), Beil. 7.

Wände: Nordwand: s. südliche Aussenwand von Haus I/Südwand von Raum J (SP I.1). – Ostwand: vielleicht östliche Aussenwand von Haus II (SP I.1). – Südwand: nicht erfasst, vielleicht Südwand von Raum K (Phase 1) als Fundament einer Portikus. – Westwand: nicht erfasst.

Funde: Lehmboden auf der Parzelle II: Nr. 845; FK 491.

Parzelle II (A3–A20/B0–B24)

Raum D (A3–A10/B0–B3.70)

Boden: sandiger, teilweise leicht kiesiger Lehmboden, Nordprofil B0 (430), Beil. 2; Ostprofil A10 (440), Beil. 5.

Wände: Nordwand: nicht erfasst. – Ostwand: nicht erfasst, vielleicht westliche Aussenwand von Haus III. – Südwand: s. Nordwand von Raum E. – Westwand: Ob bei der Parzellengrenze

(A3) eine Trennwand bestand, kann wegen der Westwand von Haus II (SP II) nicht mehr gesagt werden. Die Böden der Räume A und D sind sehr ähnlich.

Strukturen: Feuerstelle (A7/B1), ovaler Lehmflecken, rot verbrannt, 70–80 cm Durchmesser, teilweise von schwarzer Ascheschicht umgeben.

Funde: Benützungsschicht: Nr. 848.852.859.862.865.866; FK 106.

Haus II (A3–A20/B3.70–B21)

Aussenwand Nord: s. Nordwand von Raum E.

Aussenwände Ost und West: s. östliche bzw. westlich Aussenwand (nördlicher Teil) von Haus II (SP I.1).

Aussenwand Süd: nicht erfasst; evtl. Südwand von Raum C.

Raum E (A3–A10/B3.70–B7.50)

Boden: kiesiger Lehmboden, Profil B5 (435), Beil. 4.

Wände: Norden: drei Pfostenlöcher (A6.50/B3.80; A7.80/B3.70; A9.20/B3.60), viereckig, ca. 15 cm Durchmesser; Ende des verbrannten Daches (SP I.4 Raum G). – Ostwand: nicht erfasst, vielleicht westliche Aussenwand von Haus III. – Südwand: s. nördliche Aussenwand von Haus II (SP I.1). – Westwand: s. Westwand von Raum D.

Funde: Bodenunterlage: Nr. 813–828.831–833.836–840; Münze Nr. 152; FK 55.216.217.

Raum F (A3–A8/B8–B12)

Boden: s. Boden von Raum E (SP I.1).

Wände: s. Wände von Raum E (SP I.1).

Raum G (A3–A8/B12.40–B15)

Boden: Lehmboden, an der Oberfläche verschmutzt.

Wände: s. Wände von Raum F (SP I.1), mit neuer Putzschicht, mit Farbspritzern verziert (Taf. 4.3).

Funde: Unterlage: Nr. 829; FK 416. – Wandverputz: FK 418. – Boden: Nr. 814–844; FK 352.

Raum H (A8–A13/B8–B15)

Boden: im Norden (B8–B11.60), über dem Steinkreis (s. unten): kiesiger Mörtelboden, von Schmutzschicht bedeckt, Ostprofil A10 (446), Beil. 5; Südprofil B11 (455), Beil. 6; – im Süden (B11.60–B15): Lehmboden, mit Schmutzschicht bedeckt, mit vielen Knochen, Ostprofil A10 (447), Beil. 5; keine Hinweise auf eine Trennwand zwischen den beiden Böden.

Wände: s. Nord-/Ost-/Westwand von Raum G, Ost-/Süd-/Westwand von Raum H. Die Wand (333) zwischen den Räume G/H war planiert worden, Ostprofil A10 (444), Beil. 5; Eingang (A9/B7.50) in der Nordwand.

Strukturen: Kreis (A8.60–A12.40/B8–B11.60) von Kalkbruchsteinen direkt unter dem Mörtelboden, eine Lage, 30–40 cm stark, Durchmesser ca. 4 m, Ostprofil A10 (445), Beil. 5; Südprofil B11 (456), Beil. 6; Abb. 25.

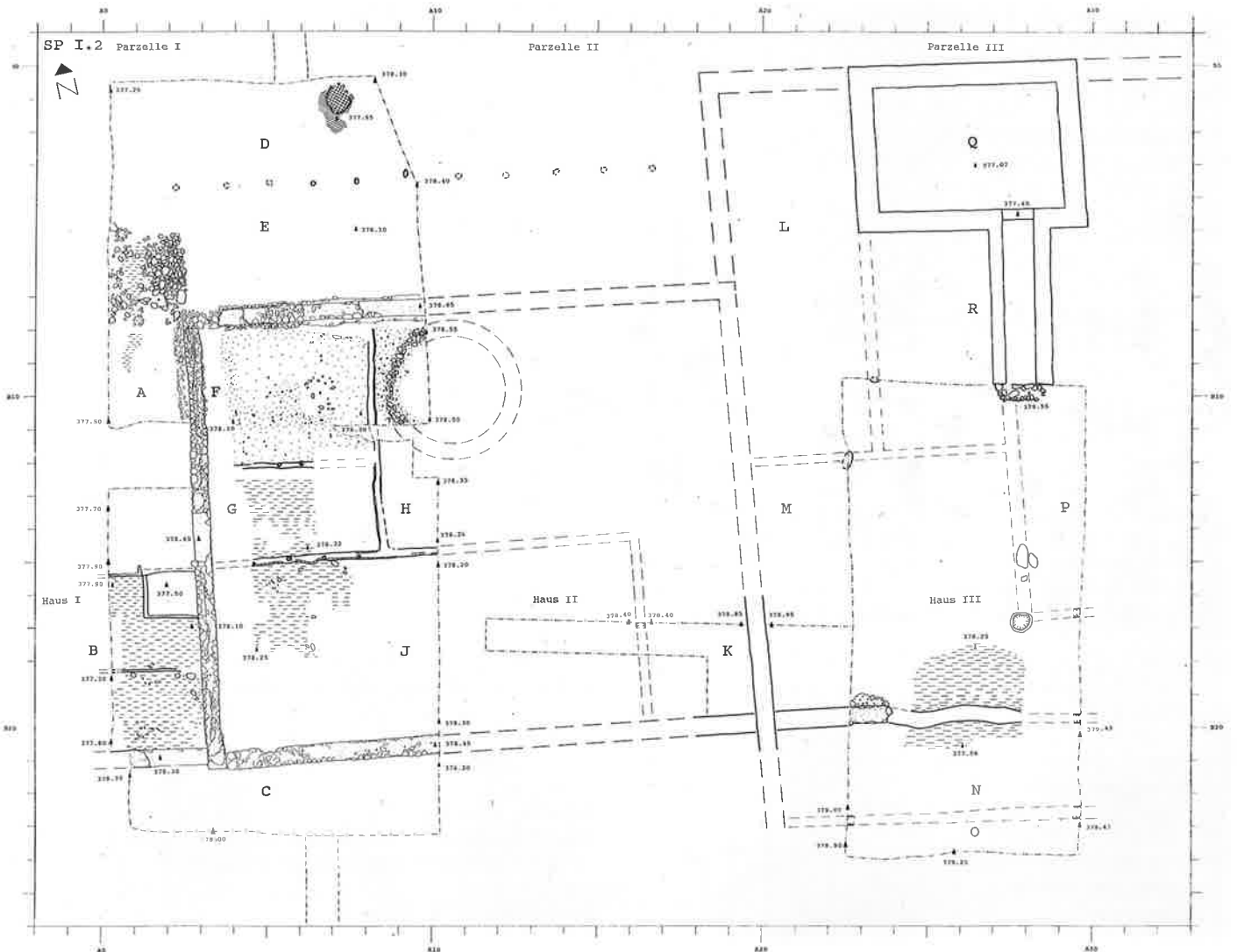
Funde: Unterlage: Nr. 834.835; FK 63.72. – Unterlage/Mörtelboden: FK 51. – Benützungsschicht über dem Mörtelboden: FK 52.

Raum J (A3–A16/B15–B20.50)

Boden: dünne Lehmschicht über dem Splitterboden von Raum J (SP I.1), von einer dicken Schmutzschicht bedeckt, Ostprofil A10 (448/449), Beil. 5; Nordprofil B16.50 (457), Beil. 6. Entlang der Südwand fanden sich auffallend viele Spielsteine, Münzen und Glasfragmente.

Wände: s. Raum J (SP I.1).

Funde: Boden: FK 366.491. – Benützungsschicht: Nr. 847.850.853–



Beil. 17. Steinbauperiode I.2 in der Fläche der 1.–3. Grabungsetappe. M 1:200. Signaturen s. S. 249.

858.860.661.863.864.867–876; Münzen Nr. 39.52.59.60.81.82.87.97; FK 340.356.365.439. Leider trennten wir beim Ausgraben die Funde hier nicht überall sorgfältig genug nach Schichten, so dass jene der beiden Hauptabstichkomplexe sich nicht mehr eindeutig zuordnen lassen und ich sie für die chronologische Auswertung weglassen musste. – FK 346 (FO Räume G/J) umfasst Schichten der SP I.2/3: 14 Münzen, Nr. 8.9.20.44.70–73.84.89.100.104.108.111.128, 1 Spielstein, 5 RS Glas, 16 RS Keramik; – FK 347 (FO Räume H/J) umfasst Schichten der SP I.2–4: 31 Münzen, Nr. 1.17.26–29.35.57.58.74.78.88.90–93.95.98.99.105–107.112–114.117.118.123.124.154.159, 26 Spielsteine, 4 RS Glas, 20 RS Keramik. Die Münzen, Spielsteine und Glasfragmente stammen zur Hauptsache eindeutig aus der Benutzungsschicht.

Raum K (B17/A16–A20.50)

Boden: Lehmboden, an der Oberfläche teilweise gerötet.

Wände: s. Raum M (SP I.1), dessen Westwand (458) im Nordprofil B16.50, Beil. 6, nicht von einem Boden überdeckt ist, was vermuten lässt, dass sie weiter bestand.

Parzelle III (A20–A40)

Haus III (A20–A40/B0–B24)

Aussenwände: s. Haus III (SP I.1).

Raum L (A22–A23/B9–B12)

Boden: nicht erhalten.

Wände: s. Raum N (SP I.1).

Raum M (A20–A30/B12.50–B20)

Boden: kiesiger Lehmboden.

Wände: Nordwand: westlicher Teil: s. Nordwand von Raum P (SP I.1); östlicher Teil: s. Nordwand von Raum U (SP I.1). – Ostwand: nördlicher Teil: s. Ostwand (nördlicher Teil) von Raum P (SP I.1); südlicher Teil: nicht erfasst. – Südwand: westlicher Teil: s. Südwand (westlicher Teil) von Raum P (SP I.1); östlicher Teil: Kiesel Fundament (B19.50/A25–A28) über dem zugeschütteten Keller Q (SP I.1), 45 cm stark; Vertiefung (470) im Ostprofil A30 (Beil. 9). – Westwand: s. westliche Aussenwand.

Funde: Auffüllung des Kellers Q (SP I.1): Nr. 877–882.884.894. 899.900.902.904.906.908 – 910.913 – 916.921 – 923.926.927.930. 931.935.938 – 940.942.943.946; Münze Nr.13; Teil von FK 405.

Raum N (A20–A30/B20–B23)

Boden: kiesiger Lehm Boden, Ostprofil A30 (472), Beil. 9; Nordprofil B20.50 (478), Beil. 10.

Wände: Nordwand: s. Süd wand von Raum M. – Ost wand: nicht erfasst. – Süd wand: Vertiefung im Westprofil A23 (468) (Beil. 8) und im Ostprofil A30 (473) (Beil. 9). – West wand: nicht erfasst, vermutlich westliche Aussen wand.

Funde: Auffüllung des Kellers Q (SP I.1): Nr. 877–884. 886.888–900.902–927.929–946; Münze Nr.13; Taf.1,2; FK 297.301.311; Teil von FK 405.

Raum O (A22–A29/B23–B25)

Boden: lehmiger Kies, im Westen Lehm, stark verschmutzt, Südprofil B24 (462), Beil. 7; Westprofil A23 (467), Beil. 8; Ostprofil A30 (475), Beil. 9.

Wände: Nord wand: s. Süd wand von Raum N. – Ost-/Süd wand: nicht erfasst. – West wand: nicht erfasst, vermutlich westliche Aussen wand.

Funde: Bodenunterlage (Einfüllung der Fenster von Keller Q der SP I.1): Nr. 885.887.901.928; Münze Nr. 46; FK 268.

Raum P (A27.50–A30/B10–B16.50)

Boden: nicht erhalten.

Wände: s. Wände von Raum V (SP I.1).

Raum Q (A23–A29.50/B0–B5)

Boden: nicht erhalten.

Wände: s. Wände des Kellers W (SP I.1).

Raum R (A23.50–A27/B9.50–B11.50)

Boden: nicht erhalten.

Wände: s. Wände von Raum O (SP I.1).

11.5.3. Phase 3 (SP I.3; Beil. 18)

Parzelle I (A0–A3)

Raum A (A0–A2/B2–B13.50)

Boden: Lehm Boden, Westprofil A0 (491), Beil. 1.

Wände: Nord-/West wand: nicht erfasst. – Ost wand: s. Raum A (SP I.2). – Süd wand: s. nördliche Aussen wand von Haus I.

Haus I (A0–A3/B13.50–B23)

Aussen wand Nord: Unterlage steine (490) im Westprofil A0 (Beil. 1) und auf einer Linie (B13.60/A1–A3).

Aussen wand Ost: s. westliche Aussen wand (nördlicher Teil) von Haus II (SP I.1).

Aussen wand Süd: nicht erfasst, evtl. Süd wand von Raum C.

Aussen wand West: nicht erfasst.

Raum B (A0–A3/B13.80–B20.70)

Boden: Lehm Boden, an der Oberfläche verschmutzt, Westprofil A0 (485/489), Beil. 1.

Wände: Nord-/Ost wand: s. Aussen wände. – West wand: nicht erfasst. – Süd wand: s. südliche Aussen wand von Haus I (SP I.2) mit Eingang (A2/B21).

Funde: Bauhorizont: Nr. 947–953; FK 392.394. – Boden: Nr. 954–

969; FK 329.334. – Unterlage/Boden/Benützungsschicht: Nr. 970–997; Münze Nr. 96; FK 336.370.

Raum C (A0–A3/B21–B23)

Boden: Lehm Boden, an der Oberfläche verschmutzt, Westprofil A0 (481), Beil. 1; Südprofil B23 (520), Beil. 7.

Wände: Nord wand: s. südliche Aussen wand. – Ost wand: Die Räume C und K wiesen unterschiedliche Böden auf; sie waren wohl durch irgendeine Begrenzung getrennt, beim Unterbruch der Schichten, Südprofil B23 (516), Beil. 7. – Süd-/West wand: nicht erfasst.

Parzelle II (A3–A20)

Raum D (A2.50–A10/B0–B4)

Boden: Lehm Boden, Ostprofil A10 (497), Beil. 5.

Wände: s. Raum D (SP I.2).

Funde: Bauhorizont: Nr. 998–1000.1002–1005.1010–1012.1015. 1016.1018.1019.1022.1023.1030; Teil von FK 177.

Haus II (A3–A20/B4–B25.50)

Aussen wand Nord: s. Nord wand von Raum E (SP I.2).

Aussen wand Ost und West: s. östliche bzw. westliche Aussen wand (nördlicher Teil) von Haus II (SP I.1).

Aussen wand Süd: nicht erfasst, evtl. Süd wand von Raum K.

Raum E (A2.50–A10/B4–B7.50)

Boden: Lehm Boden, Profil B5 (494), Beil. 4; Ostprofil A10 (497), Beil. 5.

Wände: s. Raum E (SP I.2).

Funde: Bauhorizont: Nr. 998–1000.1002–1005.1010–1012.1015. 1016.1018.1019.1022.1023.1030; Teil von FK 177.

Raum F (A3–A7/B8–B11)

Boden: Splitter Boden, Profil A6 (493), Beil. 3; Südprofil B11 (507), Beil. 6.

Wände: Nord wand: s. nördliche Aussen wand (SP I.1). – Osten: Lehm fachwerk wand (A7/B8–B11): Schwellbalken in Balken graben, 15 cm breit, verkohlt (SP I.4), Südprofil B11 (508), Beil. 6; Abb. 27; Lehm fachwerk brocken in der Einfüllung des Balken grabens wiesen Verputzreste auf. – Süd wand: Lehm fachwerk wand (B11.30/A3–A7): Schwellbalken aus Nadelholz (Bestimmung J. Weiss, Aeugst), auf einzelnen Unterlage steinen gelegt, verkohlt (SP I.4), 15 cm breit, 10 cm hoch, mit Aus sparung (A5.90) für Zapfen eines Ständers. – West wand: westliche Aussen wand (nördlicher Teil) von Haus II (SP I.1).

Funde: Bauhorizont: Nr. 1008.1029; Teil von FK 58.

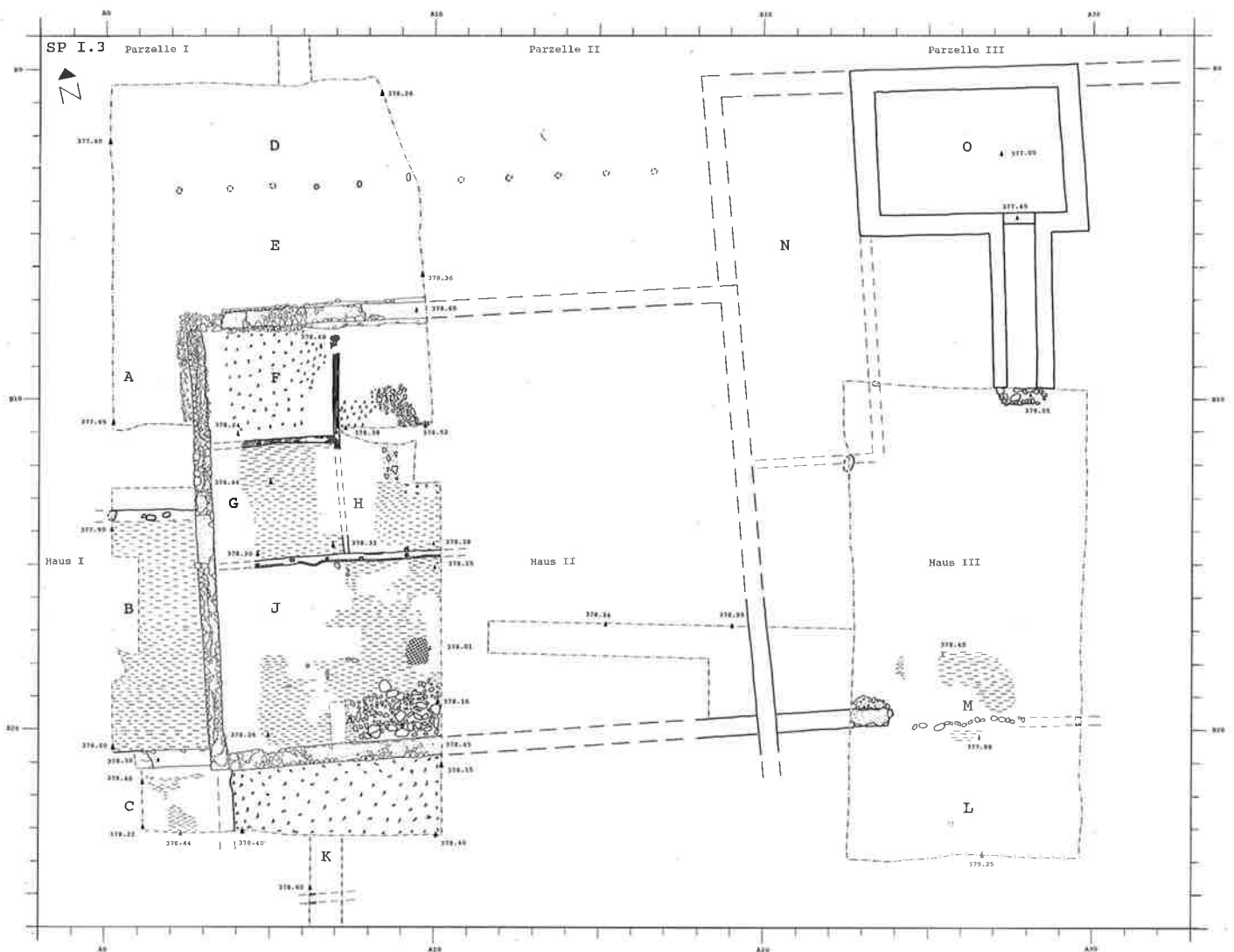
Raum G (A3–A7/B11–B15)

Boden: Lehm Boden, an der Oberfläche teilweise verschmutzt.

Wände: Nord wand: s. Süd wand von Raum F. – Ost wand: verkohlter Balken wie Ost wand von Raum F. – Süd wand: s. Süd wand von Raum F (SP I.1) mit bemaltem Verputz der Süd wand von Raum G (SP I.2). – West wand: s. westliche Aussen wand (nördlicher Teil) von Haus II (SP I.1).

Haus H (A7–A10/B8–B15)

Boden: Splitter Boden mit Unterlage, bedeckt von Schmutzschicht: mit Holzkohlestücklein und Asche durchsetzt, Ostprofil A10 (498), Beil. 5; Südprofil B11 (510/511), Beil. 6.



Beil. 18. Steinbauperiode I.3 in der Fläche der 1.–3. Grabungsetappe. M 1:200. Signaturen s. S. 249.

Wände: Nordwand: s. nördliche Aussenwand (SP I.1) mit Eingang (A9/B7.50). – Ostwand: nicht erfasst. – Südwand: s. Südwand von Raum H (SP I.1). – Westwand: s. Ostwand von Raum F.

Funde: Bauhorizont: Nr. 1001.1006–1009.1013.1014.1017.1020.1021.1025–1029.1031.1032; Münzen Nr. 18.61.110; Teil von FK 58, FK 373.374.429. – Benützungsschicht: Nr. 1037.1040.1042; FK 351.

Raum J (A3.50–A20/B15–B20.50)

Boden: Lehm Boden, von Schmutzschicht bedeckt, Ostprofil A10 (500), Beil. 5.

Wände: Nordwand: s. Südwand der Räume F/H (SP I.1). – Ostwand: s. östliche Aussenwand. – Südwand: s. Südwand von Raum J (SP I.1). – Westwand: s. westliche Aussenwand (nördlicher Teil) von Haus II (SP I.1).

Strukturen: Feuerstelle (A9.50/B17.50), viereckig mit abgerundeten Ecken, 70×85 cm, brauner, hartgebrannter Lehm über einer Unterlage von Kiesel.

Funde: Bauhorizont: Nr. 1024; FK 440. – Boden: FK 364.

Raum K (A3.50–A10/B21–B25.50)

Boden: Splitterboden: Lehmschicht mit Kalksteinsplintern, bedeckt von dünner, teilweise verschmutzter Lehmschicht, Ostprofil A10 (502/504), Beil. 5; Südprofil B23 (515), Beil. 7.

Wände: Nordwand: s. Südwand von Raum J (SP I.1). – Ostwand: nicht erfasst, vielleicht östliche Aussenwand. – Südwand: Vertiefung (505) im Westprofil A6 (Beil. 5), evtl. Pfostenloch/Pfostengraben. – Westwand: s. Ostwand von Raum C.

Funde: Benützungsschicht: Nr. 1033–1036.1038.1039.1041.1043.1044; FK 415.

Parzelle III (A20–A40)

Haus III (A20–A40/B0–B24)

Aussenwände: s. Aussenwände von Haus III (SP I.1).

Raum L (A23–A30/B20–B24)

Boden: Lehm Boden, verschmutzt, Südprofil B24 (513), Beil. 7; Nordprofil B20.50 (522), Beil. 10. In der Senke über dem zuverfüllten Keller Q (SP I.1) musste der Boden (523) dreimal erneuert werden.

Wände: Nordwand: Mauerstumpf s. Südwand (westlicher Teil) von Raum P (SP I.1); Steinreihe (470) (B19.70/A24.60–A28.20) über der Senke des zugeschütteten Kellers Q (SP I.1); Vertiefung im Ostprofil A30, Beil. 9. – Ost-/Südwand: nicht erfasst. – Westwand: nicht erfasst, vermutlich westliche Aussenwand.

Raum M (A20–A30/B16–B19.50)

Boden: Lehm Boden, verschmutzt, in der Senke über dem zugeschütteten Keller Q (SP I.1) dreimal erneuert.

Wände: Nord-/Ostwand: nicht erfasst. – Südwand: s. Nordwand von Raum L. – Westwand: nicht erfasst, vermutlich westliche Aussenwand.

Funde: Boden mit Erneuerung: Nr. 1045–1050; Münze Nr. 115; FK 372.381. – oberste Benützungsschicht: Nr. 1051; FK 360.

Raum N (A22–A23/B9–B12)

Boden: nicht erhalten.

Wände: s. Wände von Raum N (SP I.1).

Raum O (A23–A29.50/B0–B5)

Boden: nicht erhalten.

Wände: s. Wände des Kellers W (SP I.1).

11.5.4. Phase 4 (SP I.4; Beil. 19)

Parzelle I (A0–A3)

Raum A (A0–A2/B2–B8)

Boden: s. Raum A (SP I.3).

Wände: Nord-/Westwand: nicht erfasst. – Ostwand: vermutlich auf der Parzellengrenze (A2.50); s. Westwand von Raum D (SP I.2). – Südwand: s. nördliche Aussenwand von Haus I.

Haus I (A0–A3/B8–B21)

Aussenwand Nord: Der Boden (537) von Raum B reichte im Norden bis B9.30, die Ostwand von Raum B bis B8.90. Die Wand könnte in der Flucht der Nordmauer von Haus II gestanden haben, wo sich im Westprofil A0 (Beil. 1) ein grosser Stein (540) als Unterlage einer Lehmfachwerkwand zeigte.

Aussenwand Ost: s. westliche Aussenwand (nördlicher Teil) von Haus II (SP I.1).

Aussenwände Süd und West: nicht erfasst.

Raum B (A0/B8–B13.50)

Boden: Splitterboden, Westprofil A0 (537), Beil. 1; Südprofil B11 (582), Beil. 6.

Wände: Nordwand: s. nördliche Aussenwand. – Ostwand: verkohlter Schwellbalken (A0.50/B8.65–B11), 18 cm breit, auf Unterlagesteinen in einem Graben, Südprofil B11 (580), Beil. 6. Die umgestürzte Lehmfachwerkwand, Westprofil A0 (538), Beil. 1; Südprofil B11 (584), Beil. 6, war noch 10 cm stark erhalten: verkohlte Ruten, ost-westlich gerichtet, also einst senkrecht zur Wand verlaufend, Lehm mit Haftrillen an der Aussenseite für den Verputz; Taf. 1,6; Taf. 2,1. – Südwand: Unterlagestein (534) im Westprofil A0, Beil. 1. – Westwand: nicht erfasst.

Strukturen: Grube (A0/B13), ca. 1.30 m in den bestehenden Boden eingetieft, bis auf den anstehenden Boden reichend, Westprofil A0 (535), Beil. 1.

Raum C (A0.60–A2.60/B8–B13.40)

Boden: verkohlter Holzboden, auf mindestens drei Balken (A0.70; A1.70; A2.25) aufliegend, Südprofil B11 (583), Beil. 6.

Wände: Nordwand: s. nördliche Aussenwand. – Ostwand: s. westliche Aussenwand (nördlicher Teil) von Haus II (SP I.1). – Südwand: Unterlagesteine (B13.50/A1–A2.70) mit verkohlten Holzresten. – Westwand: s. Ostwand von Raum B.

Funde: Unterlage/Boden/Benützungsschicht: Nr. 1057.1058; FK 168. – Boden/Benützungsschicht: Nr. 1059–1102; Münzen Nr.

66.116; Teil von FK 306. – Brandschutt: Nr. 1103.1104.1107.1111.1112; Taf. 1,6; Taf. 2,1; FK 159.179.186.305.

Raum D (A0–A3/B14–B21)

Boden: verschmutzter Lehm Boden, ziemlich uneben, im Bereich der Feuerstelle im Süden Splitterboden, von Schmutzschicht bedeckt; darüber längliche Holzreste, Westprofil A0 (530/532/533), Beil. 1.

Wände: Nordwand: s. Südwand der Räume B/C. – Ostwand: s. westliche Aussenwand (nördlicher Teil) von Haus II (SP I.1). – Südwand: s. Südwand von Raum B (SP I.2). – Westwand: nicht erfasst.

Strukturen: Feuerstelle (A0/B20), 60 cm lang, grosse Ziegelplatten mit verbranntem Lehm, Westprofil A0 (527), Beil. 1.

Funde: Bauhorizont: Nr. 1055; FK 308. – Unterlage/Boden: FK 302.304. – Unterlage/Boden/Benützungsschicht: Nr. 1056; FK 391. – Boden/Benützungsschicht: Nr. 1059–1102; Münzen Nr. 66.116; Teil von FK 306. – Brandschicht: FK 304.399. – Brandschutt: Nr. 1105.1108–1110.1113; FK 307.

Raum E (A0–A3/B21–B23)

Boden: Splitterboden, mit Schmutzschicht bedeckt, an der Oberfläche teilweise verbrannt, Westprofil A0 (525/526), Beil. 1; Südprofil B23 (616/619), Beil. 7.

Wände: Nordwand: s. Südwand von Raum B (SP I.2). – Osten: Die Räume E und N wiesen unterschiedliche Böden (614/616/619), auf deren Grenze (615) im Südprofil B23 (Beil. 7) in der Verlängerung der östlichen Aussenwand von Haus II liegt. – Süd-/Westwand: nicht erfasst.

Funde: Bauhorizont: FK 328.354.

Parzelle II (A3–A20)

Raum F (A3–A10/B0–B4)

Boden: Lehm Boden, verschmutzt, Ostprofil A10 (561/562), Beil. 5.

Wände: s. Raum D (SP I.2).

Strukturen: Pfostenloch (A6/B0.95), 25 cm tief (UK 377.77).

Funde: Brandschicht: Teil von FK 68.

Haus II (A3–A20/B4–B23)

Aussenwand Nord: s. Nordwand von Raum E (SP I.2).

Aussenwand Ost: s. östliche Aussenwand (SP I.1).

Aussenwand Süd: s. Südwand von Raum N.

Aussenwand West: s. westliche Aussenwand (nördlicher Teil) von Haus II (SP I.1).

Raum G (A3–A10/B4–B7.50)

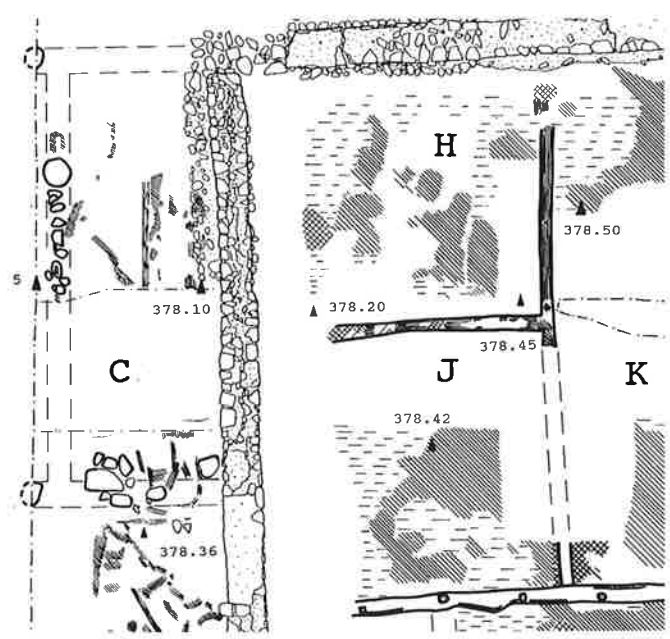
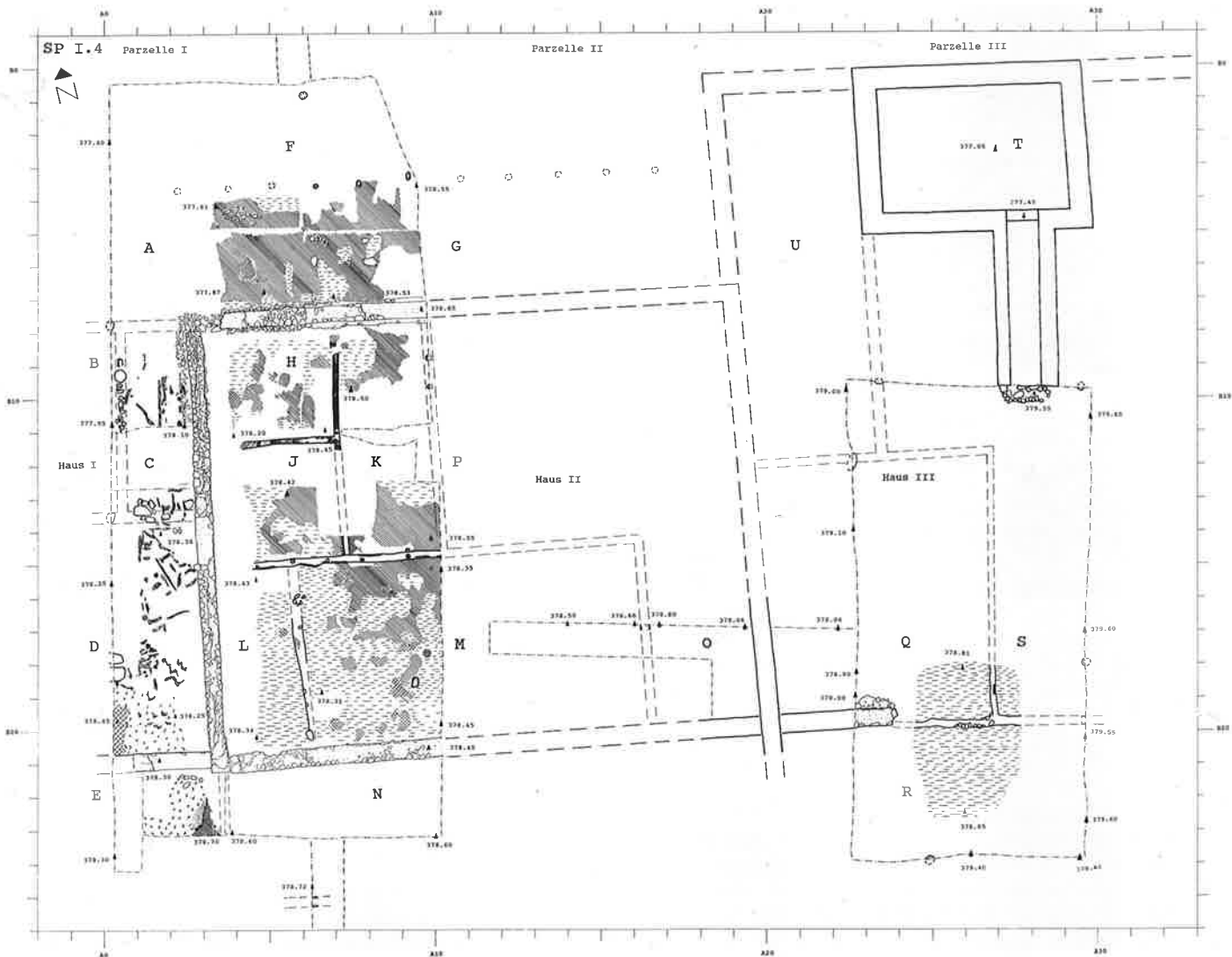
Boden: Lehm Boden, Profil A6 (544), Beil. 3; Profil B5 (554/555), Beil. 4; Ostprofil A10 (564), Beil. 5.

Wände: s. Raum E (SP I.2).

Dach: Brandschicht mit vielen verkohlten Hölzern und sehr viel Asche, bis zur Linie der Pfosten der Nordwand, Profil A6 (545), Beil. 3; Profil B5 (560), Beil. 4.

Strukturen: Pfostenloch (A9.50/B6.80) vor dem Eingang in Raum K, 20 cm Durchmesser.

Funde: Unterlage/Boden/Benützungsschicht: Nr. 1168.1172.1180.1181.1185.1186.1204.1206; FK 43. – Boden/Benützungsschicht: Nr. 1211.1214.1224.1226.1227.1238; FK 111. – Brandschicht: Nr. 1253 – 1259.1266 – 1268.1270.1271.1273.1276.1279.1282 – 1287.1292–1300.1303.1304.1307.1309; FK 35.39.40, Teil von FK 68, FK 85.91.107.166. – Brandschutt: Nr. 1312–1315.1319–1324.1327 – 1329.1331.1332.1336 – 1340.1343.1344.1346 – 1351.1353.



Beil.19. Steinbauperiode I.4 in der Fläche der 1.-3. Grabungsetappe. M 1:200, Ausschnitt M 1:100. Signaturen s. S. 249.

1354.1360.1364–1368.1373–1376.1379–1382.1384–1392; FK 32.87.

Raum H (A3–A7/B8–B11)

Boden: Lehm Boden, von Schmutzschicht bedeckt (Abb. 27).

Wände: s. Raum F (SP I.3).

Funde: Unterlage/Boden/Benützungsschicht: Nr. 1191.1195.1196.1203.1209; Teil von FK 404. – Brandschicht: Nr. 1306; FK 153.161. – Brandschutt: Nr. 1341.1342.1352.1355.1356–1359.1362.1370.1372.1377.1394; Taf. 2,5; Teil von FK 28; FK 30.36.74.146a; Teil von FK 403.

Raum J (A3–A7/B11.40–B15)

Boden: Lehm Boden, von Schmutzschicht bedeckt.

Wände: s. Raum G (SP I.3).

Funde: Boden: FK 338. – Unterlage/Boden/Benützungsschicht: Nr. 1191.1195.1196.1203.1205.1207.1209; Teil von FK 404, FK 409. – Brandschicht: Nr. 1260.1262–1265.1269.1272.1275.1277.1278.1280.1281.1288.1290.1291.1301.1302.1305.1308.1310.1311; Teil von FK 299. – Brandschutt: Nr. 1316–1318.1325.1326.1330.1333–1335.1345.1362.1363.1369.1371.1378.1383.1393; Taf. 2,4,6; Teil von FK 290; FK 403.

Raum K (A7–A10/B8–B15)

Boden: Lehm Boden, von dünner Schmutzschicht bedeckt, im Süden an der Oberfläche teilweise verbrannt, Ostprofil A10 (572), Beil. 5; Abb. 27.

Wände: Nord-/Süd-/Westwand: s. Raum H (SP I.3). – Ostwand: zwei Pfostenlöcher (566/567) im Ostprofil A10 (Beil. 5).

Strukturen: kleines Pfostenloch (A8.40/B8.50). – Pfostenloch (A9.15/B14.50), vierkantig, 9 cm Durchmesser, 20 cm tief (UK 378.05).

Funde: Unterlage/Boden/Benützungsschicht: Nr. 1191.1195.1196.1203.1205.1207.1209; Teil von FK 404, FK 409. – Brandschicht: Nr. 1260.1262–1265; Teil von FK 299. – Brandschutt: Nr. 1316–1318.1325.1326.1330.1333 – 1335.1341.1342.1345.1355.1362.1363.1369.1371.1372.1378.1383.1393.1394; Taf. 2,4,6; Teil von FK 290; FK 403.

Raum L (A3.60–A6/B15–B21)

Boden: Lehm Boden, sandig, von Schmutzschicht bedeckt.

Wände: Nordwand: s. Süd wand von Raum F (SP I.1). – Ost wand: Pfostenstellung (A5.80/B16.10), mit Steinen umrandet; Pfostenloch (A5.90/B16.90) mit Holzresten, 9 cm Durchmesser; dunkler, länglicher Schatten (A5.90/B16.50–B17.90); Unterlagesteine (A6/B20–B20.40). – Süd wand: s. Süd wand von Raum J (SP I.1). – West wand: s. westliche Aussen wand (nördlicher Teil) von Haus II (SP I.1).

Funde: Bauhorizont: Nr. 1142; FK 314. – Boden/Benützungsschicht: Nr. 1212.1213.1215.1239.1240.1244.1245.1251; FK 319. – Brandschicht: Nr. 1260.1262–1265.1269.1272.1275.1277.1278.1280.1281.1288.1290.1291.1301.1302.1305.1308.1310.1311; Teil von FK 299. – Brandschutt: Nr. 1316–1318.1325.1326.1330.1333–1335.1345.1363.1369.1371.1378.1383.1393; Taf. 2,4,6; Teil von FK 290.

Raum M (A6–A17/B15–B20.60)

Boden: Lehm Boden, von Schmutzschicht bedeckt, an der Oberfläche teilweise verbrannt, Ostprofil A10 (574), Beil. 5; Nordprofil B16.50 (593), Beil. 6.

Wände: Nord wand: s. Süd wand der Räume F/H (SP I.1). – Ost wand: Die Vertiefung (595) im Nordprofil B16.50 (Beil. 6) könnte von einer Trennwand stammen. – Süd wand: s. Süd wand von Raum J (SP I.1). – West wand: s. Ost wand von Raum L.

Strukturen: Pfostenloch (A9.40/B18.50) mit Resten von verkohl-

tem Holz, 20×30 cm, 12 cm tief. Konzentration von verkohltem organischem Material wie Strohhalme und Getreidekörner (A7–A10/B15–B17.40).

Funde: Bauhorizont: Nr. 1115–1117.1120.1123–1126.1128–1134.1138.1141.1144.1145.1148.1150.1153–1163.1165–1167; Münzen Nr. 38. 67.68.85.94.102.119.121.125; FK 324.363. – Boden/Benützungsschicht: Nr. 1210.1216–1223.1225.1228–1237.1241–1243.1246–1250.1252; Münzen Nr. 120.129; FK 315. – Brandschicht: Nr. 1260.1262 – 1265.1269.1272.1275.1277.1278.1280.1281.1288.1290.1291.1301.1302.1305.1308.1310.1311; Teil von FK 299. – Konzentration in der Nordostecke: Nr. 1289; FK 291.312. – Brandschutt: Nr. 1316–1318.1325.1326.1330.1333–1335.1345.1363.1369.1371.1378.1383.1393; Taf. 2,4,6; Teil von FK 290.

Raum N (A4–A10/21–B25.50)

Boden: Lehm Boden, verschmutzt, im Süden über einem Steinbett (B22/A4–A10), 1,25–1,75 m breit, Südprofil B23 (614), Beil. 7.

Wände: Nord wand: s. Süd wand von Raum J (SP I.1). – Ost wand: nicht erfasst, evtl. östlich Aussen wand. – Süden: Die Brandschicht (579) endet im Westprofil A6, Beil. 5, über dem Graben (505) der Portikuspfosten von Raum K (SP I.3). Vermutlich wurde der Abschluss im Süden beibehalten. – West wand: s. Ost wand von Raum E.

Funde: Bauhorizont: Nr. 1114.1118.1119.1121.1122.1127.1135–1137.1139.1140.1143.1146.1147.1149.1151.1152.1164; FK 406.407.410. – Unterlage/Boden/Benützungsschicht: Nr. 1169–1171.1173–1179.1182–1184.1187–1190.1192–1194.1197–1202.1208; FK 395.

Raum O (B17/A16.70–A20)

Boden: Lehm Boden, Nordprofil B16.50 (597), Beil. 6.

Wände: Nord wand: nicht erfasst. – Ost wand: s. östlich Aussen wand. – Süd wand: s. Süd wand von Raum M (SP I.1). – West wand: s. Ost wand von Raum M.

Raum P (A10/B8–B15)

Boden: nicht erfasst.

Wände: Nord wand: s. nördliche Aussen wand (SP I.1). – Ost wand: nicht erfasst. – Süd wand: nicht erfasst, vielleicht Nord wand von Raum M. – West wand: s. Ost wand von Raum K.

Parzelle III (A20–A40)

Haus III (A20–A40/B0–B24)

Aussenwände: s. Aussenwände von Haus III (SP I.1).

Raum Q (A20–A26.70/B12–B19.50)

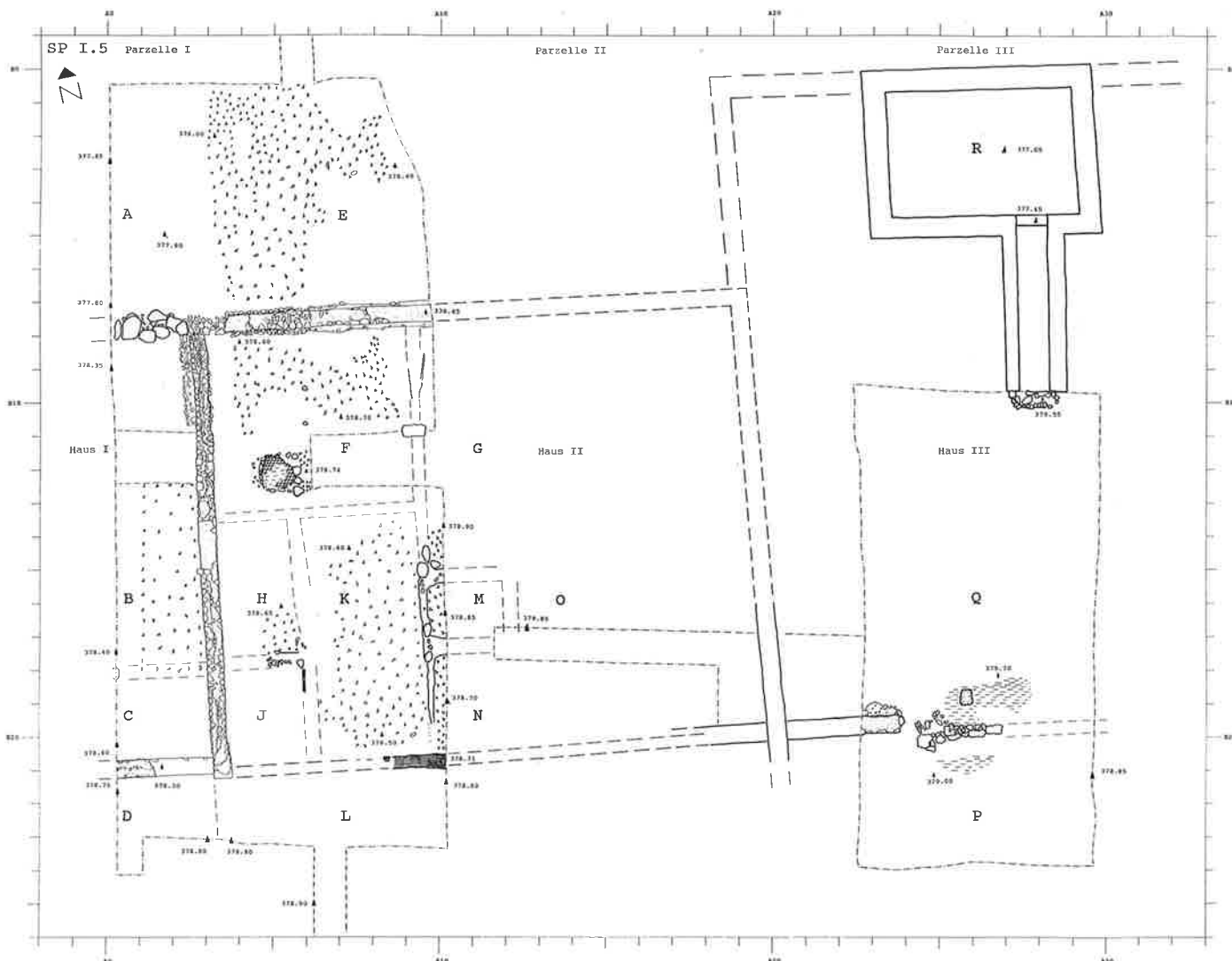
Boden: Lehm Boden, in der Senke über dem zugeschütteten Kelle Q (SP I.1) kiesig, im Norden mit Kalksteinsplittern durchsetzt, an der Oberfläche verschmutzt, teilweise brandgerötet, Nordprofil B16.50 (600), Beil. 6; Westprofil A23 (622/625/627), Beil. 8.

Wände: Nord wand: Unterlagestein in einer Vertiefung (630) im Westprofil A23, Beil. 8. – Ost wand: Balkengraben (A26.80/B18–B19.70) mit Resten des verkohlten Schwellbalkens (B18.80). – Süd wand: Mauerstumpf: s. Süd wand (westlicher Teil) von Raum P (SP I.1); Balkengraben (B19.80/A24.50–A27) mit Unterlagesteinen. – West wand: s. westliche Aussen wand.

Funde: Bauhorizont: Nr. 1395–1407; Teil von FK 353. – Boden: Teil von FK 350. – Brandschutt: Taf. 2,2,3; Teil von FK 344.458.

Raum R (A20–A30/B20–B24)

Boden: Kiesboden, lehmig, an der Oberfläche teilweise brandgerötet, Südprofil B24 (605), Beil. 7; Ostprofil A30 (638), Beil. 9; Nordprofil B20.50 (640), Beil. 10.



Beil. 20. Steinbauperiode I.5 in der Fläche der 1.–3. Grabungsetappe. M 1:200. Signaturen s. S. 249.

Wände: Nordwand: s. Südwand der Räume Q/S. – Ostwand: nicht erfasst. – Südwand: nicht erfasst; evtl. Portikus mit Pfosten (s. unten). – Westwand: nicht erfasst, vielleicht westliche Aussenwand.

Strukturen: Pfostenloch (608) im Südprofil B24, Beil. 7: evtl. Pfosten der Südwand.

Funde: Bauhorizont: Nr. 1395–1407; Teil von FK 353. – Boden: Teil von FK 350. – Brandschicht: FK 263.

Raum S (A26.80–A30/B10–B19.50)

Boden: Lehmboden, an der Oberfläche teilweise brandgerötet, Ostprofil A30 (633), Beil. 9.

Wände: Nord-/Ostwand: nicht erfasst. – Südwand: wie Südwand von Raum Q; Vertiefung (470) im Ostprofil A30, Beil. 9. – Westwand: s. Ostwand von Raum Q.

Strukturen: Vertiefung (636) im Ostprofil A30, Beil. 9. – Pfostenloch (602) im Nordprofil B10, Beil. 6.

Funde: Bauhorizont: Nr. 1395–1407; Teil von FK 353. – Boden: Teil von FK 350. – Brandschutt: Taf. 2,2,3; Teil von FK 344.

Raum T (A23–A29.50/B0–B5)

Boden: nicht erhalten.

Wände: s. Keller W (SP I.1).

Raum U (A22–A23/B9–B12)

Boden: nicht erhalten.

Wände: s. Raum N (SP I.1).

11.5.5. Phase 5 (SP I.5; Beil. 20)

Parzelle I (A0–A3)

Raum A (A0–A2.50/B1–B7.60)

Boden: Lehmboden, verschmutzt, Westprofil A0 (652), Beil. 1; Profil B5 (667), Beil. 4.

Wände: Nord-/Westwand: nicht erfasst. – Osten: Die Räume A und E wiesen unterschiedliche Böden auf. Vermutlich zerstörte man beim Bau der Westwand von Haus II (SP II) eine Trennwand an der Parzellengrenze. – Südwand: s. nördliche Aussenwand von Haus I.

Funde: Bauhorizont: Nr. 1408.1414.1414.1418.1419.1424.1427; Teil von FK 156. – Unterlage/Boden/Benutzungsschicht: Nr. 1442–1452; Taf. 5,2; FK 155.

Haus I (A0–A3/B8–B23)

Aussenwand Nord: Reihe (B7.80/A0–A2.50) von grossen Kieseln, Westprofil A0 (651), Beil. 1.

Aussenwand Ost: s. westliche Aussenwand (nördlicher Teil) von Haus II (SP I.1).

Aussenwände Süd und West: nicht erfasst.

Raum B (A0–A3/B8–B18)

Boden: Splitterboden über Kiesunterlage, von Schmutzschicht bedeckt, Westprofil A0 (647/648), Beil. 1; Südprofil B11 (682/683), Beil. 6.

Wände: Nordwand: s. nördliche Aussenwand. – Ostwand: s. westliche Aussenwand (nördlicher Teil) von Haus II (SP I.1). – Süd- wand: Die Räume B und C wiesen unterschiedliche Böden (645/648) auf, an deren Grenze im Westprofil A0, Beil. 1, ein grosser Stein (646) als Unterlage einer Trennwand gedient haben könnte. – Westwand: nicht erfasst.

Funde: Bauhorizont: Nr. 1408–1427; FK 148, Teil von FK 156. – Splitterboden: Nr. 1428–1441; Taf. 6,5; FK 7.

Raum C (A0–A3/B18–B21)

Boden: Lehm Boden, Westprofil A0 (645), Beil. 1.

Wände: Nordwand: s. Süd- wand von Raum B. – Ost- wand: s. westliche Aussenwand (nördlicher Teil) von Haus II (SP I.1). – Süd- wand: s. Süd- wand von Raum B (SP I.2). – West- wand: nicht erfasst.

Raum D (A0–A3/B21–B23)

Boden: verschmutzter Lehm mit vermoderten Holzresten, West- profil A0 (644), Beil. 1; Südprofil B23 (693), Beil. 7.

Wände: Nordwand: s. Süd- wand von Raum C. – Ost- wand: im Süd- profil B23, Beil. 7, deutet die Grenze (692) zwischen den Böden (691/693) der Räume D und K auf eine mögliche Wand hin. – Süd-/West- wand: nicht erfasst.

Parzelle II (A3–A20)

Raum E (A3–A10/B0–B7.50)

Boden: Splitterboden, von Schmutzschicht bedeckt, Profil A6 (660/662), Beil. 3; Profil B5 (664/666), Beil. 4; Ostprofil A10 (669), Beil. 5.

Wände: Nordwand: nicht erfasst. – Ostwand: nicht erfasst, vermutlich westliche Aussenwand von Haus III (SP I.1). – Süd- wand: s. nördliche Aussenwand von Haus II. – West- wand: s. Ostwand von Raum A.

Funde: Bauhorizont: Nr. 1457.1460.1472.1473.1480; FK 34. – Split- terboden: Nr. 1481.1482.1484; FK 33. – Benützungsschicht: FK 1496–1511; FK 79.

Haus II (A3–A20/B7.50/B23)

Aussenwände Nord, Ost und West: s. Nord-/Ost-/westliche Aussen- wand (nördlicher Teil) von Haus II (SP I.1), mit Eingang (A9/ B7.50).

Raum F (A3–A9.30/B8–B13.50)

Boden: Splitterboden, Profil A6 (656), Beil. 3.

Wände: Nord-/Westwand: s. nördliche/westliche Aussenwand. – Ostwand: Streifen (A9.20/B8.50–9.90), mit Holzkohlestücklein und Asche durchsetzt; Steinplatte (684) im Südprofil B11 (Beil. 6). – Süd- wand: Da die Ostwand der Räume H und K im Norden auf eine Wand stossen muss, ist zwischen B13–B13.60 eine Trennwand anzunehmen.

Strukturen: Feuerstelle (A5/B12), quadratisch, 1.30 m, zwei Schichten (einmal erneuert?) von hart gebranntem Lehm über einer Unterlage von grossen Steinen, einzelnen Ziegelfragmen- ten und kiesigem Lehm. – evtl. zwei Pfostenlöcher (654/655) im Profil A6, Beil. 3. Sie könnten auch zu einer jüngeren Phase gehören.

Funde: Bauhorizont: Nr. 1454.1455.1459.1461.1462.1464.1465.1467– 1470.1474–1477.1479; FK 136a.146b; Teil von FK 322. – Splitter- boden: FK 144.

Raum G (A9.40–A10/B7.70–B15)

Boden: Splitterboden, Ostprofil A10 (672), Beil. 5.

Wände: Nordwand: s. nördliche Aussenwand. – Ostwand: nicht er- fasst. – Süd- wand: Unterlagesteine (B15/A9.60–A10.20) für Schwellbalken, Ostprofil A10 (673), Beil. 5. – West- wand: s. Ostwand der Räume F/K.

Funde: Bauhorizont: Nr. 1455.1479; Teil von FK 322.

Raum H (A3.50–A5.70/B13.50–B17.70)

Boden: Splitterboden.

Wände: Nordwand: s. Süd- wand von Raum F. – Ost- wand: Reste eines verkohlten Schwellbalkens (A6/B17–B18). – Süd- wand: Unterlagesteine (B17.60/A4.80–A5.80), verbrannt. – West- wand: s. westliche Aussenwand.

Raum J (A3.70–A6/B18–B21)

Boden: nicht erhalten, da beim Bau der SP I.6 gestört.

Wände: Nordwand: s. Süd- wand von Raum H. – Ost- wand: Reste eines verkohlten Schwellbalkens (A6/B18–B21), im Süden (ab B19.50) mit Steinen unterlegt. – Süd- wand: gestört beim Bau der Steinbauperiode II, wohl wie Süd- wand von Raum K. – West- wand: s. westliche Aussenwand.

Raum K (A6–A9.60/13.50–B21)

Boden: Splitterboden, an der Oberfläche teilweise abgelaufen, mit Schmutzschicht bedeckt.

Wände: Nordwand: s. Süd- wand von Raum F. – Ost- wand: Reste eines verkohlten Schwellbalkens (A6.90/B14.20–B15.60), ca. 15 cm breit, auf Unterlagesteinen. – Süd- wand: Reste eines ver- kohlten Schwellbalkens (B20.80/A7.50–A10.20) auf Trocken- mauerfundament über der Süd- mauer von Raum J (SP I.1); s. Ostprofil A10 (676) (Beil. 5). – West- wand: s. westliche Aussen- wand.

Funde: Bauhorizont: Nr. 1453.1455.1456.1458.1463.1466.1471.1478. 1479; FK 313; Teil von FK 322. – Benützungsschicht: erwähnt sind Schlacken und Rostklumpen, die aber nicht aufbewahrt wur- den. – Ostwand: Nr. 1511; FK 295.

Raum L (A3.50–A10/B21–B23)

Boden: Splitterboden, von Schmutzschicht bedeckt, Ostprofil A10 (678/680), Beil. 5; Südprofil B23 (691), Beil. 7.

Wände: Nordwand: s. Süd- wand der Räume J/K/N. – Ost- wand: nicht erfasst, evtl. östliche Aussenwand. – Süd- wand: nicht er- fasst. – Westen: s. Ostwand von Raum D.

Funde: Boden/Benützungsschicht: Nr. 1485–1495; Münzen Nr. 5.160; FK 345.

Raum M (A9.70–A12.20/B15–B17.50)

Boden: Splitterboden, von Schmutzschicht bedeckt, Ostprofil A10 (697), Beil. 5; Nordprofil B16.50 (687), Beil. 6.

Wände: Nordwand: s. Süd- wand von Raum G. – Ost- wand: Balken- graben (688) im Nordprofil B16.50 (Beil. 6). – Süd- wand: Reste eines Schwellbalkens (B17.50/A9.70–A10.20) auf Unterlage- steinen; Pfostenloch (674) im Ostprofil A10, Beil. 5. – West- wand: s. Ostwand von Raum K.

Raum N (A9.80–A10.20/B17.50–B20.50)

Boden: Splitterboden, Ostprofil A10 (672), Beil. 5.

Wände: Nordwand: s. Südwand von Raum M. – Ostwand: nicht erfasst. – Südwand: wohl Verlängerung der Südwand von Raum K. – Westwand: s. Ostwand von Raum K.

Raum O (B17/A12.30–A14)

Boden: Splitterboden, Nordprofil B16.50 (698), Beil. 6.

Wände: Nord-/Ost-/Südwand: nicht erfasst. – Westwand: s. Ostwand von Raum M.

Parzelle III (A20–A40)

Haus III (A20–A40/B0–B24)

Aussenwände: s. Haus III (SP I.1)*Raum P (A20–A30/B20–B24)*

Boden: Kiesboden, Ostprofil A30 (695), Beil. 9; Nordprofil B20.50 (696), Beil. 10; Abb. 28.

Wände: Nordwand: Mauerstumpf: s. Südwand (westlicher Teil) von Raum P (SP I.1); Steinreihe (B19.70/A25–A27) (Abb. 28). – Ost-/Südwand: nicht erfasst. – Westwand: nicht erfasst, vermutlich westliche Aussenwand.

Funde: Bauhorizont: Nr. 1512–1571; Taf. 6,6; Münzen Nr. 32.103; Teil von FK 262.

Raum Q (A24–A28/B18–B20)

Boden: Lehm Boden, kiesig, zum Teil mit Rollierung (Abb. 28).

Wände: Nord-/Ostwand: nicht erfasst. – Südwand: s. Nordwand von Raum P. – Westwand: nicht erfasst, vielleicht westliche Aussenwand.

Strukturen: Grube (A25.50/B18.70), rechteckig, 35×45 cm, 12 cm tief, mit Brandschutt und vielen Bronze- und Eisenschlacken verfüllt, die nicht aufbewahrt wurden.

Funde: Bauhorizont: Nr. 1512–1571; Taf. 6,6; Münzen Nr. 32.103; Teil von FK 262.

Raum R (A23–A29.50/B0–B5)

Boden: nicht erhalten.

Wände: s. Keller W (SP I.1).

11.5.6. Phase 6 (SP I.6; Beil. 21)

Parzelle I (A0–A3)

Raum A (A0–A2/B0–B7.60)

Boden: Splitterboden über Kiesunterlage, an der Oberfläche teilweise brandgerötet, Westprofil A0 (711/712), Beil. 1; Profil B5 (716/717), Beil. 4.

Wände: Nord-/Westwand: nicht erfasst. – Osten: In der Grenzzone zwischen den Parzellen I und II wurden allfällige Befunde durch die Westwand von Haus II (SP II) zerstört. – Südwand: s. nördliche Aussenwand von Haus I.

Funde: Bauhorizont: Nr. 1572–1652; Münze Nr. 144; FK 38.49.54. 70.86.147. – Splitterboden: Nr. 1653–1655; FK 140. – Unterlage/Boden/Benutzungsschicht: Nr. 1656–1660; FK 253. – Schmutzschicht: Nr. 1667–1670; FK 139.

Haus I (A0–A3/B7.70–B23)

Aussenwand Nord: s. nördliche Aussenwand (SP I.5).

Aussenwand Ost: s. westliche Aussenwand (nördlicher Teil) von Haus II (SP I.1).

Aussenwände Süd und West: nicht erfasst.

Raum B (A0–A3/B8–B21)

Boden: Splitterboden, an der Oberfläche teilweise brandgerötet, Westprofil A0 (701/703/709), Beil. 1; Südprofil B11 (683), Beil. 6.

Wände: Nord-/Ostwand: s. nördliche bzw. östliche Aussenwand. – Südwand: s. Südwand von Raum B (SP I.2). – Westwand: nicht erfasst.

Strukturen: fünf Gruben (704/705/706/707/708) im Westprofil A0, Beil. 1, mit je dem unteren Teil einer Ölamphore Dressel 20, verfüllt mit Brandschutt.

Funde: Bauhorizont: Teil von FK 10. – Boden/Brandschutt: Nr. 1661–1666; Teil von FK 9. – Brandschutt: Nr. 1671; FK 390.

Raum C (A0–A3/B21–B23)

Boden: Brandschicht über dem Lehm Boden von Raum D (SP I.5), Westprofil A0 (644/699), Beil. 1; Südprofil B23 (693/727), Beil. 7.

Wände: Nordwand: s. Südwand von Raum B. – Osten: Die Räume C und J wiesen unterschiedliche Böden auf. Beim Ende des Bodens von Raum J könnte man sich eine Markierung, etwa eine Schwelle oder eine Trennwand, denken. – Süd-/Westwand: nicht erfasst.

Funde: Bauhorizont: Teil von FK 10. – Boden/Brandschutt: Nr. 1661–1666; Teil von FK 9.

Parzelle II (A3–A20)

Raum D (A2–A10/B0–B7.40)

Boden: Splitterboden, an der Oberfläche teilweise brandgerötet, Profil A6 (714), Beil. 3; Profil B5 (715), Beil. 4.

Wände: Nord-/Ostwand: nicht erfasst. – Südwand: s. nördliche Aussenwand von Haus II. – Westwand: s. Ostwand von Raum A.

Funde: Unterlage/Splitterboden (Bauhorizont): Nr. 1673–1675. 1681.183.1689; Münze Nr. 161; FK 78. – Brandschutt: Nr. 1694. 1698.1699.1702.1713.1714; Münze Nr. 75; Taf. 5,7; FK 27. – Brandschutt/Gehniveau (Bauhorizont der SP II): Nr. 1715–1728; FK 114.

Haus II (A3–A20/B7.50–B24)

Aussenwände Nord, Ost und West: s. nördliche, östliche und westliche Aussenwand (nördlicher Teil) von Haus II (SP I.1).

Aussenwand Süd: nicht erfasst.

Raum E (A3–A9.20/B8–B13.50)

Boden: Splitterboden, an der Oberfläche teilweise brandgerötet.

Wände: Nord-/Westwand: s. nördliche bzw. westliche Aussenwand. – Ost-/Südwand: s. Ost-/Südwand von Raum F (SP I.5).

Strukturen: Feuerstelle (A4.50/B9), eine grössere Tonplatte, 60×60 cm, 9,5 cm stark, Fragmente von drei kleineren Tonplatten, 45 cm, 8 cm stark, an der Oberfläche grau verbrannt (Abb. 29). – evtl. die beiden Pfostenlöcher (654/655) im Profil A6 (Beil. 3), s. Raum F (SP I.5).

Funde: Brandschutt: Nr. 1693.1695–1697.1700.1701.1703–1712; Münze Nr. 86; Taf. 3,1–3; Taf. 6,7,8; Teil von FK 239.

Raum F (A3–A5.70/B14–B18)

Boden: nicht erhalten.

Wände: Nord-/Ost-/Südwand: s. Nord-/Ost-/Südwand von Raum H (SP I.5). – Westwand: s. westliche Aussenwand.

Funde: Bodenunterlage (Bauhorizont): Nr. 1672.1676.1677.1679.1682.1685.1687.1688; Teil von FK 266. – Brandschutt: Nr. 1693.1695–1697.1700.1701.1703–1712; Münze Nr. 86; Taf. 3,1–3; 6,7,8; Teil von FK 239.

Raum G (A3.50–A6/B18–B21)

Boden: Splitterboden, an der Oberfläche brandgerötet.
Wände: Nord-/Ost-/Südwand: s. Nord-/Ost-/Südwand von Raum J (SP I.5). – Westwand: s. westliche Aussenwand.
Funde: Unterlage/Splitterboden (Bauhorizont): Nr. 1672.1676.1677.1679.1682.1685.1687.1688; Teil von FK 266. – Brandschutt: Nr. 1693.1695–1697.1700.1701.1703–1712; Münze Nr. 86; Taf. 3,1–3; Taf. 6,7,8; Teil von FK 239.

Raum H (A6–A9.60/B13.50–B21)

Boden: Splitterboden, an der Oberfläche brandgerötet.
Wände: s. Wände von Raum K (SP I.5).
Funde: Unterlage/Splitterboden (Bauhorizont): Nr. 1672.1676.1677.1679.1682.1685.1687.1688; Teil von FK 266. – Brandschutt: Nr. 1693.1695–1697.1700.1701.1703–1712; Münze Nr. 86; Taf. 3,1–3; 6,7,8; Teil von FK 239.

Raum J (A3–A10/B21–B24)

Boden: Splitterboden, an der Oberfläche teilweise brandgerötet, teilweise von einer Schmutzschicht bedeckt, Ostprofil A10 (721), Beil. 5; Südprofil B23 (724), Beil. 7.
Wände: Nordwand: s. Südwand von Raum K (SP I.5). – Ostwand: nicht erfasst. – Südwand: nicht erfasst, der Boden war im Süden bis B23.30 erhalten. – Westwand: s. Ostwand von Raum C.
Funde: Unterlage/Splitterboden (Bauhorizont): Nr. 1678.1680.1684.1686; Münze Nr. 69; FK 327. – Brandschicht: Nr. 1690–1692; FK 325.507.

Raum K (A9–A10/B8–B15)

Boden: nicht erhalten.
Wände: s. Wände von Raum G (SP I.5).

Raum L (A9–A14/B15–B17)

Boden: Splitterboden, Nordprofil B16.50 (723), Beil. 6.
Wände: Nord-/Westwand: s. Nord-/Westwand von Raum M (SP I.5). – Ostwand: nicht erhalten. – Süden: Die Räume L und M wiesen unterschiedliche Böden auf; die Südwand von Raum M (SP I.5) bestand also wohl weiter.

Raum M (A9.80–A10.20/B18–B21)

Boden: Lehmboden, Ostprofil A10 (719), Beil. 5.
Wände: Nord-/Süd-/Westwand: s. Nord-/Süd-/Westwand von Raum N (SP I.5). – Ostwand: nicht erfasst.

Parzelle III (A20–A40)

Haus III (A20–A40/B0–B24)

Aussenwände: s. Aussenwände von Haus III (SP I.1).

Raum N (A24–A30/B20–B23)

Boden: wie Raum P (SP I.5).
Wände: wie Raum P (SP I.5).

Raum O (A24–A28/B18–B20)

Boden: wie Raum Q (SP I.5).
Wände: wie Raum Q (SP I.5).

Raum P (A23–A29.50/B0–B5)

Boden: nicht erhalten.
Wände: wie Keller W (SP I.1).

11.6. Steinbauperiode II

(Beil. 1–10; Abb. 30)

11.6.1. Phase I (SP II.1; Beil. 22)

Parzelle I (A0–A3)

Haus I (A0–A3/B0–B25)

Aussenwand Nord: nicht erfasst; evtl. Nordwand von Raum A.
Aussenwände Süd und West: nicht erfasst.
Aussenwand Ost: s. westliche Aussenwand von Haus II.

Raum A (A0–A3/B0–B8)

Boden: Splitterboden.
Wände: Nordwand: Fundament (B0/A0–A2) aus sehr grossen Steinen, Westprofil A0 (741), Beil. 1; Nordprofil B0 (743/746), Beil. 2; Abb. 33, evtl. nördliche Aussenwand. – Ostwand: s. westliche Aussenwand von Haus II. – Südwand: Hohlraum (738) im Westprofil A0, Beil. 1, mit Material von oben verfüllt, über Unterlagestein (651) (SP I.5/6). – Westwand: nicht erfasst.

Raum B (A0–A3/B8–B21)

Boden: Splitterboden, im Süden über einer Steinunterlage, Westprofil A0 (734/735), Beil. 1; Südprofil B11 (754), Beil. 6; Abb. 30.
Wände: Nordwand: s. Südwand von Raum A. – Ostwand: s. östlich Aussenwand. – Südwand: Fundament (B21/A0–A3); grössere und kleinere Kiesel, ohne Mörtel, Westprofil A0 (733), Beil. 1; Abb. 30. – Westwand: nicht erfasst.

Raum C (A0–A10/B21–B26)

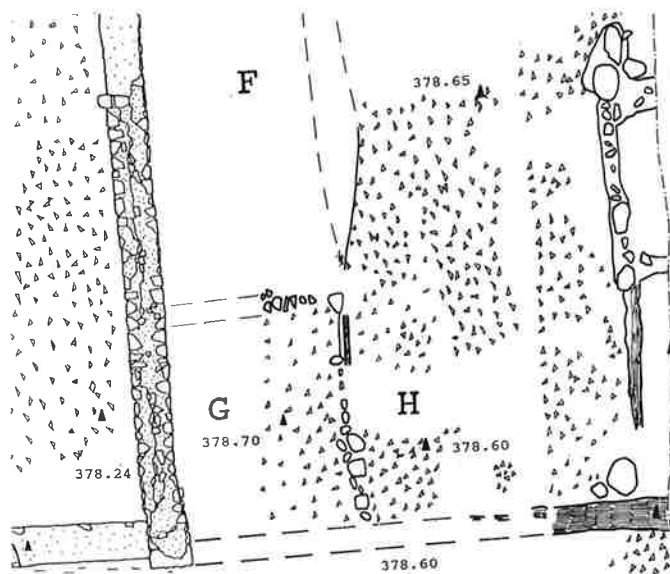
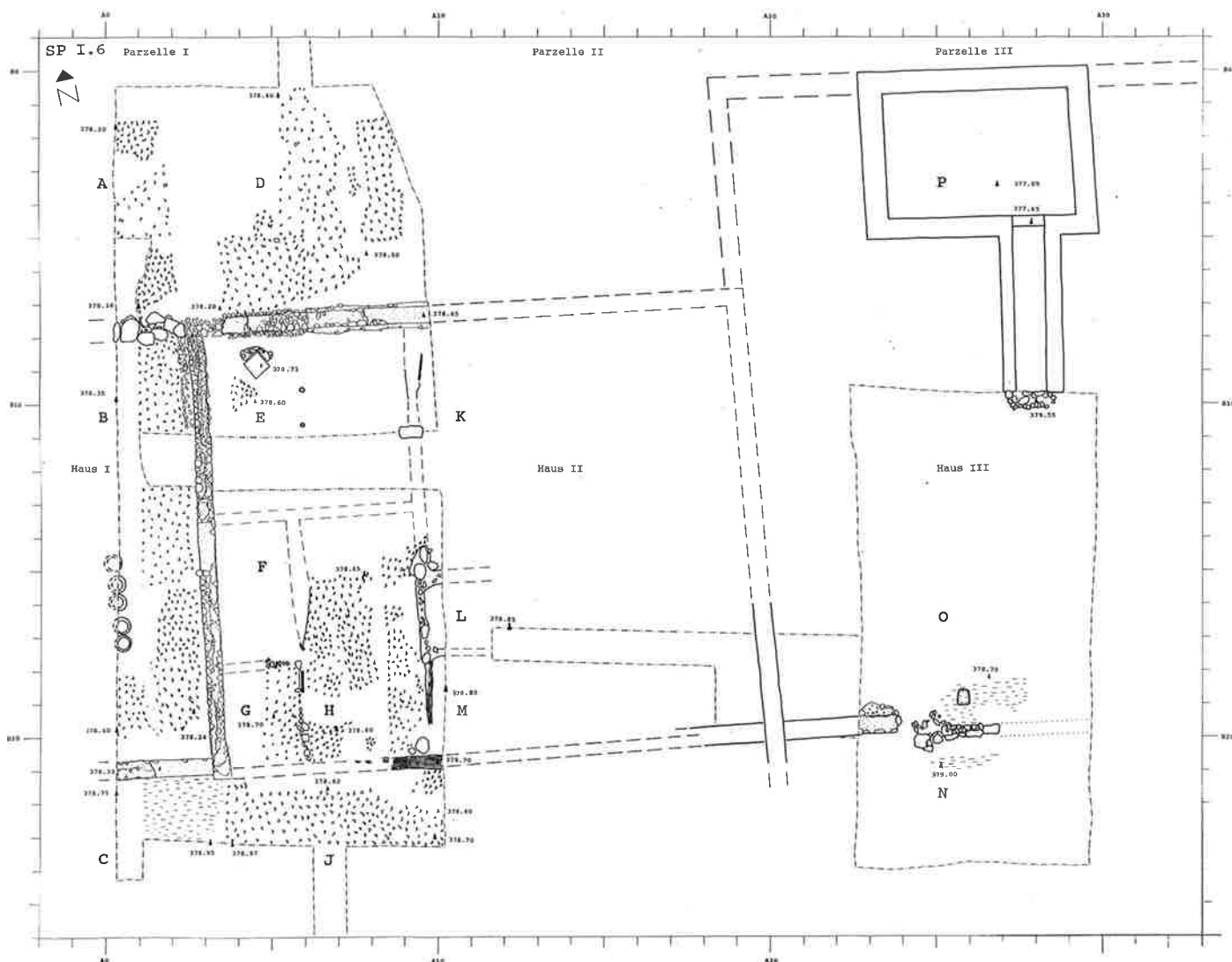
Boden: Splitterboden, im Osten (Parzelle II) zum Teil auf Unterlage aus Ziegelfragmenten, Westprofil A0 (732), Beil. 1; Ostprofil A10 (752), Beil. 5; Südprofil B23 (759), Beil. 7.
Wände: Nordwand: s. Südwand der Räume B/D/E. – Ost-/Süd-/Westwand: nicht erfasst.

Parzelle II (A3–A13)

Haus II (A3–A13/B90–B26)

Zur Koordinate B90 s. Kap. 3.1.2.

Aussenwand Nord: nicht erfasst, vielleicht Nordwand von Raum G.
Aussenwand Ost: mörtelloses Kieselfundament, 80 cm stark, Nordprofil B16.50 (757), Beil. 6; Abb. 38; Sondierschnitt A (A13/B9): mörtelloses Kieselfundament, 80 cm stark; an der OK (ca. 379.10) teilweise letzte Reste von grobkiesigem, hellbeigem Mörtel des Aufgehenden; Sondierschnitt B (A13/B1): Kieselfundament, 75 cm stark, OK 378.70/UK 377.84. Leider haben wir die Schnitte A/B fehlerhaft eingemessen, so dass die Richtung der Mauer nicht exakt zu ermitteln ist. Möglicherweise weicht sie im Norden um 4° nach Westen ab.
Aussenwand Süd: nicht erfasst.



Beil. 21. Steinbauperiode I.6 in der Fläche der 1.-3. Grabungsetappe. M 1:200, Ausschnitt M 1:100. Signaturen s. S. 249.

Aussenwand West: Fundament (A3/B0–B21.40): Süden, Südprofil B11 (755), Beil. 6; Abb. 31.32: Westteil: 2 Lagen auf der westliche Aussenwand (nördlicher Teil) von Haus II (SP I.1) aufliegend; Ostteil: 70 cm stark; Norden, Nordprofil B0 (744), Beil. 2; Profil B5 (756), Beil. 4; Abb. 16.33: 90–100 cm stark, sorgfältig und statisch stabil gelegt. – aufgehendes Mauerwerk (A3/B17–B21.40), 60 cm stark, UK ca. 378.95, zweischalig, 1 Lagen von 20–25 cm hohen Kalksteinquadern, mit hellbeige grauem, grobkiesigem Mörtel; im Norden (744) Hinweise auf eine Mauerstärke von 52 cm auf 378.80.

Funde: Fundament der westlichen Aussenwand: Nr. 1729–1829; Münze Nr. 122; Taf. 5,3,5; FK 20.59.60.69.96.108.132.143.165.200.209.241.242.289.326.278. – Fundamentgraben der westlichen Aussenwand im Osten: Nr. 1740–1846; FK 26.355.369.

Raum D (A4–A8.50/B14.50–B21)

Boden: Splitterboden, von Schmutzschicht bedeckt (s. Abb. 30).

Wände: Nordwand: nicht erhalten. – Ostwand: Balkengraben (A8.50/B14.60–B20.60) in der Flucht des Pfostens (A8.50) in der Südwand, teilweise mit Unterlagesteinen. – Südwand: Fundament (B21/A4–A10), Ostprofil A10 (751), Beil. 5: Kiesel, darüber im Süden Kalkbruchsteine und einzelne Kiesel, mit drei Aussparungen (A4.70; A6.60; A8.50), 30 cm nach innen gehend, mit verkohlten Holzresten (A4.70), mit rechteckigem Schatten (A8.50), mit Holzkohlestücklein durchsetzt, 20×25 cm. – Westwand: s. westliche Aussenwand.

Funde: Fundament der Südwand: Nr. 1831.1832.1834–1836.1838; Teil von FK 254.316. – Benützungsschicht: Nr. 1847–1849.1852.1853.1855.1856.1858.1863.1867.1870; Münzen Nr. 50.138.142; Teil von FK 240.

Raum E (A8.50–A13/B14.50–B21)

Boden: Splitterboden, von Schmutzschicht bedeckt.

Wände: Nordwand: nicht erhalten. – Ostwand: s. östlich Aussenwand. – Südwand: wie Südwand von Raum D. – Westwand: s. Ostwand von Raum D.

Funde: Fundament der Südwand: Nr. 1831.1832.1834–1836.1838; Teil von FK 254.316. – Benützungsschicht: Nr. 1847–1849.1852.1853.1855.1856.1858.1863.1867.1870; Münzen Nr. 50.138.142; Teil von FK 240.

Raum F (A3–A7/B0–B7)

Boden: wohl Holzboden, Profil A6 (747), Beil. 3; Profil B5 (748), Beil. 4.

Wände: Nordwand: wohl Südwand von Raum G. – Ost-/Südwand: nicht erhalten. – Westwand: s. westliche Aussenwand.

Funde: Benützungsschicht: Nr. 1850.1851.1854.1857.1859–1862.1865.1866.1868.1869.1871; Münzen Nr. 3.6.141; FK 25.

Raum G (A5/B91–B0)

Boden: nicht erhalten.

Wände: Nordwand: Fundament (B90.60) im Westprofil A5 von Schnitt 1 (s. Abb. 4): 1.10 m stark, UK 378.14/OK 378.60, grosse lose Kiesel; evtl. nördliche Aussenwand. – Ostwand: nicht erfasst. – Südwand: Fundament (B0/A3–A8) von ungewöhnlich grossen Kiesel, Nordprofil B0 (745/746), Beil. 2. – Westwand: nicht erfasst, vermutlich westliche Aussenwand.

Funde: Fundament der Nordwand: Nr. 1830.1833.1837.1839; FK 536.

11.6.2. Phase 2 (SP II.2)

Parzelle II (A3–A13)

Haus II (A3–A13/B90–B26)

Aussenwände: s. Aussenwände von Haus II (SP II.1).

Raum C (A3–A10/B21–B26)

Boden: Splitterboden, Westprofil A0 (762), Beil. 1; Ostprofil A10 (766), Beil. 5; Südprofil B23 (768), Beil. 7; Abb. 30.

Wände: s. Wände von Raum C (SP II.1).

Raum F (A3–A7/B0–B7)

Boden: Kiesboden mit Benützungsschicht, Profil B5 (763), Beil. 4.

Wände: s. Wände von Raum F (SP II.1).

Funde: Boden: Nr. 1872–1874; FK 29.

11.6.3. Phase 3 (SP II.3)

Parzelle II (A3–A13)

Haus II (A3–A13/B90–B26)

Aussenwände: s. Aussenwände von Haus II (SP II.1).

Raum C (A3–A10/B21–B26)

Boden: Splitterboden, an der Oberfläche brandgerötet, Ostprofil A10 (772), Beil. 5; Südprofil B23 (774), Beil. 7; Abb. 30.

Wände: s. Wände von Raum C (SP II.1).

Funde: Unterlage/Boden (Bauhorizont): Nr. 1875–1896; Taf. 3,4; 5,6; FK 252.

Raum F (A3–A7/B0–B7)

Boden: Brandschicht, Profil B5 (770), Beil. 4.

Wände: s. Wände von Raum F (SP II.1).

Funde: Brandschicht: Nr. 1897–1906; FK 24.

11.6.4. Phase 4 (SP II.4)

Parzelle II (A3–A13)

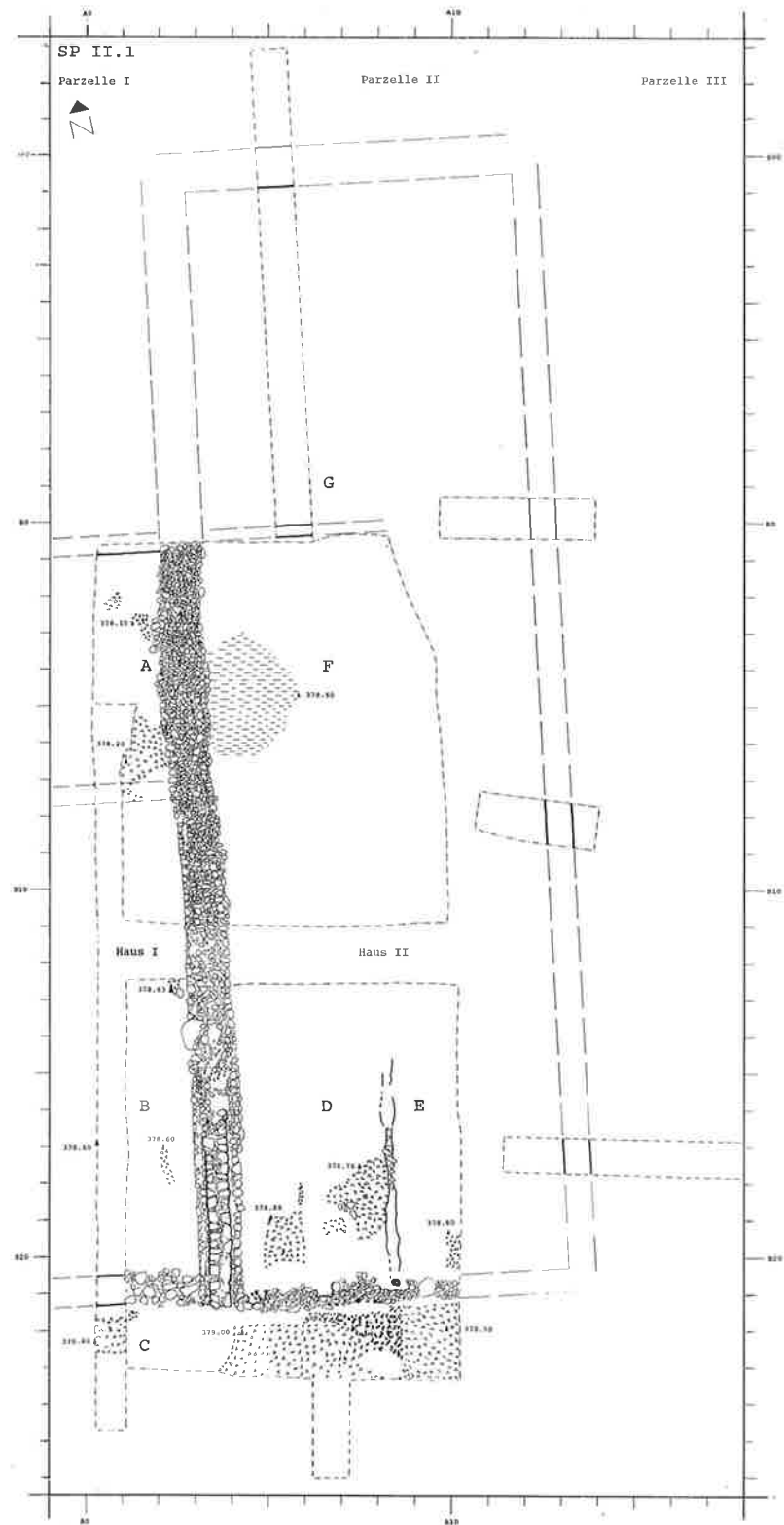
Haus II (A3–A13/B90–B26)

Aussenwände: s. Aussenwände von Haus II (SP II.1).

Raum C (A3–A10/B21–B26)

Boden: Splitterboden, Südprofil B23 (776), Beil. 7; Abb. 30.

Wände: s. Wände von Raum C (SP II.1).



Beil. 22. Steinbauperiode II in der Fläche der 1. und 2. Grabungsetappe, M 1:200, Ausschnitt M 1:100, Signaturen s. S. 249.

11.7. Die Strukturen nördlich der Grabungsfläche

(Beil. 23)

Zu den Koordinaten B80–B99 s. Kap. 3.1.2., zum Problem der Datierung s. Kap. 3.7.

11.7.1. Gruben

Grube G1 (A23/B83)

Niveau: OK nicht gemessen; UK ca. 379.50.

Masse: nicht beschrieben.

Form: nicht beschrieben.

Konstruktion: in den anstehenden Kies eingetieft, direkt ab dem alten Humus.

Einfüllung: nicht beschrieben.

Funde: FK 552; datierende Funde: Münzen: 1 Denar des Marc Aurel unter Antoninus Pius 156/157, Nr. 145; Sigillata: Drag. 18 (1 RS), Drag. 37 (1 RS), Drag. 36 (1 RS), Drag. 31 (1 RS), Drag. 32/40 (1 RS), Drag. 33 (1 BS); Glanztonkeramik: Schüssel (1 RS), Teller (1 RS), Becher (3 RS; 3 WS/BS).

Datierung: Die Grube störte Schacht S8, der wohl im 2. Viertel des 2. Jh. aufgegeben worden war (s. unten). – Die Münze und der Typ Drag. 32 setzen die Auffüllung mindestens ins spätere 2. Jh. (Heiligmann 1990, Tab. 15), die relativ grosse Anzahl von Glanztonkeramik – 5 RS gegenüber 4 RS Sigillata und 2 weiteren Randscherben – sprechen für eine Datierung ins späte 2./frühe 3. Jh. Grube G1 ist wohl der Steinbauperiode II zuzuweisen.

Grube G2 (A19/B95.50)

Niveau: nicht gemessen

Masse: ca. 2 m Durchmesser.

Form: etwa kreisförmig.

Konstruktion: nicht beschrieben.

Einfüllung: leicht verschlammter Lehm.

Funde: FK 570; datierende Funde: Sigillata: Drag. 30 (2 RS), Curle 11 (1 RS), Drag. 35 (1 WS), Drag. 29 mit Stempel ALBUS.FE (1 BS), Albus aus La Graufesenque (Oxé 1936, Nr. 7); TS-Imitation: Drack 13 (1 RS).

Datierung: Bei zwei Scherben sind Brandspuren zu beobachten. Die datierenden Funde weisen in neronisch-frühflavische Zeit: Ware des Albus ist etwa in Aislingen belegt (Ulbert 1959, 38 Nr. 2.3). Der Typ Curle 11 kommt in Rottweil schon im Kastell III vor, während das Schälchen Drag. 35 erst in der Einfüllung der Gräben erscheint (Planck 1975, Tab. 11). Grube G2 ist wohl vor dem Bau der Steinbauperiode I.1 nach dem Brand im Jahre 69 aufverfüllt worden und dürfte der Holzbauperiode II zuzuweisen sein.

Grube G3 (A32/B95)

Niveau: OK ca. 379.20; UK ca. 377.80

Masse: ca. 1.50 m Durchmesser.

Form: nicht beschrieben.

Konstruktion: nicht beschrieben.

Einfüllung: Fundschicht, bedeckt von Brandschutt.

Funde: Fundschicht: FK 573; datierende Funde: Sigillata: Drag. 15 mit Stempel DARRA.FEC (1 RS-BS), Darra aus La Graufe-

senque (Oxé 1936, Nr. 80), Drag. 27 mit Stempel VICIO (1 RS-BS); TS-Imitation: Drack 9 (1 RS).

Datierung: Einer Datierung in neronische Zeit widersprechen die Funde nicht: Ware des Darra ist etwa in Aislingen (Ulbert 1959, Nr. 53) belegt. Das Schälchen Drag. 27 weist eine flau Lippe auf, wie es für die späteren Stücke typisch ist (Kap. 4.2.1.). Grube G3 ist wohl vor dem Bau der Steinbauperiode I.1, nach dem Brand im Jahre 69 aufverfüllt worden und dürfte der Holzbauperiode II zuzuweisen sein.

Grube G4 (A25/B0)

Niveau: OK ca. 379.00; UK ca. 376.90.

Masse: nicht beschrieben.

Form: länglich.

Konstruktion: nicht beschrieben.

Einfüllung: nicht beschrieben.

Funde: FK 576, leider von den Funden aus Schacht S4 nicht mehr zu trennen.

Datierung: Grube G4 lag unter dem Keller W (SP I.1), so dass sie den Holzbauten zuzuweisen ist, wohl der Holzbauperiode II, da sie kein ausgesprochen frühes Material enthält (s. unten, Schacht S4).

Grube G5 (A30/B1)

Niveau: OK ca. 379.30; UK 377.00.

Masse: nicht beschrieben.

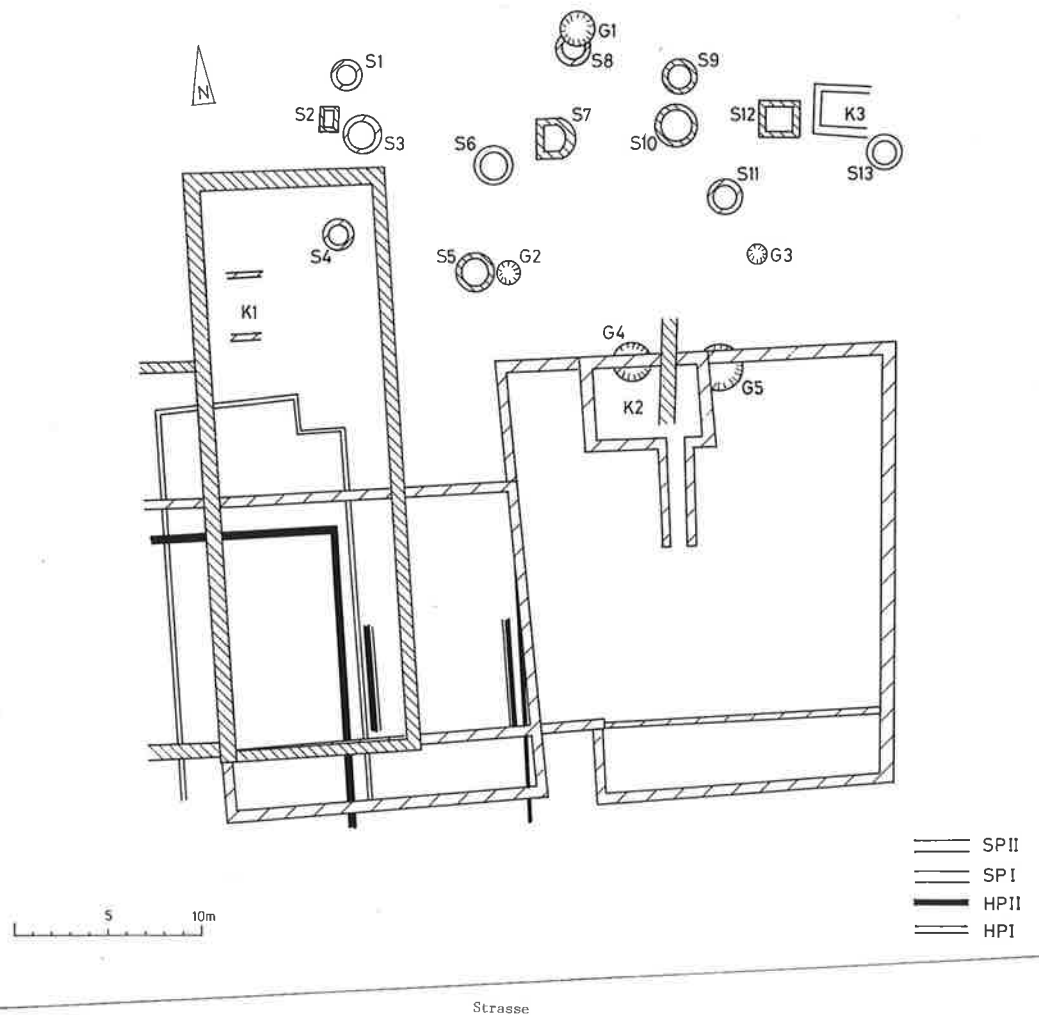
Form: nicht beschrieben.

Konstruktion: nicht beschrieben.

Einfüllung: Benützungsschicht über dem lehmigen Kies des anstehenden Bodens; bedeckt von Lehmschicht mit vielen Scherben, 15 cm stark; bedeckt von schlammigen Schichten mit Resten von vermodertem Holz, 20 cm stark; bedeckt von Schuttschicht, mindestens 50 cm stark.

Funde: Benützungsschicht: FK 568. – Lehm: FK 567. – Gesamte Einfüllung: FK 564; datierende Funde: Münzen: 1 halbiertes republikanischer As, Nr. 16, 1 Dupondius des Caligula 37/38, Nr. 83; Fibeln: Riha Typ 2.6 (1); Sigillata: Drag. 15 (3 RS), Drag. 18 (4 RS), Drag. 27 (3 RS), Drag. 35 (1 RS), Drag. 29 (4 RS), Drag. 30 (1 RS), arretinisches Schälchen mit Stempel XAW (1 BS), Xanthus(?), Teller mit Stempel BALBUS[] (1 BS), aus La Graufesenque (Oxé 1936, Nr. 24); TS-Imitation: Drack 4 (1 RS), Schälchen mit Stempel VILLO FEC (1 BS); Amphoren: Dreschel 20 mit Stempel C. ANT.Q[] (1 WS), C. Antonius Quietus.

Datierung: Die Grube lag unter dem Keller W (SP I.1). Eine Scherbe weist Brandspuren auf. – Die Münze ergibt einen *terminus post* von 37/38. Die übrigen Funde lassen sich problemlos in neronische Zeit setzen (Drag. 15/18/27; Drack 4). Ware des Balbus ist etwa in Aislingen (Ulbert 1959, Nr. 18) nachgewiesen. Die Fibel kommt in Augst vorwiegend in der 1. Hälfte des 1. Jh. vor (Riha 1979, 71). Die jüngsten Funde jedoch datieren in frühflavische Zeit: Amphoren des Antonius Quietus wurden bis anhin ins späte 1./frühe 2. Jh. gesetzt, doch nach Untersuchungen in Augst und Avenches erscheinen Stempel dieses Produzenten schon kurz nach der Mitte des 1. Jh. (Martin-Kilcher et al. 1985, 177 Anm. 41). Schälchen Drag. 35 fanden sich in Rottweil erst in der Einfüllung der Gräben von Kastell III (Planck 1975, Tab. 11). Die Reliefsigillaten sind alle mit statischen Mustern



Beil. 23. Schächte, Gruben und Keller. M 1:400.

wie Medaillons und Wald-/Pfeilzeichen verziert, was an die Exemplare des Kastells III von Rotweil erinnert (zum Medaillon mit knieendem Bogenschützen Inv.-Nr.B77/564.14 findet sich eine gute Parallele: Planck 1975, Taf. 4,14). Ob diese späten Typen nur im obersten Teil der Einfüllung auftraten, lässt sich nicht mehr eruieren, da sie durchwegs aus dem alle Einfüllschichten umfassenden FK 564 stammen. Grube G5 dürfte zwar zur Holzbauperiode II gehören, scheint aber erst einige Zeit nach 69 verfüllt worden zu sein, was ein weiteres Indiz ist, dass Haus III der Steinbauperiode I erst im Laufe der 70er Jahre erbaut wurde. Ein Hinweis auf die Zerstörung durch die 21. Legion könnte ein herzförmiger Anhänger sein, der als typisches *militare* gilt. Militärfunde kamen aber fast ausschliesslich nur in den Schichten der Holzbauperiode II zum Vorschein (s. Kap. 5.4.).

11.7.2. Schächte

Schacht S1 (A11/B85; Abb. 34)

Niveau: OK 378.08; UK nicht gemessen.

Masse: 1.50×1.05 m lichte Weite.

Form: oval.

Konstruktion: mörtelloses Mauerwerk von aufgeschichteten Kiesel.

Einfüllung: als latrinenartig beschrieben, umliegender Kies grünlich verschlamm.

Funde: unterer Teil: FK 554; datierende Funde: Münzen: 1 Denar des Domitiann Nr.132; Sigillata: Drag. 37 (1 RS, 1 WS), Drag. 35/36 (4 RS), Drag. 42 (1 RS), Drag. 33 (2 RS), Drag. 18 (2 RS) mit Stempel SACIANTR[I], Saciantrus von Heiligenberg, Drag. 44 (1 WS); Glanztonkeramik: Becher (2 RS, 6 WS/BS), Schüssel (1 RS), Kanne (1 RS). – oberer Teil: FK 553; datierende Funde: Sigillata: Drag. 18 (1 RS), Drag. 37 (6 RS), Drag. 35/36 (5 RS), Drag. 42 (1 RS), Drag. 33 (2 RS); Glanztonkeramik: Becher (2 RS), Schüssel (4 RS), Teller (6 RS).

Datierung: Der Schacht lag auf der Flucht der Grenze zwischen den Parzellen II/III (SP II). – Die Münze gibt einen terminus post von 81–96 für die erste Auffüllung. Die Sigillata, etwa die Typen Drag. 33 und Drag. 42, datieren ins mittlere 2. Jh. (Ettlin-

ger/Steiger 1971, 5), was der noch nicht sehr hohe Anteil an Glanztonkeramik – 4 RS gegenüber 10 RS Sigillata und 10 weiteren Randscherben – bestätigt. In der oberen Auffüllung ist das Verhältnis von Sigillata zu Glanztonkeramik schon ausgewogen – 15 RS Sigillata gegenüber 12 RS Glanztonkeramik und 29 weiteren Randscherben – so dass eine Datierung ins späte 2./frühe 3. Jh. nicht verfehlt sein dürfte. Schacht S1 ist der Steinbauperiode I zuzurechnen. In der Phase 5 könnte er in letzter Verwendung als Latrine gedient haben. Zur Zeit der Steinbauperiode II muss die durch Setzungen des Einfüllmaterials entstandene Senke wieder aufverfüllt worden sein.

Schacht S2 (A9.50/B87)

Niveau: OK ca. 378.00; UK ca. 377.00.

Masse: 1.40×1.05 m lichte Weite.

Form: viereckig.

Konstruktion: mörtelloses Mauerwerk von aufgeschichteten Kiesel.

Einfüllung: dünne, braune Schlammsschicht über dem grünlich verfärbten Kies des anstehenden Boden; darüber erdiges, verschlammtes Material, mit vielen Steinen, aber wenigen Funden durchsetzt.

Funde: FK 577; datierende Funde: Sigillata: Reliefschüssel (1 WS); Glanztonkeramik: Becher (1 RS, 7 WS); Niederbieber 32/33 (1 WS).

Datierung: Der schwarze Faltenbecher (s. Kap. 5.5.5.), der hohe Anteil an Glanztonbechern und die geringe Präsenz der Sigillata spricht für eine Datierung ins frühere bzw. mittlere 3. Jh. Schacht S2 ist wohl der Steinbauperiode II zuzuweisen.

Schacht S3 (A11/B88)

Niveau: OK ca. 378.00; UK ca. 376.50.

Masse: im oberen Teil 1.60 m Durchmesser, im unteren Teil 1.10 m Durchmesser (lichte Weite).

Form: trichterförmig (s. oben), im Grundriss rund.

Konstruktion: mörtelloses Mauerwerk von aufgeschichteten Kiesel.

Einfüllung: olivgrüner Schlamm mit wenig Keramik; darüber Material mit Brandbrocken, wenig Keramik; Kies in der Senke, die durch das sich Setzen der Einfüllung entstanden war.

Funde: FK 578; datierende Funde: Sigillata: Drag. 29 (2 RS), Drag. 37 (1 RS), Drag. 35/36 (2 RS, 2 WS), Drag. 46 (1 RS); TS-Imitation: Imitation(?) Drag. 36 (1 RS); Firnissschälchen (1 RS); Firmenlampe (1 RS).

Datierung: Der Schacht lag auf der Flucht der Grenze zwischen den Parzellen II/III (SP II). Aufgrund des Brandschuttes in der Einfüllung ist er einer der durch Brand zerstörten Phasen zuzuweisen. Die meisten Sigillaten und die Firmenlampe datieren ins späte 1. Jh., das Firnissschälchen etwas früher. Das jüngste Stück dürfte das Schälchen Drag. 46 sein, das ab dem frühen 2. Jh. erscheint (Ettlinger/Steiger 1974, 5). Glanztonkeramik hingegen fehlt noch. Schacht S3 ist der Steinbauperiode I zuzuweisen und dürfte nach dem Brand der Phase 4 aufgegeben worden sein.

Schacht S4 (A10/B93)

Niveau: OK ca. 378.00; UK 376.50.

Masse: 1.20 m lichte Weite.

Form: rund.

Konstruktion: mörtelloses Mauerwerk von aufgeschichteten Kiesel.

Einfüllung: über dem grünlich verschlammten Kies des anstehenden Bodens bräunliche «Komposterde», mit Obstkernen; darüber grüngrauer Schlamm, mit Steinen und Keramik durchsetzt; darüber dünne Holzkohleschicht; darüber kompostartige Erde, bräunlich, leicht schlammig, mit Steinen, Keramik und Obstkernen durchsetzt; darüber gräuliche Schicht, mit Steinen und Keramik durchsetzt.

Funde: FK 576, nicht mehr von den Funden der Grube G4 zu trennen.

Datierung: Der Schacht lag innerhalb des Hauses II (SP II), was vermuten lässt, dass er zur Steinbauperiode I zu rechnen ist. Im Fundensemble, das auch Material der wohl neronischen Grube 4 enthält, kommt keine Glanztonkeramik vor. Die Sigillata – Drag. 35/36 (3 RS), Drag. 37 (2 RS), Drag. 29 (3 RS), Drag. 15 (1 RS) – sprechen mehrheitlich für eine Datierung in flavische Zeit, das Schälchen Drag. 33 (1 RS), insbesondere eine helltonige Schüssel mit Einstichmuster wie Nr. 1469 vom Bauhorizont der Steinbauperiode I.5 eher für eine etwas spätere Zeitstellung. Der Schacht dürfte der Steinbauperiode I.1–3 zuzuweisen sein.

Schacht S5 (A17/B96)

Niveau: nicht gemessen.

Masse: nicht gemessen, ca. 1.20 m nach Skizze.

Form: rund.

Konstruktion: Steinkranz von mörtellosem Mauerwerk aus aufgeschichteten Kiesel.

Einfüllung: schlammige Erde, grünlichbraun, mit viel Holz, Obstkernen und Keramik.

Funde: FK 569; datierende Funde: Münze: 1 Dupondius der Faustina unter Antoninus Pius 147–161, Nr. 146; Sigillata: Drag. 37 (1 RS, 1 WS), Drag. 33 (1 RS); Glanztonkeramik: Becher (1 RS, 4 WS/BS), Teller (2 RS), Reibschüssel (1 RS).

Datierung: Der Schacht lag auf der Flucht der Grenze der Parzellen II/III (SP I). Die Münze gibt einen terminus post von 147–161. Der hohe Anteil an Glanztonkeramik – 4 RS gegenüber 2 RS Sigillata und 6 sonstige Randscherben – insbesondere das Auftreten einer Reibschüssel (s. Kap. 10.2.) spricht für eine Datierung ins frühere bzw. mittlere 3. Jh. Schacht S5 ist wohl der Steinbauperiode II zuzuweisen.

Schacht S6 (A19/B90)

Niveau: OK 377.56; UK ca. 376.73.

Masse: 1.60 m lichte Weite.

Form: rund.

Konstruktion: mörtelloses Mauerwerk aus aufgeschichteten Kiesel.

Einfüllung: Kiesel und Splitter von neuzeitlichen Backsteinen bis auf eine Tiefe von 1 m; wir verzichten deshalb auf einen weiteren Aushub.

Datierung: neuzeitlich gestört. Schacht S6 lag auf der Grenze der Parzellen II/III (SP I), was für eine Zuweisung zur Steinbauperiode II spricht.

Schacht S7 (A22/B89)

Niveau: OK 377.80; UK 375.27.

Masse: 2×1.82 m lichte Weite.

Form: viereckig, im Querschnitt Verengung mit Knick ca. 1.50 m über der Sohle.

Konstruktion: mörtelloses Mauerwerk von aufgeschichteten Kiesel.

Einfüllung: im unteren Teil braune, kompostartige Abfallschichten, die im oberen Teil nur noch in den Zwischenräumen der Wand vorhanden waren, wo sie nach dem sich Senken kleben geblieben waren; mit vielen Funden, zuunterst ein Nest von 15 Spielsteinen aus Bein, wohl ursprünglich in einem Beutel (Holiger/Holliger 1983, 13. Der Schacht trägt in dieser Publikation die alte Nummer 4. Die angeführten Inv.-Nummern B77/561. 146.147.155 stammen aus dem Schacht, der hier die Nummer 10 trägt.). Die untere Einfüllung enthielt Holzschindeln, die auf ein Dach hinweisen könnten. Die Senke nach der Setzung der Abfallschichten war mit wenig verschmutztem Kies aufgefüllt; darüber humöse Erde. Die obere Einfüllung enthielt auch Kerne (FK 559).

Funde: unterer Teil: FK 560; datierende Funde: Münzen: Domitian: 1 Quinar 81–88, Nr. 131, 1 As 81–96, Nr. 127; Sigillata: Drag. 15 (1 RS), Drag. 29 (1 RS), Drag. 27 (3 RS), Drag. 37 (9 RS), Drag. 35/36 (4 RS), Drag. 33 (2 RS), Becher (1 RS), Drag. 31 (2 RS), Curle 21 (1 RS); Glanztonkeramik: Becher (11 RS), Teller (7 RS), Schüsseln (5 RS), Krug (1 RS). – oberer Teil: FK 559; datierende Funde: Münzen: 1 As des Tiberius 22–30, Nr. 55, 1 As des Domitian 81–96, Nr. 139, 1 Dupondius des Lucius Verus 166/167, 1 unbestimmbar, Nr. 153; Sigillata: Drag. 27 (1 RS), Drag. 18 (2 RS), Drag. 37 (3 RS), Drag. 35/36 (3 RS), Drag. 42 (1 RS), Curle 15 (1 RS), Drag. 33 (2 RS), Drag. 31 (1 RS), Becher (1 RS); Glanztonkeramik: Becher (11 RS), Teller (1 RS), Schüsseln (8 RS); schwarze Faltenbecher Niederbieber 32/33 (2 WS).

Datierung: Das untere Ensemble ist anhand des ausgewogenen Verhältnisses von Sigillata zu Glanztonkeramik – 24 RS zu 25 RS Sigillata und 48 weiteren Randscherben – ins späte 2. allenfalls frühe 3. Jh. zu datieren. Für das obere Ensemble gibt die Münze des Lucius Verus einen *terminus post* von 166/167. Mit einem höheren Anteil an Glanztonkeramik – 21 RS zu 15 RS Sigillata und 44 weiteren Randscherben – ist es ins frühere/mittlere 3. Jh. zu datieren. Schacht S7 ist der SP II zuzuweisen.

Schacht S8 (A22/B84)

Niveau: OK ca. 379.50; UK ca. 376.50.

Masse: 1.20 m lichte Weite.

Form: rund.

Konstruktion: mörtelloses Mauerwerk von aufgeschichteten Kiesel.

Einfüllung: nicht beschrieben.

Funde: oberer Teil: nicht aufgesammelt. – unterer Teil: FK 551; datierende Funde: Sigillata: Drag. 24 (1 RS), Drag. 29 (1 RS; 1 WS), Drag. 18 (1 WS), Drag. 22 (1 RS); Glanztonbecher (2 WS); Schüssel Drack 22 similis (1 RS).

Datierung: Der Schacht war durch die Grube G1 gestört, die ins späte 2./frühe 3. Jh. zu setzen ist. – Die Sigillata datiert die Einfüllung ins mittlere, allenfalls spätere 1. Jh. Glanztonbecher erscheinen in den Siedlungsschichten ab flavische Zeit (Kap. 4.4.2.), rot überzogene Schüsseln Drack 22 similis erst in der hadrianischen Steinbauperiode I.4 (Kap. 4.4.1.). Schacht S8 ist der Steinbauperiode I zuzuweisen und dürfte im 2. Viertel des 2. Jh. aufgegeben worden sein.

Schacht S9 (A29/B85)

Niveau: OK ca. 379.31; UK 377.31.

Masse: 1.30 m lichte Weite.

Form: rund.

Konstruktion: mörtelloses Mauerwerk von aufgeschichteten Kiesel.

Einfüllung: weiche, braune, kompostartige Erdschichten, von dünnen Straten von gebranntem Kalk voneinander getrennt, mit vielen Funden, vom Kalk teilweise gebunden, so dass Holzabfälle und Kerne von verschiedenen Früchten erhalten blieben.

Funde: unterer Teil: FK 555; datierende Funde: Sigillata: Drag. 37 (1 RS, 1 WS); Glanztonkeramik: Becher (1 RS, 2 WS), Schüssel (1 RS), Krug (1 WS).

Datierung: Der Schacht lag auf der Flucht der Grenze der Parzellen III/IV (SP II). Das Ensemble ist seiner Kleinheit wegen schwierig zu datieren. Die gute Präsenz der Glanztonkeramik, insbesondere eine Wandscherbe mit Glasschnittdekor (Inv.-Nr. B77/555.4) spricht für eine Datierung mindestens ins spätere 2. Jh. (Kaenel 1974, 31). Schacht S9 scheint trotz der Lage auf der Parzellengrenze der Steinbauperiode II zuzuweisen sein.

Schacht S10 (A29/B88)

Niveau: OK ca. 377.90; UK 376.67.

Masse: 1.32×1.87 m lichte Weite.

Form: bimenförmig, vermutlich ursprünglich oval.

Konstruktion: mörtelloses Mauerwerk von aufgeschichteten Kiesel.

Einfüllung: über der Grubensohle kompostartige Erde, stark mit Keramik durchsetzt; darüber Schicht mit vielen Ziegelfragmenten. Wir hatten den Eindruck, dass manche Gefässe erst beim Hinunterstürzen zerschellten. Zwei Gefässe blieben sogar ganz.

Funde: FK 561; datierende Funde: Sigillata: Drag. 24 (1 RS), Drag. 35/36 (1 RS), Drag. 33 (2 RS), Drag. 31 (1 RS), Drag. 32 (1 RS); Glanztonkeramik: Becher (6 RS), Schüsseln (3 RS), Teller (2 RS), Reibschüssel (2 RS); Niederbieber 32/33 (1 RS). Annähernd ganze Gefässe: Glanztonbecher (6), Becher Niederbieber 33 (1), orange Becher (1), Flasche in SLT-Tradition (1), graue Tonne/Topf (5), Honigtopf (3), grosser Krug (8), Glanztonschüssel (3), orange Schüssel (1).

Datierung: Der Schacht lag auf der Flucht der Grenze der Parzellen III/IV (SP II). Das Ensemble ist aufgrund des hohen Anteils an Glanztonkeramik bei den kleinen Fragmenten – 13 RS zu 6 RS Sigillata und 27 sonstigen Randscherben – ins frühere bzw. mittlere 3. Jh. zu datieren. Dafür spricht auch die deutliche Präsenz der Glanztonreibschüsseln und der schwarzen Faltenbecher, die dem sogenannten Niederbieber-Horizont zuzurechnen sind (Kap. 5.5.5.; 10.2.). Schacht S10 gehört demnach trotz der Lage auf der Parzellengrenze zur Steinbauperiode II. Ob die abrupte Zerstörung mit dem Brand der Phase 3 im früheren 3. Jh. gleichzusetzen ist, oder ob wir damit eine noch jüngere Zerstörung fassen, ist schwierig zu sagen. Der weit höhere Anteil an Glanztonkeramik im Vergleich zur Einfüllung von Schacht S12, dessen Zerstörung mit einiger Wahrscheinlichkeit mit dem Brand der Steinbauperiode II.3 zusammenhängt, spricht für eine spätere Datierung.

Schacht S11 (A30.50/B92)

Niveau: nicht gemessen.

Masse: 1.20 m lichte Weite.

Form: rund.

Konstruktion: mörtelloses Mauerwerk von aufgeschichteten Kieseln.
Einfüllung: nicht beschrieben.
Funde: FK 571; datierende Funde: Sigillata: Drag. 27 (1 RS), Drag. 37 (2 RS), Drag. 36 (3 RS); Firmenlampe (1 RS).
Datierung: Die Sigillaten gehören mehrheitlich der flavischen Typengruppe D an (Kap. 4.2.1.), ebenso die Firmenlampe (Kap. 5.5.3.). Für eine flavische Datierung des Ensembles spricht auch das Fehlen der Glanztonkeramik. Schacht II ist wohl der Steinbauperiode I.1/2 zuzuordnen.

Schacht S12 (A34/B88)

Niveau: UK 377.57; OK 378.77.
Masse: 1.98×1.82 lichte Weite.
Form: viereckig mit abgerundeten Ecken.
Konstruktion: mörtelloses Mauerwerk von aufgeschichteten Kieseln.
Einfüllung: über der Sohle verkohlte Hölzer und Bretter; darüber eine nicht sehr dicke kompostartige Schicht, die offenbar auch Kerne enthält; darüber folgten Steine und Brandschutt. Die Keramik machte den Anschein, sie sei erst durch die hinuntergefallenen Steine zertrümmert worden.
Funde: FK 558; datierende Funde: Münzen: 1 As des Domitian 81–96, Nr. 136; Sigillata: Drag. 15 (1 RS), Drag. 37 (3 RS), Drag. 35/36 (1 RS), Drag. 42 (1 RS), Curle 11 (1 RS), Becher (1 RS), Drag. 31 (2 RS), Drag. 38 (1 RS); Glanztonkeramik: Becher (4 RS), Schälchen (1 RS), Schüssel (8 RS), Teller (3 RS).
Datierung: Der Schacht ist einer der durch Feuer zerstörten Phasen zuzurechnen. Die Münze ergibt einen belanglosen *terminus post* von 81–96. Glanztonkeramik und Sigillata sind annähernd ausgewogen im Anteil – 16 RS Glanztonkeramik gegenüber 11 RS Sigillata und 45 sonstigen Randscherben – was für eine Datierung ins späte 2./frühe 3. Jh. spricht. Schacht 12 dürfte zur Steinbauperiode II gehören und vielleicht beim Brand der Phase 3 im frühen 3. Jh. zerstört worden sein.

Schacht S13 (A40/B89.50)

Niveau: nicht gemessen.
Masse: 1 m lichte Weite.
Form: rund.
Konstruktion: mörtelloses Mauerwerk von aufgeschichteten Kieseln.
Einfüllung: auf dem Grund graugrünliger, leicht kiesiger Schlamm; darüber riesige Steine von 50–80 cm Durchmesser.
Funde: FK 574. Die Funde sind nicht auffindbar.
Datierung: Der Schacht wurde beim Bau des Kellers K3 zerstört.

11.7.3. Die Keller

Keller K1 (A5/B95.50–B99.10)

Niveau: UK 377.75.
Masse: 3.70 m Aussenmass.
Konstruktion: Wände: Pfostengruben an den Seiten, 10–30 cm in den Boden eingetieft. – Boden: Splitterboden, von Benützungsschicht bedeckt.

Einfüllung: Brandschutt.

Funde: Benützungsschicht: FK 546; datierende Funde: Sigillata: Drag. 18 (1 RS), Drag. 29 (2 WS); Firnissschälchen (1 WS). – Pfostengrube: FK 545; datierende Funde: Sigillata: Drag. 35/36 (1 RS), Drag. 42 (1 RS); Brandschutt: FK 547.548; datierende Funde: Sigillata: Drag. 29 (1 RS), Drag. 30 (1 RS), Drag. 18 (1 RS), Drag. 37 (8 RS), Drag. 35/36 (4 RS), Knorr 78(?) (1 RS), Reliefschälchen Hémet 9(?) (1 RS), Curle 11 (1 RS); Glanztonkeramik: Becher (1 RS, 1 WS); Amphore Dressel 20 (2 RS); TS-Imitation: Drack 4B (1 RS), Drack 19 (1 RS).

Datierung: Der Stratigraphie nach zu urteilen schneidet die Südwand von Raum G (SP II.1) den Keller K1. Demnach muss der Brandschutt von einem früheren Feuer stammen. Die Funde aus dem Brandschutt lassen sich ins spätere 1./frühere 2. Jh. datieren: Die Glanztonkeramik ist mit einer Randscherbe – zu 18 RS Sigillata und 14 sonstigen Randscherben – erst schwach vertreten. Die Sigillata gehört mehrheitlich der flavischen Typengruppe D an (Kap. 4.2.1.). Schälchen Hémet 9 kommen in den Phasen 3/4 der Steinbauperiode I vor. Auch die Amphoren Dressel 20 passen mit den dreieckig nach aussen gezogenen Rändern gut in diese Zeit. Der Teller Drack 4B weist eine Form auf, wie sie erst in der abgebrannten Steinbauperiode I.4 (s. Nr. 1073) erscheint. Der Brandschutt in Keller 1 dürfte vom gleichen Feuer stammen.

Keller K2 (A23–A29.50/B0–B5)

Befund: s. Keller W (SP I.1).
Funde: FK 563; datierende Funde: Sigillata: Curle 15 (1 RS), Curle 23 (1 RS), Drag. 32 (4 RS), Drag. 37 (2 RS), Becher (1 RS); Glanztonkeramik: Krug (1 RS), Reibschüssel (3 RS), Becher (3 RS), Schüssel Lamboglia 2/37 (1 RS); Becher Niederbieber 33 (1 RS).
Datierung: Wegen des gleichartigen Mörtels muss der Keller in der Phase 1 der Steinbauperiode I erbaut worden sein. Das ausgewogene Verhältnis von Sigillata zu Glanztonkeramik – 9 RS zu 7 RS gegenüber 5 sonstigen Randscherben – spricht für eine Datierung der Einfüllung ins späte 2./frühe 3. Jh. Die ostgallischen Schüsseln Drag. 37 mit hoher glatter Randzone, der hohe Anteil an Tellern Drag. 32 und Glanztonreibschüsseln sowie die Schüssel Lamboglia 2/37 könnten auf eine etwas spätere Zeiteinteilung hinweisen. Dagegen spricht aber, dass über dem Keller K2 die 1893 erfasste Mauer lag, die man der SP II zuweisen möchte (s. Kap. 3.6.1.).

Keller K3 (A36–A41/B86–B89.50)

Niveau: OK nicht gemessen; UK ca. 378.00.
Masse: 2.50 m lichte Breite, Länge nicht erfasst.
Konstruktion: Mauerwerk, mit Mörtel. 60 cm über der Sohle verbreiterte sich die Südwand um 30 cm nach innen, was den unteren Teil des Kellers auf 2.20 m verengte.
Einfüllung: Steine, Ziegelstücke, Brandschutt.
Datierung: Der Keller stürzte Schacht S13, dessen Funde verschollen sind. Die Einfüllung deutet darauf hin, dass er durch ein Feuer zerstört wurde.

12. Funde

12.1. Einleitung

Die Kleinfunde werden nach Phasen geordnet und innerhalb der Phasen nach Parzellen und nach Schichten getrennt vorgelegt. Ihnen vorangestellt sind die für die Rekonstruktion der Häuser wichtigen Architekturfunde und die Münzen, da deren Vorlage nach Gattungen sinnvoller erscheint. Zu ihnen geriet auch der Holzkamm (Taf. 5,8), der eigentlich auf die Nr. 1121 folgen sollte. Die Keramik als häufigste Fundgattung ist an den Anfang gestellt. Es folgen die Funde aus Glas, Stein, Bronze und Eisen.

Die Keramik hält sich im Prinzip an folgende Reihenfolge: Import (Sigillata etc.), Imitation (Campana-/Sigillata-) helltonige Keramik mit Überzug, orange Keramik ohne Überzug, graue Feinkeramik sowie helltonige und graue Grobkeramik, wobei bei den letzten vier Kategorien die römischen Formen den keltischen vorangestellt sind. Die bemalte Keramik in SLT-Tradition ist der orangefarbenen Keramik zugerechnet. Leider gab es bis zuletzt geringfügige Verschiebungen in der Zuweisung. Da die Katalognummern jedoch schon mit den einzelnen Textteilen verhängt waren, habe ich von einem bestimmten Zeitpunkt an den Katalog nicht mehr umgestellt, da jede beim Korrigieren übersehene (alte) Nummer Verwirrung gestiftet hätte. In einzelnen Fällen ist eine Katalognummer entfallen. Da die Keramik nicht nur von den Ensembles her betrachtet wird, sondern auch nach den einzelnen Gruppen aufgeschlüsselt ist, scheint mir diese nicht ganz durchgehaltene Ordnung lediglich ein Schönheitsfehler zu sein.

Die Funde sind, wenn nicht anders erwähnt, im Massstab 1:3 abgebildet.

12.2. Bodenelemente

(Taf. 1,1,2)

- 1 2 Bodenfragmente. 45–65 mm, spezifisches Gewicht 1,75 g/cm³; Mörtel mit grauen Kalksteinsplittern und leicht verbranntem, sandigem Lehm; die eine Oberfläche geglättet, wirkt abgelaufen; an der anderen Oberfläche Reste von anhaftendem, verbranntem, mit Häcksel gemagertem Lehm und Abdruck eines Holzes. FO HP II, Brandschutt über den Räumen G/H/L (Haus I). FK 368.
- 2 Bodenfliesenfragment aus Kalkstein. FO SP I.2, Bauhorizont unter Raum N (Haus III). M 1:2. Inv.-Nr. B77/311.18.

12.3. Wandteile

12.3.1. Lehmfachwerk (Taf. 1,3–3,4)

- 3 2 Lehmfachwerkbrocken mit Verputz. 75 mm stark erhalten; 5 mm sandiger Verputz mit geglätteter Oberfläche, darauf ein verbrannter Lehmschlick; 25–45 mm hart verbrannter Lehm mit Häckselspuren; Rutenabdrücke von 10–25 mm Durchmesser. FO HP II, Brandschutt aus Grube (A6/B4) in Raum A (Haus I). FK 181.
- 4 Lehmfachwerkbrocken mit Verputz. Ca. 50 mm stark erhalten; ca. 15 mm harter, kalkreicher Verputz mit rauher Oberfläche; 35 mm verbrannter Lehm mit Häckselspuren; keine Rutenabdrücke erhalten. FO HP II, Brandschutt über den Räumen F/G/J (Haus I). FK 402.
- 5 Lehmfachwerkbrocken. Ca. 60 mm stark erhalten; 40–50 mm sehr hart, fast klinkerartig verbrannter Lehm mit Häckselspuren, Aussenseite glatt verstrichen; Rutenabdrücke von 10–25 mm Durchmesser und Abdrücke von vierkantigen Hölzern parallel zu den Ruten. FO HP II, Brandschutt über den Räumen Q/R/S/U/V (Haus III). FK 255.
- 6 Lehmfachwerkbrocken mit Haftrillen, Rand belegt durch einen seitlichen Holzabdruck. 45 mm erhalten; 28 mm verbrannter Lehm mit Häckselabdrücken, an der Aussenseite Haftrillen, keine Verputzreste; Reste von Rutenabdrücken. FO SP I.4, Brandschutt über Raum C (Haus I). FK 179.
- 2,1 Lehmfachwerkbrocken mit Verputz, Ecke belegt durch einen seitlichen Abdruck und den Bodenabdruck, gegen unten sich verbreiternd. 67 mm erhalten; verbrannter Lehm mit Häcksel, an der Aussenseite Haftrillen und Mörtelreste; Rutenabdruck von 17 mm Durchmesser, senkrecht zum Boden. FO SP I.4, Brandschutt über Raum C (Haus I). FK 179.
- 2 Lehmfachwerkbrocken. 28 mm erhalten; verbrannter Lehm mit Häcksel, Aussenseite relativ glatt, mit lilarötlichem Überzug; Rutenabdrücke von 14 mm Durchmesser. FO SP I.4, Brandschutt über den Räumen Q/S (Haus III). FK 344.
- 3 Lehmfachwerkbrocken mit Verputz. Verbrannter Lehm mit Häckselabdrücken, Aussenseite mit lilarötlichem Überzug und relativ körnigen Mörtelresten; keine Rutenabdrücke erhalten. FO SP I.4, Brandschutt über den Räumen Q/S (Haus III). FK 344.
- 4 Lehmfachwerkbrocken. Relativ hart gebrannter Lehm mit Häckselabdrücken, Aussenseite relativ glatt, evtl. Holzspuren; Rutenabdrücke von ca. 15 mm Durchmesser, schräg zur Ebene der Aussenseite, Abstand 14–24 mm bzw. 27–36 mm. FO SP I.4, Brandschutt über den Räumen J/K/L/M (Haus II). FK 290.
- 5 Lehmfachwerkbrocken mit Verputz. 32 mm erhalten; 5 mm Verputz von körnigem Kalk und viel zum Teil grauem, feinem Kies; 27 mm verbrannter Lehm, mehlig, mit Häckselabdrücken; keine Rutenabdrücke erhalten. FO SP I.4, Brandschutt über den Räumen H/K (Haus II). FK 28.
- 6 Lehmfachwerkbrocken mit Verputz. 35 mm erhalten; verbrannter Lehm, mehlig, mit Häckselabdrücken, an der Aussenseite mit Haftrillen und Verputzresten von relativ körnigem Kalk; keine Rutenabdrücke erhalten. FO SP I.4, Brandschutt über den Räumen J/K/L/M (Haus II). FK 290.
- 3,1 Lehmfachwerkbrocken. 30 mm erhalten; verbrannter Lehm mit Häckselabdrücken, an der Aussenseite mit deutlichen Haftrillen, keine Rutenabdrücke erhalten. FO SP I.6, Brandschutt über den Räumen E/F/G/H (Haus II). FK 239.
- 2 Lehmfachwerkbrocken. 39 mm erhalten; verbrannter Lehm, mit Häckselabdrücken, an der Aussenseite mit Haftrillen; keine Rutenabdrücke erhalten. FO SP I.6, Brandschutt über den Räumen E/F/G/H (Haus II). FK 239.
- 3 Lehmfachwerkbrocken. 49 mm erhalten; 24 mm verbrannter Lehm mit Häckselabdrücken, an der Aussenseite deutliche Haftrillen und auffallende Kalkseinschlüsse (Verputzreste?); Abdruck von gerundetem Holz mit Durchmesser größer als 61 mm. FO SP I.6, Brandschutt über den Räumen E/F/G/H (Haus II). FK 239.
- 4 2 Lehmfachwerkbrocken mit Verputz. 30 mm erhalten; verbrannter Lehm mit Häckselabdrücken, an der Aussenseite deutliche Haftrillen, wenige Mörtelreste und auffallende Kalkeinschlüsse; an der Rückseite Holzabdruck. FO SP II.3, Bauhorizont und Splitterboden in Raum C (Haus II). FK 252.

12.3.2. Wandmalerei (Taf. 3,5–4,3)

- 3,5 10 Fragmente rot (30 cm²); 1 Fragment rot grundiert, dunkelgrau übermalt (2 cm²); 1 Fragment beige-grau mit hellgrauen Streifen (16 cm²). 13 mm stark, sandiger Mörtel, an der Oberfläche dünne Schicht von fast reinem Kalk. FO HP II, Brandschutt über den Räumen G/H/L (Haus I). M 1:2. FK 368.
- 6 2 Fragmente rot (12 cm²). 13 mm stark, sandiger Mörtel, an der Oberfläche dünne Schicht von fast reinem Kalk. FO HP II, Brandschutt über den Räumen F/G/J (Haus I). M 1:2. FK 402.
- 4,1 4 Fragmente rot (25 cm²); 2 Fragmente schwarz (18 cm²); 1 Fragment rot, weißer Streifen, rot grundiert mit dunkelgrauer Übermalung (7 cm²); 1 Fragment rot, mit hellgrünen Streifen übermalt (9 cm²); 2 Fragmente schwarz, rot, rote Grundierung mit zwei weissen Streifen übermalt (22 cm²); 4 Fragmente weiss, beige-grau marmoriert (45 cm²), zwei davon mit orangen Streifen, die zum Teil mit hellgrauer Farbe bedeckt sind; 2 Fragmente blau grundiert, mit dunkelgelben und hellgrünen Streifen bemalt (14 cm²). 13 mm stark, sandiger Mörtel, an der Oberfläche dünne Schicht von fast reinem Kalk. FO HP II, Brandschutt über den Räumen K/L (Haus I). M 1:2. FK 425.
- 2 SP I.1, Nordwand von Raum F (Haus II). Weisser Grund mit roten, gelben, grünen und schwarzen Farbspritzern.
- 3 SP I.2, Nordwand von Raum G (Haus II). Weisser Grund mit roten, gelben, grünen und schwarzen Farbspritzern.

12.3.3. Tubuli (Taf. 5,1–3)

- 5,1 Tubulusfragment. Ton bräunlichorange, sandig, fein gemagert. FO HP II, Bauhorizont in Raum A (Haus I). M 1:2. Inv.-Nr. B77/208.159.
- 2 Tubulusfragment. Ton hell. FO SP I.5, Unterlage/Boden/Benutzungsschicht in Raum A (Haus I). Inv.-Nr. M 1:2. B77/155.17.
- 3 Tubulusfragment. Ton orange, weisse Magerung. FO SP II.1, Fundament der westlichen Aussenmauer von Haus II. M 1:2. Inv.-Nr. B77/165.34.

12.4. Dachelemente (Taf. 5,4–6)

- 5,4 Ziegelstempel [LE]GXICPF der 11. Legion, Jahn Typ 15/Planck Typ 2. FO SP I.1, Boden/Bauhorizont der Phase 2 in den Räumen E/G (Haus II). M 1:2. Inv.-Nr. B77/433.6.
- 5 Ziegelstempel [L.X]XLS.C.V[I] der 21. Legion, Jahn Typ 3. FO SP II.1, Fundament der westlichen Aussenmauer von Haus II. M 1:2. Inv.-Nr. B77/143.24.
- 6 Ziegelstempel [LE]GXICPF der 11. Legion. FO SP II.3, Unterlage/Splitterboden in Raum C (Haus II). M 1:2. Inv.-Nr. B77/252.39.

12.5. Diverses (Taf. 5,7,8)

- 5,7 Marmorstück. FO SP I.6, Brandschutt über Raum D (Haus II). M 1:2. Inv.-Nr. B77/27.11.
- 8 Holzkamm, verbrannt. 100 mm lang, 38 mm breit, 10 mm dick; die eine Seite mit feinen Zinken von 0,3 mm, die andere Seite mit groben Zinken von 0,7 mm. FO SP I.4, Brandschicht in Raum D (Haus I). M 1:2. Inv.-Nr. B77/304.4.

12.6. Schlacken (Taf. 6)

- 6,1 Schmiedeschlacke. 220 g; leicht kalottenförmig; unten eisenhaltig, teilweise magnetisch; oben glasige, dunkle Haut. FO Grubenhaus vor der ersten Überbauung. M 1:2. FK 505.
- 2 Schmiedeschlacke. 320 g; unten eisenhaltig; oben glasig. FO HP I.1, Benützungsschicht in Raum E (Haus I). M 1:2. FK 499.
- 3 Schlacke. 30 g; ausgeglüht. FO HP I.1, Benützungsschicht in Raum E (Haus I). M 1:2. FK 499.
- 4 9 Schlacken. 150 g; ausgeglüht, grünlich, glasig, porös. FO HP I.1, Benützungsschicht in den Räumen A/vor allem B (Haus I). M 1:2. FK 160.
- 5 3 Schlacken. 150 g; ausgeglüht, glasig. FO SP I.5, Splitterboden in Raum B (Haus I). M 1:2. FK 7.
- 6 Mantelschlacke. 50 g; ausgeglüht, glasig; eine Seite mit verbranntem Lehm. FO SP I.5, Bauhorizont in den Räumen P/Q (Haus III). M 1:2. FK 262.
- 7 2 Mantelschlacken. 100 g; verbrannter Lehm mit einer verschlackter Oberfläche. FO SP I.6, Brandschutt in den Räumen E/F/G/H (Haus II). M 1:2. FK 239.
- 8 3 Schlacken. 240 g; ziemlich ausgeglüht. FO SP I.6, Brandschutt in den Räumen E/F/G/H (Haus II). M 1:2. FK 239.

12.7. Münzen (Bestimmungen H.W. Doppler)

12.7.1. Stratifizierte Münzen

Kelten

- 1 Potin der Helvetier; Castelin LM 918. FO SP I.2–4, vermischte Schichten in Raum J bzw. den Räumen L/M. Inv.-Nr. B77/347.71.

Rom, Republik

- 2 Denar, Rom 124 v.Chr.; Crawford RRC 273/1. FO HP II, Brandschutt über Haus III. Inv.-Nr. B77/257.1.
- 3 Denar, Rom 67 v.Chr.; Crawford RRC 409/2. FO SP II.1, Benützungsschicht in Raum F. Inv.-Nr. B77/25.15.
- 4 Denar, Rom 49/48 v.Chr.; Crawford RRC 443/1. FO HP II, Lehm Boden in den Räumen P/Q/R/S/U/V. Inv.-Nr. B77/310.116.
- 5 Denar, Rom 42 v.Chr.; Crawford RRC 494/36. FO SP I.5, Boden/Benützungsschicht in Raum K. Inv.-Nr. B77/345.18.
- 6 Denar, mobile Münzstätte 42 v.Chr.; Crawford RRC 496/1; subaerat. FO SP II.1, Benützungsschicht in Raum F. Inv.-Nr. B77/25.16.
- 7 As, Vienna 42/27 v.Chr.; CCRE Ashmolcan 1081; halbiert. FO SP I.1, Unterlage/Splitterboden (Bauhorizont) in Raum J. Inv.-Nr. B77/357.29.
- 8 As, 89/79 v.Chr.; Semunzialstandard, halbiert. FO SP I.2/3, vermischte Schichten in Raum J. Inv.-Nr. B77/346.33.
- 9 As, 89/79 v.Chr.; Semunzialstandard, halbiert. FO SP I.2/3, vermischte Schichten in Raum J. Inv.-Nr. B77/346.34.
- 10 As, 89/79 v.Chr.; Semunzialstandard, halbiert. FO HP II, Brandschutt über Haus I. Inv.-Nr. B77/368.8.
- 11 As, 89/79 v.Chr.; Semunzialstandard, halbiert. FO HP II, Brandschutt über Haus I. Inv.-Nr. B77/376.172A.
- 12 As, 89/79 v.Chr.; Semunzialstandard, halbiert. FO HP I.2/3, vermischte Schichten in Haus I. Inv.-Nr. B77/461.34.

- 13 As, 89/79 v. Chr.; Semunzialstandard, halbiert. FO SP I.2, Bauhorizont in den Räumen M/L. Inv.-Nr. B77/405.50.
 14 As; halbiert. FO SP I.1, Bodenunterlage (Bauhorizont) in Raum E. Inv.-Nr. B77/189.15.
 15 As; halbiert. FO vor der ersten Überbauung, Benützungsschicht. Inv.-Nr. B77/515.8.
 16 As; halbiert. FO Grube G5 (HP II?). Inv.-Nr. B77/564.35.
 17 As; Viertelstück. FO SP I.2–4, vermischte Schichten in Raum J bzw. den Räumen L/M. Inv.-Nr. B77/347.72.

Augustus und Agrippa

- 18 Dupondius, Nemausus 20–10 v. Chr. RIC I²/51/154(?). FO SP I.3, Bauhorizont in Raum H. Inv.-Nr. B77/373.10.
 19 As, Nemausus 10 v. Chr.–10 n. Chr. RIC I²/51/158; halbiert. FO HP I.2/3, vermischte Schichten in Haus I. Inv.-Nr. B77/461.36.
 20 As, Nemausus 10 v. Chr.–10 n. Chr. RIC I²/51/158. FO SP I.2/3, vermischte Schichten in Raum J. Inv.-Nr. B77/346.35.
 21 As, Nemausus 10 v. Chr.–10 n. Chr. RIC I²/51/158(?). FO HP I.1/2, vermischte Schichten in Haus I. Inv.-Nr. B77/123.4.
 22 As, Nemausus 20 v. Chr.–14 n. Chr. FO HP II, Boden/Benützungsschicht in Haus III. Inv.-Nr. B77/287.1.
 23 As, Nemausus(?). FO HP I.1–3, vermischte Schichten in Haus I. Inv.-Nr. B77/463.24.

Altarserie von Lugdunum

- 24 As, Lugdunum 15–10 v. Chr.; RIC I²/57/230; halbiert. FO HP I.1, Benützungsschicht in Raum D. Inv.-Nr. B77/136b.3.
 25 As, Lugdunum 15–10 v. Chr.; RIC I²/57/230. FO HP II, Brandschicht in den Räumen F/J/G. Inv.-Nr. B77/443.1.
 26 As, Lugdunum 9–14 n. Chr.; RIC I²/58/233. FO SP I.2–4, vermischte Schichten in Raum J bzw. den Räumen L/M. Inv.-Nr. B77/347.73.
 27 As, Lugdunum 9–14 n. Chr.; RIC I²/58/237ff. FO SP I.2–4, vermischte Schichten in Raum J bzw. den Räumen L/M. Inv.-Nr. B77/347.74.
 28 As, Lugdunum 12–14 n. Chr.; RIC I²/58/245. FO SP I.2–4, vermischte Schichten in Raum J bzw. den Räumen L/M. Inv.-Nr. B77/347.75.
 29 As, Lugdunum(?) 12–14 n. Chr.; RIC I²/58/245; Imitation. FO SP I.2–4, vermischte Schichten in Raum J bzw. den Räumen L/M. Inv.-Nr. B77/347.76.
 30 As, Lugdunum 9–14 n. Chr.; RIC I²/58/-. FO HP I.3/HP II, vermischte Schichten in Haus I. Inv.-Nr. B77/448.39.
 31 Sesterz, Lugdunum 9–14 n. Chr. RIC I²/57ff. FO HP II, Brandschutt über den Räumen G/H/L. Inv.-Nr. B77/376.172B.
 32 As, Lugdunum 9–14 n. Chr. RIC I²/57ff. FO SP I.5, Bauhorizont in den Räumen O/P. Inv.-Nr. B77/262.25.
 33 As, Lugdunum 9–14 n. Chr. RIC I²/57ff. FO HP I.2, Brandgrube (A9/B10) in Raum D. Inv.-Nr. B77/116b.1.
 34 As, nach 14 n. Chr.; Imitation. FO SP I.1, Unterlage/Splitterboden (Bauhorizont) in Raum J. Inv.-Nr. B77/357.26.
 35 As, weiter nicht bestimmbar. FO SP I.2–4, vermischte Schichten in Raum J bzw. den Räumen L/M. Inv.-Nr. B77/347.77.
 36 As, weiter nicht bestimmbar. FO HP I.1, Unterlage/Boden/Benützungsschicht in den Räumen B/D/F. Inv.-Nr. B77/504.25.
 37 As, weiter nicht bestimmbar. FO HP I.1, Unterlage/Boden/Benützungsschicht in den Räumen B/D/F. Inv.-Nr. B77/504.26.

Augustus

- 38 Denar, Spanien 19 v. Chr.; RIC I²/47/79a; subaerat. FO SP I.4, Bauhorizont in Raum M. Inv.-Nr. B77/324.59.
 39 As, Rom 16 v. Chr.; RIC I²/69ff.; Münzmeister-As. FO SP I.2, Benützungsschicht in Raum J. Inv.-Nr. B77/365.8.
 40 As, Rom 7 v. Chr.; RIC I²/75/427; Schlagmarke IMPAVG auf Vorderseite. FO HP II, Boden in den Räumen A/E. Inv.-Nr. B77/93.68.
 41 As, Rom 7 v. Chr.; RIC I²/75/432; Schlagmarke IMPAVG auf Rückseite. FO HP II/SP I.1, vermischte Schichten in den Parzellen I/II. Inv.-Nr. B77/219.1.
 42 As, Rom 7 v. Chr.; RIC I²/76/436; Schlagmarken IMPAVG über TIBIM auf Vorderseite. FO HP I.2, Boden/Benützungsschicht in Raum G. Inv.-Nr. B77/497.20.
 43 As, Rom 7/6 v. Chr.; RIC I²/75ff.; Schlagmarke IMPAVG auf Vorderseite. FO HP I.2/3, vermischte Schichten in Haus I. Inv.-Nr. B77/461.35.
 44 As, Rom; Münzmeister-As, Schlagmarke ROM(?) auf Rückseite. FO SP I.2/3, vermischte Schichten in Raum J. Inv.-Nr. B77/346.36.
 45 As; Münzmeister-As(?). FO SP I.1, Benützungsschicht in den Räumen F/G/H. Inv.-Nr. B77/379.4.
 46 As; halbiert. FO SP I.2, Bauhorizont in Raum N. Inv.-Nr. B77/268.9.
 47 As; Münzmeister-As, Schlagmarke IMPAVG auf Vorderseite. FO SP I.1, Boden/Bauhorizont der SP I.2 in den Räumen A/B. Inv.-Nr. B77/211.25.
 48 As; Münzmeister-As(?). FO SP I.1, Unterlage/Boden/Benützungsschicht in Raum A. Inv.-Nr. B77/122.55.

Tiberius

- 49 Denar, Rom 14–37; RIC I²/95/26. FO HP II, Brandschutt über Haus III. Inv.-Nr. B77/257.2.
 50 Denar, Rom 14–37; RIC I²/95/26; subaerat. FO SP II.1, Benützungsschicht in den Räumen D/E. Inv.-Nr. B77/240.16.
 51 As, Rom 15/16; RIC I²/96/35. FO HP II, Brandschutt über Haus I. Inv.-Nr. B77/376.172C.
 52 As, Rom 34/35; RIC I²/98/53. FO SP I.2, Benützungsschicht in Raum J. 340.26.

Tiberius für Drusus

- 53 As, Rom 21/22; RIC I²/97/45; Schlagmarke JI.TICINI auf Rückseite (Speidel/Doppler 1992, 10f. Abb.4). FO HP II, Brandschutt über Haus I. Inv.-Nr. B77/402.18.

Tiberius für Divus Augustus

- 54 As, Rom 15/16; RIC I²/99/71. FO HP II, Brandschutt über Haus I. Inv.-Nr. B77/368.9.
 55 As, Rom 22–30; RIC I²/99/81. FO Schacht S7, evtl. SP II. Inv.-Nr. B77/559.204.
 56 As, Rom 22–30; RIC I²/99/81. FO SP I.1, Unterlage/Splitterboden (Bauhorizont) in Raum J. Inv.-Nr. B77/357.27.
 57 As, Rom 22–30; RIC I²/99/81. FO SP I.2–4, vermischte Schichten in Raum J bzw. den Räumen L/M. Inv.-Nr. B77/347.78.
 58 As, Rom 22–30; RIC I²/99/81. FO SP I.2–4, vermischte Schichten in Raum J bzw. den Räumen L/M. Inv.-Nr. B77/347.79.
 59 As, Rom 22–30; RIC I²/99/81. FO SP I.2, Benützungsschicht in Raum J. Inv.-Nr. B77/365.11.
 60 As, Rom 22–30; RIC I²/99/81. FO SP I.2, Benützungsschicht in Raum J. Inv.-Nr. B77/365.10.

- 61 As, Rom 22–30; RIC I²/99/81. FO SP I.3, Bauhorizont in Raum H. Inv.-Nr. B77/373.11.
- 62 As, Rom 22–30; RIC I²/99/81. FO HP II, Brandschutt über Haus I. Inv.-Nr. B77/376.172D.
- 63 As, Rom 22–30; RIC I²/99/81. FO HP II, Brandschutt über Haus I. Inv.-Nr. B77/376.172E.
- 64 As, Rom 22–30; RIC I²/99/81. FO HP I.2, Boden in Raum E. Inv.-Nr. B77/471.17.
- 65 As, Rom 22–30; RIC I²/99/81. FO SP I.1, Boden/Bauhorizont der SP I.2 in den Räumen A/B. Inv.-Nr. B77/211.26.
- 66 As, Rom 22–30; RIC I²/99/81. FO SP I.4, Benützungsschicht in den Räumen C/D. Inv.-Nr. B77/306.74.
- 67 As, Rom 22–30; RIC I²/99/81. FO SP I.4, Bauhorizont in Raum M. Inv.-Nr. B77/324.60.
- 68 As, Rom 22–30; RIC I²/99/81. FO SP I.4, Bauhorizont in Raum M. Inv.-Nr. B77/324.61.
- 69 As, Rom 22–30; RIC I²/99/81. FO SP I.6, Unterlage/ Splitterboden (Bauhorizont) in Raum J. Inv.-Nr. B77/327.11.
- 70 As, Rom 22–30; RIC I²/99/81. FO SP I.2/3, vermischte Schichten in Raum J. Inv.-Nr. B77/346.37.
- 71 As, Rom 22–30; RIC I²/99/81. FO SP I.2/3, vermischte Schichten in Raum J. Inv.-Nr. B77/346.38.
- 72 As, Rom 22–30; RIC I²/99/81. FO SP I.2/3, vermischte Schichten in Raum J. Inv.-Nr. B77/346.39.
- 73 As, Rom 22–30; RIC I²/99/81. FO HP II, Boden in den Räumen A/E. Inv.-Nr. B77/93.69.
- 74 As, Rom 22–30; RIC I²/99/81. FO SP I.2–4, vermischte Schichten in Raum J bzw. den Räumen L/M. Inv.-Nr. B77/347.80.
- 75 As, Rom 22–30; RIC I²/99/81. FO SP I.6, Brandschutt in Raum D. Inv.-Nr. B77/27.5.
- 76 As, Rom 22–30; RIC I²/99/81; gelocht. FO HP I.3, Bauhorizont in Raum C. Inv.-Nr. B77/207.1.
- 77 As, Rom 22–30; RIC I²/99/81. HP I.1, Boden/Benützungsschicht in Raum G. Inv.-Nr. B77/487.8.
- 78 As, Rom 34–37; RIC I²/99/82. FO SP I.2–4, vermischte Schichten in Raum J bzw. den Räumen L/M. Inv.-Nr. B77/347.81.
- 79 As, Rom 34–37; RIC I²/99/83. FO SP I.3/4, vermischte Schichten in Parzellen I/II. Inv.-Nr. B77/162.14.
- 80 As, Rom nach 22. FO SP I.4, Boden/Benützungsschicht in Raum D. Inv.-Nr. B77/302.2.
- 81 As, Rom(?) nach 22. FO SP I.2, Benützungsschicht in Raum J. Inv.-Nr. B77/365.9.
- 82 As, Rom(?) nach 22. FO SP I.2, Benützungsschicht in Raum J. Inv.-Nr. B77/439.1.
- 89 As, Rom 37/38; RIC I²/110/35; gelocht. FO SP I.2/3, vermischte Schichten in Raum J. Inv.-Nr. B77/346.41.
- 90 Dupondius, Rom 37–41; RIC I²/112/57. FO SP I.2–4, vermischte Schichten in Raum J bzw. den Räumen L/M. Inv.-Nr. B77/347.83.
- 91 Dupondius, Rom 37–41; RIC I²/112/57. FO SP I.2–4, vermischte Schichten in Raum J bzw. den Räumen L/M. Inv.-Nr. B77/347.84.

Caligula für Divus Augustus

- 92 Dupondius, Rom 37–41; RIC I²/112/56. FO SP I.2–4, vermischte Schichten in Raum J bzw. den Räumen L/M. Inv.-Nr. B77/347.85.
- 93 Dupondius, Rom 37–41; RIC I²/112/56. FO SP I.2–4, vermischte Schichten in Raum J bzw. den Räumen L/M. Inv.-Nr. B77/347.86.
- 94 Dupondius, Rom 37–41; RIC I²/112/56; Schlagmarke TIAV auf Vorderseite. FO SP I.4, Bauhorizont in Raum M. Inv.-Nr. B77/324.63.
- 95 Dupondius, Rom 37–41; RIC I²/112/56. FO SP I.2–4, vermischte Schichten in Raum J bzw. den Räumen L/M. Inv.-Nr. B77/347.87.

Caligula für Agrippa

- 96 As, Rom 37–41; RIC I²/112/58. FO SP I.3, Unterlage/Boden/Benützungsschicht in Raum B. Inv.-Nr. B77/370.1.
- 97 As, Rom 37–41; RIC I²/112/58. FO SP I.2, Benützungsschicht in Raum J. Inv.-Nr. B77/358.1.
- 98 As,? 37–41; RIC I²/112/58; Imitation. FO SP I.2–4, vermischte Schichten in Raum J bzw. den Räumen L/M. Inv.-Nr. B77/347.88.
- 99 As, Rom 37–41; RIC I²/112/58. FO SP I.2–4, vermischte Schichten in Raum J bzw. den Räumen L/M. Inv.-Nr. B77/347.89.
- 100 As, Rom 37–41; RIC I²/112/58. FO SP I.2/3, vermischte Schichten in Raum J. Inv.-Nr. B77/346.42.
- 101 As, Rom 37–41; RIC I²/112/58. FO SP I.3/4, vermischte Schichten in Haus II. Inv.-Nr. B77/337.15.
- 102 As, Rom 37–41; RIC I²/112/58. FO SP I.4, Bauhorizont in Raum M. Inv.-Nr. B77/324.64.
- 103 As, Rom 37–41; RIC I²/112/58. FO SP I.5, Bauhorizont in den Räumen O/P. Inv.-Nr. B77/262.26.

Claudius

- 104 Dupondius, Rom 41–50; RIC I²/127/94. FO SP I.2/3, vermischte Schichten in Raum J. Inv.-Nr. B77/346.43.
- 105 As, Rom 41–50; RIC I²/127/95. FO SP I.2–4, vermischte Schichten in Raum J bzw. den Räumen L/M. Inv.-Nr. B77/347.90.
- 106 As, Rom 41–50; RIC I²/128/97. FO SP I.2–4, vermischte Schichten in Raum J bzw. den Räumen L/M. Inv.-Nr. B77/347.91.
- 107 Sesterz, Rom 41–50; RIC I²/128/99. FO SP I.2–4, vermischte Schichten in Raum J bzw. den Räumen L/M. Inv.-Nr. B77/347.92.
- 108 As, Rom 41–50; RIC I²/128/100. FO SP I.2/3, vermischte Schichten in Raum J. Inv.-Nr. B77/346.44.
- 109 As,? 41–50; RIC I²/128/100; Imitation. FO SP II.1, Fundament der Wand zwischen den Räumen D/E. Inv.-Nr. B77/316.5.
- 110 As, Rom 41–50; RIC I²/128/100. FO SP I.3, Bauhorizont in Raum H. Inv.-Nr. B77/373.12.

Caligula

- 83 Dupondius, Rom 37/38; RIC I²/110/34. FO Grube G5, evtl. HP II. Inv.-Nr. B77/568.9.
- 84 Dupondius, Rom 37/38; RIC I²/110/34. FO SP I.2/3, vermischte Schichten in Raum J. Inv.-Nr. B77/346.40.
- 85 As, Rom 37/38(?); RIC I²/111/38(?). FO SP I.4, Bauhorizont in Raum M. Inv.-Nr. B77/324.62.

Caligula für Germanicus

- 86 As, Rom 37/38; RIC I²/110/35. FO SP I.6, Brandschutt über den Räumen E/F/G/H. Inv.-Nr. B77/239.25.
- 87 As, Rom 37/38; RIC I²/110/35. FO SP I.2, Benützungsschicht in Raum J. Inv.-Nr. B77/365.12.
- 88 As, Rom 37/38; RIC I²/110/35. FO SP I.2–4, vermischte Schichten in Raum J bzw. den Räumen L/M. Inv.-Nr. B77/347.82.

- 111 As, Rom 41–50; RIC I²/128/100. FO SP I.2/3, vermischte Schichten in Raum J. Inv.-Nr. B77/346.45.
- 112 As, Rom 41–50; RIC I²/128/100. FO SP I.2–4, vermischte Schichten in Raum J bzw. den Räumen L/M. Inv.-Nr. B77/347.93.
- 113 As, Rom(?) 41–50; RIC I²/128/100; Vorderseite: Kopf nach rechts statt nach links. FO SP I.2–4, vermischte Schichten in Raum J bzw. den Räumen L/M. Inv.-Nr. B77/347.94.
- 114 As; Imitation. FO SP I.2–4, vermischte Schichten in Raum J bzw. den Räumen L/M. Inv.-Nr. B77/347.95.
- 115 As; Imitation. FO SP I.3, Böden in Raum M. Inv.-Nr. B77/381.5.
- Claudius für Nero Drusus*
- 116 Sesterz, Rom 41/42; RIC I²/127/93. FO Benützungsschicht in den Räume C/D. Inv.-Nr. B77/306.75.
- Nero*
- 117 Sesterz, Rom 64–66; RIC I²/162/168. FO SP I.2–4, vermischte Schichten in Raum J bzw. den Räumen L/M. Inv.-Nr. B77/347.96.
- 118 Sesterz, Lugdunum 64–66; RIC I²/178/443. FO SP I.2–4, vermischte Schichten in Raum J bzw. den Räumen L/M. Inv.-Nr. B77/347.97.
- 119 As, Lugdunum 66–68; RIC I²/182/540. FO SP I.4, Bauhorizont in Raum M. Inv.-Nr. B77/324.65.
- 120 As, Lugdunum 66–68; RIC I²/182/543. FO SP I.4, Boden/ Benützungsschicht in Raum M. Inv.-Nr. B77/315.49.
- 121 As, ? neronisch; Vorderseite: ... AVG ..., Kopf des Nero, barhaupt nach links; Rückseite: SC, Blitzbündel. Vgl. RIC I²/95/83 (Divus Augustus); ähnlich hybride Prägung vgl. BMC I/276/Anm. 391. FO SP I.4, Bauhorizont in Raum M. Inv.-Nr. B77/324.66.
- Vitellius*
- 122 Denar, Rom 69; RIC I²/273/109; subaerat. FO SP I.1, Fundament der westlichen Aussenmauer von Haus II. Inv.-Nr. B77/242.1.
- Vespasian*
- 123 Sesterz, Rom(?) 71(?); RIC II/69/443(?). FO SP I.2–4, vermischte Schichten in Raum J bzw. den Räumen L/M. Inv.-Nr. B77/347.98.
- 124 As, Rom 72/73; RIC II/77/528. FO SP I.2–4, vermischte Schichten in Raum J bzw. den Räumen L/M. Inv.-Nr. B77/347.99.
- 125 As, Rom 72/73; RIC II/77/528.. FO SP I.4, Bauhorizont in Raum M. Inv.-Nr. B77/324.67.
- 126 Dupondius, Lugdunum 77/78; RIC II/103/753. FO SP I.6, Benützungsschicht/Bauhorizont der SP II.1 in Haus II. Inv.-Nr. B77/251.14.
- 127 Dupondius, Lugdunum 77/78; RIC II/103/753. FO SP I.3/4, vermischte Schichten in Haus II. Inv.-Nr. B77/318.9.
- Domitian unter Vespasian*
- 128 As, Rom 77/78; RIC II(Vesp.)/99/724. FO SP I.2/3, vermischte Schichten in Raum J. Inv.-Nr. B77/346.46.
- Titus*
- 129 As, Rom 80/81; RIC II/130/123. FO SP I.4, Boden/ Benützungsschicht in Raum M. Inv.-Nr. B77/315.48.
- Domitian*
- 130 Denar, Rom 95; RIC II/175–176; Vorderseite: IMP/CAES/DOMIT/AVG/GERM/PM/TRP/X...; Rückseite: IM(sic)/XXII/COSXVII/CENS/PP/P Minerva; subaerat. FO Schacht S1, evtl. SP I.5. Inv.-Nr. B77/554.61.
- 131 Quinar, Rom 81–88; Victoria nach links. FO Schacht S7, SP II. Inv.-Nr. B77/560.207.
- 132 Denar; Kern eines subaeraten Denars. FO Schacht S1, evtl. SP I.5. Inv.-Nr. B77/554.62.
- 133 As, Rom 90/91; RIC II/203/397. FO SP II.1, Bauhorizont in Raum C. Inv.-Nr. B77/293.3.
- 134 Dupondius, Rom 90/91; RIC II/203/392 var.; FORTVNAE/REDVCI, statt FORTVNAE/AVGVSTI. FO SP I.6, Benützungsschicht/ Bauhorizont der SP II.1 in Haus II. Inv.-Nr. B77/251.15.
- 135 As, Rom 81–96; VIRTVTI/AVGVSTI(?). FO Schacht S7, SP II. Inv.-Nr. B77/560.208.
- 136 As, Rom 81–96. FO Schacht S12, evtl. SP II.3. Inv.-Nr. B77/558.167.
- 137 As, Rom 81–96. FO SP I.6, Benützungsschicht/ Bauhorizont der SP II.1 in Haus II. Inv.-Nr. B77/251.16.
- 138 As, Rom 81–96. FO SP II.1, Benützungsschicht in den Räumen D/E. Inv.-Nr. B77/240.17.
- 139 As, ? 81–96. FO Schacht S7, SP II. Inv.-Nr. B77/559.202.
- 140 As, ? 81–96. FO SP I.3/4, vermischte Schichten in Haus I. Inv.-Nr. B77/323.20.
- Traian*
- 141 Dupondius, Rom 99/100; RIC II/274/413. FO SP II.1, Benützungsschicht in Raum F. Inv.-Nr. B77/25.17.
- 142 Dupondius, Rom 103–111; RIC II/284/563. FO SP II.1, Benützungsschicht in den Räumen D/E. Inv.-Nr. B77/240.18.
- 143 As. FO SP I.6, Brandschutt/Bauhorizont der SP II.1 über Haus I. Inv.-Nr. B77/117.36.
- 144 Dupondius, Rom um 100. FO SP I.6, Bauhorizont in Raum A. Inv.-Nr. B77/86.83.
- Marcus Aurelius unter Antoninus Pius*
- 145 Denar, Rom 156/157; RIC III(Ant.Pius)/88/473. FO Grube G1, SP II. Inv.-Nr. B77/552.21.
- Faustina II unter Antoninus Pius*
- 146 Dupondius, Rom 147–161. FO Schacht S5, SP II. Inv.-Nr. B77/569.34.
- Lucius Verus*
- 147 Dupondius, Rom 166/167; RIC III/329/1462. FO Schacht S7, SP II. Inv.-Nr. B77/559.203.

Commodus unter Marcus Aurelius

- 148 Dupondius, Rom 179; RIC III/343/1614. FO SP I.6-SP II.2, vermischte Schichten in Parzelle I. Inv.-Nr. B77/18.41.

unbestimmbar, wohl alle 1. Jh.

- 149 Bronze. FO HP II, Boden in Raum G. Inv.-Nr. B77/447.48.
150 Bronze. FO HP II, Brandschutt über Haus I. Inv.-Nr. B77/376.172F.
151 Bronze. FO SP I.1, Unterlage/Splitterboden (Bauhorizont) in Raum J. Inv.-Nr. B77/357.28.
152 Bronze; gelocht. FO SP I.2, Bauhorizont in Raum E. Inv.-Nr. B77/217.30.
153 Bronze. FO Schacht S7, SP II. Inv.-Nr. B77/560.209.
154 Bronze; Fragment. FO SP I.2–4, vermischte Schichten in Raum J bzw. den Räumen L/M. Inv.-Nr. B77/347.101.

unbestimmbar, halbierte Stücke, 1. Hälfte 1. Jh.

- 155 Bronze. FO HP I.2/3, vermischte Schichten in Haus I. Inv.-Nr. B77/461.37.
156 Bronze. FO HP I.1–3, vermischte Schichten in Haus I. Inv.-Nr. B77/463.35.
157 Bronze. HP I.2, Bauhorizont in Raum H. Inv.-Nr. B77/464.49.
158 Bronze. FO HP I.2, Boden in den Räumen E/F. Inv.-Nr. B77/481.12.
159 Bronze. FO SP I.2–4, vermischte Schichten in Raum J bzw. den Räumen L/M. Inv.-Nr. B77/347.100.
160 Bronze. FO SP I.5, Boden/Benutzungsschicht in Raum K. Inv.-Nr. B77/345.19.
161 Bronze. FO SP I.6, Unterlage/Splitterboden (Bauhorizont). Inv.-Nr. B77/78.19.

12.7.2. Münzen aus unsicheren Fundzusammenhängen

Rom, Republik

- 1' Denar, Rom 55 v. Chr.; Crawford RRC 430,1; subaerat. Fundort nicht zuweisbar. Inv.-Nr. B77/42.1.
2' Denar, mobile Münzstätte 32/31 v. Chr.; Crawford RRC 544/20. FO nicht zuweisbar, über der SP I.6. Inv.-Nr. B77/14.20
3' As, 89/79 v. Chr.; Semunzialstandard, halbiert. FO evtl. HP II. Inv.-Nr. B77/41.1.
4' As, 89/79 v. Chr.; Semunzialstandard, halbiert. FO evtl. SP I.1. Inv.-Nr. B77/401.30.

Augustus und Agrippa

- 5' As, Nemausus 10 v. Chr.–10 n. Chr. RIC I²/51/158. FO evtl. HP II. Inv.-Nr. B77/437.147.

Altarserie von Lugdunum

- 6' As, Lugdunum 9–14 n. Chr.; RIC I²/58/233. FO evtl. HP II. Inv.-Nr. B77/437.148.

Augustus

- 7' As, Rom 16/15 v. Chr.; RIC I²/69ff.; Münzmeister-As. FO evtl. HP I.2. Inv.-Nr. B77/449.62.

- 8' As, Rom 7/6 v. Chr.; RIC I²/75ff.; Schlagmarke IMPAVG auf Rückseite. FO evtl. HP I.2. Inv.-Nr. B77/449.63.
9' As, Münzmeister-As. FO evtl. HP I.2. Inv.-Nr. B77/449.64.
10' As; Münzmeister-As, Schlagmarken IMPAVG und TIBIM auf Vorderseite. FO nicht zuweisbar, über SP II. Inv.-Nr. B77/237.33.

Tiberius für Divus Augustus

- 11' As, Rom 22–30; RIC I²/99/81. FO evtl. SP I.1. Inv.-Nr. B77/401.31.
12' As, Rom 22–30; RIC I²/99/81. FO nicht zuweisbar. Inv.-Nr. B77/377.8.

Caligula für Divus Augustus

- 13' Dupondius, Rom 37–41; RIC I²/112/56. FO evtl. SP I.3. Inv.-Nr. B77/13.11.

Claudius

- 14' As, Rom 41–50; RIC I²/128/97. FO nicht zuweisbar; über SP I.6. Inv.-Nr. B77/238.63.

Domitian

- 15' Dupondius, Rom 90/91; RIC II/203/392. FO nicht zuweisbar, über SP I.6. Inv.-Nr. B77/21.8.
16' As, Rom nach 84; COS X.... FO nicht zuweisbar, über SP I.6. Inv.-Nr. B77/4.69.

Hadrian

- 17' Denar, Rom 119–138; subaerat. FO Streufund. Inv.-Nr. Streufund.
18' Sesterz, Rom 118; RIC II/408/547. FO nicht zuweisbar, SPI.6 und darüber. Inv.-Nr. B77/330.1.

Lucius Verus

- 19' Dupondius, Rom 161–169. FO nicht zuweisbar. Inv.-Nr. B77/204.55.

Iulia Maesa

- 20' Denar, Rom 218–222; RIC IV2/50/268. FO nicht zuweisbar, über SP I.5. Inv.-Nr. B77/22.13.

Severus Alexander

- 21' Denar, Rom(?) 222–235(?); subaerat. FO nicht zuweisbar. Ohne Inv.-Nr. Streufund.

unbestimmbar, wohl alle 1. Jh.

- 22' Bronze. FO nicht zuweisbar, über SP I.6. Inv.-Nr. B77/4.70.

- 23' Bronze. FO evtl. HP II, evtl. Bauhorizont in Parzelle I. Inv.-Nr. B77/89.66.
- 24' Bronze. FO evtl. HP II, evtl. Bauhorizont in Parzelle I. Inv.-Nr. B77/90.80.
- 25' Bronze. FO evtl. SP I.1. Inv.-Nr. B77/222.5.
- 26' Bronze. FO evtl. HP I.3, Bauhorizont von Haus I. Inv.-Nr. B77/449.65.
- 27' Bronze. FO nicht zuweisbar. Inv.-Nr. B77/519.23.

12.8. Keramik und Kleinfunde aus Schichten vor der ersten römischen Überbauung (s. Beil. 11)

12.8.1. Benützungsschicht

- 1 RS hartgebrannter Becher. Ton graubeige, mit hellen Körnern; Oberfläche aussen dunkelgrau. Inv.-Nr. B77/515.3.
- 2 WS mit Rädchenmuster. Ton grau. Inv.-Nr. B77/515.7.
- 3 RS Kochtopf mit Kammstrichmuster. Ton grau, fein gemagert, hart gebrannt. Inv.-Nr. B77/509.1.
- 4 RS Kochschüssel. Ton beige-grau, mit hellen, feinen Körnern; Oberfläche schwarz. Inv.-Nr. B77/515.4.
- 5 RS Kochschüssel. Ton grau, mit hellen Körnern. Inv.-Nr. B77/515.5. Passscherbe zu Inv.-Nr. B77/504.15. (FO Unterlage/Boden Benützungsschicht in den Räumen B/D/F der HP I.1).

12.8.2. Grab

- 6 RS Schüssel Drack 21. Überzug orangerot. Inv.-Nr. B77/484.1.
- 7 RS einhenkliger Krug, Henkel wohl dreistabig. Ton orange. Inv.-Nr. B77/484.3.

12.8.3. Grubenhaus

- 8 WS glasiertes Gefäß mit Nuppen. Ton bräunlichorange; aussen mit dunkelolivegrüner Glasur. Inv.-Nr. B77/480.3.
- 9 RS Campana-Imitation Schälchen. Ton grau, mit Glimmer; Oberfläche dunkelgrau. Inv.-Nr. B77/480.7.
- 10 RS Campana-Imitation Teller. Ton grau; aussen und am Rand Reste von schwarzer, geglätteter Oberfläche/Überzug. Inv.-Nr. B77/516.2.
- 11 RS Campana-Imitation Teller. Ton grau, leicht sandig, mit Glimmer. Inv.-Nr. B77/480.5.
- 12 RS Campana-Imitation Teller. Ton grau, leicht sandig, mit Glimmer; Oberfläche dunkelgrau, am Rand leicht geglättet. Inv.-Nr. B77/505.2.
- 13 RS TS-Imitation Teller Drack 2. Überzug orangerot. Inv.-Nr. B77/485.1.
- 14 RS TS-Imitation Teller Drack 2. Überzug orangerot. Inv.-Nr. B77/516.1.
- 15 RS Teller. Ton orangebeige, sandig, mit Glimmer. Inv.-Nr. B77/505.1.
- 16 RS Schultertopf. Ton hellgrau, mit Glimmer. Inv.-Nr. B77/516.3.
- 17 RS Schultertopf. Ton grau, mit Glimmer; Oberfläche auf der Schulter geglättet. Inv.-Nr. B77/483.2.
- 18 RS Schultertopf. Ton hellgrau, mit Glimmer; Oberfläche auf der Schulter geglättet. Inv.-Nr. B77/505.4.
- 19 RS Schultertopf. Ton hellgrau, mit Glimmer; Oberfläche auf der Schulter geglättet. Inv.-Nr. B77/480.6.

- 20 RS Schulterbecher. Ton grau, sandig, mit Glimmer; Oberfläche rauh. Inv.-Nr. B77/505.4.
- 21 WS mit Rädchenmuster. Ton grau, mit hellen Körnern; Oberfläche teilweise geglättet. Inv.-Nr. B77/505.8. Passscherbe zu Inv.-Nr. B77/483.3. (FO Grubenhaus).
- 22 RS Kochschüssel. Ton beige-grau, mit feinen, hellen Körnern. Inv.-Nr. B77/505.5.
- 23 RS Kochschüssel. Ton grau, mit hellen und dunklen Körnern. Inv.-Nr. B77/505.7.
- 24 RS Kochtopf mit Rillenmuster. Ton hellgrau, mit hellen Körnern. Inv.-Nr. B77/516.4.
- 25 RS Kochtopf mit feinem Kammstrichmuster. Ton graubeige, mit feinen, hellen Körnern. Inv.-Nr. B77/505.6.
- 26 RS Kochtopf. Ton graubeige, mit hellen Körnern. Inv.-Nr. B77/483.1.
- 27 RS Glasflasche. Glas blaugrünlich. Inv.-Nr. B77/505.9.

12.9. Keramik und Kleinfunde der Holzbauperiode I

12.9.1. Phase 1 (HP I.1; s. Beil. 12)

Parzelle I

Lehmboden in Raum G

- 28 RS TS Teller Drag. 15, verbrannt. Inv.-Nr. B77/473.1.
- 29 RS TS Teller Drag. 18, verbrannt. Inv.-Nr. B77/473.2.
- 30 RS Amphore Dressel 20. Ton hellrosabeig, mit feinen, dunklen Körnern (evtl. Martin-Kilcher 1987, Tongruppe 1). Inv.-Nr. B77/473.5.
- 31 RS TS-Imitation Schälchen Drack 9. Überzug bräunlichorange. Inv.-Nr. B77/473.3.
- 32 RS TS-Imitation Platte Drack 2. Überzug orangerot. Inv.-Nr. B77/473.4.
- 33 RS TS-Imitation Platte Drack 2. Reste von orangerotem Überzug. Inv.-Nr. B77/496.1.

Unterlage/Boden Benützungsschicht

- 34 RS TS Drag. 18(?), südgallisch (Ton hell), Durchmesser nicht bestimmbar. FO Raum E. Inv.-Nr. B77/503.1.
- 35 RS Firnis-schälchen, Orientierung unsicher. Ton hellbeige; Überzug orangebraun. FO Räume B/D/vor allem F. Inv.-Nr. B77/504.11.
- 36 RS Amphore Dressel 20. Ton kern hellgrünlichbeige, Mantel hellorange, mit feinen, weissen und dunklen Körnern (evtl. Martin-Kilcher 1987, Tongruppe 3). FO Raum E. Inv.-Nr. B77/503.4.
- 37 RS TS-Imitation Platte Drack 2. Reste von rotbraunem Überzug. FO Räume B/D/vor allem F. Inv.-Nr. B77/504.1.
- 38 RS TS-Imitation Platte Drack 2. Reste von orangerotem Überzug. FO Räume B/D/vor allem F. Inv.-Nr. B77/504.2.
- 39 RS TS-Imitation Platte Drack 2. Reste von dunkelgrauschwarzem Überzug. FO Raum G. Inv.-Nr. B77/487.4.
- 40 RS TS-Imitation Teller Drack 2. Überzug/polierete Oberfläche schwarz. FO Räume B/D/vor allem F. Inv.-Nr. B77/504.6.
- 41 RS TS-Imitation Platte 4A. Überzug rotorange. FO Raum E. Inv.-Nr. B77/503.2.
- 42 RS TS-Imitation Platte Drack 4A. Überzug/polierete Oberfläche schwarz. FO Räume B/D/vor allem F. Inv.-Nr. B77/504.7.
- 43 RS TS-Imitation Schüssel Drack 19. Überzug orangerot. FO Raum G. Inv.-Nr. B77/487.2.
- 44 RS Schüssel Drack 21. Überzug rotorange. FO Räume B/D/vor allem F. Inv.-Nr. B77/504.3.

- 45 RS Schüssel Drack 21, Fehlbrand(?). Ton rötlichbeige, mit Glimmer; Oberfläche dunkelgrau, aussen geglättet. FO Raum G. Inv.-Nr. B77/487.5.
- 46 RS Schüssel Drack 21, mit verzogenem Rand (Fehlbrand?). Ton grau, mit Glimmer; aussen Reste von grauer, poliert Oberfläche/Überzug. FO Raum G. Inv.-Nr. B77/487.6.
- 47 RS Schüssel Drack 20. Ton grau; Reste von schwarzer, poliert Oberfläche/Überzug. FO Räume B/D/vor allem F. Inv.-Nr. B77/504.8.
- 48 RS Napf. Ton dunkelgrau; Oberfläche aussen poliert. FO Räume B/D/vor allem F. Inv.-Nr. B77/504.17.
- 49 RS feiner Topf. Ton grau; Oberfläche aussen geglättet. FO Räume B/D/vor allem F. Inv.-Nr. B77/504.14.
- 50 RS Schülertopf. Ton grau, sandig; auf der Schulter Reste von geglätteter Oberfläche. FO Raum E. Inv.-Nr. B77/503.6.
- 51 RS Becher. Ton dunkelbeige; Oberfläche schwarz, poliert. FO Räume B/D/vor allem F. Inv.-Nr. B77/504.16.
- 52 WS mit Rädchenmuster. Ton grau. FO Räume B/D/vor allem F. Inv.-Nr. B77/504.21.
- 53 WS mit Netzwerkemuster. Ton grau. FO Räume B/D/vor allem F. Inv.-Nr. B77/504.20.
- 54 RS Kochtopf mit Kammstrichmuster, handgemacht. Ton dunkelbeige bis braunschwarz, mit feinen, hellen Körnern. FO Raum E. Inv.-Nr. B77/503.5.
- 55 Fragment von Eisensieb. FO Raum G. Inv.-Nr. B77/487.10. M 1:2.
- 56 Bronzefragment. FO Raum E. Inv.-Nr. B77/503.8. M 1:2.
- 57 Aucissafibel (Riha Typ 5.2.1). Bronze. FO Raum G. Inv.-Nr. B77/487.9. M 1:2.

Benützungsschicht

- 58 RS TS-Imitation Platte Drack 2. Überzug rotorange. FO Raum D. Inv.-Nr. B77/136b.1.
- 59 RS TS-Imitation Schälchen Drack 9 mit unlesbarem Stempel. Überzug orangerot. FO Raum G. Inv.-Nr. B77/468.1.
- 60 RS Schüssel Drack 21. Reste von orangerotem Überzug. FO Raum A/vor allem Raum B. Inv.-Nr. B77/160.1.
- 61 RS Schüssel Drack 21. Aussen orangeroter Überzug, innen Reste von bräunlichschwarzer Kruste (Verpichung?) mit bräunlichbeiger Haut. FO Raum E. Inv.-Nr. B77/499.1.
- 62 RS Schüssel Drack 21. Überzug orangerot. FO Raum G. Inv.-Nr. B77/495.1.
- 63 Tonbalsarium. Ton orange. FO Raum G. Inv.-Nr. B77/468.4.
- 64 RS Kanne. Ton dunkelbräunlichgrau, hart gebrannt; Oberfläche dunkelgrau. FO Raum G. Inv.-Nr. B77/495.2.
- 65 RS Dolium. Tonkern dunkelgrau, Mantel rötlich, mit weissen Körnern; Oberfläche dunkelgrau. FO Raum G. Inv.-Nr. B77/469.1. Passscherbe zu Inv.-Nr. B77/497.18. (FO Boden/Benützungsschicht in Raum G der HP I.2).
- 66 WS grosses, handgeformtes Gefäss mit Glättrillen, Orientierung unbekannt. Ton grau, mit hellen Körnern. FO Raum G. Inv.-Nr. B77/468.3.
- 67 Klemmzange(?) aus Eisen, vierkantig. FO Raum E. Inv.-Nr. B77/470.1.

Balkengraben

- 68 RS Bildlampe. Ton gelblichweiss; Überzug dunkelbraun. FO zwischen den Räumen A/B. Inv.-Nr. B77/151.2.
- 69 RS Teller. Ton graubeige. FO zwischen den Räumen B/D. Inv.-Nr. B77/520.2.

12.9.2. Phase 2 (HP I.2; s. Beil. 13)

Parzelle I

Bodenunterlage (Bauhorizont)

- 70 RS Firmisbecher. Ton orange; Überzug dunkelbraun. FO Raum D. Inv.-Nr. B77/137.1.
- 71 RS Vorratstopf mit Kammstrichmuster, handgemacht, oben überdreht. Ton grau, fein gemagert, mit Glimmer. FO Raum D. Inv.-Nr. B77/231.1. Passscherbe zu Inv.-Nr. B77/223.15. (FO Unterlage/Boden/Benützungsschicht in den Räumen C/D).
- 72 RS Kochtopf mit Kammstrichmuster, handgemacht. Ton graubeige, grob gemagert; Oberfläche braungrau bis dunkelbraun. FO Raum G. Inv.-Nr. B77/512.4.

Unterlage/Splitterboden (Bauhorizont) in Raum H

- 73 RS TS Schälchen Haltern 11, südgallisch (Ton hell). Inv.-Nr. B77/464.1.
- 74 RS TS Schälchen Drag. 24, verbrannt. Inv.-Nr. B77/464.2.
- 75 RS TS Teller Drag. 18, verbrannt. Inv.-Nr. B77/464.3.
- 76 RS Bildlampe mit Volutenschauze. Ton hellgelblichbeige; Überzug lachsrot. Inv.-Nr. B77/464.17.
- 77 RS grosse Reibschüssel, Durchmesser 56 cm. Ton beige, gemagert, mit Glimmer (ähnlich wie Amphorenton); Oberfläche innen mit groben Körnern. Inv.-Nr. B77/464.24.
- 78 RS Campana-Imitation Schale. Ton grau, fein gemagert; Oberfläche dunkelgrau. Inv.-Nr. B77/464.36.
- 79 RS TS-Imitation Platte Drack 2, teilweise verbrannt. Überzug hellrot. Inv.-Nr. B77/464.6.
- 80 RS TS-Imitation Teller Drack 2. Überzug rotbraun. Inv.-Nr. B77/464.8.
- 81 RS TS-Imitation Schälchen Drack 9. Überzug rotorange. Inv.-Nr. B77/464.9.
- 82 RS TS-Imitation Schälchen Drack 9. Überzug orangerot. Inv.-Nr. B77/464.7.

Unterlage/Splitterboden (Bauhorizont) in Raum H

- 83 RS TS-Imitation Schüssel Drack 19. Überzug orange. Inv.-Nr. B77/464.10.
- 84 BS TS-Imitation Teller mit Stempel VI[.], Villo(?). Überzug orangerot. Inv.-Nr. B77/464.5. M 1:1.
- 85 RS Schüssel mit Horizontalrand. Ton orange, mehlig, fein gemagert; Überzug matt, rot, mit Goldglimmer, Grösse 7 cm². Inv.-Nr. B77/464.18. Die Scherbe stammt vermutlich nicht aus dieser Schicht (s. Kap. 5.3.1.).
- 86 RS Reibschüssel mit Ausguss. Tonkern beige, Mantel orange, mit Glimmer; Oberfläche innen mit groben, hellen Körnern. Inv.-Nr. B77/464.23.
- 87 RS Krug. Ton bräunlichorange, mit Glimmer. Inv.-Nr. B77/464.22.
- 88 RS Krug. Ton hellbeige, mit Glimmer. Inv.-Nr. B77/464.19.
- 89 RS Krug mit zweistabigem Henkel. Tonkern bräunlichorange, Mantel gräulich; Oberfläche bräunlichorange. Inv.-Nr. B77/464.20.
- 90 RS Krug. Ton hellorangebeige, mit Glimmer. Inv.-Nr. B77/464.21.
- 91 WS in SLT-Tradition. Ton orangerosa; Oberfläche aussen poliert, mit dunkler und weisser Streifenbemalung. Inv.-Nr. B77/464.30.
- 92 RS Schüssel Drack 20. Ton grau; aussen Reste von schwarzer, polierter Oberfläche/Überzug. Inv.-Nr. B77/465.13.
- 93 RS Schüssel Drack 20. Ton grau; aussen schwarze polierte Oberfläche/Überzug. Inv.-Nr. B77/464.14.

- 94 RS Gurtenbecher. Ton grau, mit Glimmer; aussen Reste von polierter Oberfläche. Inv.-Nr. B77/464.37.
- 95 WS mit Kerbmuster. Ton grau. Inv.-Nr. B77/464.47.
- 96 RS Schulterbecher mit Kammstrichmuster. Ton hellgrau, mit Glimmer. Inv.-Nr. B77/464.33.
- 97 RS Schulterbecher mit geglätteter Schulter. Ton braunschwarz, mit Glimmer; Oberfläche schwarz. Inv.-Nr. B77/464.34.
- 98 RS Becher mit Kammstrichmuster. Ton grau. Inv.-Nr. B77/464.32.
- 99 RS Becher mit Brandblasen. Ton dunkelgrau, mit Glimmer; aussen Oberfläche geglättet. Inv.-Nr. B77/464.35.
- 100 RS Kochnapf, handgemacht, Durchmesser nicht bestimmbar. Ton bräunlich, mit hellen Körnern; Oberfläche dunkelgrau. Inv.-Nr. B77/464.43.
- 101 RS Kochnapf, handgemacht, Durchmesser nicht bestimmbar. Ton dunkelgrau, gemagert; Oberfläche dunkelgrau bis schwarz. Inv.-Nr. B77/464.40.
- 102 RS Kochtopfdeckel, handgemacht. Ton dunkelgrau, mit hellen Körnern. Inv.-Nr. B77/464.41.
- 103 RS Kochtopfdeckel. Ton beigegrau, gemagert; Oberfläche schwarz. Inv.-Nr. B77/464.42.
- 104 RS Kochtopf mit Kammstrich. Ton bräunlich, mit Glimmer, gemagert; Oberfläche braungrau bis schwarz. Inv.-Nr. B77/464.38.
- 105 RS Kochtopf. Ton dunkelbraungrau, gemagert; Oberfläche aussen mit Resten einer Kruste. Inv.-Nr. B77/464.39.

Unterlage/Lehmboden in Raum F

- 106 RS TS Teller Drag. 15, südgallisch. Inv.-Nr. B77/502.1.
- 107 RS Bildlampe. Ton hellgrünlichbeige; Überzug rotbraun bis braun. Inv.-Nr. B77/502.8.
- 108 RS TS-Imitation Teller Drack 2. Wenige Reste von rotem Überzug. Inv.-Nr. B77/502.2.
- 109 RS TS-Imitation Platte Drack 4B. Überzug schwarz. Inv.-Nr. B77/502.5.
- 110 RS Schüssel Drack 21. Überzug bräunlichrot. Inv.-Nr. B77/502.3.
- 111 RS feiner Napf. Ton dunkelgrau, mit Glimmer; Oberfläche schwarz, geglättet. Inv.-Nr. B77/502.14.
- 112 RS Schulterbecher. Ton dunkelbraun; Oberfläche schwarz, am Hals poliert. Inv.-Nr. B77/502.13.
- 113 WS mit Rädchenmuster. Ton grau; Oberfläche unterhalb des Musters poliert. Inv.-Nr. B77/502.16.

Unterlage/Boden/Benutzungsschicht in den Räumen C/D

- 114 RS TS Schälchen Haltern 11, Variante, südgallisch (Ton hell). Inv.-Nr. B77/223.2.
- 115 BS TS Schälchen mit Stempel CRESTI[O], Crestio aus La Graufesenque (Oxé 1936, 383) (Ton hell). Inv.-Nr. B77/223.1. M 1:1.
- 116 RS TS-Imitation Schälchen Drack 9. Überzug rotorange. Inv.-Nr. B77/223.3.
- 117 RS Schüssel Drack 21. Überzug aussen orangerot. Inv.-Nr. B77/223.5.
- 118 RS Schüssel Drack 21. Überzug aussen orangerot, Oberfläche innen mit bräunlicher Kruste. Inv.-Nr. B77/223.4.
- 119 RS Krug. Ton beigerosa, mit Glimmer. Inv.-Nr. B77/223.12.
- 120 RS Krug. Ton orange. Inv.-Nr. B77/223.11.
- 121 RS Schultertopf. Ton dunkelbeige, mit hellen Körnern; Oberfläche dunkelgrau, mit hellen Körnern. Inv.-Nr. B77/223.16.
- 122 RS Kochtopf. Ton bräunlich, gemagert; Oberfläche schwarz. Inv.-Nr. B77/223.18.

- 123 RS Kochtopf. Ton grau, mit hellen Körnern. Inv.-Nr. B77/223.17.
- 124 WS Kochtopf mit Kammstrichmuster. Ton braungrau, fein gemagert; Oberfläche dunkelgrau. Inv.-Nr. B77/223.22.

Unterlage/Boden/Benutzungsschicht/Grube in Raum D

- 125 BS TS Schälchen Drag. 27 mit Stempel VRI, Vrius Arvernicus aus La Graufesenque (Oswald 1931, 346) oder Vrius aus Montans (Bémont/Jacob 1986, 186) (Ton hell). Inv.-Nr. B77/131.1.
- 126 RS Firnissschälchen mit Griessbewurf. Ton hellorangebeige; Überzug hellbraunorange. Inv.-Nr. B77/131.9.
- 127 RS TS-Imitation Platte Drack 2. Überzug orange. Inv.-Nr. B77/131.3.
- 128 RS TS-Imitation Teller Drack 2. Überzug orange. Inv.-Nr. B77/131.2.
- 129 RS Imitation einer pompejanisch-roten Platte. Ton beige; aussen Oberfläche orange, rau, innen Überzug orangebraun, glatt. Inv.-Nr. B77/131.10.
- 130 RS Schüssel Drack 21. Aussen Reste von braunorangem Überzug. Inv.-Nr. B77/131.4.
- 131 RS Schüssel Drack 21. Ton grau; Oberfläche dunkelgrau. Inv.-Nr. B77/131.7.
- 132 RS Topf(?). Ton grau, sandig, gemagert. Inv.-Nr. B77/131.13.
- 133 RS Kochtopf mit Kammstrichmuster, verzogener Rand. Ton grau, gemagert. Inv.-Nr. B77/131.14.
- 134 RS Napf, handgemacht. Ton bräunlichgrau, gemagert; Oberfläche aussen teilweise geschwärzt, innen dunkelgrau. Inv.-Nr. B77/131.12.

Lehmboden

- 135 WS TS Schüssel Drag. 30, südgallisch. FO Räume E/F. Inv.-Nr. B77/481.2.
- 136 RS Bildlampe. Ton hellgelblichbeige; Überzug hellorange bis bräunlich. FO Räume E/F. Inv.-Nr. B77/481.5.
- 137 RS TS-Imitation Schälchen Drack 9. Reste von rotem Überzug. FO Raum E. Inv.-Nr. B77/471.2.
- 138 RS TS-Imitation Drack 2, Durchmesser nicht genau bestimmbar. Überzug orangerot. FO Raum E. Inv.-Nr. B77/471.1.
- 139 RS TS-Imitation Teller Drack 3Da. Überzug rotorange. FO Raum E. Inv.-Nr. B77/471.3.
- 140 RS TS-Imitation Teller Drack 4A. Überzug schwarz. FO Raum E. Inv.-Nr. B77/471.5.
- 141 RS Schüssel Drack 21, Durchmesser nicht genau bestimmbar. Überzug bräunlichrot. FO Raum F. Inv.-Nr. B77/501.2.
- 142 RS grosser Krug. Ton dunkelorange; Oberfläche orange. FO Raum E. Inv.-Nr. B77/471.8.
- 143 WS Becher(?) mit bräunlich bemalter Riefelzone. Ton orange; Oberfläche aussen geglättet. FO Räume E/F. Inv.-Nr. B77/481.7.
- 144 WS Schüssel mit Riefelung. Ton beige; Oberfläche/Haut innen orange, poliert. FO Raum E. Inv.-Nr. B77/471.13.
- 145 RS feiner Napf. Ton grau; Oberfläche schwarz, poliert. FO Räume E/F. Inv.-Nr. B77/481.10.
- 146 RS Becher mit Kammstrichmuster. Ton dunkelbeigegrau. FO Raum E. Inv.-Nr. B77/471.14.
- 147 RS Kochtopf. Ton dunkelgrau, mit hellen Körnern. FO Raum E. Inv.-Nr. B77/471.15.

Boden/Benutzungsschicht in Raum G

- 148 RS TS Schälchen Haltern 15, Arretina(?), mit Einstichreihe unterhalb des geriefelten Knickes. Inv.-Nr. B77/497.2.
- 149 RS TS Platte Drag. 15, südgallisch. Inv.-Nr. B77/497.1.

- 150 RS TS-Imitation Platte Drack 2. Überzug rötlichorange. Inv.-Nr. B77/497.6.
- 151 RS TS-Imitation Teller Drack 4B. Überzug orangerot. Inv.-Nr. B77/497.5.
- 152 RS Deckel. Ton hellorangebeige. Inv.-Nr. B77/497.8.
- 153 RS Schale. Ton beige-grau; Oberfläche schwarz, aussen geglättet. Inv.-Nr. B77/497.12.
- 154 RS Becher. Ton bräunlich; Oberfläche schwarz, aussen geglättet. Inv.-Nr. B77/497.11.
- 155 RS Topf. Ton dunkelbeige-grau; Oberfläche aussen poliert. Inv.-Nr. B77/497.17.
- 156 RS Schulterbecher. Ton grau; Oberfläche aussen geglättet. Inv.-Nr. B77/497.14.
- 157 RS Schulterbecher. Ton grau; Oberfläche aussen poliert. Inv.-Nr. B77/497.15.
- 158 RS Topf. Ton grau; Oberfläche aussen geglättet. Inv.-Nr. B77/497.13.
- 159 RS Koch(?) -Topf. Ton braun, fein gemagert; Oberfläche schwarz. Inv.-Nr. B77/497.16.
- 160 RS Kochtopf, Rand leicht verzogen. Ton orangebräunlich, fein gemagert; Oberfläche aussen teilweise geschwärzt. Inv.-Nr. B77/497.7.
- 161 Deckelfragment(?) einer Bronzekanne. Inv.-Nr. B77/497.21. M 1:2.

Benützungsschicht

- 162 RS TS Schälchen Drag. 24, südgallich. FO Raum L. Inv.-Nr. B77/557.1.
- 163 RS TS-Imitation Platte Drack 2. Überzug bräunlichrot. FO Raum A. Inv.-Nr. B77/172.1.
- 164 Webgewicht. Ton orange. Gewicht 580 g. FO Raum J. Inv.-Nr. B77/475.1.

Grube in Raum D

- 165 RS TS-Imitation Schälchen Drack 9. Ton orange, mit Glimmer; Überzug orange. Inv.-Nr. B77/118.1. Passscherbe zu Inv.-Nr. B77/213.14. (FO Unterlage/Boden/Benützungsschicht in Raum A der HP I.3). Ton orangerosa, mit Glimmer, mit wenigen hellen Körnern; Überzug rotorange. – Das unterschiedliche Aussehen der beiden zusammenpassenden Scherben zeigt deutlich, wie unterschiedliche Einlagerungsbedingungen sich auf die Keramik auswirken können, und warnt davor, aus den heutigen Materialunterschieden allzu grosse Schlüsse zu ziehen.
- 166 RS TS-Imitation Platte Drack 2. Überzug orangebraun. Inv.-Nr. B77/118.2.
- 167 RS Becher mit Netzwerk. Ton bräunlich; Oberfläche schwarz, am Hals aussen poliert. Inv.-Nr. B77/118.5.
- 168 RS Schulterbecher. Ton dunkelbeige-grau; Oberfläche schwarz, am Hals aussen poliert. Inv.-Nr. B77/118.4.
- 169 RS Kochtopf. Ton grau, gemagert; Oberfläche schwarz. Inv.-Nr. B77/118.6.
- 170 WS Kochtopf mit Besenstrich und Glättrinnen, Orientierung nicht sicher bestimmbar. Ton dunkelgrau-beige; Oberfläche schwarz. Inv.-Nr. B77/118.8.
- 173 RS TS Schüssel Drag. 29, verbrannt. FO Räume C/D. Inv.-Nr. B77/110.1.
- 174 RS Amphore Vindonissa 586. Ton orange; Überzug aussen hellbeige-gelblich. FO Räume C/D. Inv.-Nr. B77/110.7.
- 175 RS Amphore Vindonissa 586. Ton orange; Überzug aussen gelbliches hellbeige. FO Raum A. Inv.-Nr. B77/149.1.
- 176 RS TS-Imitation Schälchen Drack 9. Überzug rot. FO Räume C/D. Inv.-Nr. B77/99.3.
- 177 RS TS-Imitation Schälchen Drack 9. Überzug hellrot. FO Räume C/D. Inv.-Nr. B77/99.4.
- 178 RS TS-Imitation Schälchen Drack 9. Überzug hellrot. FO Räume C/D. Inv.-Nr. B77/170.2.
- 179 RS TS-Imitation Platte Drack 2. Überzug rotorange. FO Räume C/D. Inv.-Nr. B77/170.1.
- 180 RS Krug. Ton weisslichbeige. FO Räume C/D. Inv.-Nr. B77/99.9. Passscherbe zu Inv.-Nr. B77/95.21. (FO Unterlage/Boden/Benützungsschicht in den Räumen C/D).
- 181 RS Schüssel Drack 21. Reste von rotem Überzug. FO Räume C/D. Inv.-Nr. B77/99.5.
- 182 RS Schüssel Drack 21. Reste von rotbraunem Überzug. FO Räume C/D. Inv.-Nr. B77/99.6.
- 183 RS Schüssel Drack 21, Fehlbrand(?). Ton grau, mit Glimmer; aussen Reste von geglätteter Oberfläche/Überzug. FO Räume C/D. Inv.-Nr. B77/99.7.
- 184 RS Schüssel Drack 21. Ton grau; aussen dunkelgraue, geglättete Oberfläche/Überzug, innen Oberfläche mit bräunlicher Haut. FO Räume C/D. Inv.-Nr. B77/170.3.
- 185 RS Schüssel Drack 20. Orientierung nicht völlig gesichert, Durchmesser nicht genau bestimmbar. Ton grau, aussen schwarze poliert Oberfläche/Überzug. FO Räume C/D. Inv.-Nr. B77/110.5.
- 186 RS Schüssel Drack 20. Ton rötlich; Oberfläche schwarz, poliert, glimmerhaltig. FO Räume C/D. Inv.-Nr. B77/99.11.
- 187 WS mit Glättrillennmuster. Ton grau. FO Raum A. Inv.-Nr. B77/149.2.
- 188 RS Kochtopf, handgemacht. Ton schwarz, gemagert; Oberfläche dunkelbeige bis schwarz. FO Räume C/D. Inv.-Nr. B77/99.12.
- 189 RS Kochtopf, handgemacht. Ton dunkelbraun, gemagert; Oberfläche schwarz. FO Räume C/D. Inv.-Nr. B77/99.13.
- 190 RS Kochtopf, handgemacht. Ton bräunlichschwarz, gemagert; Oberfläche schwarz. FO Räume C/D. Inv.-Nr. B77/99.14.
- 191 RS Dolium. Ton dunkelgrau, mit feinen, hellen Körnern, mit Glimmer. FO Raum D. Inv.-Nr. B77/176.1. Passscherbe zu Inv.-Nr. B77/220.14. (FO Unterlage/Lehmboden in den Räumen B/C).
- 192 Eingliedrige norisch-pannonische Doppelknopffibel (Riha Typ 2.10). Bronze, goldfarbene Oberfläche, Sehhaken abgebrochen. FO Raum A. Inv.-Nr. B77/149.3. M 1:2.

Unterlage/Lehmboden in den Räumen B/C

- 193 RS TS Schälchen Haltern 8, südgallich (Ton hell). Inv.-Nr. B77/220.1.
- 194 RS TS Platte Drag. 18, Variante mit Rille auf dem Rand, südgallich (Ton hell). Inv.-Nr. B77/220.2.
- 195 RS TS-Imitation Platte Drack 4B. Überzug schwarz. Inv.-Nr. B77/220.5.
- 196 RS Schultertopf. Ton dunkelbeige-grau; Oberfläche schwarz, glimmerhaltig, auf der Schulter poliert. Inv.-Nr. B77/220.9.
- 197 RS Schultertopf. Ton beige-grau, mit Glimmer. Inv.-Nr. B77/220.12.

12.9.3. Phase 3 (HP I.3; s. Beil. 14)

Parzelle I

Bodenunterlage (Bauhorizont)

- 171 RS TS Platte Haltern 2, Arretina. FO Raum C. Inv.-Nr. B77/175.1.
- 172 RS TS Schale Drag. 36(!), südgallich, Durchmesser nicht

- 198 RS Schultertopf, Rand leicht verzogen. Ton grau, mit Glimmer; Oberfläche aussen geglättet. Inv.-Nr. B77/220.11.
 199 RS Kochtopf, Rand verzogen. Ton grau, mit feinen, weissen Körnern. Inv.-Nr. B77/220.10.

Lehmboden

- 200 RS Bildlampe. Ton gelblichweiss; Überzug orange. FO Räume F/G. Inv.-Nr. B77/476.5.
 201 RS TS-Imitation Schälchen Imitation Hofheim 9. Überzug orange. FO Räume C/D. Inv.-Nr. B77/97.7.
 202 RS TS-Imitation Teller Drack 5. Überzug orange. FO Räume F/G. Inv.-Nr. B77/476.1.
 203 RS TS-Imitation Teller Drack 2. Überzug orange. FO Räume C/D. Inv.-Nr. B77/97.5.
 204 RS TS-Imitation Teller Imitation Drag. 18(?) (Drack 4B), verbrannt. Überzug orange. FO Räume C/D. Inv.-Nr. B77/97.6.
 205 RS TS-Imitation Teller Drack 4A. Überzug schwarz. FO Räume F/G. Inv.-Nr. B77/476.4.
 206 RS Schüssel Drack 21. Überzug orange. FO Räume F/G. Inv.-Nr. B77/476.2.
 207 RS Krug. Ton dunkelorange. FO Räume F/G. Inv.-Nr. B77/476.9.
 208 RS Krug mit Henkelansatz. Ton dunkelorange. FO Räume F/G. Inv.-Nr. B77/476.8.
 209 RS feiner Topf. Ton bräunlichorange, gemagert; aussen Goldglimmerüberzug, am Rand geschwärzt. FO Räume C/D. 97.16.
 210 WS mit Kerb(?) -Muster. Ton graubeige. FO Räume C/D. Inv.-Nr. B77/97.19.
 211 RS Schultertopf. Ton beige grau; Oberfläche schwarz, auf der Schulter poliert. FO Räume F/G. Inv.-Nr. B77/476.10.
 212 RS Schultertopf. Ton grau; aussen Reste von dunkelgrauer, polierter Oberfläche. FO Räume F/G. Inv.-Nr. B77/476.11.
 213 RS feiner Topf. Ton rötlichbeige, mit Glimmer; Oberfläche schwarz, aussen poliert. FO Räume F/G. Inv.-Nr. B77/476.12.
 214 RS Schüssel Drack 20 mit Kerbmuster. Ton bräunlichbeige, mit Glimmer; Oberfläche schwarz, aussen geglättet. FO Räume C/D. Inv.-Nr. B77/97.18.
 215 RS Schüssel Drack 20. Ton beige grau; Reste von schwarzer, polierter Oberfläche/Überzug. FO Räume C/D. Inv.-Nr. B77/97.11.
 216 Deckel von Kochtopf, handgemacht. Ton graubeige bis rötlich, grob gemagert; Oberfläche aussen dunkelgraubeige, innen dunkelgrau. FO Räume C/D. Inv.-Nr. B77/97.17.
 217 Hülsenspiralfibel mit Gitterfuss (Riha Typ 4.1). Bronze. FO Raum F. Inv.-Nr. B77/465.1. M 1:2.

Unterlage/Boden/Benutzungsschicht

- 218 RS TS Schälchen Haltern 11, südgallisch (Ton hell). FO Räume C/D. Inv.-Nr. B77/95.5.
 219 RS TS Schälchen Haltern 11, südgallisch (Ton hell). FO Raum A. Inv.-Nr. B77/213.7.
 220 RS TS Schälchen Hofheim 5, südgallisch (Ton hell). FO Räume C/D. Inv.-Nr. B77/95.3.
 221 RS TS Schälchen Drag. 24, südgallisch. FO Raum A. Inv.-Nr. B77/213.4.
 222 RS TS Schälchen Drag. 24, südgallisch (Ton hell). FO Raum A. Inv.-Nr. B77/213.3.
 223 RS TS Schälchen Drag. 27, südgallisch. FO Räume C/D. Inv.-Nr. B77/95.6.
 224 RS TS Schälchen Drag. 27, südgallisch. FO Raum A. Inv.-Nr. B77/213.5.
 225 RS TS Teller Drag. 17, südgallisch (Ton hell). FO Räume C/D. Inv.-Nr. B77/95.2.
 226 RS TS Platte Drag. 17, südgallisch (Ton hell). FO Räume C/D. Inv.-Nr. B77/95.1.
 227 RS TS Platte Drag. 17, südgallisch (Ton hell). FO Raum A. Inv.-Nr. B77/213.2.
 228 RS TS Platte Drag. 15, südgallisch. FO Räume A-C. Inv.-Nr. B77/221.2.
 229 RS TS Platte Drag. 15, südgallisch. FO Raum A. Inv.-Nr. B77/213.1.
 230 RS TS Teller Drag. 18, südgallisch. FO Räume A-C. Inv.-Nr. B77/221.5.
 231 RS TS Platte Drag. 18, Variante mit Rille auf dem Rand, südgallisch. FO Raum A. Inv.-Nr. B77/213.5.
 232 RS TS Platte Drag. 18, südgallisch (Ton dunkel). FO Räume A-C. Inv.-Nr. B77/221.3.
 233 RS TS Schüssel Drag. 29, südgallisch. FO Räume C/D. Inv.-Nr. B77/95.4. Passscherbe zu Inv.-Nr. B77/221.4. (FO Räume A-C).
 234 RS Amphore Dressel 20. Ton beige, mit feinen, dunklen Körnern, mit Glimmer; Oberfläche rosa, mit Resten von hellbeigem Überzug (evtl. Martin-Kilcher 1987, Tongruppe 2). FO Raum A. Inv.-Nr. B77/213.27.
 235 RS Firmisschälchen mit Schuppen(?) -Muster. Ton gelblichweiss; Überzug dunkelbraun. FO Raum A. Inv.-Nr. B77/213.19.
 236 RS Campana-Imitation Schale. Ton kern dunkelbraun, Mantel rötlichorange; Oberfläche dunkelgrau, geglättet. FO Raum A. Inv.-Nr. B77/213.33.
 237 RS TS-Imitation Schälchen Drack 9. Überzug orange. FO Raum A. Inv.-Nr. B77/213.12.
 238 RS TS-Imitation Schälchen Drack 9. Überzug orange. FO Raum A. Inv.-Nr. B77/213.13. Passscherbe zu Inv.-Nr. B77/95.11. (FO Räume C/D).
 239 RS TS-Imitation Schälchen Drack 9. Ton hellorange; Reste von hellbraunem Überzug/polierter Oberfläche. FO Räume A-C. Inv.-Nr. B77/221.6.
 240 RS TS-Imitation Schälchen Drack 18A. Überzug orange. FO Raum A. Inv.-Nr. B77/213.16.
 241 RS TS-Imitation Platte Drack 2. Reste von hellrotem Überzug. FO Räume A-C. Inv.-Nr. B77/221.8.
 242 RS TS-Imitation Platte Drack 2(?). Überzug orange. FO Raum A. Inv.-Nr. B77/213.11.
 243 RS TS-Imitation Teller Drack 3. Überzug orangehellbraun. FO Räume A-C. Inv.-Nr. B77/221.7.
 244 RS TS-Imitation Platte Drack 3. Reste von hellrotem Überzug. FO Raum A. Inv.-Nr. B77/213.10.
 245 RS TS-Imitation Teller Drack 3. Überzug orange. FO Raum A. Inv.-Nr. B77/213.9.
 246 RS TS-Imitation Platte Drack 4A. Überzug/polierter Oberfläche schwarz. FO Räume A-C. Inv.-Nr. B77/221.15.
 247 RS TS-Imitation Platte Drack 4A. Überzug orange. FO Raum A. Inv.-Nr. B77/213.15.
 248 RS TS-Imitation Platte Drack 4B. Überzug hellrot. FO Räume A-C. Inv.-Nr. B77/221.9.
 249 RS Schüssel Drack 21. Überzug orange. FO Räume C/D. Inv.-Nr. B77/95.12.
 250 RS Krug. Ton orange; Oberfläche bräunlichorange. FO Räume C/D. Inv.-Nr. B77/95.20.
 251 RS Krug. Ton kern grau; Mantel orange. FO Raum A. Inv.-Nr. B77/213.23.
 252 entfällt.
 253 RS Krug mit Henkelansatz. Ton hellbeige. FO Raum A. Inv.-Nr. B77/213.22.

- 254 RS Krug. Ton bräunlich, mit Glimmer. FO Raum A. Inv.-Nr. B77/213.24.
- 255 RS Topf. Ton hellorange, mit Glimmer. FO Räume A-C. Inv.-Nr. B77/221.17.
- 256 RS SLT-Tradition Schüssel. Ton orangerosa; Oberfläche aussen geglättet, mit Resten von weisser Bemalung. FO Raum A. Inv.-Nr. B77/213.25.
- 257 RS Schüssel Drack 21, leicht verzogener Rand (Fehlbrand?). Ton grau; Oberfläche aussen dunkelgrau, mit Resten von Glättung. FO Räume C/D. Inv.-Nr. B77/95.19.
- 258 RS Schüssel. Ton grau, mehlig; aussen und innen Reste von braunschwarzem Überzug. FO Raum A. Inv.-Nr. B77/213.32.
- 259 RS Schüssel Drack 20. Ton grau; Oberfläche/Überzug(?) schwarz, aussen geglättet. FO Räume A-C. Inv.-Nr. B77/221.14. Passscherbe zu Inv.-Nr. B77/217.10. (FO Bodenunterlage (Bauhorizont) in Raum E der SP I.2!).
- 260 RS Schüssel Drack 20. Ton grau; Oberfläche dunkelgrau, aussen mit Resten von schwarzer polierter Oberfläche/Überzug. FO Raum A. Inv.-Nr. B77/213.38.
- 261 RS Schüssel Drack 20. Ton bräunlichorange; Oberfläche schwarz, poliert. FO Raum A. Inv.-Nr. B77/213.37.
- 262 RS Schüssel Drack 20. Ton rötlichbeige, mit Glimmer; Oberfläche schwarz, poliert. FO Räume C/D. Inv.-Nr. B77/95.28.
- 263 RS Schulterbecher mit Glättmuster. Ton rötlichbeige, fein gemagert; Oberfläche schwarz. FO Raum A. Inv.-Nr. B77/213.34.
- 264 RS Schulterbecher. Ton bräunlichgrau. FO Raum A. Inv.-Nr. B77/213.45.
- 265 RS Schulterbecher. Ton rötlich; Oberfläche schwarz, auf der Schulter geglättet. FO Räume C/D. Inv.-Nr. B77/95.25.
- 266 RS Schultertopf. Ton beige-grau; Oberfläche schwarz. FO Raum A. Inv.-Nr. B77/213.42.
- 267 RS Schultertopf mit Rädchenmuster. Ton beige-grau. FO Räume C/D. Inv.-Nr. B77/95.24.
- 268 RS Schultertopf. Ton dunkelbeige; Oberfläche schwarz, auf der Schulter poliert. FO Räume C/D. Inv.-Nr. B77/95.23.
- 269 RS Becher. Ton rötlich; Oberfläche dunkelbeige-grau; aussen mit Resten von Silberglimmerüberzug, am Rand geschwärzt. FO Raum A. Inv.-Nr. B77/213.35.
- 270 RS Gurtbecher(?). Ton grau; Oberfläche aussen poliert. FO Raum A. Inv.-Nr. B77/213.47.
- 271 RS Topf. Ton rötlich; Oberfläche schwarz. FO Räume C/D. Inv.-Nr. B77/95.26.
- 272 RS Kochschüssel. Ton beige-grau, gemagert; Oberfläche beige-grau bis grau. FO Räume C/D. Inv.-Nr. B77/95.31.
- 273 RS Kochnapf. Ton kern grau, Mantel dunkelbeige, gemagert; Oberfläche schwarz. FO Raum A. Inv.-Nr. B77/213.36.
- 274 RS Napf. Ton kern dunkelgrau, gemagert, Mantel grau. FO Räume A-C. Inv.-Nr. B77/221.18.
- 275 RS Napf, handgemacht. Ton dunkelgrau-beige, mit feiner, weisser Magerung. FO Räume C/D. Inv.-Nr. B77/95.29.
- 276 RS Topf. Ton kern schwarz, mit feinen, hellen Körnern, Mantel dunkelgrau; Oberfläche schwarz. FO Raum A. Inv.-Nr. B77/213.39.
- 277 RS Kochtopf. Ton grau, stark gemagert. FO Raum A. Inv.-Nr. B77/213.43.
- 278 RS Koch(?) - Topf. Ton kern dunkelgrau, Mantel beige-grau, mit feinen, hellen Körnern; Oberfläche dunkelbeige. FO Räume C/D. Inv.-Nr. B77/95.33.
- 279 RS Koch(?) - Topf. Ton dunkelbeige, mit feiner, heller Magerung; Oberfläche schwarz. FO Räume C/D. Inv.-Nr. B77/95.27.
- 280 RS Kochtopf mit Kammstrichmuster. Ton kern dunkelgrau, Mantel grau, mit hellen Körnern; Oberfläche dunkelgrau. FO Raum A. Inv.-Nr. B77/213.41.
- 281 RS Kochtopf mit Kammstrichmuster. Ton grau, gemagert, mit Glimmer. FO Raum A. Inv.-Nr. B77/213.40.
- 282 RS Kochtopf. Ton beige, gemagert; Oberfläche aussen dunkelbeige bis schwarz. FO Räume A-C. Inv.-Nr. B77/221.19.
- 283 RS Kochtopf. Ton grau, mit feinen, hellen Körnern. FO Räume C/D. Inv.-Nr. B77/95.32.
- 284 RS Kochtopf mit Kammstrichmuster, handgemacht, verzogener Rand. Ton dunkelgrau-beige, mit vielen hellen Körnern; Oberfläche dunkelbeige bis schwarz. FO Raum A. Inv.-Nr. B77/213.44.
- 285 RS Kochtopf mit Kammstrichmuster, handgemacht, überdreht. Ton dunkelbeige bis braunschwarz, mit feiner, heller Magerung. FO Räume C/D. Inv.-Nr. B77/95.30.
- 286 WS Kochtopf mit Kammstrichmuster. Ton kern grau, Mantel rötlichbeige, gemagert; Oberfläche schwarz. FO Raum A. Inv.-Nr. B77/213.52.
- 287 Deckel von Kochtopf, handgemacht. Ton braunschwarz, gemagert; Oberfläche dunkelbeige bis schwarz. FO Raum A. Inv.-Nr. B77/213.46.
- 288 Bronze-griff, durchbrochen. FO Räume A-C. Inv.-Nr. B77/221.21. M 1:2.
- 289 Langton-Down-Fibel (Riha Typ 4.4.4). Bronze. FO Raum A. Inv.-Nr. B77/213.56. M 1:2.
- Benützungsschicht*
- 290 RS TS Teller Drag. 15, südgallisch. FO Räume C/D. Inv.-Nr. B77/92.1.
- 291 RS TS Teller Drag. 15(?), südgallisch. FO Räume C/D. Inv.-Nr. B77/206.1.
- 292 RS TS Schüssel Drag. 29, südgallisch. FO Räume C/D. Inv.-Nr. B77/92.2.
- 293 RS TS-Imitation Teller Drack 4A. Überzug schwarz. FO Räume C/D. Inv.-Nr. B77/92.23.
- 294 RS Schüssel Drack 20. Ton grau; aussen Reste von dunkelgrauer Oberfläche/Überzug. FO Räume C/D. Inv.-Nr. B77/92.24.
- 295 RS Schüssel Drack 20. Ton grau; Oberfläche schwarz, aussen evtl. mit Überzug. FO Räume C/D. Inv.-Nr. B77/92.25.
- 296 Bronzering. FO Räume C/D. Inv.-Nr. B77/92.71.
- Abfallschicht in den Räumen G und H*
- 297 RS TS Schälchen Drag. 27, südgallisch. Inv.-Nr. B77/450.2.
- 298 RS TS Teller Drag. 15, südgallisch. Inv.-Nr. B77/450.1.

12.10. Keramik und Kleinfunde der Holzbauperiode II (s. Beil. 15)

Parzelle I

Bodenunterlage (Bauhorizont) in Raum A

- 299 TS Schälchen Haltern 8, südgallisch. Inv.-Nr. B77/208.1.
- 300 RS TS Schälchen Haltern 8, südgallisch. Inv.-Nr. B77/212.2.
- 301 RS TS Schälchen Haltern 8, südgallisch. Inv.-Nr. B77/212.3.
- 302 TS Schälchen Drag. 24, südgallisch. Inv.-Nr. B77/208.2.
- 303 RS TS Schälchen Drag. 24, südgallisch. Inv.-Nr. B77/208.3.
- 304 RS TS Schälchen Drag. 27, südgallisch. Inv.-Nr. B77/208.4.
- 305 BS TS Schälchen Haltern 8/Hofheim 5 mit Stempel [OF] LI-CI.I, Licus aus La Graufesenque (OXÉ 1936, 386). Inv.-Nr. B77/212.1. M 1:1.
- 306 RS TS Teller Drag. 15, verbrannt. Inv.-Nr. B77/208.5.
- 307 RS TS Teller Drag. 18, südgallisch. Inv.-Nr. B77/208.6.

- 308 RS TS Teller Drag. 18, südgallisch. Inv.-Nr. B77/212.4.
309 RS TS Drag. 29, südgallisch. Inv.-Nr. B77/208.7.
310 WS TS Drag. 29, südgallisch. Inv.-Nr. B77/212.5.
311 RS TS-Imitation Schälchen Drack 9. Überzug rotorange. Inv.-Nr. B77/212.6.
312 RS TS-Imitation Schälchen Drack 9. Überzug rotorange. Inv.-Nr. B77/212.7.
313 RS TS-Imitation Teller Drack 3. Überzug orange, matt. Inv.-Nr. B77/208.18.
314 RS TS-Imitation Platte Drack 3. Überzug rotorange. Inv.-Nr. B77/212.8.
315 RS TS-Imitation Platte Drack 4A. Reste von dunkelgrauschwarzem Überzug. Inv.-Nr. B77/208.29.
316 RS TS-Imitation Schüssel Drack 19. Überzug schwarz. Inv.-Nr. B77/212.9.
317 RS Imitation einer pompejanisch-roten Platte. Ton orangebeige; aussen beige Oberfläche, innen hellroter Überzug, teilweise geschwärzt. Inv.-Nr. B77/212.13.
318 RS Krug. Ton orange, sandig, mit Glimmer. Inv.-Nr. B77/208.41.
319 RS Krug mit vierstabigem(?) Henkel. Ton orange, sandig, mit Glimmer. Inv.-Nr. B77/208.40.
320 RS Krug. Tonkern beige, Mantel orange, mit Glimmer. Inv.-Nr. B77/208.43.
321 RS Krug. Tonkern grau, Mantel orange, mit Glimmer; aussen und am Rand braune Haut. Inv.-Nr. B77/208.39.
322 RS Krug. Ton orange, sandig, mit wenig Glimmer. Inv.-Nr. B77/208.38.
323 RS Reibschüssel. Ton hellbeige, fein gemagert. Inv.-Nr. B77/212.14.
324 RS Schulterbecher. Ton orange; aussen und am Rand Goldglimmerüberzug. Inv.-Nr. B77/208.42.
325 RS Schulterbecher. Tonkern dunkelgrau, Mantel beige-grau, mit wenigen weissen Körnern; Oberfläche aussen dunkelgrau, geglättet. Inv.-Nr. B77/208.115.
326 RS Becher. Ton dunkelgrau, mit weissen Körnern; Oberfläche geglättet. Inv.-Nr. B77/208.116.
327 RS Schulterbecher. Ton rötlichbeige; Oberfläche schwarz, auf der Schulter geglättet. Inv.-Nr. B77/212.18.
328 RS Schulterbecher. Ton dunkelgrau, mit weissen Körnern; Oberfläche aussen schwarz, geglättet. Inv.-Nr. B77/208.114.
329 RS Schultertopf. Ton dunkelgrau, mit weissen Körnern; Oberfläche aussen schwarz, geglättet. Inv.-Nr. B77/208.113.
330 RS Kochtopf mit Kammstrichmuster. Ton grau, mit feinen, hellen Körnern; Oberfläche teilweise geschwärzt. Inv.-Nr. B77/212.19.
- Boden*
- 331 RS TS Schälchen Drag. 24, südgallisch. FO Räume J/K. Inv.-Nr. B77/441.4. (Schucany 1983, Nr. 13).
332 RS TS Schälchen Drag. 24, südgallisch. FO Räume J/K. Inv.-Nr. B77/441.3. (Schucany 1983, Nr. 12).
333 RS TS Schälchen Drag. 27, südgallisch. FO Räume A/E. Inv.-Nr. B77/93.1. (Schucany 1983, Nr. 22).
334 RS TS Schälchen Drag. 27, südgallisch. FO Raum G. Inv.-Nr. B77/447.3. (Schucany 1983, Nr. 26).
335 RS TS Teller Drag. 17, südgallisch. FO Räume J/K. Inv.-Nr. B77/441.11. (Schucany 1983, Nr. 42).
336 RS TS Teller Drag. 15, südgallisch. FO Räume J/K. Inv.-Nr. B77/441.6. (Schucany 1983, Nr. 47).
337 RS TS Platte Drag. 15, südgallisch, Durchmesser nicht genau bestimmbar. FO Räume J/K. Inv.-Nr. B77/441.5. (Schucany 1983, Nr. 39).
338 RSTS Teller Hofheim 1, südgallisch. FO Räume J/K. Inv.-Nr. B77/441.16. (Schucany 1983, Nr. 60).
339 RS TS Teller Drag. 18, Variante mit Rille auf dem Rand, südgallisch. FO Räume J/K. Inv.-Nr. B77/441.13. (Schucany 1983, Nr. 63).
340 RS TS Platte Drag. 18, südgallisch. FO Räume J/K. Inv.-Nr. B77/441.12A. (Schucany 1983, Nr. 67).
341 RS TS Schüssel Drag. 30, südgallisch. FO Räume J/K. Inv.-Nr. B77/441.18. (Schucany 1983, Nr. 73).
342 RS Firmisschälchen mit Griessbewurf. Ton hellbeige; Überzug bräunlich. FO Räume J/K. Inv.-Nr. B77/441.71.
343 RS Bildlampe Loeschcke Typ 4. Ton hellbeige; Überzug graubraun, matt, stark abgeblättert. FO Räume J/K. Inv.-Nr. B77/441.74.
344 RS Bildlampe. Ton hellbeige, fast grünlich; Überzug gelblichbraun, teilweise graubraun, durchscheinend. FO Räume J/K. Inv.-Nr. B77/441.76.
345 RS/BS (zusammengehörig?) Bildlampe. Ton hellbeige; Überzug orangebraun, durchscheinend. FO Räume J/K. Inv.-Nr. B77/441.75.
346 RS Bildlampe. Ton hellbeige; Überzug gelblichbraun, durchscheinend. FO Raum D. Inv.-Nr. B77/232.1.
347 RS kleine Lampe. Ton hellbeige; Überzug blassorange, durchscheinend. FO Räume J/K. Inv.-Nr. B77/441.73.
348 RS TS-Imitation Schälchen Drack 9. Überzug schwarz, matt. FO Raum G. Inv.-Nr. B77/447.15.
349 RS TS-Imitation Schälchen Drack 9. Überzug orangerot. FO Räume A/E. Inv.-Nr. B77/93.13.
350 RS TS-Imitation Schälchen Drack 9. Überzug dunkelgrau. FO Räume A/E. Inv.-Nr. B77/93.26.
351 RS TS-Imitation Schüssel Drack 19(?). Überzug orangebraun. FO Raum A. Inv.-Nr. B77/65.2.
352 RS TS-Imitation Platte Drack 2. Überzug blassorange. FO Raum G. Inv.-Nr. B77/447.14.
353 RS TS-Imitation Teller Drack 2, verbrannt. Überzug ehemals rot. FO Räume J/K. Inv.-Nr. B77/441.53.
354 RS TS-Imitation Platte Drack 2, Durchmesser nicht genau bestimmbar. Überzug orangerot. FO Räume A/E. Inv.-Nr. B77/93.12.
355 RS TS-Imitation Platte Drack 2, Durchmesser nicht genau bestimmbar, Überzug orangerot. FO Räume A/E. Inv.-Nr. B77/93.14.
356 RS TS-Imitation Teller Drack 4B(?), Durchmesser nicht genau bestimmbar. Reste von orangerotem Überzug. FO Räume A/E. Inv.-Nr. B77/93.15.
357 RS TS-Imitation Platte Drack 4A, Durchmesser nicht genau bestimmbar. Überzug schwarz. FO Räume J/K. Inv.-Nr. B77/441.59.
358 RS TS-Imitation Platte Drack 4A. Überzug schwarz. FO Räume A/E. Inv.-Nr. B77/93.25.
359 RS TS-Imitation Teller Drack 4B(?). Überzug orangerot. FO Räume J/K. Inv.-Nr. B77/441.54.
360 RS TS-Imitation Platte Drack 4A. Überzug orangerot. FO Räume J/K. Inv.-Nr. B77/441.55.
361 RS TS-Imitation Platte Drack 4A. Überzug orangerot. FO Räume J/K. Inv.-Nr. B77/441.56.
362 RS Schüssel Drack 21. Überzug orangerot. FO Räume J/K. Inv.-Nr. B77/441.49.
363 RS Schüssel Drack 21. Überzug rotbraun. FO Räume J/K. Inv.-Nr. B77/441.51.
364 RS Schüssel Drack 21, Durchmesser nicht genau bestimmbar. Überzug orangerot. FO Räume J/K. Inv.-Nr. B77/441.52.
365 RS Schüssel Drack 21. Überzug rotbraun. FO Räume J/K. Inv.-Nr. B77/441.50.
366 RS Krug. Ton orange, mit Keramikschat. FO Räume J/K. Inv.-Nr. B77/441.81.

- 367 RS Krug. Ton gelblichorange, mit Keramikschrot, mit wenigen weissen Körnern. FO Räume A/E. Inv.-Nr. B77/93.30.
- 368 RS Honigtopf. Ton orange. FO Räume J/K. Inv.-Nr. B77/441.82.
- 369 RS Deckel. Ton lachsfarben. FO Raum G. Inv.-Nr. B77/447.19.
- 370 RS Deckel, verbrannt. Ton rotbraun, fein gemagert; Oberfläche hellbraun. FO Raum A. Inv.-Nr. B77/65.3.
- 371 RS Reibschüssel. Ton orange, mit Keramikschrot; aussen Reste von hellbeiger Haut. FO Räume J/K. Inv.-Nr. B77/441.128.
- 372 RS Reibschüssel. Ton rosagrau, mit Keramikschrot, mit weissen Körnern; Oberfläche glimmerhaltig, innen und am Rand mit Resten von heller, gräulich bis beiger Haut. FO Räume J/K. Inv.-Nr. B77/441.129.
- 373 RS Reibschüssel. Ton orange, mit Keramikschrot; Oberfläche innen mit groben, weissen Körnern, aussen und am Rand helle, orangebeige Haut. FO Räume A/E. Inv.-Nr. B77/93.48.
- 374 RS feiner Topf. Ton bräunlichgrau; Oberfläche aussen dunkelbeige, innen rosagrau. FO Räume J/K. Inv.-Nr. B77/441.139.
- 375 RS Becher. Ton rotorange, mit weissen Körnern; Oberfläche orange, aussen mit Resten von goldglimmerhaltigem Überzug. FO Räume J/K. Inv.-Nr. B77/441.83.
- 376 RS Knickschale, verbrannt. Ton orangegrau, hart gebrannt; Oberfläche hellrosabraun, geglättet, innen mit feinen Rillen. FO Räume J/K. Inv.-Nr. B77/441.79.
- 377 RS Knickschale, verbrannt. Ton orangegrau, hart gebrannt; Oberfläche hellrosabraun, geglättet. FO Räume J/K. Inv.-Nr. B77/441.80.
- 378 RS Napf. Ton dunkelbeige; Oberfläche orangebeige. FO Räume J/K. Inv.-Nr. B77/441.84.
- 379 RS Schale, verbrannt(?). Ton dunkelbeige; Oberfläche dunkelgrau, glänzend, glimmerhaltig, aussen mit aufgerauhtem Streifen. FO Räume A/C/D. Inv.-Nr. B77/197.1.
- 380 RS Becher mit Steilrand. Ton dunkelgraubeige; Oberfläche grau. FO Räume A/E. Inv.-Nr. B77/93.50.
- 381 RS Becher mit Steilrand. Ton dunkelgraubraun; Oberfläche schwarz, aussen geglättet. FO Räume J/K. Inv.-Nr. B77/441.136.
- 382 RS Schultertopf, Durchmesser nicht genau bestimmbar, verbrannt(?). Ton dunkelgrau; Oberfläche grau, auf der Schulter horizontale Glättspuren, unter der Lippe aufgerauhter Streifen. FO Räume J/K. Inv.-Nr. B77/441.141.
- 383 RS feiner Topf. Ton grau; Oberfläche leicht geglättet. FO Raum G. Inv.-Nr. B77/447.36.
- 384 RS Schulterbecher. Ton bräunlichschwarz; Oberfläche schwarz, auf Schulter und Lippe poliert, unter der Lippe aufgerauhter Streifen. FO Räume J/K. Inv.-Nr. B77/441.138.
- 385 RS Schulterbecher mit Glättdekor. Ton dunkelbraun; Oberfläche schwarz, auf der Schulter poliert. FO Räume J/K. Inv.-Nr. B77/441.137.
- 386 RS Becher. Ton dunkelorange; Oberfläche schwarzgrau, auf der Schulter mit Glättspuren. FO Räume A/E. Inv.-Nr. B77/93.51.
- 387 RS Becher. Ton grau. FO Raum G. Inv.-Nr. B77/447.37.
- 388 RS Becher. Ton bräunlichbeige; Oberfläche grau. FO Räume J/K. Inv.-Nr. B77/441.140.
- 389 RS Schüssel Drack 20. Tonkern grau, Mantel dunkelbeige; Oberfläche schwarz. FO Raum G. Inv.-Nr. B77/447.39.
- 390 RS Schüssel Drack 20. Aussen schwarzer Überzug/geglättet Oberfläche. FO Räume J/K. Inv.-Nr. B77/441.57.
- 391 RS Schüssel Drack 20. Aussen schwarzer Überzug/polierete Oberfläche. FO Räume J/K. Inv.-Nr. B77/441.58.
- 392 RS Schüssel Drack 20. Aussen schwarzer Überzug/polierete Oberfläche. FO Räume J/K. Inv.-Nr. B77/441.69.
- 393 RS feiner Napf. Ton dunkelbeige; Oberfläche schwarz, stark geglättet. FO Räume J/K. Inv.-Nr. B77/441.142.
- 394 RS feiner Napf. Tonkern schwarz, Mantel dunkelgrau; Oberfläche schwarz, leicht glimmerhaltig, stark geglättet. FO Räume J/K. Inv.-Nr. B77/441.143.
- 395 RS Napf. Ton rötlichgrau; Oberfläche grau. FO Räume J/K. Inv.-Nr. B77/441.144.
- 396 RS Napf. Ton grau, mit weissen Körnern; Oberfläche grau. FO Raum G. Inv.-Nr. B77/447.40.
- 397 RS Kochtopf, handgemacht(?). Ton rötlich, gemagert; Oberfläche braunschwarz. FO Räume J/K. Inv.-Nr. B77/441.147.
- 398 RS Kochtopf, handgemacht(?). Ton rötlich, gemagert; Oberfläche braunschwarz. FO Räume J/K. Inv.-Nr. B77/441.146.
- 399 RS Kochtopf. Ton orange, grob gemagert; Oberfläche orangebeige, mit Resten von weisslichbeiger, durchscheinender Haut. FO Raum A. Inv.-Nr. B77/65.4.
- 400 RS Kochtopf. Tonkern beige; Mantel dunkelbeige, mit weissen Körnern; Oberfläche schwarz. FO Raum G. Inv.-Nr. B77/447.38.
- 401 RS Kochtopf mit horizontalem Kammstrich. Ton grau, mit groben, weissen Körnern; Oberfläche dunkelgrau. FO Räume J/K. Inv.-Nr. B77/441.145.
- 402 RS Kochtopf mit horizontalem Kammstrich. Ton hellbraun, mit weisser Magerung; Oberfläche hellbraun, glimmerhaltig. FO Räume A/E. Inv.-Nr. B77/93.54.
- 403 RS Kochtopf mit horizontalem Kammstrich. Ton grau, mit weisser Magerung; Oberfläche dunkelgrau, leicht glimmerhaltig. FO Räume A/E. Inv.-Nr. B77/93.53.
- 404 RS Kochtopf mit horizontalem Kammstrichmuster. Ton grau, mit feinen weissen Körnern. FO Räume A/E. Inv.-Nr. B77/93.52.
- 405 *Cochlear* mit runder Laffe aus Bein, Drehrillen in der Laffe, Stil abgebrochen. FO Räume J/K. Inv.-Nr. B77/441.178. M 1:2.
- 406 Kleine Scharnierfibel(?). Bronze, Fuss und Nadel abgebrochen. FO Räume J/K. Inv.-Nr. B77/441.180. M 1:2.
- 407 Fragment eines Riegels, Bronze. FO Räume J/K. Inv.-Nr. B77/441.183. M 1:2.
- 408 Bronzedraht mit eingerolltem Teil, beide Enden abgebrochen. FO Räume J/K. Inv.-Nr. B77/441.182. M 1:2.
- 409 Flache Bronzeniete, Nietstift abgebrochen. FO Räume J/K. Inv.-Nr. B77/441.181. M 1:2.
- Benutzungsschicht*
- 410 RS TS Schälchen Hofheim 8, südgallisch. FO Räume A/C/D. Inv.-Nr. B77/210.1.
- 411 RS TS Schälchen Drag. 24, südgallisch. FO Raum A. Inv.-Nr. B77/224.1.
- 412 RS Firnissschälchen mit Griessbewurf. Ton hellgrünlichbeige; Überzug bräunlich. FO Räume A/C/D. Inv.-Nr. B77/210.4.
- 413 Firnissschälchen mit Netzwerkmuster. Ton grünlichhellbeige; Überzug bräunlich. FO Räume A/C/D. Inv.-Nr. B77/210.5.
- 414 RS Amphore Camulodunum 184/Dressel 2-4. Ton orange, fein gemagert, mit Glimmer; aussen Reste von beigem Überzug. FO Räume A/C/D. Inv.-Nr. B77/210.6.
- 415 RS Krug. Ton orange. FO Räume A/C/D. Inv.-Nr. B77/210.7.
- 416 RS Schale. Ton grau, mit Glimmer; Oberfläche schwarz, geglättet. FO Räume A/C/D. Inv.-Nr. B77/210.12.
- 417 RS Schüssel Drack 21. Ton grau; Oberfläche schwarz, aussen geglättet. FO Räume A/C/D. Inv.-Nr. B77/210.11.
- 418 RS Kochtopf(?). Ton grau, mit feinen weissen Körnern. FO Räume A/C/D. Inv.-Nr. B77/210.13.
- 419 Stilus, Eisen. FO Räume A/C/D. Inv.-Nr. B77/210.15.

Parzelle III

Lehmboden in den Räumen P/Q/R/S/U/V

- 420 RS TS Schälchen Haltern 11, Arretina. Inv.-Nr. B77/310.5. (Schucany 1983, Nr. 1)
- 421 RS TS Schälchen Hofheim 5, südgallisch. Inv.-Nr. B77/310. (Schucany 1983, Nr. 2).
- 422 TS Schälchen Drag. 24 mit Stempel PRIM (Schucany 1983, Abb. 13,3), Primus aus La Graufesenque. Inv.-Nr. B77/310.1. (a.a.O. Nr. 6).
- 423 RS TS Teller Drag. 15, verbrannt. Inv.-Nr. B77/310.3. (Schucany 1983, Nr. 44). Passscherbe zu Inv.-Nr. B77/286.1. (FO Brandschutt über Raum R).
- 424 RS Firmisschälchen mit Netzwerkdekor aussen und Griessbewurf innen. Ton hellgelblichbeige; Überzug rotbraun. Inv.-Nr. B77/310.19.
- 425 RS Schälchen. Ton dunkelgrau, mit hellen Körnern, sehr hart gebrannt; Oberfläche rauh. Inv.-Nr. B77/310.20.
- 426 Pompejanisch-rote Platte. Tonkern dunkelorange, gegen aussen schwarzbraun, mit feinen weissen Körnern; Oberfläche aussen schwarzbraun, innen dunkelorange, mit Resten von mattem, rotem Überzug. Inv.-Nr. B77/310.31.
- 427 RS TS-Imitation Platte Drack 2, verbrannt. Überzug ehemals rot. Inv.-Nr. B77/310.11.
- 428 RS Schüssel Drack 21. Überzug orangerot. Inv.-Nr. B77/310.10.
- 429 RS Schüssel Drack 21, verbrannt(?). Überzug orangerot. Inv.-Nr. B77/310.12.
- 430 RS Honigtopf. Tonkern orangebeige, Mantel orange, glimmerhaltig. Inv.-Nr. B77/310.29.
- 431 RS Schulterbecher. Ton grau, auf der Schulter leicht geglättet. Inv.-Nr. B77/310.71.
- 432 RS Schultertopf. Ton dunkelgrau, mit wenigen hellen Körnern; Oberfläche grau, aussen mit Resten von Glimmerüberzug. Inv.-Nr. B77/310.69.
- 433 RS Schultertopf, verbrannt(?). Ton dunkelbeige-grau; Oberfläche grau, auf der Schulter geglättet. Inv.-Nr. B77/310.70.
- 434 RS Schüssel Drack 21. Ton braun, mit feinen, hellen Körnern; Oberfläche dunkelgrau. Inv.-Nr. B77/310.72.
- 435 RS Deckel. Ton schwarz, mit feinen, hellen Körnern; Reste von dunkelorangem, glimmerhaltigem Überzug. Inv.-Nr. B77/310.75.
- 436 RS Kochtopf mit horizontalem Besenstrich. Ton dunkelbeige, gemagert; Oberfläche dunkelgrau bis schwärzlich. Inv.-Nr. B77/310.73.
- 437 Kochtopf mit horizontalem Besenstrich. Ton dunkelbeige, gemagert; Oberfläche unten dunkelbeige, oben dunkelgrau bis schwärzlich. Inv.-Nr. B77/310.68.
- 438 RS Kochtopf mit horizontalem Kammstrich. Ton grau, sandig; Oberfläche grau, mit feinen gelblichweissen Körnern. Inv.-Nr. B77/310.74.
- 439 Webgewicht, verbrannt. Ton orange, sandig, mit weissen Körnern. Gewicht 618 g. Inv.-Nr. B77/310.101.
- 440 Zierblech, hütchenförmig, Bronze. Inv.-Nr. B77/310.103. M 1:2.
- 441 2 Fragmente eines Kasserollengriffes (zusammengehörig?). Bronze, teilweise goldglänzend. Inv.-Nr. B77/310.102. M 1:2.
- Resten von braungrauem Überzug. FO Raum R. Inv.-Nr. B77/286.2.
- 445 Napf. Tonkern grau, Mantel braungrau; Oberfläche grau. FO Raum V. Inv.-Nr. B77/280.3.
- 446 Wangenklappe eines Helms, Bronze. FO Raum R. Inv.-Nr. B77/292.1. (Schucany 1983, Abb. 4,3).
- 447 Gusstiegel(?), Eisen. FO Raum R. Inv.-Nr. B77/286.3.
- verbranntes Gestell (A27/B14) in Raum R*
- 448 RS TS Schälchen Hofheim 8, südgallisch. Inv.-Nr. B77/273.1. (Schucany 1983, Nr. 17).
- 449 RS TS Platte Drag. 15, verbrannt. Inv.-Nr. B77/272.1. (Schucany 1983, Nr. 36). Passscherbe zu Inv.-Nr. B77/256.14. (FO Brandschutt darüber).
- 450 RS TS Schüssel Drag. 29, verbrannt, Punzen wohl aus La Graufesenque (ähnlich Hermet 1934, Taf. 37,20; Taf. 60,35). Inv.-Nr. B77/276. Vielleicht gleiches Gefäss wie Nr. 494. Passscherbe zu Inv.-Nr. B77/256.16. (FO Brandschutt darüber).
- 451 Bildlampe Loeschcke Typ IB, verbrannt(?). Ton hellbeige; Überzug rotorange, durchscheinend. Inv.-Nr. B77/276.2. Passscherbe zu FK 256 (FO Brandschutt darüber).
- 452 Bildlampe Loeschcke Typ 8, verbrannt. Ton beige; Überzug jetzt graubraun. Inv.-Nr. B77/275.1.
- 453 TS-Imitation Platte Drack 3, verbrannt. Überzug ehemals rot. Inv.-Nr. B77/272.2. Passscherbe zu Inv.-Nr. B77/256.32. (FO Brandschutt darüber).
- 454 RS Schüssel Drack 21, verbrannt. Überzug ehemals rot. Inv.-Nr. B77/272.3. Passscherbe zu Inv.-Nr. B77/376.27. (FO Brandschutt über den Räumen G/H/L).
- 455 Spinnwirtel, verbrannt. Ton orangebeige; Überzug jetzt weisslichbeige, durchscheinend. Gewicht 82 g. Anhaftende Schlacke(?). Inv.-Nr. B77/273.2.
- 456 Cochlear, Bronze, Laffe schlecht erhalten, Stiel abgebrochen. Inv.-Nr. B77/283.1. M 1:2.
- 457 Lanzenschuh, Eisen. Inv.-Nr. B77/274.1. (Schucany 1983, Abb. 4,2).
- Brandschutt über dem Gestell (A27/B14) in Raum R*
- 458 RS TS Schälchen Drag. 24, verbrannt. Inv.-Nr. B77/256.5. (Schucany 1983, Nr. 11).
- 459 RS TS Schälchen Drag. 27, südgallisch. Inv.-Nr. B77/256.6. (Schucany 1983, Nr. 23).
- 460 RS TS Schälchen Hofheim 9, verbrannt. Inv.-Nr. B77/256.7. (Schucany 1983, Nr. 19).
- 461 RS TS Teller Drag. 15, verbrannt. Inv.-Nr. B77/256.11. (Schucany 1983, Nr. 50).
- 462 RS TS Platte Drag. 15, verbrannt. Inv.-Nr. B77/256.13. (Schucany 1983, Nr. 37).
- 463 RS TS Schüssel Hofheim 12, verbrannt. Inv.-Nr. B77/256.3. (Schucany 1983, Nr. 32).
- 464 Firmisschälchen mit Griessbewurf. Ton hellbeige; Überzug dunkelbraun. Inv.-Nr. B77/256.51. Passscherbe zu Inv.-Nr. B77/376.48. (FO Brandschutt über den Räumen G/H/L).
- 465 RS Firmisschälchen mit Schuppenmuster. Ton hellbeige; Überzug braun. Inv.-Nr. B77/256.52.
- 466 RS Schüssel Drack 21, verbrannt. Überzug ehemals rot. Inv.-Nr. B77/256.37.
- 467 RS Schüssel Drack 21. Überzug rot. Inv.-Nr. B77/256.34.
- 468 RS Schüssel Drack 21, verbrannt. Überzug ehemals rot(?). Inv.-Nr. B77/256.36.
- 469 RS Krug. Ton orange. Inv.-Nr. B77/256.57.
- 470 RS Topf. Ton hellbraun; Oberfläche graubraun. Inv.-Nr. B77/256.60.
- 471 RS Schultertopf. Ton grau; Oberfläche orange, mit wenigen

Brandschicht

- 442 RS Campana-Imitation Schale. Ton grau; Oberfläche grau, fleckig, leicht geglättet. FO Raum V. Inv.-Nr. B77/280.4.
- 443 RS TS-Imitation Teller Drack 3, verbrannt. Überzug ehemals rot. FO Raum Q. Inv.-Nr. B77/277.1.
- 444 Platte, verbrannt. Ton bräunlichgrau; Oberfläche grau, mit

- weissen Körnern; Oberfläche auf der Schulter geglättet. Inv.-Nr. B77/256.982. Passscherbe zu Inv.-Nr. B77/376.57. (FO Brandschutt über den Räumen G/H/L).
- 472 RS Schultertopf mit Rädchenmuster. Ton orange; Oberfläche hellbraun, auf der Schulter geglättet. Inv.-Nr. B77/256.983. Passscherbe zu Inv.-Nr. B77/376.53. (FO Brandschutt über den Räumen G/H/L).
- 473 RS Knickschüssel. Tonkern grau, Mantel hellbraun; Oberfläche aussen geglättet. Inv.-Nr. B77/256.56.
- 474 RS Schale. Ton grau; Oberfläche/Überzug(?) grau, mit Glimmer, innen geglättet. Inv.-Nr. B77/256.407.
- 475 RS Flasche. Ton grau; Oberfläche aussen geglättet. Inv.-Nr. B77/256.408.
- 476 RS Schulterbecher. Ton grau, mit weissen Körnern. Inv.-Nr. B77/256.410.
- 477 RS Schulterbecher. Ton dunkelgrauschwarz; Oberfläche auf der Schulter leicht geglättet. Inv.-Nr. B77/256.409.
- 478 RS feiner Napf. Tonkern grau, Mantel rötlichbeige; Oberfläche braungrau, aussen wenig geglättet. Inv.-Nr. B77/256.59.
- 479 RS Schüssel Drack 21. Überzug schwarz. Inv.-Nr. B77/256.35.
- 480 RS Schüssel Drack 21. Überzug schwarz. Inv.-Nr. B77/256.38.
- 481 RS Kochtopf. Ton braun; Oberfläche dunkelbraun, innen schwarz. Inv.-Nr. B77/256.62.
- 482 RS Kochtopf mit horizontalem Kammstrich. Ton grau. Inv.-Nr. B77/256.411.
- 483 Kochtopf mit Kammstrichmuster, handgemacht. Ton orangebeige. Inv.-Nr. B77/256.61.
- 484 Steinschale mit Griffen. Grau (verbrannt?). Inv.-Nr. B77/256.981.
- Brandschutt in den Parzelle I/III*
- 485 RS TS Schälchen Drag. 24, südgallisch. FO über Raum S. Inv.-Nr. B77/431.1. (Schucany 1983, Nr.10).
- 486 TS Schälchen Drag. 24 mit Stempel OFECII (Schucany 1983, Abb.13,9). FO über den Räumen G/H/L. Inv.-Nr. B77/376.3. (a.a.O. Nr. 5). Passscherben zu Inv.-Nr. B77/368.2. (FO 1. Abstich des Brandschuttes) und Inv.-Nr. B77/255.2. (FO Brandschutt über den Räumen Q/R/S/U/V).
- 487 rs ts Schälchen Hofheim 8, verbrannt. FO über den Räumen G/H/L. Inv.-Nr. B77/376.9. (Schucany 1983, Nr. 18).
- 488 RS TS Schälchen Drag. 27, verbrannt. FO über den Räumen G/H/L. Inv.-Nr. B77/376.43B. (Schucany 1983, Nr. 29). Passscherbe zu Inv.-Nr. B77/255.6. (FO Brandschutt über den Räumen Q/R/S/U/V).
- 489 RS TS Teller Drag. 17, südgallisch. FO über Raum S. Inv.-Nr. B77/431.2. (Schucany 1983, Nr. 41).
- 490 RS TS Teller Drag. 15, verbrannt. FO in Grube in Raum A. Inv.-Nr. B77/181.1. (Schucany 1983, Nr. 49).
- 491 RS TS Platte Drag. 15, südgallisch. FO über Raum A. Inv.-Nr. B77/57.2. (Schucany 1983, Nr. 38).
- 492 RS TS Platte Drag. 18, südgallisch. FO über den Räumen G/H/L. Inv.-Nr. B77/376.5. (Schucany 1983, Nr. 68).
- 493 TS Teller Drag. 18 mit Stempel REGINVS F (Schucany 1983, Abb.13,5), Reginus aus La Graufesenque, verbrannt. FO über den Räumen F/G/J. Inv.-Nr. B77/408.1. (a.a.O. Nr. 61). Passscherbe zu Inv.-Nr. B77/402.10. (FO 1. Abstich des Brandschuttes).
- 494 RS TS Schüssel Drag. 29, verbrannt, Punzen wohl aus La Graufesenque (ähnlich Hermet 1934, Taf. 37,20; 60,35). FO über den Räumen G/H/L. Inv.-Nr. B77/376.4. (Schucany 1983, Nr. 76). Vielleicht gleiches Gefäss wie Nr. 450. Passscherben zu Inv.-Nr. B77/422.3. (FO über Raum V) und Inv.-Nr. B77/255.17. (FO Brandschutt über den Räumen Q/R/S/U/V).
- 495 RS TS Schüssel Drag. 29, verbrannt, Punzen wohl aus La Graufesenque (ähnlich Hermet 1934, Taf.25,14; Taf. 40,45). FO Brandschutt über den Räumen Q/R/S/U/V. Inv.-Nr. B77/255.23. Aus dem vermutlich vermischten FK 255 sind nur die verbrannten Stücke berücksichtigt, da nur sie mit einiger Sicherheit aus dem Brandschutt stammen (s. Schucany 1983, 60f.). (Schucany 1983, Nr. 74). Passscherbe zu Inv.-Nr. B77/441.17. und Inv.-Nr. B77/441.24. (FO Boden in den Räumen J/K; da die Scherben verbrannt sind, stammen sie wohl eher aus dem untersten Teil des Brandschuttes oder von der Übergangszone zum Boden als aus dem Boden selber).
- 496 RS TS Schüssel Drag. 37, verbrannt. FO über den Räumen G/H/L. Inv.-Nr. B77/368.4. (Schucany 1983, Nr. 77).
- 497 RS Amphore Dressel 10 similis. Ton hellbeige. FO über den Räumen J/K. Inv.-Nr. B77/417.10.
- 498 RS Firnissschälchen mit Griessbewurf innen. Ton hellbeige; Überzug dunkelbraungrau. FO über den Räumen G/H/L. Inv.-Nr. B77/376.49.
- 499 RS Firnissschälchen mit Schuppenmuster. Ton hellbeige; Überzug graubraun. FO über Raum S. Inv.-Nr. B77/431.8.
- 500 RS Becher. Ton braun, hart gebrannt. FO über den Räumen F/G/J. Inv.-Nr. B77/402.35.
- 501 RS Becher. Ton dunkelbraun, hart gebrannt. FO über den Räumen F/G/J. Inv.-Nr. B77/402.36.
- 502 RS Bildlampe. Ton hellbeige; Überzug graubraun. FO über Raum A. Inv.-Nr. B77/57.6.
- 503 RS Bildlampe. Ton hellbeige; Überzug orangebraun. FO über Raum V. Inv.-Nr. B77/298.3.
- 504 Bildlampe. Ton hellbeige, kein Überzug (mehr?) vorhanden. FO im Balkengraben zwischen den Räumen P und Q/R/S. Inv.-Nr. B77/309.5.
- 505 RS Campana-Imitation Schale. Ton braungrau; Oberfläche dunkelgrau, mit Resten von schwarzem Überzug. FO über den Räumen F/G/J. Inv.-Nr. B77/408.77.
- 506 RS TS-Imitation Schälchen Drack 11. Überzug rot. FO über den Räumen C/D/E/H. Inv.-Nr. B77/434.3.
- 507 RS TS-Imitation Schälchen Drack 13. Überzug orange, durchscheinend. FO über den Räumen C/D/E/H. Inv.-Nr. B77/434.5.
- 508 RS TS-Imitation Schälchen Drack 13. Überzug orange, durchscheinend. FO über den Räumen C/D/E/H. Inv.-Nr. B77/434.4.
- 509 RS TS-Imitation Platte Drack 2. Überzug rot. FO über Raum A. Inv.-Nr. B77/57.3.
- 510 RS TS-Imitation Teller Drack 2. Reste von rotem Überzug. FO über den Räumen F/G/J. Inv.-Nr. B77/402.20.
- 511 RS TS-Imitation Teller Drack 3. Überzug orangerot. FO über den Räumen G/H/L. Inv.-Nr. B77/376.31.
- 512 RS TS-Imitation Teller Drack 3, verbrannt. Überzug ehemals rot. FO über den Räumen G/H/L. Inv.-Nr. B77/376.32.
- 513 RS TS-Imitation Teller Drack 3. Überzug rot. FO über den Räumen F/G/J. Inv.-Nr. B77/402.19.
- 514 RS TS-Imitation Platte Drack 3. Überzug rot. FO über den Räumen G/H/L. Inv.-Nr. B77/368.10.
- 515 RS TS-Imitation Platte Drack 3. Überzug schwarz. FO über den Räumen G/H/L. Inv.-Nr. B77/368.11.
- 516 RS TS-Imitation Platte Drack 3. Überzug rotbraun. FO über den Räumen K/L. Inv.-Nr. B77/425.4.
- 517 RS TS-Imitation Platte Drack 3, verbrannt. Überzug ehemals rot. FO über den Räumen G/H/L. Inv.-Nr. B77/376.33.
- 518 RS TS-Imitation Platte Drack 3, verbrannt. Überzug ehemals rot. FO über den Räumen G/H/L. Inv.-Nr. B77/376.34.
- 519 RS Schüssel Drack 21, verbrannt. Überzug ehemals rot. FO über den Räumen G/H/L. Inv.-Nr. B77/376.28. Passscherbe zu FK 255 (FO Brandschutt über den Räumen Q/R/S/U/V).

- 520 RS Schüssel Drack 21. Überzug rotbraun. FO über den Räumen G/H/L. Inv.-Nr. B77/368.12.
- 521 RS Schüssel Drack 21, verbrannt. Überzug orange. FO über den Räumen F/G/J. Inv.-Nr. B77/402.22.
- 522 RS Schüssel Drack 21. Überzug orangerot. FO über den Räumen G/H/L. Inv.-Nr. B77/376.29.
- 523 RS Schüssel Drack 21, Variante mit feinen Rillen aussen. Reste von rotorangem Überzug. FO über Raum Q. Inv.-Nr. B77/250.1.
- 524 RS Schüssel Drack 22 similis mit Riefelmuster. Reste von rotem Überzug. FO über den Räumen A/E. Inv.-Nr. B77/88.2.
- 525 RS Krug(?). Ton orange; mit Goldglimmerüberzug. FO über den Räumen J/K. Inv.-Nr. B77/417.8.
- 526 RS Krug. Ton braunorange; Oberfläche hellbraun, mit Resten von bräunlicher Haut. FO über den Räumen G/H/L. Inv.-Nr. B77/376.72.
- 527 RS Krug, verbrannt. Ton orange; Oberfläche braunlila. FO über den Räumen K/L. Inv.-Nr. B77/425.8.
- 528 RS Krug. Ton hellbraun; Oberfläche/Überzug(?) braun. FO über Raum A. Inv.-Nr. B77/57.7.
- 529 RS Krug zweistabigem Henkel. Ton hellorangebeige; Oberfläche hellrosabeige, mit Glimmer. FO über den Räumen J/K. Inv.-Nr. B77/417.9.
- 530 RS Krug. Ton orange. FO über den Räumen F/G/J. Inv.-Nr. B77/402.34.
- 531 RS Krug mit vierstabigem Henkel. Ton hellbeige. FO über den Räumen G/H/L. Inv.-Nr. B77/368.27.
- 532 RS Amphore mit aussen doppelt geschweifter Lippe und zweistabigen Henkeln, verbrannt(?). Ton hellbraunbeige. FO über den Räumen F/G/J. Inv.-Nr. B77/402.41.
- 533 RS Amphore mit aussen doppelt geschweifter Lippe, verbrannt. Ton hellbeige, gemagert. FO über den Räumen F/G/J. Inv.-Nr. B77/408.40. Passscherbe zu Inv.-Nr. B77/402.42 (1. Abstich des Brandschuttes).
- 534 RS Krug. Ton orange. FO über den Räumen G/H/L. Inv.-Nr. B77/368.28.
- 535 RS grosser Krug(?). Tonkern grau, Mantel orange, mit Glimmer. FO über Raum S. Inv.-Nr. B77/431.9.
- 536 RS Tonne. Tonkern bräunlichgrau, Mantel dunkelorange; Oberfläche orangebraun, glimmerhaltig, mit Resten von dunkelbraunem Überzug/Bemalung. FO über den Räumen G/H/L. Inv.-Nr. B77/376.100.
- 537 RS Topf. Ton orange, mit Glimmer. FO im Balkengraben zwischen den Räumen P und Q/R/S. Inv.-Nr. B77/309.6.
- 538 RS Honigtopf. Ton beige. FO über den Räumen F/G/J. Inv.-Nr. B77/402.38.
- 539 RS Platte. Ton orange; Goldglimmerüberzug. FO über den Räumen G/H/L. Inv.-Nr. B77/368.31.
- 540 Pompejanisch-rote Platte. Tonkern dunkelorange, gegen aussen schwarzbraun, mit weissen Körnern; Oberfläche aussen schwarzbraun, innen dunkelorange, mit Resten von mattem, rotem Überzug. FO über Raum V. Inv.-Nr. B77/281.1.
- 541 RS Schale. Ton hellbeige, mit feinem Keramikschat; Oberfläche/Überzug lachsfarben bis hellgelblichbraun, glänzend, fleckig, glimmerhaltig, aussen mit aufgerauhtem Streifen. FO über den Räumen K/L. Inv.-Nr. B77/428.4. Passscherbe zu FK 425 (1. Abstich des Brandschuttes).
- 542 RS Platte. Tonkern beigeorange, Mantel orange. FO über den Räumen G/H/L. Inv.-Nr. B77/376.73.
- 543 RS Schüssel. Ton orange, gemagert, mit Glimmer. FO über Raum A. Inv.-Nr. B77/57.8.
- 544 RS Reibschüssel. Ton hellbeige, gemagert; Oberfläche hellgelblichbeige, mit Resten von anhaftendem verbranntem Lehm. FO über den Räumen F/G/J. Inv.-Nr. B77/408.4.
- 545 RS Reibschüssel, Orientierung nicht ganz genau bestimmbar. Tonkern rosa, Mantel beige. FO über den Räumen F/G/J. Inv.-Nr. B77/402.46.
- 546 RS Schulterbecher. Ton orange; aussen Goldglimmerüberzug. FO über Raum V. Inv.-Nr. B77/422.10.
- 547 RS Schulterbecher. Ton orangebeige; Oberfläche orangehellbraun, aussen geglättet. FO über den Räumen G/H/L. Inv.-Nr. B77/368.29.
- 548 RS Schulterbecher. Ton orange. FO über den Räumen G/H/L. Inv.-Nr. B77/368.30.
- 549 RS Becher. Ton orangebeige; aussen Goldglimmerüberzug. FO über Raum V. Inv.-Nr. B77/422.11.
- 550 RS Schulterbecher, verbrannt. Tonkern grünlichbeige, Mantel rötlich; Oberfläche auf der Schulter geglättet. FO über den Räumen G/H/L. Inv.-Nr. B77/376.55.
- 551 RS Schulterbecher. Ton dunkelrosa; Oberfläche aussen geglättet. FO über Raum V. Inv.-Nr. B77/422.12.
- 552 RS Schulterbecher, verbrannt. Ton orange, mit groben, weissen Körnern. FO über den Räumen G/H/L. Inv.-Nr. B77/376.52.
- 553 RS Schulterbecher mit Riefen, verbrannt. Ton graubeige; Oberfläche ehemals hellbraun, auf der Schulter leicht geglättet. FO über den Räumen G/H/L. Inv.-Nr. B77/376.56.
- 554 Becher mit Netzwerkemuster, verbrannt. Ton orange; Oberfläche ehemals orange, auf der Schulter geglättet. FO über den Räumen G/H/L. Inv.-Nr. B77/376.51.
- 555 RS Schulterbecher mit Rädchenemuster, verbrannt(?). Tonkern grau, Mantel hellbraun; Oberfläche auf der Schulter geglättet. FO über den Räumen G/H/L. Inv.-Nr. B77/376.54.
- 556 RS Schultertopf, verbrannt. Tonkern grau, Mantel orange; Oberfläche aussen geglättet, mit wenigen Resten von grauer Haut(?). FO über den Räumen F/G/J. Inv.-Nr. B77/408.13.
- 557 RS Topf. Ton beigebräunlich. FO über den Räumen F/G/J. Inv.-Nr. B77/402.39.
- 558 RS Tonne. Ton bräunlichorange; Oberfläche geglättet. FO über den Räumen F/G/J. Inv.-Nr. B77/402.37.
- 559 RS Flasche. Ton orange; Oberfläche hellbraun, geglättet. FO über den Räumen G/H/L. Inv.-Nr. B77/376.59.
- 560 2 WS (zusammengehörig?) von geschlossenem Gefäss in SLT-Tradition, verbrannt. Ton orange; Oberfläche geglättet, mit horizontalen Farbzonen und Metopenemuster bemalt. Die Farben sind des Brandes wegen nicht mehr eindeutig zu ermitteln. Möglicherweise handelt es sich um Weiss, Rot und Sepiafarben. FO über den Räumen G/H/L. Inv.-Nr. B77/376.61.
- 561 RS Knickschüssel, verbrannt. Ton orange; Oberfläche hellbraun, aussen stark geglättet. FO über den Räumen G/H/L. Inv.-Nr. B77/376.58. Passscherbe zu FK 255 (FO Brandschutt über den Räumen Q/R/S/U/V).
- 562 RS Knickschale, verbrannt. Ton orangegrau, hart gebrannt; Oberfläche hellrosabraun, geglättet, mit feinen Rillen und aufgerauhtem Streifen aussen. FO über den Räumen F/G/J. Inv.-Nr. B77/408.12C. Passscherbe zu FK 402 (1. Abstich des Brandschuttes).
- 563 2 RS Knickschale (zusammengehörig?), verbrannt. Ton orangegrau, hart gebrannt; Oberfläche hellrosabraun, geglättet, mit feinen Rillen und aussen mit aufgerauhtem Streifen. FO über den Räumen F/G/J. Inv.-Nr. B77/408.12A. und Inv.-Nr. B77/408.12B. Passscherbe zu FK 402 (1. Abstich des Brandschuttes).
- 564 RS feiner Napf, verbrannt. Ton dunkelgraubeige; Oberfläche ehemals beige bis hellbraun, leicht glimmerhaltig. FO über den Räumen F/G/J. Inv.-Nr. B77/408.72.
- 565 RS Napf. Ton orange; Oberfläche hellorange, ziemlich rauh. FO über den Räumen G/H/L. Inv.-Nr. B77/376.71.

- 566 Napf, verbrannt. Ton orangegrau; Oberfläche dunkelbeige, geglättet. FO im Balkengraben zwischen den Räumen Q/R. Inv.-Nr. B77/271.1.
- 567 RS Schulterbecher mit Rädchenmuster. Ton grau; Oberfläche am Hals geglättet. FO über Raum V. Inv.-Nr. B77/422.64.
- 568 2 RS Schulterbecher (zusammengehörig?), verbrannt. Tonkern grau, Mantel beige; Oberfläche beige bis beige-grau. FO über den Räumen F/G/J. Inv.-Nr. B77/408.76A. und Inv.-Nr. B77/408.76B.
- 569 RS Schulterbecher. Ton grau; Oberfläche aussen teilweise geglättet. FO über den Räumen F/G/J. Inv.-Nr. B77/402.212.
- 570 RS Schulterbecher. Ton grau, mit groben, weissen Körnern. FO über den Räumen F/G/J. Inv.-Nr. B77/402.211.
- 571 RS Schulterbecher. Ton dunkelgrau; Oberfläche auf der Schulter leicht geglättet. FO über den Räumen F/G/J. Inv.-Nr. B77/408.74.
- 572 RS Schulterbecher. Ton dunkelorange, mit groben, weissen Körnern; Oberfläche grau. FO über den Räumen F/G/J. Inv.-Nr. B77/408.75.
- 573 RS Schulterbecher. Ton grau; Oberfläche aussen geglättet. FO über Raum V. Inv.-Nr. B77/422.62.
- 574 RS Schülertopf. Ton beige-grau, mit weissen Körnern; Oberfläche dunkelgrau. FO über Raum S. Inv.-Nr. B77/431.36.
- 575 RS Schülertopf. Ton grau, mit weissen Körnern. FO über Raum A. Inv.-Nr. B77/57.13.
- 576 RS Schulterbecher. Ton grau; aussen mit Resten von Glimmerüberzug. FO über den Räumen F/G/J. Inv.-Nr. B77/402.213.
- 577 RS Schulterbecher. Ton dunkelgrau; Oberfläche grau, aussen mit Resten von stark glimmerhaltig Überzug. FO über den Räumen F/G/J. Inv.-Nr. B77/408.73.
- 578 RS feiner Topf. Ton graubeige; Oberfläche grau, aussen geglättet. FO über Raum V. Inv.-Nr. B77/422.63.
- 579 RS feiner Topf. Ton grau; Oberfläche aussen geglättet. FO über den Räumen F/G/J. Inv.-Nr. B77/402.214.
- 580 RS Topf. Tonkern grau, Mantel beige-grau; Oberfläche dunkelgrau. FO über den Räumen F/G/J. Inv.-Nr. B77/408.78.
- 581 RS Topf. Ton grau; Oberfläche dunkelgrau. FO über den Räumen C/D/E/H. Inv.-Nr. B77/434.21.
- 582 RS Schüssel Drack 21. Überzug schwarz. FO über den Räumen F/G/J. Inv.-Nr. B77/402.21.
- 583 RS Schüssel Drack 20. Ton graubeige; Oberfläche schwarz, aussen geglättet. FO über den Räumen C/D/E/H. Inv.-Nr. B77/434.20.
- 584 RS Schüssel Drack 20. Überzug schwarz, durchsichtig. FO über den Räumen F/G/J. Inv.-Nr. B77/402.25.
- 585 RS Schüssel Drack 20, Variante mit Rillen aussen. Überzug schwarz. FO über den Räumen G/H/L. Inv.-Nr. B77/376.30. Passscherbe zu FK 255 (FO Brandschutt über den Räumen Q/R/S/U/V).
- 586 RS Schüssel Drack 20. Überzug schwarz. FO über den Räumen F/G/J. Inv.-Nr. B77/402.24.
- 587 RS Schüssel Drack 20. Ton grau, mit Glimmer; Oberfläche schwarz, aussen geglättet. FO über den Räumen G/H/L. Inv.-Nr. B77/368.120.
- 588 RS Schüssel Drack 20, Durchmesser nicht genau bestimmbar. Überzug schwarz. FO über den Räumen K/L. Inv.-Nr. B77/425.5.
- 589 RS feiner Napf. Ton schwarz; Oberfläche aussen geglättet mit Streifen. FO über den Räumen G/H/L. Inv.-Nr. B77/368.123.
- 590 RS feiner Napf. Ton grau, mit Glimmer; Oberfläche schwarz, geglättet. FO über den Räumen G/H/L. Inv.-Nr. B77/368.122.
- 591 RS feiner Napf. Ton grau, mit Glimmer; Oberfläche schwarz, geglättet. FO über den Räumen G/H/L. Inv.-Nr. B77/368.121.
- 592 RS Dolium. Ton orange, teilweise grau; Oberfläche orange. FO im Balkengraben zwischen den Räumen P und Q/R/S. Inv.-Nr. B77/309.7.
- 593 RS Dolium. Ton orange, mit gelblichweissen Körnern. FO über den Räumen C/D/E/H. Inv.-Nr. B77/434.9.
- 594 RS Dolium, verbrannt. Ton orange, mit groben, weissen Körnern; Oberfläche ehemals orangebraun, mit Resten von hellrosagrauer Haut. FO über den Räumen G/H/L. Inv.-Nr. B77/376.155.
- 595 RS Dolium, verbrannt. Ton orange bis grünlich, mit groben, weissen Körnern; Oberfläche orange, mit Resten von hellrosagrauer Haut. FO über den Räumen G/H/L. Inv.-Nr. B77/376.156. Passscherbe zu Inv.-Nr. B77/402.40. (FO über den Räumen F/G/J).
- 596 RS Dolium. Ton grau, gemagert. FO über Raum V. Inv.-Nr. B77/422.60.
- 597 RS Dolium. Ton grau, gemagert. FO über Raum V. Inv.-Nr. B77/422.61.
- 598 RS Dolium. Ton beige-grau, gemagert, Oberfläche hellbeige-grau. FO über den Räumen F/G/J. Inv.-Nr. B77/408.46.
- 599 RS Deckel eines Kochtopfes. Ton grau, mit feinen weissen Körnern; Oberfläche schwarz. FO über Raum S. Inv.-Nr. B77/431.38.
- 600 RS Deckel. Ton braunschwarz, fein gemagert; Oberfläche schwarz. FO über Raum S. Inv.-Nr. B77/431.39.
- 601 RS Koch(?) -Topf. Ton graubeige; Oberfläche schwarz, mit weissen Körnern. FO über den Räumen J/K. Inv.-Nr. B77/417.31.
- 602 RS Kochtopf. Ton beige-grau, gemagert; Oberfläche dunkelgrau. FO über Raum V. Inv.-Nr. B77/422.66.
- 603 RS Kochtopf. Ton orangebraun; Oberfläche dunkelbraun. FO über Raum S. Inv.-Nr. B77/431.37.
- 604 RS Kochtopf mit Kammstrich. Ton orange, mit Glimmer; mit Resten von graubeiger Haut. FO über den Räumen F/G/J. Inv.-Nr. B77/402.45.
- 605 RS Kochtopf mit Kammstrich. Ton grau. FO über den Räumen F/G/J. Inv.-Nr. B77/402.215.
- 606 RS Kochtopf mit Kammstrich. Ton rötlichbeige-grau; Oberfläche schwarz. FO über den Räumen F/G/J. Inv.-Nr. B77/402.217.
- 607 RS Kochtopf mit Kammstrich, handgemacht. Ton beige-grau, mit weissen Körnern. FO über den Räumen F/G/J. Inv.-Nr. B77/402.216.
- 608 RS Kochtopf mit Kammstrich, handgemacht. Ton orange, gemagert. FO über den Räumen F/G/J. Inv.-Nr. B77/402.44.
- 609 RS Kochtopf mit Kammstrich, handgemacht. Ton beige-grau, gemagert; Oberfläche schwarz. FO über Raum V. Inv.-Nr. B77/422.65.
- 610 RS Kochtopf mit Kammstrichmuster, handgemacht. Ton orange, gemagert. FO über den Räumen F/G/J. Inv.-Nr. B77/402.43.
- 611 RS Kochtopf mit Kammstrichmuster, handgemacht. Ton rötlich; Oberfläche braunschwarz. FO über Raum V. Inv.-Nr. B77/422.67.
- 612 RS Kochtopf, handgemacht. Ton grau, gemagert. FO über den Räumen U/V. Inv.-Nr. B77/453.3.
- 613 RS Dolium, handgemacht. Ton dunkelbeige, gemagert. FO über Raum Q. Inv.-Nr. B77/250.3.
- 614 RS Kochnapf(?) mit formloser Erhöhung aussen (Fehlbrand?). Tonkern grau, Mantel dunkelbeige, mit feinen, weissen Körnern; Oberfläche dunkelbeige. FO über den Räumen G/H/L. Inv.-Nr. B77/376.74.

- 615 RS Kochnapf mit Kammstrichmuster, handgemacht. Ton rötlich, mit weissen, länglichen Körnern; Oberfläche schwarz. FO über den Räumen G/H/L. Inv.-Nr. B77/376.152.
- 616 RS Napf, handgemacht. Ton graubeige. FO über den Räumen F/G/J. Inv.-Nr. B77/402.48.
- 617 RS Napf, handgemacht. Ton kern dunkelgrau, gegen aussen allmählich dunkelbraun; Oberfläche aussen dunkelbeige, innen schwarz. FO über den Räumen F/G/J. Inv.-Nr. B77/408.107.
- 618 RS Napf, handgemacht. Ton kern teilweise dunkelgrau, Mantel beige. FO über den Räumen F/G/J. Inv.-Nr. B77/402.49.
- 619 RS Napf, handgemacht. Ton beige. FO über Raum A. Inv.-Nr. B77/57.9.
- 620 Koch(?) - Napf, handgemacht. Ton orangebeige, mit weisser Magerung. FO über den Räumen F/G/J. Inv.-Nr. B77/402.47.
- 621 Fibel, gegitterte Aucissa-Variante (Riha Typ 5.4). Bronze, teilweise goldglänzend, Querstege kupferfarben (Eisen?), Fussspitze und Nadel abgebrochen. FO über den Räumen G/H/L. Inv.-Nr. B77/376.173. M 1:2.
- 622 Bronzescheibe mit konzentrischen Rillen, Mitte herausgebrochen(?). FO über den Räumen G/H/L. Inv.-Nr. B77/376.175. M 1:2.
- 623 Zwei offene Bronzeröhrchen mit Nieten(?), abgebrochen. FO über den Räumen C/D/E/H. Inv.-Nr. B77/434.30. M 1:2.
- 624 Bronzenagel mit Rest von Bronzeblech. FO über den Räumen C/D/E/H. Inv.-Nr. B77/434.29.
- 625 Fragment eines halbmondförmigen Bronzeblechs, am Ende mit Heftloch. FO über den Räumen G/H/L. Inv.-Nr. B77/376.174. M 1:2.
- 626 Bronzanhänger, herzförmiger. FO über den Räumen F/G/J. Inv.-Nr. B77/408.113. (Schucany 1983, Abb. 4,5). M 1:2.
- 627 Fragment eines Futteralbeschlages, Bronze. FO über den Räumen G/H/L. Inv.-Nr. B77/376.176. (Schucany 1983, Abb. 4,6). M 1:2.
- 628 Bronzenadel, Spitze abgebrochen. FO über den Räumen F/G/J. Inv.-Nr. B77/402.270. M 1:2.
- 629 Bronzering, zerbrochen. FO über den Räumen F/G/J. Inv.-Nr. B77/408.112. M 1:2.
- 630 Bronzedraht, rechteckiger Querschnitt. FO über Raum V. Inv.-Nr. B77/422.230. M 1:2.
- 631 Bronzedraht, an beiden Enden abgebrochen. FO über den Räumen F/G/J. Inv.-Nr. B77/408.113. M 1:2.
- 632 Geschossspitze, Eisen. FO im Balkengraben zwischen den Räumen Q/T. Inv.-Nr. B77/303.1. (Schucany 1983, Abb. 4,1).
- 633 Eisenmesser, Spitze und Dorn abgebrochen. FO über Raum A. Inv.-Nr. B77/57.19.
- 634 Krampen, Eisen. FO über den Räumen U/V. Inv.-Nr. B77/522.1.
- 635 Wagenachse, Eisen. FO über Raum C. Inv.-Nr. B77/411.1.
- 636 Zügelöse, Eisen. FO über den Räumen F/G/J. Inv.-Nr. B77/402.269.
- 637 Fragment einer Hipposandale, Eisen. FO über den Räumen F/G/J. Inv.-Nr. B77/402.268.
- 638 Hirschgeweihanhänger, durchlocht. FO über den Räumen F/G/J. Inv.-Nr. B77/408.110. (Schucany 1983, Abb. 4,4). M 1:2.

12.11. Keramik und Kleinfunde der Steinbauperiode I

12.11.1. Phase I (SP I.1; s. Beil.16)

Parzelle I

Unterlage/Lehmboden in Raum A

- 639 RS TS Schälchen Drag. 24, südgallisch (Ton hell). Inv.-Nr. B77/122.4.
- 640 TS Schälchen Drag. 24, südgallisch. Inv.-Nr. B77/122.2.
- 641 RS TS Schälchen Drag. 24, südgallisch. Inv.-Nr. B77/122.3.
- 642 TS Schälchen Drag. 24, südgallisch. Inv.-Nr. B77/122.1.
- 643 RS TS Schälchen Drag. 27, südgallisch. Inv.-Nr. B77/122.9.
- 644 RS TS Schälchen Drag. 27, südgallisch (Ton hell). Inv.-Nr. B77/122.10.
- 645 RS TS Platte Drag. 15, südgallisch. Inv.-Nr. B77/122.5.
- 646 RS TS Teller Drag. 15, südgallisch. Inv.-Nr. B77/122.6.
- 647 RS TS Teller Drag. 18, Variante mit Rille an der Innenseite, Durchmesser nicht genau bestimmbar, südgallisch. Inv.-Nr. B77/122.8.
- 648 RS TS Teller Drag. 18, südgallisch (Ton hell). Inv.-Nr. B77/122.11.
- 649 RS Amphore Dressel 20. Ton rosabeige, mit feiner, dunkler Magerung (evtl. Martin-Kilcher 1987, Tongruppe I). Inv.-Nr. B77/122.39.
- 650 RS Bildlampe. Ton hellgrünlichbeige; Überzug gräulichbraun. Inv.-Nr. B77/122.32.
- 651 Bildlampe mit Volutenschnauze. Ton hellgrünlichbeige; Überzug hellorangebraun. Inv.-Nr. B77/122.31.
- 652 RS TS-Imitation Platte Drack 2, verbrannt. Überzug orange. Inv.-Nr. B77/122.17.
- 653 RS TS-Imitation Drack 2, Durchmesser nicht genau bestimmbar. Überzug rot. Inv.-Nr. B77/122.18.
- 654 RS TS-Imitation Platte Drack 4A. Überzug rot. Inv.-Nr. B77/122.20.
- 655 RS TS-Imitation Platte Drack 4A. Überzug dunkelgrau. Inv.-Nr. B77/122.27.
- 656 RS TS-Imitation Schüssel Drack 19, verbrannt. Überzug hellbraun. Inv.-Nr. B77/122.21.
- 657 BS TS-Imitation Schälchen mit Stempel ILLANVA FE, verbrannt. Überzug jetzt schwarz. Inv.-Nr. B77/122.13. M 1:1.
- 658 RS Schüssel Drack 21. Überzug orangerot bis orangebraun, fleckig. Inv.-Nr. B77/122.14.
- 659 RS Schüssel Drack 21. Überzug orangerot. Inv.-Nr. B77/122.15.
- 660 RS Schüssel Drack 21. Überzug orange. Inv.-Nr. B77/122.16.
- 661 RS Krug. Ton kern dunkelbeige, Mantel bräunlichorange, fein gemagert. Inv.-Nr. B77/122.34.
- 662 RS Kanne. Ton kern dunkelbeige, Mantel rötlich, mit Glimmer; Oberfläche aussen dunkelgrau. Inv.-Nr. B77/122.40.
- 663 RS Schultertopf. Ton grau; Oberfläche aussen leicht geglättet. Inv.-Nr. B77/122.43.
- 664 RS Schultertopf. Ton grau; Oberfläche schwarz, aussen geglättet. Inv.-Nr. B77/122.42.
- 665 RS Schüssel Drack 20. Ton grau; aussen schwarzer Überzug/Oberfläche. Inv.-Nr. B77/122.23.
- 666 RS Schüssel Drack 20. Ton grau; aussen schwarzer Überzug/Oberfläche. Inv.-Nr. B77/122.24.
- 667 RS Schüssel Drack 20. Ton grau; Überzug schwarz. Inv.-Nr. B77/122.26.
- 668 RS Schüssel Drack 20. Ton hellgrau; Überzug schwarz. Inv.-Nr. B77/122.25.
- 669 RS Dolium, Durchmesser nicht genau bestimmbar. Ton grau, mit weissen Körnern. Inv.-Nr. B77/122.49.

- 670 RS Napf. Ton grau; Oberfläche dunkelgrau. Inv.-Nr. B77/122.41.
- 671 RS Kochtopf. Ton grau, mit weissen Körnern. Inv.-Nr. B77/122.47.
- 672 RS Kochtopf. Ton grau, mit groben Körnern. Inv.-Nr. B77/122.44.
- 673 RS Kochtopf mit Kammstrichmuster. Ton grau, mit weissen Körnern; Oberfläche dunkelgrau. Inv.-Nr. B77/122.48.
- 674 RS Kochtopf mit Kammstrichmuster, handgemacht. Ton grau, gemagert. Inv.-Nr. B77/122.46.
- 675 RS Kochtopf mit Kammstrichmuster, handgemacht. Ton grau, gemagert. Inv.-Nr. B77/122.45.
- Schlamm/Benutzungsschicht in Raum A*
- 676 RS TS Schälchen Drag. 24, Durchmesser nicht ganz gesichert, südgallisch. Inv.-Nr. B77/105.3.
- 677 RS TS Schälchen Drag. 27, südgallisch. Inv.-Nr. B77/105.2.
- 678 BS TS mit Stempel SA[...], evtl. Salaris Artus aus La Grafesenque (Oswald 1931, 277), südgallisch (Ton hell). Inv.-Nr. B77/105.1.
- 679 RS Schüssel Drack 21. Überzug hellorange. Inv.-Nr. B77/105.6.
- 680 RS Krug mit Überzug. Ton orange; aussen matter, oranger Überzug. Inv.-Nr. B77/105.14.
- 681 RS Krug. Ton bräunlichbeige, mit Glimmer. Inv.-Nr. B77/105.15.
- 682 RS Schüssel Drack 20. Ton dunkelbeige; Oberfläche schwarz, aussen geglättet. Inv.-Nr. B77/105.10.
- 683 RS Schultertopf. Ton grau, mit Glimmer. Inv.-Nr. B77/105.16.
- 684 RS Schultertopf(?). Ton grau; Oberfläche aussen geglättet. Inv.-Nr. B77/105.17.
- 685 Hohlbeitel, Eisen. Inv.-Nr. B77/105.21.
- Boden/Bauhorizont der Phase 2 in den Räumen A/B*
- 686 RS TS Schälchen Hofheim 8, südgallisch. Inv.-Nr. B77/211.5.
- 687 RS TS Schälchen Drag. 27, südgallisch (Ton hell). Inv.-Nr. B77/211.6.
- 688 RS TS Teller Drag. 15, Variante, südgallisch. Inv.-Nr. B77/211.2.
- 689 RS TS Teller Drag. 15, südgallisch. Inv.-Nr. B77/211.3.
- 690 RS TS Teller Drag. 15, verbrannt. Inv.-Nr. B77/211.4.
- 691 RS TS Schüssel Drag. 29, südgallisch (Ton hell). Inv.-Nr. B77/211.1.
- 692 RS TS-Imitation Platte Drack 3. Überzug schwarz. Inv.-Nr. B77/211.10.
- 693 RS TS-Imitation Schälchen Drack 9. Überzug schwarz. Inv.-Nr. B77/211.11.
- 694 RS Schüssel Drack 21. Überzug bräunlichorange. Inv.-Nr. B77/211.8.
- 695 RS Schüssel Drack 21. Überzug dunkelorange. Inv.-Nr. B77/211.9.
- 696 RS feiner Topf. Ton kern beige-grau, Mantel grau; Oberfläche aussen geglättet. Inv.-Nr. B77/211.17.
- 697 RS Topf. Ton grau, mit Glimmer; Oberfläche/Überzug(?) grau, aussen geglättet. Inv.-Nr. B77/211.22.
- 698 RS Dolium. Ton rötlich, mit feiner, heller Magerung; Oberfläche schwarz. Inv.-Nr. B77/211.18.
- Parzelle II*
- Bodenunterlage/Fundament (Bauhorizont)*
- 699 RS TS Platte Drag. 18, südgallisch (Ton dunkel). FO Räume E/G. Inv.-Nr. B77/81.1.
- 700 RS TS Schale Drag. 36, südgallisch. FO Raum E. Inv.-Nr. B77/189.1.
- 701 RS TS Schüssel Drag. 29, südgallisch (Ton dunkel). FO Raum E. Inv.-Nr. B77/187.1.
- 702 WS TS Schüssel Drag. 29, südgallisch. FO Raum E. Inv.-Nr. B77/189.3.
- 703 WS TS Schüssel Drag. 37, südgallisch (Ton dunkel). FO Fundament zwischen den Räumen J/K. Inv.-Nr. B77/414.1.
- 704 BS TS Teller mit Stempel []ABIO, evtl. Mabio aus Banassac (Bémont/Jacob 1986, 283), leicht verbrannt. FO Räume E/G. Inv.-Nr. B77/81.4. M 1:1.
- 705 RS Amphore Dressel 10 similis. Ton hellbeige; aussen hellbeige Haut (Überzug?). FO Räume E/G. Inv.-Nr. B77/81.18.
- 706 RS TS-Imitation Platte Drack 2(?), Durchmesser nicht genau bestimmbar. Reste von orangem Überzug. FO Fundament der Nordwand von Haus II. Inv.-Nr. B77/133.1.
- 707 RS TS-Imitation Teller Drack 4A, Durchmesser nicht genau bestimmbar. Wenige Reste von rotem Überzug. FO Räume E/G. Inv.-Nr. B77/81.9.
- 708 RS TS-Imitation Schälchen Drack 18(?). Ton grau; Reste von dunkelgrauem bis braungrauem Überzug. FO Räume E/G. Inv.-Nr. B77/81.10.
- 709 RS Schüssel Drack 21. Überzug hellrotorange. FO Raum E. Inv.-Nr. B77/189.5.
- 710 RS Schüssel Drack 21, Durchmesser nicht genau bestimmbar. Überzug rotorange. FO Räume E/G. Inv.-Nr. B77/81.6.
- 711 RS Schüssel Drack 21, verbrannt(?). Reste von rotem Überzug. FO Fundament der Nordwand von Haus II. Inv.-Nr. B77/133.2.
- 712 RS Krug. Ton dunkelorange, mit Glimmer; Reste von matter Haut. FO Raum E. Inv.-Nr. B77/189.11.
- 713 RS Krug. Ton orange, mit wenig Glimmer. FO Raum E. Inv.-Nr. B77/189.9.
- 714 RS Schale. Ton hellbeige; Oberfläche/Überzug(?) lachsfarben bis rosa, gefleckt, mit Glimmer, aussen fast völlig weg. FO Raum E. Inv.-Nr. B77/189.10.
- 715 RS Topf. Ton orangebeige, mit Glimmer. FO Raum E. Inv.-Nr. B77/80.4.
- 716 RS Topf. Ton hellbeige. FO Fundament der Nordwand von Haus II. Inv.-Nr. B77/133.3.
- 717 RS Schüssel Drack 20. Ton kern orange; Oberfläche schwarz, aussen geglättet. FO Räume E/G. Inv.-Nr. B77/81.19.
- 718 RS Schultertopf(?). Ton graubeige; Oberfläche dunkelgrau, leicht geglättet. FO Räume E/G. Inv.-Nr. B77/81.22.
- 719 RS Schultertopf. Ton grau, mit Glimmer, aussen geglättet. FO Ostwand von Raum E. Inv.-Nr. B77/75.6.
- 720 RS Schultertopf(?). Ton graubeige; Oberfläche grau, aussen leicht geglättet. FO Räume E/G. Inv.-Nr. B77/81.20.
- 721 RS Kochschüssel. Ton orange, gemagert; Reste von Goldglimmerüberzug, Oberfläche teilweise geschwärzt. FO Raum E. Inv.-Nr. B77/189.12.
- 722 RS Kochtopf. Ton grau, mit weissen Körnern. FO Räume E/G. Inv.-Nr. B77/81.23.
- 723 RS Kochtopf. Ton grau, mit feinen, gelblichen Körnern. FO Räume E/G. Inv.-Nr. B77/81.21.
- Unterlage/Splitterboden (Bauhorizont) in Raum J*
- 724 TS Schälchen Drag. 24 mit Stempel L.E.S (M 1:1), evtl. L.Eppius und Silvanus aus Montans (Oswald 1931, 115), Graffito (M 1:1) auf der Bodenseite. Inv.-Nr. B77/357.1.

- 725 RS TS Schälchen Drag. 27, südgallisch. Inv.-Nr. B77/357.3.
 726 WS TS Schüssel Drag. 29, südgallisch. Inv.-Nr. B77/357.4.
 727 BS TS Schälchen Drag. 24 mit Stempel CLAYVS, Clarus aus Südgallien (Oswald 1931, 80), Ton dunkelrot mit weissen, ziemlich groben Einschlüssen (wie «mittelgallisch»). Inv.-Nr. B77/357.2. M 1:1.
 728 RS TS-Imitation Platte Drack 4B. Überzug schwarz. Inv.-Nr. B77/357.10.
 729 RS TS-Imitation Platte Drack 2, Durchmesser nicht genau bestimmbar. Überzug hellrot, durchscheinend. Inv.-Nr. B77/357.8.
 730 RS Schüssel Drack 21. Überzug rot. Inv.-Nr. B77/357.7.
 731 RS Schüssel Drack 21. Überzug orangebräunlich. Inv.-Nr. B77/357.6.
 732 RS Deckel. Ton orangebeige, fein gemagert, mit Glimmer, am Rand geschwärzt. Inv.-Nr. B77/357.11.

Lehmboden in Raum K

- 733 RS TS Teller Drag. 15, südgallisch. Inv.-Nr. B77/424.1.
 734 RS TS Teller Drag. 15, südgallisch (Ton hell). Inv.-Nr. B77/424.3.
 735 RS TS Platte Drag. 15, südgallisch. Inv.-Nr. B77/424.2.
 736 RS TS Teller Hofheim 1, südgallisch (Ton hell). Inv.-Nr. B77/424.4.
 737 RS Amphore Dressel 20. Ton beige, körnig gemagert; Oberfläche orangebeige (evtl. Martin-Kilcher 1987, Tongruppe 2). Inv.-Nr. B77/424.10.
 738 RS TS-Imitation Platte Drack 2. Überzug rot. Inv.-Nr. B77/424.6.
 739 RS TS-Imitation Platte Drack 3. Überzug schwarz. Inv.-Nr. B77/424.7.
 740 RS Imitation einer pomejanisch-roten Platte. Ton orange, wenig gemagert, mit Glimmer; innen Reste von rotem Überzug. Inv.-Nr. B77/424.9.
 741 RS Imitation eines Firnisbecher mit Netzwerkdekor. Ton orange; mit Resten von rotem Überzug. Inv.-Nr. B77/424.8.
 742 RS Kochtopf. Ton beige grau, mit Quarzmagerung. Inv.-Nr. B77/424.13.
 743 RS Dolium. Ton dunkelgrau, mit weissen Körnern. Inv.-Nr. B77/424.14.

Benutzungsschicht in Raum G

- 744 Bronzefragment. Inv.-Nr. B77/379.5. M 1:2.

Lehmboden/Bauhorizont der Phase 2 in den Räumen E/G

- 745 RS Glanztonbecher. Ton rötlich; Überzug braun. Inv.-Nr. B77/433.2.
 746 Bauklammer, ankerförmig, Eisen, mit Rost. Inv.-Nr. B77/433.7.

Parzelle III

Bodenunterlage/Fundament (Bauhorizont) in den Räumen P/R

- 747 RS TS Teller Drag. 15, südgallisch. Inv.-Nr. B77/270.3.
 748 RS TS Schälchen Drag. 27, mittelgallisch. Inv.-Nr. B77/270.4.
 749 RS Schüssel Drag. 29, südgallisch (Ton dunkel). Inv.-Nr. B77/270.2.
 750 2 WS TS Drag. 29 (zusammengehörig?), südgallisch (Ton dunkel). Inv.-Nr. B77/270.5.
 751 BS TS mit Stempel [I]ARDAC, Ardacus aus La Graufesenque (Oxé 1936, Nr. 14). Inv.-Nr. B77/270.1. M 1:1.
 752 RS Amphore wohl Camulodunum 184, stark verbrannt. Ton orangebräunlich bis grau. Inv.-Nr. B77/270.16.

- 753 RS Firnis schälchen mit Griessbewurf. Ton hellgelblich; Überzug dunkelgraubraun. Inv.-Nr. B77/270.11.
 754 RS Bildlampe mit gerundeter Volutenschnauze (Loeschcke Typ V). Ton hellbeige; Überzug hellorange. Inv.-Nr. B77/270.10.
 755 RS feiner Topf. Ton dunkelgrau; Oberfläche schwarz, aussen geglättet. Inv.-Nr. B77/270.14.
 756 RS feiner Topf. Ton grau; Oberfläche aussen geglättet. Inv.-Nr. B77/270.13.
 757 RS Schüssel Drack 21. Ton hellgrau; aussen schwarzer Überzug. Inv.-Nr. B77/269.1.
 758 RS Kochtopf, handgemacht. Ton dunkelgrau, gemagert, mit Glimmer. Inv.-Nr. B77/270.15.
 759 Bronze fragment. Inv.-Nr. B77/269.5. M 1:2.
 760 Bronze griff(?). Inv.-Nr. B77/269.8. M 1:2.
 761 Attache(?) einer Schwertscheideeinfassung eines Gladius Typ Pompeji. Bronze. Inv.-Nr. B77/269.7. M 1:2.
 762 Bronze fragment. Inv.-Nr. B77/270.19. M 1:2.
 763 Bronze plättchen, evtl. vom Hängeschurz eines Legionärs. Inv.-Nr. B77/269.6. M 1:2.
 764 Bronze haken. Inv.-Nr. B77/270.18. M 1:2.

Bodenoberfläche in Keller Q

- 765 RS TS Schüssel Drag. 29, südgallisch (Ton dunkel). Inv.-Nr. B77/320.1.
 766 RS TS Schüssel Drag. 37, südgallisch. Inv.-Nr. B77/320.2.
 767 RS TS Schüssel Drag. 37, südgallisch (Ton dunkel), Durchmesser nicht genau bestimmbar. Inv.-Nr. B77/320.16.
 768 RS TS Schüssel Drag. 37, südgallisch. Inv.-Nr. B77/320.17.
 769 WS TS Schüssel Drag. 30, südgallisch. Inv.-Nr. B77/320.6.
 770 BS TS Schüssel Drag. 37, südgallisch. Inv.-Nr. B77/320.4.
 771 RS Firnis becher mit Griessbewurf. Ton hellbeige; Überzug olive grün bis braun. Inv.-Nr. B77/421.7.
 772 RS Campana-Imitation Schale. Ton grau; Oberfläche schwarz, poliert. Inv.-Nr. B77/421.4.
 773 RS TS-Imitation Teller Drack 3, Variante. Ton grau; Überzug/geglättete Oberfläche schwarz. Inv.-Nr. B77/421.3.
 774 RS TS-Imitation Teller Drack 3, Variante. Ton grau; Überzug/geglättete Oberfläche schwarz. Inv.-Nr. B77/320.18.
 775 RS TS-Imitation Schüssel Drack 19. Überzug orange. Inv.-Nr. B77/320.7.
 776 RS Schüssel Drack 21. Überzug orange. Inv.-Nr. B77/421.1.
 777 RS Topf. Ton beige. Inv.-Nr. B77/320.10.
 778 RS Flasche(?). Ton dunkelgrau; Oberfläche aussen schwarz, geglättet. Inv.-Nr. B77/320.11.
 779 RS Schüssel Drack 22 similis. Ton grau; aussen geglättete Oberfläche/Überzug. Inv.-Nr. B77/320.20.
 780 RS Schulterbecher. Ton kern dunkelgrau, Mantel grau; Oberfläche schwarz, aussen geglättet. Inv.-Nr. B77/421.10A.
 781 WS geschlossenes Gefäss mit Rädchenmuster. Ton grau; Oberfläche schwarz. Inv.-Nr. B77/421.10B.
 782 WS Topf mit aufgelegten Tonfäden. Ton bräunlichschwarz, mit Glimmer; Oberfläche schwarz, aussen geglättet. Inv.-Nr. B77/320.13.

Einfüllung des Balkengrabens zwischen den Räumen U/V

- 783 RS feiner Topf. Ton schwarz, mit Glimmer; aussen mit Resten von schwarzer, polierter Oberfläche. Inv.-Nr. B77/451.1.
 784 RS Rippenschale. Glas türkisblau, der Rand erscheint poliert. Inv.-Nr. B77/451.2.

Parzelle I

Fundament (Bauhhorizont)

- 785 BS TS-Imitation Schälchen Drack 9(?) mit Stempel 2A-BINV, Sabinus. Ton orange; Überzug orange. FO südliche Aussenmauer von Haus I. Inv.-Nr. B77/472.1. M 1:1.

Unterlage/Boden

- 786 RS TS Schälchen Haltern 11, südgallisch (Ton hell). FO Räume A/B. Inv.-Nr. B77/396.9.
- 787 RS TS Schälchen Drag. 24, südgallisch (Ton hell). FO Räume A/B. Inv.-Nr. B77/396.6.
- 788 RS TS Schälchen Drag. 27, südgallisch. FO Räume A/B. Inv.-Nr. B77/396.7.
- 789 TS Schälchen Hofheim 8, südgallisch. FO Raum A. Inv.-Nr. B77/82.1.
- 790 TS Schälchen Hofheim 9 mit Stempel (M 1:1), nicht lesbar, südgallisch (Ton dunkel). FO Räume A/B. Inv.-Nr. B77/396.1.
- 791 RS TS Teller Drag. 15, südgallisch. FO Räume A/B. Inv.-Nr. B77/396.2.
- 792 RS TS Teller Drag. 16, südgallisch. FO Räume A/B. Inv.-Nr. B77/396.3.
- 793 RS TS Platte Drag. 18, mittelgallisch. FO Räume A/B. Inv.-Nr. B77/396.4.
- 794 RS TS Teller Drag. 18, südgallisch. FO Räume A/B. Inv.-Nr. B77/396.5. Passscherbe zu Inv.-Nr. B77/306.5. (FO Boden/Benutzungsschicht in den Räumen C/D der SP I.4).
- 795 RS TS Schüssel Hofheim 12, südgallisch. FO Räume A/B. Inv.-Nr. B77/396.8.
- 796 RS Firnisbecher mit Griessbewurf. Ton hellgrünlichbeige; Überzug grünlichbraun. FO Räume A/B. Inv.-Nr. B77/396.16.
- 797 RS Schälchen, hart gebrannt. Ton dunkelgrau, mit Körnern. FO Räume A/B. Inv.-Nr. B77/396.17.
- 798 RS TS-Imitation Teller Drack 3. Überzug rotbraun. FO Räume A/B. Inv.-Nr. B77/396.12.
- 799 RS TS-Imitation Platte Drack 4A. Überzug rotbraun, aussen fast vollständig abgerieben, am Rand geschwärzt. FO Räume A/B. Inv.-Nr. B77/396.13.
- 800 RS grosser Krug. Ton orange, mit Glimmer. FO Räume A/B. Inv.-Nr. B77/396.18.
- 801 RS Schüssel mit Horizontalrand. Ton beige, mit Glimmer, gemagert. FO Räume A/B. Inv.-Nr. B77/396.19.
- 802 RS Deckel. Ton orange, gemagert, mit Glimmer; Oberfläche am Rand geschwärzt. FO Räume A/B. Inv.-Nr. B77/396.21.
- 803 RS Topf. Ton grau; Oberfläche dunkelbräunlichgrau, geglättet. FO Räume A/B. Inv.-Nr. B77/396.22.
- 804 RS Schultertopf. Ton grau, mit Glimmer. FO Räume A/B. Inv.-Nr. B77/396.23.
- 805 entfällt.
- 806 WS Topf mit Nuppen. Ton dunkelgrau. FO Räume A/B. Inv.-Nr. B77/396.26.
- 807 WS Topf mit Netzwerkdekor. Ton dunkelgrau; Oberfläche schwarz. FO Räume A/B. Inv.-Nr. B77/396.27.
- 808 RS Kochtopf mit Kammstrich. Ton dunkelgrau, gemagert. FO Räume A/B. Inv.-Nr. B77/396.24.
- 809 Bronzestöpsel einer Ampulle. FO Räume A/B. Inv.-Nr. B77/396.35. M 1:2.
- 810 Spielsteinfragment. Glas weiss, mit kleinen Löchern (zufällig?). FO Räume A/B. Inv.-Nr. B77/396.31. M 1:2.
- 811 Spielstein. Glas weiss, mit einem kleinen Loch (zufällig?). FO Räume A/B. Inv.-Nr. B77/396.29. M 1:2.

- 812 Spielstein. Glas weiss, mit kleinen Löchern (zufällig?). FO Räume A/B. Inv.-Nr. B77/396.30. M 1:2.

Parzelle II

Bodenunterlage (Bauhhorizont)

- 813 RS TS Schälchen Drag. 27, südgallisch. FO Raum E. Inv.-Nr. B77/217.2.
- 814 RS TS Schale Drag. 36, südgallisch. FO Raum E. Inv.-Nr. B77/216.1.
- 815 RS TS Schüssel Drag. 29, südgallisch (Ton dunkel), Punzen wohl aus La Graufesenque (ähnlich Hermet 1934, Taf. 37,13). FO Raum E. Inv.-Nr. B77/217.1.
- 816 WS TS Reliefschüssel, südgallisch (Ton dunkel). FO Raum E. Inv.-Nr. B77/216.2.
- 817 WS TS Reliefschüssel, südgallisch (Ton dunkel). FO Raum E. Inv.-Nr. B77/217.4.
- 818 RS Firnischälchen mit Netzwerkdekor. Ton hellgelblichbeige; Überzug braun. FO Raum E. Inv.-Nr. B77/217.14.
- 819 RS Firnisbecher mit Griessbewurf. Ton hellgelblichbeige; Überzug olivebraun. FO Raum E. Inv.-Nr. B77/217.13.
- 820 RS Bildlampe mit Volutenschnauze. Ton hellgelblich; mit Resten von dunkelgrauem Überzug. FO Raum E. Inv.-Nr. B77/217.12.
- 821 RS TS-Imitation Schälchen Drack 11. Reste von rotbraunem Überzug. FO Raum E. Inv.-Nr. B77/217.5.
- 822 RS TS-Imitation Platte Drack 2. Überzug rotorange. FO Raum E. Inv.-Nr. B77/217.6.
- 823 RS TS-Imitation Platte Drack 2. Überzug orangerot. FO Raum E. Inv.-Nr. B77/55.2.
- 824 RS Schüssel Drack 21. Überzug rotorange. FO Raum E. Inv.-Nr. B77/217.7.
- 825 RS Krug. Ton orange, mit Glimmer. FO Raum E. Inv.-Nr. B77/55.3.
- 826 RS Krug. Ton dunkelorange, mit Glimmer, mit weisser Magerung. FO Raum E. Inv.-Nr. B77/217.16.
- 827 RS Schüssel. Ton orangebräunlich; Oberfläche geglättet, mit Glimmer. FO Raum E. Inv.-Nr. B77/217.15.
- 828 RS Reibschüssel. Ton rosabeige, mit hellen Körnern, mit Glimmer; Oberfläche innen abgerieben. FO Raum E. Inv.-Nr. B77/217.17.
- 829 RS Tonne. Ton kern bräunlichrot, Mantel beigeorange, mit Glimmer, fein gemagert. FO Raum G. Inv.-Nr. B77/416.1. Passscherbe zu Inv.-Nr. B77/390.1. (FO Brandschutt über Raum B der SP I.6).
- 830 entfällt.
- 831 RS Schultertopf(?). Ton grau, mit groben, hellen Körnern; Oberfläche aussen geglättet. FO Raum E. Inv.-Nr. B77/217.20.
- 832 RS Dolium. Ton grau, fein gemagert. FO Raum E. Inv.-Nr. B77/55.4.
- 833 RS Kochnapf, handgemacht. Ton kern grau, Mantel dunkelbeige, gemagert. FO Raum E. Inv.-Nr. B77/217.18.
- 834 RS Kochnapf. Ton dunkelgrau, mit feinen, weissen Körnern, mit Glimmer; Oberfläche schwarz. FO Raum H. Inv.-Nr. B77/63.2.
- 835 RS Kochschüssel. Ton orange, fein gemagert; Überzug mit Glimmer, aussen geschwärzt, innen rot. FO Raum H. Inv.-Nr. B77/63.1.
- 836 RS Kochtopf mit Besenstrich, handgemacht. Ton beige-grau, gemagert; Oberfläche aussen schwarz. FO Raum E. Inv.-Nr. B77/217.21.
- 837 RS Koch(?) -Topf mit Besenstrich. Ton grau, mit feinen, weissen Körnern. FO Raum E. Inv.-Nr. B77/217.19.

- 838 Kleine Aucissa-Fibel (Riha Typ 5.2.2), Bronze. FO Raum E. Inv.-Nr. B77/217.27. M 1:2.
- 839 Scheibenfibel mit einer Symmetrieachse und Email(?)-Einlagen, zum Teil stark korrodiert, vermutlich mit Scharnier (etwa Riha Typ 7.18), Bronze. FO Raum E. Inv.-Nr. B77/217.28. M 1:2.
- 840 Pfeilspitze, Eisen. FO Raum E. Inv.-Nr. B77/217.29.
- Lehmboden*
- 841 RS TS Platte Drag. 15, südgallisch (Ton dunkel). FO Raum G. Inv.-Nr. B77/352.1.
- 842 RS Krug. Tonkern grau, Mantel orangebeige; Oberfläche aussen mit Goldglimmerüberzug. FO Raum G. Inv.-Nr. B77/352.3.
- 843 RS Kochtopf. Ton dunkelgrau, mit feinen, weissen Körnern. FO Raum G. Inv.-Nr. B77/352.5.
- 844 RS Kochtopf. Tonkern beige-grau, gemagert; Oberfläche dunkelgrau. FO Raum G. Inv.-Nr. B77/352.6.
- 845 Gewichtstein aus Bronze mit Masszeichen S aus Zinn oder Silber (hellgraues Metall), Gewicht 13,3 g. FO Raum C. Inv.-Nr. B77/491.1. M 1:2.
- Benutzungsschicht*
- 846 RS TS Schälchen Drag. 27, südgallisch. FO Raum J. Inv.-Nr. B77/340.2.
- 847 TS Schälchen Hofheim 8 mit Stempel O SABIN (M 1:1), Sabinus aus La Graufesenque (Oxé 1936, 390) (Ton dunkel). FO Raum J. Inv.-Nr. B77/340.1.
- 848 RS TS Platte Drag. 17, südgallisch. FO Raum D. Inv.-Nr. B77/106.1.
- 849 RS TS Teller Drag. 18, verbrannt. FO Raum F. Inv.-Nr. B77/52.1.
- 850 RS TS Schüssel Drag. 29, südgallisch (Ton dunkel), Punzen wohl aus La Graufesenque (ähnlich Hermet 1934, Taf. 38,21). FO Raum J. Inv.-Nr. B77/340.3.
- 851 RS Amphore Pélichet 46. Ton hellgrünlichbeige, mehlig, fein gemagert. FO Raum F. Inv.-Nr. B77/52.2. Passscheibe zu Inv.-Nr. B77/39.22. und Inv.-Nr. B77/107.3. (FO Brandschicht in Raum G der SP I.4).
- 852 RS Amphore Dressel 9 similis. Ton orangerosa, gemagert, mit Glimmer, mit feinen, braunen Körnern. FO Raum D. Inv.-Nr. B77/106.9.
- 853 RS Amphore Dressel 20. Ton rosa, mit feiner, heller und dunkler Magerung (evtl. Martin-Kilcher 1987, Tongruppe). FO Raum J. Inv.-Nr. B77/356.3.
- 854 RS Glanztonteller. Ton orange, fein gemagert; Überzug braunorange, mit Goldglimmer, am Rand geschwärzt. FO Raum J. Inv.-Nr. B77/340.11.
- 855 RS Glanztonteller. Ton orange, fein gemagert; Überzug rotorange. FO Raum J. Inv.-Nr. B77/340.7.
- 856 RS Glanztonteller. Ton orange, fein gemagert; Überzug orange. FO Raum J. Inv.-Nr. B77/340.8.
- 857 RS Glanztonschüssel mit Horizontalrand. Ton orange, fein gemagert; Überzug innen blassorange, aussen dunkelbraun. FO Raum J. Inv.-Nr. B77/340.12.
- 858 RS Glanztonschüssel, verbrannt(?). Ton grau; Überzug braun, mit Goldglimmer. FO Raum J. Inv.-Nr. B77/340.15.
- 859 RS Schüssel Drack 21. Ton orange; aussen Reste von rotem Überzug. FO Raum D. Inv.-Nr. B77/106.5.
- 860 RS Schüssel Drack 21. Ton orange; Überzug braunrot. FO Raum J. Inv.-Nr. B77/340.5.
- 861 RS Glanztonbecher. Ton orange, fein gemagert; Überzug hellbraun, mit Goldglimmer. FO Raum J. Inv.-Nr. B77/340.10.
- 862 RS Schulterbecher(?). Ton orangehellbraun; Oberfläche aussen geglättet. FO Raum D. Inv.-Nr. B77/106.6.
- 863 WS geschlossenes Gefäss in SLT-Tradition. Ton orange, fein gemagert; Oberfläche aussen mit rotem Streifen bemalt. FO Raum J. Inv.-Nr. B77/340.20.
- 864 RS Reibschüssel. Tonkern orange, Mantel hellbeige, grob gemagert. FO Raum J. Inv.-Nr. B77/340.14.
- 865 RS Napf. Ton hellbraun, fein gemagert; Oberfläche leicht geglättet. FO Raum D. Inv.-Nr. B77/106.7.
- 866 RS Schultertopf(?). Tonkern schwarz, Mantel hellgrau; Oberfläche dunkelgrau. FO Raum D. Inv.-Nr. B77/106.13.
- 867 RS Becher. Ton hellgrau. FO Raum J. Inv.-Nr. B77/356.4.
- 868 WS Topf mit Rädchenmuster. Tonkern bräunlich, Mantel schwarz; Oberfläche aussen geglättet. FO Raum J. Inv.-Nr. B77/340.23.
- 869 WS Topf mit Rädchenmuster. Ton grau, Oberfläche aussen geglättet. FO Raum J. Inv.-Nr. B77/340.22.
- 870 RS Kochtopf. Ton orange, gemagert, am Rand geschwärzt. FO Raum J. Inv.-Nr. B77/340.13.
- 871 RS Kochtopf mit flauem Kerbmuster, handgemacht. Ton grau, grob gemagert. FO Raum J. Inv.-Nr. B77/340.21.
- 872 Spielstein. Glas weiss, mit kleinen Löchern (zufällig?). FO Raum J. Inv.-Nr. B77/365.1. M 1:2.
- 873 Spielstein. Glas weiss. FO Raum J. Inv.-Nr. B77/365.3. M 1:2.
- 874 Spielstein. Glas weiss, mit kleinen Löchern (zufällig?). FO Raum J. Inv.-Nr. B77/365.4. M 1:2.
- 875 Spielstein. Glas weiss. FO Raum J. Inv.-Nr. B77/365.2. M 1:2.
- 876 Riemenbeschlag eines Pferdegeschirrs(?), Bronze, an einem Ende abgebrochen. FO Raum J. Inv.-Nr. B77/340.25. M 1:2.
- Parzelle III*
- Einfüllung des Kellers Q der SP I.1 (BauhORIZONT)*
- 877 RS TS Schälchen Drag. 24, verbrannt. FO unter den Räumen M/N. Inv.-Nr. B77/405.3.
- 878 TS Schälchen Drag. 24, südgallisch. FO unter den Räumen M/N. Inv.-Nr. B77/405.2.
- 879 TS Schälchen Drag. 24 mit unlesbarem Stempel, südgal-lisch. FO unter den Räumen M/N. Inv.-Nr. B77/405.1.
- 880 RS TS Schälchen Hofheim 9, südgallisch. FO unter den Räumen M/N. Inv.-Nr. B77/405.6.
- 881 RS TS Schälchen Drag. 27, südgallisch. FO unter den Räumen M/N. Inv.-Nr. B77/405.5.
- 882 RS TS Schälchen Drag. 27, südgallisch. FO unter den Räumen M/N. Inv.-Nr. B77/405.4.
- 883 RS TS Teller Haltern 2, Arretina(?). FO unter Raum N. Inv.-Nr. B77/301.5.
- 884 RS TS Teller Drag. 15, südgallisch. FO unter den Räumen M/N. Inv.-Nr. B77/405.7.
- 885 RS TS Platte Drag. 15, südgallisch. FO unter Raum O (Einfüllung der Kellerfenster). Inv.-Nr. B77/268.1.
- 886 RS TS Teller Drag. 18/31, mittelgallisch. FO unter Raum N. Inv.-Nr. B77/301.6.
- 887 RS TS Teller Drag. 18/31, südgallisch. FO unter Raum O (Einfüllung der Kellerfenster). Inv.-Nr. B77/268.2.
- 888 RS TS Schüssel Drag. 29, südgallisch (Ton dunkel). FO unter Raum N. Inv.-Nr. B77/301.3.
- 889 RS TS Schüssel Drag. 29, südgallisch. FO unter Raum N. Inv.-Nr. B77/301.4.
- 890 RS TS Schüssel Drag. 37, verbrannt. FO unter Raum N. Inv.-Nr. B77/311.3.

- 891 WS TS Schüssel Drag. 29, südgallisch. FO unter Raum O (Einfüllung der Kellerfenster). Inv.-Nr. B77/268.4.
- 892 WS TS Schüssel Drag. 29, südgallisch. FO unter Raum N. Inv.-Nr. B77/297.5.
- 893 WS TS Schüssel Drag. 29, südgallisch (Ton dunkel). FO unter Raum N. Inv.-Nr. B77/301.8.
- 894 WS TS Schüssel, südgallisch, Punze aus La Graufesenque (Oswald 1937, Nr. 1970). FO unter den Räumen M/N. Inv.-Nr. B77/405.8.
- 895 BS TS Schüssel mit Stempel OF.CRESTIO, Crestio aus La Graufesenque (Oxé 1936, Nr. 74) (Ton dunkel). FO unter Raum N. Inv.-Nr. B77/301.1. M 1:1.
- 896 BS TS mit Stempel [OF P]ASSEI, Passienus aus La Graufesenque (Oxé 1936, Nr. 170) (Ton dunkel). FO unter Raum N. Inv.-Nr. B77/311.1. M 1:1.
- 897 BS TS mit Stempel SCOTNS, Scotnus aus La Graufesenque (Oxé 1936, Nr. 220) (Ton hell). FO unter Raum N. Inv.-Nr. B77/301.2. M 1:1.
- 898 RS Amphore wohl Camulodunum 184, verbrannt. Ton dunkelrosabräunlich bis grau. FO unter Raum N. Inv.-Nr. B77/311.12.
- 899 RS Amphore Camulodunum 184. Ton beige, mit feiner, dunkler Magerung (Nach Stefanie Martin-Kilcher, Basel, könnte es sich um einen Ton des östlichen Mittelmeeres handeln). FO unter den Räumen M/N. Inv.-Nr. B77/405.28.
- 900 RS Firnissschälchen mit Schuppendedekor und Griessbewurf. Ton hellgrünlichbeige; Überzug bräunlich. FO unter den Räumen M/N. Inv.-Nr. B77/405.19.
- 901 WS Firnissschälchen mit Schuppendedekor und Griessbewurf. Ton hellgrünlichbeige; Überzug gräulichbraun. FO unter Raum O (Einfüllung der Kellerfenster). Inv.-Nr. B77/268.6.
- 902 RS Bildlampe mit Volutenschnauze, Gladiator auf dem Spiegel. Ton beige; Überzug gräulichbraun. FO unter den Räumen M/N. Inv.-Nr. B77/405.18.
- 903 RS Campana-Imitation Schale. Ton graubeige; Oberfläche schwarz, poliert. FO unter Raum N. Inv.-Nr. B77/311.7.
- 904 RS TS-Imitation Platte Drack 3. Ton grau; Oberfläche schwarz, poliert. FO unter den Räumen M/N. Inv.-Nr. B77/405.15.
- 905 RS TS-Imitation Schale Drack 4B(?). Ton beige-grau; polierte Oberfläche/Überzug schwarz bis dunkelbeige-grau. FO unter Raum N. Inv.-Nr. B77/301.10.
- 906 RS TS-Imitation Schüssel Drack 19, Brandspuren. Ton graubeige; Oberfläche hellbraun, geglättet. FO unter den Räumen M/N. Inv.-Nr. B77/405.10.
- 907 RS TS-Imitation Schüssel Drack 19. Ton schwarz; polierte Oberfläche/Überzug aussen schwarz, innen braunbeige. FO unter Raum N. Inv.-Nr. B77/301.9.
- 908 RS Schüssel Drack 21. Ton hellorange; Überzug orange. FO unter den Räumen M/N. Inv.-Nr. B77/405.12.
- 909 RS Schüssel Drack 21. Ton hellorange; Überzug rot. FO unter den Räumen M/N. Inv.-Nr. B77/405.11.
- 910 RS Schüssel Drack 21. Ton orange; Überzug orangerot. FO unter den Räumen M/N. Inv.-Nr. B77/405.13.
- 911 RS Schüssel Drack 21. Ton orange; Überzug rotorange. FO unter Raum N. Inv.-Nr. B77/311.5.
- 912 WS Glanztonbecher mit Kerbmuster. Ton orange; Überzug aussen dunkelbraun, innen rot. FO unter Raum N. Inv.-Nr. B77/301.13.
- 913 WS Becher mit Kerbmuster und Feinkammstrichmuster im Überzug. Ton orange; Überzug aussen dunkelgräulichbraun, durchscheinend. FO unter den Räumen M/N. Inv.-Nr. B77/405.20.
- 914 RS Krug. Ton dunkelbraunrosa, mit Glimmer. FO unter den Räumen M/N. Inv.-Nr. B77/405.25.
- 915 RS Krug mit einem Henkel. Tonkern dunkelgrau, Mantel bräunlichrosa. FO unter den Räumen M/N. Inv.-Nr. B77/405.24.
- 916 RS Krug. Ton dunkelrosaorange. FO unter den Räumen M/N. Inv.-Nr. B77/405.27.
- 917 RS Honigtopf. Ton beigeorange, mit Glimmer. FO unter Raum N. Inv.-Nr. B77/301.15.
- 918 RS Reibschüssel. Ton hellorangebeige, gemagert; Oberfläche heller. FO unter Raum N. Inv.-Nr. B77/301.16.
- 919 RS Schultertopf. Ton hellrosabraun; Oberfläche aussen geglättet. FO unter Raum N. Inv.-Nr. B77/311.9.
- 920 RS Schulterbecher. Ton beige; Oberfläche aussen hellbraun, poliert, mit Glimmer. FO unter Raum N. Inv.-Nr. B77/311.8.
- 921 RS feiner Topf. Ton dunkelrosa. FO unter den Räumen M/N. Inv.-Nr. B77/405.26.
- 922 WS Schultertopf mit Rädchenmuster. Ton dunkelrosa; Oberfläche aussen geglättet. FO unter den Räumen M/N. Inv.-Nr. B77/405.35.
- 923 RS Schüssel Drack 21. Ton grau; Oberfläche schwarz, aussen geglättet. FO unter den Räumen M/N. Inv.-Nr. B77/405.16.
- 924 WS Schüssel mit Riefelbänder. Ton bräunlich; Oberfläche schwarz, poliert. FO unter Raum N. Inv.-Nr. B77/301.11.
- 925 RS Schultertopf. Tonkern schwarz, Mantel grau; Oberfläche schwarz, aussen poliert. FO unter Raum N. Inv.-Nr. B77/301.19.
- 926 RS Topf. Ton grau, Oberfläche schwarz. FO unter den Räumen M/N. Inv.-Nr. B77/405.38.
- 927 RS Schulterbecher mit schwach eingedrückten Dellen. Ton grau; Oberfläche aussen geglättet. FO unter den Räumen M/N. Inv.-Nr. B77/405.40.
- 928 WS Topf mit Rädchenmuster. Tonkern schwarz, Mantel grau; Oberfläche schwarz, aussen geglättet. FO unter Raum O (Einfüllung der Kellerfenster). Inv.-Nr. B77/268.8.
- 929 WS Topf mit Rädchenmuster. Tonkern schwarz, Mantel grau; Oberfläche schwarz. FO unter Raum N. Inv.-Nr. B77/311.16.
- 930 WS Nuppenbecher. Ton grau; Überzug/poliert Oberfläche aussen dunkelgrau. FO unter den Räumen M/N. Inv.-Nr. B77/405.21.
- 931 WS geschlossenes Gefäß mit Kammstrichmuster. Ton grau; Oberfläche aussen geglättet. FO unter den Räumen M/N. Inv.-Nr. B77/405.45.
- 932 WS Topf mit Glättrillen. Tonkern grau, Mantel beige; Oberfläche dunkelgrau. FO unter Raum N. Inv.-Nr. B77/297.3.
- 933 RS Deckel. Ton orange, gemagert, am Rand geschwärzt. FO unter Raum N. Inv.-Nr. B77/311.10.
- 934 Kochnapf, handgemacht. Ton schwarz, mit weissen Körnern; Oberfläche dunkelbraun bis schwarz, innen Reste einer hellbeigen Kruste. FO unter Raum N. Inv.-Nr. B77/311.14.
- 935 RS Kochtopf. Ton beige-grau, gemagert. FO unter den Räumen M/N. Inv.-Nr. B77/405.43.
- 936 RS Kochtopf mit Kammstrich. Ton grau, gemagert; Oberfläche schwarz. FO unter Raum N. Inv.-Nr. B77/301.20.
- 937 RS Kochtopf mit Kammstrichmuster. Ton graubeige, gemagert. FO unter Raum N. Inv.-Nr. B77/311.13.
- 938 RS Kochtopf, Fehlbrand. Ton grau, gemagert. FO unter den Räumen M/N. Inv.-Nr. B77/405.41.
- 939 RS Koch(?)-Topf. Ton dunkelgrau, gemagert; Oberfläche schwarz. FO unter den Räumen M/N. Inv.-Nr. B77/405.39.
- 940 RS Kochtopf, handgemacht. Ton dunkelbeige, gemagert. FO unter den Räumen M/N. Inv.-Nr. B77/405.42.
- 941 RS Kochtopf, handgemacht. Ton dunkelbeige, gemagert. FO unter Raum N. Inv.-Nr. B77/301.18.
- 942 Schamierflügelfibel ehemals mit seitlichen Knöpfen (ähnlich Riha Typ 5.7). Bronze mit Nielloeinlagen, goldschim-

- mernde Oberfläche. FO unter den Räumen M/N. Inv.-Nr. B77/405.53. M 1:2.
- 943 Scharnierflügelfibel (Riha Typ 5.7.6). Bronze, goldschimmernde Oberfläche. FO unter den Räumen M/N. Inv.-Nr. B77/405.52. M 1:2.
- 944 Augenfibel (Riha Typ 2.3), Bronze; die eingestempelten Kreisäugen auf dem Kopfende sind zu errahnen. FO unter Raum N. Inv.-Nr. B77/297.4. M 1:2.
- 945 Zierniete in Form eines Amorköpfchen mit hochgebundenem Haarschopf und zwei seitlichen, durch Ziselierung unterteilten Lockenbündeln. Das kleine Gesicht zeigt ein spitzes Kinn, einen schmalen Mund mit gepunzten Winkeln, eine feine Nase und grosse, breit umrandete Augen mit gross eingepunzten Pupillen. Rückseite flach bis leicht konkav; Nagel in der Mitte abgebrochen. Rechter Rand abgebrochen. Dunkelgrüne, leicht fleckige Patina; oberste Schicht z.T. abgeplatzt (Beschreibung: Annemarie Kaufmann-Heinimann, Basel). FO unter Raum N. Inv.-Nr. B77/311.21. M 1:2.
- 946 Bronzeanhänger, herzförmig. FO unter den Räumen M/N. Inv.-Nr. B77/405.51. M 1:2.

12.11.3. Phase 3 (SP I.3; s. Beil. 18)

Parzelle I

Bauhorizont in Raum B

- 947 RS TS Schüssel Drag. 37, südgallisch (Ton dunkel). FO Keller der SP I.2. Inv.-Nr. B77/394.1.
- 948 WS TS Schüssel Drag. 37, südgallisch (Ton dunkel). FO Keller der SP I.2. Inv.-Nr. B77/394.2.
- 949 RS Glanztonbecher mit Karniesrand. Ton orange; Überzug dunkelbraun. FO Keller der SP I.2. Inv.-Nr. B77/394.3.
- 950 RS Schale mit Überzug. Ton orange, fein gemagert; Überzug orange, matt, mit Goldglimmer. Inv.-Nr. B77/392.1.
- 951 RS Schüssel mit Überzug. Ton orange, mit feiner, heller Magerung; Überzug matt, hellorange, mit Goldglimmer, aussen und am Rand geschwärzt. FO Keller der SP I.2. Inv.-Nr. B77/394.6.
- 952 WS mit Rädchenmuster. Ton grau; Oberfläche aussen geglättet. FO Keller der SP I.2. Inv.-Nr. B77/394.5.
- 953 RS Napf. Ton rötlich, mit weisser Magerung; Oberfläche braunschwarz. Inv.-Nr. B77/392.2.

Lehmboden in Raum B

- 954 RS TS Teller Drag. 18, südgallisch. Inv.-Nr. B77/334.3.
- 955 RS TS Teller Drag. 18, südgallisch. Inv.-Nr. B77/334.2.
- 956 entfällt.
- 957 TS Schüssel Drag. 29 mit Stempel AMANDI (M 1:1), Amanthus aus La Graufesenque und Montans (Oswald 1931, 14; Knorr 1919, Taf. 6), und mit Graffito auf der Bodenunterseite (M 1:2). Inv.-Nr. B77/329.1. Passscherbe zu Inv.-Nr. B77/334.5. (FO gleiche Schicht).
- 958 entfällt.
- 959 RS Firmisbecher mit Griessbewurf. Ton hellgelblichbeige; Überzug braun. Inv.-Nr. B77/334.7.
- 960 RS Firmisbecher mit Griessbewurf. Ton hellbeige; Überzug bräunlich. Inv.-Nr. B77/334.8.
- 961 RS Schale mit Überzug. Ton orangerosa; Überzug orangefarbig, matt, mit Goldglimmer. Inv.-Nr. B77/334.9.
- 962 RS Glanztonteller, verbrannt(?). Ton beige; Überzug aussen hellbraunorange, innen braun. Inv.-Nr. B77/334.6.
- 963 RS Deckel. Ton orange, fein gemagert, mit Glimmer; Oberfläche am Rand geschwärzt. Inv.-Nr. B77/334.12.
- 964 RS Deckel. Ton hellorangerosa. Inv.-Nr. B77/334.10.

- 965 RS Deckel mit Brandspuren. Ton orangebeige, mit Glimmer. Inv.-Nr. B77/334.11.
- 966 WS in SLT-Tradition. Ton orange; Oberfläche aussen geglättet, mit rotem und weissem Streifen bemalt. Inv.-Nr. B77/334.13.
- 967 WS mit Rädchenmuster. Ton kern schwarz, Mantel hellgrau; Oberfläche dunkelgrau. Inv.-Nr. B77/334.15.
- 968 WS mit Rädchenmuster. Ton grau; Reste von geglätteter Oberfläche. Inv.-Nr. B77/334.16.
- 969 WS mit Glättrillen. Ton grau, fein gemagert. Inv.-Nr. B77/334.17.

Unterlage/Boden/Benutzungsschicht in Raum B

- 970 RS TS Teller Drag. 16, südgallisch, Durchmesser nicht genau bestimmbar. Inv.-Nr. B77/336.2.
- 971 RS TS Teller Drag. 18, südgallisch. Inv.-Nr. B77/336.3.
- 972 RS TS Teller Drag. 18, mittelgallisch. Inv.-Nr. B77/336.4.
- 973 RS TS Schälchen Drag. 27, südgallisch. Inv.-Nr. B77/336.5.
- 974 RS TS Schälchen Drag. 42, südgallisch. Inv.-Nr. B77/336.13.
- 975 RS TS Schüssel Drag. 30, südgallisch (Ton dunkel). Inv.-Nr. B77/336.10.
- 976 RS TS Schüssel Drag. 29, südgallisch. Inv.-Nr. B77/336.9.
- 977 RS TS Schüssel Drag. 29, südgallisch (Ton dunkel). Inv.-Nr. B77/336.8.
- 978 RS TS Schüssel Drag. 29, südgallisch (Ton dunkel). Inv.-Nr. B77/336.7.
- 979 WS TS Schüssel Drag. 29, südgallisch (Ton dunkel). Inv.-Nr. B77/336.19.
- 980 WS TS Schüssel Drag. 29, verbrannt, Punze wohl aus La Graufesenque (ähnlich Oswald 1937, Nr. 1472). Inv.-Nr. B77/336.18.
- 981 RS TS Schüssel Drag. 29 Variante, südgallisch. Inv.-Nr. B77/336.6.
- 982 RS TS Schüssel Drag. 37, südgallisch, Punze wohl aus La Graufesenque (ähnlich Hermet 1934, Taf. 35bis,6). Inv.-Nr. B77/336.11.
- 983 RS TS Schüssel Drag. 37, südgallisch. Inv.-Nr. B77/336.12.
- 984 RS TS-Imitation Schüssel Drag. 19. Ton beige-grau; polierte Oberfläche/Überzug schwarz. Inv.-Nr. B77/336.23.
- 985 RS Schüssel Drag. 21. Ton hellorange; Überzug aussen rot. Inv.-Nr. B77/336.21.
- 986 RS Deckel. Ton hellorange, fein gemagert. Inv.-Nr. B77/336.30.
- 987 RS Krug mit Henkelansatz. Ton orange. Inv.-Nr. B77/336.29.
- 988 RS Becher. Ton beige-grau; Oberfläche aussen geglättet. Inv.-Nr. B77/336.38.
- 989 RS Schultertopf mit Besenstrich(?). Ton grau, mit Glimmer; Oberfläche aussen geglättet. Inv.-Nr. B77/336.37.
- 990 RS Schüssel Drag. 20. Ton grau; polierte Oberfläche/Überzug aussen schwarz. Inv.-Nr. B77/336.24.
- 991 WS mit Rädchenmuster. Ton grau, mit Glimmer. Inv.-Nr. B77/336.44.
- 992 WS mit Netzwerkstruktur. Ton dunkelbeige-grau. Inv.-Nr. B77/336.42.
- 993 WS mit aufgesetztem Tonfaden. Ton grau, mit Glimmer; Oberfläche aussen dunkelgrau, geglättet. Inv.-Nr. B77/336.43.
- 994 RS Kochtopf. Ton bräunlichorange; Goldglimmerüberzug, aussen teilweise geschwärzt. Inv.-Nr. B77/336.35.
- 995 RS Kochtopf. Ton grau, fein gemagert, mit Glimmer. Inv.-Nr. B77/336.39.
- 996 RS Kochnapf, handgemacht. Ton rötlich, fein gemagert; Oberfläche braunschwarz, aussen geglättet. Inv.-Nr. B77/336.41.
- 997 RS Kochtopfdeckel. dunkelbräunlichgrau, mit Glimmer; Oberfläche teilweise geschwärzt. Inv.-Nr. B77/336.40.

Parzelle II

Bauhorizont

- 998 RS TS Schälchen Drag. 24, südgallisch (Ton hell). FO Räume D/E. Inv.-Nr. B77/177.3.
- 999 RS TS Schälchen Hofheim 8, südgallisch. FO Räume D/E. Inv.-Nr. B77/177.6.
- 1000 RS TS Teller Drag. 18, südgallisch. FO Räume D/E. Inv.-Nr. B77/177.4.
- 1001 RS TS Teller Drag. 18/31, südgallisch. FO Raum H. Inv.-Nr. B77/373.1.
- 1002 RS TS Schale Drag. 36, südgallisch. FO Räume D/E. Inv.-Nr. B77/177.5.
- 1003 RS TS Schüssel Drag. 29, südgallisch (Ton dunkel). FO Räume D/E. Inv.-Nr. B77/177.2.
- 1004 RS TS Schüssel Drag. 37, mittelgallisch. FO Räume D/E. Inv.-Nr. B77/177.7.
- 1005 BS TS Schüssel mit Stempel OF IV[CV]IDI, Iucundus aus La Graufesenque (Oxé 1936, 385) (Ton dunkel). FO Räume D/E. Inv.-Nr. B77/177.1. M 1:1.
- 1006 RS Firmisschälchen mit Schuppenmuster(?) und innen mit Griessbewurf. Ton hellgelblichbeige; Überzug braun. FO Raum H. Inv.-Nr. B77/374.1.
- 1007 RS pompejanisch-rote Platte. Ton rotbraun, gemagert, mit Glimmer; Oberfläche am Rand geschwärzt, Überzug innen rot. FO Raum H. Inv.-Nr. B77/373.3.
- 1008 RS TS-Imitation Teller Drack 4A. Ton orange; Überzug orangerot. FO Räume F/H. Inv.-Nr. B77/58.1.
- 1009 RS Imitation Drag. 29/30. Ton orange; Überzug aussen(!) orangerot. FO Raum H. Inv.-Nr. B77/374.2.
- 1010 RS Schüssel Drack 20, verbrannt(?). Ton grau; Überzug aussen hellbraun. FO Räume D/E. Inv.-Nr. B77/177.8.
- 1011 RS Schüssel. Tonkern beige, Mantel rotorange, fein gemagert; Reste von Goldglimmerüberzug. FO Räume D/E. Inv.-Nr. B77/177.11.
- 1012 RS Reibschüssel. Ton hellbeige, gemagert; Oberfläche innen mit groben Körnern, abgerieben. FO Räume D/E. Inv.-Nr. B77/177.15.
- 1013 Reibschüssel. Ton hellbeige; Oberfläche gefleckt, aussen Reste von weisslicher Haut. FO Raum H. Inv.-Nr. B77/373.5. Passscherbe zu Inv.-Nr. B77/374.4. (FO Raum H). M. 2:5.
- 1014 RS Krug mit einem Henkel. Ton orange, mit Glimmer. FO Raum H. Inv.-Nr. B77/373.4.
- 1015 RS Krug. Tonkern grau, Mantel orange; Oberfläche Reste von heller Versinterung (Überzug/Engobe?). FO Räume D/E. Inv.-Nr. B77/177.13.
- 1016 RS Krug. Ton dunkelorange, fein gemagert. FO Räume D/E. Inv.-Nr. B77/177.14.
- 1017 RS Deckel. Ton braunorange, mit Glimmer, gemagert; Oberfläche am Rand geschwärzt. FO Raum H. Inv.-Nr. B77/374.3.
- 1018 RS Deckel. Ton dunkelorange, fein gemagert; Oberfläche leicht geschwärzt. FO Räume D/E. Inv.-Nr. B77/177.12.
- 1019 RS feiner Topf. Ton dunkelbeigegrau; Oberfläche aussen dunkelgrau, geglättet. FO Räume D/E. Inv.-Nr. B77/177.18.
- 1020 RS Schulterbecher. Ton grau. FO Raum H. Inv.-Nr. B77/373.7.
- 1021 RS Schüssel Drack 20, Variante. Ton dunkelgrau; aussen und innen Reste von schwarzer Oberfläche/Überzug. FO Raum H. Inv.-Nr. B77/373.2.
- 1022 RS Dolium. Ton dunkelgraubeige, mit feinen, hellen Körnern. FO Räume D/E. Inv.-Nr. B77/177.20.
- 1023 RS Napf, handgemacht. Ton rötlich; Oberfläche schwarz. FO Räume D/E. Inv.-Nr. B77/177.19.

- 1024 WS Kochtopf mit Kammstrichmuster, handgemacht. Ton orange, mit hellen Körnern. FO Raum J. Inv.-Nr. B77/440.1.
- 1025 RS Glasschale Isings 67. Glas leuchtendes Ultramarin, mit weiss-opaken Flecken. FO Raum H. Inv.-Nr. B77/374.6.
- 1026 RS Glasmodulus, Durchmesser ca. 7 cm. Glas blaugrünlich, milchig. FO Raum H. Inv.-Nr. B77/374.7.
- 1027 RS Glasbecher. Glas fast farblos. FO Raum H. Inv.-Nr. B77/374.8.
- 1028 RS Glasbecher. Glas entfärbt. FO Raum H. Inv.-Nr. B77/374.9.
- 1029 RS Steinschüssel aus weissem Kalkstein(?). FO Räume F/H. Inv.-Nr. B77/58.3.
- 1030 Lunula-Anhänger, Bronze, verzinnt. FO Räume D/E. Inv.-Nr. B77/177.24. M 1:2.
- 1031 Bronzering. FO Raum H. Inv.-Nr. B77/373.13. M 1:2.
- 1032 Eisenfragment. FO Raum H. Inv.-Nr. B77/374.5. M 1:2.

Benutzungsschicht

- 1033 RS TS Teller Drag. 15, südgallisch. FO Raum K. Inv.-Nr. B77/415.1.
- 1034 RS TS Schälchen Drag. 24, südgallisch (Ton hell). FO Raum K. Inv.-Nr. B77/415.3.
- 1035 RS TS Schälchen Drag. 24, südgallisch. FO Raum K. Inv.-Nr. B77/415.2.
- 1036 RS TS Schälchen Drag. 27, mittelgallisch. FO Raum K. Inv.-Nr. B77/415.4.
- 1037 RS TS-Imitation Teller Drack 3(?). Ton grau; Oberfläche/Überzug schwarz. FO Raum H. Inv.-Nr. B77/351.1.
- 1038 RS TS-Imitation Platte Drack 4B mit Riefelband. Ton grau; Überzug/Oberfläche schwarz. FO Raum K. Inv.-Nr. B77/415.7.
- 1039 RS TS-Imitation Schüssel Drack 19. Ton grau; Reste von schwarzem Überzug/Oberfläche. FO Raum K. Inv.-Nr. B77/415.6.
- 1040 WS in SLT-Tradition. Tonkern dunkelgrau, Mantel orange; Oberfläche aussen poliert, mit weissem und rotem Streifen bemalt. FO Raum H. Inv.-Nr. B77/351.2.
- 1041 WS mit aufgelegten Tonfäden. Ton graubeige. FO Raum K. Inv.-Nr. B77/415.13.
- 1042 Kochnapf, handgemacht. Ton dunkelbeige bis rotbraunschwarz, mit weissen Körnern; Oberfläche schwarz, mit Resten von heller Kruste. FO Raum H. Inv.-Nr. B77/351.4.
- 1043 WS mit Glättrillen. Ton braunschwarz, grob gemagert; Oberfläche schwarz. FO Raum K. Inv.-Nr. B77/415.14.
- 1044 entfällt.

Parzelle III

zwei Lehmböden

- 1045 RS Schüssel Drack 21. Ton beigerosa; Überzug aussen hellrot. FO Raum M. Inv.-Nr. B77/381.2.

Unterlage/Boden/Benutzungsschicht in Raum M

- 1046 RS Reibschüssel. Ton beigerosa, grob gemagert; Oberfläche innen mit groben und feinen, hellen Körnern. Inv.-Nr. B77/372.1.
- 1047 Melonenperle. Material türkisblau. Inv.-Nr. B77/372.5. M 1:2.
- 1048 Eingliedrige, kräftig profilierte Fibel (Riha Typ 2.9.2), Bronze. Inv.-Nr. B77/372.6. M 1:2.
- 1049 Fragment(?) einer Langton-Down-Fibel (Riha Typ 4.4), Bronze. Inv.-Nr. B77/372.8. M 1:2.
- 1050 Fragment aus poliertem Bein. Inv.-Nr. B77/372.7. M 1:2.

Benutzungsschicht in Raum M

1051 WS TS Schüssel Drag. 29, südgallisch. Inv.-Nr. B77/360.1.

12.11.4. Phase 4 (SP I.4; s. Beil. 19)

Parzelle I

Bauhorizont

1052 RS Deckel. Ton beige, mit Glimmer; Oberfläche orange. FO Raum E. Inv.-Nr. B77/354.1.

1053 RS Schüssel Drack 20. Ton grau; aussen Reste von bräunlich-schwarzem Überzug. FO Raum E. Inv.-Nr. B77/328.3.

1054 RS Koch(?) - Schüssel. Tonkern beige, Mantel rötlich, mit weissen Körnern; Oberfläche am Rand geschwärzt. FO Raum E. Inv.-Nr. B77/328.4.

1055 Silen mit Vogel aus Bronze. Den Kopf eines massiven, vierkantigen Nagels bildet ein annähernd halbkugeliger Fels, auf dem ein nackter Silen mit einem Vogel sitzt. Breite, unregelmässige Kerben charakterisieren die Oberfläche des Steins. Der kahlköpfige Silen mit gedrungenem, plumpen Körper macht mit der Rechten eine abwägende Geste; mit der linken Hand hält er den auf seinem Oberschenkel stehenden Vogel (Huhn?), dessen Gefieder fein ziseliert wiedergegeben ist. Der unmittelbar auf den Schultern aufsitzende Kopf mit den grossen Ohren ist wenig rechts gewandt; das ausdrucksvolle Gesicht zeigt einen breiten, zu einem Lächeln verzogenen Mund, eine kurze Nase, tiefliegende, breit umrandete Augen mit eingepunzten Pupillen, buschige Brauen und Stirnfalten. Die Haarsträhnen an Bart und Hinterkopf sind halbmondförmige einziseliert (Beschreibung: Annemarie Kaufmann-Heinimann, Basel; Fotos: Thomas Hartmann, Brugg). FO Raum D. Inv.-Nr. B77/308.1.

Unterlage/Boden/Benutzungsschicht

1056 BS TS Schälchen Drag. 24(?) mit Stempel OF VIAC, evtl. Viaticus aus La Graufesenque (Oswald 1931, 333). FO Raum D. Inv.-Nr. B77/391.1.

1057 RS Reibschüssel. Ton hellgelblichbeige, gemagert; Oberfläche innen rau, aussen geglättet. FO Raum C. Inv.-Nr. B77/168.1.

1058 RS Schultertopf mit aufgelegten Tonfäden. Ton beige-grau; aussen Reste von schwarzem Überzug/polierter Oberfläche. FO Raum C. Inv.-Nr. B77/168.2.

Boden/Benutzungsschicht in den Räumen C und vor allem D

1059 TS Schälchen Drag. 24, mittelgallisch. Inv.-Nr. B77/306.3.

1060 RS TS Schälchen Drag. 42, mittelgallisch. Inv.-Nr. B77/306.8.

1061 TS Teller Drag. 15, südgallisch. Inv.-Nr. B77/306.2.

1062 RS TS Platte Drag. 15, südgallisch. Inv.-Nr. B77/306.4.

1063 entfällt.

1064 RS TS Schüssel Hofheim 12, südgallisch. Inv.-Nr. B77/306.10.

1065 RS TS Schüssel Drag. 29, südgallisch (Ton dunkel). FO Raum D. Inv.-Nr. B77/302.1.

1066 RS TS Schüssel Drag. 37, südgallisch (Ton dunkel). Inv.-Nr. B77/306.7.

1067 BS TS Schälchen mit Stempel [JASC], nicht sicher lesbar, evtl. Mascus aus La Graufesenque (Oswald 1931, 193). Inv.-Nr. B77/306.1. M 1:1.

1068 RS TS-Imitation Teller Drack 3, verbrannt(?). Ton hellbeige; Überzug gräulichbraun. Inv.-Nr. B77/306.18.

1069 RS TS-Imitation Platte Drack 3. Ton grau; wenige Reste von schwarzem Überzug. Inv.-Nr. B77/306.50.

1070 RS TS-Imitation Platte Drack 3. Ton grau; Reste von schwarzem Überzug. Inv.-Nr. B77/306.46.

1071 RS TS-Imitation Teller Drack 4B, verbrannt(?). Ton hellbeige; Überzug orangebraun bis dunkelgräulichbraun. Inv.-Nr. B77/306.23.

1072 RS TS-Imitation Teller Drack 4B, verbrannt(?). Ton hellorangebeige; hellorangebraun bis dunkelgräulichbraun. Inv.-Nr. B77/306.17.

1073 RS TS-Imitation Teller Drack 4B. Ton grau; Oberfläche dunkelgrau, geglättet. Inv.-Nr. B77/306.49.

1074 RS TS-Imitation Schüssel Drack 19. Ton grau; Reste von dunkelgrauer, geglätteter Oberfläche. Inv.-Nr. B77/306.47.

1075 RS Imitation Drag. 30. Ton orange; Überzug aussen rot. Inv.-Nr. B77/306.19.

1076 RS Schüssel Drack 21. Ton hellbeige; Überzug aussen hellbraun, durchscheinend. Inv.-Nr. B77/306.16.

1077 WS Glanztonbecher mit aufgelegten Tonfäden. Ton orange; Überzug aussen orange. Inv.-Nr. B77/306.34.

1078 RS Deckel. Ton beige; Oberfläche aussen teilweise dunkelgrau-beige. Inv.-Nr. B77/306.39.

1079 RS Deckel. Ton orangebeige, fein gemagert; Oberfläche innen gräulich. Inv.-Nr. B77/306.37.

1080 RS Deckel. Ton beige, fein gemagert; Oberfläche innen gräulich. Inv.-Nr. B77/306.38.

1081 RS Reibschüssel, verbrannt. Ton rosa, mit feinen Körnern; Oberfläche aussen und am Rand hellbeige. Inv.-Nr. B77/306.41. M. ca. 1:3.

1082 RS Krug. Ton hellbeige. Inv.-Nr. B77/306.27.

1083 RS Dreihenkelkrug, verbrannt(?). Ton orange, fein gemagert. Inv.-Nr. B77/306.35.

1084 RS Krug. Ton hellbeige, mit Glimmer. Inv.-Nr. B77/306.26.

1085 RS Topf. Ton hellbeige. Inv.-Nr. B77/306.31.

1086 RS Tonne in SLT-Tradition(?). Ton orange; aussen orange Bemalung (Überzug?). Inv.-Nr. B77/306.22.

1087 RS Flasche in SLT-Tradition. Ton orange; Oberfläche aussen geglättet, mit dünnen, weissen Streifen bemalt. Inv.-Nr. B77/306.25.

1088 WS in SLT-Tradition. Ton orange; Oberfläche aussen geglättet, mit rotem und weissem Streifen, mit Sepiamuster bemalt. Inv.-Nr. B77/306.24.

1089 RS Schultertopf mit Rädchenmuster. Tonkern dunkelgrau, Mantel grau; Oberfläche dunkelgrau, aussen leicht geglättet. Inv.-Nr. B77/306.57.

1090 RS Schulterbecher. Ton grau, mit Glimmer; Oberfläche aussen geglättet. Inv.-Nr. B77/306.53.

1091 RS Schulterbecher mit aufgelegten Tonfäden. Ton grau; aussen Reste von schwarzem bis dunkelgrauem Überzug/polierter Oberfläche. Inv.-Nr. B77/306.58.

1092 WS mit Nuppen. Ton grau; Oberfläche aussen geglättet. Inv.-Nr. B77/306.65.

1093 RS Topf. Ton grau; Oberfläche aussen dunkelgrau, kaum geglättet. Inv.-Nr. B77/306.54.

1094 RS Schüssel. Ton grau, fein gemagert, mit Glimmer; Reste von dunkelgrauer, geglätteter Oberfläche. Inv.-Nr. B77/306.52.

1095 RS Kochtopf mit horizontalem Kammstrich. Ton orange, fein gemagert; Oberfläche aussen teilweise gräulich. Inv.-Nr. B77/306.32.

1096 RS Kochtopf mit horizontalem Kammstrich. Ton grau, fein gemagert, mit Glimmer. Inv.-Nr. B77/306.55.

1097 WS Kochtopf mit Rillenverzierung. Ton grau, gemagert; Oberfläche aussen dunkelgrau. Inv.-Nr. B77/306.67.

1098 RS Rippenschale. Glas blaugrünlich. Inv.-Nr. B77/306.77.

1099 RS Rippenschale. Glas blaugrünlich. Inv.-Nr. B77/306.78.

1100 entfällt.

- 1101 Lampenaufhänger, Bronze. Inv.-Nr. B77/306.70. M 1:2.
 1102 Bronzenagel. Inv.-Nr. B77/306.69. M 1:2.

Brandschutt

- 1103 RS TS Hofheim 9, südgallisch. FO Raum C. Inv.-Nr. B77/186.1.
 1104 RS TS Platte Drag. 18, südgallisch. FO Raum C. Inv.-Nr. B77/305.1.
 1105 RS TS Schüssel Drag. 29, verbrannt, mehrere Punzen wohl aus La Graufesenque (ähnlich Oswald 1937, Nr. 1690.2014; Hermet 1934, Taf. 18,39; Taf. 55,44). FO Raum D. Inv.-Nr. B77/307.1. Passscherbe zu Inv.-Nr. B77/334.1./4. (FO Boden in Raum B der SP I.3). – Da drei der vier Scherben verbrannt sind, habe ich sie der SP I.4 zugewiesen. Die beiden Stücke der SP I.3 – eines ist nicht verbrannt – dürften nachträglich in den Boden gedrückt worden sein, vielleicht beim Planieren des Brandschuttetes.
 1106 entfällt.
 1107 RS TS-Imitation Schüssel Drack 19. Ton grau; Reste von dunkelgrauer, polierter Oberfläche/Überzug. FO Raum C. Inv.-Nr. B77/305.3.
 1108 RS Reibschüssel. Ton hellbeige. FO Raum D. Inv.-Nr. B77/307.4.
 1109 RS Topf. Ton hellgrünlichbeige, fein gemagert. FO Raum D. Inv.-Nr. B77/307.3.
 1110 RS Deckel. Ton beigeorange, fein gemagert, mit Glimmer. FO Raum D. Inv.-Nr. B77/307.5.
 1111 RS Schultertopf. Ton grau; Reste von geglätteter Oberfläche. FO Raum C. Inv.-Nr. B77/179.4.
 1112 RS Topf. Tonkern dunkelgrau, Mantel grau, fein gemagert. FO Raum C. Inv.-Nr. B77/179.5.
 1113 Scharnierfibel mit dachförmigem Bügel und Nielloeinlagen (Riha Typ 5.13.1), Bronze. FO Raum D. Inv.-Nr. B77/305.4. M 1:2.

Parzelle II

Bauhorizont

- 1114 RS TS Schälchen Drag. 24, südgallisch (Ton hell). FO Raum N. Inv.-Nr. B77/410.3.
 1115 RS TS Schälchen Drag. 24, südgallisch (Ton dunkel). FO Raum M. Inv.-Nr. B77/324.5.
 1116 RS TS Schälchen Drag. 35, südgallisch. FO Raum M. Inv.-Nr. B77/324.8.
 1117 RS TS Schälchen Drag. 35, südgallisch. FO Raum M. Inv.-Nr. B77/324.9.
 1118 RS TS Platte Drag. 15, südgallisch. FO Raum N. Inv.-Nr. B77/410.1.
 1119 RS TS Platte Drag. 15, südgallisch, Durchmesser nicht genau bestimmbar. FO Raum N. Inv.-Nr. B77/410.2.
 1120 RS TS Platte Drag. 16, südgallisch. FO Raum M. Inv.-Nr. B77/324.1.
 1121 RS TS Platte Drag. 18/31, südgallisch. FO Raum N. Inv.-Nr. B77/407.2.
 1122 RS TS Platte Drag. 18, südgallisch. FO Raum N. Inv.-Nr. B77/410.7.
 1123 RS TS Platte Drag. 18, Variante mit Rille innen, südgallisch (Ton dunkel). FO Raum M. Inv.-Nr. B77/324.2.
 1124 RS TS Teller Drag. 18, südgallisch. FO Raum M. Inv.-Nr. B77/324.4.
 1125 RS TS Teller Drag. 18, südgallisch. FO Raum M. Inv.-Nr. B77/324.3.
 1126 RS TS Reliefschälchen Hermet 9, südgallisch. FO Raum M. Inv.-Nr. B77/324.11. (evtl. gleiches Stück wie Nr. 1223).

- 1127 RS TS Schüssel Drag. 29, südgallisch (Ton dunkel), Punzen wohl aus La Graufesenque (ähnlich Knorr 1919, Taf. 31,E). FO Raum N. Inv.-Nr. B77/410.4.
 1128 RS TS Schüssel Drag. 29, südgallisch. FO Raum M. Inv.-Nr. B77/324.7.
 1129 RS TS Schüssel Drag. 37, südgallisch (Ton dunkel). FO Raum M. Inv.-Nr. B77/324.10.
 1130 RS TS Schüssel Drag. 37, südgallisch (Ton dunkel), Punze wohl aus La Graufesenque (ähnlich Hermet 1934, Taf. 35bis,8). FO Raum M. Inv.-Nr. B77/363.2.
 1131 RS TS Schüssel Drag. 37, südgallisch. FO Raum M. Inv.-Nr. B77/363.3.
 1132 RS Firnissschälchen mit Schuppenmuster und Grissbewurf. Ton hellbeige; Überzug grünlichbraun. FO Raum M. Inv.-Nr. B77/324.26.
 1133 BS Firmenlampe mit Stempel [PH]OETASPI (Phoetaspus). Ton orangerot, fein gemagert, hart gebrannt; aussen bräunlichrötliche Haut (Versinterung?). FO Raum M. Inv.-Nr. B77/324.23. M 1:1.
 1134 RS Amphore Haltern 70. Ton orangebeige, mit sehr feinen, dunklen Körnern. FO Raum M. Inv.-Nr. B77/324.30.
 1135 RS Amphore Dressel 9 similis. Ton hellorange, stark gemagert mit unterschiedlich grossen Körnern (Quarz?). FO Raum N. Inv.-Nr. B77/406.1.
 1136 RS TS-Imitation Platte Drack 4A. Ton dunkelbeige; Oberfläche schwarz, poliert. FO Raum N. Inv.-Nr. B77/410.15.
 1137 RS TS-Imitation Teller Drack 2(?). Ton rosabeige; Überzug rotorange. FO Raum N. Inv.-Nr. B77/410.10.
 1138 RS TS-Imitation Schüssel Drack 19. Ton beige grau; polierte Oberfläche/Überzug schwarz. FO Raum M. Inv.-Nr. B77/324.21.
 1139 RS Schüssel Drack 21. Ton hellorange; aussen Reste von orangem Überzug. FO Raum N. Inv.-Nr. B77/410.11.
 1140 RS Schüssel Drack 21. Ton orangebeige; aussen wenige Reste von orangem Überzug. FO Raum N. Inv.-Nr. B77/410.16.
 1141 RS Schüssel Drack 21. Ton orangerosa; Überzug aussen hellrot. FO Raum M. Inv.-Nr. B77/324.17.
 1142 WS Glanztonbecher mit Falten und Barbotinedekor. Ton orange; Überzug aussen orangebräunlich, mit wenig Goldglimmer, innen hellrot. FO Räume L. Inv.-Nr. B77/314.2.
 1143 RS Deckel. Ton orange, stark gemagert, mit Glimmer. FO Raum N. Inv.-Nr. B77/407.5.
 1144 Teller. Ton orange, fein gemagert; Goldglimmerüberzug. FO Raum M. Inv.-Nr. B77/324.29.
 1145 RS Schüssel Drack 20. Ton beige; aussen und innen Überzug/geglättet, Oberfläche dunkelbräunlichrosa. FO Raum M. Inv.-Nr. B77/324.18.
 1146 RS Schultertopf mit Rädchenmuster. Ton beige; Oberfläche aussen geglättet. FO Raum N. Inv.-Nr. B77/410.17.
 1147 WS mit Kerbmuster (zu Nr. 1146 gehörig?). Ton beige; Oberfläche aussen geglättet. FO Raum N. Inv.-Nr. B77/410.21.
 1148 RS Napf. Ton bräunlichschwarz, Oberfläche geglättet. FO Raum M. Inv.-Nr. B77/324.41.
 1149 RS Schultertopf. Tonkern schwarz, Mantel grau; Oberfläche schwarz, aussen poliert. FO Raum N. Inv.-Nr. B77/407.6.
 1150 RS Schultertopf. Tonkern schwarz, Mantel grau; Oberfläche schwarz, auf der Schulter geglättet. FO Raum M. Inv.-Nr. B77/324.40.
 1151 RS Schulterbecher. Ton grau, Oberfläche aussen geglättet. FO Raum N. Inv.-Nr. B77/407.7.
 1152 WS mit Rädchenmuster. Ton beige grau. FO Raum N. Inv.-Nr. B77/407.10.
 1153 RS Topf. Ton grau, fein gemagert, mit Glimmer. FO Raum M. Inv.-Nr. B77/324.47.

- 1154 RS Topf. Ton grau, fein gemagert, mit Glimmer; Oberfläche am Rand geschwärzt. FO Raum M. Inv.-Nr. B77/324.48.
- 1155 RS Koch(?) -Topf. Ton rötlich, fein gemagert; Oberfläche schwarz, leicht geglättet. FO Raum M. Inv.-Nr. B77/324.44.
- 1156 RS Kochtopf mit horizontalem Kammstrich. Ton grau, sandig; Oberfläche am Rand geschwärzt. FO Raum M. Inv.-Nr. B77/324.45.
- 1157 RS Kochtopf mit horizontalem Kammstrich. Ton grau, fein gemagert. FO Raum M. Inv.-Nr. B77/324.46.
- 1158 RS Kochtopf, handgemacht. Ton schwarz, gemagert, mit Glimmer. FO Raum M. Inv.-Nr. B77/324.42.
- 1159 RS Kochtopfdeckel, handgemacht. Tonkern dunkelbeige, Mantel rötlich, gemagert; Oberfläche dunkelgrau. FO Raum M. Inv.-Nr. B77/324.43.
- 1160 Bronzebeschläg mit drei Nägeln, evtl. Plättchen vom Hängeschurz eines Legionärs. FO Raum M. Inv.-Nr. B77/324.53. M 1:2.
- 1161 Siegelkapsel, Bronze. FO Raum M. Inv.-Nr. B77/324.51. M 1:2.
- 1162 Bronzehaken. FO Raum M. Inv.-Nr. B77/324.54a. M 1:2.
- 1163 Bronzeniete. FO Raum M. Inv.-Nr. B77/324.52. M 1:2.
- 1164 Bronzefragment. FO Raum N. Inv.-Nr. B77/407.11. M 1:2.
- 1165 Scheibenfibel mit Scharnier, Bronze, durchlocht. FO Raum M. Inv.-Nr. B77/324.49. M 1:2.
- 1166 Omegafibel (Riha Typ 8.1.3), Bronze. FO Raum M. Inv.-Nr. B77/324.54. M 1:2.
- 1167 Augenfibel (Riha Typ 2.3.3). Bronze, mit goldfarbenen Resten. FO Raum M. Inv.-Nr. B77/324.50. M 1:2.
- Unterlage/Boden/Benützungsschicht*
- 1168 RS TS Teller Drag. 18, verbrannt. FO Raum G. Inv.-Nr. B77/43.2.
- 1169 RS TS Teller Drag. 18, südgallisch. FO Raum N. Inv.-Nr. B77/395.2.
- 1170 RS TS Teller Drag. 18, südgallisch. FO Raum N. Inv.-Nr. B77/395.4.
- 1171 RS TS Teller Drag. 18, südgallisch. FO Raum N. Inv.-Nr. B77/395.3.
- 1172 RS TS Teller Drag. 18/31, südgallisch. FO Raum G. Inv.-Nr. B77/43.3.
- 1173 RS TS Schale Drag. 36, südgallisch (Ton dunkel). FO Raum N. Inv.-Nr. B77/395.12.
- 1174 BS TS Schüssel mit Stempel CER[TVS], Certus aus Lezoux (Oswald 1931, 75). FO Raum N. Inv.-Nr. B77/395.1. M 1:1.
- 1175 RS TS Schale Drag. 36, mittelgallisch. FO Raum N. Inv.-Nr. B77/395.13.
- 1176 RS TS Schüssel Drag. 37, südgallisch. FO Raum N. Inv.-Nr. B77/395.8.
- 1177 RS pompejanisch-rote Platte. Ton orangebraun, mit heller Magerung, mit Glimmer; Oberfläche aussen geschwärzt, Überzug innen rot, dick. FO Raum N. Inv.-Nr. B77/395.47.
- 1178 RS TS-Imitation Platte Drack 3. Ton grau; Überzug schwarz. FO Raum N. Inv.-Nr. B77/395.40.
- 1179 RS TS-Imitation Teller Drack 2. Ton orangerosa; Überzug bräunlichrot. FO Raum N. Inv.-Nr. B77/395.37.
- 1180 RS Glanzonteller. Tonkern orange, Mantel hellbraun; mit Resten von hellbraunem Überzug. FO Raum G. Inv.-Nr. B77/43.8.
- 1181 RS Schüssel Drack 21. Ton orange; Überzug aussen orange-rot. FO Raum G. Inv.-Nr. B77/43.5.
- 1182 RS Schüssel Drack 21. Ton beigeorange, mit Glimmer; Überzug aussen bräunlichorange. FO Raum N. Inv.-Nr. B77/395.34.
- 1183 RS Schüssel Drack 21. Ton orangerosa; Überzug aussen rot. FO Raum N. Inv.-Nr. B77/395.36.
- 1184 RS Schüssel Drack 21, Variante. Ton orangerosa; Überzug aussen hellrot. FO Raum N. Inv.-Nr. B77/395.35.
- 1185 WS Glanzton(?) -Becher mit Kerbmuster, verbrannt. Ton graubraun; Überzug(?) matt, aussen graubraun, innen schwarz. FO Raum G. Inv.-Nr. B77/43.12.
- 1186 WS Glanztonbecher mit Kerbmuster. Ton dunkelorange; Überzug orangerot. FO Raum G. Inv.-Nr. B77/43.6.
- 1187 WS Glanztonbecher mit Kerbmuster. Ton graubeige; Überzug aussen dunkelbräunlich, innen braunrot. FO Raum N. Inv.-Nr. B77/395.44.
- 1188 RS Reibschüssel. Ton hellbeige, gemagert; Oberfläche innen mit groben Körnern. FO Raum N. Inv.-Nr. B77/395.51.
- 1189 RS Deckel. Ton orange, fein gemagert; Oberfläche am Rand geschwärzt. FO Raum N. Inv.-Nr. B77/395.50.
- 1190 RS Deckel. Ton orange, gemagert; Oberfläche am Rand geschwärzt. FO Raum N. Inv.-Nr. B77/395.54.
- 1191 RS Krug. Ton orange. FO Räume H/J/K. Inv.-Nr. B77/404.2.
- 1192 RS Becher. Ton orange, mit Glimmer. FO Raum N. Inv.-Nr. B77/395.46.
- 1193 RS Tonne. Ton hellbeige. FO Raum N. Inv.-Nr. B77/395.48.
- 1194 RS Tonne. Ton dunkelbeige, fein gemagert; Oberfläche aussen geglättet. FO Raum N. Inv.-Nr. B77/395.49.
- 1195 RS Flasche in SLT-Tradition(?). Ton orangebräunlich; Oberfläche aussen geglättet. FO Räume H/J/K. Inv.-Nr. B77/404.3.
- 1196 WS in SLT-Tradition. Ton orange; aussen mit weissem und rotem Streifen bemalt. FO Räume H/J/K. Inv.-Nr. B77/404.4.
- 1197 RS Schüssel Drack 22 similis. Ton hellorange, fein gemagert; aussen wenige Reste von orangeroter Bemalung. FO Raum N. Inv.-Nr. B77/395.45.
- 1198 RS Becher mit Kerbmuster. Ton dunkelgrau. FO Raum N. Inv.-Nr. B77/395.57B.
- 1199 RS Becher mit Kerbmuster. Ton dunkelgrau. FO Raum N. Inv.-Nr. B77/395.57A.
- 1200 RS Becher. Ton grau; Oberfläche aussen dunkelgrau, geglättet. FO Raum N. Inv.-Nr. B77/395.59.
- 1201 RS Topf. Ton grau; Oberfläche aussen dunkelbeigegrau, geglättet. FO Raum N. Inv.-Nr. B77/395.60.
- 1202 RS Topf. Ton orangebräunlich; Oberfläche dunkelgräulichbeige, aussen leicht geglättet. FO Raum N. Inv.-Nr. B77/395.61.
- 1203 RS Schultertopf. Tonkern schwarz, Mantel dunkelbeige; Oberfläche schwarz, aussen geglättet. FO Räume H/J/K. Inv.-Nr. B77/404.7.
- 1204 RS Schüssel Drack 20. Ton grau; aussen und innen polierte Oberfläche/Überzug(?). FO Raum G. Inv.-Nr. B77/43.10.
- 1205 RS TS-Imitation Platte Drack 4B. Ton grau; aussen und innen Reste von schwarz bis dunkelgrauer geglätteter Oberfläche/Überzug. FO Räume J/K. Inv.-Nr. B77/409.2.
- 1206 RS Topf. Ton grau, sandig, mit Glimmer; Oberfläche dunkelgrau. FO Raum G. Inv.-Nr. B77/43.11.
- 1207 RS Kochtopf mit horizontalem Kammstrich. Ton beigegrau, gemagert; Oberfläche aussen dunkelgrau. FO Räume J/K. Inv.-Nr. B77/409.4.
- 1208 RS Kochschüssel. Tonkern bräunlichgrau, Mantel dunkelgrau, mit feiner Magerung. FO Raum N. Inv.-Nr. B77/395.59.
- 1209 RS Rippenschale. Glas blaugrünlich. FO Räume H/J/K. Inv.-Nr. B77/404.10.
- Boden/Benützungsschicht*
- 1210 RS TS Schälchen Drag. 24, südgallisch. FO Raum M. Inv.-Nr. B77/315.4. Passscherbe zu Inv.-Nr. B77/87.7. (FO Brandschutt über Raum G).

- 1211 RS TS Schälchen Drag. 27, südgallisch. FO Raum G. Inv.-Nr. B77/111.2.
- 1212 RS TS Schälchen Drag. 27, mittelgallisch. FO Raum L. Inv.-Nr. B77/319.2.
- 1213 RS TS Teller Drag. 15, verbrannt. FO Raum L. Inv.-Nr. B77/319.3.
- 1214 RS TS Teller Drag. 15, südgallisch. FO Raum G. Inv.-Nr. B77/111.1.
- 1215 RS TS Teller Drag. 18, südgallisch. FO Raum L. Inv.-Nr. B77/319.1.
- 1216 RS TS Teller Drag. 18, südgallisch. FO Raum M. Inv.-Nr. B77/315.3.
- 1217 RS TS Teller Drag. 22, verbrannt. FO Raum M. Inv.-Nr. B77/315.10.
- 1218 RS TS Schüssel Hofheim 12, südgallisch (Ton dunkel). FO Raum M. Inv.-Nr. B77/315.9.
- 1219 RS TS Schale Drag. 42, südgallisch (Ton dunkel). FO Raum M. Inv.-Nr. B77/315.8.
- 1220 RS TS Schüssel Drag. 30, verbrannt. FO Raum M. Inv.-Nr. B77/315.7.
- 1221 RS TS Schüssel Drag. 29, südgallisch (Ton dunkel). FO Raum M. Inv.-Nr. B77/315.6.
- 1222 RS TS Schüssel Drag. 29, südgallisch (Ton dunkel). FO Raum M. Inv.-Nr. B77/315.5.
- 1223 RS TS Reliefschälchen Hermet 9, südgallisch. FO Raum M. Inv.-Nr. B77/315.2. (evtl. gleiches Gefäss wie Nr. 1126).
- 1224 RS Bildlampe Loeschcke Typ VI. Ton hellgelblichbeige; Überzug aussen gräulichbraun. FO Raum G. Inv.-Nr. B77/111.9.
- 1225 Öllämpchen Loeschcke Typ VI. Ton beige; Überzug bräunlich. FO Raum M. Inv.-Nr. B77/315.25.
- 1226 RS Amphore Dressel 9 similis. Ton hellorange, mit feinen und größeren, hellen und dunklen Körnern. FO Raum G. Inv.-Nr. B77/111.11.
- 1227 RS Amphore Pélichet 46. Ton hellgrünlichbeige. FO Raum G. Inv.-Nr. B77/111.12.
- 1228 RS TS-Imitation Platte Drack 3. Ton grau; Überzug/Oberfläche schwarz. FO Raum M. Inv.-Nr. B77/315.21.
- 1229 RS TS-Imitation Schüssel Drack 19. Ton grau; Überzug/Oberfläche dunkelgrau. FO Raum M. Inv.-Nr. B77/315.22.
- 1230 RS Glanztonteller. Ton orangerosa; Überzug rot, leicht metallisch glänzend. FO Raum M. Inv.-Nr. B77/315.11.
- 1231 RS Glanztonschüssel, teilweise verbrannt. Ton orange, Überzug rot. FO Raum M. Inv.-Nr. B77/315.18.
- 1232 RS Schüssel Drack 22 similis. Ton hellrosa; aussen Reste von orangem Überzug. FO Raum M. Inv.-Nr. B77/315.27.
- 1233 RS Schüssel Drack 21. Ton hellorange, mit Glimmer; Überzug aussen hellrot. FO Raum M. Inv.-Nr. B77/315.17.
- 1234 RS Glanztonbecher mit Barbotine, verbrannt(?). Ton beige-grau; Überzug dunkelbräunlichgrau. FO Raum M. Inv.-Nr. B77/315.23.
- 1235 RS Krug. Ton orangerosa. FO Raum M. Inv.-Nr. B77/315.26.
- 1236 Deckel. Ton orange. FO Raum M. Inv.-Nr. B77/315.29.
- 1237 RS Reibschüssel. Ton hellbeige, mit rötlichen, groben Körnern. FO Raum M. Inv.-Nr. B77/315.28.
- 1238 RS Flasche(?). Ton orange, fein gemagert. FO Raum G. Inv.-Nr. B77/111.10.
- 1239 WS feiner Topf mit Rädchenmuster. Tonkern grau, Mantel beigeorange. FO Raum L. Inv.-Nr. B77/319.6.
- 1240 RS Schultertopf. Ton grau; Oberfläche aussen geglättet. FO Raum L. Inv.-Nr. B77/319.8.
- 1241 RS Becher. Ton dunkelbraungrau; Oberfläche aussen dunkelbeige-grau. FO Raum M. Inv.-Nr. B77/315.35.
- 1242 RS Topf(?). Ton dunkelgrau; Oberfläche aussen geglättet. FO Raum M. Inv.-Nr. B77/315.34.
- 1243 RS Topf(?). Ton dunkelgrau; Oberfläche aussen schwarz, geglättet. FO Raum M. Inv.-Nr. B77/315.37.
- 1244 RS Topf(?). Ton grau; aussen Reste von geglätteter Oberfläche. FO Raum L. Inv.-Nr. B77/319.9.
- 1245 WS feiner Topf mit Nuppen. Ton hellgrau; aussen hellgraue, geglättete Oberfläche/Überzug. FO Raum L. Inv.-Nr. B77/319.7.
- 1246 WS mit Fadenaufgabe. Ton dunkelgrau; aussen schwarze, polierte Oberfläche/Überzug. FO Raum M. Inv.-Nr. B77/315.40.
- 1247 RS Deckel eines Kochtopfes, handgemacht. Tonkern dunkelbeige-grau, Mantel rötlich; Oberfläche dunkelbräunlichgrau. FO Raum M. Inv.-Nr. B77/315.36.
- 1248 RS Glasschälchen. Glas blaugrünlich. FO Raum M. Inv.-Nr. B77/315.41.
- 1249 RS Glasflasche. Glas grünstichig, leicht blasig. FO Raum M. Inv.-Nr. B77/315.41.
- 1250 RS Glasflasche. Glas blaugrünlich. FO Raum M. Inv.-Nr. B77/315.50.
- 1251 Rippenschale aus Millefioriglas. Glas blau und weiss. FO Raum L. Inv.-Nr. B77/319.11.
- 1252 Horngriff eines Klappmessers, mit eingeritztem Kreismuster. FO Raum M. Inv.-Nr. B77/315.44. M 1:2.
- Brandschicht*
- 1253 RS TS Platte Drag. 15, südgallisch. FO Raum G. Inv.-Nr. B77/39.3.
- 1254 RS TS Teller Drag. 15, Durchmesser nicht genau bestimmbar, südgallisch. FO Raum G. Inv.-Nr. B77/91.4.
- 1255 RS TS Teller Drag. 15, Durchmesser nicht genau bestimmbar, südgallisch (Ton dunkel). FO Raum G. Inv.-Nr. B77/166.1.
- 1256 RS TS Teller Drag. 18, Variante mit Rillen aussen, Durchmesser nicht genau bestimmbar, südgallisch. FO Raum G. Inv.-Nr. B77/91.3.
- 1257 RS TS Schale Drag. 36, südgallisch (Ton dunkel). FO Raum G. Inv.-Nr. B77/39.4.
- 1258 RS TS Schälchen Drag. 42, südgallisch. FO Raum G. Inv.-Nr. B77/91.1.
- 1259 RS TS Schälchen Drag. 27, südgallisch. FO Raum G. Inv.-Nr. B77/91.2.
- 1260 RS TS Becher Haltern 16, südgallisch. FO Räume J/K/L/M. Inv.-Nr. B77/299.5.
- 1261 RS TS Schüssel Drag. 29, südgallisch (Ton dunkel), 2 Punzen wohl aus La Graufesenque (ähnlich Oswald 1937, Nr. 880.2389). FO Nordostecke von Raum M. Inv.-Nr. B77/312.1. Passscherbe zu Inv.-Nr. B77/315.14. (FO Boden in Raum M).
- 1262 WS TS Schüssel Drag. 29, verbrannt, 3 Punzen wohl aus La Graufesenque (ähnlich Oswald 1937, Nr. 1417.1690.2035; Knorr 1952, Taf. 53,A). FO Räume J/K/L/M. Inv.-Nr. B77/299.2B.
- 1263 RS TS Schüssel Drag. 29, Variante mit Eierstab, südgallisch. FO Räume J/K/L/M. Inv.-Nr. B77/299.1.
- 1264 RS TS Schüssel Drag. 37, südgallisch (Ton dunkel). FO Räume J/K/L/M. Inv.-Nr. B77/299.3.
- 1265 RS TS Schüssel Drag. 37, südgallisch (Ton dunkel). FO Räume J/K/L/M. Inv.-Nr. B77/299.4.
- 1266 RS TS Schüssel Drag. 37, südgallisch. FO Raum G. Inv.-Nr. B77/91.5.
- 1267 BS TS Schüssel mit Stempel O NIGRI, Niger oder Nigrinus aus La Graufesenque/Banassac (Oswald 1931, 219; Oxé 1936, 388) (Ton dunkel). FO Raum G. Inv.-Nr. B77/39.1. M 1:1.
- 1268 RS Firmisschälchen. Ton hellgrünlichbeige; Überzug rot bis graubraun. FO Raum G. Inv.-Nr. B77/39.13.

- 1269 RS Amphore Dressel 20. Tonkern hellbeige, Mantel orange, mit feinen, weissen und grauen Körnern (evtl. Martin-Kilcher 1987 Tongruppe 1). FO Räume J/K/L/M. Inv.-Nr. B77/299.30.
- 1270 RS Amphore Dressel 20, verbrannt. Ton rosa, mit feiner, dunkler Magerung. FO Raum G. Inv.-Nr. B77/39.23.
- 1271 RS Amphore Dressel 20. Ton beigerosa, mit feiner, dunkler und heller Magerung, mit Glimmer, mit Hämatitbröcklein (evtl. Martin-Kilcher 1987, Tongruppe 5). FO Raum G. Inv.-Nr. B77/39.24.
- 1272 RS Amphore Pélichet 46. Tonkern orange, Mantel hellbeige. FO Räume J/K/L/M. Inv.-Nr. B77/299.27.
- 1273 RS Amphore Pélichet 46. Ton hellbeige, Überzug(?) hellbeige. FO Raum G. Inv.-Nr. B77/91.28.
- 1274 entfällt.
- 1275 RS Amphore Dressel 10 similis. Ton hellbeige, mit groben grauen, weissen und rötlichen Körnern (Quarz?). FO Räume J/K/L/M. Inv.-Nr. B77/299.29.
- 1276 RS Amphore Dressel 10 similis. Ton hellbeige, mit groben Quarzkörnern. FO Raum G. Inv.-Nr. B77/39.25.
- 1277 RS Amphore Vindonissa 586. Ton orange, mehlig; Oberfläche aussen hellgrünlichbeige. FO Räume J/K/L/M. Inv.-Nr. B77/299.26.
- 1278 RS TS-Imitation Platte Drack 3. Ton orange; Reste von rot-orangem Überzug. FO Räume J/K/L/M. Inv.-Nr. B77/299.9.
- 1279 RS TS-Imitation Platte Drack 3. Ton grau; Überzug schwarz bis dunkelgrau. FO Raum G. Inv.-Nr. B77/39.8.
- 1280 RS Schüssel Drack 21, verbrannt(?). Ton orangebeige, aussen Reste von rotorangem Überzug. FO Räume J/K/L/M. Inv.-Nr. B77/299.10.
- 1281 RS Krug. Ton orange, mit Glimmer, fein gemagert. FO Räume J/K/L/M. Inv.-Nr. B77/299.15.
- 1282 RS Krug. Ton orangebeige. FO Raum G. Inv.-Nr. B77/107.2.
- 1283 RS Deckel. Ton orange, fein gemagert, mit Glimmer; mit Glimmernüberzug(?). FO Raum G. Inv.-Nr. B77/39.15.
- 1284 RS Deckel. Ton orange, mit Glimmer; Oberfläche am Rand geschwärzt. FO Raum G. Inv.-Nr. B77/39.16.
- 1285 RS Deckel. Ton hellbraun; Oberfläche aussen geglättet. FO Raum G. Inv.-Nr. B77/91.29.
- 1286 RS Deckel. Ton rötlich, mit feinen, weissen Körnern; Oberfläche aussen bräunlich, am Rand geschwärzt. FO Raum G. Inv.-Nr. B77/39.17.
- 1287 RS Schüssel. Ton orange, gemagert; Oberfläche am Rand leicht geschwärzt. FO Raum G. Inv.-Nr. B77/39.20.
- 1288 RS Reibschüssel. Ton orange, mit Keramikbröcklein und feinen, hellen Körnern gemagert. FO Räume J/K/L/M. Inv.-Nr. B77/299.35.
- 1289 RS Reibschüssel. Ton hellorangebeige; Oberfläche hellbeige. FO Raum M. Inv.-Nr. B77/291.1.
- 1290 RS Reibschüssel. Ton rosa. FO Räume J/K/L/M. Inv.-Nr. B77/299.23.
- 1291 RS Reibschüssel. Ton hellgrünlichbeige. FO Räume J/K/L/M. Inv.-Nr. B77/299.25.
- 1292 RS TS-Imitation Teller Drack 4A. Ton grau; Reste von schwarzer, polierter Oberfläche. FO Raum G. Inv.-Nr. B77/39.10.
- 1293 RS Schüssel Drack 20. Ton graubeige; Oberfläche schwarz, poliert. FO Raum G. Inv.-Nr. B77/107.1.
- 1294 RS Kanne/Topf(?). Ton grau, fein gemagert. FO Raum G. Inv.-Nr. B77/39.34.
- 1295 RS Kanne. Ton grau, fein gemagert. FO Raum G. Inv.-Nr. B77/39.32.
- 1296 RS Kanne mit Henkelansatz. Ton grau, mit feinen, hellen Körnern. FO Raum G. Inv.-Nr. B77/107.7.
- 1297 RS Topf. Ton hellgrau, fein gemagert. FO Raum G. Inv.-Nr. B77/39.33.
- 1298 RS Schüssel Drack 22 similis(?). Ton beige-grau, mit Glimmer; Oberfläche dunkelgrau, aussen Reste von schwarzer, polierter Oberfläche. FO Raum G. Inv.-Nr. B77/107.6.
- 1299 RS Schüssel Drack 22 similis(?). Ton beige-grau, mit Glimmer; Oberfläche dunkelgrau, aussen Reste von schwarzer, polierter Oberfläche/Überzug. FO Raum G. Inv.-Nr. B77/39.30.
- 1300 RS Schulterbecher mit Glättstreifen. Ton rötlichbraun, fein gemagert; Oberfläche aussen dunkelgrau, geglättet. FO Raum G. Inv.-Nr. B77/39.36.
- 1301 RS Schulterbecher. Ton dunkelgrau. FO Räume J/K/L/M. Inv.-Nr. B77/299.14.
- 1302 WS mit Rädchenmuster. Ton beige-grau, fein gemagert. FO Räume J/K/L/M. Inv.-Nr. B77/299.17.
- 1303 RS Kochschüssel. Ton orangebeige, gemagert; Oberfläche bräunlichbeige. FO Raum G. Inv.-Nr. B77/39.35.
- 1304 RS Kochtopf. Ton orange, fein gemagert, Oberfläche am Rand geschwärzt. FO Raum G. Inv.-Nr. B77/39.19.
- 1305 RS Koch(?) -Topf. Ton hellbeige, mit groben grauen, weissen und rötlichen Körnern (Quarz); Oberfläche am Rand leicht geschwärzt. FO Räume J/K/L/M. Inv.-Nr. B77/299.22.
- 1306 RS Napf. Ton dunkelbeige-grau, mit Glimmer, gemagert. FO Raum H. Inv.-Nr. B77/161.1.
- 1307 RS Kochtopf. Ton rotorange, körnig; Oberfläche schwarz. FO Raum G. Inv.-Nr. B77/91.66.
- 1308 RS Kochtopf, handgemacht. Ton dunkelbraungrau, gemagert; Oberfläche innen rötlich, aussen dunkelgrau. FO Räume J/K/L/M. Inv.-Nr. B77/299.16.
- 1309 Dreibeingefäss, handgemacht. Tonkern beige-grau, Mantel rötlich, gemagert; Oberfläche dunkelbräunlichgrau. FO Raum G. Inv.-Nr. B77/39.31.
- 1310 RS Rippenschale. Glas blaugrünlich. FO Räume J/K/L/M. Inv.-Nr. B77/299.18.
- 1311 Bronzeglocke. FO Räume J/K/L/M. Inv.-Nr. B77/299.21. M 1:2.

Brandschutt

- 1312 RS TS Teller Drag. 15, südgallisch. FO über Raum G. Inv.-Nr. B77/32.3.
- 1313 RS TS Teller Hofheim 1, verbrannt(?). FO über Raum G. Inv.-Nr. B77/87.1.
- 1314 RS TS Teller Drag. 18, südgallisch (Ton dunkel). FO über Raum G. Inv.-Nr. B77/32.4.
- 1315 RS TS Teller Drag. 18, südgallisch (Ton dunkel). FO über Raum G. Inv.-Nr. B77/32.2.
- 1316 RS TS Schälchen Drag. 27, südgallisch (Ton dunkel). FO über den Räumen J/K/L/M. Inv.-Nr. B77/290.1.
- 1317 RS TS Schälchen Hofheim 9, südgallisch (Ton hell). FO über den Räumen J/K/L/M. Inv.-Nr. B77/290.5.
- 1318 RS TS Schälchen Drag. 33, südgallisch. FO über den Räumen J/K/L/M. Inv.-Nr. B77/290.4.
- 1319 RS TS Schälchen Drag. 35, südgallisch. FO über Raum G. Inv.-Nr. B77/32.5.
- 1320 RS TS Schälchen Drag. 35, südgallisch. FO über Raum G. Inv.-Nr. B77/87.3.
- 1321 RS TS Schälchen Drag. 36, südgallisch. FO über Raum G. Inv.-Nr. B77/87.4.
- 1322 RS TS Schälchen Drag. 36, südgallisch. FO über Raum G. Inv.-Nr. B77/87.5.
- 1323 RS TS Schälchen Drag. 36, mittelgallisch. FO über Raum G. Inv.-Nr. B77/87.6.
- 1324 RS TS Schälchen Drag. 42, südgallisch (Ton dunkel). FO über Raum G. Inv.-Nr. B77/87.2.

- 1325 RS TS Schüssel Drag. 29, südgallisch. FO über den Räumen J/K/L/M. Inv.-Nr. B77/290.2.
- 1326 RS TS Schüssel Drag. 30, verbrannt. FO über den Räumen J/K/L/M. Inv.-Nr. B77/290.3.
- 1327 RS TS Schüssel Drag. 30, südgallisch (Ton dunkel). FO über Raum G. Inv.-Nr. B77/87.8.
- 1328 WS glasiert. Ton hellbeige; Glasur grünlichgelb. FO über Raum G. Inv.-Nr. B77/87.25.
- 1329 RS Bildlampe. Ton hellgrünlichbeige; Überzug aussen bräunlich. FO über Raum G. Inv.-Nr. B77/87.24.
- 1330 RS Amphore Pélichet 46. Tonkern orange, Mantel hellbeige. FO über den Räumen J/K/L/M. Inv.-Nr. B77/290.16.
- 1331 RS Amphore Pélichet 46, verbrannt(?). Ton grünlichbeige bis beige. FO über Raum G. Inv.-Nr. B77/87.39.
- 1332 RS TS-Imitation Schüssel Drack 19. Ton grau; mit Resten von schwarzer Oberfläche/Überzug. FO über Raum G. Inv.-Nr. B77/87.19.
- 1333 RS Glanztonschüssel. Ton orange; mit wenigen Resten von rotem Überzug. FO über den Räumen J/K/L/M. Inv.-Nr. B77/290.12.
- 1334 RS Schüssel Drack 22 similis, verbrannt. Ton graubeige; aussen polierter Überzug. FO über den Räumen J/K/L/M. Inv.-Nr. B77/290.13.
- 1335 RS Schüssel Drack 22 similis mit Riefelmuster. Ton orange; aussen roter Überzug. FO über den Räumen J/K/L/M. Inv.-Nr. B77/290.11.
- 1336 RS Schüssel Drack 22 similis. Ton hellorange; aussen Reste von rotem Überzug. FO über Raum G. Inv.-Nr. B77/32.11.
- 1337 RS Krug. Ton dunkelorange. FO über Raum G. Inv.-Nr. B77/87.31.
- 1338 RS Krug. Ton orangerosa. FO über Raum G. Inv.-Nr. B77/87.30.
- 1339 RS Krug. Ton orangerosa. FO über Raum G. Inv.-Nr. B77/87.28.
- 1340 RS Krug. Ton hellbeige. FO über Raum G. Inv.-Nr. B77/87.27.
- 1341 RS Krug, verbrannt(?). Ton dunkelbeige. FO über Räume H/K. Inv.-Nr. B77/28.2.
- 1342 RS Krug, verbrannt(?). Ton hellgrau. FO über Räume H/K. Inv.-Nr. B77/36.8.
- 1343 RS Krug. Ton orangerosa. FO über Raum G. Inv.-Nr. B77/87.29.
- 1344 RS Krug, verbrannt(?). Ton hellgrau. FO über Raum G. Inv.-Nr. B77/32.23.
- 1345 RS Krug, Fehlbrand(?). Ton beigeorange, fein gemagert, porös. FO über den Räumen J/K/L/M. Inv.-Nr. B77/290.14.
- 1346 RS Krug/Kanne. Ton orangebeige, fein gemagert. FO über Raum G. Inv.-Nr. B77/87.34. Passscherbe zu Inv.-Nr. B77/32.15. (FO über Raum G).
- 1347 RS Topf(?). Ton hellorangebeige, gemagert. FO über Raum G. Inv.-Nr. B77/32.14.
- 1348 RS Schüssel. Ton hellorange, gemagert; Oberfläche am Rand geschwärzt. FO über Raum G. Inv.-Nr. B77/32.10.
- 1349 RS Teller, teilweise verbrannt. Ton orange, fein gemagert; Goldglimmerüberzug. FO über Raum G. Inv.-Nr. B77/32.9.
- 1350 RS Deckel. Ton hellorange. FO über Raum G. Inv.-Nr. B77/32.12.
- 1351 RS Deckel. Ton orange, mit Glimmer. FO über Raum G. Inv.-Nr. B77/32.13.
- 1352 RS Deckel. Ton orange, gemagert. FO über Raum H. Inv.-Nr. B77/146a.4.
- 1353 RS Reibschüssel, verbrannt. Tonkern orange, Mantel beige; Oberfläche innen mit sehr groben Körnern, stark abgerieben. FO über Raum G. Inv.-Nr. B77/32.17. Passscherbe zu Inv.-Nr. B77/24.9. (Brandschicht der SP II.3!).
- 1354 RS Reibschüssel. Ton hellorangebeige. FO über Raum G. Inv.-Nr. B77/87.38.
- 1355 RS Schüssel (evtl. SLT-Tradition). Ton hellorange; Oberfläche aussen geglättet. FO über den Räumen H/K. Inv.-Nr. B77/28.1.
- 1356 RS Schultertopf mit aufgesetzten Tonfäden, verbrannt. Ton orangebeige; aussen orangebraune geglättete Oberfläche/Überzug, teilweise schwarz. FO über Raum H. Inv.-Nr. B77/146a.1.
- 1357 RS Schultertopf(?). Ton bräunlichorange; Oberfläche aussen leicht geglättet. FO über Raum H. Inv.-Nr. B77/146a.3.
- 1358 RS Tonne, verbrannt. Ton bräunlich; Oberfläche aussen geglättet, heute schwarz. FO über Raum H. Inv.-Nr. B77/146a.2.
- 1359 RS Tonne. Ton orange, fein gemagert, mit Glimmer; Oberfläche aussen leicht geglättet. FO über Raum H. Inv.-Nr. B77/146a.5.
- 1360 WS SLT-Tradition. Ton orange; Oberfläche aussen mit weissem und rotem Streifen. FO über Raum G. Inv.-Nr. B77/87.37.
- 1361 entfällt.
- 1362 WS mit Kerbmuster, verbrannt. Ton beige; Oberfläche aussen leicht geglättet. FO über den Räumen H/J/K. Inv.-Nr. B77/403.5.
- 1363 RS Topf/Kanne(?). Ton dunkelgrau, fein gemagert. FO über den Räumen J/K/L/M. Inv.-Nr. B77/290.25.
- 1364 RS Topf. Ton dunkelgrau, fein gemagert. FO über Raum G. Inv.-Nr. B77/32.25.
- 1365 RS Topf. Ton dunkelgrau, fein gemagert. FO über Raum G. Inv.-Nr. B77/87.46.
- 1366 RS Schüssel Drack 20. Ton beige grau; mit Resten von schwarzer, polierter Oberfläche/Überzug. FO über Raum G. Inv.-Nr. B77/87.18.
- 1367 RS Schüssel Drack 20. Ton grau; mit Resten von schwarzer, polierter Oberfläche/Überzug. FO über Raum G. Inv.-Nr. B77/87.17.
- 1368 RS TS-Imitation Platte Drack 4B. Ton grau; mit Resten von schwarzer, polierter Oberfläche/Überzug. FO über Raum G. Inv.-Nr. B77/87.20.
- 1369 RS Schüssel Drack 20. Ton schwarz; Oberfläche poliert. FO über den Räumen J/K/L/M. Inv.-Nr. B77/290.26.
- 1370 RS Schultertopf. Ton grau; aussen Reste von geglätteter Oberfläche. FO über Raum H. Inv.-Nr. B77/146a.6.
- 1371 RS Schultertopf mit Rädchenverzierung. Ton grau; Oberfläche aussen leicht geglättet. FO über den Räumen J/K/L/M. Inv.-Nr. B77/290.23.
- 1372 RS Schultertopf. Ton dunkelgrau; Oberfläche aussen schwarz, geglättet. FO über den Räumen H/K. Inv.-Nr. B77/36.7.
- 1373 RS feiner Topf. Ton rötlichdunkelgrau; Oberfläche schwarz, aussen geglättet. FO über Raum G. Inv.-Nr. B77/87.48.
- 1374 RS Becher. Tonkern schwarz, Mantel grau; Oberfläche schwarz, aussen geglättet. FO über Raum G. Inv.-Nr. B77/32.24.
- 1375 RS Becher. Ton grau; aussen Reste von schwarzer polierter Oberfläche/Überzug. FO über Raum G. Inv.-Nr. B77/87.44.
- 1376 RS feiner Topf. Ton grau; Oberfläche aussen geglättet. FO über Raum G. Inv.-Nr. B77/87.45.
- 1377 RS Becher. Ton dunkelgrau; Oberfläche aussen geglättet. FO über Raum H. Inv.-Nr. B77/146a.7.
- 1378 RS feiner Topf. Ton grau; Oberfläche aussen geglättet. FO über den Räumen J/K/L/M. Inv.-Nr. B77/290.24.
- 1379 RS Becher. Ton grau; aussen mit Resten von dunkelgrauer, leicht geglätteter Oberfläche. FO über Raum G. Inv.-Nr. B77/87.47.

- 1380 RS Flasche(?). Ton kern rötlich, Mantel dunkelbeige; Oberfläche dunkelgrau. FO über Raum G. Inv.-Nr. B77/87.49.
- 1381 WS mit Rädchenmuster. Ton grau; Oberfläche dunkelgrau. FO über Raum G. Inv.-Nr. B77/87.58.
- 1382 RS Kochtopf. Ton orange, stark mit feiner Magerung durchsetzt; Oberfläche am Rand geschwärzt. FO über Raum G. Inv.-Nr. B77/87.35.
- 1383 RS Kochtopf. Ton hellbräunlichorange; Oberfläche aussen bräunlich, gemagert. FO über den Räumen J/K/L/M. Inv.-Nr. B77/290.15.
- 1384 RS Dolium. Ton grau, fein gemagert; Oberfläche dunkelgrau. FO über Raum G. Inv.-Nr. B77/87.53.
- 1385 RS Kochnapf, handgemacht. Ton dunkelgrau bis schwarz, gemagert. FO über Raum G. Inv.-Nr. B77/87.50.
- 1386 RS Kochnapf, handgemacht. Ton kern dunkelgraubeige, Mantel innen rötlich; Oberfläche schwarzgrau. FO über Raum G. Inv.-Nr. B77/32.26.
- 1387 RS Kochnapf, verbrannt/Fehlbrand(?). Ton grau, gemagert, porös. FO über Raum G. Inv.-Nr. B77/87.57.
- 1388 RS Kochtopf, handgemacht. Ton kern schwarz, Mantel grau; Oberfläche schwarz, gemagert. FO über Raum G. Inv.-Nr. B77/87.51.
- 1389 RS Kochtopf, handgemacht, mit Kammstrich. Ton rötlich, gemagert; Oberfläche schwarz. FO über Raum G. Inv.-Nr. B77/87.52.
- 1390 WS Kochtopf mit Kammstrichmuster. Ton grau, gemagert. FO über Raum G. Inv.-Nr. B77/87.59.
- 1391 WS mit Glättmuster. Ton kern dunkelbeige, Mantel rötlich, gemagert, mit Glimmer; Oberfläche schwarz. FO über Raum G. Inv.-Nr. B77/87.64.
- 1392 RS Rippenschale. Glas blaugrünlich. FO über Raum G. Inv.-Nr. B77/32.31.
- 1393 Löffelsonde(?), Bronze. FO über den Räumen J/K/L/M. Inv.-Nr. B77/290.28. M 1:2.
- 1394 U-förmiges Bronzefragment. FO über den Räumen H/K. Inv.-Nr. B77/36.13. M 1:2.

Parzelle III

Bauhorizont

- 1395 RS TS Schälchen Hofheim 9, südgallisch. FO Räume Q/R/S. Inv.-Nr. B77/353.5.
- 1396 RS TS Teller Drag. 18, südgallisch. FO Räume Q/R/S. Inv.-Nr. B77/353.7.
- 1397 RS TS Platte Drag. 18, südgallisch. FO Räume Q/R/S. Inv.-Nr. B77/353.4.
- 1398 RS TS Platte Drag. 18, südgallisch (Ton dunkel). FO Räume Q/R/S. Inv.-Nr. B77/353.6.
- 1399 RS TS Schüssel Drag. 29, südgallisch. FO Räume Q/R/S. Inv.-Nr. B77/353.2.
- 1400 RS TS Schüssel Drag. 37, mittelgallisch. FO Räume Q/R/S. Inv.-Nr. B77/353.3.
- 1401 RS TS-Imitation Teller, Imitation von Drag. 16. Ton orange; Überzug hellorange. FO Räume Q/R/S. Inv.-Nr. B77/353.20.
- 1402 RS Deckel. Ton orangebeige, fein gemagert; Oberfläche am Rand geschwärzt. FO Räume Q/R/S. Inv.-Nr. B77/353.23.
- 1403 RS Deckel. Ton grau, fein gemagert, mit Glimmer; Reste von geglätteter Oberfläche. FO Räume Q/R/S. Inv.-Nr. B77/353.26.
- 1404 WS feiner Topf mit Tonslicker. Ton grau, mit Glimmer. FO Räume Q/R/S. Inv.-Nr. B77/353.27.
- 1405 WS Kochtopf mit Kammstrichmuster. Ton dunkelbraungrau, gemagert. FO Räume Q/R/S. Inv.-Nr. B77/353.29.

- 1406 WS Kochtopf mit Kammstrich. Ton schwarzgrau, gemagert, mit Glimmer. FO Räume Q/R/S. Inv.-Nr. B77/353.28.
- 1407 Fibel. Bronze, verklebt mit organischem Material (Holz?), verbrannt(?). FO Räume Q/R/S. Inv.-Nr. B77/353.34. M 1:2.

12.11.5. Phase 5 (SP I.5; s. Beil. 20)

Parzelle I

Bauhorizont

- 1408 RS TS Schälchen Drag. 27, südgallisch. FO Räume A/B. Inv.-Nr. B77/156.1.
- 1409 RS TS Teller Drag. 18/31, südgallisch. FO Raum B. Inv.-Nr. B77/148.2.
- 1410 BS TS Schälchen mit Stempel NICIO, wohl Nicia oder Nicus aus La Graufesenque (Oswald 1931, 219). FO Raum B. Inv.-Nr. B77/148.1. M 1:1.
- 1411 WS glasierter Becher mit Fadenaufgaben. Ton hellbeige; Glasur gelbgrün, jede zweite Fadenaufgabe braun. FO Raum B. Inv.-Nr. B77/148.8.
- 1412 RS Amphore Dressel 20. Ton hellbeige, fein gemagert (evtl. Martin-Kilcher 1987, Tongruppe 3); Reste von rosabeigem, dünnem Überzug aussen. FO Raum B. Inv.-Nr. B77/148.13.
- 1413 RS TS-Imitation Teller Drack 3. Ton grau; schwarze, polierte Oberfläche/Überzug. FO Räume A/B. Inv.-Nr. B77/156.7.
- 1414 RS Schüssel Drack 21. Ton rosa; rotoranger Überzug aussen und teilweise innen. FO Räume A/B. Inv.-Nr. B77/156.3.
- 1415 RS Schüssel Drack 21, verbrannt. Ton beige; Überzug aussen orangefarben bis braun. FO Raum B. Inv.-Nr. B77/148.5.
- 1416 RS Deckel. Ton orange; Oberfläche am Rand geschwärzt. FO Raum B. Inv.-Nr. B77/148.11.
- 1417 RS Reibschüssel. Ton orange. FO Raum B. Inv.-Nr. B77/148.12.
- 1418 RS Reibschüssel, verbrannt. Ton hellgrünlichbeige. FO Räume A/B. Inv.-Nr. B77/156.9.
- 1419 RS Krug. Ton hellrosa; Oberfläche hellbeige. FO Räume A/B. Inv.-Nr. B77/156.8.
- 1420 WS Räucherkelch. Ton orange. FO Raum B. Inv.-Nr. B77/148.15.
- 1421 RS Topf. Ton hellorangebeige; Oberfläche aussen hellbeige. FO Raum B. Inv.-Nr. B77/148.10.
- 1422 RS Schulterbecher. Ton, orange, fein gemagert, mit viel Glimmer. FO Raum B. Inv.-Nr. B77/148.9.
- 1423 WS Topf mit Fadenaufgabe. Ton dunkelgrau; Oberfläche aussen geglättet. FO Raum B. Inv.-Nr. B77/148.20.
- 1424 RS Topf. Ton dunkelbräunlichgrau, sandig, mit Glimmer; Oberfläche grauschwarz. FO Räume A/B. Inv.-Nr. B77/156.12.
- 1425 RS Kochtopf. Ton grau, sandig gemagert; Oberfläche dunkler. FO Raum B. Inv.-Nr. B77/148.17.
- 1426 RS Kochtopf mit Kammstrich. Ton grau, sandig gemagert. FO Raum B. Inv.-Nr. B77/148.16.
- 1427 RS Kochtopf. Ton dunkelgrau, sandig, hart gebrannt. FO Räume A/B. Inv.-Nr. B77/156.11.

Splitterboden in Raum B (Bauhorizont)

- 1428 RS TS Teller Drag. 18, verbrannt. Inv.-Nr. B77/7.2.
- 1429 RS TS Schale Drag. 35, verbrannt. Inv.-Nr. B77/7.4.
- 1430 RS TS Schälchen Drag. 35, verbrannt. Inv.-Nr. B77/7.3.
- 1431 RS TS Schüssel Drag. 37, südgallisch. Inv.-Nr. B77/7.1.
- 1432 RS TS Schüssel Drag. 37, ostgallisch. Ton orange, mehlig; Überzug rotorange, seidig anzufassen. Inv.-Nr. B77/7.14.

- 1433 RS Schüssel mit Überzug. Ton orange; Überzug hellbräunlich, mit viel Goldglimmer, Oberfläche am Rand geschwärzt. Inv.-Nr. B77/7.17.
- 1434 RS Schüssel Drack 21. Ton beige; Überzug aussen hellbraun. Inv.-Nr. B77/7.11.
- 1435 RS Schüssel Drack 20. Ton beige; aussen und innen hellbrauner Überzug/geglättete Oberfläche. Inv.-Nr. B77/7.12.
- 1436 RS Krug. Ton beige. Inv.-Nr. B77/7.18.
- 1437 RS Becher. Ton beige. Inv.-Nr. B77/7.15.
- 1438 RS Reibschüssel. Tonkern dunkelorange, Mantel hellorange; Oberfläche innen mit feinen weissen, grauen und braunen Körnern. Inv.-Nr. B77/7.16.
- 1439 RS Deckel eines Kochtopfes, handgemacht. Ton dunkelbeigegrau bis schwarz, fein gemagert, mit Glimmer. Inv.-Nr. B77/7.24.
- 1440 RS Kochnapf. Tonkern dunkelbraungrau, Mantel schwarz, mit heller Magerung. Inv.-Nr. B77/7.26.
- 1441 RS Kochnapf, handgemacht. Ton dunkelgrau, stark gemagert, mit hellen Körnern. Inv.-Nr. B77/7.25.

Unterlage/Boden/Benutzungsschicht in Raum A

- 1442 RS TS Schälchen Drag. 24, südgallisch. Inv.-Nr. B77/155.1. Passscherbe zu Inv.-Nr. B77/164.1. (FO gleiche Schicht in Raum A).
- 1443 RS TS Schälchen Drag. 27, südgallisch. Inv.-Nr. B77/155.2.
- 1444 RS TS Platte Drag. 18, südgallisch. Inv.-Nr. B77/155.3.
- 1445 RS Amphore Dressel 20. Tonkern beige, Mantel orangerosa, mit feiner, dunkler Magerung (evtl. Martin-Kilcher 1987, Tongruppe 1). Inv.-Nr. B77/155.12.
- 1446 RS TS-Imitation Schüssel Drack 19. Ton orange; Reste von hellrotem Überzug. Inv.-Nr. B77/155.5.
- 1447 WS Glanztonbecher mit Fadenaufgabe. Ton orange; Überzug dunkelrotbraun. Inv.-Nr. B77/155.8.
- 1448 RS Schüssel. Ton beige, gemagert; Oberfläche mit Glimmerüberzug, am Rand verbrannt. Inv.-Nr. B77/155.15.
- 1449 RS Tonne(?) in SLT-Tradition. Ton orangerosa; aussen Reste von roter Bemalung. Inv.-Nr. B77/155.6.
- 1450 WS SLT-Tradition. Ton orangerosa; Oberfläche aussen mit weissem und rotorangem Streifen. Inv.-Nr. B77/155.9.
- 1451 WS mit Einstichmuster (evtl. gleiches Gefäss wie Nr. 1469). Ton orangerosa; Oberfläche aussen leicht geglättet. Inv.-Nr. B77/155.13.
- 1452 RS Kanne. Ton grau, fein gemagert. Inv.-Nr. B77/155.16.
- 1460 RS Schüssel Drack 21. Ton orange; Überzug aussen orange-rot. FO Raum E. Inv.-Nr. B77/34.1.
- 1461 RS Schüssel Drack 21. Ton orange; Überzug aussen orange-rot. FO Raum F. Inv.-Nr. B77/146b.8.
- 1462 RS Topf. Tonkern dunkelgrau, Mantel rötlichbraun, mit Glimmer; Goldglimmerüberzug. FO Raum F. Inv.-Nr. B77/146b.18.
- 1463 RS Deckel. Tonkern rotorange, Mantel orange; Oberfläche am Rand geschwärzt. FO Raum K. Inv.-Nr. B77/313.7.
- 1464 RS Deckel. Ton orange, am Rand geschwärzt. FO Raum F. Inv.-Nr. B77/146b.15.
- 1465 RS Deckel. Ton beige. FO Raum F. Inv.-Nr. B77/146b.16.
- 1466 RS Reibschüssel. Ton hellbeige, mit Keramikschrott; Oberfläche gemagert, abgerieben, mit schrägen Hackspuren. FO Raum K. Inv.-Nr. B77/313.8.
- 1467 RS Schüssel Drack 22 similis. Ton orange, mit Glimmer; Oberfläche mit Resten von roter Bemalung. FO Raum F. Inv.-Nr. B77/146b.14.
- 1468 WS SLT-Tradition. Ton rosabeige; Oberfläche aussen geglättet, mit weissem und braunrotem Streifen, mit sepiadunklen Punkten. FO Raum F. Inv.-Nr. B77/146b.20.
- 1469 Schüssel mit Einstichmuster. Ton orangerosa; Oberfläche aussen leicht geglättet. FO Raum F. Inv.-Nr. B77/146b.13. Passscherbe zu Inv.-Nr. B77/87.36. (FO Brandschutt über Raum G der SP I.4). – Die Passscherbe weist darauf hin, dass die Schüssel eigentlich aus dem Brandschutt der SP I.4 stammt. Die Auswertung hat gezeigt, dass der Wiederaufbau nach dem Brand vermutlich unmittelbar erfolgte, so dass die Funde des Bauhorizontes der SP I.5 zur Hauptsache aus den Schichten der SP I.4 stammen dürften, weshalb ich auf das mühselige Umstellen der Tafeln verzichtet habe.
- 1470 RS Schüssel Drack 20. Ton grau; aussen und innen schwarzer Überzug/polierete Oberfläche. FO Raum F. Inv.-Nr. B77/146b.11.
- 1471 RS Schulterbecher mit Fadenaufgabe. Ton dunkelgrau, fein gemagert; aussen Reste von schwarzer, geglätteter Oberfläche/Überzug. FO Raum K. Inv.-Nr. B77/313.12.
- 1472 RS Schultertopf mit Glättmuster(?). Ton grau; Oberfläche auf der Schulter geglättet. FO Raum E. Inv.-Nr. B77/34.6.
- 1473 RS Schüssel Drack 22 similis(?). Ton grau; aussen schwarzer, glänzender Überzug/Oberfläche. FO Raum E. Inv.-Nr. B77/34.5.
- 1474 WS mit Fingernageleindrücken. Ton grau, fein gemagert. FO Raum F. Inv.-Nr. B77/146b.30.
- 1475 RS Topf. Ton grau, fein gemagert; Oberfläche aussen ganz leicht geglättet. FO Raum F. Inv.-Nr. B77/146b.27.
- 1476 RS Deckel. Ton beigegrau. FO Raum F. Inv.-Nr. B77/146b.17.
- 1477 RS Topf. Tonkern rotbräunlich, Mantel dunkelgrau, gemagert. FO Raum F. Inv.-Nr. B77/146b.28.
- 1478 RS Kochtopf, handgemacht. Tonkern rötlichorange, Mantel grauschwarz, gemagert. FO Raum K. Inv.-Nr. B77/313.13.
- 1479 RS Glasbecher. Glas entfärbt. FO Räume F/G/K. Inv.-Nr. B77/322.6.
- 1480 Fibelfragment mit eingepunztem Kreisauge (Riha Typ 5.10). Bronze. FO Raum E. Inv.-Nr. B77/34.14. M 1:2.

Parzelle II

Bauhorizont

- 1453 RS TS Schüssel Drag. 37, südgallisch. FO Raum K. Inv.-Nr. B77/313.1.
- 1454 RS TS Schüssel Drag. 37, südgallisch (Ton dunkel). FO Raum F. Inv.-Nr. B77/146b.1.
- 1455 RS TS Schälchen Drag. 27, verbrannt. FO Räume F/G/K. Inv.-Nr. B77/322.1.
- 1456 RS TS Schälchen Drag. 33, südgallisch (Ton hell). FO Raum K. Inv.-Nr. B77/313.2.
- 1457 Bildlampe (Loeschcke Typ IV). Ton hellgrünlichbeige; aussen Reste von dunkelgraubräunlichem Überzug. FO Raum E. Inv.-Nr. B77/34.3.
- 1458 RS TS-Imitation Schälchen Drack 13, verbrannt(?). Ton grau; Überzug schwarz. FO Raum K. Inv.-Nr. B77/313.6.
- 1459 RS TS-Imitation Platte Drack 4A, verbrannt/Fehlbrand(?). Ton dunkelbeige, teilweise blasig; Überzug/geglättete Oberfläche orange bis schwarz. FO Raum F. Inv.-Nr. B77/146b.26.
- Splitterboden (Bauhorizont)*
- 1481 RS TS Schale Drag. 27, südgallisch. FO Raum E. Inv.-Nr. B77/33.2.
- 1482 BS TS mit Stempel OF SECVNDI, Secundus aus La Graufesenque und Lezoux (Oswald 1931, 287ff.), Ton dunkelrot mit weissen Einschlüssen (mittelgallisch). FO Raum E. Inv.-Nr. B77/33.1.
- 1483 RS feiner Topf, verbrannt(?). Ton beige, mit Glimmer; Ober-

fläche hellbraun bis schwarz, aussen geglättet. FO Raum F. Inv.-Nr. B77/144.1.

1484 RS Topf. Ton grau, fein gemagert, mit Glimmer, hart gebrannt. FO Raum E. Inv.-Nr. B77/33.6.

Boden/Benutzungsschicht in Raum L

1485 RS TS Platte Drag. 18, verbrannt. Inv.-Nr. B77/345.3.

1486 RS TS Schälchen Drag. 33, südgallisch (Ton dunkel). Inv.-Nr. B77/345.2.

1487 RS TS Schale Drag. 33, südgallisch (Ton dunkel). Inv.-Nr. B77/345.1. Passscherbe zu Inv.-Nr. B77/327.1. (FO Unterlage/Boden von Raum J der SPI.6).

1488 RS Platte. Tonkern grau, Mantel beige, gemagert, mit Glimmer. Inv.-Nr. B77/345.12.

1489 RS Topf. Tonkern dunkelgrau, Mantel orange, gemagert. Inv.-Nr. B77/345.11.

1490 RS TS-Imitation Platte Drack 4B. Ton grau, Oberfläche/Überzug schwarz. Inv.-Nr. B77/345.7.

1491 RS Schulterbecher. Ton grau. Inv.-Nr. B77/345.

1492 RS Flasche(?). Ton grau, gemagert; aussen Reste von geglätteter Oberfläche. Inv.-Nr. B77/345.17.

1493 RS Kochtopf mit Kammstrichmuster. Ton graubeige, gemagert; Oberfläche innen grau, Oberfläche aussen dunkelgrau. Inv.-Nr. B77/345.14.

1494 RS Kochtopf mit Kammstrich. Ton dunkelbraungrau, gemagert. Inv.-Nr. B77/345.15.

1495 RS Kochtopf. Ton grau, gemagert, mit Glimmer. Inv.-Nr. B77/345.16.

Benutzungsschicht in Raum E

1496 RS TS Teller Drag. 15, südgallisch (Ton hell). Inv.-Nr. B77/79.4.

1497 RS TS Teller Drag. 18, südgallisch. Inv.-Nr. B77/79.5. Passscherbe zu Inv.-Nr. B77/78.1. (FO Boden in Raum D der SP I.6).

1498 RS TS Schüssel Drag. 37, mittelgallisch. Inv.-Nr. B77/79.3.

1499 RS Krug. Ton dunkelorange. Inv.-Nr. B77/79.22.

1500 RS Krug. Ton beige, leicht geglättet. Inv.-Nr. B77/79.21.

1501 RS feiner Topf mit Netzwerkmuster, verbrannt. Ton beige. Inv.-Nr. B77/124.2.

1502 RS Topf. Ton grau, sandig, mit Glimmer; Oberfläche aussen evtl. ursprünglich geglättet. Inv.-Nr. B77/79.34. Passscherbe zu Inv.-Nr. B77/86.74. (FO Bauhorizont in Raum A der SP I.6).

1503 RS Schüssel Drack 20. Ton dunkelbeige, fein gemagert; Oberfläche dunkelbeigegrau, mit Resten von Glättung. Inv.-Nr. B77/79.38

1504 RS Kochtopf. Ton orange, helle Magerung; Oberfläche am Rand geschwärzt. Inv.-Nr. B77/79.23.

1505 RS Kochschüssel. Ton grau, mit hellen Körnern. Inv.-Nr. B77/124.5.

1506 RS Topf. Ton grau, fein gemagert, mit Glimmer. Inv.-Nr. B77/79.37.

1507 RS Topf. Ton grau, fein gemagert. Inv.-Nr. B77/79.36.

1508 RS Topf. Ton grau, sandig. Inv.-Nr. B77/79.35.

1509 WS Kochtopf mit Kammeinstichmuster. Ton dunkelbeigegrau, mit hellen Körnern. Inv.-Nr. B77/79.40.

1510 Bronzefragment. Inv.-Nr. B77/79.43. M 1:2.

Steinstreifen zwischen den Räumen K und M/N

1511 RS TS Schüssel Drag. 29, südgallisch. Inv.-Nr. B77/295.1.

Parzelle III

Bauhorizont in den Räumen P/Q

(Einfüllung des Kellers Q der SP I.1)

1512 RS TS Schälchen Drag. 24, südgallisch. Inv.-Nr. B77/262.38.

1513 RS TS Schälchen Drag. 27, südgallisch. Inv.-Nr. B77/262.40.

1514 RS TS Schälchen Drag. 27, südgallisch (Ton dunkel), Durchmesser nicht genau bestimmbar. Inv.-Nr. B77/262.39.

1515 RS TS Schälchen Drag. 27, mittelgallisch. Inv.-Nr. B77/262.1.

1516 RS TS Schälchen Hofheim 9, südgallisch. Inv.-Nr. B77/262.46.

1517 RS TS Becher, südgallisch (Ton dunkel). Inv.-Nr. B77/262.5.

1518 RS TS Platte Drag. 15, südgallisch (Ton dunkel). Inv.-Nr. B77/262.32.

1519 RS TS Teller Drag. 15, verbrannt. Inv.-Nr. B77/262.36.

1520 RS TS Teller Drag. 15, südgallisch. Inv.-Nr. B77/262.34.

1521 RS TS Platte Drag. 15, südgallisch (Ton dunkel). Inv.-Nr. B77/262.35.

1522 RS TS Teller Hofheim 1, südgallisch. Inv.-Nr. B77/262.47.

1523 RS TS Teller Drag. 18, Variante mit Absatz innen, südgallisch. Inv.-Nr. B77/262.37.

1524 RS TS Teller Drag. 18, südgallisch. Inv.-Nr. B77/262.45.

1525 RS TS Teller Drag. 18, südgallisch. Inv.-Nr. B77/262.4.

1526 RS TS Schälchen Drag. 33, südgallisch (Ton hell). Inv.-Nr. B77/262.48.

1527 RS TS Schüssel Drag. 29, südgallisch. Inv.-Nr. B77/262.2./42.

1528 entfällt.

1529 RS TS Schüssel Drag. 29, südgallisch (Ton dunkel). Inv.-Nr. B77/262.41.

1530 RS TS Schüssel Drag. 29, südgallisch. Inv.-Nr. B77/262.3.

1531 BS TS mit Stempel ICNDVS, evtl. Iucundus aus La Graufesenque (Oswald 1931, 148) oder ICN(?) aus Lezoux (Bémont/Jacob 1986,282) (Ton dunkel). Inv.-Nr. B77/262.30.

1532 WS TS Schüssel Drag. 30, südgallisch. Inv.-Nr. B77/262.56.

1533 RS Bildlampe. Ton hellgrünlichbeige; Überzug aussen und innen(!) hellbräunlich bis dunkelbräunlich. Inv.-Nr. B77/262.14.

1534 BS glasierter Becher mit Griessbewurf. Ton hellrosa; Glasur gelb. Inv.-Nr. B77/262.79.

1535 RS Amphore Gauloise 4. Ton hellbeige. Inv.-Nr. B77/262.85.

1536 RS Amphore Dressel 20. Ton orangerosa, mit feiner brauner Magerung (evtl. Martin-Kilcher 1987, Tongruppe 1). Inv.-Nr. B77/262.88.

1537 RS TS-Imitation Teller Drack 4B. Ton dunkelbeige; Oberfläche/Überzug schwarz. Inv.-Nr. B77/262.69.

1538 RS TS-Imitation Schälchen Drack 11. Ton dunkelbeigegrau; Oberfläche/Überzug schwarz. Inv.-Nr. B77/262.70.

1539 RS TS-Imitation Teller Drack 2. Ton grau; Überzug/Oberfläche schwarz. Inv.-Nr. B77/262.11.

1540 RS TS-Imitation Platte Drack 3. Ton orange; Überzug rot. Inv.-Nr. B77/262.60.

1541 RS TS-Imitation Platte Drack 5, verbrannt(?). Ton beigegrau; Oberfläche/Überzug schwarzorange bis schwarz. Inv.-Nr. B77/262.68.

1542 RS TS-Imitation Schüssel Drack 19, verbrannt. Ton beige; Oberfläche/Überzug hellbraun. Inv.-Nr. B77/262.15.

1543 RS Schüssel Drack 21. Ton orange; Überzug aussen orangefarben. Inv.-Nr. B77/262.63.

1544 RS Schüssel Drack 21, verbrannt. Ton orangerosa; Überzug aussen rotorange. Inv.-Nr. B77/262.61.

1545 RS Schüssel Drack 21. Ton rosa; aussen Reste von orangem Überzug. Inv.-Nr. B77/262.62.

- 1546 RS Schüssel Drack 21, verbrannt. Ton rosabeige; Überzug aussen rotbraun. Inv.-Nr. B77/262.10.
- 1547 RS Schüssel Drack 21. Ton rosaorange; Überzug aussen orangerot. Inv.-Nr. B77/262.64.
- 1548 RS Krug. Tonkern grau, Mantel orange; aussen Goldglimmerüberzug. Inv.-Nr. B77/262.84.
- 1549 RS Krug. Tonkern grau, Mantel dunkelorangebeige, fein gemagert, mit Glimmer. Inv.-Nr. B77/262.16.
- 1550 RS Reibschüssel. Ton orange, gemagert; Oberfläche innen abgerieben. Inv.-Nr. B77/262.86.
- 1551 RS Reibschüssel. Ton beigerosa, mit dunkler Magerung; Oberfläche innen stärker gemagert. Inv.-Nr. B77/262.87.
- 1552 RS Napf. Ton dunkelbeige. Inv.-Nr. B77/262.83.
- 1553 RS Schulterbecher. Tonkern dunkelgrau, Mantel dunkelbräunlichbeige; Oberfläche aussen geglättet. Inv.-Nr. B77/262.82.
- 1554 RS Schüssel Drack 20. Ton beige; innen dunkelgraue Oberfläche, aussen schwarzer Überzug/Oberfläche. Inv.-Nr. B77/262.75.
- 1555 RS Schüssel Drack 20. Ton grau; Oberfläche/Überzug schwarz. Inv.-Nr. B77/262.12.
- 1556 RS Schüssel Drack 20. Tonkern dunkelbeige, Mantel dunkelgrau; aussen schwarzer Überzug/polierete Oberfläche. Inv.-Nr. B77/262.73.
- 1557 RS feiner Topf mit aufgerauhtem Streifen(?). Ton dunkelbeige; Oberfläche schwarz, aussen geglättet. Inv.-Nr. B77/262.97.
- 1558 RS Schülertopf. Ton schwarz; Oberfläche aussen poliert. Inv.-Nr. B77/262.20.
- 1559 RS Schülertopf mit Rädchenmuster. Ton schwarz; Oberfläche aussen geglättet. Inv.-Nr. B77/262.95.
- 1560 RS Topf. Ton grau; Oberfläche aussen leicht geglättet. Inv.-Nr. B77/262.103.
- 1561 RS Topf. Ton dunkelbeige, fein gemagert; Oberfläche schwarz. Inv.-Nr. B77/262.98.
- 1562 RS Topf. Tonkern schwarz, Mantel grau; Oberfläche dunkelgrau, aussen geglättet. Inv.-Nr. B77/262.102.
- 1563 RS Flasche(?). Ton grau; Oberfläche aussen geglättet. Inv.-Nr. B77/262.100.
- 1564 RS Flasche(?). Ton grau; Oberfläche aussen geglättet. Inv.-Nr. B77/262.21.
- 1565 RS Topf. Ton dunkelbeige; Oberfläche schwarz, aussen geglättet. Inv.-Nr. B77/262.99.
- 1566 RS Kochtopf mit Kammstrich. Tonkern schwarz, Mantel dunkelbeige, mit feinen, hellen Körnern; Oberfläche dunkelgrau. Inv.-Nr. B77/262.101.
- 1567 RS Kochtopf mit Kammstrich. Tonkern schwarz, Mantel grau, mit feiner, weisser Magerung. Inv.-Nr. B77/262.22.
- 1568 RS Kochtopf mit Besenstrich, handgemacht. Ton dunkelbeige, stark gemagert; Oberfläche schwarz. Inv.-Nr. B77/262.105.
- 1569 RS Kochnapf, handgemacht. Tonkern grau, Mantel rötlich, grob gemagert; Oberfläche dunkelbeige-grau. Inv.-Nr. B77/262.23.
- 1570 WS Dolium mit Besenstrichmuster, handgemacht. Ton dunkelbeige-grau, grob gemagert. Inv.-Nr. B77/262.24.
- 1571 Fragment eines Bronzeröhrchens. Inv.-Nr. B77/262.27. M 1:2.
- 12.11.6. Phase 6 (SP I.6; s. Beil. 21)
- Parzelle I*
- Bodenunterlage (Bauhorizont) in Raum A*
- 1572 RS TS Schälchen Hofheim 8, südgallisch. Inv.-Nr. B77/86.2.
- 1573 RS TS Schälchen Hofheim 9, südgallisch (Ton dunkel). Inv.-Nr. B77/86.18.
- 1574 RS TS Schälchen Drag. 23, südgallisch. Inv.-Nr. B77/49.1.
- 1575 RS TS Schälchen Drag. 27, südgallisch. Inv.-Nr. B77/86.6.
- 1576 RS TS Schälchen Drag. 27, südgallisch. Inv.-Nr. B77/86.5.
- 1577 RS TS Schälchen Drag. 27, südgallisch. Inv.-Nr. B77/86.3.
- 1578 RS TS Schälchen Drag. 27, südgallisch. Inv.-Nr. B77/38.1.
- 1579 RS TS Schälchen Drag. 35, südgallisch (Ton dunkel). Inv.-Nr. B77/86.20.
- 1580 RS TS Schälchen Drag. 35. Inv.-Nr. B77/147.4.
- 1581 RS TS Schälchen Drag. 35. Inv.-Nr. B77/147.3.
- 1582 RS TS Schale Drag. 36. Inv.-Nr. B77/86.21.
- 1583 RS TS Schälchen Drag. 36, südgallisch. Inv.-Nr. B77/70.6.
- 1584 RS TS Schälchen Drag. 33, südgallisch (Ton dunkel). Inv.-Nr. B77/38.5. Passscherbe zu Inv.-Nr. B77/59.1. (FO westliche Aussenmauer von Haus II der SP II).
- 1585 RS TS Schälchen Drag. 33, südgallisch (Ton dunkel). Inv.-Nr. B77/49.3.
- 1586 RS TS Teller Drag. 15, südgallisch. Inv.-Nr. B77/86.10.
- 1587 RS TS Teller Drag. 18/31, südgallisch. Inv.-Nr. B77/86.8.
- 1588 RS TS Teller Drag. 18/31, verbrannt. Inv.-Nr. B77/86.9.
- 1589 RS TS Teller Drag. 18, südgallisch. Inv.-Nr. B77/147.5.
- 1590 RS TS Teller Drag. 18, südgallisch, Durchmesser nicht genau bestimmbar. Inv.-Nr. B77/54.2.
- 1591 RS TS Teller Drag. 18/31, mittelgallisch. Inv.-Nr. B77/86.14.
- 1592 RS TS Teller Drag. 18/31, südgallisch. Inv.-Nr. B77/86.12.
- 1593 RS TS Platte Drag. 18, südgallisch. Inv.-Nr. B77/49.2.
- 1594 RS TS Schüssel Drag. 30, südgallisch. Inv.-Nr. B77/86.16.
- 1595 RS TS Schüssel Drag. 30, südgallisch (Ton dunkel). Inv.-Nr. B77/49.4.
- 1596 RS TS Schüssel Drag. 29, südgallisch (Ton dunkel). Inv.-Nr. B77/86.1.
- 1597 RS TS Schüssel Drag. 29, südgallisch. Inv.-Nr. B77/147.1.
- 1598 RS TS Schüssel Drag. 29, südgallisch (Ton dunkel). Inv.-Nr. B77/38.2.
- 1599 RS TS Schüssel Drag. 37, verbrannt. Inv.-Nr. B77/86.4.
- 1600 RS TS Schüssel Drag. 37, ostgallisch. Inv.-Nr. B77/86.35.
- 1601 WS TS Schüssel Drag. 29, südgallisch. Inv.-Nr. B77/86.25.
- 1602 WS TS Schüssel Drag. 29, südgallisch. Inv.-Nr. B77/86.26.
- 1603 WS TS Schüssel Drag. 30, südgallisch. Inv.-Nr. B77/147.6.
- 1604 RS Bildlampe mit Volutenschnauze (Loeschcke Typ IV). Ton hellgelblichbeige; Überzug aussen rotbräunlich. Inv.-Nr. B77/86.40.
- 1605 WS Bildlampe. Ton hellgelblichbeige; Überzug aussen bräunlich. Inv.-Nr. B77/86.41.
- 1606 RS TS-Imitation Teller Drack 4B. Ton orange; Reste von orangem Überzug. Inv.-Nr. B77/86.55.
- 1607 RS TS-Imitation Schüssel Drack 19, Durchmesser nicht genau bestimmbar. Ton orange, fein gemagert; Überzug rot. Inv.-Nr. B77/49.17.
- 1608 RS TS-Imitation Schüssel Drack 19. Ton grau; Oberfläche/Überzug schwarz. Inv.-Nr. B77/49.27.
- 1609 RS TS-Imitation Schüssel Drack 19. Ton grau; Überzug/Oberfläche schwarz. Inv.-Nr. B77/86.36.
- 1610 RS TS-Imitation Schüssel Drack 19. Ton grau; Oberfläche/Überzug dunkelgrau. Inv.-Nr. B77/49.28.
- 1611 RS Glanztoneller. Ton orange, mit Keramikschrot gemagert; Überzug orange, mit Goldglimmer. Inv.-Nr. B77/86.53.

- 1612 RS Glanztonteller, verbrannt(?). Ton dunkelbeige; Reste von dunkelbraunem Überzug. Inv.-Nr. B77/38.10.
- 1613 RS Schüssel Drack 22 similis. Ton hellorange; aussen Reste von hellrotem Überzug. Inv.-Nr. B77/49.12.
- 1614 RS Schüssel Drack 22 similis. Ton orange, mit Glimmer; aussen Reste von hellrotem Überzug. Inv.-Nr. B77/49.13. Passscherbe zu Inv.-Nr. B77/60.9. (FO Fundament der westlichen Aussenmauer von Haus II der SP II.1).
- 1615 RS Schüssel Drack 22 similis. Ton orange, mit Glimmer; aussen wenige Reste von rotem Überzug. Inv.-Nr. B77/49.14.
- 1616 RS Schüssel Drack 22 similis. Ton orangerosa, mit feiner, heller Magerung, mit Glimmer; aussen Reste von rotorangem Überzug. Inv.-Nr. B77/86.52.
- 1617 RS grosser Glanztonbecher. Ton orange; Überzug bräunlich-rot. Inv.-Nr. B77/86.44.
- 1618 RS Glanztonbecher. Ton hellorange; Überzug rotbraun bis dunkelbraun. Inv.-Nr. B77/86.43.
- 1619 RS Glanztonbecher mit Riefelmuster. Ton orange; Überzug innen rot, aussen rot bis braun. Inv.-Nr. B77/86.42.
- 1620 WS Glanztonbecher mit Riefelmuster. Ton orange; Reste von rotem Überzug. Inv.-Nr. B77/86.50.
- 1621 RS Krug. Ton dunkelorange, fein gemagert. Inv.-Nr. B77/49.20.
- 1622 RS Krug. Ton dunkelrosabeige, mit Glimmer. Inv.-Nr. B77/147.9.
- 1623 RS Krug. Tonkern grau, Mantel orange. Inv.-Nr. B77/86.57.
- 1624 RS Krug. Ton hellgrünlichbeige. Inv.-Nr. B77/86.59.
- 1625 RS Krug. Ton beige, mehlig. Inv.-Nr. B77/147.8.
- 1626 RS Topf. Ton beige. Inv.-Nr. B77/86.58.
- 1627 RS Topf. Ton orangebeige. Inv.-Nr. B77/49.16.
- 1628 RS Deckel. Ton orange. Inv.-Nr. B77/86.62.
- 1629 RS Deckel. Ton orange, sandig gemagert, mit Glimmer. Inv.-Nr. B77/49.19.
- 1630 RS Schüssel. Ton orange, fein gemagert; Goldglimmerüberzug, Oberfläche am Rand geschwärzt. Inv.-Nr. B77/38.11.
- 1631 RS Schüssel. Ton beigeorange, mit heller, feiner Magerung, mit Glimmer. Inv.-Nr. B77/86.56.
- 1632 RS Teller. Ton orange, fein gemagert, mit Glimmer. Inv.-Nr. B77/86.54. Passscherbe zu Inv.-Nr. B77/69.18. (FO Fundament der westlichen Aussenmauer von Haus II der SP II.1).
- 1633 RS Reibschüssel. Ton orange, mit Keramikschrott und hellen Körnern gemagert; Oberfläche innen mit hellen Körnern. Inv.-Nr. B77/38.12.
- 1634 WS mit Kerbmuster. Ton hellbeige; Oberfläche aussen geglättet. Inv.-Nr. B77/49.15.
- 1635 RS Flasche(?) in SLT-Tradition(?). Ton orangebeige, mit Glimmer. Inv.-Nr. B77/49.18.
- 1636 RS Flasche in SLT-Tradition. Ton hellbeige; Oberfläche aussen mit weissem und rotem Streifen und mit dunklem Sepiamuster bemalt. Inv.-Nr. B77/49.21. Passscherbe zu Inv.-Nr. B77/86.61. (FO Raum A).
- 1637 RS Kanne. Ton grau, mit Glimmer; Oberfläche dunkelgrau. Inv.-Nr. B77/147.18.
- 1638 RS Becher. Ton dunkelbeige-grau; Oberfläche aussen leicht geglättet. Inv.-Nr. B77/49.29.
- 1639 RS Schultertopf mit Fadenaufgabe. Ton hellgraubeige; aussen schwarzer Überzug/Oberfläche. Inv.-Nr. B77/70.1.
- 1640 RS Becher. Ton grau, mit Glimmer; Oberfläche aussen leicht geglättet. Inv.-Nr. B77/38.16.
- 1641 RS Topf. Ton grau. Inv.-Nr. B77/86.73.
- 1642 RS Becher mit Rädchenmuster. Ton grau; Oberfläche aussen leicht geglättet. Inv.-Nr. B77/86.77.
- 1643 RS Hochhalsbecher Niederbieber 33. Ton beige-grau; Überzug schwarz. Inv.-Nr. B77/38.8.
- 1644 RS Schüssel Drack 20. Ton grau; aussen und innen schwarzer Überzug/Oberfläche. Inv.-Nr. B77/49.26.
- 1645 RS Kochschüssel. Ton orange, mit Glimmer, fein gemagert; Oberfläche aussen beigeschwarz, mit Goldglimmerüberzug. Inv.-Nr. B77/147.7.
- 1646 RS Napf, handgemacht. Ton dunkelbeige, gemagert; Oberfläche aussen geglättet. Inv.-Nr. B77/147.10.
- 1647 Napf, handgemacht. Ton beige-grau, gemagert; Oberfläche aussen leicht geglättet. Inv.-Nr. B77/147.16. Passscherbe zu Inv.-Nr. B77/140.5. (FO Splitterboden in Raum A) und zu Inv.-Nr. B77/143.20. (FO Fundament der westlichen Aussenmauer von Haus II der SP II.1).
- 1648 RS Kochtopf, handgemacht. Tonkern beige, Mantel rötlich; Oberfläche dunkelbeige-grau bis dunkelgrau. Inv.-Nr. B77/86.76.
- 1649 RS Topf. Ton grau, fein gemagert; Oberfläche dunkelgrau. Inv.-Nr. B77/86.75.
- 1650 RS Kochtopf. Ton grau, sandig gemagert; Oberfläche am Rand geschwärzt. Inv.-Nr. B77/49.30.
- 1651 RS Topf. Ton grau, fein gemagert. Inv.-Nr. B77/70.3.
- 1652 Bronzebeschlag mit Scharnier. Inv.-Nr. B77/86.82. M 1:2.
- 1653 RS TS Teller Drag. 15, südgallisch, Durchmesser nicht genau bestimmbar. Inv.-Nr. B77/140.1.
- 1654 RS Topf. Ton dunkelbeige, mit Glimmer. Inv.-Nr. B77/140.3.
- 1655 RS Schüssel Drack 20. Ton grau; Überzug schwarz. Inv.-Nr. B77/140.2.
- Unterlage/Boden in Raum A*
- 1656 RS TS Platte Drag. 18, südgallisch. Inv.-Nr. B77/253.1.
- 1657 RS TS-Imitation Teller Drack 4B. Ton beige; Überzug braunorange bis bräunlich. Inv.-Nr. B77/253.5.
- 1658 RS Deckel, verbrannt(?). Ton orange, sandig, mit Keramikschrott und Glimmer. Inv.-Nr. B77/253.8.
- 1659 RS Tonne in SLT-Tradition. Ton orange; Oberfläche aussen mit Resten von oranger Bemalung. Inv.-Nr. B77/263.6.
- 1660 RS Rippenschale. Glas blaugrünlich. Inv.-Nr. B77/253.20.
- Boden/Brandschutt in den Räumen B/C*
- 1661 RS TS Teller Drag. 18, verbrannt. Inv.-Nr. B77/9.1.
- 1662 RS TS Platte Drag. 18, südgallisch. Inv.-Nr. B77/9.3.
- 1663 RS TS Schälchen Drag. 46, verbrannt. Inv.-Nr. B77/9.2.
- 1664 RS Schüssel Drack 21, verbrannt. Ton hellgrau; Oberfläche aussen dunkelgrau (ehemals rot). Inv.-Nr. B77/9.10.
- 1665 RS Krug, verbrannt. Ton ehemals hellbeige. Inv.-Nr. B77/9.9.
- 1666 WS in SLT-Tradition. Ton orange; Oberfläche aussen geglättet, mit rotem und weissem Streifen. Inv.-Nr. B77/9.8.
- Schmutzschicht in Raum A*
- 1667 RS TS Schüssel Drag. 37, verbrannt. Inv.-Nr. B77/139.1.
- 1668 RS TS Schälchen Drag. 35, südgallisch (Ton dunkel). Inv.-Nr. B77/139.3.
- 1669 RS Krug. Ton orange, sandig, mit Keramikschrott und Glimmer. Inv.-Nr. B77/139.6.
- 1670 RS Schüssel Drack 20. Ton grau; Überzug schwarz. Inv.-Nr. B77/139.5.
- Brandschutt in Raum B*
- 1671 Fragment einer Bronzeglocke. Inv.-Nr. B77/390.2. M 1:3.
- Parzelle II*
- Unterlage/Splitterboden (BauhORIZONT)*
- 1672 RS TS Schälchen Hofheim 9(?), südgallisch (Ton dunkel). FO Räume F/G/H. Inv.-Nr. B77/266.2.

- 1673 RS TS Schälchen Drag. 23(?), südgallisch. FO Raum D. Inv.-Nr. B77/78.6.
- 1674 RS TS Schälchen Drag. 35, südgallisch. FO Raum D. Inv.-Nr. B77/78.2.
- 1675 RS TS Schälchen Drag. 35, südgallisch. FO Raum D. Inv.-Nr. B77/78.5.
- 1676 RS TS Schälchen Drag. 35, südgallisch (Ton dunkel). FO Räume F/G/H. Inv.-Nr. B77/266.3.
- 1677 RS TS Schälchen Drag. 33, mittelgallisch. FO Räume F/G/H. Inv.-Nr. B77/266.4.
- 1678 WS TS Schüssel Drag. 37, südgallisch (Ton dunkel). FO Raum J. Inv.-Nr. B77/327.6.
- 1679 RS Amphore Dressel 20. Tonkern gräulich, mit feiner, dunkler Magerung; Oberfläche rosabeige (evtl. Martin-Kilcher 1987, Tongruppe I). FO Räume F/G/H. Inv.-Nr. B77/266.10.
- 1680 RS Schüssel Drack 22 similis(?). Ton orangebeige; aussen roter Überzug(?). FO Raum J. Inv.-Nr. B77/327.7.
- 1681 RS Schüssel. Ton dunkelbeige, fein gemagert, mit Glimmer. FO Raum D. Inv.-Nr. B77/78.14.
- 1682 RS Räucherkelch. Ton orangebeige, fein gemagert mit Glimmer. FO Räume F/G/H. Inv.-Nr. B77/266.9.
- 1683 RS Krug. Tonkern grau, Mantel dunkelbeige. FO Raum D. Inv.-Nr. B77/78.13.
- 1684 RS Topf. Tonkern hellgrau, Mantel orange. FO Raum J. Inv.-Nr. B77/327.8.
- 1685 RS Schulterbecher. Ton dunkelbeigegrau, mit Glimmer; Überzug aussen schwarz. FO Räume F/G/H. Inv.-Nr. B77/266.14.
- 1686 RS Topf. Ton grau, sandig. FO Raum J. Inv.-Nr. B77/327.9.
- 1687 RS Kochtopf, handgemacht. Tonkern dunkelrötlich, Mantel dunkelbraun; Oberfläche schwarz. FO Räume F/G/H. Inv.-Nr. B77/266.15.
- 1688 RS Kochtopfdeckel. Ton grau, sandig, mit Glimmer. FO Räume F/G/H. Inv.-Nr. B77/266.13.
- 1689 Melonenperle. Material blau. FO Raum D. Inv.-Nr. B77/78.16. M 1:2.
- Brandschicht in Raum J*
- 1690 RS TS Schälchen Drag. 27, südgallisch. Inv.-Nr. B77/325.1.
- 1691 RS Schüssel Drack 21. Ton beigeorange; Überzug aussen bräunlichorange. Inv.-Nr. B77/507.1.
- 1692 RS Reibschüssel. Ton orange, gemagert; Oberfläche innen mit groben, weissen Körnern. Inv.-Nr. B77/325.2.
- Brandschutt*
- 1693 RS TS Platte Drag. 18, mittelgallisch. FO über den Räumen E/F/G/H. Inv.-Nr. B77/239.1.
- 1694 TS Schälchen Drag. 23, südgallisch. FO über Raum D. Inv.-Nr. B77/27.2.
- 1695 RS TS Schälchen Drag. 35, südgallisch. FO über den Räumen E/F/G/H. Inv.-Nr. B77/239.4.
- 1696 RS TS Schälchen Drag. 35, südgallisch. FO über den Räumen E/F/G/H. Inv.-Nr. B77/239.5.
- 1697 RS TS Schälchen Drag. 33, südgallisch. FO über den Räumen E/F/G/H. Inv.-Nr. B77/239.24.
- 1698 RS TS Schüssel Drag. 29, südgallisch. FO über Raum D. Inv.-Nr. B77/27.1.
- 1699 RS TS Schüssel Drag. 37, südgallisch (Ton dunkel). FO über Raum D. Inv.-Nr. B77/27.3.
- 1700 RS TS Schüssel Drag. 37, südgallisch (Ton dunkel). FO über den Räumen E/F/G/H. Inv.-Nr. B77/239.8. Passscherbe zu Inv.-Nr. B77/369.1. (FO Fundamentgraben der westlichen Aussenmauer von Haus II der SP II).
- 1701 RS TS Schüssel Drag. 37, südgallisch (Ton dunkel). FO über den Räumen E/F/G/H. Inv.-Nr. B77/239.3.
- 1702 RS TS Schüssel Drag. 37, südgallisch (Ton dunkel). FO über Raum D. Inv.-Nr. B77/27.4.
- 1703 RS Schüssel Drack 21. Ton hellorange; Überzug aussen dunkelorange. FO über den Räumen E/F/G/H. Inv.-Nr. B77/239.10.
- 1704 RS Krug. Ton hellbeige. FO über den Räumen E/F/G/H. Inv.-Nr. B77/239.12.
- 1705 RS Topf, verbrannt. Ton grau, hart, fein gemagert; Oberfläche teilweise orange. FO über den Räumen E/F/G/H. Inv.-Nr. B77/239.11.
- 1706 RS Schüssel. Ton orange, fein gemagert; Reste von Goldglimmerüberzug, Oberfläche am Rand geschwärzt. FO über den Räumen E/F/G/H. Inv.-Nr. B77/239.14.
- 1707 RS Reibschüssel. Ton hellbeige, mit dunkeln und hellen Körnern; Oberfläche innen mit dunkeln und hellen Körnern. FO über den Räumen E/F/G/H. Inv.-Nr. B77/239.15.
- 1708 RS Deckel. Ton orangebeige, fein gemagert. FO über den Räumen E/F/G/H. Inv.-Nr. B77/239.13.
- 1709 RS Becher, Rand verzogen (Fehlbrand?). Ton dunkelgrau. FO über den Räumen E/F/G/H. Inv.-Nr. B77/239.18.
- 1710 RS Campana-Imitation Schälchen. Ton dunkelbraungrau; Oberfläche innen leicht geglättet. FO über den Räumen E/F/G/H. Inv.-Nr. B77/239.21.
- 1711 RS Napf. Ton grau, fein gemagert. FO über den Räumen E/F/G/H. Inv.-Nr. B77/239.20.
- 1712 RS Kochschüssel. Ton dunkelbeige bis dunkelbraungrau, mit groben, hellen Körnern. FO über den Räumen E/F/G/H. Inv.-Nr. B77/239.22.
- 1713 Melonenperle. Material blau. FO über Raum D. Inv.-Nr. B77/27.6. M 1:2.
- 1714 Fragment eines Spiegels, Durchmesser 9 cm. Bronze, Oberfläche erscheint silbrig, mit Bronzeausblühungen. FO über Raum D. Inv.-Nr. B77/27.8. M 1:2.
- Brandschutt/Gehniveau (Bauhorizont der SP II) in Raum D*
- 1715 RS TS Schale Drag. 36, verbrannt. Inv.-Nr. B77/114.3.
- 1716 RS TS Schüssel Drag. 37, verbrannt. Inv.-Nr. B77/114.1.
- 1717 RS TS Schüssel Drag. 37, verbrannt. Inv.-Nr. B77/114.2.
- 1718 RS Krug. Ton hellorange. Inv.-Nr. B77/114.9.
- 1719 RS Topf, verbrannt(?). Ton dunkelbeige bis orange. Inv.-Nr. B77/114.11.
- 1720 RS Reibschüssel, verbrannt(?). Ton hellgrünlichgrau. Inv.-Nr. B77/114.12.
- 1721 RS Flasche(?) in SLT-Tradition(?). Ton orangerosa. Inv.-Nr. B77/114.10.
- 1722 WS in SLT-Tradition. Ton orange; mit weissem und rotem Streifen und mit dunklem Sepiamuster bemalt. Inv.-Nr. B77/114.13.
- 1723 RS Becher. Ton dunkelgrau; Oberfläche aussen geglättet. Inv.-Nr. B77/114.16.
- 1724 RS Schüssel Drack 21. Ton grau; aussen Reste von dunkler, geglätteter Oberfläche/Überzug. Inv.-Nr. B77/114.19.
- 1725 RS Koch(?) - Topf. Ton dunkelgraubeige, gemagert; Oberfläche aussen grau. Inv.-Nr. B77/114.18.
- 1726 RS Kochtopf, handgemacht. Ton dunkelgraubraun, gemagert; Oberfläche dunkelgrau. Inv.-Nr. B77/114.17.
- 1727 RS Glasflasche. Glas durchsichtig, hellblau. Inv.-Nr. B77/114.20.
- 1728 Fragment einer Fibel, verbogen (evtl. Riha Typ 5.7). Bronze. Inv.-Nr. B77/114.24. M 1:2.

12.12. Keramik und Kleinfunde der Steinbauperiode II

12.12.1. Phase I (SP II.1; s. Beil. 22)

Parzelle I/II

Fundament der westlichen Aussenmauer von Haus II

- 1729 RS TS Schälchen Drag. 27, südgallisch. Inv.-Nr. B77/165.5.
1730 RS TS Schälchen Drag. 27, südgallisch. Inv.-Nr. B77/289.3.
1731 RS TS Schale Drag. 27, südgallisch (Ton hell). Inv.-Nr. B77/143.5.
1732 RS TS Schale Drag. 27(?), südgallisch, Durchmesser nicht genau bestimmbar, südgallisch. Inv.-Nr. B77/60.6.
1733 RS TS Schälchen Drag. 35, südgallisch. Inv.-Nr. B77/378.4.
1734 RS TS Teller Drag. 15, südgallisch. Inv.-Nr. B77/209.1.
1735 RS TS Platte Drag. 16, südgallisch. Inv.-Nr. B77/60.3.
1736 RS TS Teller Drag. 18, südgallisch. Inv.-Nr. B77/165.2.
1737 RS TS Teller Drag. 18, südgallisch. Inv.-Nr. B77/165.4.
1738 RS TS Teller Drag. 18, südgallisch. Inv.-Nr. B77/96.1.
1739 RS TS Teller Drag. 18, südgallisch. Inv.-Nr. B77/60.5.
1740 RS TS Platte Drag. 18, mittelgallisch. Inv.-Nr. B77/165.3.
1741 RS TS Teller Drag. 18/31, südgallisch. Inv.-Nr. B77/165.7.
1742 RS TS Teller Drag. 18/31, südgallisch. Inv.-Nr. B77/96.2.
1743 RS TS Teller Drag. 18/31, südgallisch. Inv.-Nr. B77/165.8.
1744 RS TS Teller Drag. 31, ostgallisch. Inv.-Nr. B77/20.1.
1745 RS TS Teller Drag. 32, ostgallisch. Inv.-Nr. B77/59.7.
1746 RS TS Schüssel Drag. 30, südgallisch. Inv.-Nr. B77/69.1.
1747 RS TS Schüssel Drag. 29, südgallisch. Inv.-Nr. B77/378.3.
1748 RS TS Schüssel Drag. 29, verbrannt, Punze (Hase) aus La Graufesenque (Oswald 1937, Nr. 2071). Inv.-Nr. B77/378.2.
1749 RS TS Schüssel Drag. 37, südgallisch. Inv.-Nr. B77/60.2.
1750 RS TS Schüssel Drag. 37, mittelgallisch. Inv.-Nr. B77/378.5.
1751 BS TS mit Stempel OIEFI\W, nicht sicher lesbar, südgallisch. Inv.-Nr. B77/165.1. M 1:1.
1752 BS TS mit Stempel SCOPPI, evtl. Scipius aus La Graufesenque oder Scoplus aus Lezoux (Oswald 1931, 284), Ton hell (südgallisch). Inv.-Nr. B77/378.1. 1:1.
1753 BS TS mit Stempel CEFL[ICIO], Ceflicio aus Lezoux(?) (Oswald 1931, 69). Inv.-Nr. B77/143.1. 1:1.
1754 BS TS mit Stempel C.E.L.Z.I.O.F, Celsius aus La Graufesenque und Lezoux (Oswald 1931, 370), Ton südgallisch. Inv.-Nr. B77/60.1. 1:1.
1755 BS TS mit Stempel VID[.], evtl. Viducus aus Lubié (Oswald 1931, 335), Ton mittelgallisch. Inv.-Nr. B77/143.2. 1:1.
1756 RS Firnisbecher mit Griessbewurf. Ton hellgrünlichbeige; Überzug dunkelbraun. Inv.-Nr. B77/326.1.
1757 RS TS-Imitation Teller Drack 3. Ton hellgrau; Überzug/polierete Oberfläche dunkelgrau. Inv.-Nr. B77/165.20.
1758 RS TS-Imitation Teller Drack 3, verbrannt(?). Ton graubeige; Überzug braun bis dunkelgrau. Inv.-Nr. B77/378.9.
1759 RS TS-Imitation Platte Drack 3, verbrannt. Ton hellgrau; Überzug ehemals orange. Inv.-Nr. B77/60.11.
1760 RS TS-Imitation Teller Drack 4B. Ton rosa; Überzug hellrot. Inv.-Nr. B77/59.8.
1761 RS TS-Imitation Platte Drack 4B. Ton grau; polierte Oberfläche/Überzug schwarz. Inv.-Nr. B77/165.23.
1762 RS TS-Imitation Schüssel Drack 19. Ton grau; Überzug/Oberfläche schwarz. Inv.-Nr. B77/69.23.
1763 RS Krug mit Überzug. Ton orange; Überzug dunkellachsfarben, matt, mit Goldglimmer. Inv.-Nr. B77/20.3.
1764 RS Krug/Kanne mit Überzug. Ton orangebeige; Überzug rotbraun. Inv.-Nr. B77/143.14.
1765 RS Glanztonschüssel. Ton orange, gemagert; Reste von braunem Überzug. Inv.-Nr. B77/69.16.
1766 RS Glanztonschüssel. Ton orange, fein gemagert; Überzug orange. Inv.-Nr. B77/289.8.
1767 RS Glanztonschüssel. Ton orange, mit weisser Magerung; Überzug rotbraun, metallisch glänzend. Inv.-Nr. B77/143.12.
1768 RS Glanztonschüssel, Durchmesser nicht genau bestimmbar. Ton beige; Überzug hellbraun bis rotbraun bis dunkelbraun, fleckig. Inv.-Nr. B77/69.13.
1769 RS Glanztonteller. Ton orange, fein gemagert; Überzug rotbraun, Oberfläche am Rand geschwärzt. Inv.-Nr. B77/165.25.
1770 RS Glanztonschale. Ton orangerosa, fein gemagert; Überzug hellorangebaun, matt, Oberfläche mit Brandspuren. Inv.-Nr. B77/378.12.
1771 RS Schüssel Drack 21. Ton beige; Überzug aussen rotorange. Inv.-Nr. B77/165.16.
1772 RS Schüssel Drack 21. Ton orange, gemagert; aussen und am Rand(?) Reste von orangem Überzug. Inv.-Nr. B77/108.1.
1773 RS Schüssel Drack 20. Ton hellbeige; aussen und innen(!) Reste von hellbraunem Überzug. Inv.-Nr. B77/289.5.
1774 RS Schüssel Drack 22 similis. Ton orange, fein gemagert; aussen Reste von hellrotem Überzug. Inv.-Nr. B77/289.9.
1775 RS Glanztonbecher. Ton orange; Überzug orange. Inv.-Nr. B77/19.1.
1776 WS Glanztonbecher mit Rillen. Ton orange, hart gebrannt; Überzug aussen rotbraun, innen rot. Inv.-Nr. B77/60.13.
1777 WS Glanztonbecher mit Barbotinemuster. Ton orange, Überzug orangefarben. Inv.-Nr. B77/69.9.
1778 WS Glanztonbecher mit Riefelmuster. Ton orange; Überzug rotorange. Inv.-Nr. B77/19.3.
1779 WS Glanztonbecher mit Riefelmuster. Ton orange; Überzug hellbraunorange. Inv.-Nr. B77/19.2.
1780 RS Krug. Ton hellbeige. Inv.-Nr. B77/69.14.
1781 RS Krug. Ton orange. Inv.-Nr. B77/165.26.
1782 RS Krug. Ton orange, fein gemagert. Inv.-Nr. B77/69.15.
1783 RS Krug. Ton orange, mit Glimmer. Inv.-Nr. B77/200.2.
1784 RS Schüssel. Ton orange, fein gemagert; Oberfläche am Rand geschwärzt. Inv.-Nr. B77/289.10.
1785 RS Schale, verbrannt(?). Ton dunkelbeige, mit Glimmer; Oberfläche poliert, teilweise geschwärzt. Inv.-Nr. B77/165.29.
1786 RS Teller. Ton orangebeige, gemagert; aussen und innen mit Goldglimmerüberzug. Inv.-Nr. B77/60.15.
1787 RS Teller. Ton orange, fein gemagert; aussen und innen mit Goldglimmerüberzug. Inv.-Nr. B77/60.14.
1788 RS Deckel. Ton beige, fein gemagert. Inv.-Nr. B77/143.16.
1789 RS Deckel. Ton hellorange, fein gemagert; Oberfläche am Rand geschwärzt. Inv.-Nr. B77/289.11.
1790 RS Topf. Ton orange, fein gemagert, mit Glimmer. Inv.-Nr. B77/143.13.
1791 WS in SLT-Tradition. Ton dunkelorange, hart gebrannt; Oberfläche aussen geglättet, mit orangem und weissem Streifen und mit dunklem Sepiamuster bemalt. Inv.-Nr. B77/108.3.
1792 RS TS-Imitation Schälchen Imitation Hofheim 9(?). Ton grau; Oberfläche aussen schwarz, innen dunkelgrau. Inv.-Nr. B77/69.24.
1793 RS TS-Imitation Platte Drack 4A. Ton dunkelbeige; Oberfläche schwarz, leicht geglättet. Inv.-Nr. B77/378.15.
1794 RS Schüssel Drack 20. Ton grau; Überzug/Oberfläche schwarz. Inv.-Nr. B77/69.25.
1795 RS Schüssel Drack 20. Tonkeramik dunkelbeige, Mantel dunkelgrau; polierte Oberfläche/Überzug schwarz. Inv.-Nr. B77/165.19.

- 1796 RS Schüssel Drack 20. Ton grau; polierte Oberfläche/Überzug schwarz. Inv.-Nr. B77/165.22.
- 1797 RS Napf. Ton dunkelbeige; Oberfläche schwarz, mit Resten von Glättung. Inv.-Nr. B77/165.30.
- 1798 RS Schulterbecher. Tonkern schwarz, Mantel grau; Oberfläche schwarz. Inv.-Nr. B77/165.32.
- 1799 RS feiner Topf. Ton schwarz; Oberfläche aussen geglättet. Inv.-Nr. B77/96.8.
- 1800 RS feiner Topf. Tonkern dunkelgrau, Mantel hellgrau; Oberfläche aussen und am Rand geglättet. Inv.-Nr. B77/165.33.
- 1801 RS Becher. Ton grau; Oberfläche dunkelgrau. Inv.-Nr. B77/59.19.
- 1802 RS Becher Niederbieber 33. Ton beige; Überzug schwarz. Inv.-Nr. B77/69.8.
- 1803 RS Topf. Ton beige; Oberfläche aussen geglättet. Inv.-Nr. B77/289.16.
- 1804 RS Topf. Ton beige; mit hellen Körnern; Oberfläche grau. Inv.-Nr. B77/132.1.
- 1805 RS Topf. Durchmesser nicht genau bestimmbar. Ton grau, mit Glimmer, fein gemagert. Inv.-Nr. B77/209.1.
- 1806 RS Topf. Ton dunkelbeige; Oberfläche aussen dunkelgrau, geglättet. Inv.-Nr. B77/289.15.
- 1807 RS Topf. Ton grau, fein gemagert. Inv.-Nr. B77/326.3.
- 1808 WS Faltenbecher Niederbieber 32/33. Ton dunkelgrau; Überzug schwarz. Inv.-Nr. B77/60.21.
- 1809 WS mit Fadenaufgabe. Ton dunkelbeige; Oberfläche aussen schwarz, geglättet. Inv.-Nr. B77/209.7.
- 1810 WS mit Rädchenmuster. Tonkern dunkelgrau, Mantel grau; Oberfläche dunkelgrau. Inv.-Nr. B77/59.24.
- 1811 WS mit Rädchenmuster. Ton grau. Inv.-Nr. B77/59.22.
- 1812 WS mit Rädchenmuster. Ton grau; Oberfläche dunkelgrau. Inv.-Nr. B77/59.23.
- 1813 RS Deckel. Ton grau, mit feiner, weisser Magerung, hart gebrannt. Inv.-Nr. B77/59.20.
- 1814 RS Deckel. Ton grau, mit feiner, weisser Magerung. Inv.-Nr. B77/59.21.
- 1815 RS Dolium. Ton beige, teilweise grau, mit weissen Körnern. Inv.-Nr. B77/378.14.
- 1816 RS Topf. Ton dunkelgrau, gemagert. Inv.-Nr. B77/165.31.
- 1817 RS Kochtopf. Ton orange, gemagert; Oberfläche am Rand geschwärzt. Inv.-Nr. B77/69.18.
- 1818 RS Topf. Tonkern dunkelbraun, Mantel grauschwarz, gemagert. Inv.-Nr. B77/60.18.
- 1819 RS Kochtopf, handgemacht, Durchmesser nicht genau bestimmbar. Ton dunkelbraungrau, gemagert. Inv.-Nr. B77/143.22.
- 1820 RS Kochtopf, handgemacht. Ton dunkelbraunbeige, gemagert; Oberfläche dunkelgrau. Inv.-Nr. B77/143.21.
- 1821 RS Kochtopfdeckel, handgemacht. Ton dunkelbeige, mit Glimmer, mit feiner Magerung. Inv.-Nr. B77/60.19.
- 1822 WS Kochtopf mit Kammstrichmuster. Ton grau, gemagert, hart gebrannt. Inv.-Nr. B77/96.10.
- 1823 RS Glasflasche. Glas blaugrünlich. Inv.-Nr. B77/200.4.
- 1824 RS Glasschälchen. Glas blaugrünlich. Inv.-Nr. B77/200.5.
- 1825 RS Glasbecher. Glas olivegrün, durchsichtig. Inv.-Nr. B77/59.25.
- 1826 RS Glasbecher. Glas durchsichtig, hellblau. Inv.-Nr. B77/69.34.
- 1827 Bronzeniete. Inv.-Nr. B77/326.4. M 1:2.
- 1828 Bronzeblech. Inv.-Nr. B77/69.28. M 1:2.
- 1829 Spielstein. Glas blau. Inv.-Nr. B77/69.27. M 1:2.

Parzelle II

Fundamente von Haus II

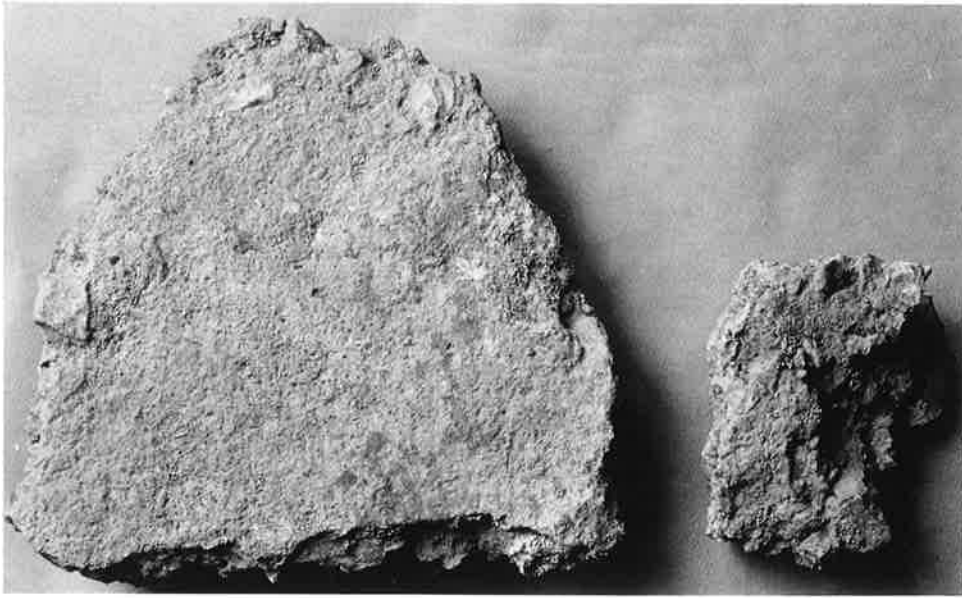
- 1830 RS TS Teller Drag. 18/31, südgallisch. FO Nordwand von Raum G. Inv.-Nr. B77/536.2.
- 1831 RS TS Teller Drag. 18/31, südgallisch. FO Südwand der Räume D/E. Inv.-Nr. B77/316.1.
- 1832 WS TS Reliefschüssel, südgallisch. FO Südwand der Räume D/E. Inv.-Nr. B77/316.2.
- 1833 WS Bildlampe. Ton hellbeige; Überzug aussen orange. FO Nordwand von Raum G. Inv.-Nr. B77/536.4.
- 1834 RS TS-Imitation Schälchen Drack 13. Ton hellgrau; Oberfläche schwarz, poliert. FO Südwand der Räume D/E. Inv.-Nr. B77/316.4.
- 1835 RS Krug. Ton hellbeige. FO Südwand der Räume D/E. Inv.-Nr. B77/254.3.
- 1836 RS Deckel. Ton beige, mit feinen, bräunlichen Körnern. FO Südwand der Räume D/E. Inv.-Nr. B77/254.5.
- 1837 RS Deckel. Ton orange. FO Nordwand von Raum G. Inv.-Nr. B77/536.5.
- 1838 RS Deckel. Ton orange, mit feiner Magerung. FO Südwand der Räume D/E. Inv.-Nr. B77/254.4.
- 1839 WS mit Rädchenmuster. Ton beige; Inv.-Nr. B77/536.7.

Fundamentgrube der westlichen Aussenmauer von Haus II

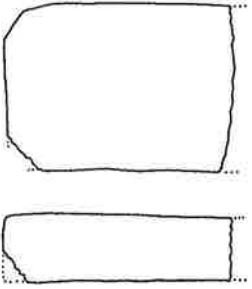
- 1840 RS TS-Imitation Teller Drack 3. Ton beige; Überzug orange. Inv.-Nr. B77/355.1.
- 1841 RS Deckel. Ton orange. Inv.-Nr. B77/355.2.
- 1842 RS Schüssel. Ton orange; Goldglimmerüberzug. Inv.-Nr. B77/26.1.
- 1843 RS Schüssel. Ton dunkelorange; Goldglimmerüberzug, Oberfläche am Rand geschwärzt. Inv.-Nr. B77/369.5.
- 1844 RS Krug. Ton hellorangebeige. Inv.-Nr. B77/369.6.
- 1845 WS in SLT-Tradition, verbrannt. Ton jetzt grau; wohl einst mit weissem und rotem Streifen bemalt. Inv.-Nr. B77/26.2.
- 1846 RS TS-Imitation Platte Drack 4B. Ton grau; Überzug/Oberfläche dunkelgrau. Inv.-Nr. B77/369.4.

Schmutzschicht

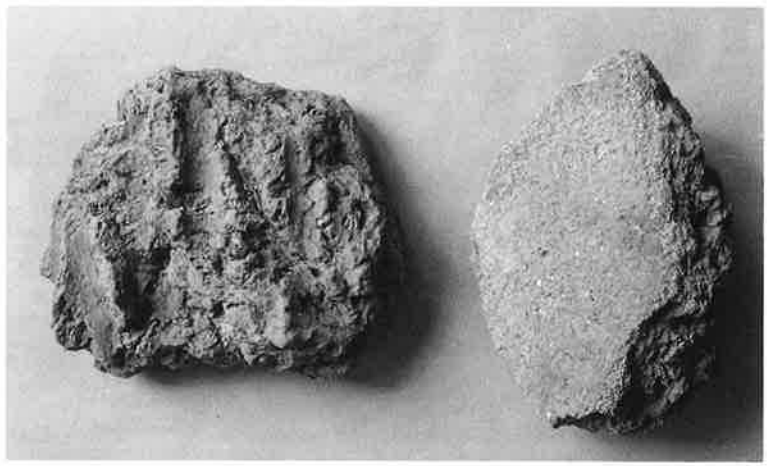
- 1847 RS TS Teller Drag. 15, südgallisch. FO Räume D/E. Inv.-Nr. B77/240.3.
- 1848 RS TS Teller Drag. 18/31, südgallisch. FO Räume D/E. Inv.-Nr. B77/240.1.
- 1849 RS TS Schälchen Drag. 35, verbrannt. FO Räume D/E. Inv.-Nr. B77/240.6.
- 1850 RS TS Schale Drag. 36, südgallisch (Ton dunkel). FO Raum F. Inv.-Nr. B77/25.1.
- 1851 RS TS Schale Drag. 36, verbrannt. FO Raum F. Inv.-Nr. B77/25.14.
- 1852 RS TS Platte Drag. 32(?), südgallisch (Ton dunkel). FO Räume D/E. Inv.-Nr. B77/240.7.
- 1853 RS TS Schüssel Drag. 29, mittelgallisch. FO Räume D/E. Inv.-Nr. B77/240.4.
- 1854 RS TS Schüssel Drag. 37, südgallisch. FO Raum F. Inv.-Nr. B77/25.2.
- 1855 RS TS Schüssel Drag. 37, südgallisch (Ton dunkel). FO Räume D/E. Inv.-Nr. B77/240.5.
- 1856 RS TS Schüssel Drag. 37, südgallisch (Ton dunkel). FO Räume D/E. Inv.-Nr. B77/240.2.
- 1857 WS TS Drag. 37, südgallisch. FO Raum F. Inv.-Nr. B77/25.5.
- 1858 WS TS Reliefschüssel, südgallisch. FO Räume D/E. Inv.-Nr. B77/240.10.
- 1859 RS Campana-Imitation Schüssel. Ton beige; Inv.-Nr. B77/240.10.



1



2



3



4



5



6

Taf. I. Architekturfragmente. 1.2 Bodenfragmente; 3-6 Lehmfachwerkbrocken. M 1:3, Nr. 2 M 1:2.



1

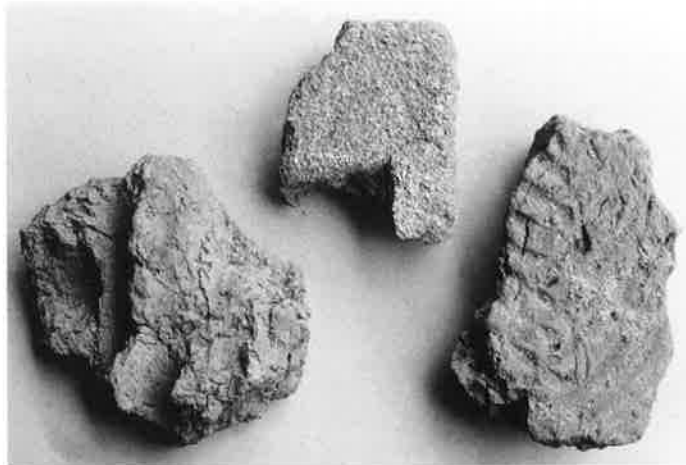


2



3

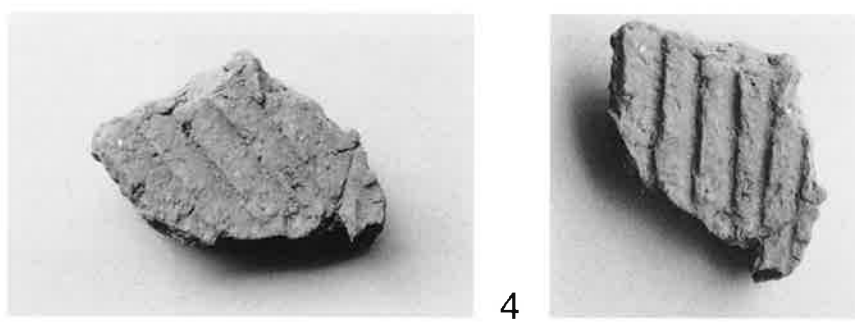
5



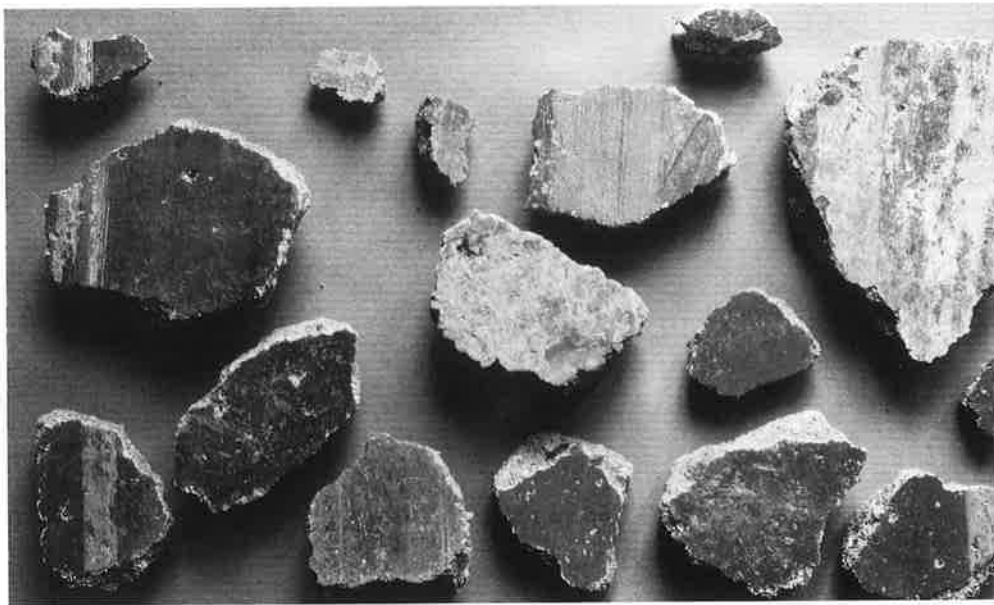
4

6

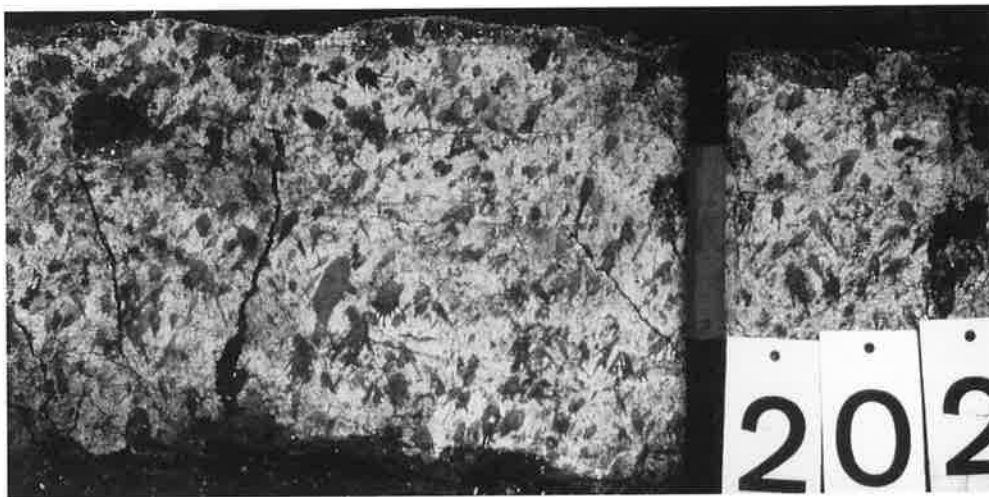
Taf. 2. Architekturfragmente. Lehmfachwerkbrocken. M 1:3.



Taf. 3. Architekturfragmente. 1-4 Lehmfachwerkbrocken; 5,6 Wandmalerei. M 1:3, Nr. 5,6 M 1:2.



1

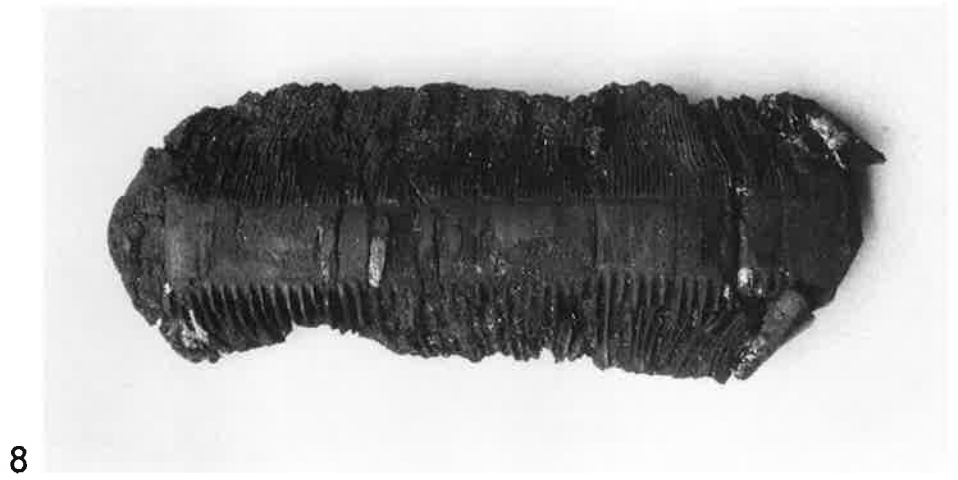
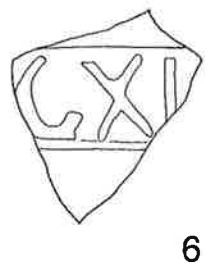
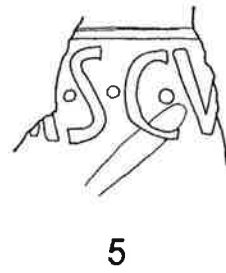
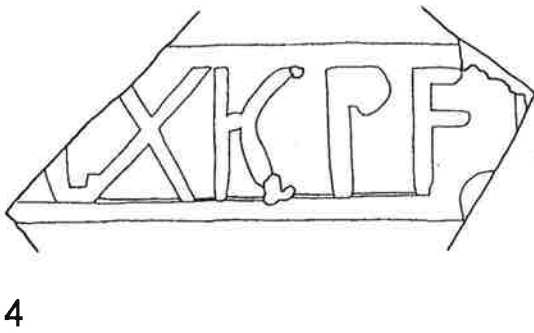
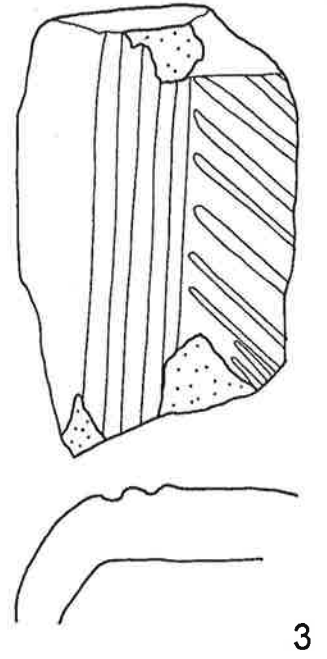
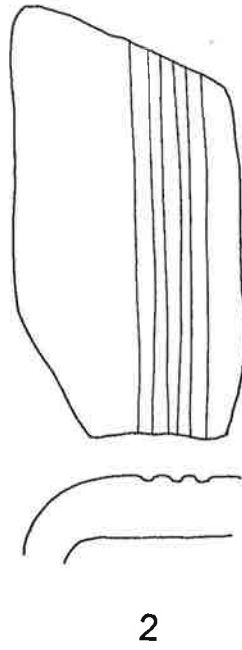
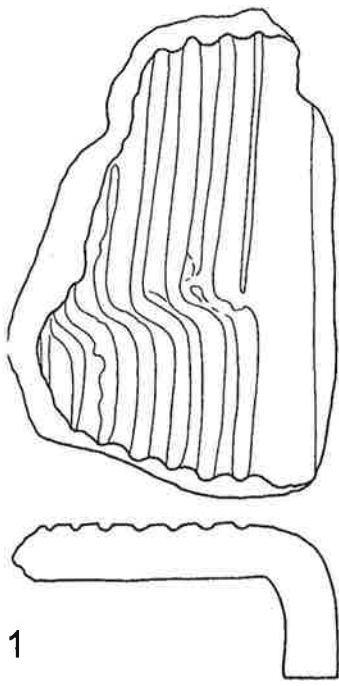


2



3

Taf. 4. Architekturfragmente. Wandmalerei. M 1:2, Nr. 2.3 Massstab im Bild.



Taf. 5. Architekturfragmente und Verschiedenes. 1–3 Tubulusfragmente; 4–6 Ziegelstempel; 7 Marmor; 8 Holzkamm. M 1:2, Nr. 8 M 1:1.



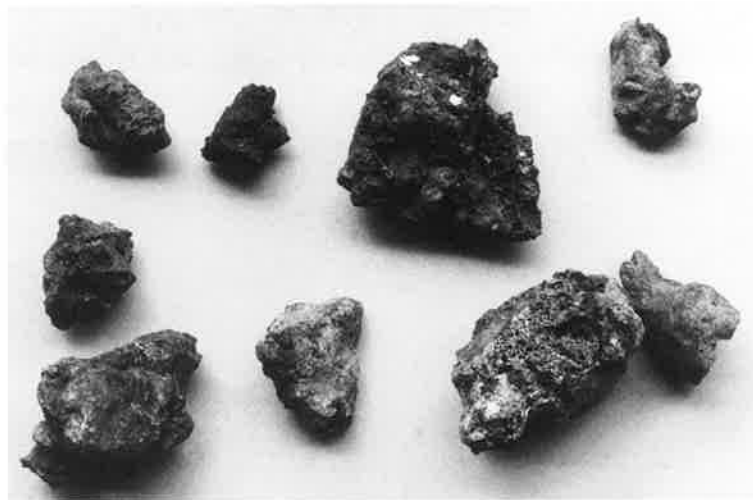
1



2



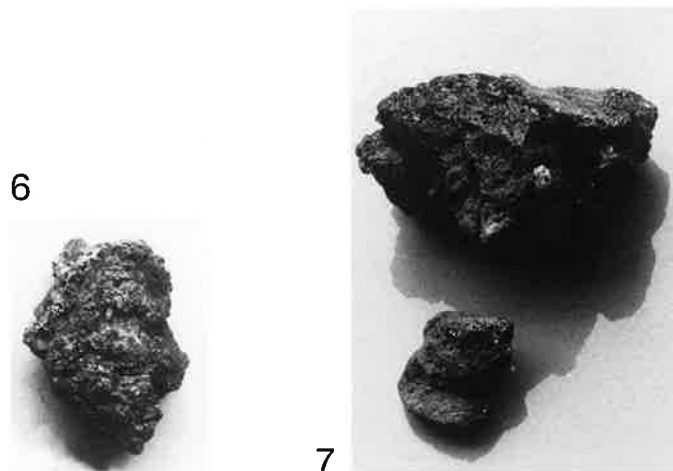
3



4

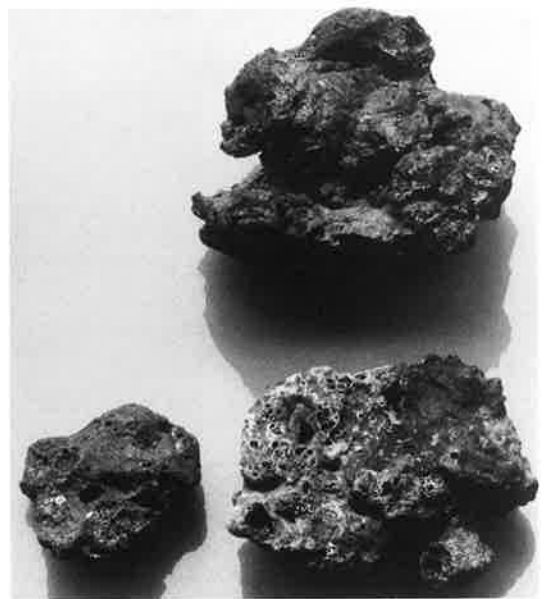


5

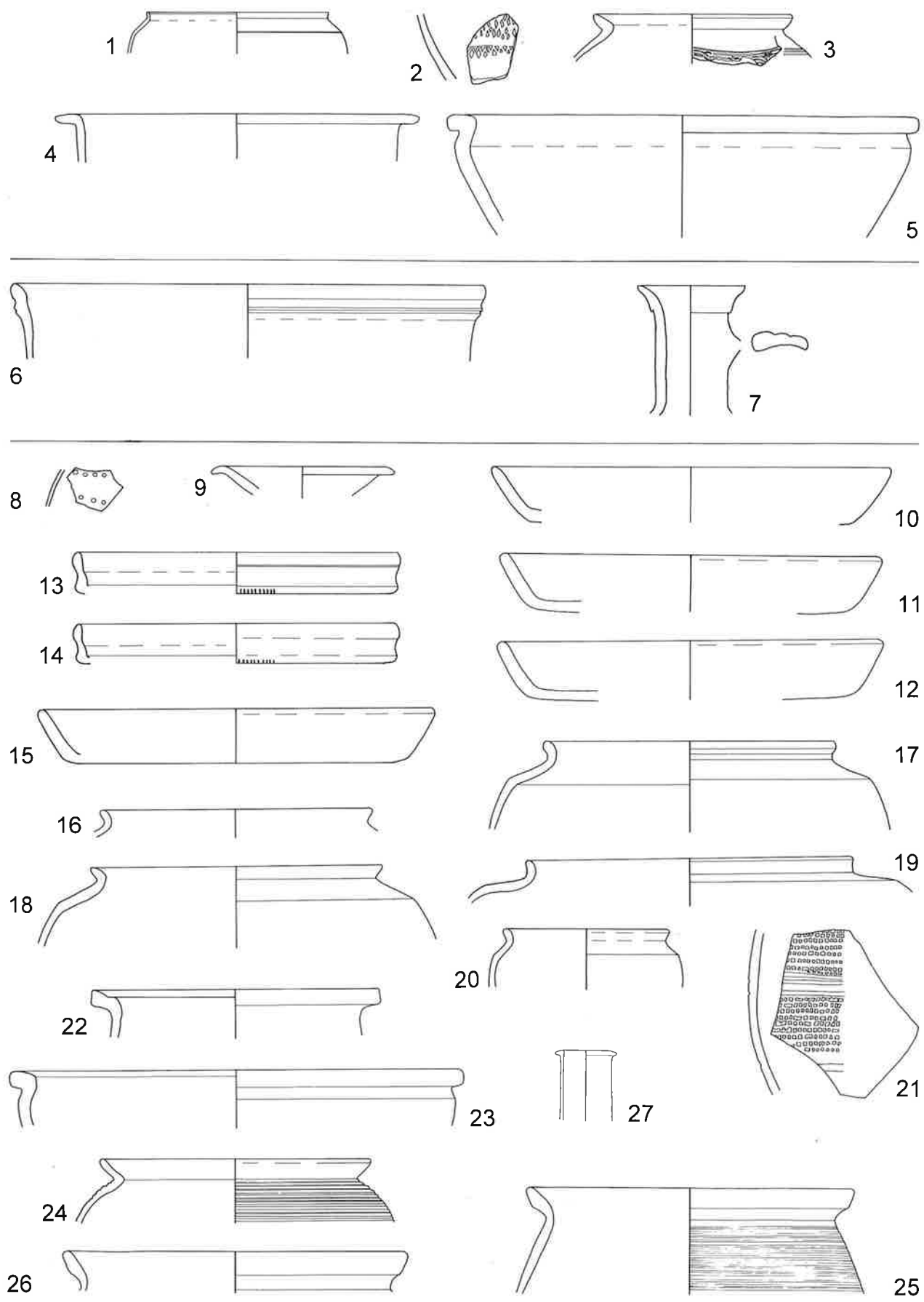


6

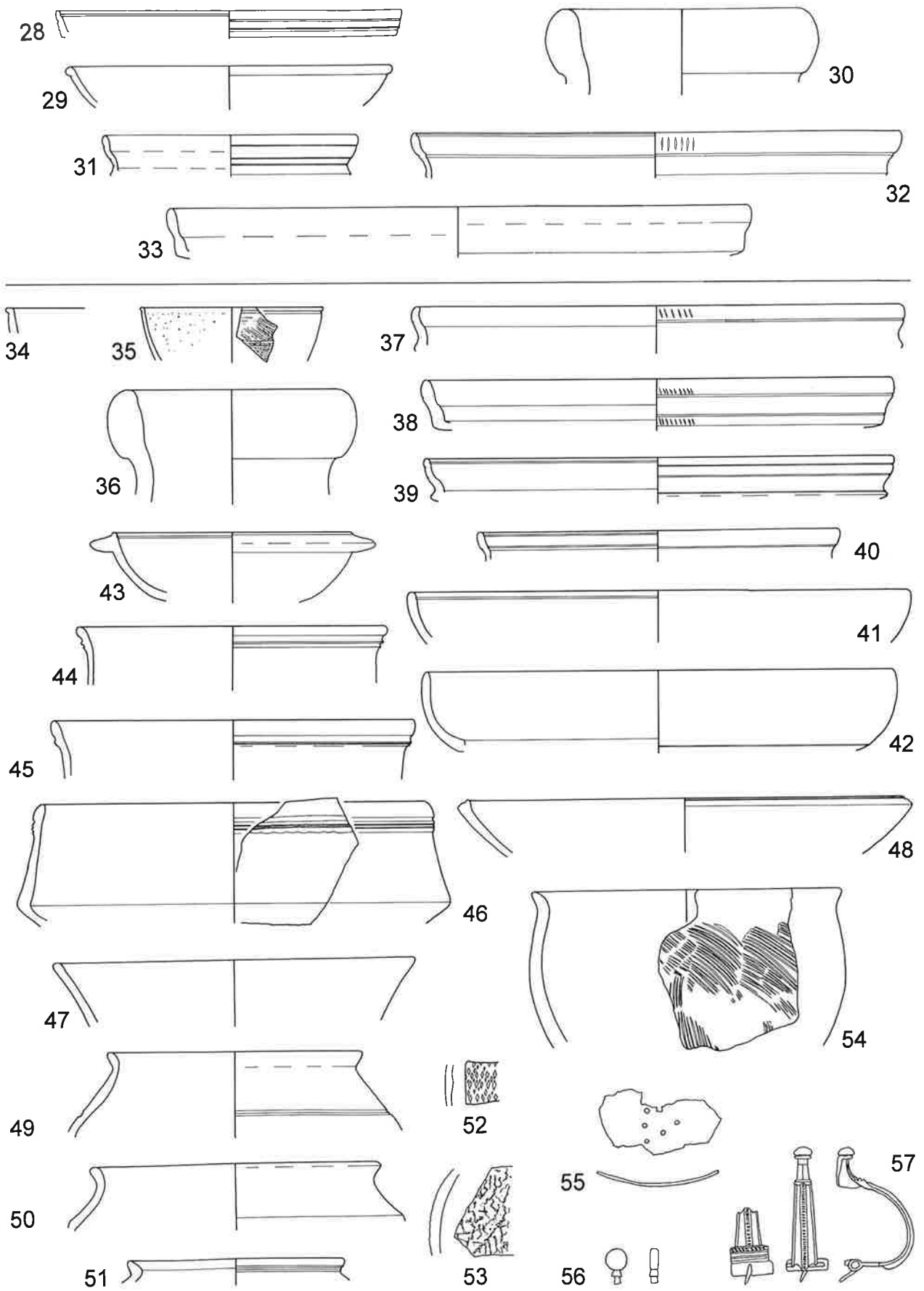
7



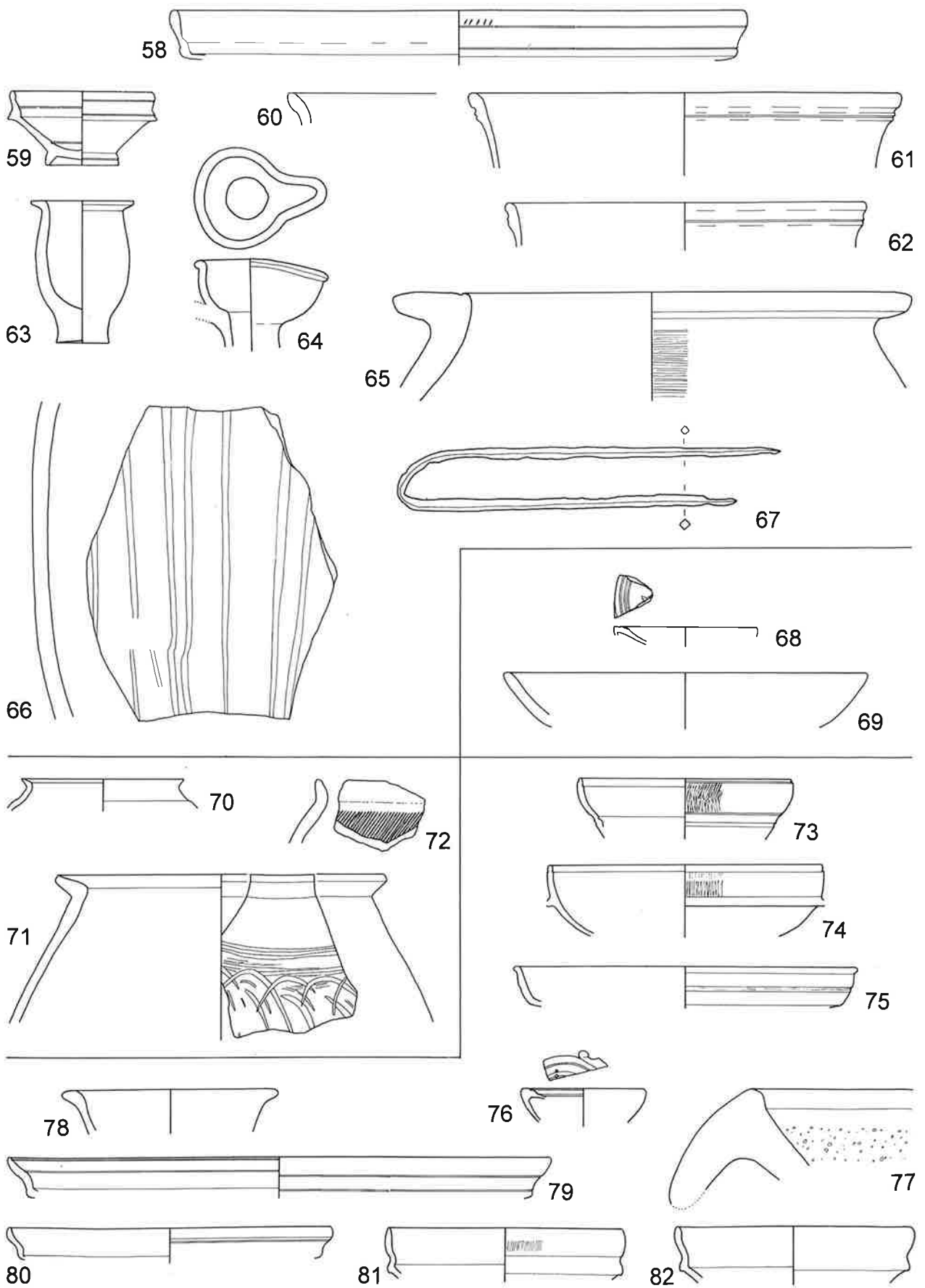
8



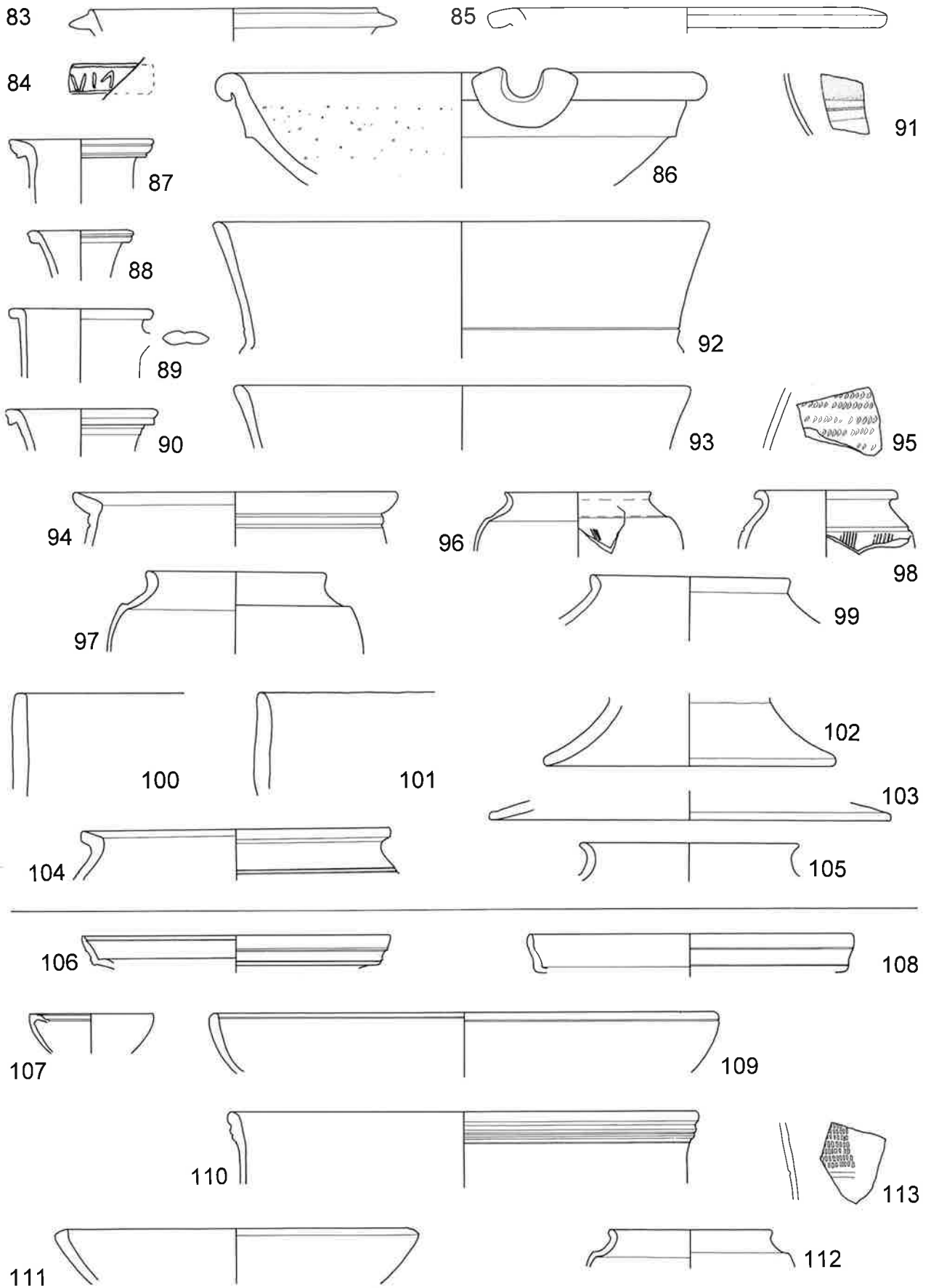
Taf. 7. Baden 1977. Fundensembles vor der ersten römischen Überbauung. M 1:3.



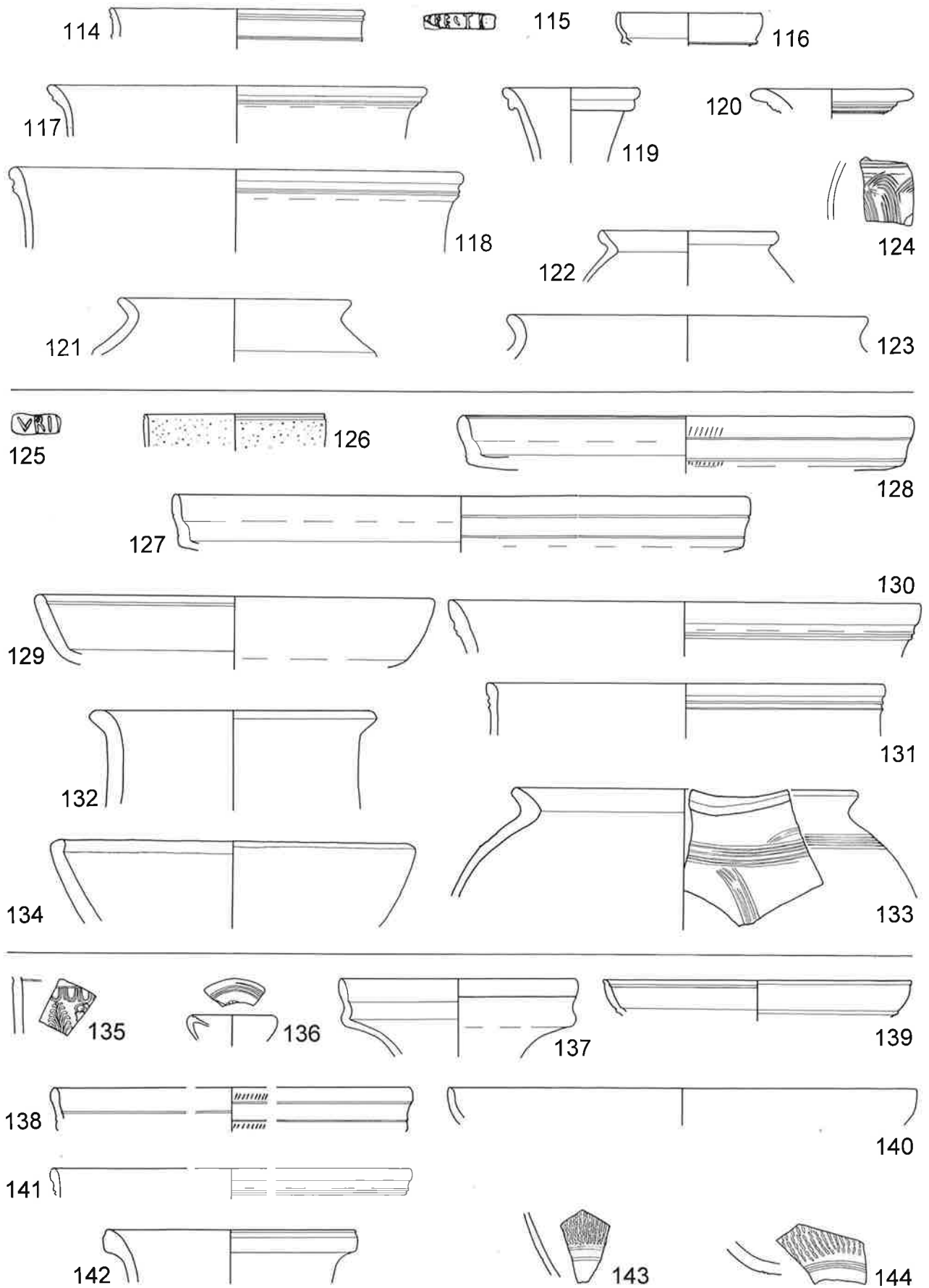
Taf. 8. Baden 1977. Holzbauperiode I.1. M 1:3, Nr. 55-57 M 1:2.



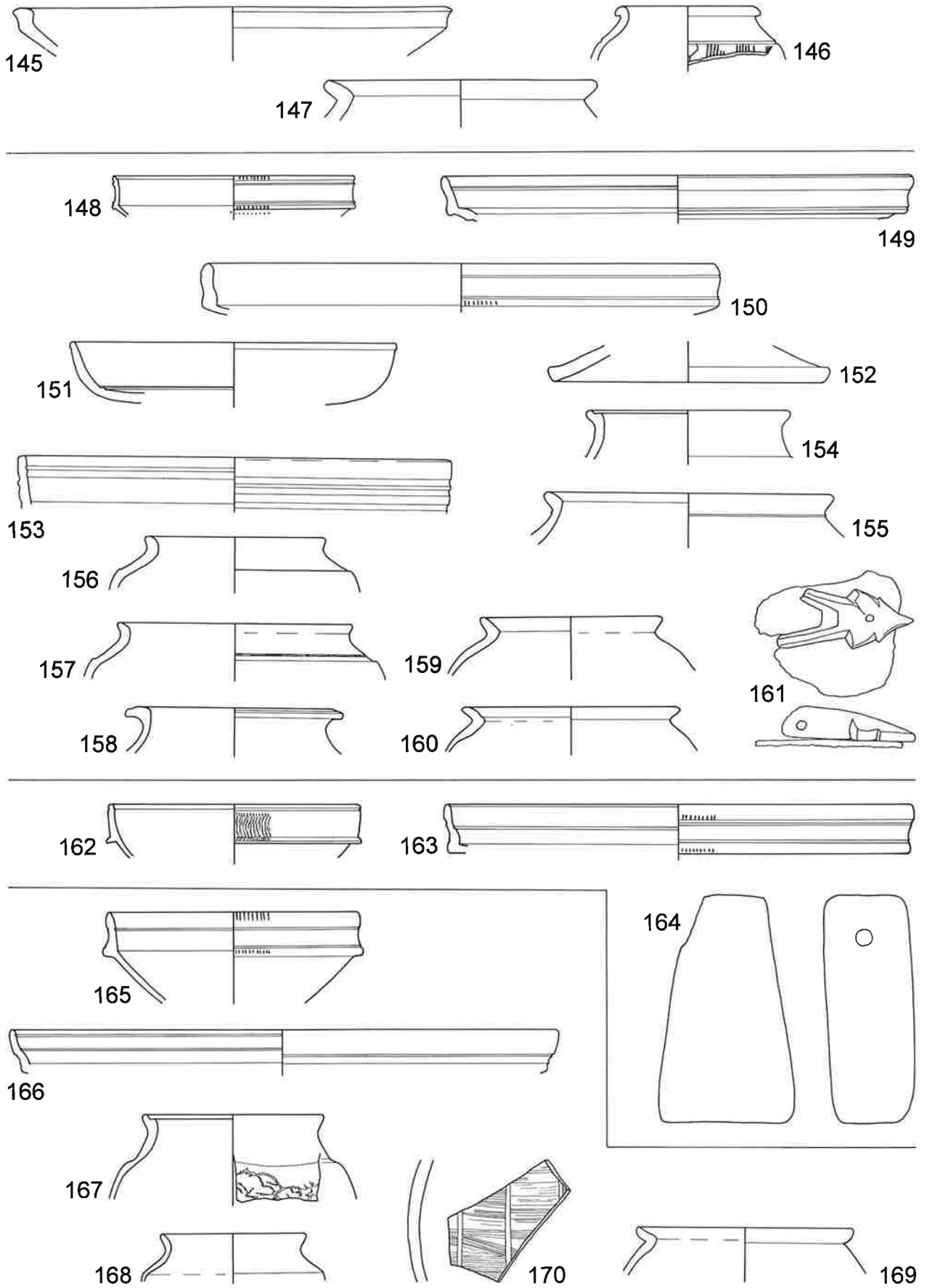
Taf. 9. Baden 1977. Holzbauperiode I.1. M 1:3.

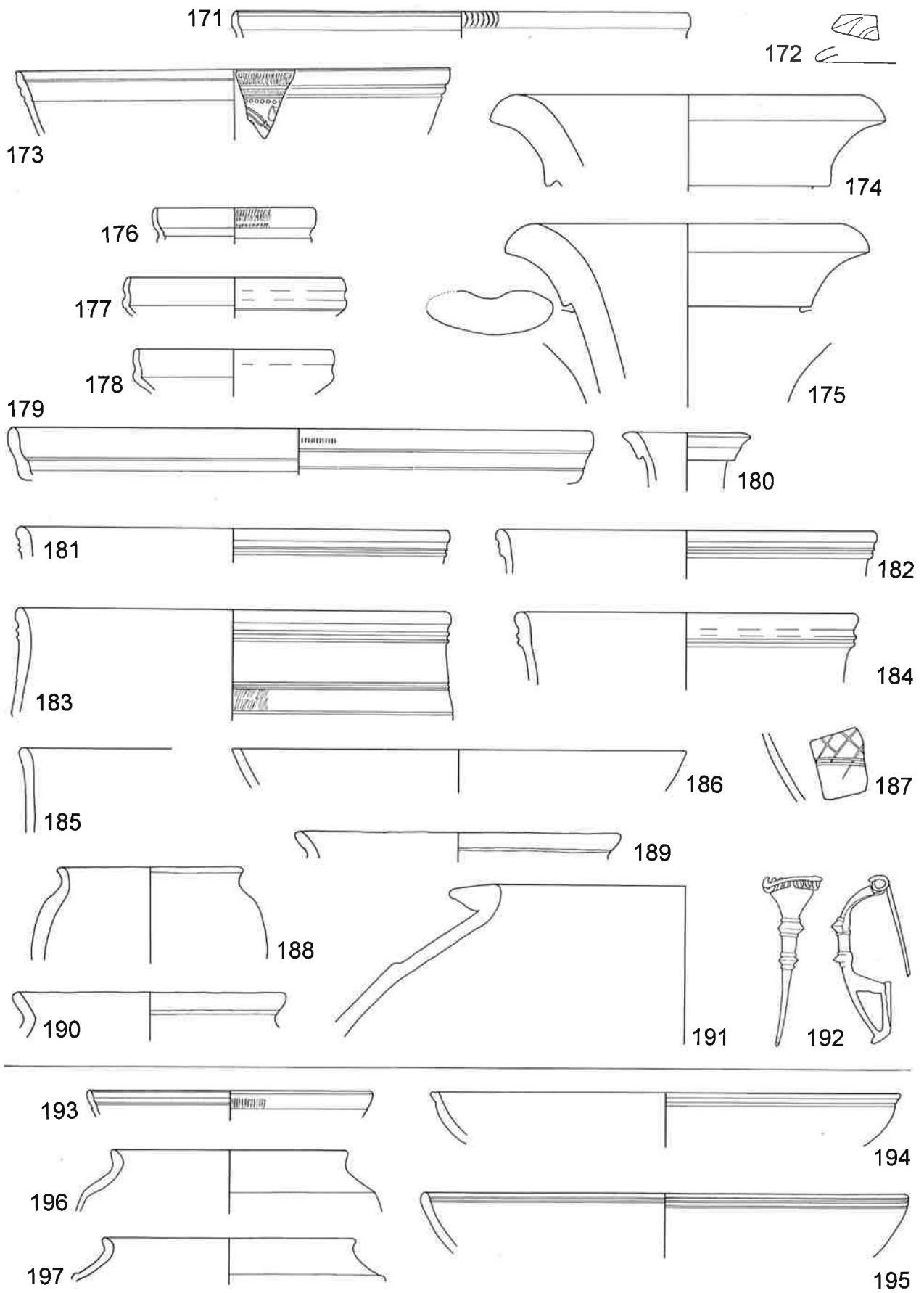


Taf. 10. Baden 1977. Holzbauperiode I.2. M 1:3, Nr. 84 M 1:1.

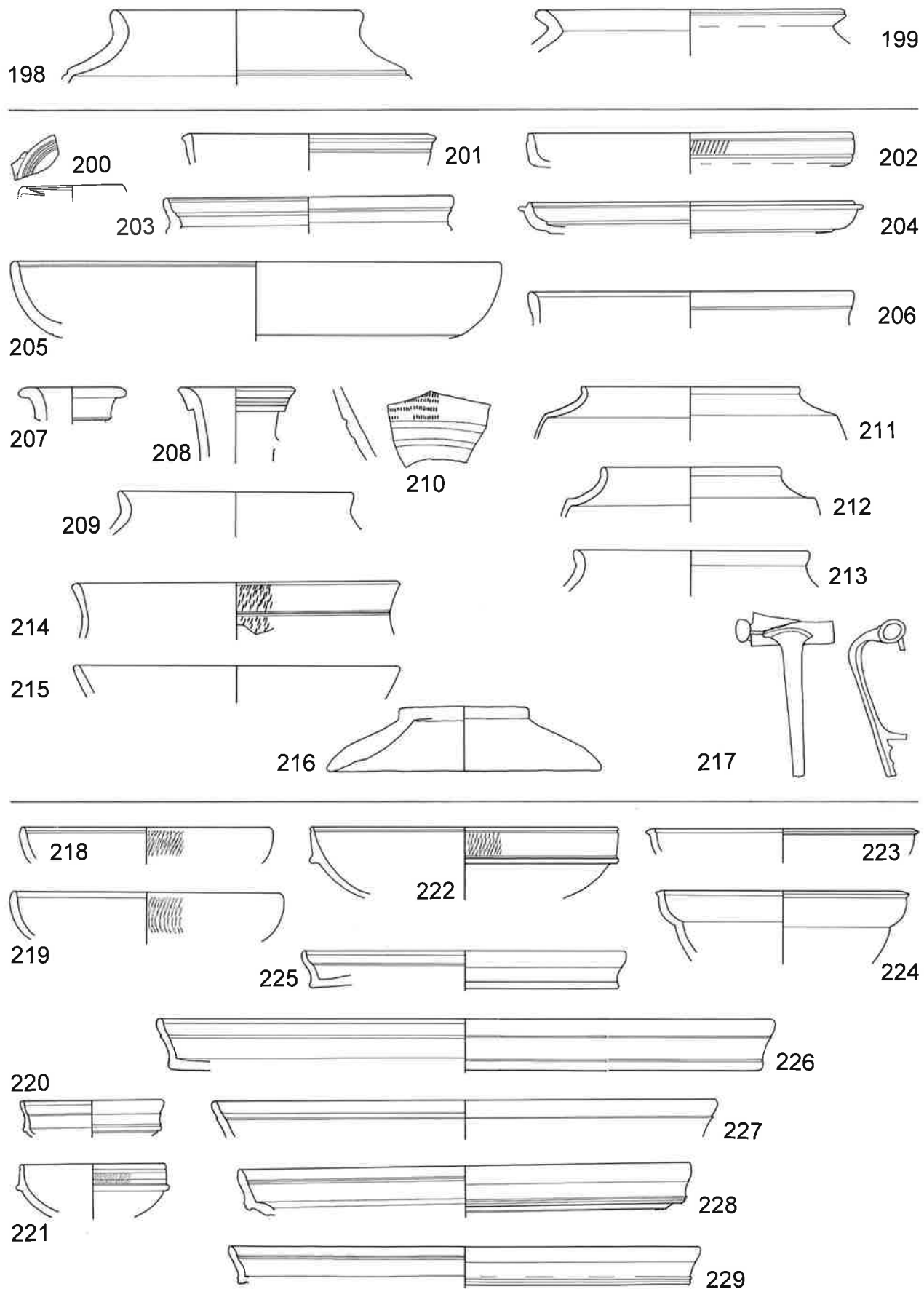


Taf. 11. Baden 1977. Holzbauperiode I.2. M 1:3, Nr. 115.125 M 1:1.

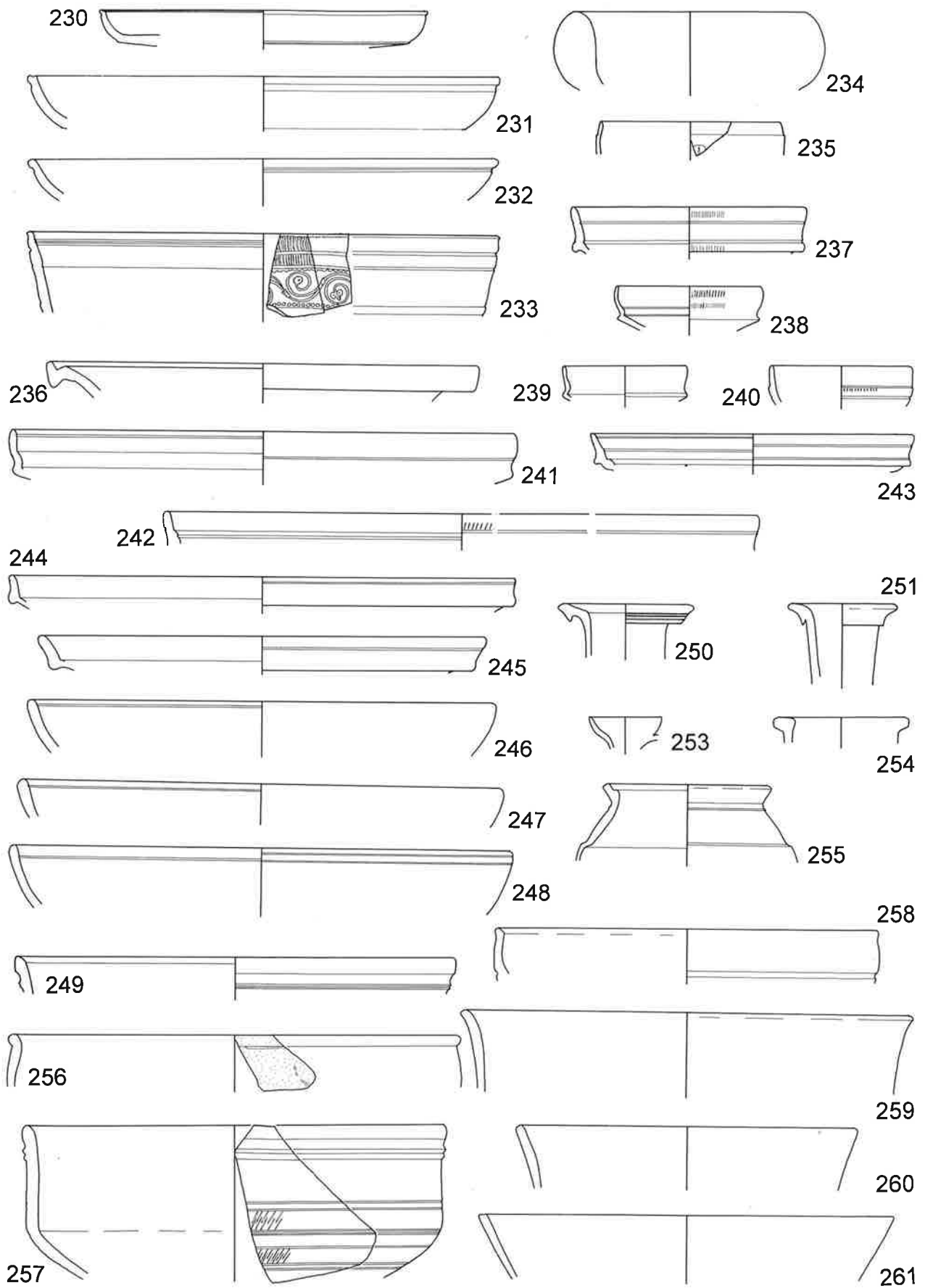




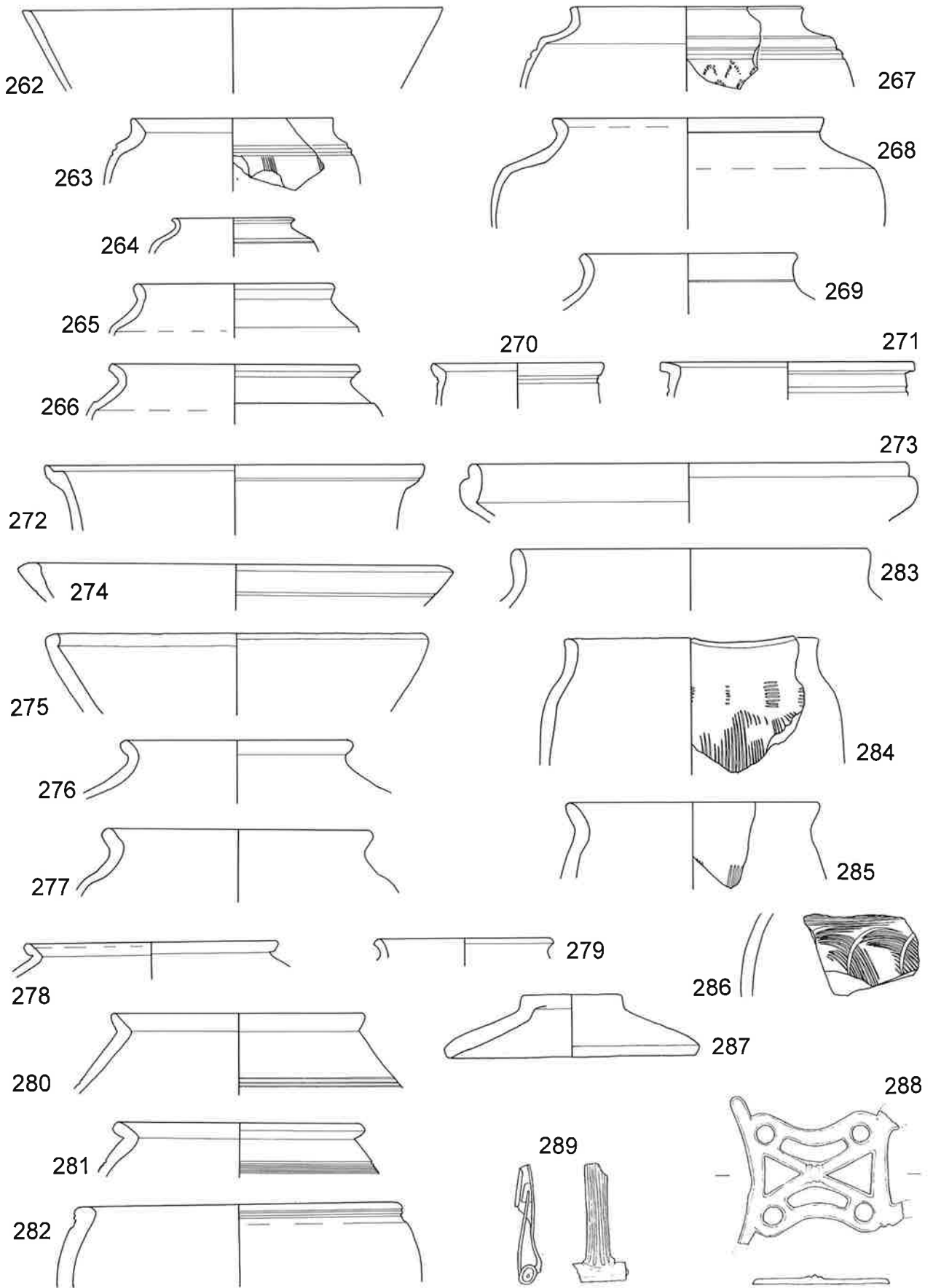
Taf. 13. Baden 1977. Holzbauperiode I.2. M 1:3, Nr. 192 M 1:2.



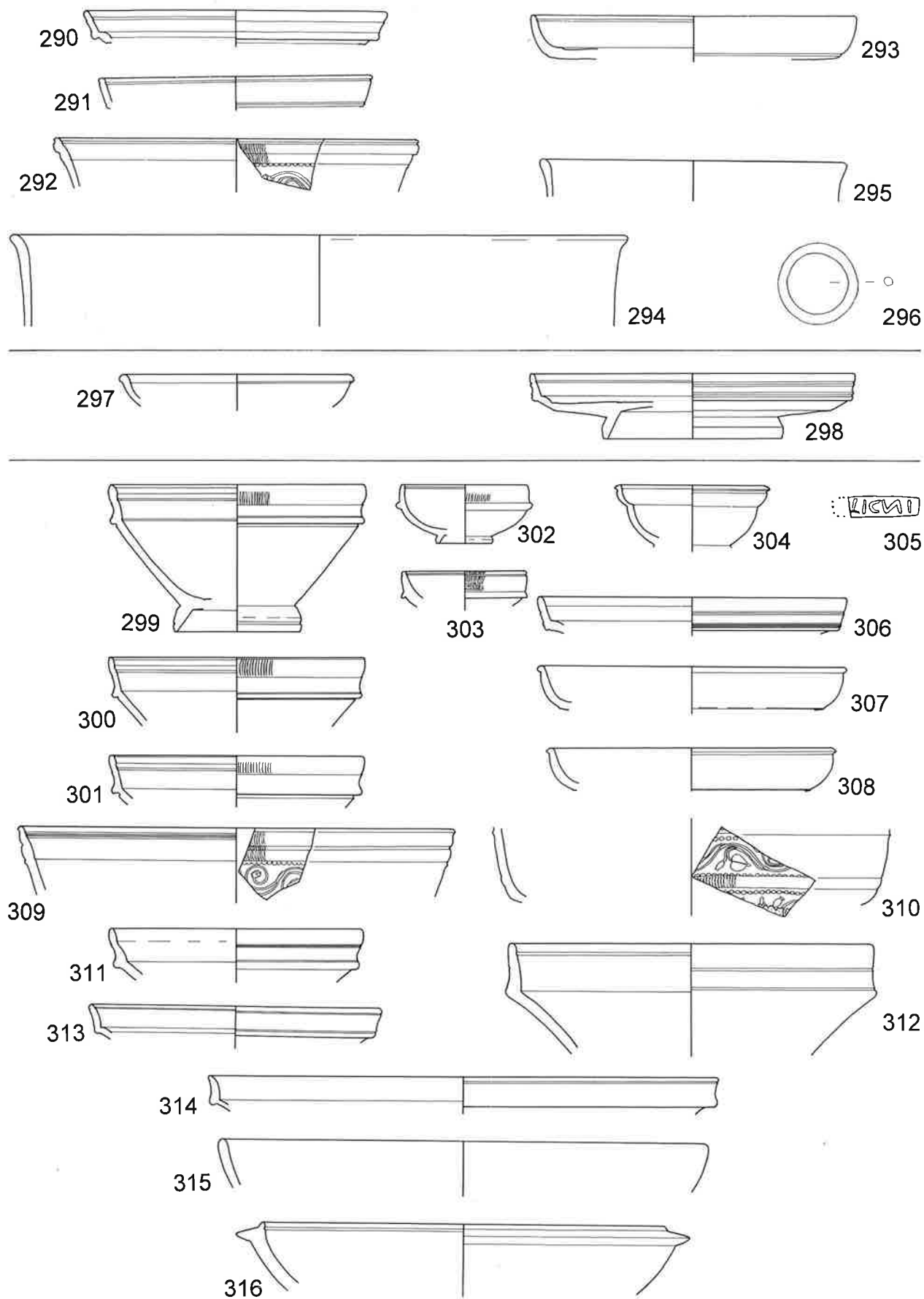
Taf. 14. Baden 1977. Holzbauperiode I.2. M 1:3, Nr. 217 M 1:2.



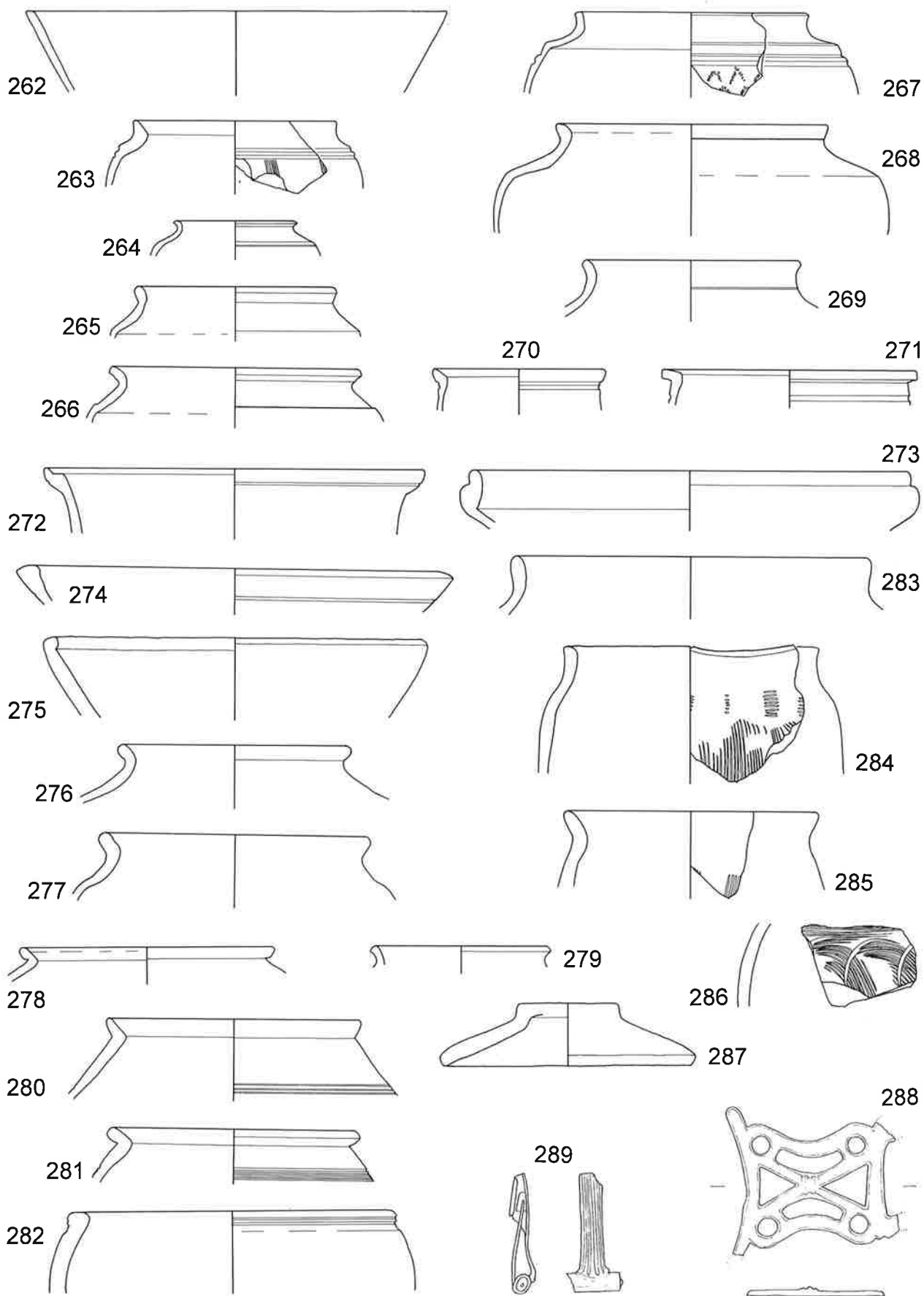
Taf. 15. Baden 1977. Holzbauperiode I.3. M 1:3.



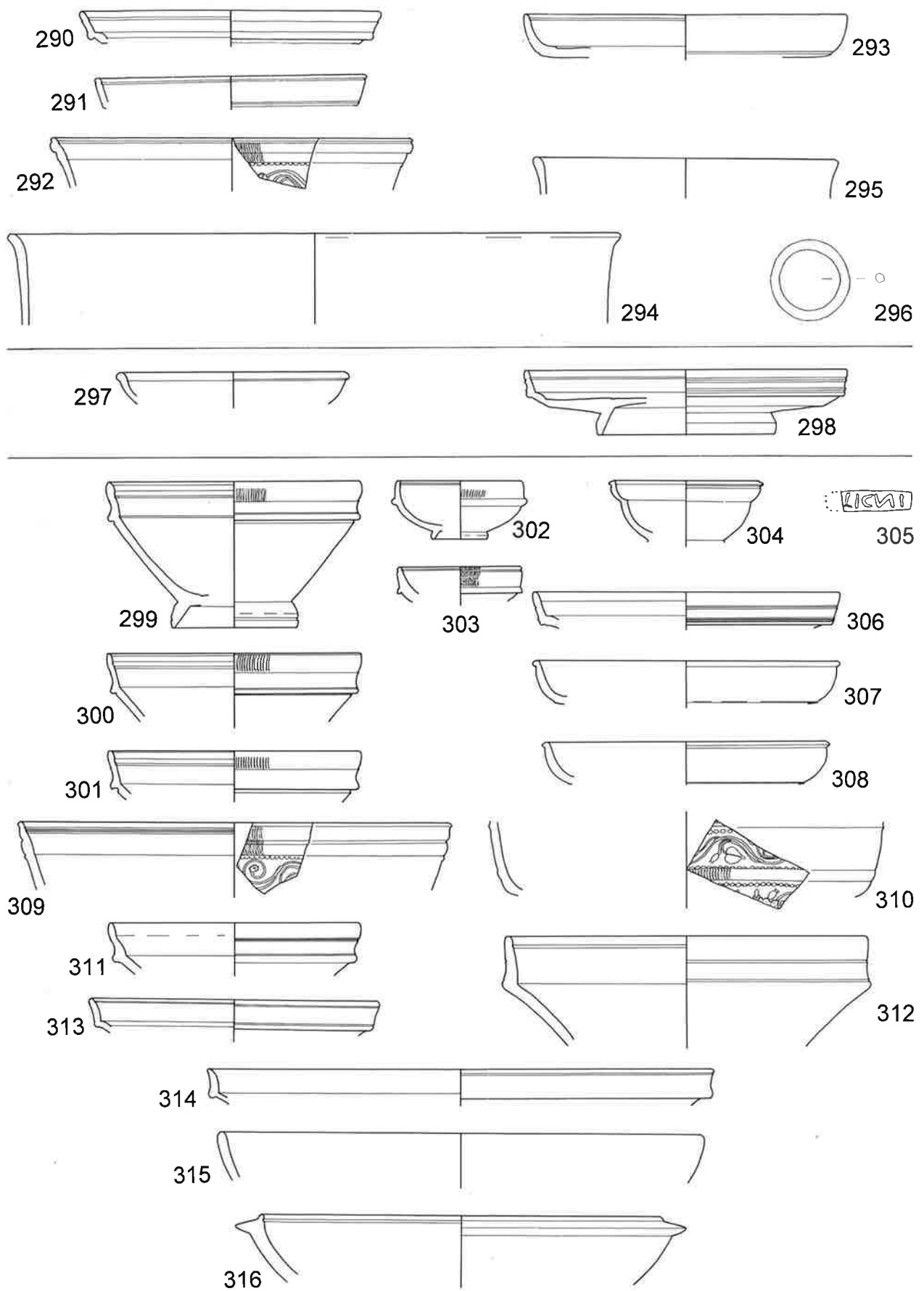
Taf. 16. Baden 1977. Holzbauperiode I.3. M 1:3, Nr. 288.289 M 1:2.



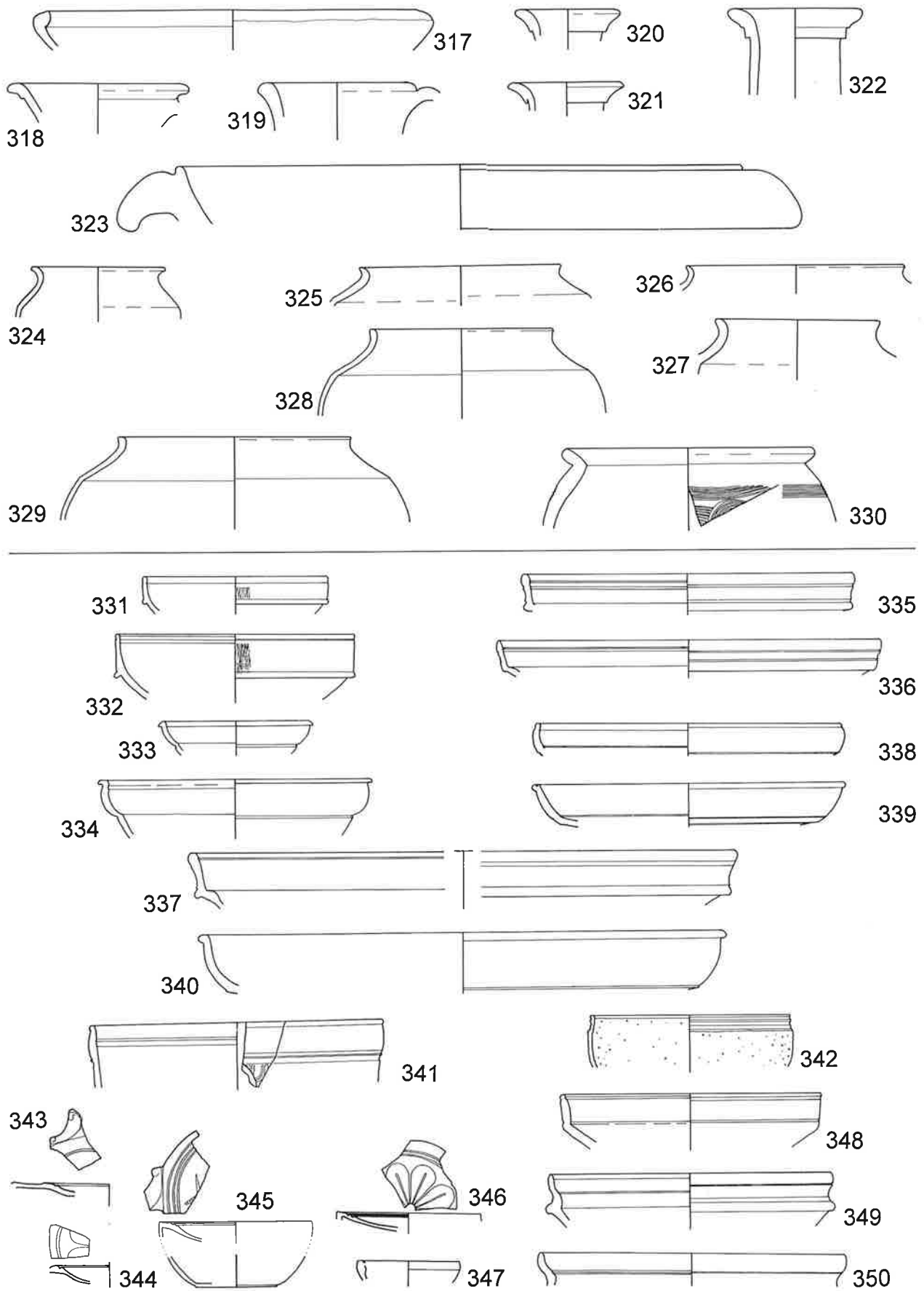
Taf. 17. Baden 1977. Holzbauperiode I.3. M 1:3, Nr. 296 M 1:2, Nr. 305 M 1:1.



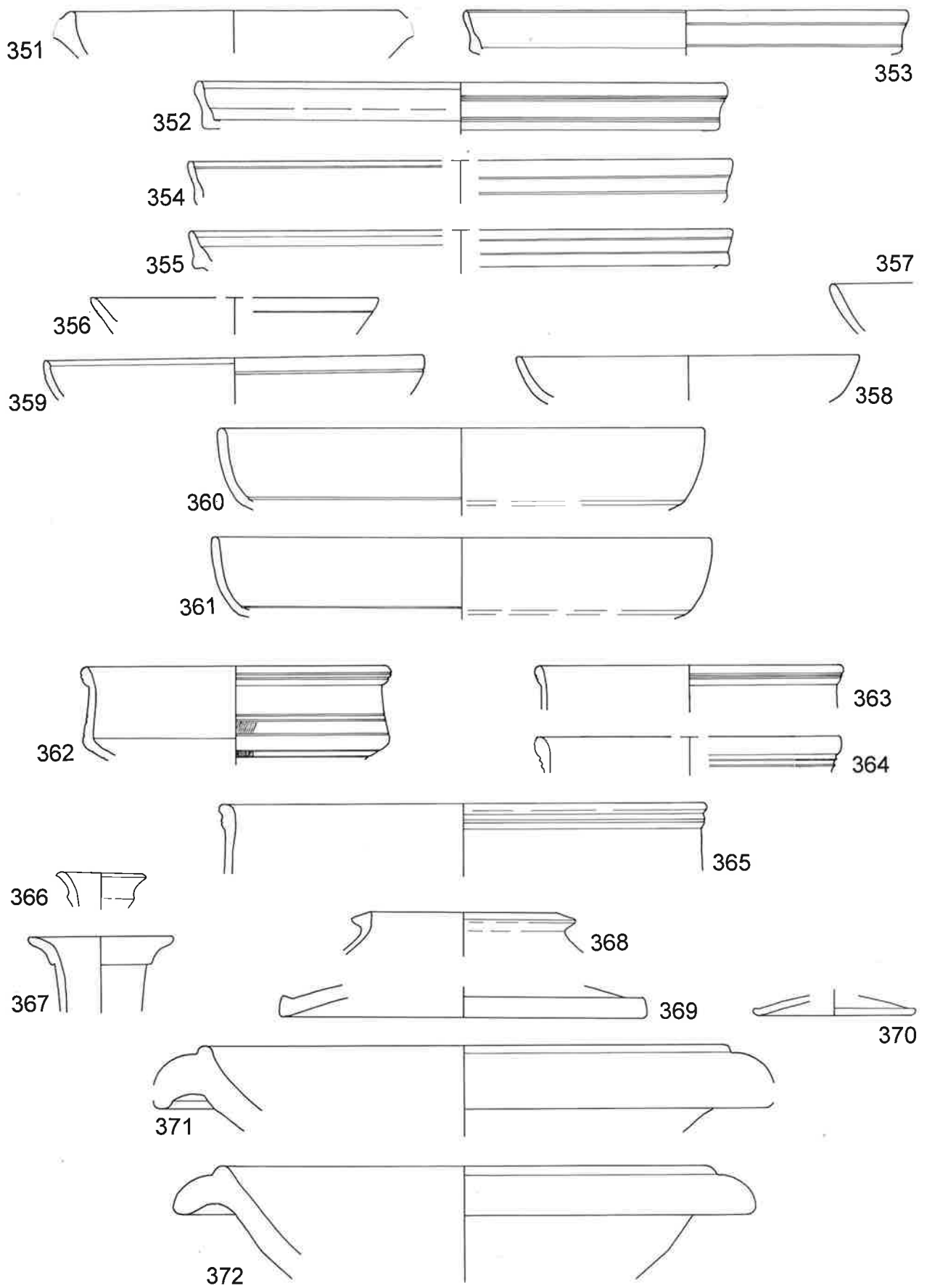
Taf. 16. Baden 1977. Holzbauperiode I.3. M 1:3, Nr. 288.289 M 1:2.



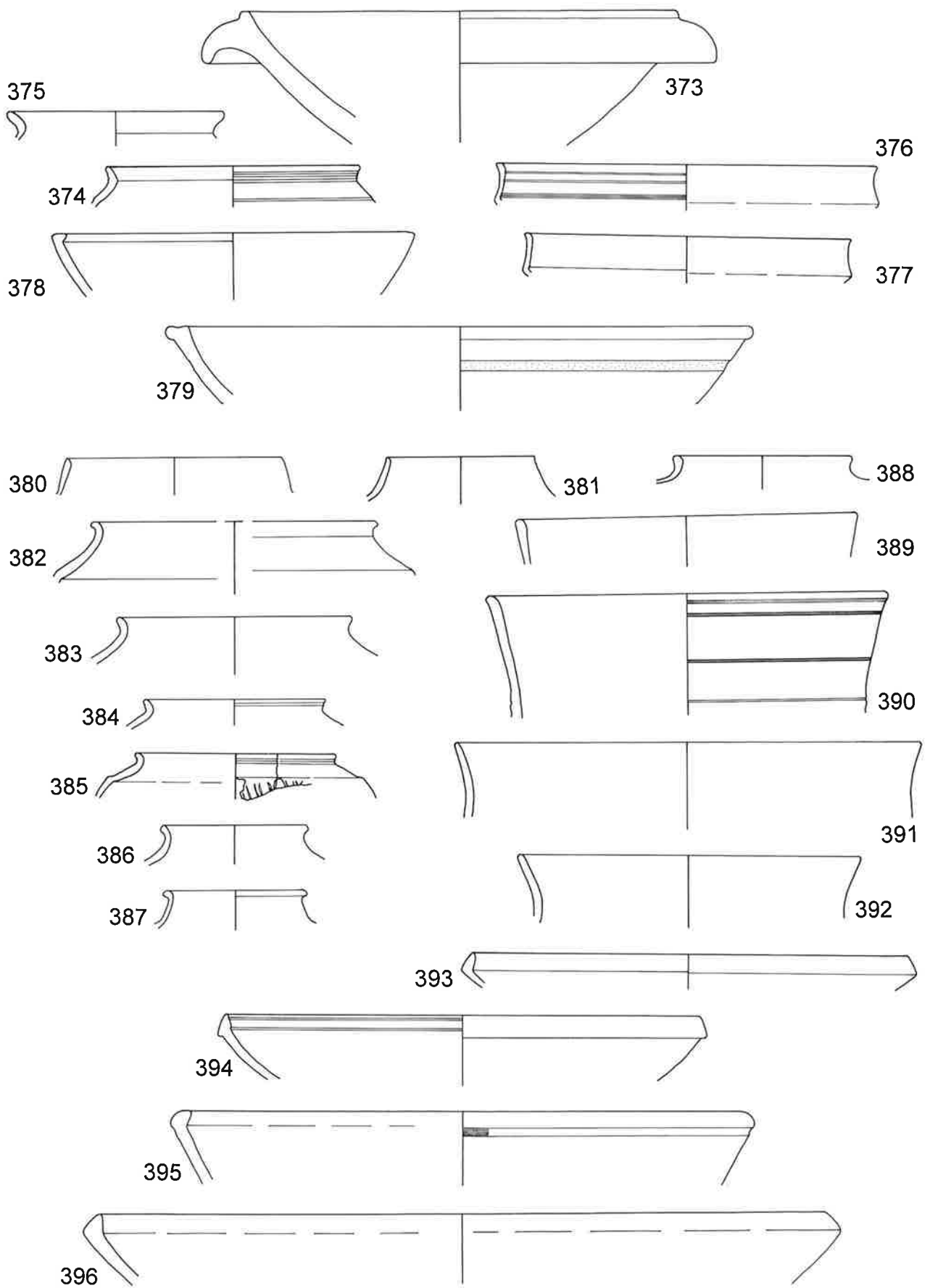
Taf. 17. Baden 1977. Holzbauperiode I.3. M 1:3, Nr. 296 M 1:2, Nr. 305 M 1:1.



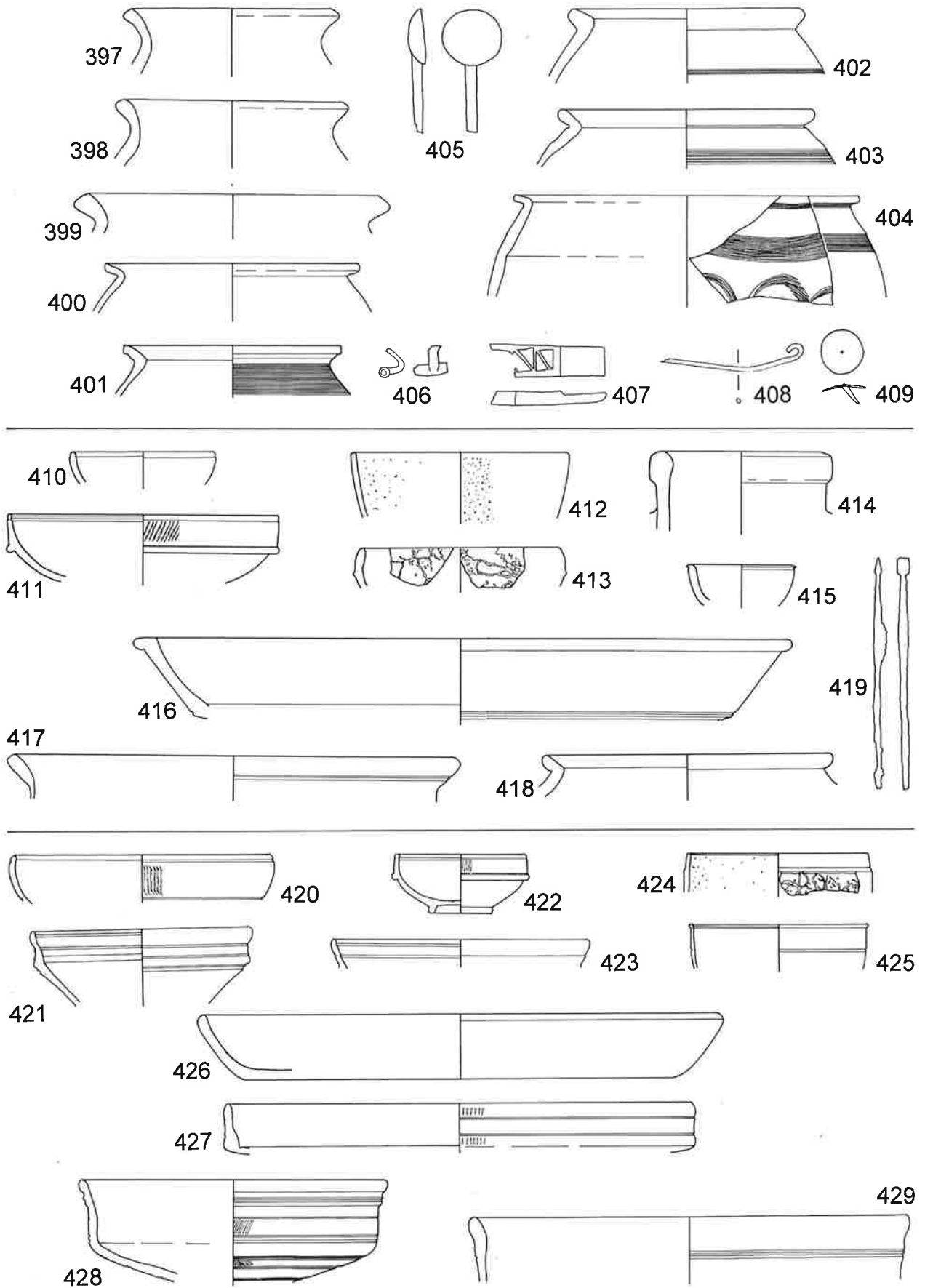
Taf. 18. Baden 1977. Holzbauperiode II. M 1:3.



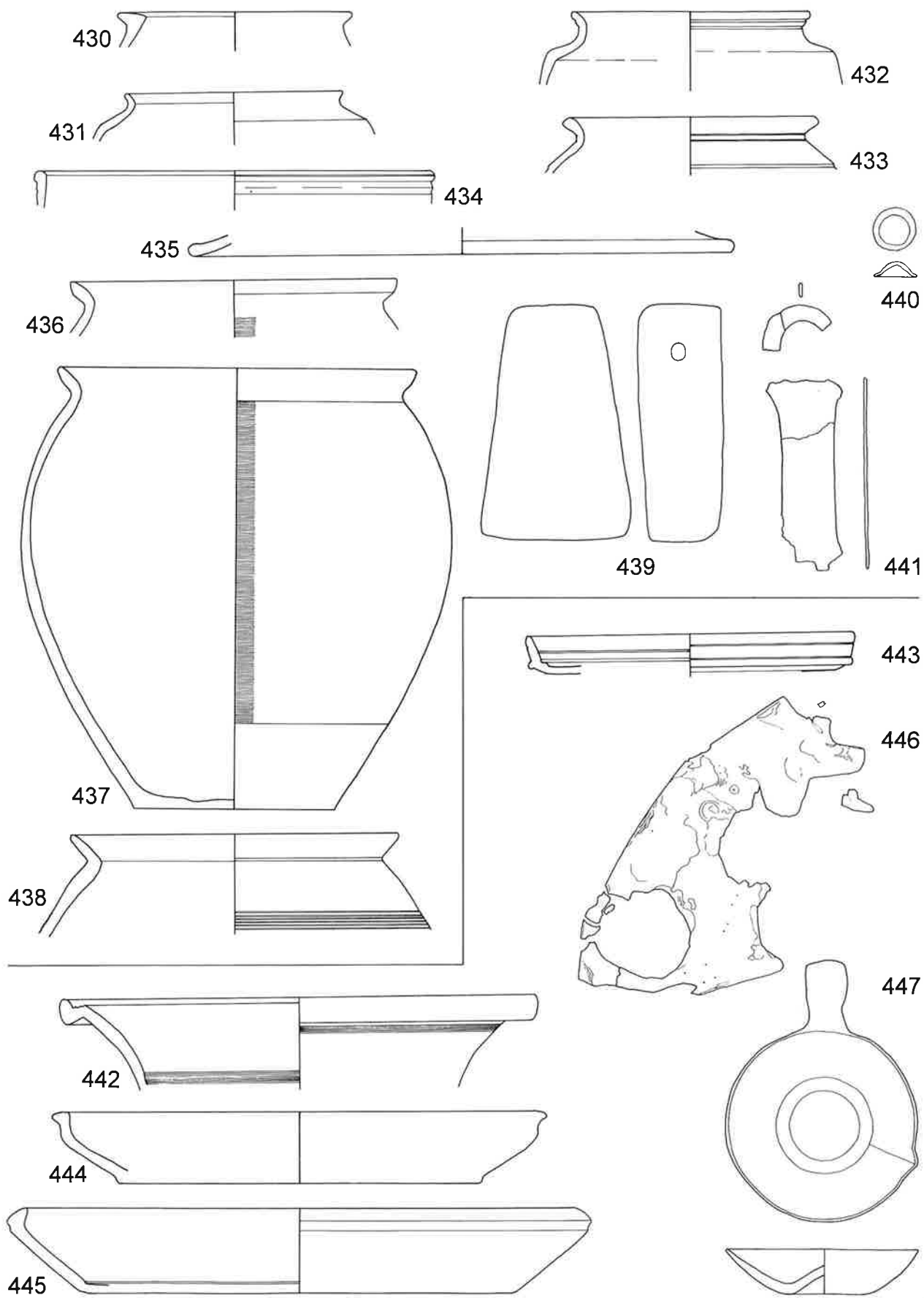
Taf. 19. Baden 1977. Holzbauperiode II. M 1:3.



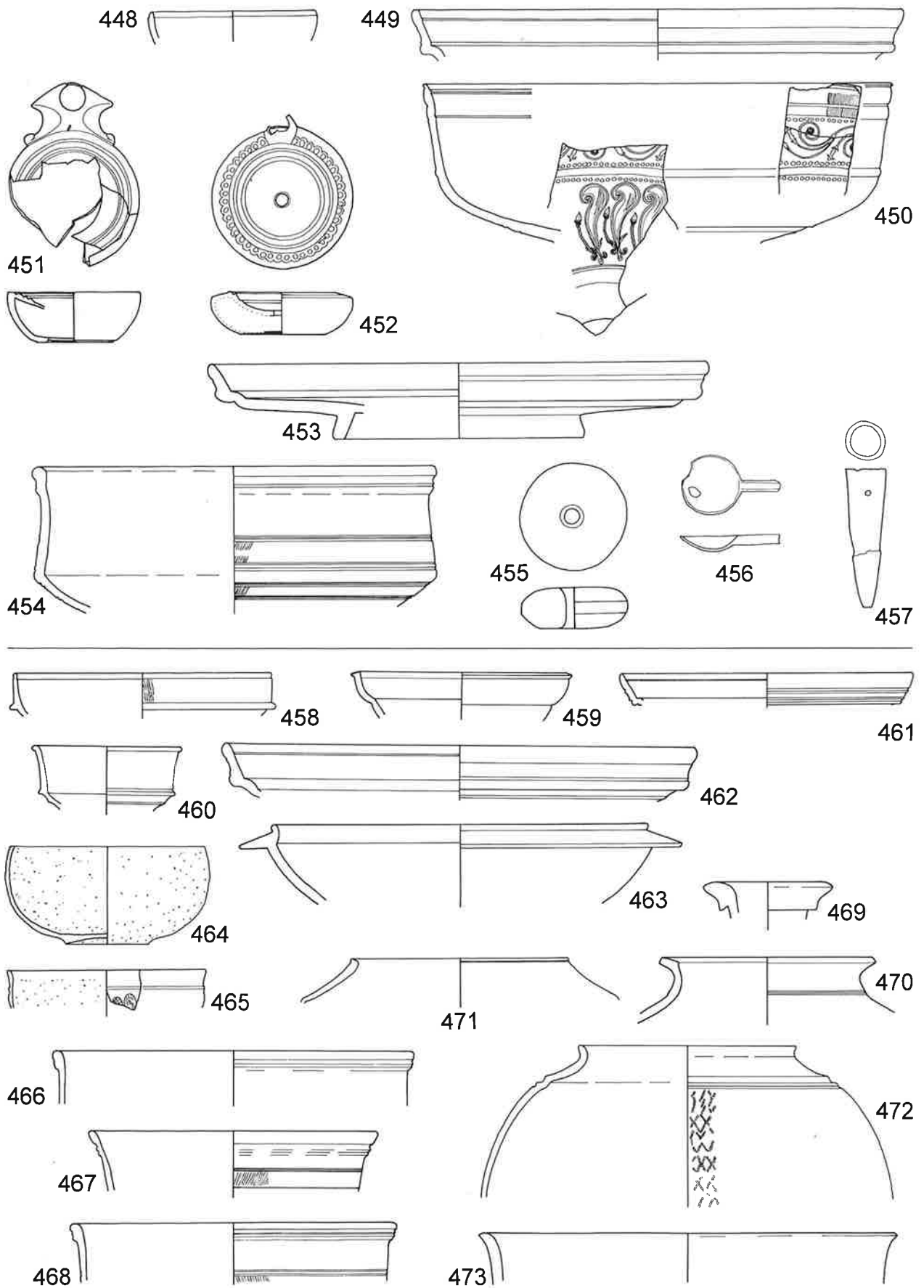
Taf. 20. Baden 1977. Holzbauperiode II. M 1:3.



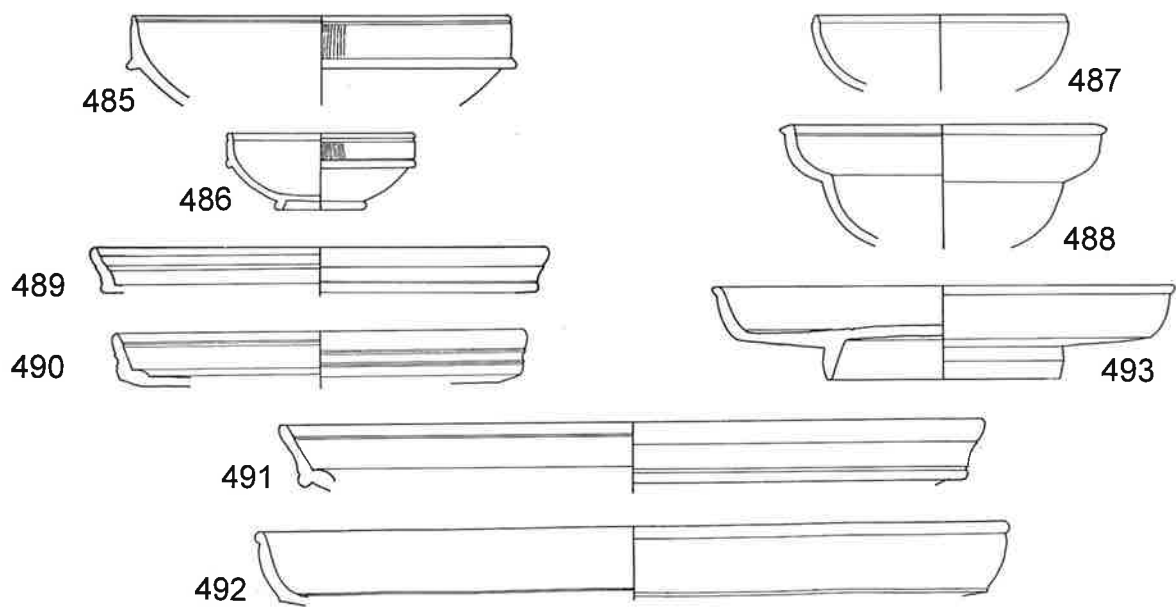
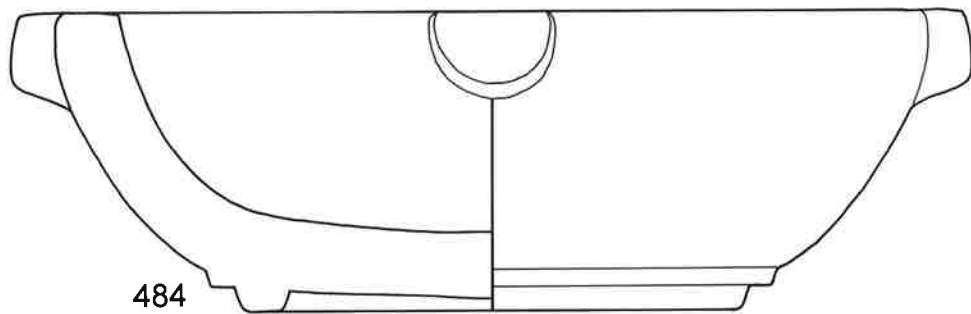
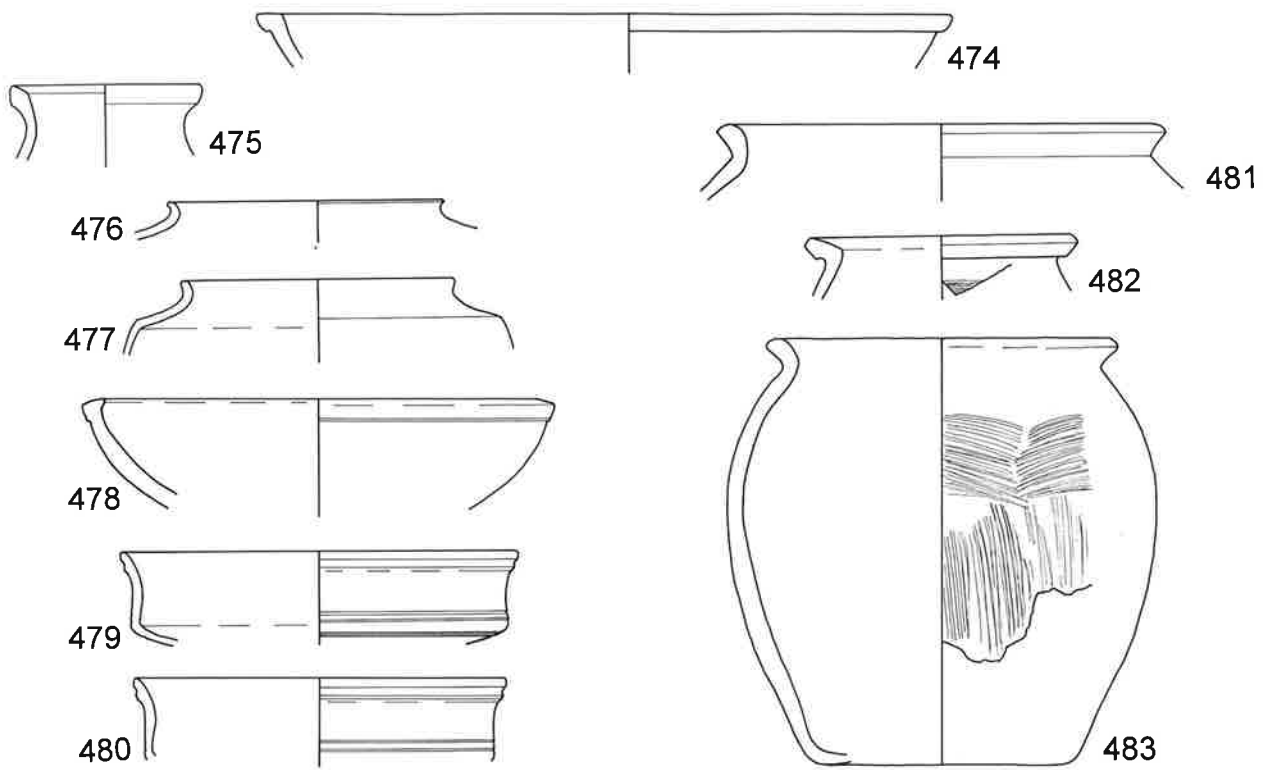
Taf. 21. Baden 1977. Holzbauperiode II. M 1:3, Nr. 405–409 M 1:2.

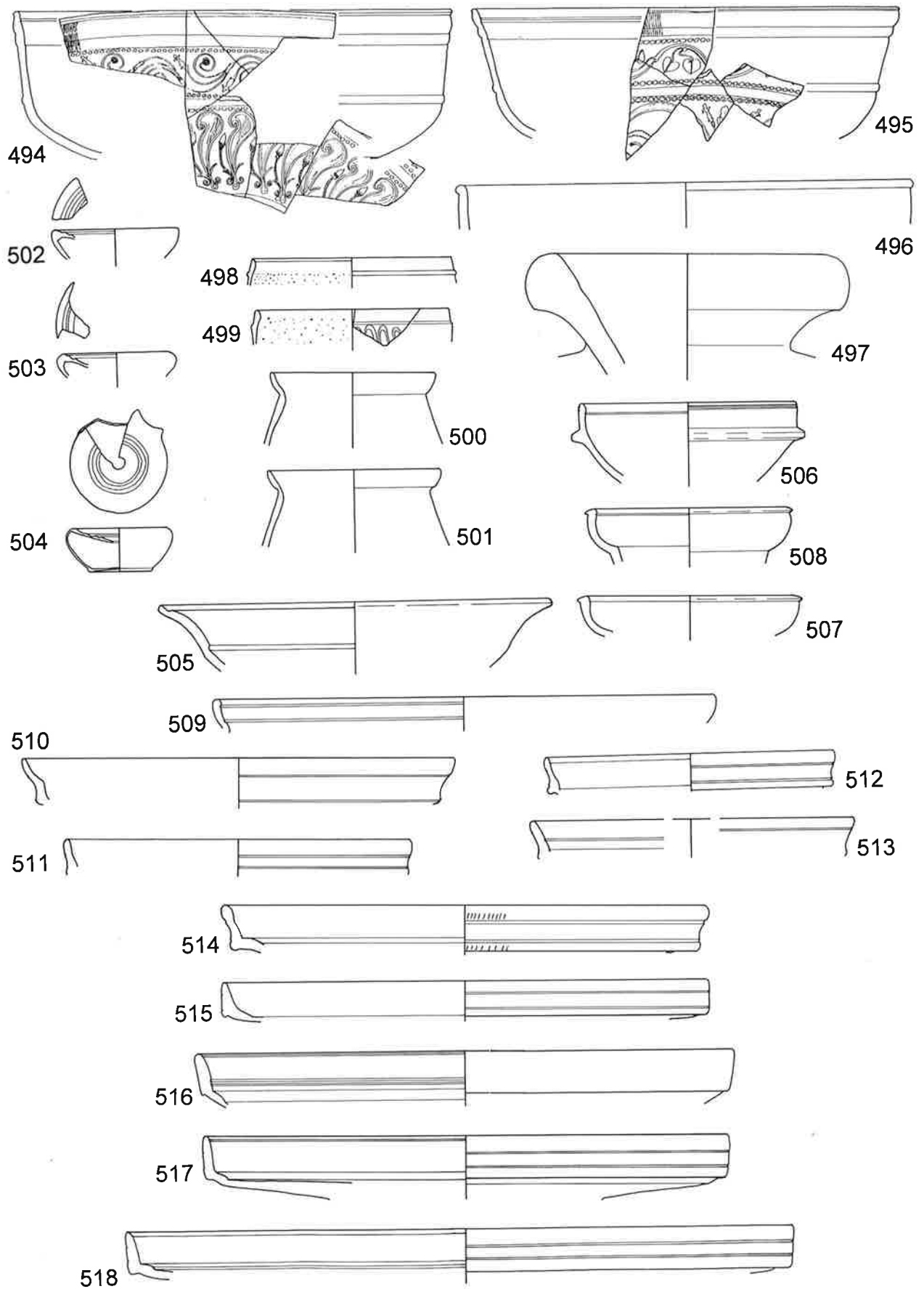


Taf. 22. Baden 1977. Holzbauperiode II. M 1:3, Nr. 440.441 M 1:2.

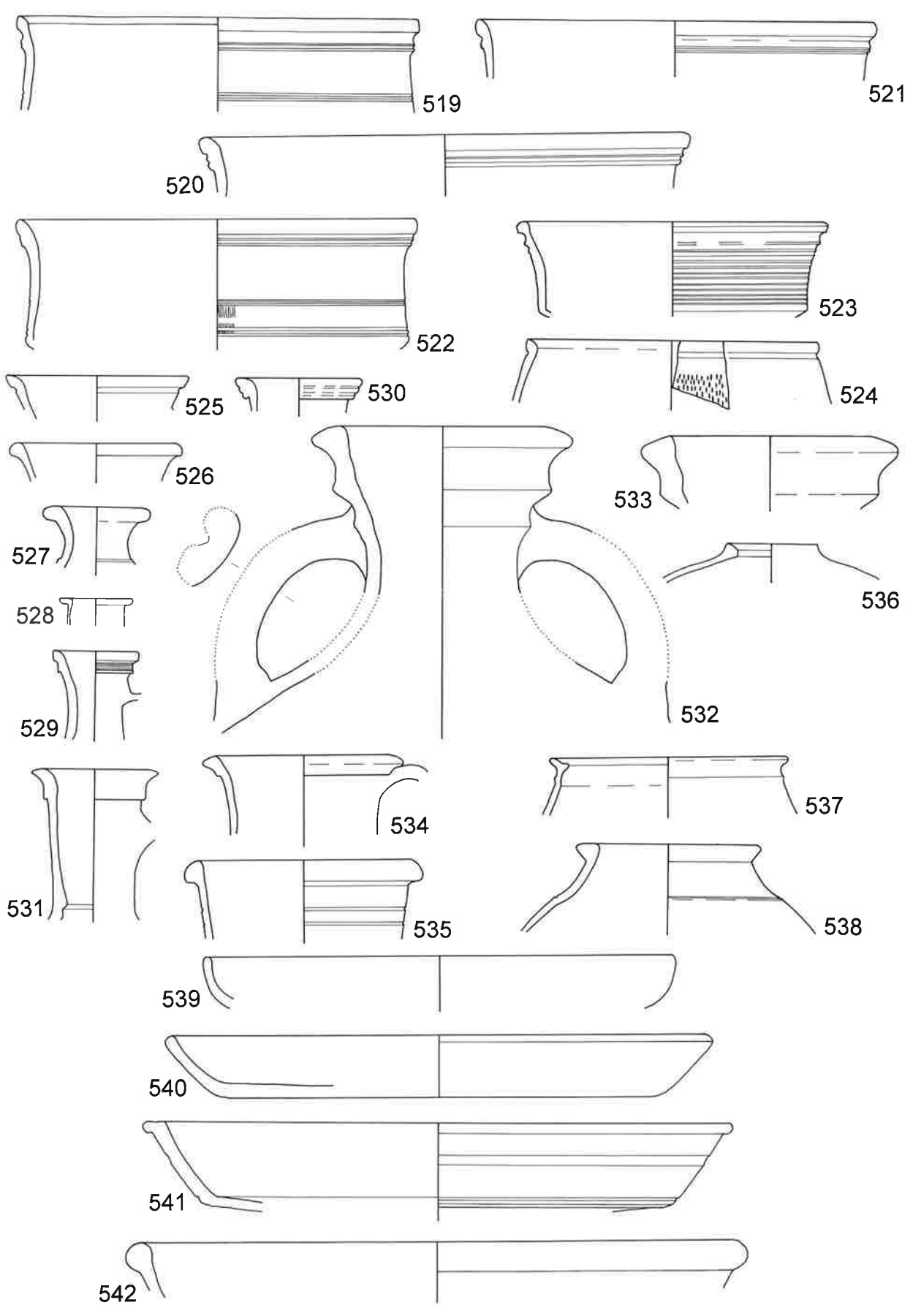


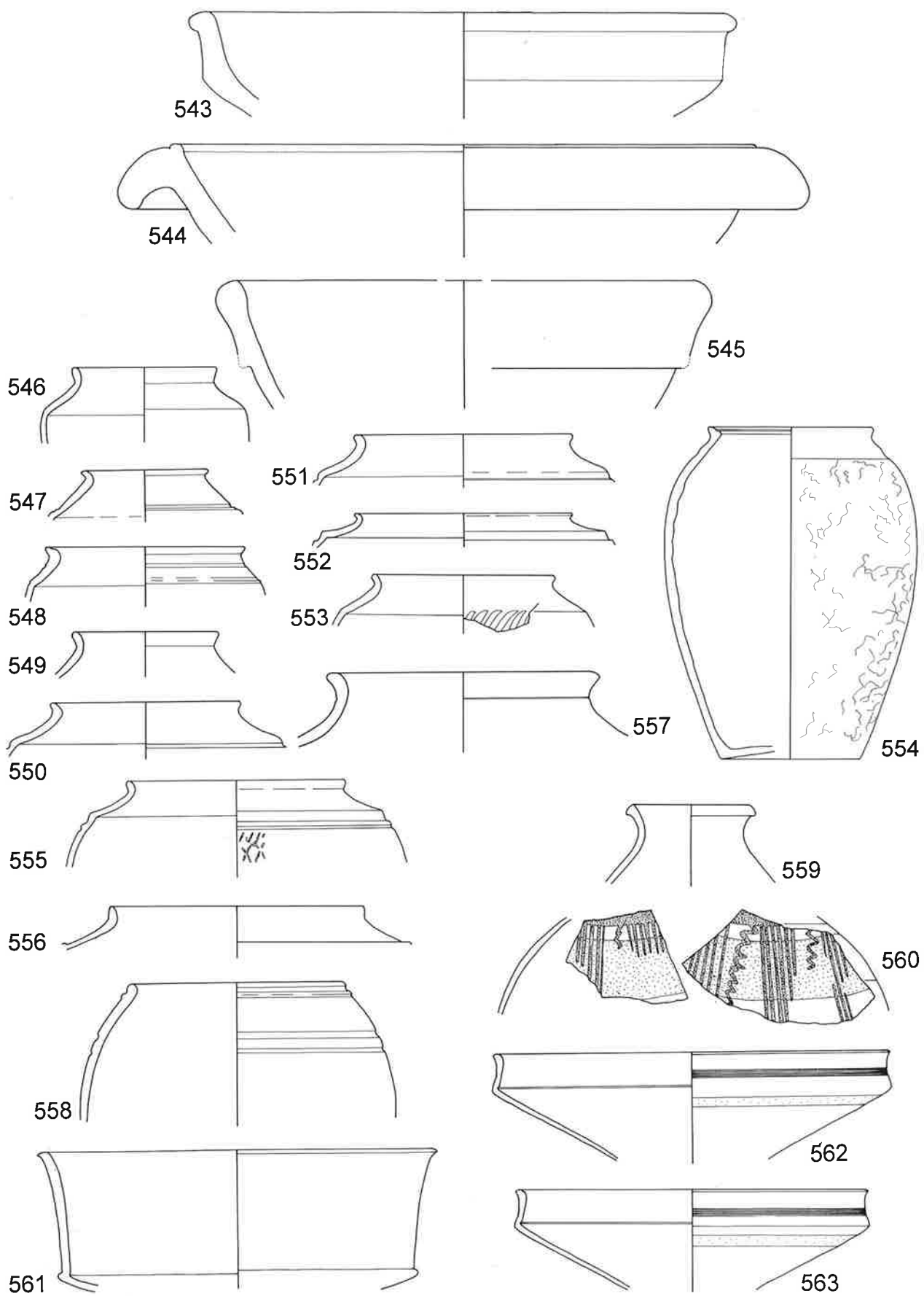
Taf. 23. Baden 1977. Holzbauperiode II. M 1:3, Nr. 456 M 1:2.

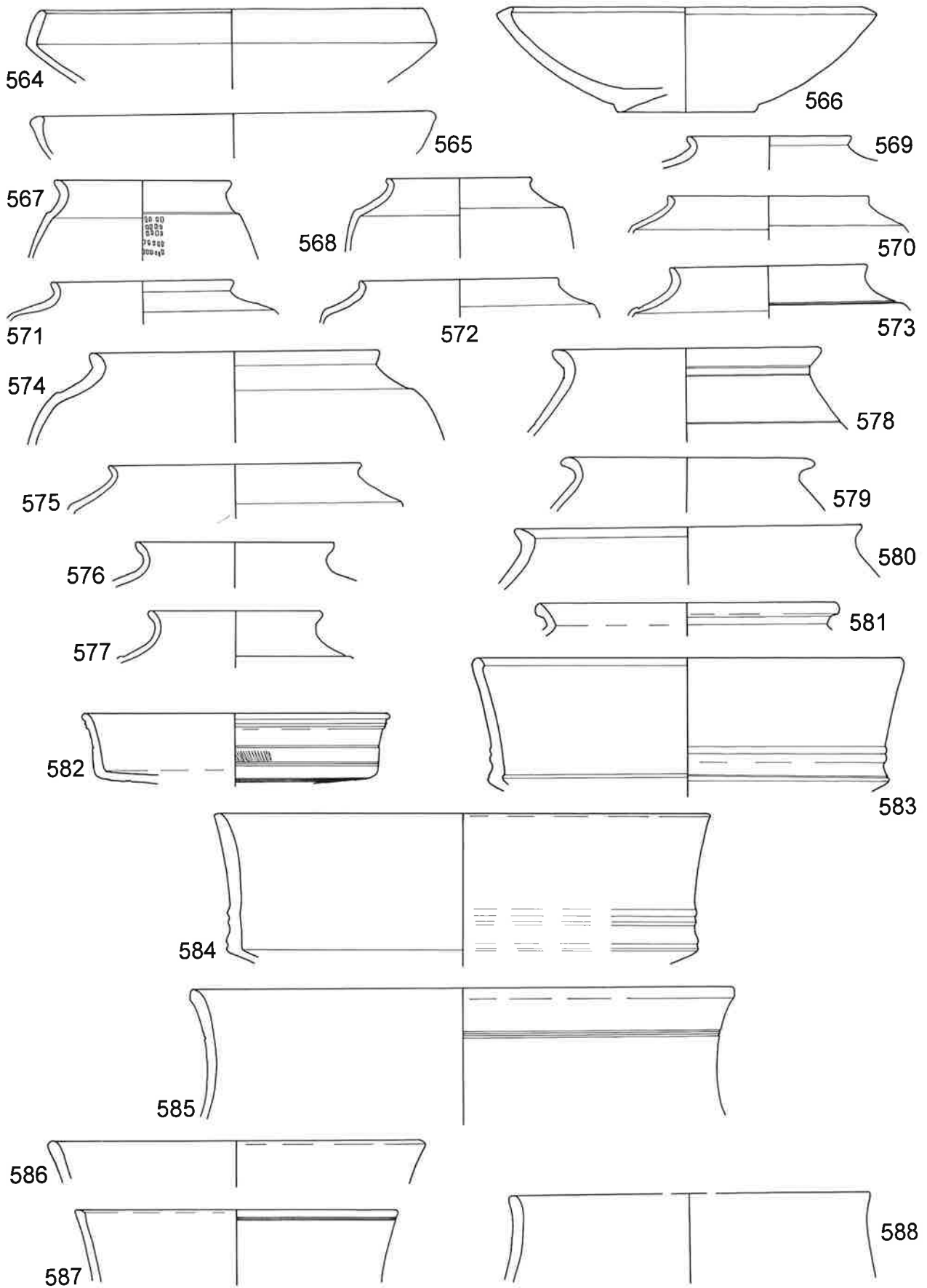




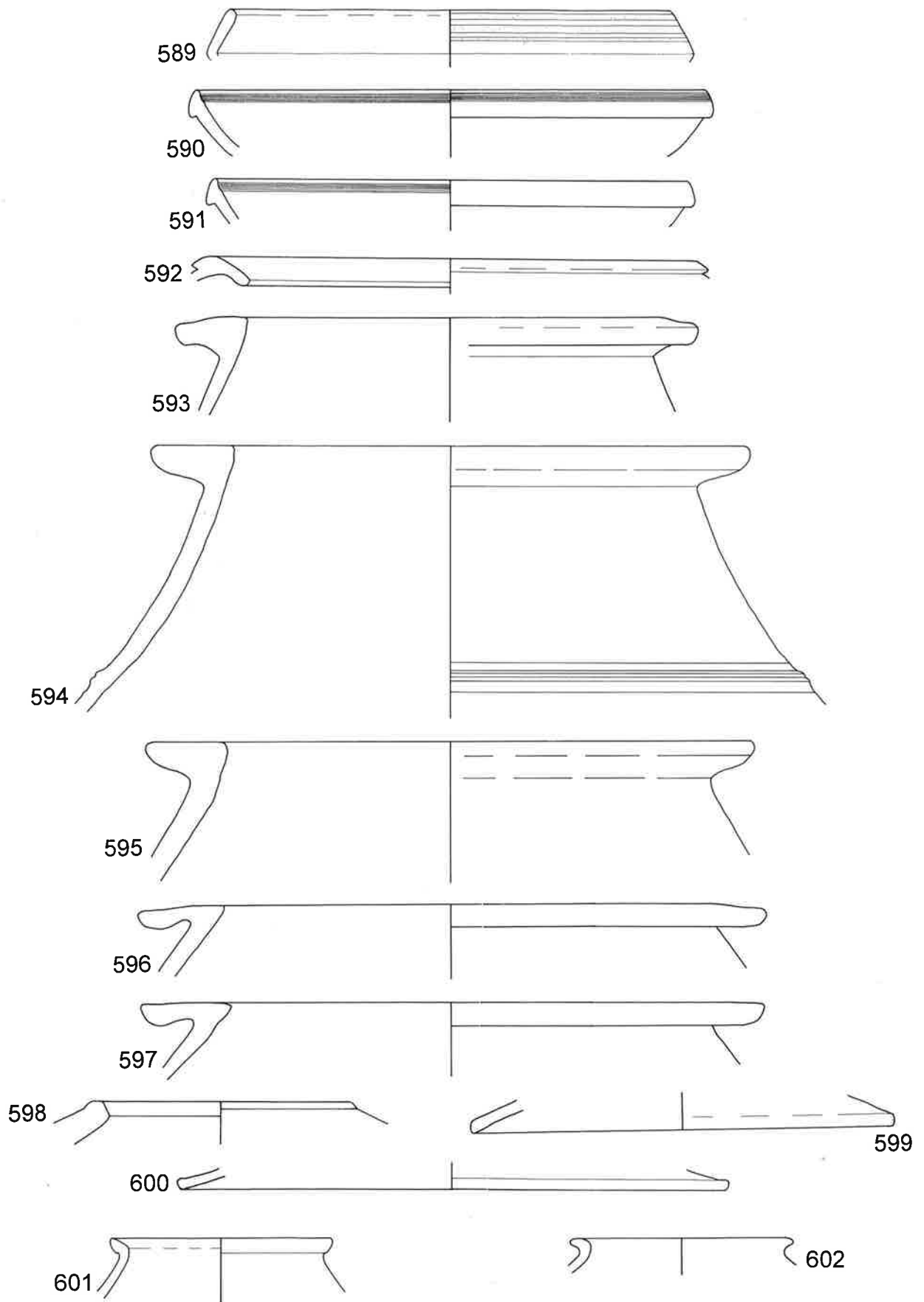
Taf. 25. Baden 1977. Holzbauperiode II. M 1:3.



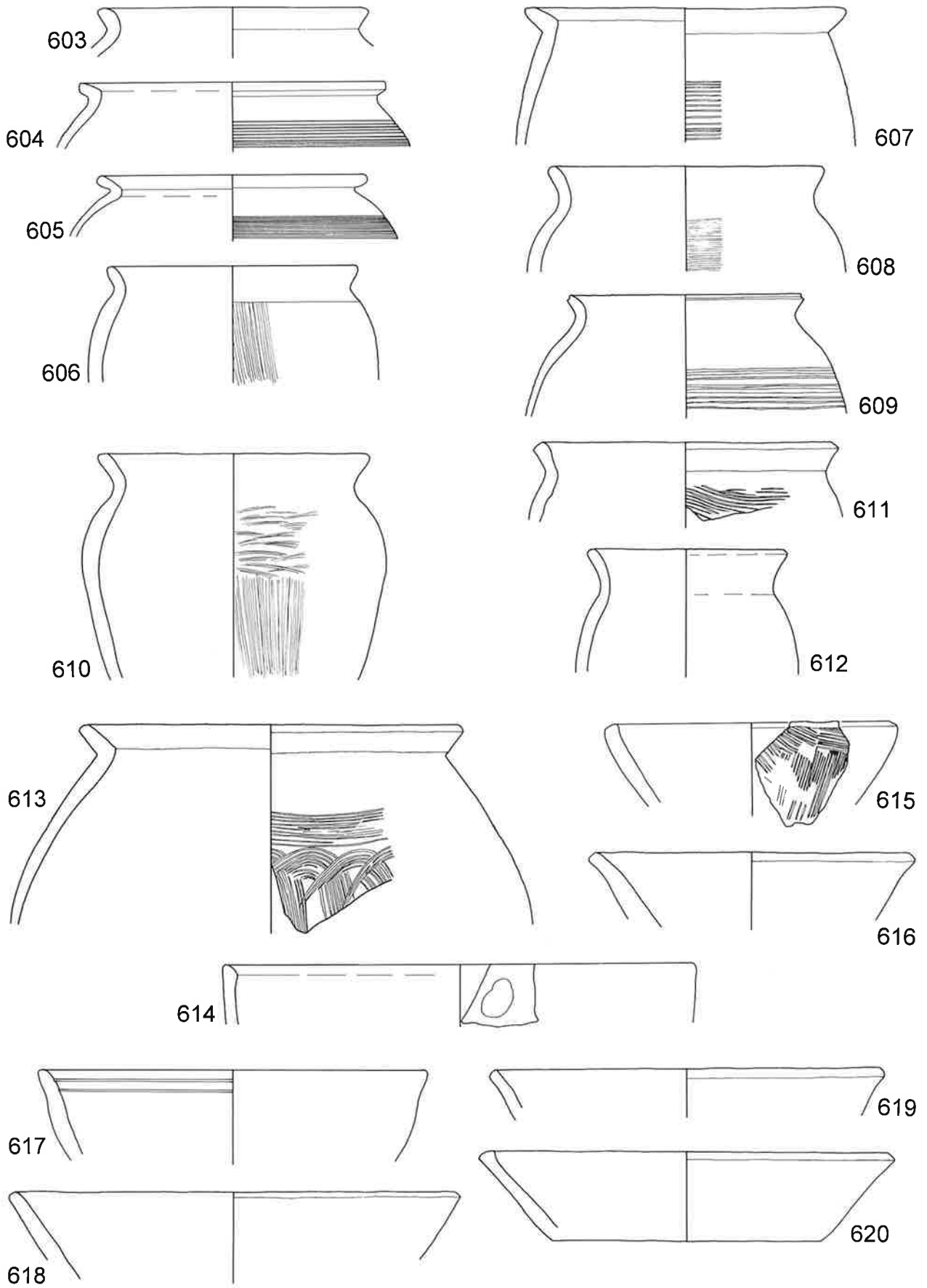


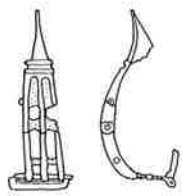


Taf. 28. Baden 1977. Holzbauperiode II. M 1:3.

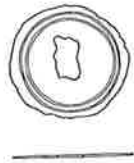


Taf. 29. Baden 1977. Holzbauperiode II. M 1:3.

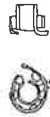




621



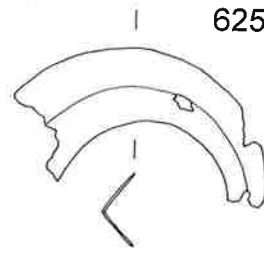
622



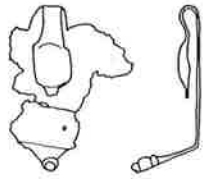
623



624



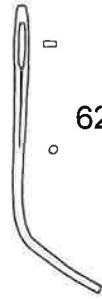
625



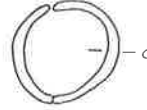
626



627



628



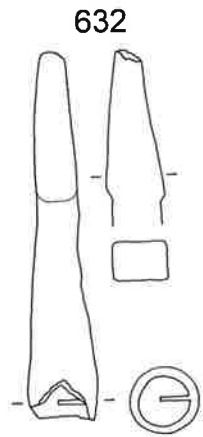
629



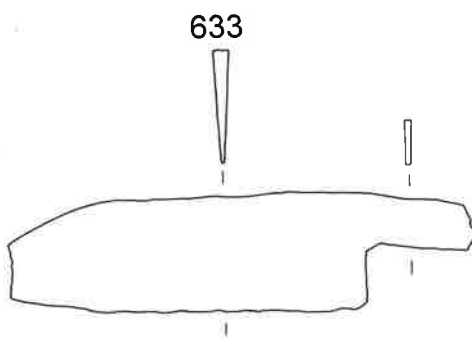
630



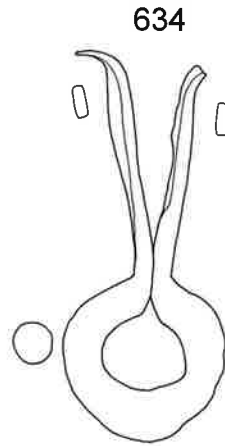
631



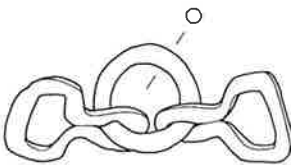
632



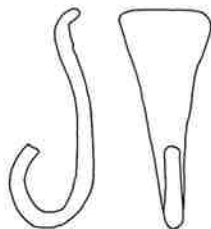
633



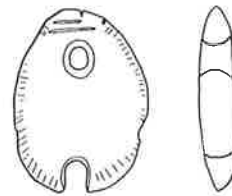
634



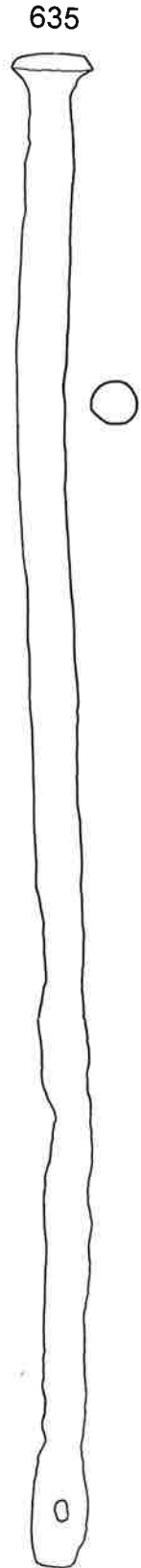
636



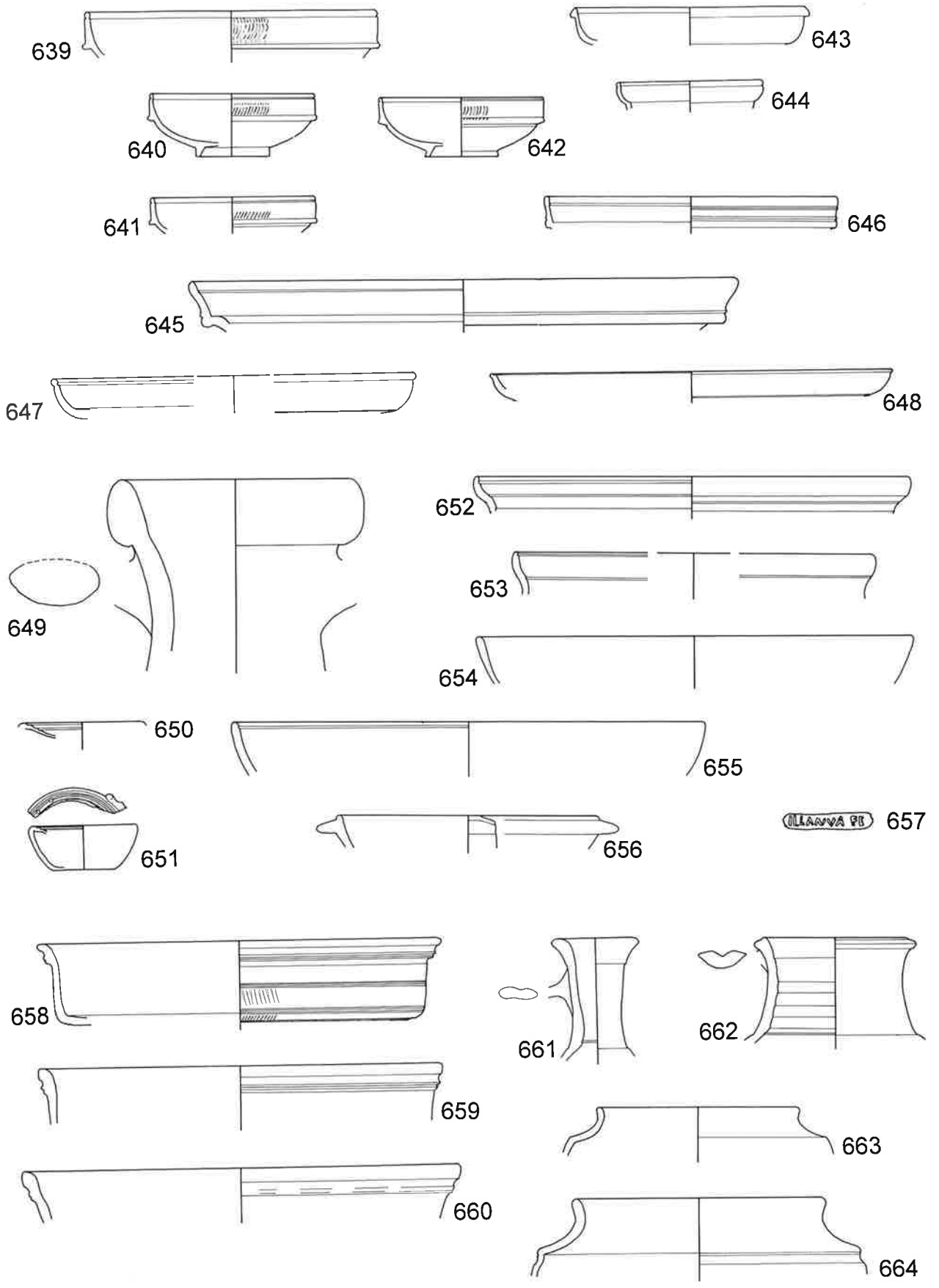
637



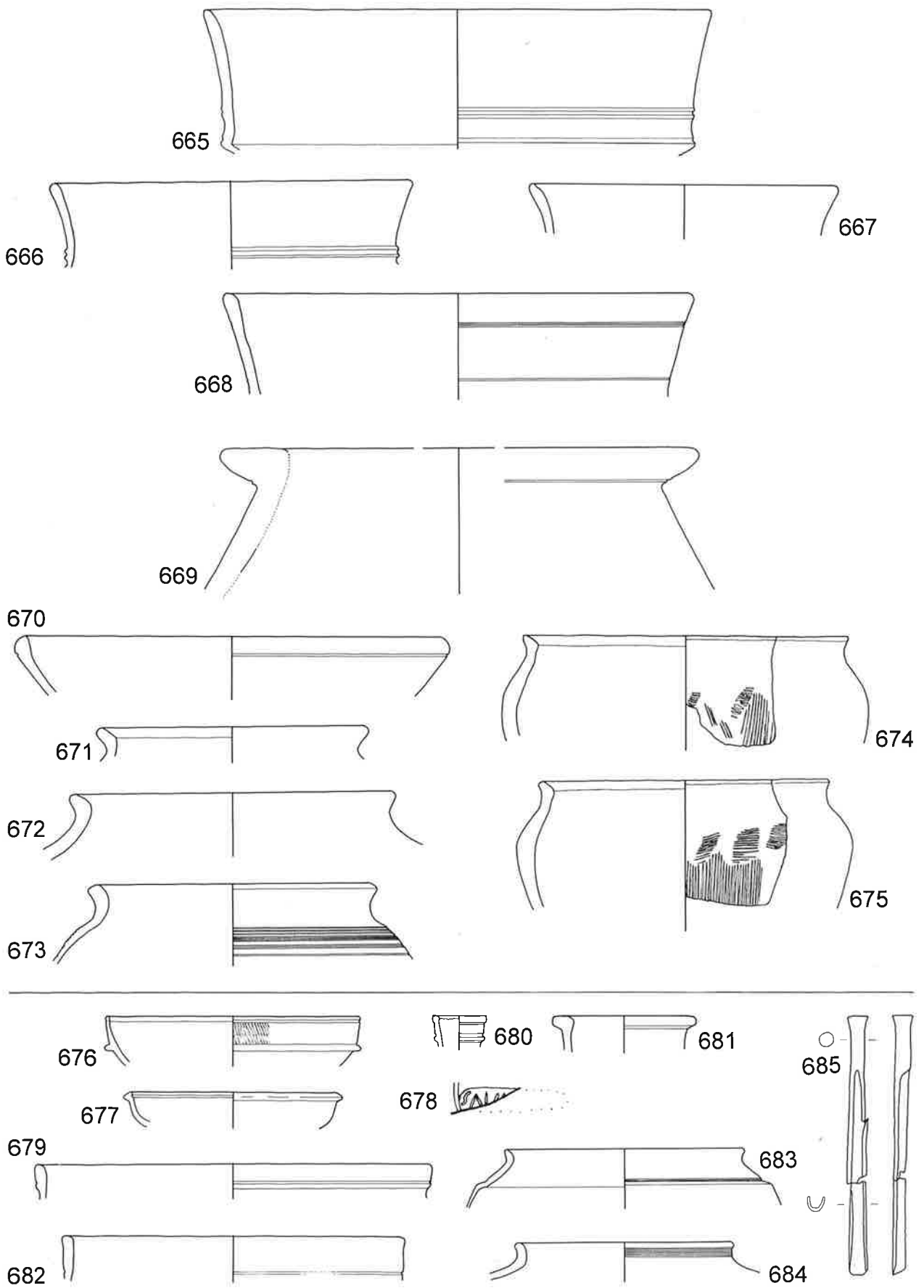
638



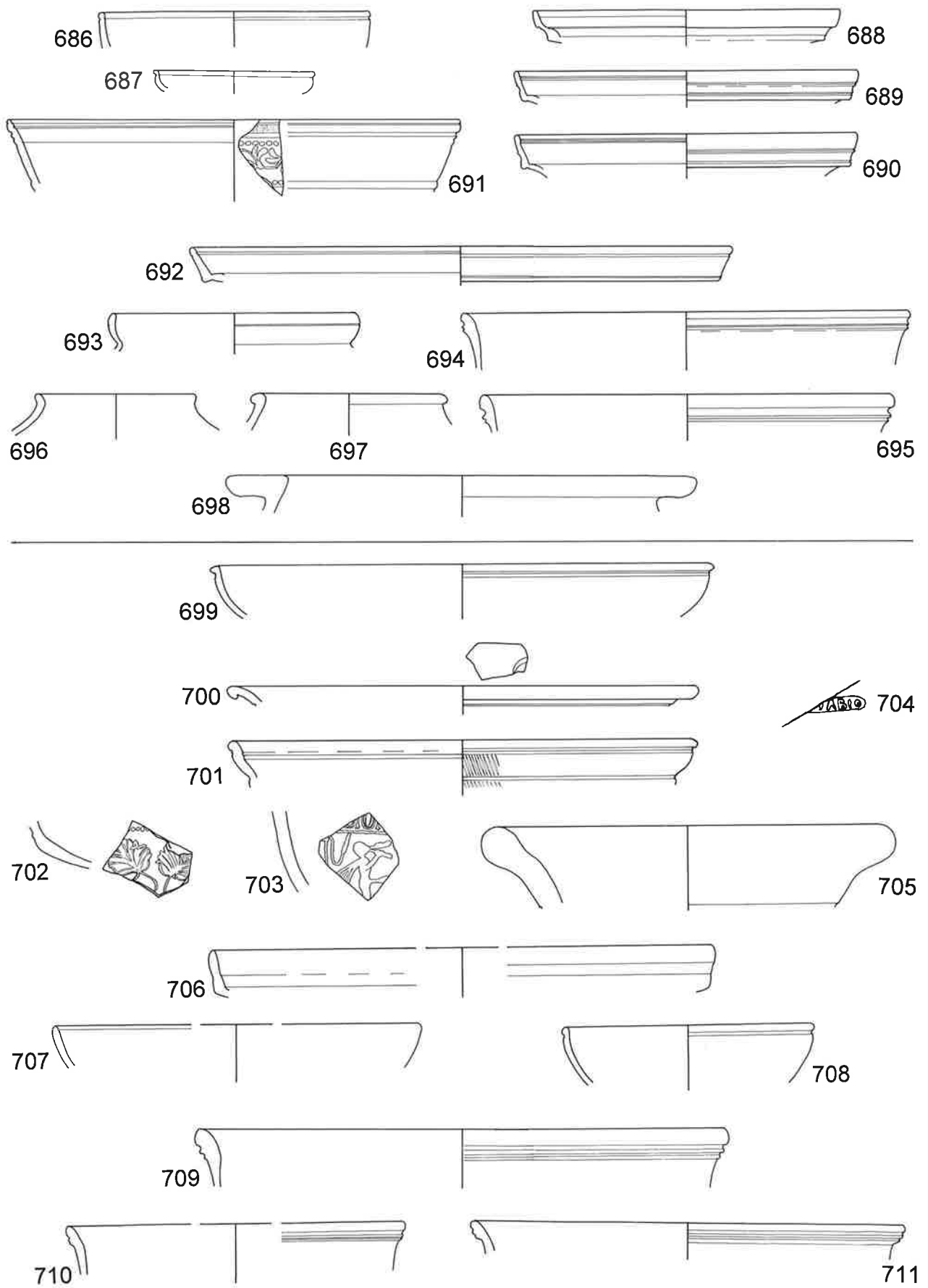
635



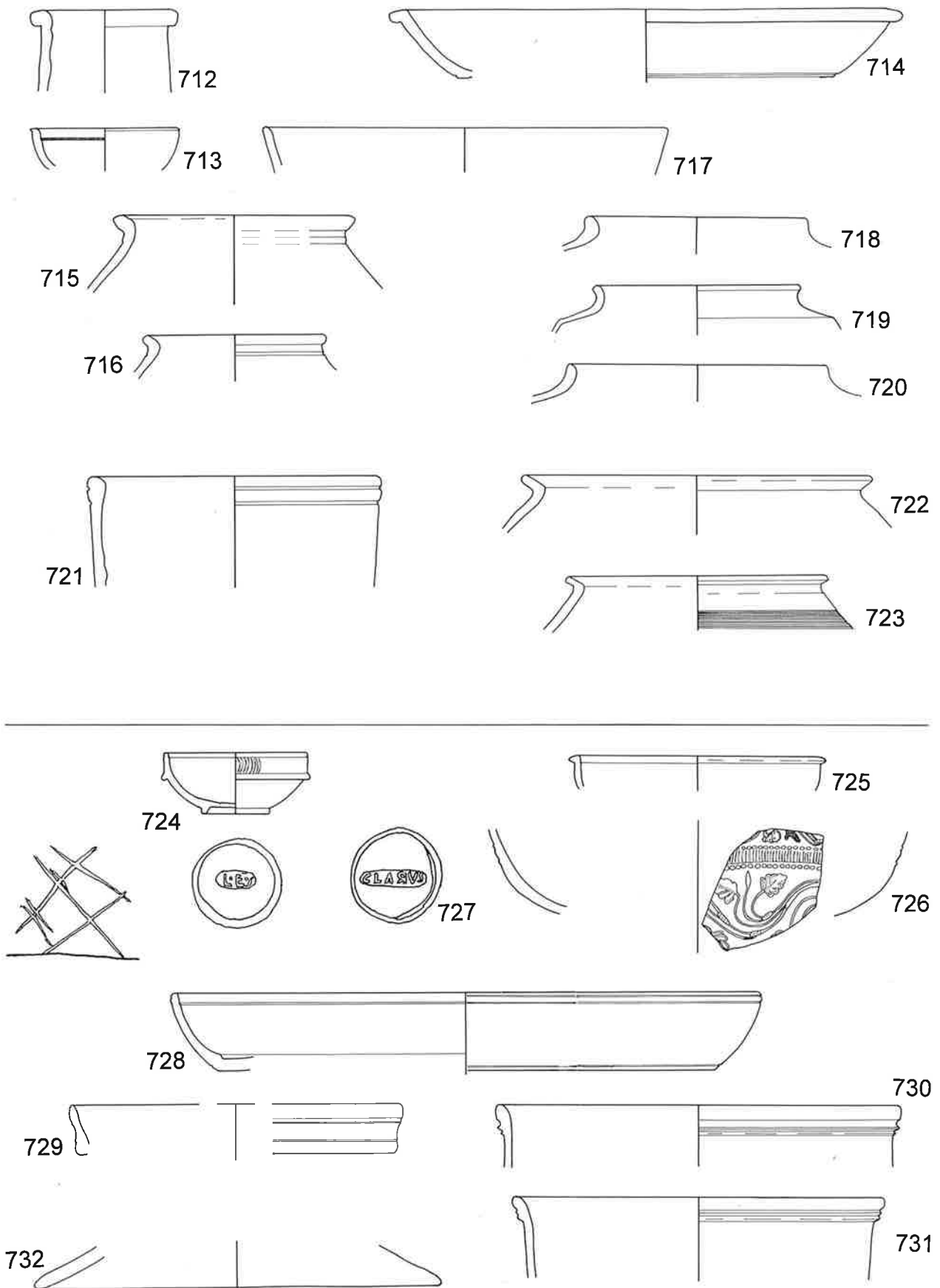
Taf. 32. Baden 1977. Steinbauperiode I.1. M 1:3, Nr. 657 M 1:1.



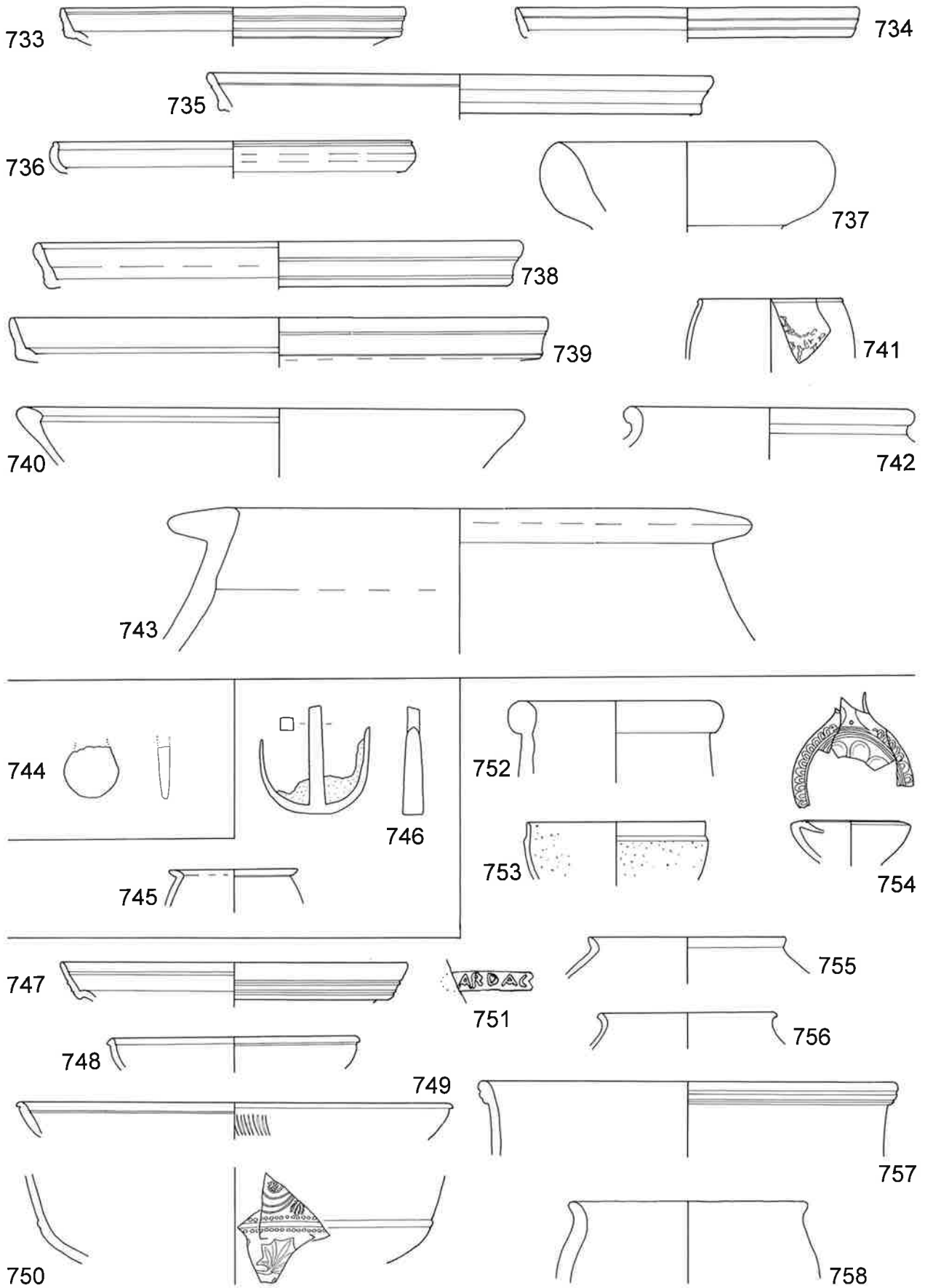
Taf. 33. Baden 1977. Steinbauperiode I.1. M 1:3, Nr. 678 M 1:1.



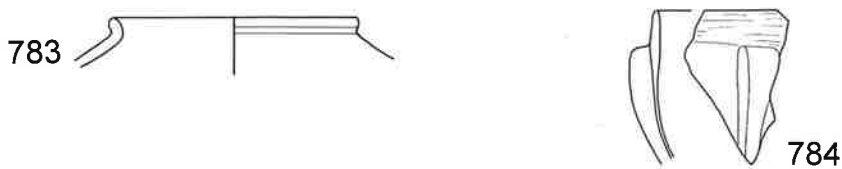
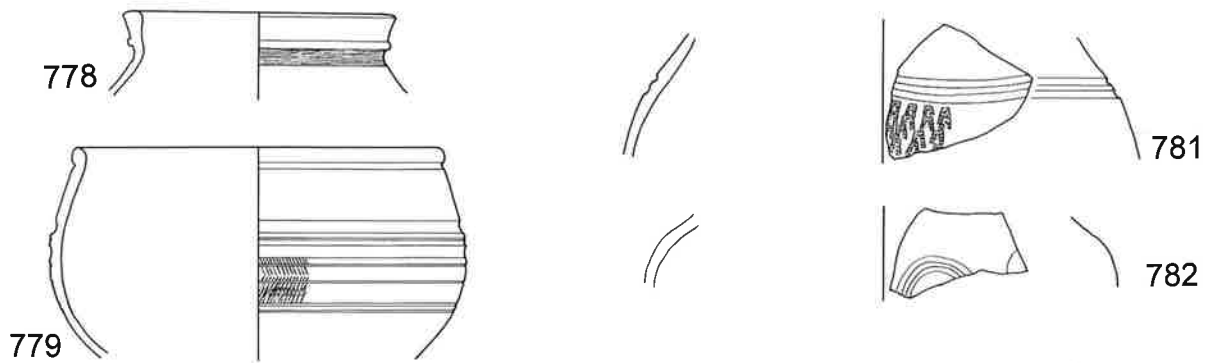
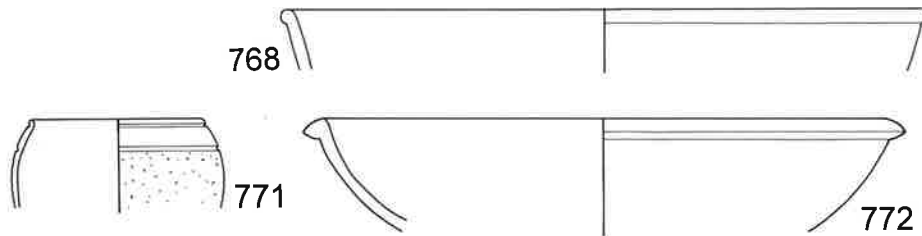
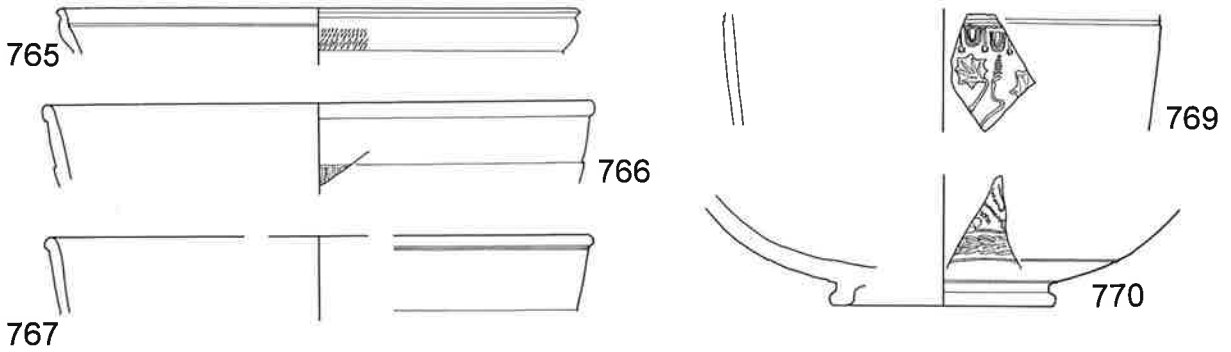
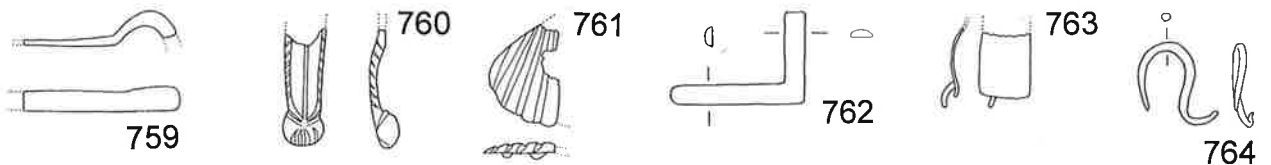
Taf. 34. Baden 1977. Steinbauperiode I.I. M 1:3, Nr. 704 M 1:1.

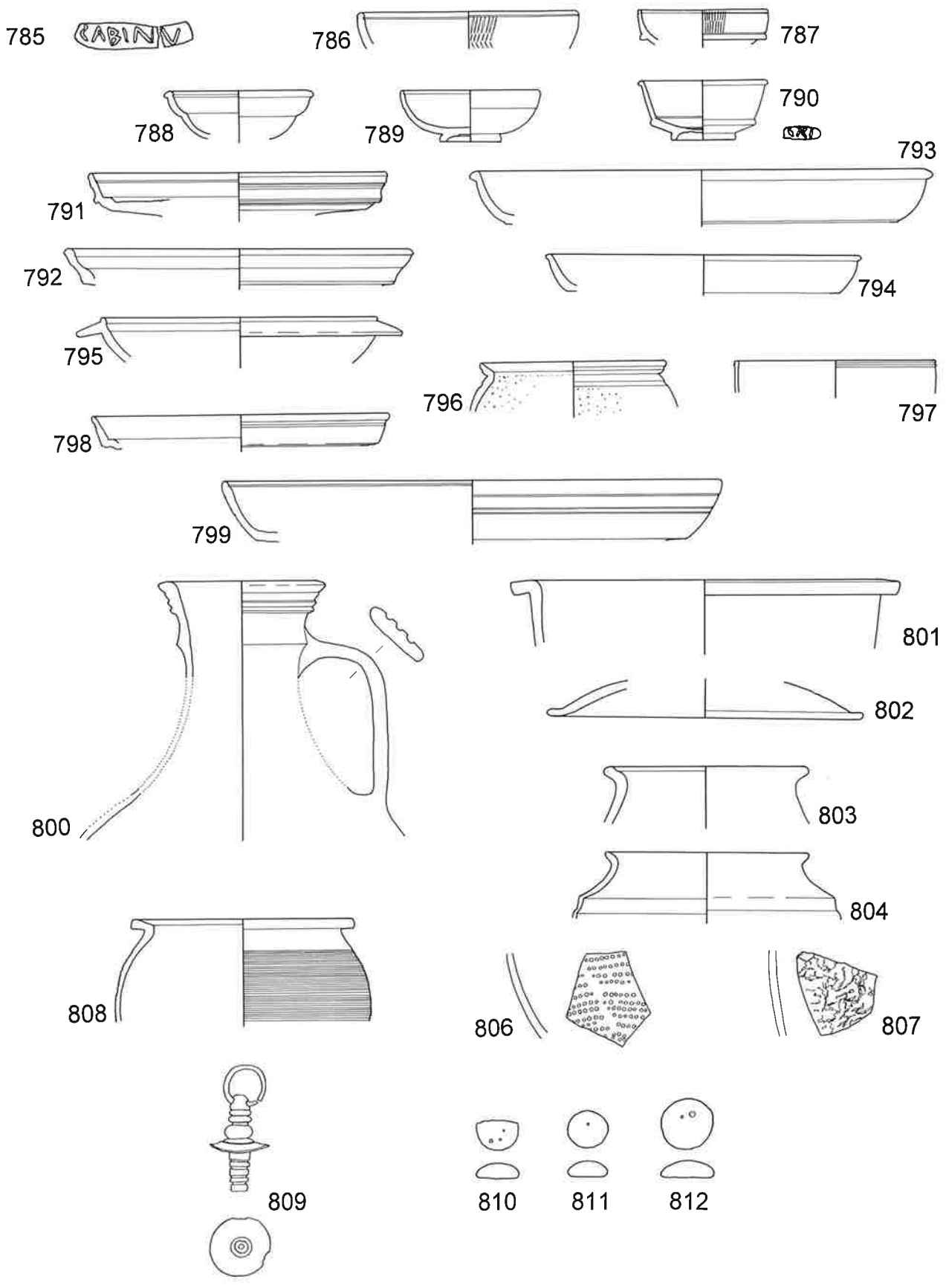


Taf. 35. Baden 1977. Steinbauperiode I.I. M 1:3, Nr. 724 (Stempel), Nr. 726 M 1:1.

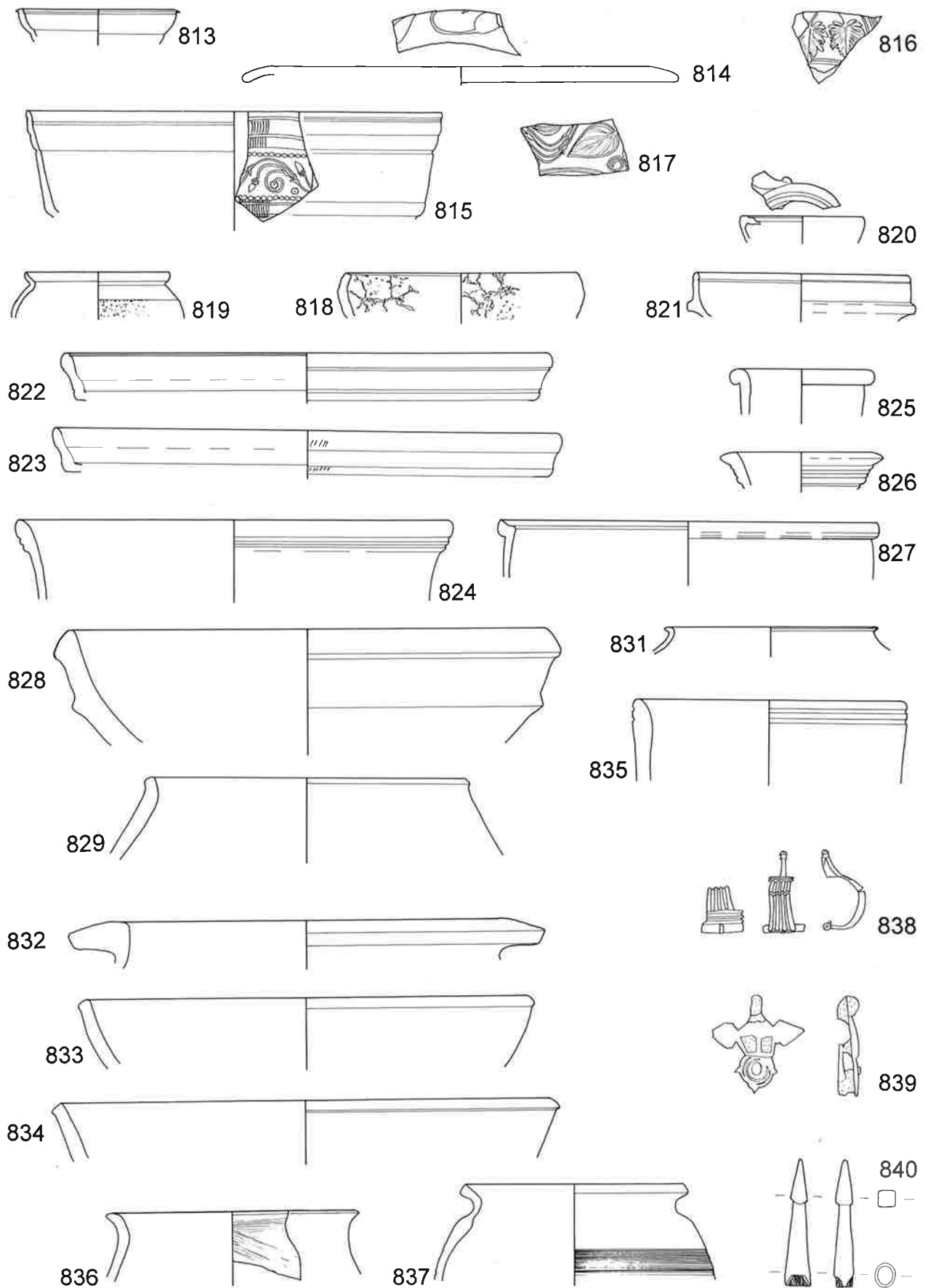


Taf. 36. Baden 1977. Steinbauperiode I.1. M 1:3, Nr. 744 M 1:2, Nr. 751 M 1:1.

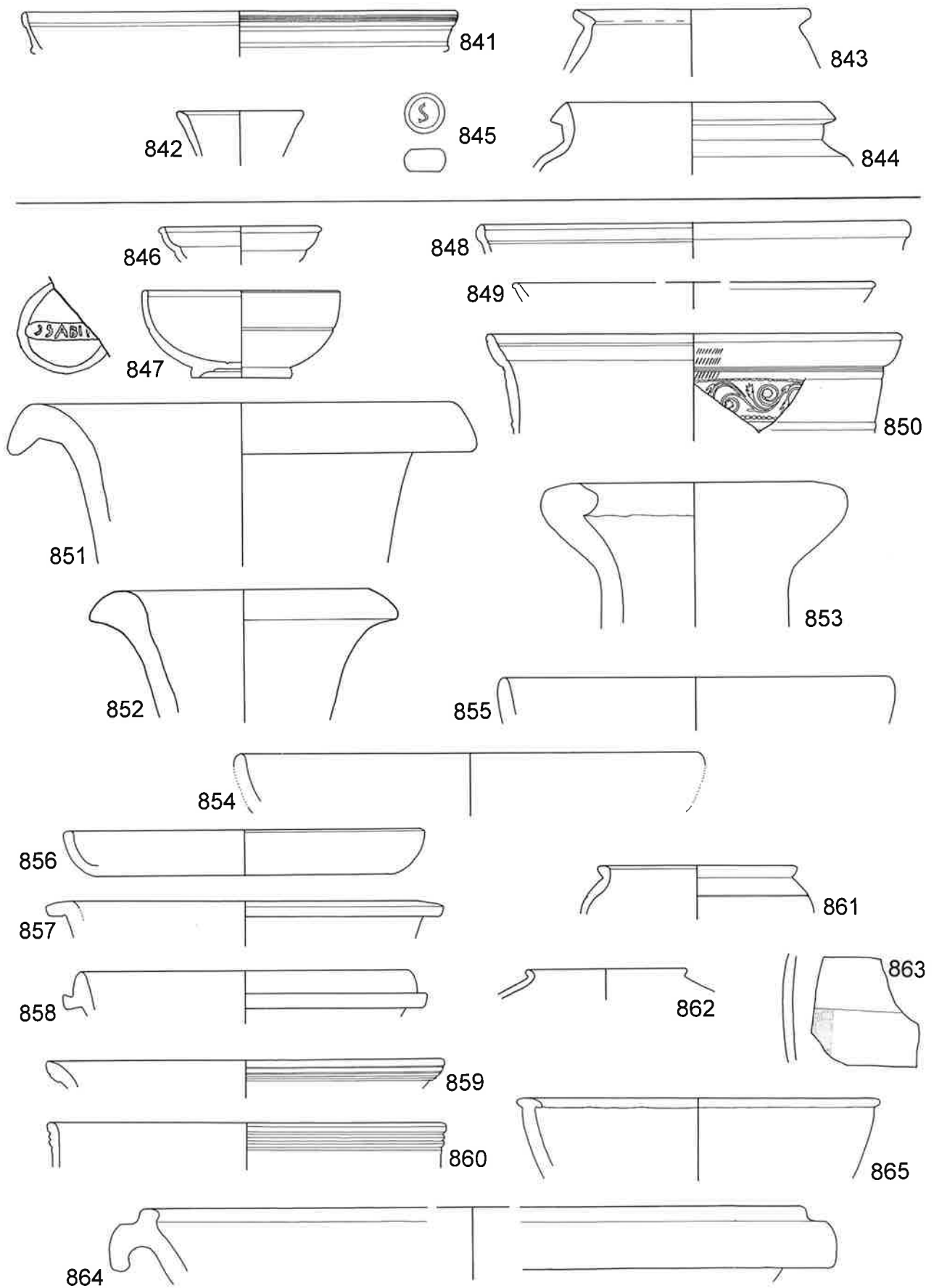




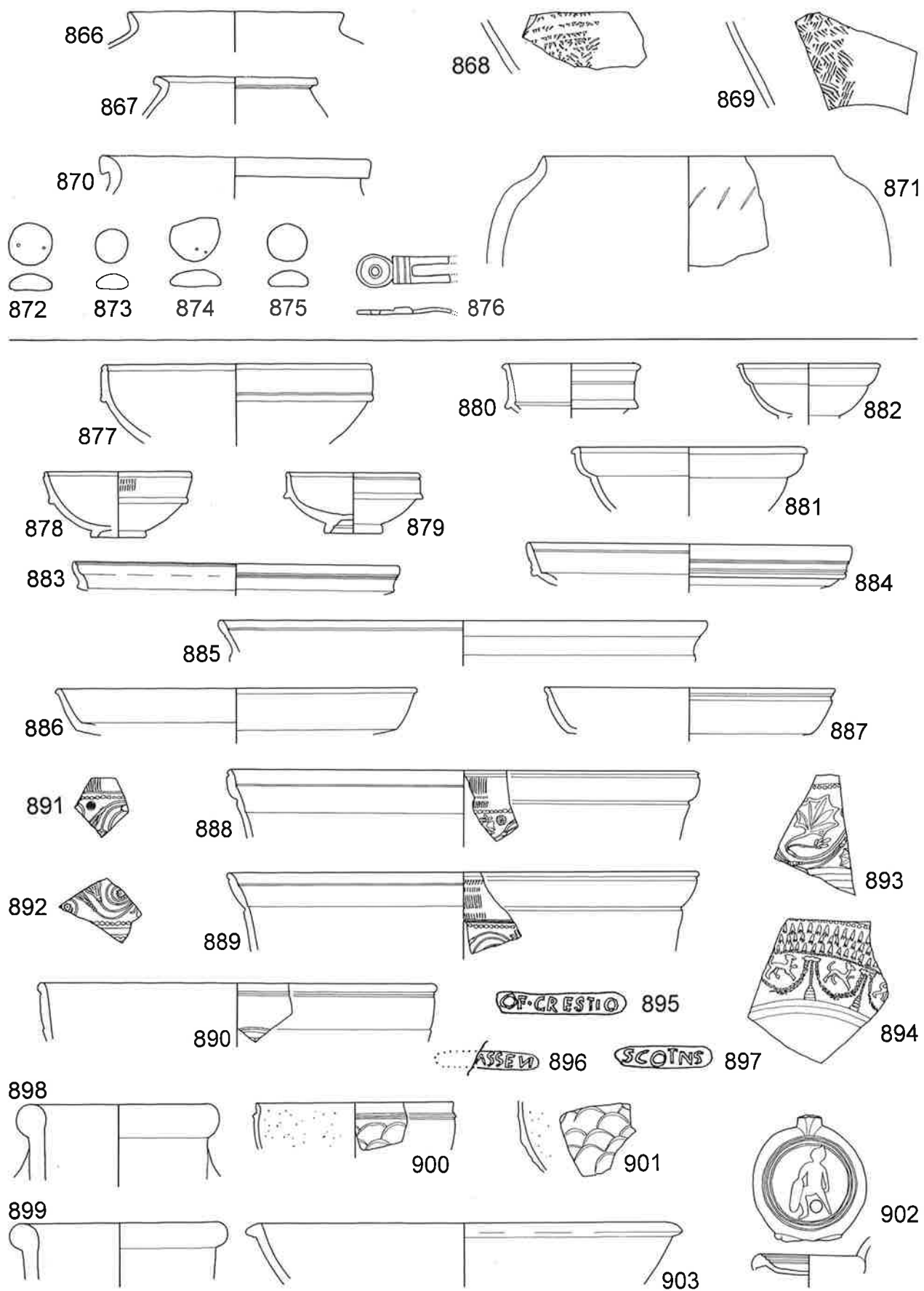
Taf. 38. Baden 1977. Steinbauperiode I.2. M 1:3, Nr. 785-790 (Stempel) M 1:1, Nr. 809-812 M 1:2.



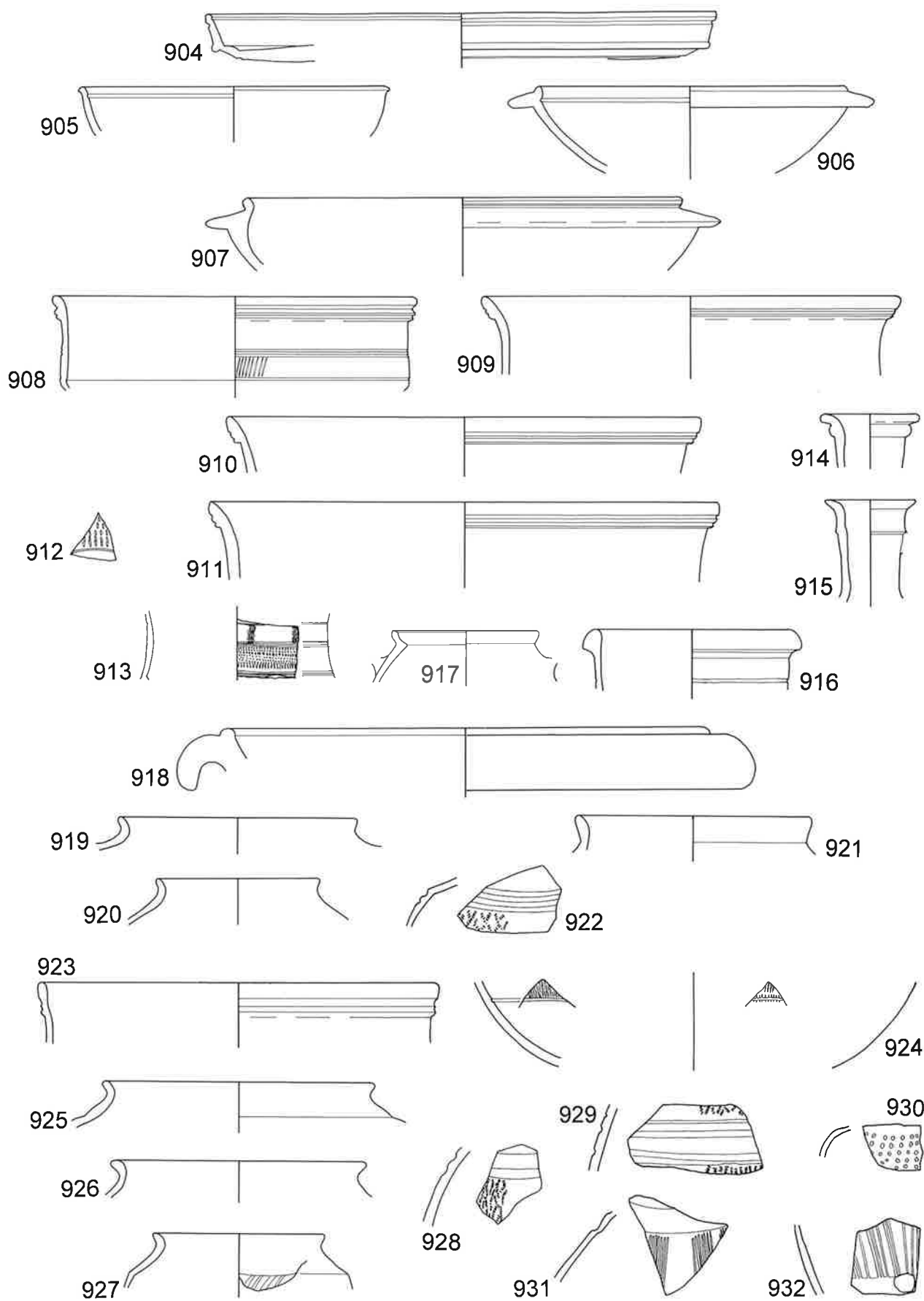
Taf. 39. Baden 1977. Steinbauperiode I.2. M 1:3, Nr. 838.839 M 1:2.

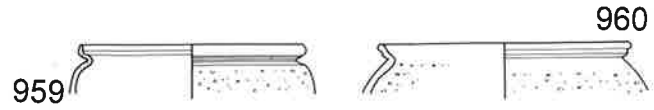
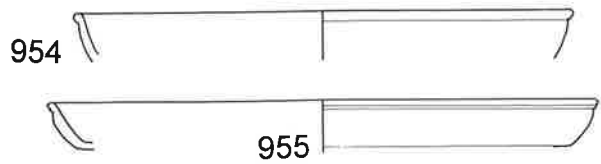
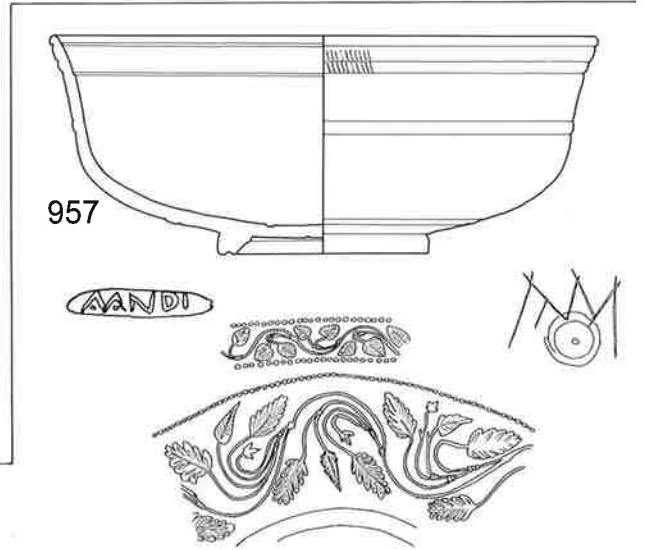
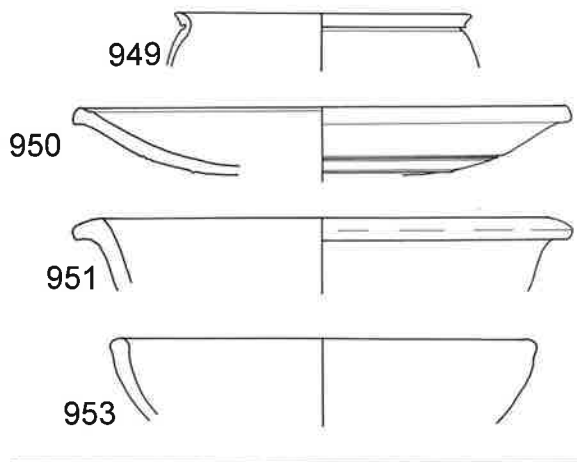
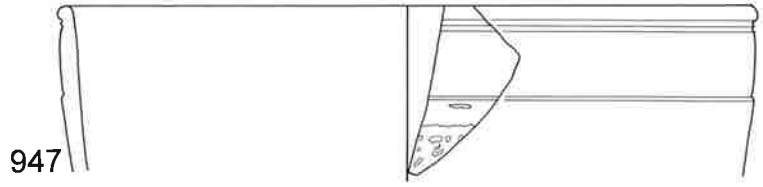
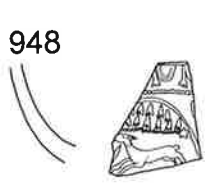
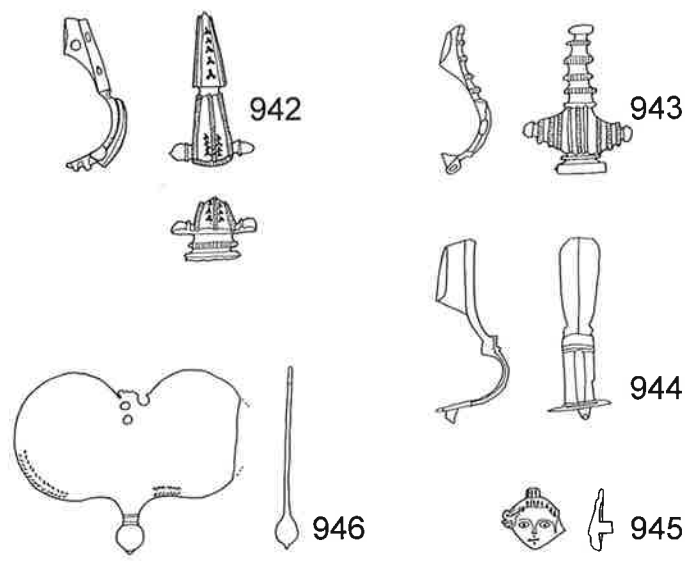
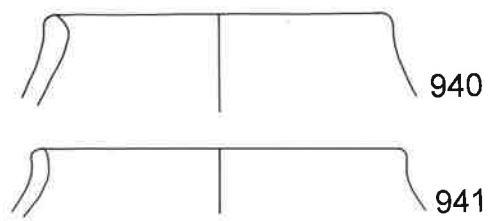
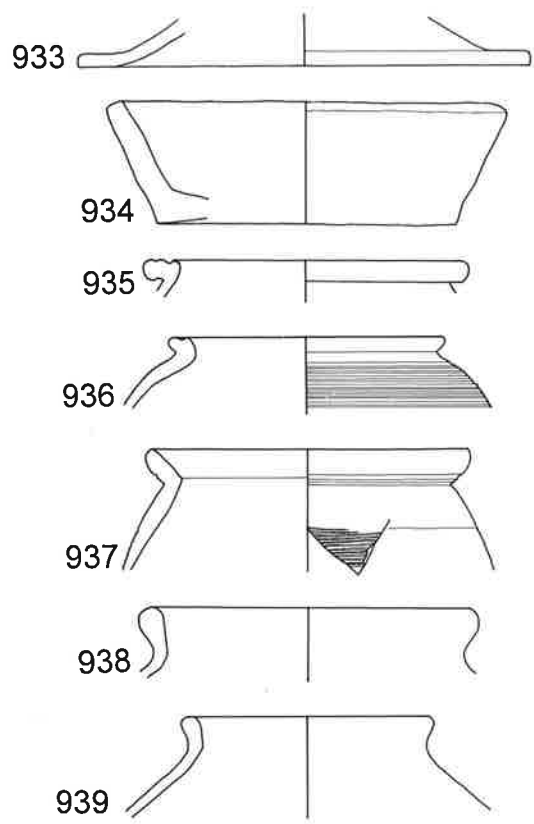


Taf. 40. Baden 1977. Steinbauperiode I.2. M 1:3, Nr. 845 M 1:2, Nr. 847 (Stempel) M 1:1.

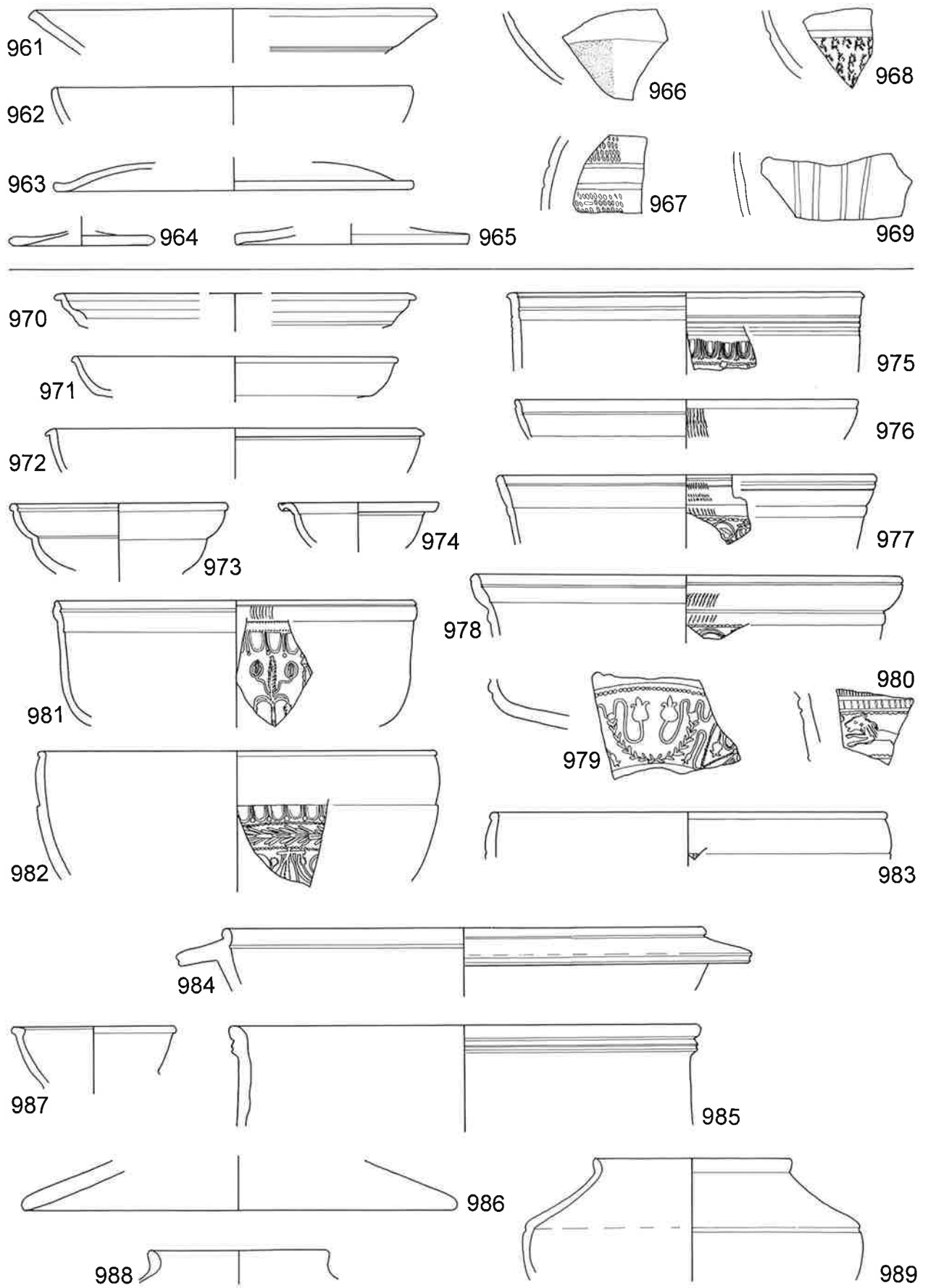


Taf. 41. Baden 1977. Steinbauperiode I.2. M 1:3, Nr. 872–876 M 1:2, Nr. 895–897 M 1:1.

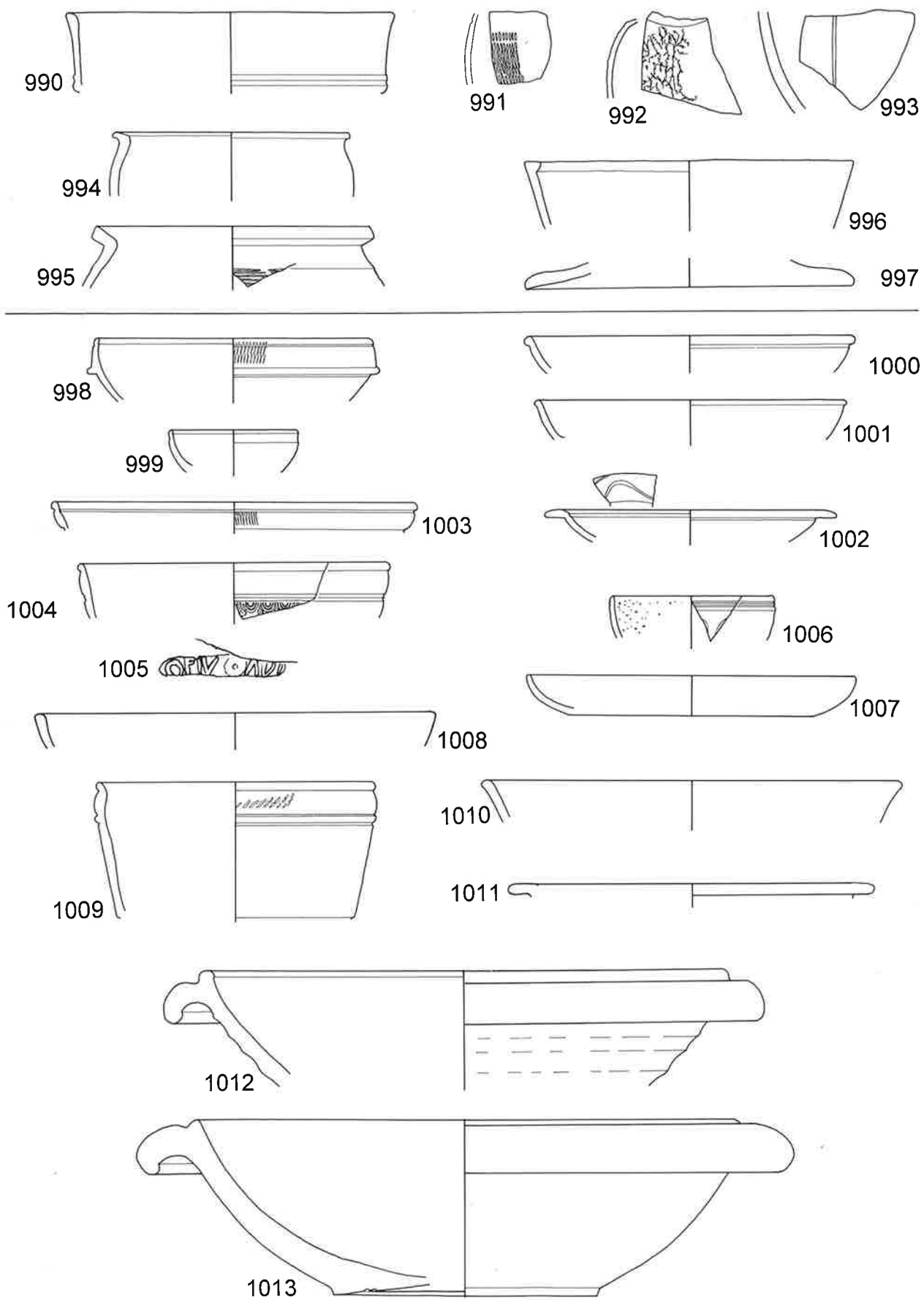




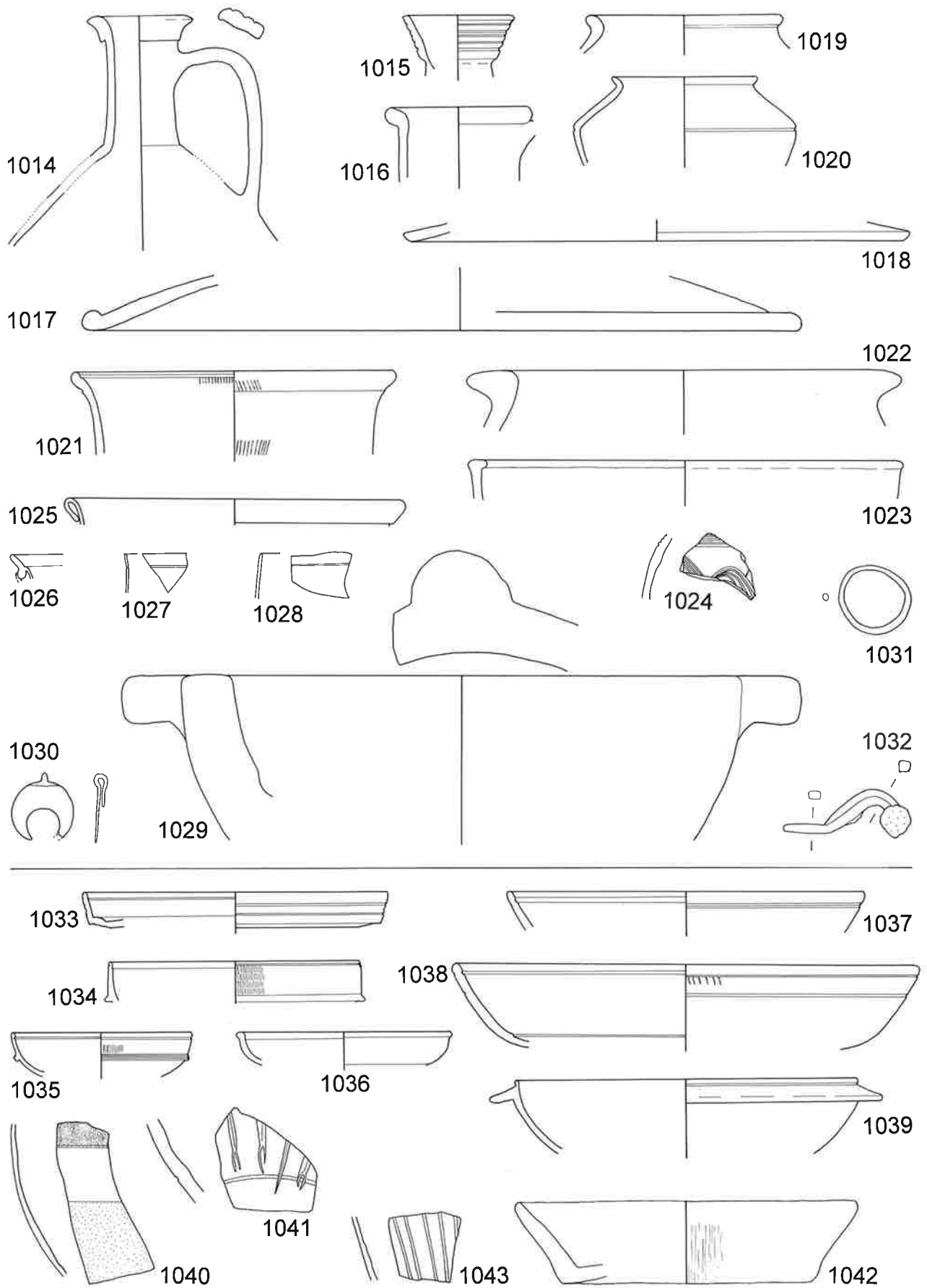
Taf. 43. Baden 1977. Steinbauperiode I.2. Nr. 933–946, M 1:3, Nr. 942–946 M 1:2. – Steinbauperiode I.3. Nr. 947–960, M 1:3, Nr. 957 Stempel M 1:1, Graffito M 1:2.



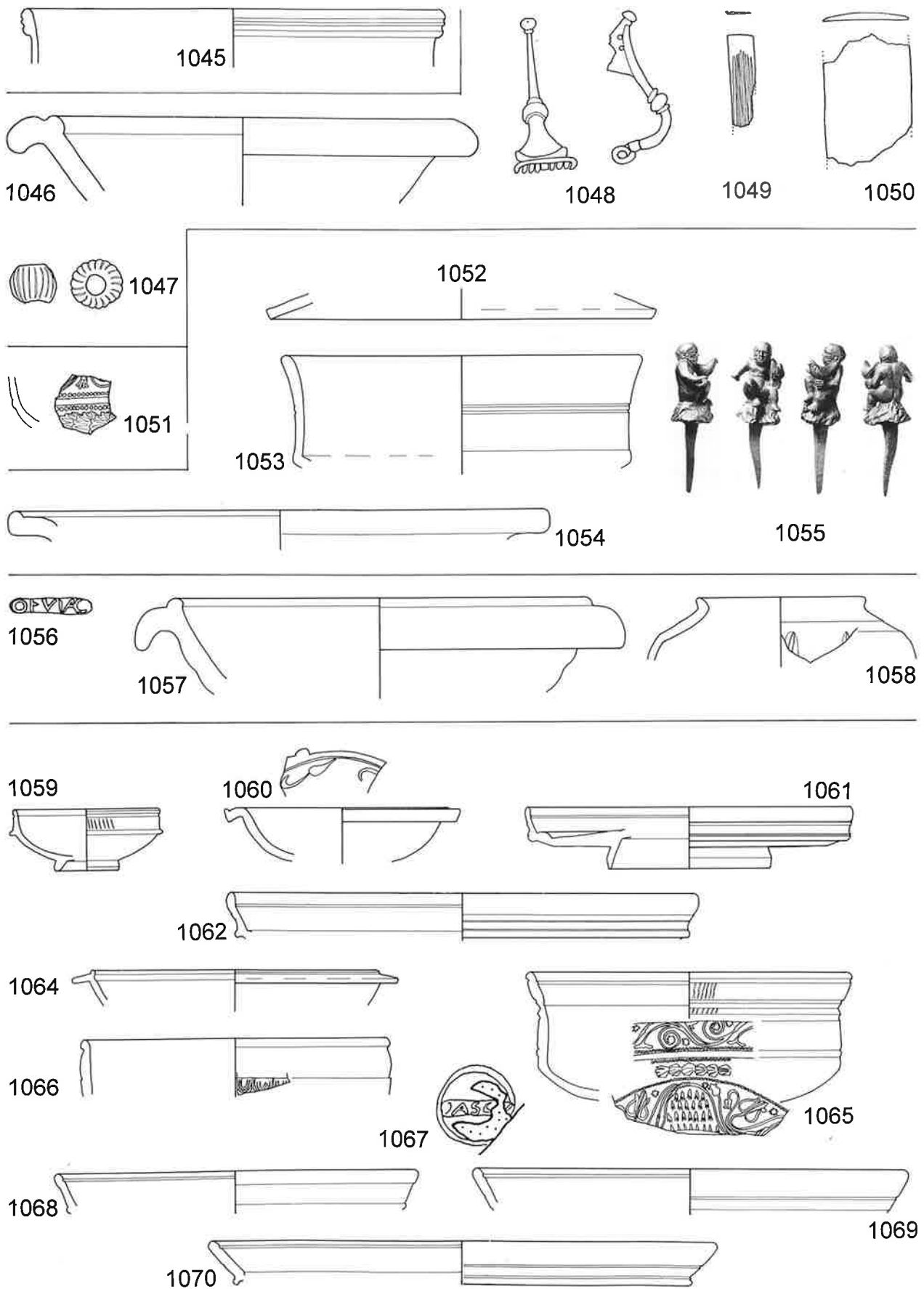
Taf. 44. Baden 1977. Steinbauperiode I.3. M 1:3.



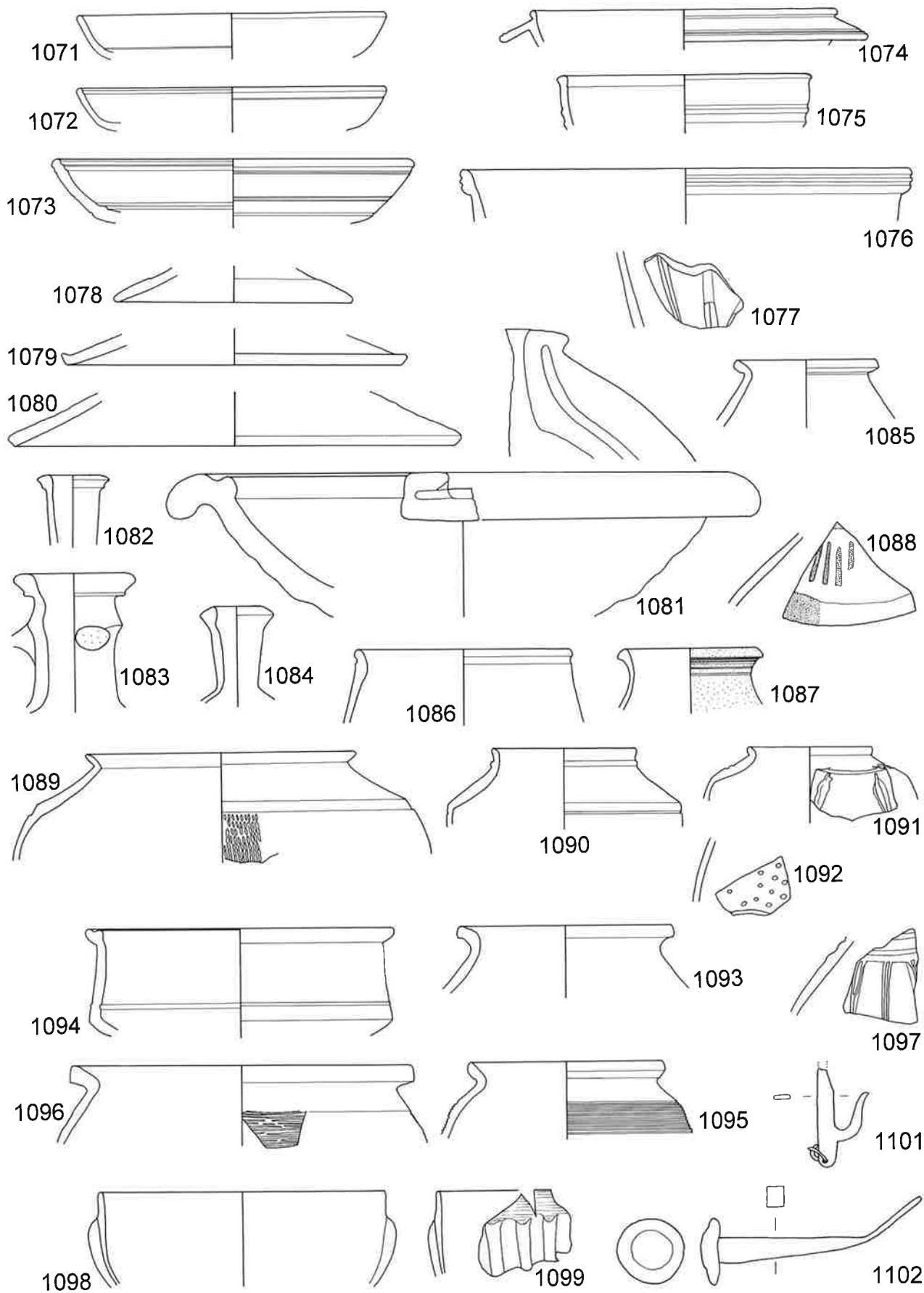
Taf. 45. Baden 1977. Steinbauperiode I.3. M 1:3, Nr.1005 M 1:1.



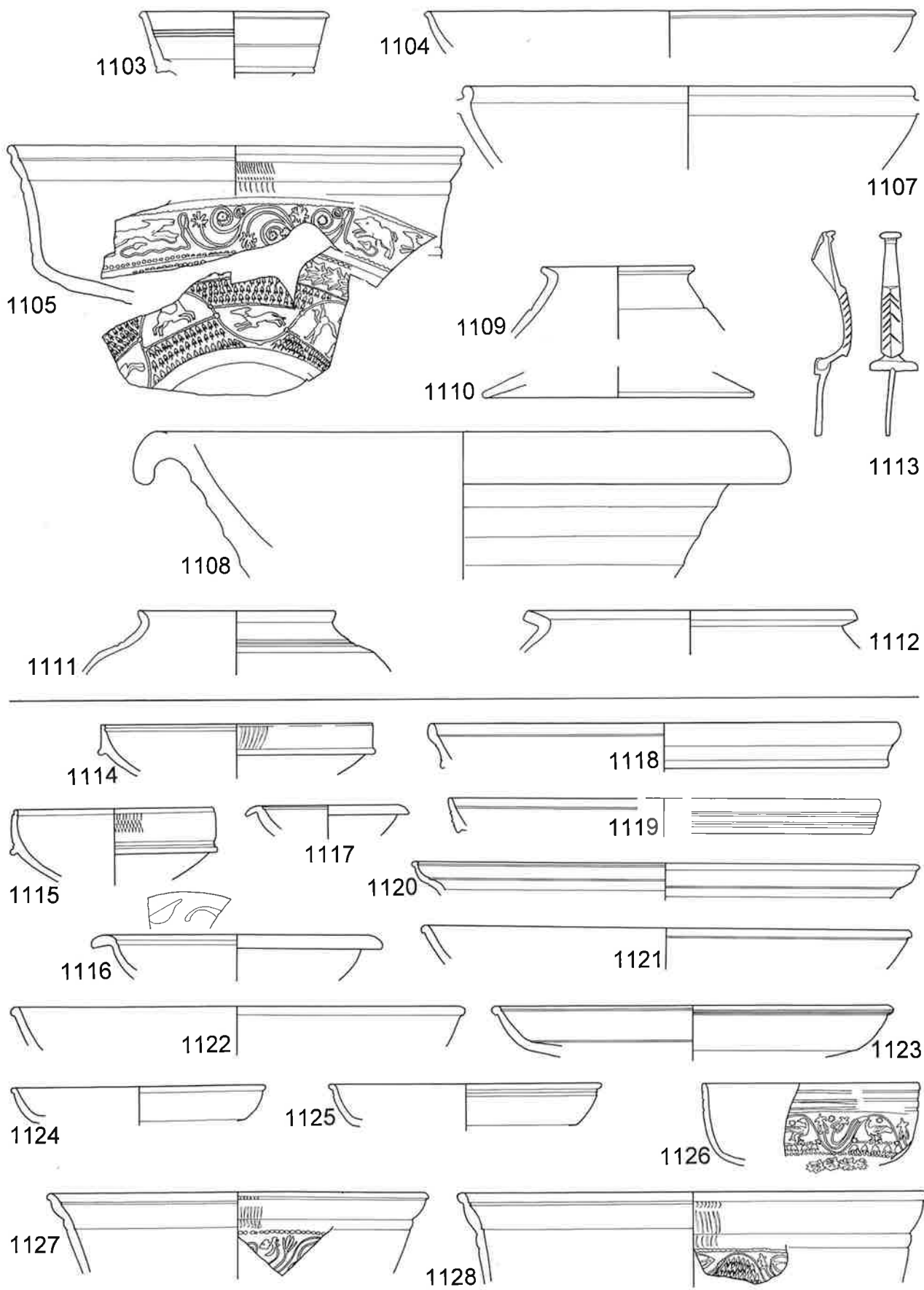
Taf. 46. Baden 1977. Steinbauperiode I.3. M 1:3, Nr. 1030–1032 M 1:2.



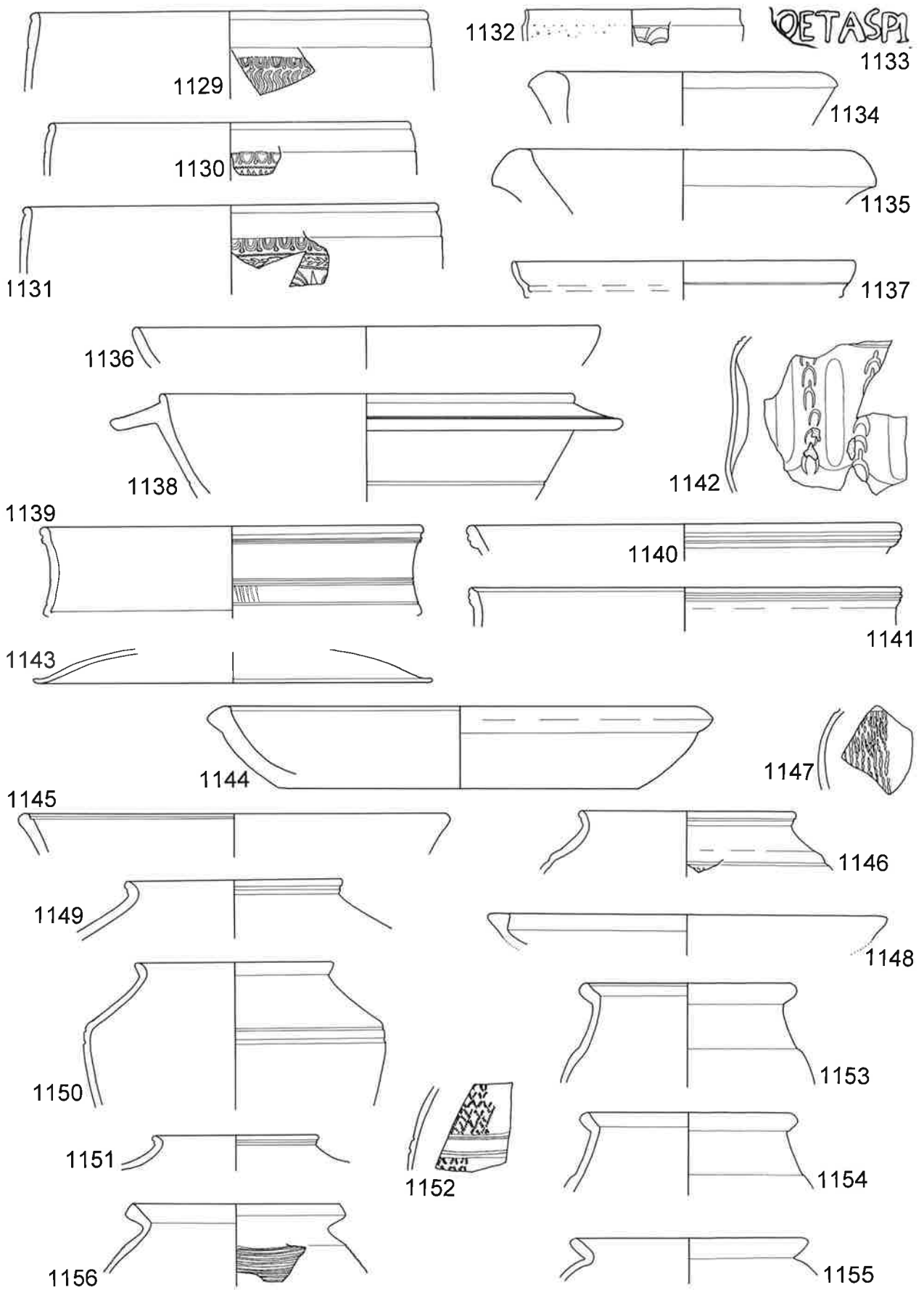
Taf. 47. Baden 1977. Steinbauperiode I.3. Nr. 1045–1051 M 1:3, Nr. 1047–1050 M 1:2. – Steinbauperiode I.4. Nr. 1052–1070 M 1:3, Nr. 1056.1067 M 1:1.



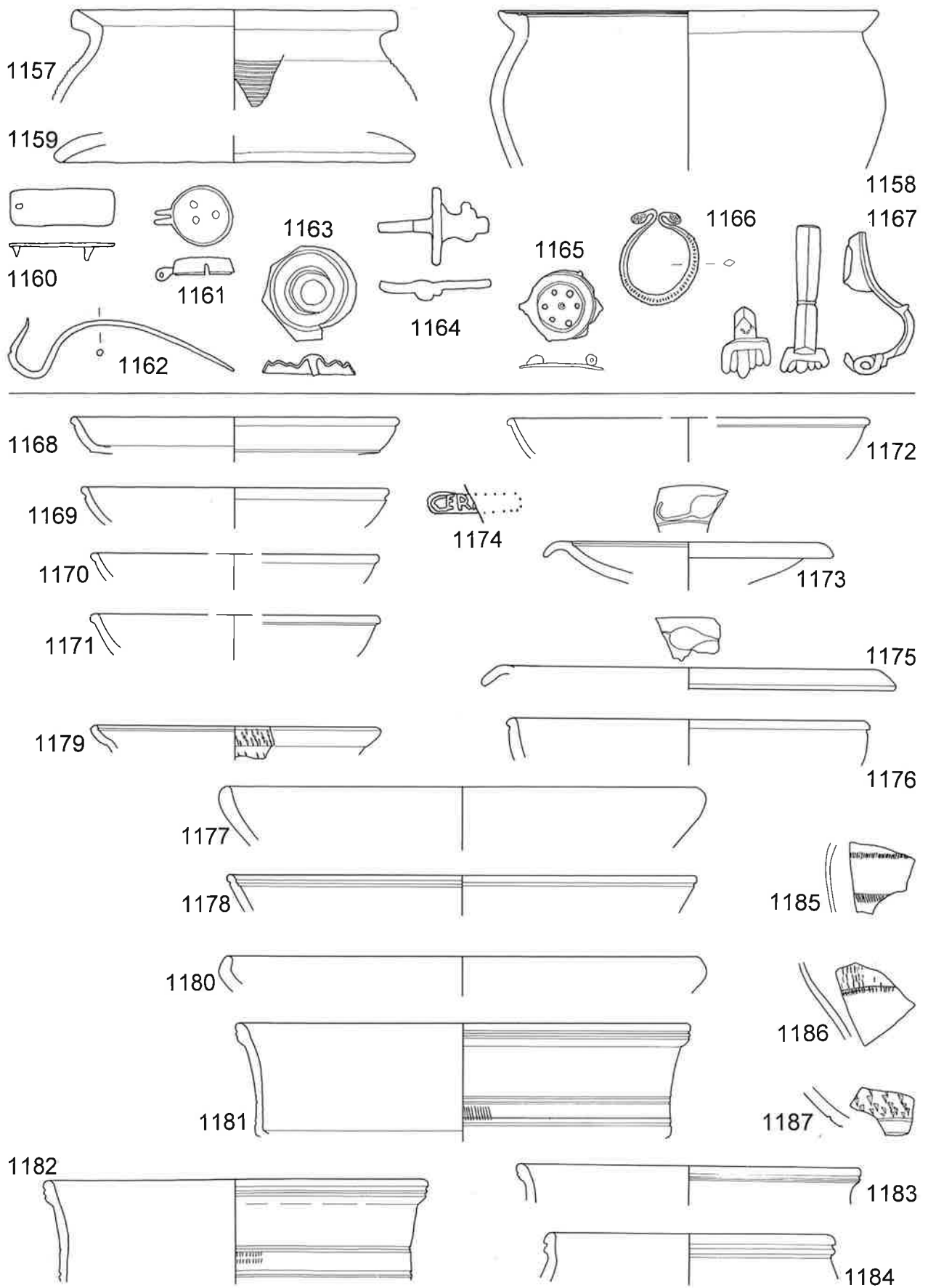
Taf. 48. Baden 1977. Steinbauperiode I.4. M 1:3, Nr. 1101.1102 M 1:2.



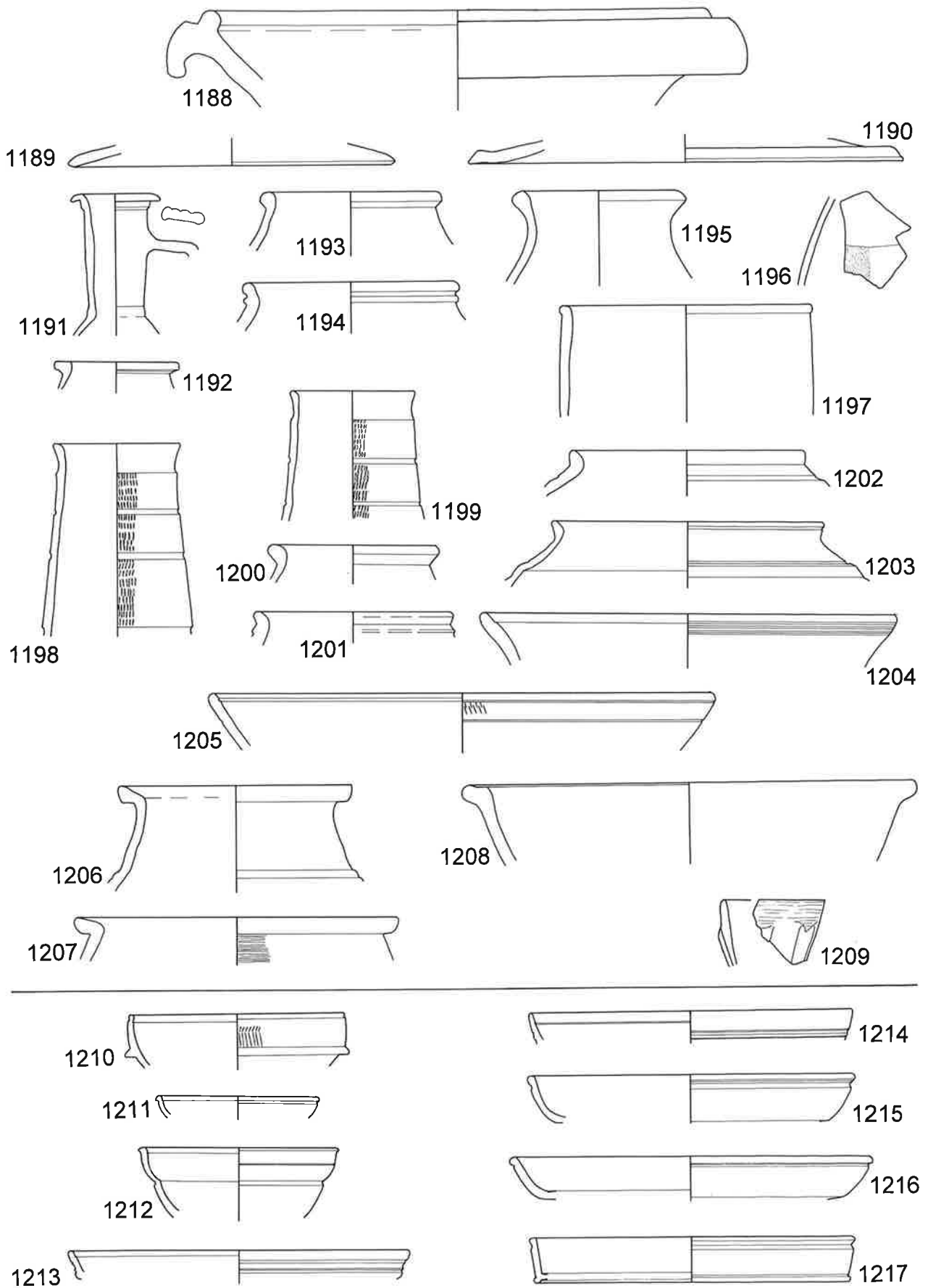
Taf. 49. Baden 1977. Steinbauperiode I.4. M 1:3, Nr. 1113 M 1:2.

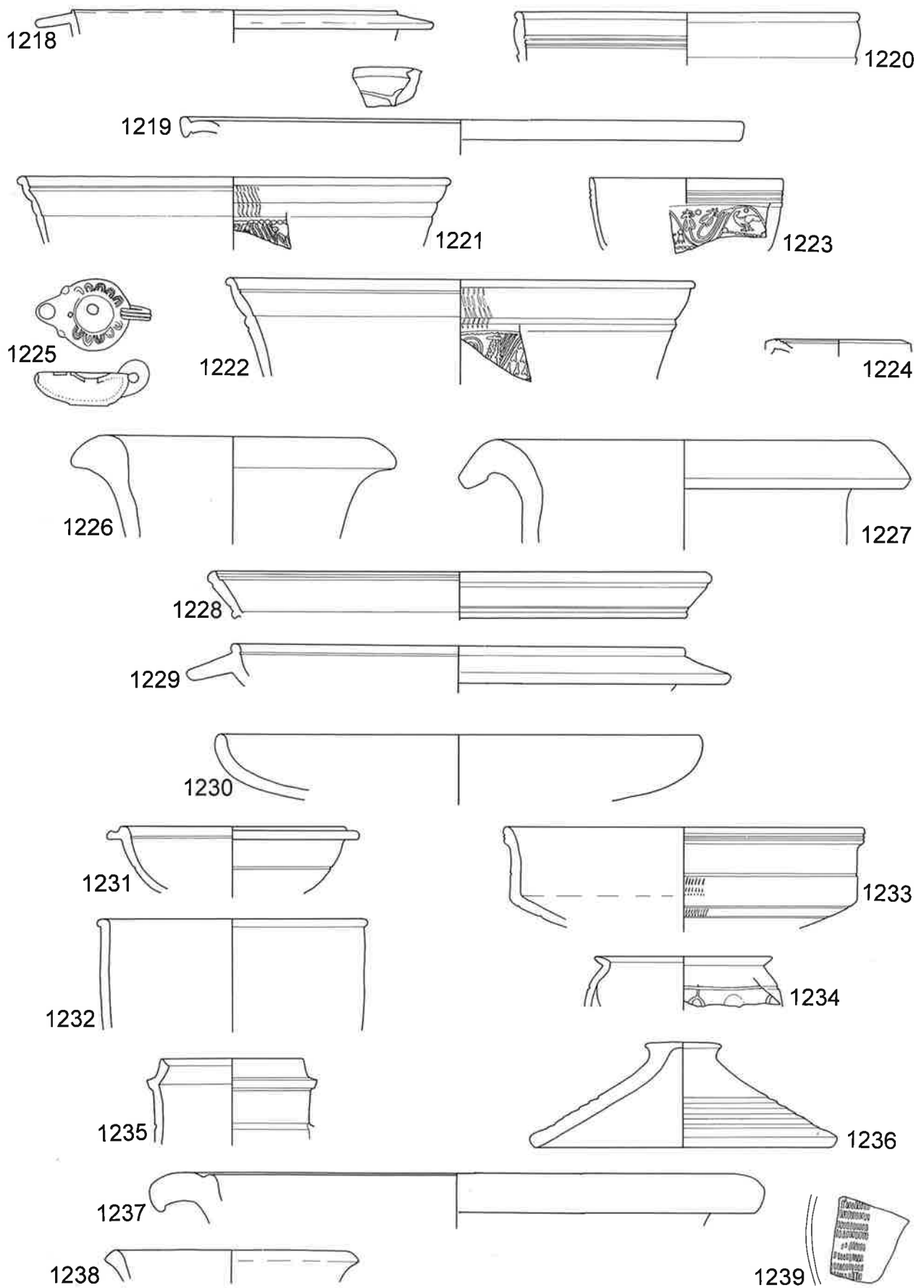


Taf. 50. Baden 1977. Steinbauperiode I.4. M 1:3, Nr. 1133 M 1:1.

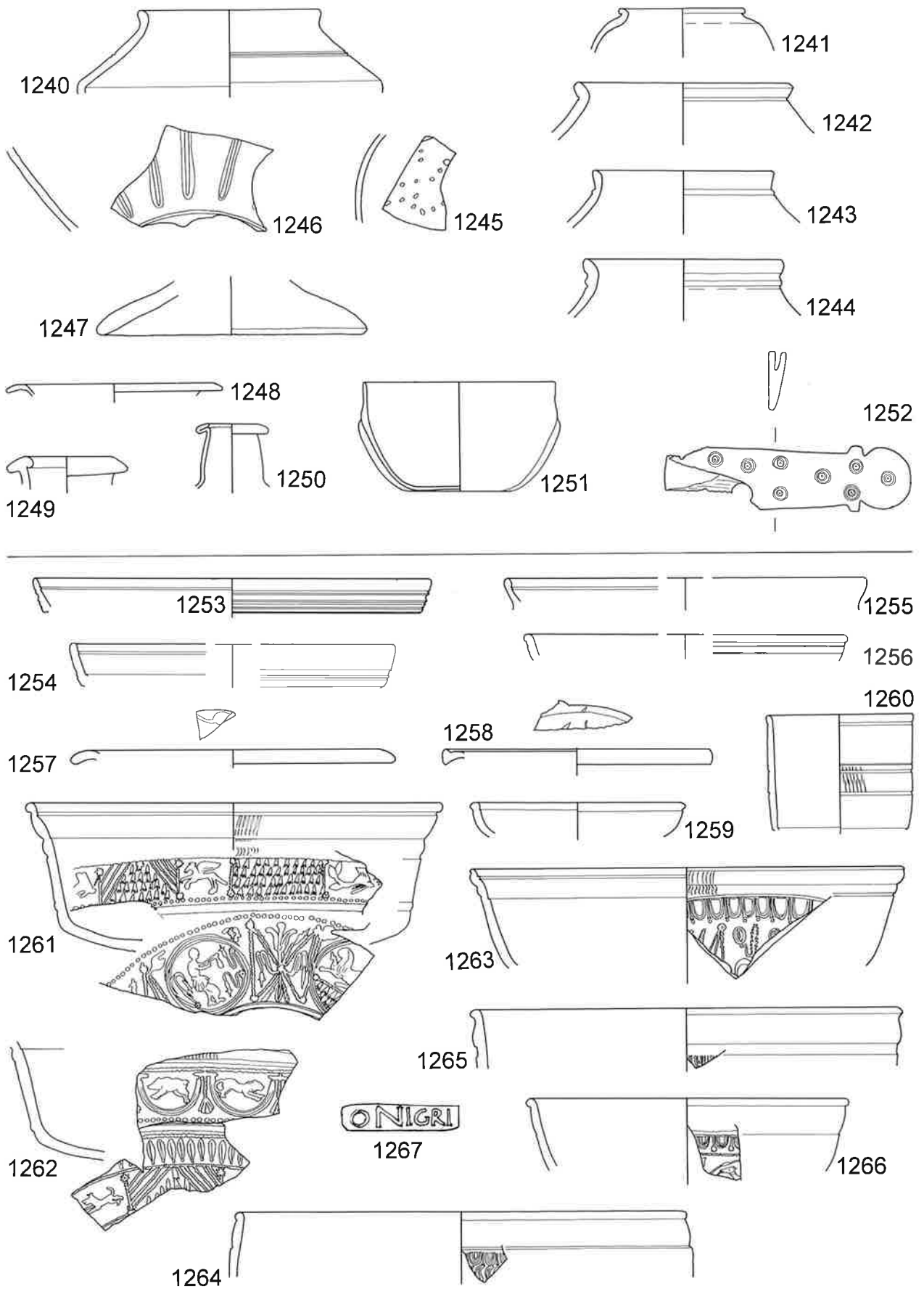


Taf. 51. Baden 1977. Steinbauperiode I.4. M 1:3, Nr.1160–1167 M 1:2, Nr.1174 M 1:1.

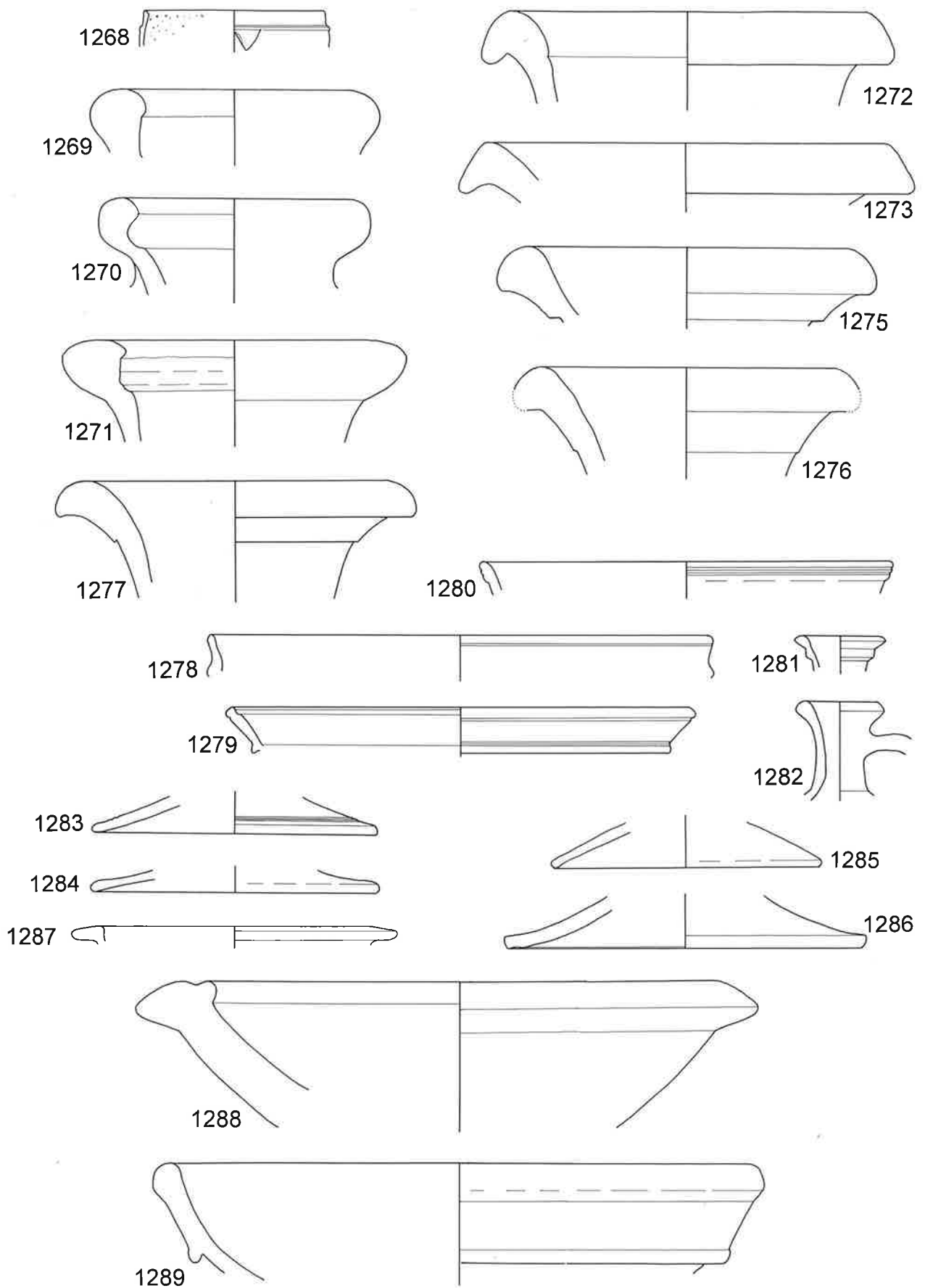


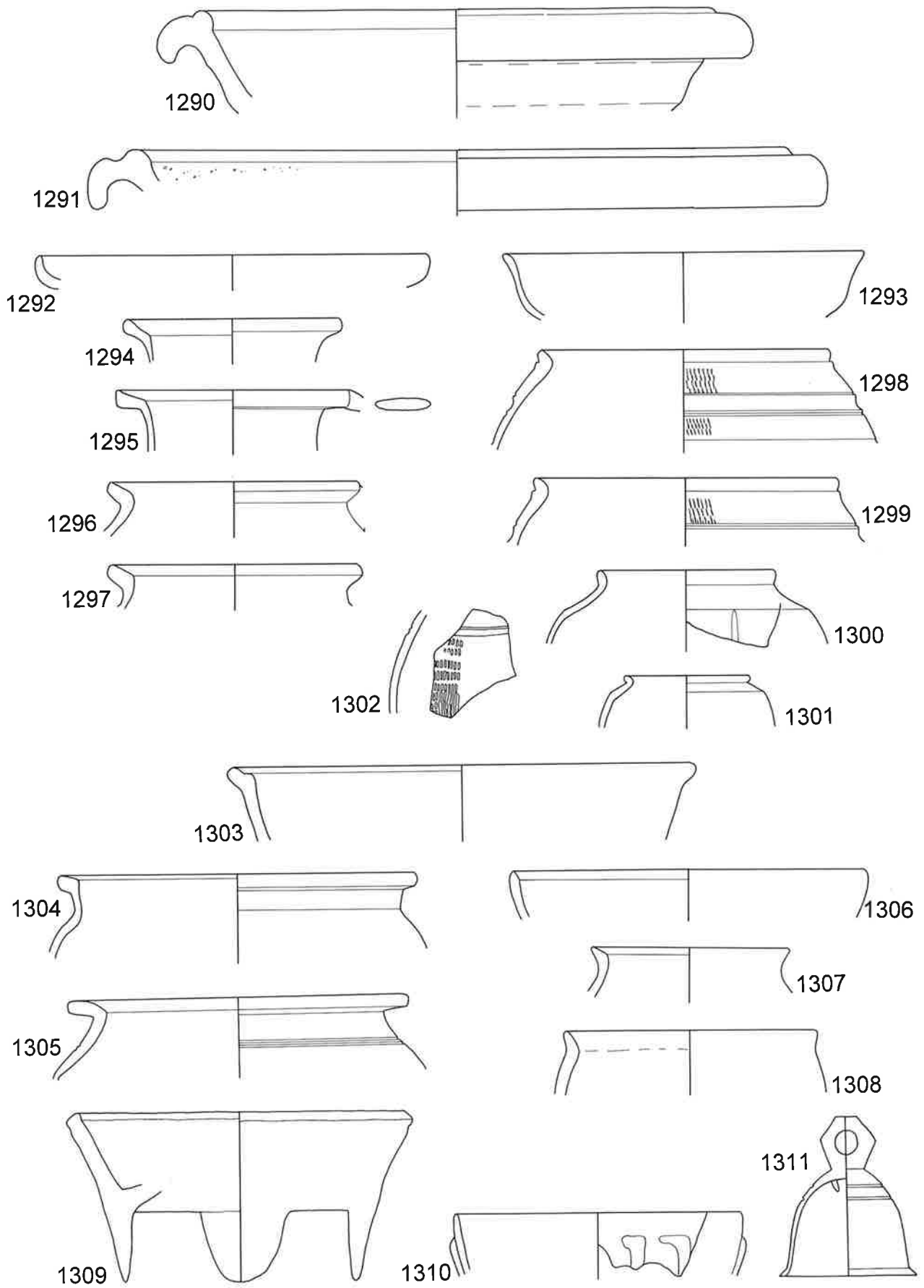


Taf. 53. Baden 1977. Steinbauperiode I.4. M 1:3.

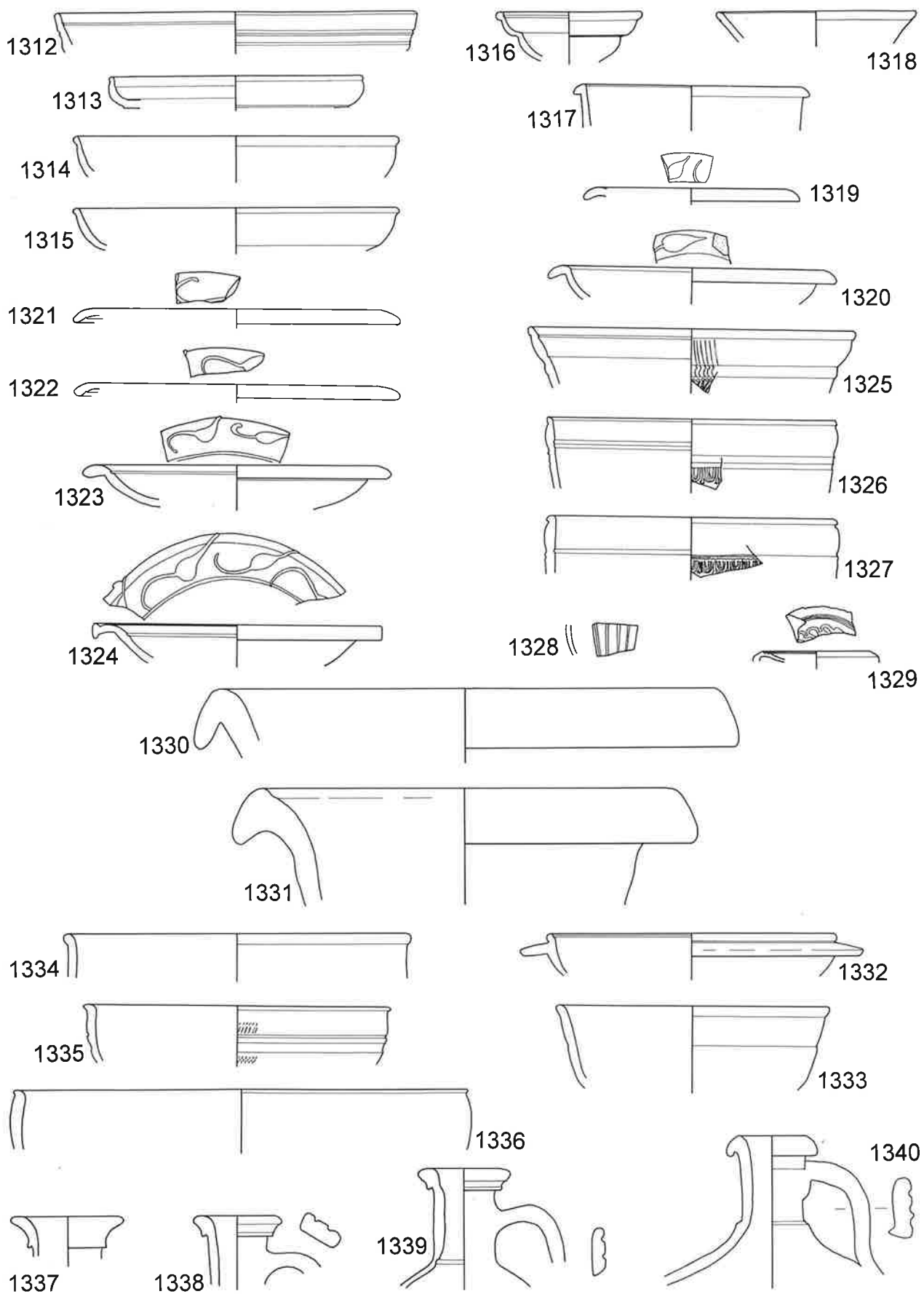


Taf. 54. Baden 1977. Steinbauperiode I.4. M 1:3, Nr.1252 M 1:2, Nr.1267 M 1:1.

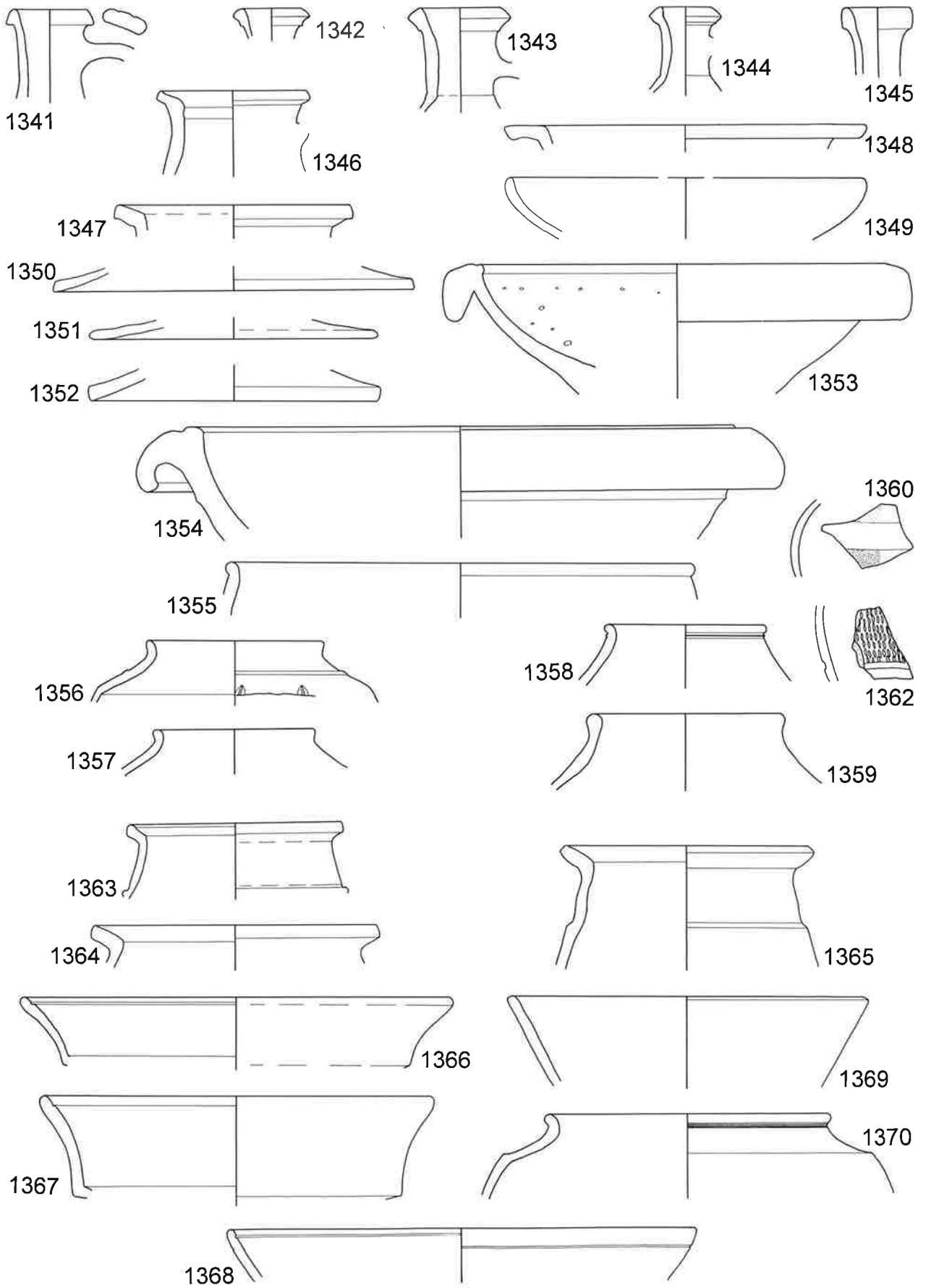


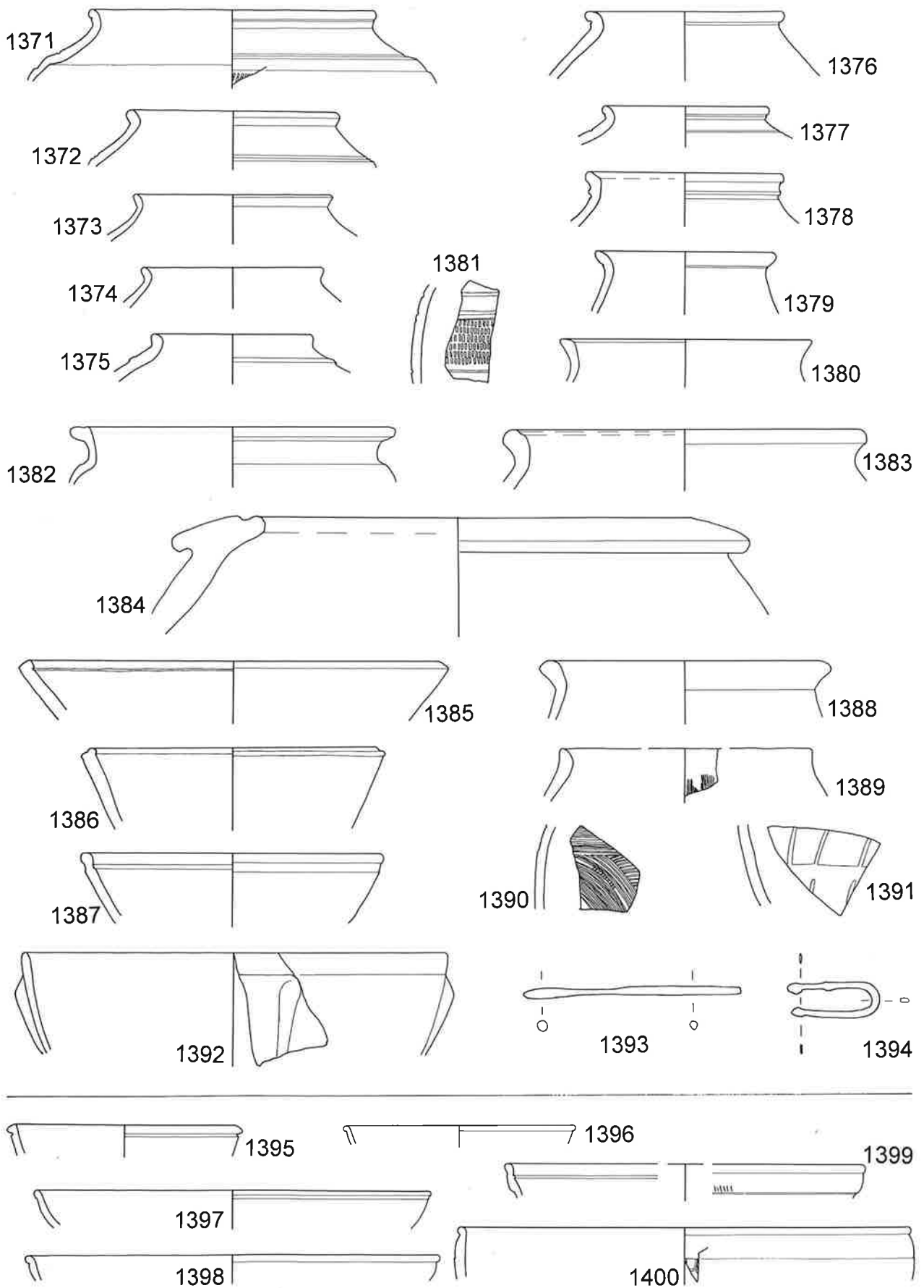


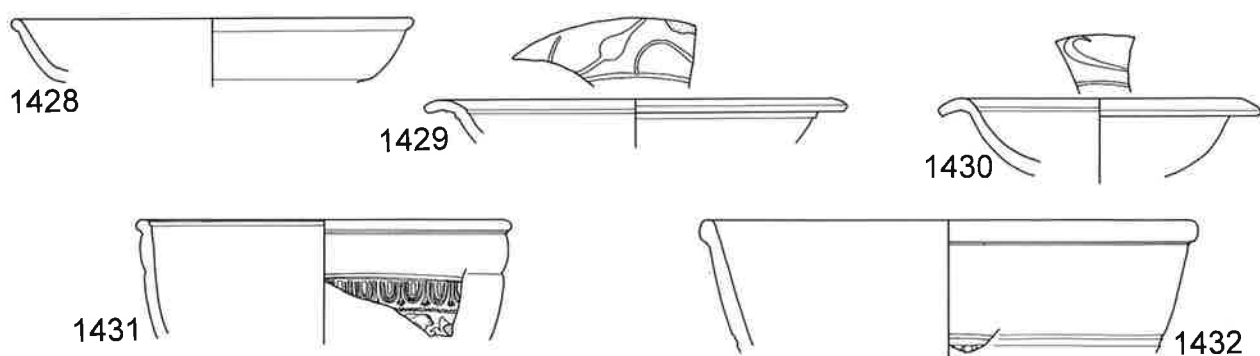
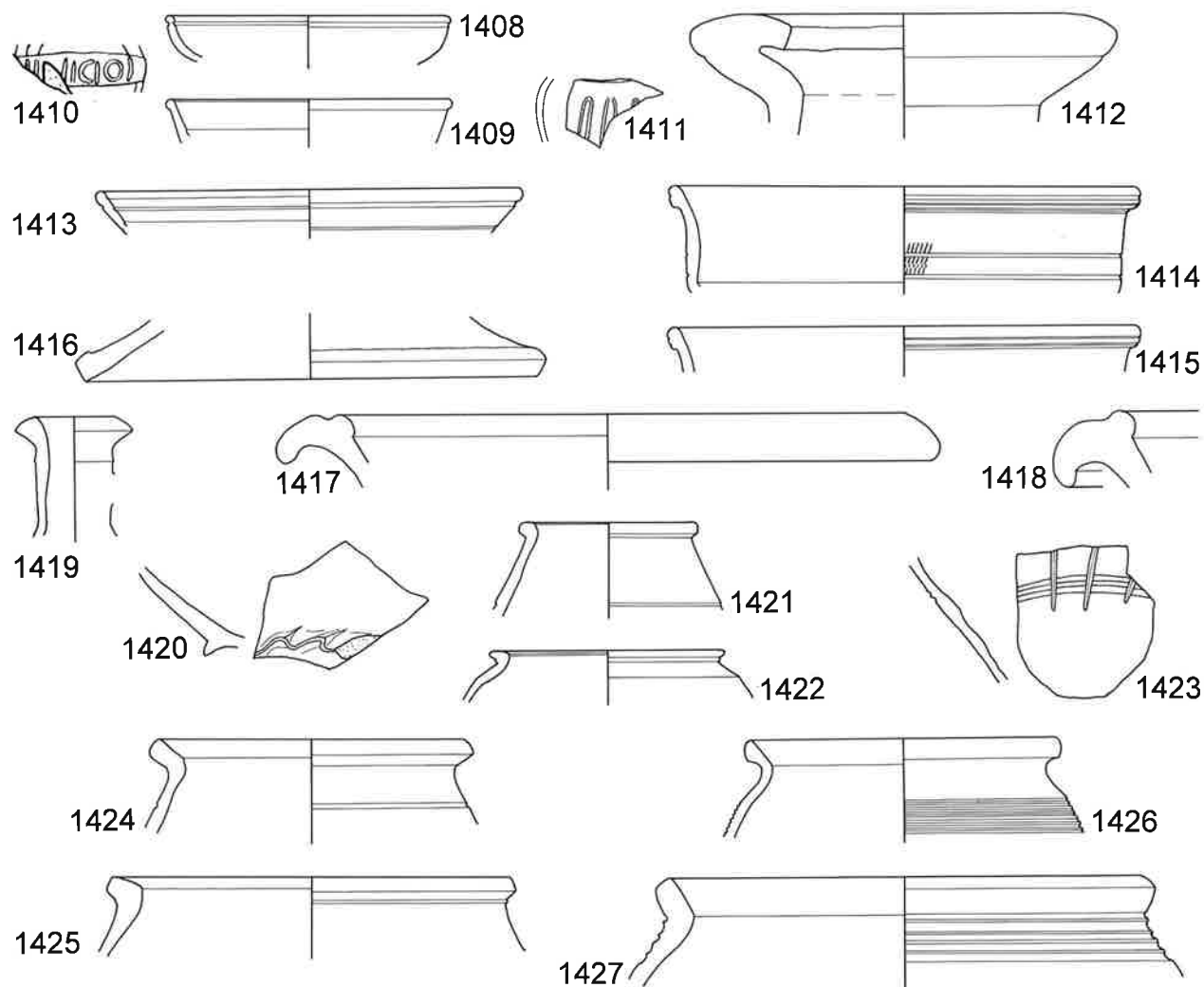
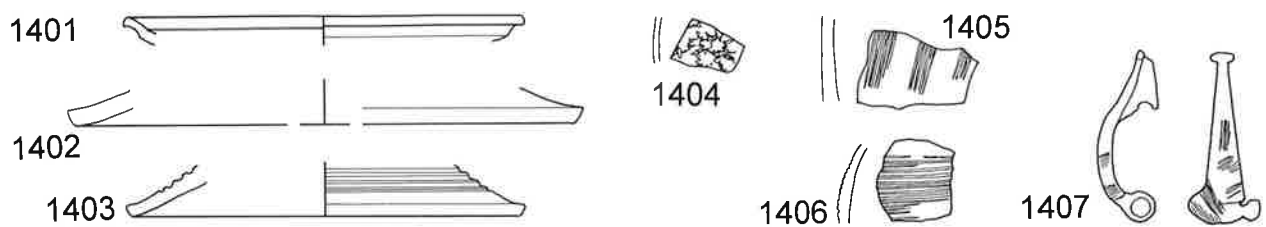
Taf. 56. Baden 1977. Steinbauperiode I.4. M 1:3, Nr.1311 M 1:2.



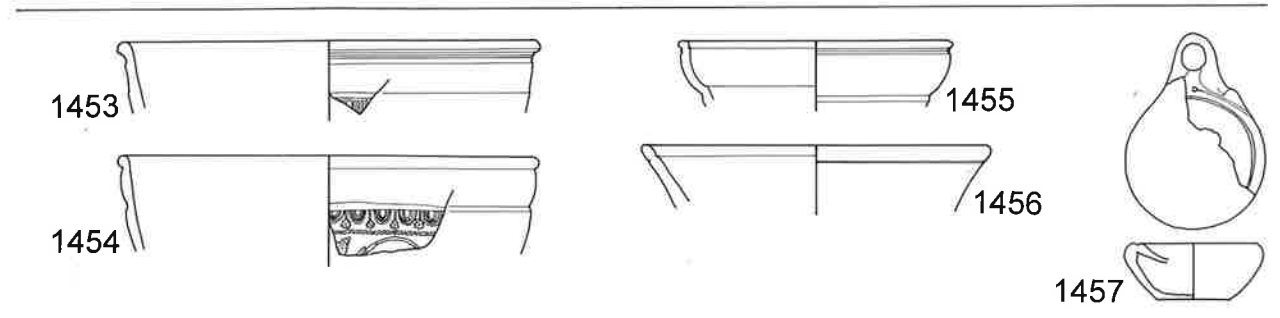
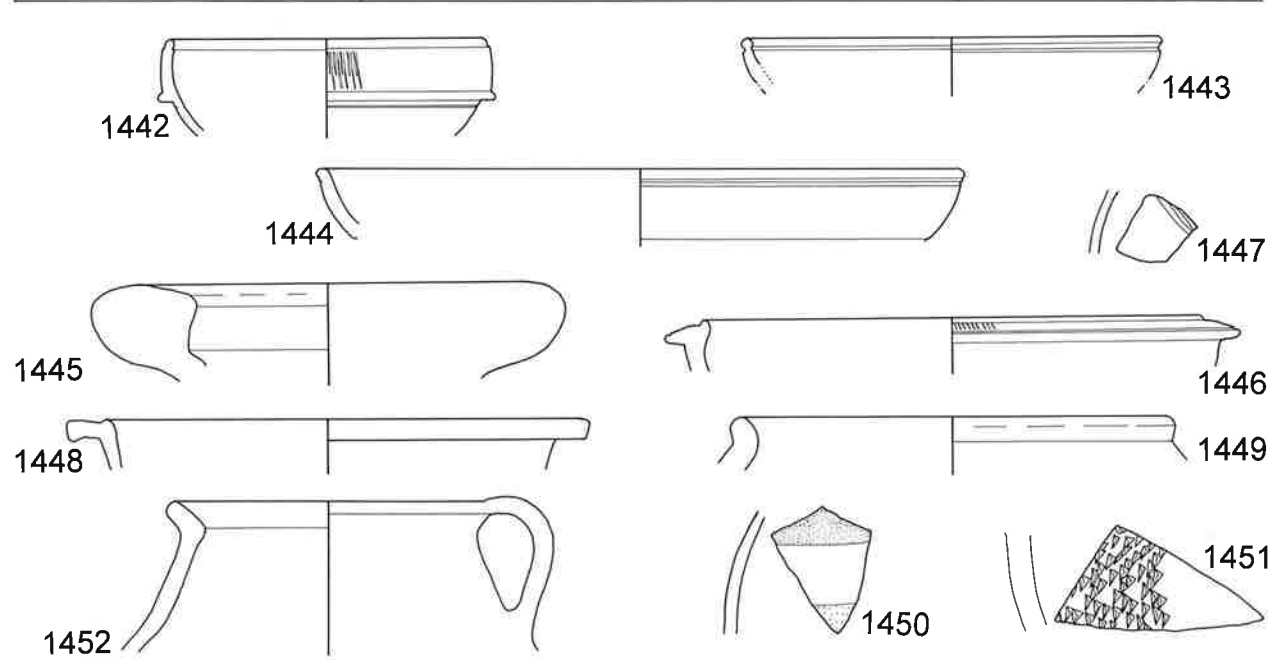
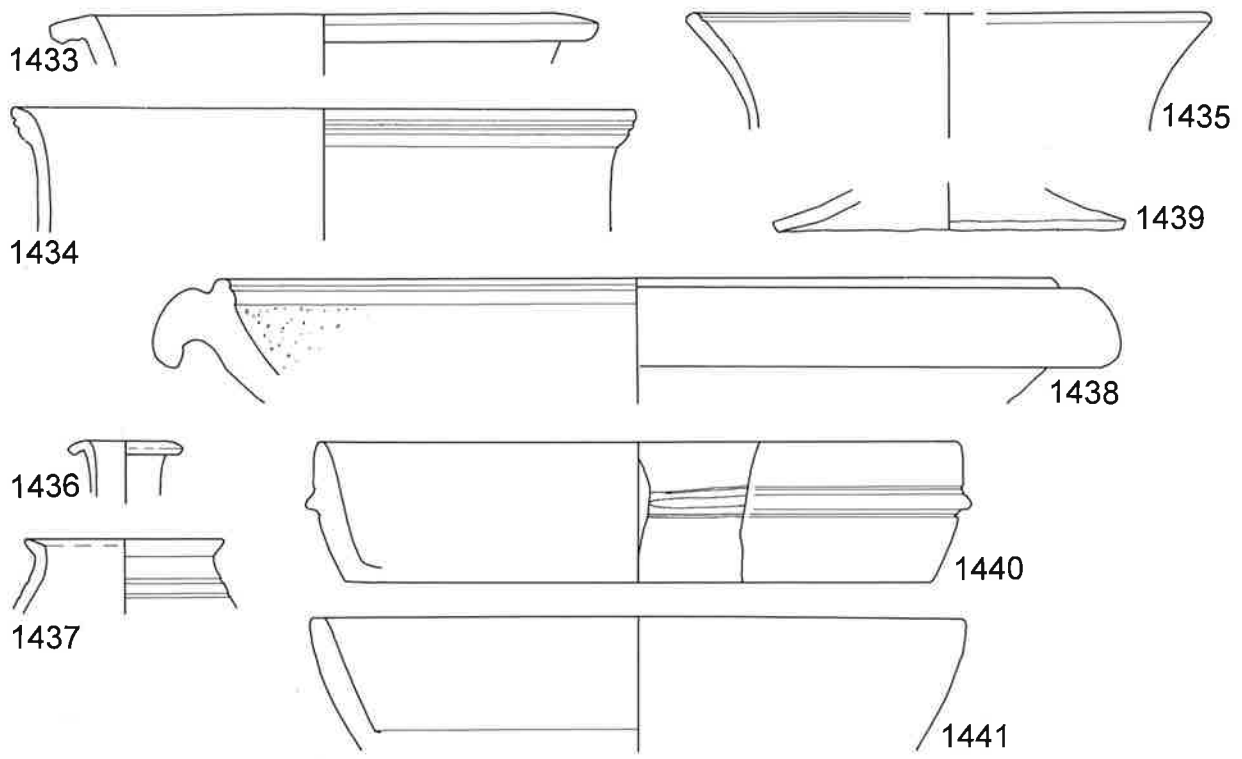
Taf. 57. Baden 1977. Steinbauperiode I.4. M 1:3.

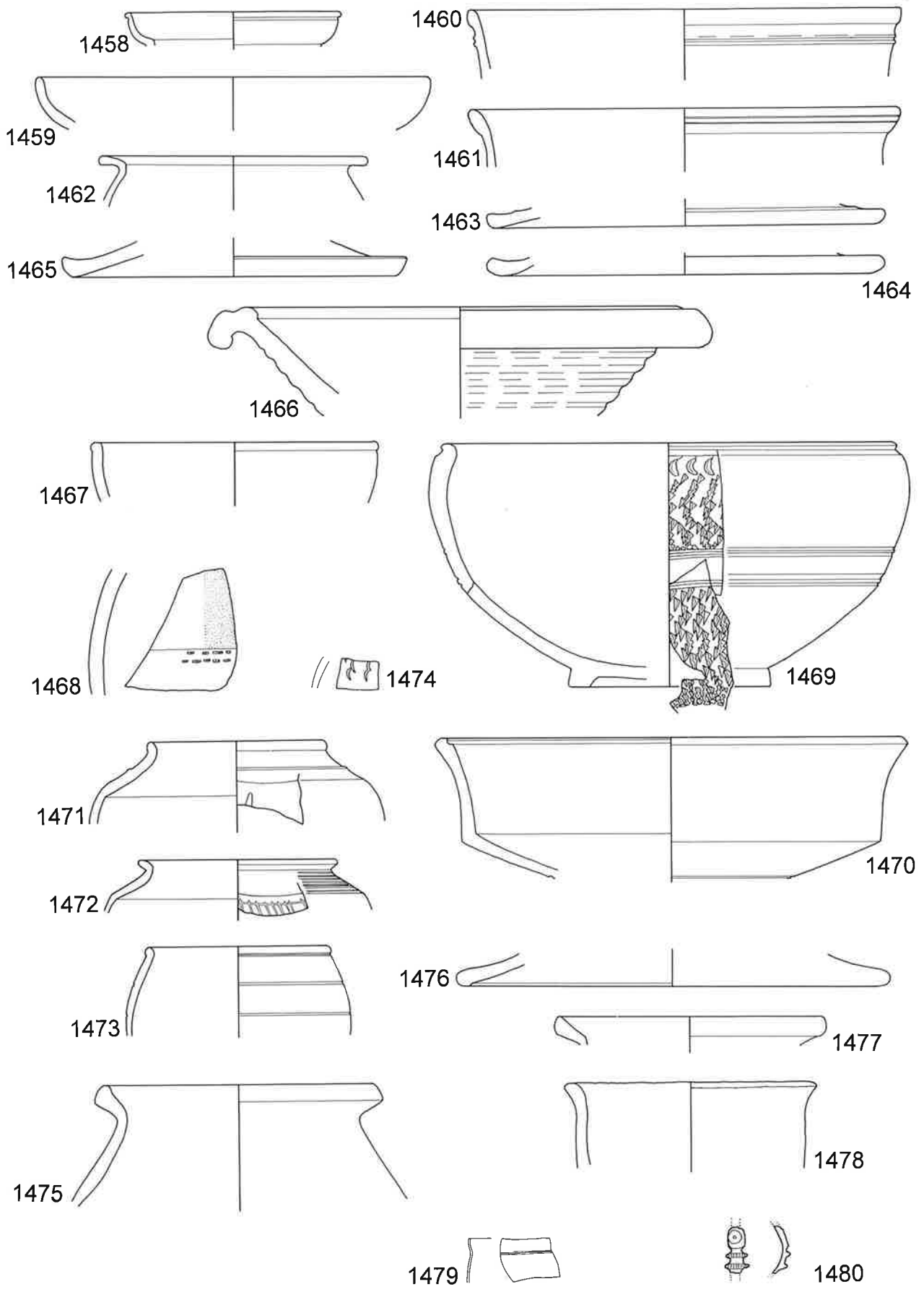


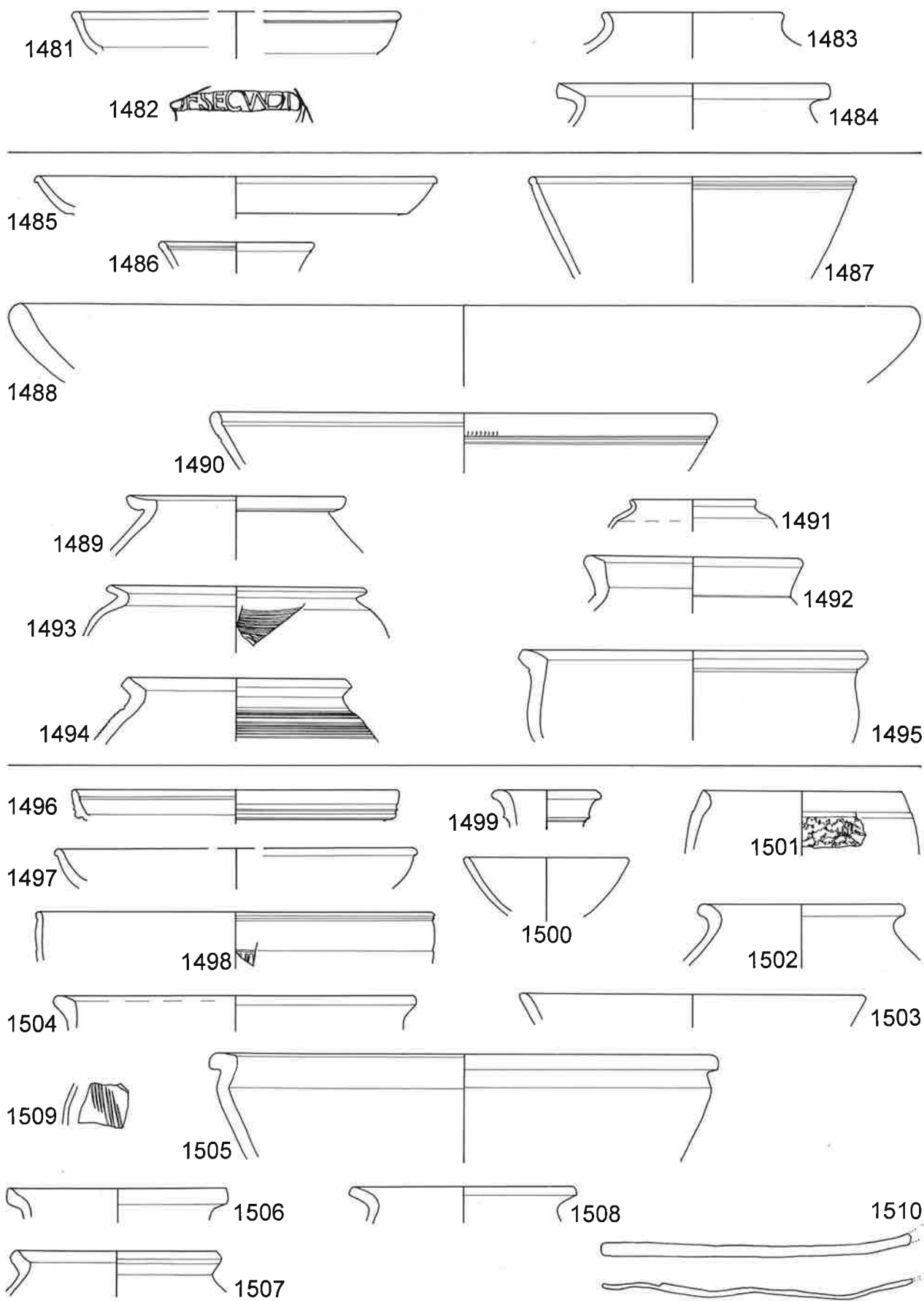




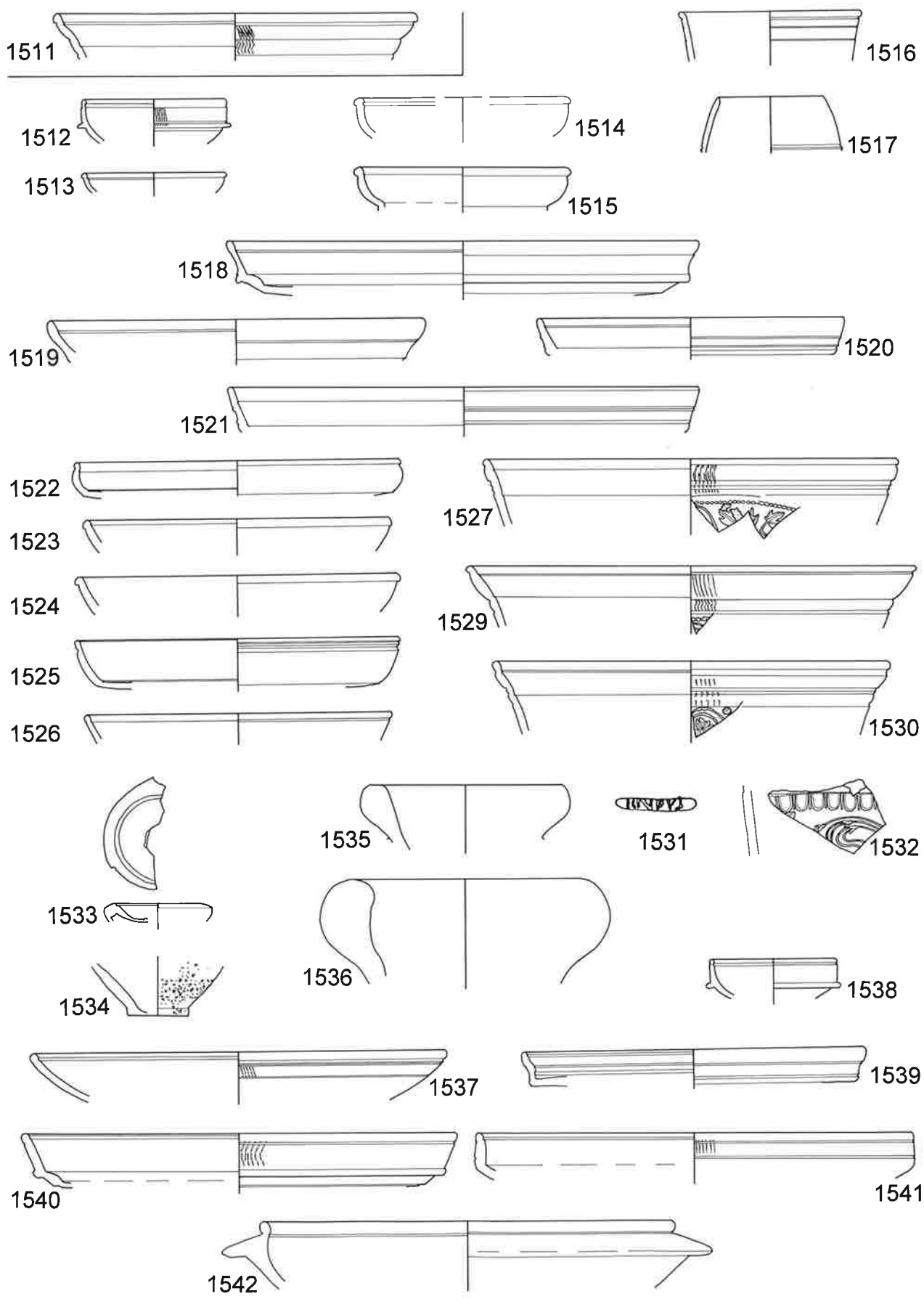
Taf. 60. Baden 1977. Steinbauperiode I.4. Nr.1401–1406 M 1:3, Nr.1407 M 1:2. – Steinbauperiode I.5. Nr.1408.1409.1411–1432 M 1:3, Nr.1410 M 1:1.



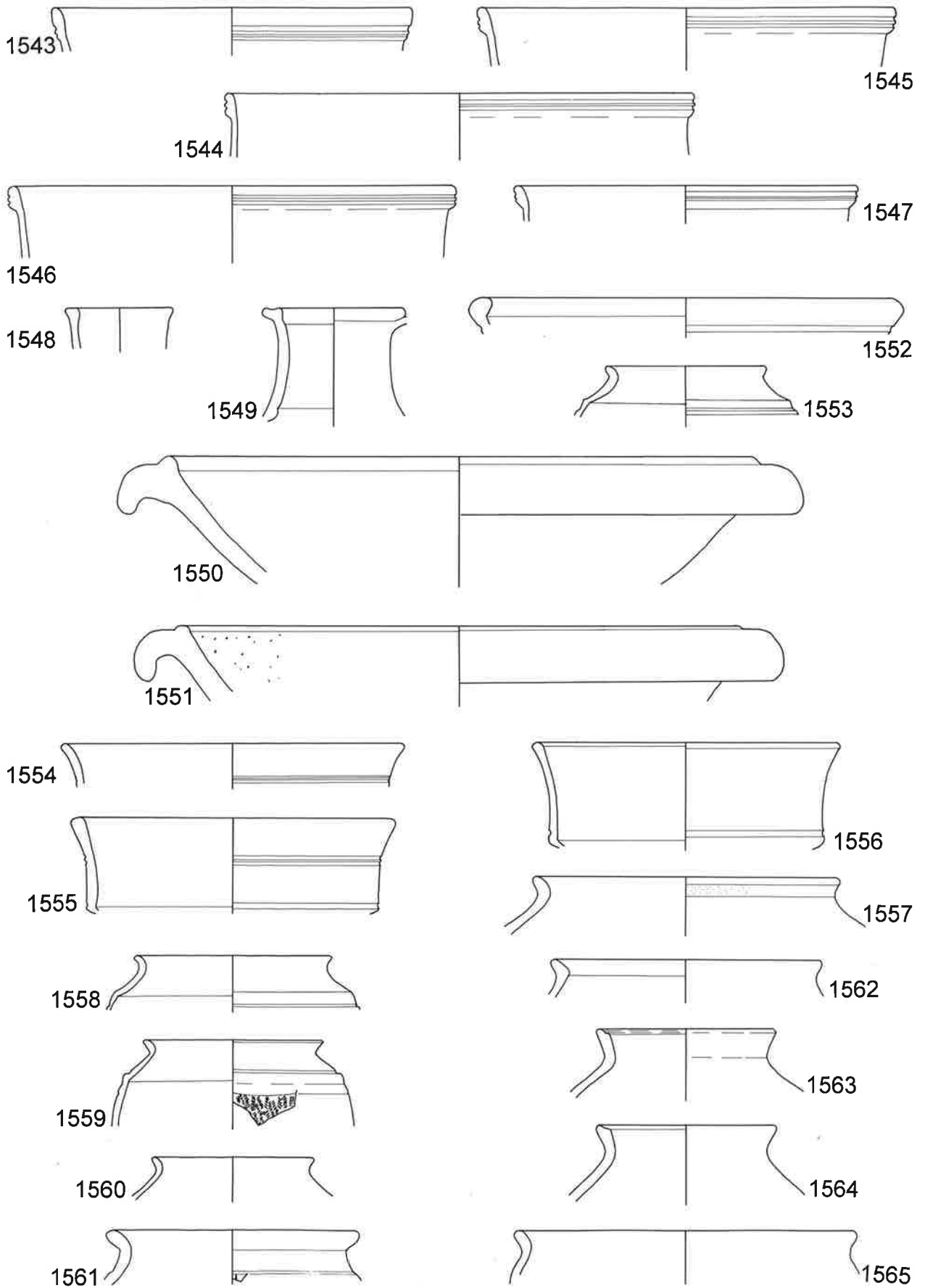




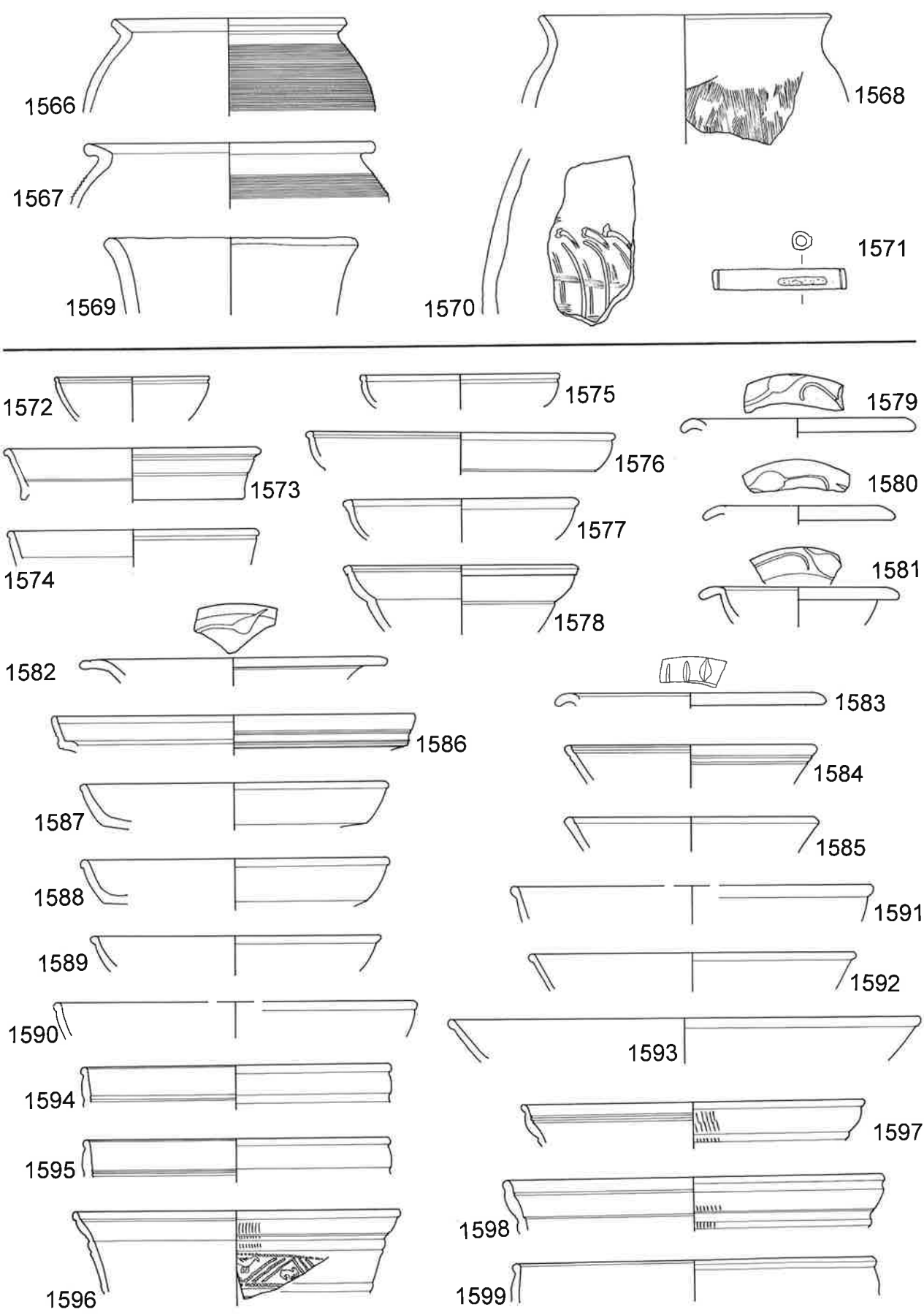
Taf. 63. Baden 1977. Steinbauperiode I.5. M 1:3, Nr.1482 M 1:1.



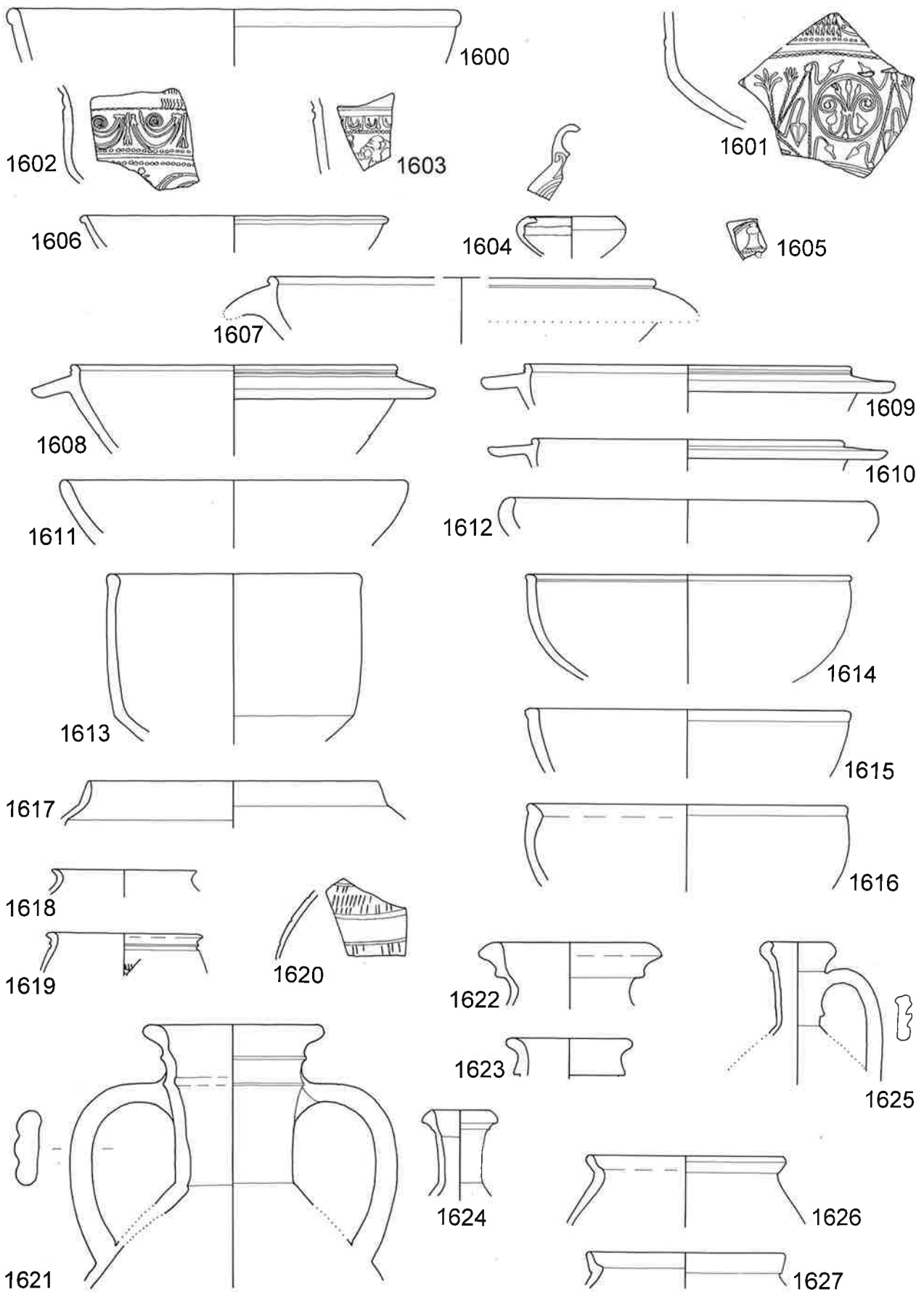
Taf. 64. Baden 1977. Steinbauperiode I.5. M 1:3, Nr. 1531 M 1:1.



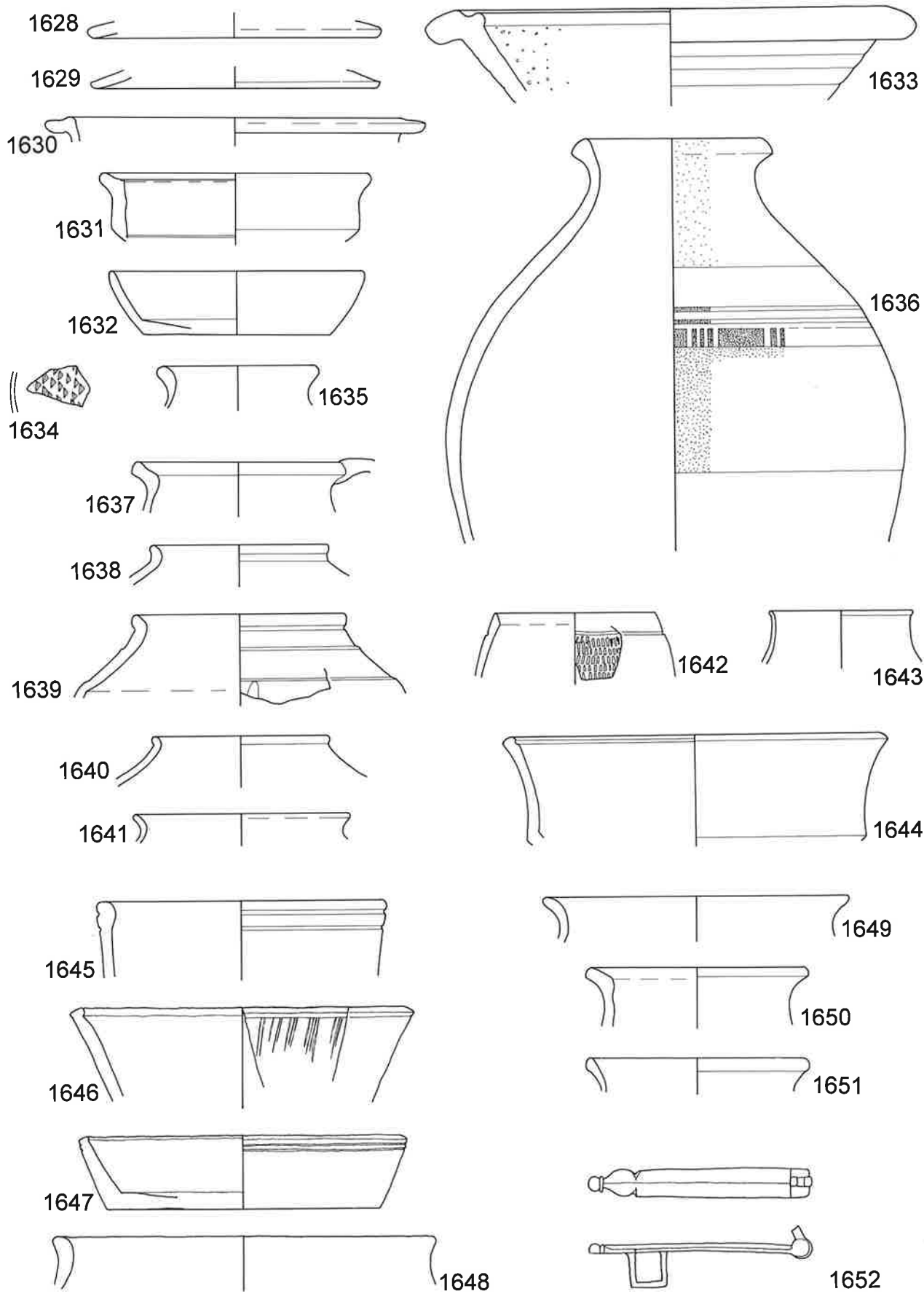
Taf. 65. Baden 1977. Steinbauperiode I.5. M 1:3.



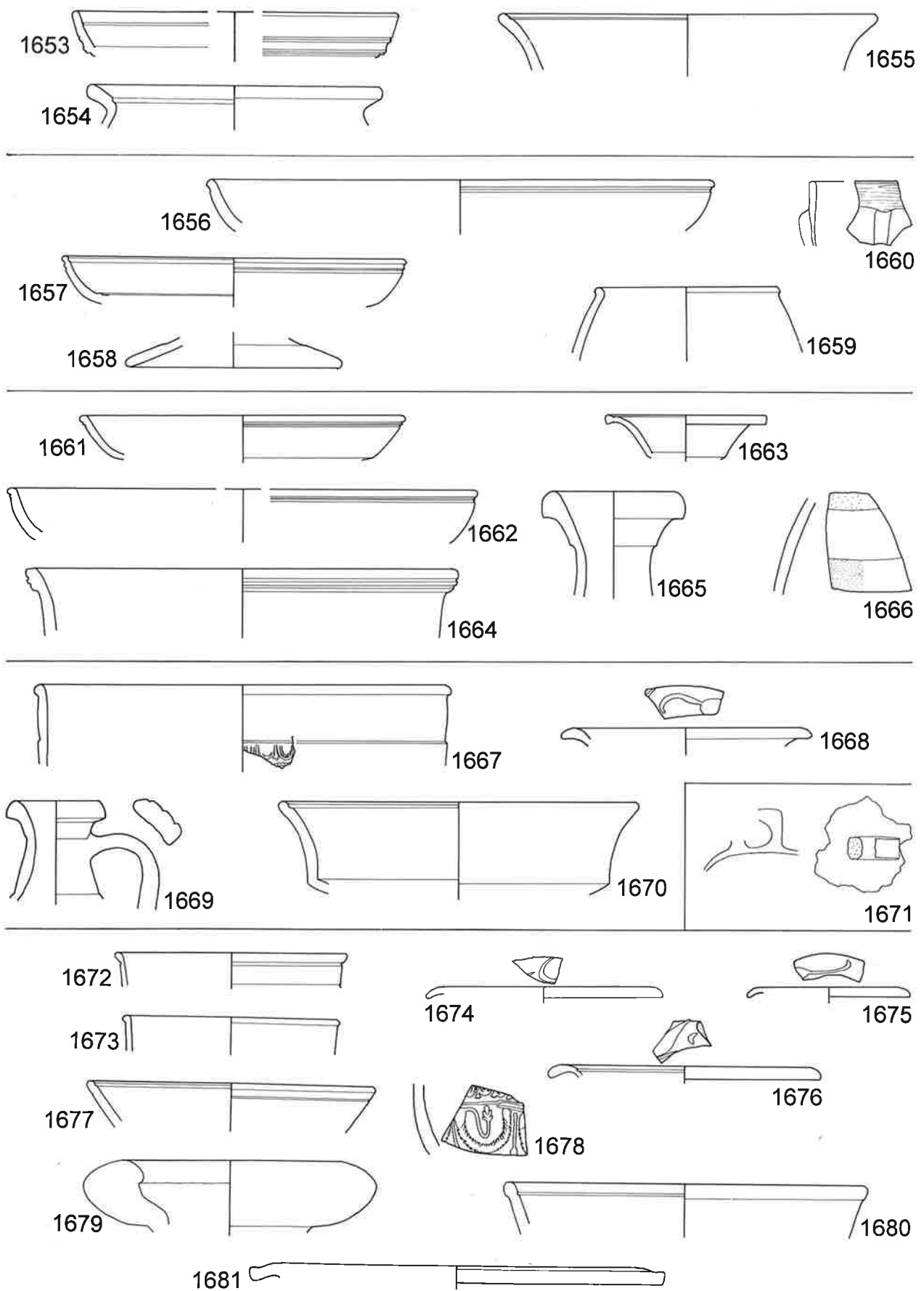
Taf. 66. Baden 1977. Steinbauperiode I.5. Nr.1566–1570 M 1:3, Nr.1571 M 1:2. – Steinbauperiode I.6. Nr.1572–1599 M 1:3.



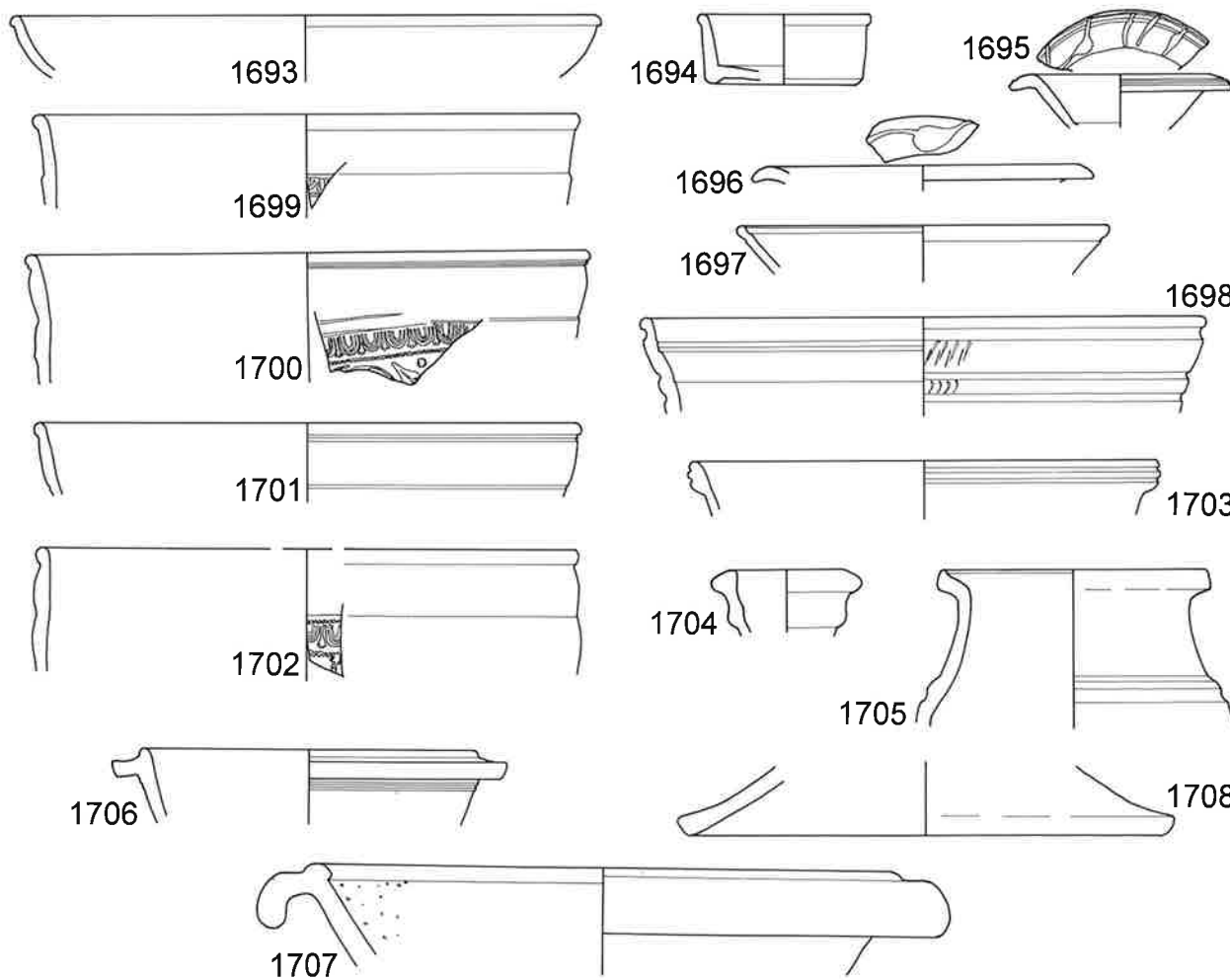
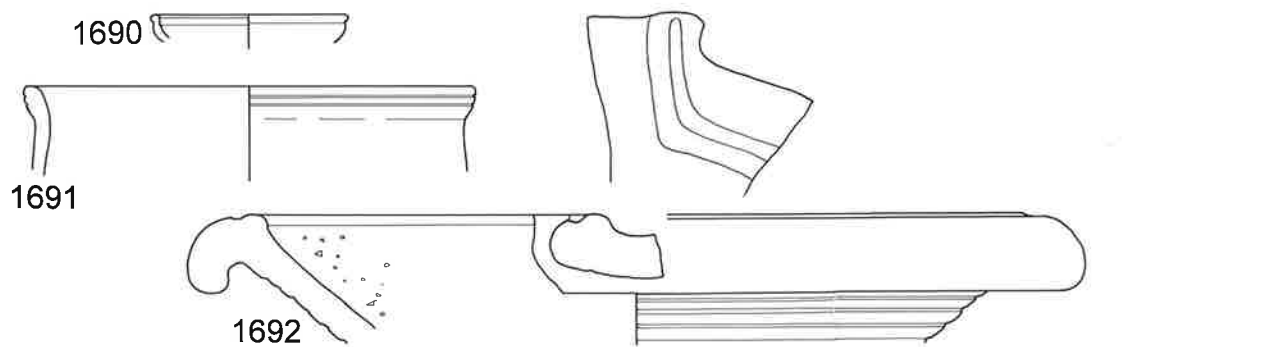
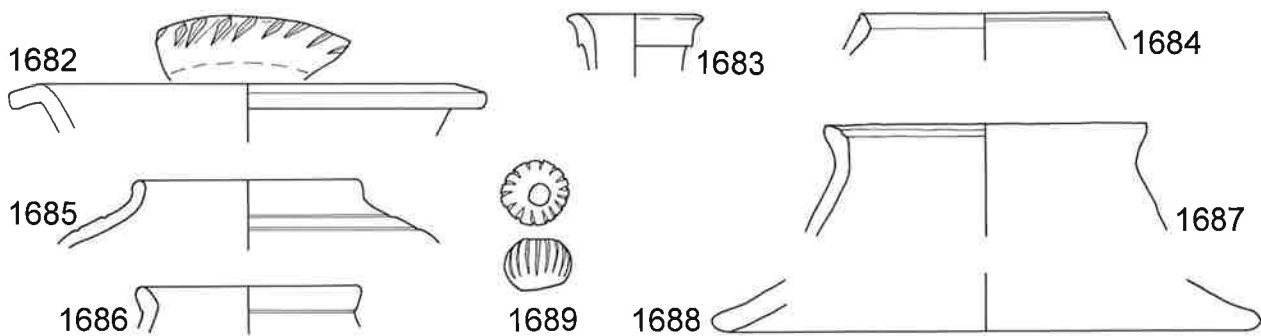
Taf. 67. Baden 1977. Steinbauperiode I.6. M 1:3.

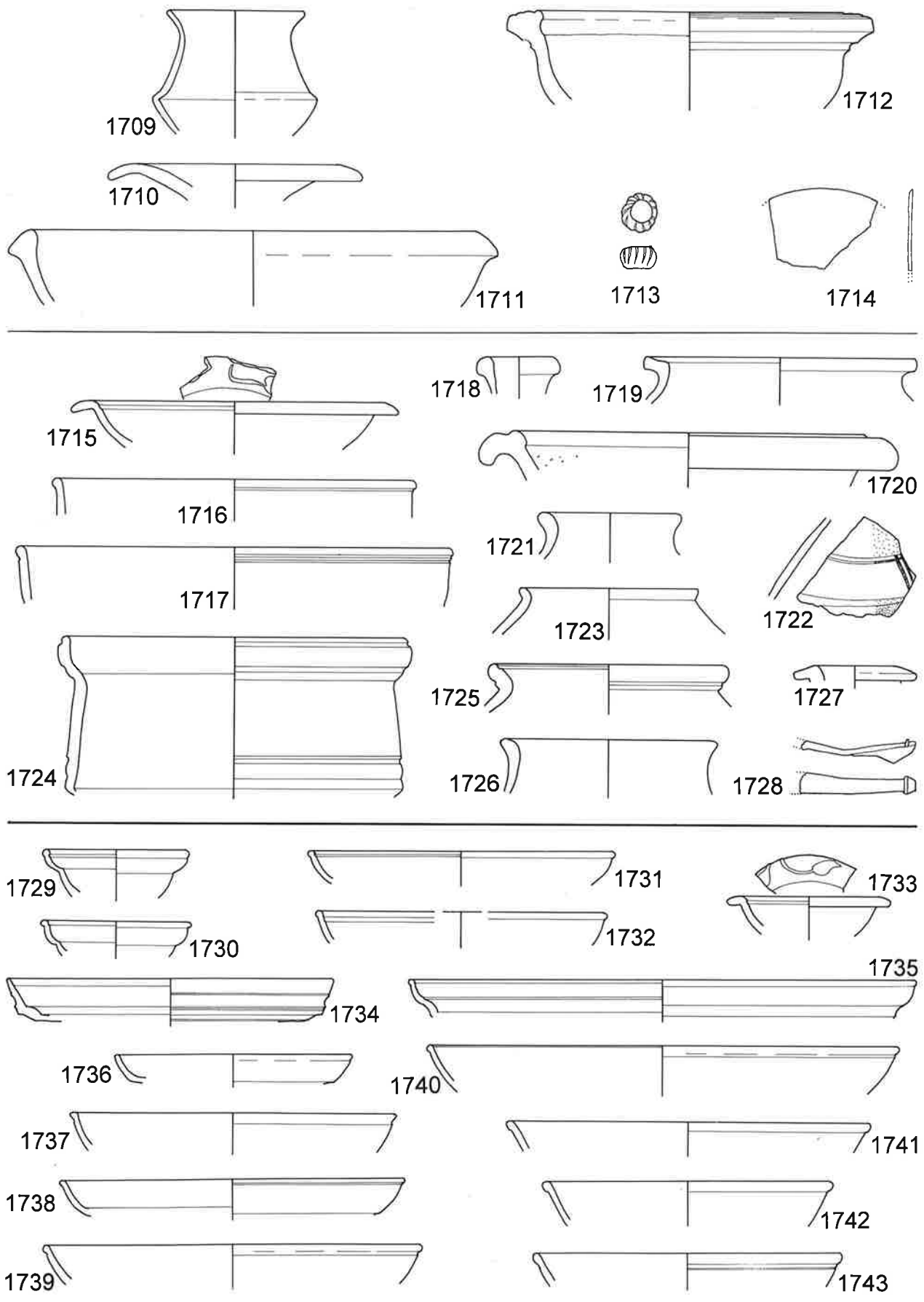


Taf. 68. Baden 1977. Steinbauperiode I.6. M 1:3, Nr. 1652 M 1:2.

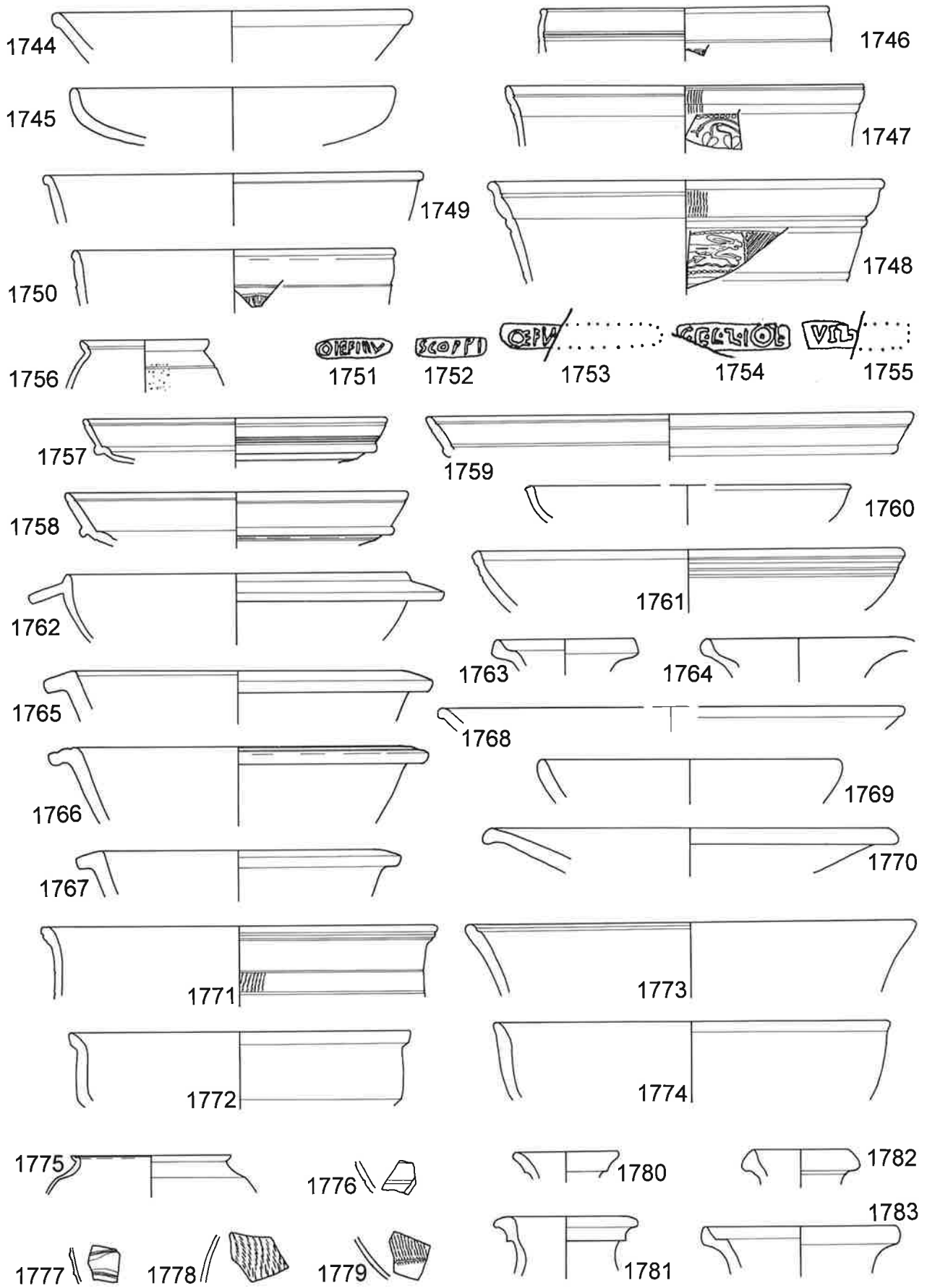


Taf. 69. Baden 1977. Steinbauperiode I.6. M 1:3.

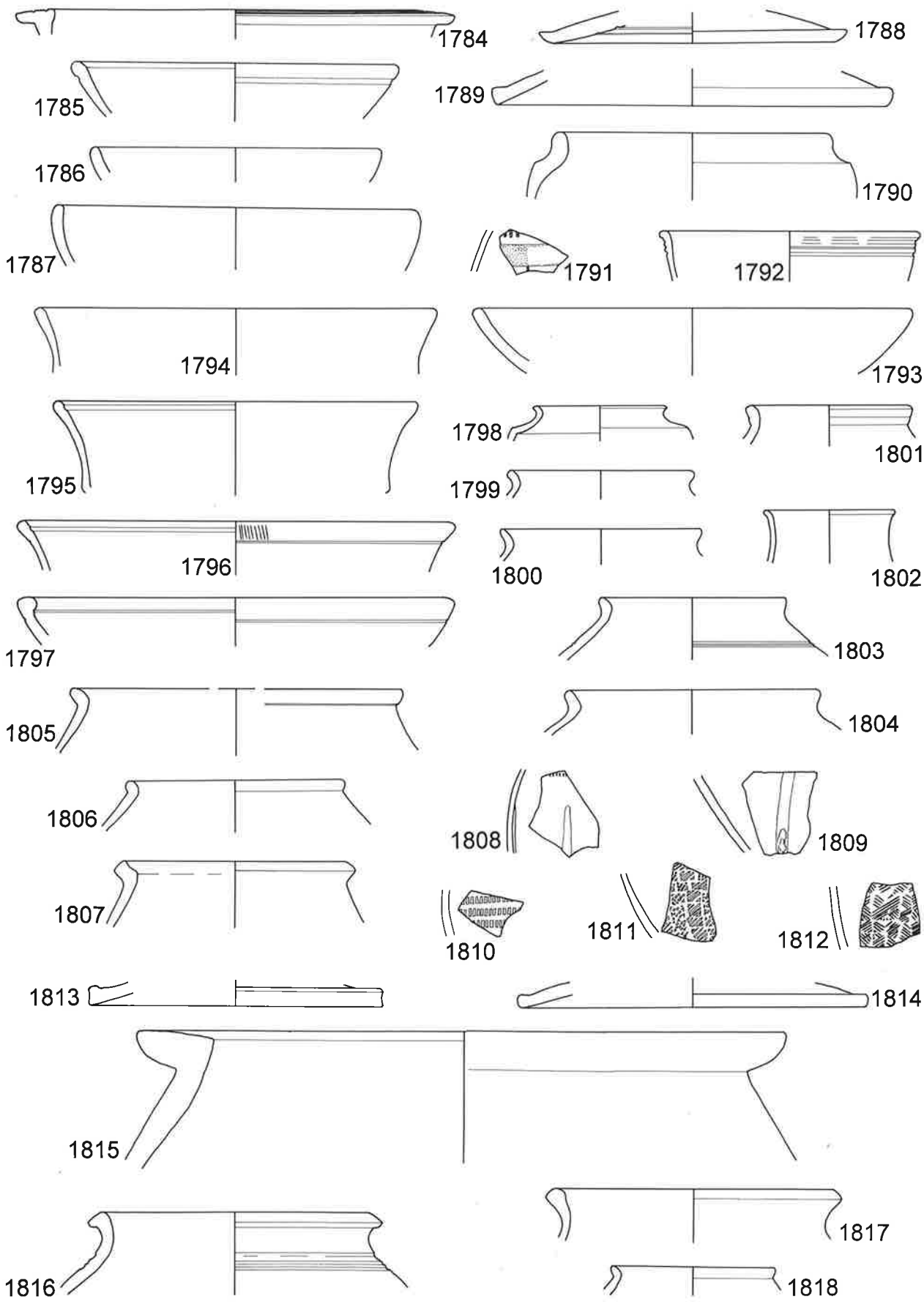




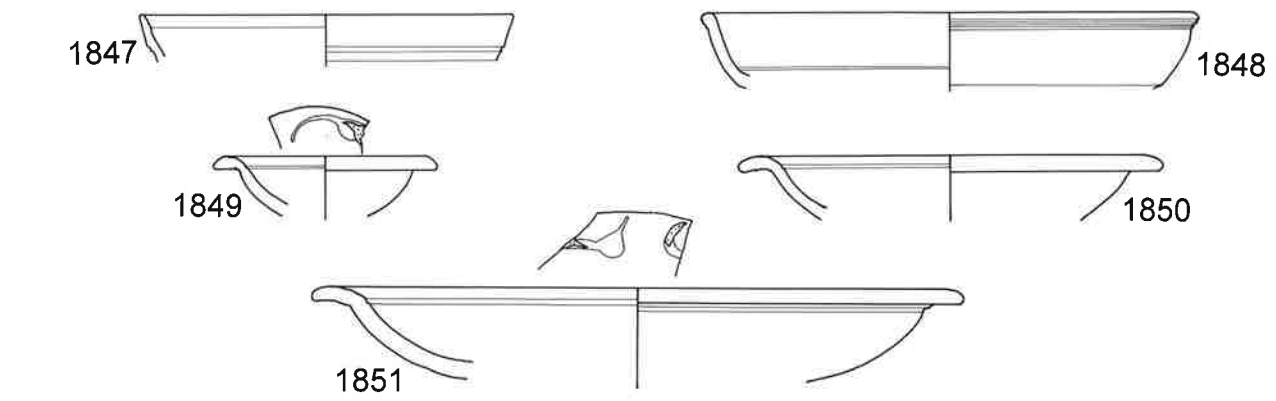
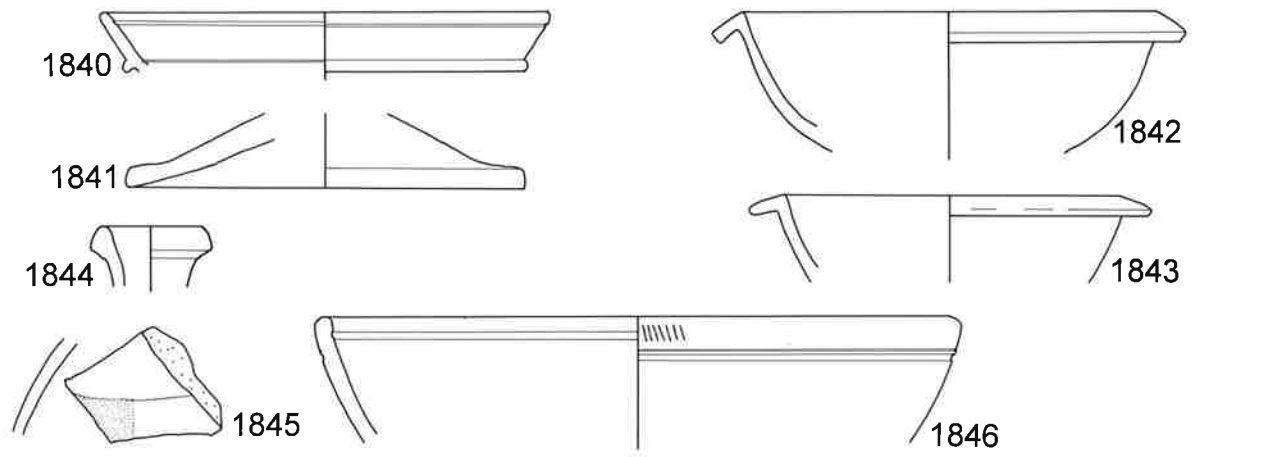
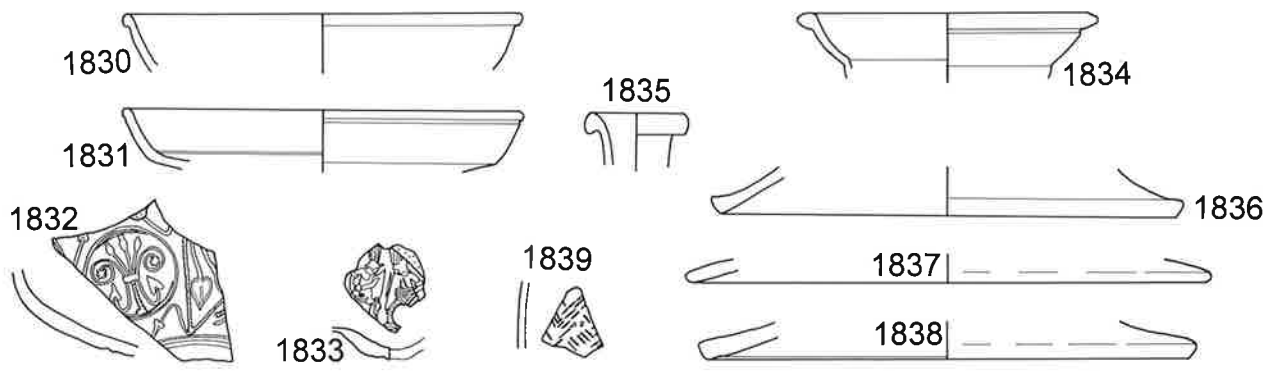
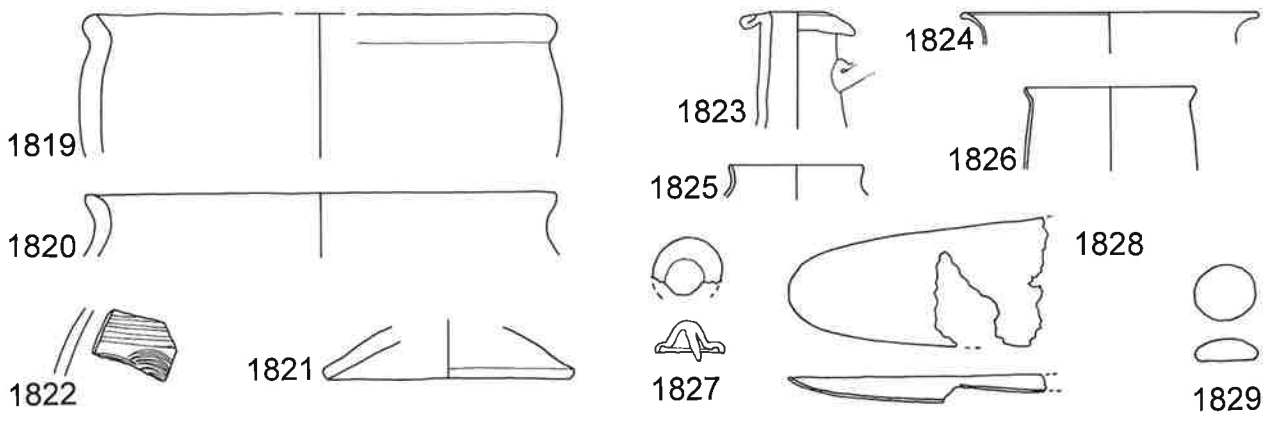
Taf. 71. Baden 1977. Steinbauperiode I.6. Nr. 1709–1712.1715–1727 M 1:3, Nr. 1713.1714.1728 M 1:2. – Steinbauperiode II.1. Nr. 1729–1743 M 1:3.



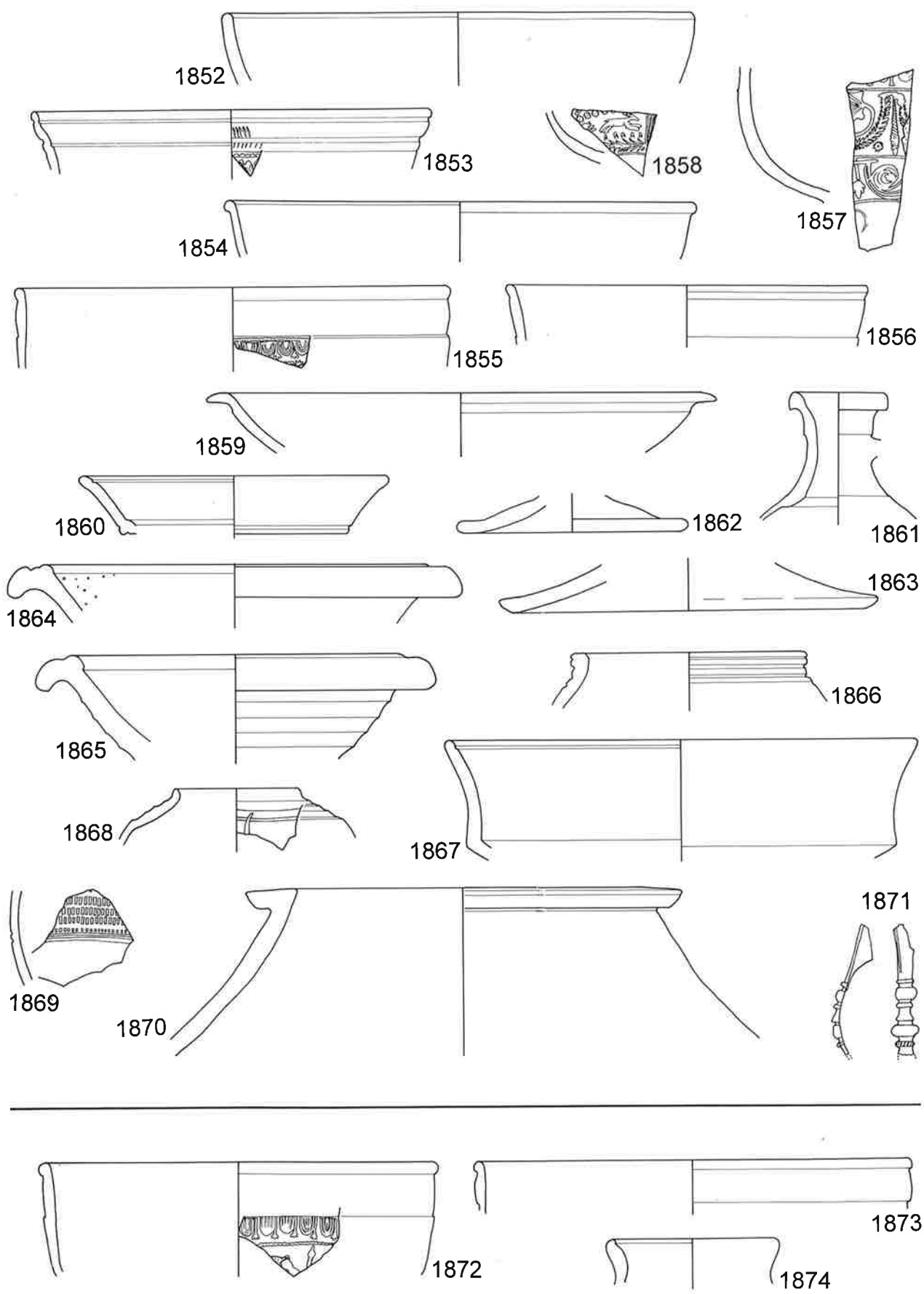
Taf. 72. Baden 1977. Steinbauperiode II.1. M 1:3, Nr. 1751–1755 M 1:1.



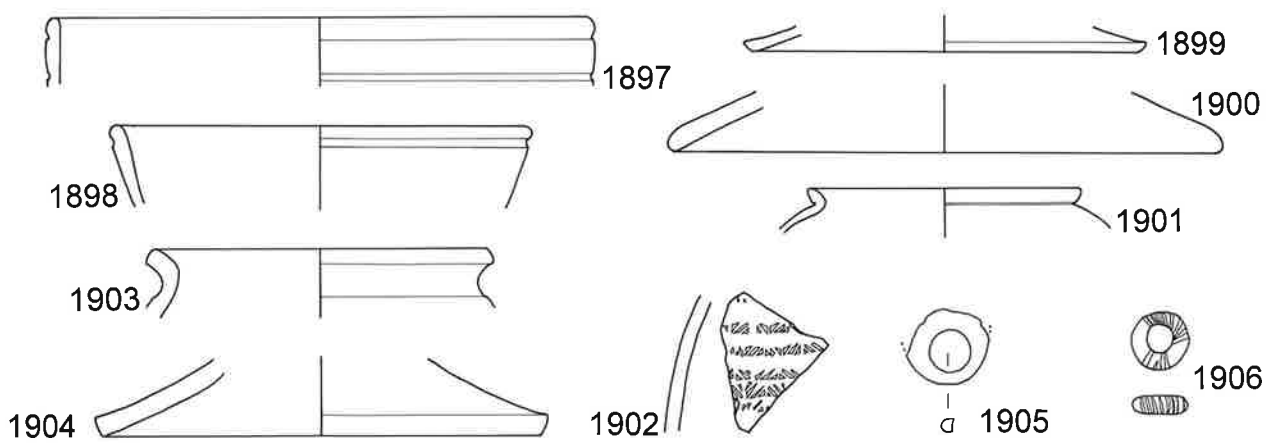
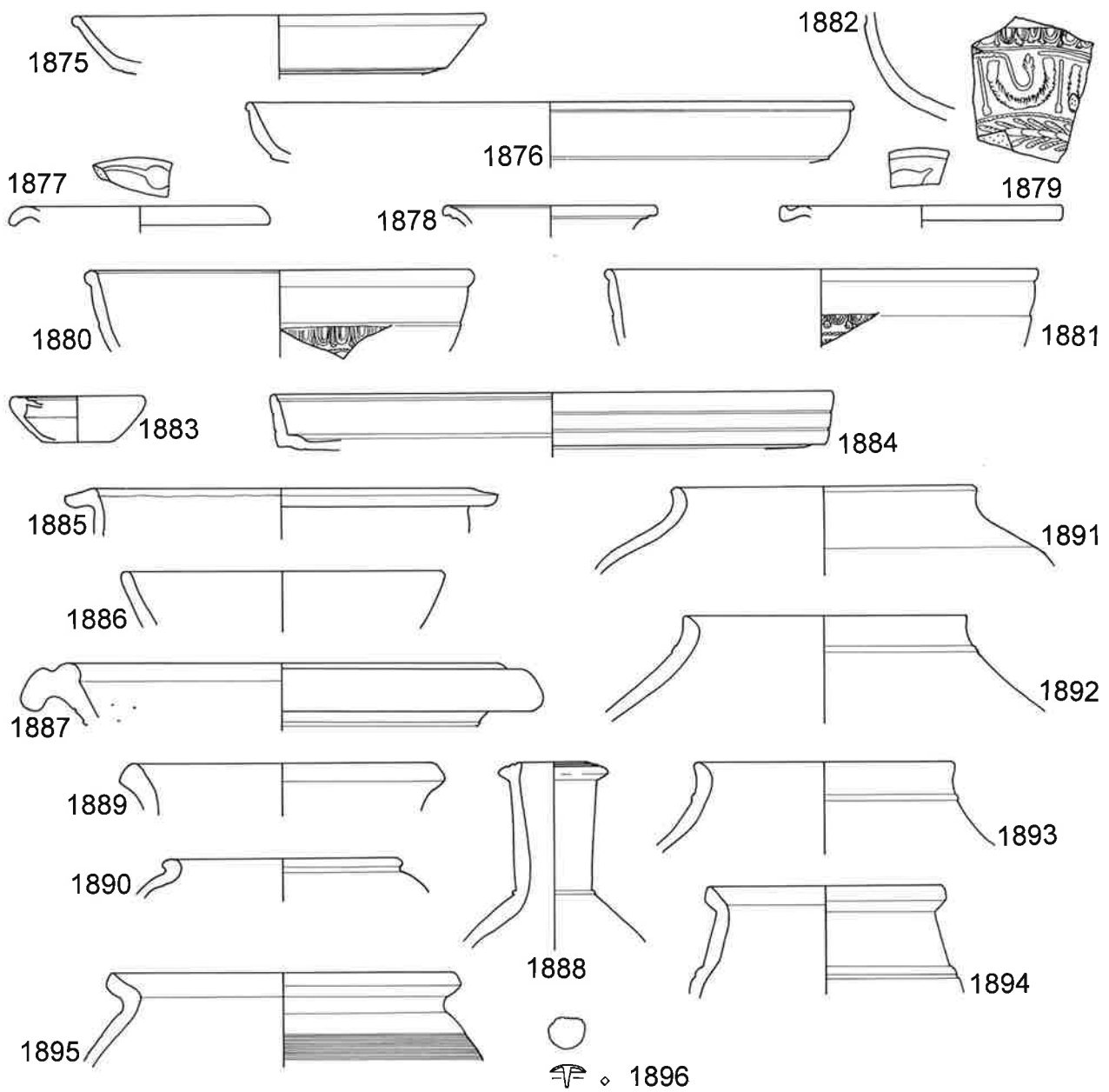
Taf. 73. Baden 1977. Steinbauperiode II.1. M 1:3.



Taf. 74. Baden 1977. Steinbauperiode II.1. M 1:3, Nr. 1827–1829 M 1:2.



Taf. 75. Baden 1977. Steinbauperiode II.1. Nr. 1852–1870 M 1:3, Nr. 1871 M 1:2. – Steinbauperiode II.2. Nr. 1872–1874 M 1:3.



Taf. 76. Baden 1977. Steinbauperiode II.3. M 1:3, Nr. 1896.1905–1906 M 1:2.

- sandig, mit Glimmer; Oberfläche dunkelgrau. FO Raum F. Inv.-Nr. B77/25.13.
- 1860 RS TS-Imitation Teller Drack 3. Ton beige-grau; Oberfläche grau. FO Raum F. Inv.-Nr. B77/25.10.
- 1861 RS Krug. Ton hellgrünlichbeige. FO Raum F. Inv.-Nr. B77/25.8.
- 1862 RS Deckel. Ton hellorange, mit Glimmer; Oberfläche am Rand teilweise geschwärzt. FO Raum F. Inv.-Nr. B77/25.6. Passscherbe zu Inv.-Nr. B77/252.18. (FO Unterlage/Splitterboden in Raum C der SP II.3).
- 1863 RS Deckel. Ton orange, mit Glimmer, fein gemagert; am Rand geschwärzt. FO Räume D/E. Inv.-Nr. B77/240.13.
- 1864 RS Reibschüssel. Ton kern orange, Mantel hellbeige; Oberfläche innen mit weissen Körnern. FO Räume D/E. Inv.-Nr. B77/240.12.
- 1865 RS Reibschüssel. Ton hellgrünlichbeige, mit Körnern gemagert; Oberfläche innen mit Körnern. FO Raum F. Inv.-Nr. B77/25.7.
- 1866 RS Tonne. Ton graubeige, sandig, mit Glimmer. FO Raum F. Inv.-Nr. B77/25.9.
- 1867 RS Schüssel Drack 20. Ton hellgrau; Überzug aussen und innen schwarz. FO Räume D/E. Inv.-Nr. B77/240.11.
- 1868 RS Schulterbecher mit Fadenaufgaben. Ton beige-grau; aussen braunschwarze, polierte Oberfläche/Überzug. FO Raum F. Inv.-Nr. B77/25.11.
- 1869 WS mit Rädchenmuster. Ton grau; Oberfläche dunkelgrau, aussen poliert. FO Raum F. Inv.-Nr. B77/25.12.
- 1870 RS Dolium. Ton schwarz, mit feinen, weissen Körnern, mit Glimmer. FO Räume D/E. Inv.-Nr. B77/240.14.
- 1871 Fragment einer querprofilierten Scharnierfibel (Riha Typ 5.6(?)). Bronze, Oberseite versilbert. FO Raum F. Inv.-Nr. B77/25.18. M 1:2.

12.12.2. Phase 2 (SP II.2; s. Beil. 22)

Parzelle II

Kiesboden in Raum F

- 1872 RS TS Schüssel Drag. 37, südgallisch. Inv.-Nr. B77/29.1.
- 1873 RS TS Schüssel Drag. 37, verbrannt. Inv.-Nr. B77/29.2.
- 1874 RS Flasche(?). Ton grau, sandig, mit Glimmer. Inv.-Nr. B77/29.5.

12.12.3. Phase 3 (SP II.3; s. Beil. 22)

Parzelle II

Unterlage/Splitterboden (BauhORIZONT) in Raum C

- 1875 RS TS Teller Drag. 18, südgallisch. Inv.-Nr. B77/252.4.
- 1876 RS TS Platte Drag. 18, südgallisch (Ton dunkel). Inv.-Nr. B77/252.3.
- 1877 RS TS Schälchen Drag. 35, südgallisch. Inv.-Nr. B77/252.7.
- 1878 RS TS Schälchen Drag. 46, südgallisch (Ton dunkel). Inv.-Nr. B77/252.6.

- 1879 RS TS Schälchen Drag. 42, südgallisch (Ton dunkel). Inv.-Nr. B77/252.5.
- 1880 RS TS Schüssel Drag. 37, südgallisch (Ton dunkel). Inv.-Nr. B77/252.1.
- 1881 RS TS Schüssel Drag. 37, mittelgallisch. Inv.-Nr. B77/252.2.
- 1882 WS TS Schüssel Drag. 37, südgallisch (Ton dunkel). Inv.-Nr. B77/252.10.
- 1883 Bildlampe. Ton hellgrünlichbeige; wenige Reste von dunkelbraunem Überzug. Inv.-Nr. B77/252.15.
- 1884 RS TS-Imitation Platte Drack 3, verbrannt(?). Ton hellorange; Überzug ehemals orange. Inv.-Nr. B77/252.13.
- 1885 RS Schüssel. Ton orange, fein gemagert; wenige Reste von Goldglimmerüberzug, Oberfläche am Rand geschwärzt. Inv.-Nr. B77/252.19.
- 1886 RS Teller. Ton orange, fein gemagert; Reste von Goldglimmerüberzug. Inv.-Nr. B77/252.17.
- 1887 RS Reibschüssel. Ton hellgrünlichbeige. Inv.-Nr. B77/252.21.
- 1888 RS Krug. Ton orange. Inv.-Nr. B77/252.16.
- 1889 RS Flasche(?), verbrannt(?). Ton hellbeige-grau. Inv.-Nr. B77/252.23.
- 1890 RS Topf. Ton orange, fein gemagert; mit Resten von Goldglimmerüberzug. Inv.-Nr. B77/252.20.
- 1891 RS Schultertopf. Ton grau; Oberfläche aussen geglättet. Inv.-Nr. B77/252.33.
- 1892 RS Topf. Ton grau, mit Glimmer; Oberfläche aussen geglättet. Inv.-Nr. B77/252.34.
- 1893 RS Topf. Ton grau; Oberfläche aussen geglättet. Inv.-Nr. B77/252.35.
- 1894 RS Topf. Ton dunkelbeige, fein gemagert; Oberfläche teilweise dunkelgrau. Inv.-Nr. B77/252.37.
- 1895 RS Kochtopf mit Kammstrich. Ton grau, fein gemagert, mit Glimmer. Inv.-Nr. B77/252.36.
- 1896 Bronzeniete. Inv.-Nr. B77/252.40. M 1:2.

Brandschicht in Raum F

- 1897 RS TS Schüssel Drag. 37, verbrannt. Inv.-Nr. B77/24.1.
- 1898 RS Schüssel mit Überzug und Goldglimmer. Ton orange; Überzug matt, orange, mit Goldglimmer. Inv.-Nr. B77/24.7.
- 1899 RS Deckel. Ton hellorange, fein gemagert. Inv.-Nr. B77/24.4.
- 1900 RS Deckel. Ton orange, mit weisser Magerung. Inv.-Nr. B77/24.5.
- 1901 RS feiner Topf mit Goldglimmerüberzug. Ton orange; aussen und innen mit Goldglimmerüberzug. Inv.-Nr. B77/24.8.
- 1902 WS mit Rädchenmuster. Ton dunkelbeige-grau. Inv.-Nr. B77/24.12.
- 1903 RS Kochtopf. Ton orange, gemagert; Oberfläche aussen und am Rand geschwärzt. Inv.-Nr. B77/24.10.
- 1904 RS Deckel. Ton dunkelbeige, gemagert. Inv.-Nr. B77/24.6.
- 1905 Fragment eines Glasringes. Glas grünlich, Oberfläche teilweise abgeblättert (verbrannt?). Inv.-Nr. B77/24.14. M 1:2.
- 1906 Glasring. Glas grünlich mit gelben Streifen. Inv.-Nr. B77/24.13. M 1:2.

13. Kommentar zu den zum Vergleich herangezogenen Fundplätzen und Komplexen⁵⁸⁸

Aislingen: Die Gründung des Kastells wird aufgrund der Münzreihe, früher südgallischer Sigillaten und eines mit rötlichem Überzug versehenen ACO-Bechers in spättiberische Zeit angesetzt (Ulbert 1959, 32f.42f.50; Schönberger 1978, 255).

Albinia (Grosseto/Toskana): Die Spuren einfacher Bauten dürften zu einer kleinen Siedlung von Fischern oder Hirten gehören (Ciampoltrini 1984, 161). Die Funde stammen aus drei Zonen (a.a.O. Abb. 2). Sie sind anhand der Münzen und der Keramik ins späte 2./1. Hälfte des 1. Jh. v. Chr. zu datieren⁵⁸⁹. Das Ensemble basiert auf den Randscherben (a.a.O. nach Katalog).

Altenburg-Rheinau: Im Oppidum ist das ehemalige Gehniveau nur in den rinnenartigen Mulden als ca. 30 cm starke Kulturschicht erhalten (Fischer 1985, 104). Auf den kiesigen Rücken war die Erosion so stark, dass nur sehr tief greifende Strukturen wie Gruben erhalten waren (Fischer 1975, 317). Das weitgehende Fehlen von Pfostenstellungen liess bisher eine ebenerdige, nämlich eine Blockbauweise, vermuten⁵⁹⁰. Nach den Fibeln dürfte die Besiedlung am Ende der Stufe LT C2 oder ganz zu Beginn der Stufe LT D1 eingesetzt und ein Ende mit der Gründung des Legionslagers Dangstetten (s. unten) gefunden haben oder kurz davor (Maute 1991, 394). An Keramik ist bisher nur eine kleine Auswahl – vor allem Grobkeramik – publiziert⁵⁹¹.

Altenstadt: In den 50er Jahren untersuchte man im Kastell sechs Perioden einer Umwehrgung und vier Phasen der Innenbebauung (Schönberger/Simon 1983, 30ff.). Da nur vier Münzen – Trajan 2, Hadrian 1, Antoninus Pius 1 – zum Vorschein kamen, ist die Datierung anhand der Keramik vorzunehmen. Das Bau datum einer ersten Schanze wird trotz dem Fehlen zuweisbarer Funde (Schucany 1986b) aufgrund der wenigen südgallischen Sigillaten – bei der Reliefsigillata sind es 2% – in spätdomitianische Zeit gesetzt (Schönberger/Simon 1983, 58). Dies ist wohl zu früh, da sich der Sigillatabestand in dieser Zeit noch fast ausschliesslich aus südgallischen Produkten zusammensetzt (Kap. 4.2.1.). Auch der Periode 2 liessen sich kaum Funde zuweisen; dennoch wird ein Belegungsunterbruch postuliert (a.a.O. 60ff.). Das Ende der Periode 3 lässt sich anhand eines grösseren Fundensembles ins 2. Viertel des 2. Jh. (um 135) datieren. Das Ende von Periode 4 wird nicht nach 150 angesetzt, obwohl in der untersten Einfüllung des Wehrgrabens eine Sigillatareischüssel Drag. 45 lag (a.a.O. 17), ein Typ, der erst gegen das Ende des 2. Jh. aufkommt (Pferdehirt 1976, 62) und in Hesselbach (s. unten) noch fehlt (Baatz 1973, Taf. 14). Die erste der beiden Brandschichten der Periode 5 datieren die Autoren anhand der Keramik um 160/170, die zweite bringen sie mit den Alemanneneinfällen von 233 in Verbindung. Eine Inschrift aus dem Jahr 242 ergibt einen terminus post für das Ende des Kastells, das wohl mit den Alemanneneinfällen um 259/260 zusammenhängt.

Augst: In der *Insula 31* konnte ein unterstes Paket von Kulturschichten erfasst werden, das über Hölzern lag, die dendrochronologisch ins Jahr 6 v. Chr. zu datieren sind (Furger 1985a, 128). Das

Fundspektrum lässt sich sehr gut mit Haltern (s. unten) vergleichen (a.a.O. 140).

Aus Augst sind bisher mehrere Fundkategorien publiziert – Fibeln (Riha 1979), Löffel (Riha/Stern 1982), Toilettengeräte und medizinische Instrumente (Riha 1986), Amphoren (Martin-Kilcher 1987), Schmuck (Riha 1990), Gläser (Rütti 1991), Schlängentöpfe (Schmid 1991) – zu deren Datierung die *Fundkomplexe* der jeweiligen Fundstücke herangezogen sind (Riha 1979, 743). Ensembles mit weniger als 6–8 Scherben sind nicht berücksichtigt, ebenso solche aus offensichtlichen Mischschichten oder aus Oberflächenschichten. Ein Fundkomplex wird als eine Einheit von Funden beschrieben, die man auf einer begrenzten Fläche und Tiefe miteinander ausgegraben hatte⁵⁹². Fundkomplexe können, müssen aber nicht, archäologisch trennbaren Befunden (Schichten/Strukturen) entsprechen. Eine eigentliche Auswertung der ganzen Schichtabfolge war aber nicht möglich. Es handelt sich demnach um eine Fundkomplex-Datierung und nicht um eine Schicht-Datierung, denn mit einer Ausnahme (Schmid 1991, 75ff.) fehlen Hinweise zur Beziehung von Komplex zu Befund bzw. Schicht. Auch die Nennung von OK/UK hilft dem Aussehen trotz Hinweise auf die Topographie (Martin-Kilcher 1987, 26) nur bedingt weiter, so dass die an sich primär anhand des Befundes zu definierende Geschlossenheit der Fundkomplexe nicht nachzuvollziehen ist. Die Datierung der Augster Komplexe fusst vor allem auf der Keramik, erst in zweiter Linie auf den Münzen (Martin-Kilcher 1987, 27). Ausgewertet wird, welche Formen vorhanden sind, welche fehlen. Daraus lassen sich typische Kombinationen herausarbeiten, die im Quervergleich mit anderen Fundkomplexen und mit Vergleichsfunden von anderen Orten in eine relative Abfolge gebracht werden können⁵⁹³. Für die absolute Datierung hat man die bekannten chronologischen «Stützpunkte», die Militärplätze und Limeskastelle zum Vergleich herangezogen. Leider ist die Grundlage dieser Datierung mit Ausnahme einiger Fundkomplexe aus dem späten 2. Jh. bis 1. Hälfte des 4. Jh. (Martin-Kilcher 1987, Abb. 9–22) bisher nicht publiziert worden (Riha 1979, 7), so dass die Datierung nicht überprüfbar ist.

Baden-Kappelerhof: Die wenigen bisher ausgegrabenen Bauspuren könnten von einem heiligen Bezirk oder einer dorfähnlichen Siedlung stammen (Hartmann et al. 1989, 50). Über einem Pfostenbau lag ein Gebäude mit Schwellbalken, dessen Zeitstellung unklar ist. Zwar datieren Funde aus umliegenden Vertiefungen in die Stufe LT D2 (a.a.O. 50), doch kamen in der unmittelbaren Umgebung auch römische Funde zum Vorschein (a.a.O. Abb. 2). Die Publikation legt nur eine Auswahl vor, so dass sich die Scherben nicht nach Gattungen auszählen lassen. Auch sind weder die Farben genannt, die eine Aufteilung nach orange und grauer Feinkeramik zuliesse, noch wird erwähnt, ob scheidengedrehte Stücke vorhanden sind. Da die Tonqualität der Näpfe (a.a.O. Abb. 8,16–19) nicht beschrieben ist, muss of-

588 Die Reihenfolge ist alphabetisch.

589 A. a. O. 159f. Die Bauten sind allerdings nicht gleichzeitig, doch liegen die Funde in ihrer Datierung nicht weit auseinander, so dass ich sie zusammengefasst habe, um ein grösseres und somit aussagekräftigeres Ensemble zu erhalten.

590 Fischer 1975, 317. Fischer (1985, 104) nennt die Bebauung als regellos mit kleinen Häusern, ohne die Bauweisen näher zu beschreiben. Die von der Erosion nicht betroffenen Mulden hat man erst einmal, 1977, in einer Sondierung untersuchen können, so dass eine bessere Grundlage zur Erforschung der Bauweise wohl noch fehlt.

591 Fischer 1966, 300ff. Leider wird nicht angegeben, ob es sich um handgefertigte oder scheidengedrehte Ware handelt.

592 Martin-Kilcher 1987, 26; laut mündlicher Mitteilung hat sie versucht, deren Lage im Raum einzubeziehen.

593 S. Martin-Kilcher, Basel, hat zweimal charakteristische Fundkomplexe des 1.–3. Jh. und des 3./4. Jh. in Augst einer kleinen Runde von Fachleuten vorgestellt.

fen bleiben, ob es sich um feinkeramische oder grobkeramische Exemplare handelt. Ob die Schüssel mit Horizontalrand (a.a.O. Abb. 9,6), wohl eine Kochschüssel, wirklich spätlatènezeitlich ist (a.a.O. 48), muss angesichts der Fundumstände offen bleiben. Sie erinnert an ein Parallelstück, das in unserer Grabung in der spätaugusteischen Benützungsschicht vor der ersten Überbauung zum Vorschein kam (Nr. 4).

Basciano-San Rustico (Teramo, Abruzzen): Der durch entsprechende Magistraten bezugte Vicus entstand im späteren I. Jh. v. Chr./früheren I. Jh. n. Chr. östlich eines älteren Tempels und bestand bis in die späte Kaiserzeit (Messineo/Pellegrino 1986, 136.144). Zwei etwa 40 m breite Streifen mit aneinandergebauten Häusern säumen einen langgezogenen, annähernd dreieckigen Platz (s. Abb. 178). Der Erhaltungszustand der Ruinen war eher schlecht. Die Wände waren mehrheitlich nur noch als Fundamente vorhanden (a.a.O. 138), ein Bodenniveau war nur in wenigen Räumen zu fassen (a.a.O. 143).

Basel: Anhand der Funde wird die offene Siedlung bei der ehemaligen *Gasfabrik* in die Stufe LT D1 gesetzt (Furger-Gunti 1979, 129). Die Importkeramik ist durch Amphoren (Furger-Gunti/Berger 1980, Taf. 20–30) und Campana (a.a.O. Nr. 425–429) vertreten. Sie ist ziemlich selten⁵⁹⁴. Das zum Vergleich herangezogene Spektrum basiert auf allen Scherben abzüglich der Importkeramik⁵⁹⁵.

Neben vielen Gruben kamen im Münster zwei Schichten (1/2) mit Resten von mehreren Bauten des Oppidums auf dem *Münsterhügel* zum Vorschein (Mäglin 1986, 27; Abb. 1), das Furger-Gunti (1979, 129) in die Stufe LT D2 datiert. Die Importkeramik – vor allem Amphoren, Campana und Präsigillata sind im Vergleich dazu selten (a.a.O. 99f.) – ist mit 18% ziemlich häufig, was wohl auf die Funktion der Siedlung als Umschlagplatz von Wein am Rhein zurückzuführen ist (a.a.O. 91). Neu tritt mit den Dolien eine Keramikgattung auf, die von einem mediterranen Vorbild herzuleiten ist (a.a.O. 87ff.). Diese Keramik in römischer Tradition macht 9% der Gesamtmenge aus. Im zum Vergleich herangezogenen Ensemble habe ich beide Sorten weglassen, um das Bild nicht zu verfälschen⁵⁹⁶. Über den beiden keltischen Schichten fanden sich zwei frühromische Schichten, deren obere sich in zwei Niveaus trennen lässt: Schicht 3 oben, Schicht 4 unten bzw. oben (a.a.O. 15ff.). Anhand der Keramik, vor allem der Sigillata, wird Schicht 4 unten mit Oberaden und Rödgen (s. unten) parallelisiert, Schicht 3 oben in die Zeit davor, vielleicht sogar vor 15 v. Chr., Schicht 4 oben in die Zeit von Haltern (s. unten) datiert⁵⁹⁷.

Bern-Engelhalbinsel: In der *Tiefenau*, etwa 300 m südöstlich des Engemeistergutes (s. unten), grub man drei Gruben aus, deren

Keramik aufgrund der Verteilung der Keramikgattungen etwas früher als Basel-Gasfabrik, nämlich in die Stufe LT C2 oder den frühesten Abschnitt der Stufe LT D1, gesetzt wird⁵⁹⁸. Anhand der Randscherben lässt sich ein Ensemble erstellen (Lüscher 1989, nach Katalog).

Beim *Engemeistergut*, in der Nähe der gallo-römischen Vierecktempel, fanden sich der Graben 2 und die Grube 12, die Keramik der Stufe LT D1 geliefert haben. Das Ensemble basiert auf den Randscherben⁵⁹⁹.

Besançon: Der Beginn der mehrschichtigen Phase I des Oppidums Vesontio lässt sich dendrochronologisch ins Jahr 124 v. Chr. setzen, das Ende in die Zeit nach 50 v. Chr., etwa um 40 (Guilhot et al. 1992, 239.241). Nach einer kurzen Zwischenphase ohne eigentliche Siedlungsspuren folgt in frühaugusteischer Zeit Phase III mit einem partiell neuen Siedlungsmuster (a.a.O. 244). Dank hervorragenden Erhaltungsbedingungen waren in Phase I mehrere Benützungsschichten nachzuweisen.

Biberist-Spitalhof: Im römischen Gutshof kam in den Jahren 1982/83 ein dreiphasiger Werkstattbereich zum Vorschein. Periode IA datiert aufgrund zweier dendrochronologisch auswertbarer Hölzer und einer Münze in domitianisch-trajanische Zeit (Schucany 1986a, 211ff.). Die direkt anschließende Periode IB endet der Keramik nach im späten 2. Jh., Periode II um die Mitte des 3. Jh.

Bundenbach-Altburg: Die dreiphasige befestigte Siedlung, wohl ein Oppidum, konnte man fast vollständig untersuchen (Schindler 1977, 93f.; Plan G–J). Die Mehrheit der Häuser sind klein (61%), manche etwas grösser (28%) und wohl als Speicher oder Ställe zu deuten (a.a.O. 30ff.81). Nur 11% können als grössere Bauten, als Wohnbauten, bezeichnet werden. Dendrochronologische Analysen datieren neben den Funden die Siedlung in die Stufen LT C–LT D1 (a.a.O. 66f.). Eine Kulturschicht war nur stellenweise zu fassen (a.a.O. 39.47).

Camulodunum: In Sheepen, nahe der römischen Kolonie Camulodunum (Colchester) kamen Siedlungsschichten zu Tage, die sich sechs Perioden zuordnen lassen (Hawkes/Hull 1947, 27ff.). Zwei historische Ereignisse können mit den Befunden in Verbindung gebracht werden: die römische Eroberung unter Claudius im Jahre 43 (Periode II) und der Aufstand der Königin Boudicca im Jahre 61 (Periode V). Demnach entsprechen Periode I der vorrömischen keltischen Siedlung (ca. 10–43), die Perioden III und IV der während des Aufstandes verwüsteten römischen Siedlung (43–61) und Periode VI einer kurzen Wiederbelegung in spätoneronischer Zeit (61–ca. 65). Die Zuweisung der Funde zu den Perioden scheint allerdings teilweise problematisch zu sein. Insbesondere gibt das Auftreten von frühaugusteischen

594 Die Campana fällt mit nur 2 Randscherben statistisch nicht ins Gewicht; Amphoren 10%, s. Mäglin 1986, Abb. 19.

595 *Keramikgattungen (Tab. 28):* nach Mäglin 1986, 41ff.; Abb. 16.17.20. Von Basel-Gasfabrik sind schon wiederholt Zusammenstellungen publiziert worden, die jedoch teilweise ein anderes Bild ergeben: Furger-Gunti 1979, Abb. 42.43 (nach Oberfläche): orange Feinkeramik ca. 42%, graue Feinkeramik ca. 58%, Grobkeramik ca. 23%; Stöckli 1979, 66; 140 (wohl RS, nach Angaben bei Major 1940): orange Feinkeramik 19%, graue Feinkeramik 40%, Grobkeramik 40%; Bacher 1989, Tab. 6 (ohne Angabe der Herkunft der Zahlen; vermutlich Randscherben nach Katalog Furger-Gunti/Berger 1980): orange Feinkeramik 20%, graue Feinkeramik 35%, Grobkeramik 44%. – *Formenspektrum der Feinkeramik (Tab. 29):* Mäglin 1986, Abb. 21. Furger-Gunti 1979, Abb. 45 zeigt folgendes Bild: Schüsseln 16%, Näpfe 15%, Flaschen 30%, Tonnen 14%, Töpfe 25%; Bacher 1989, Tab. 6: Schüsseln 19%, Näpfe 11%, Flaschen 22%, Tonnen 17%, Töpfe 30%. – *Formenspektrum der Grobkeramik (Tab. 28):* Mäglin 1986, Abb. 18.5.6 (Kochnäpfe). Da Vorratstöpfe und Deckel nach Katalog Furger-Gunti/Berger 1980 offenbar nicht vorkommen, ergeben sich die Kochtöpfe aus Mäglin 1986, Abb. 16 abzüglich der Kochnäpfe.

596 Furger-Gunti 1979, RS nach Katalog. Die beiden keltischen Schichten sind zu einem Ensemble zusammengefasst. Das Spektrum basierend auf der Gesamtheit der Scherben der beiden latènezeitlichen Straten (nach Mäglin 1986, Abb. 16.17.20) ist ziemlich ähnlich (Tab. 28.29): orange Keramik 23% (19% RS); graue Feinkeramik 29% (RS 20%); Grobkeramik 47% (RS 61%); Schüsseln 33% (RS 31%); Näpfe 10% (RS 15%); Becher 0% (RS 0%); Flaschen 26% (RS 23%); Tonnen 15% (RS 15%); Töpfe 16% (RS 17%); Kochnäpfe 49% (RS 64%); Kochtöpfe 51% (RS 36%).

597 M. Pavlinec (1992, 125) setzt das Ende von Schicht 4 aufgrund des TS-Spektrums schon um die Zeitwende an. Das Auftreten von Schüssel Drack 21 (Furger-Gunti 1979, Nr. 660–662) spricht aber wohl dagegen und zeigt, wie gefährlich eine Datierung basierend nur auf einer Fundkategorie ist.

598 Lüscher 1989, 139; Tab. 6. Das Bild der Verteilung der Keramikgattungen erscheint eher diffus (s. Kap. 7.2.1.; Abb. 167), dass vorläufig wohl offen bleiben muss, ob und wie weit die statistischen Werte tatsächlich chronologisch auswertbar sind.

599 Bacher 1989, Tab. 6 und nach Katalog. Die Becher, nach der Definition kleine Töpfe (a.a.O. 40), habe ich anhand der Abbildungen von den Töpfen getrennt.

Amphoren Dressel IB in den römischen Perioden zu Zweifeln Anlass⁶⁰⁰. Sie müssen aus den Schichten des vorrömischen Oppidums stammen.

Colle Plinio (Perugia/Umbrien): Der Bau der Villa ist anhand der Ziegelstempel um 7/15 n. Chr. anzusetzen (Monacchi 1983, 20f.). Ende des 1. Jh. baute man die in den Besitz der Familie des Plinius d.J. übergegangene Villa um. Die zum Vergleich herangezogenen Funde stammen aus den Schichten 2 und 3, die der ersten Phase zuzuweisen sind (a.a.O. 19). Das Ensemble gründet sich auf den vollständig vorgelegten Randscherben (a.a.O. nach Tabellen).

Condé-sur-Suippe: Das am Zusammenfluss von Suippe und Aisne gelegene Oppidum datiert in die 1. Hälfte des 1. Jh. v. Chr. (Gallia Informations 2, 1989, 311ff.). Die antike Oberfläche ist fast durchwegs erodiert.

Cosa (Grosseto/Toskana): Aus der im frühen 3. Jh. v. Chr. gegründeten Kolonie (Torelli 1980, 194) sind bisher einige Keramikgattungen monographisch behandelt. Für die dünnwandige sog. importierte Feinkeramik lässt sich anhand der Niveaus, die dank Münzen, Amphorenstempel und Sigillata datiert sind, eine Chronologie erstellen (Marabini Moevs 1973, 21ff.). Die Gebrauchskeramik liegt in acht Fundkomplexen vor, die sich anhand der stratigraphischen Stellung sowie der mitgefundenen Münzen und Importkeramik datieren lassen. Für die vorliegende Untersuchung sind folgende Komplexe interessant: V–D um 70 v. Chr., PD 3. Viertel des 1. Jh. v. Chr., 2II 2. Viertel des 1. Jh. n. Chr. Da in beiden Publikationen nicht alle Keramikgattungen vorgestellt oder aufgeführt sind, lassen sich keine Spektren erstellen.

Dangstetten: Das am Hochrhein gelegene Legionslager gilt als offensiver Vorgänger von Vindonissa (Fingerlin 1970/71, 231f.). Den gefundenen Münzen nach zu urteilen bestand es nur kurze Zeit, von 15/12–9 v. Chr. (Fingerlin 1986, 10). Somit war es das erste Militärlager, mit dem sich die helvetische Bevölkerung der Badener Gegend auseinanderzusetzen hatte. Die Erhaltungsbedingungen sind mehrheitlich als schlecht zu bezeichnen; das antike Bodenniveau fehlt offenbar (Fingerlin 1970/71, 203f.). Die Funde stammen aus Gruben (Fingerlin 1986, 13), aus deren grossen Menge ich willkürlich, im Sinn einer zufälligen Stichprobe, die ersten 150 herausgegriffen und die Randscherben zu einem Ensemble zusammengefasst habe (a.a.O. nach Katalog).

Gabii (Roma/Lazium): Aus einem Tempelbezirk der im 1. Jh. v. Chr. allmählich verödeten Kolonie (Coarelli 1981, 167f.) liegt Keramik vor, die, insbesondere die für unsere Untersuchung interessierende Gebrauchskeramik, überwiegend in spätrepublikanische Zeit zu datieren ist (Almagro-Gorbea 1982, 501). In einem Brunnen innerhalb des Temenos fand sich Keramik, die typologisch den Zeitraum vom 2. Jh. v. Chr. bis zur Mitte des 1. Jh. n. Chr. abdeckt (Vegas 1968, 52). Da die Keramik jeweils nur in einer Auswahl vorgelegt ist, lassen sich keine Spektren erstellen.

Haltern: Das Fundgut der Militäranlagen hat schon S. Loeschke (1909, 119ff.) zum grössten Teil in die Zeit nach Oberaden, aber vor 9 n. Chr. gesetzt. Die Analyse der Münzreihe bestätigt das Enddatum (Kraft 1955/56, 105). Auch neueste Untersuchungen der noch erhaltenen Fundbestände der alten Grabungen konnten keine innere Chronologie der verschiedenen Anlagen aufstellen (v. Schnurbein 1981, 39). Indizien, die auf einen zwar geordneten, aber überstürzten Rückzug der Truppen hindeuten, bestätigen, dass das Enddatum in Zusammenhang mit der Niederlage

des Varus zu sehen ist (a.a.O. 40f.). Der vollständige Ausbau des Hauptlagers und die rege Bautätigkeit weisen auf eine Dauer von mindestens 10–15 Jahren hin. Die Keramik macht eine Lücke zwischen Oberaden (s. unten) und Haltern wahrscheinlich, was ein Gründungsdatum von ca. 5 v. Chr. ergibt (a.a.O. 43).

Heddernheim: Das Kastell (Periode I) wird anhand der Münzen und der Sigillata in flavisch-trajanische Zeit datiert (Fischer 1973, 22ff.). Der anschliessend am gleichen Ort entstandene Vicus lässt sich dank der Keramik und den Münzen in eine Periode IIA (ca. 110/120–150), eine Periode IIB (ca. 150–190) und eine Periode III (ca. 190–260) gliedern.

Heidenheim: Da eine Vorgängersiedlung bisher fehlt, lässt sich der Bau des ersten Kastells (II) anhand der südgallischen Reliefsigillaten ins späte 1./frühe 2. Jh. datieren (Heiligmann 1990, 171ff.). Das nach Ausweis der Keramik schon kurze Zeit später darüber errichtete Steinkastell (I) muss etwa um 160 eingeebnet worden sein, da die Münzen einerseits einen terminus post von 145 ergeben, die Befunde aber von nachkastellzeitlichen Bauten überlagert sind, die aufgrund der Sigillata schon um 170/180 einem Brand zum Opfer gefallen sind⁶⁰¹.

Hesselbach: Wegen des beträchtlichen Anteils an südgallischer Sigillata datiert man den Bau des Kastells vor 105, aufgrund historischer Überlegungen aber nach 90 (Baatz 1973, 66). Da jedoch noch bis in hadrianische Zeit mit einem hohen Anteil an südgallischen Sigillaten zu rechnen ist (Kap. 4.2.1.) könnte das Baudatum auch etwas später, im 1. Viertel des 2. Jh., anzusetzen sein. Die wenigen Funde aus nachkastellzeitlichen Siedlungsgruben (Periode 3) lassen sich von den Funden des Kastells (Perioden 1, 2, 2a) nicht absetzen. Die zivile Besiedlung folgte demnach wohl unmittelbar auf die militärische und war nur von kurzer Dauer. Die drei Münzen sind unter Vitellius, Domitian und Hadrian geprägt worden. Die Sigillata weist nicht über die Mitte des 2. Jh. hinaus: Produkte aus Rheinabern etwa und Teller Drag. 32 fehlen. Das Ende der Besatzungszeit könnte mit der Verlegung der Einheiten vom Odenwaldlimes an den vorderen Limes zusammenhängen, dessen Bau inschriftlich für die Jahre 148/161 bezeugt ist.

Hofheim: Da das Fundgut des Erdkastells sich sowohl stark von Haltern (s. oben) als auch von den rechtsrheinischen Kastellen unterscheidet, datiert es E. Ritterling (1904, 18ff.) in seinem ersten Bericht in die Jahre 40–60 n. Chr. Einerseits stammt die Sigillata durchwegs aus Südgallien, andererseits sind die in flavischer Zeit häufigen Typen wie Drag. 37 selten oder kommen wie Drag. 35/36 kaum vor. Insbesondere aufgrund der Seltenheit neronischer Münzen schliesst er eine Belegung bis weit in neronische Zeit aus. Diese spärlichen Münzen hätten, wie die wenigen Prägungen des Vespasian und andere seltene flavische Funde, die Bewohner des nahen Steinkastells verloren. Die Gründung bringt er mit dem Feldzug des Caligula um 39/40 an den Rhein in Verbindung (s. auch Ritterling 1912, 81ff.). In seiner abschliessenden Auswertung setzt Ritterling die von einem kriegerischen Ereignis herrührende Zerstörung in claudische Zeit – mit dem Argument, dass die Münzreihe unter Nero fast abbreche – und verbindet sie mit dem Chatteneinfall von 50/51 (Ritterling 1912, 84ff.). Die wenigen neronischen und vespasianischen Münzen sowie die flavischen Funde stammten von einer partiellen Wiederbesiedlung der Brandruinen. Die Seltenheit der neronischen Prägungen lässt sich aber hinreichend dadurch erklären, dass Nero bis 63 keine der in Siedlungs-

600 Ettliger 1977, II Anm. 11. In den Perioden III/IV sind es 12 Exemplare (ca. 2%) (Hawkes/Hull 1947, 280; Taf. 69, 181).

601 Heiligmann 1990, 183ff. Der neben dem Kastell entstandene Vicus bestand zwar bis in die Mitte des 3. Jh. Da in der Publikation ledig-

lich die südgallischen Reliefsigillaten einbezogen sind (a.a.O. 230), ist das abgebildete und zum Vergleich herangezogene Material als typisch für die Kastellzeit anzusehen.

schichten vorherrschenden AE-Prägungen schlagen liess (Kraft et al. 1956, 43). Auch die von Ritterling erst im zweiten Bericht formulierte Wiederbelegung scheint nicht eindeutig zu sein (s. a.a.O. 44; Baatz 1963, 189). Das Erdkastell Hofheim datiert zur Hauptsache in claudisch-neronische Zeit (ca. 40–70). Das Ende des nachfolgenden Steinkastells wird ins 2. Jahrzehnt des 2. Jh. gesetzt, da die jüngste Münze eine Prägung des Trajan von 103/111 ist (Seitz 1982, 131).

Holzhausen: Die Münzen sprechen für eine Besetzung des Kastells während des spätesten 2. Jh. und der 1. Hälfte des 3. Jh. (ORL 6, 27). Die jüngste Münze ist ein Antoninian des Philippus Arabs von 245. Das Keramikensemble bestätigt diese Datierung, denn es weist grosse Ähnlichkeit mit jenem des Kastells Niederbieber (s. unten) auf (Pferdehirt 1976, 22).

Kempten: 1953 legte man *Holzhäuser* frei, die sich vier Perioden zuweisen lassen (Krämer 1957, 34f.). Die 1. und die 2. Periode waren einem Feuer zum Opfer gefallen. Bemerkenswert ist, dass dem Neubau (2. Periode) ein Wechsel der Orientierung und der Grundstücksgrenzen festzustellen ist. Anhand der Münzen (a.a.O. Abb. 2) wird die 1. Periode in die Anfangszeit von Vindonissa (s. unten), nämlich tiberisch (17–35/40), datiert, die 2. Periode claudisch (35/40–50/55) und die 3. Periode neronisch-frühflavisch (50/55–80). Die 4. Periode unter Domitian erbaut, dauert bis ins spätere 2. Jh. (ca. 80–180; s. auch Fischer 1957, 11). Ob die 2. Periode wegen des Fehlens neronischer Münzen wirklich nur die claudische Zeit umfasst, ist angesichts der erst ab 63 erfolgten Prägung von AE-Münzen fraglich⁶⁰².

Das *Gräberfeld* auf der Keckwiese lässt sich anhand von Fundkombinationen und stratigraphischer Überlegungen in fünf Zeitabschnitte aufteilen (Mackensen 1978, 13; 121ff.): Z1A (ca. 15/20–25), Z1B (ca. 25–40), Z2 (ca. 40–55), Z3 (ca. 55–70), Z5 (80er Jahre).

Lorenzberg-Epfach: Die Militärstation wird aufgrund der Münzreihe früher als Vindonissa (s. unten) und Kempten-Holzhäuser (s. oben) datiert. Da die späteste Münze eine Prägung des Caligula ist, setzt man das Ende in claudische Zeit. Bei der arretinischen Sigillata fehlt das frühe Service IA. Das Spektrum entspricht jenem von Augsburg-Oberhausen. Aufgrund dieser Überlegungen wird der Lorenzberg in spätaugusteische bis frühclaudische Zeit gesetzt (Ulbert 1965, 83). Wieweit das Fehlen von claudischen Prägungen bei einem Bestand von nur 31 Münzen (a.a.O. 31) auf ein Ende schon in frühclaudischer Zeit hinweist, ist fraglich, denn in den viel grösseren Münzmengen der claudisch-neronisch datierten Kastelle Hofheim und Aislingen (s. oben) sind die Prägungen des Claudius auch nicht eben häufig⁶⁰³. Die südgallische Sigillata (Ulbert 1965, 54ff.) ist schon fast ebenso stark vertreten wie die Arretina (60 bzw. 68 Exemplare). Die in flavischer Zeit noch überaus beliebten Typen (Drag. 27/18) stehen zu den früher vorherrschenden Typen (Drag. 24/15) in einem Verhältnis von 1:4. Eine Belegung des Lorenzbergs während der ganzen claudischen Epoche ist deshalb nicht auszuschliessen. Wieweit die beiden Exemplare

Drag. 36 (a.a.O. Taf. 8,14) auf eine Besiedlung sogar bis in flavische Zeit hindeuten, muss offen bleiben.

Lucus Feroniae (Roma, Lazium): Neben einem älteren Heiligtum entwickelte sich spätestens im 2. Jh. v. Chr. eine Siedlung, die man nach der Zerstörung im frühen 1. Jh. v. Chr., wohl im Bundesgenossenkrieg oder im sullianischen Bürgerkrieg, mit einer anderen Orientierung als Kolonie wiederaufbaute⁶⁰⁴. Die Siedlung war bis in die hohe Kaiserzeit belegt.

Luni (La Spezia/Ligurien): Die 177 v. Chr. gegen die Ligurer gegründete römische Kolonie war eine Hafenstadt und kontrollierte die Strasse nach Gallien (Cavaliere Monasse et al. 1982, 149). Als Beispiel für die Keramik habe ich eine Schichtabfolge (IA-IE) in einem Privathaus gewählt (Frova 1977, 5f.) sowie einen Komplex (VE) aus dem Garten eines Gebäudes (a.a.O. 41f.). Die Schichten IC/E, ein erstes Niveau mit anschliessender Zerstörung, datieren in die 1. Hälfte des 1. Jh. v. Chr., die Planie IB in die 1. Hälfte des 1. Jh. n. Chr., der fundarme Boden IA zwischen 50–70 und das Benützungsniveau VE ins 2./frühe 3. Jh. Es lassen sich keine nur Randscherben umfassende Spektren erstellen (a.a.O. nach Tabellen). Überdies ist die Keramik nach unterschiedlichen Kriterien aufgenommen⁶⁰⁵, was die Beurteilung der Spektren erschwert (dazu Kap. 8.2.).

Lyon-Bas-de-Loyasse: Im Zerstörungsschutt eines Hauses fand sich eine grosse Anzahl von Amphoren und anderen Gefässen (Dangréaux/Desbat 1987/88, 115). Anhand der Firmenlampen und der Sigillata – Drag. 35/36, noch viele Drag. 29, erst wenige Drag. 37 – ist das Depot in flavische Zeit zu datieren.

Magdalensberg: Die Gründung der römischen Handelssiedlung setzt man anhand der Keramik in die Zeit kurz vor 20 v. Chr. (Schindler/Scheffenegger 1977, 205), denn auch in der untersten Schicht tritt neben der schwarzen schon rote Sigillata auf (Schindler 1967, 12). Die Holzhäuser der ersten Periode wurden um etwa 15/10 v. Chr. durch Steinbauten ersetzt (Schindler-Kaudelka 1975, 16ff.), die mehrmals grundlegend umgestaltet wurden. Das Ende datiert man aufgrund der im wesentlichen bis zu Claudius reichende Münzreihe in claudische Zeit⁶⁰⁶. Wieweit jedoch das Fehlen neronischer Münzen – Nero prägte bekanntlich die in Siedlungsschichten vor allem erscheinenden AE-Münzen erst ab 63 (Kraft et al. 1956, 43) – tatsächlich eine Belegung bis in neronische Zeit ausschliesst, muss offen bleiben. So kommen etwa auch einige wenige Firmenlampen vor – das einzige stratifizierte Stück aus einer claudischen Schicht (Farka 1977, 85), deren Erscheinen man allgemein ins letzte Drittel des 1. Jh. setzt⁶⁰⁷.

Manching: Vom grossen vindelikischen Oppidum sind Teile der Innenbebauung untersucht (Maier 1986, Beil. 1). Den Funden nach zu urteilen datiert es in die Stufen LT C2 bis zum Übergang LT D1/D2 (a.a.O. 43; s. auch Krämer 1975, 296), wobei mit einem LT B2-zeitlichen Siedlungskern zu rechnen ist (Gebhard 1989, 184). Die über den in den anstehenden Boden eingetieften Strukturen abgelagerte, verhältnismässig mächtige, schwarzbraune Kulturschicht liess keine Schichtung erkennen (Krämer

602 S. Kraft et al. 1956, 43. Die vorwiegend auf den Münzen beruhende Datierung ist ohnehin angesichts der relativ geringen Mengen problematisch: Der 1. Periode sind 17, der 2. Periode 13, der 3. Periode 15 und der 4. Periode 13 Münzen zuzuweisen.

603 Hofheim: Caligula 14%, Claudius 10%; Aislingen: Caligula 11%, Claudius 11%. In Epfach macht 1 Münze 3% aus!

604 S. Torelli 1980, 30f. Die Befunde der älteren Phase sind nicht publiziert (Coarelli 1975). Gian Franco Gazzetti, Rom, danke ich für zahlreiche Auskünfte.

605 Campana: alle zuweisbaren Fragmente (Frova 1977, 78); pompejanisch-rote Platten: alle RS sowie WS/BS, wenn sie die einzigen Repräsentanten eines Typs sind (a.a.O. 114); graue Feinkeramik: alle Fragmente (s. a.a.O. 117 mit Tab. 74); Sigillata: alle zuweisbaren Fragmente (a.a.O. 118); Sigillata chiara: alle RS sowie WS/BS, wenn

sie verziert oder die einzigen Zeugen sind (a.a.O. 158); afrikanische Kochware: alle zuweisbaren Fragmente (a.a.O. 180; 184); Lampen: alle zuweisbaren Fragmente (a.a.O. 290); Gebrauchsware, Amphoren: keine Angaben, vermutlich alle zuweisbaren Fragmente.

606 Zu den Münzen s. Bannert/Piccottini 1972, 34ff. Eine einzige Prägung des Vespasian von 77/78 fällt gegenüber dem Bestand von 299 Münzen nicht ins Gewicht. Es dürfte sich um einen später verloren gegangenen Einzelfund handeln. Zur Datierung s. auch Schindler/Scheffenegger 1977, 15.

607 Vegas 1966, 76; Gechter 1979, 46. Bei dem von Farka (1977, 85) erwähnten Stück aus der tiberischen Periode 1 von Kempten (s. Krämer 1957, 80) muss man sich angesichts der Einzigartigkeit fragen, ob es nicht erst nachträglich in die Schicht gekommen sein könnte.

1975, 291). Das Gelniveau ist kaum je erhalten (Schubert 1972, 115; 120). Nur vereinzelt fanden sich unter der Kulturschicht Reste eines alten Humus (Krämer 1962, 297). Wenn aber in der Kulturschicht die primäre Abfallschicht zu sehen ist, wie jüngst vorgeschlagen (Gebhard 1989, 29), wäre das Gelniveau über weite Strecken erhalten.

Merishausen-Barmen: Die in zwei Zonen erfasste Kulturschicht ist anhand der Funde frühestens in die Stufe LT C2, spätestens allenfalls in die Anfangsphase der Stufe LT D1 zu datieren (Höneisen 1989, 107; s. auch Abb. 4). Das zum Vergleich herangezogene Ensemble basiert auf den Randscherben⁶⁰⁸.

Munningen: Aus der Umwehrung des Kastells stammt ein Eichenpfosten mit Fälldatum frühestens 94 (Schönberger 1985, 471). Aufgrund der Keramik, insbesondere der Sigillata, dürfte das Kastell um 110 aufgegeben worden sein (Baatz 1976, 27). Der anschliessend entstandene Vicus fiel um 170 einem Brand zum Opfer (a.a.O. 33). Aufgrund einzelner Bauten und jüngerer Münzen (terminus post 249) bestand die Siedlung weiter bis um die Mitte des 3. Jh.

Narni (Terni/Umbrien): Die in einer umbrischen Stadt in republikanischer Zeit errichtete Kolonie wurde nach dem Bürgerkrieg zum Munizipium (Gaggiotti et al. 1980, 39). Das zum Vergleich herangezogene Material stammt aus einer Auffüllung, die man vor dem Bau neuer Mauern über aufgelassenen Mauern angeschüttet hatte (Monacchi 1986/87, 145). Es ist sehr einheitlich und lässt sich anhand der Keramik ins 2. Jh./1. Viertel des 1. Jh. v. Chr. datieren. Das Ensemble basiert auf den Randscherben (a.a.O. nach Katalog; 147).

Niederbieber: Die Gründung des Kastells lässt sich anhand von Ziegelstücken datieren, die im Bad verbaut waren und mit Stempeln der 8. Legion mit dem nur zwischen 182 und 192 getragenen Beinamen P(ia) F(idelis) C(onstans) versehen sind (Ritterling 1911, 274f.). Das Kastell fiel einem kriegerischen Ereignis zum Opfer, das aufgrund der Münzen um oder kurz nach 259/260 stattfand (a.a.O. 276; Ritterling 1901b).

Nyon: 1978–1982 legte man in der Colonia Iulia Equestris Teile einer Insula (Phase 3), eines Vorgängerbaus in leichter Bauweise (Phase 2) sowie Gruben und Gräben (Phase 1) frei (Morel/Amstad 1990, 15ff.). Anhand der Keramik ergibt sich folgende Datierung (a.a.O. 75ff.): Phase 1A Ende 1. Jh. v./Anfang 1. Jh. n. Chr., Phase 1B Anfang 1. Jh. n. Chr., Phase 2 1. Hälfte des 1. Jh., Phase 3A 2. Hälfte des 1. Jh. bis Anfang 2. Jh., Phase 3B 2. Jh. und Phase 3C 2. Hälfte des 2. Jh. bis Mitte 3. Jh. Aus dem Bauhorizont zur Phase 3B stammt ein Hochhalsbecher, der, wenn er gleich zu datieren ist wie der entsprechende Typ Niederbieber 33, für eine Lücke zwischen den Phasen A und B spricht (a.a.O. 55.105). Das Aufkommen dieses Typs wird nämlich ins späte 2. Jh. gesetzt (Kap. 5.5.5.). Der Befund spricht aber eher für eine unmittelbare Abfolge (a.a.O. 53f.). Die Seltenheit der Funde des 2. Jh. (a.a.O. 55) ist vielleicht wie in Augst und Rottweil (s. unten) damit zu erklären, dass man in dieser Zeit den Abfall offenbar wegführte.

Oberaden: Die Gründung des grossen Legionslagers ist dank dendrochronologischer Untersuchungen in den Herbst des Jahres 11 v. Chr. zu datieren (v. Schnurbein 1981, 19). Es muss in Zusammenhang mit den Feldzügen des Drusus stehen, was man schon früher aufgrund des Fehlens der Lyoner Altarmünzen vermutet

hat. Die Auffassung des Lagers wird aufgrund historischer Überlegungen in Verbindung mit dem Münzspektrum für das Jahr 8 v. Chr. angenommen (a.a.O. 23).

Oberstimm: In den Jahren 1968–1971 legte man im Kastell zwei Perioden (1a–c/2) der Innenbebauung frei, die durch eine Zwischenphase (1d) mit Vertiefungen voneinander getrennt waren (Schönberger 1978, 30ff.). Letztere wird teilweise mit Baumassnahmen vorgängig zu Periode 2 in Verbindung gebracht (a.a.O. 73). Aufgrund der Münzen und der Sigillata ist die Gründung des Kastells etwas später als Aislingen (s. oben) anzusetzen (a.a.O. 136; 162). Da in Periode 1 keine flavischen Sigillatotypen vorkommen, wird das Ende trotz des Fehlens einer Brandschicht mit den Wirren der Jahre 69/70 in Verbindung gebracht (a.a.O. 142f.). In der Zwischenphase 1d – wohl dem Bauhorizont zu Periode 2 – kamen neben wenigen flavischen Sigillaten auch zwei flavische Münzen zum Vorschein, die einen terminus post von 78/81 ergeben (a.a.O. 143f.). Damit muss eine Lücke von etwa zehn Jahren zwischen dem Ende der Periode 1 und dem Bau der Periode 2 angenommen werden. Das Typenspektrum der Sigillata von Periode 1 weist aber grosse Ähnlichkeit mit frühflavischen Komplexen auf⁶⁰⁹. Das Ende von Periode 1 ist deshalb meines Erachtens wohl erst in flavischer Zeit anzusetzen, so dass die postulierte Lücke in der Belegung des Platzes hinfällig wird. Die jüngsten Münzen aus dem Kastellbereich sind zwei sehr gut erhaltene Prägungen des Hadrian von 119/121. Periode 2 wird in domitianisch-frühhadrianische Zeit datiert (Schönberger 1978, 144).

Oberwinterthur: Auf dem Kirchhügel lassen sich Funde fünf Perioden (A–E) zuweisen, die gemäss der Keramikdatierung den Zeitraum vom frühen 1. Jh. bis ins 3. Jh. n. Chr. umfassen (Rychener 1984, 17). Periode A wird neuerdings etwas früher (10–40/50) angesetzt⁶¹⁰. Die durch einen Brand zerstörte Periode B wird in claudisch-frühflavischer Zeit (40/50–70/80) datiert, Periode D ins späte 1./frühe 2. Jh. (70/80–110/120), Periode E ins mittlere 2. Jh. (110/120–150/170) und Periode C ins späte 2. Jh. und ins 3. Jh. Ob Periode D wirklich schon um 150/170 endet, ist fraglich, denn in der obersten Schicht fand sich eine Münze des Marc Aurel (161/176).

An der *Püntenstrasse*, im Nordostteil des Vicus, waren drei Bauphasen (B1, B2, U) sowie eine Zerstörungsphase (Z) eines Gebäudes und eine Auffüllung (P) zu erfassen (Rychener 1988, 68). Phase B1 hat nur wenige Funde geliefert. Sigillatotypen (Drag. 37, Drag. 35/36) aus dem Bauhorizont zur nachfolgenden Phase B2 datieren Phase B1 ins 3. Viertel des 1. Jh. Phase B2 wird mit der Umbauphase U und der Zerstörungsphase Z zusammengefasst. Funde und die Zerstörung durch ein Feuer, das mit jenem des Brandes der Phase C2-Römerstrasse 186 gleichgesetzt werden kann, datieren diese Periode in die Zeit von 70/80–110/120⁶¹¹. Wegen des Vorhandenseins der Sigillatotypen Drag. 37 und vor allem Drag. 35/36 – es sind 1 bzw. 2 Stücke von 11 Sigillaten – ist das Ende der Periode B1 wohl etwas später anzusetzen, denn beide Typen können zwar ab 70 vereinzelt auftreten, sie werden aber erst im Laufe der flavischen Zeit häufig⁶¹². An der *Römerstrasse 186* war ein Haus mit vier Phasen (A–D) zu erfassen, dessen Phase C sich durch einen Umbau unterteilen liess (Rychener/Albertin 1986, 13f.). Dendrochronologische Untersuchungen ergaben, dass Phase A im Jahre 1 v. Chr. erbaut

608 A.a.O. nach Katalog. Die Aufteilung der Feinkeramik in orange- und in grautonige habe ich anhand der Beschreibung versucht. Die Grenze ist allerdings ziemlich fließend: die graue Feinkeramik wird als graubraun, die orange Feinkeramik als rotbraun, rötlichbraun beschrieben.

609 Schucany 1983, Abb. 14.15; dagegen H.-G. Simon (Schönberger 1985, 447).

610 Rychener/Albertin 1986, Abb. 7; 51f. M. Pavlinec (1992, 125) fasst

die Schichtkomplexe anders zusammen – aufgrund der Funde? – und kommt dementsprechend auf andere Datierungsansätze. Wie problematisch ein solches Unterfangen ist, zeigt eine erste Überprüfung: Er fasst die Komplexe 051, eine Planie, und 405, eine Grube, zur Phase 1 zusammen (a.a.O. Anm. 82), obwohl die Grube in die Planie eingetieft war (Rychener 1984, 21).

611 Rychener 1988, 96. Auf Abb. 102 wird allerdings für den Beginn der Zeitraum 65/75 angegeben.

wurde und um 12 n. Chr. noch bestand (a.a.O. 22f.), Phase B vermutlich schon im Jahr 20 (Pfofen 55), sicher aber in den Jahren 24 (Pfofen 15) und 35 (Pfofen 35) bestand⁶¹³. Verbunden mit der Keramikdatierung ergibt sich folgender zeitlicher Rahmen: Phase A 1 v. Chr. bis 20/25 n. Chr., Phase B ca. 20/25–40/50, Phase C1 ca. 40/50–70/80, Phase C2 70/80–110/120 und Phase D Anfang 2. Jh. (a.a.O. 14f.). Zu Phase B sind zwei Komplexe (411 und 103) geschlagen, die viele – meines Erachtens zu viele – sog. Fehlläufe aufweisen (a.a.O. Nr. 320–322.356.358–360). Die Grube (411) dürfte noch längere Zeit offen gewesen sein (a.a.O. 32). In die Planie (103), den Bauhorizont zur folgenden Phase C1 (a.a.O. 35), könnten die späten Stücke anlässlich des Neubaus hineingekommen sein. Diese beiden Komplexe verfälschen das Fundspektrum der Phase B⁶¹⁴. Bemerkenswert ist, dass Phase C1 nicht wie andere zeitlich entsprechende Phasen (Kirchhügel-Periode B/Unteres Bühl-Periode II) durch einen Brand zerstört wurde (a.a.O. 15). Offenbar fiel nicht der ganze Vicus dem Feuer zum Opfer, sondern nur der Südwestteil, was eher für einen normalen Dorfbrand spricht, wie er in Oberwinterthur offenbar öfters vorkam, als für ein kriegerisches Ereignis⁶¹⁵.

An der *Römerstrasse 187*, schräg gegenüber der Fundstelle Römerstrasse 186, legte man ein Haus mit vier Bauphasen (Z–W) frei (Rychener 1988, 41). Phase Z wird aufgrund des Befundes und der Keramik in die Frühzeit der Phase A von Römerstrasse 186 (1. Jahrzehnt n. Chr.) gesetzt. Phase Y lässt sich mit Baumaßnahmen im Bereich der Strasse in Verbindung bringen, die dendrochronologisch ins Jahr 12 datieren. Auch das Keramikspektrum entspricht jenem der Phase A-Römerstrasse 186 (a.a.O. 57f.) Die Phasen X und W haben nur wenige Funde geliefert. Zusammengefasst entsprechen sie etwa der Phase B-Römerstrasse 186 (2. Viertel 1. Jh.).

Im *Unteren Bühl*, im Westteil des Vicus, kam eine grössere Zahl von Holzhäusern zum Vorschein, die sich drei Perioden zuweisen lassen (Zürcher 1982, 214ff.). Periode I kann dendrochronologisch in einen älteren Abschnitt von 7–35 n. Chr. und einen jüngeren unterteilt werden, dessen Ende aufgrund der Keramik etwa um 50 anzusetzen ist. Periode II fiel wie Periode B auf dem Kirchhügel einem grossflächigen Brand zum Opfer, der um 70/80 datiert wird (Rütti 1988, 9). Die folgenden Schichten, die bisher zur Periode III zusammengefasst wurden, gehören offenbar mehreren Phasen an, deren Datierung nach oben offen ist (Etter et al. 1991, 10).

Ordone (Foggia/Apulien): Die daunische Stadt war vermutlich ein Municipium (Mertens 1965, 9ff.). Die zum Vergleich herangezogenen Funde stammen aus der Einfüllung eines Schachtes (De Boe/Vanderhoeven 1979, 107). Sie zeigen ein einheitliches Bild und sind anhand der Sigillata ins 2. Jahrzehnt v. Chr. zu datieren (a.a.O. 110). Das Ensemble umfasst vermutlich alle Randscherben⁶¹⁶.

612 S. Schucany 1983, Tab. 3; Planck 1975, Tab. 4; Tab. 11.

613 A.a.O. 34 (Pfofen 15 ist falsch als Pfofen 14 bezeichnet; s. a.a.O. Tab. 15). Nach M. Pavlinec (1992, 124; Anm. 79) gehört Pfofen 15 nicht zwingend zu Haus B1 (Phase B), so dass er zu einer nach oben verschobenen Phasendatierung kommt. Pfofen 15 liegt aber auf der Flucht der Südwestwand (Rychener/Albertin 1986, Plan 3). Der Zeichnung nach scheint er mit den Pfofen 9, 22 und 25 zu einer älteren, von der dargestellten Wand mit Pfofen 35 überlagerten Phase der Bauten zu gehören; anders allerdings der Beschrieb (Rychener/Albertin 1986, 27).

614 Die Phase B bildet die Grundlage des zusammenfassenden Vicushorizonts II. Alle für die Enddatierung entscheidenden Stücke, die geknickte Form von Drag. 29 (Rychener 1988, 110), stammen aus diesen Komplexen, ebenso die Schüsseln Drag. 37 und das Schälchen Drag. 35, Typen, die erst in flavischer Zeit zu erwarten sind (s. Planck 1975, Tab. 11). Für das zum Vergleich herangezogene Keramikspektrum habe ich beide Komplexe beiseite gelassen.

Ostia (Roma/Lazium): Von der als Meerhafen Roms dienenden Kolonie sind bisher grössere Fundkomplexe aus neueren Grabungen in einer Thermenanlage publiziert (Berti et al. 1970; Carandini/Panella 1973). Die in der vorliegenden Arbeit betrachteten Ensembles stammen aus Auffüllschichten (VA/VB/IIIB) oder Böden (IV/IIIA) (Carandini/Panella 1973, 24f.101ff.; Taf. 3–5.12.13). Die Schichten Va und Vb hatte man vor dem Bau der Thermen, den Funden nach um 80/90, eingebracht (a.a.O. 91f.). Schicht IV umfasst die 1. Phase der Thermen (90–155/160), Schicht III die 2. Phase (155/160–190). Die Ensembles basieren auf den Randscherben (a.a.O. nach Tabellen).

Pistoia (Pistoia/Toskana): Ab dem frühen 2. Jh. v. Chr. ist in Pistoia eine Siedlung belegt, die in der Kaiserzeit das Municipium Pistoriae war (Vannini 1985, 52). Die Phasen I und II des mittleren 2. Jh. v. Chr. und augusteischer Zeit sind vor der Ausdehnung der Besiedlung anzusetzen⁶¹⁷. Um ein grösseres und somit besser zu beurteilendes Ensemble zu erhalten, fasse ich die Phase II mit der in tiberische Zeit datierten Phase III zusammen. Diese Phasen setzen sich vorwiegend aus abgelagerten Schichten zusammen, die folgende Phase IV des mittleren 1. Jh., die frühflavische Phase Va und die das 2./frühe 3. Jh. umfassende Phase Vb hingegen aus mächtigen Auffüllschichten (a.a.O. Abb. 125. 130.132.135–137.146). Anhand der Randscherben habe ich versucht, die Ensembles zu erstellen⁶¹⁸.

Port-Vendres II: Ein bei Port-Vendres gesunkenes Schiff enthielt neben Amphoren auch Zinnbarren mit Stempel aus dem Jahr 41/42 n. Chr. (Colls et al. 1977, 11).

Rheingönheim: Die Münzreihe, das Sigillataspektrum und andere Fundgattungen des Kastells stimmen mit Hofheim (s. oben) überein (Ulbert 1969a, 15f.). Die Erbauung des Kastells ist vielleicht in Zusammenhang mit Vorbereitungen zum Britannienfeldzug des Claudius im Jahre 43 zu sehen. Eine ausgedehnte Brandschicht, Skelettfunde und ein Münzschatz weisen auf eine kriegerische Zerstörung hin. Die Schlussmünze des Hortes ist eine Prägung des Vespasian (69/71). Die Zerstörung könnte in Zusammenhang mit dem Vangionenaufstand im Frühjahr 70 stehen. Wenige frühflavische Funde, eine Münze von 72/73, als flavisch angesehene Sigillata wie Drag. 37 (a.a.O. Taf. 8,8–13) und Déchelette 67 (a.a.O. Taf. 8,14) deuten darauf hin, dass man das Gelände erst etwas später aufgelassen hatte, vermutlich als das rechtsrheinische Gebiet im Jahre 74 besetzt wurde.

Risstissen: Die Gründung des Kastells wird anhand der Münzen und der Sigillata etwas später angesetzt als Hofheim und Aislingen (Ulbert 1970, 9; s. oben). Nach einem Brand, der mit den Wirren des Jahres 69 in Zusammenhang gebracht wird (Pferdehirt 1986, 286f.), baute man das Kastell in gleicher Orientierung wieder auf (Ulbert 1970, 7). Im 2. Jh. entstand nach Abzug der Truppen ein Vicus.

Roanne: Phase I der an der Loire gelegenen Siedlung, wohl wie der in römischer Zeit an gleicher Stelle folgende Vicus Rodumna

615 Zur zeitlichen und räumlichen Differenzierung der Brandschichten s. Rychener 1988, Abb. 102; zur Lage der einzelnen Fundplätze im Vicus a.a.O. Abb. 601.

616 Die Formulierung, es handle sich um ein geschlossenes, ziemlich präzise datiertes Ensemble, das veröffentlicht werden soll, um die Gebrauchskeramik studieren zu können (a.a.O. 107f.), legt nahe, dass wohl tatsächlich alle Randscherben vorgelegt sind, so dass sich das Randscherbenspektrum anhand des Katalogs erstellen lässt.

617 A.a.O. 41ff. Die Phase I hat nur 6 Randscherben geliefert, so dass ich sie nicht berücksichtige.

618 Die Fragmente sind zwar nach ihrer Zuweisbarkeit erfasst (Vannini 1987, X), doch wird die Art des Fragmentes (RS/WS/BS) in Tab. 1ff. (a.a.O. 837ff.) meist angegeben. Bei der Campana und den Amphoren, bei denen offensichtlich auch die zuweisbaren Wand- und Bodenscherben gezählt worden sind, habe ich die Randscherben anhand des Katalogs ermittelt.

ein kleinerer Ort, datiert in die 2. Hälfte des 2. Jh./1. Viertel des 1. Jh. v. Chr. (Guilhot et al. 1992, 240f.; 245f.). Nach einem Siedlungsunterbruch von rund 30 Jahren um die Mitte des 1. Jh. v. Chr. folgt in frühaugusteischer Zeit Phase III, die mit einer völlig neuen Organisation den gallo-römischen Vicus vorwegnimmt. Von Phase I liessen sich drei Bodenniveaus fassen (a.a.O. 247).

Rödgen: Das Militärlager datiert aufgrund der Münzen und der Sigillata in die gleiche Zeit wie Oberaden (Schönberger/Simon 1976, 117; s. oben). 60 km von Mainz entfernt gelegen kann es kaum vor dem Beginn der Feldzüge des Drusus (12 v. Chr.) gegründet worden sein; es dürfte sich um eine seiner Massnahmen handeln (a.a.O. 247). Da wie in Oberaden die ab ca. 10 v. Chr. geprägten Lyoner Altarmünzen fehlen, steht das Ende wohl in Zusammenhang mit dem Tod des Drusus (9 v. Chr.) oder dem endgültigen Abschluss der Feldzüge durch Tiberius (8 v. Chr.)⁶¹⁹.

Rottweil: Das *Kastell III*, in dessen Befestigungsmauer sich ein sehr gut erhaltener Dupondius des Vespasian (72/73) fand, dürfte während der Eroberung des Dekumatlandes im Jahr 74 erbaut worden sein (Planck 1975, 95). Da es keine Umbauten aufwies, offenbar nicht einmal vollständig ausgebaut war, kann es nur während einer kurzen Zeit belegt gewesen sein. Ein nicht mehr prägefischer As des Titus aus dem Kastellgraben spricht für eine Auffassung in domitianische Zeit (Nuber 1988, 258). Für die Mehrheit der *Altfunde*, die vor den Grabungen in den späten 60er Jahren gefunden wurden, fehlen genaue Fundstellenangabe (Planck 1975, 133), so dass sie sich weder von der Lage in der Fläche noch in der Tiefe her zeitlich einordnen lassen. Sie dürften aber ab 74, der Besetzung des Schwarzwaldes, in den Boden gelangt sein. Die südgallische Sigillata macht 84% des Bestandes aus (a.a.O. Tab. 3.10). Anhand von Sigillata aus Rheinzabern wird eine Belegung des Vicus bis ins 2. Viertel des 3. Jh. vermutet (a.a.O. 150). Das Missverhältnis zwischen der enormen Menge der südgallischen Sigillata und der geringen Anzahl an Rheinzaberner Ware (5%) erklärt man durch den starken Abfall der Bedeutung bzw. der Grösse der Siedlung. Das Ende des jüngsten Kastells (IIb) wird aufgrund von Funden aus der untersten Grabeneinfüllung und eines über den Ruinen erbauten Bades ins frühe 2. Jh. gesetzt (a.a.O. 97). Falls der Zustrom von südgallischer Sigillata tatsächlich nach 120 abrupt versiegte (a.a.O. Tab. 9), so muss der Bedeutungsverlust des Ortes unmittelbar nach Abzug der Truppen eingesetzt haben. Dem widerspricht jedoch der stattliche Ausbau des Vicus in der mittleren Kaiserzeit mit Steinhäusern, mehreren öffentlichen Gebäuden und Bädern (s. Planck 1975, 221). Heisst das, dass der Zustrom der südgallischen Sigillata in dieses Gebiet auch im entwickelten 2. Jh. noch anhielt (s. Kap. 4.2.1.)? Oder fehlt ein Teil der Funde des 2. Jh., da man den Abfall, wie für Augst vermutet (Martin-Kilcher 1987, 21), wegführte (Rüsch 1981, 99f.)?

Settefinestre (Grosseto/Toscana): Die Villa weist zwei Perioden mit mehreren Umbauphasen auf. Periode IA ist anhand der Funde in caesarische bis julisch-claudische Zeit (ca. 1. Hälfte 1. Jh. v. Chr./1. Drittel 1. Jh. n. Chr.), Periode IB in julisch-claudische bis flavische Zeit (ca. 2./3. Drittel 1. Jh.), Periode IIA in traianisch-hadrianische Zeit (ca. 1. Hälfte 2. Jh.) und die Perioden IIB/IIC in antoninische Zeit (ca. 2. Hälfte 2. Jh.) zu datieren (Carandini 1985, 9). Mit der in severische Zeit (Ende 2./Anfang 3. Jh.) datierten Periode III wird die Auffassung der Villa und deren offenbar systematische Plünderung auf Baumaterial hin umschrieben. Die Ensembles basieren auf allen typologisch bestimmbaren Fragmenten, die sich einer einzelnen Phase zuweisen lassen (Ricci 1985, 15; nach Tabellen).

619 A.a.O. 253. Wieweit bei einem Bestand von nur 31 Münzen (a.a.O. 51) ein Schluss e silentio gestattet ist, muss offen bleiben.

620 Heiligmann 1990, 101. In der Publikation sind bei der Keramik nur

Solothurn-Vigierhäuser: Bei Grabungen im Bereich des römischen Vicus Salodurum erfasste man drei Schichtabfolgen, die sich anhand der Keramikspektren und stratigraphischer Überlegungen miteinander verknüpfen lassen (Schucany 1990b, Abb. 1). Sie umfassen die Zeit vom früheren 1. bis zum mittleren 3. Jh. Phase I (1981) kann dank der Keramik ins 2. Viertel des 1. Jh. datiert werden (Tab. 39–43: A). Die Abfallschicht der Phase II (Goldgasse) lagerte sich nach dem Bau einer Uferverbauung ab, deren Hölzer dendrochronologisch ins Jahr 56/57 datieren (Tab. 39–43: B). Nach einem Brand, der auch Phase II (Hauptgasse) zerstörte, wurde die Abfallschicht mit Schutt überdeckt. Der Brand ist anhand der Keramik um 80 anzusetzen. Die folgende Phase III (Goldgasse) datiert ins späte 1. Jh. (ca. 80–100) (Tab. 39–43: C). Darüber folgten Phase IVA (Goldgasse), die wie Phase 2 (1981) (Tab. 39–43: D) ins 2. Jh. (ca. 100/120–175/200) datiert, und Phase IVB (Goldgasse), die wie Phase 3 (1981) (Tab. 39–43: E) ins späte 2./frühere 3. Jh. (175/200–ca. 250) zu setzen ist.

Sutri (Viterbo/Lazio): Südöstlich des republikanischen Municipiums, das nach 41 v. Chr. zu einer Kolonie wurde (Torelli 1980, 47), kam eine mit Scherben gefüllte Grube zum Vorschein (Duncan 1965, 134). Die Keramik stammt vermutlich von einer in der Nähe gelegenen Villa und ist ins 1. Jh. v. Chr. zu setzen. Nördlich von Sutri fanden sich Reste eines Töpferbezirkes, der anhand der Münzen ins 3. Viertel des 1. Jh. n. Chr. datiert (Duncan 1964, 87f.). Da jeweils nur eine Auswahl der Keramik vorgelegt ist, lassen sich keine Spektren erstellen.

Titelberg: Das treverische Oppidum entwickelte sich in der 1. Hälfte des 1. Jh. v. Chr. und erreichte seinen Höhepunkt in nach-caesarischer Zeit (Metzler 1984, 74f.). Das keltische Gelniveau ist zwar offenbar weitgehend erhalten, aber durch den darüber gelegenen kaiserzeitlichen Vicus stark gestört.

Tschugg: Bei einem Nebengebäude eines Gutshofes liessen sich 1977 anhand bautechnischer Überlegungen fünf Perioden herausarbeiten (v. Kaenel/Pfanner 1980, 17f.). Aufgrund der Funde, insbesondere der Keramik, lassen sie sich wie folgt datieren, wobei die ersten beiden und die letzten beiden Perioden kaum zu trennen waren (a.a.O. 90): Periode I 2. Hälfte des 1. Jh., Periode II 1. Viertel des 2. Jh., Periode III 2. Viertel des 2. Jh., Periode IV 3. Viertel des 2. Jh. und Periode V letztes Viertel des 2. Jh.

Ursprung: Da bisher keine Vorgängersiedlung nachgewiesen ist, darf die Gründung des Kastells anhand der frühesten römischen Funde, der südgallischen Reliefsigillaten (Heiligmann 1990, 171ff.), ins späte 1./früheste 2. Jh. datiert werden. Das Ende des Kastells ist anhand der Münzen, die einen terminus post von 153/154 ergeben, und der Seltenheit von Sigillaten aus Rheinzabern etwa um 160 anzunehmen (a.a.O. 183). Der neben dem Kastell entstandene Vicus bestand bis ins 3. Viertel des 2. Jh. und in geringerer Masse bis ins 3. Jh. weiter⁶²⁰.

Vindonissa: Bisher hat man erst wenige Reste des *Oppidums* freigelegt (Hartmann 1986a, 24ff. Abb. 11). Neben Gruben kamen 1977 unter den Schichten des augusteischen Militärpostens und des Legionslagers (s. unten) Reste einer Strasse und eines zweiphasigen Hauses zum Vorschein (Hartmann/Lüdin 1977, 7ff. Abb. 2.3). Die zwei Schichten datiert man anhand der Funde in die Stufe LT D2 (a.a.O. 18). Das Keramikensemble (a.a.O. nach Katalog) ist mit 16 Randscherben leider nur sehr klein. Der das Oppidum abschliessende, sog. *Keltengraben* hat in der untersten Einfüllung keine südgallische, sondern ausschliesslich italische Sigillata geliefert (Ettlinger 1972, 262). Der ganze Keramikbestand ist gut mit jenem von Haltern (s. oben) zu vergleichen (a.a.O. 268).

die ohnehin frühen südgallischen Reliefsigillaten einbezogen (a.a.O. 230), so dass das abgebildete und zum Vergleich herangezogene Ensemble für die Kastellzeit typisch ist.

Vom *augusteischen Militärposten* sind bisher nur wenige Befunde bekannt (Hartmann 1986a, Abb. 17).

Von den drei meist zweiphasigen Hauptüberbauungsperioden des *Legionslagers*, den schrägen und den geraden Holzbauten sowie den Steinbauten, hat man schon wiederholt die für unseren Vergleich wichtigen Mannschaftsunterkünfte angeschnitten (a.a.O. Plan 1–4). Leider waren die Erhaltungsbedingungen meist schlecht⁶²¹. Oft fehlte das Bodenniveau und von den Wänden zeigten sich meist nur noch die Fundamente oder sogar nur noch deren Spuren, nämlich Balkengrübchen und Mauerguben der nachträglich ausgeplünderten Mauern.

1962/63 erfasste man unter der ersten Steinbauperiode Schichten von drei Phasen (Tomasevic 1970, 9). Bei der untersten muss es sich um ein Zeltlager handeln. Die 2. Phase ist den schrägen Holzbauten zuzurechnen, die 3. Periode den geraden Holzbauten, die die Richtung der späteren Steinbauperioden vorwegnahmen. Nach neueren Untersuchungen lagen diese Holzbauperioden ausserhalb der frühesten Befestigung⁶²². Sie gelten als Siedlungsschichten der 13. Legion, denn gemäss Forschungsmeinung (s. Ettliger 1961, 87; Hartmann 1986a, 39ff.) wurden sämtliche Holzbauten von der 13. Legion erbaut, die zwischen 16/17 und 45/46 in Vindonissa stationiert war, die 1. Steinbauperiode hingegen von der 21. Legion. Meines Erachtens ist diese Zuweisung keineswegs gesichert, wie die folgenden Überlegungen zeigen mögen: Der Wechsel von der Bauweise in Holz zur Bauweise mit Steinfundamenten wird als das einschneidende Ereignis betrachtet und mit dem Wechsel von der 13. zur 21. Legion in Verbindung gebracht. Wird diese Änderung der Bautechnik nicht überbewertet? Insbesondere, wenn man in Betracht zieht, dass die Mehrzahl der Steinfundamente leichte Lehmfachwerkwände trugen (Hartmann 1986a, 61), so dass der äussere Aspekt der meisten sog. Steinbauten ähnlich, wenn nicht gleich war, wie jener der Holzbauten. Eine Änderung des Orientierungsschemas hingegen stellt eine viel grössere, nämlich eine fundamentale Massnahme dar. Die Principia der schrägen Holzbauten lag nicht an der gleichen Stelle wie jene der geraden Holzbauten, während diese für die folgenden Steinbauten bestimmend wurde⁶²³. Sind der Orientierungswechsel und die Verschiebung des Standortes der Principia nicht eher als Hinweis auf einen Wechsel der Besetzung anzusehen denn als Massnahme ein und derselben Legion? Bemerkenswert ist in diesem Zusammenhang, dass bei den verschiedenen Erweiterungen des Holzlagers zwischen den schrägen Holzbauten (1./2. Etappe) und den geraden Holzbauten (3. Etappe) in bezug auf die Behandlung der zugeschütteten Gräben ein markanter Unterschied festzustellen ist: Bau einer Strasse im ersten Fall, Überbauung ohne Rücksicht auf den geschwächten Baugrund im zweiten Fall (Maier 1987, 190). Anhand der Keramik ist das Problem der Zuweisung kaum zu lösen, da es grundsätzlich nie

möglich sein wird, ein *frühclaudisches* Ensemble (40–45) von einem *spätclaudischen* (45–50) eindeutig zu unterscheiden. Einzig Münzen aus besonders glücklichen Fundumständen könnten weiterhelfen, etwa die neronische Münze, die südlich des späteren Praetoriums im Spitzgraben zur letzten Holzbauphase zum Vorschein kam (s. unten). In der Grabung von 1962/63 war die stratigraphische Trennung der Funde zwischen der 2. und 3. Periode offenbar nur selten möglich (Tomasevic 1970, 10), so dass man die Funde beider Perioden zusammenfasste. Verglichen mit Baden unterscheiden sich die Holzbauperioden zusammengenommen deutlich von den als tiberisch datierten Phasen 1 und 2 der Holzbauperiode I und entsprechen am ehesten der als claudisch datierten Holzbauperiode I.3⁶²⁴.

Im Südteil des *Legionslagers*, im Bereich des *Praetoriums*, untersuchte man in mehreren Grabungsflächen Reste eines augusteischen Siedlungshorizontes (ca. 10 v. Chr.–16/17 n. Chr.), Reste von vier Holzbauperioden, die der 13. Legion (16/17–45/46) zugewiesen werden (s. oben), und eine Steinbauperiode der 21. und 11. Legion (45/46–ca. 90) sowie eine Steinbauperiode der 11. Legion. Nach Ch. Meyer-Freuler (1989, 25f.) weichen die 1. und 2. Holzbauperiode in der Ausrichtung wider Erwarten nicht von der 3. und 4. sowie den Steinbauperioden ab. Ein Blick auf den Plan (Meyer-Freuler 1989, Beil. 9) zeigt jedoch, dass die ersten beiden Holzbauperioden in der Nordrichtung zwar nicht wie die schrägen Holzbauten um 9° nach Osten von den geraden Holzbauten und den Steinbauten (s. Hartmann 1973b, Beil. 1.2) abweichen, sondern um 9° nach Westen. Offensichtlich richteten sich die Bauten in der Frühzeit des Lagers nach mehreren Orientierungssystemen oder nach dem Keltengraben (s. Ettliger 1961, 102), während man seit der 3. Holzbauperiode bzw. seit den geraden Holzbauten ein einheitliches Orientierungsschema auf das ganze Lagergebiet ausdehnte. Ob die 3. und 4. Holzbauperiode tatsächlich nur bis in frühclaudische Zeit datieren – es wird ein vermehrtes Auftreten typischer «Hofheim-Formen» vermerkt (a.a.O. 35) – und wieweit das Vorkommen einer Schale Drag. 36 nicht auf eine Datierung bis in neronische Zeit hinweist, muss offen bleiben⁶²⁵. Was das Verhältnis von Sigillata zu TS-Imitation betrifft, lässt sich das Ensemble der 3. und 4. Periode am besten mit der absolut datierten neronischen Holzbauperiode II vergleichen. Bei den Typen ist eher eine Gleichläufigkeit mit der als claudisch datierten Holzbauperiode I.3 festzustellen⁶²⁶. Ein Dupondius des Nero von 64/68 aus dem einen Spitzgraben der 4. Periode, der beim Bau der Steinbauperiode zugeschüttet worden war, könnte ein Beleg sein, dass die Steinbauten erst in spätoneronischer Zeit, also nicht in der Anfangszeit der 21. Legion errichtet worden waren⁶²⁷.

Der nördlich des *Legionslagers* im Laufe des 1. Jh. entstandene *Schutthügel* war durch eine dicke Bauschuttschicht in den älteren Ostteil und den jüngeren Westteil getrennt (Laur-Belart

621 S. Simonett 1943/44, 25; Tomasevic 1962, 35; Lüdin 1966, 22. In den drei Jahren als Zeichnerin bei der Aargauischen Kantonsarchäologie habe ich die Erhaltungsbedingungen der Befunde von Vindonissa bei Grabungen in Königsfelden (Hartmann 1979/80, Abb. 3.8.9) kennengelernt.

622 Meyer-Freuler 1989, 32 Anm. 86. M. Pavlinec (1992, 118; Anm. 25) hat diese Tatsache nicht berücksichtigt bei der Besprechung dieser einer seiner Referenzfundstellen.

623 Hartmann 1986a, 44, Plan 2–4. Die grosse, unter Tiberius entstandene Bauinschrift (CIL XIII Nr. 11513; Walser 1980, Nr. 171), die südöstlich der Principia des Steinlagers zum Vorschein kam, darf nicht als Hinweis für den gleichen Standort der Principia des tiberischen Holzlagers dienen, da sie als Spolie im mächtigen Fundament einer Mauer des sogenannten Apsidenbaus verbaut war (Eckinger 1900, 90f.; Meyer-Freuler 1989, Abb. 41). Im übrigen könnte sie auch von einem anderen wichtigen Gebäude (z. B. Osttor) stammen.

624 S. Tab. 2.3.39. Aufgrund von Tomasevic 1970, 76ff. lassen sich fol-

gende Verhältnisse errechnen: TS zu TS-Imitation: 46%:54%; Anteil an Arretina: 29%; Badener Typengruppe A: 28%, Typengruppe B: 35%, Typengruppe C: 37% – ohne Reliefsigillaten; Imitationsteller/-schälchen zu Schüsseln Drack 21: 76%:24% (dazu Schucany 1990a, Tab. 6).

625 A.a.O. Tab. 29. Bei diesem Einzelstück im Bestand von 57 Exemplaren könnte es sich jedoch um einen sogenannten Fehllauf handeln. Drag. 36 treten im allgemeinen kaum vor 70 auf (s. Planck 1975, Tab. 11).

626 S. Tab. 2.3.39. Anhand Meyer-Freuler 1989, Tab. 28.29.31 lassen sich folgende Verhältnisse errechnen: TS zu TS-Imitation: 70%:30%; Anteil an Arretina: 22%; Badener Typengruppe A: 18%, Typengruppe B: 46%, Typengruppe C: 32%, Typengruppe D: 2%, Typengruppe E: 2%.

627 A.a.O. 43 Anm. 136 Nr. 98. Es könnte sich natürlich um ein verlagertes Stück handeln, was bei einer Münze der Kleinheit wegen noch weniger als sonst auszuschliessen ist.

1935, Taf. 23,1). Diese wird aufgrund von Tubuli und in ähnlicher Weise bemalten Fragmenten von Wandverputz in Zusammenhang mit einem Umbau der Thermen um 75 n. Chr. gesehen (a.a.O. 65f.). Da keine Münzen vorkommen, die nach 99 geprägt wurden, dürfte das Ende der Ablagerung mit dem Abzug der II. Legion im Jahr 101 zusammenfallen. E. Ettliger setzt aufgrund ihrer Untersuchungen an der Keramik den Beginn der Anschüttungen im Ostteil ins 3. Jahrzehnt (Ettliger/Simonett 1952, 93; 128) und die Bauschuttschicht in die Zeit um 55/60 (Ettliger/Gonzenbach 1951/52, 68). Zwei als flavisch geltende

Glastypen aus dem Ostteil könnten jedoch auf eine etwas spätere Datierung der Bauschuttschicht hinweisen (Berger 1960, 89). Wieweit das allerdings äusserst seltene Vorkommen von Drag. 35/36 (0,1%; s. Schucany 1983, Tab. 3) ebenfalls für eine bis in flavische Zeit dauernde Anschüttung des Ostteils spricht, muss offen bleiben.

Weil: Das Gräberfeld lässt sich anhand aller chronologischen Faktoren in vier Zeitstufen gliedern: I ca. 40–70, II ca. 70–110, III ca. 110–150 und IV ca. 150–180 (Asskamp 1989, 73ff. Tab. 14).

14. Listen und Tabellen

14.1. Sigillatastempel

Töpfername (Katalog-Nr.)	Phase	Passienus (Nr. 896)	Steinbauperiode I.1
Amandus (Nr. 957)	Steinbauperiode I.3	Primus (Schucany 1983, Abb. 13,3)	Holzbauperiode II
Ardacus (Nr. 751)	Steinbauperiode I.1	Primus (Schucany 1983, Abb. 13,4)	Holzbauperiode II
Ardacus (Schucany 1983, Abb. 13,1)	Holzbauperiode II	Regenus (Schucany 1983, Abb. 13,5)	Holzbauperiode II
Ceflicio (Nr. 1753)	Steinbauperiode II.1	Sabinus (Nr. 847)	Steinbauperiode I.2
Celsius (Nr. 1754)	Steinbauperiode II.1	Salarius? (Nr. 678)	Steinbauperiode I.1
Certus (Nr. 1174)	Steinbauperiode I.4	Scipius? (Nr. 1752)	Steinbauperiode II.1
Clarus (Nr. 727)	Steinbauperiode I.1	Scotius (Schucany 1983, Abb. 13,6)	Holzbauperiode II
Crestio (Nr. 115)	Holzbauperiode I.2	Scotnus (Nr. 897)	Steinbauperiode I.1
Crestio (Nr. 895)	Steinbauperiode I.1	Secundus (Nr. 1482)	Bauhorizont der Steinbauperiode I.5
CRI[] (Schucany 1983, Abb. 13,8)	Holzbauperiode II	Sentrus (Schucany 1983, Abb. 13,7)	Holzbauperiode II
Damonus (Schucany 1983, Abb. 13,2)	Holzbauperiode II	Viaticus? (Nr. 1056)	Steinbauperiode I.4
Eppius und Silvanus (Nr. 724)	Steinbauperiode I.1	Viducus? (Nr. 1755)	Steinbauperiode II.1
Iucundus (Nr. 1005)	Steinbauperiode I.2	Vrius (Nr. 125)	Holzbauperiode I.2
Iucundus? (Nr. 1531)	Bauhorizont der Steinbauperiode I.5	OFFECII (Schucany 1983, Abb. 13,9)	Holzbauperiode II
Licinus (Nr. 305)	Holzbauperiode I.3	OIEFI\W (Nr. 1751)	Steinbauperiode II.1
Mabio? (Nr. 704)	Steinbauperiode I.1	[]OIHICI (Schucany 1983, Abb. 13,10)	Holzbauperiode II
Mascus? (Nr. 1067)	Steinbauperiode I.4	[]NISI (Schucany 1983, Abb. 13,11)	Holzbauperiode II
Nicio? (Nr. 1410)	Bauhorizont der Steinbauperiode I.5	[]ONIS (Schucany 1983, Abb. 13,12)	Holzbauperiode II
Niger (Nr. 1267)	Steinbauperiode I.4	unlesbar (Nr. 790)	Steinbauperiode I.2

14.2. Tabellen zu Befund und Funden der Grabung 1977

Phase	Haus	Mass	Strecken													Durchschnitt				
HPI.1	I	in m	5.1	5.7	4.3	7.6	3.4													
		in Fuss	18	20	15	27	12													
		Fuss (cm)	28.33	28.50	28.67	28.15	28.33													28.3695
HPI.2	I	in m	5.9	5.9	1.7	3.4	5.1	1.4	3.4											
		in Fuss	20	20	6	12	18	5	12											
		Fuss (cm)	29.50	29.50	28.33	28.33	28.33	28.00	28.33											28.8172
	II	in m	4.2																	28
		in Fuss	15																	
		Fuss (cm)	28.00																	28
HPI.3	I	in m	5.8	5.8	1.8	3.4	4.2	4.2	5.1	1.4										
		in Fuss	20	20	6	12	15	15	18	5										
		Fuss (cm)	29.00	29.00	30.00	28.33	28.00	28.00	28.33	28.00										28.5585
	II	in m	4.2																	28
		in Fuss	15																	
		Fuss (cm)	28.00																	28
HPII	I	in m	4.3	1.8	3.4	5.3	3	2.6	6	3.6	6.9									
		in Fuss	15	6	12	16	10	9	20	12	24									
		Fuss (cm)	28.67	30.00	28.33	33.13	30.00	28.89	30.00	30.00	28.75									29.7582
	II	in m	3.5	4.4																29.2596
		in Fuss	12	15																
		Fuss (cm)	29.17	29.33																29.2596
	III	in m	4.4	3.5	4.4	4.4														29.2982
		in Fuss	15	12	15	15														
		Fuss (cm)	29.33	29.17	29.33	29.33														29.2982
SPI.1	II	in m	17	12.9	21.2	3.4	5.8	1.4	4.3	2.9	5.8	5.1								
		in Fuss	60	45	75	12	20	5	15	10	20	18								
		Fuss (cm)	28.33	28.67	28.27	28.33	29.00	28.00	28.67	29.00	29.00	28.33								28.5
	III	in m	5.7	4.4	7.3	6.8	6	4.4	7.3	4.5	3.5	4.4	2.9	2.9	6.9					
		in Fuss	20	15	25	24	20	15	25	15	12	15	10	10	24					
		Fuss (cm)	28.50	29.33	29.20	28.33	30.00	29.33	29.20	30.00	29.17	29.33	29.00	29.00	28.75					29.1304
SPI.2	I	in m	5.4	3.6																
		in Fuss	18	12																
		Fuss (cm)	30.00	30.00																30
	III	in m	2.9	2.9																29
		in Fuss	10	10																
		Fuss (cm)	29.00	29.00																29
SPI.3	I	in m	7.1																	
		in Fuss	24																	
		Fuss (cm)	29.58																	29.5833
	II	in m	3.6	3.6	3.7															30.2777
		in Fuss	12	12	12															
		Fuss (cm)	30.00	30.00	30.83															30.2777
SPI.4	I	in m	6	7.2	1.9															
		in Fuss	20	24	6															
		Fuss (cm)	30.00	30.00	31.67															30.2
	II	in m	2.7	10.4	3	2.9														29.2307
		in Fuss	9	36	10	10														
		Fuss (cm)	30.00	28.89	30.00	29.00														29.2307
SPI.5	I	in m	13.4	10.7	2.7															
		in Fuss	45	36	9															
		Fuss (cm)	29.78	29.72	30.00															29.7777
	II	in m	2.6	2.8	2.9	3	3.5	2.9	2.9	2.8										29.25
		in Fuss	9	9	10	10	12	10	10	10										
		Fuss (cm)	28.89	31.11	29.00	30.00	29.17	29.00	29.00	28.00										29.25
SPII.1	I	in m	21.3	7.7	12.1															
		in Fuss	72	27	42															
		Fuss (cm)	29.58	28.52	28.81															29.1489
	II	in m	9	4.5	4.6	29.8	20.5	9.1												
		in Fuss	30	15	15	100	70	30												
		Fuss (cm)	30.00	30.00	30.67	29.80	29.29	30.33												29.8076

Tab. 1. Fussmasse.

Phase	Materialsorte						Total
	Aretina	süd gallisch		mittel-gallisch	ost-gallisch		
		hell	mittel				
HPI.1		2					2
HPI.2	2	1	4				7
HPI.3		12	21	1			34
HP II	2	1	54				57
SPI.1	1	7	36	5	2		51
SPI.2		4	12	6	2		24
SPI.3		2	37	7	3		49
SPI.4		1	38	23	7		69
SPI.5		3	60	18	9	2	92
SPI.6			10	5	1		16
SPII.1		1	27	7	5	2	42
SPII.2			3	4	1		8
Total	5	34	302	76	30	4	451

Tab. 2a. TS-Materialsorten nach Phasen (RS)

Phase	Materialsorte						Total
	Aretina	süd gallisch		mittel-gallisch	ost-gallisch		
		hell	mittel				
HPI.1	0	100	0	0	0	0	100
HPI.2	29	14	57	0	0	0	100
HPI.3	0	35	62	3	0	0	100
HP II	4	2	95	0	0	0	100
SPI.1	2	14	71	10	4	0	100
SPI.2	0	17	50	25	8	0	100
SPI.3	0	4	76	14	6	0	100
SPI.4	0	1	55	33	10	0	100
SPI.5	0	3	65	20	10	2	100
SPI.6	0	0	63	31	6	0	100
SPII.1	0	2	64	17	12	5	100
SPII.2	0	0	38	50	13	0	100
Total	1	8	67	17	7	1	100

Tab. 2b. TS-Materialsorten nach Phasen (%).

Phase	A			B							C					D					E			Total																		
	Haltm 8	Haltm 15	Haltm 11	Haltm 2	Total	%	Hofheim 5	Hofheim 8	Hofheim 9	Drag.24	Drag.17	Hofheim 1	Drag.15	Hofheim 12	Drag.29	Drag.30	Total	%	Drag.27	Drag.23	Drag.18	Drag.16	Drag.22		Total	%	Drag.35	Drag.42	Drag.46	Drag.36	Drag.37	Hérmet 9	Total	%	Drag.33	Becher	Drag.31	Drag.32	Total	%		
vorher					0	0											0	0						0	0													0	0			
HPI.1	Ho1				0	0							1				1	33		2				2	67												0	0	3	3		
	Bh2	1							1										1																				3	3		
HPI.2	Ho2	2			3	38			1			2					4	50		1																	0	0	5	5		
	Bh3		1													1											1											0	0	3	3	
HPI.3	Ho3	1	2		4	14		1		2	3	5	4				16	57	3	4					7	25							1	4			0	0	25	25		
	BhII	3							2		1	1							1	2																		10	10			
HP II	Ho IIa				6	10		1	3	1	3	7					35	58	3	6																		0	0	25	25	
	Ho IIb		2					1	1	1		1																											7	7		
	Schutt							4	4	9	3	13	3	2					7	8																			54	54		
SPI.1	Bh1b				9	7				1				3			83	63	1	1					1	27											0	0	7	7		
	Bh1c													1					1																				3	3		
	Ho1a							1		5		5		1					4	2																			18	18		
	Ho1b										1	3																												4	4	
	Ho1c																											3												4	4	
	Bh2b													1					1									1												4	4	
	Bh2c		1					1	3			2		2					2	2								1											14	14		
SPI.2	Ho2a		1		2	6		1	1	1		1	1				16	50	1	2	1				9	28							5	16			0	0	10	10		
	Ho2b							1		1		1		2					1	1																				7	7	
	Bh3a																																							1	1	
	Bh3b							1		1				1							2							1	1											7	7	
SPI.3	Ho3a				2	4											27	50	1	4	1				18	33	1		2				7	13			0	0	15	15		
	Ho3b								2			1								1																				4	4	
	Ho3c																																								0	0
	Bh4a																																								0	0
	Bh4b								3		2	6								5	1						2		3	1											23	23
	Bh4c							1				2								3								1													7	7
SPI.4	Ho4a				0	0			1	1		2	2	5			25	57		1					10	23	1		1				9	20			0	0	14	14		
	Ho4b							1	1		1	7	2	11	3					4	12	1					5	3	6	4	1				1	1				64	64	
	Ho4c													1																											1	1
	Bh5a				0	0											27	38		1	2				20	28	2		2							2	3			7	7	
	Bh5b													1						2							1		2						1					7	7	
	Bh5c							1	1		1	5	5							3	3																1	1		21	21	
SPI.5	Ho5a				0	0				1							15	39		1	1				13	34							7	18			3	8	3	3		
	Ho5b										1		3							2														2						9	9	
	Bh6a							1	1		3	2	6	2						5	1	8					8	2	3					2						44	44	
	Bh6b							1												1							5								1	1				9	9	
SPI.6	Ho6a				0	0											1	6			3				4	25	2	1	1				9	56			2	13		7	7	
	Ho6b												2							1	1	1				2		1	6					1						15	15	
SPII.1	Bh1				0	0					1	6	1				10	20		4	11	1			19	39	6		2			17	35		1	1	3	6	34	34		
	Ho1										1	2								1							2		2	3						1				12	12	
SPII.2	Ho2				0	0											3	21							1	7														2	2	
	Bh3																			2								1	1	1										7	7	
SPII.3	Ho3				0	0											1	50							0	0															2	2
Total		4	2	6	2	14	3	2	11	12	39	8	6	66	11	77	8	240	46	48	3	92	4	1	148	28	36	6	2	15	43	2	104	20	9	3	1	2	15	3	521	521
%		1	0	1	0			0	2	2	7	2	1	13	2	15	2			9	1	18	1	0			7	1	0	3	8	0			2	1	0	0			100	100

Tab. 3. Terra Sigillata, nach Horizonten und Parzellen. Bezeichnung der Parzellen; in Spalte "Phase": a Parzelle 1; b Parzelle 2; c Parzelle 3.

Typengruppe	Materialsorte	Materialsorte					Total
		Arretina	süd hell	gallisch mittel	dunkel	mittel- gallisch	
A	Haltern 8		4				4
	Haltern 15	1	1				2
	Haltern 11	2	4				6
	Haltern 2	2					2
	Total	5	9	0	0	0	14
B	Hofheim 5		2				2
	Hofheim 8			10			10
	Hofheim 9		1	4	3		8
	Drag.24		6	28	1	1	36
	Drag.17		3	4	1		8
	Hofheim 1		1	5			6
	Drag.15		3	43	5		51
	Hofheim 12			6	2	1	9
	Drag.29		1	34	22	7	64
	Drag.30			3	3		6
	Total	0	17	137	37	9	200
C	Drag.27		3	38	2	3	44
	Drag.23			3			3
	Drag.18		3	62	8	7	80
	Drag.16			4			4
	Total	0	6	105	10	10	131
D	Drag.35			25	6	2	33
	Drag.42			2	3	1	6
	Drag.46			1			1
	Drag.36			8	3	2	13
	Drag.37			18	11	5	36
	Hérmet 9			2			2
	Total	0	0	55	24	10	91
E	Drag.33		2	2	4	1	9
	Becher			3			3
	Drag.31					1	1
	Drag.32			1			1
	Total	0	2	5	5	1	15
Total		5	34	302	76	30	451

Tab. 4a. TS-Typengruppen nach Materialsorten (RS).

Typengruppe	Materialsorte	Materialsorte					Total
		Arretina	süd hell	gallisch mittel	dunkel	mittel- gallisch	
A	Haltern 8	0	100	0	0	0	100
	Haltern 15	50	50	0	0	0	100
	Haltern 11	33	67	0	0	0	100
	Haltern 2	100	0	0	0	0	100
	Total	36	64	0	0	0	100
	Anteil	100	26	0	0	0	3
B	Hofheim 5	0	100	0	0	0	100
	Hofheim 8	0	0	100	0	0	100
	Hofheim 9	0	13	50	38	0	100
	Drag.24	0	17	78	3	3	100
	Drag.17	0	38	50	13	0	100
	Hofheim 1	0	17	83	0	0	100
	Drag.15	0	6	84	10	0	100
	Hofheim 12	0	0	67	22	11	100
	Drag.29	0	2	53	34	11	100
	Drag.30	0	0	50	50	0	100
	Total	0	9	69	19	5	100
	Anteil	0	50	45	49	30	44
C	Drag.27	0	7	82	5	7	100
	Drag.23	0	0	100	0	0	100
	Drag.18	0	4	78	10	9	100
	Drag.16	0	0	100	0	0	100
	Total	0	5	80	8	8	100
	Anteil	0	18	35	13	33	29
D	Drag.35	0	0	76	18	6	100
	Drag.42	0	0	33	50	17	100
	Drag.46	0	0	0	100	0	100
	Drag.36	0	0	62	23	15	100
	Drag.37	0	0	50	31	14	100
	Hérmet 9	0	0	100	0	0	100
	Total	0	0	60	26	11	100
	Anteil	0	0	18	32	33	20
E	Drag.33	0	22	22	44	11	100
	Becher	0	0	100	0	0	100
	Drag.31	0	0	0	0	0	100
	Drag.32	0	0	0	50	0	100
	Total	0	13	33	33	7	100
	Anteil	0	6	2	7	3	50

Tab. 4b. TS-Gruppen nach Materialsorten (%).

Katalog Nr.	Durch- messer	Lippenhöhe		Randhöhe		Phase
		cm	mm %	mm %	mm %	
496	25	4.6	1.84	>25	>10,00	HP11
766	21.5	6.6	3.07	25	11.63	SPI.1
768	25.2	6	2.38	>25	>9,92	
890	22	4.8	2.18	25	11.36	
947	28	6	2.14	37	13.21	SPI.2
1004	17	4.8	2.82	37	21.76	
982	22.4	2.8	1.25	30	13.39	SPI.3
983	22.2	4.2	1.89	23	10.36	
1129	22	5.2	2.36	21	9.55	
1130	20	4	2.00	17	8.50	
1131	22.8	4.4	1.93	19	8.33	
1400	25	4.4	1.76	18	7.20	
1066	17	5.2	3.06	22	12.94	SPI.4
1176	20.5	5.2	2.54	25	12.20	
1264	25.5	5	1.96	20	7.84	
1265	24.5	3.6	1.47	20	8.16	
1266	18	4	2.22	20	11.11	
1431	15	4.6	3.07	22	14.67	Bhl.5
1432	20	8	4.00	46	23.00	
1453	17	4.6	2.71	22	12.94	
1454	17	5.4	3.18	21	12.35	

Tab. 5. TS Drag. 37. Verhältnis von Lippenhöhe bzw. Randhöhe zu Randedurchmesser.

Katalog Nr.	Durch- messer	Lippenhöhe		Randhöhe		Phase
		cm	mm %	mm %	mm %	
1498	22.5	4.8	2.13	21	9.33	SPI.5
1599	20.5	6	2.93	>22	>10,73	
1600	25.5	9.8	3.84	>30	>11,76	
1667	23.5	5.6	2.38	32	13.62	SPI.6
1699	22.5	6.8	3.02	25	11.11	
1700	23.5	4.8	2.04	28	11.91	
1701	22.5	5.4	2.40	26	11.56	
1716	20.5	5.4	2.63	>27	>13,17	
1717	25	4.2	1.68	>20	>8,00	
1749	22	5.2	2.36	>27	>12,27	SPI.1
1750	18.5	3.8	2.05	20	10.81	
1854	27	6	2.22	>31	>11,48	
1855	24.5	7.4	3.02	27	11.02	
1856	20.5	7.6	3.71	29	14.15	
1872	22.5	7.2	3.20	30	13.33	SPI.2
1873	25	5.4	2.16	24	9.60	
1880	19	8	4.21	25	13.16	
1881	21	6.1	2.90	23	10.95	
1897	23	8.6	3.74	23	10.00	SPI.3

Phase		Firnsschälchen	Firnsmischer	Feinkeramik varia	Lampen	pomp. rote Platten	Reibschüssel	Balsamerium	Total
vorher				1					1
HPI.1	Ho1	1			1		1		3
	Bh2		1		1	1			3
HPI.2	Ho2	1			2				3
	Bh3								0
HPI.3	Ho3	1			1				2
	Bh11								0
HP11	Ho 11a	3			6				9
	Ho 11b	1	1	2	1				5
	Schutt	4	2	3	1				10
SPI.1	Bh1b								0
	Bh1c	1		1					2
	Ho1a				2				2
	Ho1b								0
	Ho1c		1						1
	Bh2b	1	1		1				3
	Bh2c	1		1					2
SPI.2	Ho2a		1	1					2
	Ho2b								0
	Bh3a								0
	Bh3b	1			1				2
SPI.3	Ho3a		2						2
	Ho3b								0
	Ho3c								0
	Bh4a								0
	Bh4b	1							1
	Bh4c								0
SPI.4	Ho4a								0
	Ho4b	1		3	1				5
	Ho4c								0
	Bh5a								0
	Bh5b		1		1				2
	Bh5c				1				1
SPI.5	Ho5a								0
	Ho5b								0
	Bh6a			1					1
	Bh6b								0
SPI.6	Ho6a								0
	Ho6b								0
SPII.1	Bh1		1						1
	Ho1								0
SPII.2	Ho2								0
	Bh3			1					1
SPII.3	Ho3								0
Total		17	8	5	28	4	1	1	64
%		27	13	8	44	6	2	2	100

Tab. 6. Importkeramik, varia, nach Horizonten und Parzellen (RS).

Phase		Halterm 70	Gauloise 4	Gauloise 2s	Camulodunum 184	Dressel 20	Vindonissa 596	Pélichet 46	Dressel 10s	Dressel 9s	Total
vorher											0
HPI.1	Ho1					2					2
	Bh2										0
HPI.2	Ho2										0
	Bh3						2				2
HPI.3	Ho3					1					1
	Bh11										0
HP11	Ho 11a				1						1
	Ho 11b										0
	Schutt			2					1		3
SPI.1	Bh1b								1		1
	Bh1c				1						1
	Ho1a					1					1
	Ho1b					1					1
	Ho1c										0
	Bh2b										0
	Bh2c				2						2
SPI.2	Ho2a										0
	Ho2b					1	1	1			3
	Bh3a										0
	Bh3b										0
SPI.3	Ho3a										0
	Ho3b										0
	Ho3c										0
	Bh4a										0
	Bh4b	1							1		2
	Bh4c										0
SPI.4	Ho4a										0
	Ho4b					3	1	5	2	1	12
	Ho4c										0
	Bh5a					1					1
	Bh5b										0
	Bh5c				1		1				2
SPI.5	Ho5a					1					1
	Ho5b										0
	Bh6a										0
	Bh6b						1				1
SPI.6	Ho6a										0
	Ho6b										0
SPII.1	Bh1										0
	Ho1										0
SPII.2	Ho2										0
	Bh3										0
SPII.3	Ho3										0
Total		1	1	2	4	13	3	6	4	3	37
%		3	3	5	11	35	8	16	11	8	100

Tab. 7. Amphoren, nach Horizonten und Parzellen (RS).

Phase		Campana-imitation	Firnimitation	im.pomp. roter Pl.	Total
vorher			4		4
HPI.1	Ho1				0
	Bh2	1			1
HPI.2	Ho2		1		1
	Bh3				0
HPI.3	Ho3	1			1
	Bh11				0
HP11	Ho 11a				0
	Ho 11b	1			1
	Schutt	1			1
SPI.1	Bh1b				0
	Bh1c				0
	Ho1a				0
	Ho1b	1			1
	Ho1c		1		1
	Bh2b				0
	Bh2c	1			1
SPI.2	Ho2a				0
	Ho2b				0
	Bh3a				0
	Bh3b				0
SPI.3	Ho3a				0
	Ho3b				0
	Ho3c				0
	Bh4a				0
	Bh4b				0
	Bh4c				0
SPI.4	Ho4a				0
	Ho4b				0
	Ho4c				0
	Bh5a				0
	Bh5b				0
	Bh5c				0
SPI.5	Ho5a				0
	Ho5b				0
	Bh6a				0
	Bh6b				0
SPI.6	Ho6a				0
	Ho6b	1			1
SPII.1	Bh1				0
	Ho1		1		1
SPII.2	Ho2				0
	Bh3				0
SPII.3	Ho3				0
Total		12	1	1	14
%		86	7	7	100

Tab. 8. Imitation, varia, nach Horizonten und Parzellen (RS).

Bezeichnung der Parzellen; in Spalte "Phase". a Parzelle 1; b Parzelle 2; c Parzelle 3.

Phase	rot	braun	schwarz	Total
vorher	2			2
HPI.1	14	3		17
HPI.2	16	2		18
HPI.3	19	1	6	26
HP11	25	5		30
SPI.1	14	1	10	25
SPI.2	4			4
SPI.3	1	7		8
SPI.4	6	13		19
SPI.5	5	1	10	16
SPI.6	2			2
SPII.1	5	8		13
SPII.2	1			1

Tab. 10a. TS-Imitation. Herstellungstechnik nach Phasen (RS).

Phase	rot	braun	schwarz	Total
vorher	100	0	0	100
HPI.1	82	0	18	100
HPI.2	89	0	11	100
HPI.3	73	4	23	100
HP11	83	0	17	100
SPI.1	56	4	40	100
SPI.2	100	0	0	100
SPI.3	13	0	88	100
SPI.4	32	0	68	100
SPI.5	31	6	63	100
SPI.6	100	0	0	100
SPII.1	38	0	62	100
SPII.2	100	0	0	100

Tab. 10b. TS-Imitation. Herstellungstechnik nach Phasen (%).

Typ	Herstellungstechnik			Total
	rot	braun	schwarz	
A Drack 9	15	1	3	19
Drack 2	36		4	40
Drack 4a	8		12	20
Total	59	1	19	79
B Drack 11	2		1	3
Drack 18	1		1	2
Im. Hofheim 9	1		1	2
Drack 3	24		14	38
Drack 5	1		1	2
Drack 19	8	2	14	24
Im. Drag,30	2			2
Total	39	2	32	73
C Drack 13	2		2	4
Drack 4b	12		12	24
Im. Drag,16	1			1
Total	15	0	14	29
Total	113	3	65	181

Tab. 9a. TS-Imitation, nach Typen (RS).

Typ	Herstellungstechnik			Total
	rot	braun	schwarz	
A Drack 9	79	5	16	100
Drack 2	90	0	10	100
Drack 4a	40	0	60	100
Anteil	75	1	24	100
B Drack 11	67	0	33	100
Drack 18	50	0	50	100
Im. Hofheim 9	50	0	50	100
Drack 3	63	0	37	100
Drack 5	50	0	50	100
Drack 19	33	8	58	100
Im. Drag,30	100	0	0	100
Anteil	53	3	44	100
C Drack 13	50	0	50	100
Drack 4b	50	0	50	100
Im. Drag,16	100	0	0	100
Anteil	52	0	48	100
Total	62	2	36	100

Tab. 9b. TS-Imitation, Herstellungstechniken nach Typen (%).

Phase	A				B				C				Total							
	Drack 9	Drack 2	Drack 4a	Total	Drack 11	Drack 18	Im. Hofh. 9	Drack 3	Drack 5	Drack 19	Im. Drag,30	Total		Drack 13	Drack 4b	Im. Drag,16	Total			
vorher	2			2	100							0	0			0	0	2		
HPI.1 Ho1	2	7	2	13	93					1		1	7			0	0	12		
Bh2	2	2								1								5		
HPI.2 Ho2	3	7	1	15	79				1			2	11		2	2	11	14		
Bh3	3	1																4		
HPI.3 Ho3	3	4	4	15	63	1	1	3	1			6	25		3	3	13	20		
Bh11	2		1						2	1								6		
HP11 Ho 11a	3	4	4	25	63					1		10	25		2	5	13	14		
Ho 11b	1								2									3		
Schutt	2					1		8						2				13		
SPI.1 Bh1b	2	1		35	53	1						22	33		2	9	14	6		
Bh1c																		0		
Ho1a	1	2	2						1	1								7		
Ho1b	1								1									2		
Ho1c									2	1								3		
Bh2b						1												3		
Bh2c									1	2					1			4		
SPI.2 Ho2a				2	17				1			8	67		1	2	17	2		
Ho2b																		0		
Bh3a																		0		
Bh3b			1								1							2		
SPI.3 Ho3a				1	11					1		6	67			2	22	1		
Ho3b									1	1					1			3		
Ho3c																		0		
Bh4a																		0		
Bh4b			1	1							1							3		
Bh4c															1			1		
SPI.4 Ho4a				2	15				3	2	1	7	54		3	4	31	9		
Ho4b			1						4	2								7		
Ho4c																		0		
Bh5a				1	13				1			7	88			0	0	1		
Bh5b			1											1				2		
Bh5c			1			1		1	1	1					1			6		
SPI.5 Ho5a				2	20					1		6	60			2	20	1		
Ho5b															1			1		
Bh6a										4					1			5		
Bh6b																		0		
SPI.6 Ho6a				0	0					1		1	50		1	1	50	2		
Ho6b																		0		
SPII.1 Bh1			1	1	8			1	4	2		7	58		1	3	4	33	12	
Ho1									1									1		
SPII.2 Ho2				0	0							1	100					0	0	0
Bh3									1										1	
SPII.3 Ho3				0	0							0	0					0	0	0
Total	19	40	19	78	44	3	2	2	38	2	24	73	41	4	22	1	27	15	178	
%	11	22	11			2	1	1	21	1	13	1		2	12	1			100	

Tab. 11. TS-Imitation, nach Horizonten und Parzellen (RS).

Phase	Krug	Teller	Schüssel	Total
vorher				0
HPI.1 Ho1				0
Bh2			1	1
HPI.2 Ho2				0
Bh3				0
HPI.3 Ho3				0
BhII				0
HPII Ho IIa				0
Ho IIb				0
Schutt				0
SPI.1 Bh1b				0
Bh1c				0
Ho1a	1			1
Ho1b				0
Ho1c				0
Bh2b				0
Bh2c				0
SPI.2 Ho2a				0
Ho2b	3	2		5
Bh3a		2		2
Bh3b				0
SPI.3 Ho3a	1	1		2
Ho3b				0
Ho3c				0
Bh4a				0
Bh4b				0
Bh4c				0
SPI.4 Ho4a				0
Ho4b	2	2		4
Ho4c				0
Bh5a		1		1
Bh5b				0
Bh5c				0
SPI.5 Ho5a				0
Ho5b				0
Bh6a	2			2
Bh6b				0
SPI.6 Ho6a				0
Ho6b				0
SPII.1 Bh1	2	1	5	8
Ho1				0
SPII.2 Ho2				0
Bh3				0
SPII.3			1	1
Total	3	9	15	27
%	11	33	56	100

Tab. 12. Glanztonkeramik römischer Form, nach Horizonten und Parzellen (RS).

Phase	Krug	Topf	Deckel	Teller	Schüssel	Reibschüssel	Total
vorher	1			1			2
HPI.1 Ho1				1			1
Bh2	4				1		5
HPI.2 Ho2	3		1				4
Bh3	1						1
HPI.3 Ho3	6	1					7
BhII	5				1		6
HPII Ho IIa	3	1	2			3	9
Ho IIb		1					1
Schutt	10	3		2	1	3	19
SPI.1 Bh1b	2		1		1		4
Bh1c							0
Ho1a	2						2
Ho1b							0
Ho1c							0
Bh2b	2				1		4
Bh2c	3	1	1			1	6
SPI.2 Ho2a	1		1		1		3
Ho2b	1						2
Bh3a							0
Bh3b	3		2		1	2	8
SPI.3 Ho3a	1		4				5
Ho3b							0
Ho3c						1	1
Bh4a				1			1
Bh4b				1	1		2
Bh4c				1			1
SPI.4 Ho4a	3	2	4		3		12
Ho4b	14	1	10	1	2	8	36
Ho4c							0
Bh5a	2		1		3		6
Bh5b			1	3			5
Bh5c	2					3	5
SPI.5 Ho5a					1		1
Ho5b	2	1		1			5
Bh6a	5	3	2	1	2	1	14
Bh6b	1				2		3
SPI.6 Ho6a	2		1				3
Ho6b	2	2	1		1	3	9
SPII.1 Bh1	6	6	2	4			18
Ho1	1	2					5
SPII.2 Ho2							0
Bh3	1			1	1	1	4
SPII.3							
Total	89	17	47	11	18	40	222
%	40	8	21	5	8	18	100

Tab. 13. Orange Keramik römischer Tradition, nach Horizonten und Parzellen (RS).

Phase	Schüssel	Deckel	Kanne	Topf	Total
vorher					0
HPI.1 Ho1			1		1
Bh2					0
HPI.2 Ho2					0
Bh3					0
HPI.3 Ho3					0
BhII					0
HPII Ho IIa	2				2
Ho IIb					0
Schutt	1				1
SPI.1 Bh1b					0
Bh1c					0
Ho1a			1		1
Ho1b					0
Ho1c					0
Bh2b					0
Bh2c					0
SPI.2 Ho2a					0
Ho2b					0
Bh3a					0
Bh3b					0
SPI.3 Ho3a					0
Ho3b					0
Ho3c					0
Bh4a					0
Bh4b				2	2
Bh4c	1				1
SPI.4 Ho4a	1				1
Ho4b				8	8
Ho4c					0
Bh5a				1	1
Bh5b					0
Bh5c					0
SPI.5 Ho5a				1	1
Ho5b				2	2
Bh6a				1	1
Bh6b					0
SPI.6 Ho6a					0
Ho6b					0
SPII.1 Bh1				1	1
Ho1					0
SPII.2 Ho2					0
Bh3				1	1
SPII.3					
Total	4	1	2	17	24
%	17	4	8	71	100

Tab. 14. Graue Feinkeramik römischer Tradition, nach Horizonten und Parzellen (RS).

Phase	Kochschüssel	Deckel	Dolum	Kochtopf	Total
vorher	4				4
HPI.1 Ho1			1		1
Bh2			1		1
HPI.2 Ho2					0
Bh3			1		1
HPI.3 Ho3	1				1
BhII					0
HPII Ho IIa					0
Ho IIb			1		1
Schutt			2	7	9
SPI.1 Bh1b	1				1
Bh1c					0
Ho1a			2		2
Ho1b			1		1
Ho1c					0
Bh2b	1		1		2
Bh2c					0
SPI.2 Ho2a					0
Ho2b					0
Bh3a					0
Bh3b			1		1
SPI.3 Ho3a					0
Ho3b					0
Ho3c					0
Bh4a	1				1
Bh4b					0
Bh4c					0
SPI.4 Ho4a					0
Ho4b	2		1	3	6
Ho4c					0
Bh5a					0
Bh5b					0
Bh5c					0
SPI.5 Ho5a					0
Ho5b	1				1
Bh6a	1				1
Bh6b					0
SPI.6 Ho6a					0
Ho6b	1				1
SPII.1 Bh1			2	1	3
Ho1			1		1
SPII.2 Ho2					0
Bh3					0
SPII.3					
Total	13	6	17	3	39
%	33	15	44	8	100

Tab. 15. Grobkeramik römischer Tradition, nach Horizonten und Parzellen (RS).

Phase	Drack 20	Drack 21	Drack 22s	Im.pom.r.Pl.	Becher/Topf	Total
vorher		1				1
HPI.1 Ho1		4				4
Bh2						0
HPI.2 Ho2		5				5
Bh3		2				2
HPI.3 Ho3		2				2
Bhll			1			1
HPII Ho IIa		4				4
Ho IIb		3				3
Schutt		8	1			9
SPI.1 Bh1b		5				5
Bh1c						0
Ho1a		7				7
Ho1b			1	1		2
Ho1c		1				1
Bh2b		1				1
Bh2c		4				4
SPI.2 Ho2a						0
Ho2b		2		1		3
Bh3a				1		1
Bh3b		1				1
SPI.3 Ho3a		1				1
Ho3b						0
Ho3c		1				1
Bh4a						0
Bh4b		1	3			4
Bh4c						0
SPI.4 Ho4a		1				1
Ho4b		6	5	1		12
Ho4c						0
Bh5a		1	3			4
Bh5b		2	1			3
Bh5c		7				7
SPI.5 Ho5a						0
Ho5b		1				1
Bh6a			4	3		7
Bh6b		1				1
SPI.6 Ho6a		1				1
Ho6b		2				2
SPII.1 Bh1		1	2	1	1	5
Ho1						0
SPII.2 Ho2						0
Bh3						0
SPII.3 Ho3						0
Total	4	79	13	2	8	106
%	4	75	12	2	8	100

Tab. 16. Keramik mit keltischer Form und römischer Technik, nach Horizonten und Parzellen (RS).

Phase	Becher/Topf	Tonne	Flasche	Schlüssel	Nagel	Total
vorher						0
HPI.1 Ho1						0
Bh2						0
HPI.2 Ho2						0
Bh3						0
HPI.3 Ho3	1			1		2
Bhll	1					1
HPII Ho IIa	2		2	1		5
Ho IIb						0
Schutt	14	2	1	4	3	24
SPI.1 Bh1b	2					2
Bh1c						0
Ho1a						0
Ho1b						0
Ho1c	1					1
Bh2b		1				1
Bh2c	3					3
SPI.2 Ho2a						0
Ho2b	1			1		2
Bh3a						0
Bh3b						0
SPI.3 Ho3a						0
Ho3b						0
Ho3c						0
Bh4a						0
Bh4b	1					1
Bh4c						0
SPI.4 Ho4a		1	1			2
Ho4b	3	4	2	1		10
Ho4c						0
Bh5a	2	1				3
Bh5b	1			1		2
Bh5c	1			1		2
SPI.5 Ho5a	1					1
Ho5b	1					1
Bh6a			2			2
Bh6b	1					1
SPI.6 Ho6a	1					1
Ho6b		1				1
SPII.1 Bh1	1					1
Ho1		1				1
SPII.2 Ho2						0
Bh3	1		1			2
SPII.3 Ho3	1					1
Total	36	14	8	9	6	73
%	49	19	11	12	8	100

Tab. 17. Orange Keramik keltischer Tradition, nach Horizonten und Parzellen (RS).

Phase	Becher/Topf	Flasche	Drack 20	Drack 21	Schlüssel	Nagel	Total
vorher	5						5
HPI.1 Ho1	3		1	2		1	7
Bh2	5		2				7
HPI.2 Ho2	10			2	2		14
Bh3			2	2			4
HPI.3 Ho3	15	8	1	1			25
Bhll	5						5
HPII Ho IIa	9	4	1		4		18
Ho IIb	3		1		2		6
Schutt	18	1	6	3	4		32
SPI.1 Bh1b	3		1				4
Bh1c	2			1			3
Ho1a	5	1	5				11
Ho1b							0
Ho1c	3			1			4
Bh2b	1						1
Bh2c	3			1			4
SPI.2 Ho2a	2						2
Ho2b	2						2
Bh3a							0
Bh3b	2		1				3
SPI.3 Ho3a	2		1				3
Ho3b							0
Ho3c							0
Bh4a			1				1
Bh4b	3				1		4
Bh4c							0
SPI.4 Ho4a	6						6
Ho4b	23	1	5	2			31
Ho4c							0
Bh5a							0
Bh5b	4		1				5
Bh5c	7	2	3				12
SPI.5 Ho5a							0
Ho5b	3	1	1				5
Bh6a	6		2				8
Bh6b	2						2
SPI.6 Ho6a			1				1
Ho6b	2			1			3
SPII.1 Bh1	9		3			1	13
Ho1	1		1				2
SPII.2 Ho2			1				1
Bh3	3						3
SPII.3 Ho3							0
Total	167	7	49	15	4	16	258
%	65	3	19	6	2	6	100

Tab. 18. Graue Feinkeramik keltischer Tradition, nach Horizonten und Parzellen (RS).

Phase	Kt., handgeformt	Kt., gedreht	Kn., handgeformt	Kn., gedreht	Deckel	Vorratstopf	Total
vorher		4					4
HPI.1 Ho1	1						1
Bh2	1	2	2		1	1	7
HPI.2 Ho2		8	1				9
Bh3	3						3
HPI.3 Ho3	3	9	1	2	2		17
Bhll	1						1
HPII Ho IIa	2	7					9
Ho IIb		3					3
Schutt	7	8	6	1		1	23
SPI.1 Bh1b		2					2
Bh1c	1						1
Ho1a	2	3		1			6
Ho1b		1					1
Ho1c							0
Bh2b	1	1	1	1			4
Bh2c	2	5	1				8
SPI.2 Ho2a		1					1
Ho2b	1	3					4
Bh3a			1				1
Bh3b			1	1			2
SPI.3 Ho3a	2	1		1			4
Ho3b			1				1
Ho3c							0
Bh4a							0
Bh4b	4			1			5
Bh4c							0
SPI.4 Ho4a	3						3
Ho4b	3	3	3	2	1		12
Ho4c							0
Bh5a	3	1	1	1			6
Bh5b	1	3		2			6
Bh5c	1	2	1				4
SPI.5 Ho5a							0
Ho5b		4					4
Bh6a	1	3	2				6
Bh6b	1				1		2
SPI.6 Ho6a							0
Ho6b	1	1					2
SPII.1 Bh1	2	3			1		6
Ho1							0
SPII.2 Ho2							0
Bh3		1					1
SPII.3 Ho3		1			1		2
Total	34	91	23	8	13	2	171
%	20	53	13	5	8	1	100

Tab. 19. Grobkeramik keltischer Tradition, nach Horizonten und Parzellen (RS). Kt. Kochtopf; Kn. Kochnapf.

Bezeichnung der Parzellen: in Spalte "Phase". a Parzelle 1; b Parzelle 2; c Parzelle 3.

Phase	Import				Imitation				röm. Tradition				kelt. Form/ röm. Technik		Total		
	TS	Amphoren	Import varia	Total	TS-Imitation	Imitation varia	Total	Glanztonkeramik	orange Keramik	graue Feinkeramik	Grobkeramik	Total	Schüssel/Näpfe Überzug	Glanztonkeramik keltisch		Total	
vorher	0	0	1	1	2	4	6	0	2	0	4	6	1	0	1	9	23
HPI.1	6	2	6	14	17	1	18	1	6	1	2	10	4	0	4	0	68
HPI.2	8	2	3	13	18	1	19	0	5	0	1	6	7	0	7	0	75
HPI.3	35	1	2	38	26	1	27	0	13	0	1	14	3	0	3	3	133
HPII	86	4	24	114	30	2	32	0	29	3	10	42	16	0	16	29	324
SPI.1	54	6	10	70	25	3	28	1	16	1	6	24	19	1	20	7	198
SPI.2	25	3	4	32	4	0	4	7	13	0	1	21	3	2	5	2	79
SPI.3	49	2	3	54	8	0	8	2	10	3	1	16	6	0	6	1	103
SPI.4	79	12	5	96	16	0	16	4	48	9	6	67	12	1	13	12	256
SPI.5	100	5	4	109	16	0	16	3	39	5	2	49	20	3	23	12	269
SPI.6	22	0	0	22	2	1	3	0	12	0	1	13	3	0	3	2	50
SPII.1	46	0	1	47	13	1	14	8	23	1	4	36	4	1	5	2	125
SPII.2	9	0	1	10	1	0	1	0	4	1	0	5	0	0	0	2	23
SPII.3	2	0	0	2	0	0	0	1	2	0	0	3	0	0	0	1	8
Total	521	37	64	620	178	14	192	27	222	24	39	312	98	8	106	73	100

Tab. 20a. Keramikensibles (RS).

Phase	Import				Imitation				röm. Tradition				kelt. Form/ röm. Technik		Total		
	TS	Amphoren	Import varia	Total	TS-Imitation	Imitation varia	Total	Glanztonkeramik	orange Keramik	graue Feinkeramik	Grobkeramik	Total	Schüssel/Näpfe Überzug	Glanztonkeramik keltisch		Total	
vorher	0	0	4	4	9	17	26	0	9	0	17	26	4	0	4	0	39
HPI.1	9	3	9	21	25	1	26	1	9	1	3	15	6	0	6	0	100
HPI.2	11	3	4	17	24	1	25	0	7	0	1	8	9	0	9	0	100
HPI.3	26	1	2	29	20	1	20	0	10	0	1	11	2	0	2	2	100
HPII	27	1	7	35	9	1	10	0	9	1	3	13	5	0	5	9	100
SPI.1	27	3	5	35	13	2	14	1	8	1	3	12	10	1	10	4	100
SPI.2	32	4	5	41	5	0	5	9	16	0	1	27	4	3	6	3	100
SPI.3	48	2	3	52	8	0	8	2	10	3	1	16	6	0	6	1	100
SPI.4	31	5	2	38	6	0	6	2	19	4	2	26	5	0	5	5	100
SPI.5	37	2	1	41	6	0	6	1	14	2	1	18	7	1	9	4	100
SPI.6	44	0	0	44	4	2	6	0	24	0	2	26	6	0	6	4	100
SPII.1	37	0	1	38	10	1	11	6	18	1	3	29	3	1	4	2	100
SPII.2	39	0	4	43	4	0	4	0	17	4	0	23	0	0	0	9	100
SPII.3	25	0	0	25	0	0	0	13	25	0	0	38	0	0	0	13	100
Durchschnitt	30	2	4	36	10	1	11	2	13	1	2	18	6	0	6	4	100

Tab. 20b. Keramikensibles (%).

Form	Glatzkeramik				orange Keramik				graue Feinkeramik				Grobkeramik				Total								
	Schüssel	Becher	Total	%	Schüssel	Becher	Flasche	Topf	Total	%	Schüssel	Becher	Flasche	Topf	Total	%		Kochnapf	Kochtopf	Deckel	Vorratstopf	Total	%		
vorher	1	1	10						0	0								4			4	40	10		
HPI.1	4	4	15						0	0	5	1	5	3	14	54		2	4	1	1	8	31	26	
HPI.2	7	7	19						0	0	6	2	7	3	18	49		1	11			12	32	37	
HPI.3	3	3	6	1	1			1	3	6	10		10	10	30	56		3	13	2		18	33	54	
HPII	16	16	12	6	4	10	1	2	6	29	21	15	10	20	1	10	56	41	7	27		1	35	26	136
SPI.1	19	1	20	26		5	1	1	7	9	9	12	1	5	27	36		4	18			22	29	76	
SPI.2	3	2	5	23	1	1			2	9	1	6			7	32		2	5	1		8	35	22	
SPI.3	6	6	24					1	1	4	2	1	5		8	32		2	6	2		10	40	25	
SPI.4	12	1	13	17	1	3	3	5	12	16	7	24	1	5	37	48		5	9	1		15	19	77	
SPI.5	20	3	23	24	1	1	4	2	4	12	13	8		16	3	5	32	34	5	19	4		28	29	95
SPI.6	3	3	25			1	1	2	17		2	1	2		5	42			2			2	17	12	
SPII.1	4	1	5	18				1	1	2	7	4	1	8	2	15	54		5	1		6	21	28	
SPII.2		0	0			1	1	2	29				1	3	4	57			1			1	14	7	
SPII.3		0	0			1		1	33										1	1		2	67	3	
Total	98	8	106	17	9	6	26	8	14	10	73	12	69	16	116	42	31	125	13	2	17	1	28	608	
%	16	1	17		1	1	4	1	2	2	12		11	3	19	42	5	21	2	0	28		100		

Tab. 21. Keramik keltischer Tradition (RS).

Form	Glatzkeramik		orange		orange		orange		orange		orange		orange		orange		Total
	Glatzkeramik	Schüssel	orange	grau	orange	grau	orange	grau	orange	grau	orange	grau	orange	grau	orange	grau	
vorher	1	1	1	17		0	0		1	1	1	17		4	4	67	6
HPI.1	4	5	9	50	1	1	6		5	5	28		3	3	17	18	
HPI.2	7	6	13	52	2	2	8		7	7	28		3	3	12	25	
HPI.3	3	1	10	14	39		0	0	1	10	11	31		1	10	11	36
HPII	16	6	15	37	37	4	10	14	14	10	20	30	30	6	10	16	101
SPI.1	19	9	28	52		0	0		1	5	12	18	33	1	5	6	54
SPI.2	3	1	4	29	1	1	7		2	1	6	9	64		0	0	14
SPI.3	6	2	8	53	1	1	7		5	5	33		1	1	7	15	
SPI.4	12	1	7	20	32		0	0	1	3	24	28	45		5	5	62
SPI.5	20	1	8	29	43	1	1	1	3	4	16	23	34		5	5	67
SPI.6	3	2	5	50	1	1	10		2	2	20		0	0	1	10	10
SPII.1	4	4	8	36	1	1	5		1	8	9	41		1	2	3	22
SPII.2		0	0			0	0		1	1	17		3	3	50	6	
SPII.3		0	0			0	0		1	1	100		0	0	0	1	
Total	98	9	69	176	40	6	16	22	5	8	26	116	150	34	10	50	437
%	22	2	16	40		1	4	5		2	6	27	34		2	11	100

Tab. 22. Keramik keltischer Tradition. Formenspektrum der Feinkeramik (RS).

Prägung	Regie- rungszeit (Jahre)	Anzahl	in % der bestimmbaren Münzen	in % aller Münzen	Anzahl pro Jahr
Kelten		1	1	0	
Republik	97	20	11	10	0.21
Augustus	34	57	30	27	1.68
Tiberius	33	36	19	17	1.09
Caligula	4	22	12	11	5.50
Claudius	13	14	7	7	1.08
Nero	14	5	3	2	0.36
Vitellius	1	1	1	0	1.00
Vespasian	10	6	3	3	0.60
Titus	2	1	1	0	0.50
Dormitian	15	13	7	6	0.87
Nerva	2	0	0	0	0.00
Trajan	19	4	2	2	0.21
Hadrian	21	2	1	1	0.10
Antoninus Pius	23	2	1	1	0.09
Marc Aurel	19	3	2	1	0.16
Commodus	12	0	0	0	0.00
Perinax	1	0	0	0	0.00
Septimius Severus	18	0	0	0	0.00
Caracalla	6	0	0	0	0.00
Macrinus	1	0	0	0	0.00
Elagabal	4	1	1	0	0.25
Severus Alexander	13	1	1	0	0.08
Total bestimmbar	352	189	100	91	
unbestimmbar		19		9	
Total		208		100	

Tab. 25. Stratifizierte Münzen.

Phase	Keramik	Glas	%
vorher	23	1	4
HP I.1	68		0
HPI.2	75		0
HPI.3	133		0
HPII	324		0
SPI.1	198	1	1
SPI.2	79	4	5
SPI.3	103		0
SPI.4	254	10	4
SPI.5	269	1	0
SPI.6	50	2	4
SPII.1	125	4	3
SPII.2	23		0
SPII.3	8		0
Total	1732	23	1

Tab.26. Glasanteil (RS).

Phase	TS	TS-Imitation	Glanztonkeramik
vorher	0	100	0
HPI.1	26	74	0
HPI.2	31	69	1
HPI.3	57	43	0
HPII	74	26	0
SPI.1	68	32	1
SPI.2	86	14	11
SPI.3	86	14	2
SPI.4	83	17	2
SPI.5	86	14	2
SPI.6	92	8	0
SPII.1	78	22	7
SPII.2	90	10	0
SPII.3	100	0	13
%	74	26	2

Tab. 27. Verhältnis (TS/Imitation) bzw. Anteil (Glanztonkeramik) chronologisch relevanter Keramikgattungen, nach Phasen (%).

14.3. Tabellen zu den keltischen Vergleichstationen

Gattung	Form	Baden kelt. Tradition	Vindo- nissa	Meris- hausen	Bern- Enge- meister- gut	Bern- Tiefenau	Basel- Münster- hügel	Basel- Gas- fabrik (WS)
Glanztonkeramik	Schüssel	98						
	Becher	8						
	Total	106						
%	17							
orange Keramik	Schüssel	9	1	2		1	4	
	Napf	6		7		4		
	Becher	26		2	1	2		
	Flasche	8	1		24	2	8	
	Tonne	14	2	2	2		7	
	Topf	10			4		4	
	Total	73	4	13	31	9	23	2477
%	12	25	11	13	7	19	22	
graue Feinkeramik	Schüssel	69		1	6	8	11	
	Napf	16		11	23	27	7	
	Becher	116	1	2	17	1		
	Flasche	7	2	3	22	1	3	
	Tonne			3				
	Topf	50		7	17	1	4	
Total	258	3	27	85	38	25	4929	
%	42	19	24	36	31	20	44	
Grobkeramik	Kochnapf	31	3	32	62	39	47	
	Kochtopf	125	6	42	55	35	27	
	Deckel	13						
	Vorratstopf	2						
	Total	171	9	74	117	74	74	3766
%	28	56	65	50	61	61	34	
Total		608	16	114	233	121	122	11172

Tab.28. Vergleich mit keltischen Fundplätzen, Keramik (RS).

Form	Baden keltische Tradition	Vindo- nissa	Meris- hausen	Bern- Enge- meister- gut	Bern- Tiefenau	Basel- Münster- hügel	Basel- Gas- fabrik (WS)
Schüssel	40	14	8	5	19	31	17
Napf	5	0	45	20	66	15	30
Becher	35	14	10	16	6	0	0
Flasche	3	43	8	40	6	23	15
Tonne	3	29	13	2	0	15	10
Topf	13	0	18	18	2	17	27
Total	100	100	100	100	100	100	100

Tab.29. Vergleich mit keltischen Fundplätzen, Formenspektrum der Feinkeramik (%).

14.4. Tabellen zu den italischen Vergleichstationen

Gattung	Form	1.Jh.v.Chr.					1.Jh.n.Chr.					2.Jh.n.Chr.									
		Albinia	Luni (C/E (*))	Narni	Ortona	Dang-stetten	Sette-finestre IA (*)	Pistoia II/III	Luni IB (*)	Pistoia IV	Pistoia Va	Colle Plinio 2+3	Sette-finestre IB (*)	Ostia V	Ostia IV	Sette-finestre IIA (*)	Pistoia Vb	Sette-finestre IIB/C (*)	Ostia III	Luni VE (*)	Sette-finestre III (*)
Campana	Schüssel Teller Schälchen	7 2 5	20 17 8				4 2 4	19 16 1	2 2 2				8 6 11	7 19 6	6 3 4	10 4 14		5 2 2		1 1 1	1 0 0
Total		14	45	2	0	0	10	2	37	4	1	0	25	32	13	28	0	0	0	1	1
% der Feinkeramik		9	8	4	0	0	5	3	2	2	1	0	5	0	3	0	0	0	0	0	0
% insgesamt (Tab. 30/31)		21	14	3	0	0	11	4	26	4	1	0	9	1	6	0	1	0	0	0	0
Campana-imitation	Schüssel Teller Schälchen			1										5 2	1						
Total		0	0	2	0	0	0	0	0	0	0	0	0	7	1	0	0	0	0	0	0
% der Feinkeramik		0	0	0	0	0	0	0	0	0	0	0	0	0	0	0	0	0	0	0	0
% insgesamt (Tab. 30/31)		0	0	3	0	0	0	0	0	0	0	0	0	0	0	0	0	0	0	0	0
TS	Schüssel Teller Schälchen Becher varia					2		4		1		6	3	2	201	120	22	79	5	13	87
Total		0	0	0	9	65	7	0	11	83	15	86	609	363	108	1	226	12	85	236	
% der Feinkeramik		0	0	0	0	0	0	0	0	0	0	0	0	0	0	0	0	0	0	0	
% insgesamt (Tab. 30/31)		0	0	0	12	16	7	15	10	43	18	33	26	17	22	3	23	5	31	19	
TS-imitation	Teller Schälchen					5 3															
Total		0	0	0	0	8	0	0	0	0	0	0	0	0	0	0	0	0	0	0	
% der Feinkeramik		0	0	0	0	1	0	0	0	0	0	0	0	0	0	0	0	0	0	0	
% insgesamt (Tab. 30/31)		0	0	0	0	2	0	0	0	0	0	0	0	0	0	0	0	0	0	0	
TS africana	Schüssel Teller Schälchen Becher Krug													18 9	8	3	12	4	3	4	
Total		0	0	0	0	0	0	0	0	0	0	5	6	49	15	10	165	57	10	53	
% der Feinkeramik		0	0	0	0	0	0	0	0	0	0	0	0	2	0	0	4	0	0	0	
% insgesamt (Tab. 30/31)		0	0	0	0	0	0	0	0	0	0	2	0	2	3	26	17	22	4	4	
Glanzton-keramik	Schüssel Krug	2	2		2	12	0	0	0	0	0	0	0	0	0	0	0	0	0	0	
Total		3	0	2	1	4	0	0	0	0	0	0	0	0	0	0	0	0	0	0	
% der Feinkeramik		3	0	0	2	3	0	0	0	0	0	0	0	0	0	0	0	0	0	0	
% insgesamt (Tab. 30/31)		3	0	3	1	3	0	0	0	0	0	0	0	0	0	0	0	0	0	0	
Import varia	pomp.rote Pl. Schälchen Becher Lampe varia Amphore		5 5	2	9	4	3	1	1	3	2	3	4	29	46	50	18	64	2	2	97
Total		16	40	25	34	132	54	11	47	39	53	13	110	462	442	259	8	295	35	68	
% der Feinkeramik		21	28	41	8	11	62	6	38	26	11	11	25	9	11	27	20	19	17	5	
% insgesamt (Tab. 30/31)		24	13	32	46	33	61	23	33	35	27	16	42	20	21	52	21	30	13	25	
Imitation varia	Teller Schälchen Becher	2	1			2															
Total		3	0	0	0	3	0	0	0	0	0	0	0	0	0	0	0	0	0	0	
% der Feinkeramik		2	0	0	0	0	0	0	0	0	0	0	0	0	0	0	0	0	0	0	
% insgesamt (Tab. 30/31)		4	0	0	0	1	0	0	0	0	0	0	0	0	0	0	0	0	0	0	
orange Keramik	Reibschüssel Schüssel Teller Deckel Topf Krug	4	1	2	4	2	3	1	2	2	6	11	5	16	10	3	2	2	2	5	
Total		22	14	20	18	73	8	9	5	23	21	35	14	288	301	10	6	20	25	39	
% der Feinkeramik		2	8	18	10	10	5	9	2	12	2	13	0	12	20	1	4	1	10	6	
% insgesamt (Tab. 30/31)		33	4	26	24	18	9	19	4	21	11	43	5	12	14	2	15	2	10	14	
graue Feinkeramik	Schüssel Teller Topf Kanne					4		2						2							
Total		1	5	0	0	15		1	2					7	4				4	1	
% der Feinkeramik		2	5	0	0	0	0	5	2	8	4	7	0	73	26	0	0	0	4	1	
% insgesamt (Tab. 30/31)		1	2	0	0	5	0	11	1	7	2	9	0	3	1	0	0	0	2	0	
Total Feinkeramik		58	104	51	62	313	78	34	91	77	85	162	70	240	1477	1195	420	25	713	133	
% Feinkeramik		87	33	65	84	77	89	72	64	91	77	84	85	91	63	57	84	64	72	51	
Total insgesamt (Tab. 30/31)		67	312	78	74	406	88	47	142	111	193	82	264	2363	2079	498	39	984	261	273	

Tab.30. Italische Fundplätze (* inklusive WS/BS). Feinkeramik (RS).

Gattung	Form	1.Jh.v.Chr.				1.Jh.n.Chr.						2.Jh.n.Chr.									
		Albinia	Luni IC/E (*)	Narni	Ordona	Dang-stetten	Sette-finestre IA (*)	Pistoia II/III	Luni IB (*)	Pistoia IV	Pistoia Va	Colle Plinio 2+3	Sette-finestre IB (*)	Ostia V	Ostia IV	Sette-finestre IIA (*)	Pistoia Vb	Sette-finestre IIB/C (*)	Ostia III	Luni VE (*)	Sette-finestre III (*)
afrikanische Grobkeramik	Kochschüssel													29	66	29	1	62	62	2	58
	Kochplatte													201	207	15	2	156	60	7	84
	Total	0	0	0	0	0	0	0	0	0	0	0	0	201	207	15	2	156	122	9	142
% der Grobkeramik													26	31	56	21	80	95	13	60	
% insgesamt (Tab.30/31)													1	11	11	55	37	5	5		
Grobkeramik	Kochschüssel	1	48	3	3		7	3	11	3	13		19	187	238	19	2	20		27	23
	Kochplatte						2	1		7	5			23	14		3	1			1
	Deckel		74	2	9			1	23	1	5			332	218	2	1	2	2	9	
	Kochtopf													105	139	13		29		24	69
	Dolium	8	86	17			52	3	6	17	10	7	11	9	4	1	4	1	4		1
Total	9	208	27	12	55	10	13	51	26	31	12	24	656	611	34	11	53	6	60	94	
% der Grobkeramik	100	100	100	100	59	100	100	100	100	100	100	100	74	69	44	79	20	5	87	40	
% insgesamt (Tab.30/31)	149	32	128	135	15	114	213	70	90	52	122	38	3	3	9	201	2	2	32	3	
keltische Tradition	Kochtopf					2															
	Kochnapf					36															
	Total	0	0	0	0	38	0	0	0	0	0	0	0	0	0	0	0	0	0	0	0
% der Grobkeramik	0	0	0	0	41	0	0	0	0	0	0	0	0	0	0	0	0	0	0	0	
% insgesamt (Tab.30/31)	0	0	0	0	10	0	0	0	0	0	0	0	0	0	0	0	0	0	0	0	
Total Grobkeramik		9	208	27	12	93	10	13	51	26	31	12	24	886	884	78	14	271	128	69	236
% Grobkeramik		13	67	35	16	23	11	28	36	23	16	15	9	37	43	16	36	28	49	25	19
Total insgesamt (Tab.30/31)		67	312	78	74	406	88	47	142	111	193	82	264	2363	2079	498	39	984	261	273	1275

Tab.31. Italische Fundplätze (* inklusive WS/BS). Grobkeramik (RS).

Gattung	Form	1.Jh.v.Chr.				1.Jh.n.Chr.						2.Jh.n.Chr.										
		Albinia	Luni IC/E (*)	Narni	Ordona	Dang-stetten	Sette-finestre IA (*)	Pistoia II/III	Luni IB (*)	Pistoia IV	Pistoia Va	Colle Plinio 2+3	Sette-finestre IB (*)	Ostia V	Ostia IV	Sette-finestre IIA (*)	Pistoia Vb	Sette-finestre IIB/C (*)	Ostia III	Luni VE (*)	Sette-finestre III (*)	
Schüssel	Campana	7	20				4		19				8	7	8	10		5			1	
	Campana-Im.				1																	
	TS						2			1	6	3	2	201	120	22		79	5	13	87	
	TS africana																3	12	4	3	4	
	Glanztön orange	4	1	2	4	2	3	1	2	2	6	11	5	16	10	3	2	2	2	5	11	
grau					4		2		1				2									
Total	11	21	5	4	8	7	3	21	4	12	16	15	226	154	35	5	98	11	21	103		
%	24	28	18	8	3	26	9	43	7	9	27	9	20	17	12	28	17	11	13	16		
Reibschüssel	orange		2	1		8		1	3	3			4	48	32		1	2	8	4	4	
	%	0	3	4	0	3	0	3	2	5	2	0	0	4	4	0	0	6	2	4	1	
Teller	Campana	2	17				2	1	16	2			6	19	3	4						
	Campana-Im.				1																	
	TS					5	25		4		51	7	64	251	144	43	1	46	4	26	80	
	TS-Imitation						5															
	TS africana														1	9	8	7	28	53	7	16
	pomp.r.PI. Imitation orange	4		1	2		2	3	1	1	2	3	4	4	46	50	18	4	2	2	97	
grau					2		1			3	2	4	2	2	2	1	2				5	
Total	6	18	3	8	34	5	7	17	13	56	11	76	324	208	74	10	78	59	35	198		
%	13	24	11	15	13	19	22	35	23	41	19	47	28	23	26	56	14	57	22	30		
Schälchen	Campana	5	8	2			4	1	2	2	1		11	6	4	14		2		1		
	Campana-Im.													2	1							
	TS					4	38		6	3			16	150	94	41		98	3	45	56	
	TS-Imitation						3															
	TS africana						3															
Feinkeramik Imitation	2				9	4		7	1	8	20	2	29	25	31	49		95	2	6	33	
Total	7	13	2	13	45	10	11	3	16	47	7	61	183	130	109	0	259	5	52	160		
%	16	17	7	25	17	37	34	6	28	35	12	37	16	15	38	0	46	5	32	25		
Becher	TS																				13	
	TS africana																					
	Feinkeramik Imitation	3	5		16	82		1	3	1	4			79	54	61	1	81	1	18	124	
	Total	4	5	0	16	83	0	1	3	1	4	0	4	79	64	65	1	87	1	19	137	
%	9	7	0	30	31	0	3	6	2	3	0	2	7	7	22	6	15	3	12	21		
Deckel	orange		5	4			2	1			1		7	11	3		1	8	1		31	
	%	11	0	14	0	1	4	0	2	1	0	4	7	1	0	0	6	1	1	0	5	
Topf	orange	8	3	4	5	29		3		4	5			32	16					3	18	4
	grau					15								7	2							
	Total	8	3	4	5	44	0	4	3	4	4	15	0	39	18	0	0	0	3	18	4	
%	18	4	14	9	16	0	13	0	7	4	25	0	3	2	0	0	0	3	11	4		
Krug	TS africana																					
	Glanztön orange	2			1	12								5	22			27			14	
	grau	1	8	9	6	31	4	3	2	2	10	4	9	179	238	5	1	8	13	4	1	
	Total	4	13	9	7	43	4	5	4	4	7	3	10	248	284	5	1	35	17	13	14	
%	9	17	32	13	16	15	16	8	26	5	17	0	21	32	2	6	6	17	8	2		
Total		45	75	28	53	267	27	32	49	57	136	59	163	1158	893	289	18	567	103	162	651	

Tab.32. Italische Fundplätze (* inklusive WS/BS). Formenspektrum der Feinkeramik (RS).

14.5. Tabellen zu den zum Vergleich herangezogenen Vici

Periode	TS				Import				TS-imitation				Glanztonkeramik				orange Keramik				graue Feinkeramik				Grobkeramik				römische Tradition				Schüsseln/Platten Überzug				Glanztonkeramik keltisch				kell. Form/röm. Technik				orange Keramik keltisch				graue Feinkeramik keltisch				Grobkeramik keltisch				keltische Tradition				Total
	Amphoren	Import varia	Total	Import	TS-imitation	imitation varia	Total	imitation	Glanztonkeramik	römisch	orange Keramik	römisch	orange Keramik	römisch	graue Feinkeramik	römisch	Grobkeramik	römisch	römische Tradition	Schüsseln/Platten	Überzug	Glanztonkeramik	keltisch	kell. Form/röm.	Technik	orange Keramik	keltisch	graue Feinkeramik	keltisch	Grobkeramik	keltisch	keltische Tradition	Total																												
A	6	0	0	6	18	2	20	0	16	1	1	18	8	0	8	25	19	4	48	100																																									
B	18	0	0	18	16	0	16	0	8	5	0	13	5	0	5	8	32	8	48	100																																									
C	21	1	1	23	4	0	4	3	25	2	1	30	5	4	9	8	19	6	33	100																																									
D	24	0	0	24	0	1	1	8	20	5	0	33	3	2	5	4	22	11	37	100																																									
E	12	0	0	12	0	0	0	12	18	0	0	29	0	0	0	0	59	0	59	100																																									
Durchschnitt	18	0	1	18	8	1	8	3	20	3	1	26	5	2	7	11	22	7	40	100																																									

Tab. 33. Oberwinterthur-Kirchhügel. Keramikenssembles (%).

Periode	Glanztonkeramik				orange Keramik				graue Feinkeramik				Grobkeramik				Total
	Schüssel	Napf	Becher	Total	Schüssel	Napf	Becher	Total	Schüssel	Napf	Becher	Total	Kochnapf	Kochtopf	Vorratsopf	Total	
A	9	0	0	9	6	5	2	13	1	7	8	29	1	3	6	64	
B	3	3	9	15	3	2	0	5	1	6	11	18	1	1	0	33	
C	11	10	21	42	2	4	1	7	19	19	12	44	4	4	9	99	
D	3	2	5	10	2	1	1	4	2	4	9	15	4	4	2	39	
E	0	0	0	0	0	0	0	0	1	7	2	10	0	0	0	10	
Total	26	0	12	38	11	7	8	27	12	57	23	116	12	20	2	245	
%	11	0	5	16	4	3	3	17	5	23	7	47	5	8	1	100	

Tab. 34. Oberwinterthur-Kirchhügel. Keramik keltischer Tradition (RS).

Periode	TS				Import				TS-imitation				Imitation varia				Glanztonkeramik				orange Keramik				graue Feinkeramik				Grobkeramik				Total							
	Schüssel	Teller	Schälchen	Becher	Teller	Schälchen	Becher	Lampe	Schüssel	Teller	Schälchen	Becher	Schüssel	Teller	Schälchen	Becher	Schüssel	Teller	Krug	Total	Reibschüssel	Schüssel	Teller	Deckel	Topf	Krug	Total	Schüssel	Teller	Deckel	Kanne	Total		Kochschüssel	Deckel	Kochtopf	Dolium	Total		
A	2	5	0	7	0	0	0	0	17	4	21	42	2	2	4	0	0	0	2	4	0	1	1	7	1	2	6	18	36	1	1	2	1	1	2	50				
B	1	6	4	11	0	0	0	0	7	3	10	34	0	0	0	0	0	0	0	0	1	2	0	0	0	2	5	17	1	1	1	3	10	0	0	29				
C	15	14	18	47	1	2	2	5	4	2	3	5	10	7	0	0	1	5	6	4	9	11	10	10	3	15	58	43	1	2	1	4	3	3	2	135				
D	11	3	8	22	0	0	0	0	0	0	1	1	2	1	2	3	1	3	7	13	2	3	1	3	1	8	18	34	2	1	2	5	9	0	0	53				
E	1	1	2	4	0	0	0	0	0	0	0	0	0	0	0	0	0	2	2	29	1	2	0	0	0	3	4	3	0	0	0	0	0	0	7					
Total	28	25	36	89	0	0	0	1	2	2	27	12	41	15	0	3	0	8	15	5	13	18	20	14	6	31	102	37	3	0	5	2	3	13	5	0	0	4	1	274
%	10	9	13	33	0	0	0	1	2	1	10	4	15	5	0	1	0	0	5	5	7	7	5	2	11	37	1	0	2	1	1	5	0	0	0	1	100			

Tab. 35. Oberwinterthur-Kirchhügel. Keramik römischer Tradition (RS).

Periode	Glanztonkeramik				orange Keramik				graue Feinkeramik				Grobkeramik				Total
	Schüssel	Napf	Becher	Total	Schüssel	Napf	Becher	Total	Schüssel	Napf	Becher	Total	Schüssel	Napf	Becher	Total	
A	9	6	1	16	5	9	14	28	2	6	8	16	1	1	2	4	
B	3	3	1	7	2	6	8	16	11	11	39	1	1	4	28		
C	11	2	12	25	4	4	5	13	27	32	3	4	7	8	84		
D	3	2	5	10	4	4	14	22	2	2	9	13	4	4	29		
E	0	0	0	0	1	1	10	12	7	7	70	0	0	0	10		
Total	26	11	16	53	0	7	24	31	15	12	8	46	66	31	211		
%	12	5	8	25	0	3	11	15	6	4	22	31	6	6	100		

Tab. 36. Oberwinterthur-Kirchhügel. Formenspektrum der Feinkeramik keltischer Tradition (RS).

Periode	Gattung	Form	Schüssel				Reibschüssel				Teller				Schälchen				Becher				Deckel				Topf				Krug				Total													
			TS	TS-imitation	imitation var.	Glanzton	orange	grau	Total	%	Glanzton	orange	grau	Total	%	TS	Import	TS-imitation	imitation var.	Glanzton	orange	grau	Total	%	TS	Import	TS-imitation	imitation var.	Glanzton	orange	grau	Total	%	Glanzton	orange	grau	Total	%										
A			1			2		1	2		1	2		2	17	2	7		28	57		5	4		9	18										6	12	49										
B	1		2			3	10		1	1	3	6	7						13	45		4	3		7	24										2	10	29										
C	15	2	11	1		29	23		1	9	10	8	14	3	5	10			32	25		18	5		23	18		2									15	12	127									
D	11		1	3	2	17	32		3	2	5	9	3	1	3	1			8	15		8			8	15												8	2	53								
E	1		2	1		4	57		0	0		0							2	29		1	1		1	14													0	7								
Total			28	2	0	3	18	3	54	20	4	13	17	6	25	0	27	3	8	20	0	83	31	36	0	12	0	48	18	2	0	0	2	1	14	5	19	7	6	2	8	3	0	31	3	34	13	265
%			11	1	0	1	7	1	20		2	5	6		9	0	10	1	3	8	0	31		14	0	5	0	18		1	0	0	1	5	2	7	2	1	3		0	12	1	13		100		

Tab. 37. Oberwinterthur-Kirchhügel. Formenspektrum der Feinkeramik römischer Tradition (RS).

Keramikgattung	Form	Baden (s. Katalog)	Oberwinterthur
TS-imitation	Teller	Nr. 248.799.1072	R/A Nr. 816
	Schüssel	Nr. 1009	R/A Nr. 447.448
Glanztonkeramik römischer Tradition	Schüssel	Nr. 1766	R Nr. 219.220.388
	Schüssel	Nr. 85.857.1433.1767	R Nr. 390.597
orange Keramik römischer Tradition	Krug	Nr. 208	R Nr. 28
	Krug	Nr. 712	R Nr. 498
	Krug	Nr. 1084	R Nr. 391.574
	Krug	Nr. 1624	R Nr. 524
	Krug	Nr. 1718	R Nr. 342
	Teller	Nr. 1349	R Nr. 90
	Schüssel	Nr. 1248	R Nr. 142.387
	Reibschüssel	Nr. 545	R Nr. 50
	Reibschüssel	Nr. 372	R Nr. 199
	Reibschüssel	Nr. 1081	R Nr. 300.301.468-470
	Topf	Nr. 255	R Nr. 6
Keramik keltischer Form mit römischer Technik	Schüssel	Nr. 44.141	R Nr. 4.19
	Schüssel	Nr. 1010	R Nr. 69.70
	Schüssel	Nr. 1772	R Nr. 374
	Becher	Nr. 949	R Nr. 492
	Becher	Nr. 1618	R Nr. 557

Keramikgattung	Form	Baden (s. Katalog)	Oberwinterthur
Feinkeramik keltischer Tradition	Schüssel	Nr. 256.1355	R Nr. 74.174
	Schüssel	Nr. 390	R Nr. 372
	Schüssel	Nr. 1367	R/A Nr. 329
	Napf	Nr. 564	R/A Nr. 282
	Napf	Nr. 566	R Nr. 139
	Napf	Nr. 396	R Nr. 192
	Napf	Nr.1711	R Nr. 272.638
	Flasche	Nr. 1195	R Nr. 299
	Tonne	Nr. 558	R Nr. 450.685
	Tonne	Nr. 1866	R/A Nr. 456
	Topf	Nr. 557	R Nr. 40.83
	Topf	Nr. 1805	R Nr. 250
Becher	Nr. 167	R Nr. 39	
Becher	Nr. 352	R Nr. 128.175-179.181-184.236	
Becher	Nr. 477	R Nr. 86.127	
Becher	Nr. 1643.1802	R Nr. 622	
Grobkeramik keltischer Tradition	Kochtopf	Nr. 284	R Nr. 132
	Kochtopf	Nr. 285	R Nr. 84.87
	Kochtopf	Nr. 1427	R/A Nr. 296
	Kochtopf	Nr. 1819	R Nr. 214
	Kochnapf	Nr. 134	R Nr. 93
	Kochnapf	Nr. 100	R Nr. 190.448.449
	Kochnapf	Nr. 934	R Nr. 612

Tab. 38. Oberwinterthur: Vergleichsstücke zur Keramik von Baden. R = Rychener 1984; R/A = Rychener/Albertin 1986.

Phase	TS	Amphoren	Import varia	Total Import	TS-imitation	imitation varia	Total Imitation	Glanztonkeramik römisch	orange Keramik römisch	graue Feinkeramik römisch	Grobkeramik römisch	Überzug römische Tradition	Schüssel/Platten	Überzug	Glanztonkeramik keltisch	zell. Form/röm. Technik	orange Keramik keltisch	graue Feinkeramik keltisch	Grobkeramik keltisch	keltische Tradition	Total
A	9	0	2	11	18	9	27	0	9	2	2	14	11	2	14	11	9	34	100		100
B	27	2	0	29	9	1	11	1	11	0	6	18	13	0	13	6	12	12	29		100
C	23	2	0	25	9	2	11	0	16	4	5	25	11	0	11	9	12	9	30		100
D	31	0	0	31	6	0	6	18	8	0	4	31	16	4	20	2	4	6	12		100
E	18	0	0	18	0	0	0	31	5	1	0	38	2	25	27	1	7	9	17		100
Durchschnitt	21	1	0	22	6	1	7	16	9	1	3	28	8	11	20	5	9	9	23		100

Tab. 39. Solothurn-Vigierhäuser. Keramikensibles (%).

Phase	Gattung	Form	Glanztonkeramik				orange Keramik				graue Feinkeramik				Grobkeramik				Total											
			Schüssel	Napf	Becher	Total	Schüssel	Napf	Becher	Total	Schüssel	Napf	Becher	Total	Kochnapf	Kochtopf	Deckel	Vorratstopf												
A			5	1	6	29	2	1	3	6	29	2	1	2	5	24	4	4	19	21										
B			11		11	31	1	1	2	5	14	1	4	2	3	10	28	3	6	1	10	28	36							
C			5	1	6	26			4	1	5	22	1	4	1	7	30	3	2		5	22	23							
D			8		10	63			1	1	6			1	1	2	13	3			3	19	16							
E			3	43	46	62			1	2	3	1	6	3	1	11	15	3	11	1	15	20	74							
Total			32	1	46	79	46	3	0	1	7	7	1	19	11	2	3	15	0	7	8	35	21	9	26	0	37	22	170	
%			13	0	19	46			1	0	3	3	0	11	1	1	6	0	3	3	21	4	11	1	0	22				100

Tab. 40. Solothurn-Vigierhäuser. Keramik keltischer Tradition (RS).

15. Bibliographie

Abkürzungen

Die Abkürzungen folgen den Richtlinien der Römisch-Germanischen Kommission (Ausgabe 1993) bzw. sind nach deren Empfehlungen gestaltet. Darüber hinaus sind verwendet:

AS	Archäologie der Schweiz – Archéologie Suisse – Archeologia Svizzera
BPA	Bulletin de l'Association Pro Aventico
ASA	Anzeiger für Schweizerische Altertumskunde – Indicateur d'Antiquités Suisses
JbAK	Jahresbericht aus Augst und Kaiseraugst
Jber. GPV	Jahresberichte der Gesellschaft Pro Vindonissa
JbSGUF	Jahrbuch der Schweizerischen Gesellschaft für Ur- und Frühgeschichte
RE	Pauly's Realencyclopädie der Classischen Altertumswissenschaften
SFECAG	Société Française d'Étude de la céramique Antique en Gaule
UFAS	Ur- und Frühgeschichtliche Archäologie der Schweiz
US	Ur-Schweiz – La Suisse Primitive
ZAK	Zeitschrift für Schweizerische Archäologie und Kunstgeschichte – Revue suisse d'art et d'archéologie – Rivista svizzera d'arte e d'archeologia

Literaturverzeichnis

- Adam, J.-P. (1989) La construction romaine. Paris.
- Albrecht, Ch. (1938) Das Römerlager in Oberaden und das Uferkastell in Beckinghausen an der Lippe. Veröff. Städtischen Mus. Vor- u. Frühgesch. Dortmund.
- Alessi, G. (ed.; 1986) Vocabulario della lingua italiana. Istituto della Enciclopedia italiana. Roma.
- Almagro-Gorbea, M. (ed.; 1982) El santuario de Juno en Gabii. Roma.
- Amstad, S. (1984) Un ensemble céramologique du milieu du 1^{er} siècle après J.-C. à Martigny. JbSGUF 67, 137–170.
- Annechino, M. (1977) Suppellettile fittile da cucina di Pompei. In: A. Carandini (dir.) L'Instrumentum domesticum di Ercolano e Pompei nella prima età imperiale. Quaderni di cultura materiale 1, 105–120.
- Arcelin, P. et Büchschütz, O. (1985) Les données de la protohistoire. In: Lasfargues 1985, 15–28.
- Arthur, P. e Ricci A. (1981) Sistemi di quantificazione della ceramica proveniente da scavi di complessi di epoca romana. Dialoghi Arch. 1, n.s. 3, 125–128.
- Asskamp, R. (1989) Das südliche Oberrheingebiet in frühromischer Zeit. Forsch. u. Ber. Vor- u. Frühgesch. Baden-Württemberg 33. Stuttgart.
- Baatz, D. (1963) Rezension zu: H. Schoppa, Die Funde aus dem Vicus des Steinkastells Hofheim. Bayer. Vorgeschbl. 28, 187–190.
- (1973) Kastell Hesselbach und andere Forschungen am Odenwaldlimes. Limesforsch. 12. Berlin.
- (1976) Das Kastell Munningen im Nördlinger Ries. Saalburg-Jahrb. 33, 11–62.
- (1977) Reibschale und Romanisierung. Acta RCRF 17/18, 147–158.
- Bacher, R. (1989) Bern-Engemeistergut. Grabung 1983. Bern.
- Bannert, H. et Piccottini, G. (1972) Die Fundmünzen vom Magdalensberg. Kärntner Mus.schr. 52. Klagenfurt.
- Barthes, R. (1989) Die helle Kammer. Bemerkungen zur Photographie. Frankfurt a.M.
- Bellebaum, A. (1980) Soziologische Grundbegriffe. Eine Einführung für soziale Berufe. Stuttgart/Berlin/Köln/Mainz.
- Bémont, C. et Jacob, J.-P. (éds.; 1986) La terre sigillée gallo-romaine. Lieux de production du haut empire: implantations, produits, relations. Documents d'archéologie française 6. Paris.
- Benoît, F. (1961) L'épave du Grand Congloué à Marseille. Gallia Suppl. 14. Paris.
- (1952) L'archéologie sous-marine en Provence. Riv. Stud. Liguri 18, 281–307.
- Berger, L. (1960) Römische Gläser aus Vindonissa. Veröff. Ges. Pro Vindonissa 4, (berichtigter Nachdruck 1980). Brugg.
- (1974) Die mittlere und späte Latènezeit im Mittelland und Jura. In: UFAS IV, 61–88. Basel.
- (1983) Die Thekenbeschläge des Gemellianus von Aquae Helveticae und verwandte Beschläge. In: M. Hartmann, H.W. Doppler, L. Berger et al., Handel und Handwerk im römischen Baden, 13–42. Baden.
- (1988) Gräber und Bestattungssitten in römischer Zeit (1.–3. Jh.). In: Glaube, Kult und Gräber. Einführungskurse in die ur- u. frühgesch. Arch. der Schweiz 5. Kurs, Basel 19./20. November, 21–30. Basel.
- Berger, L. und Furger-Gunti, A. (1976) Grabungen des Seminars für Ur- und Frühgeschichte am murus gallicus in Basel. Basler Stadtbuch, 215–224.
- Berger, L. und Martin-Kilcher, S. (1975) Gräber und Bestattungssitten. In: UFAS V, 147–170. Basel.
- Bernardi, A. (1975) I celti nel Veneto. In: L'Italia settentrionale nell'età antica. Atti del convegno in memoria di Plinio Fraccaro, Pavia 8–10 settembre 1975. Athenaeum, fasc. spec. (1976) 71–82.
- Bernhard, H. (1981) Zur Diskussion um die Chronologie Rheinzaberner Relieföpfer. Germania 59, 79–93.
- Berti, F., Carandini, A., Fabbriotti, E., Gasparri, C., Giannelli, M., Moriconi, M.P., Palma, B., Panella, C., Picozzi, M.G., Ricci, A. e Tatti, M. (1970) Ostia III. StudMisc. 16. Roma.
- Berti, S. et May Castella, C. (1992) Architecture de terre et de bois à Lousonna-Vidy VD. AS 15, 172–179.
- Bischof, N. (1991) Das Rätsel Ödipus. Die biologischen Wurzeln des Urkonflikts von Intimität und Autonomie. München/Zürich.
- Bitterli, U. (1986) Alte Welt – neue Welt. Formen des europäisch-überseeischen Kulturkontaktes vom 15. bis zum 18. Jahrhundert. (zit. nach Ausgabe 1992), München.
- Bloemers, J.H.F. (1978) Rijswijk (ZH.) «De Bult». Eine Siedlung der Cananefaten. Nederlandse Oudheden 8. Amersfoort.
- Boesch, E.E. (1980) Kultur und Handlung, Einführung in die Kulturpsychologie. Bern, Stuttgart, Wien.
- Bollnow, O.F. (1963) Mensch und Raum. (19712). Stuttgart, Berlin, Köln, Mainz.
- Boucher, St. (1971) Vienne, bronzes antiques. Inventaire des collections publiques françaises 17. Paris.
- Boucher, St. et Tassinari, S. (1976) Bronzes antiques du Musée de la civilisation gallo-romaine a Lyon. 1. Inscriptions, statuares, vaisselles. Paris.
- Brem, H., Bolliger, S. und Primas, M. (1987) Eschenz, Insel Werd. III. Die römische und spätbronzezeitliche Besiedlung. Zürcher Stud. Arch. Zürich.
- Brescak, D. (1982) Anticno bronasto posodie slovenije. Roman bronze vessels in Slovenia. Situla 22/1. Ljubljana.
- Brödner, E. (1989) Wohnen in der Antike. Darmstadt.
- Bruckner, A. (1975) Zu der Keramik aus der Casa del Fauno. In: B. Andreea und H. Kyrieleis (Hrsg.) Neue Forschungen in Pompeji und den anderen vom Vesuvausbruch 79 n. Chr. verschüttete Städten, 205–209. Recklinghausen.
- Büchschütz, O. (1984) Structures d'habitats et fortifications de l'âge du fer en France septentrionale. Mém. Soc. Préhist. Franç. 18.
- Bühl, W.L. (1987) Kulturwandel. Für eine dynamische Kulturosoziologie. Darmstadt.
- Bürgi, J. und Hoppe, R. (1985) Schleithem-Iuliomagus. Die römischen Thermen. Antiqua 13. Basel.
- Carandini, A. (1981) Ceramica africana. In: Ceramica fine romana nel bacino mediterraneo. Encyc. Arte Antica, Atlante delle forme ceramiche I, 9–227. Roma.
- Carandini, A. (ed.; 1985) Settefinestre. Una villa schiavastica nell'Etruria romana. La villa nelle sue parti. Modena.
- Carandini, A. e Panella, C. (ed.; 1973) Ostia III. Le terme del nuotatore. Scavo degli ambienti III, VI, VII. StudMisc. 21. Roma.
- Castella, D. (1987) La nécropole du Port d'Avenches. Aventicum IV. CAR 41. Avenches.
- Cavallieri Manasse, G., Massari, G. e Rossignani, M.P. (1982) Piemonte, Valle d'Aosta, Liguria, Lombardia. Guide archeologiche Laterza 1. Roma/Bari.
- Choël, F., Goy, C., Guilhot, J.-O. et Humbert, S. (1991) L'agglomération celtique de Besançon (Doubs). Fouilles du «parking de la Mairie» 1989–1990. In: J.-O. Guilhot (dir.) Les celtes dans le Jura. L'âge du Fer dans le massif jurassien (800–15 av. J.-C.), 90–94. Besançon.
- Ciampoltrini, G. (1984) Un insediamento tardorepubblicano ad Albinia (Orbetello, Grosseto). Rassegna di Archeologia 4, 149–180.

- Coarelli, F. (1975) Lucus Feroniae. *Stud. Class. Orient.* 24, 164–166.
- (1981) Dintorni di Roma. Guide archeologica Laterza 7. Roma/Bari.
- Codard, C. (1992) Une réserve de céramiques de l'époque de Claude à Vienne (Isère). In: SFECAG, Actes du congrès de Tournai 28–31 mai 1992, 239–262. Marseille.
- Colls, D., Étienne, R., Lequément, R., Liou, B. et Mayet, F. (1977) L'épave Port-Vendres II et le commerce de la Bétique à l'époque de Claude. *Archaeonautica* 1. Paris.
- Corrocher, J. (1983) La céramique à glaçure plombifère de Vichy (Allier). *Rev. Arch. Centre France* 22, 15–40.
- Corsi-Sciallano, M. et Liou, B. (1985) Les épaves de Tarraconaise à chargement d'amphores Dressel 2–4. *Archaeonautica* 5. Paris.
- Cotton, A.M. (1979) The late republican villa at Posto, France. *London*.
- Cüppers, H. (1973) Die Stadtmauer des römischen Trier und das Gräberfeld an der Porta Nigra. *Trierer Zeitschr.* 36, 133–222.
- Curdy, Ph., Benkert, A., Bernal, J. et Masserey, C. (1984) Intervention archéologique à Yverdon-les-Bains (VD) – Rue des Philosophes: La Tène finale – époque romaine précoce. *JbSGUF* 67, 123–136.
- Curdy, Ph. et Klausner, M. (1985) Yverdon-les-Bains VD – un complexe céramique du milieu du 2^e siècle avant J.-C. *AS* 8, 236–240.
- Dangréaux, B. et Desbat, A. (1987/88) Les amphores du dépôt fluvien du Bas-de-Loyasse à Lyon. *Gallia* 45, 115–153.
- De Boe, G. et Vanderhoeven, M. (1979) Un lot de céramique du troisième quart du I^{er} siècle avant J.-C. *Ordonna* 6, 107–127.
- Delli Ponti, G. (1973) I bronzi del Museo provinciale di Lecce. Lecce.
- Den Boesterd, M.H.P. (1956) The bronze vessels in the Rijksmuseum G.M.Kam at Nijmegen. Nijmegen.
- Desbat, A. (1985) La région de Lyon et de Vienne. In: J. Lasfragues (éd.) *Architectures de terre et de bois. L'habitat privé des provinces occidentales du monde romain. Antécédents et prolongements: Proto-histoire, Moyen Âge et quelques expériences contemporaines. Actes du 2^e congrès archéologique de Gaule méridionale*, Lyon, 2–6 novembre 1983. Documents d'archéologie française 2, 75–83. Paris.
- (1986) Céramiques romaines à glaçure plombifère de Lyon et de Vienne. In: SFECAG, Actes du congrès de Toulouse, 9–11 mai 1986, 33–38. Marseille.
- (1987) Note sur la production d'amphores à Lyon au début de l'empire. In: SFECAG, Actes du congrès de Caen 28–31 mai 1987, 159–165. Marseille.
- (1990) Etablissements romains ou précocement romanisés de Gaule tempérée. In: A. Duval, J.-P. Morel et Y. Roman (éds.) *Gaule interne et Gaule méditerranéenne aux II^e et I^{er} siècles avant J.-C.: Confrontations chronologiques. Actes de la table ronde de Valbonne*, 11–13 novembre 1986. *Rev. Arch. Narbonnaise, Suppl.* 21, 243–254. Paris.
- Desbat, A. et Martin-Kilcher, S. (1989) Les amphores sur l'axe Rhône-Rhin à l'époque d'Auguste. *Anfore romane e storia economica: un decennio di ricerca. Actes du colloque de Sienne*, 22–24 mai 1986. *Collect. École Française Rome* 114, 339–365.
- Deschler-Erb, E., Peter, M. et Deschler-Erb, S. (1991) Das frühkaiserzeitliche Militärlager in der Kaiseraugster Unterstadt. *Forsch. Augst* 12. Augst.
- Doppler, H.W. (1972) Der neubearbeitete Plan des römischen vicus Baden (Aeque Helveticae). *Badener Neujahrsbl.* 47, 85–89.
- (1976) Der römische Vicus Aeque Helveticae Baden. *AFS* 8. Baden.
- (1983) Die römischen Münzen aus Baden. In: M. Hartmann, H.W. Doppler, L. Berger et al., *Handel und Handwerk im römischen Baden*, 3–12. Baden.
- Drack, W. (1944) Die Terra sigillata-Stempel aus Baden-Aeque Helveticae. *ZAK* 8, 164–176.
- (1945) Die helvetische Terra Sigillata-Imitation des 1. Jh. n. Chr. *Schriften zur Ur- und Frühgeschichte der Schweiz* 2. Basel.
- (1948) Von der römischen Ausgrabungen an der Römerstrasse 1946. *Badener Neujahrsbl.* 23, 80–88.
- (1949) Die römischen Töpfereifunde von Baden-Aeque Helveticae. *Schr. Inst. Ur- u. Frühgesch. Schweiz* 6. Basel.
- Drack, W. (Hrsg.; 1990) *Der römische Gutshof bei Seeb, Gem. Winkel. Ausgrabungen 1958–1969*. Ber. Zürcher Denkmalpflege, Arch. Monogr. 8. Zürich.
- Drack, W. und Fellmann, R. (1988) Die Römer in der Schweiz. Stuttgart.
- Duncan, G.C. (1964) A roman pottery near Sutri. *Papers Brit. School Rome* 32, 38–88.
- (1965) Roman republican pottery from the vicinity of Sutri. *Papers Brit. School Rome* 33, 134–176.
- Dyson, St.L. (1976) Cosa: the utilitarian pottery. *Mem. Am. Acad. Rome* 33.
- Ebnöther, Ch. und Eschenlohr, L. (1985) Das römische Keramiklager von Oberwinterthur-Vitodurum. *AS* 8, 251–258.
- Eckinger, Th. (1900) Die Ausgrabungen der Antiquarischen Gesellschaft von Brugg und Umgebung in Vindonissa vom Jahr 1899. *ASA N.F.* 2, 2, 80–94.
- Eco, U. (1977) Zeichen. Einführung in einen Begriff und seine Geschichte. Frankfurt a.M.
- Eggers, H.J. (1951) Der römische Import im freien Germanien. *Atlas der Urgesch.* 1. Hamburg.
- Eibl-Eibesfeldt, I. (1984) Der vorprogrammierte Mensch. Das Ererbte als bestimmender Faktor im menschlichen Verhalten. München.
- Etter, H.F., Fellmann Brogli, R., Fellmann, R., Martin-Kilcher, S., Morel, Ph. und Rast, A. (1991) Vitodurum 5. Teil A, Die Funde aus Holz, Leder, Bein, Gewebe. Teil B, Die osteologischen und anthropologischen Untersuchungen. *Ber. Zürcher Denkmalpflege, Monogr.* 10. Zürich.
- Ettlinger, E. (1944) Das gallo-römische Brandgräberfeld von Neu-Allschwil (Basel-Landschaft). (Tätigkeitsber. Naturforsch. Ges. Basel-Land 14, 182–235), zit. nach Kleine Schr. *Acta RCRF Suppl.* 2, 1977, 9–38. Augst/Kaiseraugst.
- (1949) Die Keramik der Augster Thermen (Insula XVII). *Ausgrabung 1937–38. Monogr. Ur- u. Frühgesch. Schweiz* 6. Basel.
- (1961) RE IX A 1, Sp. 82–106, s.v. Vindonissa.
- (1963) Ein helvetisches Brandgrab von der Engehalsinsel in Bern. (*JbSGUF* 50, 1963, 50–53), zit. nach Kleine Schr. *Acta RCRF Suppl.* 2, 1977, 193–197. Augst/Kaiseraugst.
- (1966) Neues zur Terra-Sigillata-Fabrikation in der Schweiz. (In: R. Degen, W. Drack und R. Wyss [Hrsg.] *Helvetia Antiqua. Festschr. E. Vogt*, 233–240), zit. nach Kleine Schr. *Acta RCRF Suppl.* 2, 1977, 206–212.
- (1969/70) Frühkaiserzeitliche Sigillaten aus Baden – *Aeque Helveticae*. (Jber. GPV, 82–105), zit. nach Kleine Schr. *Acta RCRF Suppl.* 2, 1977, 240–256.
- (1972) Keramik aus der untersten Einfüllung im «Keltengraben». (Jber. GPV, 34–42), zit. nach Kleine Schr. *Acta RCRF Suppl.* 2, 1977, 262–268.
- (1973) Die römischen Fibeln in der Schweiz. *Handb. Schweiz Römer- und Merowingerzeit*. Basel.
- (1977a) Aspects of amphora-typology – seen from the north. *Méthodes classiques et méthodes formelles dans l'étude des amphores. Actes du colloque de Rome, 27–29 mai 1974. Collect. École Française Rome* 32, 9–16.
- (1977b) Cooking pots at Vindonissa. In: J. Dore and K. Greene (eds.) *Roman pottery studies in Britain and beyond. Papers presented to John Gillam. July 1977. BAR suppl.* ser. 30, 47–56. Oxford.
- (1978) Bemerkungen zu ausgewählten Kleinfunden und den Grundrissen der Häuser in Unterwindisch. *Jber. GPV*, 12–45.
- (1983) Novaesium IX. Die italische Sigillata von Novaesium. *Limesforsch.* 21. Berlin.
- Ettlinger, E., Hedinger, B., Hoffmann, B., Kenrick, Ph.M., Pucci, G., Roth-Rubi, K., Schneider, G., Schnurbein, S. v., Wells, C.M. und Zahellicki-Scheffenegger, S. (1990) *Conspectus formarum terrae sigillatae italico modo confectae. Materialh. röm.-germ. Keramik* 10. Bonn.
- Ettlinger, E. und Gonzenbach, V. v. (1951/1952) Die Grabungen am Schutthügel 1951. (Jber. GPV, 29–50), zit. nach Kleine Schr. *Acta RCRF Suppl.* 2, 1977, 68–74.
- (1955/56) Die Grabung am Schutthügel 1952. *Jber. GPV*, 35–52.
- Ettlinger, E. und Haberbosch, P. (1953) Römische Baureste unter dem Badener Kurtheater (1950/51). *Badener Neujahrsbl.* 28, 5–15.
- Ettlinger, E. und Roth-Rubi, K. (1979) Helvetische Reliefsigillaten und die Rolle der Werkstatt Bern-Enge. *Acta Bernensia* 8. Bern.
- Ettlinger, E. und Simonett, Chr. (1952) Römische Keramik aus dem Schutthügel von Vindonissa. *Veröff. Ges. Pro Vindonissa* 3. Brugg.
- Ettlinger, E. und Steiger, R. (1971) Formen und Farbe römischer Keramik. *Augst*.
- Ewald, J. (1968) Die frühen Holzbauten in Augusta Raurica – Insula XXX und ihre Parzellierung. In: E. Schmid, L. Berger und P. Bürgin (Red.) *Provincialia. Festschr. R. Laur-Belart*, 80–104. Basel.
- Farka, Ch. (1977) Die römischen Lampen vom Magdalensberg. *Arch. Forsch. zu den Grabungen auf dem Magdalensberg* 4. Klagenfurt.
- Fellmann, R. (1953/54) Die Grabungen im Legionslager Vindonissa im Jahre 1953. *Jber. GPV*, 5–60.
- Feugère, M. (1985) Les fibules en Gaule méridionale de la conquête à la fin du V^e s. ap. J.-C. *Rev. Arch. Narbonnaise, Suppl.* 12. Paris.
- Fingerlin, G. (1970/71) Dangstetten, ein augusteisches Legionslager am Hochrhein. *Vorbericht über die Grabungen 1967–1969. Ber. RGK* 51–52, 197–232.
- (1986) Dangstetten I. *Forsch. Ber. Vor- Frühgesch. Baden-Württemberg* 22. Stuttgart.
- Fiori, P. et Joncheray, J.-P. (1975) L'épave de la Tradière. *Cahiers Arch. Subaquatique* 4, 59–70.
- Fischer, F. (1966) Das Oppidum von Altenburg-Rheinau. *Ein Vorbericht. Germania* 44, 286–312.
- (1975) Untersuchungen im spätkeltischen Oppidum von Altenburg-Rheinau. In: *Ausgrabungen in Deutschland, Teil 1. Monographien RGK* 1, 1, 312–323. Mainz.

- (1985) Das Oppidum Altenburg-Rheinau, Gemeinde Jestetten, Kreis Waldshut und Kanton Zürich, Schweiz. Arch. Ausgrabungen in Baden-Württemberg, 101–108.
- Fischer, U. (1953) Cambodunumforschungen 1953-II. Keramik aus den Holzhäusern zwischen der 1. und 2. Querstrasse. Materialh. Bayer. Vorgesch. 10. Kallmünz/Opf.
- (1961) Das Ende des Steinkastells von Heddernheim. Zur Datierung des späten südgallischen Importes und der Reformen am chattischen Limes. Germania 39, 164–166.
- (1973) Grabungen im römischen Kastell Heddernheim 1957–1959. Schr. Frankfurter Mus. Vor- u. Frühgesch. 2. Frankfurt.
- Fouet, G. (1970) Vases gaulois de la région Toulousaine. Gallia 28, 11–33.
- Frere, S. (1972) Verulamium excavations I. Oxford.
- (1984) Verulamium Excavations III. Oxford.
- Frova, A. (ed.; 1973) Scavi di Luni. Roma.
- (ed.; 1977) Scavi di Luni II. Roma.
- Fünfschilling, S. (1985) Römische Gläser aus Baden – Aquae Helveticae (aus den Grabungen 1892–1911). Jber. GPV, 81–160.
- (1992) Durchbrochene Bronzegriffe aus Augst. JbAK 13, 265–276.
- Fünfschilling, S., Jacquet, Ch., Schibler, J. und Zürcher, A. (1985) Pflanzenbau, Nahrungsmittel und Essgewohnheiten im römischen Vicus Viturum-Oberwinterthur. AS 8, 160–167.
- Furger, A.R. (1985a) Augst, 6 v. Chr.: Dendrodaten und Fundhorizonte. JbAK 5, 123–146.
- (1985b) Vom Essen und Trinken im römischen Augst. Kochen, Essen und Trinken im Spiegel einiger Funde. AS 8, 168–185.
- Furger, A.R. und Deschler-Erb, S. (1992) Das Fundmaterial aus der Schichtenfolge beim Augster Theater. Forsch. Augst 15. Augst.
- Furger-Gunti, A. (1974/75) Oppidum Basel-Münsterhügel. JbSGUF 58, 77–111.
- (1979) Die Ausgrabungen im Basler Münster I. Die spätkeltische und augusteische Zeit (1. Jh. v. Chr.). Basler Beitr. Ur- u. Frühgesch. 6. Basel.
- Furger-Gunti, A. und Berger, L. (1980) Katalog und Tafeln der Funde aus der spätkeltischen Siedlung Basel-Gasfabrik. Basler Beitr. Ur- u. Frühgesch. 7. Basel.
- Gaggotti, M., Manconi, D., Mercado, L. e Verzar, M. (1980) Umbria Marche. Guide archeologica Laterza 4. Roma/Bari.
- Gaitzsch, W. (1980) Eiserner römische Werkzeuge. Studien zur römischen Werkzeugkunde in Italien und den nördlichen Provinzen des Imperium Romanum. BAR internat. Ser. 78. Oxford.
- Gavelle, R. (1962) Poteries foncées du haut empire trouvées à Saint-Bertrand-de-Comminges. Gallia 20, 205–254.
- Gebhard, R. (1989) Der Glasschmuck aus dem Oppidum von Manching. Die Ausgrabungen in Manching 11. Stuttgart.
- Gechter, M. (1979) Die Anfänge des Niedergermanischen Limes. Bonner Jahrb. 179, 1–129.
- Georges, K.E. (1951) Ausführliches lateinisch-deutsches Handwörterbuch. Basel, Stuttgart.
- Ginzburg, C. (1988) Spurensicherung. Der Jäger entziffert die Fährte, Sherlock Holmes nimmt die Lupe, Freud liest Morelli – die Wissenschaft auf der Suche nach sich selbst. In: Spurensicherung, 78–125. München.
- (1991) Der Richter und der Historiker. Überlegungen zum Fall Sofri. Berlin.
- Glasbergen, W. (1967) De Romeinse Castella te Valkenburg Z.H. Cingula I (1972). Groningen.
- Goudineau, Ch. (1968) La céramique aretine lisse. École Française de Rome. Mém. Arch. et Hist., Suppl. 6. Paris.
- (1970) Note sur la céramique à engobe interne rouge-pompéienne («pompejanisch-rote Platten»). Mém. école Française Rome 82, 159–186.
- Gozzoli, S. (1987) Fondamenti ideali e pratica politica del processo di romanizzazione nelle province. Athenaeum 65, 81–108.
- Grataloup, C. (1986) Les céramiques à parois fines de la Rue des Frages (Lyon). In: SFECAG, Actes du congrès de Toulouse, 9–11 mai 1986, 47–49. Marseille.
- (1988) Les céramiques à parois fines. Rue des Farges à Lyon. BAR internat. ser. 457. Oxford.
- Graue, J. (1974) Die Gräberfelder von Ornavasso. Eine Studie zur Chronologie der späten Latène- und frühen Kaiserzeit. Hamburger Beitr. Arch. Beih. 1. Hamburg.
- Greene, K. (1979) The pre-flavian fine wares. Cardiff.
- Grünwald, M. (1946) Die römischen Bronze- und Kupfermünzen mit Schlagmarken im Legionslager Vindonissa. Veröff. Ges. Pro Vindonissa 2. Brugg.
- Guilhot, J.O., Lavendhomme, M.-O. et Guichard, V. (1992) Habitat et urbanisme en Gaule interne aux II^e et I^{er} siècles av. J.-C. L'apport de deux fouilles récentes: Besançon (départ. du Doubs) et Roanne (départ. de la Loire). In: G. Kaenel et Ph. Curdy (éds.) L'Age du Fer dans le Jura. CAR 57, 239–261. Lausanne.
- Guisan, M. (1974) Les mortiers estampillés d'Avenches. BPA 22, 27–63.
- Haalebos, J.K., Mees, A.W. und Polak, M. (1991) Über Töpfer und Fabriken verzierter Terra-Sigillata des ersten Jahrhunderts. Arch. Korrb. 21, 79–91.
- Haffner, A. (1971/74/78) Das keltisch-römische Gräberfeld von Wederath-Belginum. Trierer Grabungen und Forsch. 6, 1–3. Mainz.
- (1989) Gräber – Spiegel des Lebens. Zum Totenbrauchtum der Kelten und Römer am Beispiel des Treverer-Gräberfeldes Wederath-Belginum. Schriftenreihe Rhein. Landesmus. Trier 2.
- Hagen, J. (1906) Ausgewählte römische Gräber aus Köln. Bonner Jahrb. 114–115, 379–434.
- Haldimann, M.-A. (1989) in: Ch. Bonnet, G. Zoller, Ph. Broillet, M.-A. Haldimann, Ch.-A. Baud, Ch. Kramar, Ch. Simon, C. Olive et Y. Billaud (1989) Les premiers ports de Genève. AS 12, 2–24.
- (1991) Un ensemble céramique préaugustéen mis au jour à Saint-Gervais GE. AS 14, 1991, 215–217.
- Haldimann, M.-A., Curdy, Ph., Gillioz, P.-A., Kaenel, G. et Wiblè, F. (1991) Aux origines de Massongex VS. Tarnaiae, de La Tène finale à l'époque augustéenne. JbSGUF 74, 1991, 129–182.
- Hänggi, R. (1988) Augst, Insula 23: Ergänzungen zur Innenbebauung. Grabungsergebnisse 1987: Befunde (mit einem Beitrag von P. Rebmann). JbAK 9, 167–216.
- (1989a) Augusta Rauricorum, Insula 22: Grabungs- und Dokumentationsstand 1988. Mit Exkursen zur Dokumentationstechnik in Augst seit 1923 und zu Parasiteneiern in «Kotsteinen» und Erdproben (A. Zumstein und Y. Endriss). JbAK 10, 29–72.
- (1989b) Zur Baustruktur der Strassen von Augusta Rauricorum. Mit einem Exkurs zu den Latrinen. JbAK 10, 73–96.
- Hartley, K.F. (1973) La diffusion des mortiers, tuiles et autres produits en provenance des fabriques italiennes. Cahiers Arch. Subaquatique 2, 49–60.
- Hartmann, M. (1973a) Neue Grabungen in Baden-Aquae Helveticae 1973. Jber. GPV, 45–51.
- (1973b) Windisch, Breite 1973. Jber. GPV, 4–9.
- (1974) Grab eines Soldaten der XIII. Legion. Jber. GPV, 4–8.
- (1977) Eine spätrömische Befestigungsanlage in Baden/Aquae Helveticae. In: D. Haupt (Red.) Studien zu den Militärgrenzen Roms II. Vorträge des 10. internat. Limeskongresses in der Germania inferior. Bonner Jahrb., Beih. 38, 141–145. Köln/Bonn.
- (1979/80) Vindonissa. Stand der Erforschung. Jber. GPV, 5–22.
- (1982) Neues zum römischen Baden-Aquae Helveticae. Badener Neujahrsbl. 57, 43–51.
- (1986a) Vindonissa. Oppidum – Legionslager – Castrum. Brugg.
- (1986b) Vindonissa, Kurzberichte der Grabungen 1981–1986. Jber. GPV, 65–71.
- Hartmann, M., Bellettati, R. und Widmer, R. (1989) Eine spätlatènezeitliche Fundstelle in Baden-Kappelerhof. AS 12, 45–52.
- Hartmann, M. und Lüdin, O. (1977) Zur Gründung von Vindonissa. Jber. GPV, 5–36.
- Hartmann, M. und Speidel, M.A. (1991) Die Hilfstruppen des Windischer Heeresverbandes. Jber. GPV, 3–36.
- Hartmann, Th. (1991) Die Firmenlampen von Vindonissa. Jber. GPV, 50–64.
- Hauser, O. (1896) Die neusten Ausgrabungen in Baden. ASA 29, 1, 2–5.
- Hawkes, C.F.C. and Hull, M.R. (1947) Camulodunum. First report of the excavations at Colchester 1930–1939. Reports of the research Com. Soc. antiqu. London No XIV.
- Hayes, J.W. (1967) North syrian Mortaria. Hesperia 36, 337–347.
- Heierli, J. (1895) Die neusten Ausgrabungen in Baden. ASA 28, 2, 434–441; 28, 3, 458–462.
- Heiligmann, J. (1990) Der «Alb-Limes». Ein Beitrag zur römischen Besatzungsgeschichte Südwestdeutschlands. Forsch. u. Ber. Vor- u. Frühgesch. Baden-Württemberg 35. Stuttgart.
- Heinz, W. (1991) Der Vindonissa-Fuss – zu den römischen Fussmassen des Vindonissa-Museums Brugg. Jber. GPV, 65–79.
- Hilgers, W. (1969) Lateinische Gefässnamen. Bezeichnungen, Funktion und Form römischer Gefässe nach den antiken Schriftquellen. Beih. Bonner Jahrb. 31. Düsseldorf.
- Hochuli-Gysel, A., Siegfried-Weiss, A., Ruoff, E. und Schaltenbrand, V. (1986) Chur in römischer Zeit. Bd. I. Ausgrabungen Areal Dosch. Antiqua 12. Basel.
- Holliger, Ch. und Holliger, C. (1983) Römische Spielsteine und Brettspiele. Jber. GPV, 5–24.
- (1984) Bronzegefässe aus Vindonissa. Teil 1. Jber. GPV, 47–70.
- (1985) Bronzegefässe aus Vindonissa. Teil 2. Jber. GPV, 5–44.
- (1986) Bronzegefässe aus Vindonissa. Nachträge und Tabellen. Jber. GPV, 29–48.
- (1988/89) Bronzegefässe aus Baden-Aquae Helveticae. Jber. GPV, 58–77.
- Holwerda, J.H. (1944) Het in de pottenbakkerij van de Holdeurn gefabriceerde aardewerk uit de Nijmeegse grafvelden. Mededel. Rijksmus. Oudh. Leiden, Suppl. 24. Leiden.

- Höneisen, M. (1989) Die latènezeitlichen Siedlungsfunde von Merishausen-Barmen (SH). *JbSGUF* 72, 99–126.
- Horvat, J. (1990) *Nauportus (Vrhniko)*. Academia scientiarum et artium slovenica cl. I. Historia et Sociologia 33.
- Hübener, W. (1973) Die römischen Metallfunde von Augsburg-Oberhausen. Ein Katalog. Materialh. Bayer. Vorgesch. 28. Kallmünz/Opf.
- Hufschmid, Th. und Sütterlin, H. (1992) *Zu einem Lehmfachwerkbau und zwei Latrinengruben des 1. Jahrhunderts in Augst*. Ergebnisse der Grabung 1991.65 im Gebiet der Insulae 51 und 53. *JbAK* 13, 129–176.
- Isings, C. (1957) Roman glass from dated finds. Groningen.
- Jahn, V. (1909) Die römischen Dachziegel von Vindonissa. *ASA N.F.* 11, 2, 111–129.
- Joncheray, J.-P. (1972) Contribution à l'étude de l'épave Dramont D dite «des pelvis». *Cahiers Arch. Subaquatique* 1, 11–34.
- (1974) Étude de l'épave Dramont D dite «des pelvis». *Cahiers Arch. Subaquatique* 3, 21–48.
- Jornet, A. und Maggetti, M. (1983) Die Terra Sigillata von Baden. Ergebnis einer naturwissenschaftlichen Studie. In: M. Hartmann, H.W. Doppler, L. Berger et al., *Handel und Handwerk im römischen Baden*, 51–59. Baden.
- Jud, P. (1989) Vorbericht über die Grabungen 1988/1989 in der spätkeltischen Siedlung Basel-Gasfabrik. *Jahresber. Arch. Bodenforsch. Kt. Basel-Stadt*, 19–28.
- Kaenel, G. (1974) *Aventicum I. Céramiques gallo-romaines décorées. Production locale des 2^e et 3^e siècles*. CAR 1. Avenches.
- (1978) Fouilles récentes sur la colline de Saint-Triphon, commune d'Ollon. *AS* 1, 66–70.
- (1985) Boire et manger à la fin de La Tène en Suisse occidentale. *AS* 8, 150–159.
- (1987) La Suisse occidentale à l'époque de La Tène dans la perspective des contacts transalpins. In: D. Vitali (ed.) *Celti ed Etruschi nell'Italia centro-setentrionale dal V secolo a. C. alla romanizzazione*, 49–59. Bologna.
- Kaenel, G. et Maggetti, M. (1986) Importation de céramique à vernis Noir en Suisse: résultats d'analyses chimiques. In: *Les échanges commerciaux et culturels transalpins, des Origines au Haut Moyen âge: Archéologie, Histoire et Linguistique*. Actes du IV^e Colloque sur les Alpes dans l'Antiquité, Martigny, 13–16 septembre 1984. *Bull. d'Études préhist. alpines* 18, 249–261. Aosta.
- Kaenel, H.-M. v. und Pfanner, M. (Hrsg.; 1980) *Tschugg – Römischer Gutshof*. Grabung 1977. Bern.
- Kaufmann-Heinmann, A. (1977) Die römischen Bronzen der Schweiz I. Augst und das Gebiet der Colonia Augusta Raurica. Mainz.
- Keller, F. (1872) Römische Altertümer gefunden in Baden (Ct. Aargau). *ASA*, 309–312.
- Kemkes, M. (1991) Bronzene Truhenbeschläge aus der römischen Villa von Eckartsbrunn, Gde. Eigelingen, Lkr. Konstanz. *Fundber. Baden-Württemberg* 16, 299–387.
- Kimmig, W. (1962/63) Bronzesitulen aus dem Rheinischen Gebirge Hunsrück-Eifel-Wetterwald. *Ber. RGK* 43–44, 31–50.
- (1981) Die frühen Kelten und das Mittelmeer. In: K. Bittel, W. Kimmig und S. Schiek *Die Kelten in Baden Württemberg*, 248–278. Stuttgart/Aalen.
- Klee, M. (1986) *Arae Flaviae III. Der Nordvicus von Arae Flaviae*. Neue Untersuchungen am nördlichen Stadtrand von Rottweil. *Forsch. u. Ber. Vor- und Frühgeschichte Baden-Württemberg* 18. Stuttgart.
- Koller, H. (1989) *Baden-Aquae Helveticae*. Die Grabung an der Römerstrasse 1987. *AS* 12, 53–59.
- Kraay, C.M. (1962) Die Münzfunde von Vindonissa (bis Trajan). *Veröff. Ges. Pro Vindonissa* 5. Brugg.
- Kraft, K. (1956) in: H. Gebhart, K. Kraft, H. Küthmann, P.R. Franke und K. Christ, *Bemerkungen zur kritischen Neuaufnahme der Fundmünzen der römischen Zeit in Deutschland («Antiker Münzkatalog»)*. *Jahrb. Num. u. Geldgesch.* 7, 9–71.
- Krämer, W. (1957) *Cambodunumforschungen 1953-I*. Die Ausgrabungen von Holzhäusern zwischen der 1. und 2. Querstrasse. *Materialh. Bayer. Vorgesch.* 9. Kallmünz/Opf.
- (1962) Manching II. Zu den Ausgrabungen in den Jahren 1957–1961. *Germania* 40, 293–312.
- (1975) *Zwanzig Jahre Ausgrabungen in Manching 1955–1974*. In: *Ausgrabungen in Deutschland, Teil 1. Monographien RGZM* 1, 1, 287–297. Mainz.
- Lamboglia, N. (1950) *Gli scavi di Albintimilium e la cronologia della ceramica romana*. Bordighera.
- (1952) *Per una classificazione preliminare della ceramica campana*. In: *Atti del 10 congresso internazionale di studi liguri*, Bordighera, 139–206.
- Lasfargues, J. (éd.; 1985) *Architectures de terre et de bois. L'habitat privé des provinces occidentales du monde romain. Antécédents et prolongements: protohistoire, moyen âge et quelques expériences contemporaines*. Actes du 2^e congrès archéologique de Gaule méridionale. Lyon 2–6 novembre 1983. *Documents d'Archéologie française* 2. Paris.
- Laubenheimer, F. (1985) *La production des amphores en Gaule narbonnaise*. Centre de recherches d'histoire ancienne 66. Paris.
- (1989) *Les amphores gauloises sous l'empire*. *Anfore romane e storia economica: un decennio di ricerca*. Collect. École Française Rome 114, 105–138.
- (1991) *Les vides sanitaire et les amphores de la Port d'Orée à Fréjus (Var)*. *Gallia* 48, 229–256.
- Laufer, A. (1980) *La Péniche*. Un atelier de céramique à Lousonna. *CAR* 20. Lausanne.
- Law-Belart, R. (1935) *Vindonissa. Lager und Vicus*. *Röm.-Germ. Forsch.* 10. Berlin, Leipzig.
- Laur-Belart, R. und Berger, L. (1988) *Führer durch Augusta Raurica*. 5. erw. Aufl. Basel.
- Leibundgut, A. (1977) *Die römischen Lampen in der Schweiz*. Eine kultur- und handelsgeschichtliche Studie. Bern.
- Letta, C. (1988) «Oppida», «vici» e «pagi» in area Marsa. *L'influenza dell'ambiente naturale sulla continuità delle forme di insediamento*. *Contrib. Istituto Storia antica Univ. Sacro Cuore Milano* 14, 217ss.
- Liebenam, W. (1909) *RE* VI, 2, Sp. 1589–1679, s.v. exercitus.
- Liou, B. (1988) *Le contenu des amphores, typologie et épigraphie: quelques cas aberrants ou embarrassants*. In: *SFECAG, Actes du congrès d'Orange 12–15 mai 1988*, 171–176. Marseille.
- Loeschke, S. (1909) *Keramische Funde in Haltern*. Ein Beitrag zur Geschichte der augusteischen Kultur in Deutschland. Münster.
- (1919) *Lampen aus Vindonissa*. Ein Beitrag zur Geschichte von Vindonissa und des antiken Beleuchtungswesens. Brugg.
- (1939) *Älteste römische Keramik vom Petrisberg über Trier*. *Trierer Zeitschr.* 14, 93–112.
- Lüdin, O. (1966) *Ausgrabungen in Königsfelden-Breite 1966*. Bericht des Grabungsleiters. *Jber. GPV*, 17–31.
- Ludwig, R. (1988) *Das frühromische Brandgräberfeld von Schankweiler, Kreis Bitburg-Prüm*. *Trierer Zeitschr.* 51, 51–422.
- Luley, H. (1992) *Urgeschichtlicher Hausbau in Mitteleuropa*. Grundlagenforschungen, Umweltsbedingungen und bautechnische Rekonstruktionen. *Universitätsforsch. Prähist. Arch.* 7. Bonn.
- Lüscher, G. (1989) *Vier Latènegruben der Engehalbinsel bei Bern*. Mit einem Beitrag von G. Galetti und M. Maggetti. *JbSGUF* 72, 127–152.
- Mackensen, M. (1978) *Das römische Gräberfeld auf der Keckwiese in Kempten*. I. Gräber und Grabanlagen des 1. und 4. Jahrhunderts. *Cambodunumforschungen IV. Materialh. Bayer. Vor- u. Frühgesch.* 34. Kallmünz/Opf.
- MacMullen, R. (1965) *The celtic renaissance*. *Historia* 14, 93–104.
- Maggetti, M. und Galetti, G. (1986) *Chemischer Herkunftsnachweis der «schwarzen Sigillata» vom Magdalensberg*. Die Ausgrabungen auf dem Magdalensberg 1975–1979. *Magdalensberg-Grabungsber.* 15, 391–431.
- Mäglin, T. (1986) *Spätkeltische Funde von der Augustinergasse in Basel*. *Materialh. Arch. Basel* 6. Basel.
- Maier, F. (1966) *Zur Vindonissa-Roanne-Gruppe bemalter frühkaiserzeitlicher Keramik*. In: R. Degen, W. Drack und R. Wyss (Red.) *Helvetia Antiqua*. *Festschr. E. Vogt*, 159–166. Zürich.
- (1967) *Die frühkaiserzeitliche bemalte Keramik von Latènetradition in Gallien und im rechtsrheinischen Keltengebiet*. *Acta RCRF*, 54–61.
- (1985) *Vorbericht über die Ausgrabung 1984 in dem spätkeltischen Oppidum von Manching*. *Germania* 63, 17–55.
- (1986) *Vorbericht über die Ausgrabung 1985 in dem spätkeltischen Oppidum von Manching*. *Germania* 64, 1–43.
- Maier, F.B. (1987) *Eine frühe Westfront des Legionslagers von Vindonissa*. *JbSGUF* 70, 188–192.
- Major, E. (1940) *Gallische Ansiedelung und Gräberfeld bei Basel*. *Basel*.
- Marabini Moevs, M.T. (1973) *The roman thin walled pottery from Cosa (1948–1954)*. *Mem. Am. Acad. Rome* 32.
- Maria, R. (1986) *Tecnica costruttiva romana*. Roma.
- Martin, Th. (1986) *Le déclin*. In: *Bémont et Jacob* 1986, 43–45.
- (1986) *Montans*. In: *Bémont et Jacob* 1986, 58–71.
- Martin-Kilcher, S. (1976) *Das römische Gräberfeld von Courroux im Berner Jura*. *Basler Beitr. Ur- u. Frühgesch.* 2. Basel.
- (1980) *Die Funde aus dem römischen Gutshof von Laufen-Müschgag*. Bern.
- (1987) *Die römischen Amphoren aus Augst und Kaiseraugst 1: Die südspanischen Ölamphoren (Gruppe 1)*. *Forsch. Augst* 7. Augst.
- (1990) *Fischsauce und Fischkonserven aus dem römischen Gallien*. *AS* 13, 37–44.
- Martin-Kilcher, S., Maggetti, M. und Galetti, G. (1987) *Fabrikation von Weinamphoren der Form Dressel 2–4 in Augusta Rauricorum (Augst BL)*. *JbSGUF* 70, 113–123.
- Martin-Kilcher, S., Schupbach, S., Stern, W.B. und Ballié, J. (1985) *Keramikanalysen an römischen Ölamphoren aus Augst, Kaiseraugst,*

- Avenches und Lausanne-Vidy. Naturwissenschaftliche und archäologische Aspekte. *JbSGUF* 68, 173–204.
- Mary, G.T. (1967) *Novaesium I. Die südgallische Terra Sigillata aus Neuss. Limesforsch.* 6. Berlin.
- Maute, M. (1991) Das Fibelspektrum aus dem spätlatènezeitlichen Oppidum Altenburg, Kr. Waldshut. *Arch. Korrb.* 21, 393–397.
- Mayet, F. (1975) Les céramiques à parois fines dans la péninsule ibérique. Paris.
- Mertens, J. (1965) Rapport provisoire sur les campagnes de 1962/63 et 1963/64. *Ordon* 1, 7–33.
- Messineo, G. e Pellegrino, A. (1986) Il vicus di San Rustico. La Valle del medio e basso Vomano. *Documenti dell' Abruzzo Teramano* II, 136ss.
- Metzler, J. (1984) Das treverische Oppidum auf dem Titelberg (Luxemburg). In: Trier, Augustusstadt der Treverer. Katalog der Ausstellung Trier, 4.5.–10.11.1984, 68–78. Mainz.
- Meyer, E. (1942) Römischer und Keltischer in der römischen Schweiz. *Zeitschr. Schweizer. Gesch.* 22, 405–419.
- Meyer-Freuler, Ch. (1989) Das Praetorium und die Basilika von Vindonissa. Veröff. Ges. Pro Vindonissa 9. Brugg.
- Millett, M. (1991) The romanization of Britain. An essay in archeological interpretation. Cambridge.
- Monacchi, D. (1983) Villa rustica Colle Plinio (Campo di S. Fiora). Ville e insediamenti rustici di età romana in Umbria, 12ss.
- (1986/87) Materiale da un Contesto di età tardo-repubblicana di Narni. *Ann. Facoltà Lettere e Filosofia Perugia* 24, N.S. 10, 141–168.
- Morel, J.-P. (1981) Céramique campanienne: Les formes. *Bibl. Ecoles Françaises Athènes et Rome* 244. Roma.
- Morel, J. et Amstad, S. (1990) Noviodunum II. Un quartier romain de Nyon: de l'époque augustéenne au III^e siècle. *CAR* 49. Lausanne.
- Müller-Vogel, V. (1986) Die spätkeltische Töpfersiedlung von Sissach-Brühl. *Ber. aus der Arbeit des Amtes für Mus. u. Arch. Kt. Baselland*, H. 005. Liestal.
- Mutz, A. (1983) Römische Waagen und Gewichte aus Augst und Kaiser-augst. *Augster Museumsh.* 6. Augst.
- Neuburger, A. (1919) Die Technik des Altertums. Leipzig.
- Nierhaus, R. (1959) Das römische Brand- und Körpergräberfeld «Auf der Steig» in Stuttgart-Bad Cannstatt. Veröff. staatl. Amt Denkmalpflege Stuttgart. Reihe A, Vor- u. Frühgesch. 5. Stuttgart.
- Nieto, J. (1986) El pecio culip IV: observaciones sobre la organización de los talleres de terra sigillata de La Graufesenque. *Archaconautica* 6, 81–115.
- Niffeler, U. (1988) Römisches Lenzburg: Vicus und Theater. Veröff. Ges. Pro Vindonissa 8. Brugg.
- Nuber, E. (1988) Die antiken Münzen aus Rottweil. *Arac Flaviae IV. Forsch. u. Ber. Vor- u. Frühgesch. Baden-Württemberg* 28, 237–360.
- Oelmann, F. (1914) Die Keramik des Kastells Niederbieber. *Mat. röm.-germ. Keramik* 1. Bonn.
- (1923) Gallo-Römische Strassensiedlungen und Kleinhausbauten. *Bonner Jahrb.* 128, 77–97.
- Okun, M.L. (1989) The early roman frontier in the upper Rhine area. Assimilation and acculturation on a roman frontier. *BAR internat. Ser.* 547. Oxford.
- Osterwalder Maier, Ch. (1991) Die Unerreichbarkeit vollkommener Archäologie: Archäologie-inhärente Hindernisse. *JbSGUF* 74, 229–231.
- Oswald, F. (1931) Index of potters' stamps on terra sigillata «samian ware». London.
- (1937) Index of figure-types on terra sigillata. Liverpool.
- Oswald, F. and Pryce, T.D. (1920) An introduction to the study of terra sigillata. London.
- Oxé, A. (1925) Die Töpferrechnungen von der Graufesenque. *Bonner Jahrb.* 130, 38–99.
- (1936) La Graufesenque. *Bonner Jahrb.* 140/141, 325–394.
- Patterson, J.R. (1984) Il vicus die epoca imperiale nella tenta presidenziale di Castelporziano: contesto storico. *Castelporziano I. Campagna di scavo e restauro*, 67–69.
- Pauli, L. (1979) Die Alpen in Frühzeit und Mittelalter. Die archäologische Entdeckung einer Kulturlandschaft. Zürich.
- Paunier, D. (1975) Céramique peinte de la Tène finale et materiel gallo-romain précoce trouvés sur l'oppidum de Genève. *Genava* 23, 55–121.
- (1981) La céramique gallo-romaine de Genève. *Mémoires et documents publiés par la Société d'Histoire et d'Archéologie de Genève* 9. Genève.
- (1986) La production de terre sigillée en Suisse au I^{er} siècle de notre ère. In: Bémont et Jacob 1986, 265–268.
- Paunier, D. und Kaenel, G. (1981) Moules pour la fabrication de céramique sigillée à Lousonna (Lausanne-Vidy VD). *AS* 4, 120–126.
- Pavlinec, M. (1992) Zur Datierung römischzeitlicher Fundstellen in der Schweiz. *JbSGUF* 75, 117–132.
- Pavolini, C. (1983) Ostia. Guide archeologica Laterza 8. Roma/Bari.
- Peacock, D.P.S. (1977) Pottery and early commerce. Characterization and trade in roman and later ceramics. London.
- Peacock, D.P.S. and Williams, D.F. (1986) Amphorae and the roman economy. London/New York.
- Périchon, R. (1965) Observations d'un groupe de céramiques dérivé de la céramique campanienne. *Celticum* 12, 261–266.
- Perring, D. and Roskams, St. (1991) Early development of roman London west of the Walbrook. *The archaeology of roman London* 2. CBA Research Report 70. London.
- Petit, J.-P. (1988) Puits et fosses rituels en Gaule d'après l'exemple de Bliesbruck (Moselle). *Bliesbruck*.
- Petit, J.-P. et Schaub, J. (1992) Parc archéologique européen Bliesbruck-Rheinheim. Guide du site archéologique. Sarreguemines.
- Petrikovits, H. v. (1975) Die Innenbauten römischer Legionslager während der Prinzipatszeit. *Abhandl. Rheinisch-Westfälischen Akad. Wiss.* 56. Opladen.
- (1977) Kleinstädte und nichtstädtische Siedlungen im Nordwesten des römischen Reiches. In: H. Jahnkuhn, R. Schützlisch und F. Schwind (Hrsg.), *Das Dorf der Eisenzeit und des frühen Mittelalters*. Abhandl. Akad. Wiss. Göttingen 101, 86–135. Göttingen.
- Pferdehirt, B. (1976) Die Keramik des Kastells Holzhausen. *Limesforsch.* 16. Berlin.
- (1986) Die römische Okkupation Germaniens und Rätians von der Zeit des Tiberius bis zum Tode Trajans. *Untersuchungen zur Chronologie südgallischer Reliefsigillata. JbRGZM* 33, 221–320.
- Pietsch, M. (1983) Die römischen Eisenwerkzeuge von Saalburg, Feldberg und Zugmantel. *Saalburg-Jahrb.* 39, 5–132.
- Planck, D. (1975) *Arac Flaviae. Neue Untersuchungen zur Geschichte des römischen Rottweil. Forsch. u. Ber. Vor- u. Frühgesch. Baden-Württemberg* 6. Stuttgart.
- Plessner, H. (1928) Der Mensch als Lebewesen. In: *Mit anderen Augen. Aspekte einer philosophischen Anthropologie*, zitiert nach Ausgabe 1982, 9–62. Stuttgart.
- (1948) Mit anderen Augen. In: *Mit anderen Augen. Aspekte einer philosophischen Anthropologie*, zitiert nach Ausgabe 1982, 164–182.
- Pucci, G. (1983) *Ceramica, tipi, segni. Opus* II, 273ss.
- Py, M. et Py, F. (1967) La céramique campanienne et ses imitations à Nages (Gard). *Cahiers Ligures de Préhist. et Arch.* 16, 144–161.
- Radnóti, A. (1938) Die römischen Bronzegefäße von Pannonien. *Diss. pannonicae, Ser. 2, Nr. 6. Budapest*.
- Rancoule, G. (1970) Ateliers de potiers et céramique indigène au I^{er} siècle avant J.-C. *Rev. Arch. Narbonnaise* 3, 33–70.
- Ricci, A. (ed.; 1985) *Settefinestre. Una villa schiavistica nell'Etruria romana. 2 La villa e i suoi reperti. Modena*.
- Rieckhoff, S. (1975) Münzen und Fibeln aus dem Vicus des Kastells Hüfingen (Schwarzwald-Baar-Kreis). *Saalburg Jahrb.* 32, 5–104.
- Riha, E. (1979) Die römischen Fibeln aus Augst und Kaiseraugst. *Forsch. Augst* 3. Augst.
- (1986) Römisches Toilettengerät und medizinische Instrumente aus Augst und Kaiseraugst. *Forsch. Augst* 6. Augst.
- (1990) Der römische Schmuck aus Augst und Kaiseraugst. *Forsch. Augst* 10. Augst.
- Riha, E. und Stern, W.B. (1982) Die römischen Löffel aus Augst und Kaiseraugst. *Archäologische und metallanalytische Untersuchungen. Forsch. Augst* 5. Augst.
- Ritterling, E. (1901a) Die Fundstücke. In: *Die römische Niederlassung bei Haltern. Mitt. Alt.-Komm. Westfalen* 2, 107–174. Münster.
- (1901b) Zwei Münzfunde aus Niederbieber. *Bonner Jahrb.* 107, 95–131.
- (1904) Das frühromische Lager bei Haltern i.T. Nassau. *Ann.* 34, 1–285.
- (1911) Das Kastell Niederbieber. *Bonner Jahrb.* 120, 259–278.
- (1912) Das frühromische Lager bei Holheim i.T. Nassau. *Ann.* 40.
- (1924) RE XII, 1186–1829, s.v. legio.
- Roth-Rubi, K. (1979) Untersuchungen an den Krügen von Avenches. *Acta RCRF Suppl.* 3. Augst/Kaiseraugst.
- (1983) Römisches Töpfereihandwerk in Baden. In: M. Hartmann, H.W. Doppler, L. Berger et al., *Handel und Handwerk im römischen Baden*, 43–50. Baden.
- (1984) Der Hildesheimer Silberschatz und die Terra Sigillata – Eine Gegenüberstellung. *Arch. Korrb.* 14, 175–193.
- (1986) Die Villa von Stutheien Hüttwilen TG. Ein Gutshof der mittleren Kaiserzeit. *Antiqua* 14. Basel.
- Roth-Rubi, K. (1992) Chronologische Gliederung des Zeitabschnittes 10–45 n.Chr. an Hand des Fundmaterials von Zurzach (AG, Schweiz). *Acta RCRF* 31/32, 515–521.
- Ruoff, U. (1964) Eine Spätlatènesiedlung bei Marthalen. *JbSGUF* 51, 47–62.
- Rupp, V. (1987) Wetterauer Ware – Eine römische Keramik im Rhein-Main-Gebiet. *Schr. Frankfurter Mus. Vor- und Frühgeschichte. Arch. Mus.* 10. Bonn.

- Rüsch, A. (1981) Das römische Rottweil. Führer arch. Denkmälern Baden-Württemberg 7. Stuttgart.
- Rütti, B. (1988) Vitudurum 4. Die Gläser. Ber. Zürcher Denkmalpflege, Monogr. 5. Zürich.
- Rychener, J. (1984) Der Kirchhügel von Oberwinterthur. Die Rettungsgrabungen von 1976, 1980 und 1981. Beiträge zum römischen Vitudurum-Oberwinterthur 1. Ber. Zürcher Denkmalpflege, Monogr. 1. Zürich.
- (1988) Vitudurum 3. Die Rettungsgrabungen 1983–1986. Ber. Zürcher Denkmalpflege, Monogr. 6. Zürich.
- Rychener, J. und Albertin, P. (1986) Ein Haus im Vicus Vitudurum – die Ausgrabungen an der Römerstrasse 186. Beiträge zum römischen Vitudurum-Oberwinterthur 2. Ber. Zürcher Denkmalpflege, Monogr. 2. Zürich.
- SAGEA (1991) Schweizerische Arbeitsgruppe für Eisenarchäologie, Erze, Schlacken, Eisen. Einführungskurs zum Studium der frühen Eisenmetallurgie und der Identifikation der Abfälle dieser Industrie. Grabungstechnik Sonderh.
- Schaub, J., Petit, J.-P., Hiller, F. et Geyer, B. (1984) Les fosses et les puits à offrandes du vicus de Bliesbruck (Moselle). Revue archéol. de l'Est 35, 227–259.
- Schilling-Häfele, U. (1974) Die Deduktion von Veteranen nach Aventicum. Chiron 4, 441–449.
- Schindler, M. (1967) Die «schwarze Sigillata» des Magdalensbergs. Arch. Forsch. zu den Grabungen auf dem Magdalensberg 1. Klagenfurt.
- Schindler, M. und Scheffenecker, S. (1977) Die glatte rote Terra Sigillata vom Magdalensberg. Kärntner Mus.schr. 62. Klagenfurt.
- Schindler, R. (1977) Die Altburg von Bundenbach. Eine befestigte Höhensiedlung des 2./1. Jh. v. Chr. im Hunsrück. Trierer Grabungen u. Forsch. 10. Trier.
- Schindler-Kaudelka, E. (1975) Die dünnwandige Gebrauchskeramik vom Magdalensberg. Arch. Forsch. zu den Grabungen auf dem Magdalensberg 3. Klagenfurt.
- Schmid, D. (1991) Die römischen Schlangentöpfe aus Augst und Kaiser-augst. Forsch. Augst 11. Augst.
- Schmidt, K.H. (1983) Sprachkontakte im römischen Gallien. ANRW 29, 2, 988–1018. Berlin, New York.
- Schneider, G. und Wirz, E. (1991) Chemische Analysen von Firmenlampen aus Vindonissa. Jber. GPV, 35–45.
- Schneider, K. (1932) RE IV A, 2, Sp. 1863–1872, s.v. taberna.
- Schnurbein, S. v. (1977) Das römische Gräberfeld von Regensburg. Materialh. Bayer. Vorgesch. Reihe Fundinventare u. Ausgr.befunde 31. Kallmünz/Opf.
- (1981) Untersuchungen zur Geschichte der römischen Militärlager an der Lippe. Ber. RGK 62, 5–101.
- Schönberger, H. (1978) Kastell Oberstimm. Die Grabungen von 1968 bis 1971. Unter Mitarbeit von H.-G. Bachmann, A. Böhme, J. Boessneck, J. Garbsch, H.-J. Kellner, H.-G. Simon. Limesforsch. 18. Berlin.
- (1985) Die römischen Truppenlager der frühen und mittleren Kaiserzeit zwischen Nordsee und Inn. Ber. RGK 66, 321–497.
- Schönberger, H. und Simon, H.-G. (1976) Römerlager Rödgen. Limesforsch. 15. Berlin.
- (1983) Die Kastelle in Altenstadt. Limesforsch. 22. Berlin.
- Schroeder, D. (1978) Bodenkunde in Stichworten⁷. Hirts Stichwortbücher. Kiel.
- Schubert, F. (1972) Manching IV. Vorbericht über die Ausgrabungen in den Jahren 1965–1967. Germania 50, 110–121.
- (1992) Metrologische Untersuchungen zu einem keltischen Längemass. Germania 70, 293–305.
- Schucany, C. (1983) Tacitus (Hist. I 67) und der Brand der jüngsten Holzbauten von Aquae Helveticae. Jber. GPV, 35–79.
- (1986a) Der römische Gutshof von Biberist-Spitalhof. Ein Vorbericht. JbSGUF 69, 199–220.
- (1986b) Rezension zu Schönberger/Simon 1983. JbSGUF 69, 304f.
- (1988) Der Brand vom 21. Juni oder: wie entsteht ein archäologischer Befund. Grabungstechnik Heft 19, 3f.
- (1990a) Zwei absolut datierte neronische Schichten aus Solothurn und Baden. Ein Vergleich. Arch. Korbl. 20, 119–123.
- (1990b) La céramique de la région de Soleure (Suisse). In: SFECAG, Actes du congrès de Mandeure-Mathay, 24–27 mai 1990, 97–105. Marseille.
- (1992) «Vicushäuser in Aquae Helveticae/Baden (Schweiz)». Referat an der Jahrestagung des West- und Süddeutschen Verbandes für Altertumsforschung in Homburg (Saar), 10. Juni 1992.
- (1993) Tradition indigène – tradition méditerranéenne. Un essai appliqué à la céramique des I^{er} et II^e siècles d'Aquae Helveticae (Baden, Suisse). In: SFECAG, Actes du congrès de Versailles 20–23 mai 1993, 249–266. Marseille.
- Schuler, H. und Stöckli, W.E. (1984) Die römische Villa auf dem Niderfeld in Wiedlisbach. Jahrb. Oberaargau, 197–234.
- Schweitzer, U. (1946) Eine selten grosse römische Glocke. US 10, 18–22.
- Seitz, G. (1982) Zum spätsüdgalischen Terra-Sigillata-Import in der Wetterau. Acta RCRF 21/22, 131–145.
- Settis, S., La Regina, A., Agosti, G. e Farinella, V. (1988) La colonna traiana. Torino.
- Simoncini, G. (1962) Il foro di Lucus Feroniae. Quaderni dell'istituto di storia dell'architettura 52/53, Iss.
- Simonett, Ch. (1937) Grabungen der Gesellschaft Pro Vindonissa in den Jahren 1935 und 1936 auf der Breite. ASA N.F. 39, 2, 81–92.
- (1938) Grabungen der Gesellschaft Pro Vindonissa im Jahre 1937. ASA N.F. 40, 2, 81–108.
- (1941) Tessiner Gräberfelder. Monogr. Ur- u. Frühgesch. Schweiz 3. Basel.
- (1943/44) Die Ausgrabungen auf der Breite. Jber. GPV, 21–29.
- Sitterding, M. (1961/62) Bericht über die Flächengrabung nordwestlich der Klosterkirche. Jber. GPV, 21–40.
- (1965) La céramique de l'époque de La Tène à Yverdon. Fouilles de 1961. JbSGUF 52, 100–111.
- Solier, Y. (1981) Les épaves de Gruissan. Archæonautica 3, 8–264.
- Sommer, C.S. (1988) Kastellvicus und Kastell. Untersuchungen zum Zugmantel im Taunus und zu den Kastellvici in Obergermanien und Rätien. Fundber. Baden-Württemberg 13, 457–707.
- Speidel, M.A. und Doppler, H.W. (1992) Kaiser, Kommandeure und Kleingeld. Vier neue Gegenstempel aus Zurzach und Baden und ihr Beitrag zur Geschichte. Jber. GPV 1992, 5–16.
- Stahelin, F. (1948) Die Schweiz in römischer Zeit³. Basel.
- Steiger, R. (1967) Drei römische Bronzen aus Augst. In: M. Rohde-Liegle, H.A. Cahn und H. Chr. Ackermann (Hrsg.) Gestalt und Geschichte. Festschr. K. Scheffold zu seinem sechzigsten Geburtstag am 26. Januar 1965. Antike Kunst, 4. Beih., 186–195.
- Stöckli, W.E. (1979) Die Grob- und Importkeramik von Manching. Die Ausgrabungen in Manching 8. Wiesbaden.
- Stüchelberg, E.A. (1893) Die Ausgrabungen des schweizerischen Landesmuseums zu Baden. ASA 26, 4, 262–269.
- Swoboda, R.M. (1971) Der Töpferbezirk am Südostrand von Augusta Raurica. Helvetia Arch. 5, 7–21.
- Tauber, J. (1985) Ein spätlatènezeitlicher Töpferofen in Muttenz BL. AS 8, 67–72.
- Tempelmann-Maczynska, M. (1985) Die Perlen der römischen Kaiserzeit und der frühen Phase der Völkerwanderungszeit im mitteleuropäischen Barbaricum. Röm.-Germ. Forsch. 43. Mainz.
- Tomasevic, Th. (1962) Bericht über die Untersuchung der Steinbauten. Jber. GPV, 33–47.
- (1963) Ausgrabungen Königsfelden 1963. Jber. GPV, 15–24.
- (1970) Die Keramik der XIII. Legion aus Vindonissa. Ausgrabungen Königsfelden 1962/63. Veröff. Ges. Pro Vindonissa 7. Brugg.
- Torelli, M. (1980) Etruria. Guide archeologica Laterza 3. Roma/Bari.
- Tortorella, S. (1981) Ceramica da cucina. In: Ceramica fine romana nel bacino mediterraneo. Encyc.Arte Antica, Atlante delle forme ceramiche I, 208–227. Roma.
- Tuor, A. (1981) Aventicum, Insula 15. Rapport sur la fouille de sauvetage exécutée en 1979. BPA 26, 37–75.
- UFAS V (1975) Ur- und frühgeschichtliche Archäologie der Schweiz. V, Die römische Epoche. Basel.
- Ulbert, G. (1957) Zum claudischen Kastell Oberstimm (Ldkr. Ingoldstadt). Germania 35, 318–327.
- (1959) Die römische Donau-Kastell Aislingen und Burghöfe. Limesforsch. 1. Berlin.
- (1960) Die römische Keramik aus dem Legionslager Augsburg-Oberhausen. Materialh. Bayer. Vorgesch. 14. Kallmünz/Opf.
- (1965) Der Lorenzberg bei Epfach. Die frühromische Militärstation. Münchener Beitr. Vor- u. Frühgesch. 9. Kallmünz/Opf.
- (1969a) Das frühromische Kastell Rheingönheim. Die Funde aus den Jahren 1912 und 1913. Limesforsch. 9. Berlin.
- (1969b) Gladii aus Pompeji. Germania 47, 97–128.
- (1970) Das römische Donau-Kastell Rissstissen. Teil 1. Urk. Vor- u. Frühgesch. Südwürttemberg-Hohenzollern 4. Stuttgart.
- (1975) Der Auerberg. In: Ausgrabungen in Deutschland, Teil I. Monographien RGZM 1, 1, 409–433. Mainz.
- (1984) Cáceres el Viejo. Ein späterepublikanisches Legionslager in Spanisch-Extremadura. Madrider Beitr. 11. Mainz.
- Unverzagt, W. (1916) Die Keramik des Kastells Alzei. Materialien zur römisch-germanischen Keramik II. Frankfurt a.M.
- (1925) Studien zur Terra Sigillata mit Rädchenverzierung. Prähist. Zeitschr. 16, 123–165.
- Unz, Ch. (1971) Römische Militärfunde aus Baden – Aquae Helveticae. Jber. GPV, 41–58.
- (1973) Römische Funde aus Windisch im ehemaligen Kantonalen Antiquarium Aarau. Jber. GPV, 11–42.
- (1974) Römische Militärfunde aus Baden. Ein Nachtrag. Jber. GPV, 85–91.

- Urner-Astholz, H. (1942)* Die römerzeitliche Keramik von Eschenz-Tasgetium. Hist. Ver. Kt. Thurgau 78. Frauenfeld.
- Vannini, G. (1985)* L'antico palazzo dei Vescovi a Pistoia II*. Indagini archeologiche.
- (1987) L'antico palazzo dei Vescovi a Pistoia II**, I documenti archeologici. Arte e Archeologia. Studi e documenti 23.
- Vegas, M. (1966)* Die Lampen aus den Neusser Grabungen. Novaesium II. Limesforsch. 7, 63–126. Berlin.
- (1968) Römische Keramik von Gabii (Latium). Bonner Jahrb. 168, 13–55.
 - (1973) Cerámica común romano del mediterráneo occidental. Barcelona.
 - (1975) Die augustische Gebrauchskeramik von Neuss. Novaesium VI. Limesforsch. 14, 3–76. Berlin.
- Vernhet, A. (1976)* Création flavienne de six services de vaisselles à La Graufesenque. Figlina 1, 13–27.
- (1986a) Présentation générale. In: Bémont et Jacob 1986, 33f.
 - (1986b) Ateliers entre 30 et 120 ap.J.-C. In: Bémont et Jacob 1986, 39–41.
 - (1986c) Centre de production de Millau. Atelier de La Graufesenque. In: Bémont et Jacob 1986, 96–103.
- Vertet, H. (1983)* Les techniques de fabrication des lampes en terre cuite du centre de la Gaule. Recherches sur les ateliers de potiers de la Gaule centrale 3. Revue Archéologique Sites, hors série 20. Avignon.
- Vogt, E. (1931)* Bemalte gallische Keramik aus Windisch (Kt. Aargau). ASA N.F. 33, 1/2, 47–59.
- Wachtel, N. (1974)* L'acculturation. In: J. Le Goff et P. Nora (éds.) Faire de l'histoire. Nouveaux problèmes, 124–146.
- Walke, N. (1965)* Das römische Donaukastell Straubing-Sorviodurum. Limesforsch. 3. Berlin.
- Walser, G. (1980)* Römische Inschriften in der Schweiz. II. Teil: Nordwest- und Nordschweiz. Bern.
- Weber, M. (1922)* Wirtschaft und Gesellschaft (zit. nach 5. Aufl. 1985). Tübingen.
- Weiss, J. und Holliger, Ch. (1979/80)* Windisch, Grabung Dätwiler 1979/80. Gruben und Schächte. Jber. GPV, 23–59.
- Welker, E. (1974)* Die römischen Gläser von Nida-Hedderheim. Schr. Frankfurter Mus. Vor- u. Frühgesch. 3. Frankfurt.
- (1985) Die römischen Gläser von Nida-Hedderheim II. Schr. Frankfurter Mus. Vor- u. Frühgesch. 8. Bonn.
- Werlen, I. (1989)* Sprache, Mensch und Welt. Geschichte und Bedeutung des Prinzips der sprachlichen Realität. Erträge der Forsch. 269. Darmstadt.
- Whorf, B.L. (1984)* Sprache – Denken – Wirklichkeit. Beiträge zur Metalinguistik und Sprachphilosophie. Reinbek bei Hamburg.
- Wiedemer, H.R. (1962)* Hauptergebnisse der Ausgrabungen in Königsfelden 1961/62. Jber. GPV, 15–30.
- Wolf, J.-J. (1990)* L'établissement de La Tène finale de Sierentz (Haut-Rhin). In: L'Alsace celtique. 20 ans de recherches. Catalogue Colmar, Musée d'Unterlinden, 111s.
- Zevi, F. (1984)* Pompei 79. Napoli.
- Zürcher, A. (1982)* Die Untersuchungen 1977–1981 im Unteren Bühl. JbSGUF 65, 214–222.

Antiqua

Veröffentlichungen der Schweizerischen Gesellschaft
für Ur- und Frühgeschichte

Publications de la Société Suisse de Préhistoire et
d'Archéologie

Pubblicazioni della Società Svizzera di Preistorica
e d'Archeologia

ISBN 3-908006-...-

- | | | | |
|--------|--|--------|---|
| Bd. 1 | <i>Jakob Bill</i> , Die Glockenbecherkultur und die frühe Bronzezeit im französischen Rhonebecken und ihre Beziehungen zur Südwestschweiz. Basel 1973. (Vergr./épuisé) | Bd. 14 | <i>Katrin Roth-Rubi</i> , Die Villa von Stutheien bei Hüttwilen TG. Ein Gutshof der mittleren Kaiserzeit. Basel 1986. -05-8. Fr. 65.– (Fr. 43.–). |
| Bd. 2 | <i>Werner E. Stöckli</i> , Die Chronologie der jüngeren Eisenzeit im Tessin. Basel 1975. Fr. 87.– (Fr. 58.–). | Bd. 15 | <i>Chronologie</i> . Archäologische Daten der Schweiz/Dateation archéologique en Suisse. Basel 1986. -06-6. Fr. 74.– (Fr. 49.–). |
| Bd. 3 | <i>Jürg Ewald</i> , Paläo- und epigraphische Untersuchungen an den römischen Steininschriften der Schweiz. Liestal 1974. Fr. 32.– (Fr. 22.–). | Bd. 16 | <i>Monika Bernatzky-Goetze</i> , Möriegen. Die spätbronzezeitlichen Funde. Basel 1987. -09-0. Fr. 98.– (Fr. 69.–). |
| – | <i>Ulrich Ruoff</i> , Zur Frage der Kontinuität zwischen Bronze- und Eisenzeit in der Schweiz. Bern 1974. (In Kommission) Fr. 48.– (Fr. 32.–). | Bd. 17 | <i>B. Ammann et al.</i> , Neue Untersuchungen am Kesslerloch bei Thayngen/SH. Sondierbohrungen im östlichen Vorplatzbereich und ihre naturwissenschaftlich-archäologische Auswertung. Basel 1988. -08-9. Fr. 53.– (Fr. 36.–). |
| Bd. 4 | <i>Helmut Bender</i> , Baugeschichtliche Untersuchungen Augst-Kurzenbetti. Basel 1975. Fr. 117.– (Fr. 78.–). | Bd. 18 | <i>Paul Gutzwiller</i> , Das vormittelalterliche Fundmaterial vom Areal der Frohburg oberhalb Trimbach SO. Basel 1989. -10-4. Fr. 74.– (Fr. 49.–). |
| Bd. 5 | <i>Josef Winiger und Marcel Joos</i> , Feldmeilen Vorderfeld. Die Ausgrabungen 1970/71. Basel 1976. Fr. 48.– (Fr. 33.60). | Bd. 19 | <i>A. Hochuli-Gysel, S. Nauli, A. Siegfried-Weiss, E. Ruoff, V. Schaltenbrand Obrecht et al.</i> , Chur in römischer Zeit II. Ausgrabungen Areal Markthallenplatz. Historischer Überblick. Basel 1991. -11-2. Fr. 135.– (Fr. 92.–). |
| Bd. 6 | <i>Alain Gallay</i> , Le Néolithique moyen du Jura et des plaines de la Saône. Frauenfeld 1977. Fr. 92.50 (Fr. 64.75). | Bd. 20 | <i>Felix Müller</i> , Der Massenfund von der Tiefenau bei Bern. Zur Deutung latènezeitlicher Sammelfunde mit Waffen. Basel 1990. -12-0. Fr. 92.– (Fr. 65.–). |
| Bd. 7 | <i>Ernst Müller</i> , Pollenanalytische Untersuchungen an paläolithischen und mesolithischen Höhlensedimenten. Frauenfeld 1979. Fr. 31.– (Fr. 21.75). | Bd. 21 | <i>Stefan Hochuli</i> , Wäldi-Hohenrain TG. Eine mittelbronze- und hallstattzeitliche Fundstelle. Basel 1990. -13-9. Fr. 85.– (Fr. 57.–). |
| Bd. 8 | <i>Josef Winiger</i> , Feldmeilen Vorderfeld. Der Übergang von der Pfynner zur Horgener Kultur. Frauenfeld 1981. Fr. 98.– (Fr. 65.–). | Bd. 22 | <i>Urs Schwegler</i> , Schalen- und Zeichensteine der Schweiz. Basel 1992. -14-7. Fr. 95.– (Fr. 67.–). |
| Bd. 9 | <i>Lotti Stauffer-Isenring</i> , Die Siedlungsreste von Scuol-Munt Baselgia (Unterengadin GR). Olten 1983. Fr. 85.50 (Fr. 57.–). | Bd. 23 | <i>Reto Marti, Hans-Rudolf Meier, Renata Windler</i> , Ein frühmittelalterliches Gräberfeld bei Erlach BE. Basel 1992. -15-6. Fr. 49.– (Fr. 33.–). |
| Bd. 10 | <i>Josef Winiger und Albin Hasenfratz</i> , Ufersiedlungen am Bodensee. Archäologische Untersuchungen im Kanton Thurgau 1981–1983. Basel 1985. -01-5. Fr. 48.– (Fr. 30.–). | Bd. 24 | <i>Geneviève Lüscher</i> , Unterlunkhofen und die hallstattzeitliche Grabkeramik in der Schweiz. Basel 1993. -16-3. Fr. 97.– (Fr. 72.–). |
| Bd. 11 | <i>B. Becker et al.</i> , Dendrochronologie in der Ur- und Frühgeschichte. Die absolute Datierung von Pfahlbausiedlungen nördlich der Alpen im Jahrringkalender Mitteleuropas. Basel 1985. -03-1. (Vergr.) | Bd. 25 | <i>Andreas Burkhardt</i> , Keltische Münzen aus Basel. Numismatische Untersuchungen und Metallanalysen. Basel 1994. -17-1. Fr. 128.– (Fr. 98.–). |
| Bd. 12 | <i>A. Hochuli-Gysel, A. Siegfried-Weiss, E. Ruoff, V. Schaltenbrand</i> , Chur in römischer Zeit. Band I: Ausgrabungen Areal Dosch. Basel 1986. -04-X. Fr. 90.– (Fr. 65.–). | Bd. 26 | <i>Markus Höneisen</i> (Hrsg.), Frühgeschichte der Region Stein am Rhein. Archäologische Forschungen am Ausfluss des Untersees (= Schaffhauser Archäologie I). Basel/Schaffhausen 1993. -18-X. Fr. 98.– (Fr. 75.–). |
| Bd. 13 | <i>Jost Bürgi und Radana Hoppe</i> , Schleithem–Juliomagus. Die römischen Thermen. Basel 1985. Fr. 37.50 (Fr. 25.–). | | |

